

FRANK H. NETTER, MD

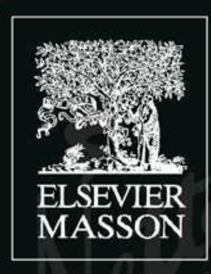
ANNIVERSAIRE 25 ANS

Atlas d'anatomie humaine

6e édition

Traduction de Pierre Kamina et Jean-Pierre Richer





Atlas d'anatomie humaine

6e Édition

Frank H. Netter, MD



ELSEVIER
MASSON



1600 John F. Kennedy Boulevard
Suite 1800
Philadelphia, Pennsylvania 19103-2899

Avertissements

Les connaissances et les règles de bonnes pratiques dans le domaine scientifique sont en constante évolution. Alors que de nouvelles découvertes et les acquis de l'expérience élargissent la compréhension des sciences médicales, des évolutions dans les méthodes de recherche, les pratiques professionnelles ou les traitements médicaux deviennent nécessaires. Les praticiens et les chercheurs doivent compter sur leur propre expérience et leurs connaissances pour évaluer ou utiliser toute information, toute méthode, composition ou expérience décrites dans cette publication. En utilisant une telle information ou de telles méthodes ils doivent être attentifs à leur propre sécurité et à celle des autres, y compris à celle de ceux pour lesquels ils ont une responsabilité professionnelle. Dans le respect de l'utilisation de chaque drogue ou produit pharmaceutique identifié, les lecteurs sont tenus de s'informer des recommandations habituelles des fabricants concernant les procédures d'utilisation de chaque produit administré, de vérifier les doses ou formules recommandées, les méthodes et la durée d'administration du produit et ses contre-indications. Il relève de la responsabilité des praticiens, tenant compte de leur expérience et de la connaissance de leurs patients, de poser les diagnostics, de déterminer le meilleur traitement et sa posologie pour chaque patient considéré individuellement, et de prendre toutes les précautions de sécurité. Dans toute la rigueur et l'étendue de la loi, ni l'éditeur ni l'auteur, ses collaborateurs ou les rédacteurs ne sont responsables de toute blessure ou dommage aux personnes ou aux biens qui pourraient résulter soit d'une négligence, soit de l'utilisation de toutes méthodes, produits, instructions ou idées décrits dans cet ouvrage.

Traduction des précédentes éditions : Pierre Kamina – Professeur émérite d'anatomie – Université de Poitiers
Traduction et adaptation en langue française de la 6e édition, 2015 : Jean-Pierre Richer – Professeur des universités - Chirurgien des hôpitaux (anatomie-chirurgie générale) – Université de Poitiers

Édition française : *Atlas d'anatomie humaine,* 6e édition
Directrice éditoriale : Mathilde Bestel
Éditrice : Nathalie Humblot
Production : Robain Halluin
Maquette de couverture : Véronique Lentaigne

Édition originale : *Atlas of Human Anatomy*, 6th edition
Senior Content Strategist: Elyse O'Grady
Senior Content Development Specialist: Marybeth Thiel
Publishing Services Manager: Patricia Tannian
Senior Project Manager: John Casey
Senior Design Manager: Lou Forgione
Illustration Buyer: Karen Giacomucci

Photocomposition : Nord Compo

Dépôt légal : 2015

Imprimé en Italie

ISBN France : 978-2-294-74124-1
e-ISBN France : 978-2-294-74171-5
ISBN Campus : 978-2-294-74169-2
ISBN Canada : 978-2-294-74170-8




Contribution à l'illustration médicale

Carlos A.G. Machado, MD




Comité éditorial

John T. Hansen, Ph.D.
Rédacteur en chef
Vice-doyen
Professeur de neurobiologie et d'anatomie
Université de Rochester, Centre médical
Rochester, New York




Brion Benninger, MD, MS
Professeur, titulaire de la chaire des sciences anatomiques médicales,
de la médecine familiale et des sciences médicales neuromusculaires
École de médecine dentaire
Université ouest des sciences de la santé Lebanon, Oregon
Responsable de la formation des internes en orthopédie et chirurgie générale
Hôpital Samaritan Corvallis, Oregon
Chirurgie, orthopédie, rééducation et chirurgie maxillo-faciale
Université des sciences de la santé d'Oregon
Portland, Oregon




Jennifer Brueckner-Collins, PhD
Professeur et assesseur du doyen pour les affaires étudiantes
Sciences anatomiques et neurobiologie
Université de Louisville, École de médecine
Louisville, Kentucky




Todd M. Hoagland, PhD
Professeur associé
Département de biologie cellulaire, de neurobiologie et d'anatomie
Université médicale du Wisconsin
Milwaukee, Wisconsin




R. Shane Tubbs, MS, PA-C, PhD
Neurochirurgie pédiatrique
Hôpital des enfants d'Alabama
Birmingham, Alabama
Professeur d'anatomie
Département des sciences anatomiques, université Saint-George
Centre d'anatomie et d'identification humaine de Grenade
Université Dundee, Royaume-Uni

Rédacteurs des précédentes éditions

Comité consultatif international

L'Atlas d'anatomie humaine de Netter – 25e anniversaire[1]

« C'est vrai que l'anatomie ne change pas, mais en revanche, notre compréhension de l'anatomie et de son intérêt clinique change. » **– Frank H. Netter, MD**

Si vous consultez cette sixième édition de l'***Atlas d'anatomie humaine*** dans sa version imprimée, sous son format de livre électronique, en ligne, ou dans la version pour application iPad, les illustrations du Dr Netter concernant les complexités de la morphologie humaine restent toujours aussi pertinentes aujourd'hui que lors de la première édition. La publication de cette sixième édition marque les noces d'argent (25e anniversaire) de la première sortie de l'*Atlas d'anatomie humaine* de Frank H. Netter – dont les couleurs vives et le regard clinique unique ont fait un compagnon indispensable pour les cours d'anatomie, dans les laboratoires de dissection, et dans les cabinets médicaux – expliquant l'important héritage pour beaucoup d'enseignants en médecine influents à travers le monde.

L'anatomie reste la pierre angulaire de l'éducation en santé. Il s'agit très souvent de la première matière enseignée dans le cursus médical ou en sciences de la santé. L'anatomie garde une place centrale dans la pratique clinique, l'examen physique, l'imagerie médicale pour la chirurgie et la réadaptation physique. Cependant, les évolutions dans l'enseignement de l'anatomie et de ses applications cliniques pendant ces dernières vingt-cinq années ont été significatives. Le cursus des études de médecine et des professions de santé a vu se développer considérablement l'anatomie clinique intégrée au détriment de l'enseignement de l'anatomie macroscopique classique. Certains programmes ont abandonné les dissections cadavériques. Les avancées technologiques de l'imagerie ont fourni des vues de plus en plus performantes de l'anatomie du vivant, et les modèles 3D en anatomie continuent d'évoluer. De même, l'*Atlas* a évolué. Merci pour leurs conseils avisés aux anatomistes cliniciens et aux enseignants experts en anatomie, ainsi qu'aux talentueux illustrateurs médicaux, pour les caractéristiques de la sixième édition nouvellement créée, notamment pour les illustrations et les images radiologiques modernes qui apportent à l'étudiant la vision de l'intérêt clinique actuel de l'anatomie et les perspectives qui expliquent les rapports anatomiques complexes. Cette édition contient également les illustrations des éditions précédentes de l'*Atlas*, comme les descriptions du Dr Netter des principales variations anatomiques (dans les éditions électroniques et les versions imprimées + électroniques), planches en bonus dont l'objectif est d'aider à comprendre les données anatomiques que de nombreuses heures de dissection au laboratoire ne permettent pas d'appréhender. Pour la première fois, l'*Atlas* incorpore des tableaux des muscles sous la forme d'annexes à consulter rapidement à la fin de chaque section à la disposition du clinicien, de l'étudiant ou de l'enseignant qui ne dispose que de peu de temps. Les ressources électroniques StudentConsult.com et NetterReference.com possèdent un certain nombre de modèles 3D issus du Netter's 3D Interactive Anatomy, des sélections vidéos de dissections du Netter's Online Dissection Modules par UNC à Chapel Hill, et d'autres supports. De plus, l'ensemble du texte de l'Atlas a été méticuleusement mis à jour pour respecter la version la plus récente de la *Terminologia Anatomica* (terminologie anatomique) du Programme fédéral international pour la terminologie anatomique (Federal International Program for Anatomical Terminology : FIPAT) de la Fédération internationale des Associations des anatomistes (International Federation of Associations of Anatomists : IFAA).

Le regard visionnaire unique de Frank H. Netter n'est pas égalé. Dr Netter possédait la maîtrise d'un illustrateur médical, l'intelligence d'un grand médecin, et l'âme d'un artiste dans ses descriptions du corps humain. Cette édition du 25e anniversaire célèbre l'empreinte durable de son travail qui continue à former et à inspirer.

Nous vous invitons à nous écrire au sujet de l'histoire, de l'enseignement de l'anatomie et de la médecine et de l'héritage de Netter. N'hésitez pas à partager vos idées, vos inspirations, souvenirs, hommages et commentaires. Email : NetterAppFeedback@elsevier.com et sur Facebook : www.facebook.com/NetterImages





1. Avertissement : cette page d'introduction à la sixième édition américaine fait référence au contenu et aux compléments numériques propres à l'édition originale. La version française offre en plus un accès spécifique à des compléments traduits en français.



Frank H. Netter, MD

Photographie de James L. Clayton

À ma chère épouse, Vera

Avant-propos à la première édition

J'ai souvent dit que ma carrière d'artiste médical, depuis presque 50 ans, a été une sorte « d'œuvre sur commande » en ce sens qu'elle a évolué en fonction des souhaits et des demandes de la profession médicale. Durant toutes ces années, j'ai réalisé environ 4 000 illustrations, la plupart pour « The Ciba (maintenant Netter) Collection of Medical Illustrations », mais aussi pour « Clinical Symposia ». Ces dessins concernaient de nombreuses branches de la science médicale comme l'anatomie, l'histologie, l'embryologie, la physiologie, la pathologie, les explorations fonctionnelles, les techniques chirurgicales et thérapeutiques, et les manifestations cliniques d'un grand nombre de maladies. Avec l'âge, cependant, j'eus de plus en plus de demandes des médecins et des étudiants pour que je fasse un atlas exclusivement d'anatomie. C'est ainsi que cet atlas vit le jour, non pas sur un désir personnel, mais plutôt, comme la plupart de mes œuvres précédentes, pour répondre aux souhaits de la profession médicale. J'étais cependant si absorbé par d'autres engagements qu'il m'a fallu du temps pour parvenir à l'achever. Et quand enfin il fut terminé, je me suis rendu compte qu'il avait demandé beaucoup plus de travail et de temps que je l'avais prévu. Il fallait que je reprenne toutes les illustrations que j'avais faites depuis de si nombreuses années, en choisissant celles qui concernaient l'anatomie, en les classant, en les regroupant par systèmes et par régions, en les adaptant au format et à l'espace d'une page, et en les disposant selon un ordre logique. C'est vrai que l'anatomie ne change pas, mais en revanche, notre compréhension de l'anatomie et de son intérêt clinique change, tout comme sa terminologie et sa nomenclature. Cela a donc demandé une mise à jour importante de nombreuses illustrations anciennes, et même une refonte de beaucoup d'entre elles de façon à les adapter à la pratique médicale et chirurgicale moderne, toujours en évolution. En outre, j'ai découvert que mes illustrations précédentes n'embrassaient pas toute la connaissance médicale, et il m'a fallu réaliser un grand nombre de dessins nouveaux qui sont inclus dans ce volume.

En créant un atlas comme celui-ci, il est important de trouver un juste milieu entre la complexité et la simplification. Si les figures sont trop complexes, leur étude sera difficile et confuse. Si elles sont trop simplifiées, elles peuvent être insuffisamment précises, voire inexactes. J'ai donc opté pour le moyen terme, le réalisme sans la confusion des détails. J'espère que les étudiants et les membres des professions médicales et paramédicales trouveront les illustrations intelligibles et utiles à la fois.

D'un commun accord, M. Flagler, l'éditeur, et moi-même avons pensé qu'il serait bon d'inclure la préface d'un anatomiste éminent et renommé, mais il y en a tant dans cette spécialité, dont un grand nombre a collaboré avec moi dans le passé, et qui sont cités plus loin dans ce volume, que nous n'avons pas pu faire un choix. Nous avons bien sûr pensé à des hommes comme Vésale, Léonard de Vinci, William Hunter et Henry Gray, qui évidemment et malheureusement sont indisponibles, et je me demande vraiment quels commentaires leur aurait inspiré cet atlas.

Frank H. Netter, MD
(1906-1991)

Frank H. Netter, MD

Frank H. Netter est né en 1906 à New York. Il a d'abord fait des études d'art à l'Art Student's League et à la National Academy of Design avant de suivre ses études médicales à l'université de New York où il passe son doctorat en 1931. Pendant ses années d'étude, les croquis dans les cahiers de Frank H. Netter ont attiré l'attention des membres de la Faculté et des autres médecins. Ceci lui a permis d'augmenter ses revenus en illustrant des articles ou des livres. Il continua de réaliser des illustrations tout en commençant une carrière de chirurgien en 1933 ; toutefois, il finit par abandonner sa pratique clinique pour se consacrer entièrement à l'art. Après son passage dans les forces armées américaines durant la deuxième guerre mondiale, il débuta une longue collaboration avec le groupe pharmaceutique CIBA (devenu maintenant le groupe Novartis). Durant ces 45 ans de collaboration, il produisit une impressionnante collection d'illustrations médicales qui est devenue très populaire pour tous les médecins et professionnels de la santé dans l'ensemble du monde. Icon Learning Systems a acheté les droits de la collection de Netter en juillet 2000 et continue de mettre à jour les illustrations originales de Netter et de leur adjoindre de nouvelles illustrations réalisées par des artistes travaillant selon le style originel de Netter. En 2005, Elsevier Inc. a racheté la collection et toutes les publications de Netter à Icon Learning Systems. Il y a maintenant plus de 50 publications qui diffusent l'œuvre artistique du Dr Netter.

Les travaux de Netter représentent un des meilleurs exemples de l'utilisation de l'iconographie dans l'apprentissage des concepts médicaux. Les 13 livres de la Collection Netter d'Illustrations Médicales, qui incluent la plus grande partie des 20 000 dessins originaux de Netter, comptent parmi les œuvres médicales les plus renommées jamais publiées. L'Atlas d'anatomie humaine de Netter, initialement publié en 1989, regroupe les dessins anatomiques de la collection Netter. Il est désormais traduit en 11 langues. C'est l'atlas anatomique de référence des étudiants en médecine et paramédicaux dans le monde entier.

Les illustrations de Netter sont appréciées tant pour leur qualité esthétique que pour leur contenu pédagogique, ce qui est même plus important. Comme le disait Frank H. Netter en 1949 : « …le but d'une illustration est de clarifier un sujet. L'importance de l'illustration médicale ne réside pas dans la beauté du dessin ou le rendu délicat et subtil d'un sujet mais dans sa possibilité de rendre plus clair un point ». Les plans, conceptions, points de vue et approches de Frank H. Netter ont permis de rendre ses illustrations très utiles sur le plan didactique et conceptuel.

Frank H. Netter, médecin et artiste, est mort en 1991.

Préface à la sixième édition

Artiste, médecin et chirurgien, puis illustrateur médical, Frank H. Netter (1906-1991) regroupe en 1989 un certain nombre de ses dessins d'anatomie humaine sous la forme d'un atlas destiné à révéler le labyrinthe humain et à aider les plus jeunes à comprendre les bases anatomophysiologiques des pathologies. Intitulé *Atlas of Human Anatomy*, cet atlas connaît un succès international renouvelé à chaque génération. Le « Netter » représente toujours aujourd'hui une référence pour l'étudiant, et reste également le compagnon de professionnels plus expérimentés : un véritable dictionnaire pour les chirurgiens. La remarquable qualité artistique de ses illustrations s'accompagne d'une justesse pédagogique et d'une rigueur scientifique qui ont fait le succès de cet ouvrage.

Mais Netter souhaitait que son atlas évolue, pour chaque édition, au rythme des progrès technologiques, des nouveautés en imagerie médicale et des connaissances médicales. La sixième édition de *l'Atlas of Human Anatomy* et sa version électronique, qui célèbre ses 25 ans d'existence, s'est enrichie de nouvelles illustrations et iconographies, de tableaux didactiques sur les muscles, des conseils et des remarques d'un comité international sur l'intérêt clinique de l'anatomie. La mise à jour de cet atlas est un formidable travail d'équipe mené par des illustrateurs, des enseignants non seulement anatomistes mais aussi cliniciens qui sont restés fidèles aux principes de ce visionnaire, principes exprimés dans sa première édition : « … cela a donc demandé une mise à jour importante de nombreuses illustrations anciennes, et même une refonte de beaucoup d'entre elles de façon à les adapter à la pratique médicale et chirurgicale moderne, toujours en évolution... ».

Grâce aux éditions Elsevier Masson, j'ai l'honneur de succéder, pour la traduction française de cette sixième édition fortement augmentée et enrichie, à notre maître français Pierre Kamina qui avait réalisé la première adaptation française selon la *Terminologia Anatomica* francisée de ce remarquable ouvrage de Frank H. Netter.

La connaissance anatomique étant indispensable à la compréhension clinique et à la pratique de beaucoup de professionnels de santé, je vous souhaite un bon et agréable travail !

Jean-Pierre Richer
Membre du Collège médical français des professeurs d'anatomie
Membre associé de l'Académie nationale de chirurgie

Préface à la cinquième édition

C'est avec enthousiasme que j'ai accepté d'effectuer la traduction et l'adaptation française de l'atlas du Dr Frank Netter, que j'admire pour l'ensemble de son œuvre.

Le Dr Netter s'inscrit dans la lignée des prestigieux artistes-anatomistes, tels Léonard de Vinci, Jacques Gautier d'Agoty, Nicolas Henry Jacob et d'autres, qui ont conçu et réalisé eux-mêmes des dessins de grande valeur scientifique et artistique.

Il a su vulgariser l'illustration médicale, tout en conservant la rigueur scientifique, grâce à la collaboration d'éminents spécialistes.

En 1989, le plus célèbre artiste médical nord-américain décide de regrouper une sélection de dessins anatomiques sous forme d'un atlas destiné aux jeunes étudiants, intitulé *Atlas of Human Anatomy*. Cet atlas connaîtra un succès international.

La finalité pédagogique est toujours sous-jacente. Il souligne à dessein, grossièrement, les structures qu'il veut mettre en évidence, tels les nerfs. Il fait aussi appel à des couleurs franches, parfois brillantes, pour rehausser les structures trop discrètes. D'un coup d'œil, le lecteur embrasse une région, comprend les rapports, et saisit l'élément qu'il recherche. Ces images nous parlent aussi grâce à des légendes précises, riches et accompagnées parfois de commentaires brefs et pertinents qui les éclairent.

Pour cette cinquième édition, j'ai adopté, pour garder à l'ouvrage son actualité et son universalité, la *Terminologia Anatomica* (TA) francisée par le Collège médical français des professeurs d'anatomie.

Cette terminologie internationale facilite non seulement la compréhension et la mémorisation des termes anatomiques, mais aussi les échanges interlinguistiques.

La richesse de l'imagerie conventionnelle ou numérique du corps humain de l'ouvrage répond à une quête constante du médecin : connaître l'intérieur de notre corps afin de mieux le soigner.

Grâce aux éditions Elsevier Masson, ce remarquable atlas vient enrichir l'édition médicale francophone.

Le « Netter » est un livre qui mérite vraiment une place de choix dans toute bibliothèque médicale.

Pierre Kamina
Professeur émérite d'anatomie
Ancien gynécologue-accoucheur des Hôpitaux
Université de Poitiers

Sommaire

Section 1 TÊTE ET COU

Section 2 DOS ET MOELLE SPINALE

Section 3 THORAX

Section 4 ABDOMEN

Section 5 PELVIS ET PÉRINÉE

Section 6 MEMBRE SUPÉRIEUR

Section 7 MEMBRE INFÉRIEUR

Références

Planches 8, 36-38, 43-45
Lang J. Clinical Anatomy of the Nose, Nasal Cavity, and Paranasal Sinuses. Thieme Medical Publishers, New York, 1989.

Planches 19-21
Baccetti T, Franchi L, McNamara J Jr. The cervical vertebral maturation (CVM) method for the assessment of optimal treatment timing in dentofacial orthopedics. Semin Orthod 2005;11:119-29.

Roman PS. Skeletal maturation determined by cervical vertebrae development. Eur J Orthod 2002;24:303-11.

Planche 23
Tubbs RS, Kelly DR, Humphrey ER, et al. The tectorial membrane: anatomical, biomechanical, and histological analysis. Clin Anat 2007;20:382-6.

Planches 25, 27-29, 48, 49, 58, 67, 70
Noden DM, Francis-West P. The differentiation and morphogenesis of craniofacial muscles. Dev Dyn 2006;235: 1194-218.

Planches 32, 34, 126-132
Tubbs RS, Salter EG, Oakes WJ. Anatomic landmarks for nerves of the neck: a vade mecum for neurosurgeons. Neurosurgery 2005;56:256-60.

Planche 48
Benninger B, Lee BI. Clinical importance of morphology and nomenclature of distal attachment of temporalis tendon. J Maxillofac Surg 2012;70:557-61.

Planches 50, 58
Benninger B, Kloenne J, Horn JL. Clinical anatomy of the lingual nerve and identification with ultrasonography. Br J Oral Maxillofac Surg 2013;51:541-4.

Planches 57, 62
Benninger B, Andrew K, Carter B. Clinical measurements of hard palate and implications for subepithelial connective tissue grafts with suggestions for palatal nomenclature. J Oral Maxillofac Surg 2012;70:149-53.

Planches 65, 95, 96
Kierner AC, Mayer R, v Kirschlhofer K. Do the tensor tympani and tensor veli palatini muscles of man form a functional unit? A histochemical investigation of their putative connections. Hear Res 2002;165:48-52.

Planches 74, 75
Benninger B, Barrett R. A head and neck lymph node classification using an anatomical grid system while maintaining clinical relevance. J Oral Maxillofac Surg 2011;69: 2670-3.

Planches 80-82
Ludlow CL. Central nervous system control of the laryngeal muscles in humans. Respir Physiol Neurobiol 2005;147: 205-22.

Planches 102-116
Rhoton AL. Cranial Anatomy and Surgical Approaches. Congress of Neurological Surgeons, Schaumburg, IL, 2003.

Planches 105, 141
Tubbs RS, Hansasuta A, Loukas M, et al. Branches of the petrous and cavernous segments of the internal carotid artery. Clin Anat 2007;20:596-601.

Planches 117-119, 125
Schrott-Fischer A, Kammen-Jolly K, Scholtz AW, et al. Patterns of GABA-like immunoreactivity in efferent fibers of the human cochlea. Hear Res 2002;174:75-85.

Planches 160, 175
Tubbs RS, Loukas M, Slappy JB, et al. Clinical anatomy of the C1 dorsal root, ganglion, and ramus: a review and anatomical study. Clin Anat 2007;20:624-7.

Planche 162
Lee MWL, McPhee RW, Stringer MD. An evidence-based approach to human dermatomes. Clin Anat 2008;21: 363-73.

Planches 162, 399, 469, 513
Forester O. The dermatomes in man. Brain 1933; 56:1-39.

Garrett FD. The segmental distribution of the cutaneous nerves in the limbs of man. Anat Rec 1948;102:409-37.

Keegan JJ. Dermatome hypalgesia with posterolateral herniation of lower cervical intervertebral disc. J Neurosurg 1947;4:115-39.

Planche 168
Turnball IM. Bloody supply of the spinal cord. In Vinken PJ, Bruyn GW (eds). Handbook of Clinical Neurology, XII. Amsterdam, 1972, pp 478-91.

Planche 169
Stringer MD, Restieaux M, Fisher AL, Crosado B. The vertebral venous plexuses: the internal veins are muscular and external veins have valves. Clin Anat 2012;25:609-18.

Planches 174, 175
Tubbs RS, Mortazavi MM, Loukas M, et al. Anatomical study of the third occipital nerve and its potential role in occipital headache/neck pain following midline dissections of the craniocervical junction. J Neurosurg Spine 2011; 15:71-5.

Planches 179-181
Hassiotou F, Geddes D. Anatomy of the human mammary gland: current status of knowledge. Clin Anat 2013;26: 29-48.

Planches 197, 198
Jackson CL, Huber JF. Correlated applied anatomy of the bronchial tree and lungs with a system of nomenclature. Dis Chest 1943;9:319-26.

Planche 200
Ikeda S, Ono Y, Miyazawa S, et al. Flexible broncho- fiberscope. Otolaryngology (Tokyo) 1970;42:855.

Planche 215
Angelini, P, Velasco JA, Flamm S. Coronary anomalies: incidence, pathophysiology, and clinical relevance. Circulation 2002;105:2449-54.

Planches 215, 216
Chiu IS, Anderson RH. Can we better understand the known variations in coronary arterial anatomy? Ann Thorac Surg 2012;94:1751-60.

Planche 222
James TN. The internodal pathways of the human heart. Prog Cardiovasc Dis 2001;43:495-535.

Planches 222-224
Hildreth V, Anderson RH, Henderson DJ. Autonomic innervation of the developing heart: origins and function. Clin Anat 2009;22:36-46.

Planche 236
Ang HJ, Gill YC, Lee WJ, et al. Anatomy of thoracic splanchnic nerves for surgical resection. Clin Anat 2008;21:171-7.

Planche 279
Elias H. Morphology of the Liver. New York, Academic Press, 1969.

MacSween RNM, Anthony PP, Scheuer PJ, et al (eds). Pathology of the Liver. London, Churchill Livingstone, 2002.

Robinson PJ. MRI of the Liver: A Practical Guide. New York, Taylor & Francis, 2006.

Planches 283, 284
Odze RD. Surgical Pathology of the GI Tract, Liver, Biliary Tract, and Pancreas. Philadelphia, Saunders, 2004.

Planche 305
Thomas MD. In The Ciba Collection of Medical Illustrations, vol 3, part II. Summit, NJ, CIBA, p 78.

Planches 321, 344, 362, 374, 392
Stormont TJ, Cahill DR, King BF, Myers RP. Fascias of the male external genitalia and perineum. Clin Anat 1994;7: 115-24.

Planches 335, 340, 346, 350, 355, 356
Oelrich TM. The striated urogenital sphincter muscle in the female. Anat Rec 1983;205:223-32.

Planches 339, 344
Myers RP, Goellner JR, Cahill DR. Prostate shape, external striated urethral sphincter, and radical prostatectomy: the apical dissection. J Urol 1987;138:543-50.

Planches 339, 344, 361, 362
Oelrich TM. The urethral sphincter muscle in the male. Am J Anat 1980;158:229-46.

Planche 381
Flocks RH, Kerr HD, Elkins HB, et al. Treatment of carcinoma of the prostate by interstitial radiation with radio-active gold (Au 198): A preliminary report. J Urol 1952;68:510-22.

Planche 399
Keegan JJ, Garrett FD. The segmental distribution of the cutaneous nerves in the limbs of man. Anat Rec 1948; 102:409.

Planche 469
Keegan JJ. Neurological interpretation of dermatome hypalgesia with herniation of the lumbar intervertebral disc. J Bone Joint Surg Am 1944;26:238-48.

Last RJ. Innervation of the limbs. J Bone Joint Surg Br 1949;31:452.



Section 1 TÊTE ET COU

Anatomie de surface

Planche 1

Régions superficielles de la tête et du cou

Planches 2-3

Os et ligaments

Planches 4-23

1

TÊTE ET COU

Régions superficielles de la face

Planches 24-25

Cou

Planches 26-34

Région du nez

Planches 35-55

Région de la bouche

Planches 56-63

Pharynx

Planches 64-75

Glande thyroïde et larynx

Planches 76-82

Orbite et son contenu

Planches 83-93

Oreille

Planches 94-100

Méninges et cerveau

Planches 101-116

Nerfs crâniens et cervicaux

Planches 117-136

1

TÊTE ET COU

Vascularisation cérébrale

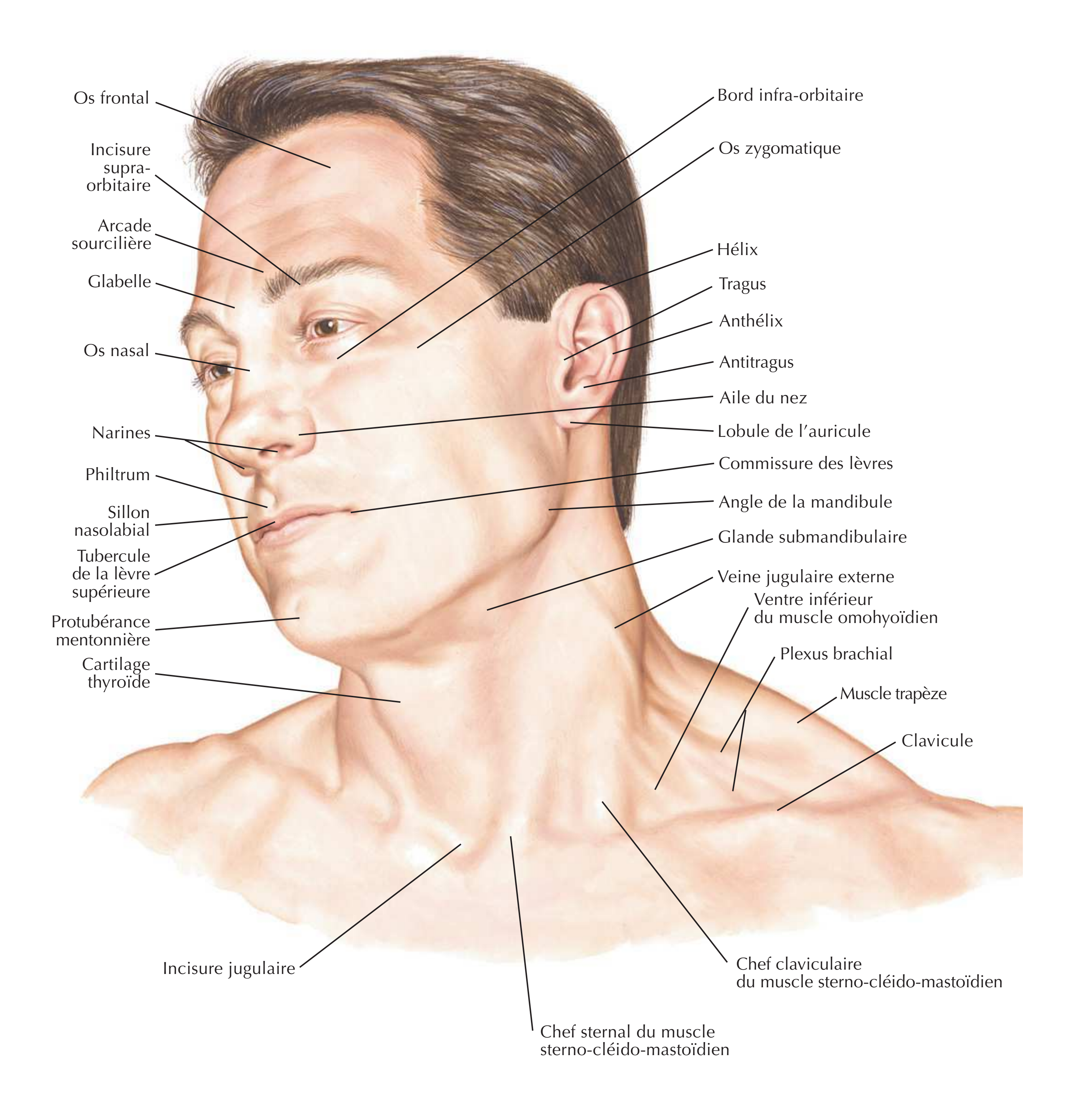
Planches 137-149

Imagerie de l'encéphale

Planches 150-151

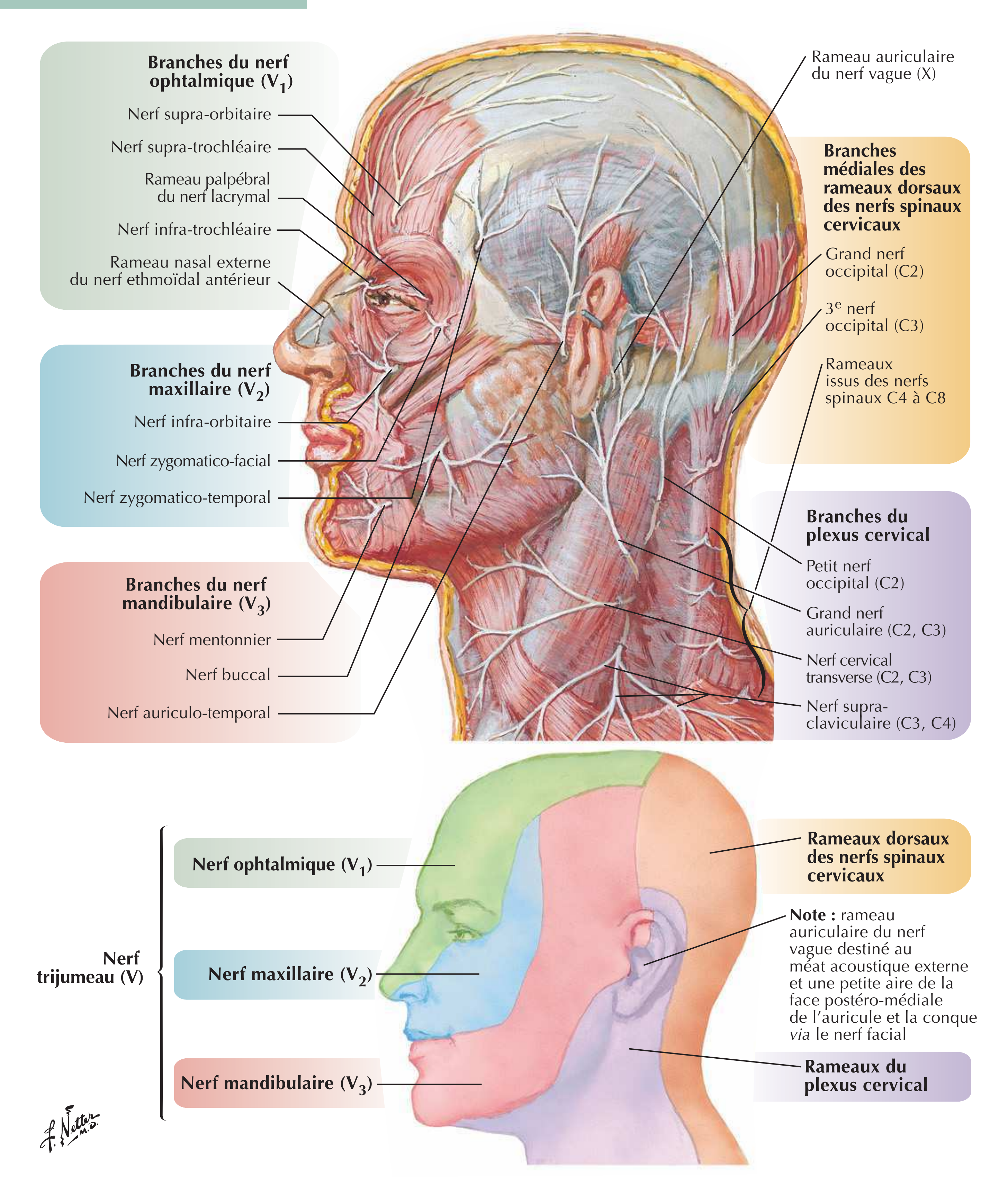
Muscles

Tableaux 1-1 à 1-6


Os frontal
Incisure supra-orbitaire
Arcade sourcilière
Glabelle
Os nasal
Narines
Philtrum
Sillon nasolabial
Tubercule de la lèvre supérieure
Protubérance mentonnière
Cartilage thyroïde
Incisure jugulaire
Bord infra-orbitaire
Os zygomatique
Hélix
Tragus
Anthélix
Antitragus
Aile du nez
Lobule de l'auricule
Commissure des lèvres
Angle de la mandibule
Glande submandibulaire
Veine jugulaire externe
Ventre inférieur du muscle omohyoïdien
Plexus brachial
Muscle trapèze
Clavicule
Chef claviculaire du muscle sterno-cléido-mastoïdien
Chef sternal du muscle sterno-cléido-mastoïdien
C. Machado M.D.

Nerfs cutanés de la tête et du cou

Voir aussi **Planches 32, 35, 52**



Voir aussi **Planches 51, 72, 73**

Cuir chevelu
Peau et tissu sous-cutané
Galéa aponévrotique (aponévrose épicrânienne) *(réséquée pour montrer le crâne)*

Veine émissaire pariétale

Rameaux de l'artère et de la veine temporales superficielles
Frontaux
Pariétaux

Artère et veine temporales moyennes
Artère zygomatico-orbitaire
Artère et veine faciales transverses
Artère et veine supra-orbitaires
Artère et veine supra-trochléaires
Veine naso-frontale
Artère et veine dorsales du nez
Artère et veine zygomatico-temporales
Artère et veine angulaires
Artère et veine zygomatico-faciales
Artère et veine infra-orbitaires
Veine faciale profonde (issue du plexus ptérygoïdien)
Artère et veine faciales

Artères auriculaires antérieures
Veine émissaire mastoïdienne et rameau méningé de l'artère occipitale (artère méningée postérieure)
Artère et veine occipitales (*coupées*)
Artère et veine auriculaires postérieures
Veine jugulaire externe (*coupée*)
Veine rétro-mandibulaire
Veine faciale commune
Veine jugulaire interne
Artère carotide interne
Artère carotide externe
Artère carotide commune
Artère et veine linguales

Origines de la vascularisation artérielle de la face

En noir : origine carotidienne interne (par l'intermédiaire de l'artère ophtalmique)
En rouge : origine carotidienne externe

F. Netter M.D.

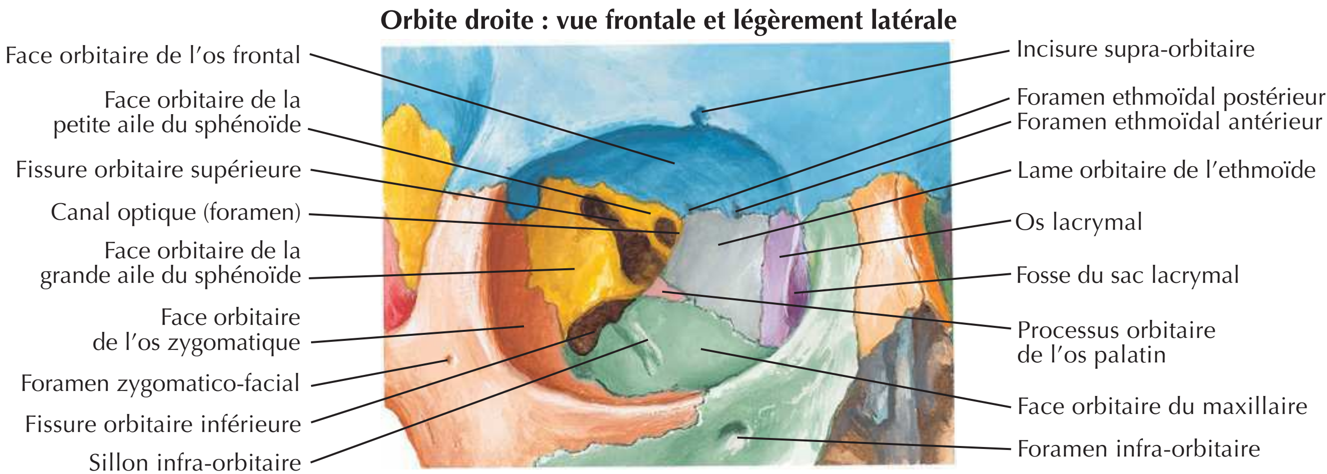
Tête osseuse : vue antérieure

Os frontal
Glabelle
Incisure supra-orbitaire (foramen)
Face orbitaire
Os nasal
Os lacrymal
Os zygomatique
Processus frontal
Face orbitaire
Processus temporal
Foramen zygomatico-facial
Maxillaire
Processus zygomatique
Face orbitaire
Foramen infra-orbitaire
Processus frontal
Processus alvéolaire
Épine nasale antérieure

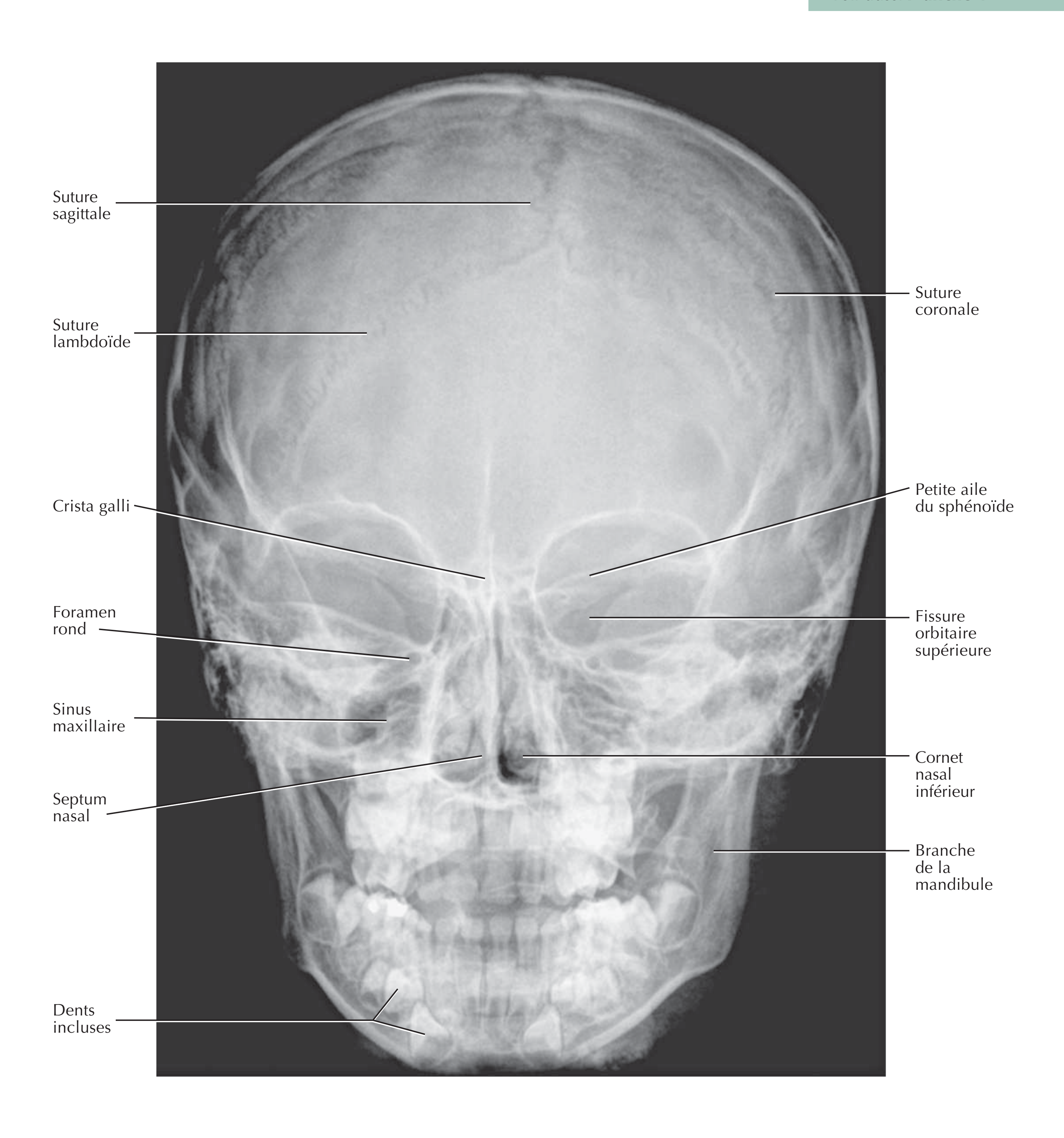
Suture coronale
Os pariétal
Nasion
Sphénoïde
Petite aile
Grande aile
Os temporal
Ethmoïde
Lame orbitaire
Lame perpendiculaire
Cornet nasal moyen
Cornet nasal inférieur
Vomer
Mandibule
Branche
Corps
Foramen mentonnier
Tubercule mentonnier
Protubérance mentonnière

F. Netter M.D.

Orbite droite : vue frontale et légèrement latérale

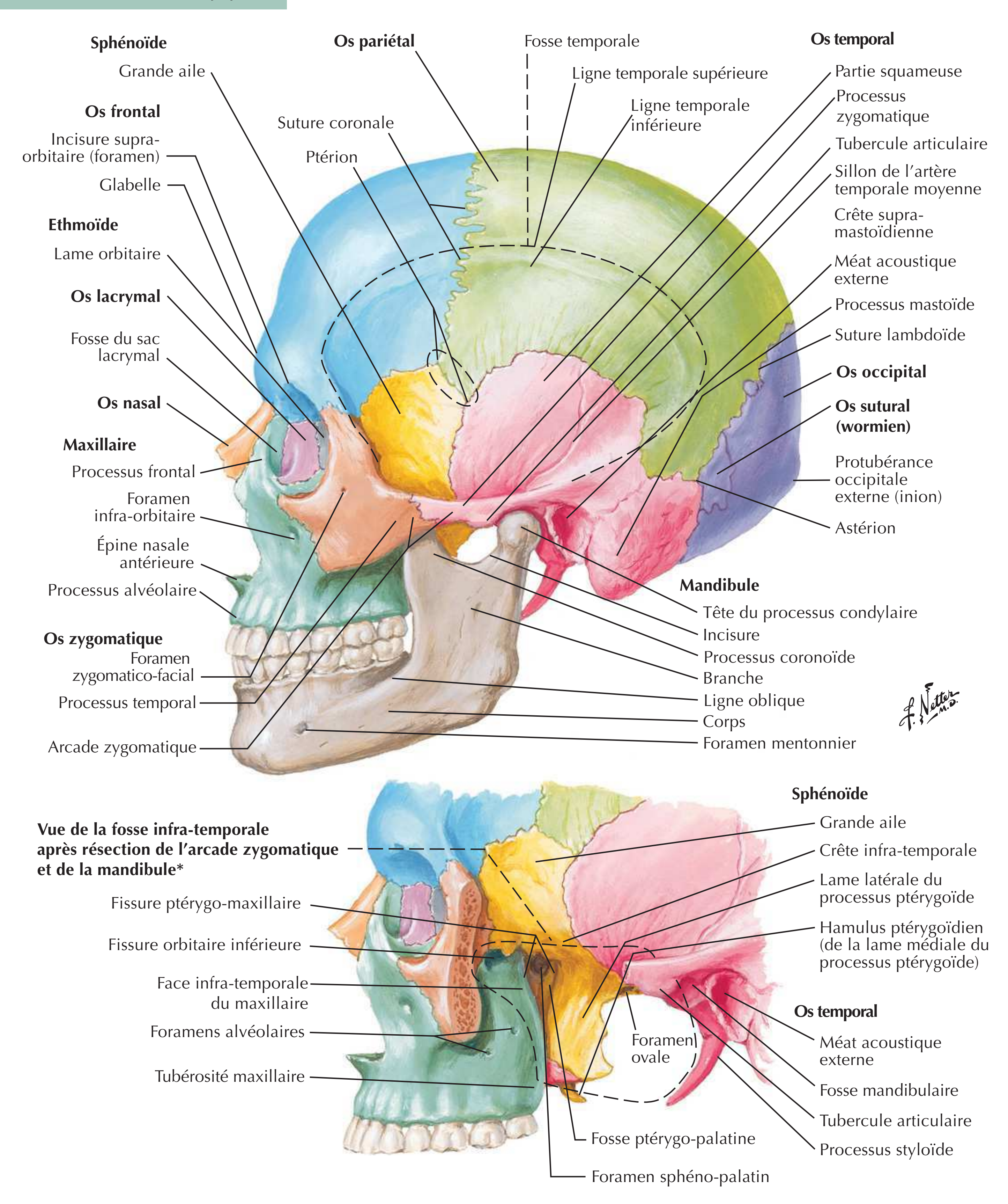


Voir aussi **Planche 4**



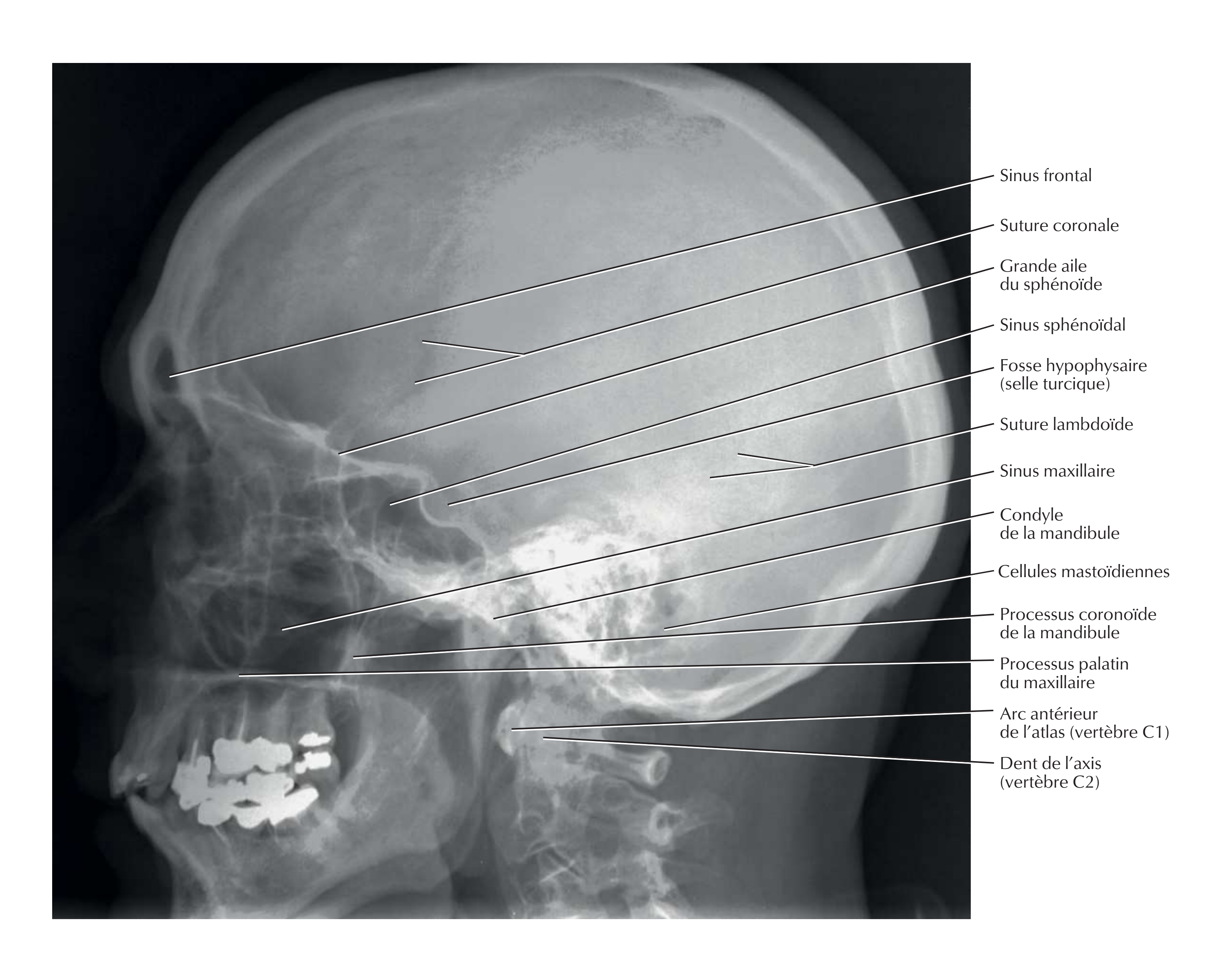
Tête osseuse : vue latérale

Voir aussi **Planches 7, 8, 15**



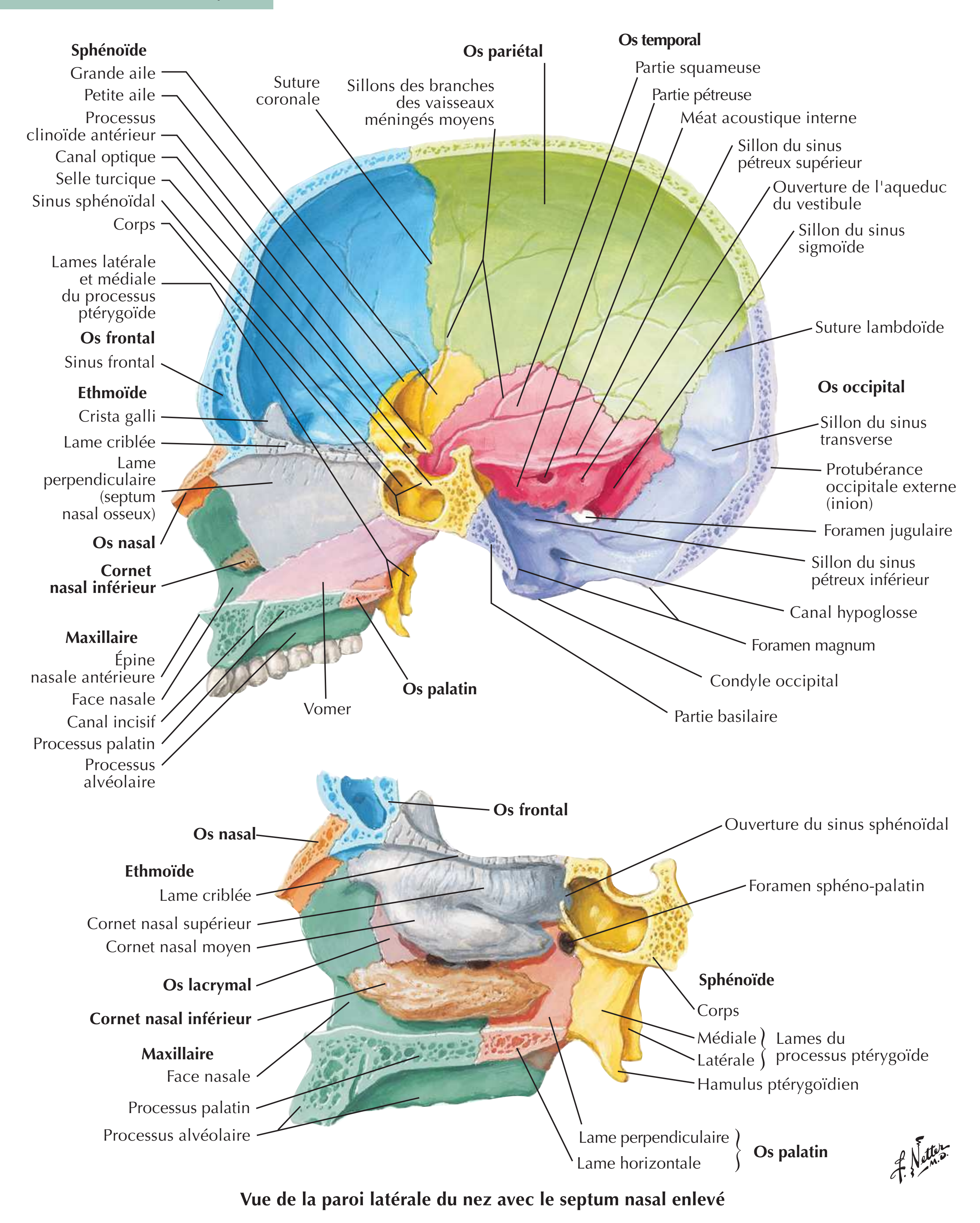
* Superficiellement, le processus mastoïde forme la limite postérieure

Voir aussi **Planche 8**



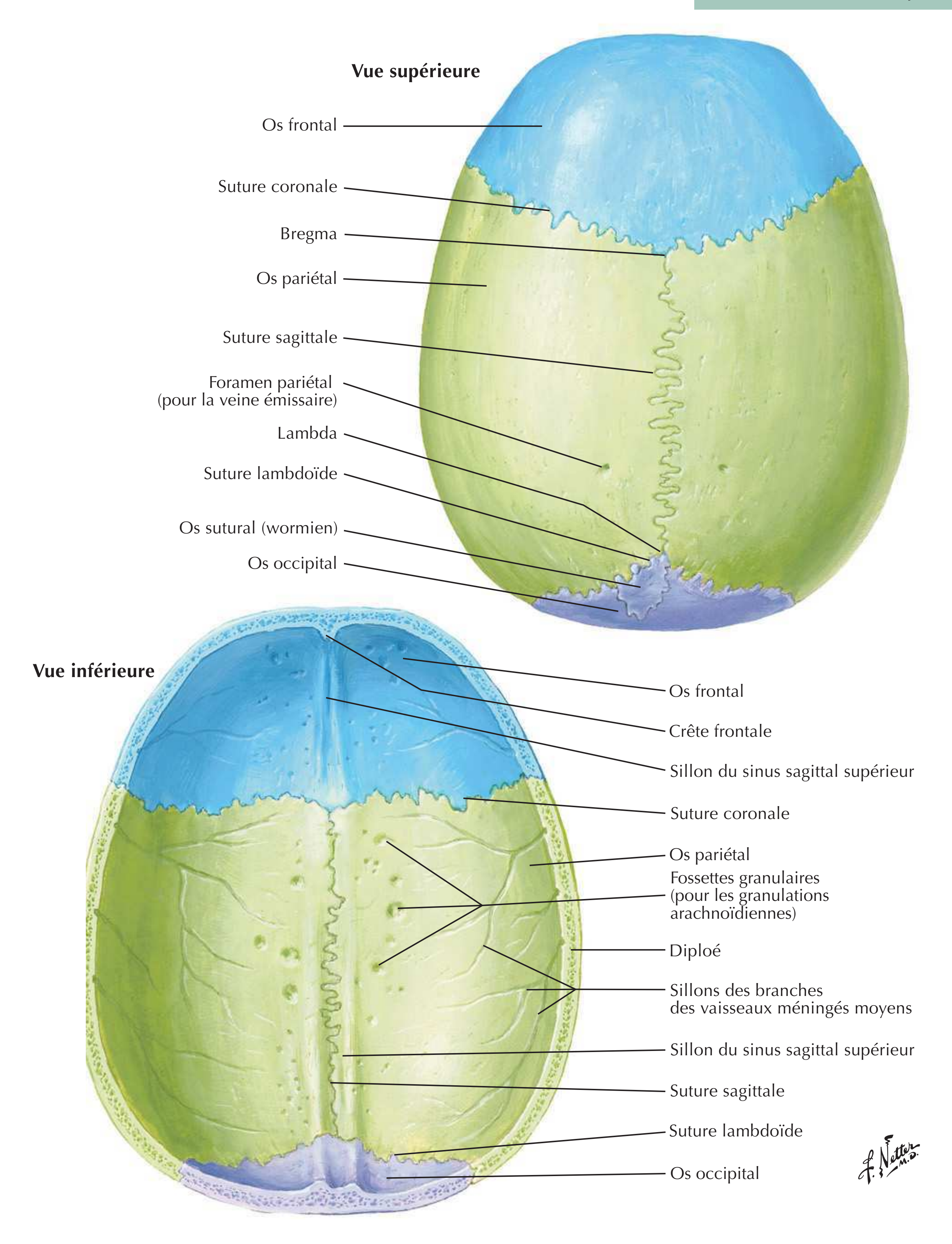
Crâne : coupe sagittale médiane

Voir aussi **Planches 37, 39**



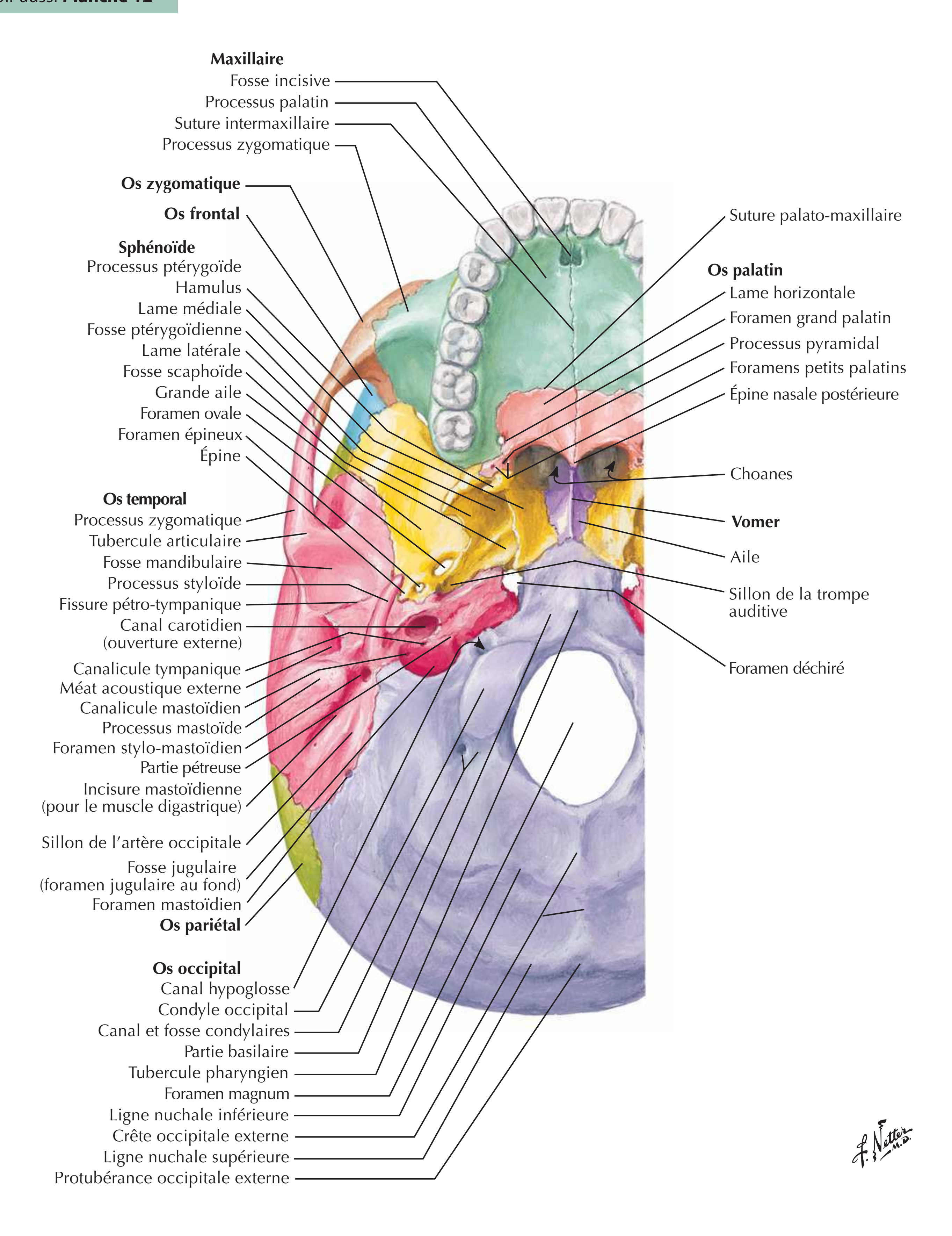
Vue de la paroi latérale du nez avec le septum nasal enlevé

Voir aussi **Planches 101, 102**

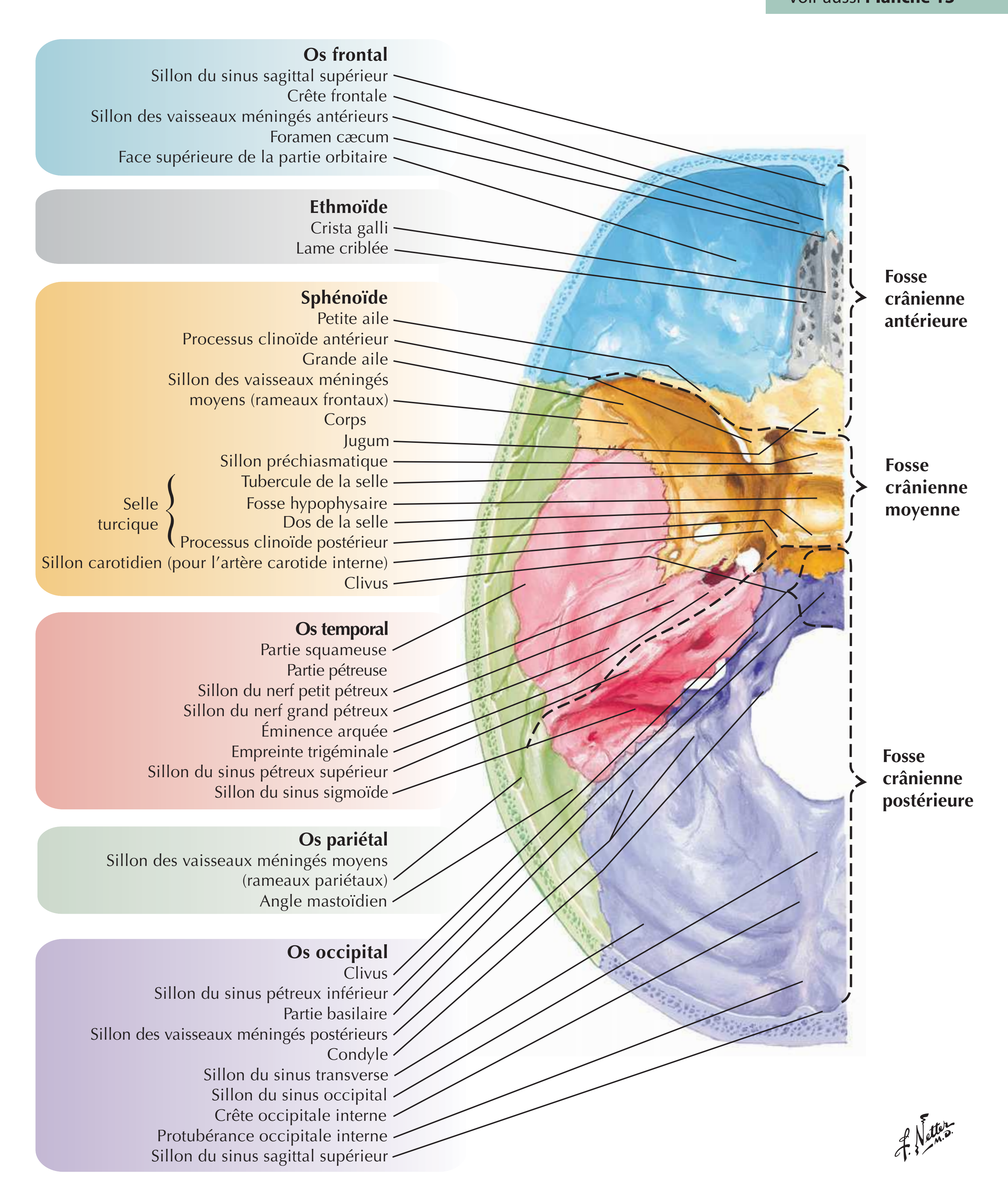


Base externe du crâne

Voir aussi **Planche 12**

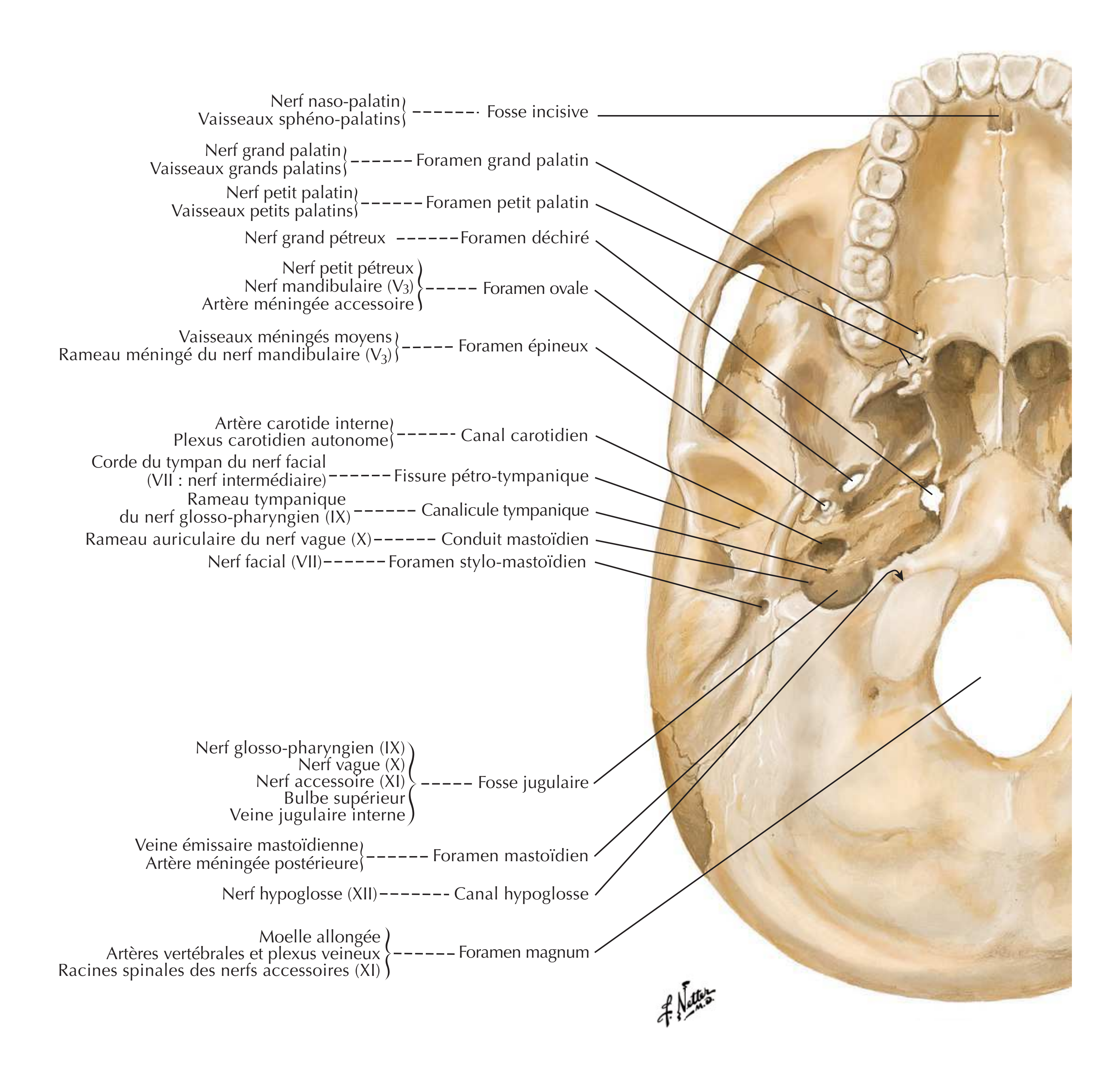


Voir aussi **Planche 13**



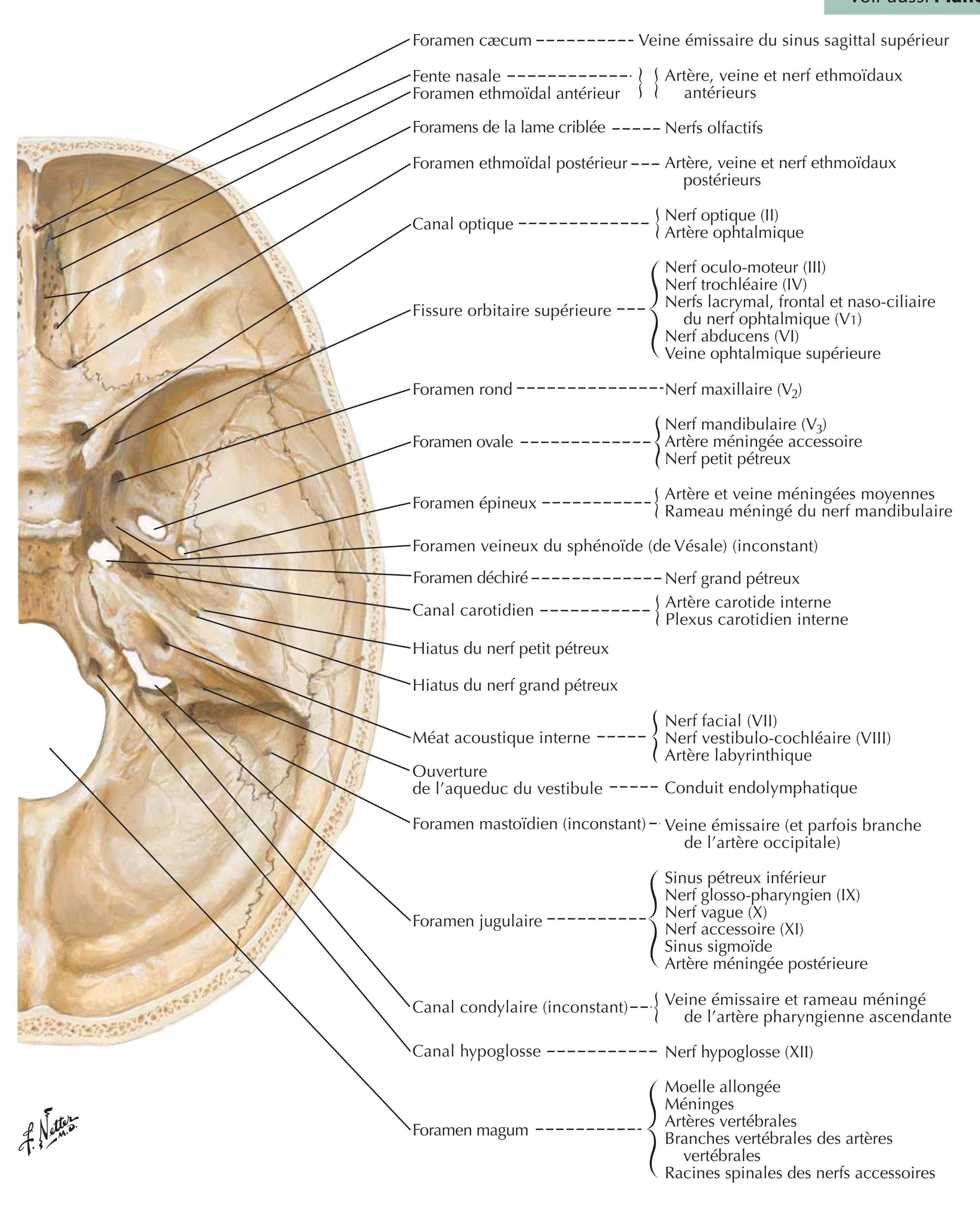
Foramens et canaux de la base du crâne : vue inférieure

Voir aussi **Planche 10**



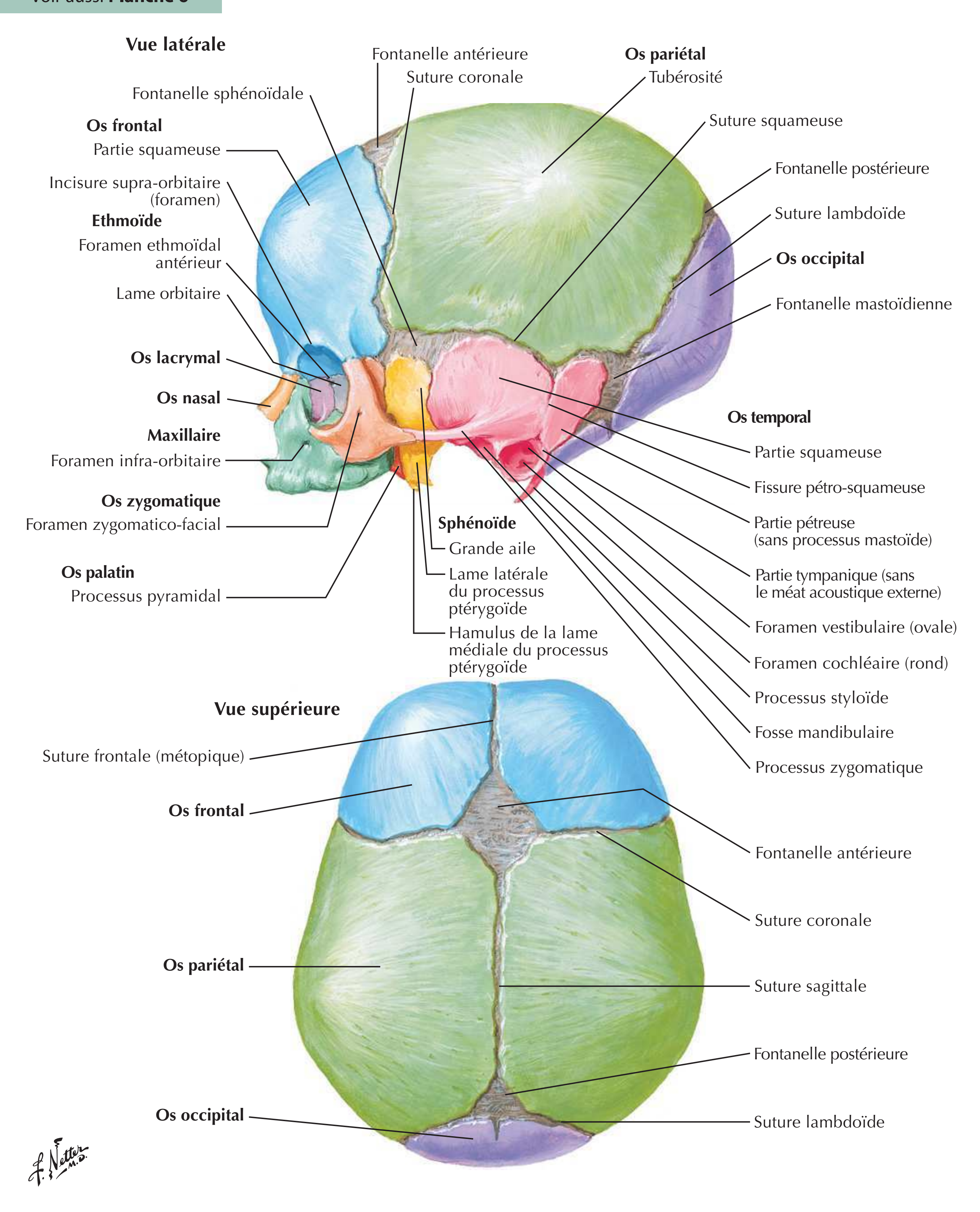
Foramens et canaux de la base du crâne : vue supérieure

Voir aussi **Planche 11**

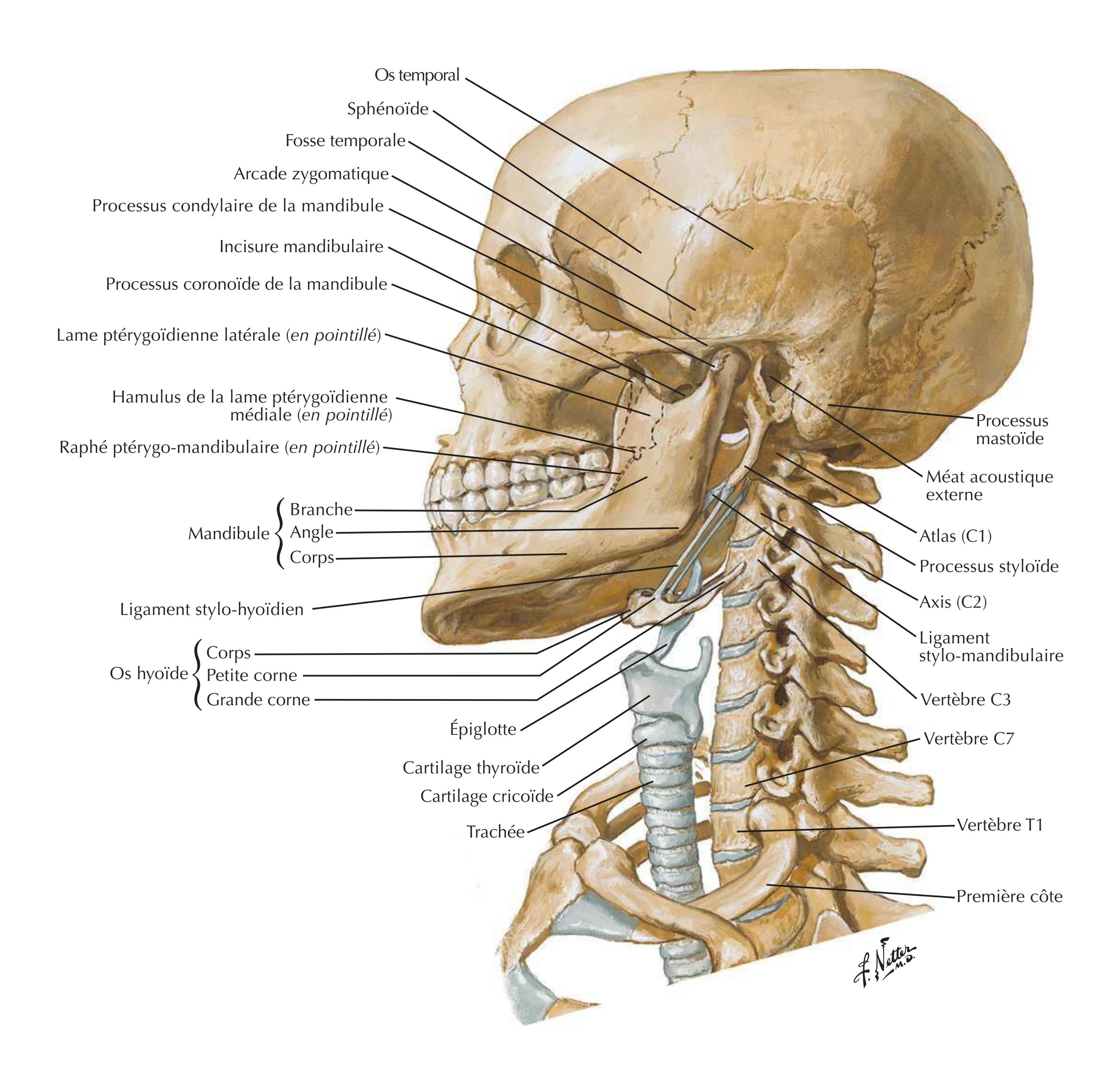


1 Crâne du nouveau-né

Voir aussi **Planche 6**



Voir aussi **Planches 6, 19**



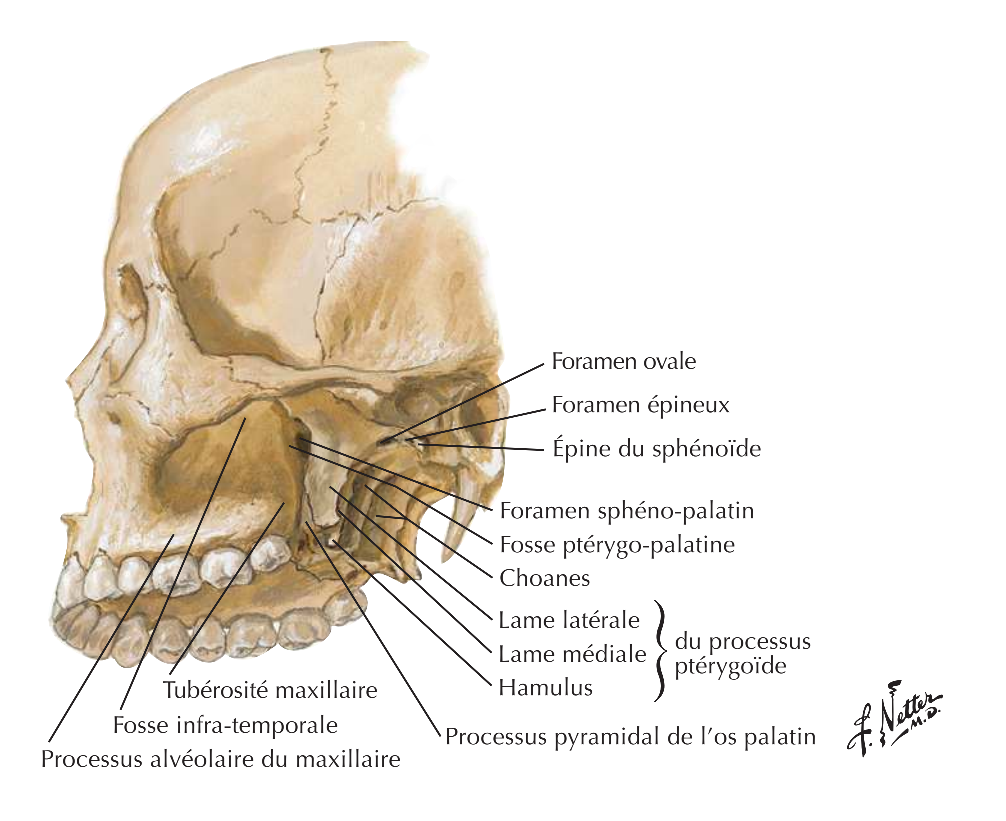
1 Fosse ptérygoïdienne : vues postérieure et inféro-latérale

Voir aussi **Planches 39, 40, 41**

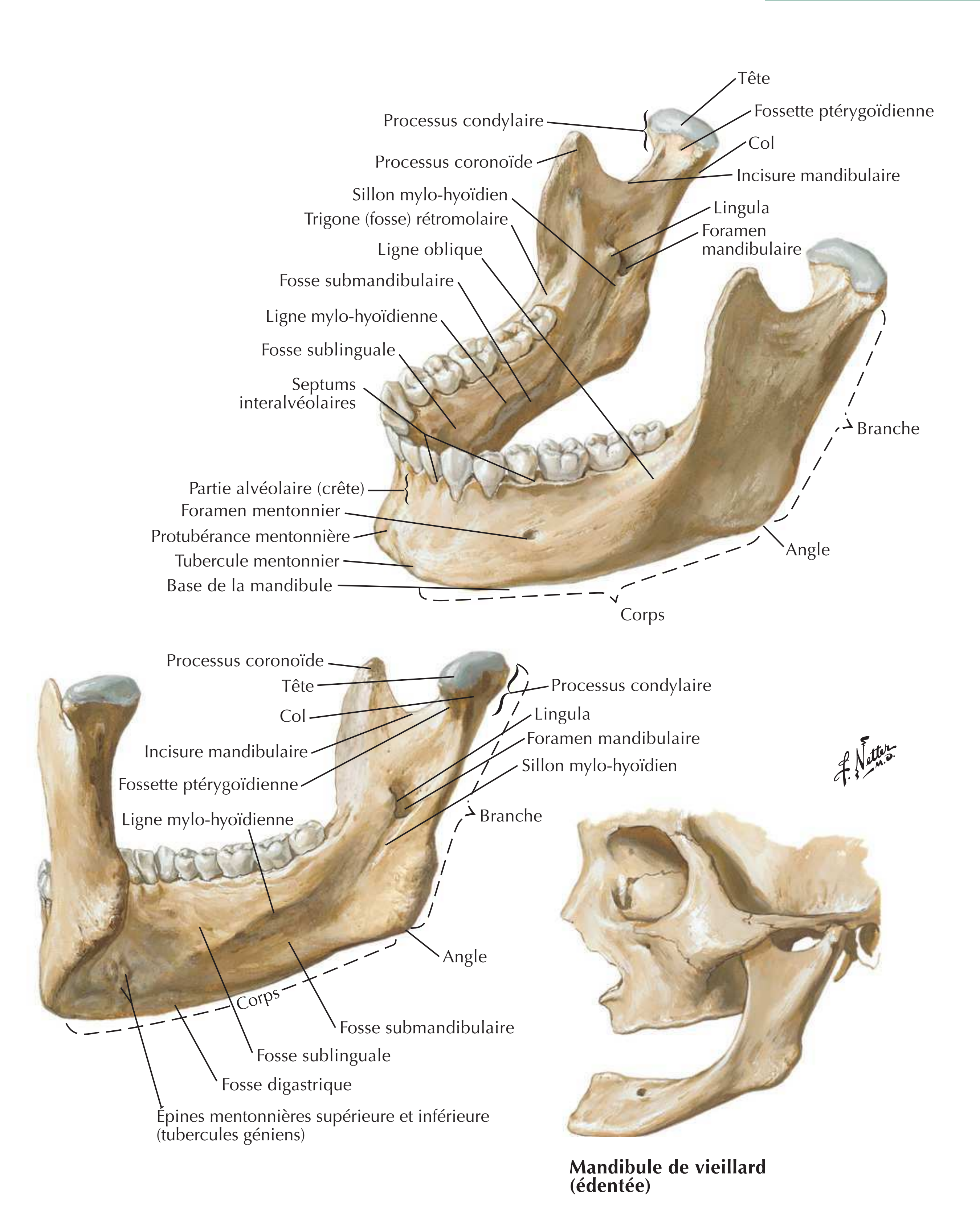
Vue postérieure

Protubérance occipitale externe (inion)
Crête occipitale externe
Ligne nucale inférieure
Foramen magnum
Fissure orbitaire inférieure
Processus mastoïde
Processus styloïde
Fosse ptérygoïdienne
Arcade zygomatique
Lame horizontale de l'os palatin
Cornet nasal inférieur
Tubérosité maxillaire
Processus palatin du maxillaire
Fosse incisive
Ligne nucale supérieure
Septum nasal
Choane (ouverture nasale postérieure)
Foramen mastoïdien
Suture occipito-mastoïdienne
Condyle occipital
Lame ptérygoïdienne latérale
Lame ptérygoïdienne médiale
Processus pyramidal de l'os palatin
Hamulus ptérygoïdien
Processus alvéolaire du maxillaire
C.Machado M.D.

Vue inféro-latérale

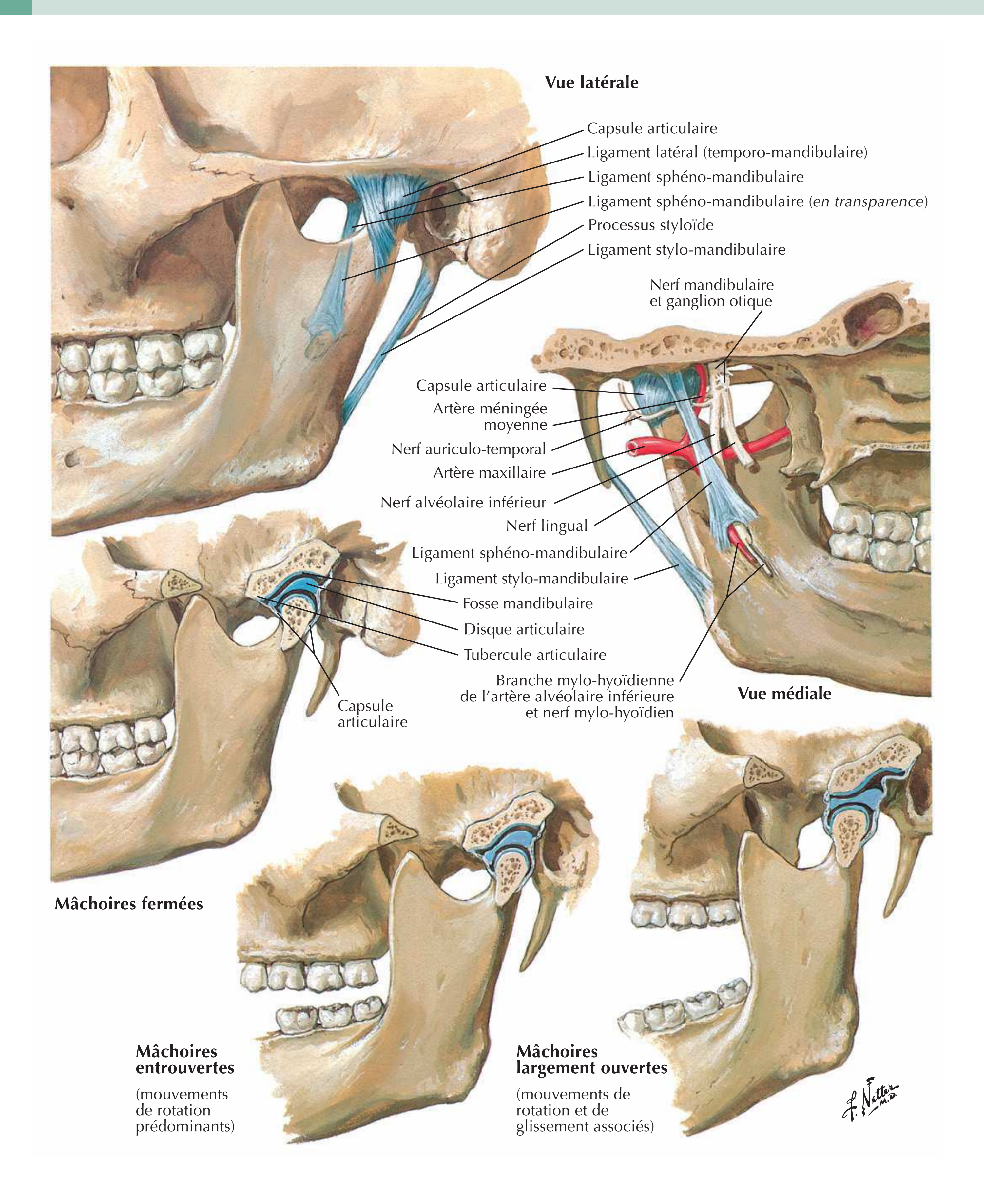


Voir aussi **Planche 49**

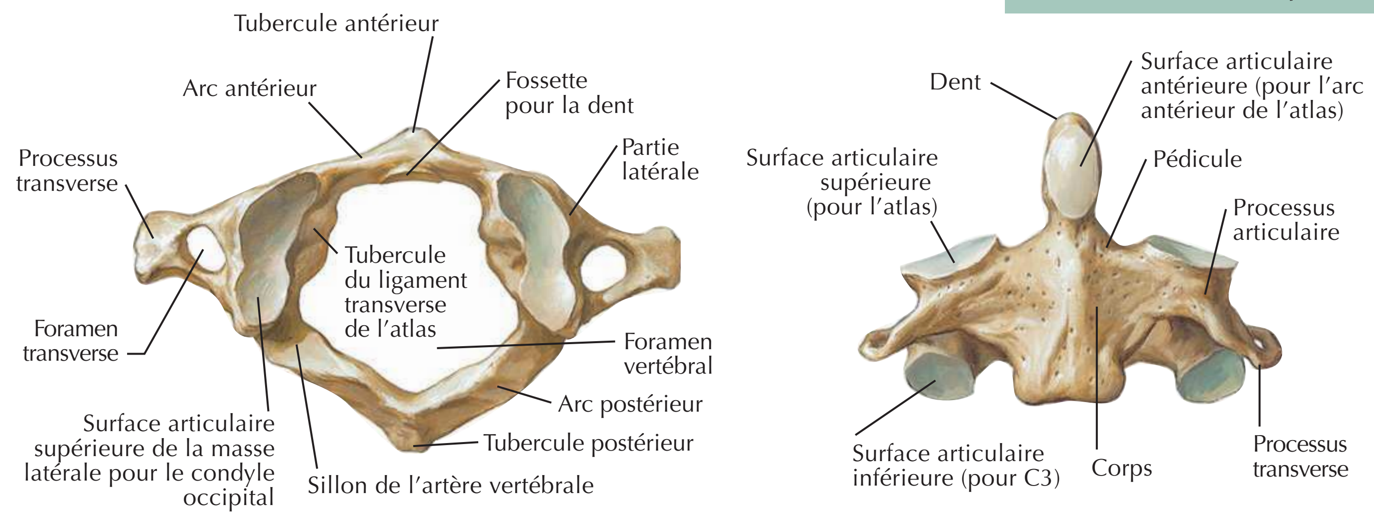


Mandibule de vieillard (édentée)

Articulation temporo-mandibulaire

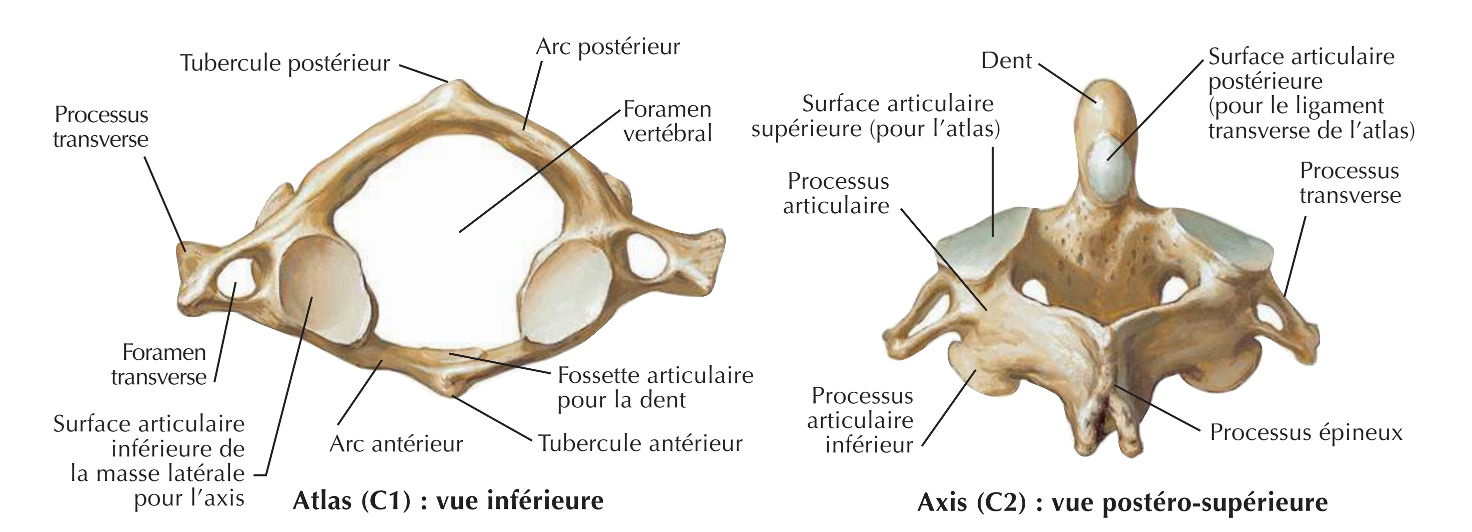


Voir aussi Planches 21, 22



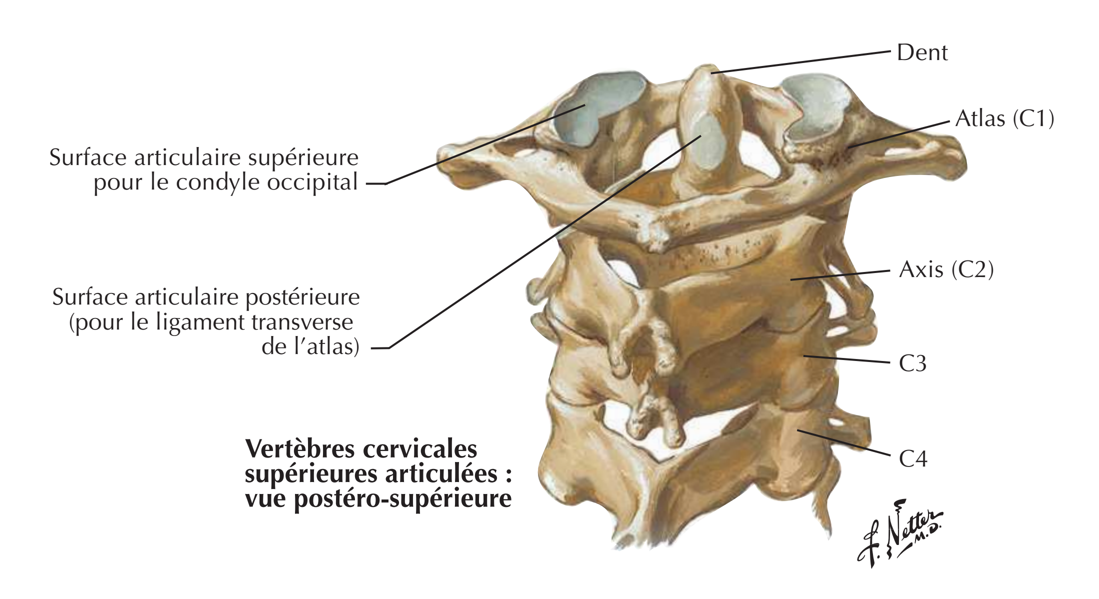
Atlas (C1) : vue supérieure

Axis (C2) : vue antérieure



Atlas (C1) : vue inférieure

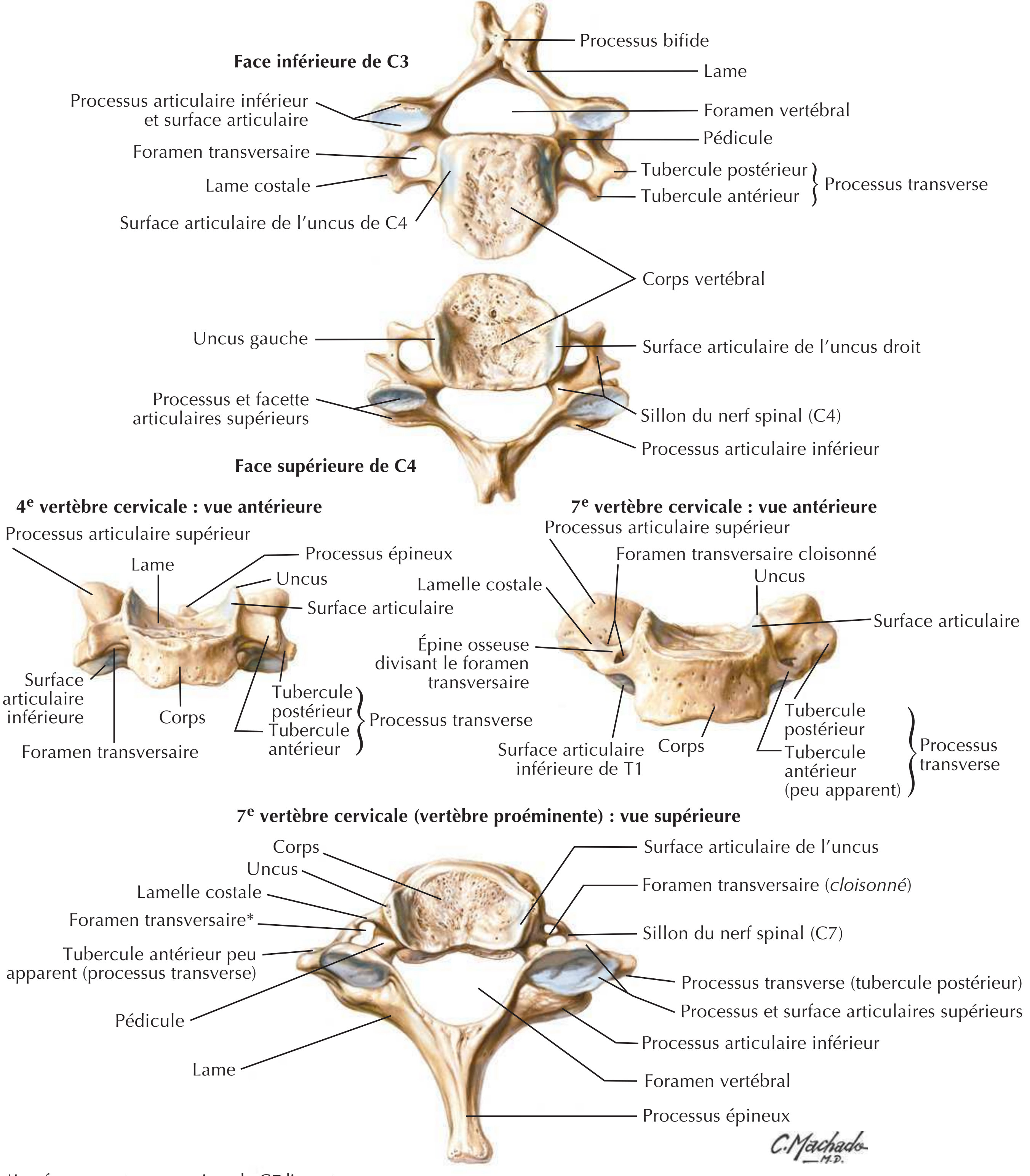
Axis (C2) : vue postéro-supérieure



Vertèbres cervicales supérieures articulées : vue postéro-supérieure

Vertèbres cervicales (suite)

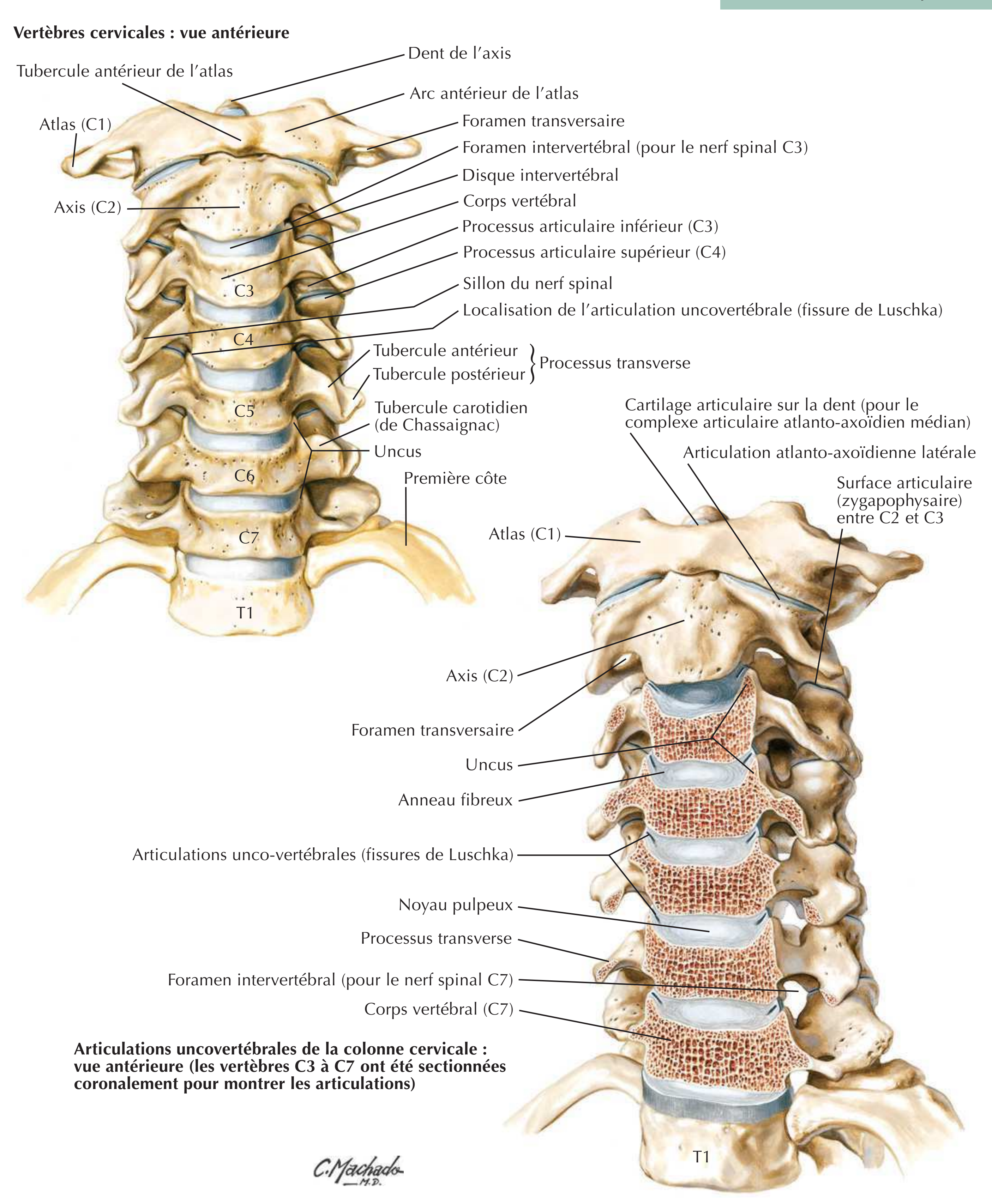
Voir aussi **Planches 21, 22**



*Les foramens transversaires de C7 livrent passage
aux veines vertébrales, mais non habituellement à l'artère vertébrale, et sont asymétriques sur ce spécimen

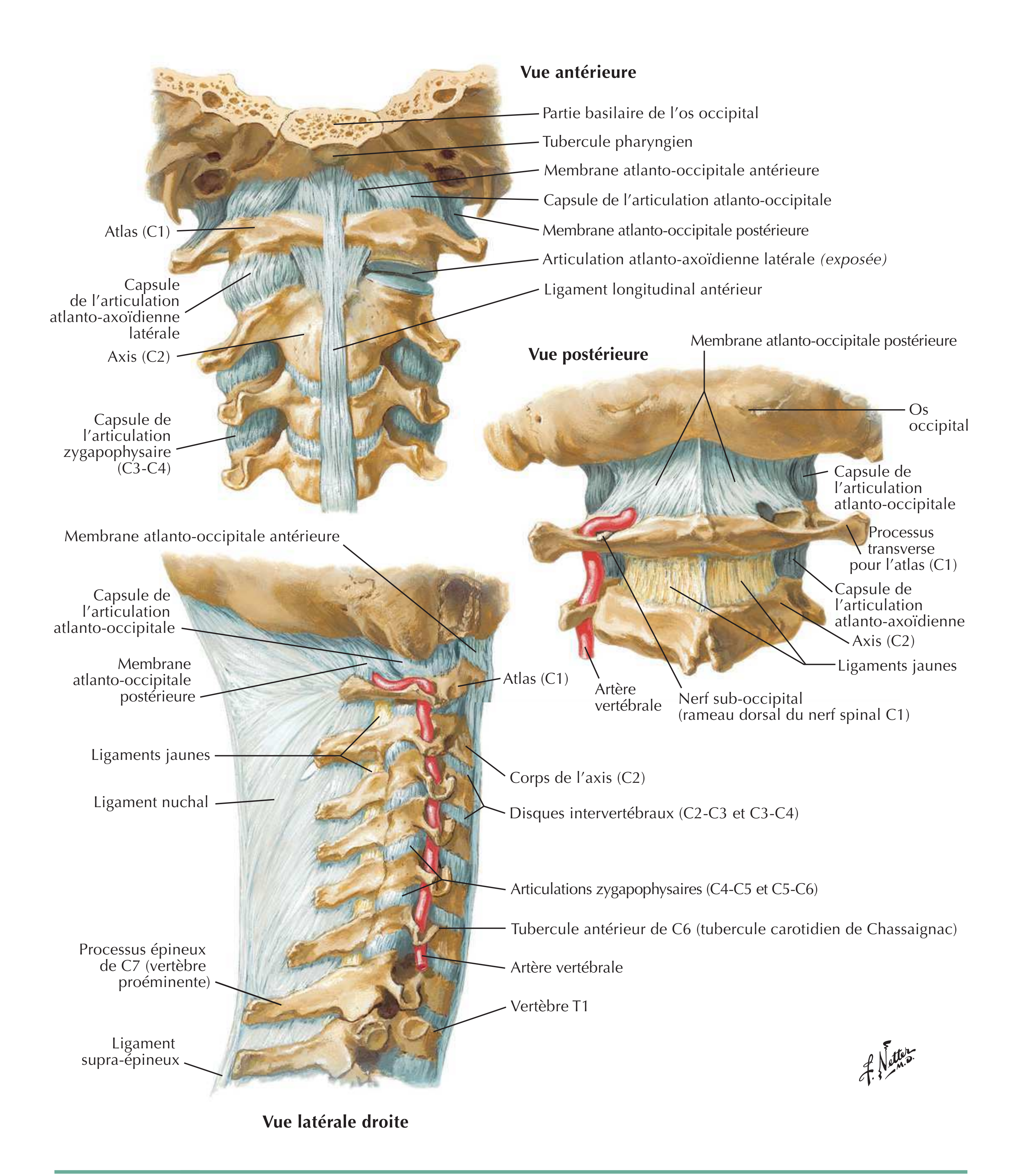
Voir aussi **Planches 46, 124**

Vertèbres cervicales : vue antérieure

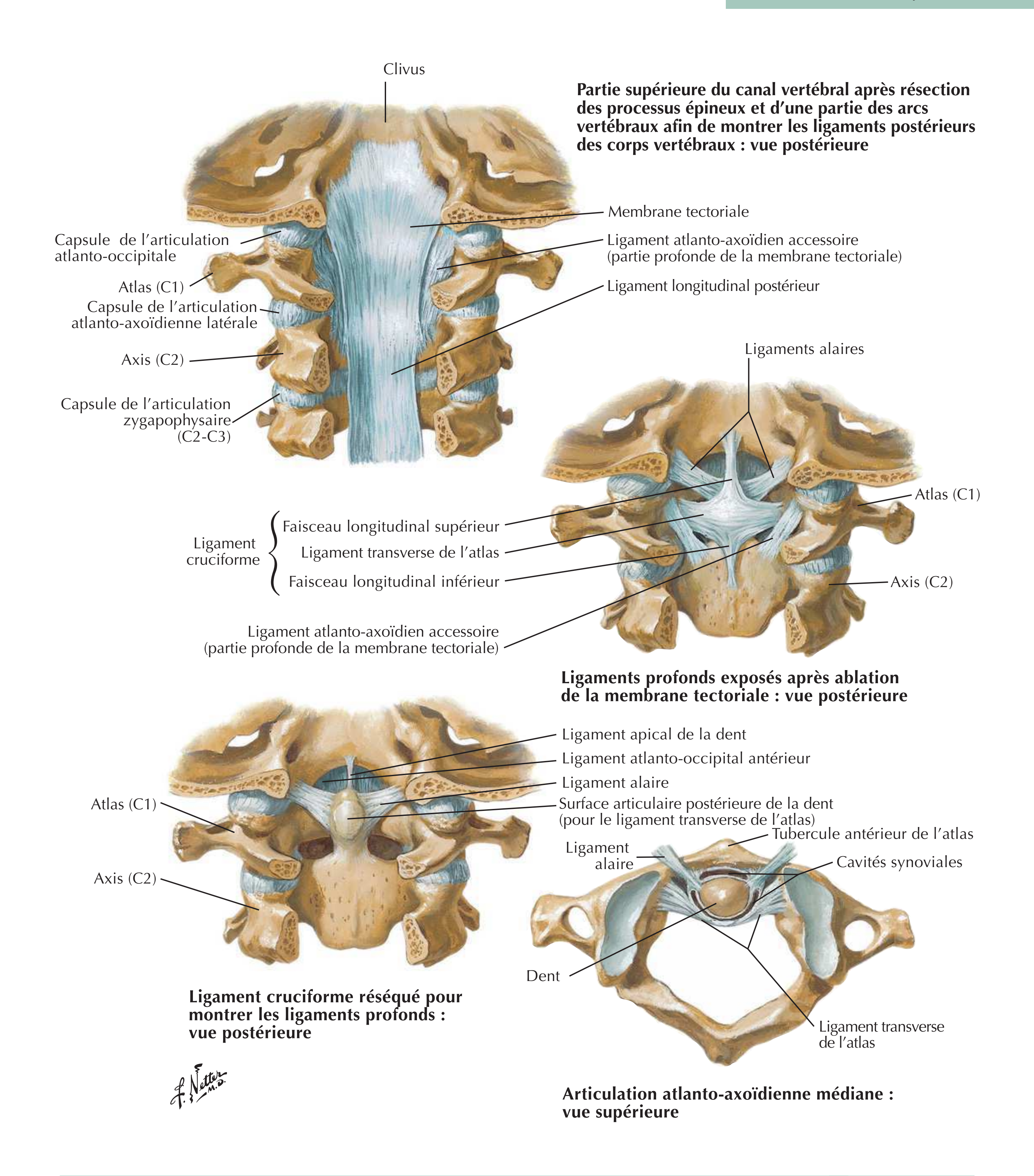


Articulations uncovertébrales de la colonne cervicale : vue antérieure (les vertèbres C3 à C7 ont été sectionnées coronalement pour montrer les articulations)

Ligaments cranio-vertébraux externes



Ligaments cranio-vertébraux internes



Partie supérieure du canal vertébral après résection des processus épineux et d'une partie des arcs vertébraux afin de montrer les ligaments postérieurs des corps vertébraux : vue postérieure

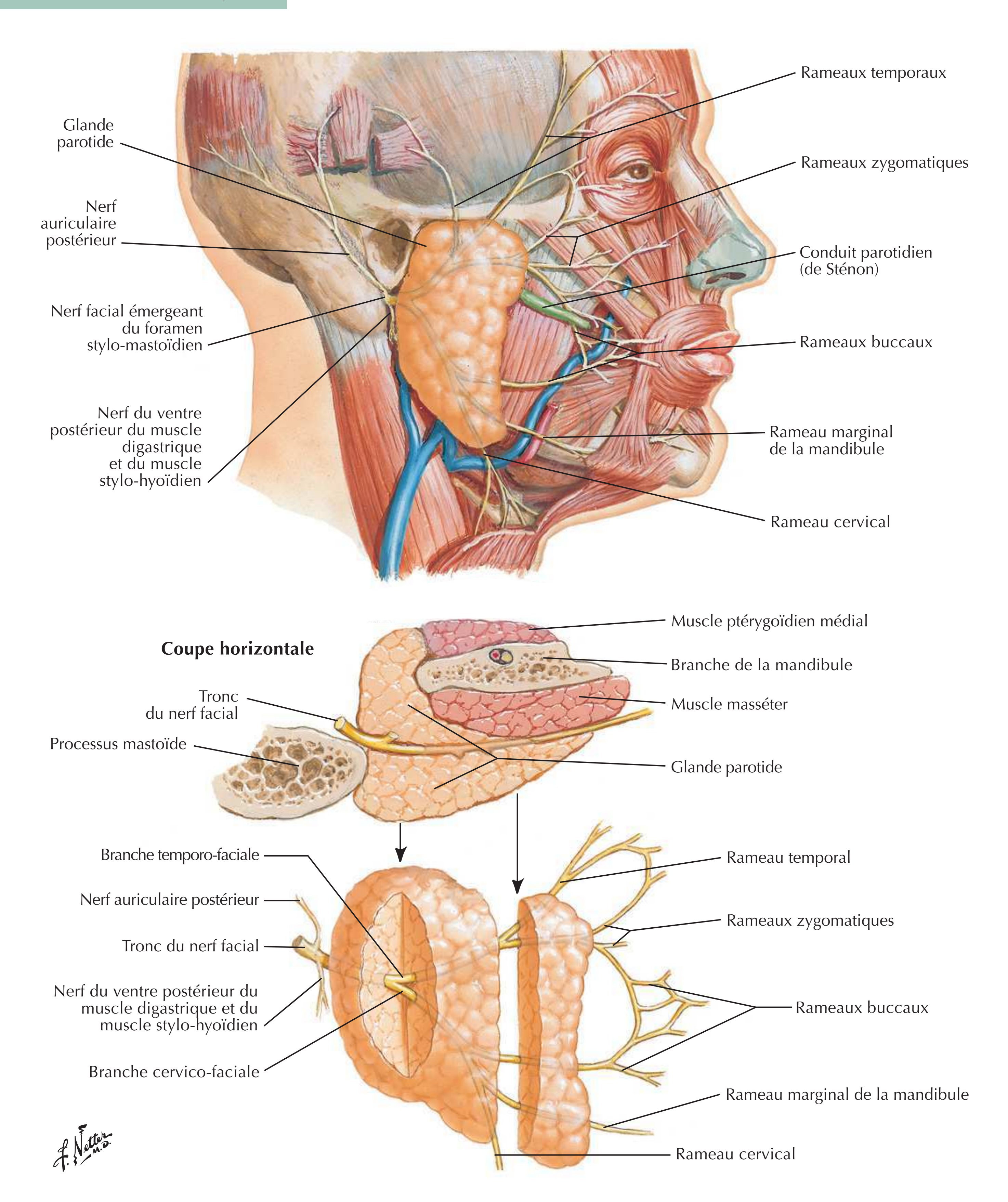
Ligaments profonds exposés après ablation de la membrane tectoriale : vue postérieure

Ligament cruciforme réséqué pour montrer les ligaments profonds : vue postérieure

Articulation atlanto-axoïdienne médiane : vue supérieure

Branches du nerf facial et glande parotide

Voir aussi **Planches 46, 124**



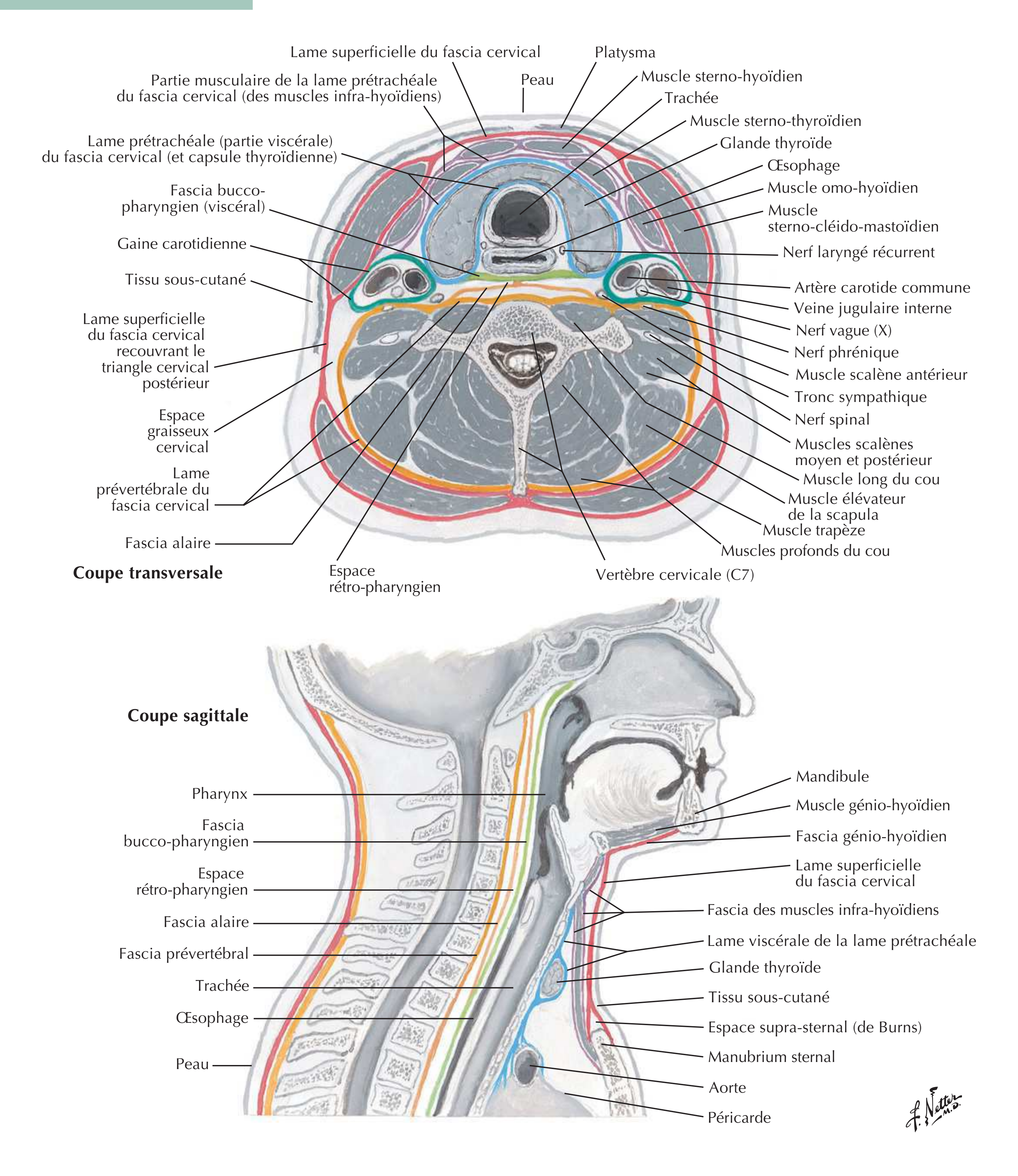
Voir aussi **Planches 48, 49**

Cuir chevelu
Peau et tissu sous-cutané
Galéa aponévrotique (aponévrose épicrânienne)
Muscle auriculaire antérieur
Fascia temporal
Muscle auriculaire supérieur
Muscle orbiculaire de l'œil
Partie orbitaire
Partie palpébrale
Muscle auriculaire postérieur
Ventre frontal du muscle occipito-frontal
Ventre occipital du muscle épicrânien (occipital)
Muscle corrugateur du sourcil (après résection partielle des muscles frontal et orbiculaire de l'œil)
Muscle procérus
Muscle élévateur de la lèvre supérieure
Muscle élévateur de la lèvre supérieure et de l'aile du nez (*en partie réséqué*)
Muscle nasal
Partie transverse
Partie alaire
Fascia parotidien
Muscle abaisseur du septum nasal
Fascia massétérique
Muscle orbiculaire de la bouche
Muscle petit zygomatique
Lame superficielle du fascia cervical
Muscle grand zygomatique
Muscle orbiculaire de la bouche
Muscle mentonnier
Modiolus *(région encerclée)*
Muscle abaisseur de la lèvre inférieure
Muscle abaisseur de l'angle de la bouche
Muscle buccinateur
Muscle risorius
Platysma
Sternum
Clavicule

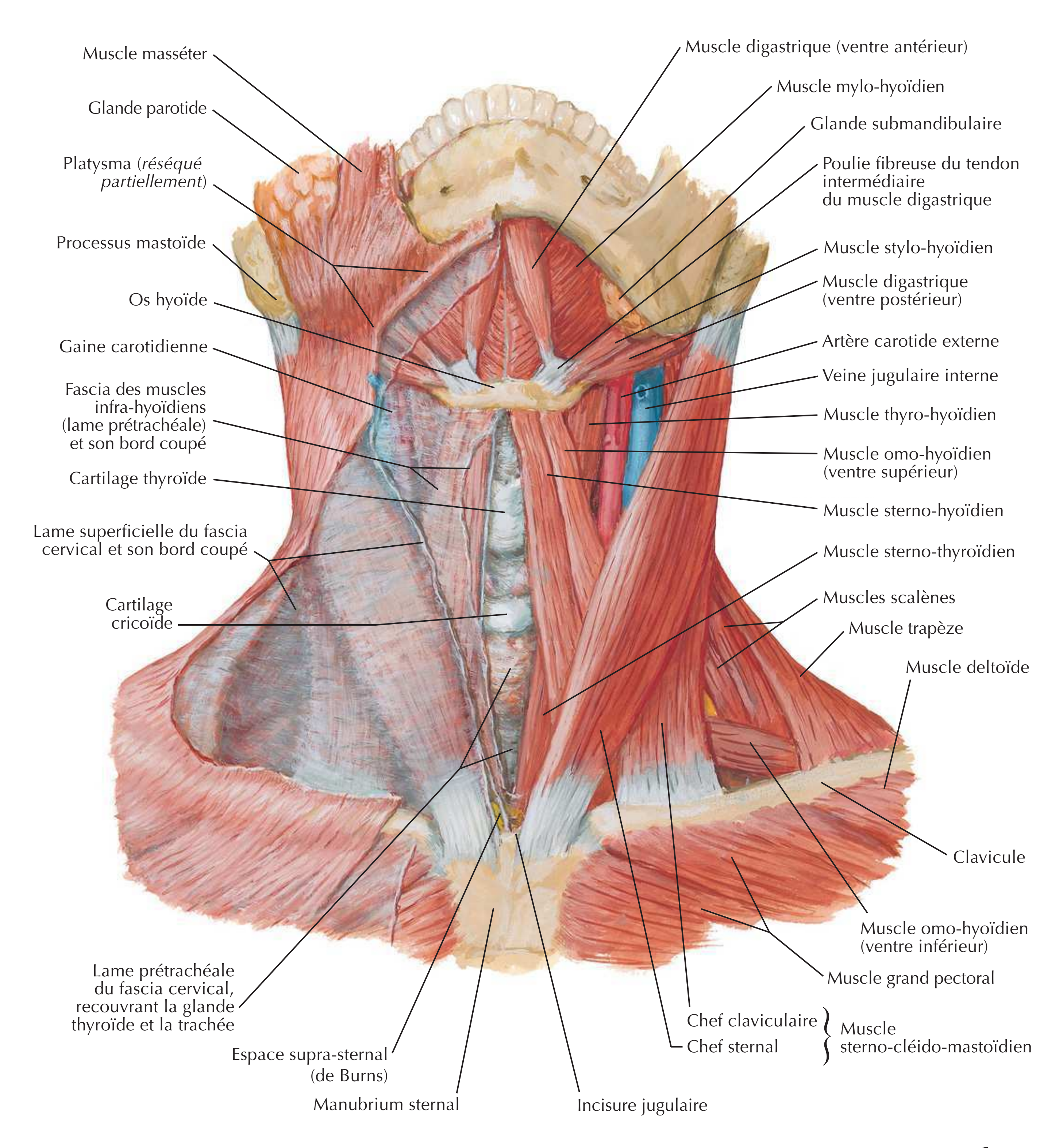
F. Netter M.D.

Fascias du cou

Voir aussi **Planche 27**

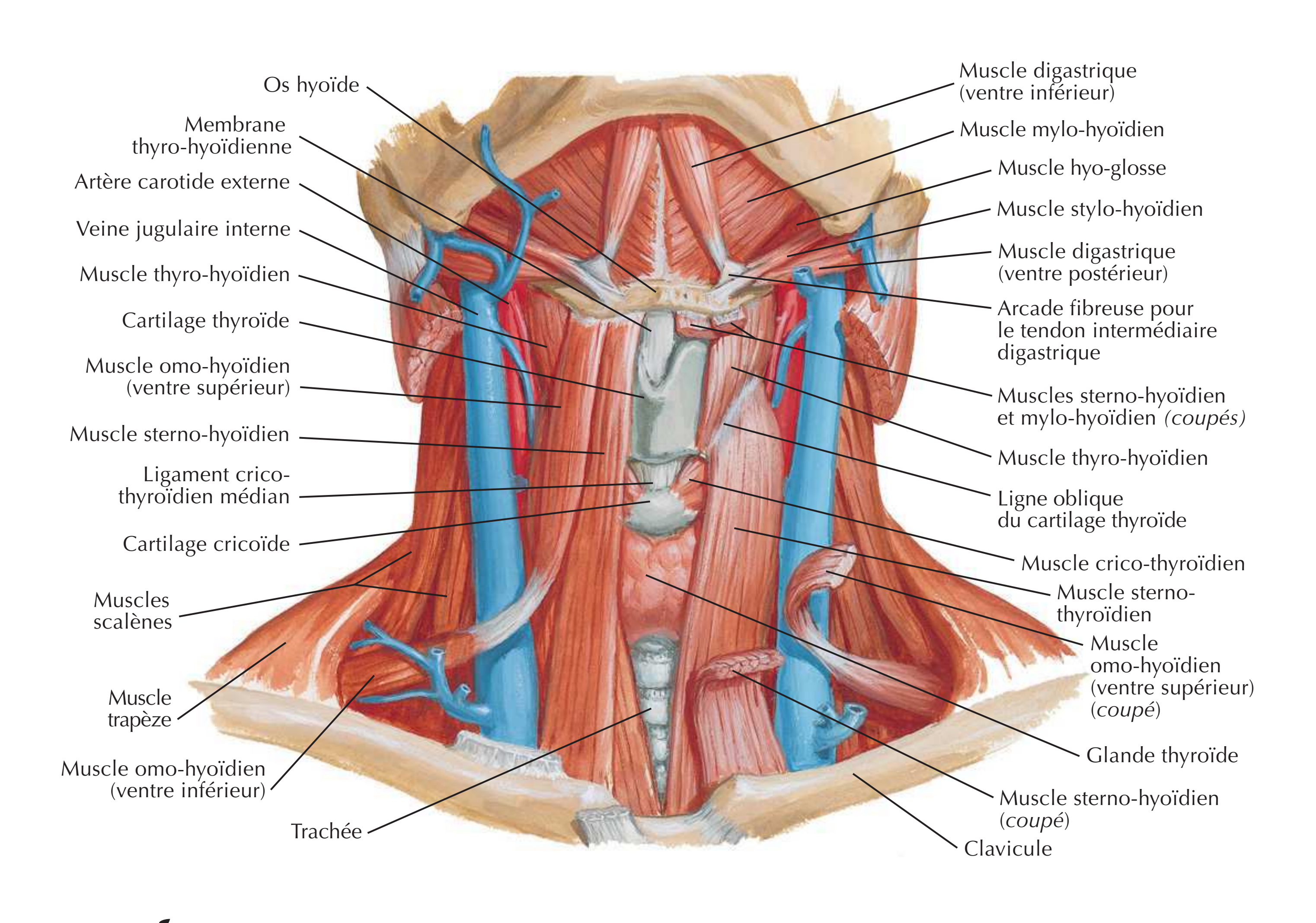


Voir aussi **Planches 26, 28, 31**

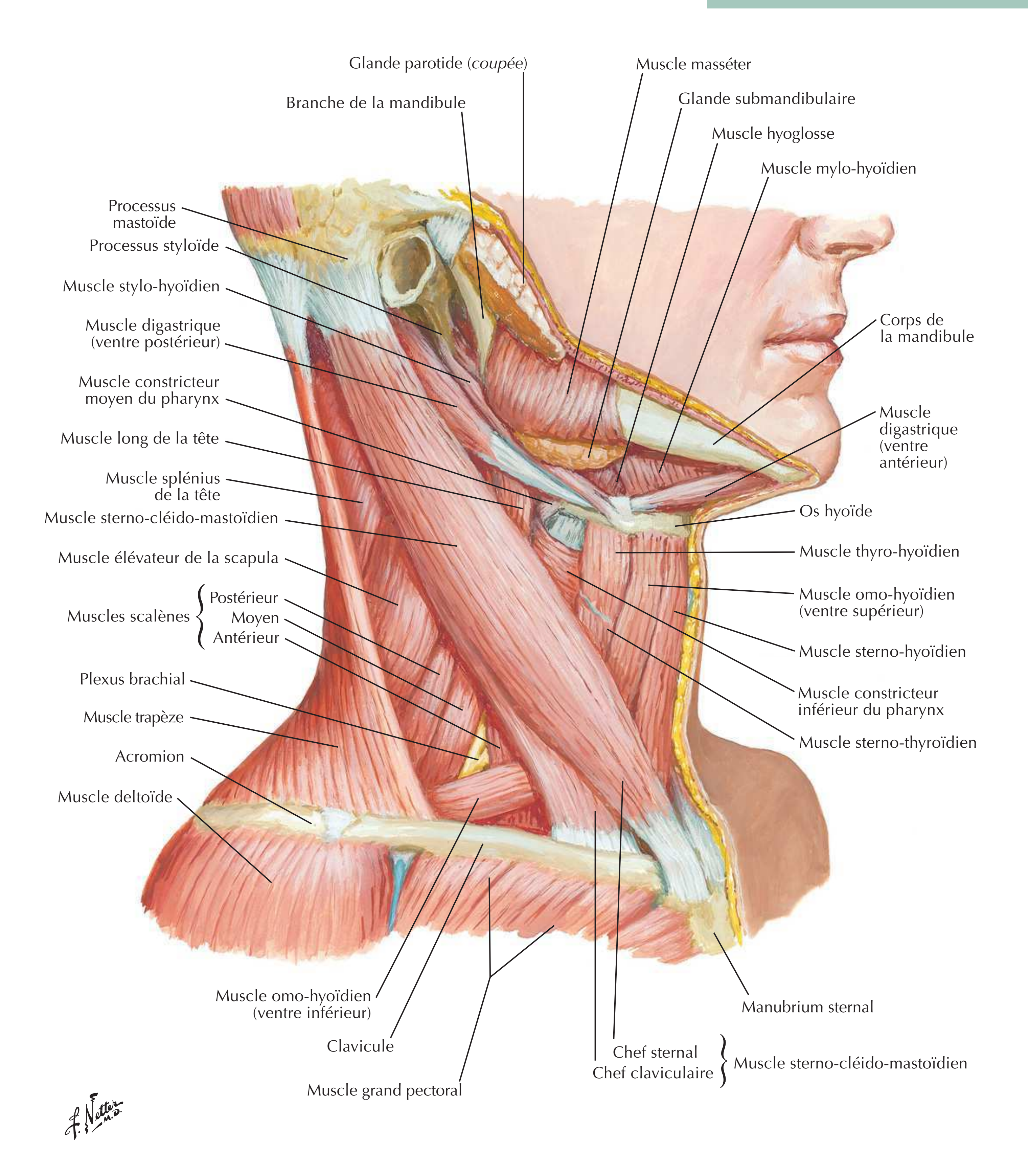


Muscles infra-hyoïdiens et supra-hyoïdiens

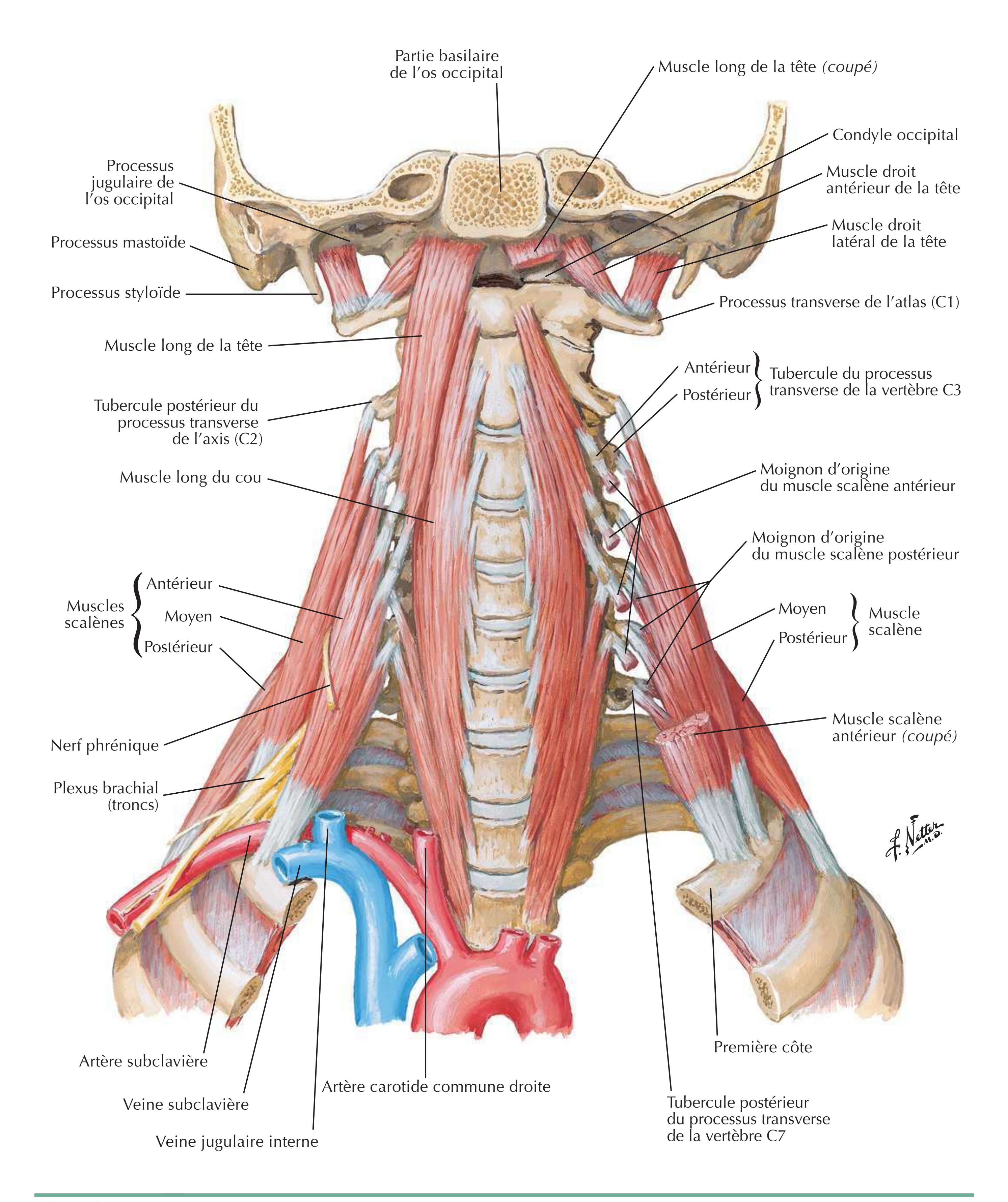
Voir aussi **Planches 27, 29, 58**



Voir aussi **Planches 27, 28, 31**



Muscles scalènes et prévertébraux



Veines superficielles et nerfs cutanés du cou

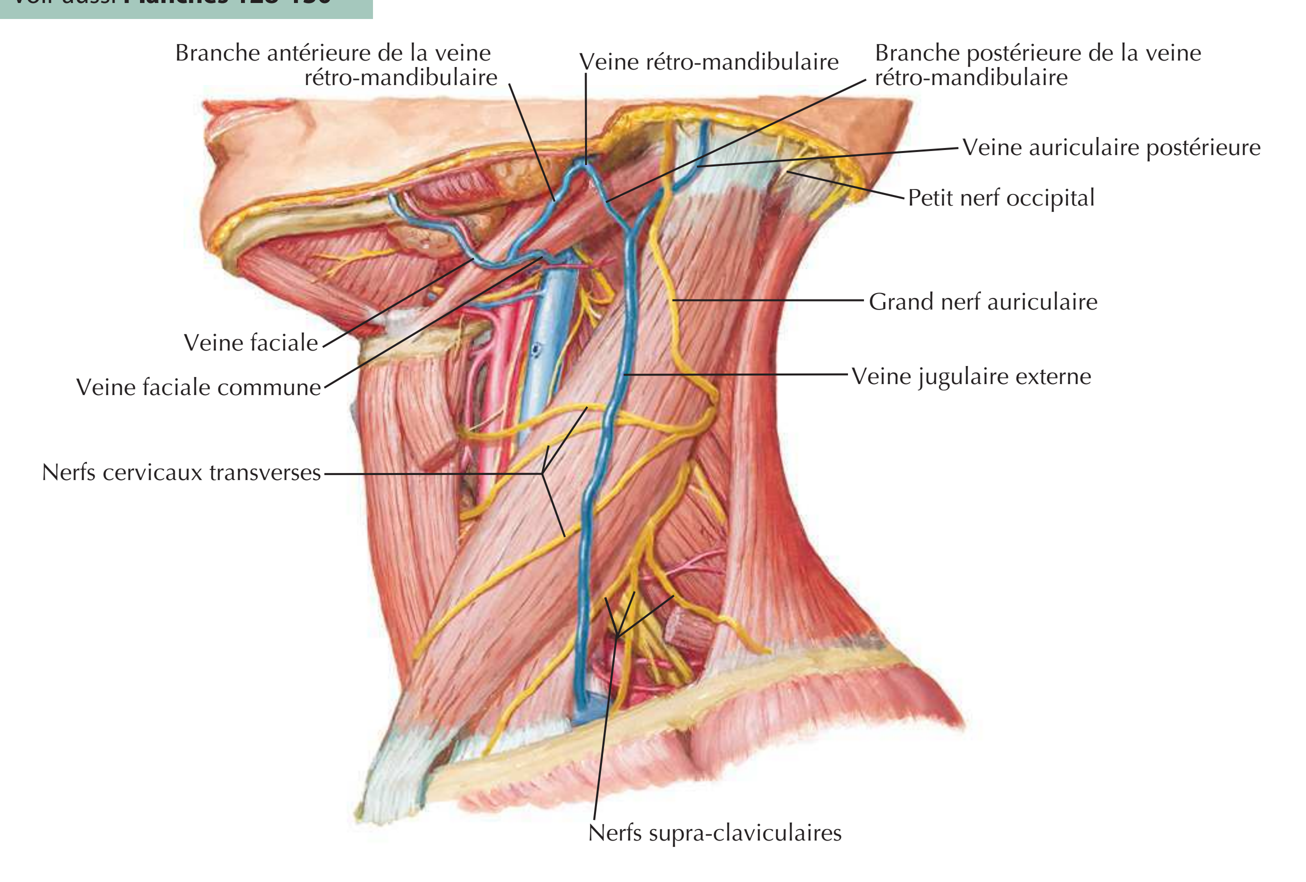
Pour les veines profondes du cou, voir **Planche 73**

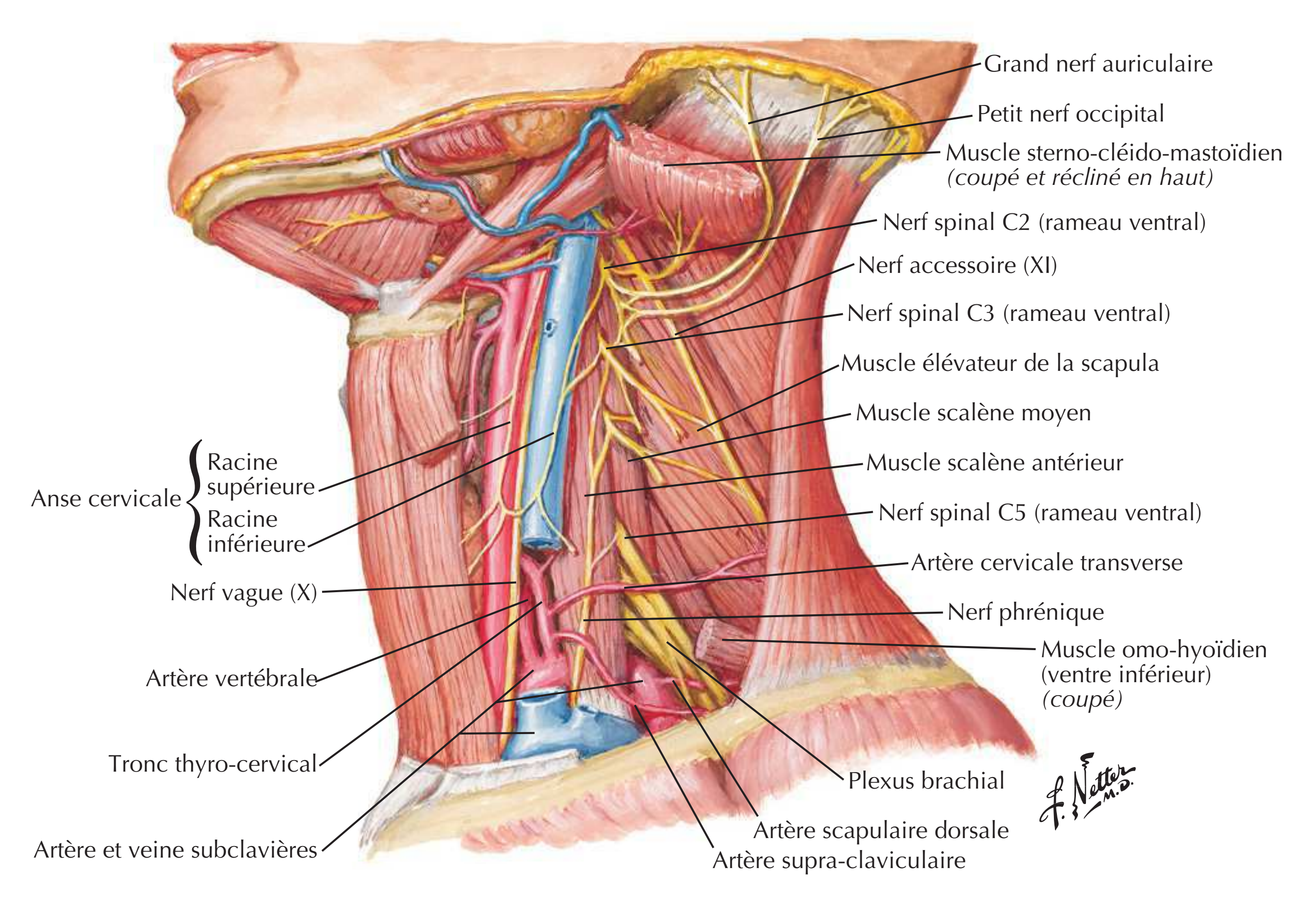
Veine submentonnière
Artère et veine faciales
Rameau marginal de la mandibule du nerf facial
Os hyoïde
Veine rétro-mandibulaire
Veine jugulaire interne
Veine jugulaire externe
Veine jugulaire antérieure
Anastomose veineuse
Nerf grand auriculaire
Cartilage thyroïde
Nerfs cervicaux transverses
Glande thyroïde
Muscle trapèze
Muscle platysma (*sectionné*)
Nerfs supra-claviculaires
Muscle sterno-cléido-mastoïdien
Veine thyroïdienne inférieure
Muscle sterno-thyroïdien
Muscle sterno-cléido-mastoïdien (*coupé*)
Clavicule
Muscle grand pectoral
Plexus brachial
Platysma (*coupé*)
Muscle digastrique (ventre antérieur)
Glande submandibulaire
Muscle mylo-hyoïdien
Glande parotide
Muscle omo-hyoïdien (*coupé*)
Artère carotide externe
Muscle thyro-hyoïdien
Muscle sterno-cléido-mastoïdien (*coupé*)
Artère et veine thyroïdiennes supérieures
Veine jugulaire interne
Artère carotide commune
Muscle sterno-hyoïdien
Muscle sterno-thyroïdien
Anse cervicale
Veine thyroïdienne moyenne
Muscle omo-hyoïdien (ventre supérieur) (*coupé*)
Nerf phrénique



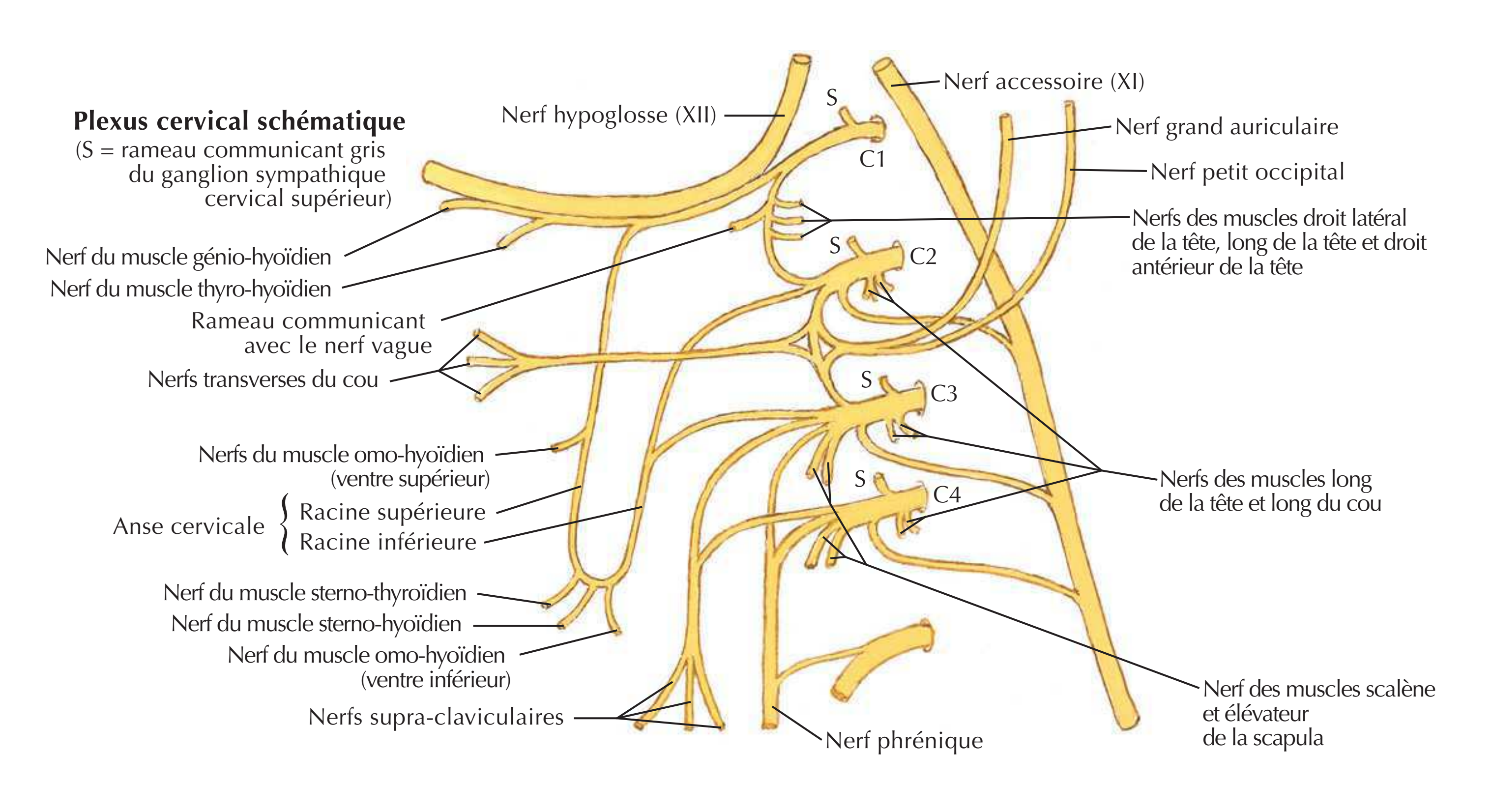
Nerfs et vaisseaux du cou

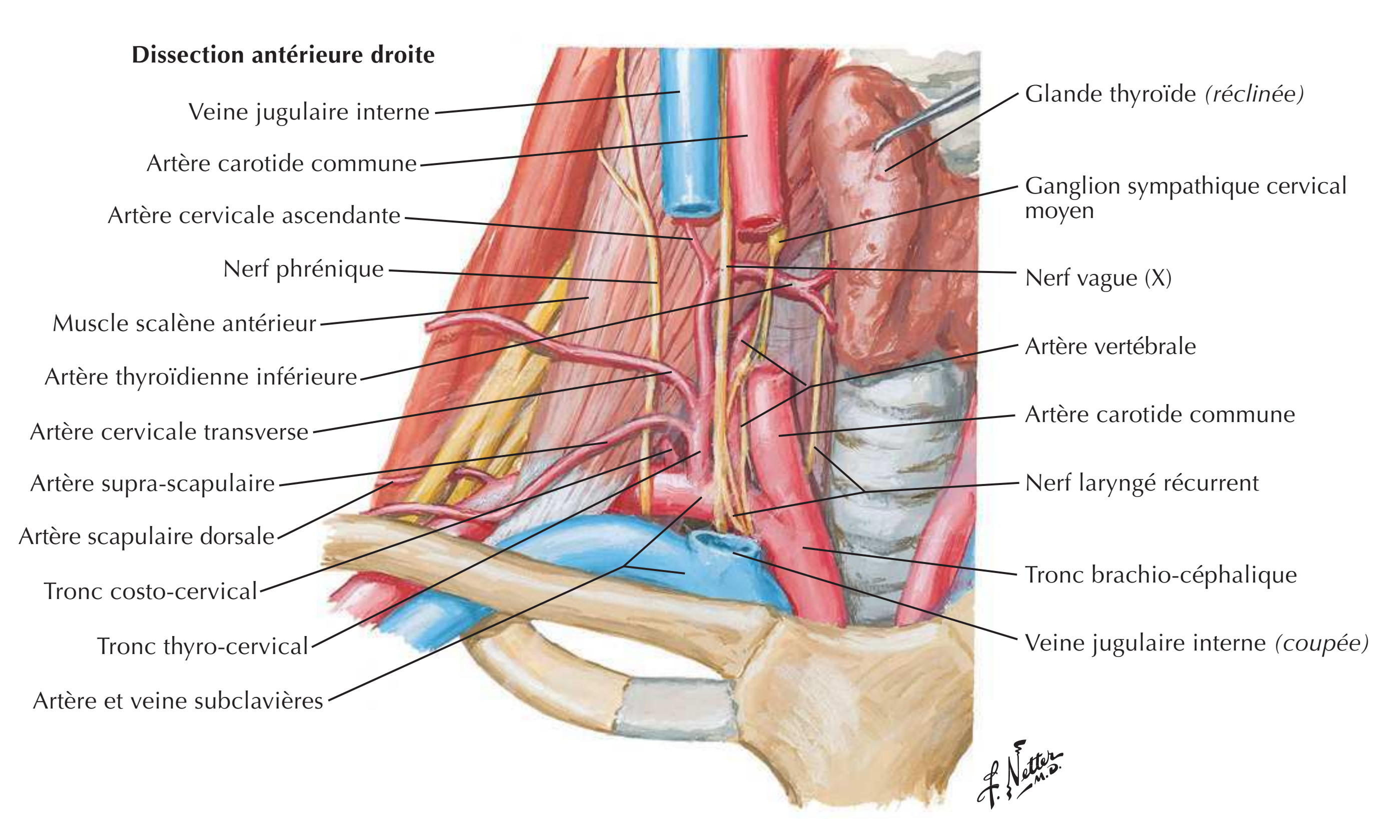
Voir aussi **Planches 128-130**





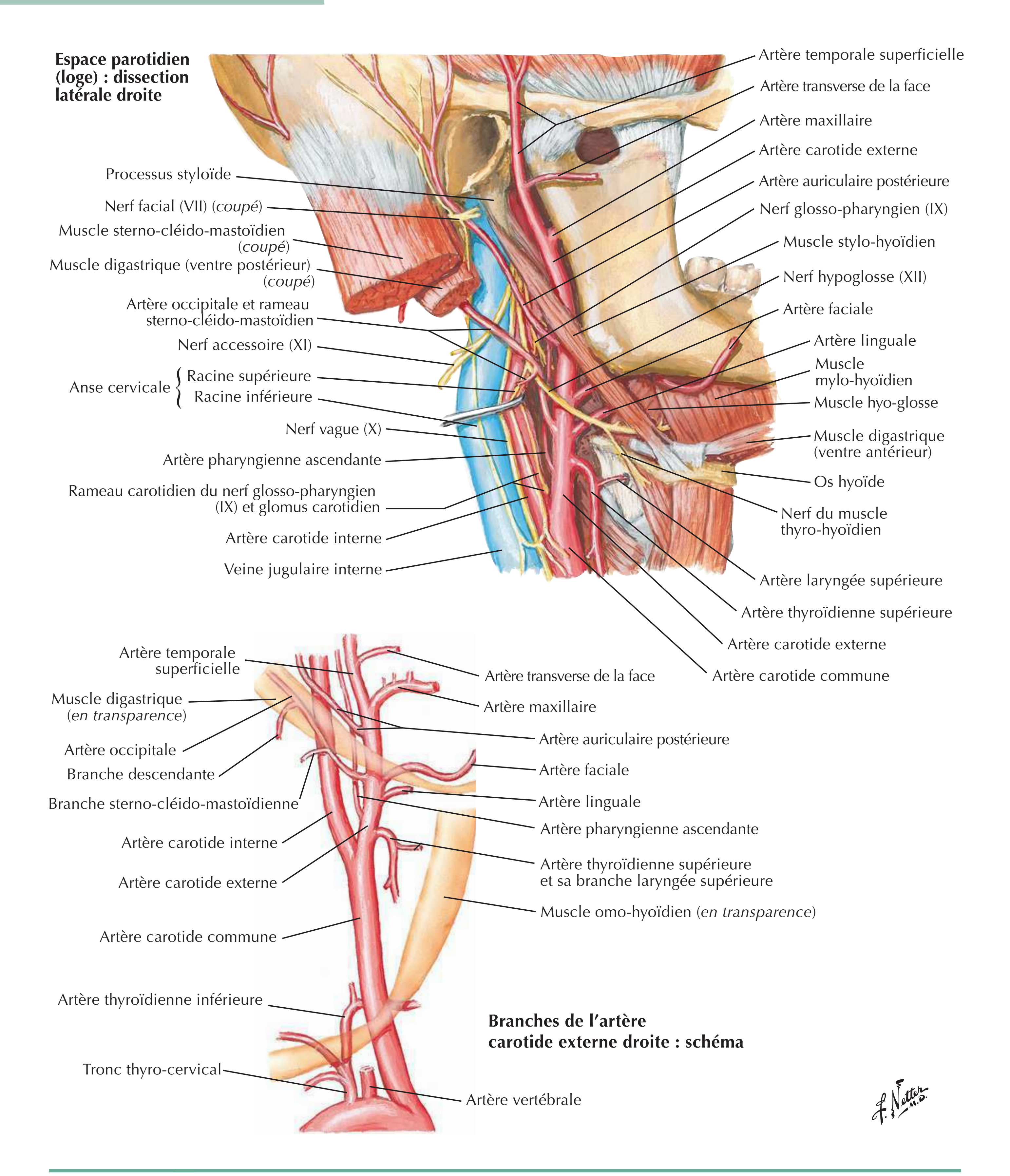
Voir aussi **Planche 130**





1 Artères carotides

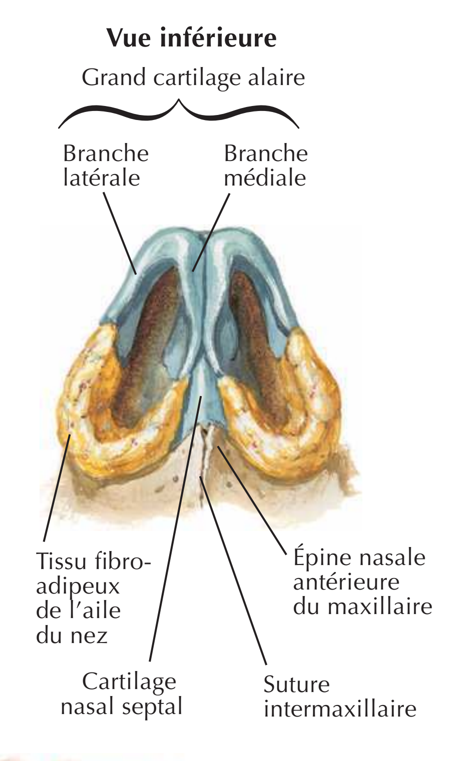
Voir aussi **Planches 3, 137, 139**

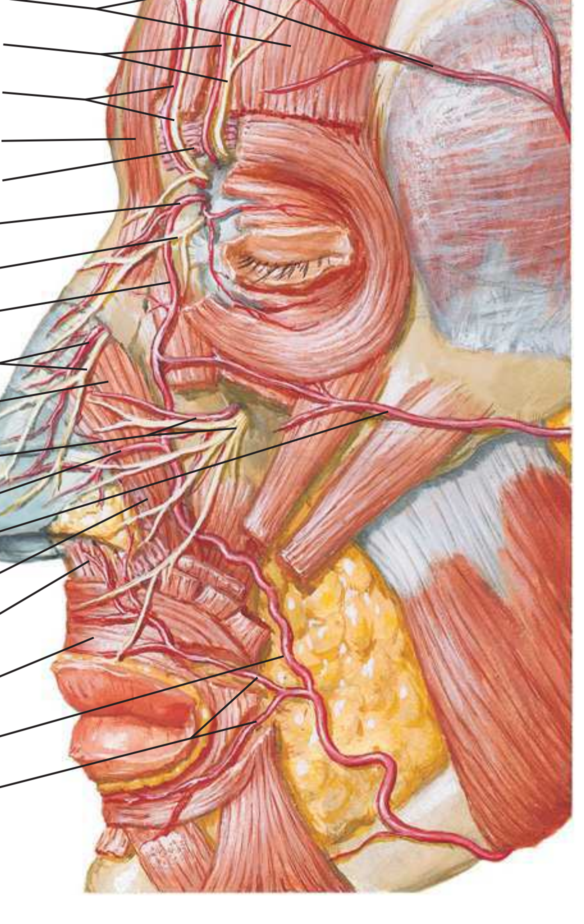


Vue antéro-latérale

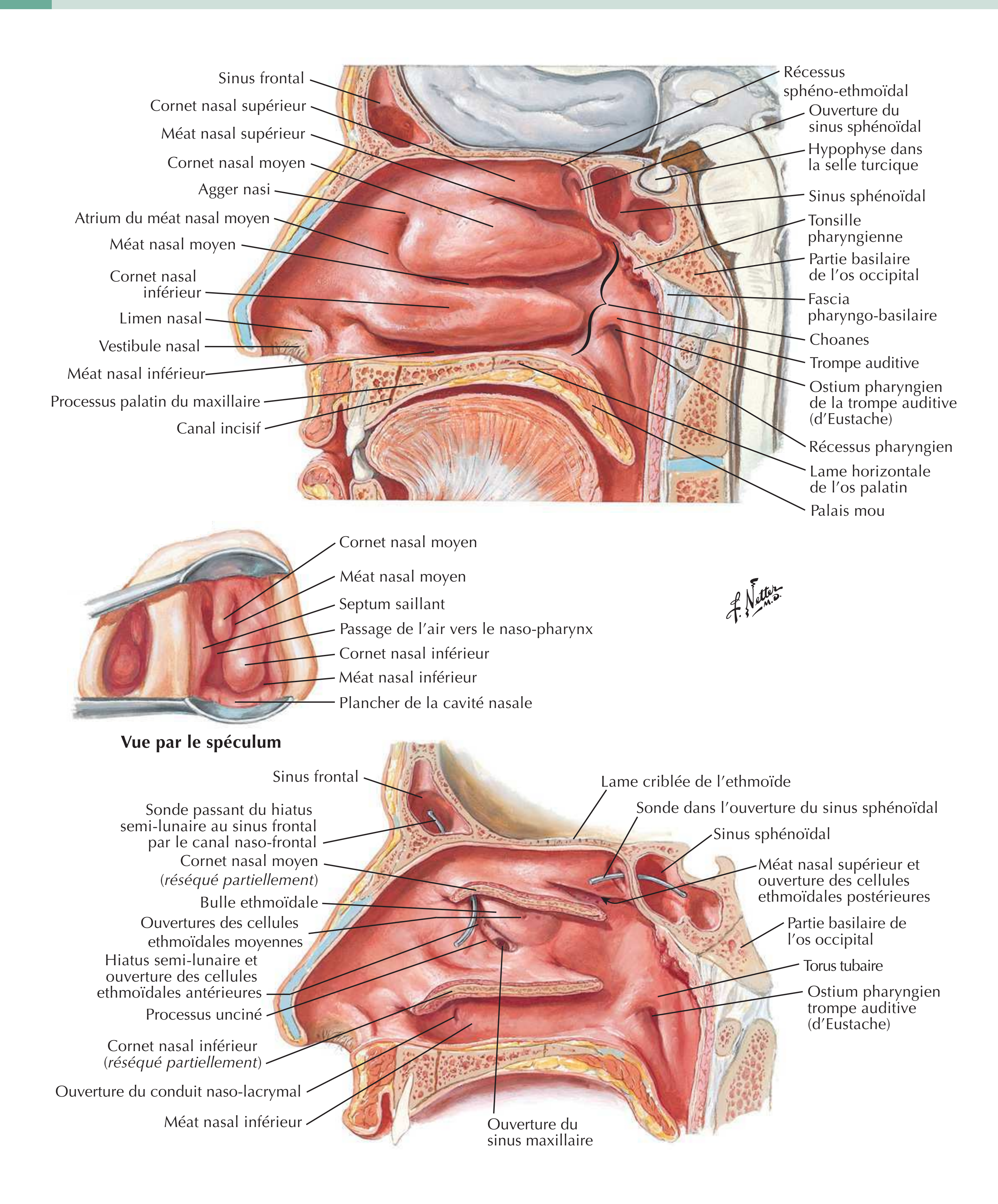
Os frontal
Os nasal
Processus frontal du maxillaire
Cartilages nasaux latéraux
Cartilage septal
Petit cartilage alaire
Cartilage nasal accessoire
Grand cartilage alaire { Branche latérale / Branche médiale }
Cartilage nasal septal
Épine nasale antérieure du maxillaire
Tissu fibro-adipeux de l'aile du nez
Foramen infra-orbitaire

Vue inférieure



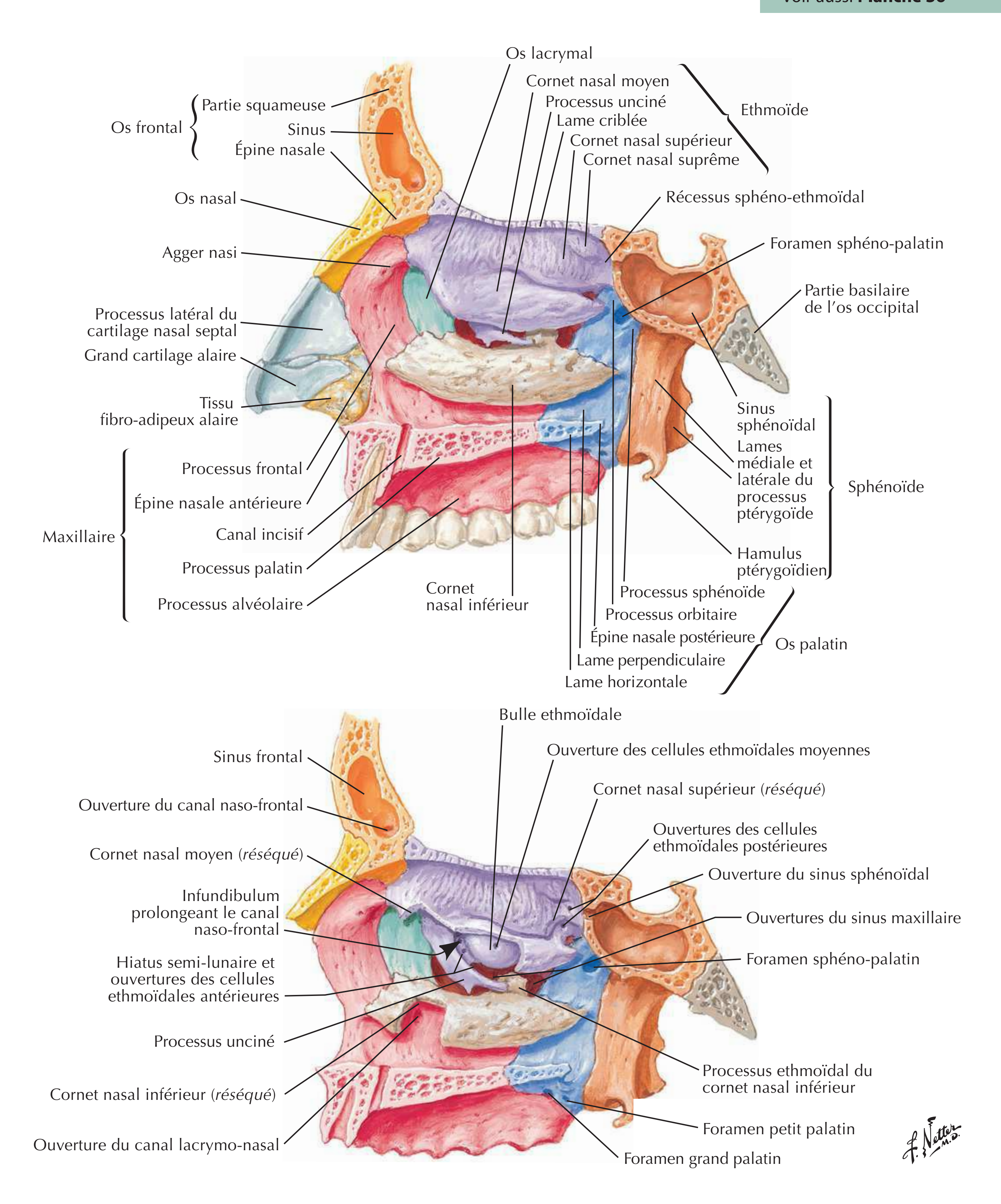


Paroi latérale de la cavité nasale



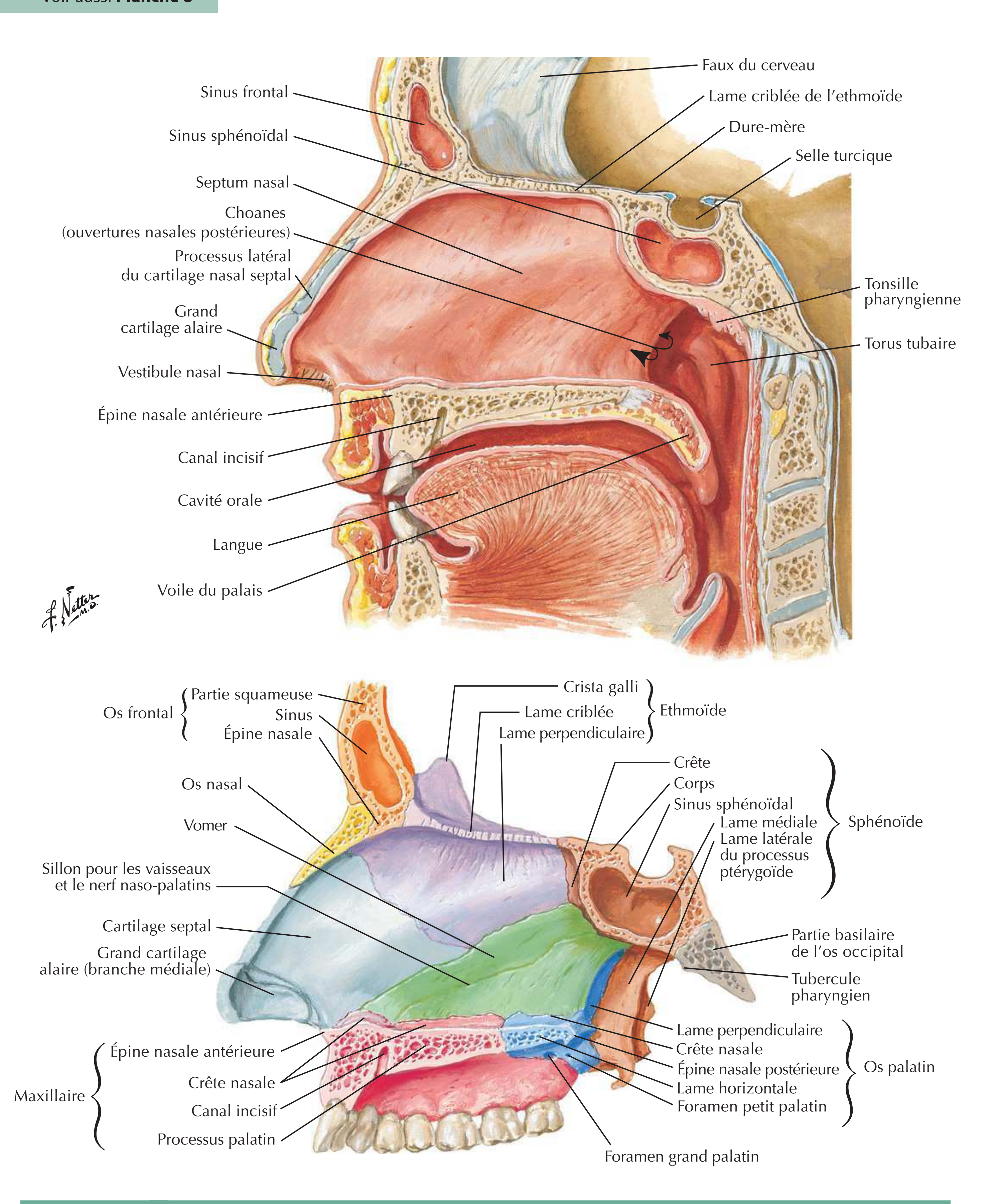
Vue par le spéculum

Voir aussi **Planche 36**

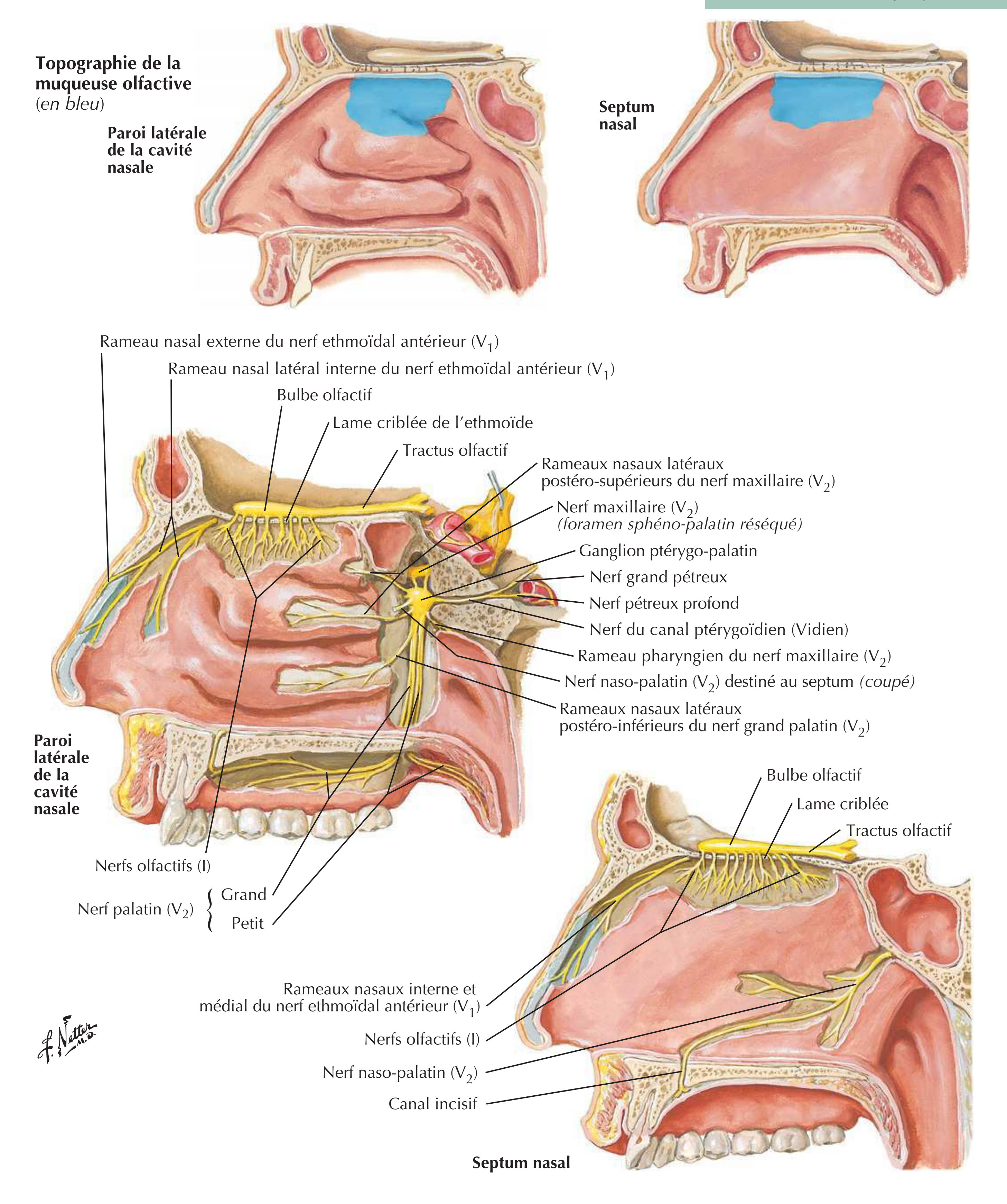


Paroi médiale de la cavité nasale (septum nasal)

Voir aussi **Planche 8**



Voir aussi **Planche 54, 62, 120**



Artères de la cavité nasale : septum nasal relevé

Voir aussi **Planche 57**

Branche du septum nasal de l'artère labiale supérieure (de l'artère faciale)

Septum nasal (*relevé*)

Anastomose entre le rameau septal de l'artère sphéno-palatine et l'artère grande palatine dans le canal incisif

Charnière schématique

Rameaux septal et nasal latéral de l'artère ethmoïdale postérieure

Rameau septal antérieur

Rameau nasal antéro-latéral

Rameau septal postérieur de l'artère sphéno-palatine

Rameau nasal externe de l'artère ethmoïdale antérieure

Artère sphéno-palatine

Foramen sphéno-palatin

Rameaux alaires de l'artère nasale latérale (de l'artère faciale)

Rameaux nasaux postéro-latéraux de l'artère sphéno-palatine

Artère maxillaire

Artère alvéolaire inférieure

Anastomose entre la branche septale inférieure de l'artère sphéno-palatine et l'artère grande palatine dans le canal incisif

Artère carotide externe

Foramen petit palatin et artère petite palatine

Artère grande palatine

Foramen grand palatin et artère grande palatine

Paroi latérale de la cavité nasale



Nerfs de la cavité nasale : septum nasal relevé

Voir aussi **Planche 52, 53**

Nerfs olfactifs (I)

Septum nasal (*relevé*)

Canal incisif

Charnière schématique

Rameau nasal interne médial

Nerf naso-palatin (V_2)

Rameau nasal
interne latéral

Rameau nasal
externe
du nerf
ethmoïdal
antérieur (V_1)

Foramen sphéno-palatin
(*réséqué*)

Rameaux
nasaux internes
du nerf infra-
orbitaire (V_2)

Ganglion ptérygo-palatin

Nerf du canal
ptérygoïdien (Vidien)

Rameaux nasaux latéraux supéro-
postérieurs du nerf maxillaire (V_2)

Nerfs grand et petit palatins (V_2)

Rameau nasal
du nerf alvéolaire
supéro-antérieur (V_2)

Rameaux nasaux latéraux inféro-
postérieurs du nerf grand palatin (V_2)

Nerfs petits palatins (V_2)

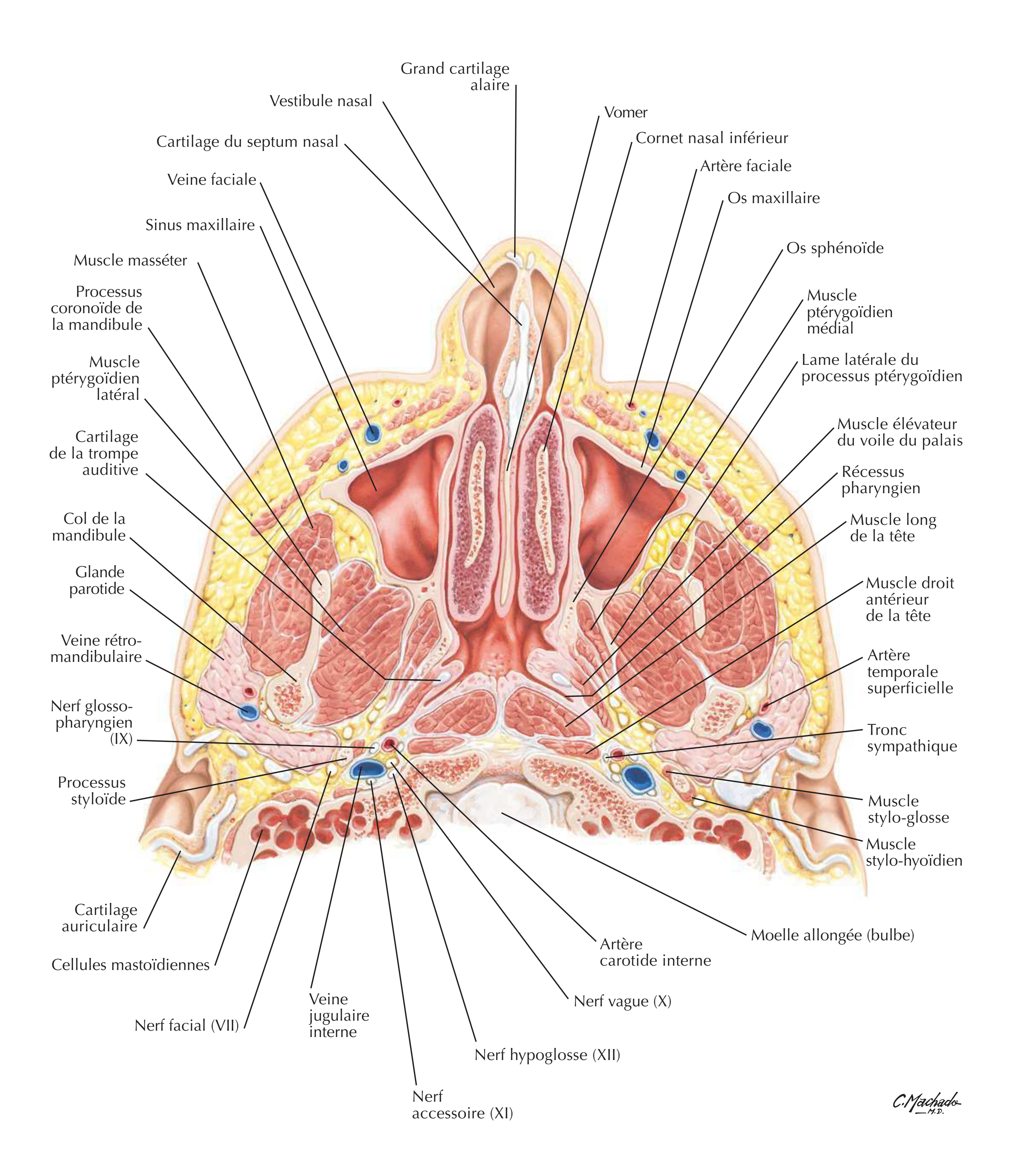
Anastomose entre les nerfs
grand palatin et naso-palatin
dans le canal incisif

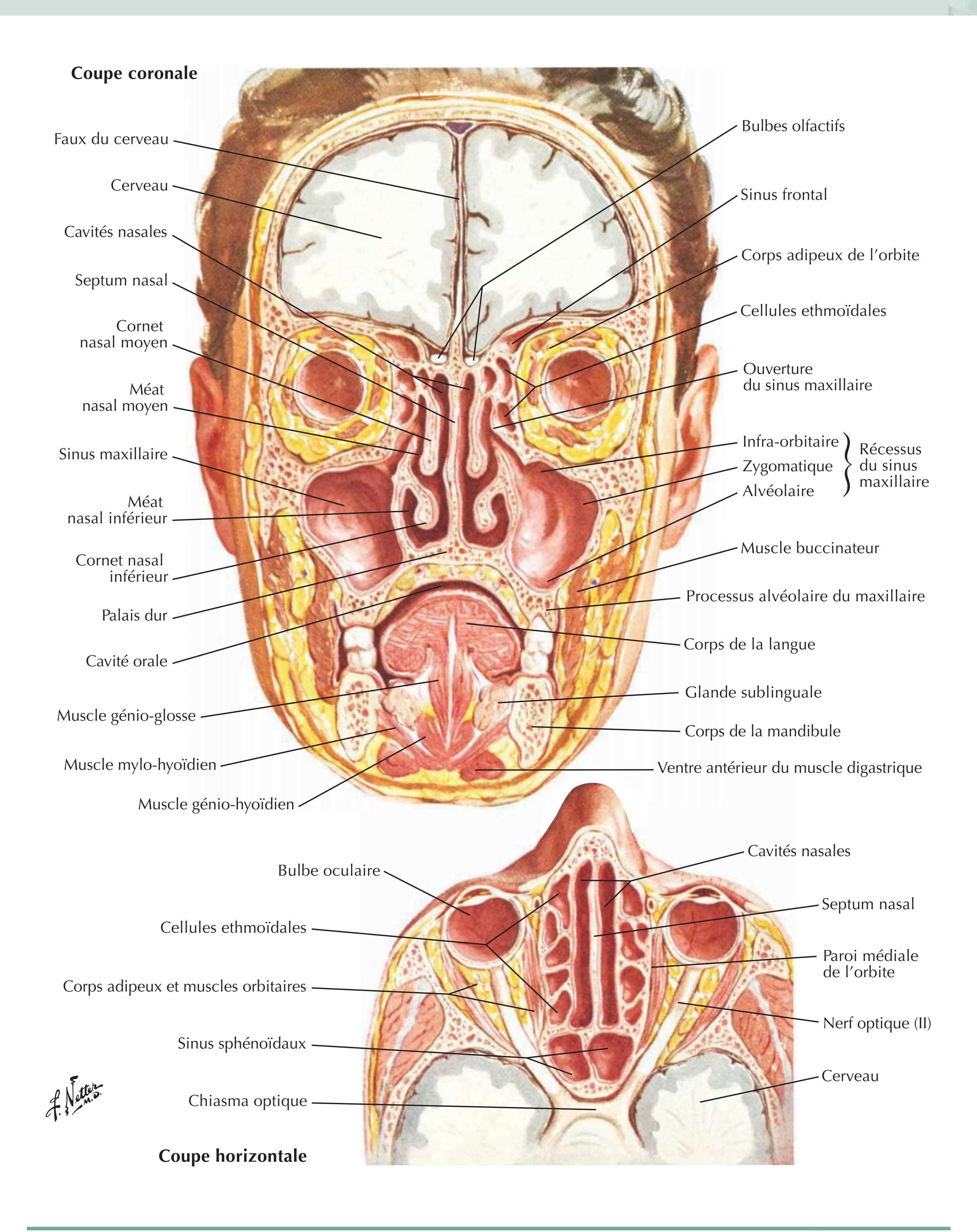
Nerf grand palatin (V_2)

Paroi latérale de la cavité nasale



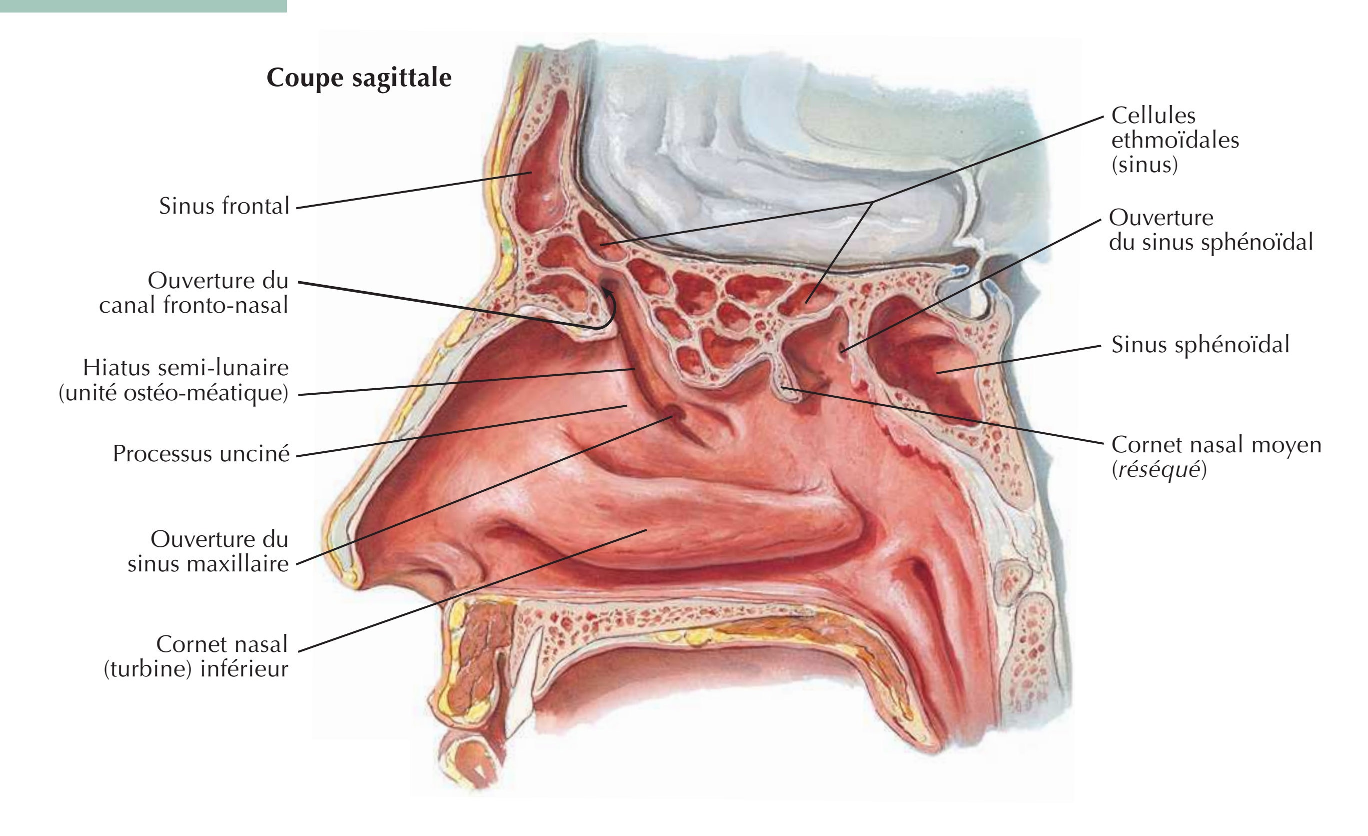
Nez et sinus maxillaire : coupe transversale

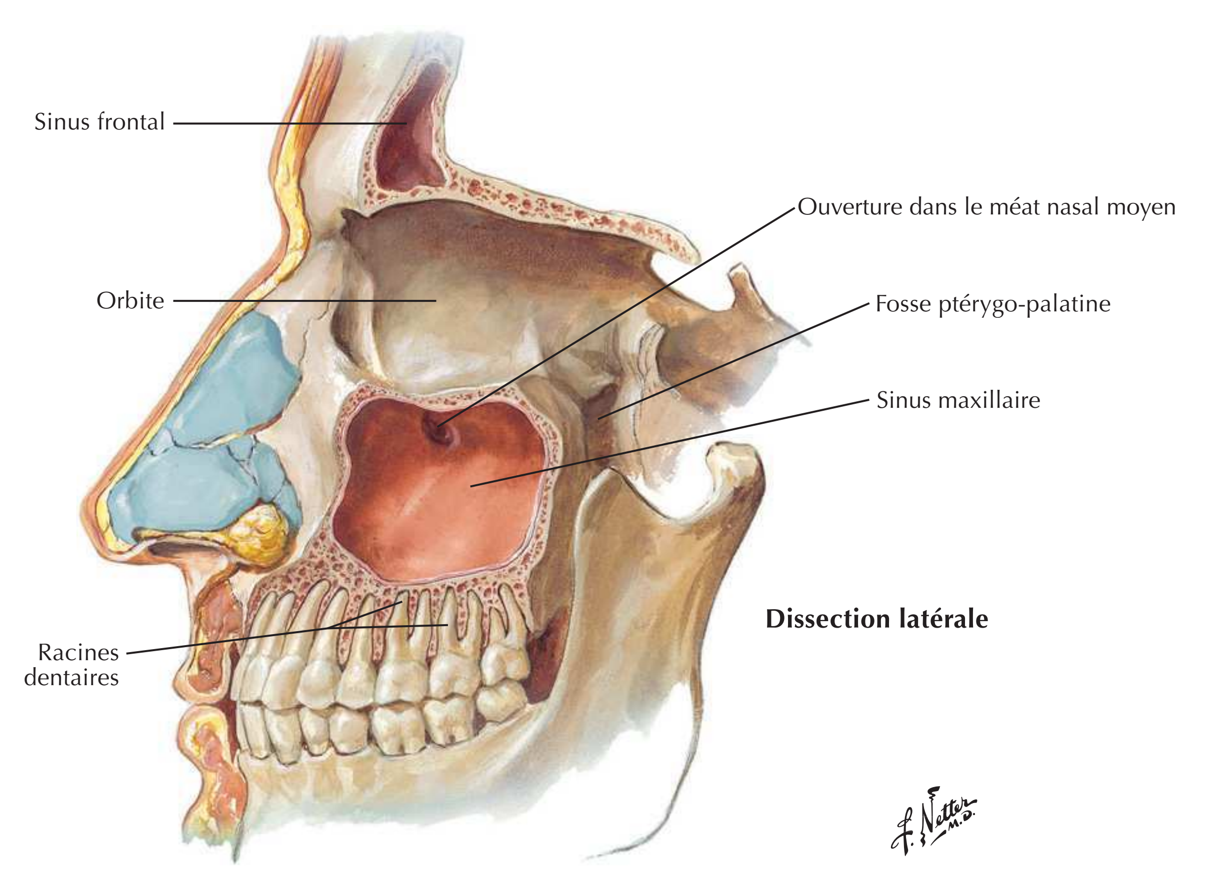



Coupe coronale
Faux du cerveau
Cerveau
Cavités nasales
Septum nasal
Cornet nasal moyen
Méat nasal moyen
Sinus maxillaire
Méat nasal inférieur
Cornet nasal inférieur
Palais dur
Cavité orale
Muscle génio-glosse
Muscle mylo-hyoïdien
Muscle génio-hyoïdien
Bulbes olfactifs
Sinus frontal
Corps adipeux de l'orbite
Cellules ethmoïdales
Ouverture du sinus maxillaire
Infra-orbitaire
Zygomatique
Alvéolaire
Récessus du sinus maxillaire
Muscle buccinateur
Processus alvéolaire du maxillaire
Corps de la langue
Glande sublinguale
Corps de la mandibule
Ventre antérieur du muscle digastrique
Bulbe oculaire
Cellules ethmoïdales
Corps adipeux et muscles orbitaires
Sinus sphénoïdaux
Chiasma optique
Cavités nasales
Septum nasal
Paroi médiale de l'orbite
Nerf optique (II)
Cerveau
F. Netter M.D.
Coupe horizontale

Sinus paranasaux (suite)

Voir aussi **Planche 52**





Os de la cavité nasale et sinus paranasaux à la naissance

Le sinus représente une ou plusieurs cellules ethmoïdales antérieures s'ouvrant dans le hiatus semi-lunaire du méat nasal moyen

Le sinus représente une ou plusieurs cellules ethmoïdales moyennes s'ouvrant dans le méat nasal moyen

Les sinus représentent deux ou plusieurs cellules ethmoïdales postérieures s'ouvrant dans le méat nasal supérieur

Sinus sphénoïdal (avec résection du cornet sphénoïdal) situé dans la partie antérieure et latérale du corps du sphénoïde (le pointillé indique le sinus latéral)

Partie du conduit lacrymo-nasal dérivée de la partie profonde du sillon naso-optique

Os nasal

Os lacrymal

Foramen lacrymo-nasal (devient canal osseux)

Partie du conduit lacrymo-nasal dans la cavité nasale avec son ouverture dans le méat nasal inférieur

Maxillaire

Processus unciné de l'ethmoïde

Hiatus semi-lunaire

Corps du sphénoïde

Fosse hypophysaire

Reliquat vestigial du saccule hypophysaire (poche de Rathke)

Lame médiale du processus ptérygoïde

Bord inférieur du cornet nasal suprême

Bord inférieur du cornet nasal supérieur

Méat nasal supérieur

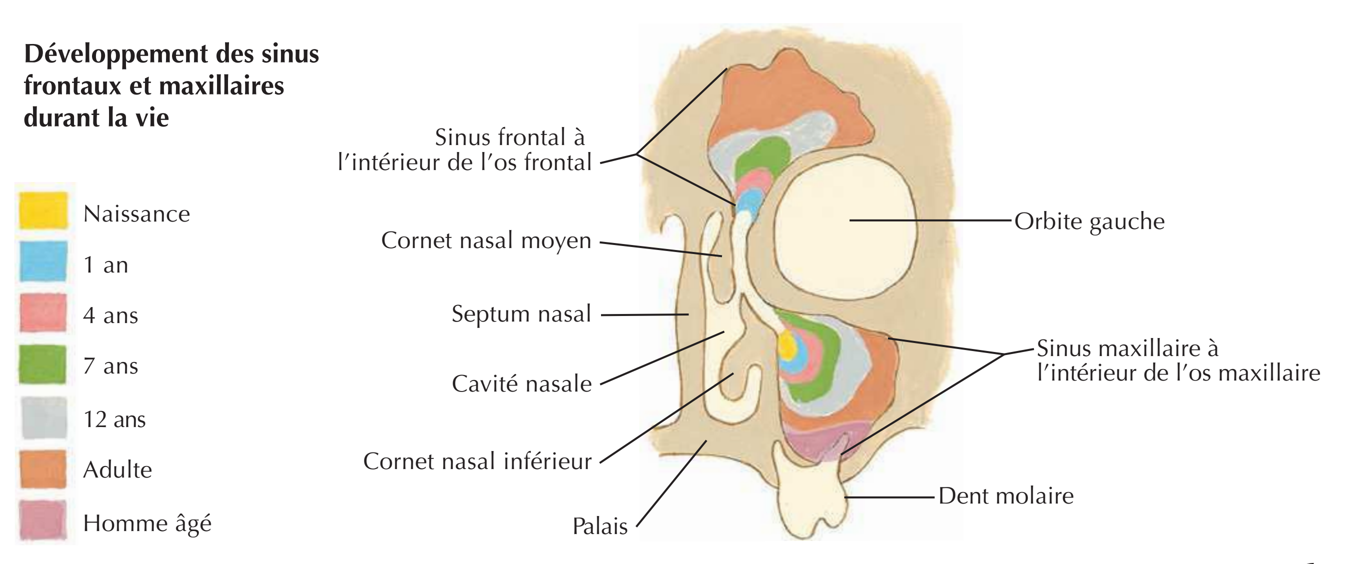
Cornet nasal moyen (*réséqué*) (le cornet nasal inférieur étant entièrement réséqué)

Os palatin

Hamulus ptérygoïdien

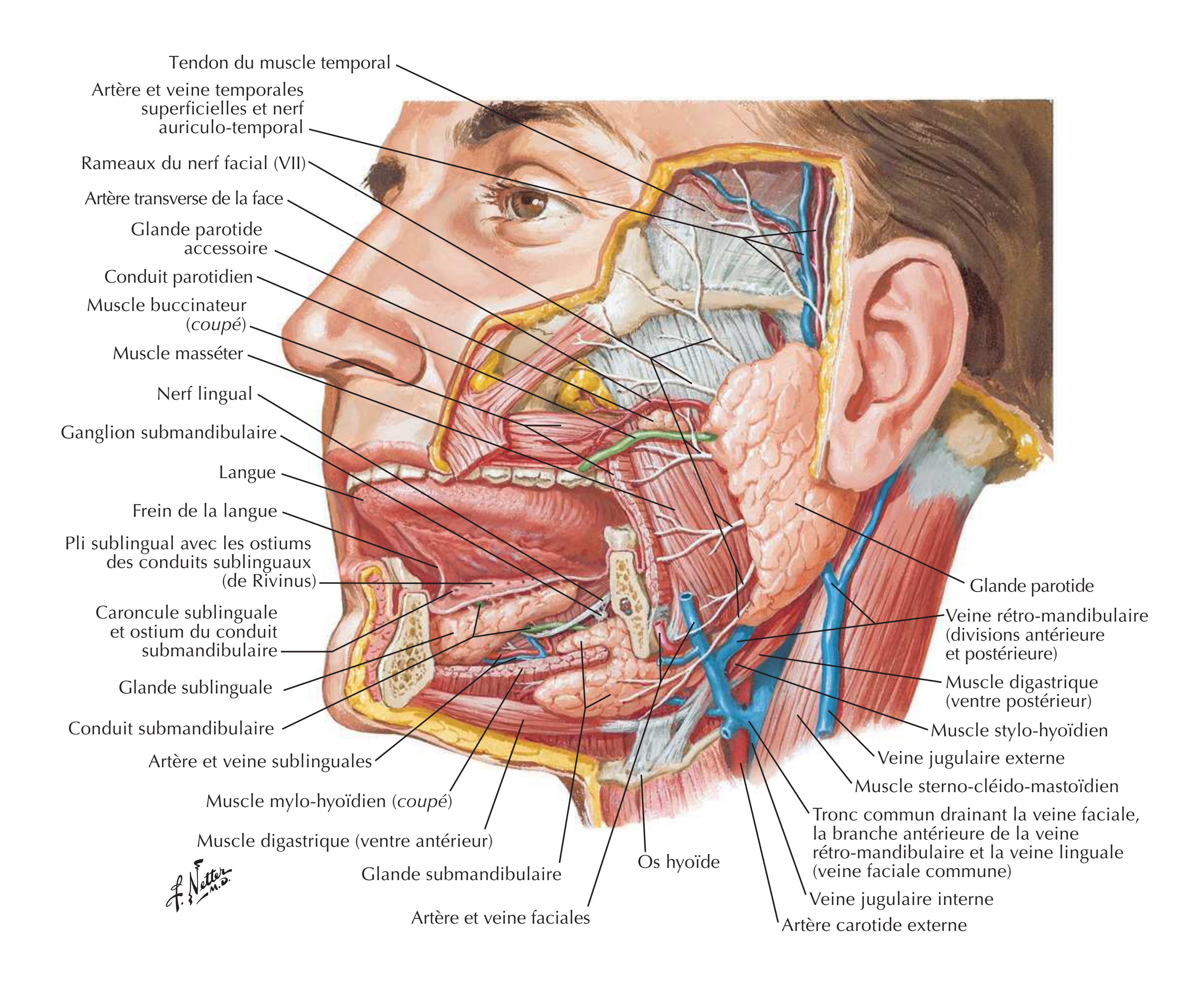
Sinus maxillaire avec une ouverture dans le hiatus semi-lunaire (l'aire découverte représente la membrane qui forme l'essentiel de la paroi médiale du sinus)

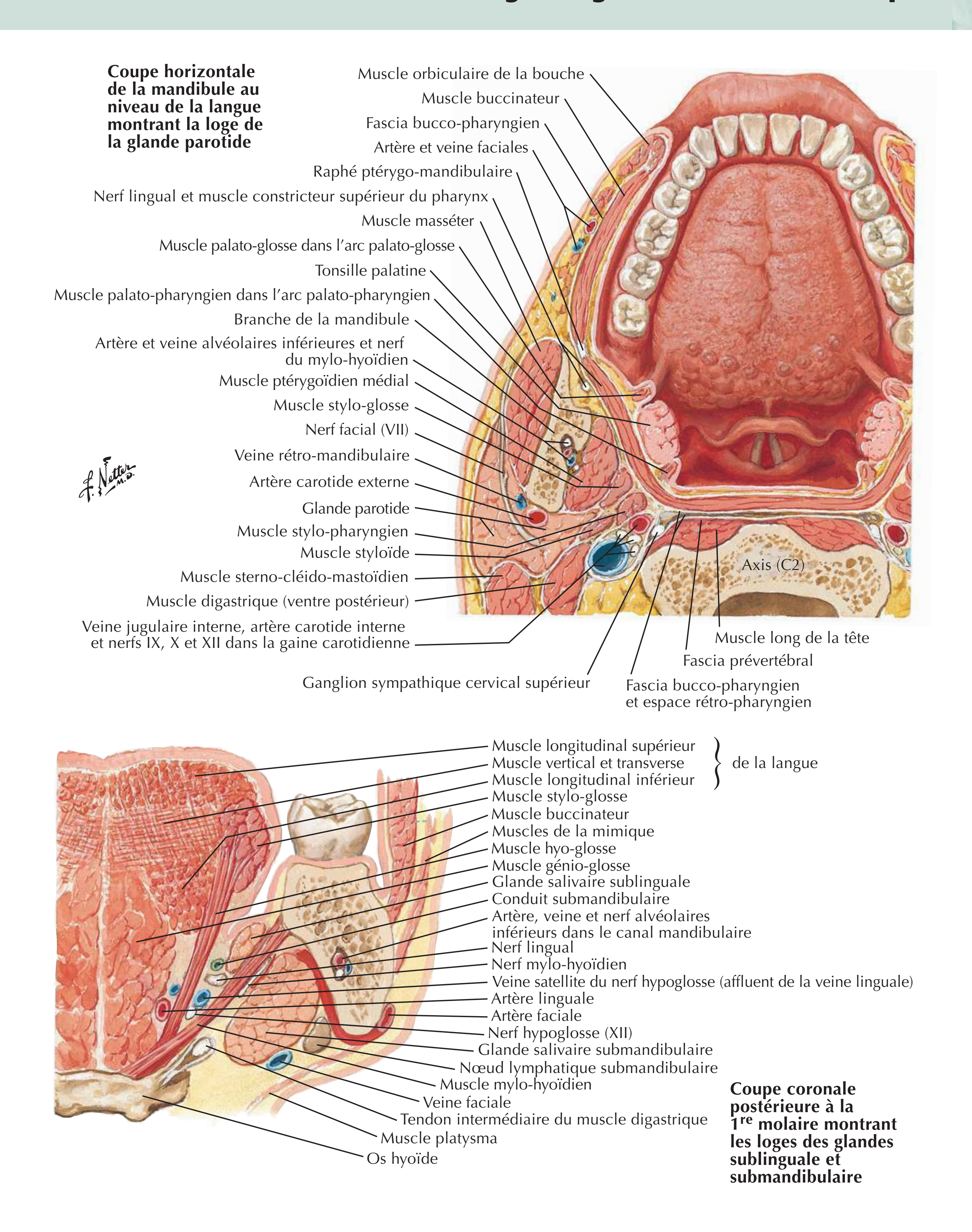
Développement des sinus frontaux et maxillaires durant la vie



Glandes salivaires

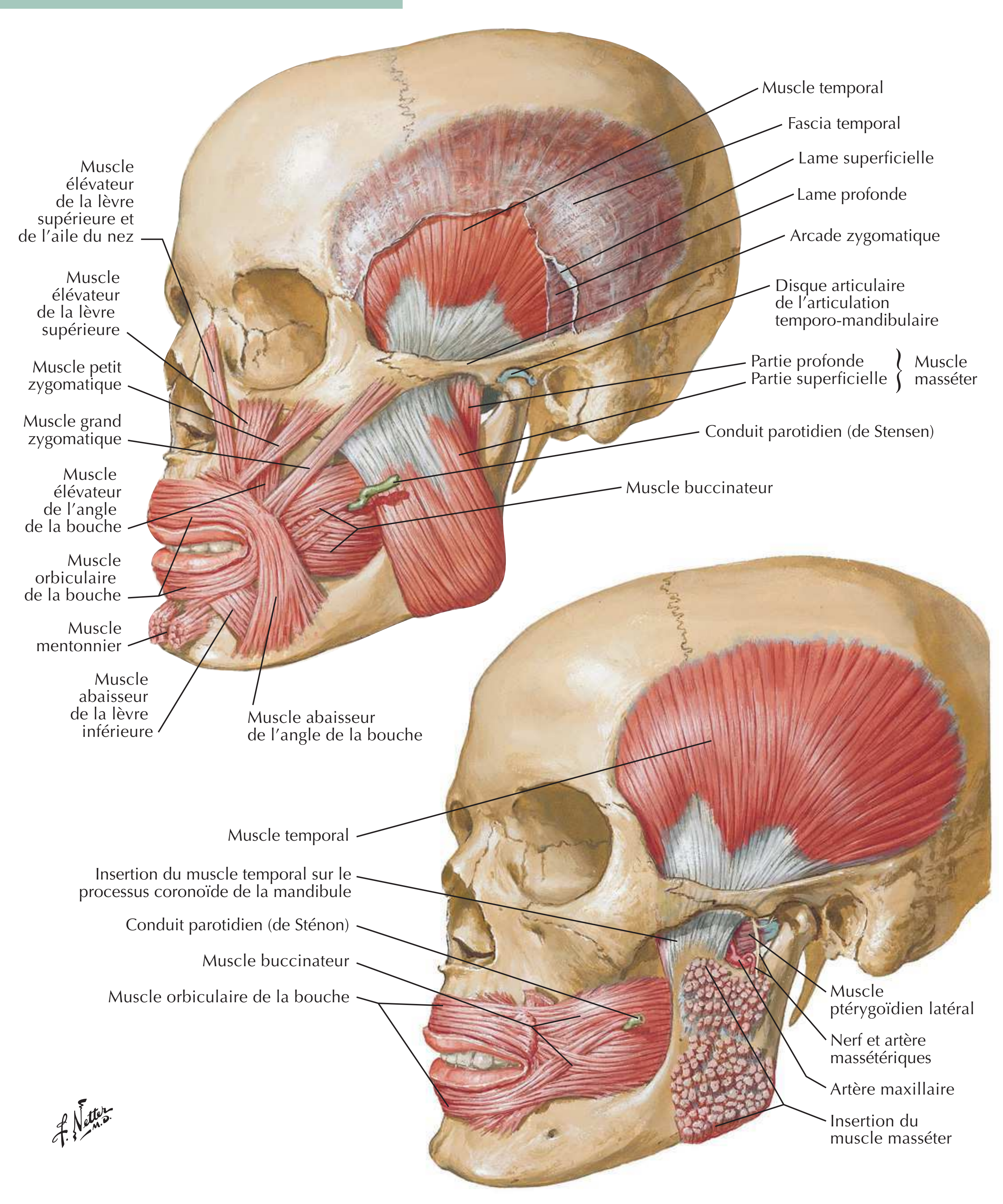
Voir aussi **Planche 24, 134, 135**




Coupe horizontale de la mandibule au niveau de la langue montrant la loge de la glande parotide
Muscle orbiculaire de la bouche
Muscle buccinateur
Fascia bucco-pharyngien
Artère et veine faciales
Raphé ptérygo-mandibulaire
Nerf lingual et muscle constricteur supérieur du pharynx
Muscle masséter
Muscle palato-glosse dans l'arc palato-glosse
Tonsille palatine
Muscle palato-pharyngien dans l'arc palato-pharyngien
Branche de la mandibule
Artère et veine alvéolaires inférieures et nerf du mylo-hyoïdien
Muscle ptérygoïdien médial
Muscle stylo-glosse
Nerf facial (VII)
Veine rétro-mandibulaire
Artère carotide externe
Glande parotide
Muscle stylo-pharyngien
Muscle styloïde
Muscle sterno-cléido-mastoïdien
Muscle digastrique (ventre postérieur)
Veine jugulaire interne, artère carotide interne et nerfs IX, X et XII dans la gaine carotidienne
Ganglion sympathique cervical supérieur
Axis (C2)
Muscle long de la tête
Fascia prévertébral
Fascia bucco-pharyngien et espace rétro-pharyngien
Muscle longitudinal supérieur
Muscle vertical et transverse
Muscle longitudinal inférieur
de la langue
Muscle stylo-glosse
Muscle buccinateur
Muscles de la mimique
Muscle hyo-glosse
Muscle génio-glosse
Glande salivaire sublinguale
Conduit submandibulaire
Artère, veine et nerf alvéolaires inférieurs dans le canal mandibulaire
Nerf lingual
Nerf mylo-hyoïdien
Veine satellite du nerf hypoglosse (affluent de la veine linguale)
Artère linguale
Artère faciale
Nerf hypoglosse (XII)
Glande salivaire submandibulaire
Nœud lymphatique submandibulaire
Muscle mylo-hyoïdien
Veine faciale
Tendon intermédiaire du muscle digastrique
Muscle platysma
Os hyoïde
Coupe coronale postérieure à la 1re molaire montrant les loges des glandes sublinguale et submandibulaire

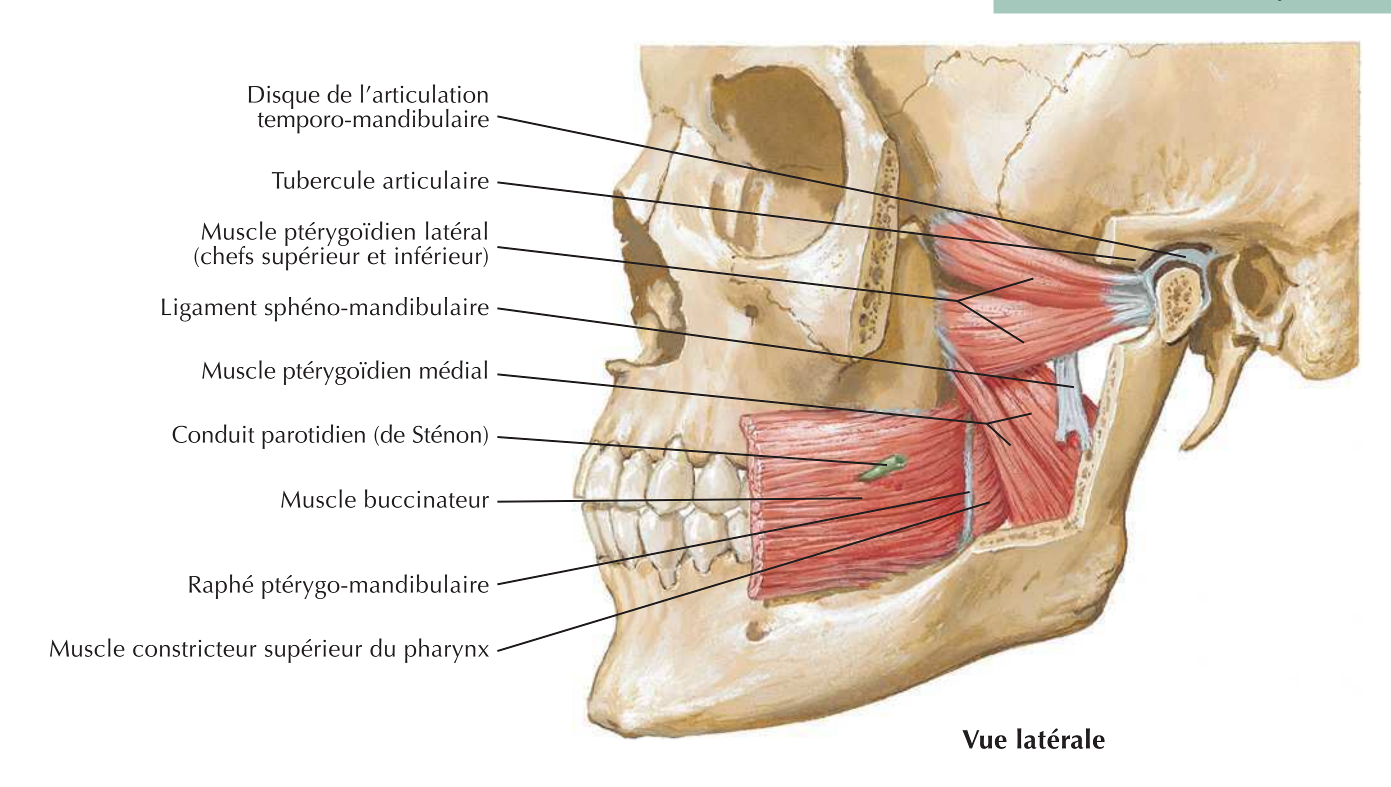
Muscles de la mastication

Pour les muscles de la face, voir **Planche 25**



Muscles de la mastication (suite)

Voir aussi **Planches 18, 68**



Vue latérale

Ganglion otique

Choanes

Partie cartilagineuse de la trompe auditive (d'Eustache)

Ligament sphéno-mandibulaire

Artère carotide interne

Nerf massétérique

Foramen ovale

Artère méningée moyenne

Lame latérale du processus ptérygoïde

Nerf auriculo-temporal

Articulation temporo-mandibulaire

Artère massétérique

Muscle ptérygoïdien latéral

Nerf ptérygoïdien médial

Muscle ptérygoïdien médial

Artère maxillaire

Nerf alvéolaire inférieur

Nerf lingual

Muscle ptérygoïdien médial

Lame ptérygoïdienne médiale

Hamulus ptérygoïdien

Nerf mylo-hyoïdien

Muscle tenseur du voile du palais (*sectionné*)

Muscle élévateur du voile du palais (*sectionné*)

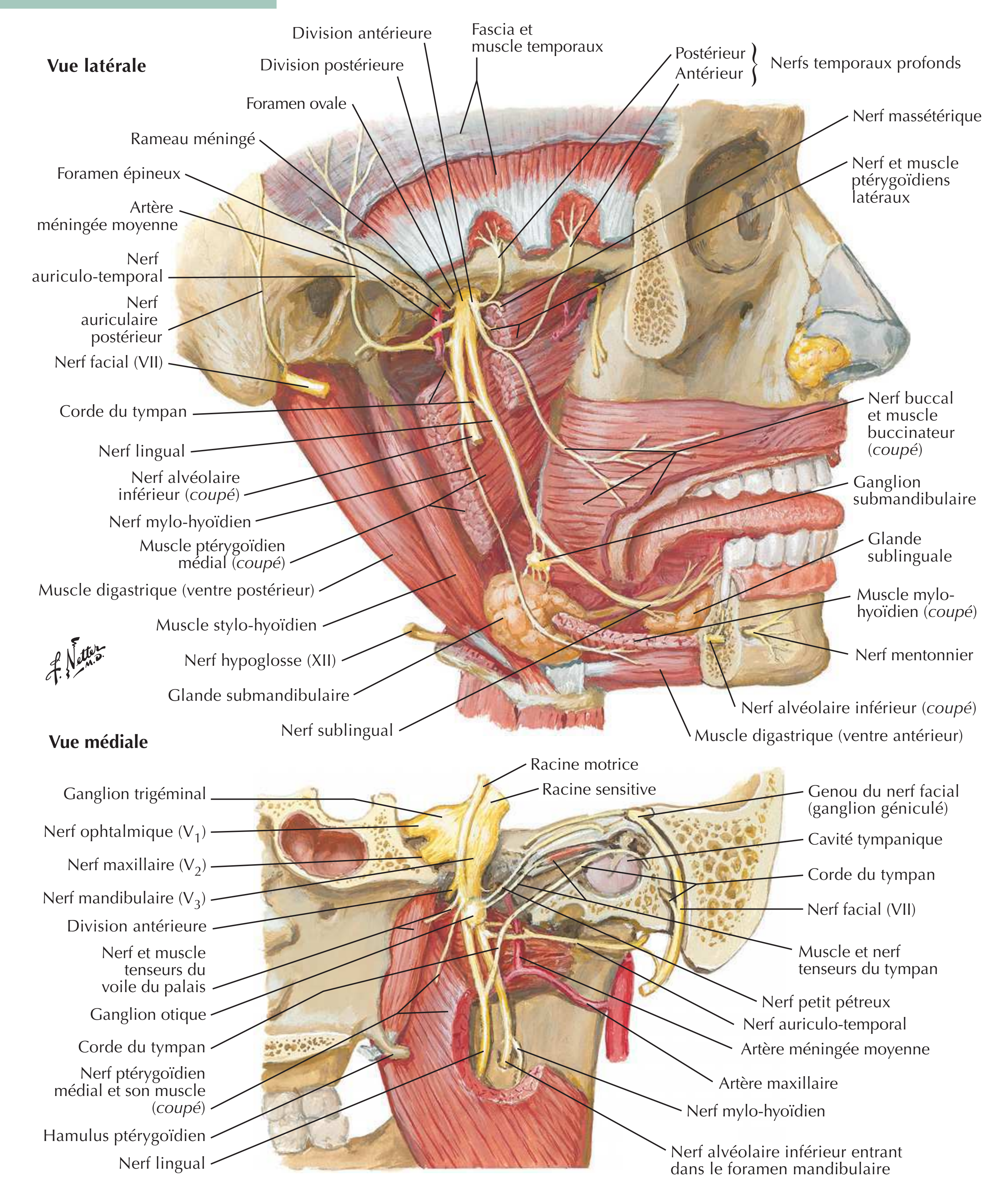
Hamulus ptérygoïdien

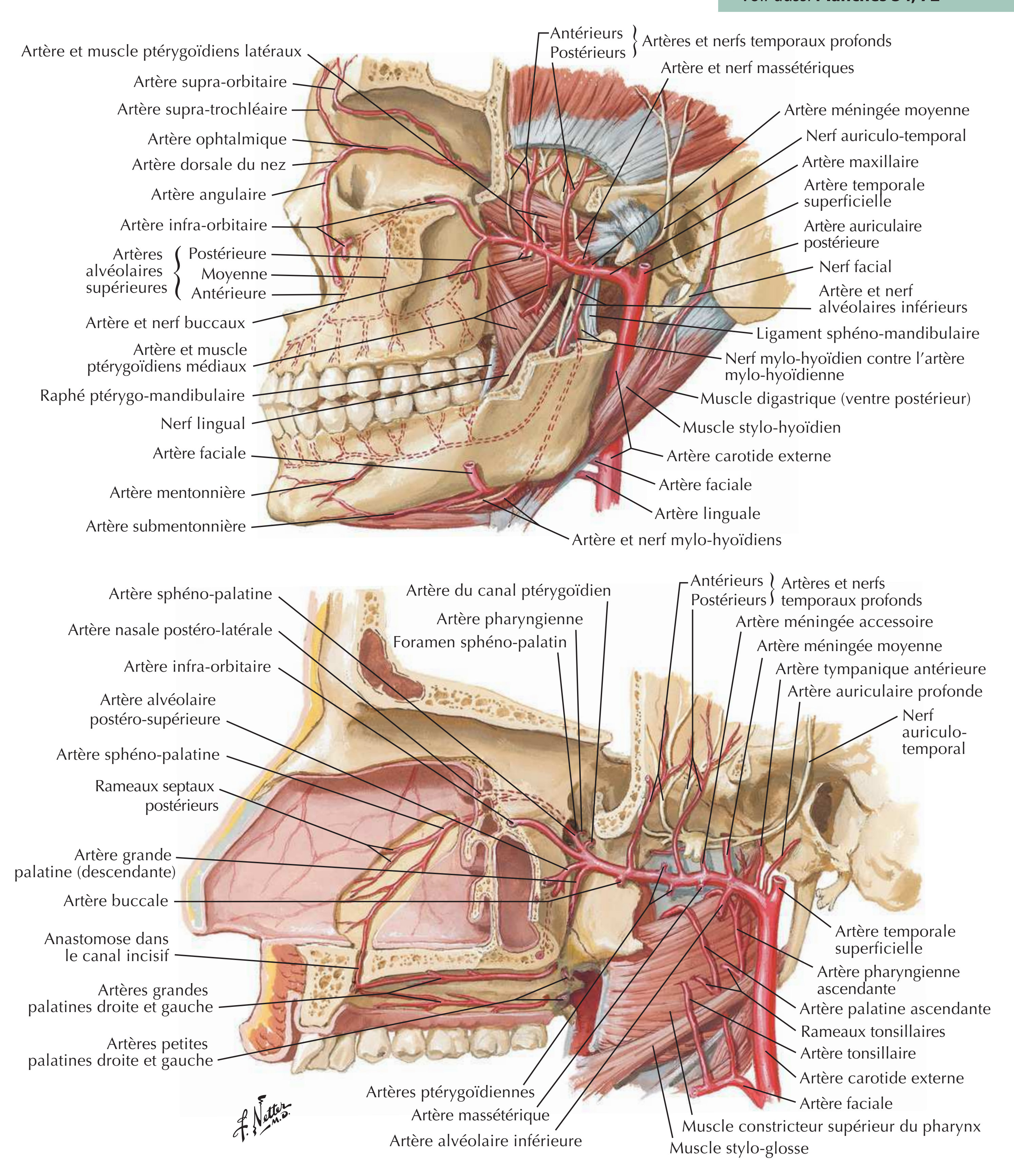
F. Netter M.D.

Vue postérieure

Nerf mandibulaire (V_3)

Voir aussi **Planches 71, 123**

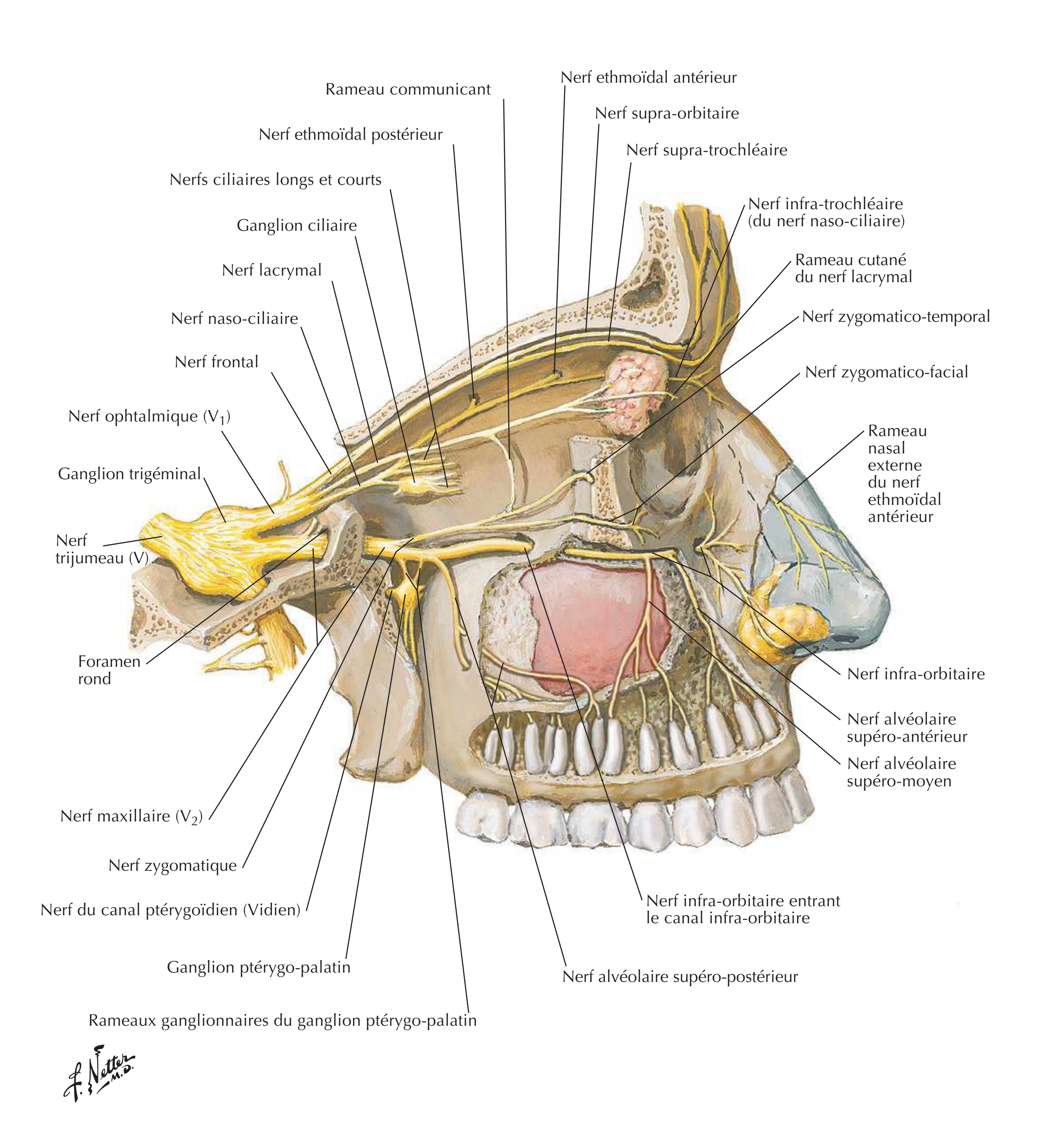




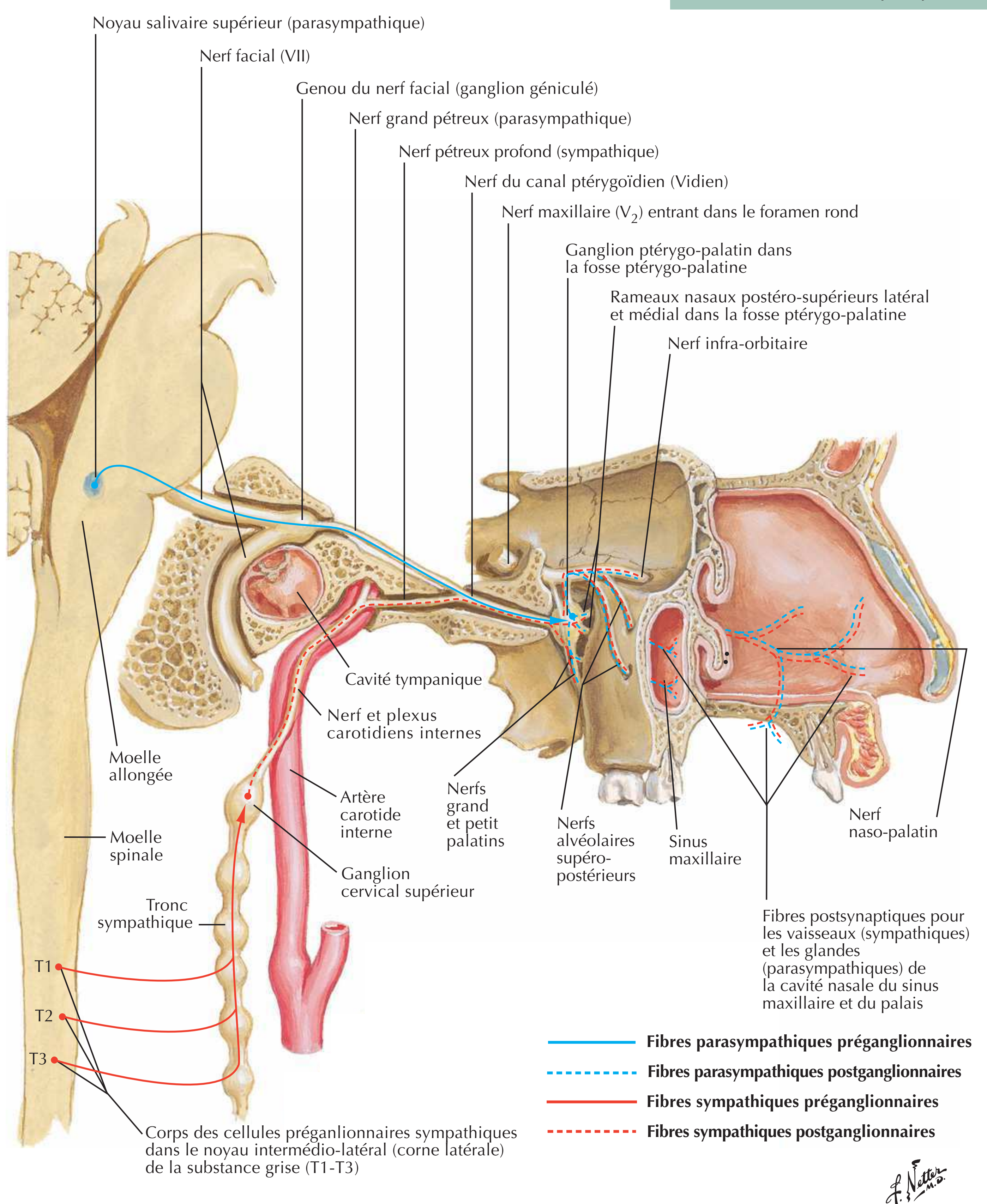
Antérieurs
Postérieurs
Artères et nerfs temporaux profonds
Artère et muscle ptérygoïdiens latéraux
Artère et nerf massétériques
Artère supra-orbitaire
Artère supra-trochléaire
Artère méningée moyenne
Nerf auriculo-temporal
Artère ophtalmique
Artère maxillaire
Artère dorsale du nez
Artère temporale superficielle
Artère angulaire
Artère auriculaire postérieure
Artère infra-orbitaire
Nerf facial
Artères alvéolaires supérieures
Postérieure
Moyenne
Antérieure
Artère et nerf alvéolaires inférieurs
Artère et nerf buccaux
Ligament sphéno-mandibulaire
Artère et muscle ptérygoïdiens médiaux
Nerf mylo-hyoïdien contre l'artère mylo-hyoïdienne
Raphé ptérygo-mandibulaire
Muscle digastrique (ventre postérieur)
Nerf lingual
Muscle stylo-hyoïdien
Artère faciale
Artère carotide externe
Artère faciale
Artère mentonnière
Artère linguale
Artère submentonnière
Artère et nerf mylo-hyoïdiens
Artère sphéno-palatine
Artère du canal ptérygoïdien
Antérieurs
Postérieurs
Artères et nerfs temporaux profonds
Artère pharyngienne
Artère méningée accessoire
Artère nasale postéro-latérale
Foramen sphéno-palatin
Artère méningée moyenne
Artère infra-orbitaire
Artère tympanique antérieure
Artère auriculaire profonde
Artère alvéolaire postéro-supérieure
Nerf auriculo-temporal
Artère sphéno-palatine
Rameaux septaux postérieurs
Artère grande palatine (descendante)
Artère buccale
Artère temporale superficielle
Anastomose dans le canal incisif
Artère pharyngienne ascendante
Artères grandes palatines droite et gauche
Artère palatine ascendante
Rameaux tonsillaires
Artères petites palatines droite et gauche
Artère tonsillaire
Artère carotide externe
Artères ptérygoïdiennes
Artère faciale
Artère massétérique
Muscle constricteur supérieur du pharynx
Artère alvéolaire inférieure
Muscle stylo-glosse
F. Netter M.D.

Nerf ophtalmique (V_1) et maxillaire (V_2)

Voir aussi **Planche 44**

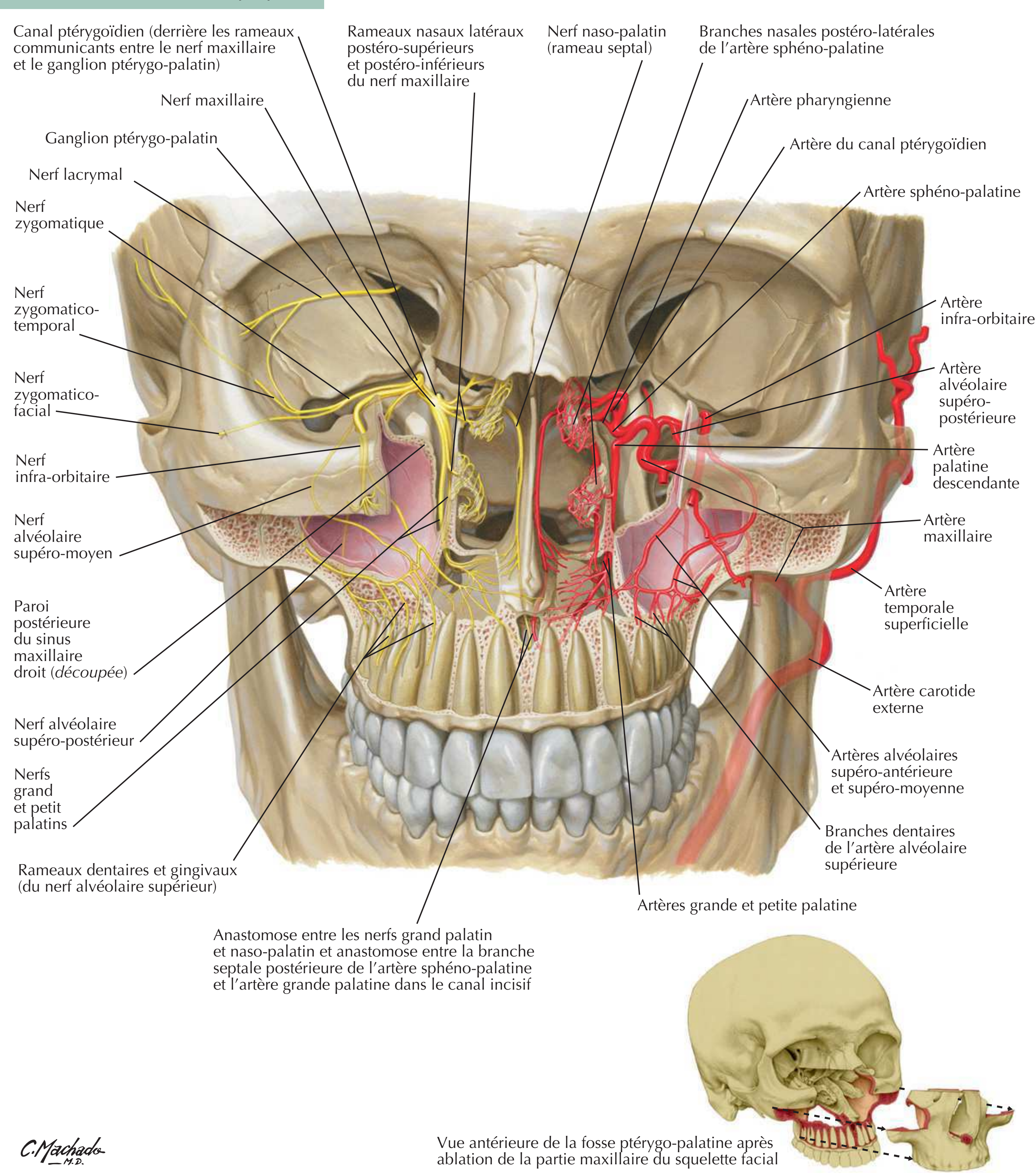


Voir aussi **Planches 123, 132, 134**



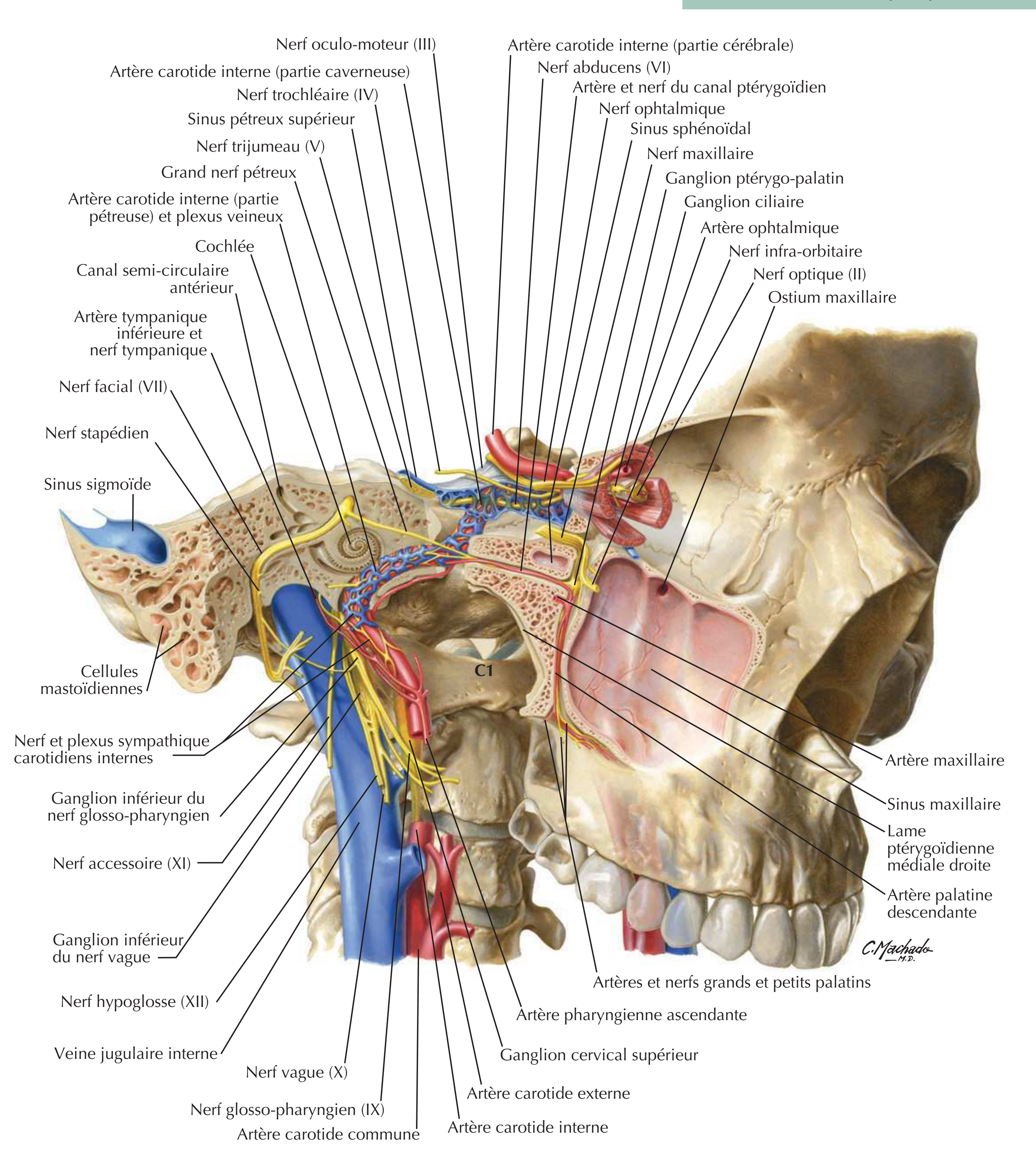
1 Fosse ptérygo-palatine

Voir aussi **Planches 39, 41, 52**

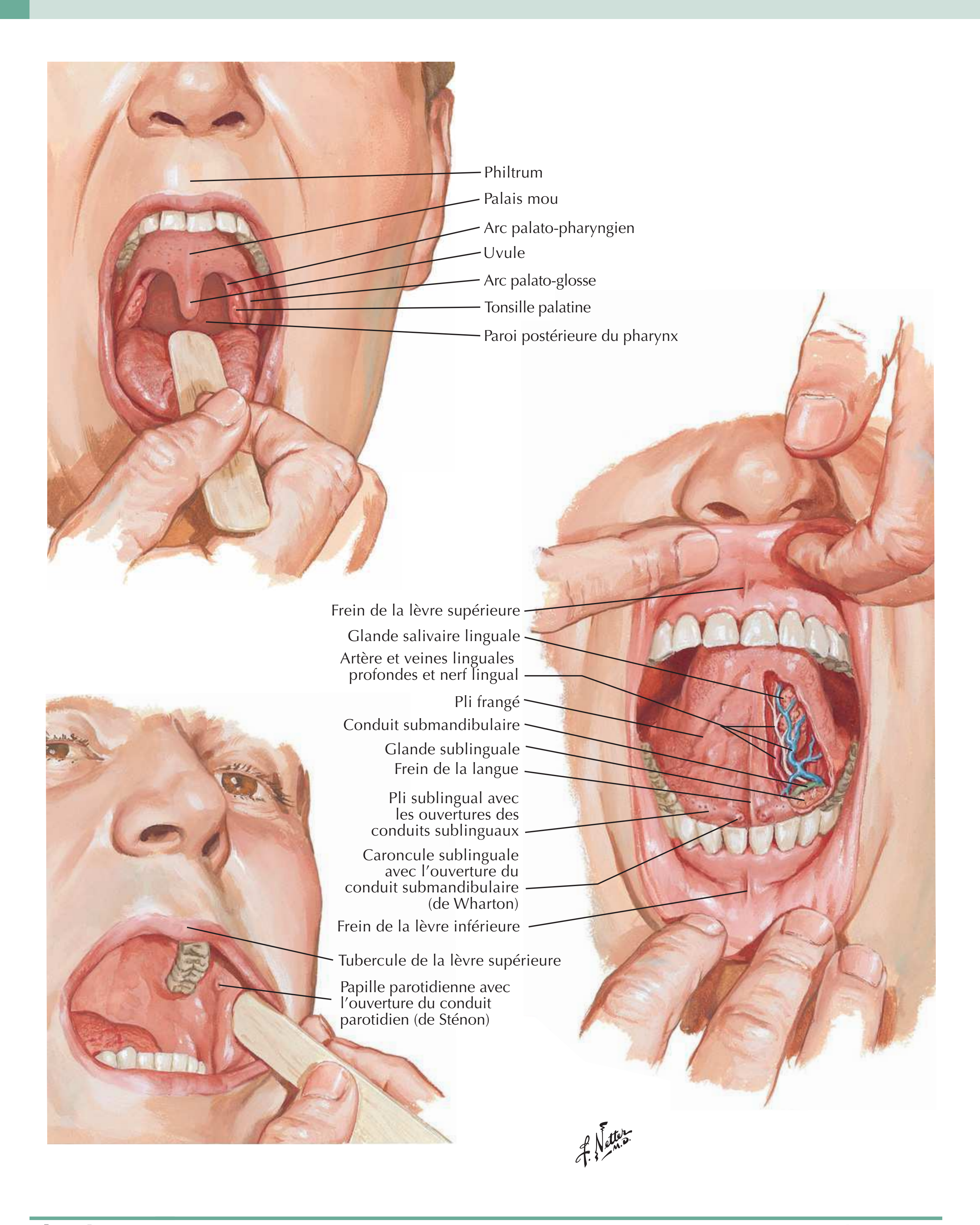


Vue antérieure de la fosse ptérygo-palatine après ablation de la partie maxillaire du squelette facial

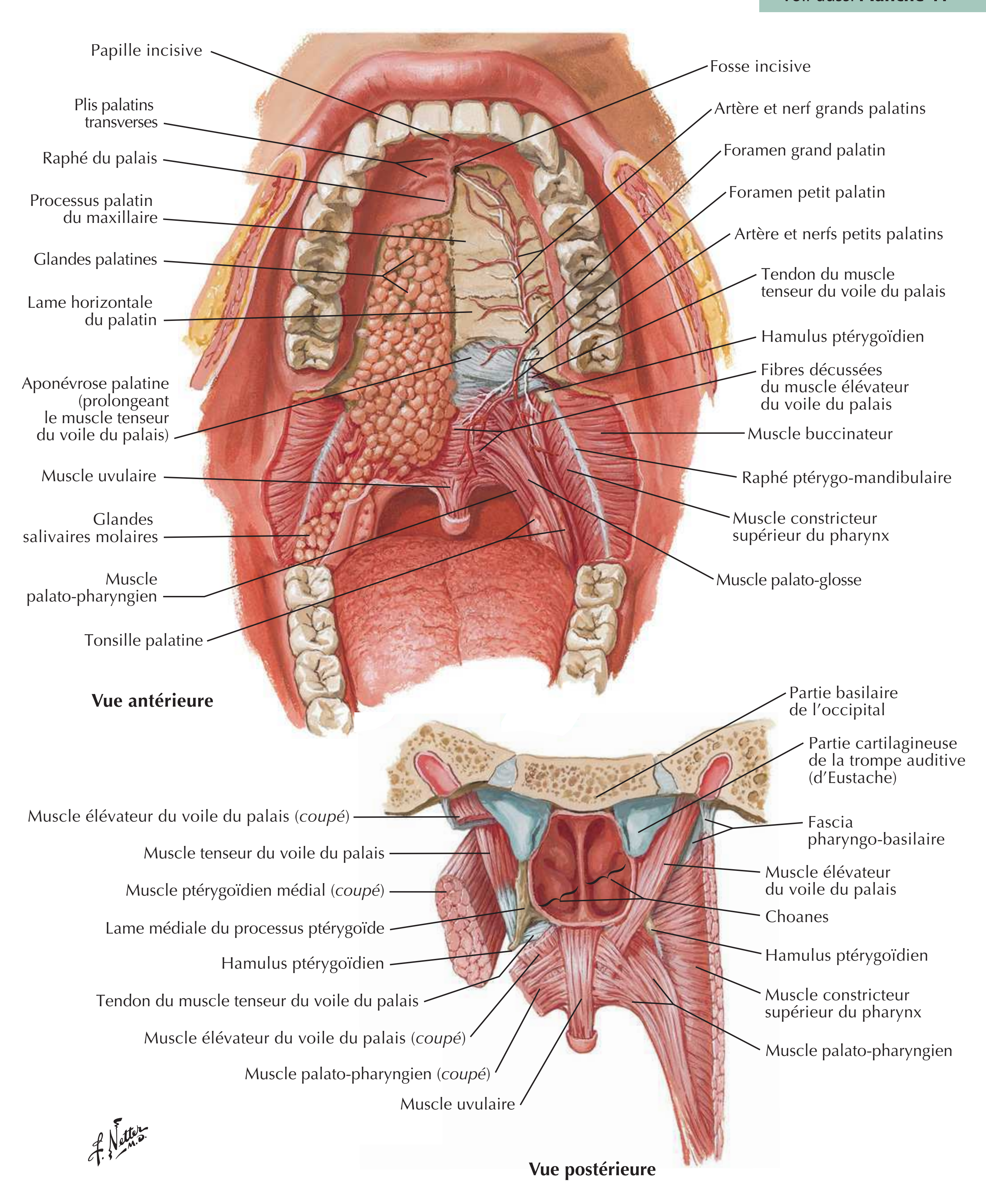
Voir aussi **Planches 105, 132, 137**



Examen de la cavité orale

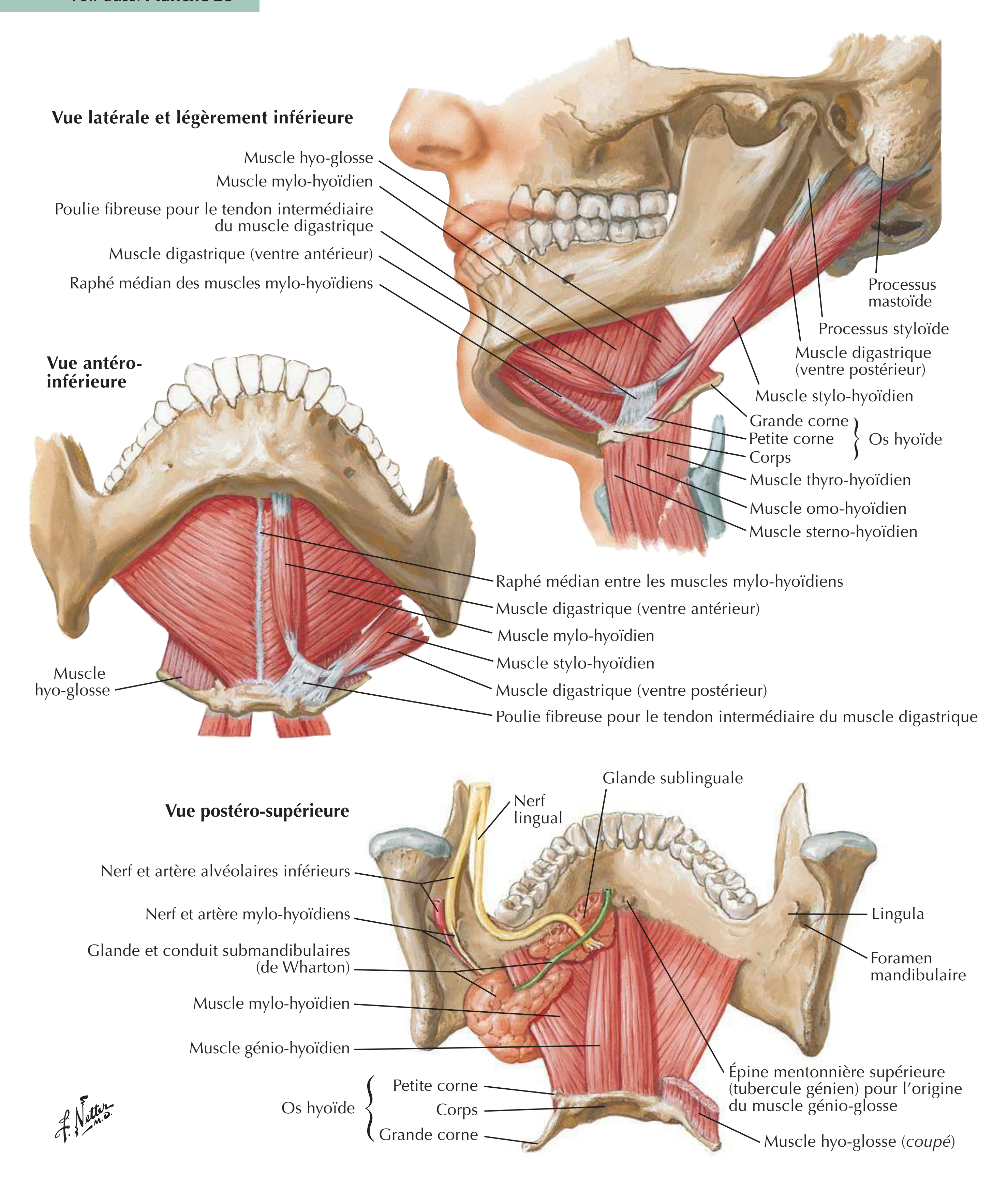


Voir aussi **Planche 41**

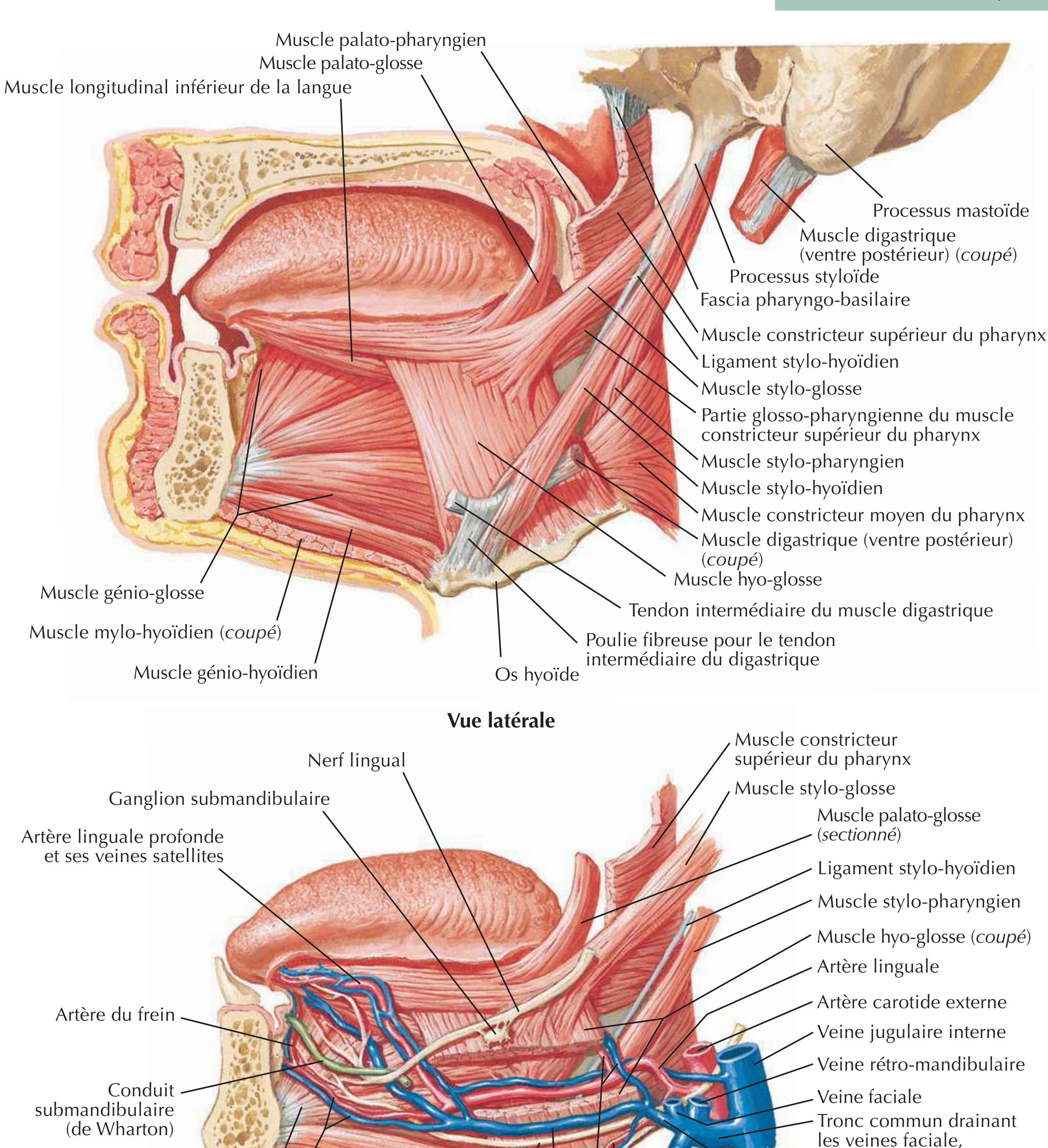


Plancher de la cavité orale

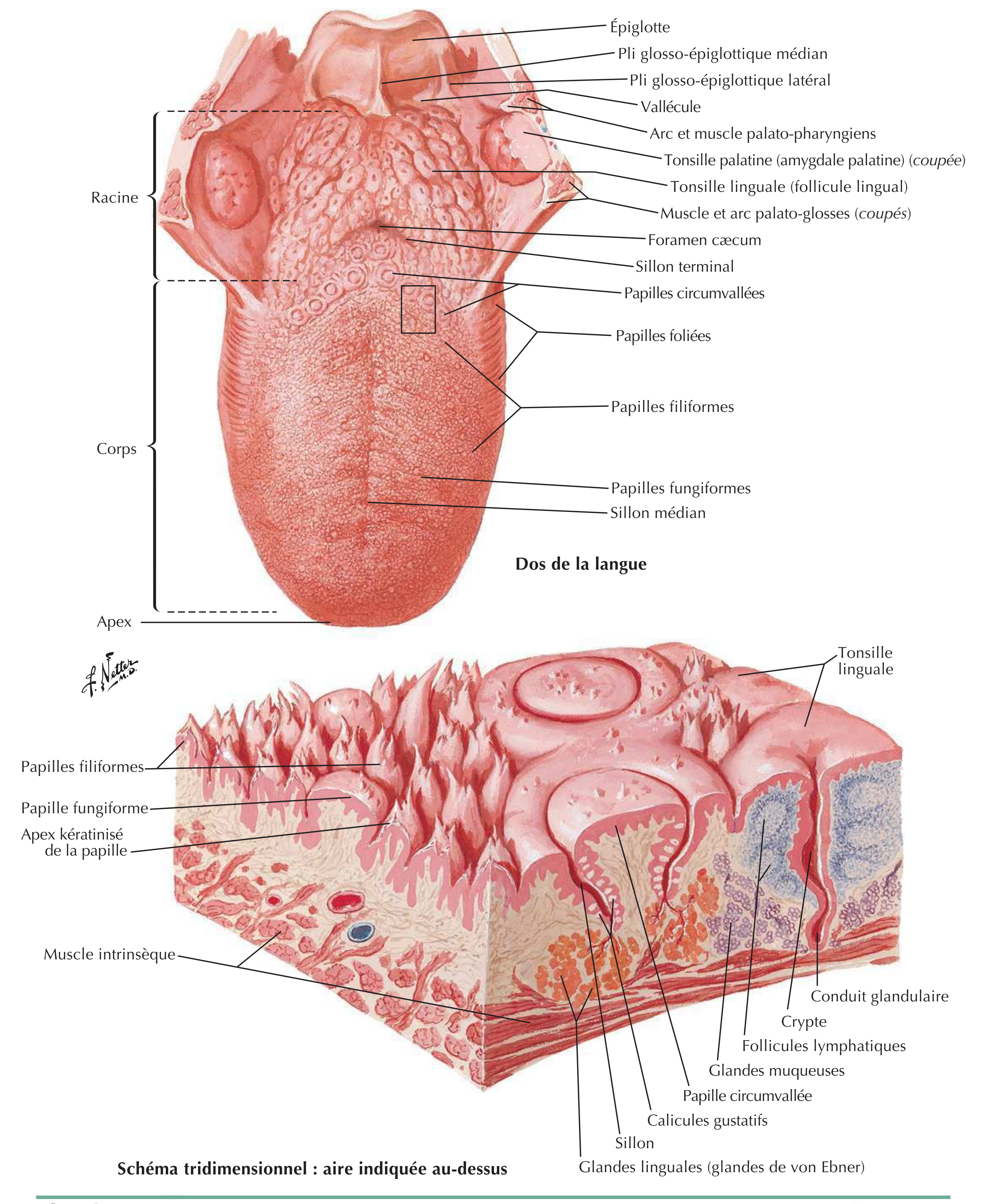
Voir aussi **Planche 28**



Voir aussi **Planches 58, 129**



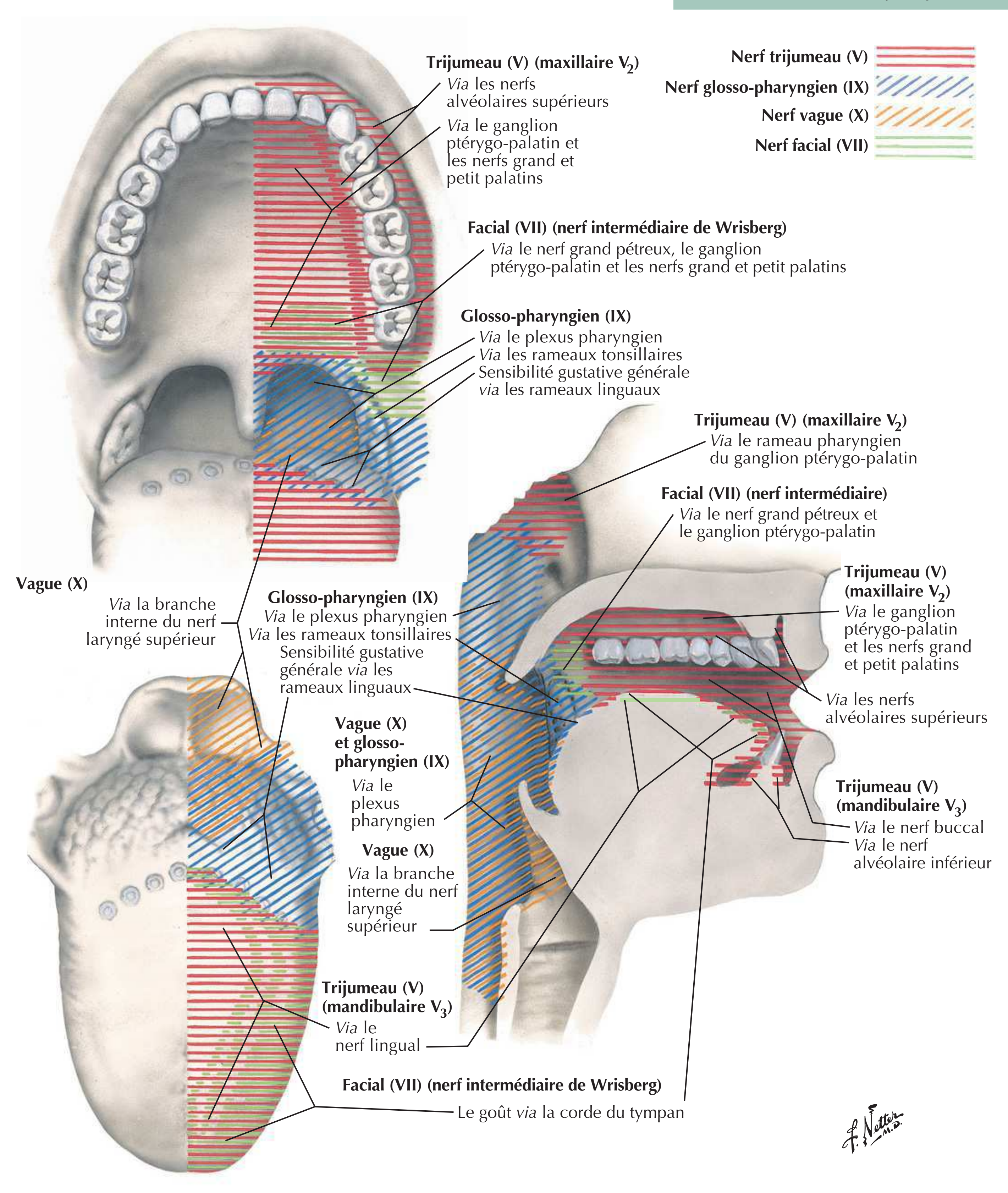
Vue latérale



Dos de la langue

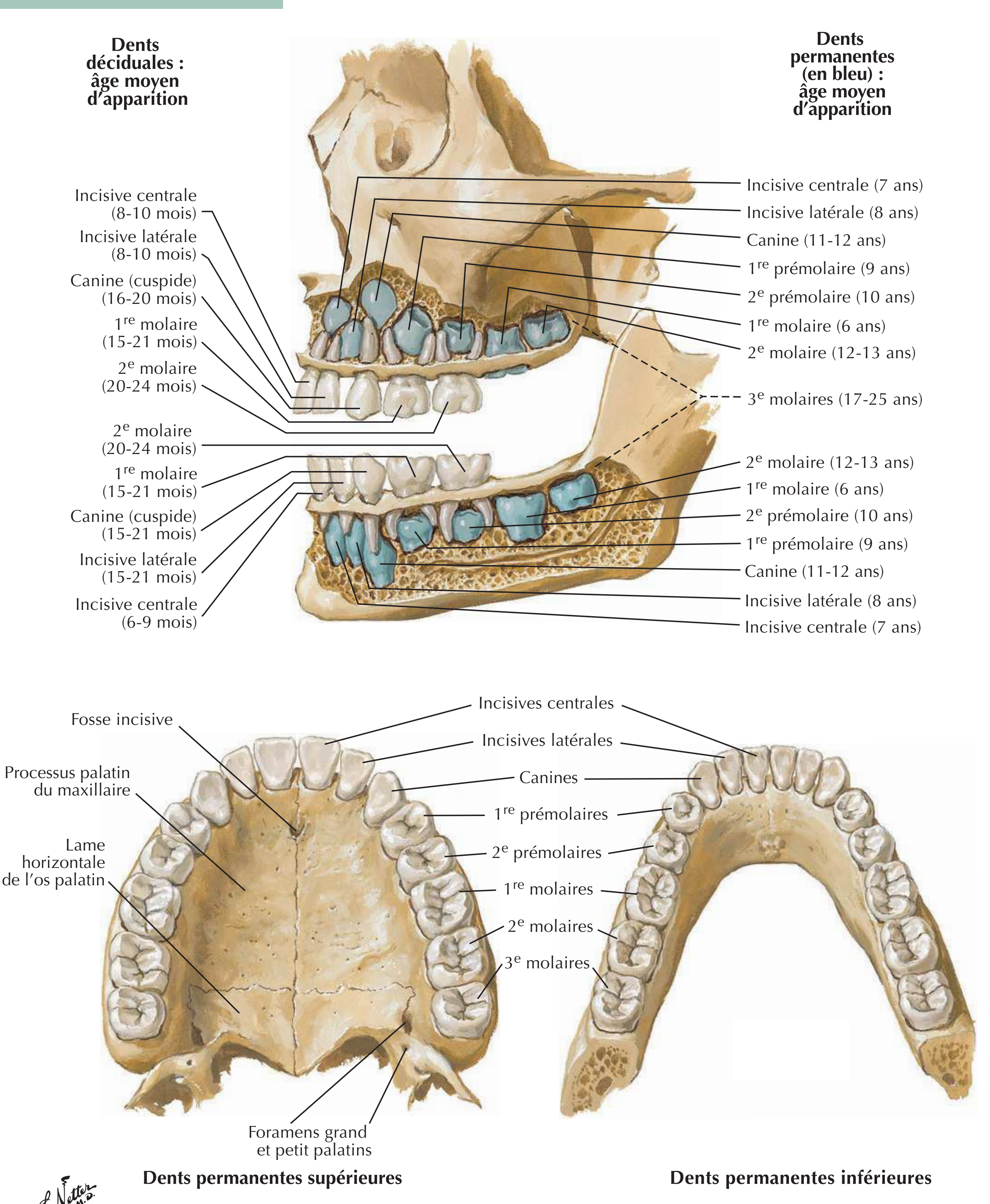
Schéma tridimensionnel : aire indiquée au-dessus

Voir aussi **Planches 126, 134, 136**



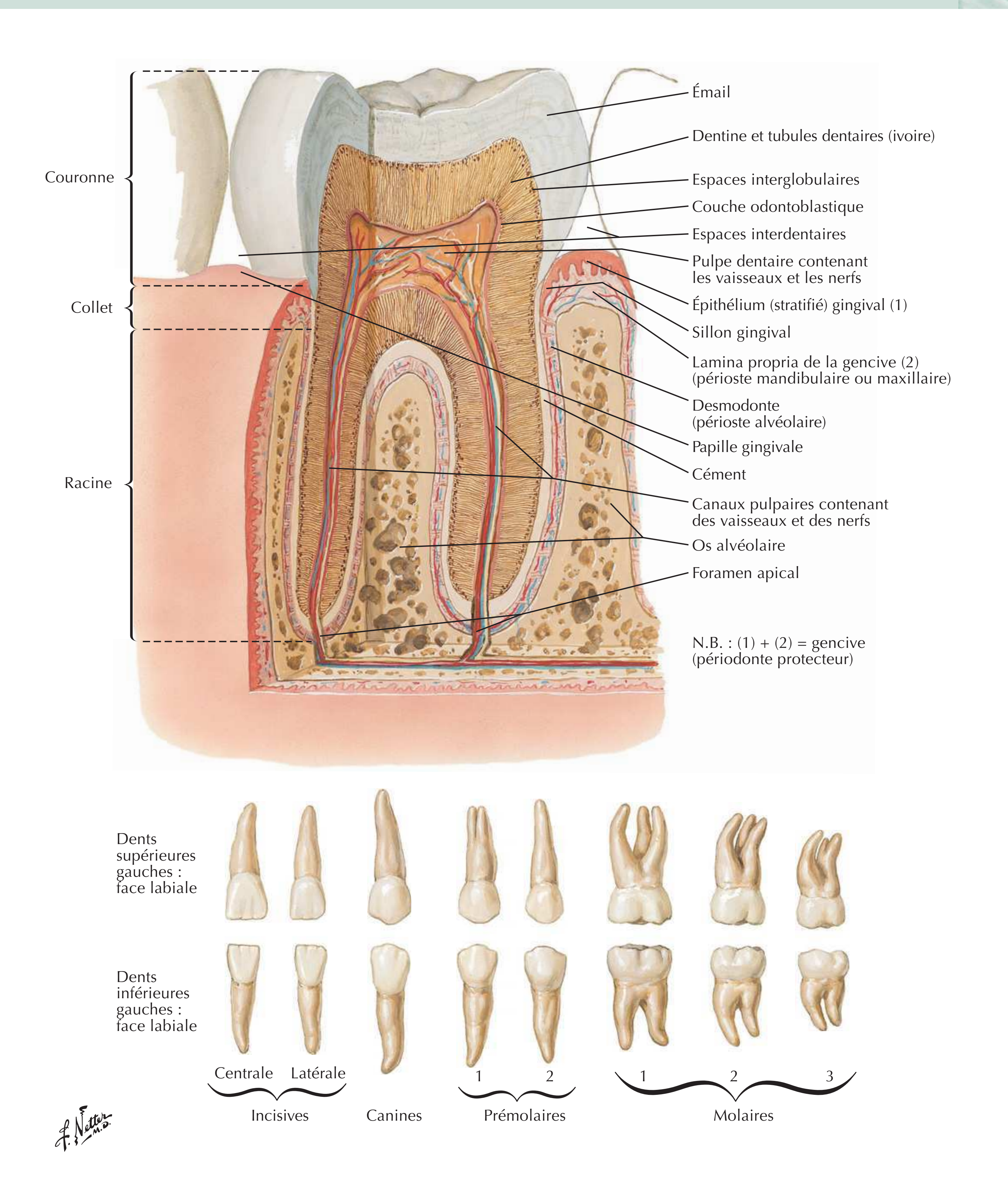
Dents

Voir aussi **Planches 40, 41, 57**

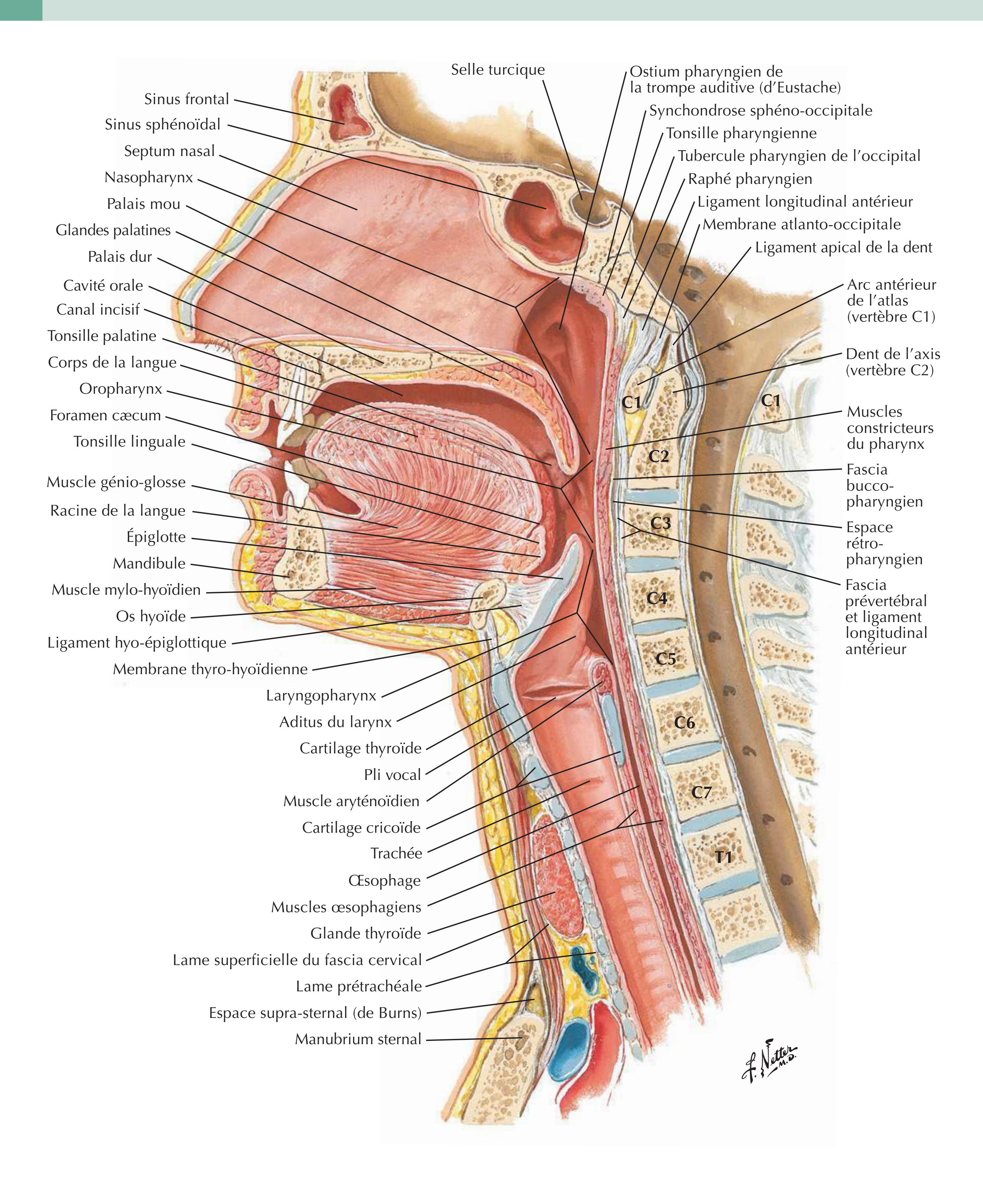


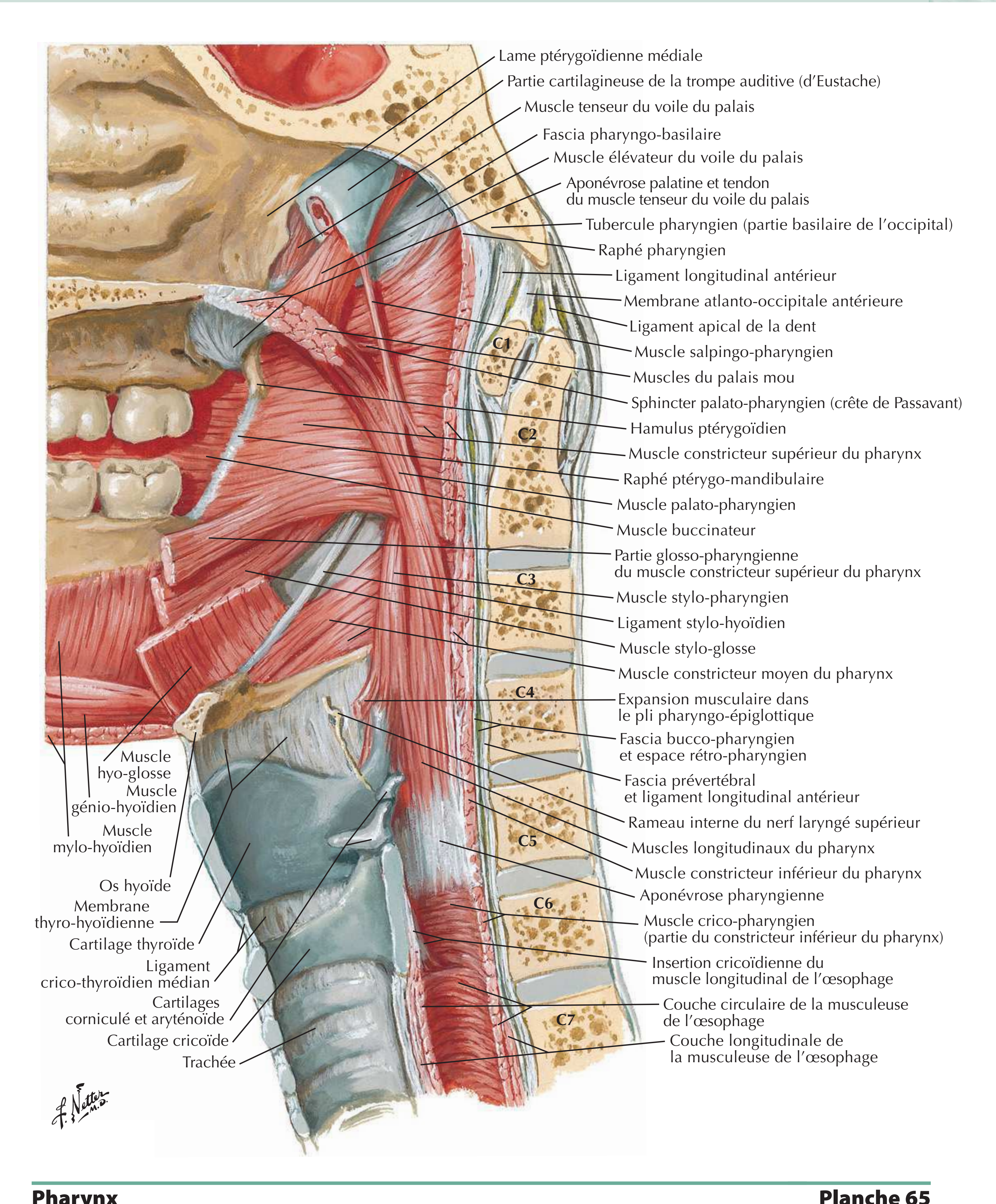
Dents permanentes supérieures

Dents permanentes inférieures

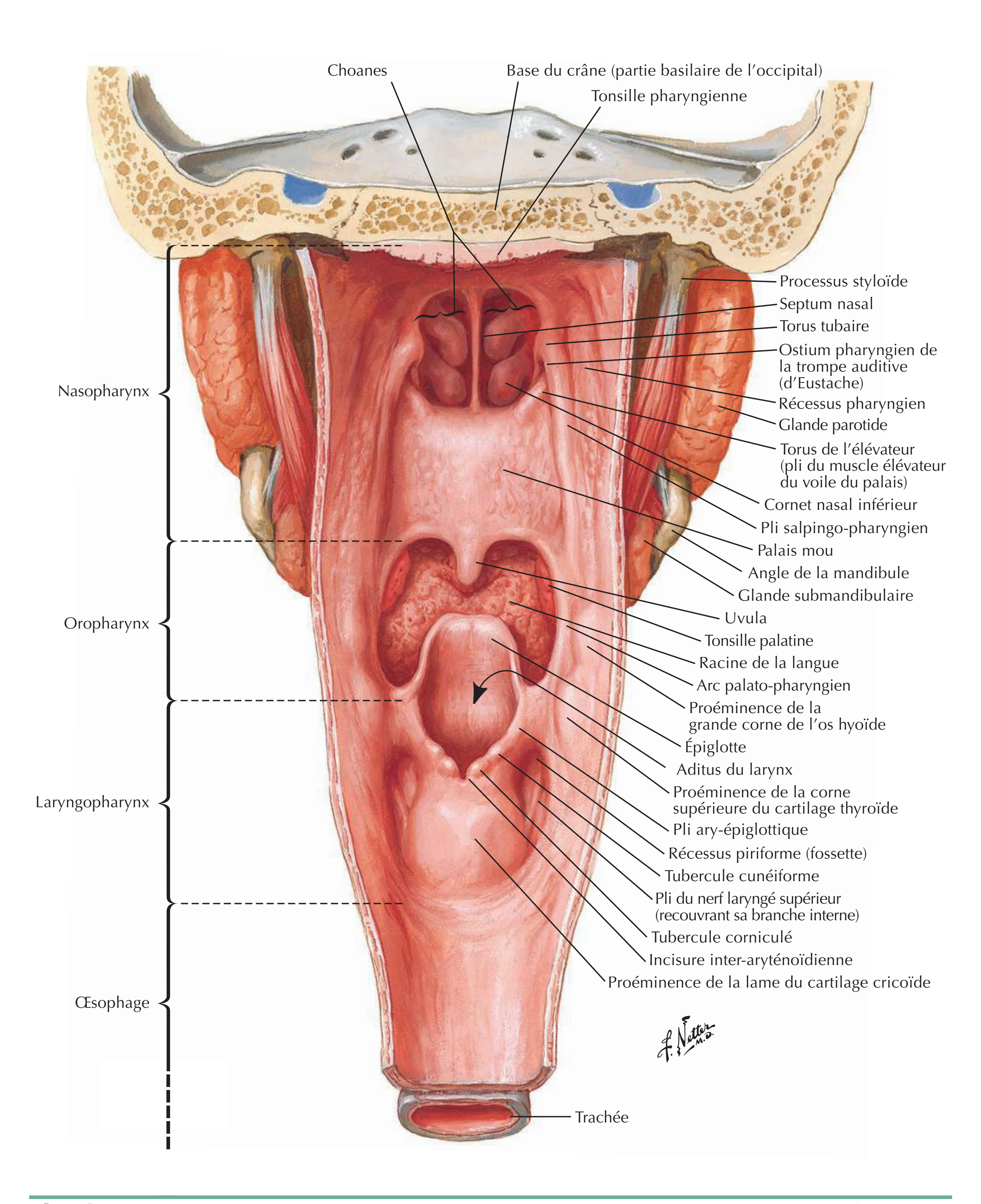

Couronne
Collet
Racine
Émail
Dentine et tubules dentaires (ivoire)
Espaces interglobulaires
Couche odontoblastique
Espaces interdentaires
Pulpe dentaire contenant les vaisseaux et les nerfs
Épithélium (stratifié) gingival (1)
Sillon gingival
Lamina propria de la gencive (2) (périoste mandibulaire ou maxillaire)
Desmodonte (périoste alvéolaire)
Papille gingivale
Cément
Canaux pulpaires contenant des vaisseaux et des nerfs
Os alvéolaire
Foramen apical
N.B. : (1) + (2) = gencive (périodonte protecteur)
Dents supérieures gauches : face labiale
Dents inférieures gauches : face labiale
Centrale
Latérale
Incisives
Canines
1
2
Prémolaires
1
2
3
Molaires
F. Netter M.D.

Pharynx : coupe médiane



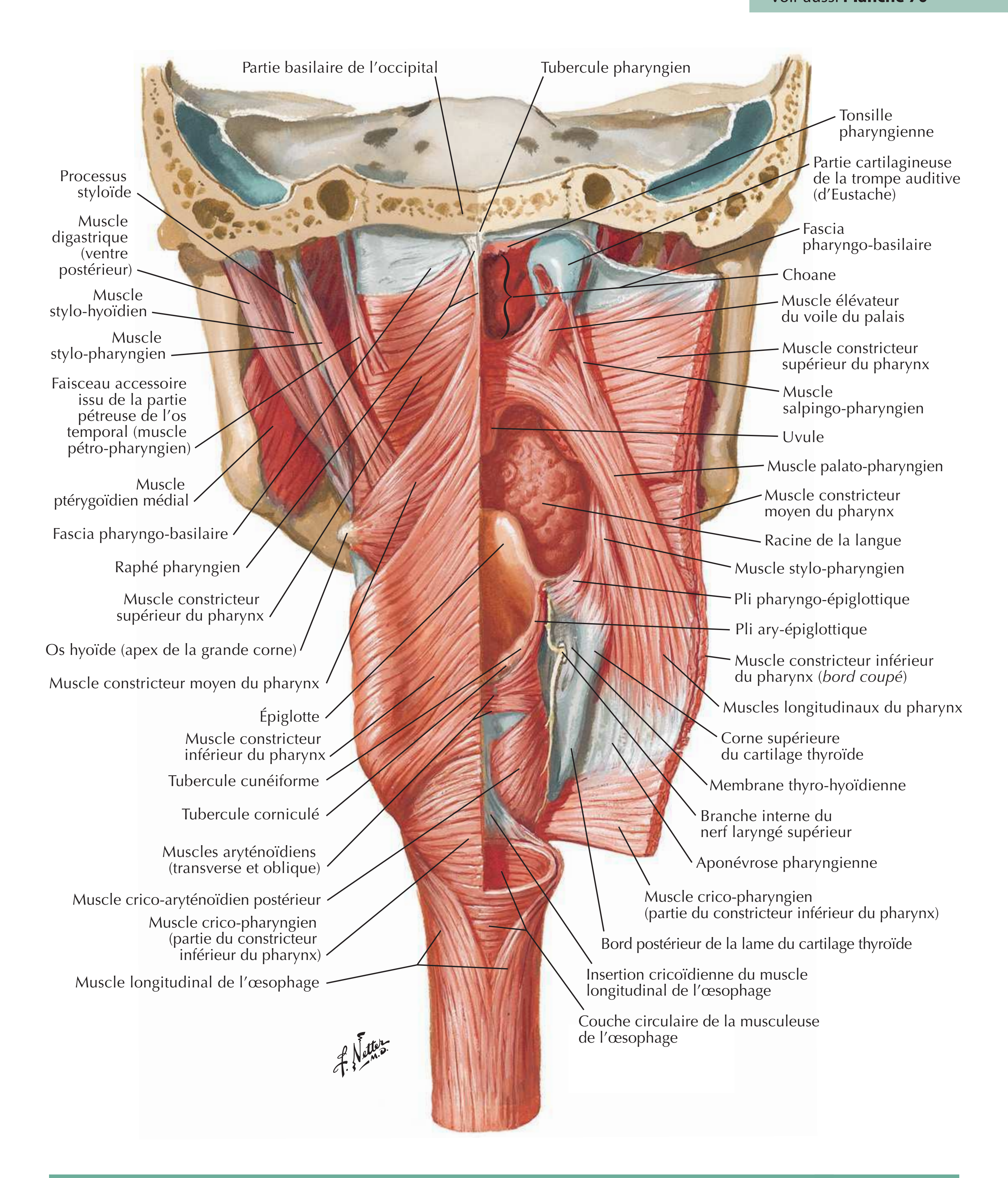

Lame ptérygoïdienne médiale
Partie cartilagineuse de la trompe auditive (d'Eustache)
Muscle tenseur du voile du palais
Fascia pharyngo-basilaire
Muscle élévateur du voile du palais
Aponévrose palatine et tendon du muscle tenseur du voile du palais
Tubercule pharyngien (partie basilaire de l'occipital)
Raphé pharyngien
Ligament longitudinal antérieur
Membrane atlanto-occipitale antérieure
Ligament apical de la dent
Muscle salpingo-pharyngien
Muscles du palais mou
Sphincter palato-pharyngien (crête de Passavant)
Hamulus ptérygoïdien
Muscle constricteur supérieur du pharynx
Raphé ptérygo-mandibulaire
Muscle palato-pharyngien
Muscle buccinateur
Partie glosso-pharyngienne du muscle constricteur supérieur du pharynx
Muscle stylo-pharyngien
Ligament stylo-hyoïdien
Muscle stylo-glosse
Muscle constricteur moyen du pharynx
Expansion musculaire dans le pli pharyngo-épiglottique
Fascia bucco-pharyngien et espace rétro-pharyngien
Fascia prévertébral et ligament longitudinal antérieur
Rameau interne du nerf laryngé supérieur
Muscles longitudinaux du pharynx
Muscle constricteur inférieur du pharynx
Aponévrose pharyngienne
Muscle crico-pharyngien (partie du constricteur inférieur du pharynx)
Insertion cricoïdienne du muscle longitudinal de l'œsophage
Couche circulaire de la musculeuse de l'œsophage
Couche longitudinale de la musculeuse de l'œsophage
C1
C2
C3
C4
C5
C6
C7
Muscle hyo-glosse
Muscle génio-hyoïdien
Muscle mylo-hyoïdien
Os hyoïde
Membrane thyro-hyoïdienne
Cartilage thyroïde
Ligament crico-thyroïdien médian
Cartilages corniculé et aryténoïde
Cartilage cricoïde
Trachée
F. Netter M.D.

Pharynx ouvert : vue postérieure

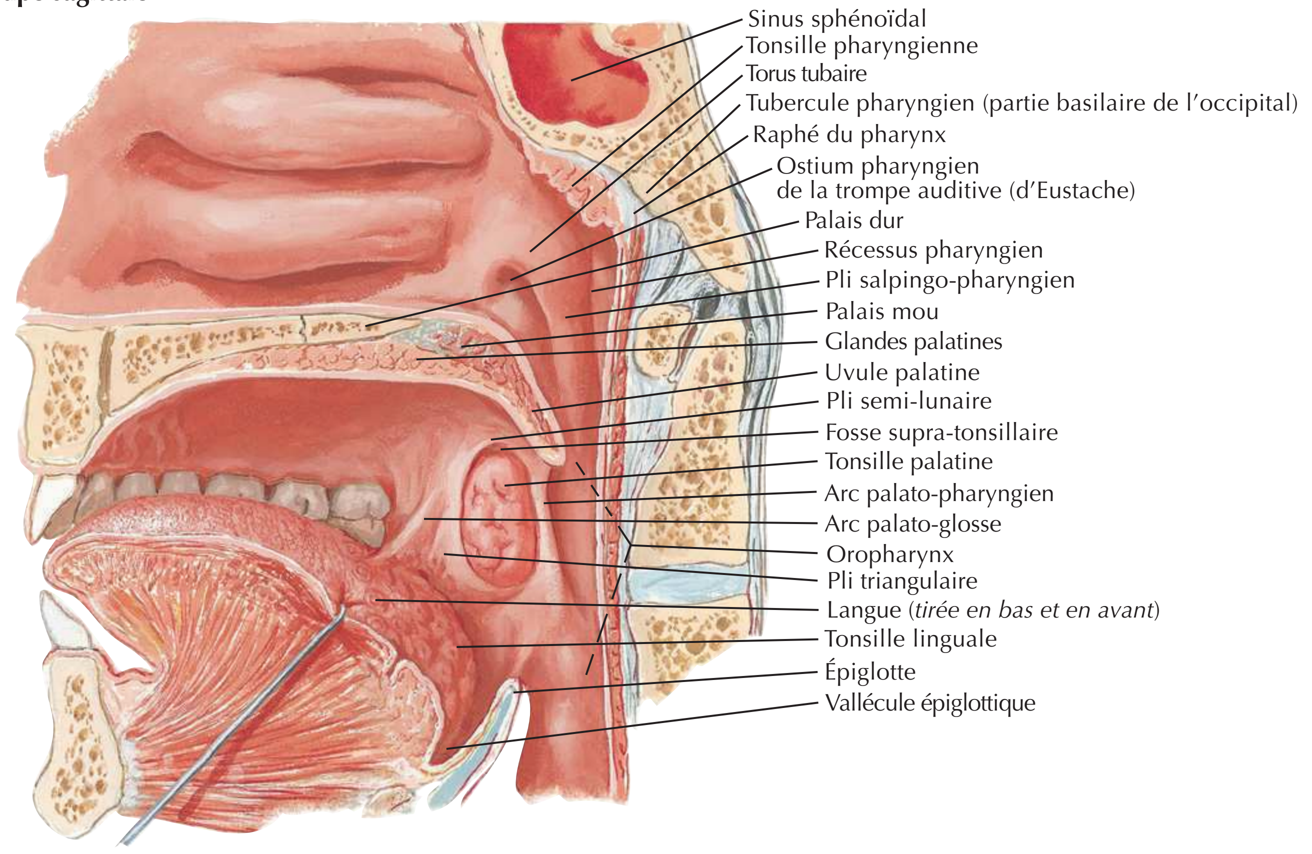


Muscles du pharynx ouvert partiellement : vue postérieure

Voir aussi **Planche 70**



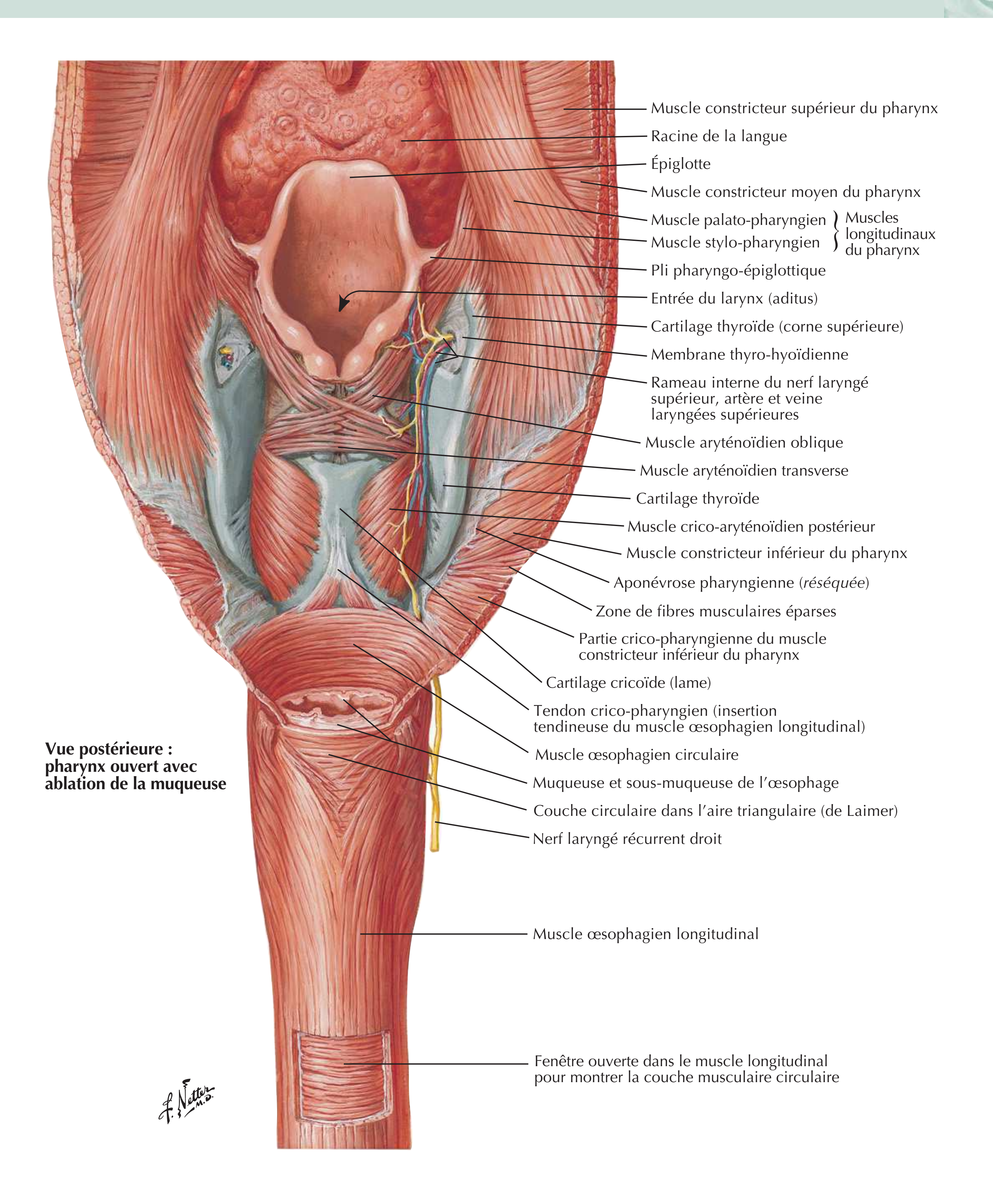
Vue médiale
Coupe sagittale



Après ablation de la muqueuse pharyngienne

Tonsille pharyngienne
Partie cartilagineuse de la trompe auditive (d'Eustache)
Lame ptérygoïdienne médiale
Muscle tenseur du voile du palais et son tendon
Muscle élévateur du voile du palais
Artère palatine ascendante
Rameau pharyngien de l'artère pharyngienne ascendante
Artère petite palatine
Muscle salpingo-pharyngien
Hamulus ptérygoïdien
Raphé ptérygo-mandibulaire
Rameau tonsillaire de l'artère petite palatine
Muscle constricteur supérieur du pharynx
Rameau tonsillaire de l'artère pharyngienne ascendante
Muscle palato-glosse
Muscle palato-pharyngien
Rameau tonsillaire de l'artère palatine ascendante
Rameau tonsillaire de l'artère faciale
Rameau tonsillaire de l'artère dorsale de la langue
Nerf glosso-pharyngien (IX) et rameau tonsillaire
Ligament stylo-hyoïdien
Muscle hyo-glosse
Muscle constricteur moyen du pharynx
Muscle stylo-pharyngien

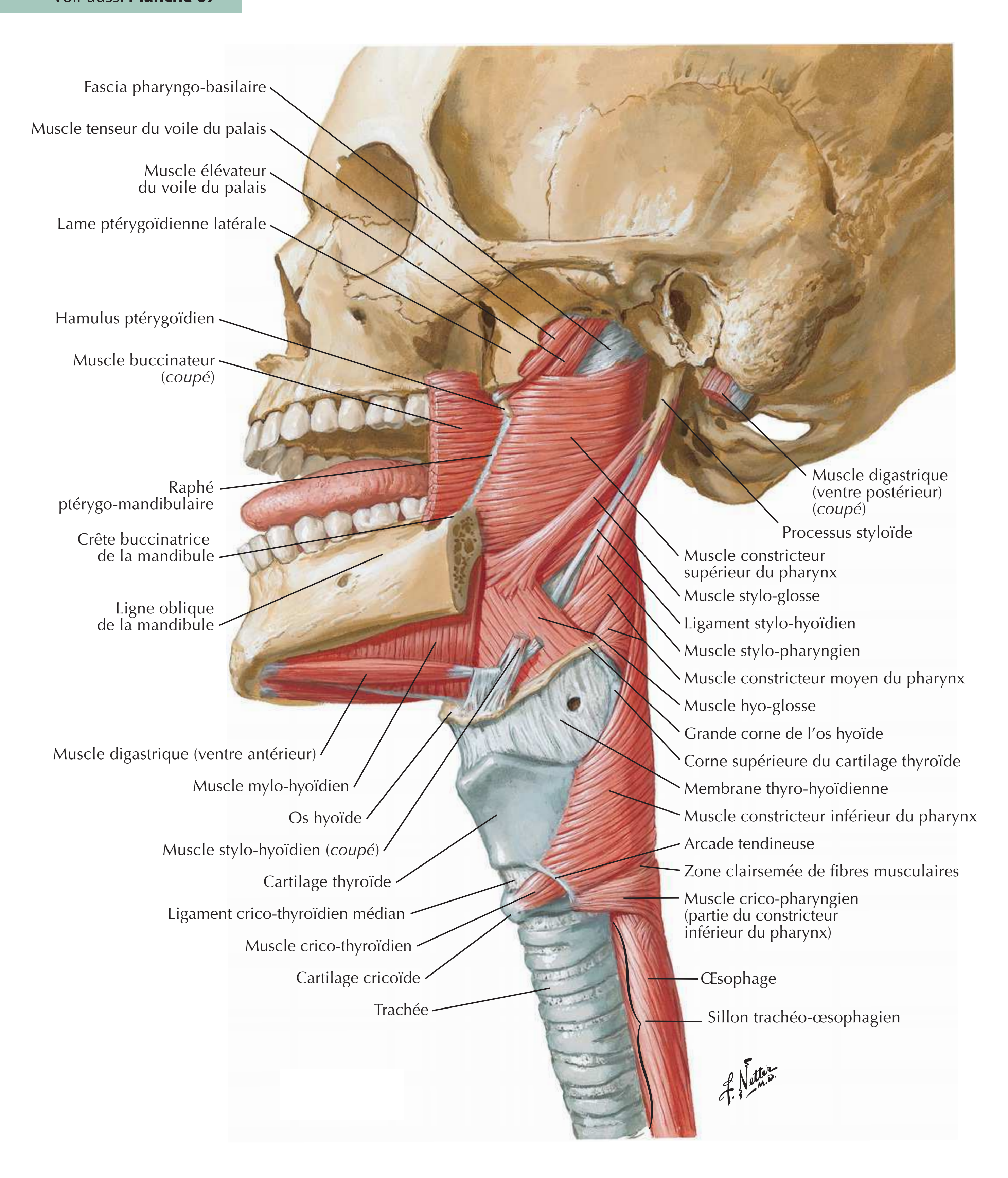




Vue postérieure : pharynx ouvert avec ablation de la muqueuse

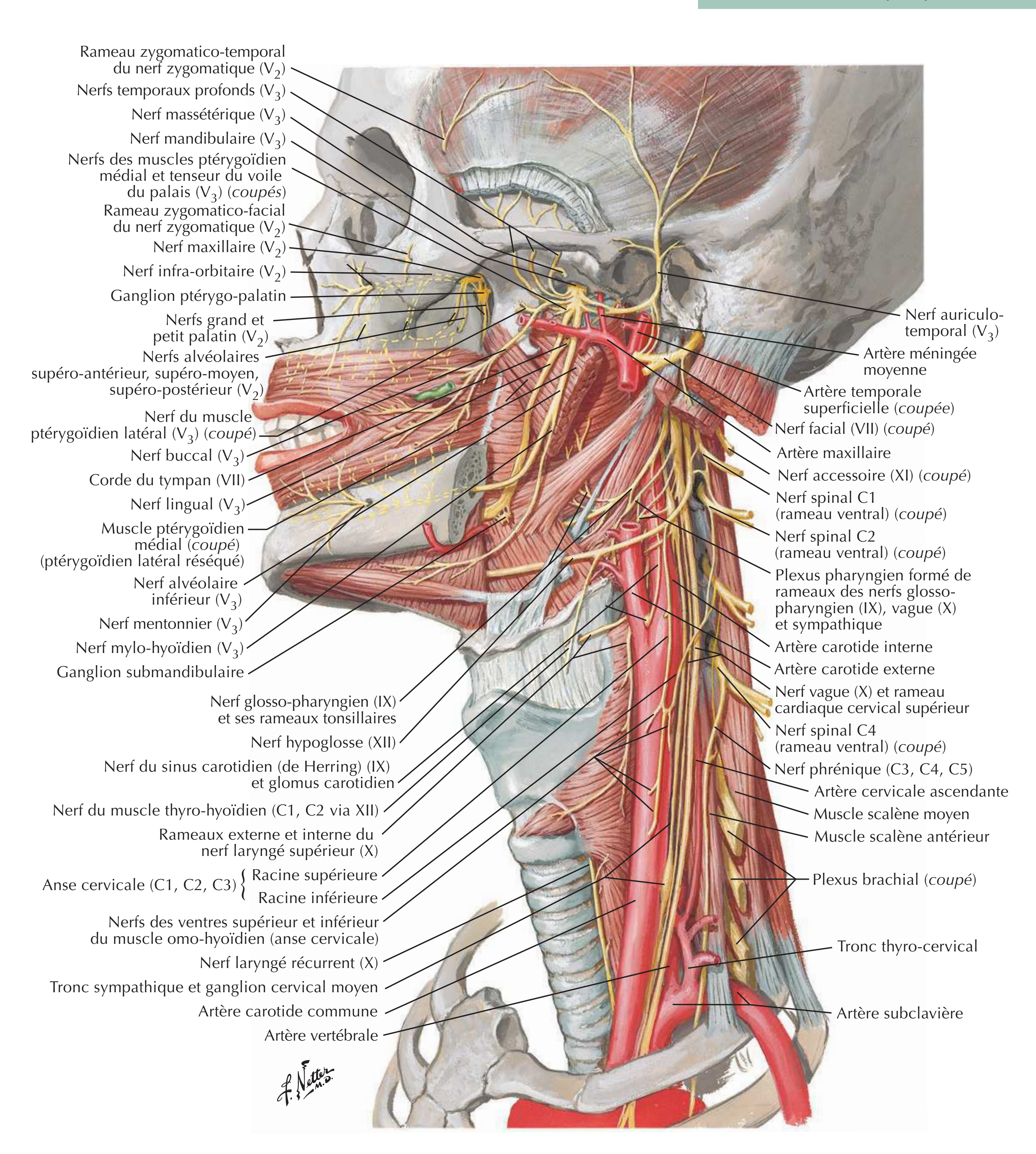
Muscles du pharynx : vue latérale

Voir aussi **Planche 67**



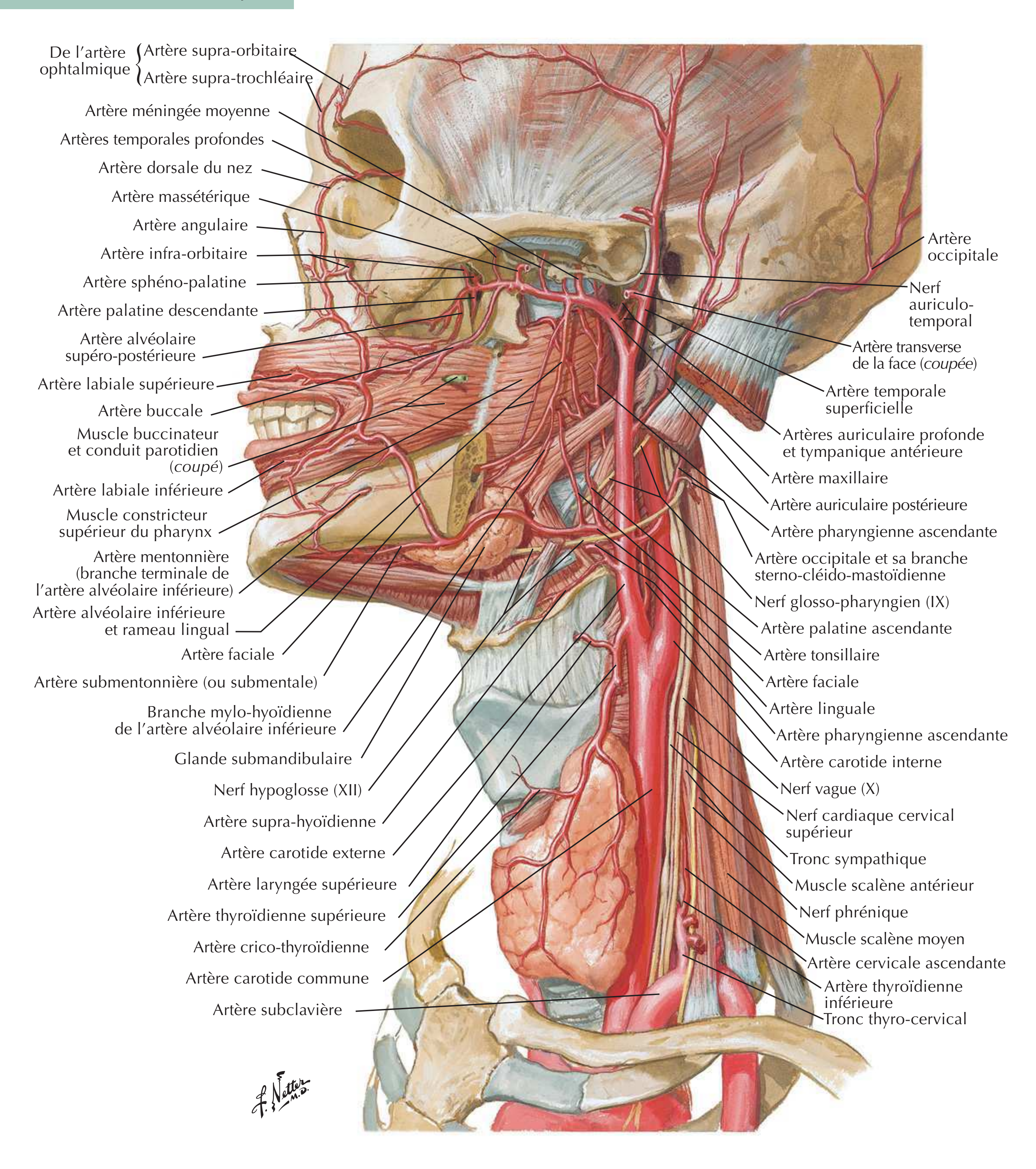
Nerfs des régions orale et pharyngienne

Voir aussi **Planches 50, 123, 126**

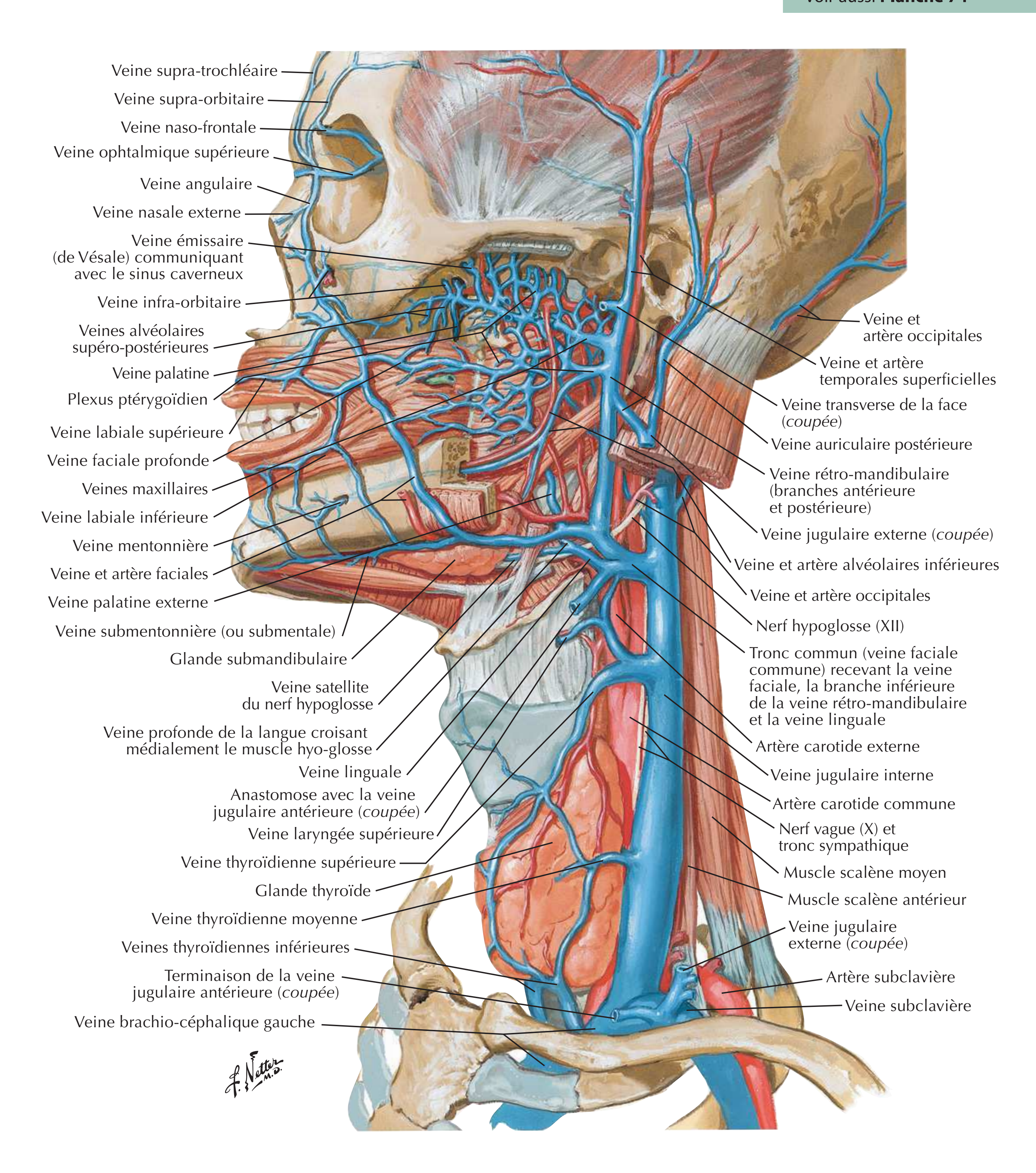


Artères des régions orale et pharyngienne

Voir aussi **Planches 34, 51**

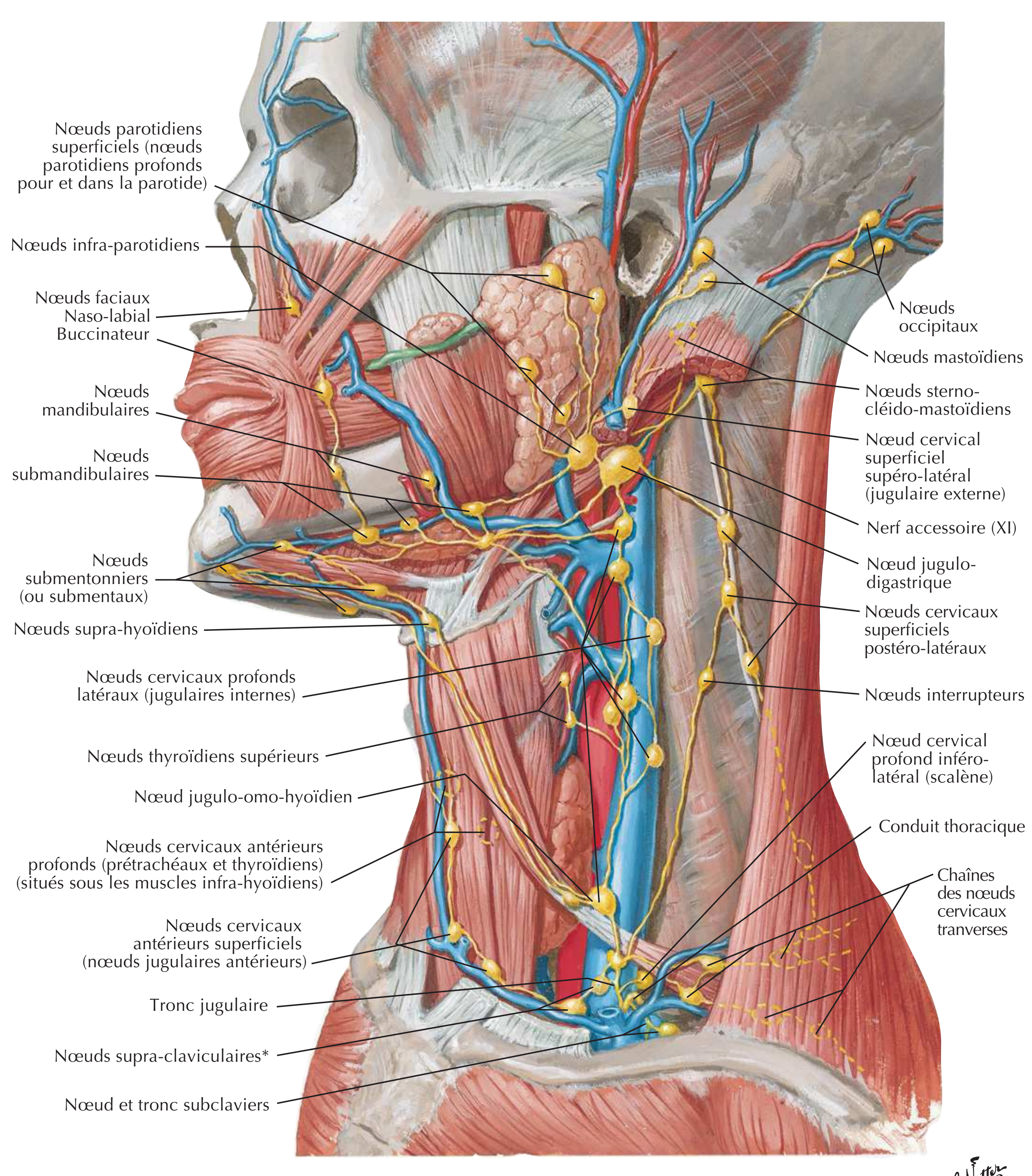


Voir aussi **Planche 74**

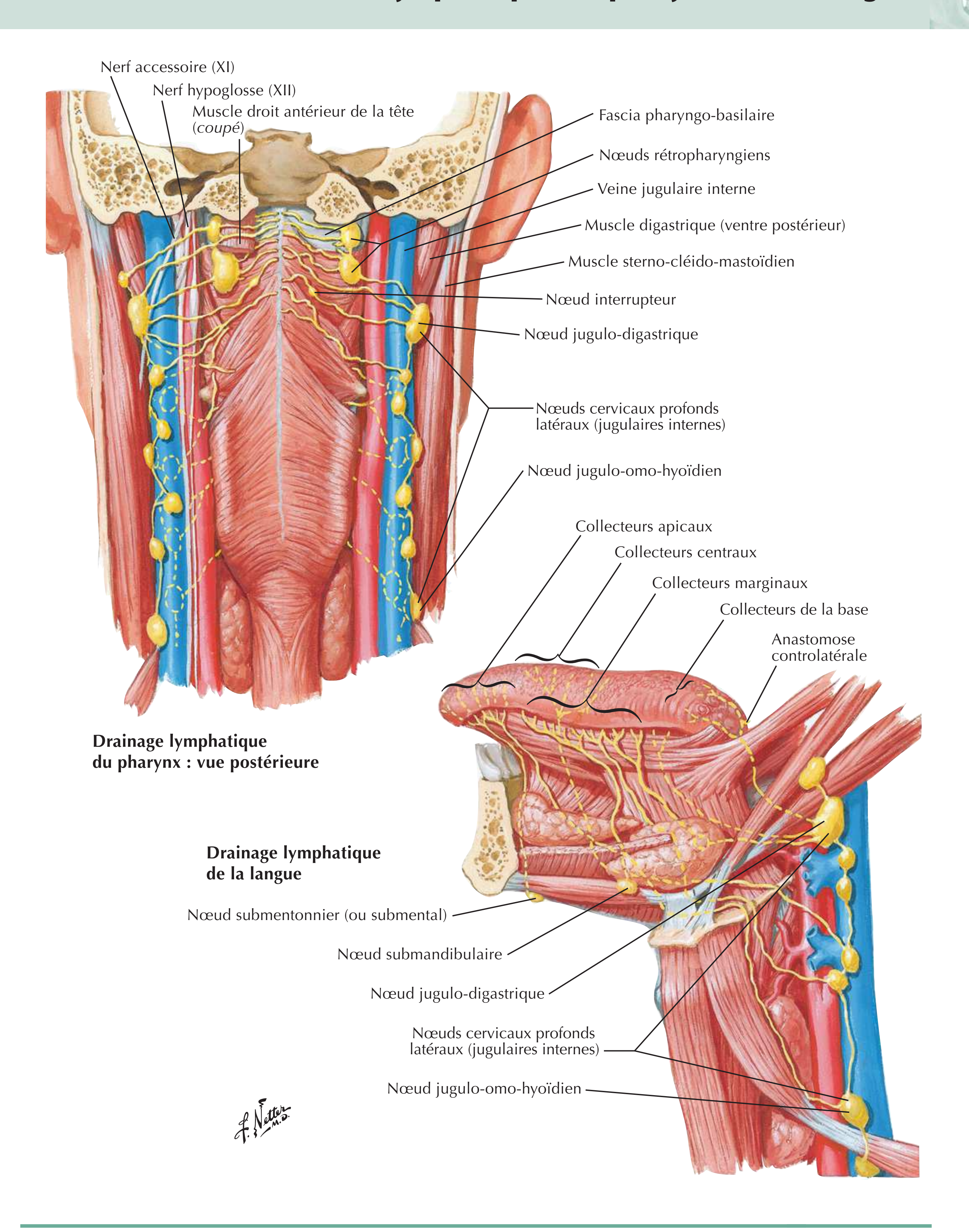


Vaisseaux et nœuds lymphatiques de la tête et du cou

Voir aussi **Planches 73, 105**



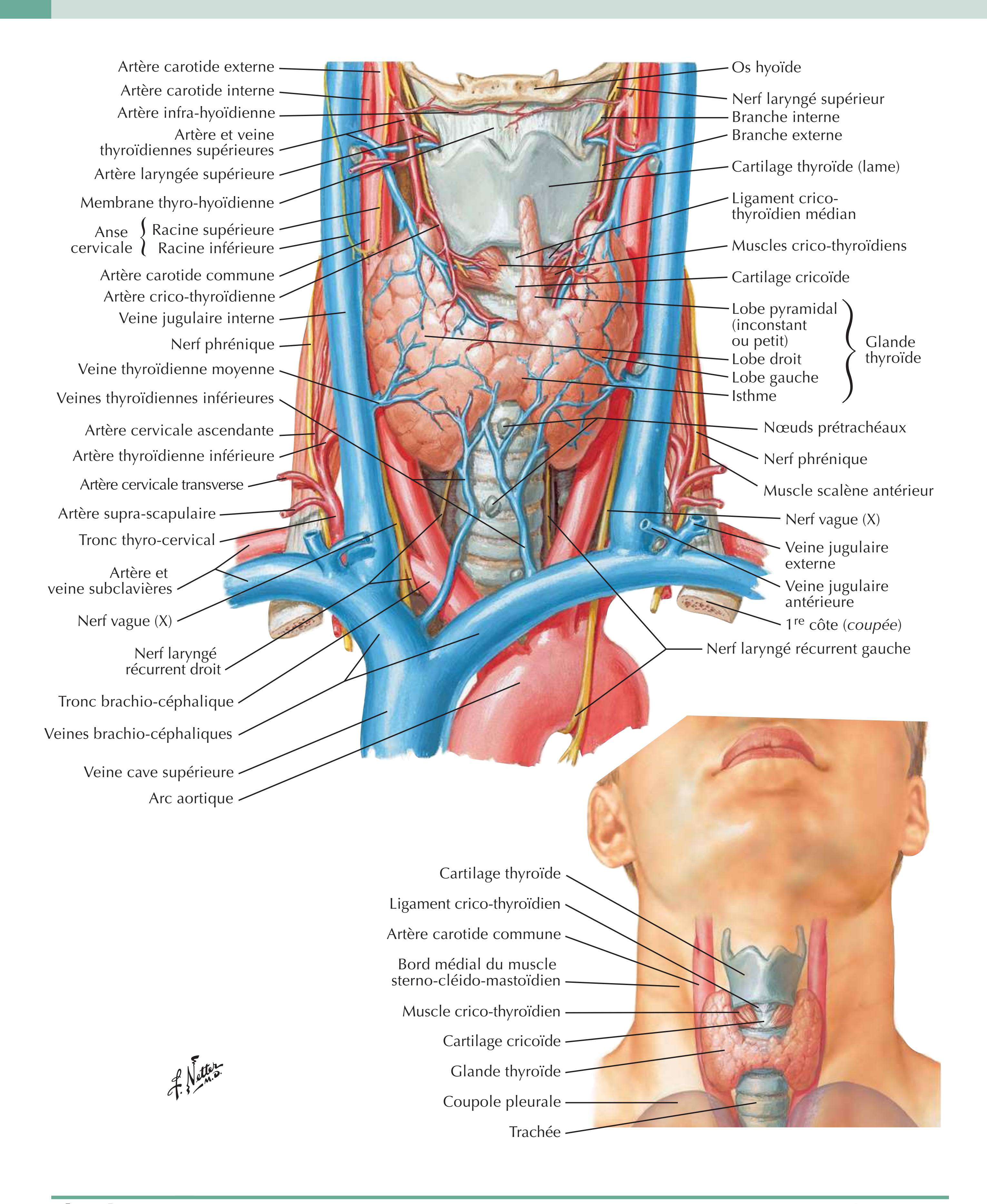
*Le groupe des nœuds lymphatiques supra-claviculaires (également nommé groupe cervical profond inférieur), surtout à gauche, sont aussi parfois nommés lymphonœuds signal ou sentinelle de Virchow ou de Troisier, surtout quand ils sont gros et palpables. Ces nœuds (ou un seul nœud) sont ainsi appelés car ils peuvent être le premier signe révélateur d'une maladie maligne des viscères.



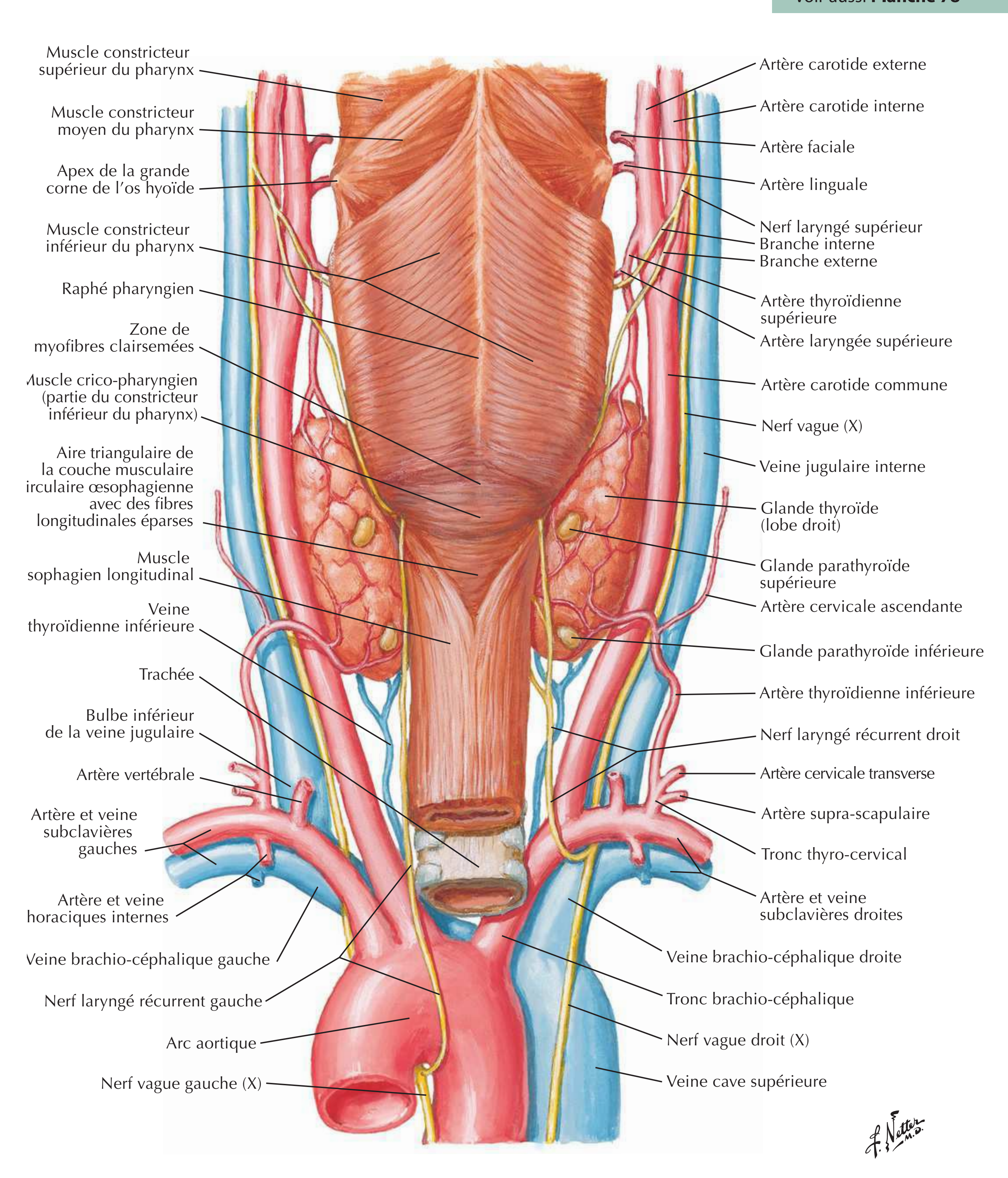
Drainage lymphatique du pharynx : vue postérieure

Drainage lymphatique de la langue

Glande thyroïde : vue antérieure

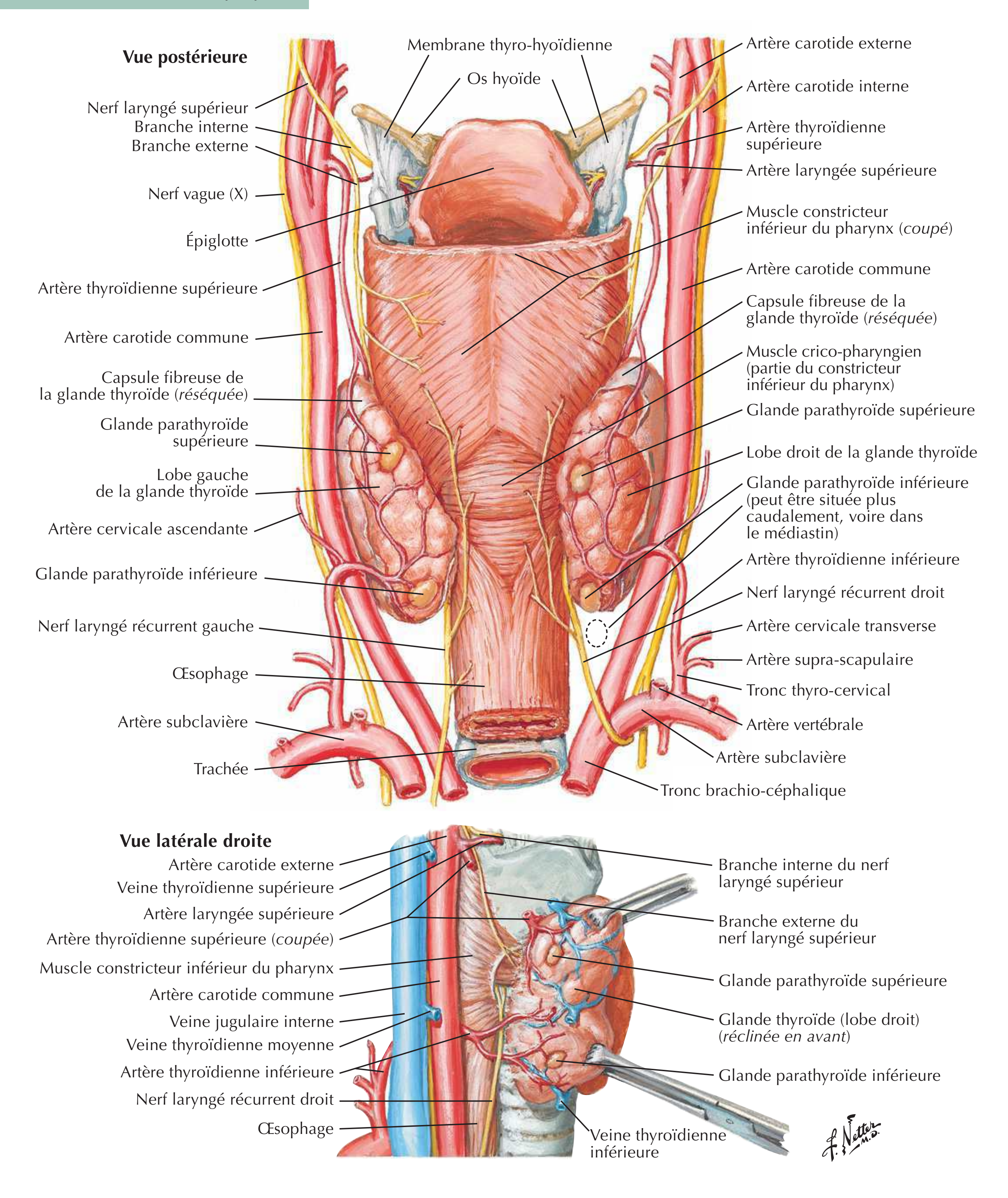


Voir aussi **Planche 78**

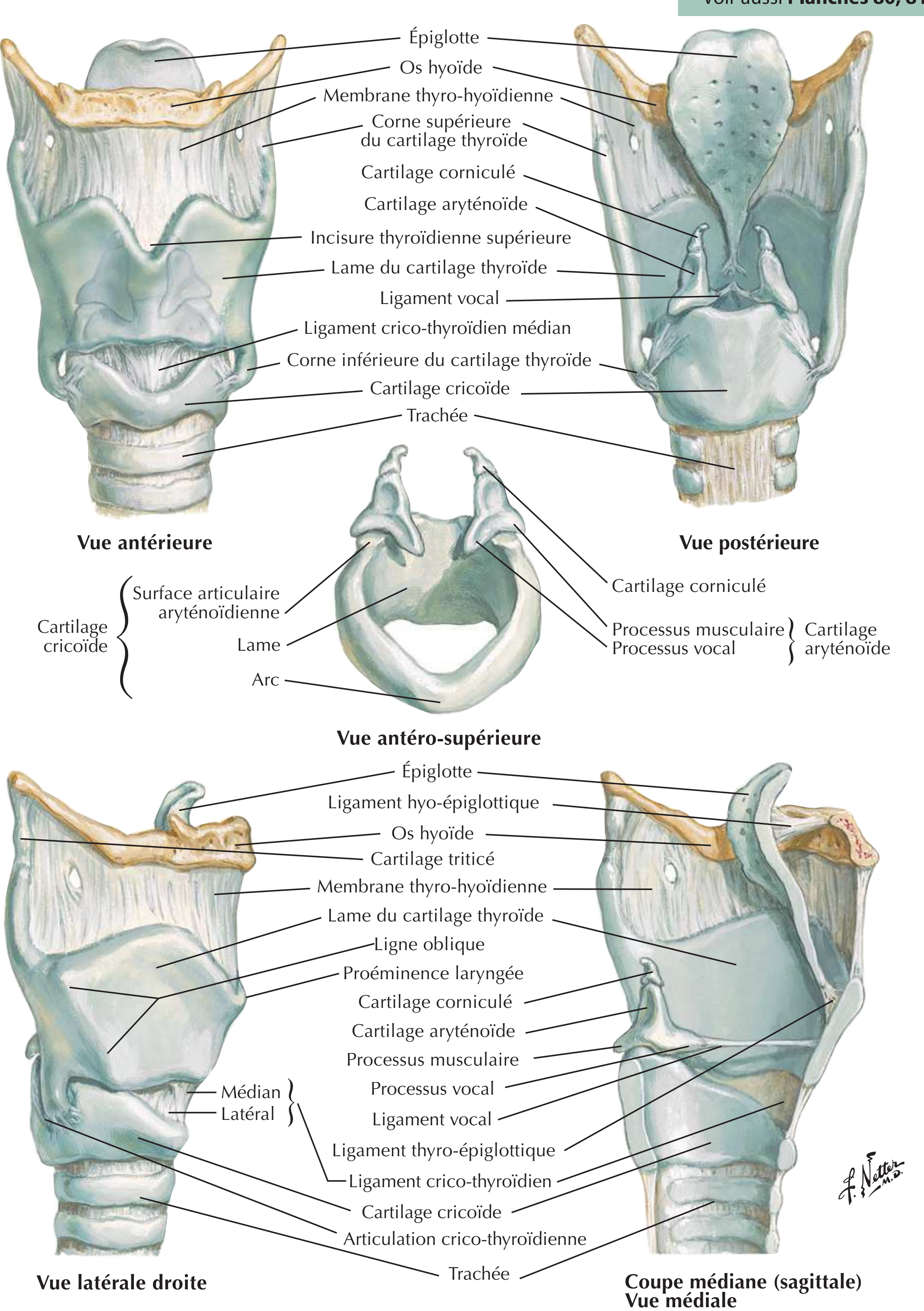


Glandes parathyroïdes

Voir aussi **Planches 69, 77, 82**

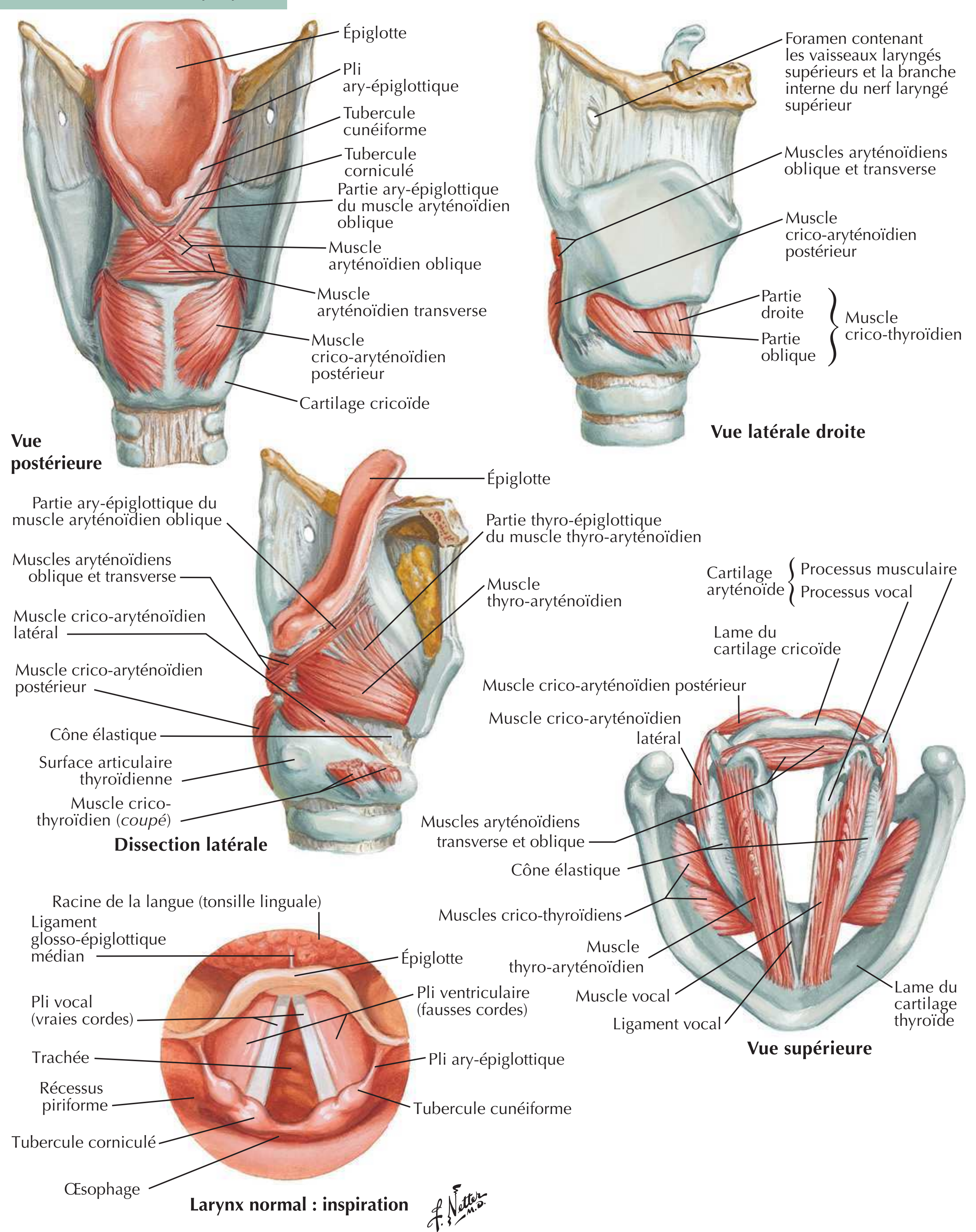


Voir aussi **Planches 80, 81, 82**

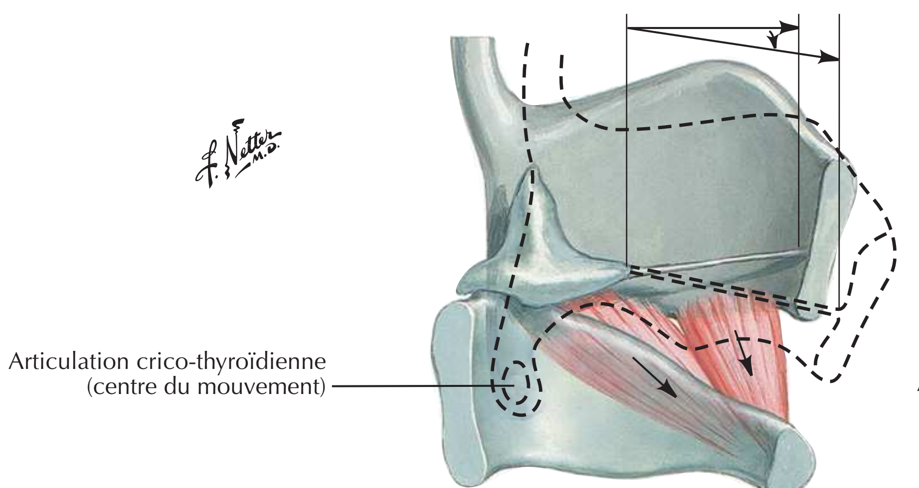


Muscles intrinsèques du larynx

Voir aussi **Planches 79, 81, 82**

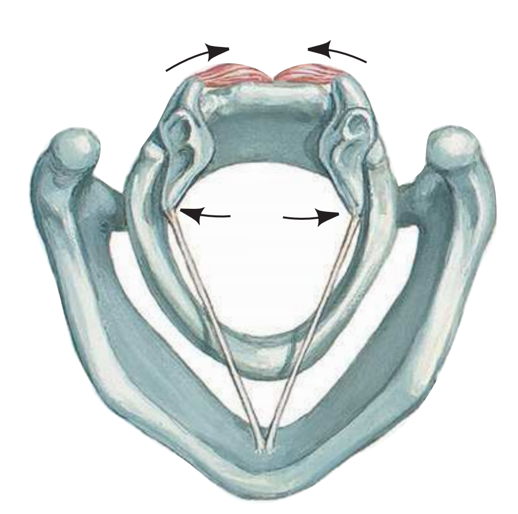


Voir aussi **Planches 79, 80, 82**



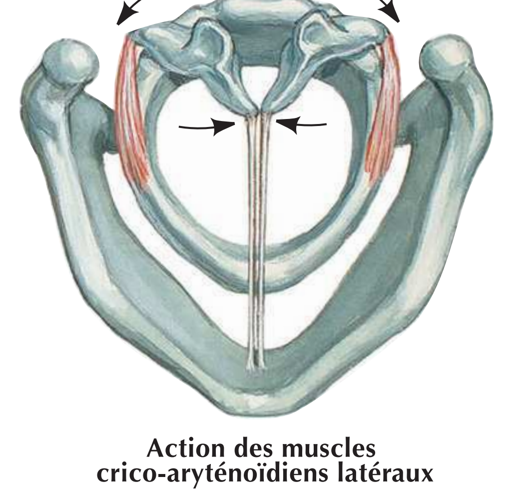
Action des muscles crico-thyroïdiens

Allongement (tension accrue) des ligaments vocaux



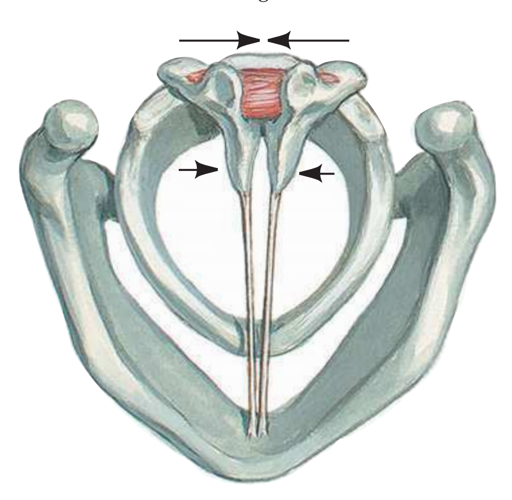
Action des muscles crico-aryténoïdiens postérieurs

Abduction des ligaments vocaux



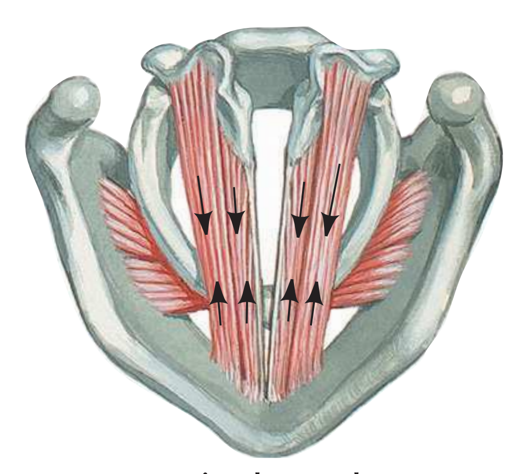
Action des muscles crico-aryténoïdiens latéraux

Adduction des ligaments vocaux



Action des muscles aryténoïdiens transverse et oblique

Adduction des ligaments vocaux

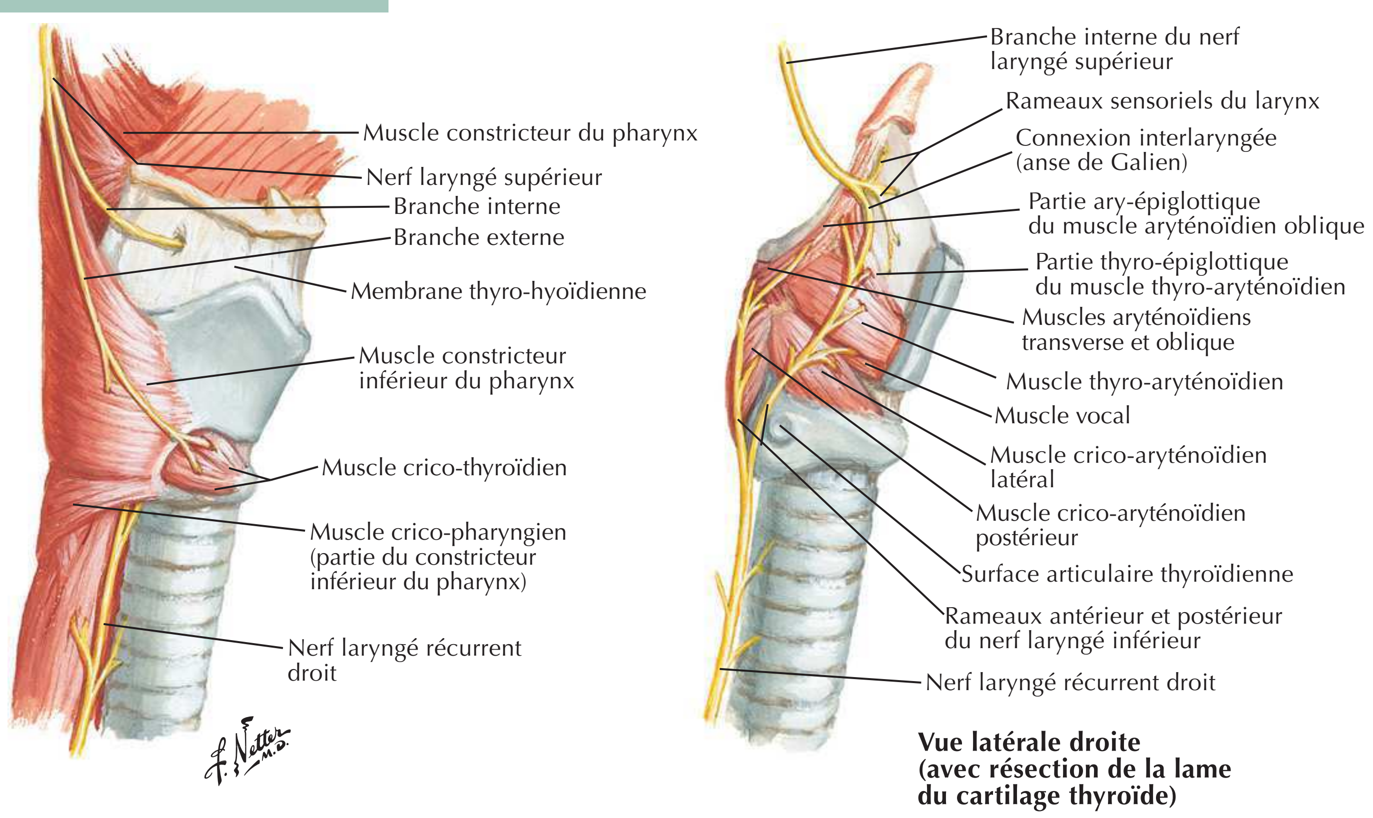


Action des muscles vocaux et thyro-aryténoïdiens

Raccourcissement (relâchement) des ligaments vocaux

Nerfs du larynx

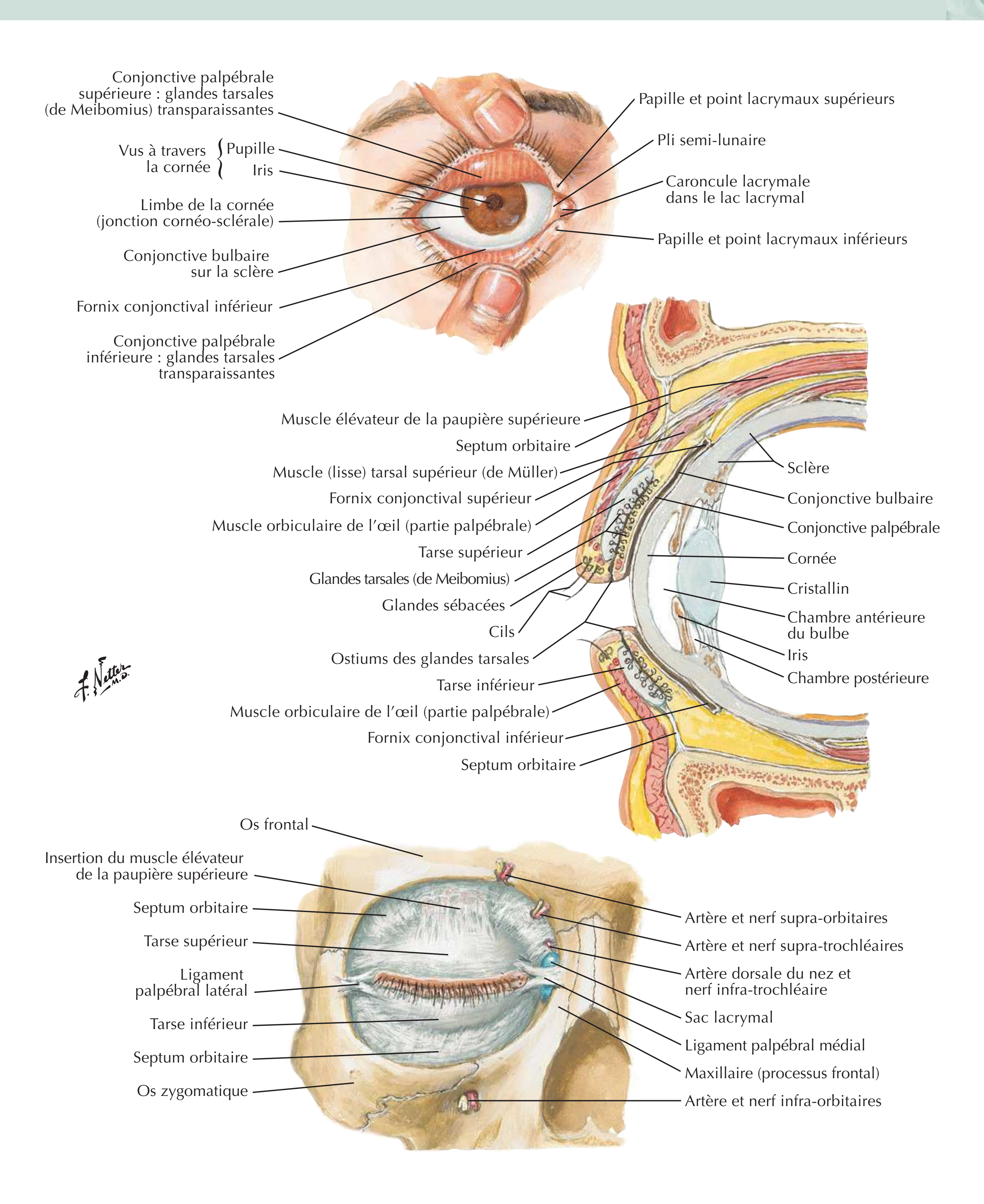
Voir aussi **Planches 79, 80, 81**



Vue latérale droite (avec résection de la lame du cartilage thyroïde)

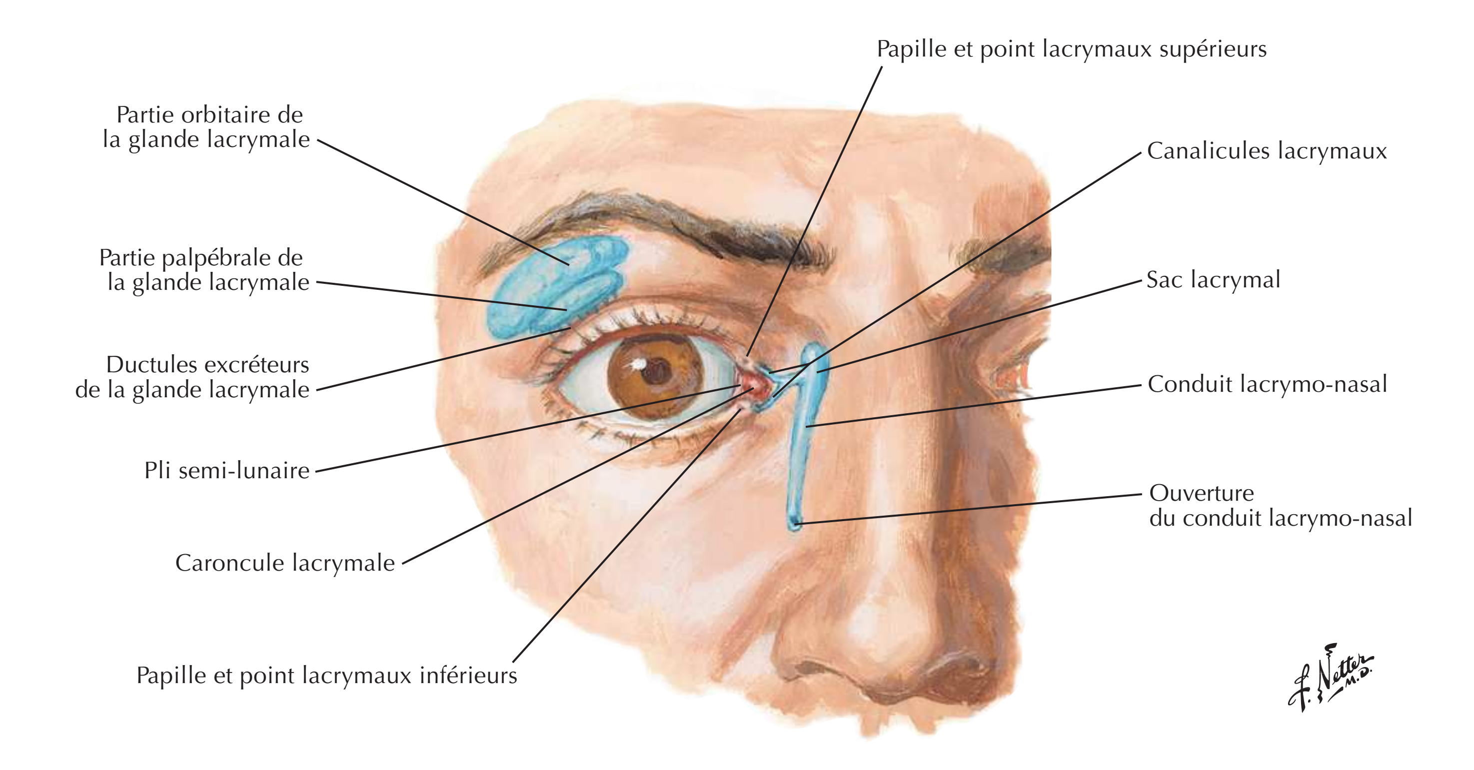
Coupe coronale à travers le larynx

Épiglotte
Veines thyroïdiennes supérieures
Nerf laryngé interne
Artère laryngée supérieure
Muscle thyro-hyoïdien
Partie ary-épiglottique du muscle aryténoïdien oblique
Cartilage thyroïde
Muscle crico-aryténoïdien latéral
Muscle crico-thyroïdien
Muscle constricteur inférieur
Muscle sterno-thyroïdien
Cartilage cricoïde
Glande thyroïde
Nerf laryngé récurrent
Artère laryngée inférieure
Os hyoïde
Vestibule
Pli vestibulaire
Pli vocal
Muscle vocal
Veines thyroïdiennes supérieures
Cône élastique
Région infra-glottique


Conjonctive palpébrale supérieure : glandes tarsales (de Meibomius) transparaissantes
Vus à travers la cornée
Pupille
Iris
Limbe de la cornée (jonction cornéo-sclérale)
Conjonctive bulbaire sur la sclère
Fornix conjonctival inférieur
Conjonctive palpébrale inférieure : glandes tarsales transparaissantes
Papille et point lacrymaux supérieurs
Pli semi-lunaire
Caroncule lacrymale dans le lac lacrymal
Papille et point lacrymaux inférieurs
Muscle élévateur de la paupière supérieure
Septum orbitaire
Muscle (lisse) tarsal supérieur (de Müller)
Fornix conjonctival supérieur
Muscle orbiculaire de l'œil (partie palpébrale)
Tarse supérieur
Glandes tarsales (de Meibomius)
Glandes sébacées
Cils
Ostiums des glandes tarsales
Tarse inférieur
Muscle orbiculaire de l'œil (partie palpébrale)
Fornix conjonctival inférieur
Septum orbitaire
Sclère
Conjonctive bulbaire
Conjonctive palpébrale
Cornée
Cristallin
Chambre antérieure du bulbe
Iris
Chambre postérieure
F. Netter M.D.
Os frontal
Insertion du muscle élévateur de la paupière supérieure
Septum orbitaire
Tarse supérieur
Ligament palpébral latéral
Tarse inférieur
Septum orbitaire
Os zygomatique
Artère et nerf supra-orbitaires
Artère et nerf supra-trochléaires
Artère dorsale du nez et nerf infra-trochléaire
Sac lacrymal
Ligament palpébral médial
Maxillaire (processus frontal)
Artère et nerf infra-orbitaires

1 Appareil lacrymal

Voir aussi **Planche 134**



Papille et point lacrymaux supérieurs

Os frontal (*réséqué*)

Partie orbitaire de la glande lacrymale

Canalicules lacrymaux

Sac lacrymal

Partie palpébrale de la glande lacrymale

Ductules excréteurs de la glande lacrymale

Conduit lacrymo-nasal

Cornet nasal moyen

Pli semi-lunaire et lac lacrymal

Cavité nasale

Caroncule lacrymale

Cornet nasal inférieur (*coupé*)

Papille et point lacrymaux inférieurs

Méat nasal inférieur

Ouverture du conduit lacrymo-nasal et site de la valve de Hasner

Fascias de l'orbite et de l'œil

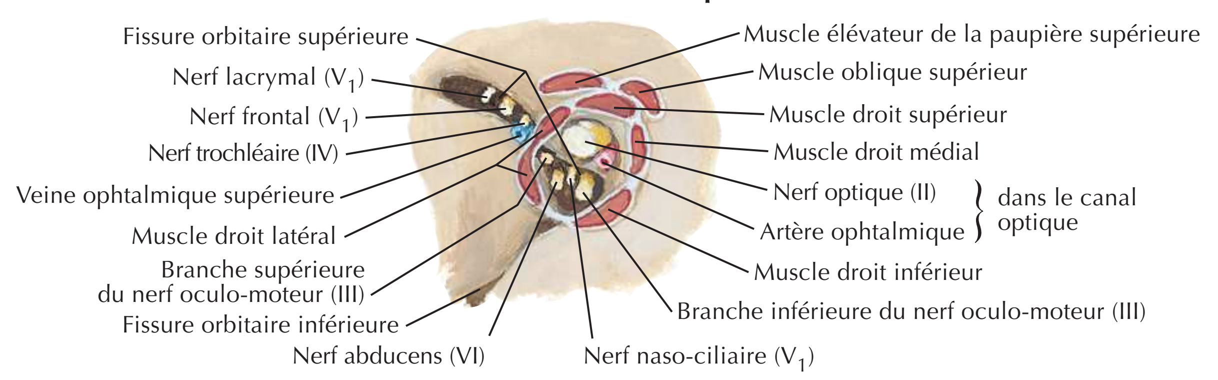
Coupe horizontale

Tarse de la paupière
Conjonctive palpébrale
Conjonctive bulbaire
Cristallin
Cornée
Ligament palpébral médial
Cavité nasale
Expansion ligamentaire du muscle droit médial
Cellules ethmoïdales
Périorbite
Muscle droit médial et son fascia
Gaine du bulbe de l'œil (capsule de Tenon)
Sclère
Espace épiscléral
Nerf optique (II) et sa gaine
Sinus sphénoïdal
Ligament palpébral latéral
Expansion ligamentaire du muscle droit latéral
Périorbite
Sclère
Gaine du bulbe de l'œil (capsule de Tenon)
Espace épiscléral
Muscle droit latéral et son fascia
Corps adipeux de l'orbite
Anneau tendineux commun

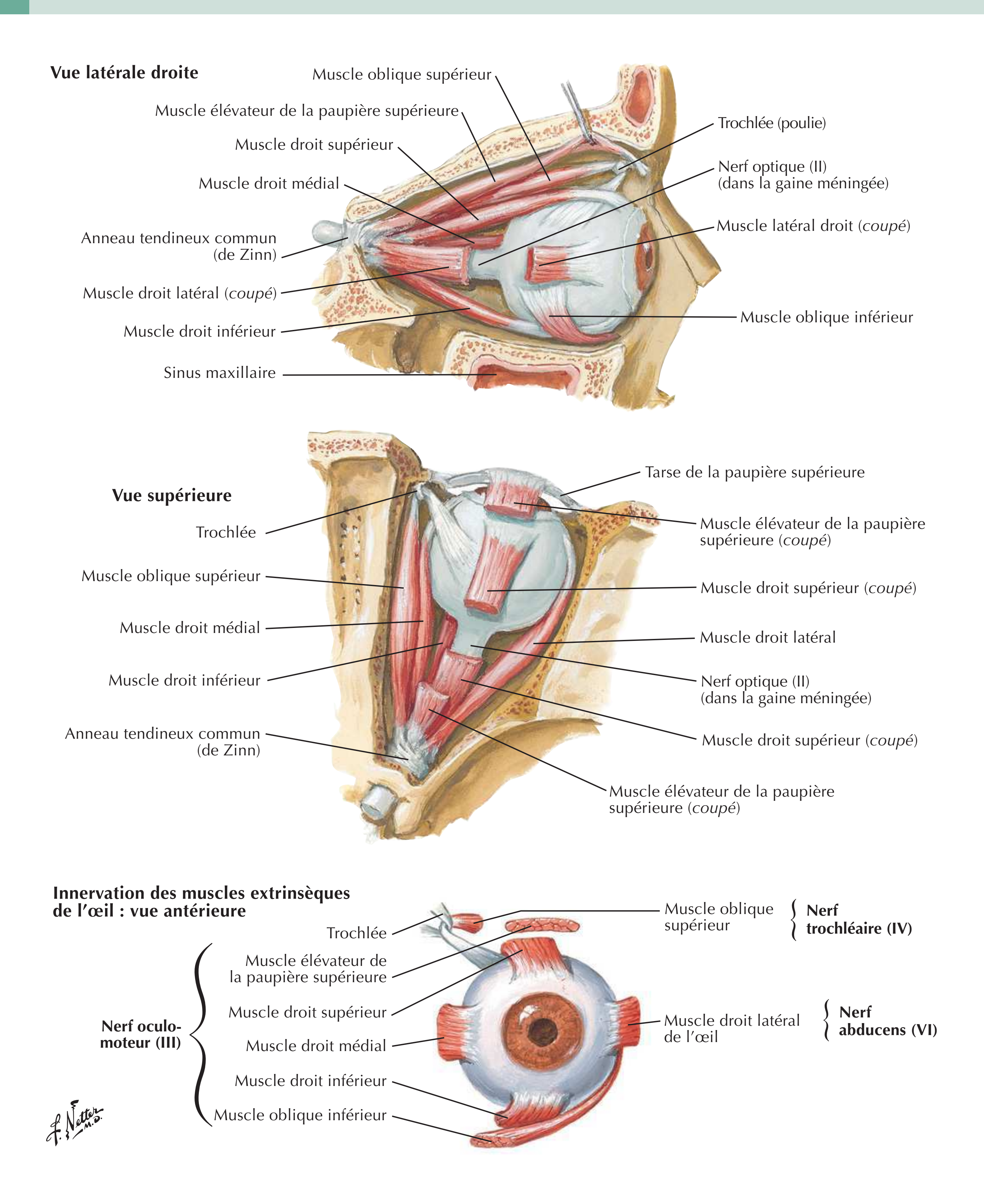
Coupe frontale

Muscle élévateur de la paupière supérieure et son fascia
Disque du nerf optique
Muscle oblique supérieur et son fascia
Muscle droit médial et son fascia
Périorbite
Cellule ethmoïdale
Sclère
Gaine du bulbe de l'œil (capsule de Tenon)
Muscle droit inférieur et son fascia
Muscle oblique inférieur et son fascia
Nerf infra-orbitaire (V_2)
Muscle droit supérieur et son fascia
Glande lacrymale
Muscle droit latéral et son fascia
Périorbite
Sclère
Gaine du bulbe de l'œil (capsule de Tenon)
Espace épiscléral

Insertions musculaires et nerfs et vaisseaux pénétrant dans l'orbite

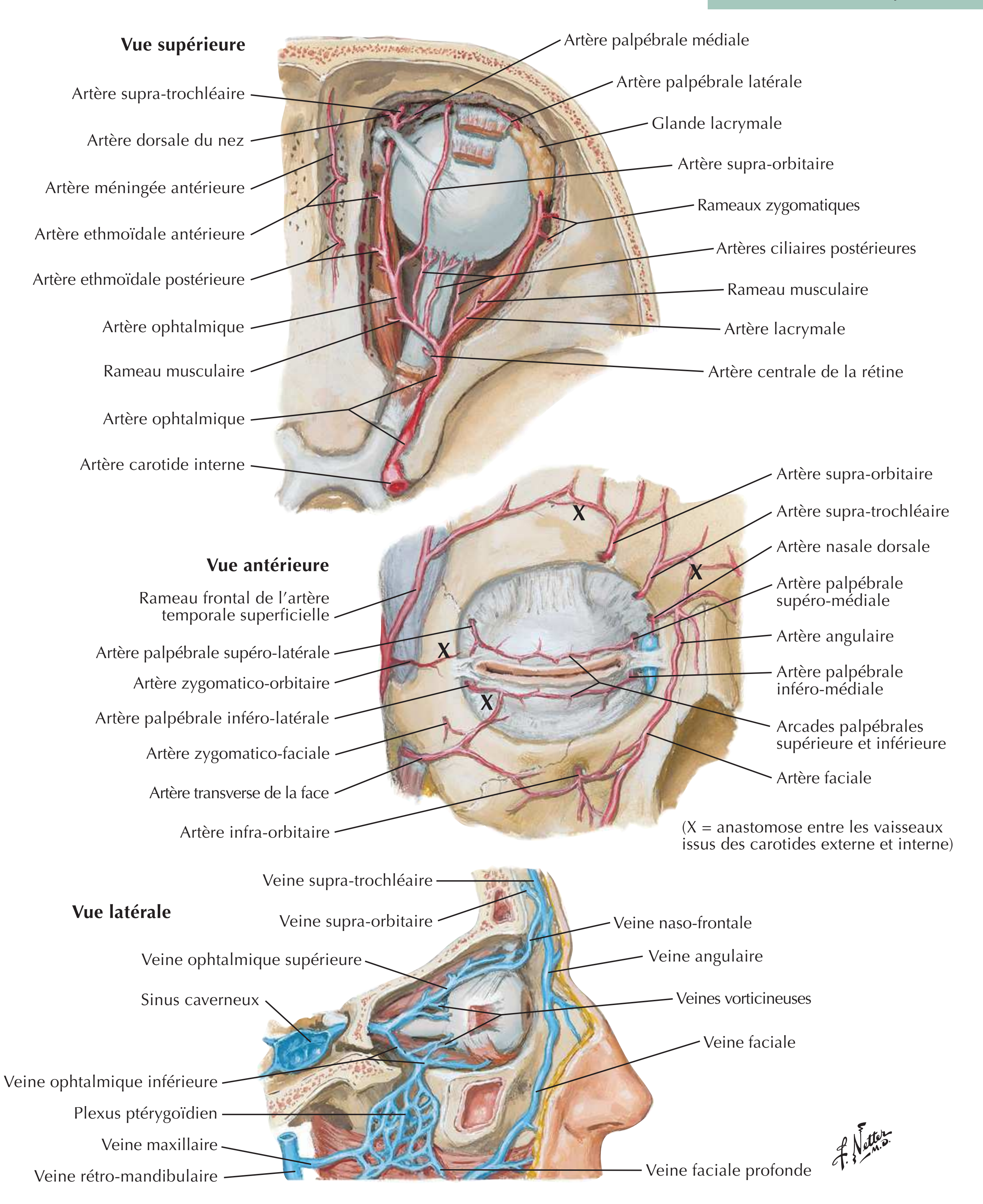


Muscles extrinsèques de l'œil



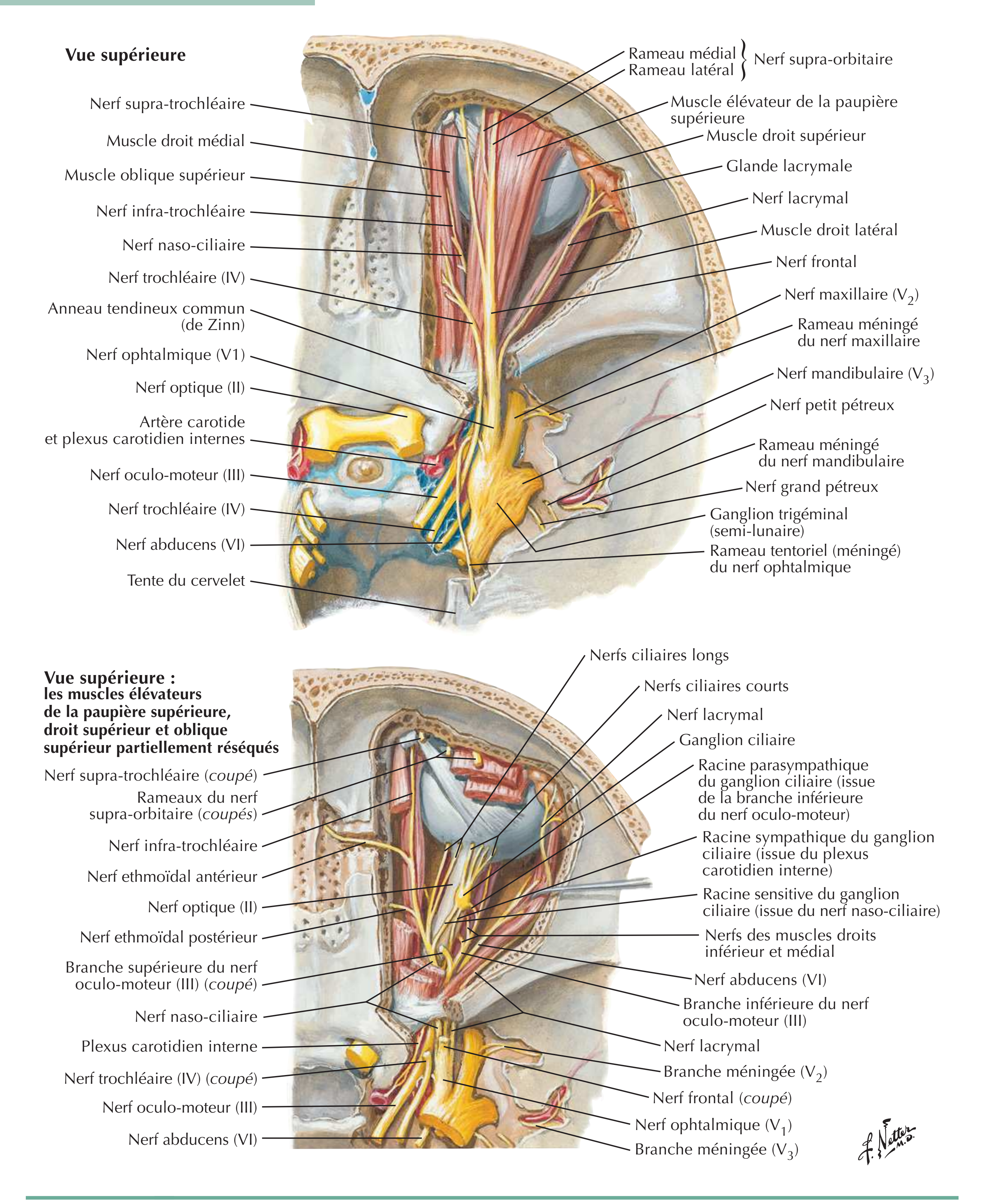
Artères et veines de l'orbite et des paupières

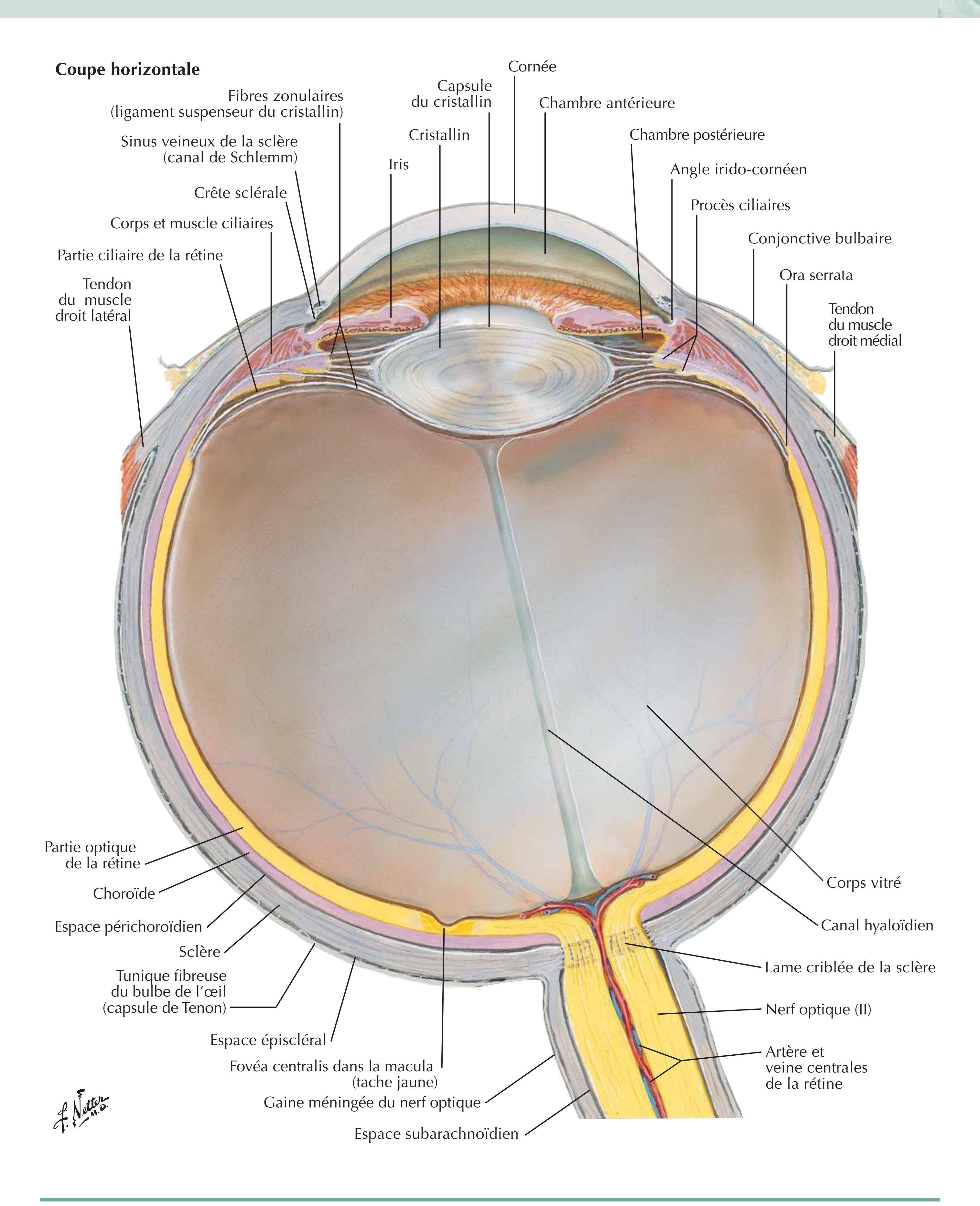
Voir aussi **Planches 3, 105**



Nerfs de l'orbite

Voir aussi **Planches 52, 122, 123**



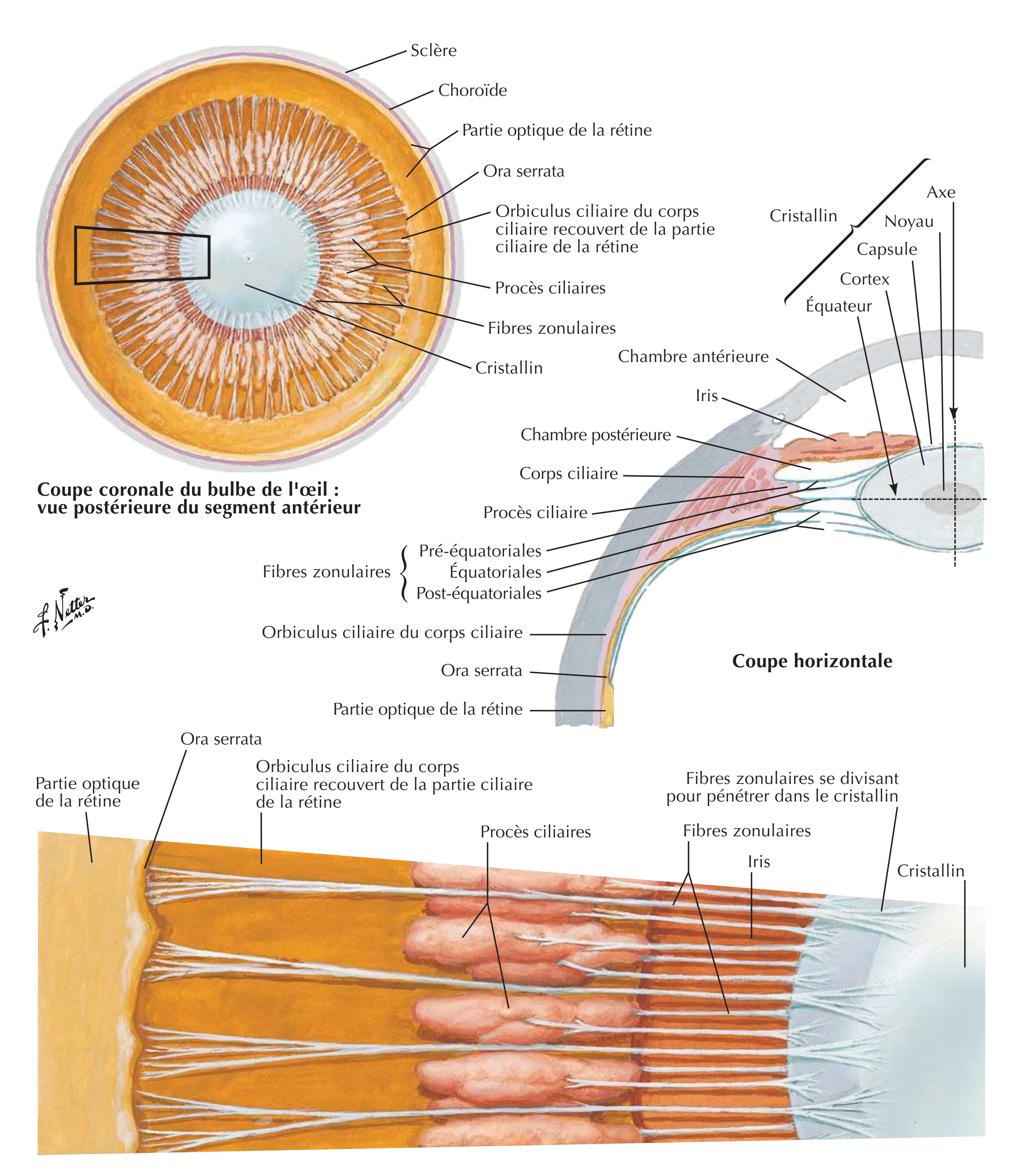

Coupe horizontale
Cornée
Capsule du cristallin
Chambre antérieure
Fibres zonulaires (ligament suspenseur du cristallin)
Cristallin
Chambre postérieure
Sinus veineux de la sclère (canal de Schlemm)
Iris
Angle irido-cornéen
Crête sclérale
Procès ciliaires
Corps et muscle ciliaires
Conjonctive bulbaire
Partie ciliaire de la rétine
Ora serrata
Tendon du muscle droit latéral
Tendon du muscle droit médial
Partie optique de la rétine
Corps vitré
Choroïde
Canal hyaloïdien
Espace périchoroïdien
Sclère
Lame criblée de la sclère
Tunique fibreuse du bulbe de l'œil (capsule de Tenon)
Nerf optique (II)
Espace épiscléral
Artère et veine centrales de la rétine
Fovéa centralis dans la macula (tache jaune)
Gaine méningée du nerf optique
Espace subarachnoïdien
F. Netter M.D.

Chambres antérieure et postérieure de l’œil

Ligne de Schwalbe
Lame limitante postérieure (membrane de Descemet)
Trabécules et espaces de l’angle irido-cornéen (de Fontana)
Endothélium cornéen (épithélium de la chambre postérieure)
Sinus veineux de la sclère (canal de Schlemm)
Cornée
Crête sclérale
Angle irido-cornéen
Ligament pectiné
Grand cercle artériel de l’iris
Veine ciliaire antérieure
Conjonctive bulbaire
Sclère
Chambre antérieure
Plis de l’iris
Petit cercle artériel de l’iris
Cristallin
Chambre postérieure
Procès ciliaires
Partie ciliaire de la rétine
Fibres méridiennes
Fibres circulaires
Muscle ciliaire
Corps ciliaire
Muscle dilatateur de la pupille
Fibres zonulaires (ligament suspenseur du cristallin)
Épithélium pigmenté (partie iridienne de la rétine)
Noyau du cristallin
Capsule du cristallin
Muscle sphincter de la pupille
Espace périchoroïdien

Note : par souci de clarté, il est représenté un seul plan de fibres zonulaires ; en fait, ces fibres entourent complètement l’équateur du cristallin



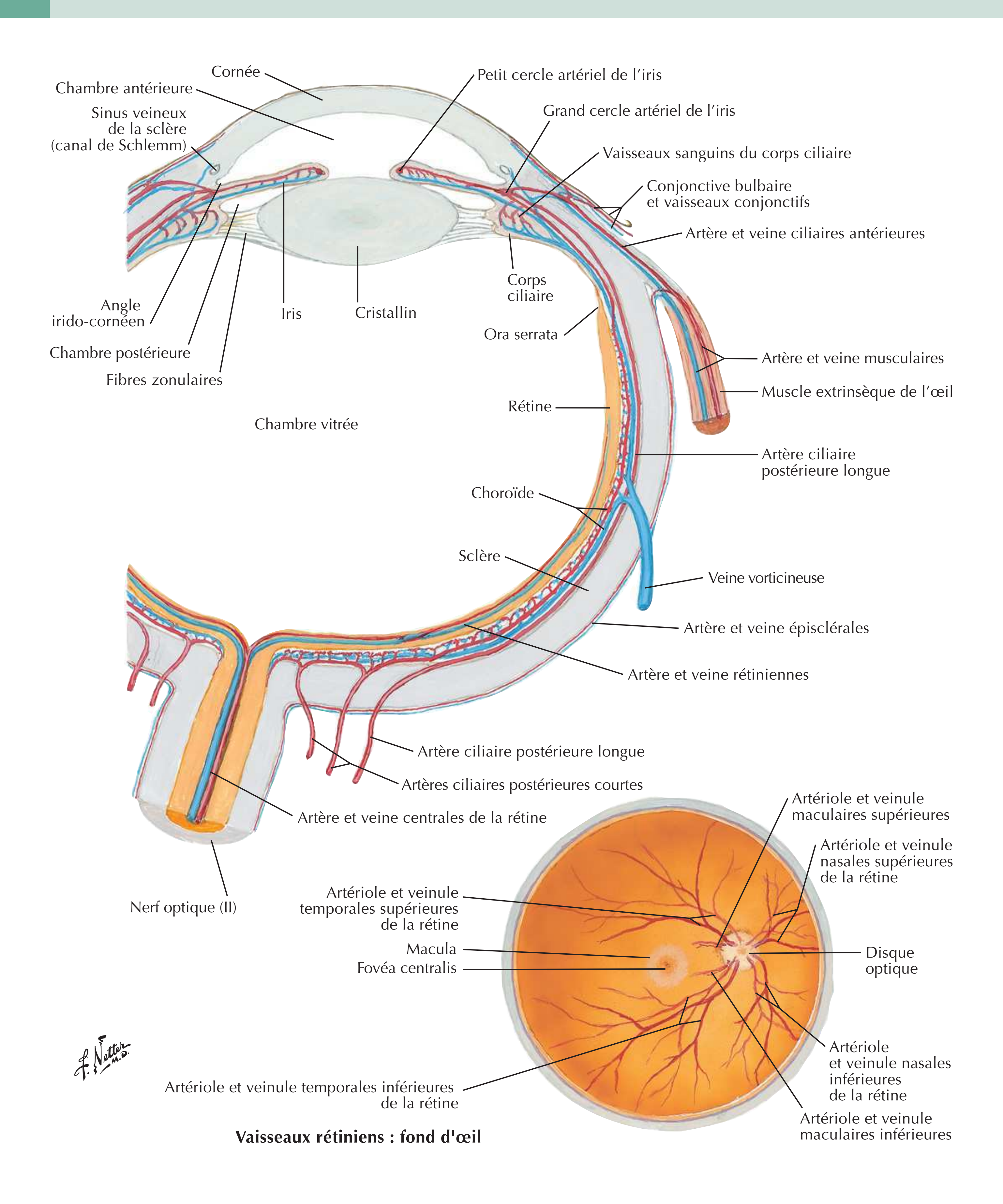


Coupe coronale du bulbe de l'œil : vue postérieure du segment antérieur

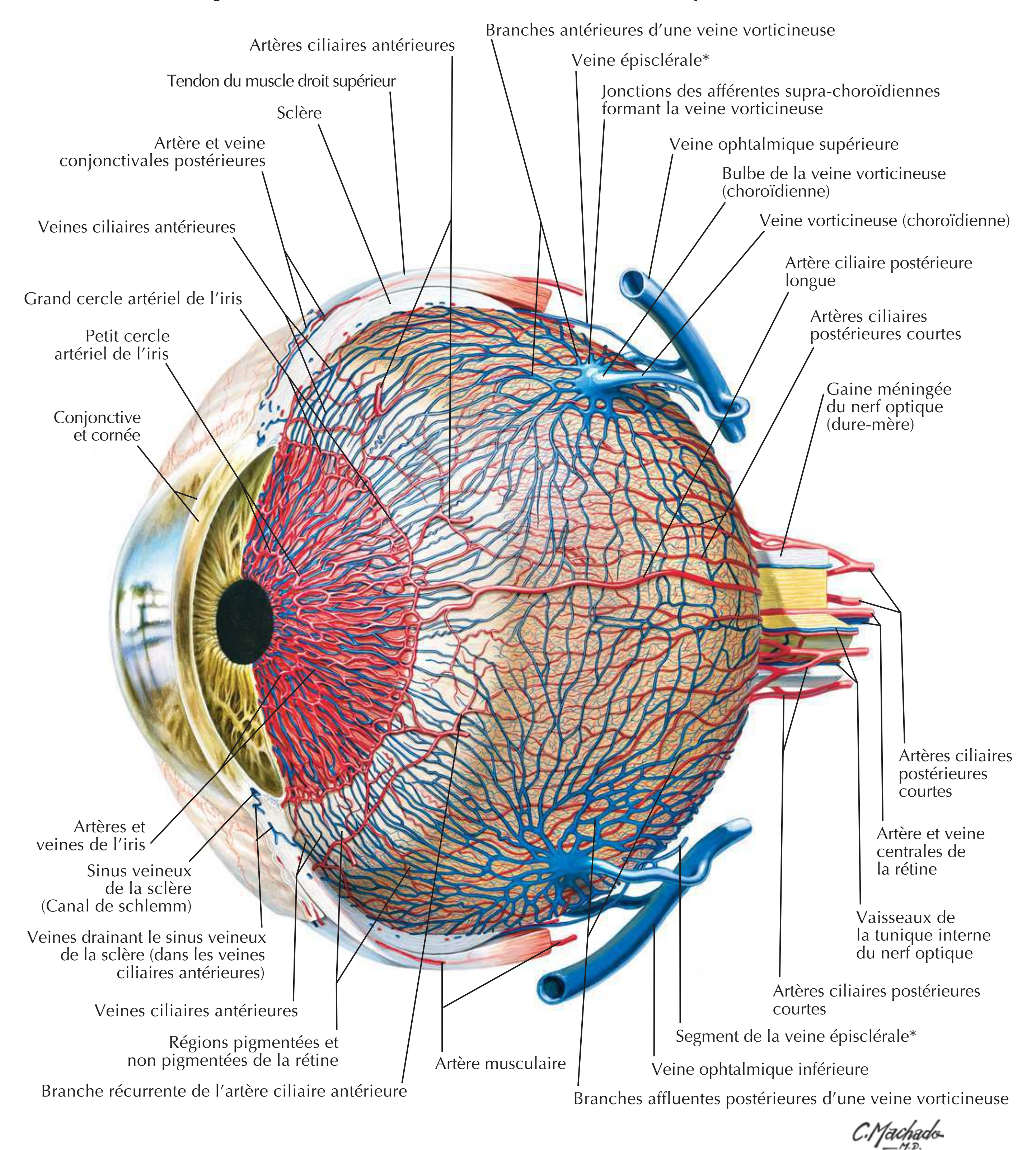
Coupe horizontale

Fort grossissement du cartouche de la figure ci-dessus (semi-schématique)

Artères et veines intrinsèques de l'œil

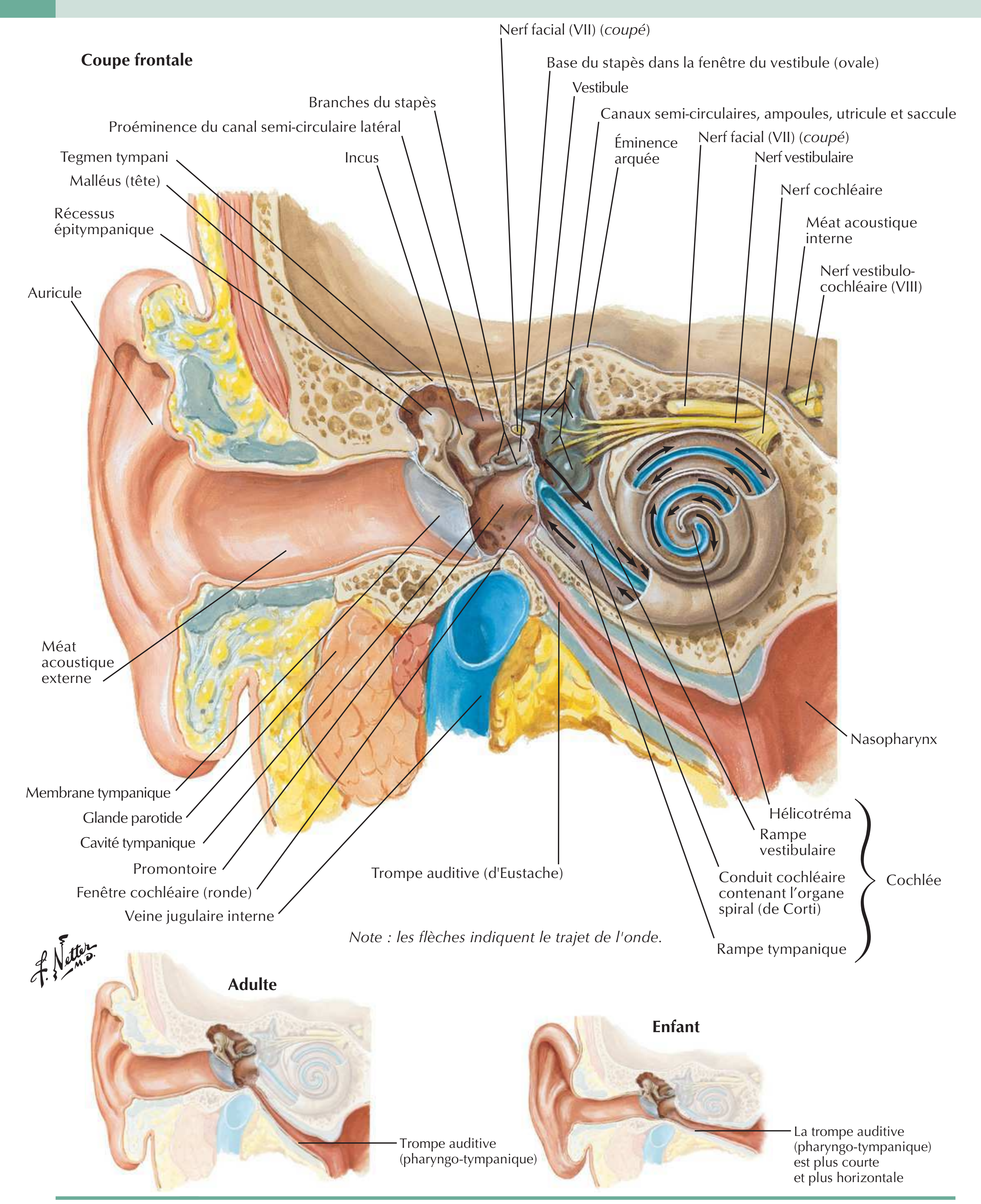


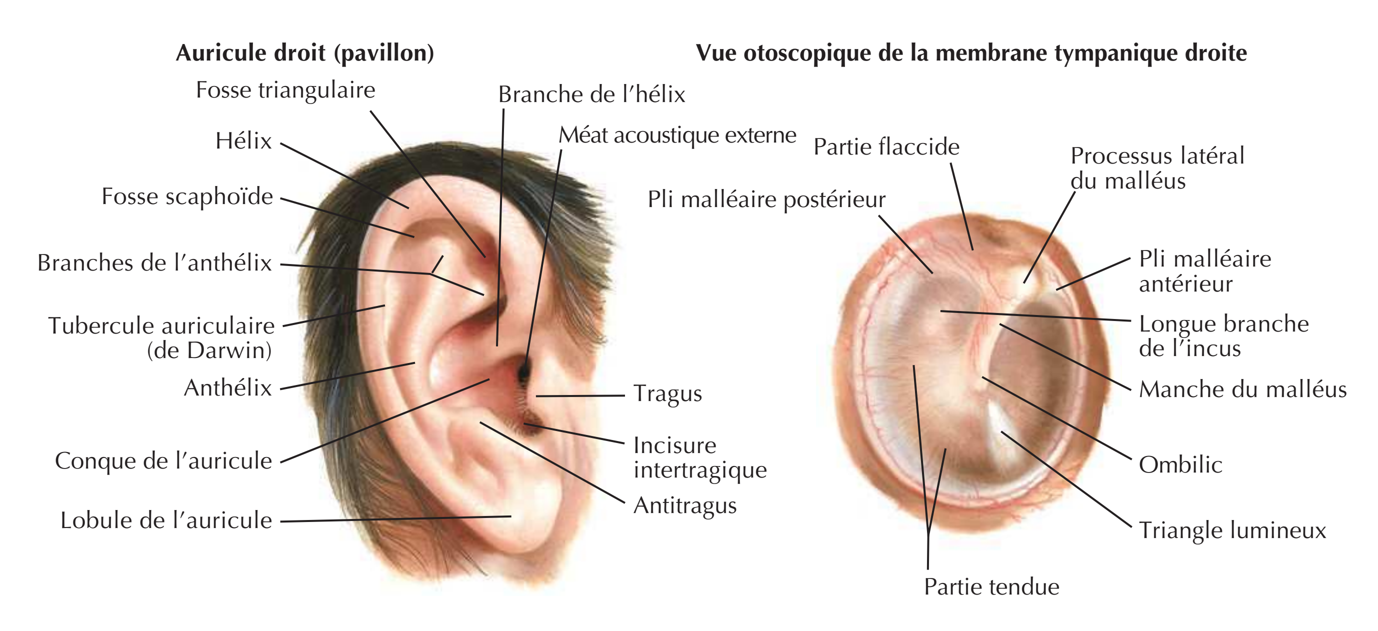
Vaisseaux rétiniens : fond d'œil

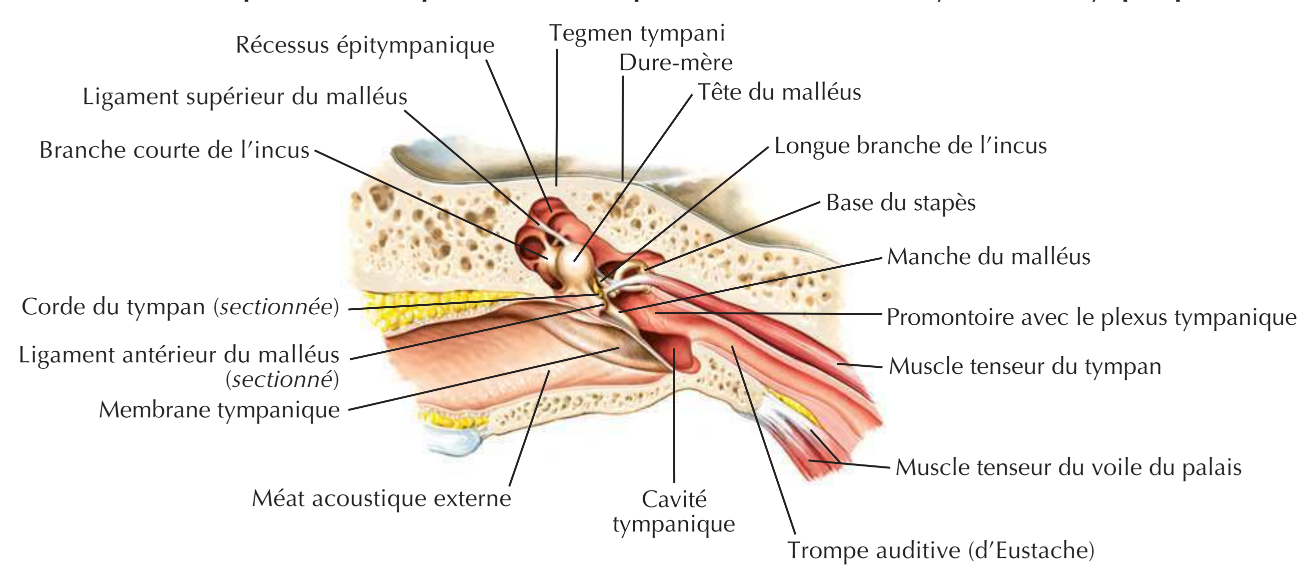


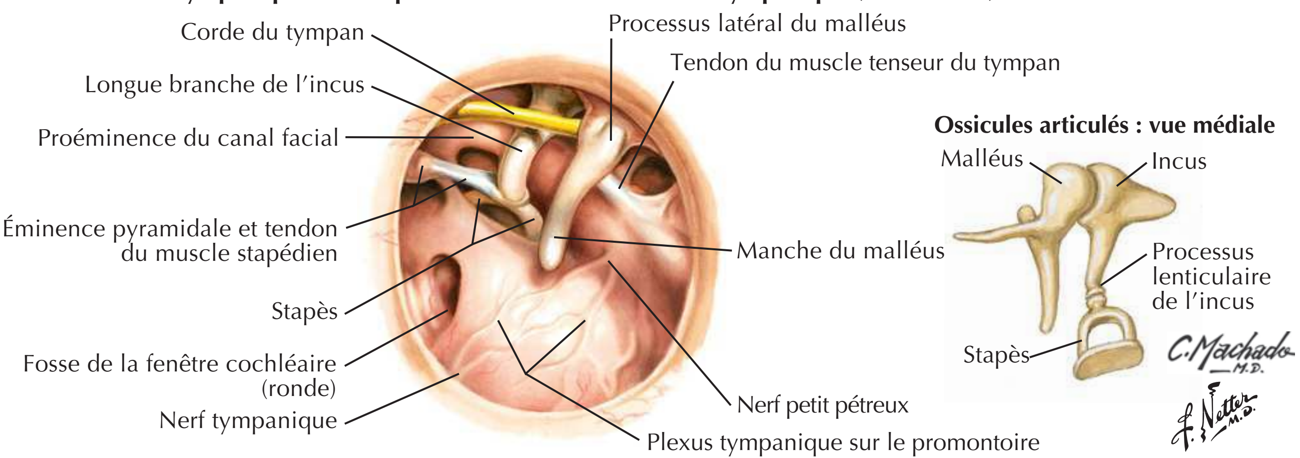
*Les veines épisclérales sont montrées ici s'anastomosant avec les veines vorticineuses de façon normale; cependant, elles se drainent aussi dans les veines ciliaires antérieures.

Trajet des sons perçus



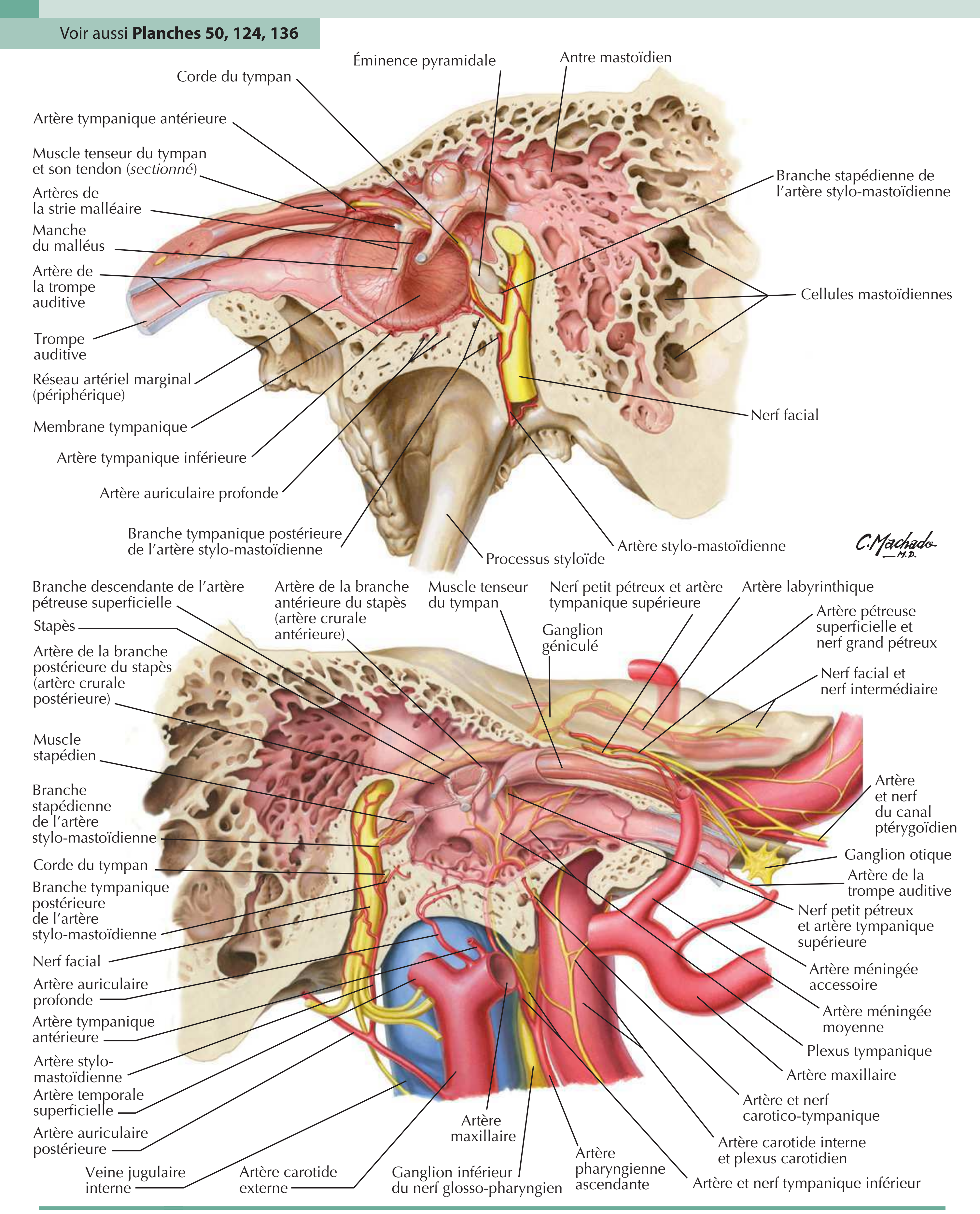

Auricule droit (pavillon)
Fosse triangulaire
Branche de l'hélix
Méat acoustique externe
Hélix
Fosse scaphoïde
Branches de l'anthélix
Tubercule auriculaire (de Darwin)
Anthélix
Tragus
Incisure intertragique
Conque de l'auricule
Antitragus
Lobule de l'auricule
Vue otoscopique de la membrane tympanique droite
Partie flaccide
Processus latéral du malléus
Pli malléaire postérieur
Pli malléaire antérieur
Longue branche de l'incus
Manche du malléus
Ombilic
Triangle lumineux
Partie tendue


Coupe coronale oblique du méat acoustique externe et de l'oreille moyenne (cavité tympanique)
Tegmen tympani
Récessus épitympanique
Dure-mère
Tête du malléus
Ligament supérieur du malléus
Longue branche de l'incus
Branche courte de l'incus
Base du stapès
Manche du malléus
Corde du tympan (sectionnée)
Promontoire avec le plexus tympanique
Ligament antérieur du malléus (sectionné)
Muscle tenseur du tympan
Membrane tympanique
Muscle tenseur du voile du palais
Méat acoustique externe
Cavité tympanique
Trompe auditive (d'Eustache)

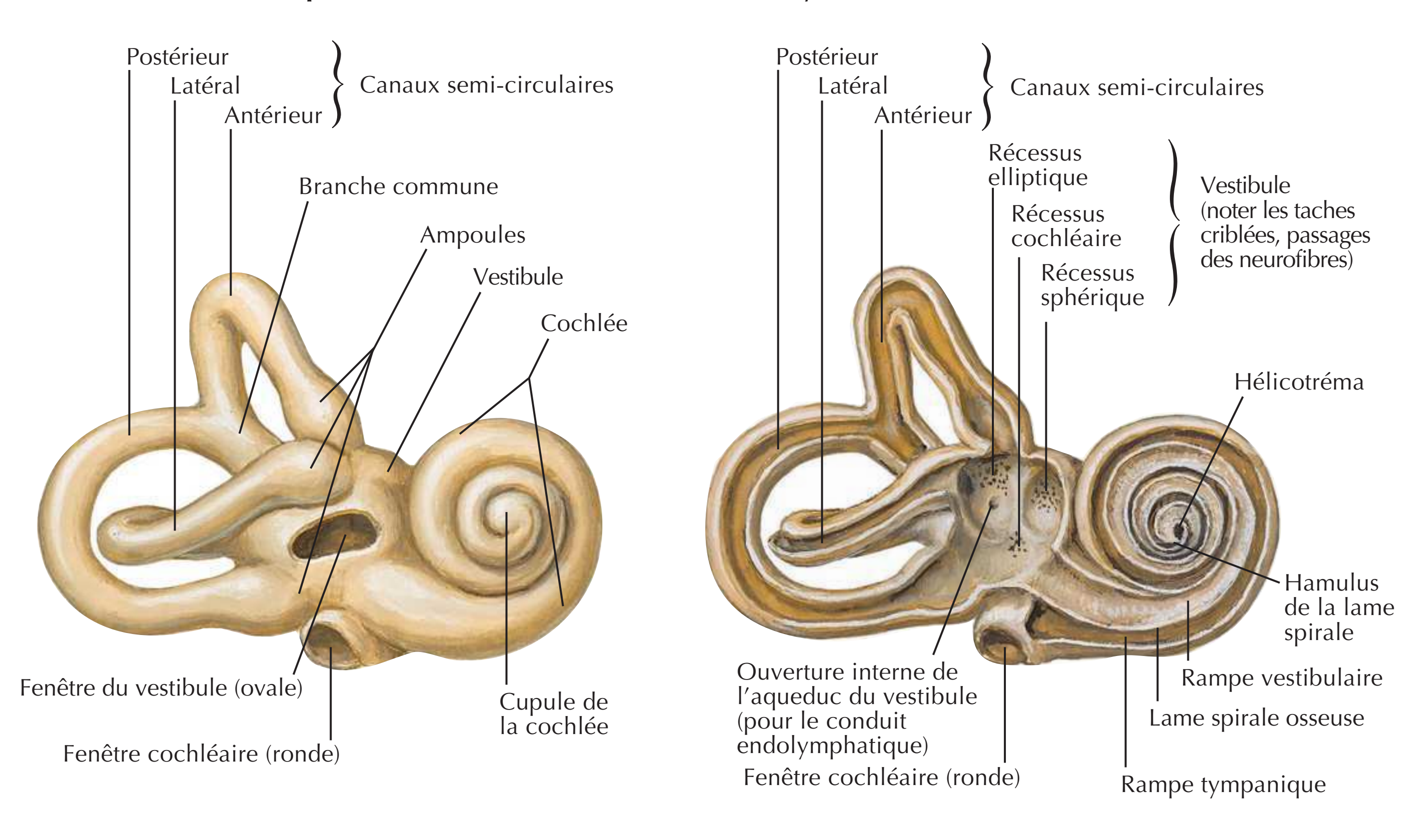

Cavité tympanique droite après ablation de la membrane tympanique (vue latérale)
Corde du tympan
Processus latéral du malléus
Tendon du muscle tenseur du tympan
Longue branche de l'incus
Proéminence du canal facial
Éminence pyramidale et tendon du muscle stapédien
Manche du malléus
Stapès
Fosse de la fenêtre cochléaire (ronde)
Nerf tympanique
Nerf petit pétreux
Plexus tympanique sur le promontoire
Ossicules articulés : vue médiale
Malléus
Incus
Processus lenticulaire de l'incus
Stapès
C.Machado M.D.
F. Netter M.D.

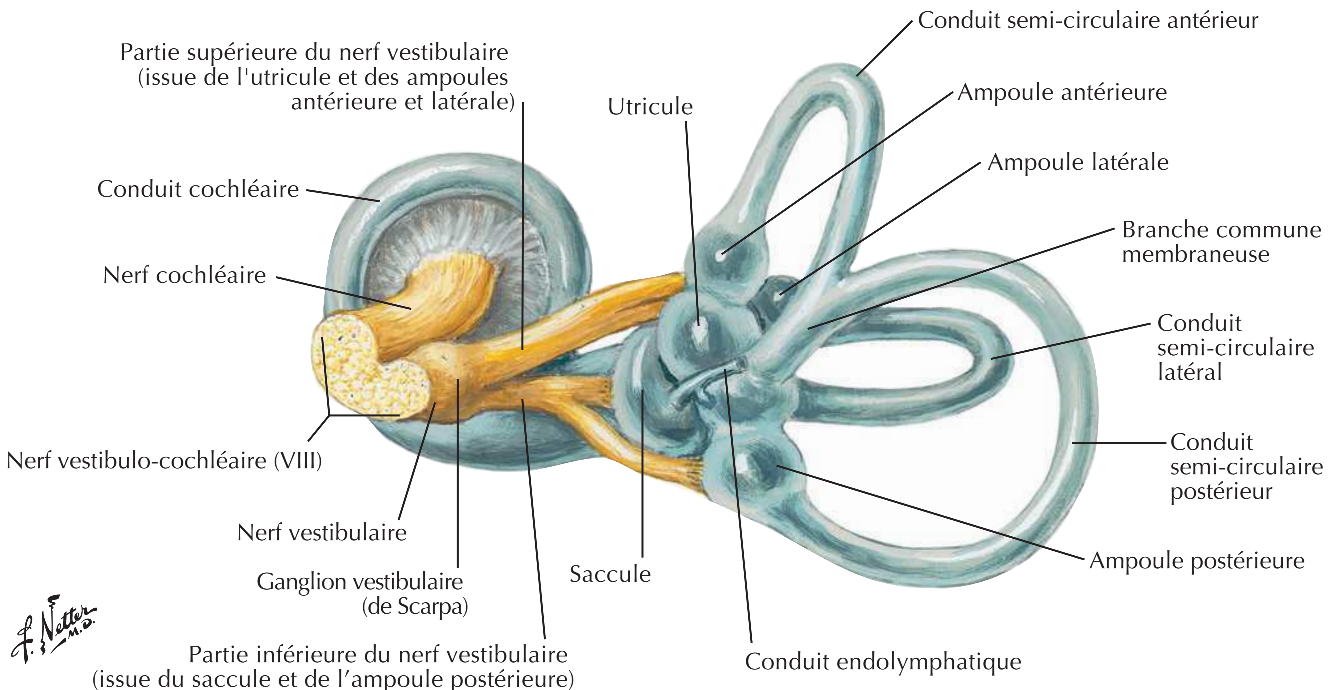
Cavité tympanique

Voir aussi **Planches 50, 124, 136**



Voir aussi **Planche 125**



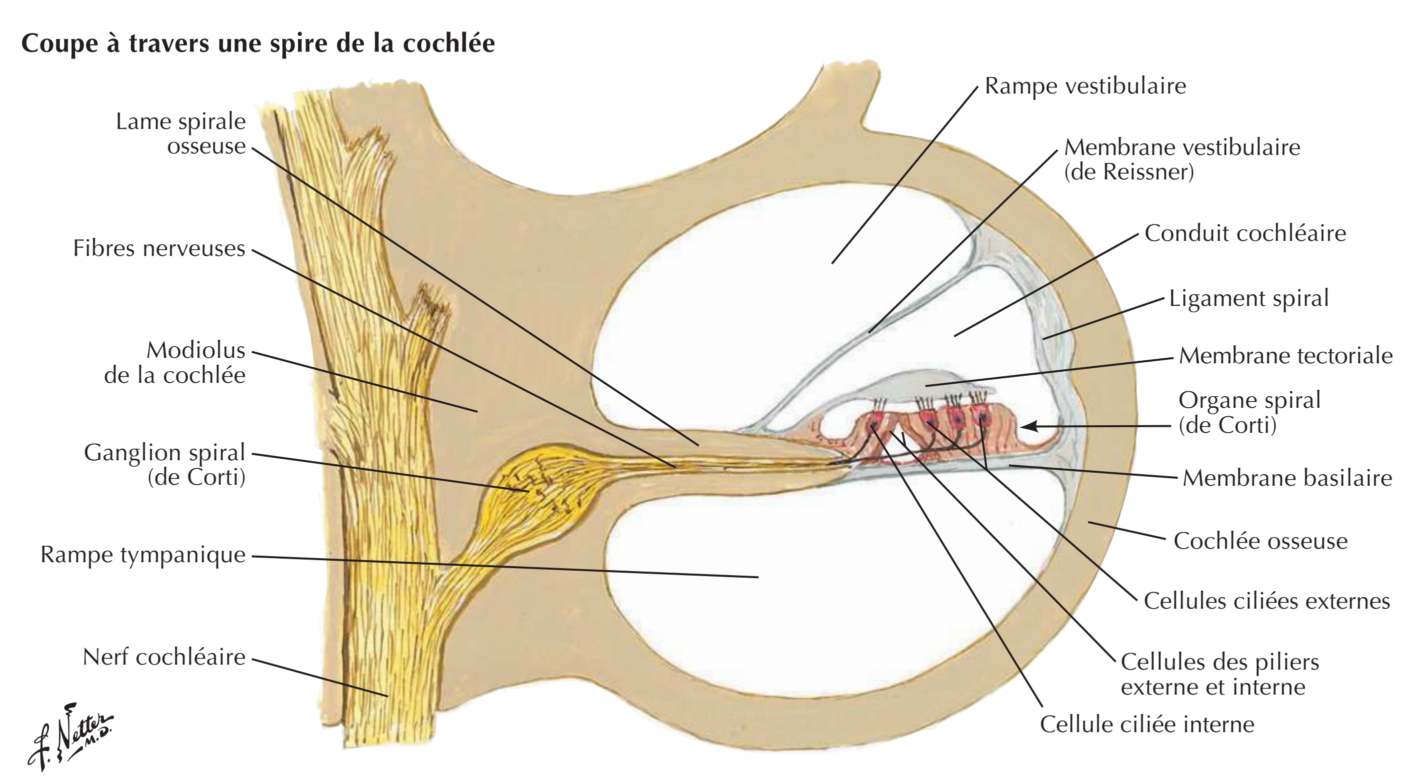


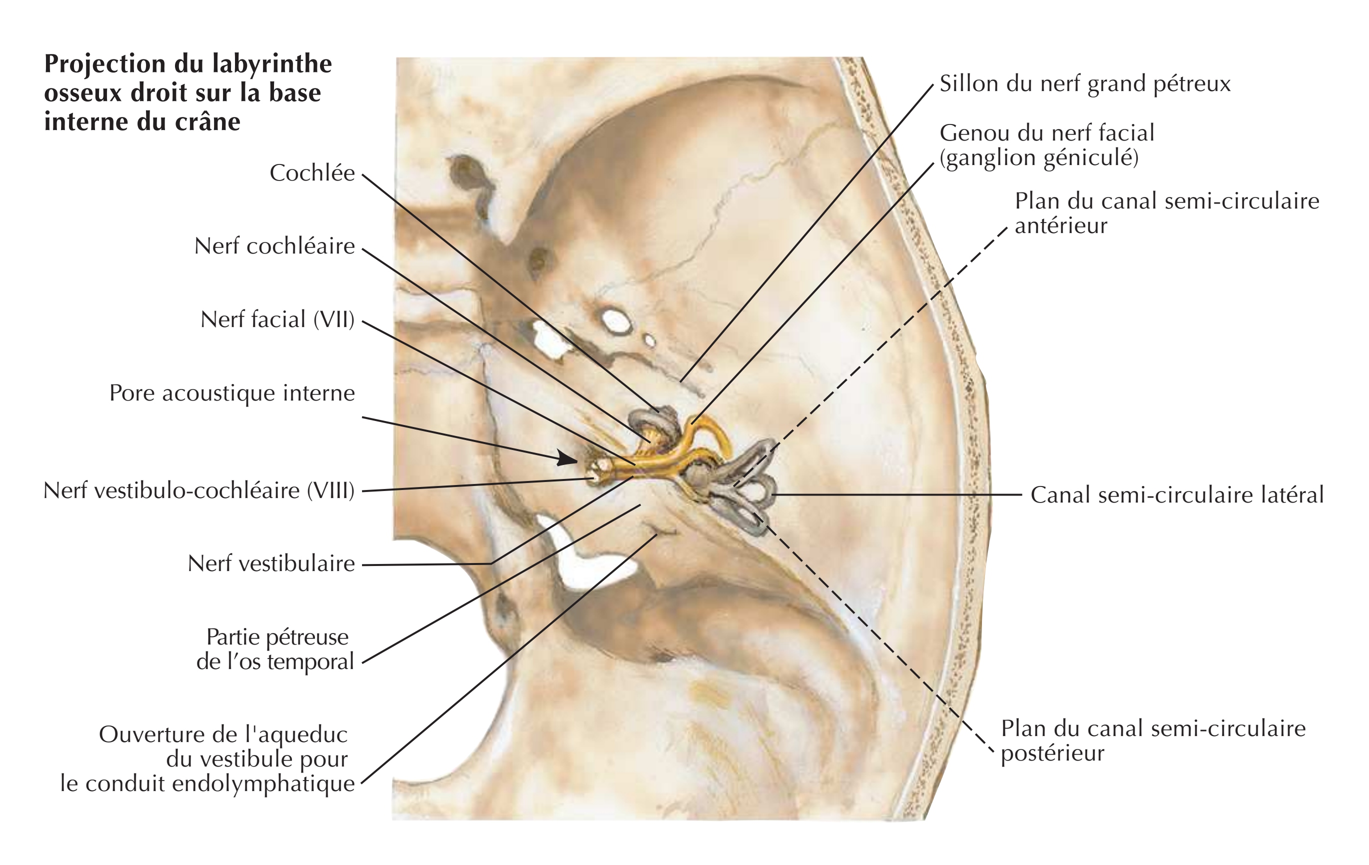
Labyrinthe osseux et labyrinthe membraneux (suite)

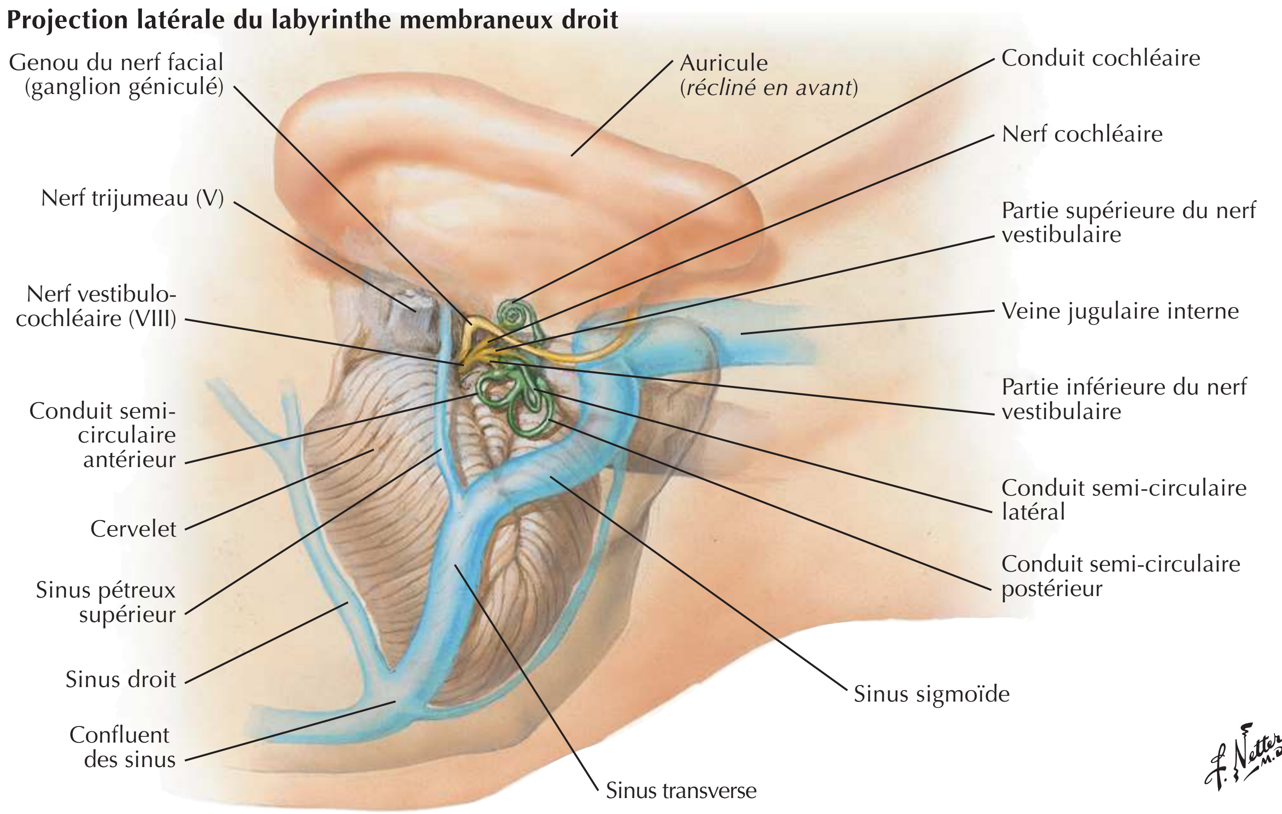
Labyrinthes osseux et membraneux : schéma

Canal et conduit semi-circulaires antérieurs
Ampoules
Dure-mère
Sac endo-lymphatique
Canal et conduit semi-circulaires postérieurs
Branches communes osseuse et membraneuse
Conduit endo-lymphatique dans l'aqueduc du vestibule
Utricule
Canal et conduit semi-circulaires latéraux
Labyrinthe osseux (capsule otique)
Saccule
Stapès dans la fenêtre du vestibule
Hélicotréma
Ductus réuniens
Incus
Rampe vestibulaire
Malléus
Conduit cochléaire
Cavité tympanique
Rampe tympanique
Méat acoustique externe
Ombilic de la membrane tympanique
Membrane tympanique
Aqueduc de la cochlée
Fenêtre cochléaire (ronde) (fermée par la membrane tympanique secondaire)
Labyrinthe osseux (capsule otique)
Vestibule
Trompe auditive (d'Eustache)

Coupe à travers une spire de la cochlée



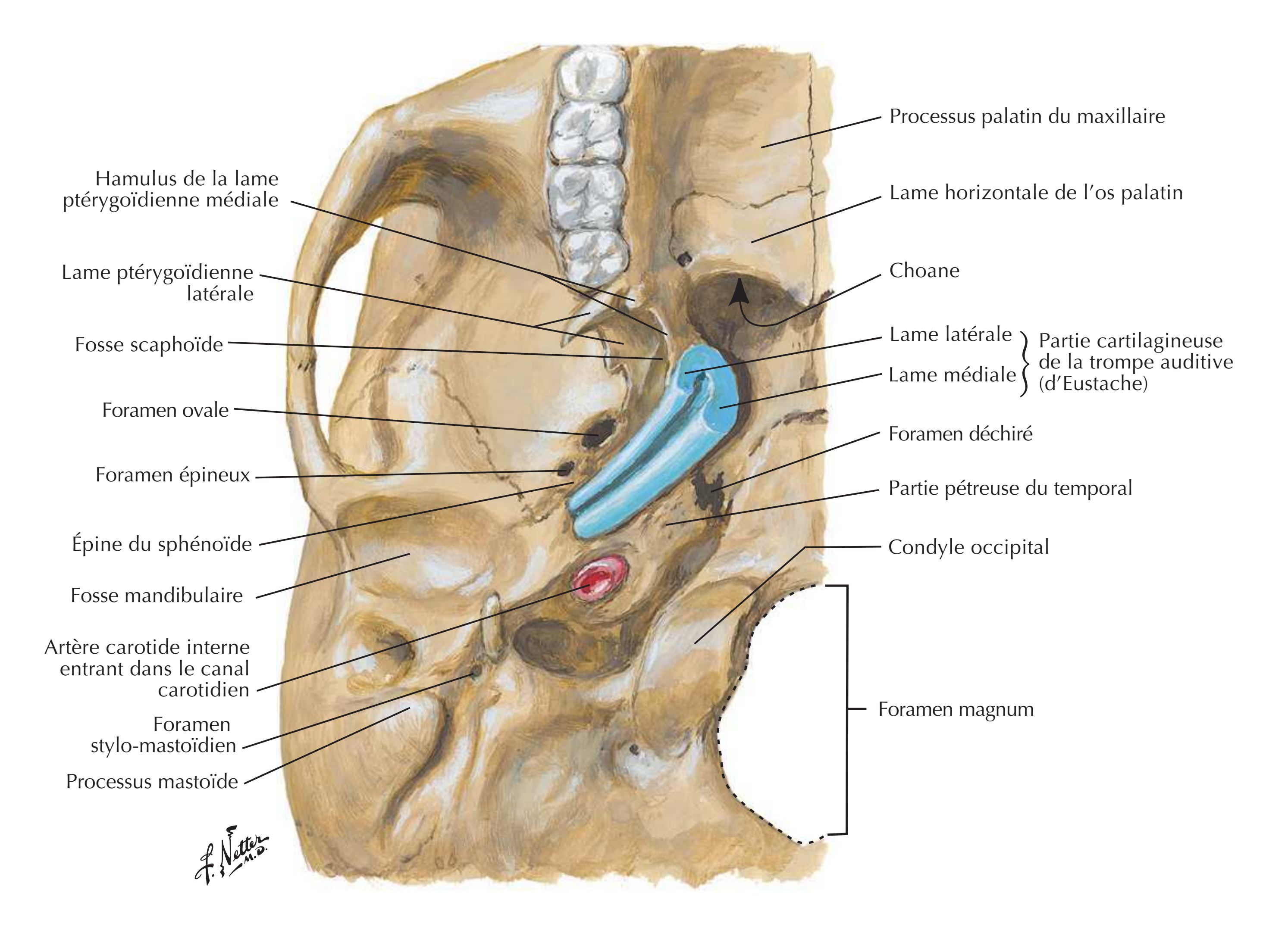

Projection du labyrinthe osseux droit sur la base interne du crâne
Cochlée
Nerf cochléaire
Nerf facial (VII)
Pore acoustique interne
Nerf vestibulo-cochléaire (VIII)
Nerf vestibulaire
Partie pétreuse de l'os temporal
Ouverture de l'aqueduc du vestibule pour le conduit endolymphatique
Sillon du nerf grand pétreux
Genou du nerf facial (ganglion géniculé)
Plan du canal semi-circulaire antérieur
Canal semi-circulaire latéral
Plan du canal semi-circulaire postérieur


Projection latérale du labyrinthe membraneux droit
Genou du nerf facial (ganglion géniculé)
Nerf trijumeau (V)
Nerf vestibulo-cochléaire (VIII)
Conduit semi-circulaire antérieur
Cervelet
Sinus pétreux supérieur
Sinus droit
Confluent des sinus
Sinus transverse
Auricule (récliné en avant)
Conduit cochléaire
Nerf cochléaire
Partie supérieure du nerf vestibulaire
Veine jugulaire interne
Partie inférieure du nerf vestibulaire
Conduit semi-circulaire latéral
Conduit semi-circulaire postérieur
Sinus sigmoïde

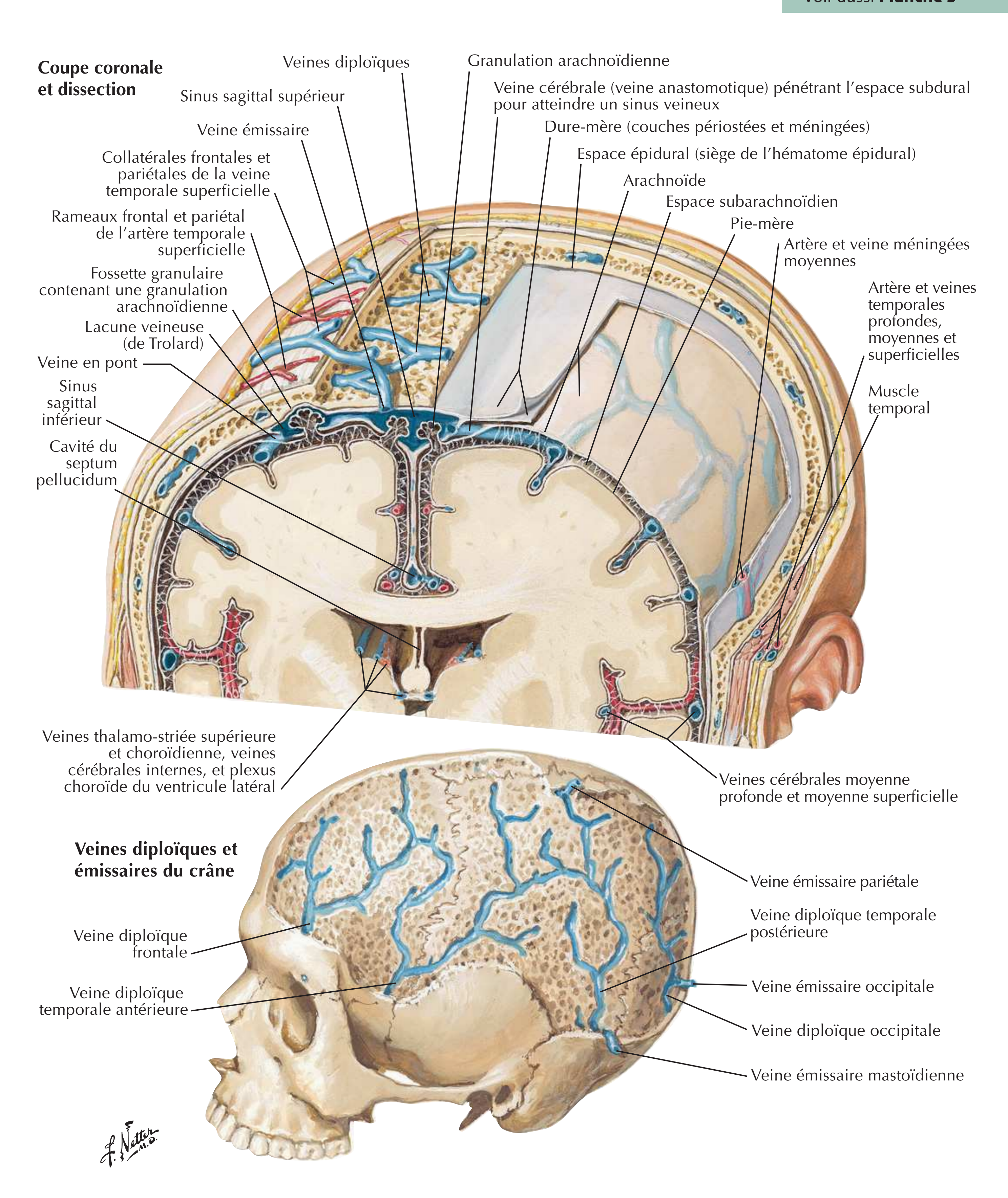
Trompe auditive

Voir aussi **Planche 49**

Partie cartilagineuse de la trompe auditive (d'Eustache) au niveau de la base du crâne : vue inférieure

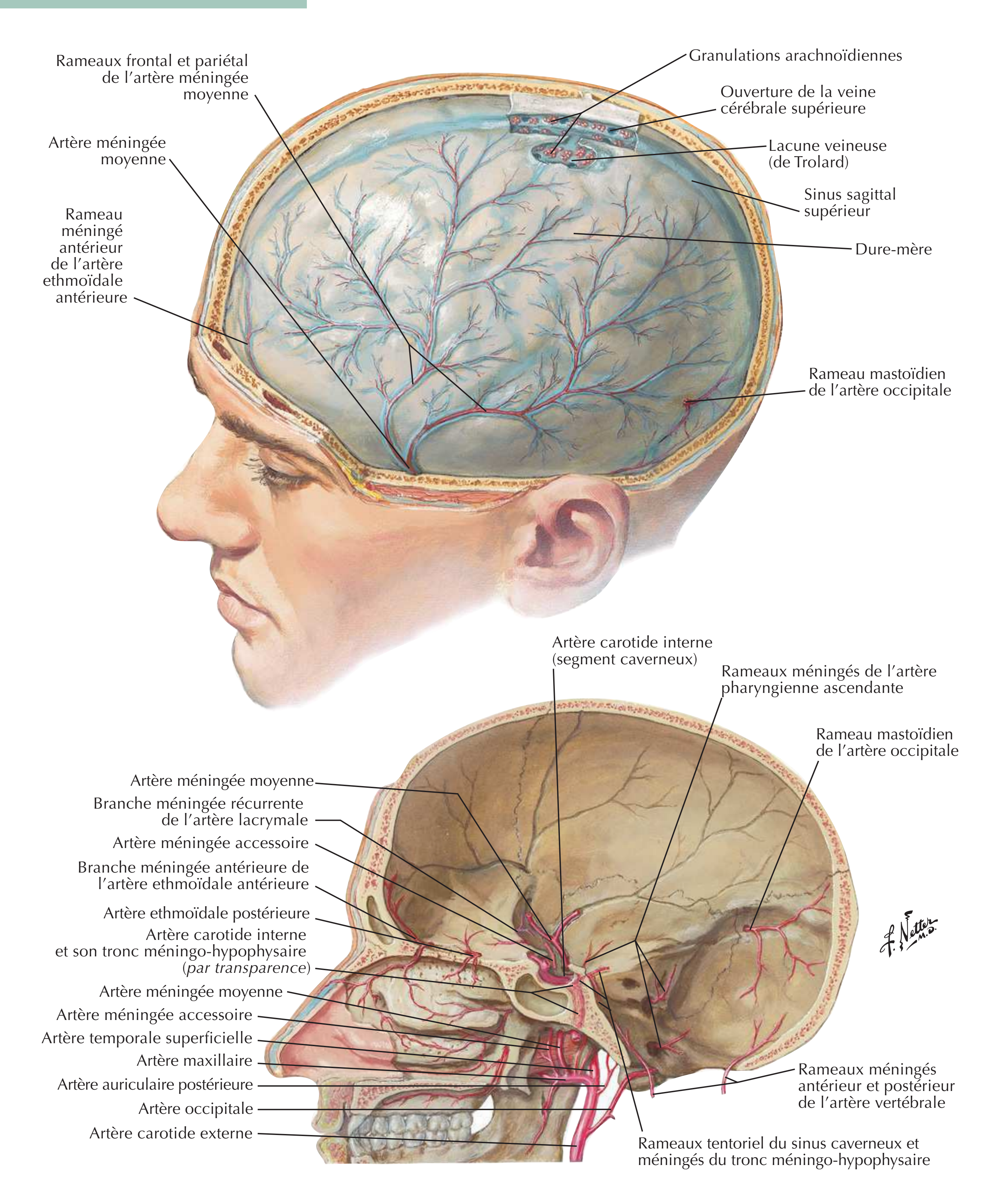


Voir aussi **Planche 3**



Artères méningées

Voir aussi **Planches 9, 51, 137**



Méninges et veines cérébrales superficielles

Pour les veines profondes du cerveau, voir **Planche 146**

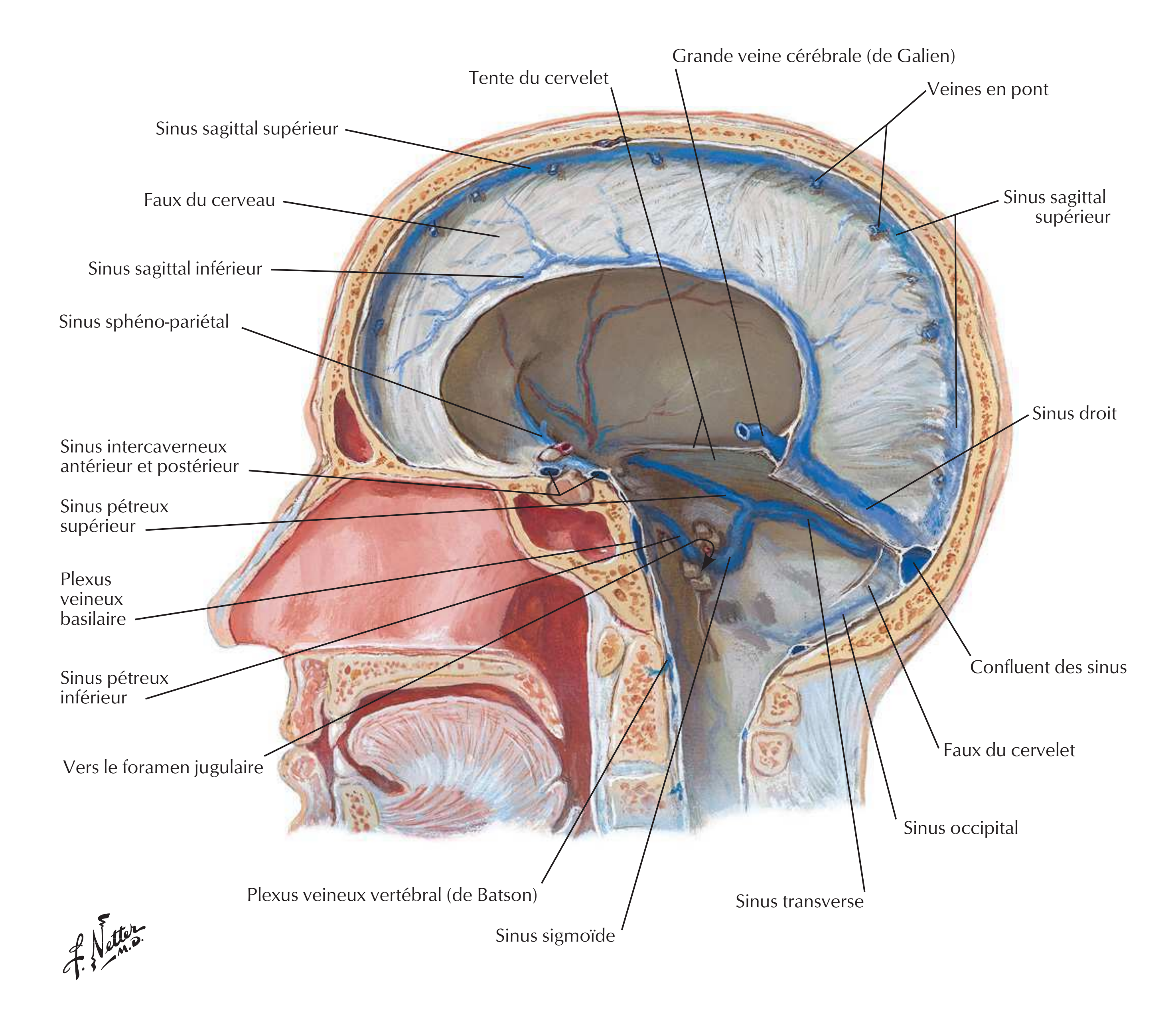
Peau
Tissu conjonctif
Galéa aponévrotique
Tissu aréolaire lâche
Épicrâne
Calvaria
Fossette granulaire
Granulation arachnoïdienne
Sinus sagittal supérieur
Veine émissaire
Affluent de la veine temporale superficielle
Veine diploïque
Interface dure-mère et crâne (siège de l'hématome épidural)
Dure-mère
Interface arachnoïde et dure-mère (siège de l'hématome subdural)
Arachnoïde
Espace subarachnoïdien
Pia mater
Artère cérébrale
Veine cérébrale supérieure
Faux du cerveau
Hémisphère cérébral
Veine en pont

Rameaux de l'artère méningée moyenne
Sinus sagittal supérieur
Veines cérébrales supérieures (veines anastomotiques) pénétrant l'arachnoïde et la dure-mère pour pénétrer le sinus sagittal supérieur
Dure-mère (couche méningée)
Veines cérébrales supérieures (au-dessous de l'arachnoïde)
Veine anastomotique supérieure (de Trolard)
Veine anastomotique inférieure (de Labbé)
Veine cérébrale moyenne superficielle
Artère et veines méningées moyennes
Muscle temporal
Dure-mère (couche périostée)
Veines cérébrales inférieures (au-dessous de l'arachnoïde)

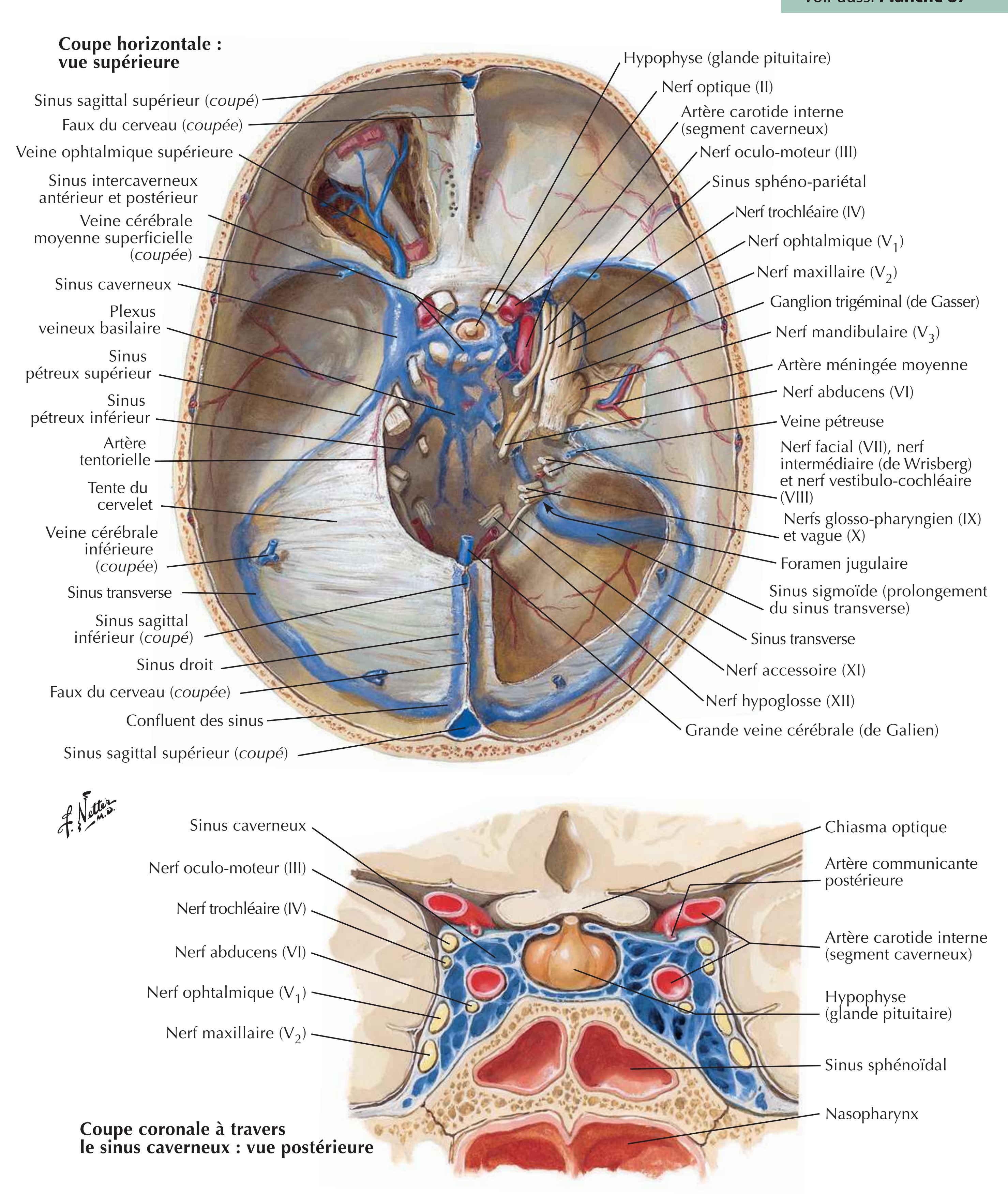
F. Netter M.D.

Sinus veineux de la dure-mère

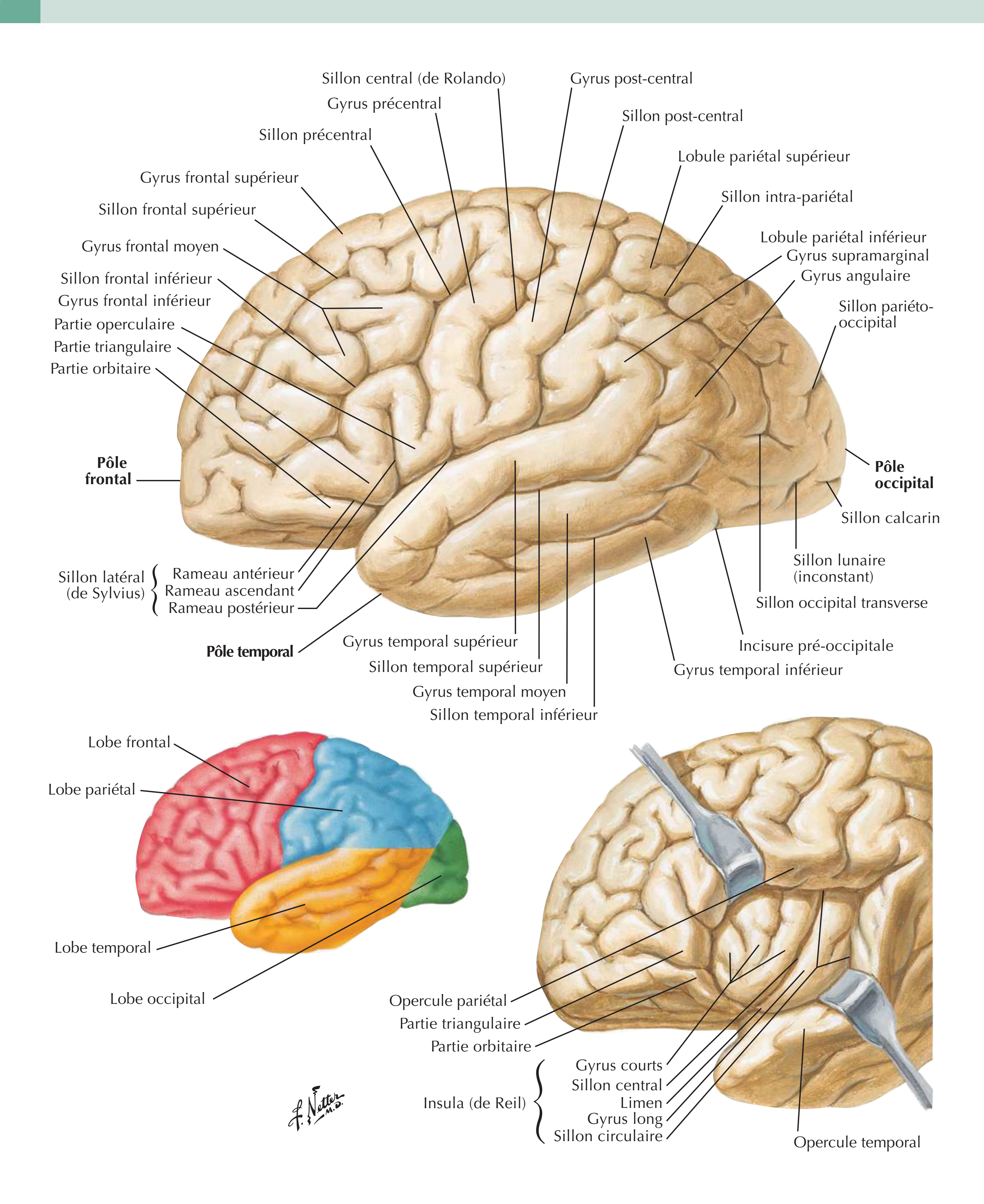
Coupe sagittale

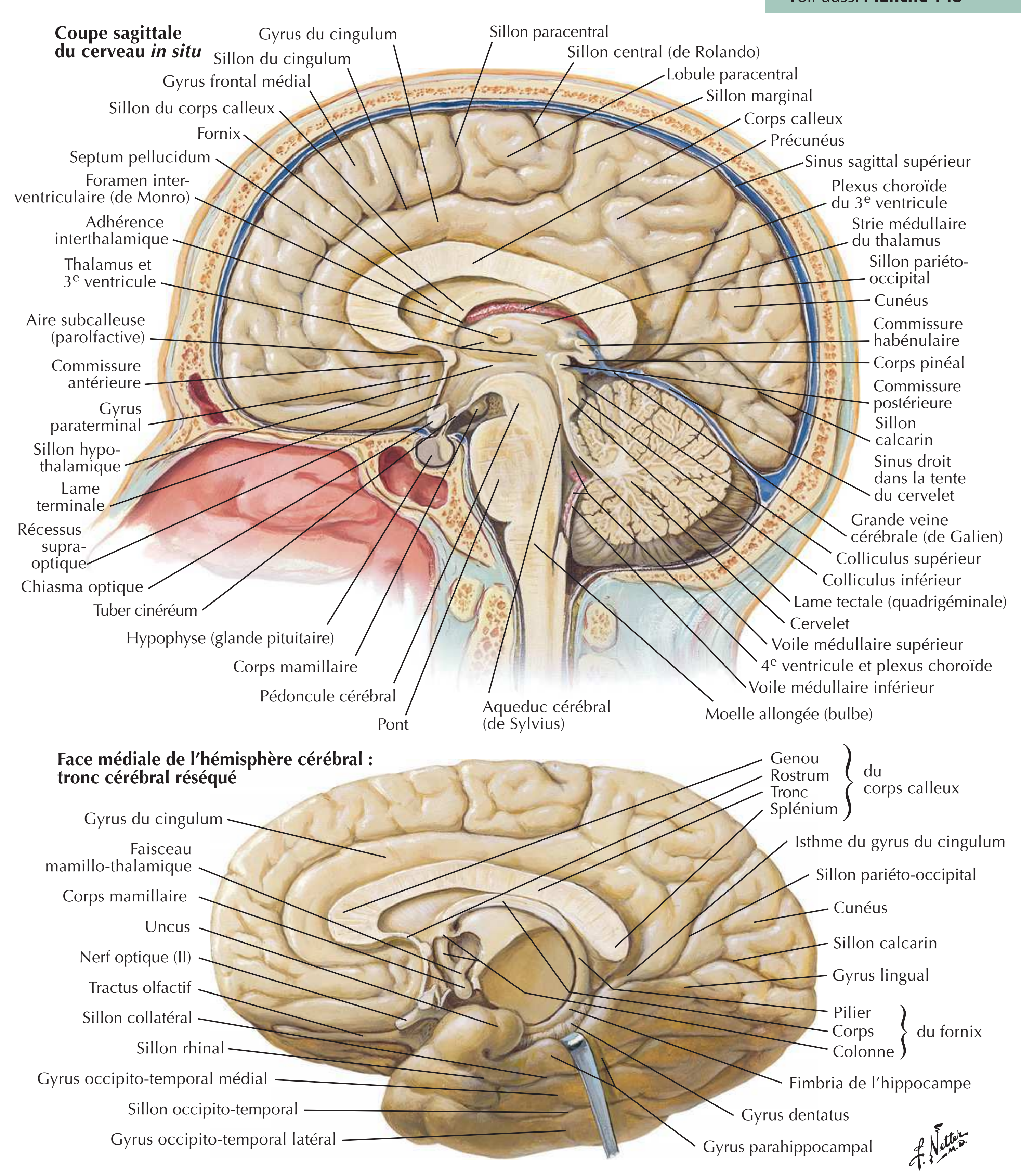


Voir aussi Planche 87



Cerveau : vues latérales



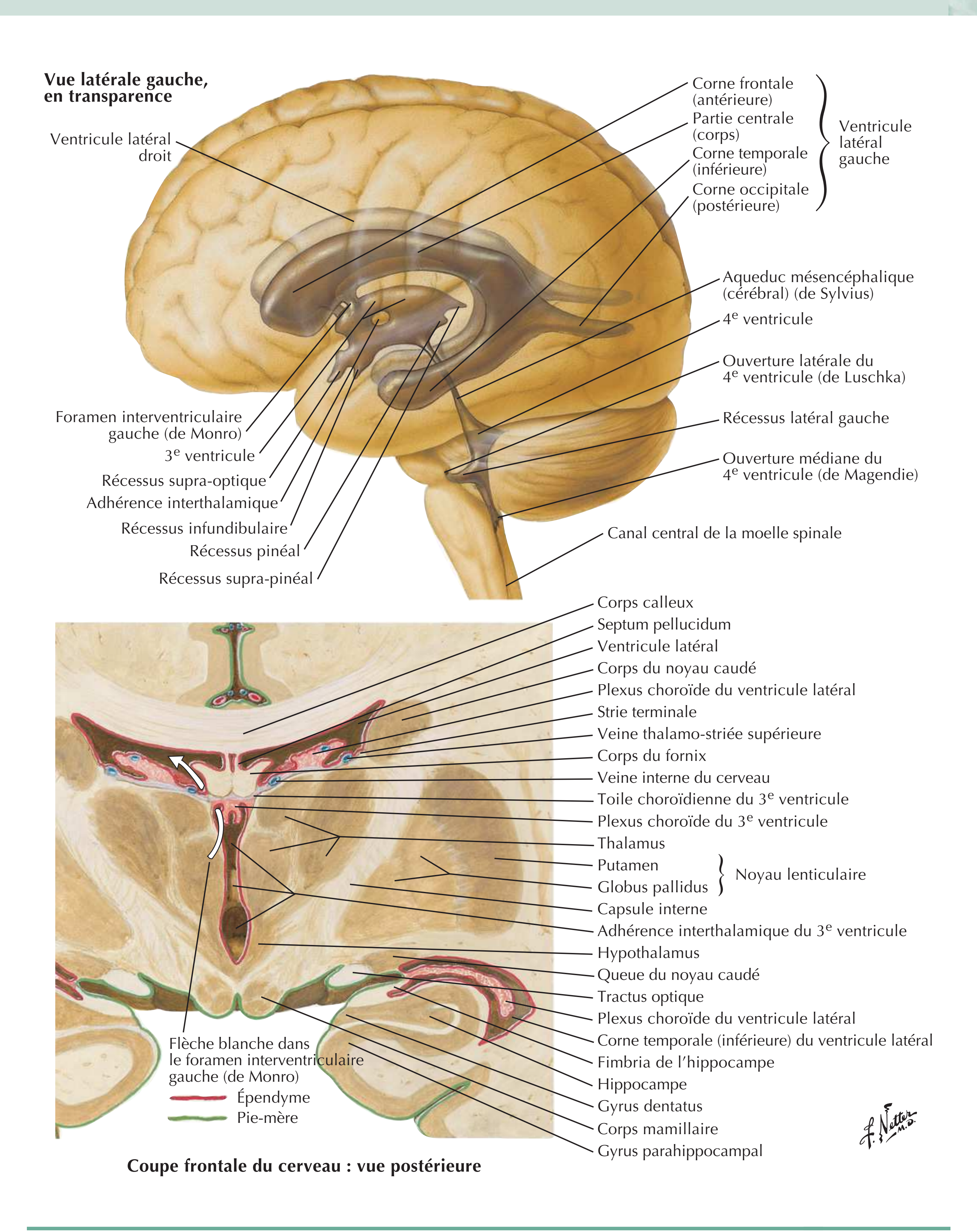

Coupe sagittale du cerveau *in situ*
Gyrus du cingulum
Sillon du cingulum
Gyrus frontal médial
Sillon du corps calleux
Fornix
Septum pellucidum
Foramen interventriculaire (de Monro)
Adhérence interthalamique
Thalamus et 3e ventricule
Aire subcalleuse (parolfactive)
Commissure antérieure
Gyrus paraterminal
Sillon hypothalamique
Lame terminale
Récessus supra-optique
Chiasma optique
Tuber cinéréum
Hypophyse (glande pituitaire)
Corps mamillaire
Pédoncule cérébral
Pont
Aqueduc cérébral (de Sylvius)
Moelle allongée (bulbe)
Sillon paracentral
Sillon central (de Rolando)
Lobule paracentral
Sillon marginal
Corps calleux
Précunéus
Sinus sagittal supérieur
Plexus choroïde du 3e ventricule
Strie médullaire du thalamus
Sillon pariéto-occipital
Cunéus
Commissure habénulaire
Corps pinéal
Commissure postérieure
Sillon calcarin
Sinus droit dans la tente du cervelet
Grande veine cérébrale (de Galien)
Colliculus supérieur
Colliculus inférieur
Lame tectale (quadrigéminale)
Cervelet
Voile médullaire supérieur
4e ventricule et plexus choroïde
Voile médullaire inférieur
Face médiale de l'hémisphère cérébral : tronc cérébral réséqué
Gyrus du cingulum
Faisceau mamillo-thalamique
Corps mamillaire
Uncus
Nerf optique (II)
Tractus olfactif
Sillon collatéral
Sillon rhinal
Gyrus occipito-temporal médial
Sillon occipito-temporal
Gyrus occipito-temporal latéral
Genou
Rostrum
Tronc
Splénium
du corps calleux
Isthme du gyrus du cingulum
Sillon pariéto-occipital
Cunéus
Sillon calcarin
Gyrus lingual
Pilier
Corps
Colonne
du fornix
Fimbria de l'hippocampe
Gyrus dentatus
Gyrus parahippocampal
F. Netter M.D.

Encéphale : vue inférieure

Voir aussi **Planche 148**

Tronc cérébral sectionné
Pôle frontal du cerveau
Gyrus droit
Sillon olfactif
Sillons orbitaires
Gyrus orbitaires
Pôle temporal du cerveau
Sillon latéral (de Sylvius)
Sillon temporal inférieur
Gyrus occipito-temporal latéral
Bord inférieur du cerveau
Sillon rhinal
Uncus
Gyrus occipito-temporal latéral
Sillon occipito-temporal latéral
Gyrus occipito-temporal médial
Sillon collatéral
Gyrus parahippocampal
Gyrus lingual
Sillon calcarin
Isthme du gyrus du cingulum
Fissure longitudinale du cerveau
Genou du corps calleux
Lame terminale
Bulbe olfactif
Tractus olfactif
Chiasma optique
Nerf optique (II) (*coupé*)
Hypophyse (glande pituitaire)
Substance perforée antérieure
Tractus optique
Tuber cinéréum
Corps mamillaire
Substance perforée postérieure (dans la fosse interpédonculaire)
Pédoncule cérébral
Corps géniculé latéral
Substance noire
Corps géniculé médial
Noyau rouge
Pulvinar
Colliculus supérieur (des corps quadrijumeaux)
Aqueduc mésencéphalique (cérébral) (de Sylvius)
Splénium du corps calleux
Apex du cunéus
Pôle occipital du cerveau
Fissure longitudinale du cerveau

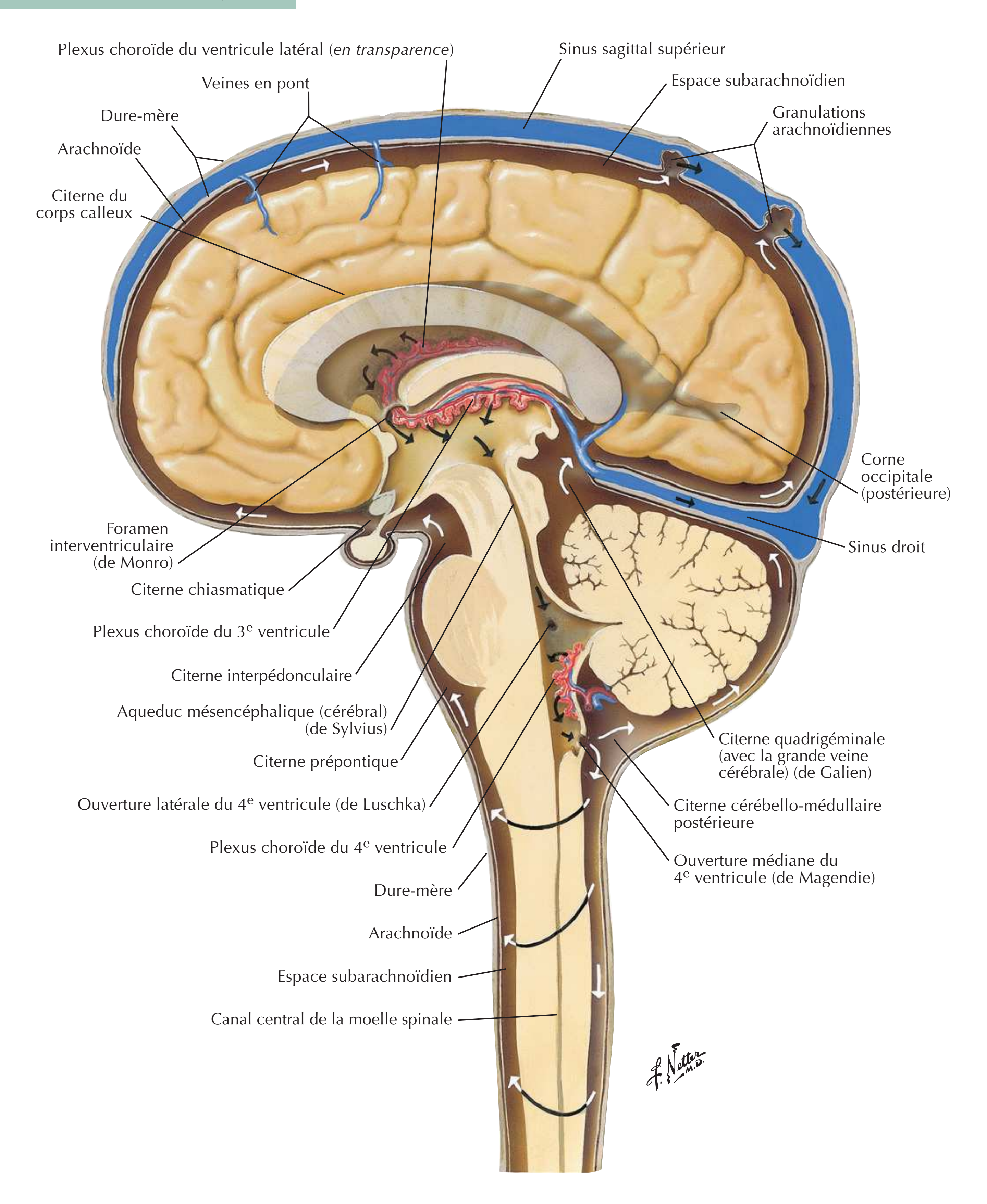


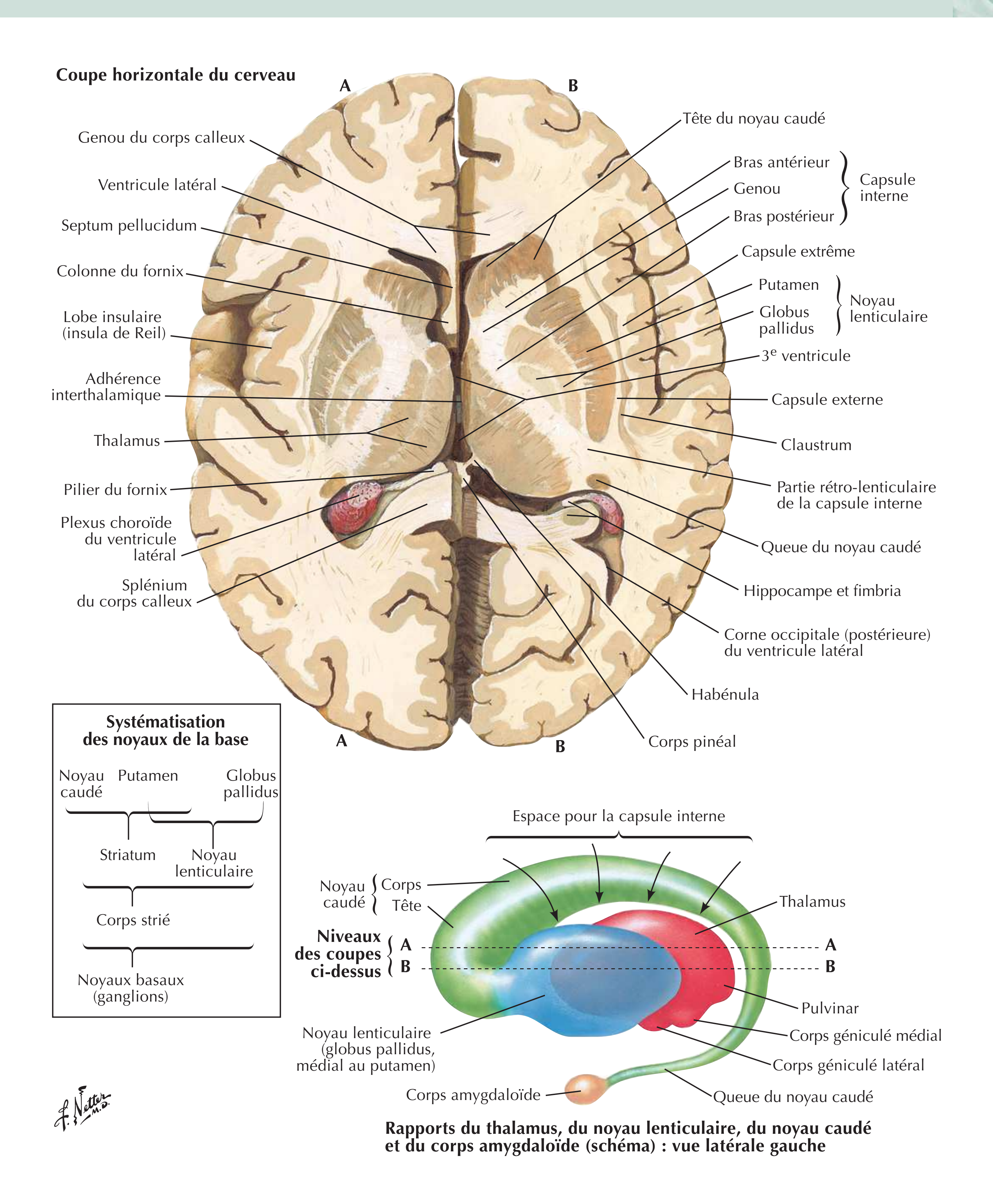


Coupe frontale du cerveau : vue postérieure

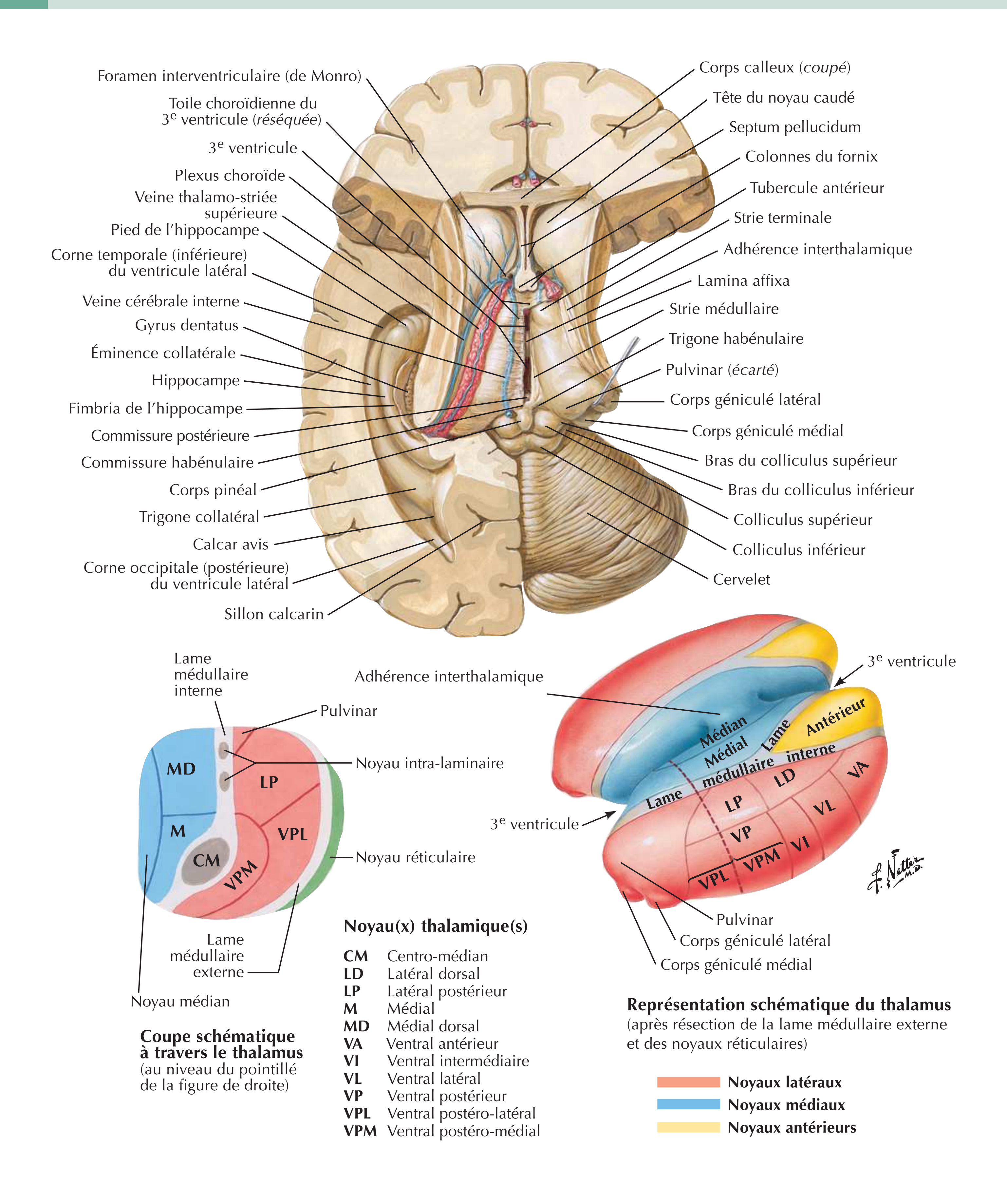
Circulation du liquide cérébro-spinal

Voir aussi **Planches 109, 147**





Rapports du thalamus, du noyau lenticulaire, du noyau caudé et du corps amygdaloïde (schéma) : vue latérale gauche



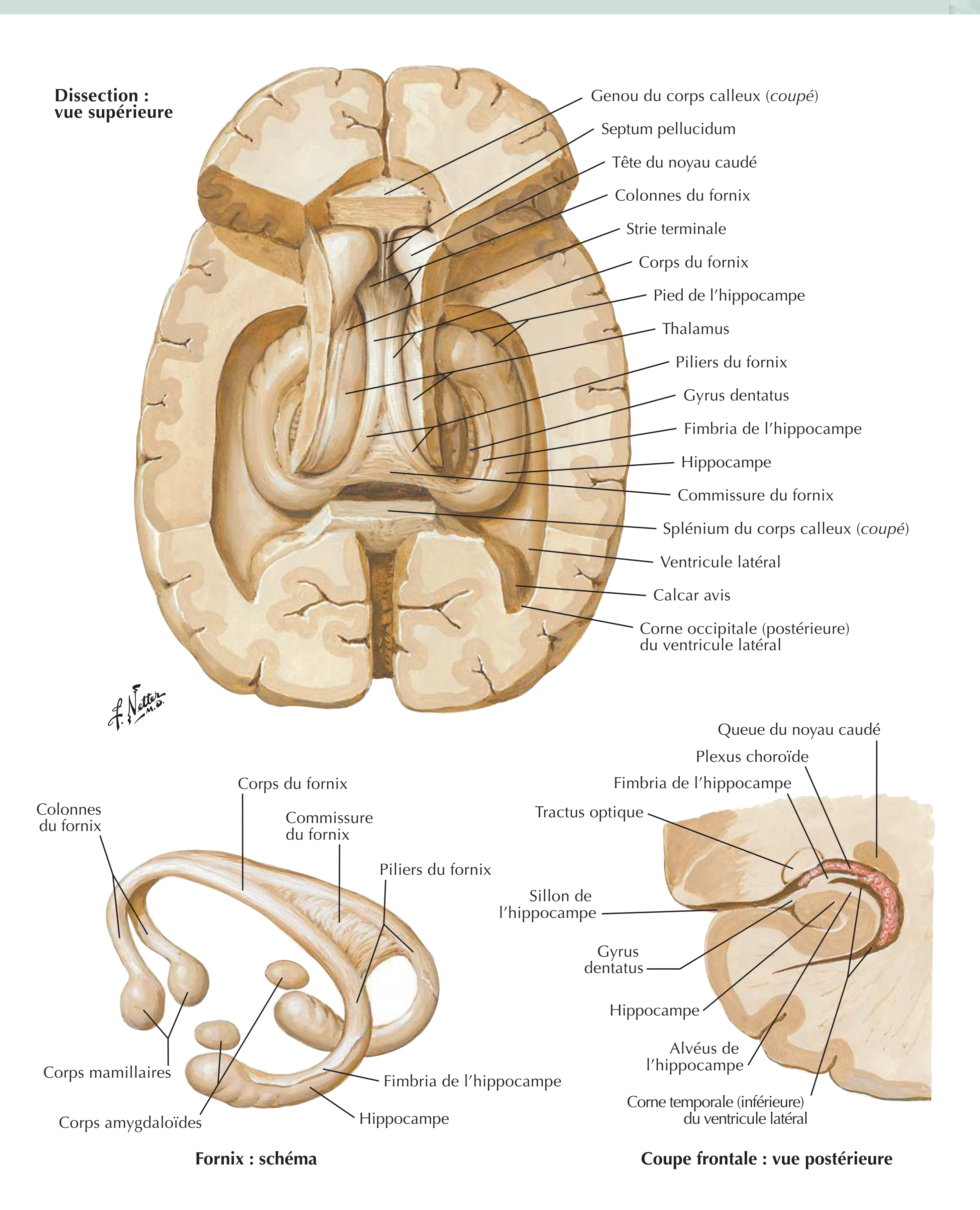
Coupe schématique à travers le thalamus
(au niveau du pointillé de la figure de droite)

Noyau(x) thalamique(s)

CM	Centro-médian
LD	Latéral dorsal
LP	Latéral postérieur
M	Médial
MD	Médial dorsal
VA	Ventral antérieur
VI	Ventral intermédiaire
VL	Ventral latéral
VP	Ventral postérieur
VPL	Ventral postéro-latéral
VPM	Ventral postéro-médial

Représentation schématique du thalamus
(après résection de la lame médullaire externe et des noyaux réticulaires)

Noyaux latéraux
Noyaux médiaux
Noyaux antérieurs

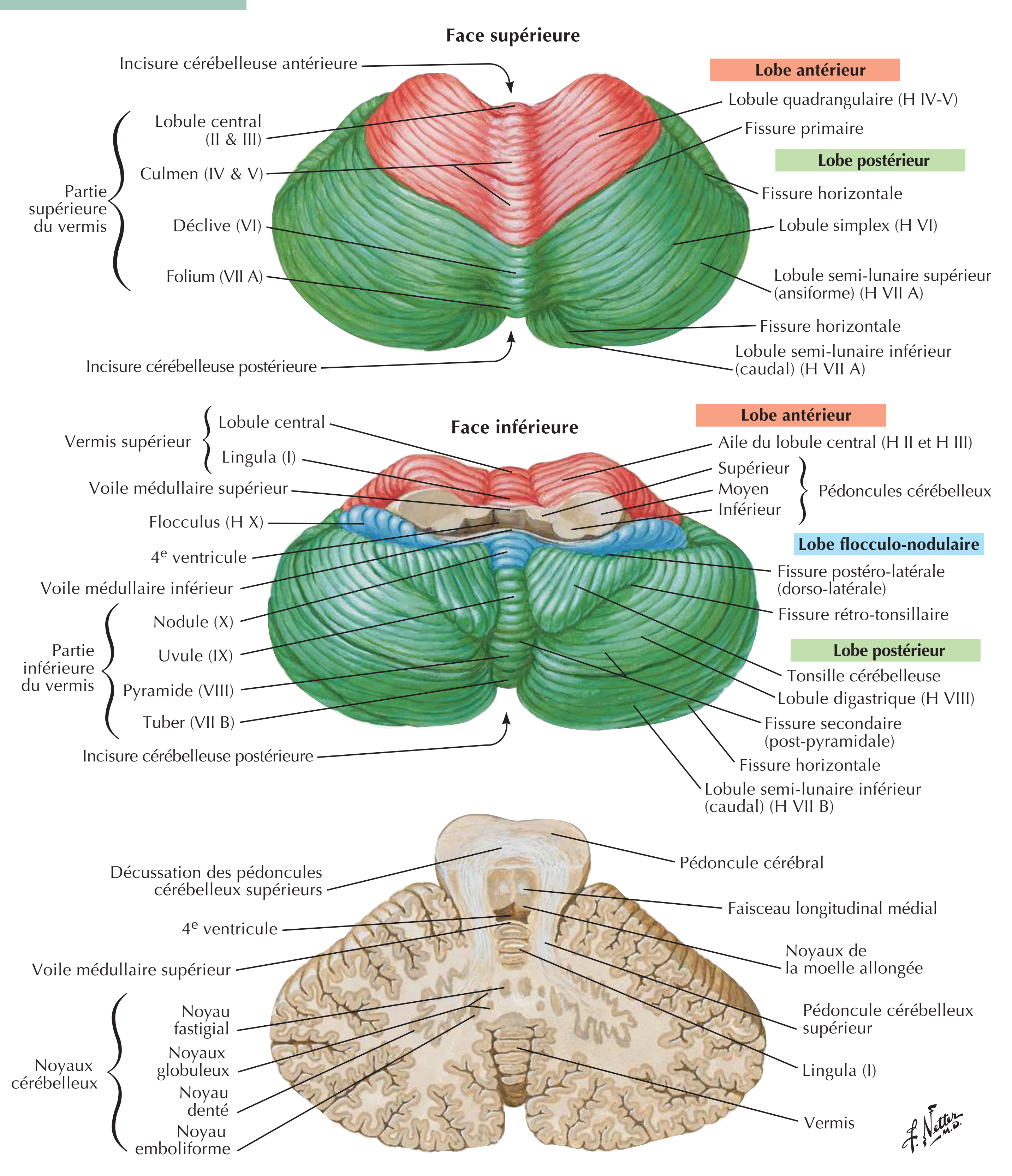


Fornix : schéma

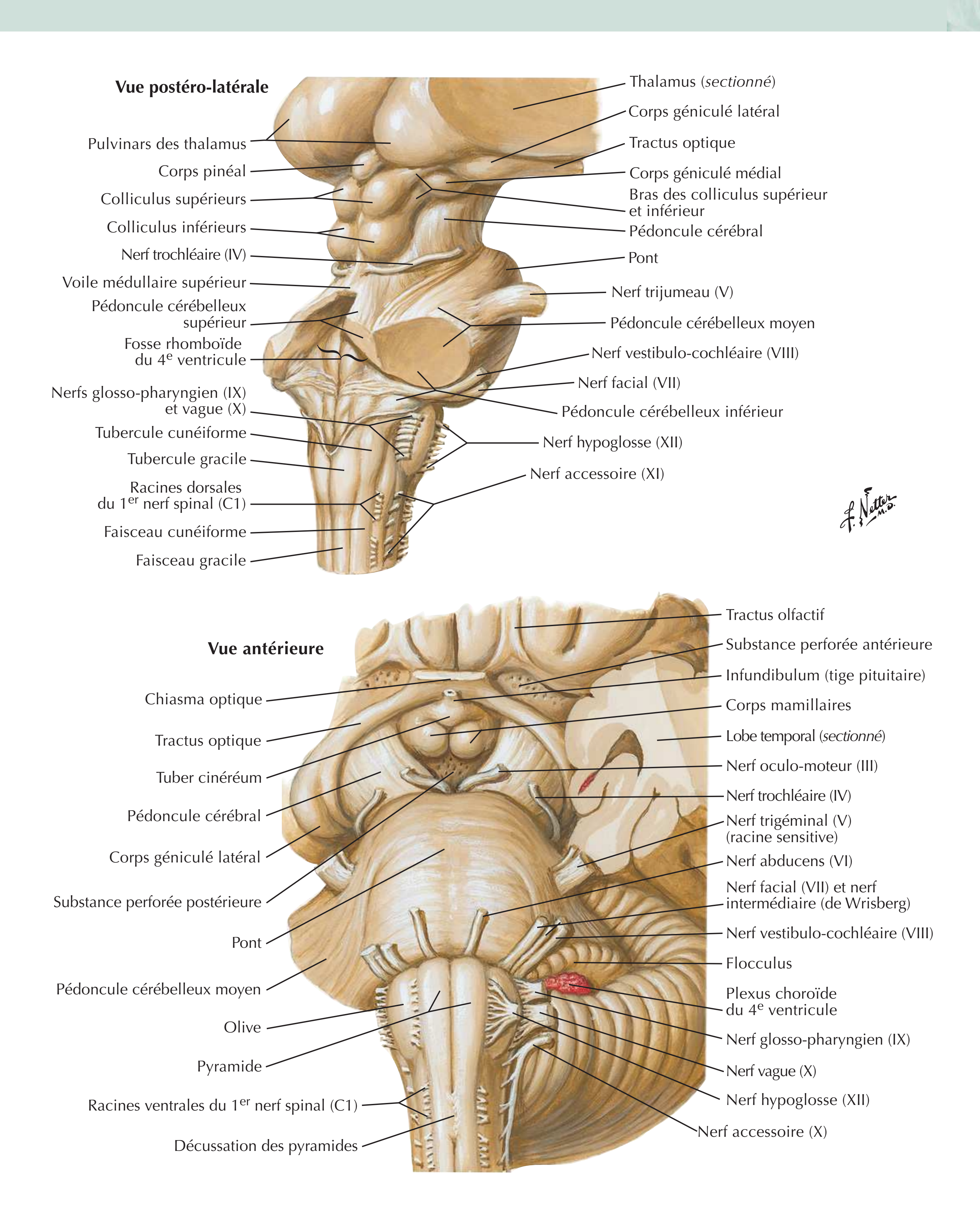
Coupe frontale : vue postérieure

Cervelet

Voir aussi **Planche 116**

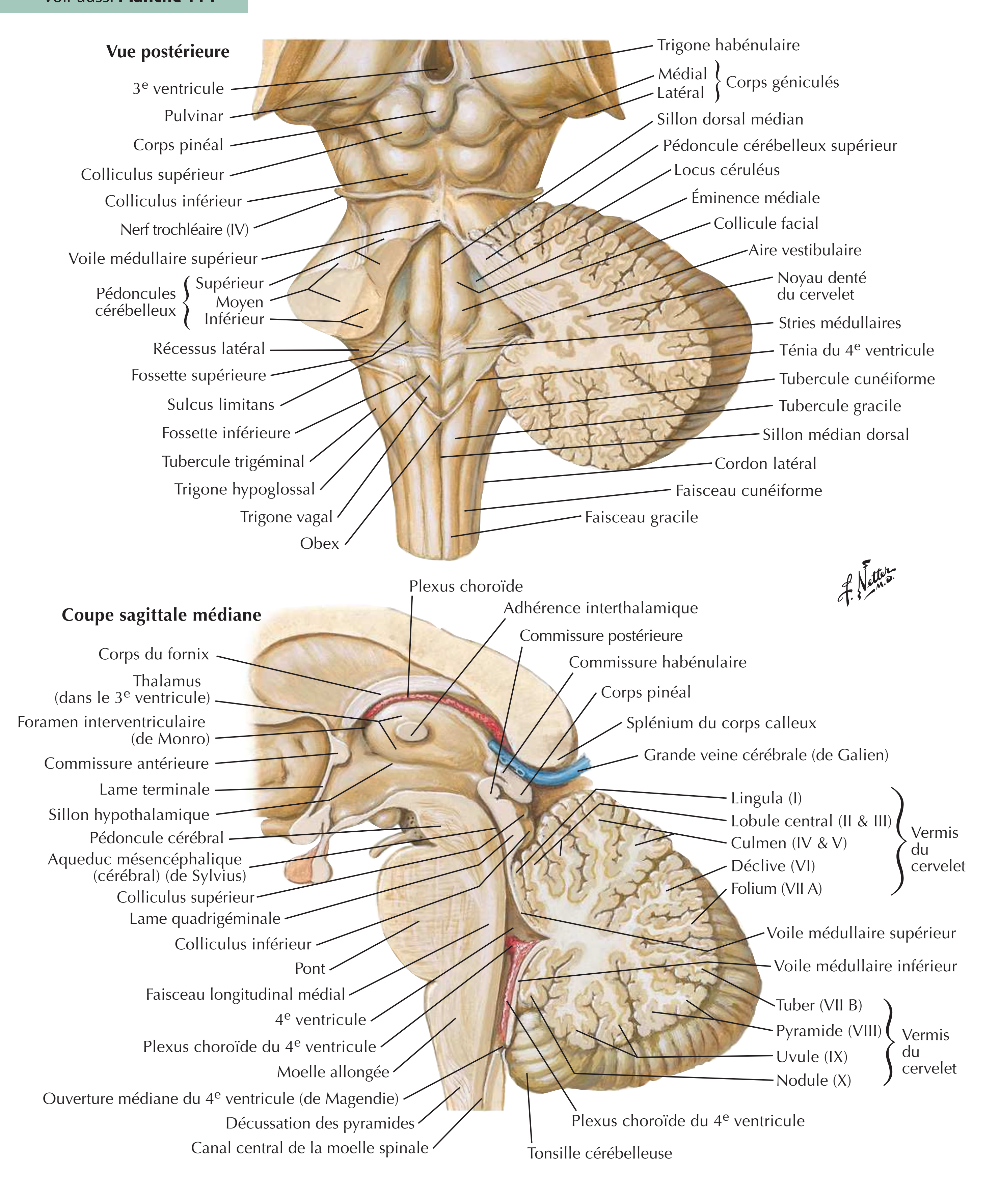


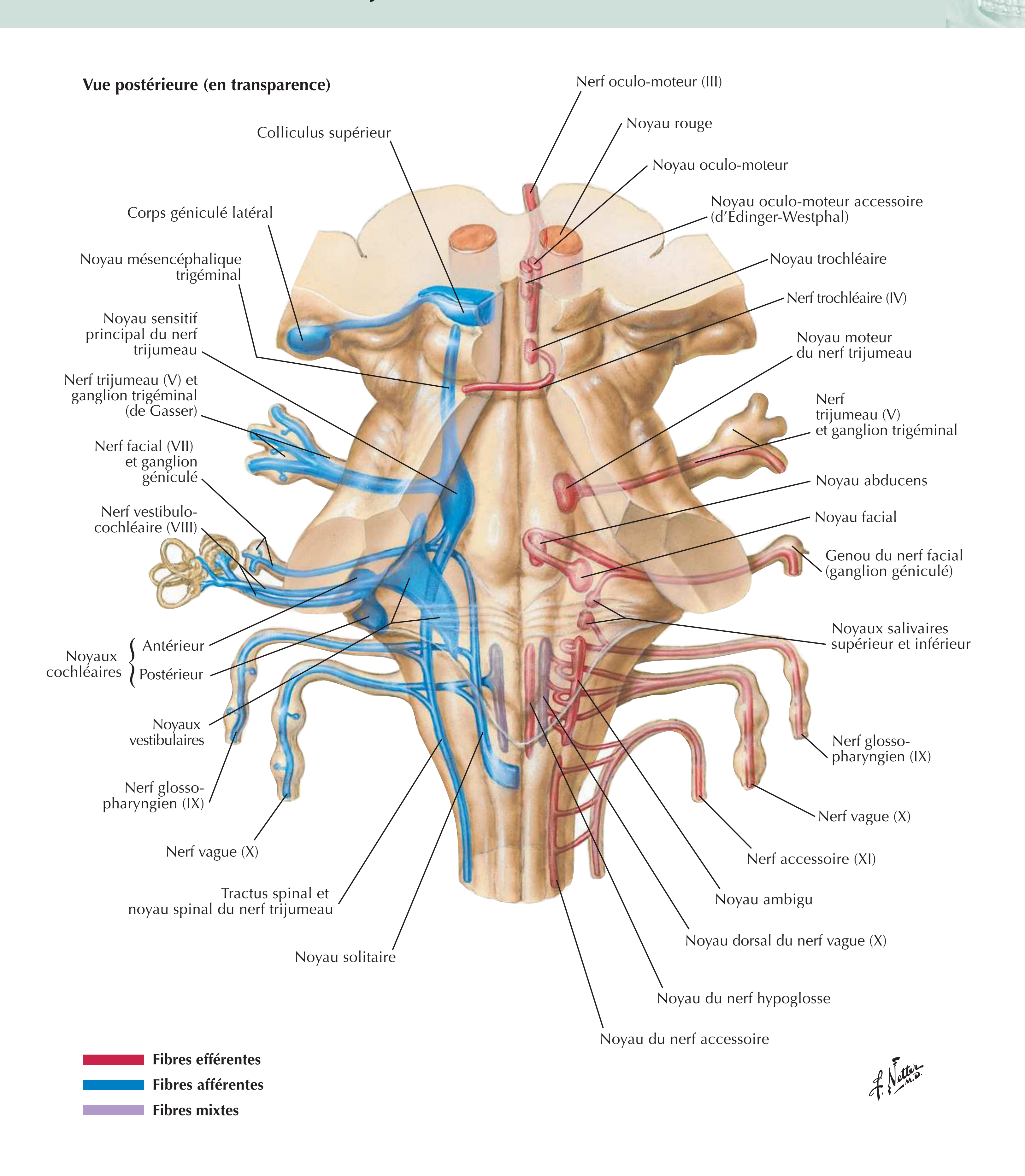
Coupe transversale au niveau du pédoncule cérébelleux supérieur


Vue postéro-latérale
Pulvinars des thalamus
Corps pinéal
Colliculus supérieurs
Colliculus inférieurs
Nerf trochléaire (IV)
Voile médullaire supérieur
Pédoncule cérébelleux supérieur
Fosse rhomboïde du 4e ventricule
Nerfs glosso-pharyngien (IX) et vague (X)
Tubercule cunéiforme
Tubercule gracile
Racines dorsales du 1er nerf spinal (C1)
Faisceau cunéiforme
Faisceau gracile
Thalamus (sectionné)
Corps géniculé latéral
Tractus optique
Corps géniculé médial
Bras des colliculus supérieur et inférieur
Pédoncule cérébral
Pont
Nerf trijumeau (V)
Pédoncule cérébelleux moyen
Nerf vestibulo-cochléaire (VIII)
Nerf facial (VII)
Pédoncule cérébelleux inférieur
Nerf hypoglosse (XII)
Nerf accessoire (XI)
F. Netter M.D.
Vue antérieure
Chiasma optique
Tractus optique
Tuber cinéréum
Pédoncule cérébral
Corps géniculé latéral
Substance perforée postérieure
Pont
Pédoncule cérébelleux moyen
Olive
Pyramide
Racines ventrales du 1er nerf spinal (C1)
Décussation des pyramides
Tractus olfactif
Substance perforée antérieure
Infundibulum (tige pituitaire)
Corps mamillaires
Lobe temporal (sectionné)
Nerf oculo-moteur (III)
Nerf trochléaire (IV)
Nerf trigéminal (V) (racine sensitive)
Nerf abducens (VI)
Nerf facial (VII) et nerf intermédiaire (de Wrisberg)
Nerf vestibulo-cochléaire (VIII)
Flocculus
Plexus choroïde du 4e ventricule
Nerf glosso-pharyngien (IX)
Nerf vague (X)
Nerf hypoglosse (XII)
Nerf accessoire (X)

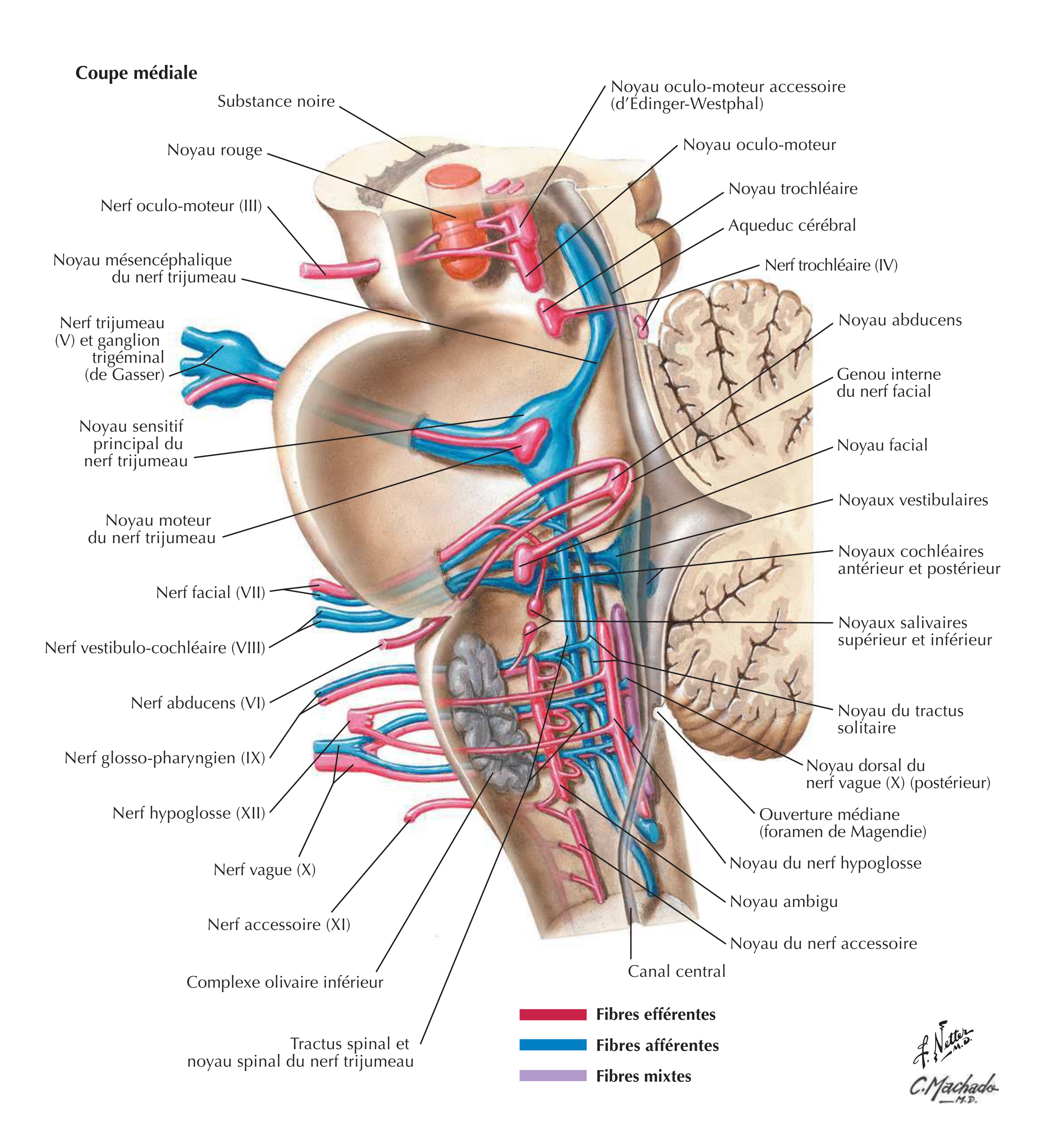
Quatrième ventricule et cervelet

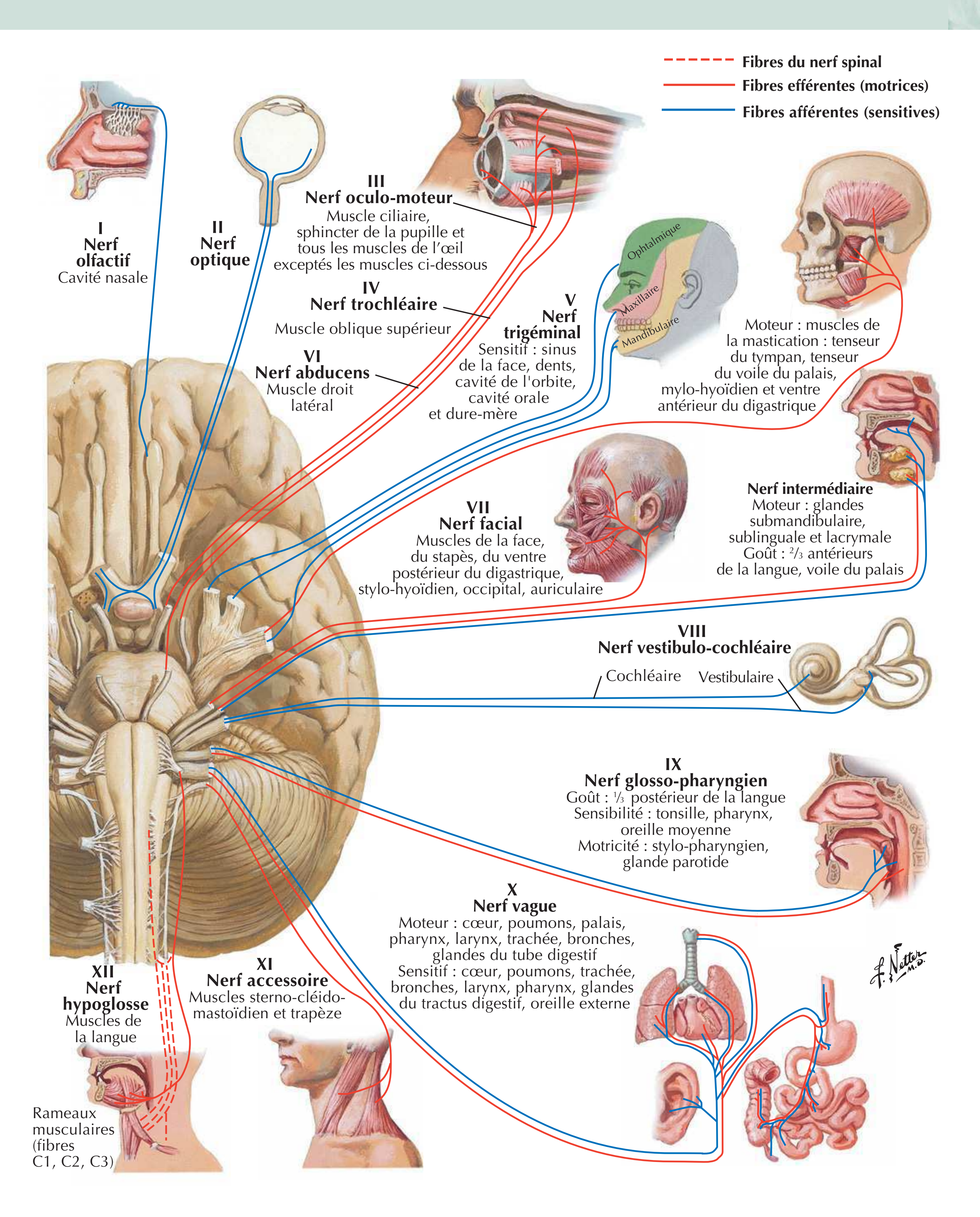
Voir aussi **Planche 114**




Vue postérieure (en transparence)
Nerf oculo-moteur (III)
Noyau rouge
Noyau oculo-moteur
Noyau oculo-moteur accessoire (d'Édinger-Westphal)
Noyau trochléaire
Nerf trochléaire (IV)
Noyau moteur du nerf trijumeau
Nerf trijumeau (V) et ganglion trigéminal
Noyau abducens
Noyau facial
Genou du nerf facial (ganglion géniculé)
Noyaux salivaires supérieur et inférieur
Nerf glosso-pharyngien (IX)
Nerf vague (X)
Nerf accessoire (XI)
Noyau ambigu
Noyau dorsal du nerf vague (X)
Noyau du nerf hypoglosse
Noyau du nerf accessoire
Colliculus supérieur
Corps géniculé latéral
Noyau mésencéphalique trigéminal
Noyau sensitif principal du nerf trijumeau
Nerf trijumeau (V) et ganglion trigéminal (de Gasser)
Nerf facial (VII) et ganglion géniculé
Nerf vestibulo-cochléaire (VIII)
Noyaux cochléaires
Antérieur
Postérieur
Noyaux vestibulaires
Nerf glosso-pharyngien (IX)
Nerf vague (X)
Tractus spinal et noyau spinal du nerf trijumeau
Noyau solitaire
Fibres efférentes
Fibres afférentes
Fibres mixtes

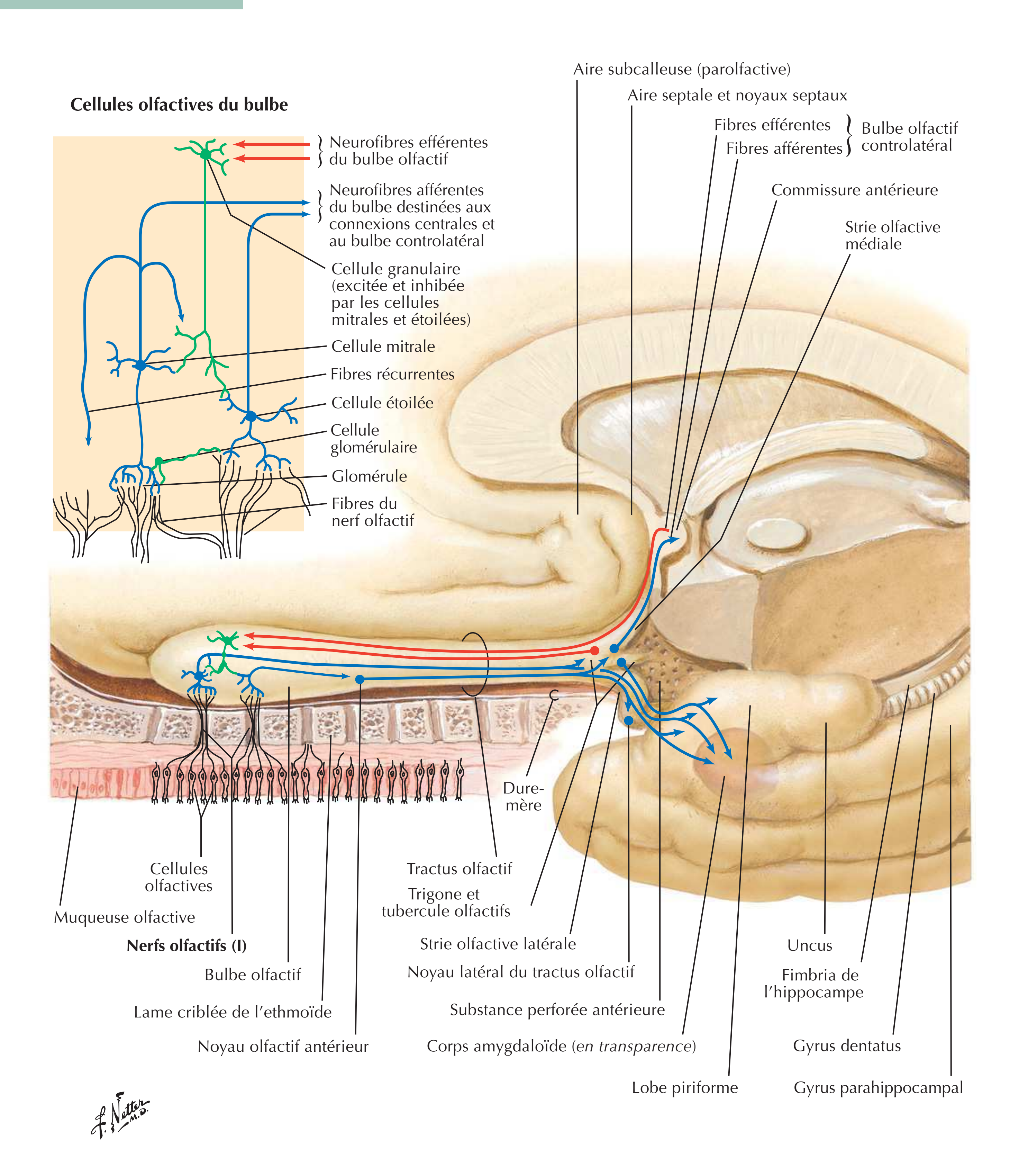
Noyaux des nerfs crâniens dans le tronc cérébral (suite)

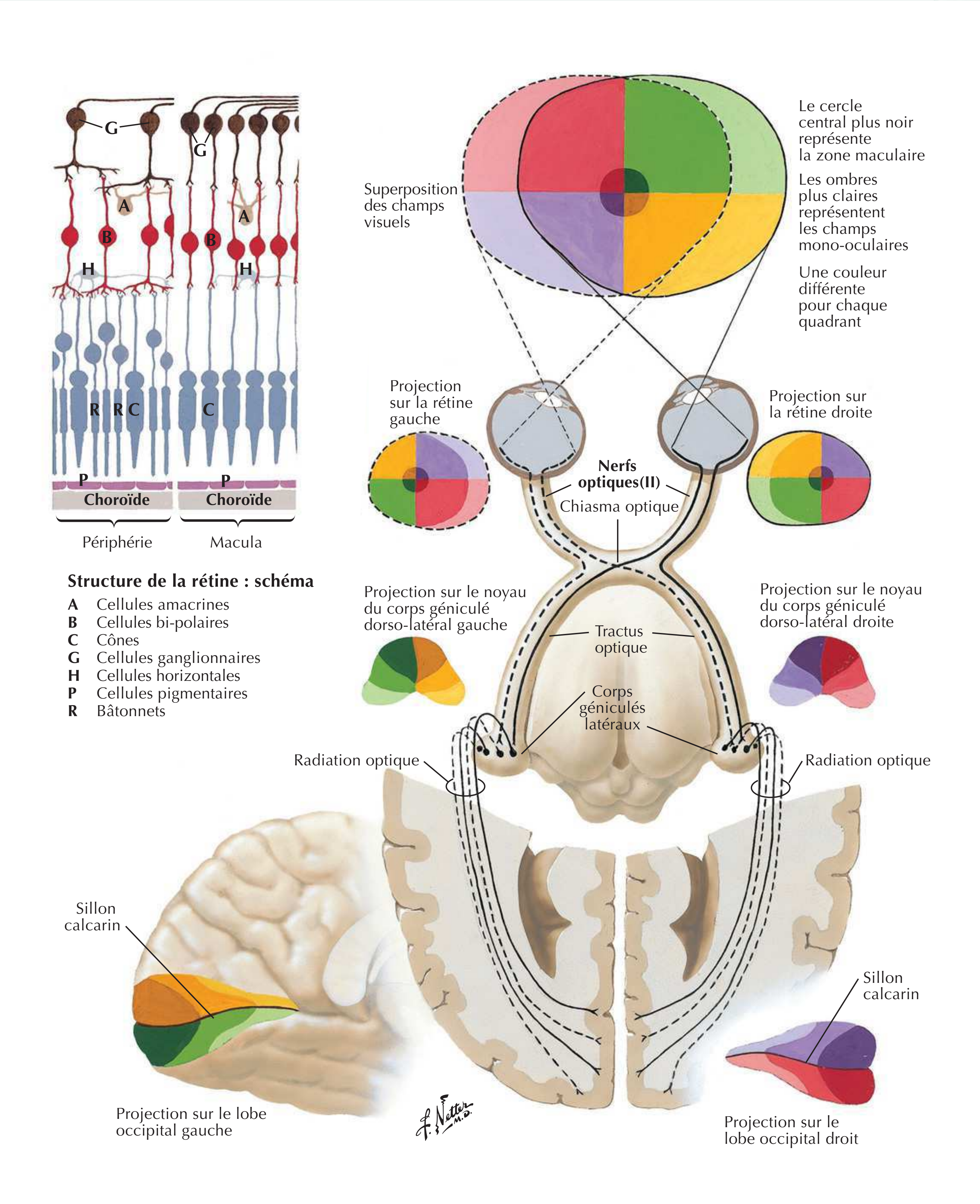



Fibres du nerf spinal
Fibres efférentes (motrices)
Fibres afférentes (sensitives)
I
Nerf olfactif
Cavité nasale
II
Nerf optique
III
Nerf oculo-moteur
Muscle ciliaire, sphincter de la pupille et tous les muscles de l'œil exceptés les muscles ci-dessous
IV
Nerf trochléaire
Muscle oblique supérieur
VI
Nerf abducens
Muscle droit latéral
V
Nerf trigéminal
Sensitif : sinus de la face, dents, cavité de l'orbite, cavité orale et dure-mère
Ophtalmique
Maxillaire
Mandibulaire
Moteur : muscles de la mastication : tenseur du tympan, tenseur du voile du palais, mylo-hyoïdien et ventre antérieur du digastrique
VII
Nerf facial
Muscles de la face, du stapès, du ventre postérieur du digastrique, stylo-hyoïdien, occipital, auriculaire
Nerf intermédiaire
Moteur : glandes submandibulaire, sublinguale et lacrymale
Goût : 2/3 antérieurs de la langue, voile du palais
VIII
Nerf vestibulo-cochléaire
Cochléaire
Vestibulaire
IX
Nerf glosso-pharyngien
Goût : 1/3 postérieur de la langue
Sensibilité : tonsille, pharynx, oreille moyenne
Motricité : stylo-pharyngien, glande parotide
X
Nerf vague
Moteur : cœur, poumons, palais, pharynx, larynx, trachée, bronches, glandes du tube digestif
Sensitif : cœur, poumons, trachée, bronches, larynx, pharynx, glandes du tractus digestif, oreille externe
XI
Nerf accessoire
Muscles sterno-cléido-mastoïdien et trapèze
XII
Nerf hypoglosse
Muscles de la langue
Rameaux musculaires (fibres C1, C2, C3)
F. Netter M.D.

Nerfs olfactifs (I) : schéma

Voir aussi **Planche 39**



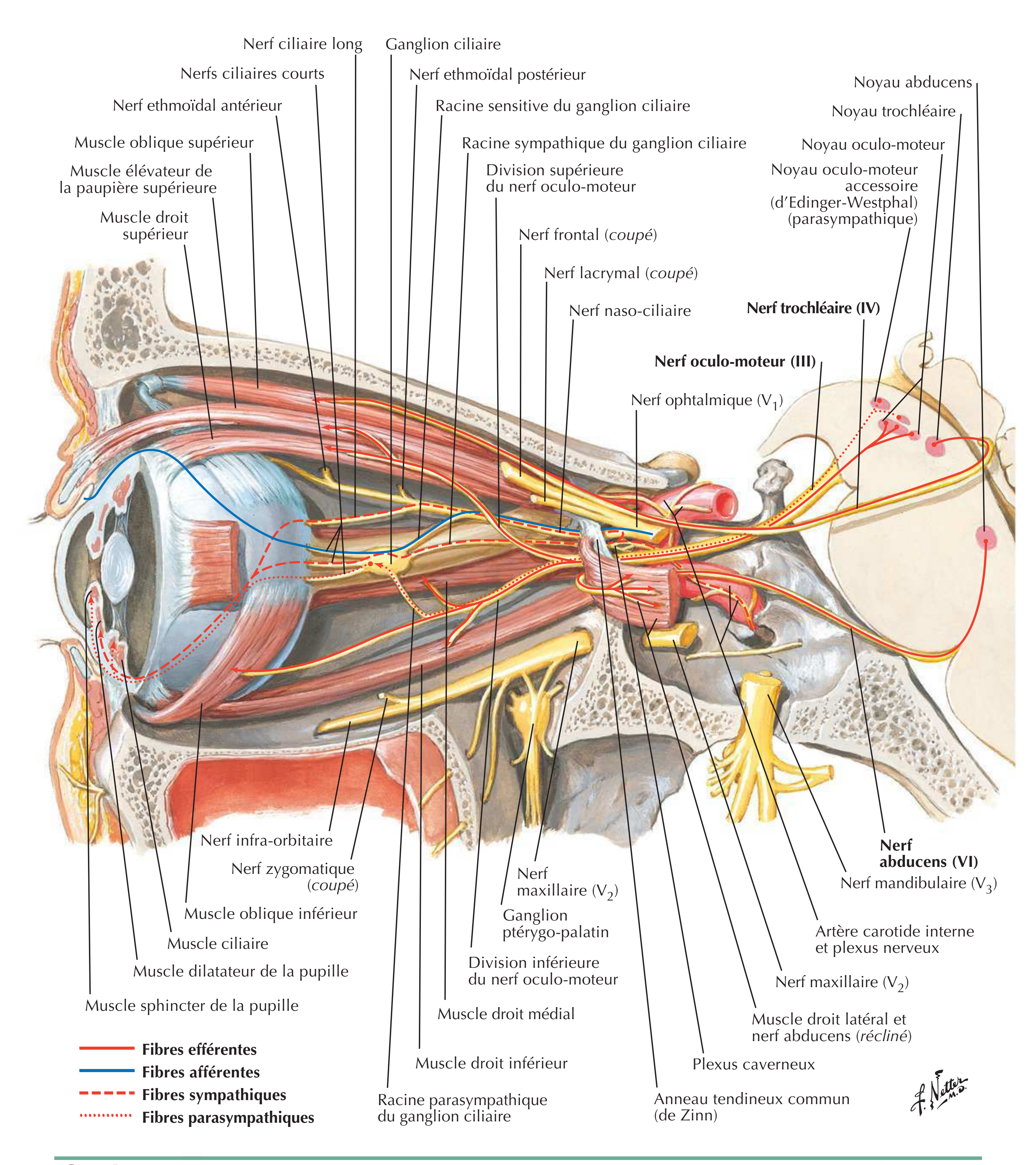


Structure de la rétine : schéma

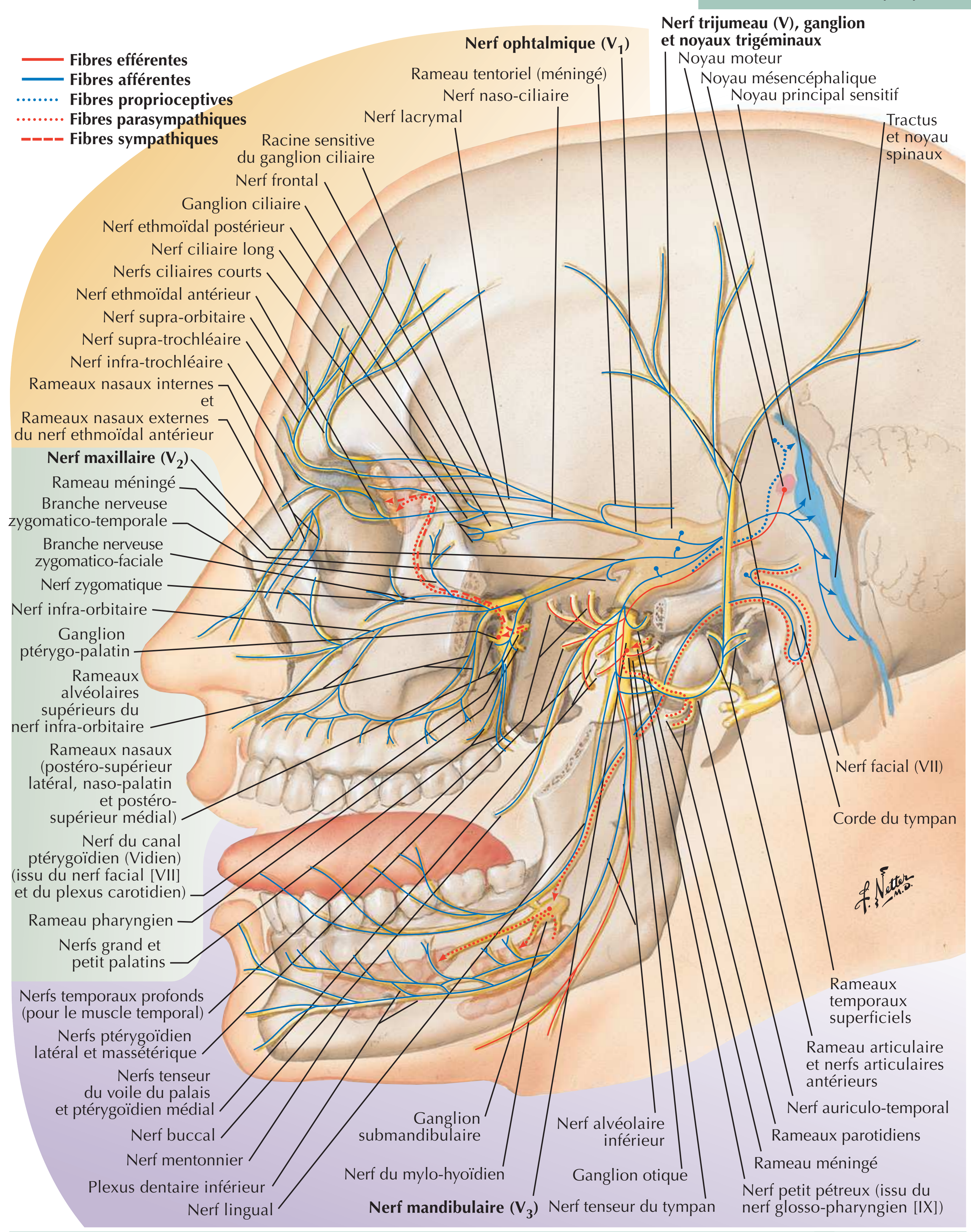
- **A** Cellules amacrines
- **B** Cellules bi-polaires
- **C** Cônes
- **G** Cellules ganglionnaires
- **H** Cellules horizontales
- **P** Cellules pigmentaires
- **R** Bâtonnets

Nerfs oculo-moteur (III), trochléaire (IV) et abducens (VI) : schéma

Voir aussi **Planches 88, 133**

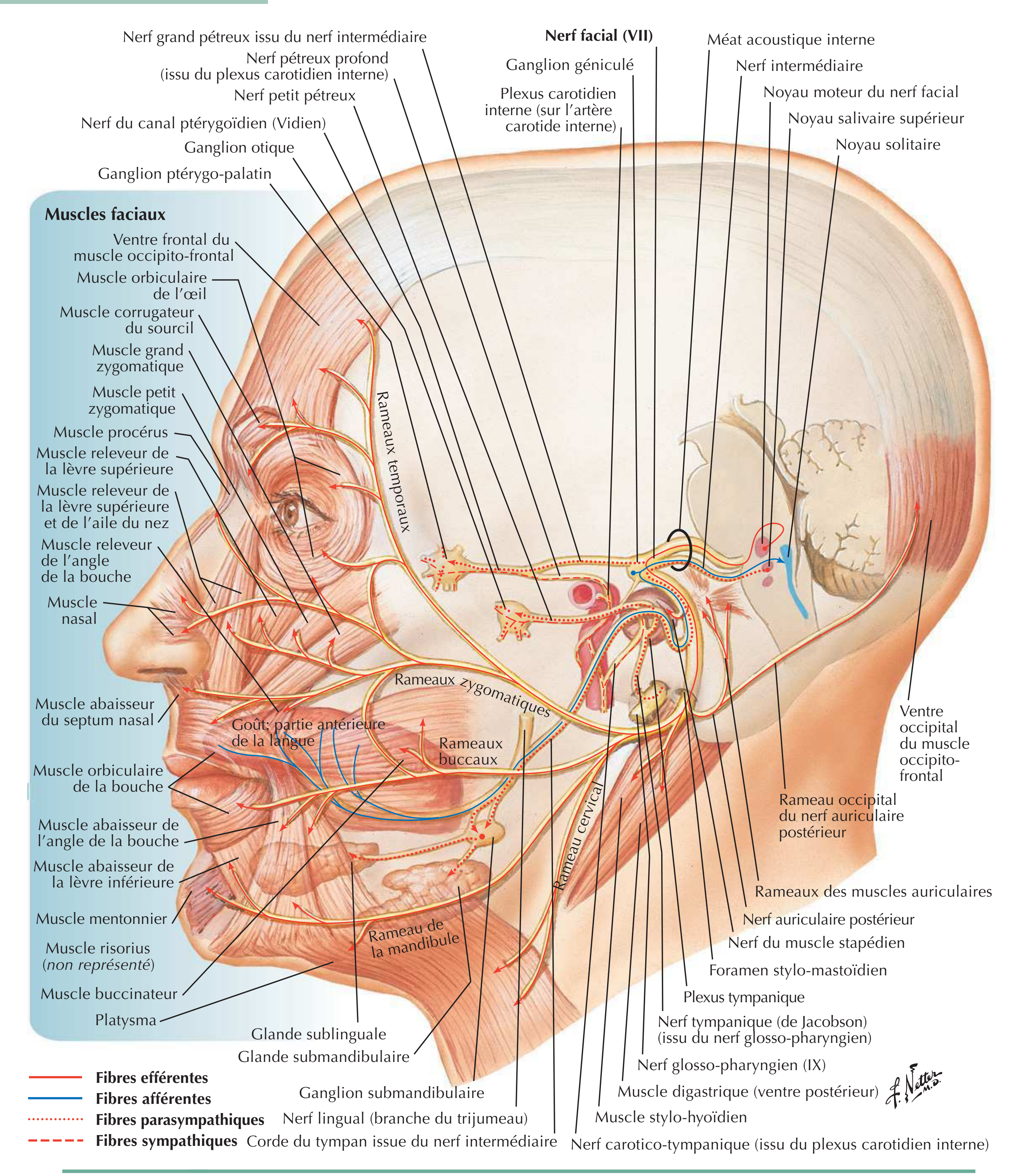


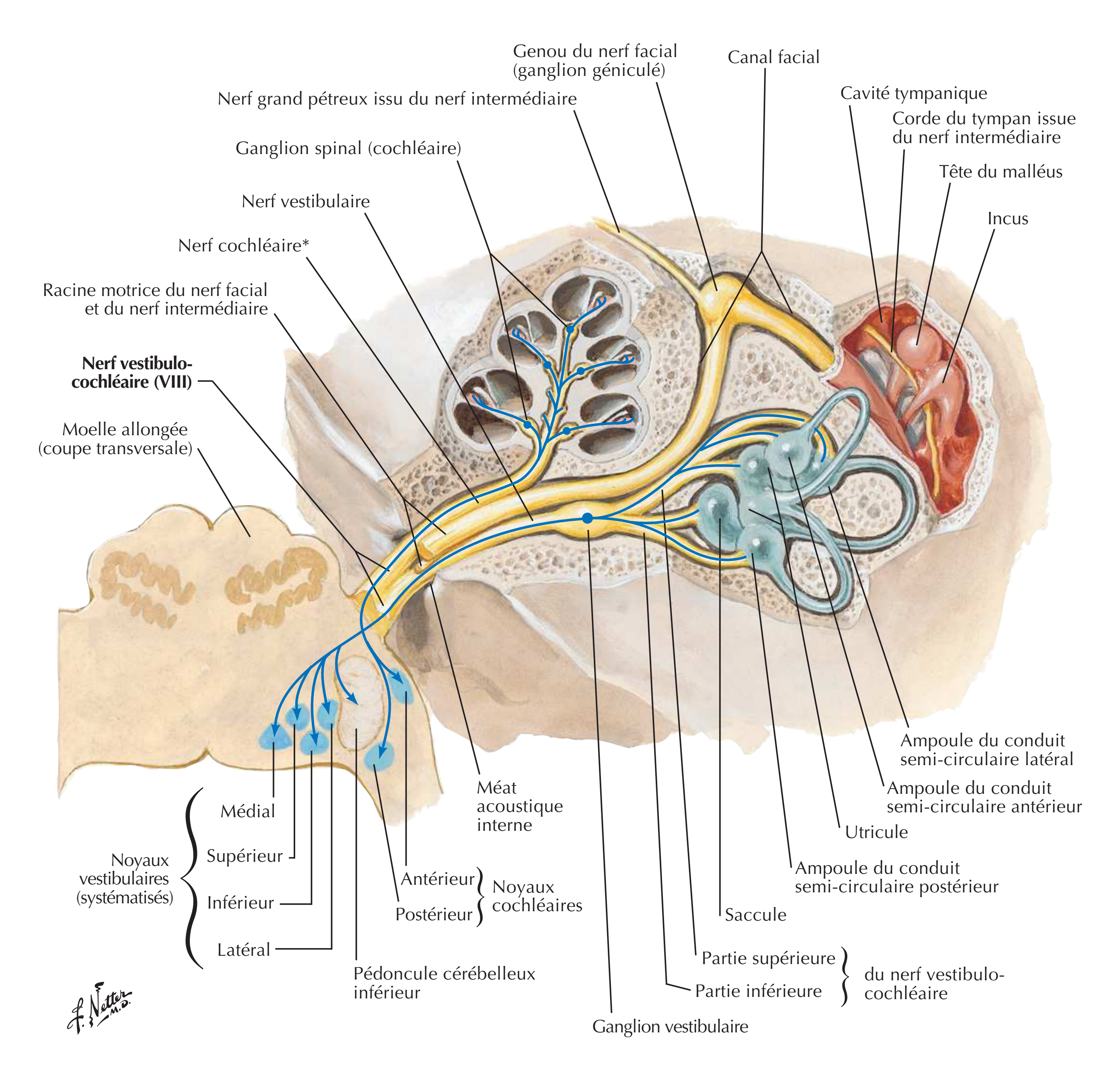
Voir aussi **Planches 2, 50, 52**



Nerf facial (VII) : schéma

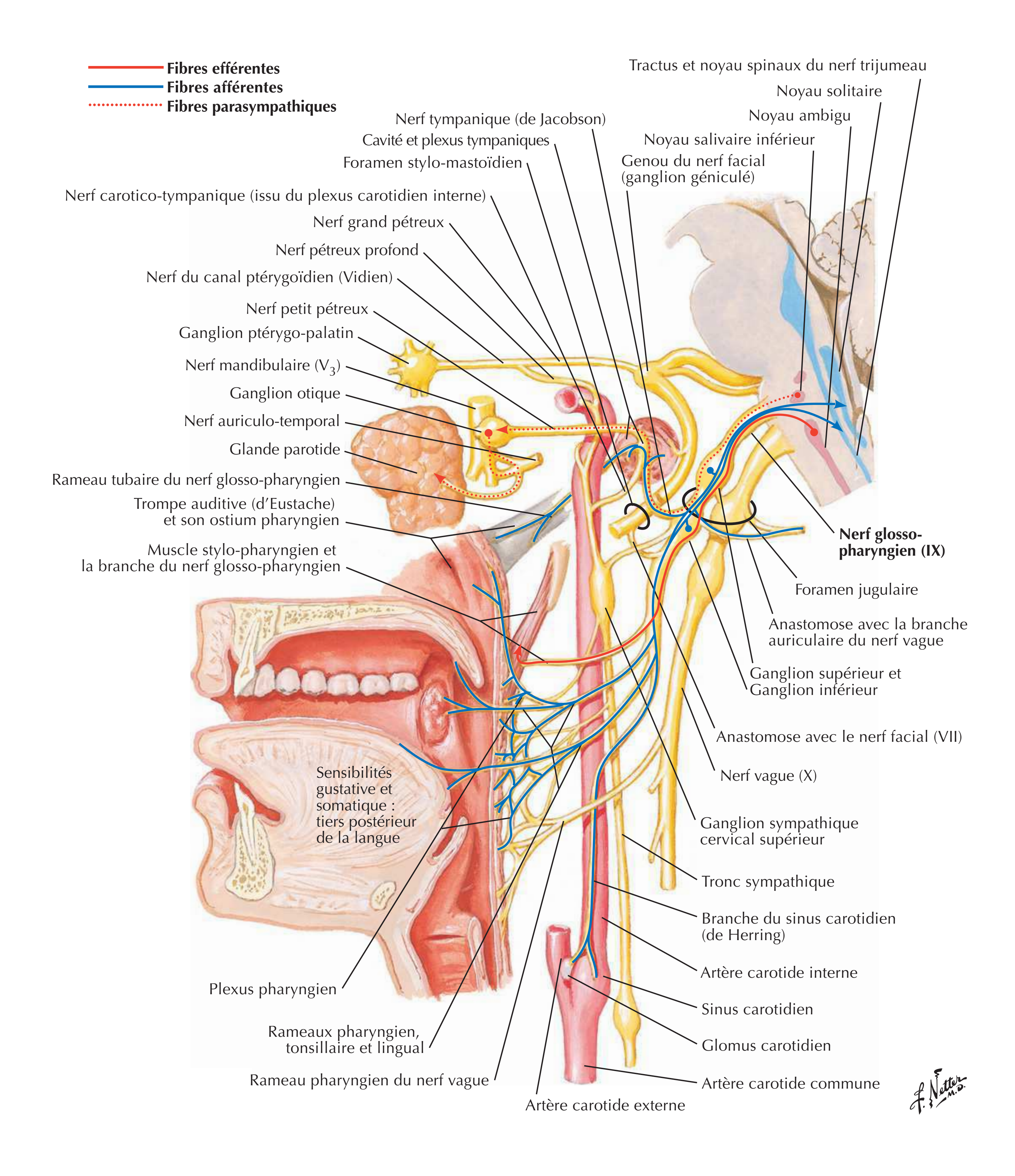
Voir aussi **Planche 24**

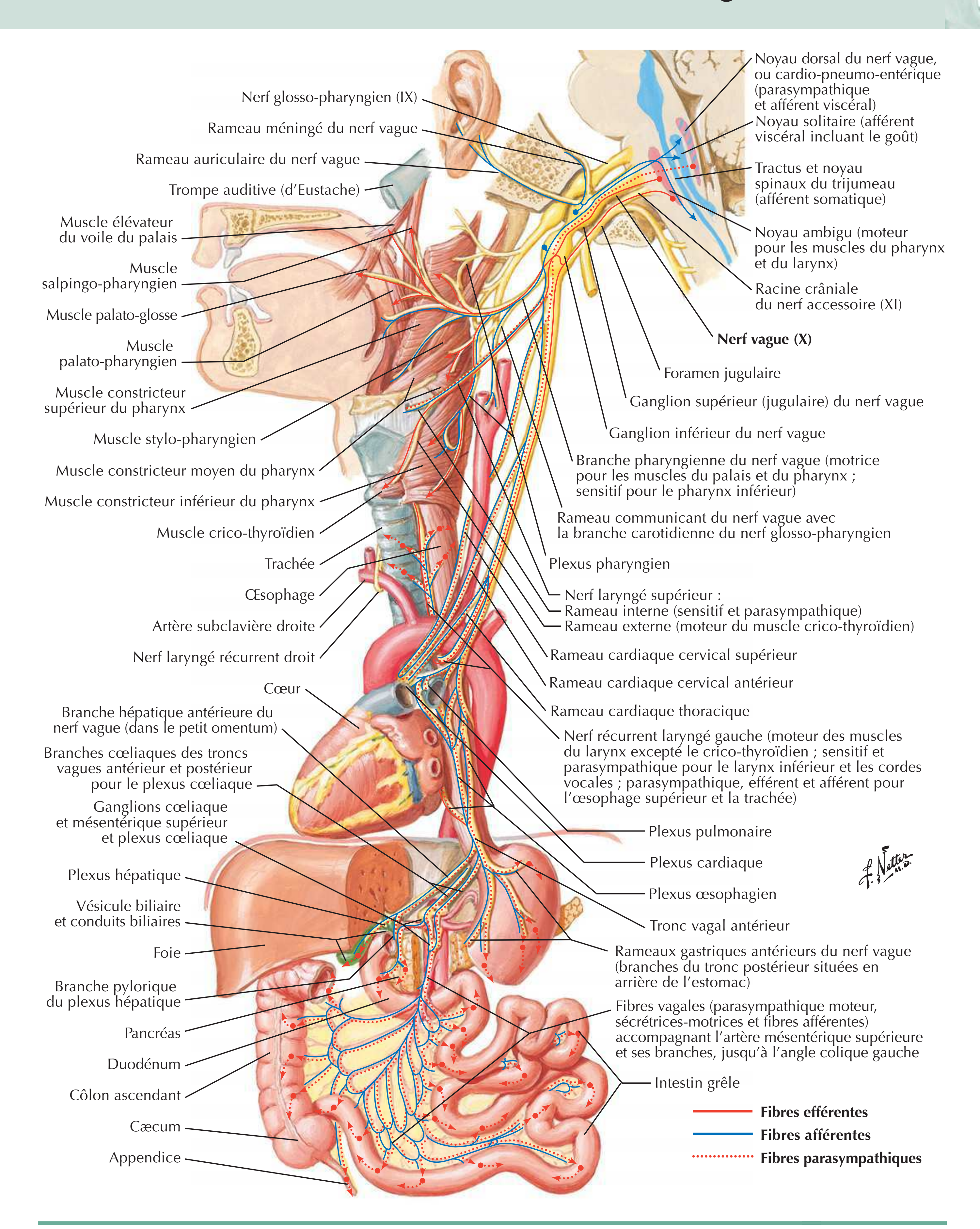




* Le nerf cochléaire contient aussi des fibres efférentes de l'épithélium sensoriel. Ces fibres dérivent du nerf vestibulaire lorsqu'il est dans le méat acoustique interne.

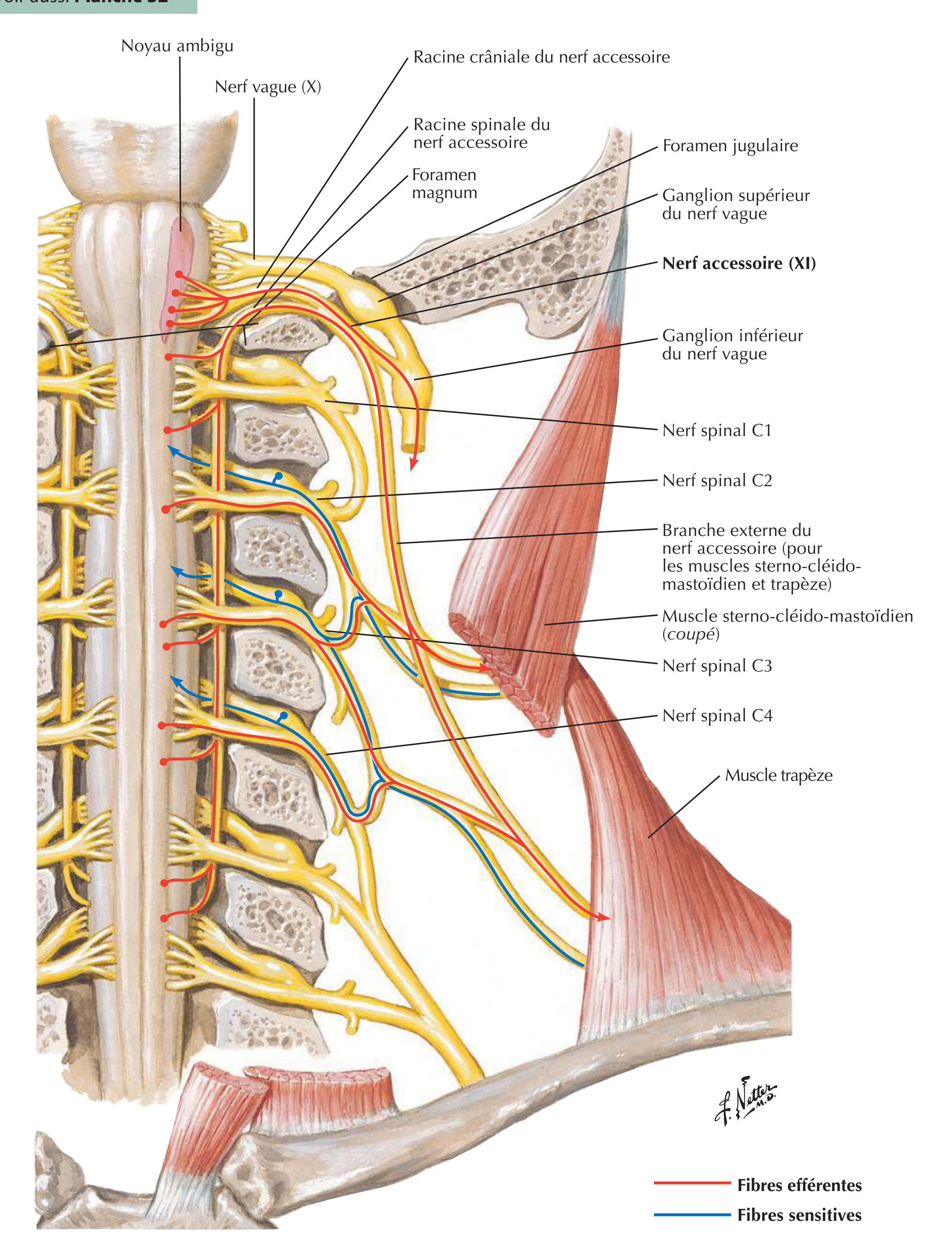
Nerf glosso-pharyngien (IX) : schéma



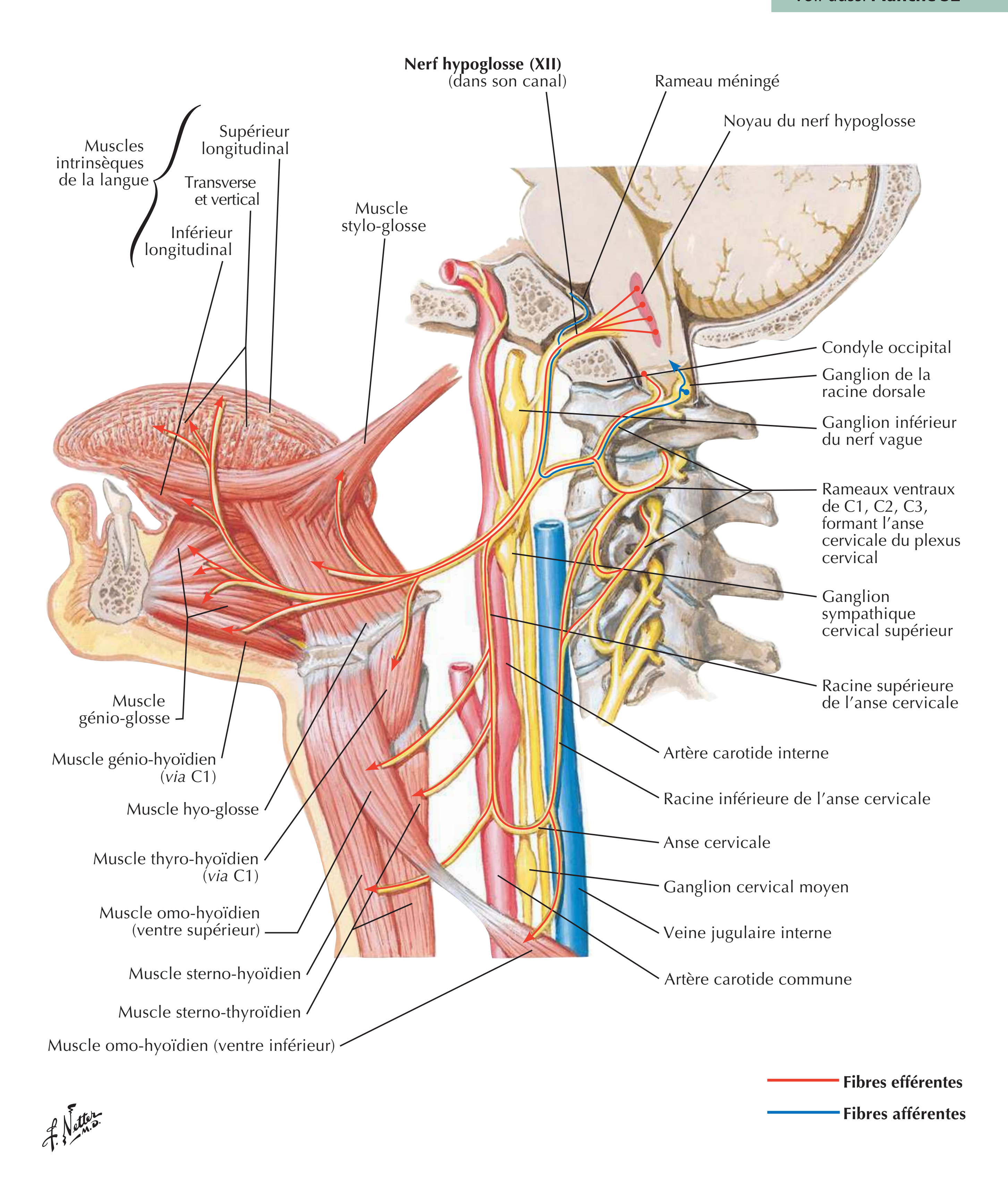

Nerf glosso-pharyngien (IX)
Rameau méningé du nerf vague
Rameau auriculaire du nerf vague
Trompe auditive (d'Eustache)
Muscle élévateur du voile du palais
Muscle salpingo-pharyngien
Muscle palato-glosse
Muscle palato-pharyngien
Muscle constricteur supérieur du pharynx
Muscle stylo-pharyngien
Muscle constricteur moyen du pharynx
Muscle constricteur inférieur du pharynx
Muscle crico-thyroïdien
Trachée
Œsophage
Artère subclavière droite
Nerf laryngé récurrent droit
Cœur
Branche hépatique antérieure du nerf vague (dans le petit omentum)
Branches cœliaques des troncs vagues antérieur et postérieur pour le plexus cœliaque
Ganglions cœliaque et mésentérique supérieur et plexus cœliaque
Plexus hépatique
Vésicule biliaire et conduits biliaires
Foie
Branche pylorique du plexus hépatique
Pancréas
Duodénum
Côlon ascendant
Cæcum
Appendice
Noyau dorsal du nerf vague, ou cardio-pneumo-entérique (parasympathique et afférent viscéral)
Noyau solitaire (afférent viscéral incluant le goût)
Tractus et noyau spinaux du trijumeau (afférent somatique)
Noyau ambigu (moteur pour les muscles du pharynx et du larynx)
Racine crâniale du nerf accessoire (XI)
Nerf vague (X)
Foramen jugulaire
Ganglion supérieur (jugulaire) du nerf vague
Ganglion inférieur du nerf vague
Branche pharyngienne du nerf vague (motrice pour les muscles du palais et du pharynx ; sensitif pour le pharynx inférieur)
Rameau communicant du nerf vague avec la branche carotidienne du nerf glosso-pharyngien
Plexus pharyngien
Nerf laryngé supérieur :
Rameau interne (sensitif et parasympathique)
Rameau externe (moteur du muscle crico-thyroïdien)
Rameau cardiaque cervical supérieur
Rameau cardiaque cervical antérieur
Rameau cardiaque thoracique
Nerf récurrent laryngé gauche (moteur des muscles du larynx excepté le crico-thyroïdien ; sensitif et parasympathique pour le larynx inférieur et les cordes vocales ; parasympathique, efférent et afférent pour l'œsophage supérieur et la trachée)
Plexus pulmonaire
Plexus cardiaque
Plexus œsophagien
Tronc vagal antérieur
Rameaux gastriques antérieurs du nerf vague (branches du tronc postérieur situées en arrière de l'estomac)
Fibres vagales (parasympathique moteur, sécrétrices-motrices et fibres afférentes) accompagnant l'artère mésentérique supérieure et ses branches, jusqu'à l'angle colique gauche
Intestin grêle
Fibres efférentes
Fibres afférentes
Fibres parasympathiques
F. Netter M.D.

Nerf accessoire (XI) : schéma

Voir aussi **Planche 32**

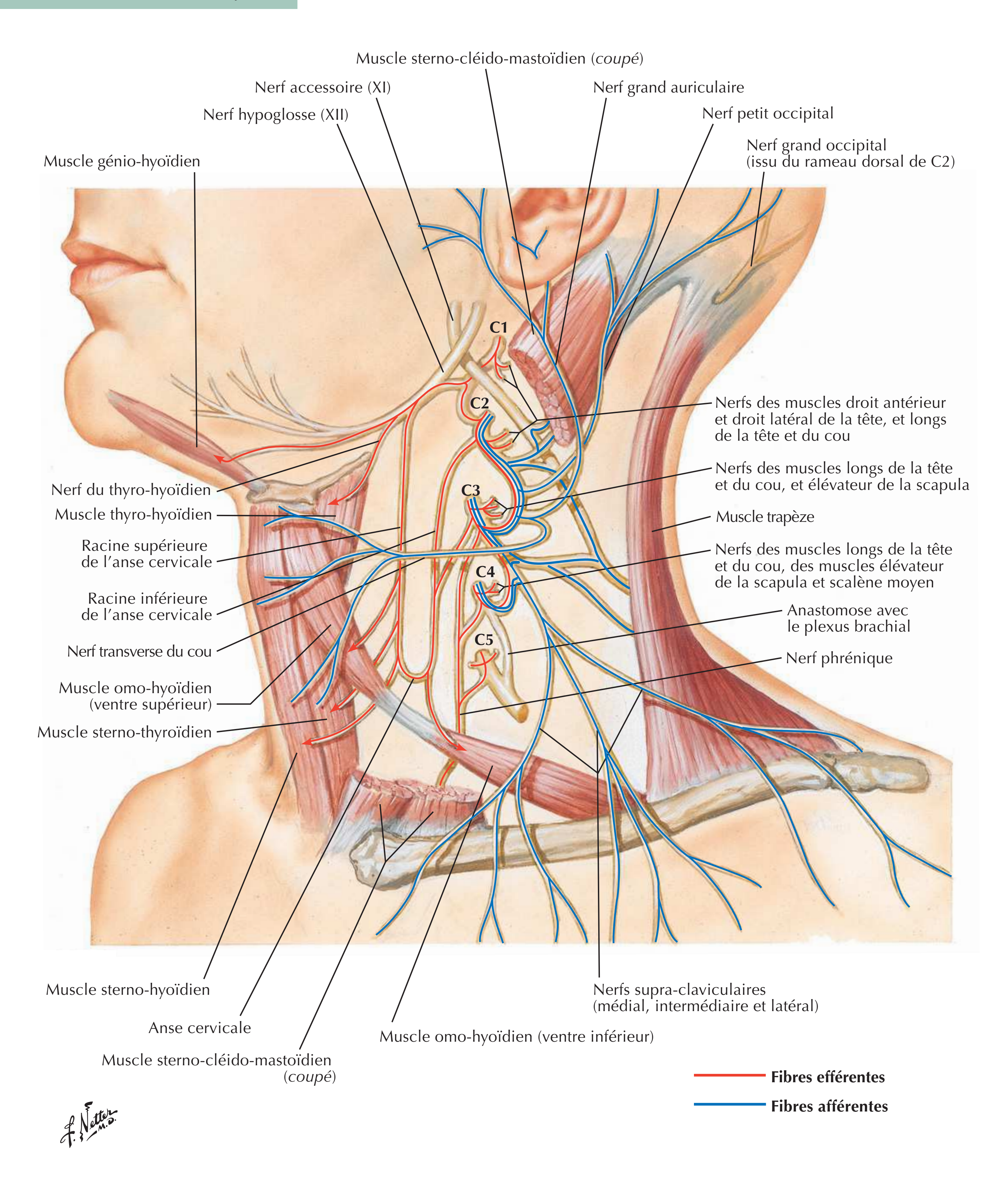


Voir aussi **Planche 32**

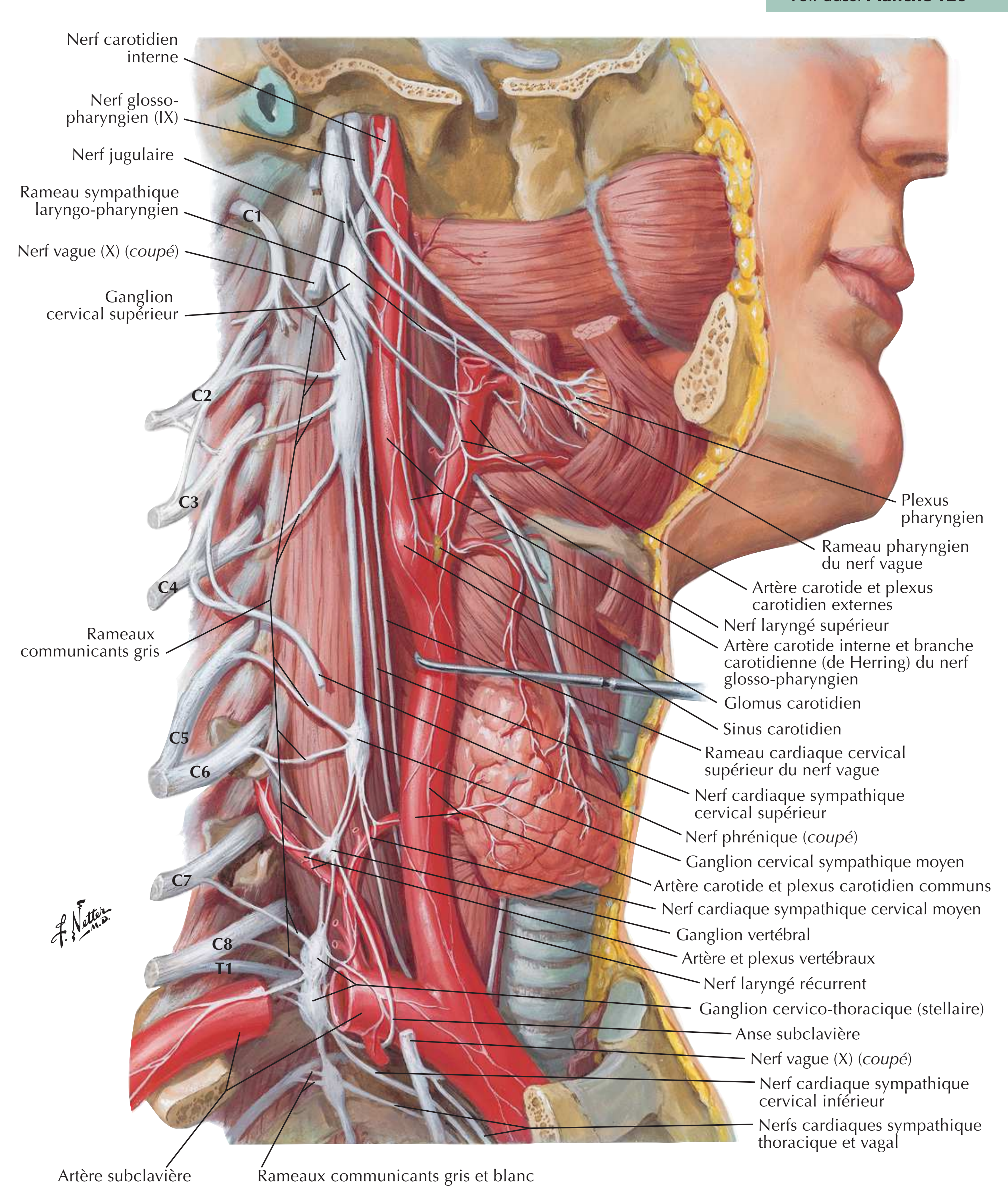


Plexus cervical : schéma

Voir aussi **Planches 32, 33**

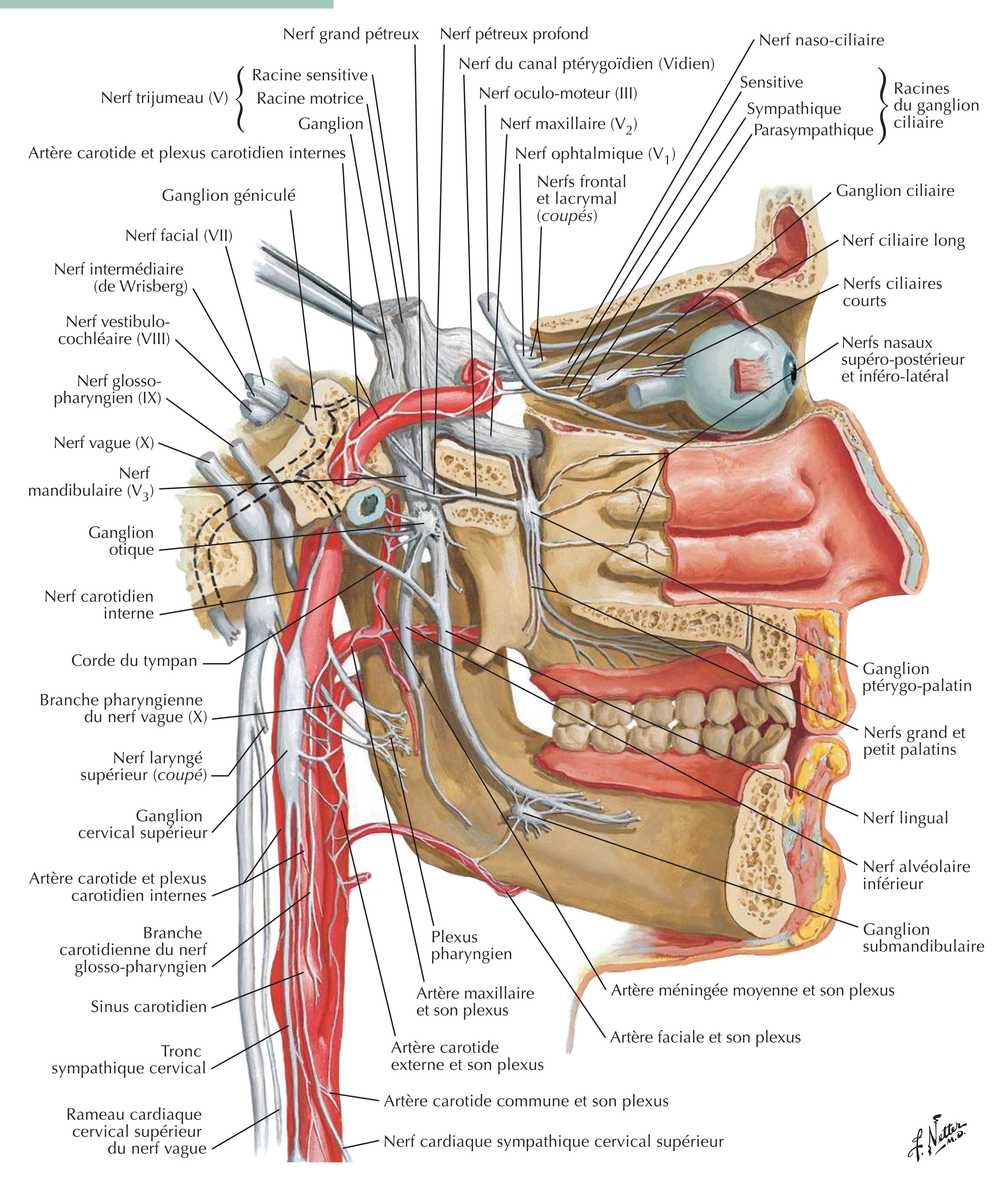


Voir aussi **Planche 126**

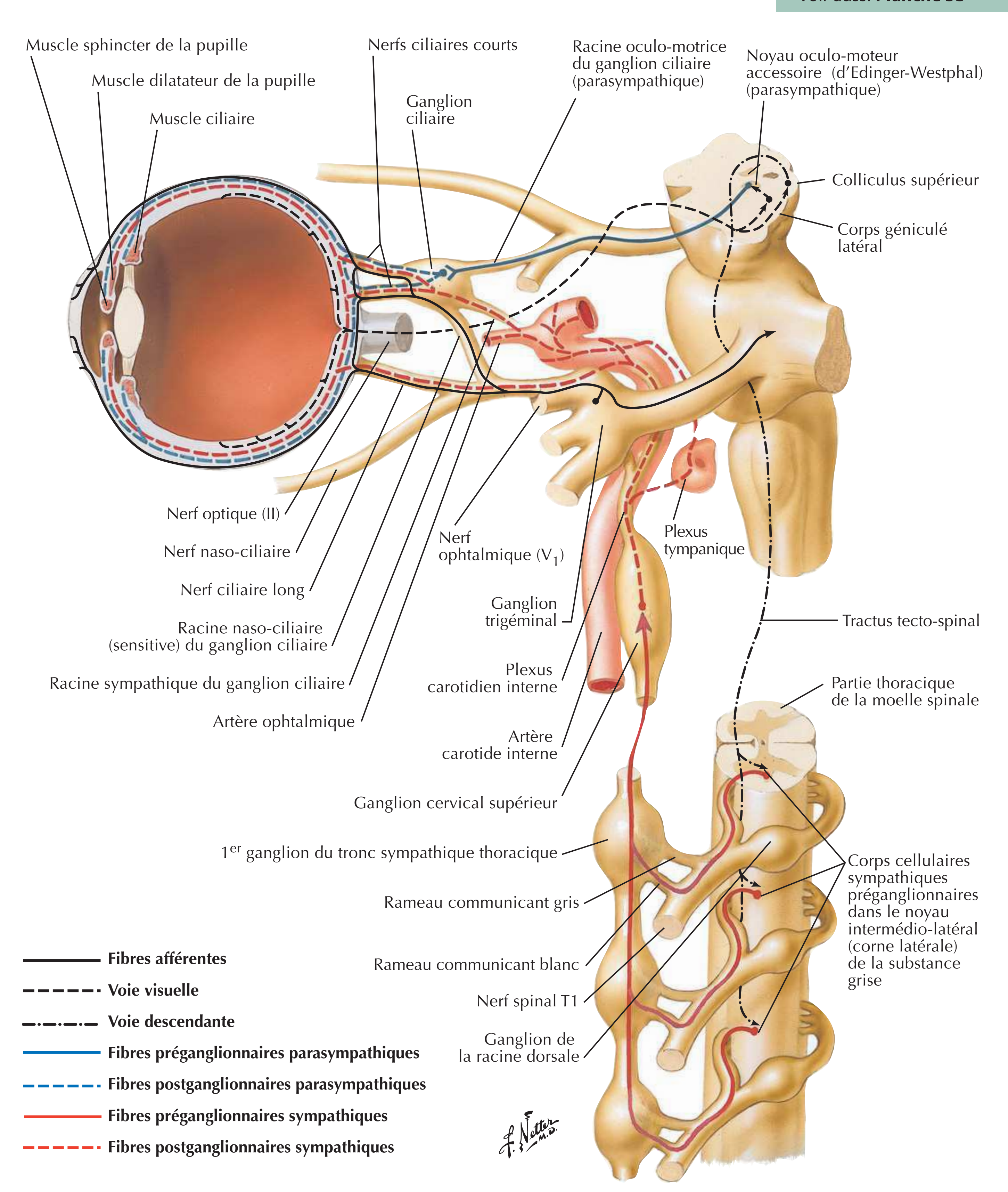


Nerfs autonomes de la tête

Voir aussi **Planches 53, 123, 134**

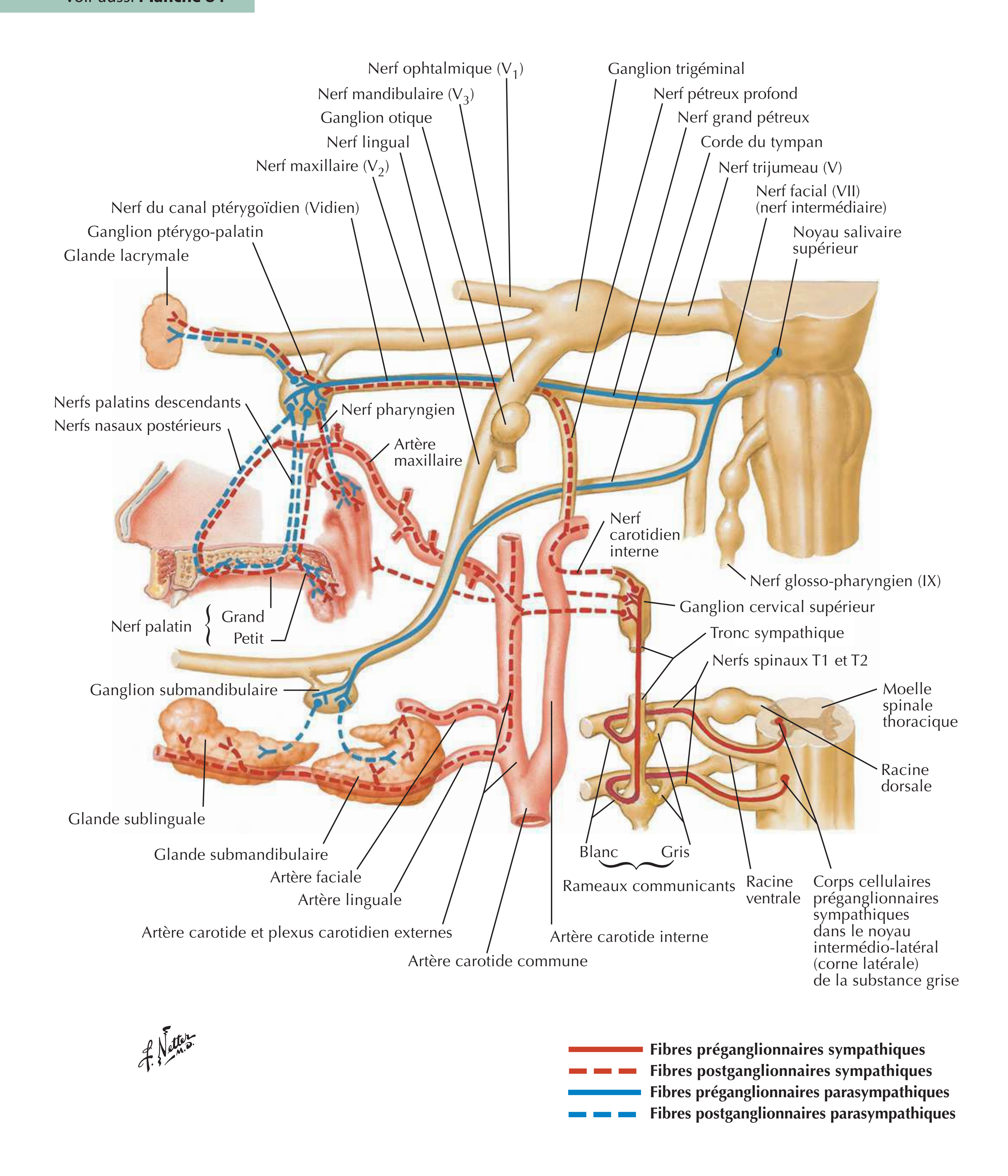


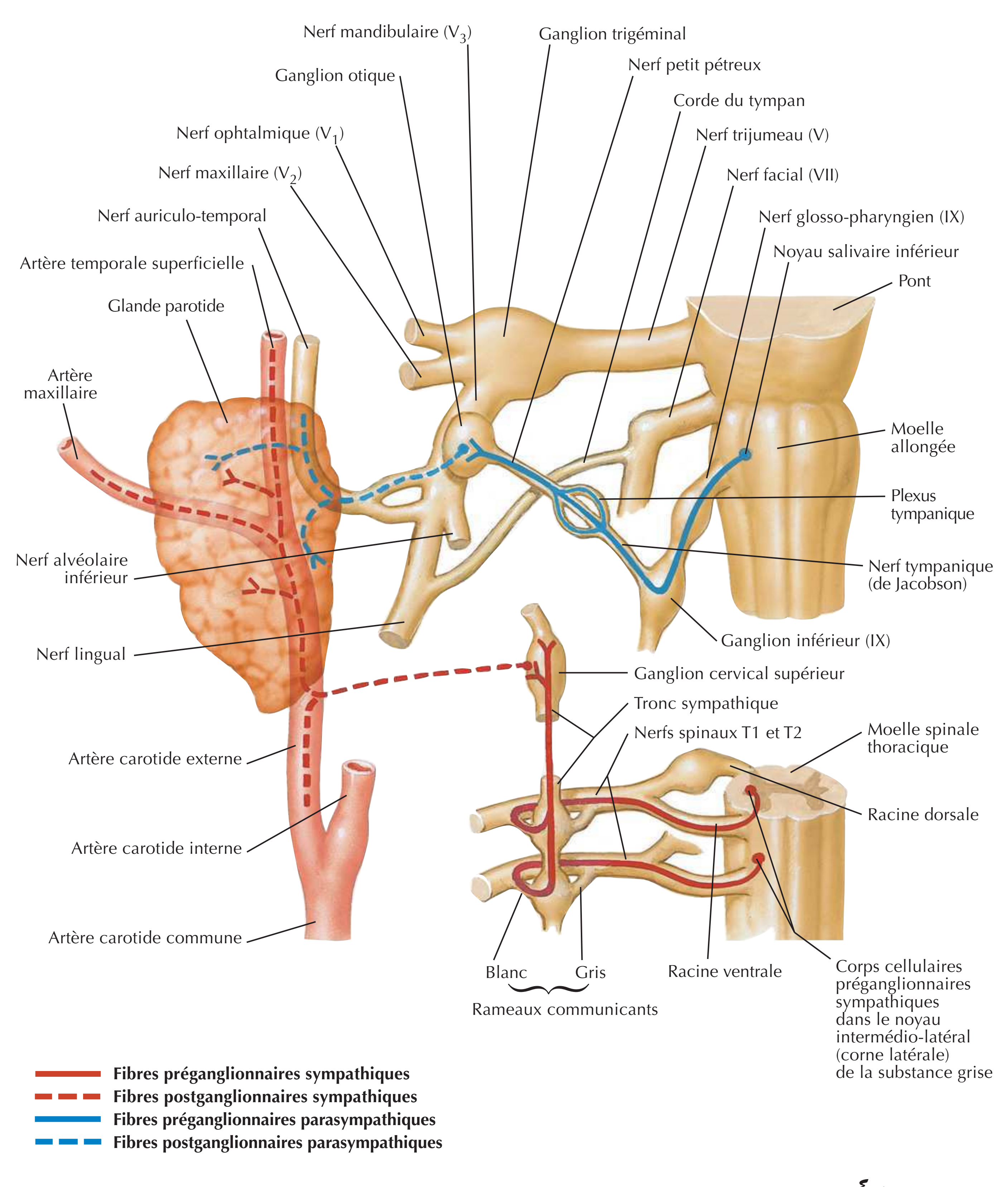
Voir aussi **Planche 53**



Ganglions ptérygo-palatin et submandibulaire : schéma

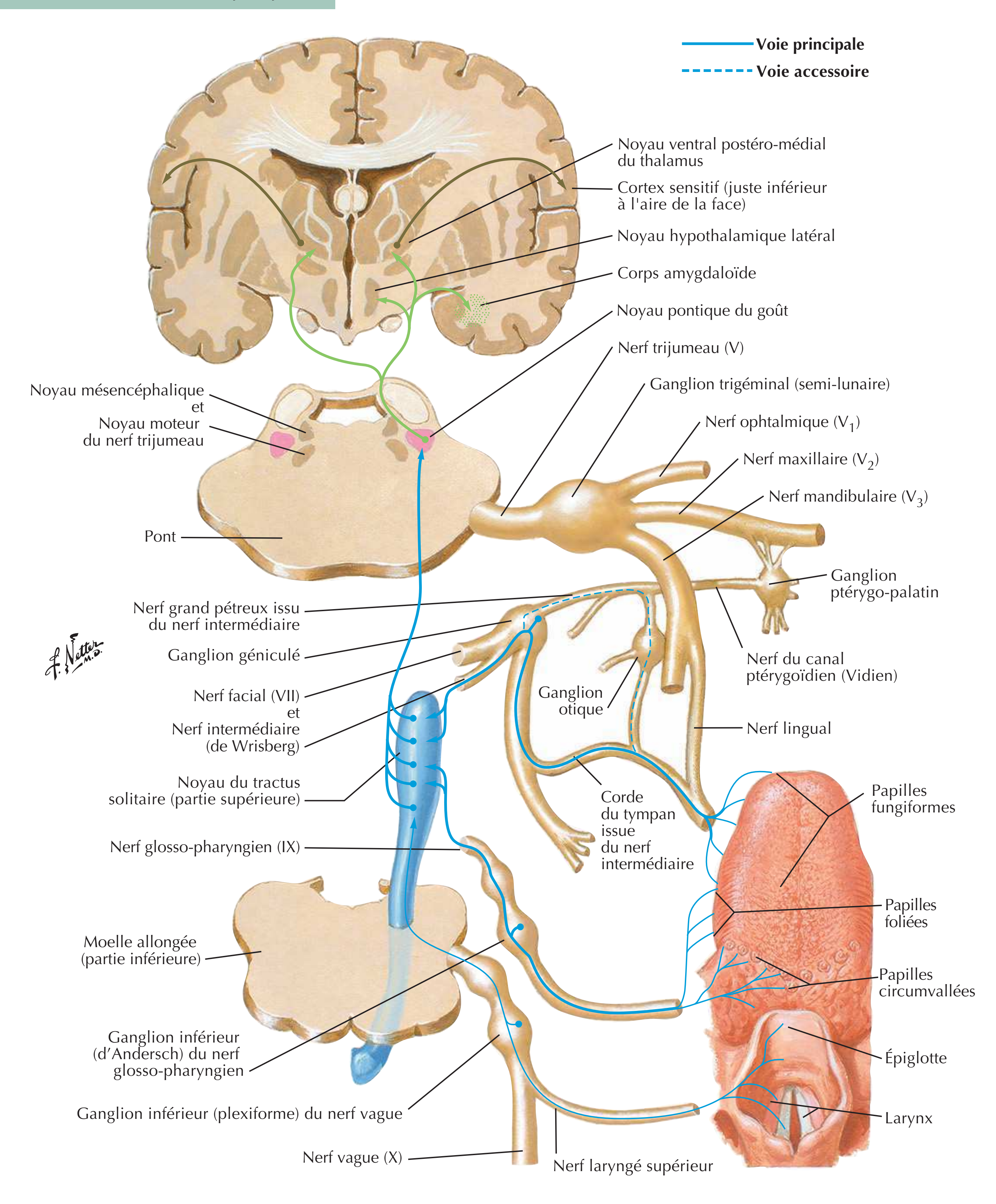
Voir aussi **Planche 84**



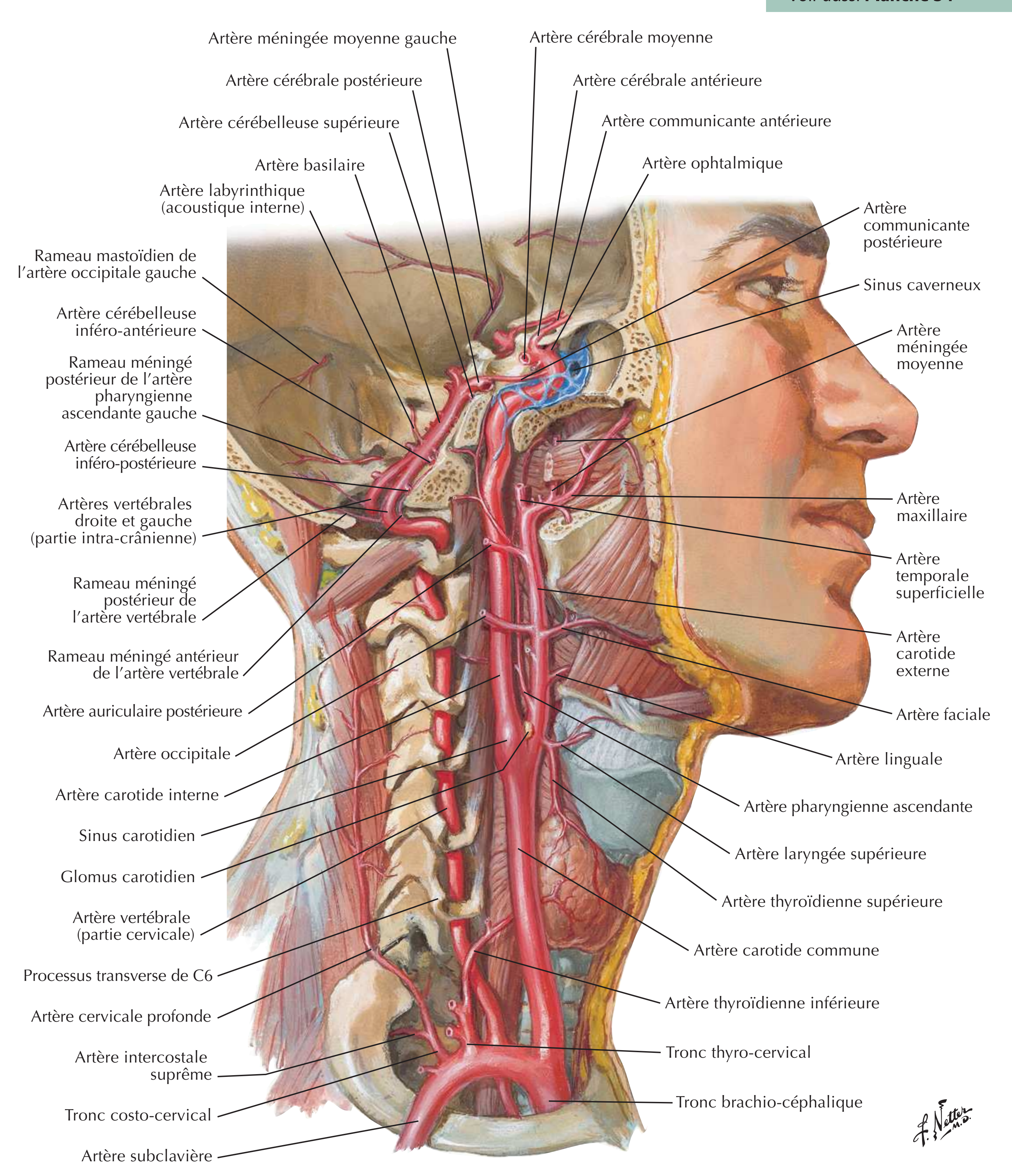

Nerf mandibulaire (V3)
Ganglion trigéminal
Nerf petit pétreux
Ganglion otique
Corde du tympan
Nerf ophtalmique (V1)
Nerf trijumeau (V)
Nerf maxillaire (V2)
Nerf facial (VII)
Nerf auriculo-temporal
Nerf glosso-pharyngien (IX)
Noyau salivaire inférieur
Artère temporale superficielle
Pont
Glande parotide
Artère maxillaire
Moelle allongée
Plexus tympanique
Nerf alvéolaire inférieur
Nerf tympanique (de Jacobson)
Ganglion inférieur (IX)
Nerf lingual
Ganglion cervical supérieur
Tronc sympathique
Nerfs spinaux T1 et T2
Moelle spinale thoracique
Artère carotide externe
Racine dorsale
Artère carotide interne
Artère carotide commune
Blanc
Gris
Rameaux communicants
Racine ventrale
Corps cellulaires préganglionnaires sympathiques dans le noyau intermédio-latéral (corne latérale) de la substance grise
Fibres préganglionnaires sympathiques
Fibres postganglionnaires sympathiques
Fibres préganglionnaires parasympathiques
Fibres postganglionnaires parasympathiques
F. Netter M.D.

Voies gustatives : schéma

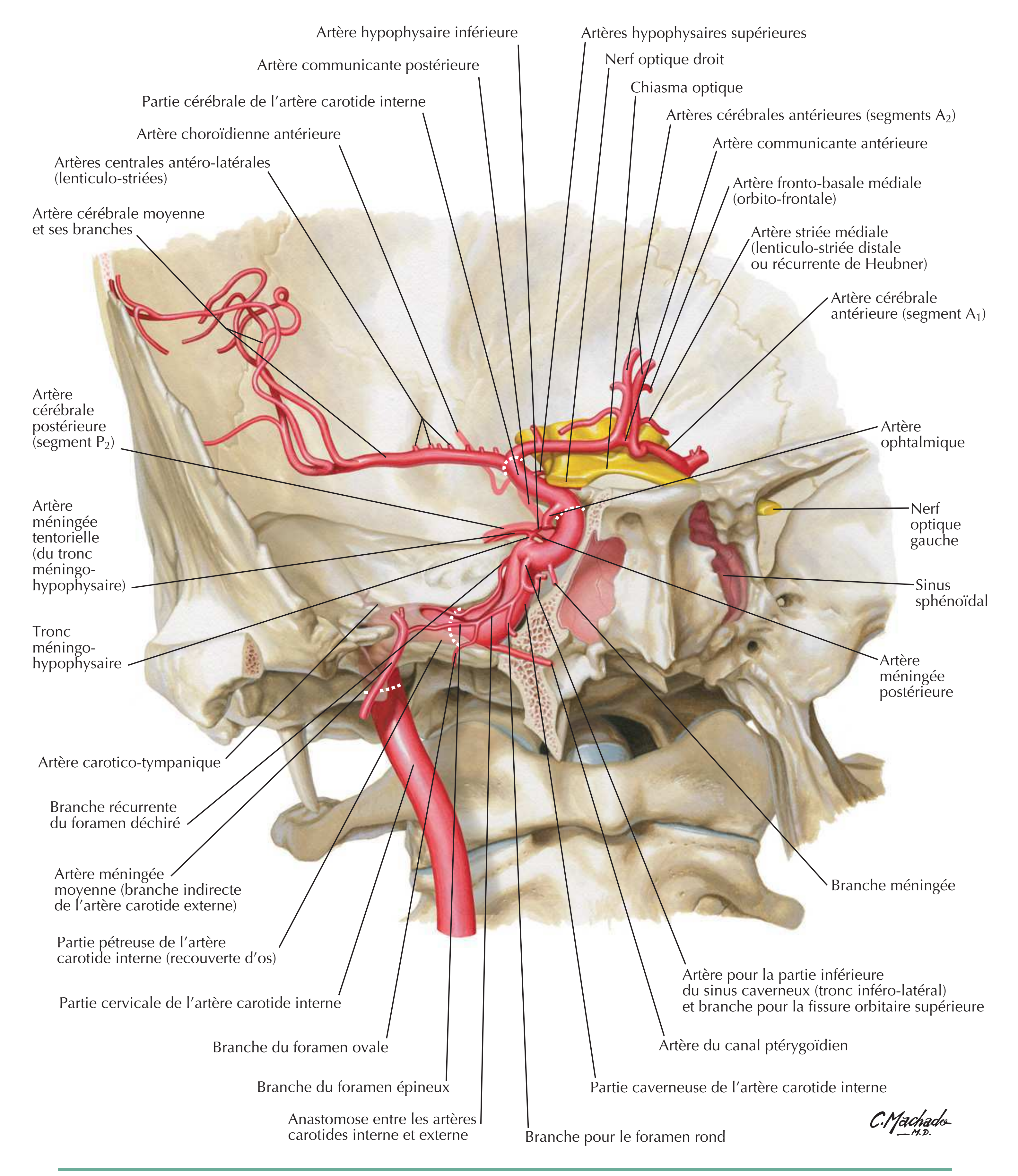
Voir aussi **Planches 124, 126, 127**

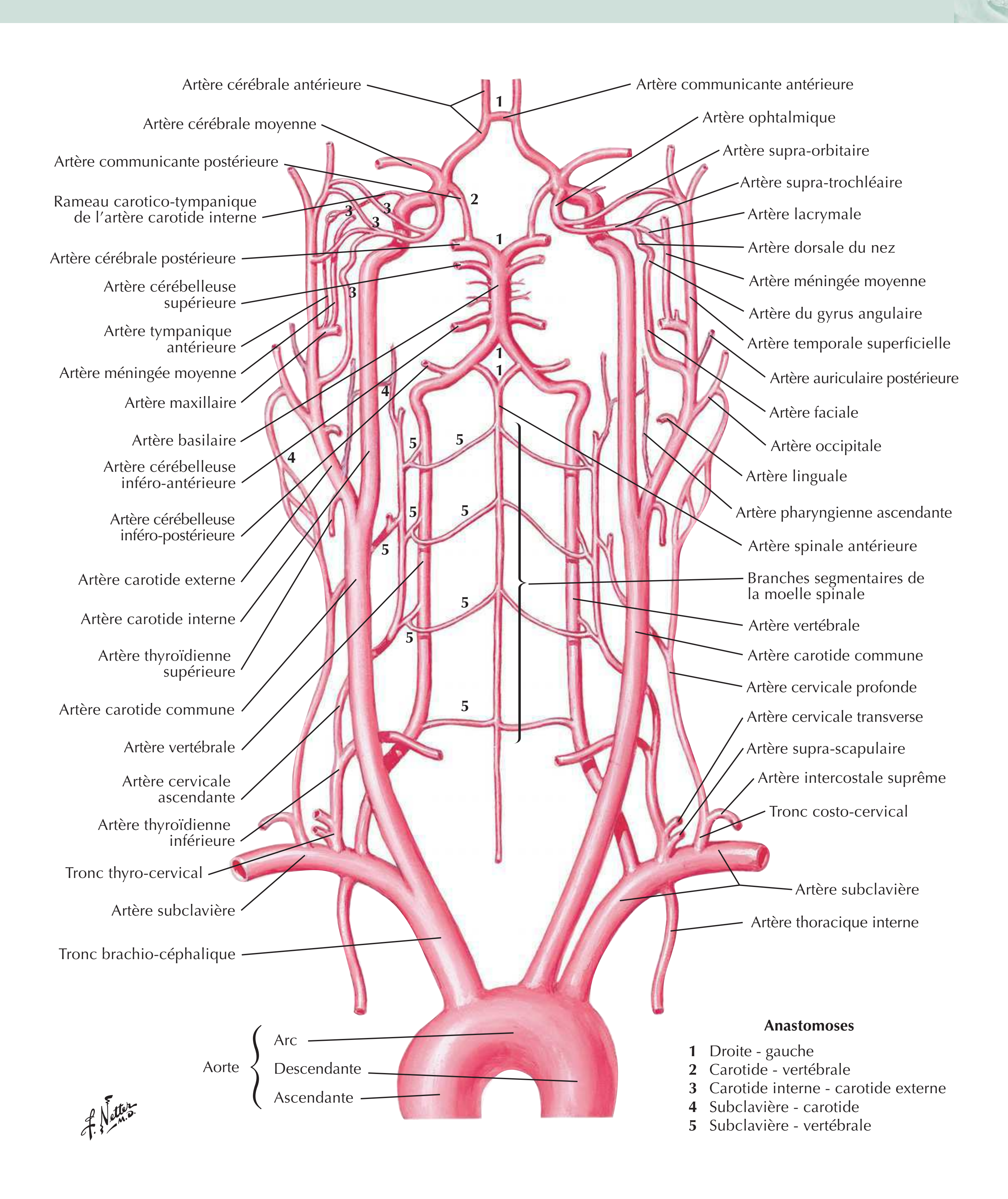


Voir aussi **Planche 34**



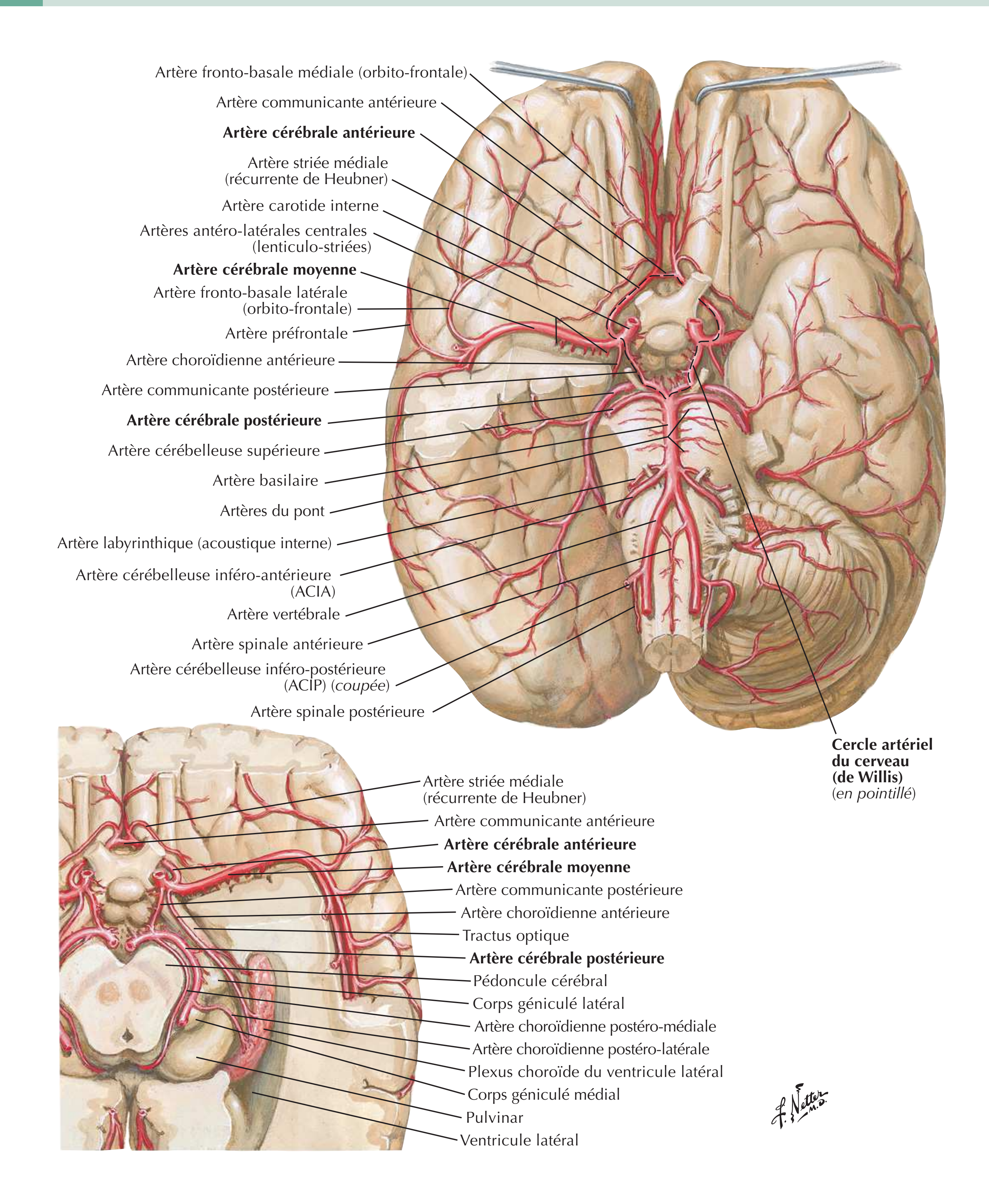
Artère carotide interne dans la partie pétreuse de l'os temporal





Artère cérébrale antérieure
Artère cérébrale moyenne
Artère communicante postérieure
Rameau carotico-tympanique de l'artère carotide interne
Artère cérébrale postérieure
Artère cérébelleuse supérieure
Artère tympanique antérieure
Artère méningée moyenne
Artère maxillaire
Artère basilaire
Artère cérébelleuse inféro-antérieure
Artère cérébelleuse inféro-postérieure
Artère carotide externe
Artère carotide interne
Artère thyroïdienne supérieure
Artère carotide commune
Artère vertébrale
Artère cervicale ascendante
Artère thyroïdienne inférieure
Tronc thyro-cervical
Artère subclavière
Tronc brachio-céphalique
Aorte
Arc
Descendante
Ascendante
Artère communicante antérieure
Artère ophtalmique
Artère supra-orbitaire
Artère supra-trochléaire
Artère lacrymale
Artère dorsale du nez
Artère méningée moyenne
Artère du gyrus angulaire
Artère temporale superficielle
Artère auriculaire postérieure
Artère faciale
Artère occipitale
Artère linguale
Artère pharyngienne ascendante
Artère spinale antérieure
Branches segmentaires de la moelle spinale
Artère vertébrale
Artère carotide commune
Artère cervicale profonde
Artère cervicale transverse
Artère supra-scapulaire
Artère intercostale suprême
Tronc costo-cervical
Artère subclavière
Artère thoracique interne
1
2
3
4
5
Anastomoses
1 Droite - gauche
2 Carotide - vertébrale
3 Carotide interne - carotide externe
4 Subclavière - carotide
5 Subclavière - vertébrale
F. Netter M.D.

Artères de l'encéphale : vues inférieures



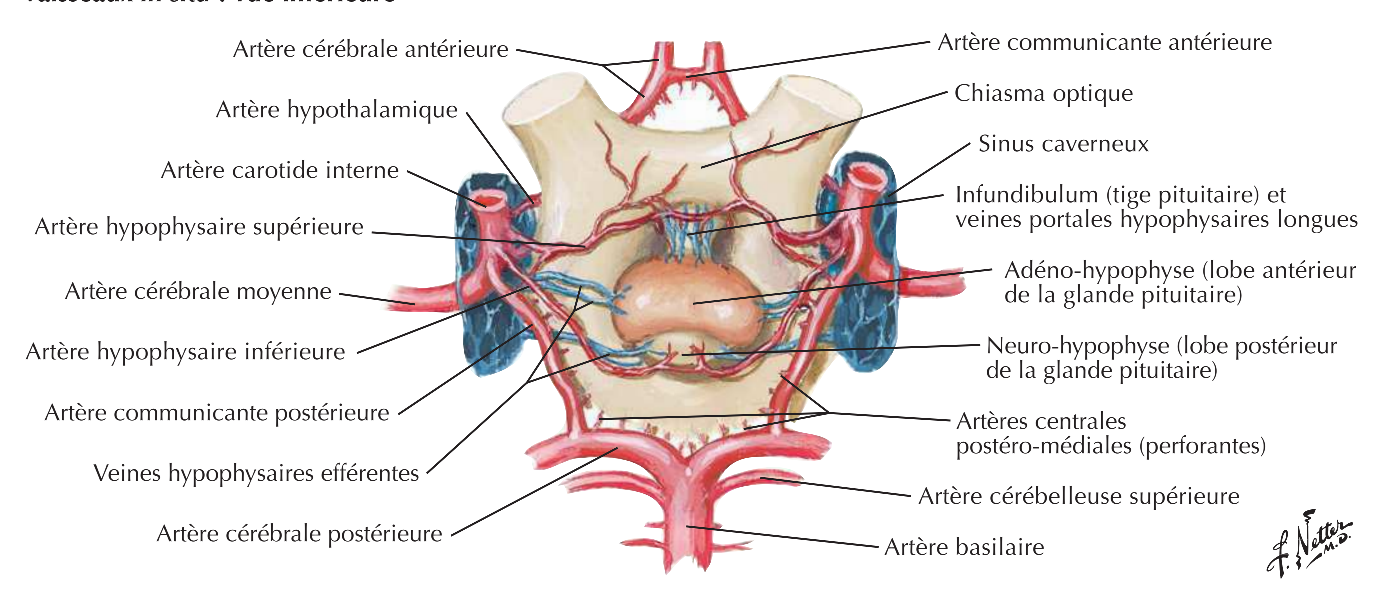
Cercle artériel du cerveau (de Willis)

Pour les artères hypophysaires, voir **Planche 149**

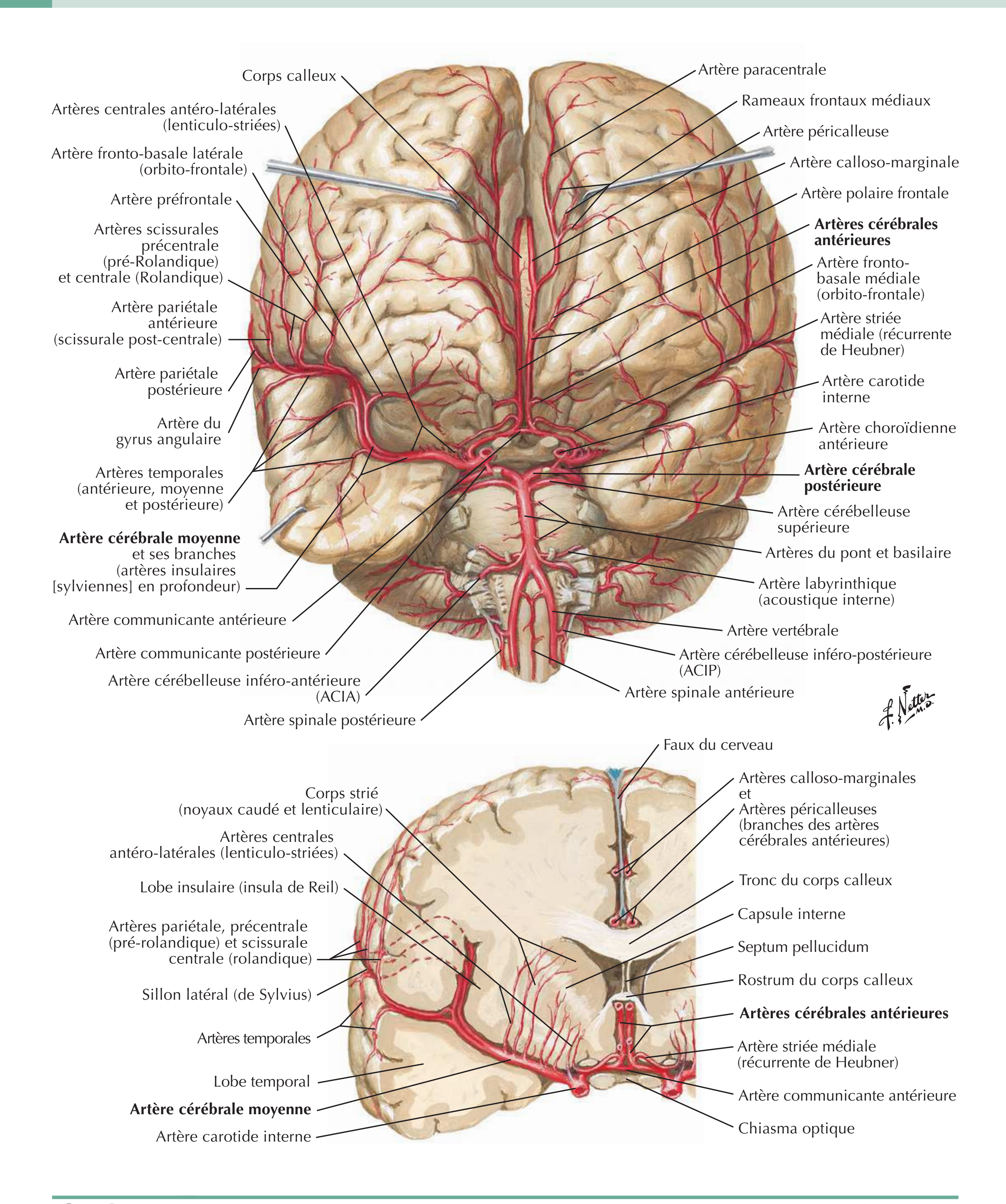
Vaisseaux isolés : vue inférieure

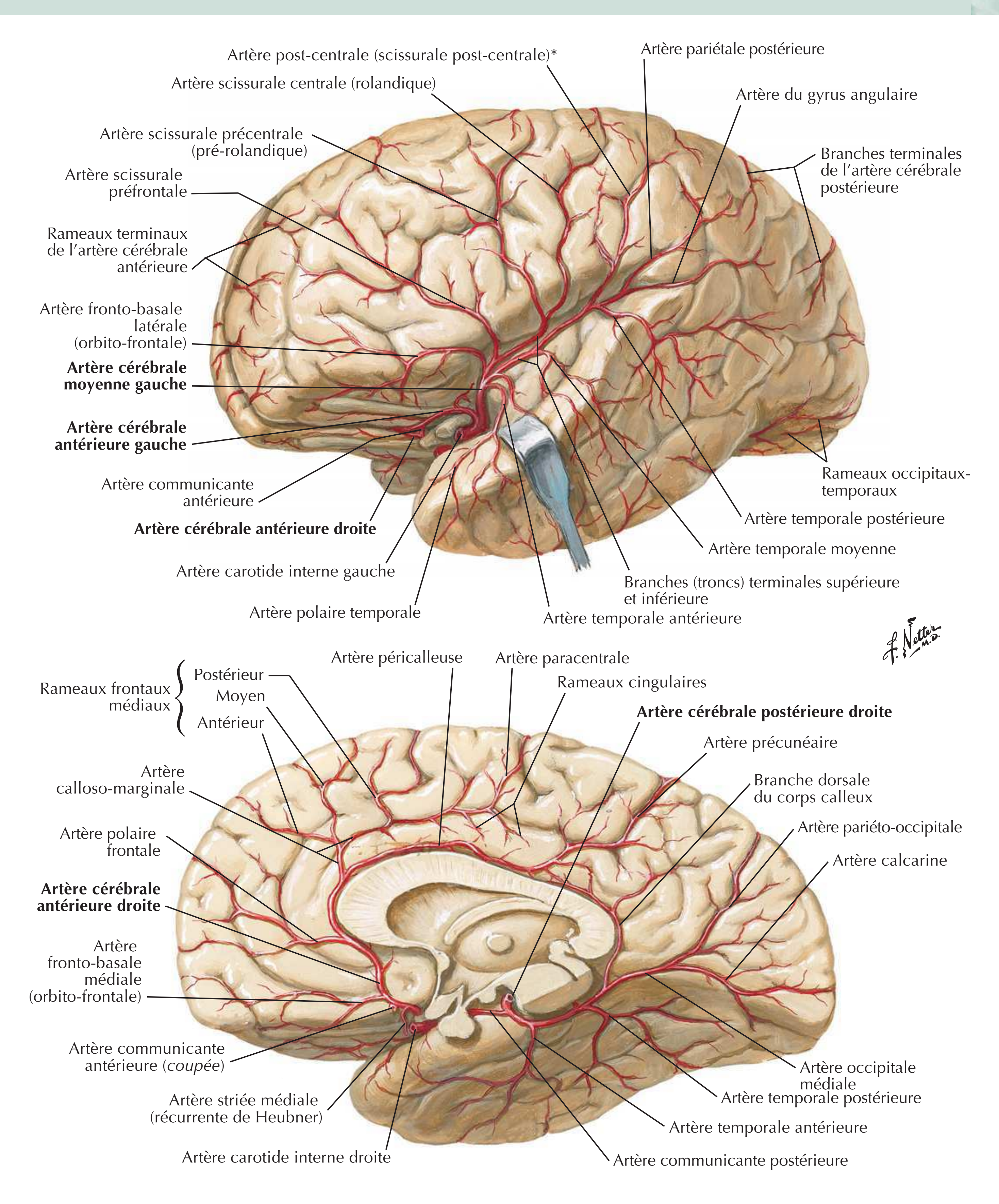
Artère centrale longue (récurrente de Heubner)
Artère cérébrale antérieure (segment A_2)
Artères centrales antéro-médiales
Artère communicante antérieure
Artère hypothalamique
Artère cérébrale antérieure (segment A_1)
Artères centrales antéro-latérales (artères lenticulo-striées)
Artère ophtalmique
Artère carotide interne
Artère cérébrale moyenne
Artère hypophysaire supérieure
Artère communicante postérieure
Artère hypophysaire inférieure
Artère choroïdienne antérieure
Artère cérébrale postérieure (segment P_2) (segment P_1)
Artères thalamo-striées antérieures
Artères centrales postéro-médiales (perforantes)
Artère cérébelleuse supérieure
Artère basilaire
Artères centrales postéro-médiales (artères thalamo-striées postérieures)
Artères du pont
Artères postéro-médiales centrales (paramédianes)
Artère cérébelleuse inféro-antérieure (ACIA)
Artère labyrinthique (acoustique interne)
Artère vertébrale

Vaisseaux *in situ* : vue inférieure



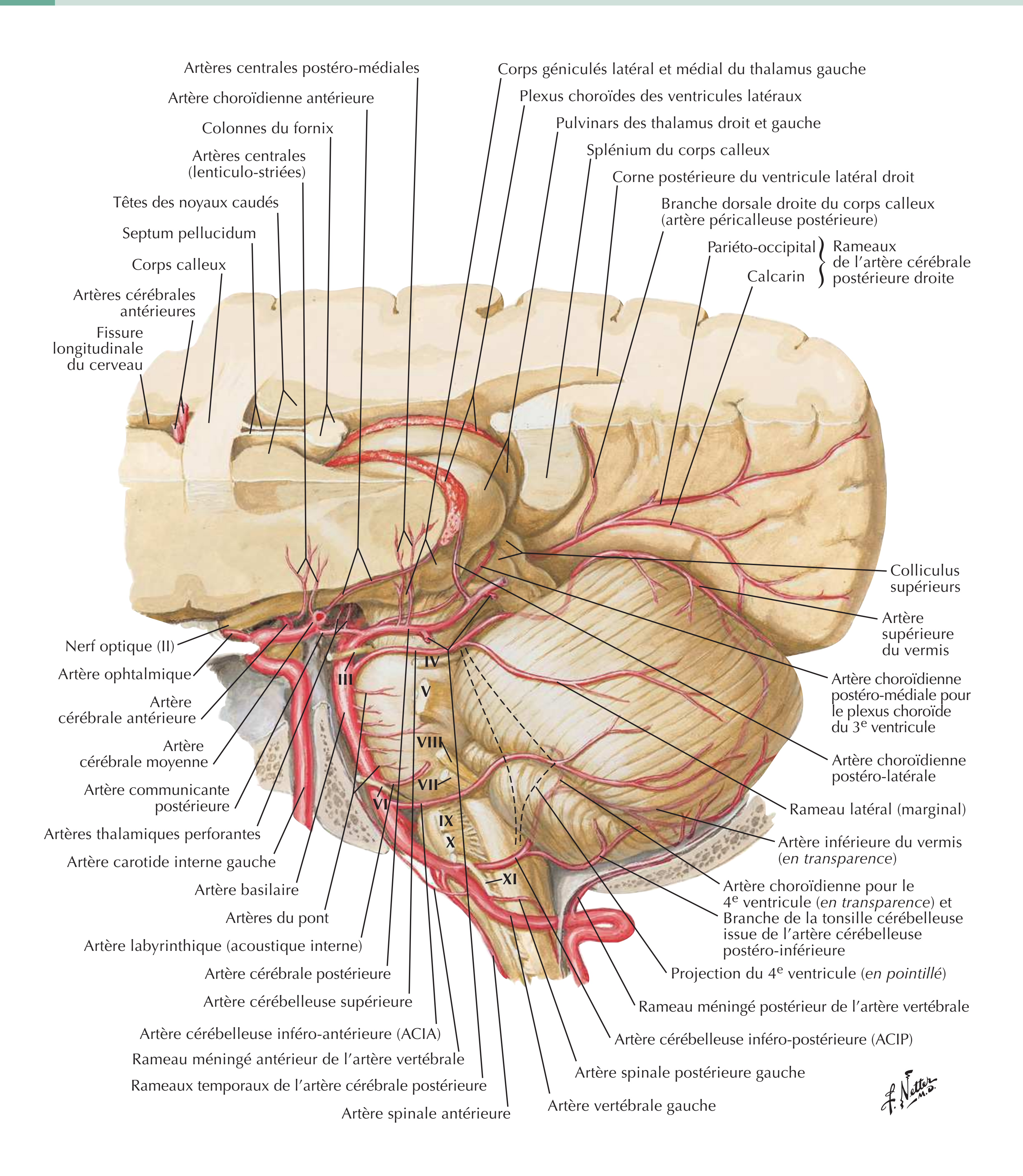
Artères de l'encéphale : vue frontale et coupe

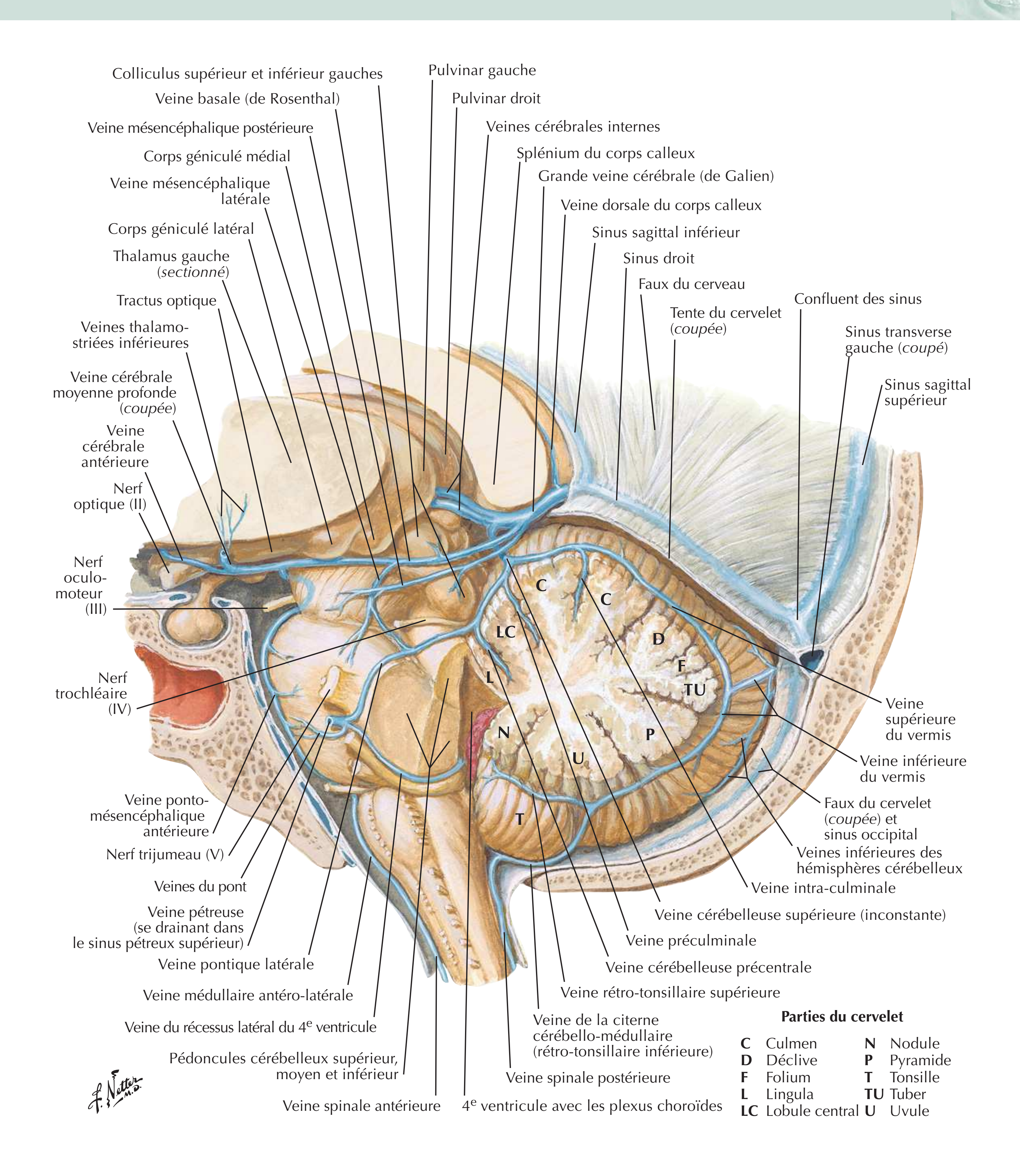




* Il peut arriver que l'artère pariétale antérieure (scissurale post-centrale) se divise en artères scissurales post-centrale et pariétale antérieure.

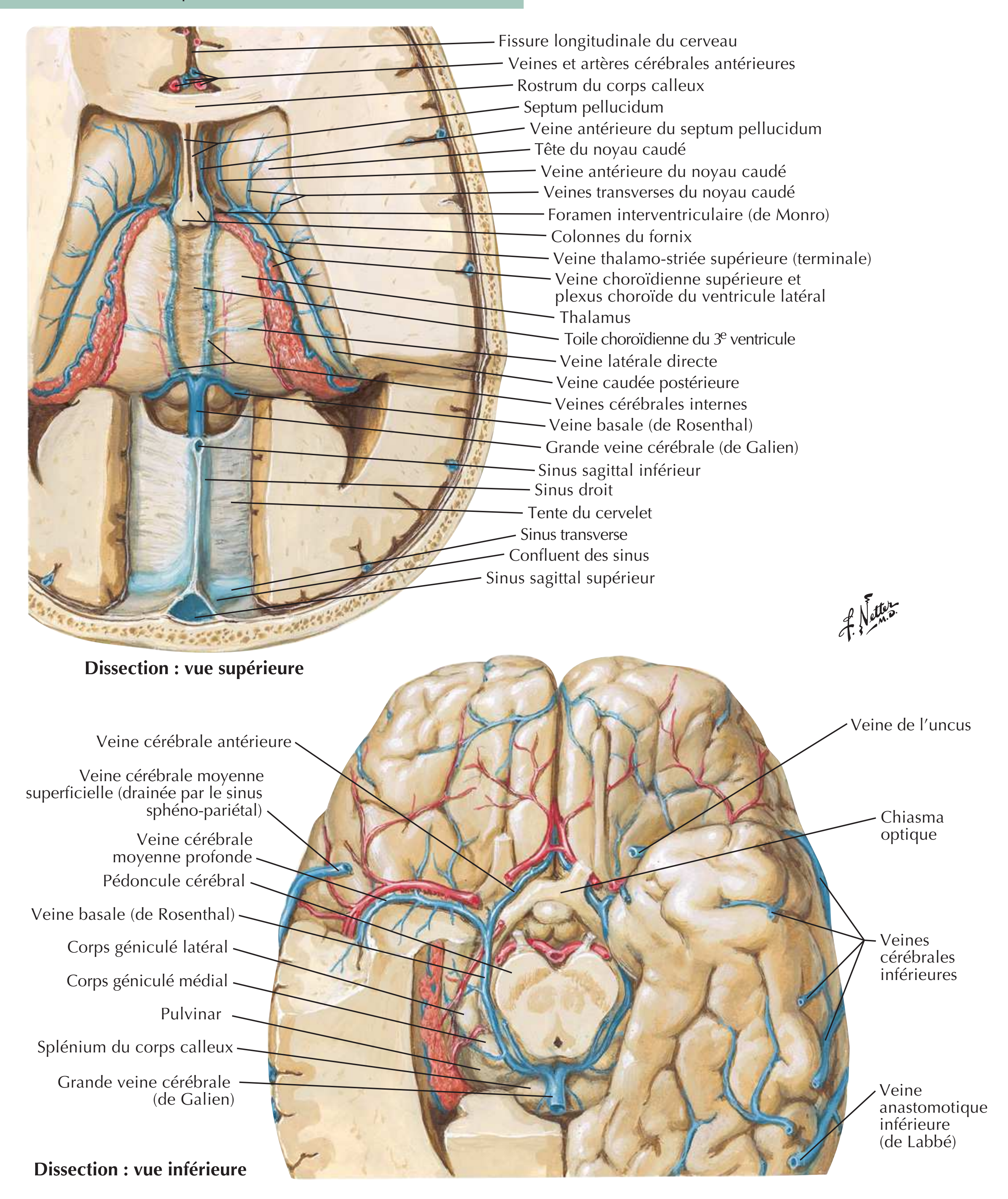
Artères de la fosse crânienne postérieure




Colliculus supérieur et inférieur gauches
Veine basale (de Rosenthal)
Veine mésencéphalique postérieure
Corps géniculé médial
Veine mésencéphalique latérale
Corps géniculé latéral
Thalamus gauche (sectionné)
Tractus optique
Veines thalamo-striées inférieures
Veine cérébrale moyenne profonde (coupée)
Veine cérébrale antérieure
Nerf optique (II)
Nerf oculo-moteur (III)
Nerf trochléaire (IV)
Veine ponto-mésencéphalique antérieure
Nerf trijumeau (V)
Veines du pont
Veine pétreuse (se drainant dans le sinus pétreux supérieur)
Veine pontique latérale
Veine médullaire antéro-latérale
Veine du récessus latéral du 4e ventricule
Pédoncules cérébelleux supérieur, moyen et inférieur
Veine spinale antérieure
4e ventricule avec les plexus choroïdes
Veine spinale postérieure
Veine de la citerne cérébello-médullaire (rétro-tonsillaire inférieure)
Veine rétro-tonsillaire supérieure
Veine cérébelleuse précentrale
Veine préculminale
Veine cérébelleuse supérieure (inconstante)
Veine intra-culminale
Veines inférieures des hémisphères cérébelleux
Faux du cervelet (coupée) et sinus occipital
Veine inférieure du vermis
Veine supérieure du vermis
Sinus sagittal supérieur
Sinus transverse gauche (coupé)
Confluent des sinus
Tente du cervelet (coupée)
Faux du cerveau
Sinus droit
Sinus sagittal inférieur
Veine dorsale du corps calleux
Grande veine cérébrale (de Galien)
Splénium du corps calleux
Veines cérébrales internes
Pulvinar droit
Pulvinar gauche
C
C
LC
D
F
TU
L
N
P
U
T
Parties du cervelet
C Culmen
D Déclive
F Folium
L Lingula
LC Lobule central
N Nodule
P Pyramide
T Tonsille
TU Tuber
U Uvule
F. Netter M.D.

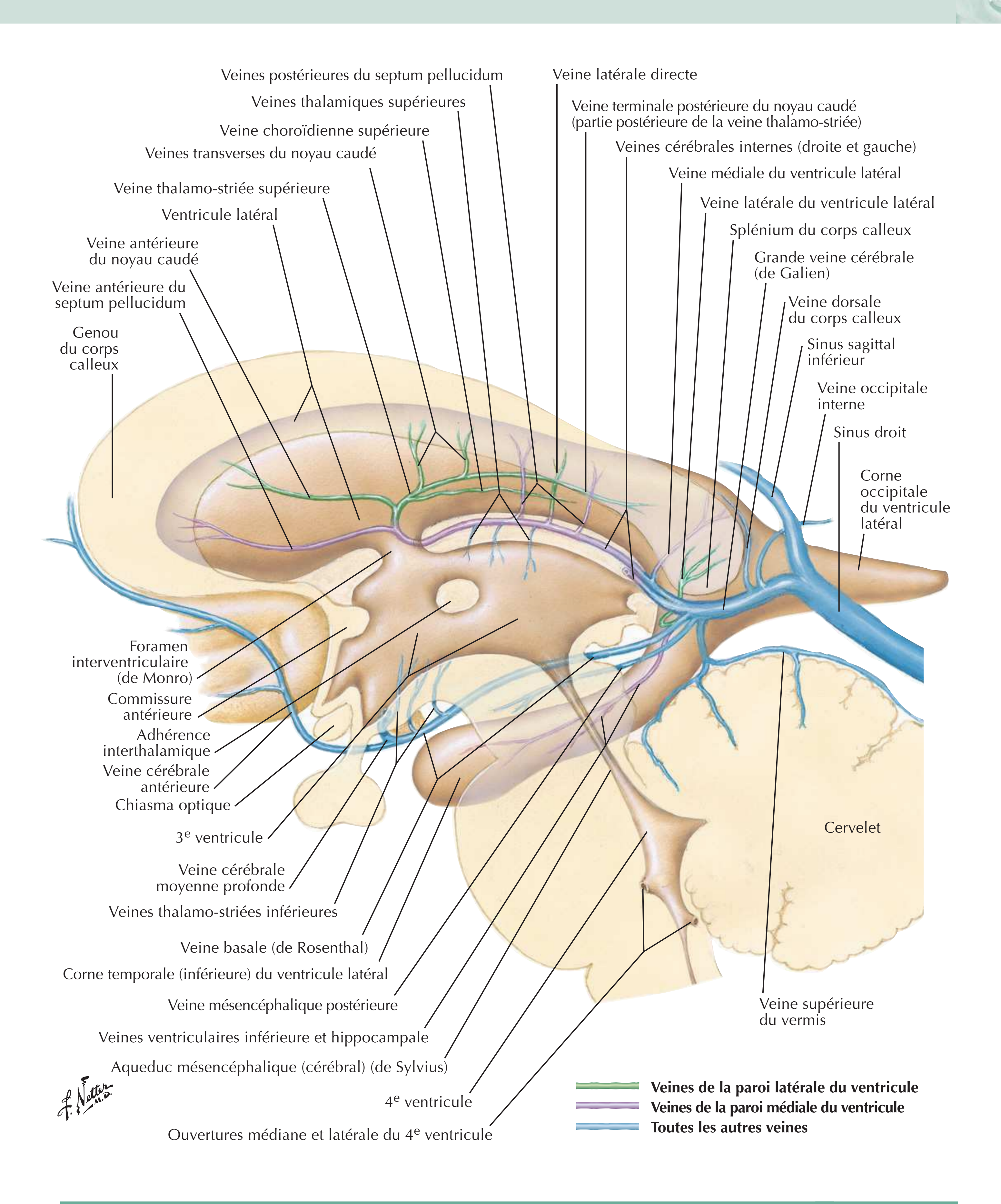
Veines profondes du cerveau

Pour les veines superficielles du cerveau, voir **Planche 103**



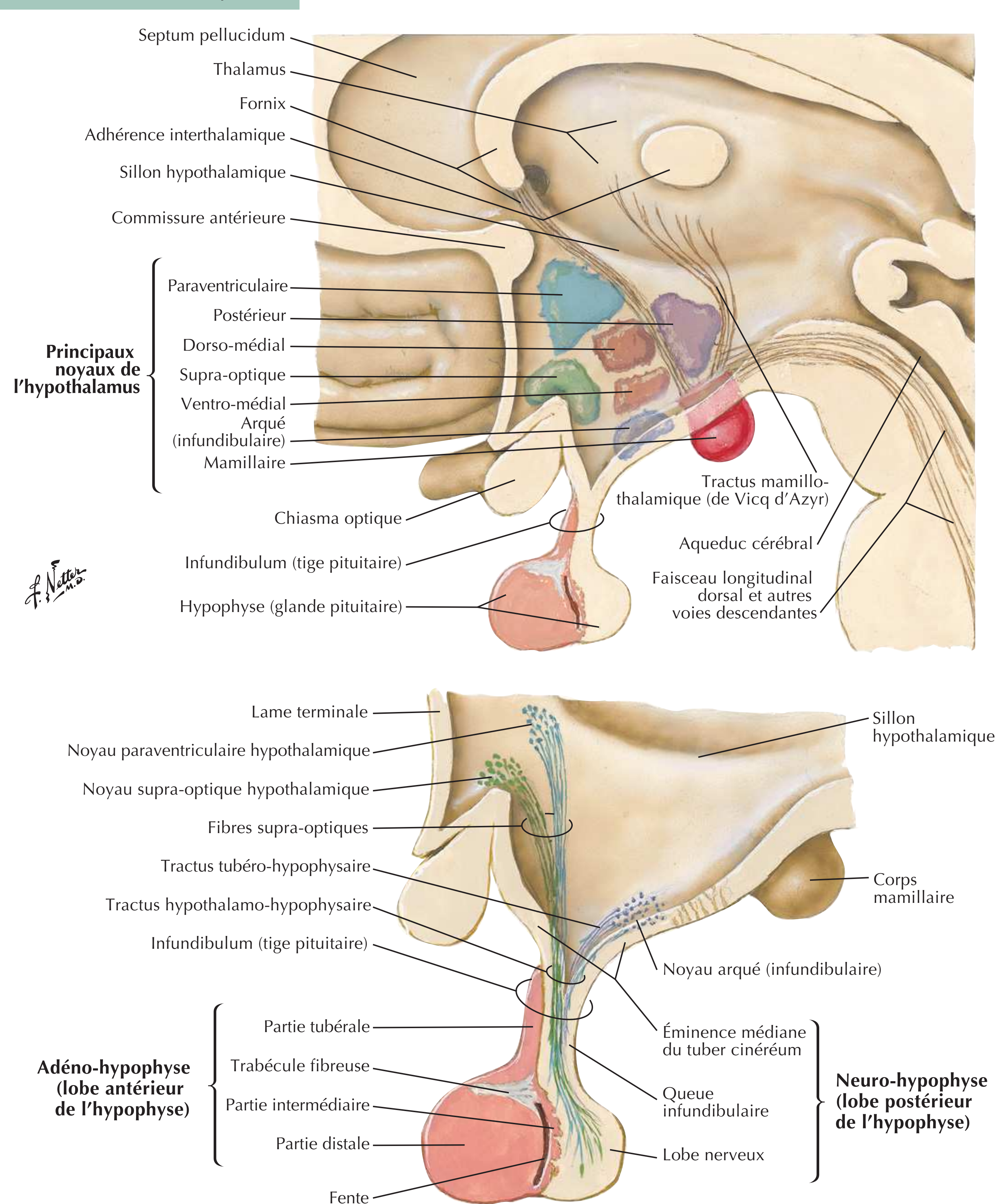
Dissection : vue supérieure

Dissection : vue inférieure


Veines postérieures du septum pellucidum
Veines thalamiques supérieures
Veine choroïdienne supérieure
Veines transverses du noyau caudé
Veine thalamo-striée supérieure
Ventricule latéral
Veine antérieure du noyau caudé
Veine antérieure du septum pellucidum
Genou du corps calleux
Veine latérale directe
Veine terminale postérieure du noyau caudé (partie postérieure de la veine thalamo-striée)
Veines cérébrales internes (droite et gauche)
Veine médiale du ventricule latéral
Veine latérale du ventricule latéral
Splénium du corps calleux
Grande veine cérébrale (de Galien)
Veine dorsale du corps calleux
Sinus sagittal inférieur
Veine occipitale interne
Sinus droit
Corne occipitale du ventricule latéral
Foramen interventriculaire (de Monro)
Commissure antérieure
Adhérence interthalamique
Veine cérébrale antérieure
Chiasma optique
3e ventricule
Veine cérébrale moyenne profonde
Veines thalamo-striées inférieures
Veine basale (de Rosenthal)
Corne temporale (inférieure) du ventricule latéral
Veine mésencéphalique postérieure
Veines ventriculaires inférieure et hippocampale
Aqueduc mésencéphalique (cérébral) (de Sylvius)
4e ventricule
Ouvertures médiane et latérale du 4e ventricule
Cervelet
Veine supérieure du vermis
Veines de la paroi latérale du ventricule
Veines de la paroi médiale du ventricule
Toutes les autres veines
F. Netter M.D.

Hypothalamus et hypophyse

Voir aussi **Planches 107, 108**



Artères et veines de l'hypothalamus et de l'hypophyse

Voir aussi **Planche 141**

Vaisseaux hypothalamiques

Réseau capillaire primaire

Artère hypophysaire supérieure

Veines portales longues hypophysaires

Artère trabéculaire

Veines portales courtes hypophysaires

Trabécule (tissu fibreux)

Veine hypophysaire efférente (vers le sinus caverneux)

Veine hypophysaire efférente (vers le sinus caverneux)

Neuro-hypophyse (lobe postérieur de l'hypophyse)

Réseau capillaire secondaire

Réseau capillaire du lobe nerveux de la neuro-hypophyse

Adéno-hypophyse (lobe antérieur de l'hypophyse)

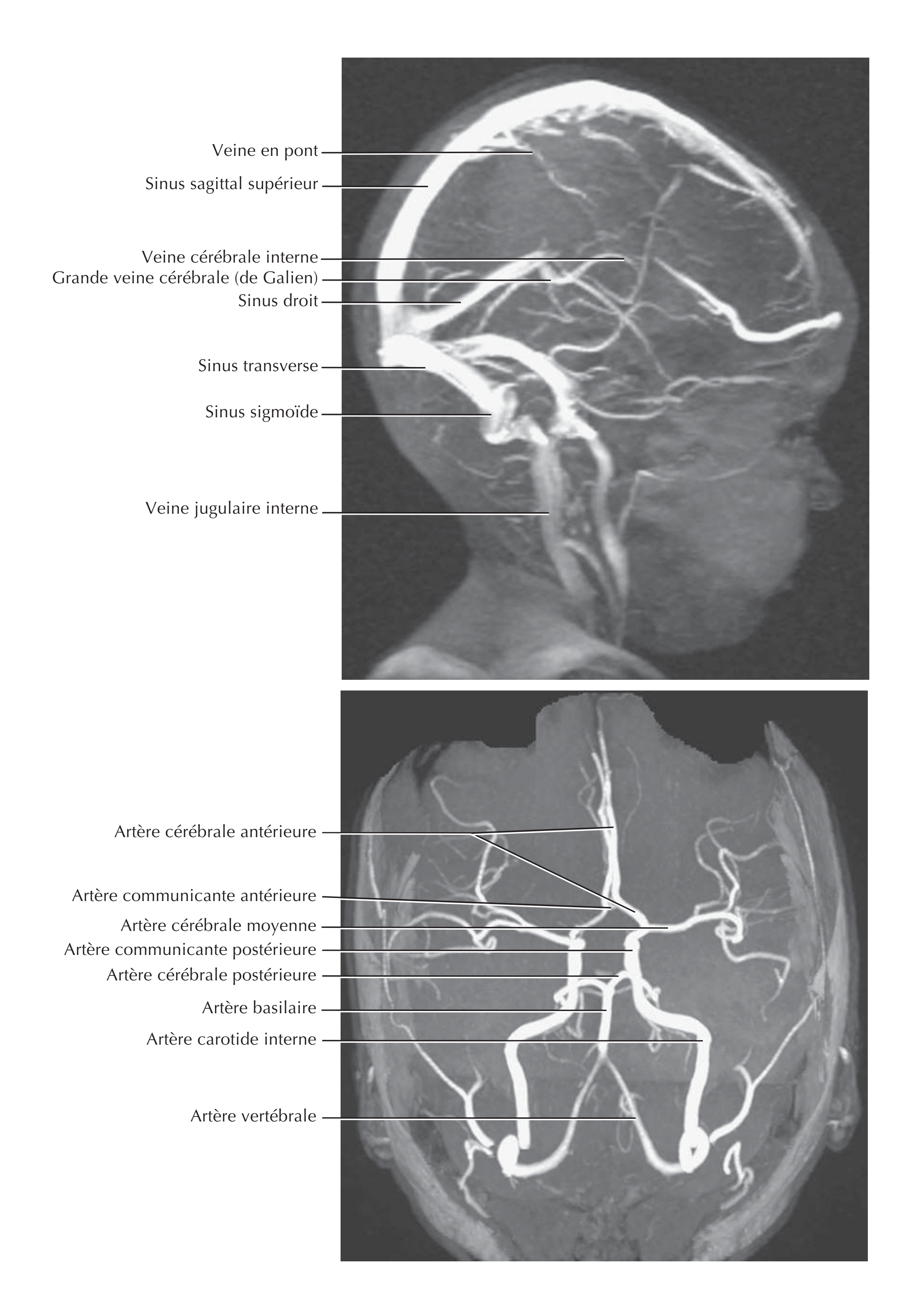
Veine hypophysaire efférente (vers le sinus caverneux)

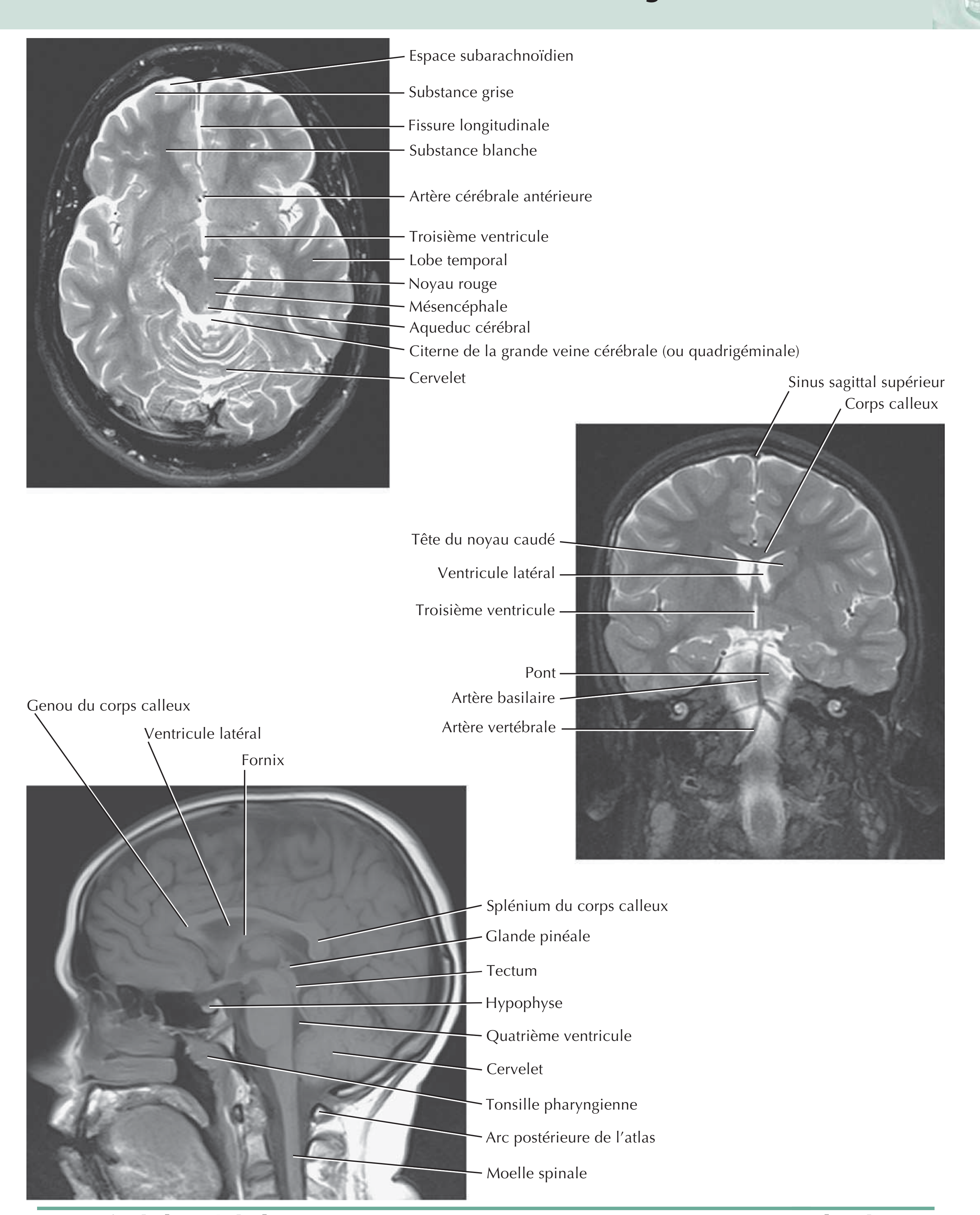
Veines hypophysaires efférentes (vers le sinus caverneux)

Artère hypophysaire inférieure



Imagerie crânienne (phlébo-IRM et artério-IRM)




Espace subarachnoïdien
Substance grise
Fissure longitudinale
Substance blanche
Artère cérébrale antérieure
Troisième ventricule
Lobe temporal
Noyau rouge
Mésencéphale
Aqueduc cérébral
Citerne de la grande veine cérébrale (ou quadrigéminale)
Cervelet
Sinus sagittal supérieur
Corps calleux
Tête du noyau caudé
Ventricule latéral
Troisième ventricule
Pont
Artère basilaire
Artère vertébrale
Genou du corps calleux
Ventricule latéral
Fornix
Splénium du corps calleux
Glande pinéale
Tectum
Hypophyse
Quatrième ventricule
Cervelet
Tonsille pharyngienne
Arc postérieure de l'atlas
Moelle spinale

Muscles

MUSCLE	INSERTION PROXIMALE (ORIGINE)	INSERTION DISTALE (TERMINAISON)	INNERVATION	ACTIONS PRINCIPALES	VASCULARISATION ARTÉRIELLE	GROUPE MUSCULAIRE
Abaisseur de l'angle de la bouche	En continuité avec le platysma sur la ligne oblique de la mandibule	Commissure labiale (angle de la bouche), confondu avec le muscle orbiculaire de la bouche et la peau	Branches marginale de la mandibule et buccale du nerf facial	Abaisse la commissure labiale	Branche labiale inférieure de l'artère faciale	Muscle de la mimique (expression faciale)
Abaisseur de la lèvre inférieure	Face latérale de la mandibule entre symphyse et foramen mentonnier, en profondeur du muscle abaisseur de l'angle de la bouche	Peau de la lèvre inférieure, se mélangeant avec le muscle orbiculaire de la bouche, ses fibres médianes rejoignant celles du côté opposé	Branches marginale de la mandibule et buccale du nerf facial	Abaisse la lèvre inférieure et l'éverse en l'attirant latéralement	Branche labiale inférieure de l'artère faciale	Muscle de la mimique (expression faciale)
Abaisseur du septum nasal	Fosse incisive du maxillaire	Septum et partie postérieure de l'aile du nez	Branches zygomatique et buccale du nerf facial	Rétrécit l'orifice nasal et abaisse le septum nasal	Branche labiale supérieure de l'artère faciale	Muscle de la mimique (expression faciale)
Aryténoïdiens transverse et oblique	Cartilage aryténoïde	Cartilage aryténoïde opposé	Nerf laryngé récurrent	Ferme la partie intercartilagineuse de la fente glottique	Artères thyroïdiennes supérieure et inférieure	Muscle du larynx
Auriculaire antérieur	Fascia temporal, aponévrose épicrânienne	Partie antérieure de la face médiale de l'hélix de l'auricule	Branches auriculaire postérieure et temporale du nerf facial	Élève et protracte (attire vers l'avant) l'auricule	Branche auriculaire de l'artère auriculaire postérieure, branche pariétale de l'artère temporale superficielle	Muscle de l'oreille externe
Auriculaire postérieur	Base du processus mastoïde	Partie inférieure de la face crâniale de l'auricule	Branches auriculaire postérieure et temporale du nerf facial	Rétracte (attire vers l'arrière) et élève l'auricule	Branche auriculaire de l'artère auriculaire postérieure, branche pariétale de l'artère temporale superficielle	Muscle de l'oreille externe
Auriculaire supérieur	Fascia temporal, aponévrose épicrânienne	Partie supérieure de la face médiale de l'auricule	Branches auriculaire postérieure et temporale du nerf facial	Rétracte (attire vers l'arrière) et élève l'auricule	Branche auriculaire de l'artère auriculaire postérieure, branche pariétale de l'artère temporale superficielle	Muscle de l'oreille externe
Buccinateur	Partie postérieure du processus alvéolaire du maxillaire, ligne oblique de la mandibule à la face externe de l'alvéole dentaire des molaires, bord antérieur du raphé ptérygo-mandibulaire	Angle de la bouche	Branches buccales du nerf facial	Comprime les joues, expire l'air entre les lèvres (action de souffler), participe à la mastication	Branches musculaires de l'artère faciale, branche buccale de l'artère maxillaire	Muscle de la mimique (expression faciale)
Ciliaire	Jonction cornéo-sclérale (limbe)	Corps ciliaire	Fibres parasympathiques via les nerfs ciliaires courts (nerf crânien III)	Contracte le corps ciliaire entraînant le bombement du cristallin (accommodation)	Artère ophtalmique	Muscle intrinsèque de l'œil
Constricteur inférieur du pharynx	Ligne oblique du cartilage thyroïde et cartilage cricoïde	Raphé médian du pharynx	Nerf vague (nerf crânien X) par le biais du plexus pharyngien	Constriction de la paroi pharyngienne avec rétrécissement de la cavité pharyngienne pendant la déglutition	Artère pharyngienne ascendante, et branches de l'artère thyroïdienne supérieure	Muscle circulaire du pharynx
Constricteur moyen du pharynx	Ligament stylo-hyoïdien et cornes de l'os hyoïde	Raphé médian du pharynx	Nerf vague (nerf crânien X) par le biais du plexus pharyngien	Constriction de la paroi pharyngienne avec rétrécissement de la cavité pharyngienne pendant la déglutition	Artère pharyngienne ascendante, branches palatine ascendante et tonsillaire de l'artère faciale, branches dorsales de la langue de l'artère linguale	Muscle circulaire du pharynx
Constricteur supérieur du pharynx	Hamulus ptérygoïdien, raphé ptérygo-mandibulaire, ligne mylo-hyoïdienne de la mandibule	Raphé médian du pharynx	Nerf vague (nerf crânien X) par le biais du plexus pharyngien	Constriction de la paroi pharyngienne avec rétrécissement de la cavité pharyngienne pendant la déglutition	Artère pharyngienne ascendante, branches palatine ascendante et tonsillaire de l'artère faciale, branches dorsales de l'artère linguale	Muscle circulaire du pharynx
Corrugateur du sourcil	Partie médiale du bord supra-orbitaire	Peau de la moitié médiale du sourcil	Branche zygomatique et temporale du nerf facial	Attire les sourcils en bas et en dedans, produit des rides en fronçant les sourcils	Branches zygomatico-orbitaire et antérieure de l'artère temporale superficielle	Muscle de la mimique (expression faciale)
Crico-aryténoïdien latéral	Arc du cartilage cricoïde	Processus musculaire du cartilage aryténoïde	Nerf laryngé récurent	Adducteur du pli vocal	Artères thyroïdiennes supérieure et inférieure	Muscle du larynx
Crico-aryténoïdien postérieur	Face postérieure de la lame du cartilage cricoïde	Processus musculaire du cartilage aryténoïde	Nerf laryngé récurrent	Abducteur des plis vocaux	Artères thyroïdiennes supérieure et inférieure	Muscle du larynx

Des variations dans les contributions des nerfs spinaux dans l'innervation des muscles, dans la vascularisation artérielle des muscles, dans leurs insertions et leurs actions sont des événements fréquents dans l'anatomie humaine. Ainsi, il peut exister des différences entre les textes de différents ouvrages : considérez que les variations anatomiques sont normales.

MUSCLE	INSERTION PROXIMALE (ORIGINE)	INSERTION DISTALE (TERMINAISON)	INNERVATION	ACTIONS PRINCIPALES	VASCULARISATION ARTÉRIELLE	GROUPE MUSCULAIRE
Crico-thyroïdien	Partie antérieure du cartilage cricoïde	Bord inférieur du cartilage thyroïde et ses cornes inférieures	Branche externe du nerf laryngé supérieur	Allonge et tend les ligaments vocaux	Artères thyroïdiennes supérieure et inférieure	Muscle du larynx
Digastrique	Ventre antérieur : fosse digastrique de la mandibule Ventre postérieur : incisure mastoïdienne de l'os temporal	Tendon intermédiaire attaché au corps de l'os hyoïde	Ventre antérieur : nerf du mylo-hyoïdien (V) Ventre postérieur : nerf facial (VII)	Soulève l'os hyoïde et la base de langue, stabilise l'os hyoïde, ouvre la bouche en abaissant la mandibule	Ventre antérieur : branches de l'artère submentonnière Ventre postérieur : branches musculaires de l'artère auriculaire postérieure, branches musculaires de l'artère occipitale	Muscle supra-hyoïdien
Dilatateur pupillaire	Fibres radiales de l'iris	Mélange avec les fibres du muscle sphincter pupillaire	Fibres sympathiques du ganglion cervical supérieur	Dilate la pupille	Artère ophtalmique	Muscle intrinsèque de l'œil
Droit antérieur de la tête	Masse latérale de l'atlas	Base de l'os occipital devant le foramen magnum	Rameau ventral des nerfs spinaux cervicaux (C1-C2)	Fléchit la tête	Branches musculaires de l'artère vertébrale, artère pharyngienne ascendante	Muscle pré-vertébral
Droit inférieur de l'œil	Anneau tendineux commun (Zinn)	Partie inférieure du bulbe de l'œil, en arrière de la jonction scléro-cornéenne (limbe)	Nerf oculomoteur (nerf crânien III), division inférieure	Abaisse et entraîne une adduction et une rotation latérale de l'œil	Artère ophtalmique	Muscle du bulbe de l'œil (extrinsèque)
Droit latéral de la tête	Face supérieure du processus transverse de l'atlas	Face inférieure du processus jugulaire de l'os occipital	Rameau ventral des nerfs spinaux cervicaux (C1-C2)	Incline latéralement la tête du même côté que le muscle	Branches musculaires de l'artère vertébrale, artère occipitale, artère pharyngienne ascendante	Muscle pré-vertébral
Droit latéral de l'œil	Anneau tendineux commun (Zinn)	Partie latérale du bulbe de l'œil, en arrière de la jonction scléro-cornéenne (limbe)	Nerf abducens (nerf crânien VI)	Abducteur de l'œil	Artère ophtalmique	Muscle du bulbe de l'œil (extrinsèque)
Droit médial de l'œil	Anneau tendineux commun (Zinn)	Partie médiale du bulbe de l'œil, en arrière de la jonction scléro-cornéenne (limbe)	Nerf oculomoteur (nerf crânien III), division inférieure	Adducteur de l'œil	Artère ophtalmique	Muscle du bulbe de l'œil (extrinsèque)
Droit supérieur de l'œil	Anneau tendineux commun (Zinn)	Partie supérieure du bulbe de l'œil, en arrière de la jonction scléro-cornéenne (limbe)	Nerf oculomoteur (nerf crânien III), division supérieure	Élève et entraîne une adduction et une rotation médiale de l'œil	Artère ophtalmique	Muscle du bulbe de l'œil (extrinsèque)
Élévateur de l'angle de la bouche	Fosse canine du maxillaire en dessous du foramen infra-orbitaire, recouvert du chef zygomatique du muscle élévateur de la lèvre supérieure	Angle de la bouche ; fibres entremêlées avec celles des muscles orbiculaire de la bouche, abaisseur de l'angle de la bouche, zygomatiques	Branches zygomatique et buccale du nerf facial (nerf crânien VII)	Élève l'angle de la bouche	Branche labiale supérieure de l'artère faciale	Muscle de la mimique (expression faciale)
Élévateur de la lèvre supérieure	Maxillaire, au-dessus le foramen infra-orbitaire	Peau de la lèvre supérieure	Branches zygomatique et buccale du nerf facial (nerf crânien VII)	Élève la lèvre supérieure, dilate les narines	Branche labiale supérieure et branches musculaires angulaires de l'artère faciale	Muscle de la mimique (expression faciale)
Élévateur de la lèvre supérieure et de l'aile du nez	Chef angulaire : partie supérieure du processus frontal du maxillaire Chef infra-orbitaire : rebord orbitaire au-dessus du foramen infra-orbitaire Chef zygomatique : face jugale ou malaire de l'os zygomatique	Chef angulaire : dans le grand cartilage alaire, et la peau du nez et de la région latérale de la lèvre supérieure Chef infra-orbitaire : dans les éléments musculaires de la lèvre supérieure entre l'insertion du chef angulaire et le niveau de la canine Chef zygomatique : dans la peau du sillon naso-labial et de la lèvre supérieure	Branches zygomatique et buccale du nerf facial (nerf crânien VII)	Chef angulaire : élève la lèvre supérieure et dilate les narines Chef infra-orbitaire : soulève l'angle de la bouche Chef zygomatique : élève latéralement la lèvre supérieure	Branche labiale supérieure et branches musculaires angulaires de l'artère faciale	Muscle de la mimique (expression faciale)
Élévateur de la paupière supérieure	Petite aile du sphénoïde, en avant du canal optique	Tarse supérieur	Nerf oculomoteur (nerf crânien III), division supérieure	Élève la paupière supérieure	Artère ophtalmique	Muscle extrinsèque de l'œil, muscle de la paupière
Élévateur du voile du palais	Os temporal (partie pétreuse)	Aponévrose palatine	Nerf vague (nerf crânien X) *via* le plexus pharyngien	Élévateur du palais mou pendant la déglutition	Artère palatine ascendante branche de l'artère faciale, artère palatine descendante branche de l'artère maxillaire	Muscle du palais
Génio-glosse	Épine mentonnière supérieure de la mandibule	Dos de la langue, os hyoïde	Nerf hypoglosse (nerf crânien XII)	Abaisse et protracte la langue	Artères sublinguale (de l'artère linguale) et submentonnière (de l'artère faciale)	Muscle extrinsèque de la langue

Muscles

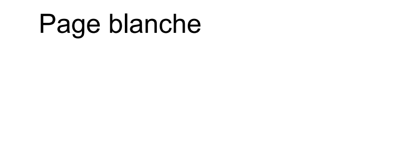
MUSCLE	INSERTION PROXIMALE (ORIGINE)	INSERTION DISTALE (TERMINAISON)	INNERVATION	ACTIONS PRINCIPALES	VASCULARISATION ARTÉRIELLE	GROUPE MUSCULAIRE
Génio-hyoïdien	Épine mentonnière inférieure à la face dorsale de la symphyse de la mandibule	Face antérieure du corps de l'os hyoïde	Branche de C1 par l'intermédiaire du nerf hypoglosse (nerf crânien XII)	Élève l'os hyoïde et abaisse la mandibule	Branche sublinguale de l'artère linguale	Muscle supra-hyoïdien
Grand zygomatique	Arcade zygomatique	Angle de la bouche	Branches zygomatique et buccale du nerf facial (nerf crânien VII)	Attire l'angle de la bouche vers l'arrière et vers le haut (sourire)	Branche labiale supérieure de l'artère faciale	Muscle de la mimique (expression faciale)
Hyoglosse	Corps et grande corne de l'os hyoïde	Partie latérale et inférieure de la langue	Nerf hypoglosse (nerf crânien XII)	Abaisse et rétracte la langue	Artères sublinguale (de l'artère linguale) et submentonnière (de l'artère faciale)	Muscle extrinsèque de la langue
Long de la tête	Tubercules antérieurs des processus transverses des vertèbres cervicales C3-C6	Face inférieure de la partie basilaire de l'os occipital	Rameau ventral des nerfs spinaux cervicaux (C1-C4)	Fléchit et contribue à la rotation des vertèbres cervicales et de la tête	Branche cervicale ascendante de l'artère thyroïdienne inférieure, artère pharyngienne ascendante, branches musculaires de l'artère vertébrale	Muscle pré-vertébral
Long du cou	Partie verticale : corps des vertèbres C5-T3 Partie oblique inférieure : corps des vertèbres T1-T3 Partie oblique supérieure : tubercules antérieurs des processus transverses des vertèbres C3-C5	Partie verticale : corps des vertèbres C2-C4 Partie oblique inférieure : tubercules antérieurs des processus transverses des vertèbres C5-C6 Partie oblique supérieure : tubercule de l'arc antérieur de l'atlas	Rameau ventral des nerfs spinaux cervicaux (C2-C8)	Contraction bilatérale : flexion de la colonne cervicale et de la tête Contraction unilatérale : inclinaison latérale et rotation de la colonne cervicale et de la tête	Branches pré-vertébrales de l'artère pharyngienne ascendante, branches musculaires des artères cervicale ascendante et vertébrale	Muscle pré-vertébral
Longitudinal inférieur de la langue	Sous la muqueuse de la langue entre les muscles génio-glosse et hyo-glosse	Apex de la langue confondu avec le muscle stylo-glosse	Nerf hypoglosse (nerf crânien XII)	Raccourcit la langue, abaisse et rétracte l'apex et les côtés de la langue	Artère profonde de la langue branche de l'artère linguale, et des branches de l'artère faciale	Muscle intrinsèque de la langue
Longitudinal supérieur de la langue	Fibres sous-muqueuses à la partie postérieure de la langue	Apex de la langue, uni avec le muscle controlatéral	Nerf hypoglosse (nerf crânien XII)	Raccourcit la langue, retourne le sommet et le côté de la langue vers le haut	Artère profonde de la langue de l'artère linguale, branches de l'artère faciales	Muscle intrinsèque de la langue
Masséter	Arcade zygomatique	Branche et angle de la mandibule, base du processus coronoïde	Nerf mandibulaire (nerf crânien V3) via le nerf massétérique	Élève et propulse la mandibule, cependant ses fibres profondes entraînent une rétropulsion	Artère transverse de la face, branches massétériques des artères maxillaire et faciale	Muscle de la mastication
Mentonnier	Fosse incisive de la mandibule	Peau du menton	Branche marginale de la mandibule du nerf facial (nerf crânien VII)	Élève les parties molles du menton et éverse la lèvre inférieure	Branche labiale inférieure de l'artère faciale	Muscle de la mimique (expression faciale)
Mylo-hyoïdien	Ligne mylo-hyoïdienne de la mandibule	Raphé médian unissant les deux muscles et corps de l'os hyoïde	Nerf du mylo-hyoïdien (branche du nerf trijumeau, nerf crânien V)	Élève l'os hyoïde, la base de langue et le plancher de la bouche ; abaisse la mandibule	Branche sublinguale de l'artère linguale, branche submentonnière de l'artère faciale	Muscle supra-hyoïdien
Nasal	Jugum (éminence) de la canine au-dessus et en dehors de la fosse incisive du maxillaire	Aponévrose recouvrant les cartilages nasaux (partie transverse : dos du nez ; partie alaire : grand cartilage alaire)	Branches zygomatique et buccale du nerf facial (nerf crânien VII)	Attire l'aile du nez vers le septum nasal, comprime les narines (partie transverse) ; dilate les narines (partie alaire)	Branches labiale supérieure, nasale septale et latérale de l'artère faciale	Muscle de la mimique (expression faciale)
Oblique inférieur de l'œil	Partie antérieure du plancher de l'orbite (maxillaire), latéralement au canal lacrymal	Partie latérale de la sclère en arrière de son équateur	Division inférieure du nerf oculomoteur (nerf crânien III)	Abducte, élève et entraîne une rotation latérale de l'œil	Artère ophtalmique	Muscle du bulbe de l'œil (extrinsèque)
Oblique supérieur de l'œil	Corps du sphénoïde (au-dessus du foramen optique), médial à l'insertion du muscle droit supérieur	Passe à travers la trochlée et s'insère sur la partie supérieure de la sclère en arrière de son équateur entre les muscles droits supérieur et latéral	Nerf trochléaire (nerf crânien IV)	Abducte, abaisse et entraîne une rotation latérale de l'œil	Artère ophtalmique	Muscle du bulbe de l'œil (extrinsèque)

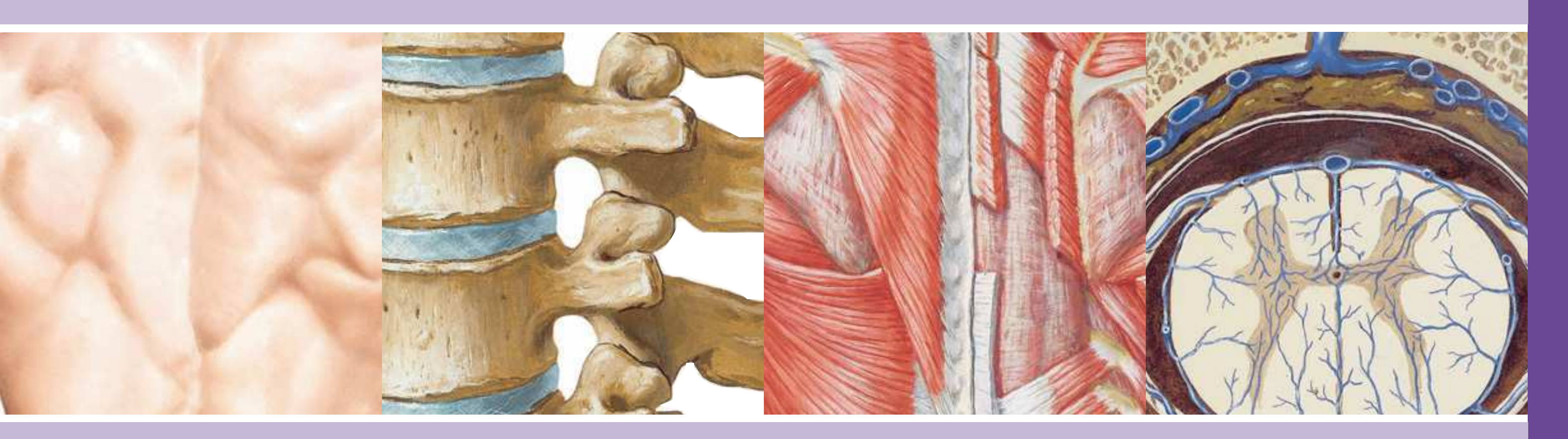
MUSCLE	INSERTION PROXIMALE (ORIGINE)	INSERTION DISTALE (TERMINAISON)	INNERVATION	ACTIONS PRINCIPALES	VASCULARISATION ARTÉRIELLE	GROUPE MUSCULAIRE
Omo-hyoïdien	Ventre inférieur : bord supérieur de la scapula et ligament supra-scapulaire, se terminant dans le tendon intermédiaire sous le muscle sterno-cléido-mastoïdien Ventre supérieur : de ce tendon	Ventre inférieur : dans le tendon intermédiaire Ventre supérieur : sur le corps de l'os hyoïde	Anse cervicale	Stabilise l'os hyoïde, et abaisse l'os hyoïde	Branche supra-hyoïdienne de l'artère linguale, branche sterno-cléido-mastoïdienne de l'artère thyroïdienne supérieure	Muscle infra-hyoïdien
Orbiculaire de l'œil	Rebord médial de l'orbite, ligament palpébral médial, os lacrymal	Peau autour de l'orbite, ligaments palpébraux, paupières supérieure et inférieure	Nerf facial (nerf crânien VII)	Occlusion palpébrale	Artères faciale et temporale superficielle	Muscle de la mimique (expression faciale)
Orbiculaire de la bouche	Maxillaire au-dessus de la dent incisive	Peau autour des lèvres	Branches zygomatique buccale et marginale de la mandibule du nerf facial (nerf crânien VII)	Comprime, contracte et projette en avant les lèvres	Branches labiales inférieure et supérieure de l'artère faciale	Muscle de la mimique (expression faciale)
Palato-glosse	Aponévrose palatine du palais mou	Partie latérale de langue	Nerf vague (nerf crânien X) par le biais du plexus pharyngien	Élève la partie postérieure de la langue, abaisse le palais	Artères pharyngiennes ascendantes, branches palatines des artères faciale et maxillaire	Muscle du palais
Palato-pharyngien	Palais dur, face supérieure de l'aponévrose palatine	Paroi pharyngienne latérale	Nerf vague (nerf crânien X) par le biais du plexus pharyngien	Tend le palais mou, attire les parois du pharynx vers le haut (élévateur) vers l'avant et médialement (rétrécit l'isthme naso-pharyngien) pendant la déglutition	Artère palatine ascendante branche de l'artère faciale, artère palatine descendante branche de l'artère maxillaire	Muscle longitudinal du pharynx
Petit zygomatique	Arcade zygomatique	Angle de la bouche, lèvre supérieure	Branches zygomatique et buccale du nerf facial (nerf crânien VII)	Élève la lèvre supérieure	Branche labiale supérieure de l'artère faciale	Muscle de la mimique (expression faciale)
Platysma	Peau au-dessous de la clavicule et de la partie supérieure du thorax	Mandibule et muscles de la bouche	Nerf facial (nerf crânien VII)	Tend la peau du cou	Artères submentonnière et supra-scapulaire	Muscle de la mimique (expression faciale)
Procérus	Fascia recouvrant la partie inférieure de l'os nasal et la partie supérieure du cartilage nasal latéral	Peau entre et au-dessus des sourcils (région intersourciliaire)	Branches temporale et zygomatique du nerf facial (nerf crânien VII)	Abaisse et rapproche la partie médiale des sourcils, provoque des rides transversales au-dessus de la racine du nez	Branches angulaire et nasale latérale de l'artère faciale	Muscle de la mimique (expression faciale)
Ptérygoïdien médial	Face médiale de la lame latérale et face latérale de la lame médiale du processus ptérygoïde du sphénoïde, processus pyramidal de l'os palatin, tubérosité du maxillaire	Face médiale de l'angle et de la partie adjacente de la branche de la mandibule sous le foramen mandibulaire	Nerf mandibulaire (nerf crânien V_3), nerf du ptérygoïdien médial	Contraction bilatérale : propulsion et élévation de la mandibule Contraction unilatérale et alternative : diduction	Artères faciale et maxillaire	Muscle de la mastication
Ptérygoïdien latéral	Chef supérieur : face infra-temporale de la grande aile du sphénoïde Chef inférieur : lame latérale du processus ptérygoïde	Fossette ptérygoïdienne du condyle de la mandibule, capsule de l'articulation temporo-mandibulaire, disque articulaire	Nerf mandibulaire (nerf crânien V_3), branches musculaires de sa division antérieure	Contraction bilatérale : propulsion de la mandibule Contraction unilatérale et alternative : diduction	Branches musculaires de l'artère maxillaire	Muscle de la mastication
Risorius	Fascia massétérique, superficiel au platysma	Peau de l'angle de la bouche	Branches zygomatique et buccale du nerf facial (nerf crânien VII)	Rétracte l'angle de la bouche	Branche labiale supérieure de l'artère faciale	Muscle de la mimique (expression faciale)
Salpingo-pharyngien	Trompe auditive	Paroi pharyngienne latérale du même côté	Nerf vague (nerf crânien X) par le biais du plexus pharyngien	Élève le pharynx et le larynx pendant la déglutition et l'élocution	Branche pharyngienne de l'artère pharyngienne ascendante	Muscle longitudinal du pharynx
Scalène (antérieur)	Tubercules antérieurs des processus transverses des vertèbres C3-C6	Tubercule du muscle scalène antérieur de la première côte	Rameaux antérieurs des nerfs spinaux cervicaux (C5-C8)	Élève la première côte, entraîne une inclinaison ipsilatérale du cou	Branche cervicale ascendante de l'artère thyroïdienne inférieure	Muscle pré-vertébral
Scalène (moyen)	Tubercules postérieurs des processus transverses des vertèbres C2-C7	Face supérieure de la première côte (en arrière du sillon de l'artère subclavière)	Rameaux antérieurs des nerfs spinaux cervicaux (C3-C7)	Élève la première côte, entraîne une inclinaison ipsilatérale du cou	Branches musculaires de l'artère cervicale ascendante	Muscle pré-vertébral

Muscles

MUSCLE	INSERTION PROXIMALE (ORIGINE)	INSERTION DISTALE (TERMINAISON)	INNERVATION	ACTIONS PRINCIPALES	VASCULARISATION ARTÉRIELLE	GROUPE MUSCULAIRE
Scalène (postérieur)	Tubercules postérieurs des processus transverses des vertèbres C4-C6	Face externe de la deuxième côte (derrière l'insertion du muscle dentelé antérieur)	Rameaux antérieurs des quatre derniers nerfs spinaux cervicaux	Élève la première côte, entraîne une inclinaison ipsilatérale du cou	Branches musculaires de l'artère cervicale ascendante division de l'artère thyroïdienne inférieure, branche superficielle de l'artère cervicale transverse (transverse du cou)	Muscle pré-vertébral
Sphincter pupillaire	Muscle lisse circulaire de l'iris qui circonscrit la pupille	Confondu en périphérie de l'iris avec le muscle dilatateur pupillaire	Fibres parasympathiques *via* le nerf oculomoteur (nerf crânien III)	Contracte la pupille (myosis)	Artère ophtalmique	Muscle intrinsèque de l'œil
Stapédien	Éminence pyramidale de l'os temporal	Stapès	Nerf facial (nerf crânien VII)	Attire le stapès en arrière pour limiter les vibrations de la membrane tympanique	Artères auriculaire postérieure, tympanique antérieure et méningée moyenne	Muscle de l'oreille moyenne
Sterno-cléido-mastoïdien	Chef sternal : face antérieure du manubrium Chef claviculaire : tiers médial de la face supérieure de la clavicule	Face latérale du processus mastoïde de l'os temporal ; moitié latérale de la ligne nucale supérieure de l'os occipital	Nerf accessoire (nerf crânien XI)	Contraction bilatérale : fléchissent la tête, élèvent le thorax Contraction unilatérale : tourne la face du côté opposé	Branche sterno-cléido-mastoïdienne des artères thyroïdienne supérieure et occipitale, branche musculaire de l'artère supra-scapulaire, branche occipitale de l'artère auriculaire postérieure	Muscle du cou
Sterno-hyoïdien	Face postérieure du manubrium sternal, ligament sterno-claviculaire postérieur, extrémité médiale de la clavicule	Partie médiale du bord inférieur du corps de l'os hyoïde	Anse cervicale	Abaisse le larynx et l'os hyoïde, stabilise l'os hyoïde	Branches sterno-cléido-mastoïdienne et infra-hyoïdienne de l'artère thyroïdienne supérieure, branche supra-hyoïdienne de l'artère linguale	Muscle infra-hyoïdien
Sterno-thyroïdien	Face postérieure du manubrium sternal sous et profondément à l'origine du muscle sterno-hyoïdien, partie attenante du premier cartilage costal	Ligne oblique du cartilage thyroïde	Anse cervicale	Abaisse le larynx et le cartilage thyroïde	Branche crico-thyroïdienne de l'artère thyroïdienne supérieure	Muscle infra-hyoïdien
Stylo-glosse	Processus styloïde et ligament stylo-mandibulaire	Partie latérale et inférieure de la langue	Nerf hypoglosse (nerf crânien XII)	Rétracte la langue et la porte en haut et en arrière lors de la déglutition	Artère sublinguale	Muscle extrinsèque de la langue
Stylo-hyoïdien	Bord postérieur du processus styloïde	Corps de l'os hyoïde à la naissance de sa grande corne	Nerf facial (nerf crânien VII)	Élève l'os hyoïde et la base de langue	Branches musculaires de l'artère faciale, branches musculaires de l'artère occipitale	Muscle supra-hyoïdien
Stylo-pharyngien	Versant médial du processus styloïde	Paroi pharyngienne	Nerf glosso-pharyngien (nerf crânien IX)	Élève le pharynx et le larynx pendant la déglutition et l'élocution	Artère pharyngienne ascendante, branches palatine ascendante et tonsillaire de l'artère faciale, branches dorsales de la langue de l'artère linguale	Muscle longitudinal du pharynx
Subclavier	Bord supérieur de la première côte et de son cartilage	Sillon de la face inférieure du tiers moyen de la clavicule	Nerf du subclavier	Attire la clavicule vers le bas et l'avant	Branche claviculaire de l'artère thoraco-acromiale	Muscle du cou
Temporal	Fond de la fosse temporale, face profonde du fascia temporal	Processus coronoïde et branche de la mandibule	Nerf mandibulaire (nerf crânien V_3), nerfs temporaux profonds	Élève la mandibule, entraîne une rétropulsion par ses fibres postérieures	Artères temporale superficielle et maxillaire, artères temporales profondes antérieure, moyenne et postérieure	Muscle de la mastication
Tenseur du tympan	Cartilage de la trompe auditive	Manche du malléus	Branche mandibulaire du nerf trijumeau (nerf crânien V_3)	Tend la membrane tympanique et réduit sa vibration en attirant médialement le manche du marteau	Branche tympanique supérieure de la collatérale méningée moyenne de l'artère maxillaire	Muscle de l'oreille moyenne
Tenseur du voile du palais	Fosse scaphoïde de la lame médiale du processus ptérygoïde, épine du sphénoïde, trompe auditive	Aponévrose palatine	Nerf mandibulaire (nerf crânien V_3)	Tend le palais mou, ouvre la trompe auditive pendant la déglutition et le bâillement	Artère palatine ascendante branche de l'artère faciale, artère palatine descendante branche de l'artère maxillaire	Muscle du palais

MUSCLE	INSERTION PROXIMALE (ORIGINE)	INSERTION DISTALE (TERMINAISON)	INNERVATION	ACTIONS PRINCIPALES	VASCULARISATION ARTÉRIELLE	GROUPE MUSCULAIRE
Thyro-aryténoïdien	Face postérieure (interne) du cartilage thyroïde	Processus musculaire du cartilage aryténoïde	Nerf laryngé récurrent	Raccourcit et relâche les cordes vocales, ferme le vestibule	Artères thyroïdiennes supérieure et inférieure	Muscle du larynx
Thyro-hyoïdien	Ligne oblique des lames du cartilage thyroïde	Bord inférieur du corps et de la grande corne de l'os hyoïde	Branche thyro-hyoïdienne issu de C1 *via* le nerf hypoglosse (nerf crânien XII)	Abaisse l'os hyoïde, élève le cartilage thyroïde et mobilise le larynx	Branche hyoïdienne de l'artère thyroïdienne supérieure	Muscle infra-hyoïdien
Transverse (de la langue)	Septum fibreux médian de la langue	Dos et bords de langue	Nerf hypoglosse (nerf crânien XII)	Rétrécit et allonge la langue	Branche profonde de la langue de l'artère linguale, branches de l'artère faciale	Muscle intrinsèque de la langue
Uvulaire	Épine nasale, aponévrose palatine	Muqueuse de l'uvule palatine	Nerf vague *via* le plexus pharyngien	Raccourcit, élève et rétracte l'uvule palatine	Artère palatine ascendante branche de l'artère faciale, artère palatine descendante branche de l'artère maxillaire	Muscle du palais
Ventre frontal du muscle occipito-frontal (muscle épicrânien)	Aponévrose épicrânienne au niveau de la suture coronale	Peau de la région frontale, aponévrose épicrânienne (galéa)	Branches temporales du nerf facial	Plisse et ride la peau du front, élève les sourcils	Branche frontale de l'artère temporale superficielle	Muscle de la mimique (expression faciale)
Ventre occipital du muscle occipital-frontal (muscle épicrânien)	Deux tiers latéraux de la ligne nucale supérieure et processus mastoïde	Peau de la région occipitale, aponévrose épicrânienne (galéa)	Branche auriculaire postérieure du nerf facial (nerf crânien VII)	Mobilise le cuir chevelu vers le bas et l'arrière	Branche occipitale de l'artère auriculaire postérieure, branche descendante de l'artère occipitale	Muscle de la mimique (expression faciale)
Vertical (de la langue)	Membrane muqueuse du dos de la partie antérieure de la langue	Fibres verticales étendues du dos à la base de la langue	Nerf hypoglosse (nerf crânien XII)	Aplatit et élargit la langue	Branche profonde de la langue de l'artère linguale, branches de l'artère faciale	Muscle intrinsèque de la langue
Vocal	Processus vocal du cartilage aryténoïde	Angle rentrant du cartilage thyroïde et ligament vocal	Nerf laryngé récurrent	Tend la partie antérieure du ligament vocal détend la partie postérieure du ligament vocal	Artères thyroïdiennes supérieure et inférieure	Muscle du larynx


Page blanche



Section 2 DOS ET MOELLE SPINALE

Anatomie de surface

Planche 152

Os et ligaments

Planches 153-159

Moelle spinale

Planches 160-170

2

DOS ET MOELLE SPINALE

Muscles et nerfs

Planches 171-175

Coupes transversales

Planches 176-177

Muscles

Tableaux 2-1 à 2-2



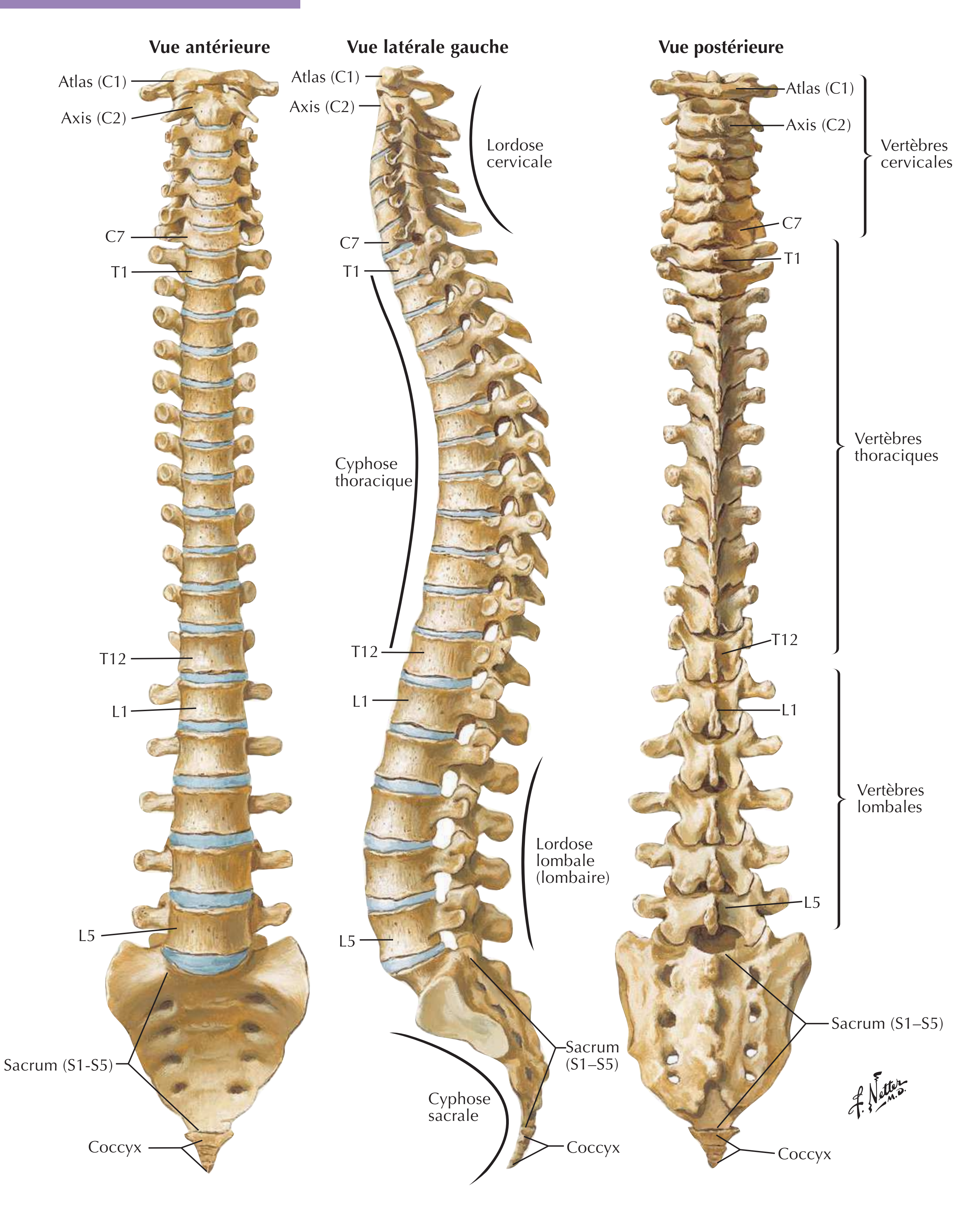
Muscle trapèze
Épine de la scapula
Muscle deltoïde
Muscle infraépineux
Muscle triceps brachial
Chef long
Chef latéral
Tendon
Muscle grand rond
Muscle grand dorsal
Triangle lombal (de Petit)
Crête iliaque
Muscle érecteur du rachis
Épine iliaque postéro-supérieure
Fente interglutéale (congénitale)

Protubérance occipitale externe
Ligament nucal
Processus épineux de la vertèbre C7
Muscle deltoïde
Épine de la scapula
Triangle d'auscultation
Bord médial de la scapula
Angle inférieur de la scapula
Processus épineux de la vertèbre T12
Muscle moyen glutéal
Sacrum
Muscle grand glutéal
Grand trochanter
Sillon glutéal

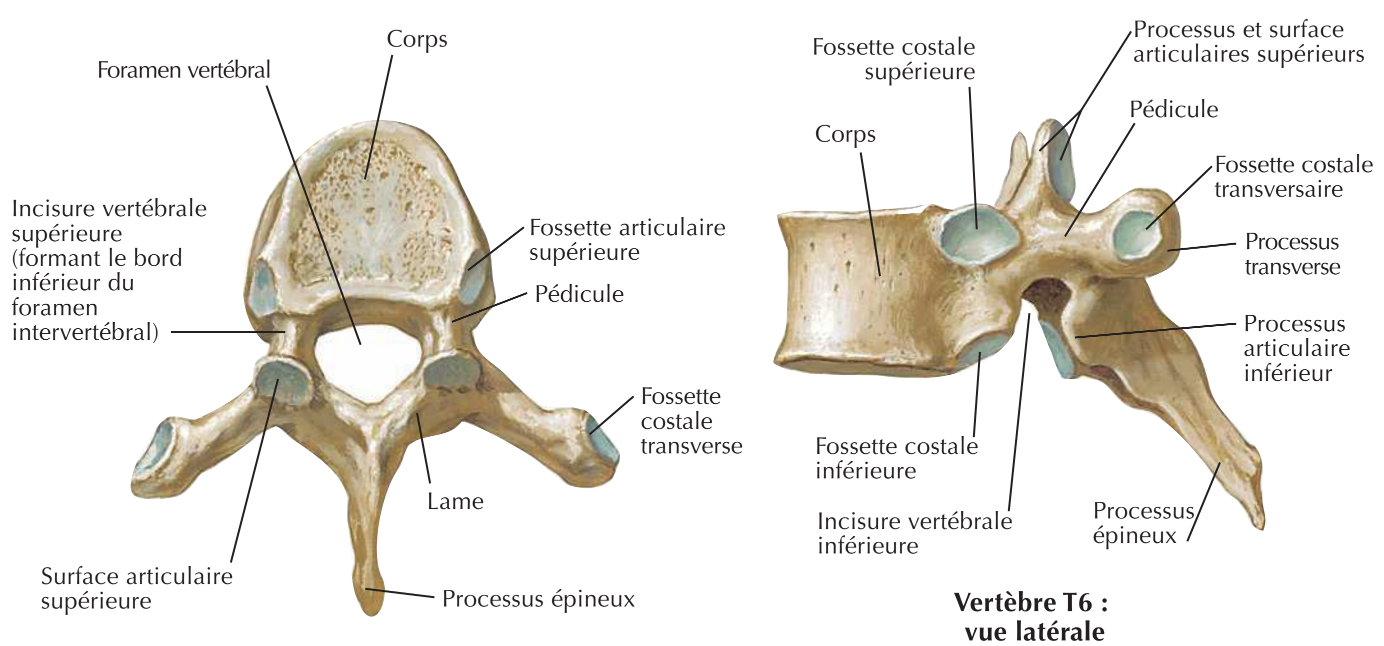
C.Machado M.D.

Colonne vertébrale

Voir aussi **Planches 21, 183, 243**







Vertèbre T6 : vue supérieure

Vertèbre T6 : vue latérale

Canal vertébral

7e côte

Processus et surface articulaires supérieurs

T7

T8

T9

Processus épineux

Processus transverse

Lame

Processus articulaire inférieur

Processus épineux

Vertèbres T7, T8 et T9 : vue postérieure

Corps

Processus et surface articulaires supérieurs

Processus transverse

Fossette costale

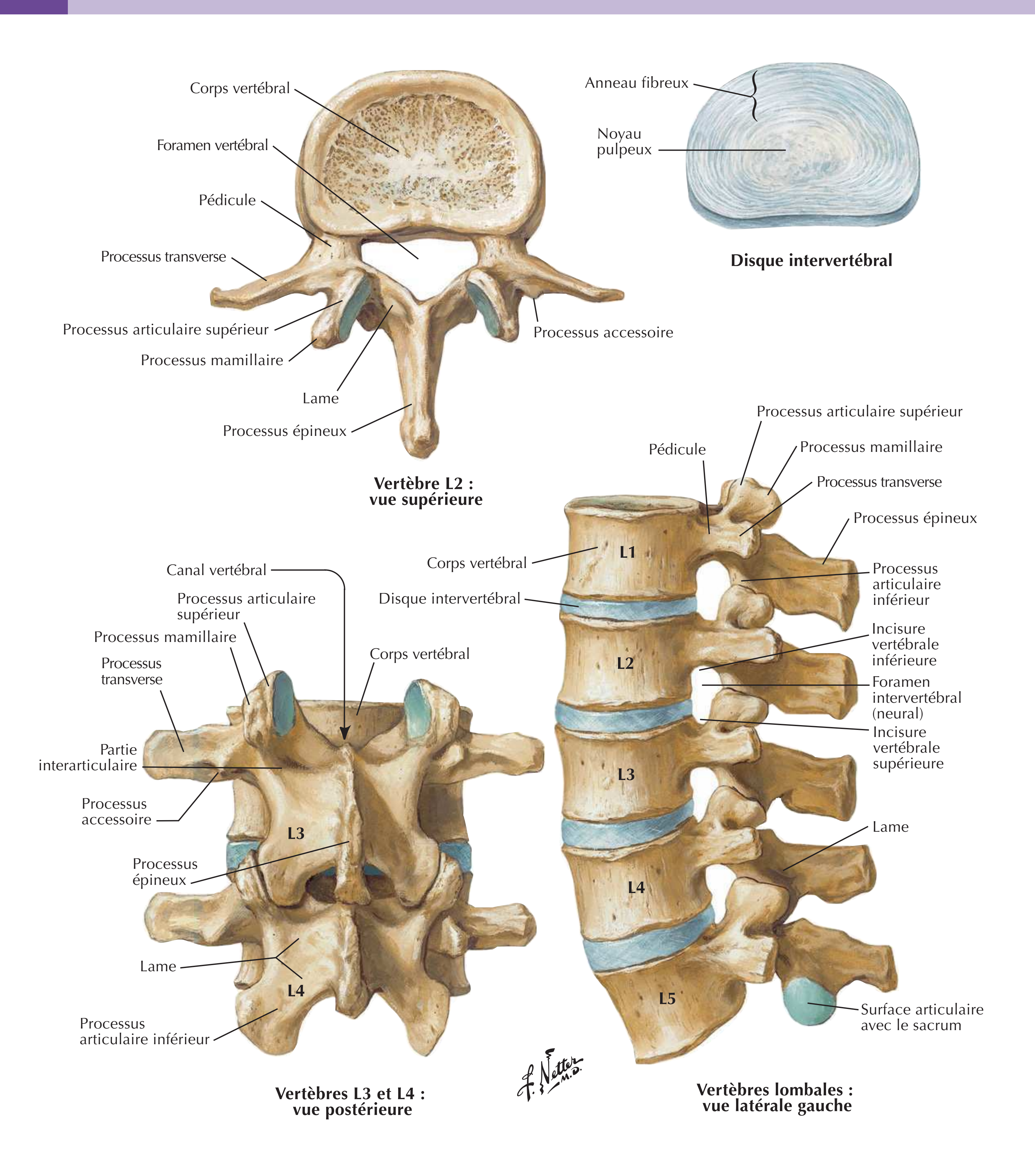
Processus épineux

Processus et surface articulaire inférieurs

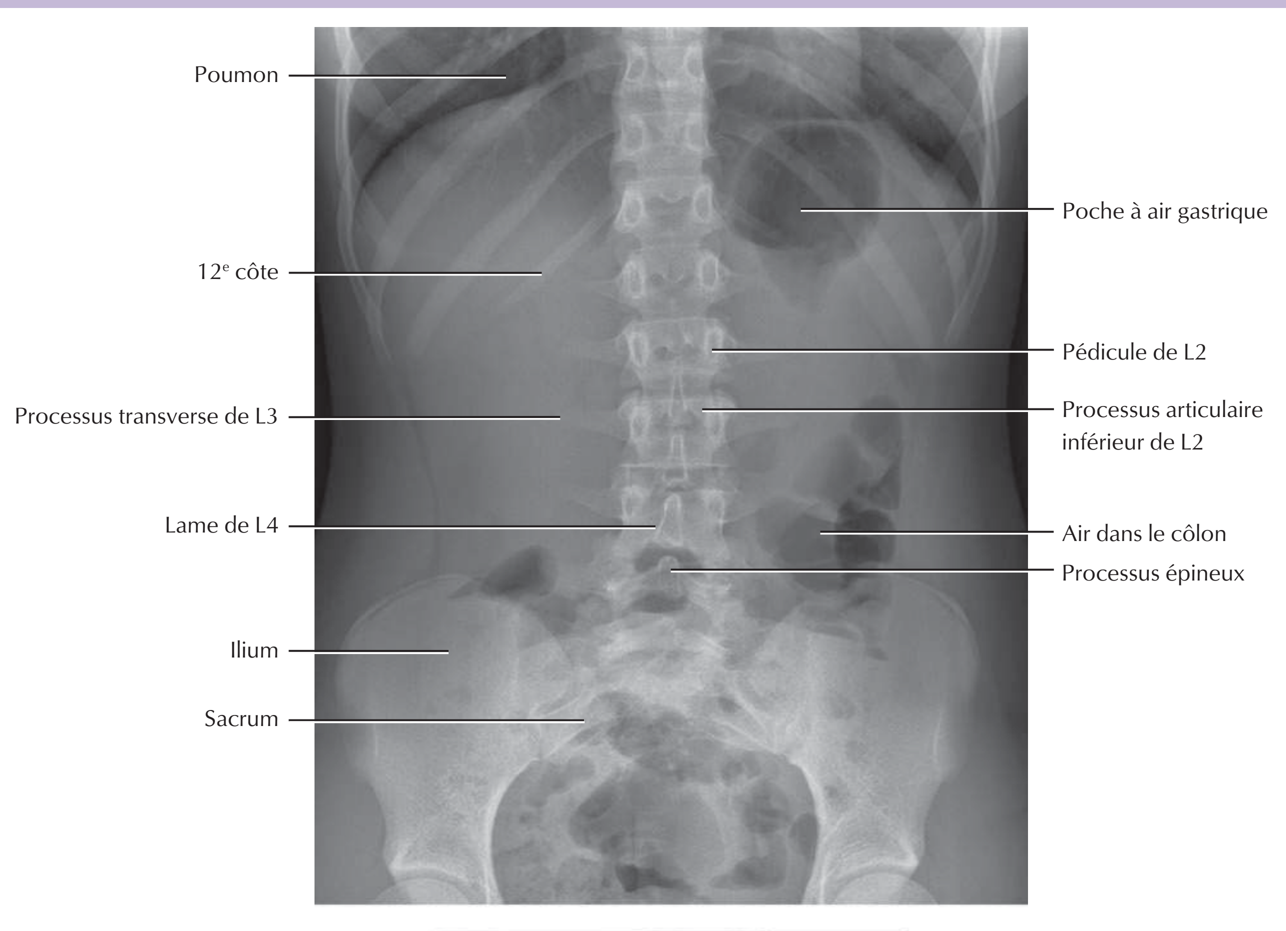
Vertèbre T12 : vue latérale

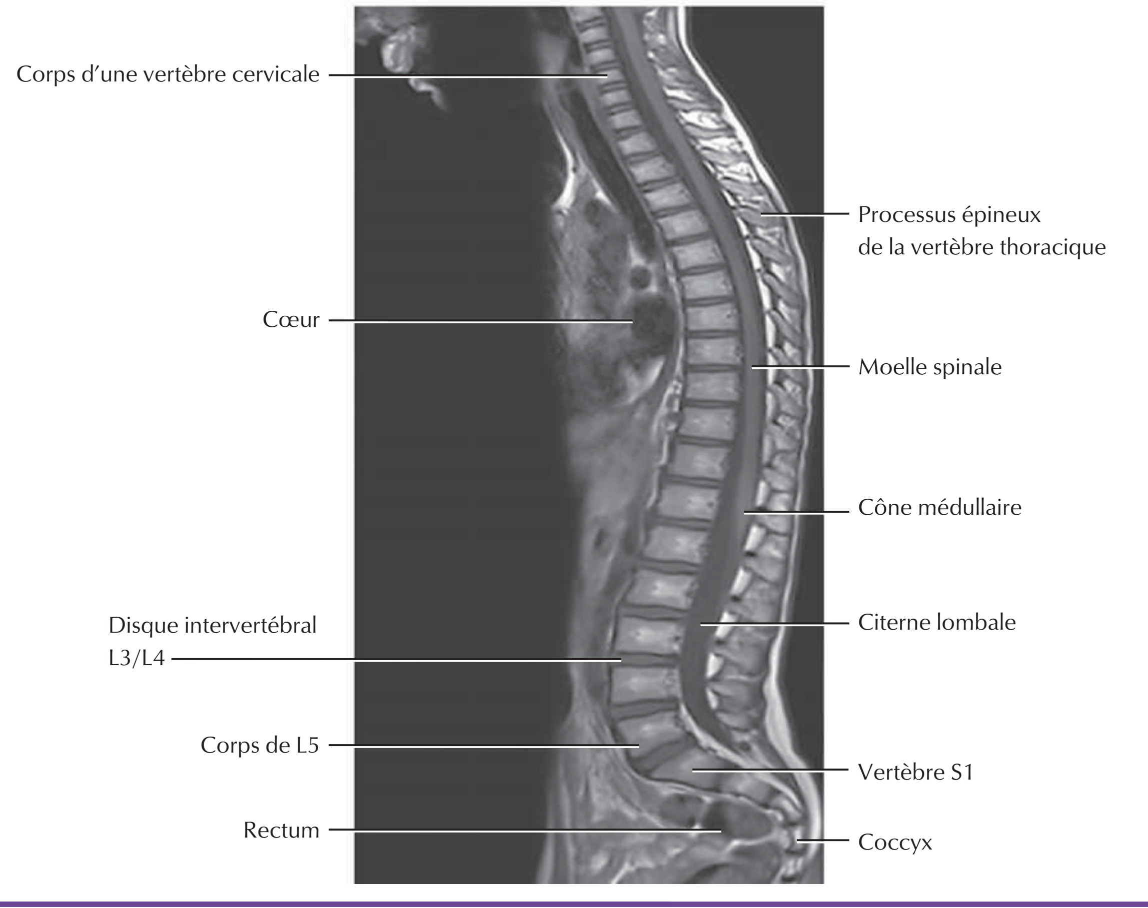
F. Netter M.D.

Vertèbres lombales



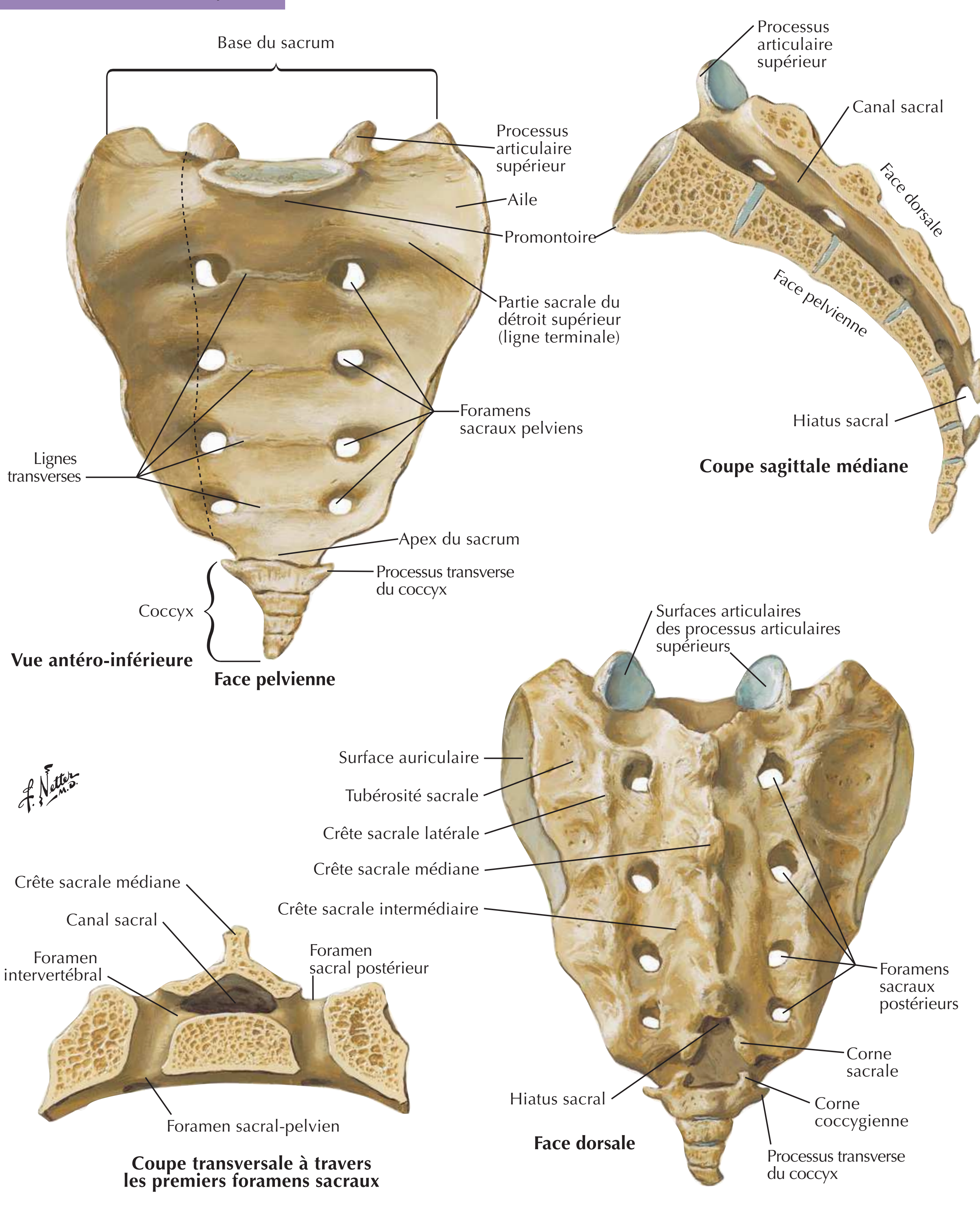



Poumon
12e côte
Processus transverse de L3
Lame de L4
Ilium
Sacrum
Poche à air gastrique
Pédicule de L2
Processus articulaire inférieur de L2
Air dans le côlon
Processus épineux


Corps d'une vertèbre cervicale
Cœur
Disque intervertébral L3/L4
Corps de L5
Rectum
Processus épineux de la vertèbre thoracique
Moelle spinale
Cône médullaire
Citerne lombale
Vertèbre S1
Coccyx

Sacrum et coccyx

Voir aussi **Planches 330, 334**



Ligament longitudinal antérieur
Corps de la vertèbre L1
Disques intervertébraux
Rameau ventral du nerf spinal L2
Nerf spinal L4
Corps de la vertèbre L5
Rameau dorsal du nerf spinal L5
Surface auriculaire du sacrum (articulaire avec l'ilium)
Sacrum
Coccyx
Processus articulaire supérieur
Processus transverse
Lame
Processus articulaire inférieur
Pédicule
Foramen intervertébral
Processus épineux
Ligament interépineux
Ligament supra-épineux

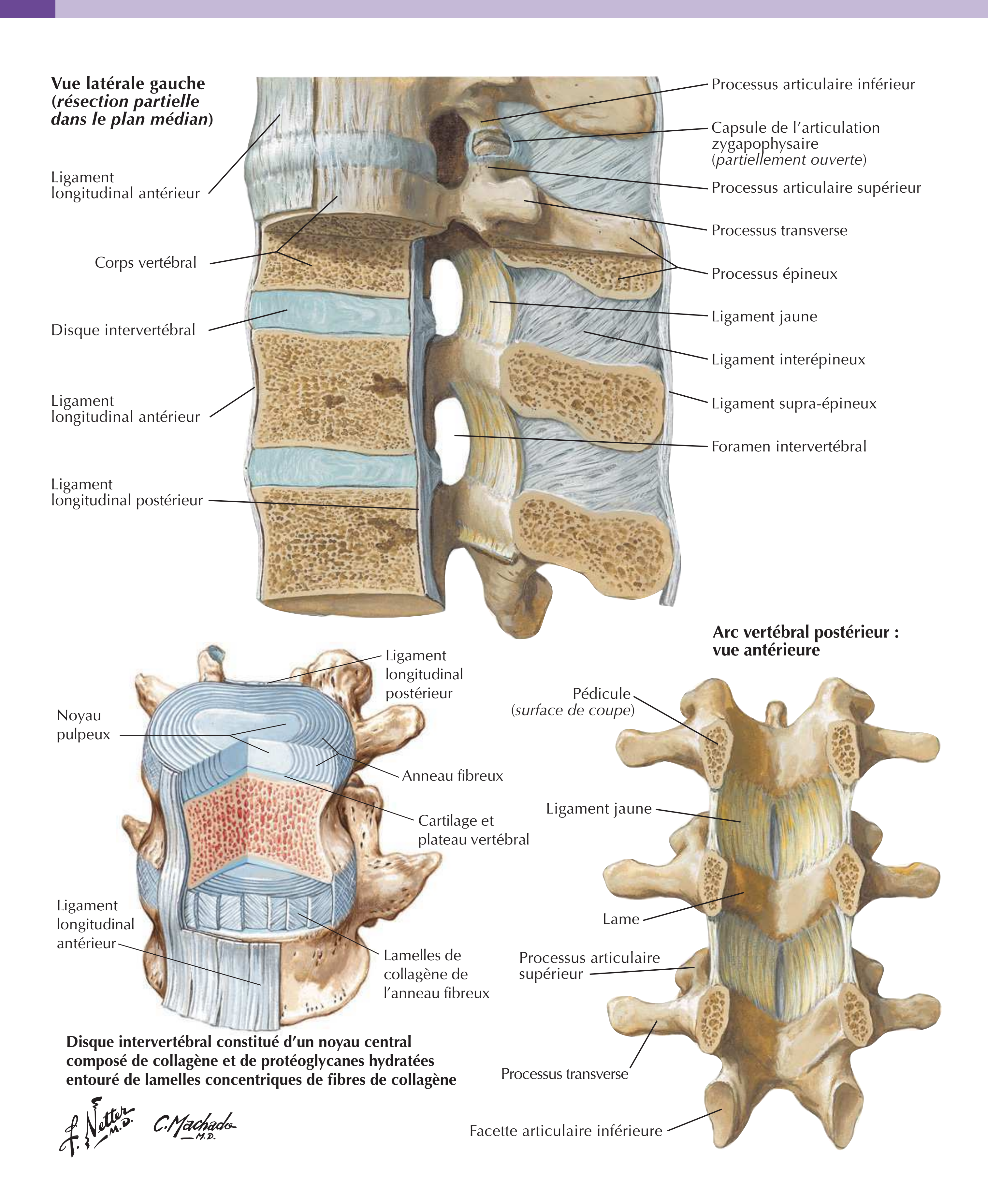
Vue latérale gauche

Pédicule (*coupé*)
Ligament longitudinal postérieur
Processus articulaires supérieurs ; surface éversée vers la droite (différente de l'axe de la surface gauche)
Processus épineux
Lame
Processus transverse
Processus articulaire inférieur
Ligament jaune
Ligament ilio-lombal
Crête iliaque
Épine iliaque postéro-supérieure
Épine iliaque postéro-inférieure
Ligaments sacro-iliaques postérieurs
Grand foramen ischiatique
Épine ischiatique
Ligament sacro-épineux
Petit foramen ischiatique
Ligament sacro-tubéral
Tubérosité ischiatique
Ligaments sacro-coccygiens: Latéral, Postérieur

Vue postérieure

F. Netter M.D.

Ligaments vertébraux : région lombale

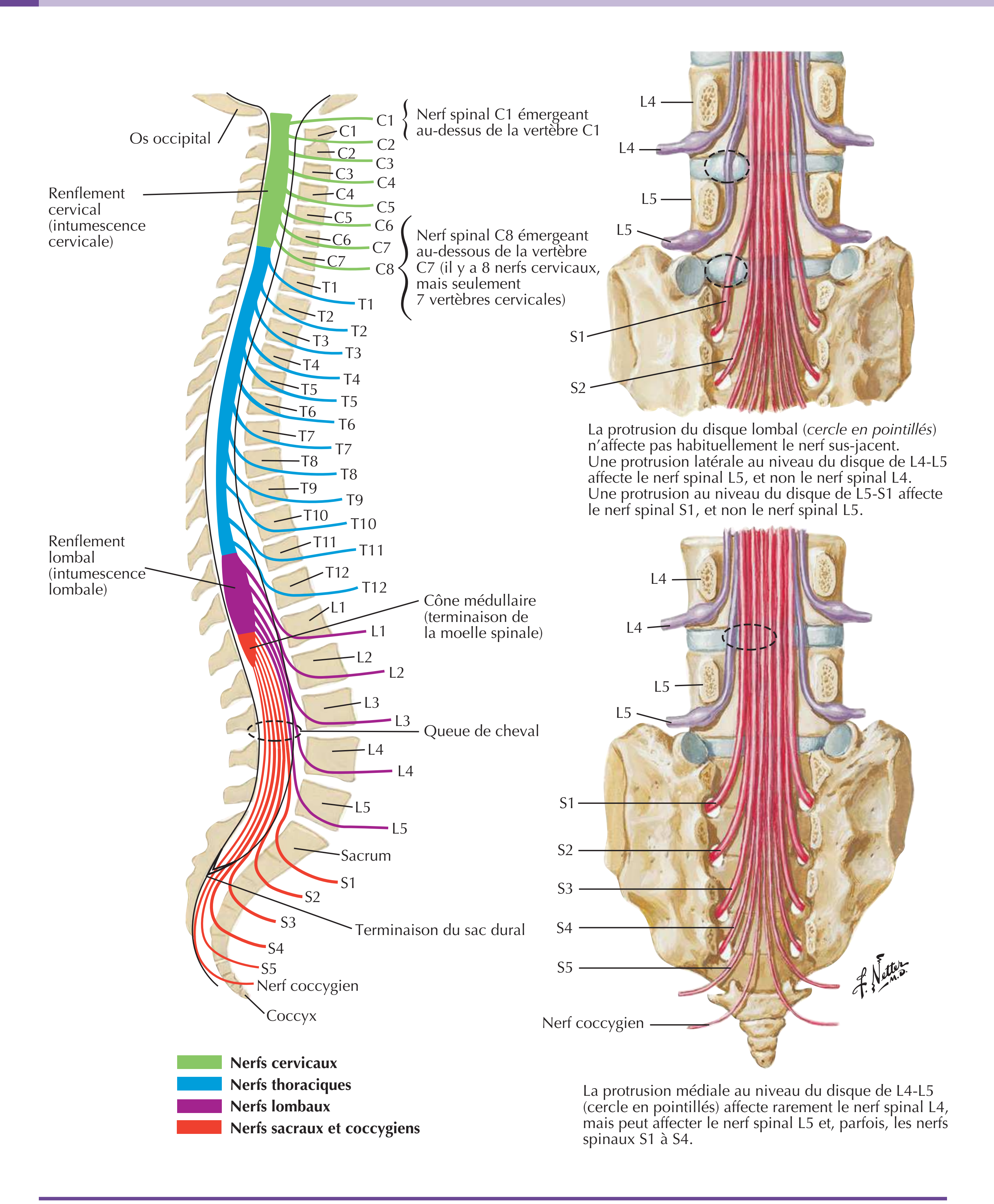


Disque intervertébral constitué d'un noyau central composé de collagène et de protéoglycanes hydratées entouré de lamelles concentriques de fibres de collagène



Os occipital
Nerf spinal C1
Vertèbre C2 (axis)
Nerf spinal C8
Nerf spinal T1
1re côte
Nerfs intercostaux
Nerf spinal T12
12e côte
Nerf subcostal
Nerf spinal L1
Cône médullaire
Queue de cheval
Nerf spinal L5
Nerf spinal S1
Sacrum (*réséqué*)
Filum terminal (partie piale)
Terminaison de la cavité épidurale
Filum terminal (partie durale)
Nerf spinal S5
Nerf coccygien
Vertèbre C1 (atlas)
Plexus cervical
Vertèbre C7
Vertèbre T1
Plexus brachial
Dure-mère spinale
Filets radiculaires dorsaux des nerfs spinaux (T7 et T8)
Vertèbre T12
Vertèbre L1
Nerf ilio-hypogastrique
Nerf ilio-inguinal
Plexus lombal
Vertèbre L5
Nerf fémoral
Plexus sacral
Nerfs glutéaux supérieur et inférieur
Nerf ischiatique
Nerf cutané postérieur de la cuisse
Nerf pudendal
Coccyx
F. Netter M.D.

Rapports vertébraux des racines des nerfs spinaux



La protrusion du disque lombal (*cercle en pointillés*) n'affecte pas habituellement le nerf sus-jacent. Une protrusion latérale au niveau du disque de L4-L5 affecte le nerf spinal L5, et non le nerf spinal L4. Une protrusion au niveau du disque de L5-S1 affecte le nerf spinal S1, et non le nerf spinal L5.

La protrusion médiale au niveau du disque de L4-L5 (cercle en pointillés) affecte rarement le nerf spinal L4, mais peut affecter le nerf spinal L5 et, parfois, les nerfs spinaux S1 à S4.



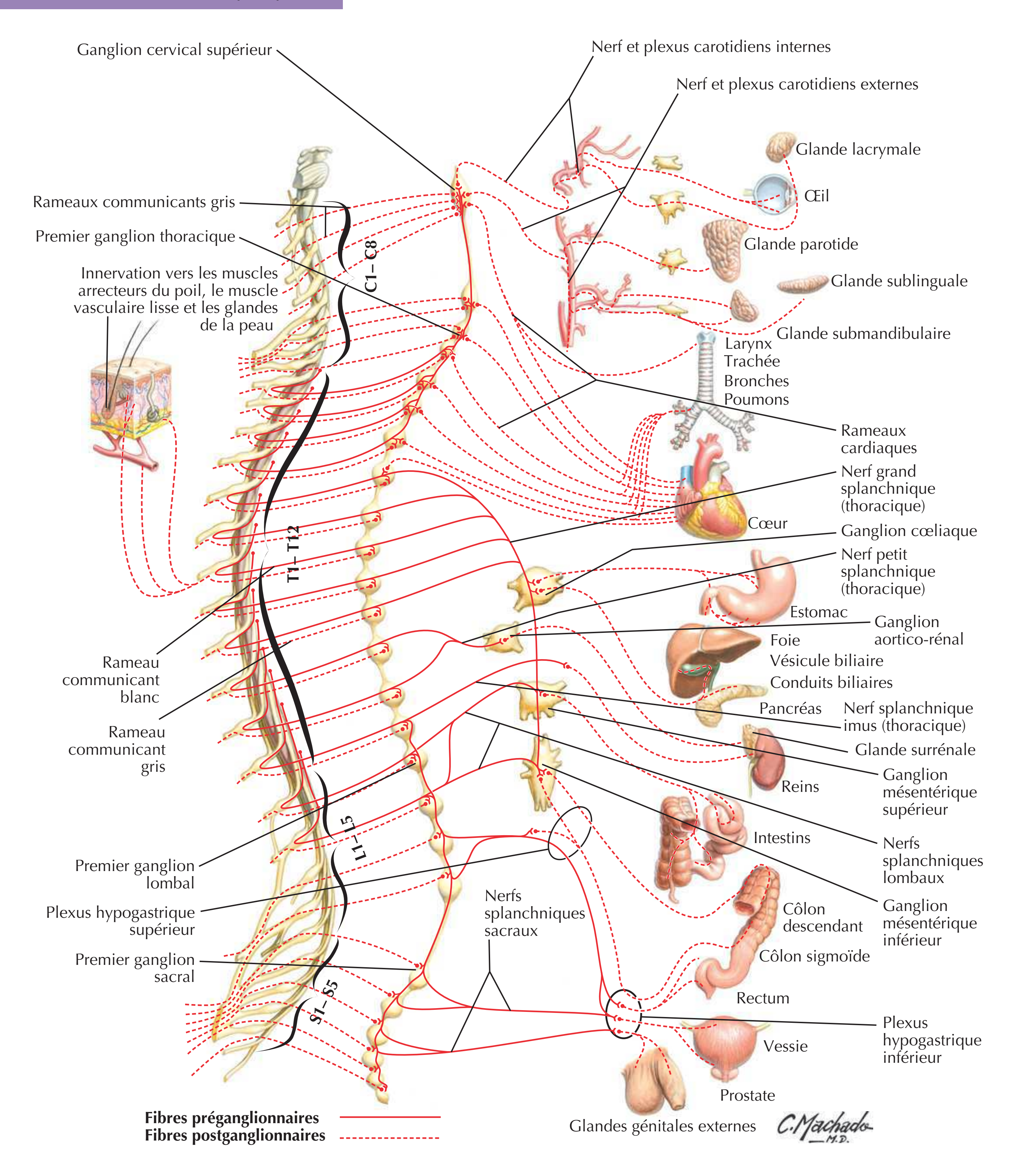
Démarcation schématique des dermatomes (selon Keegan et Garrett) comme des territoires cutanés distincts. Actuellement les dermatomes adjacents sont considérés se chevauchant à leur frontière. Une autre répartition topographique des dermatomes est proposée par Foerster (voir les références)

Territoires des principaux dermatomes

C5	Clavicule
C5, 6	Côtés latéraux des membres supérieurs
C8, T1	Côtés médiaux des membres supérieurs
C6	Doigt I (pouce)
C6, 7, 8	Main
C8	Doigts IV et V
T4	Niveau des mamelons
T10	Niveau de l'ombilic
L1	Région inguinale
L1, 2, 3, 4	Faces antérieures et médiales des membres inférieurs
L4, 5, S1	Pieds
L4	Côté médial de l'orteil I (gros orteil)
L5, S1, 2	Faces postérieures et latérales des membres inférieurs
S1	Bord latéral du pied et de l'orteil V (petit orteil)
S2, 3, 4	Périnée

Système nerveux sympathique : schéma

Voir aussi **Planches 206, 317, 319**

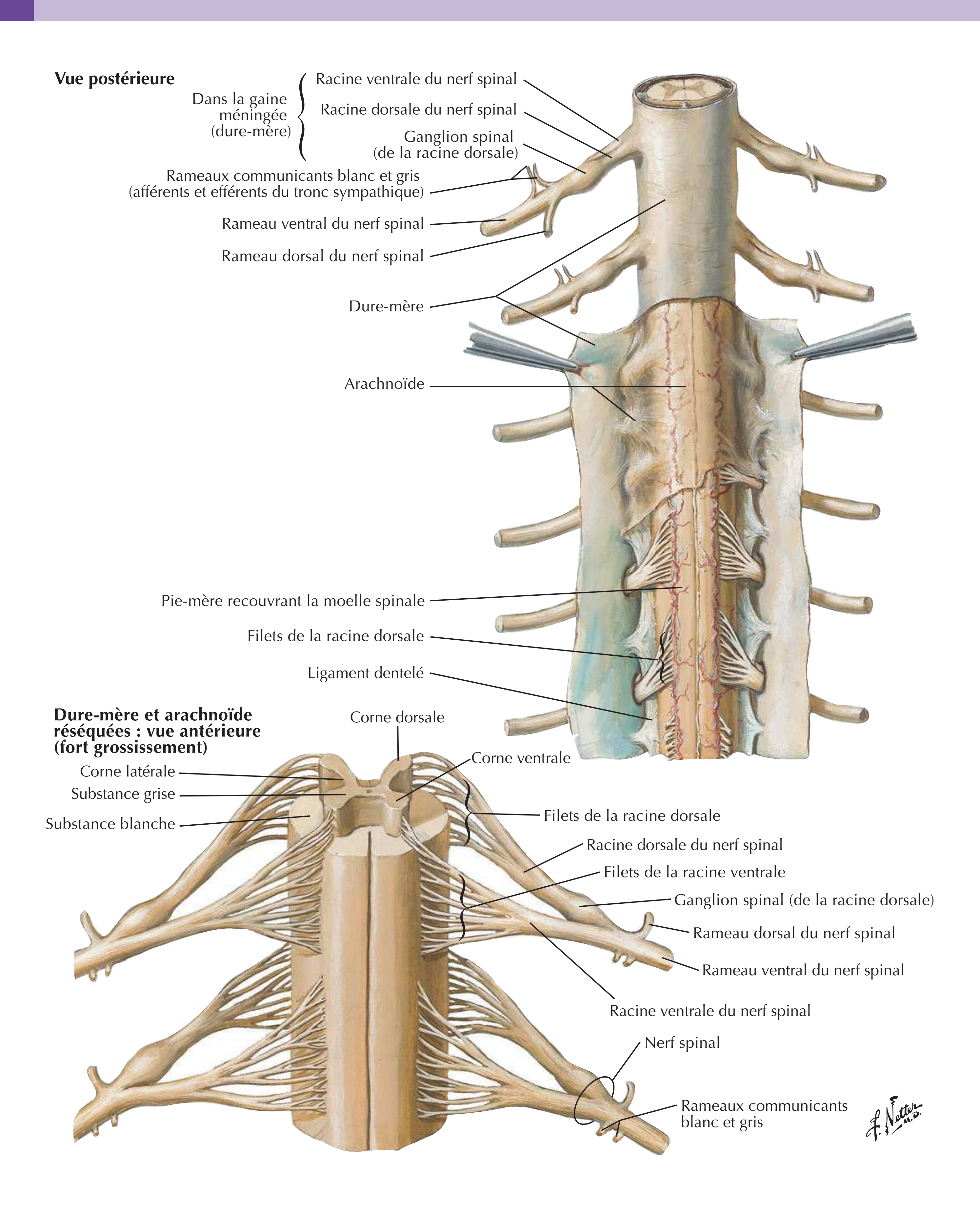




Système nerveux parasympathique : schéma

Rameau du nerf oculo-moteur (III)
Rameau du nerf facial (VII)
Moelle allongée
Rameau du nerf glosso-pharyngien (IX)
Ganglion otique
Ganglion submandibulaire
Ganglion ciliaire
Ganglion ptérygo-palatin
Glandes lacrymales
Œil
Glandes muqueuses du nez, des sinus paranasaux, du palais
Glandes parotides
Glandes sublinguales
Glandes submandibulaires
Larynx
Trachée
Bronches
Poumons
Nerf vague (X)
Cœur
Ganglion cœliaque
Estomac
Foie
Vésicule biliaire
Conduits biliaires
Ganglion mésentérique supérieur
Pancréas
Reins
Intestins
Côlon descendant
Côlon sigmoïde
Rectum
S2
S3
S4
Nerfs splanchniques pelviens
Vessie
Prostate
Glandes génitales externes
C. Machado M.D.

Fibres préganglionnaires
Fibrfes postganglionnaires


Vue postérieure
Dans la gaine méningée (dure-mère)
Racine ventrale du nerf spinal
Racine dorsale du nerf spinal
Ganglion spinal (de la racine dorsale)
Rameaux communicants blanc et gris (afférents et efférents du tronc sympathique)
Rameau ventral du nerf spinal
Rameau dorsal du nerf spinal
Dure-mère
Arachnoïde
Pie-mère recouvrant la moelle spinale
Filets de la racine dorsale
Ligament dentelé
Dure-mère et arachnoïde réséquées : vue antérieure (fort grossissement)
Corne dorsale
Corne ventrale
Corne latérale
Substance grise
Substance blanche
Filets de la racine dorsale
Racine dorsale du nerf spinal
Filets de la racine ventrale
Ganglion spinal (de la racine dorsale)
Rameau dorsal du nerf spinal
Rameau ventral du nerf spinal
Racine ventrale du nerf spinal
Nerf spinal
Rameaux communicants blanc et gris
F. Netter M.D.

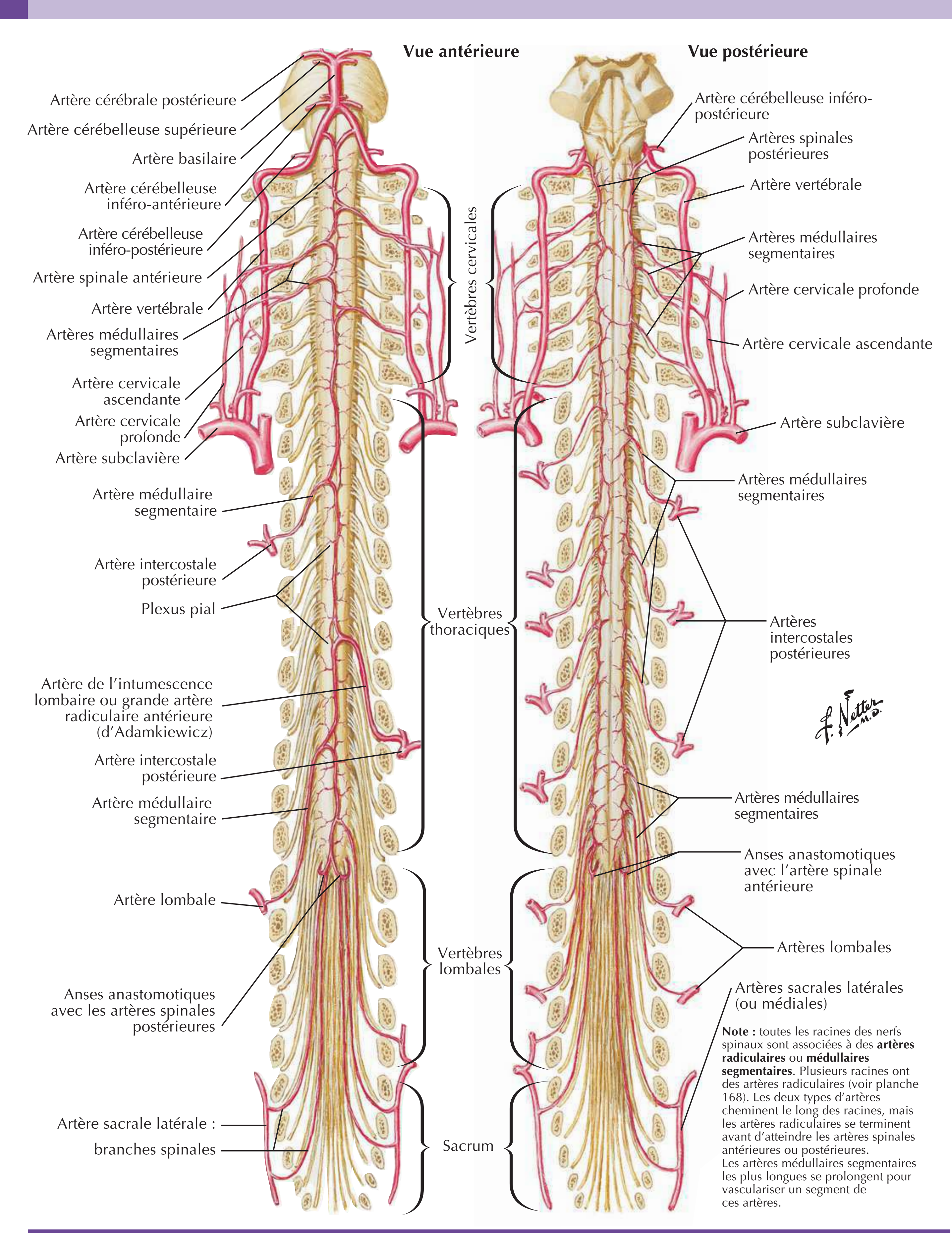
Origine du nerf spinal : coupes transversales

Coupe à travers une vertèbre thoracique

Coupe à travers une vertèbre lombale

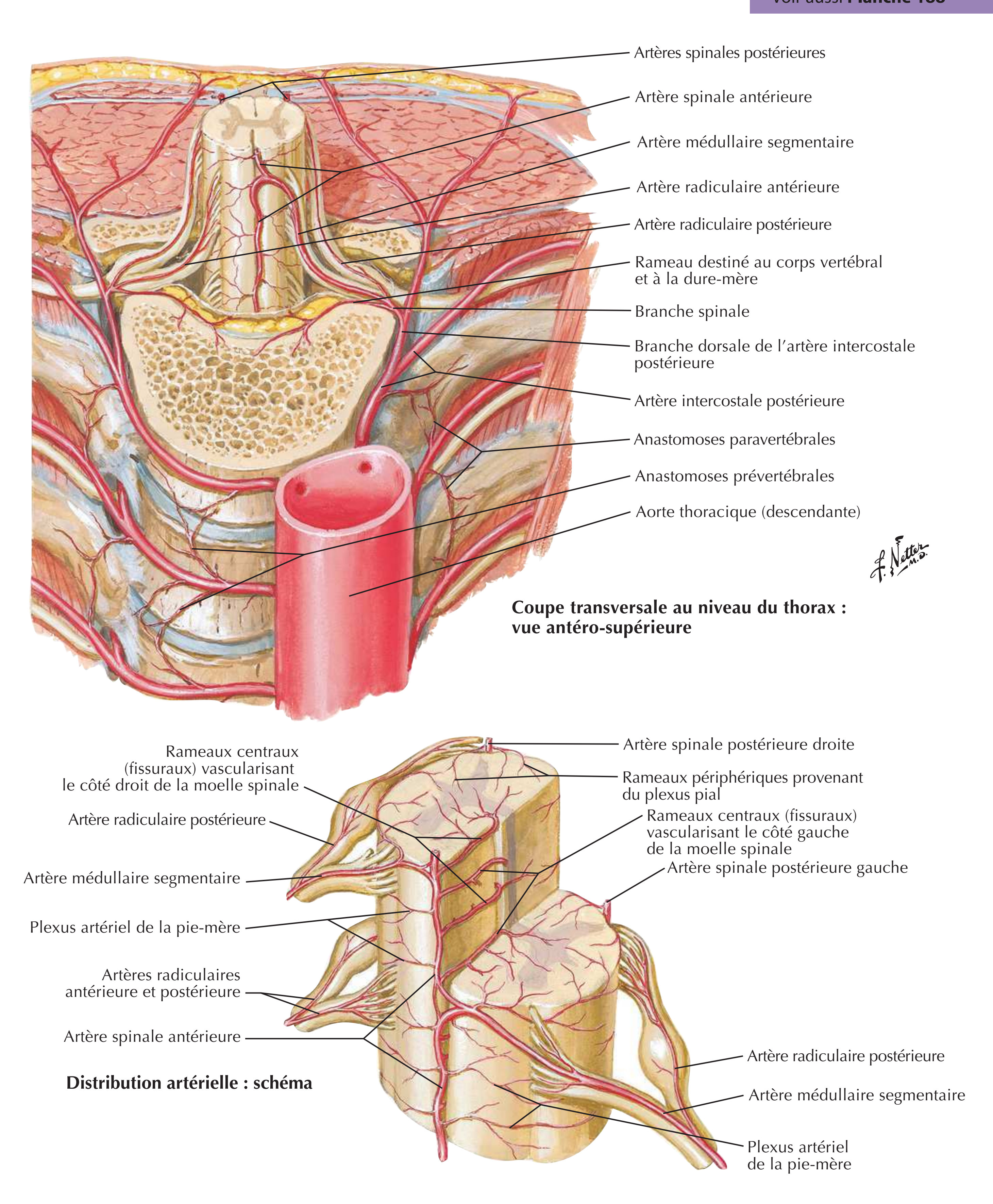
*Leptoméninges

Artères de la moelle spinale : schéma



Note : toutes les racines des nerfs spinaux sont associées à des **artères radiculaires** ou **médullaires segmentaires**. Plusieurs racines ont des artères radiculaires (voir planche 168). Les deux types d'artères cheminent le long des racines, mais les artères radiculaires se terminent avant d'atteindre les artères spinales antérieures ou postérieures.
Les artères médullaires segmentaires les plus longues se prolongent pour vasculariser un segment de ces artères.

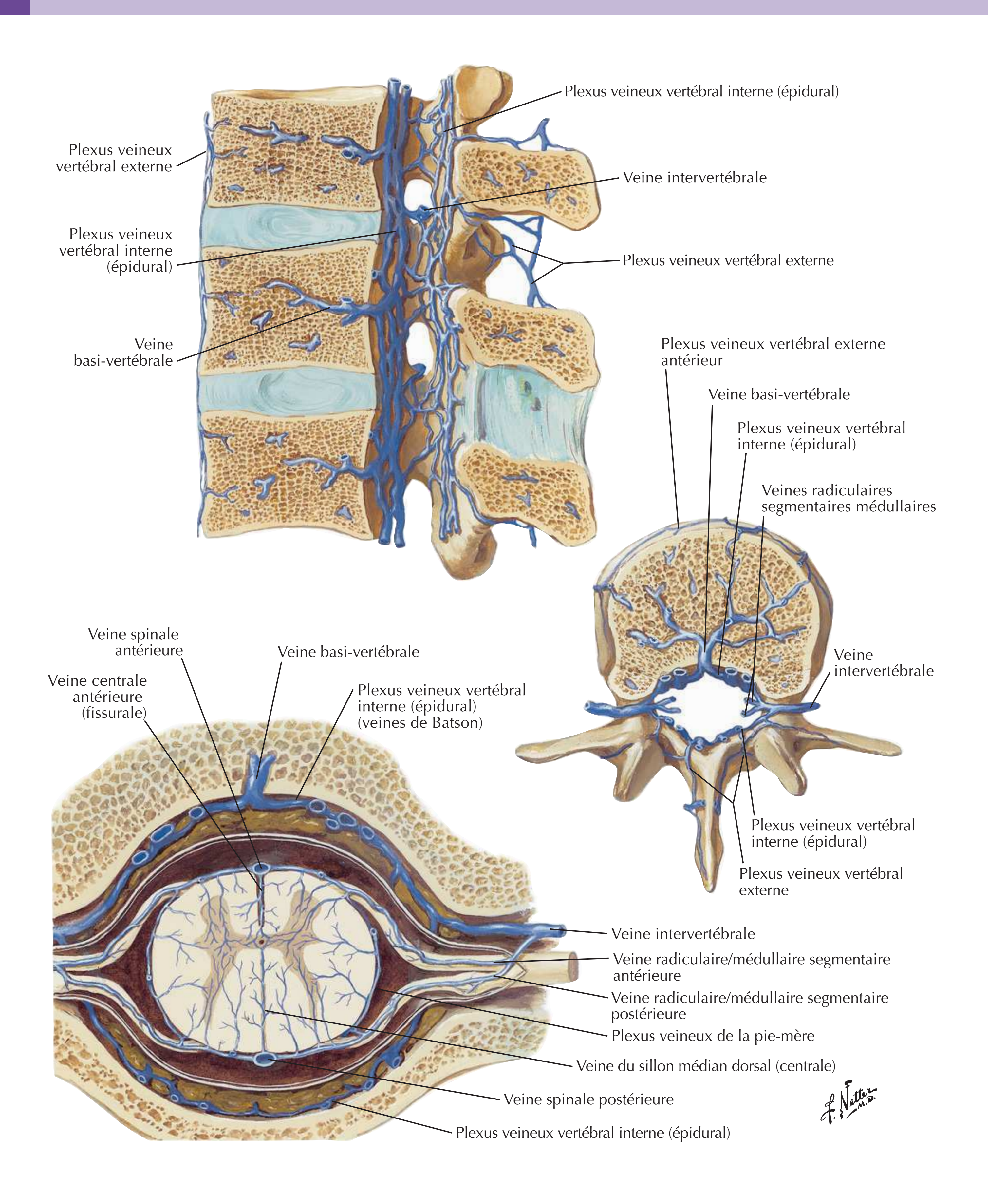
Voir aussi **Planche 188**



Coupe transversale au niveau du thorax : vue antéro-supérieure

Distribution artérielle : schéma

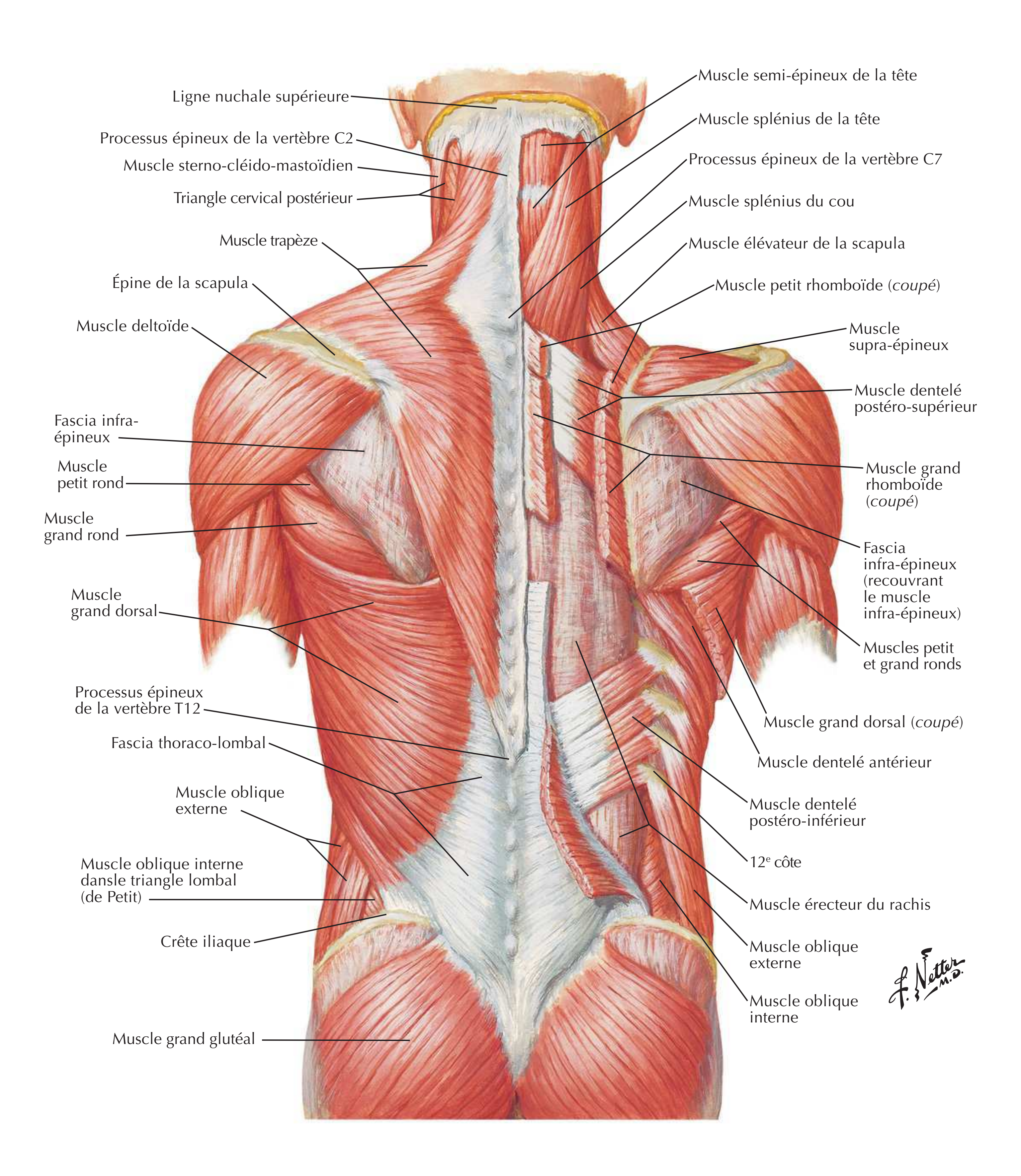
Veines de la moelle spinale et de la colonne vertébrale



Veines de la colonne vertébrale : veines vertébrales

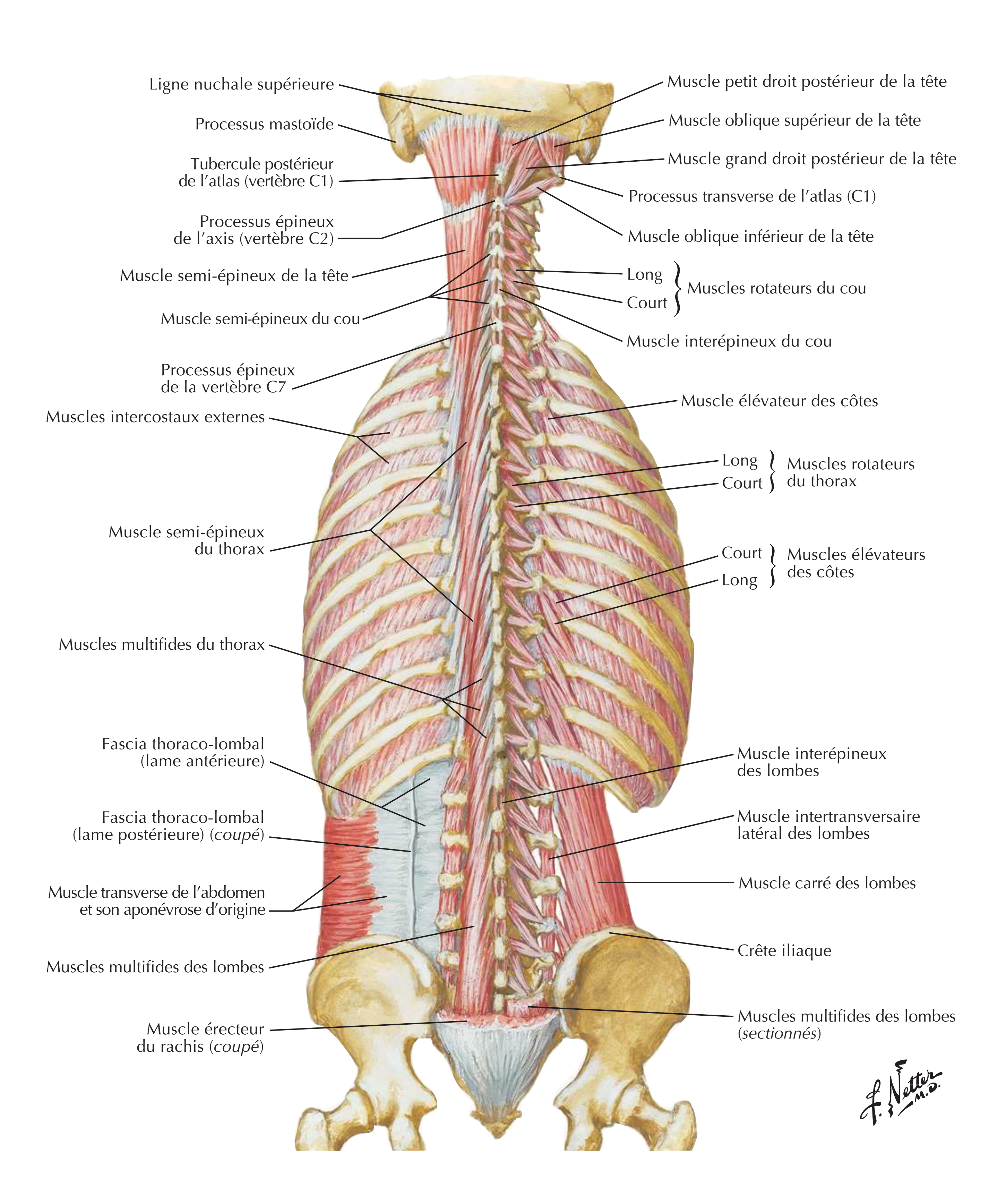
Muscles du dos : couches superficielles

Voir aussi **Planches 29, 250**

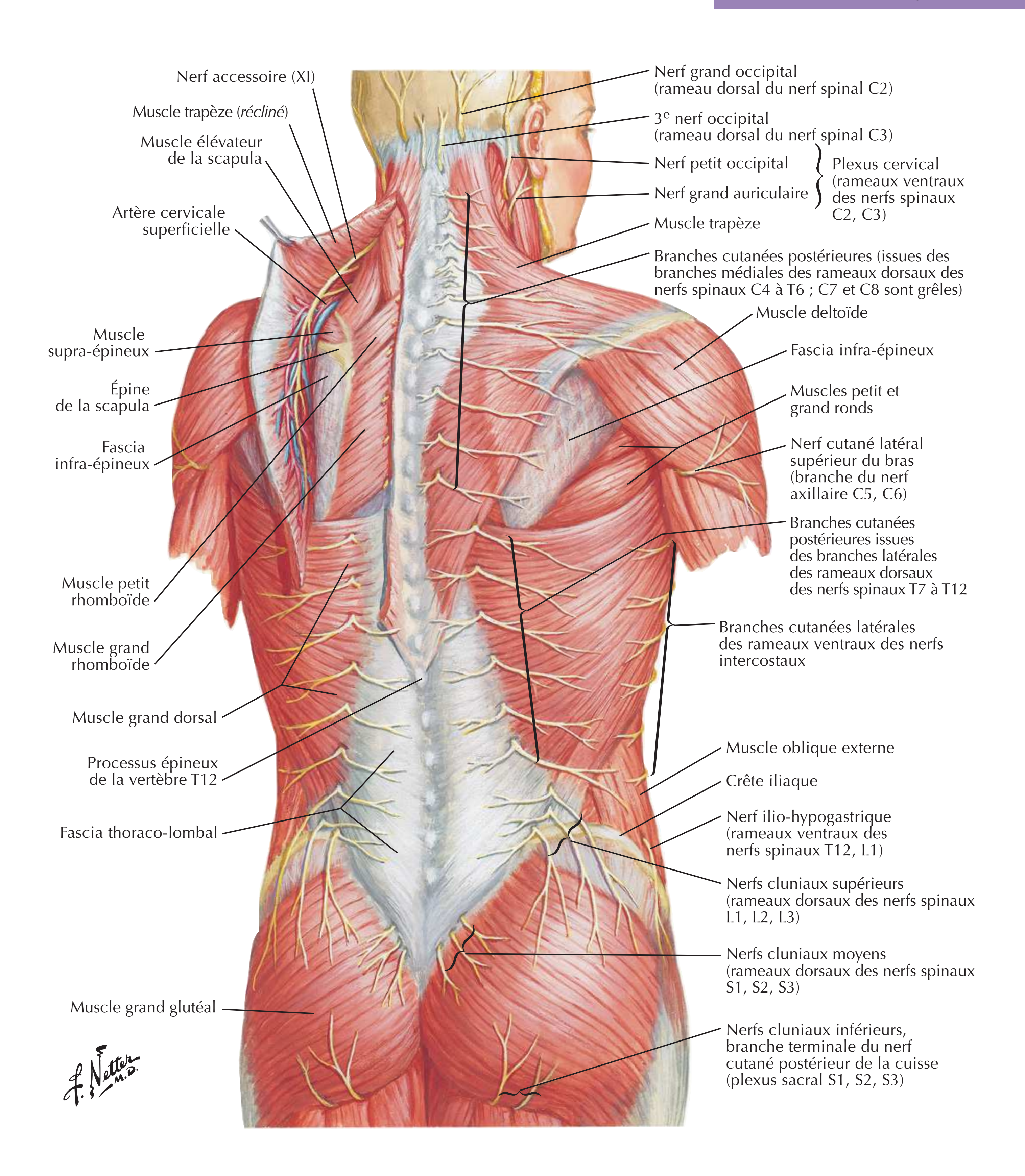


Muscles du dos : couches intermédiaires

Muscles du dos : couches profondes

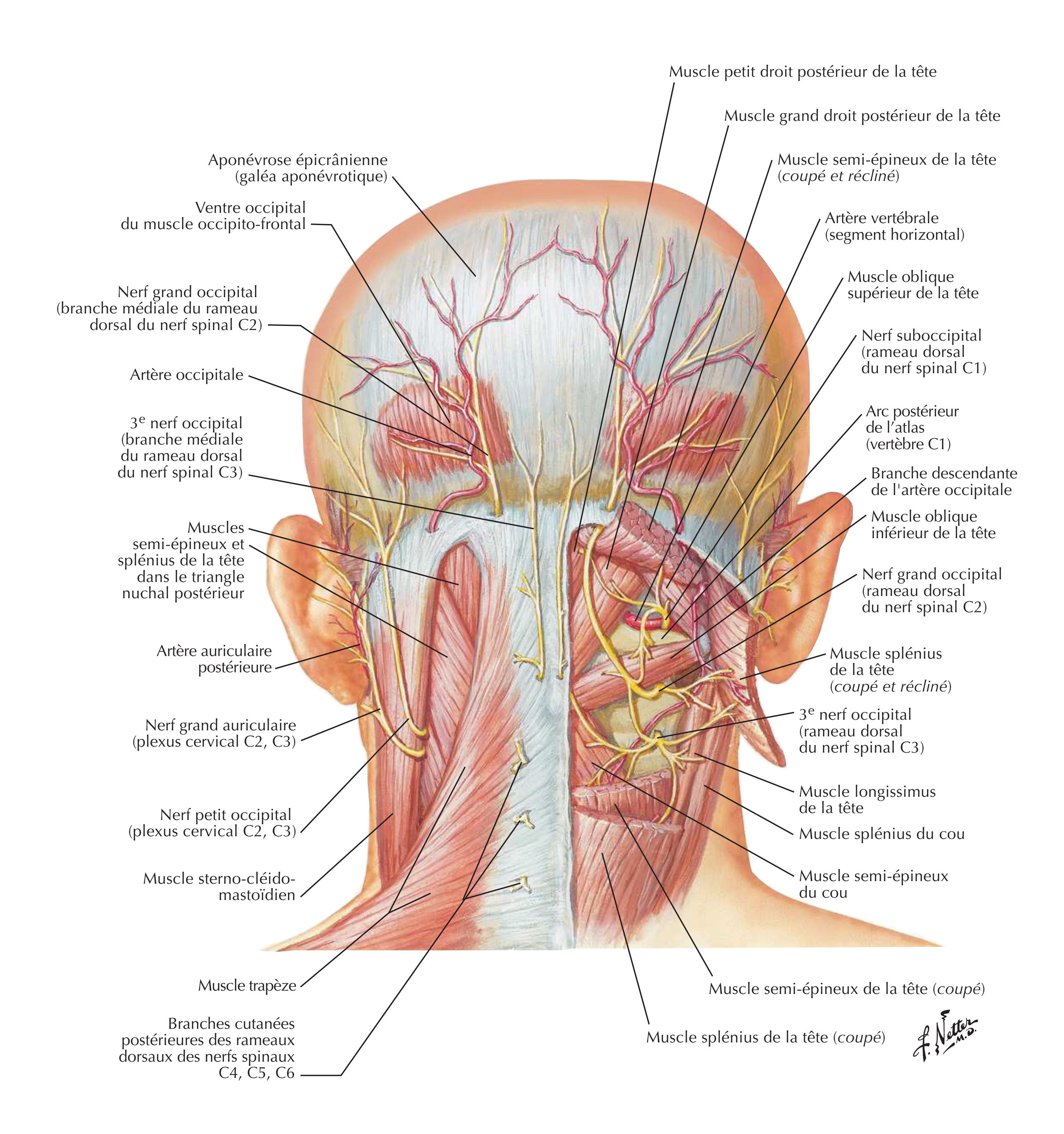


Voir aussi **Planches 409, 481**



Triangle suboccipital

Voir aussi **Planches 29, 32**





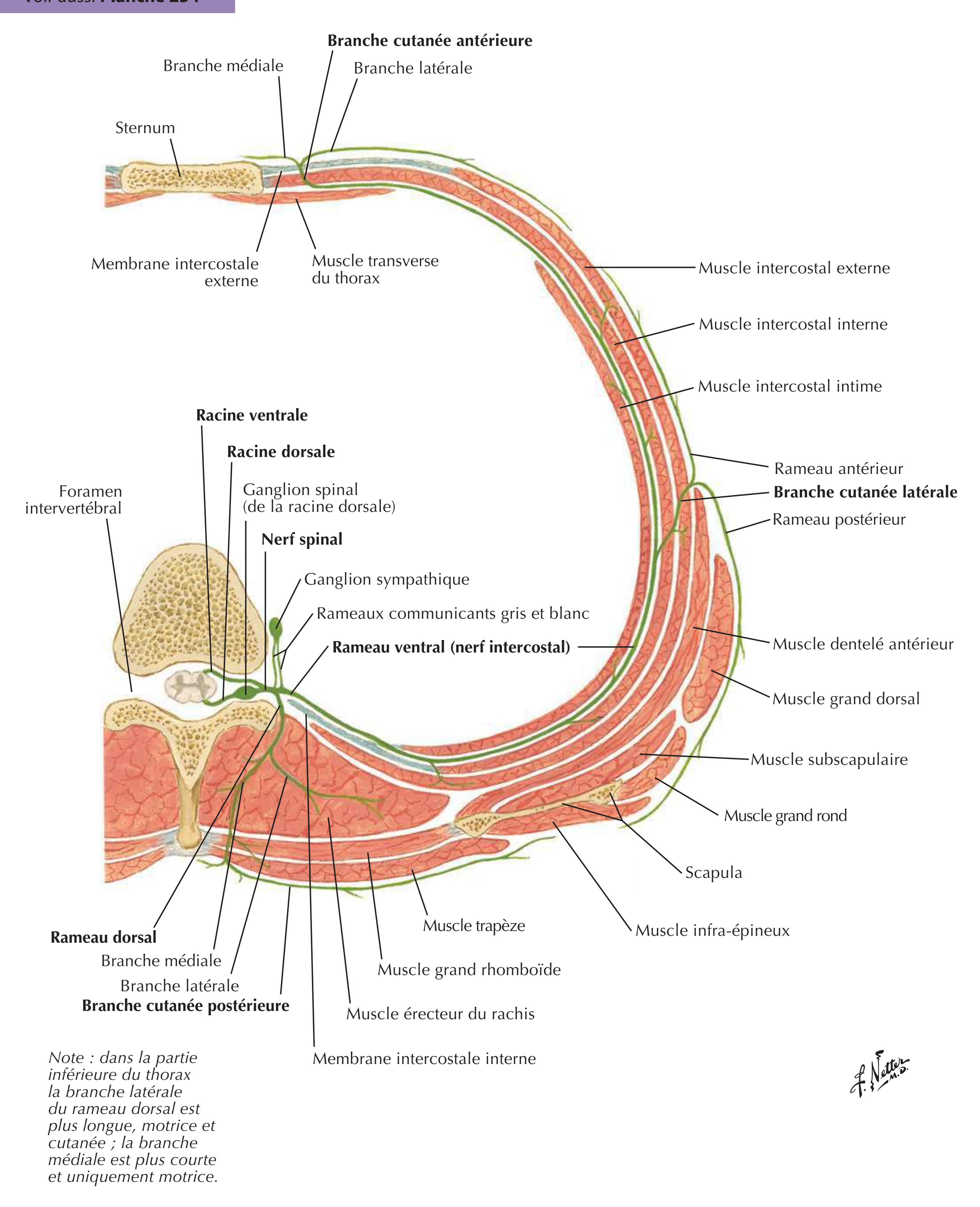
Région lombale postérieure : coupe transversale (vue supérieure)

Partie descendante du duodénum (2e)
Rein
Fascia rénal
(lames antérieure et postérieure)
Graisse périrénale
Graisse pararénale
Péritoine
Fascia
extra-péritonéal
(tissu aréolaire
sous-séreux)
Fascia
transversalis
Muscle
oblique
externe
Muscle oblique
interne
Muscle transverse
de l'abdomen
Aponévrose d'origine
des muscles oblique interne
et transverse de l'abdomen
Muscle dentelé postéro-inférieur
Muscle grand dorsal
Muscle carré des lombes
Veine cave inférieure
Pancréas
Ligament longitudinal antérieur
Piliers du diaphragme
Artère et veine mésentériques supérieures
Mésentère
Aorte abdominale
Angle
duodéno-jéjunal
Corps de
la vertèbre L2
Muscle grand
psoas et
son fascia
Nerf lombal
spinal
Processus
transverse
Dure-mère
spinale
Queue
de cheval
Processus épineux
de la vertèbre L1
Ligament supra-épineux
Muscles érecteurs du rachis et multifides
Fascia thoraco-lombal (lame postérieure)
Fascia thoraco-lombal (lame moyenne)
Fascia thoraco-lombal (lame antérieure)
(fascia du carré des lombes)

F. Netter M.D.

Nerf spinal thoracique type : coupe transversale

Voir aussi **Planche 254**



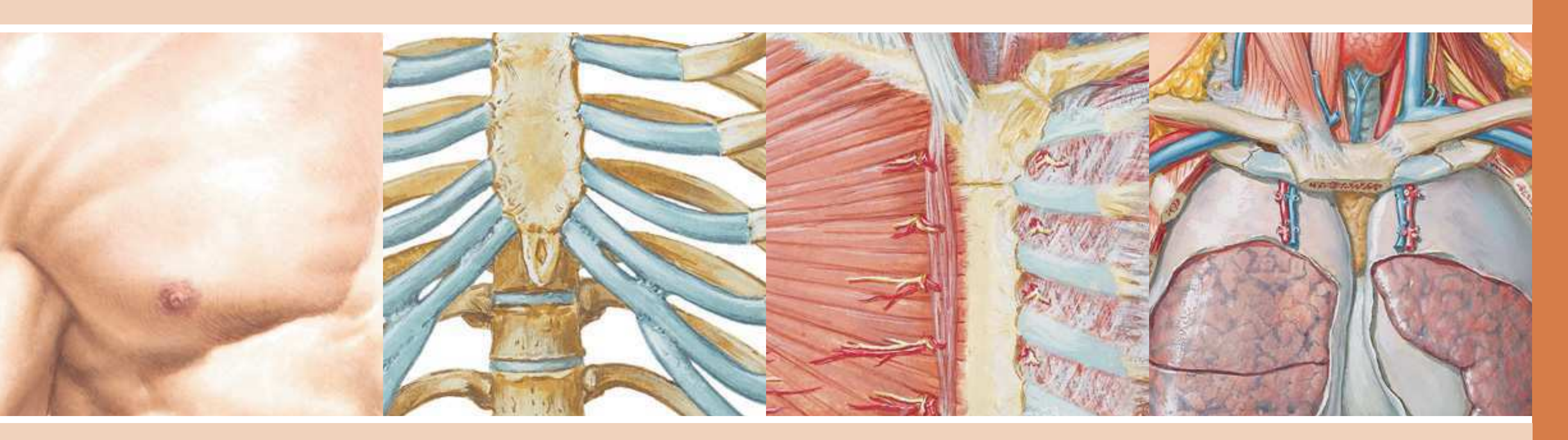
Note : dans la partie inférieure du thorax la branche latérale du rameau dorsal est plus longue, motrice et cutanée ; la branche médiale est plus courte et uniquement motrice.



MUSCLE	INSERTION PROXIMALE (ORIGINE)	INSERTION DISTALE (TERMINAISON)	INNERVATION	ACTIONS PRINCIPALES	VASCULARISATION ARTÉRIELLE	GROUPE MUSCULAIRE
Dentelé postéro-inférieur	Processus épineux des vertèbres T11-L2	Bord inférieur des côtes 9 à 12	Branche ventrale (ou nerfs intercostaux) des derniers nerfs thoraciques	Abaisse les côtes	Artères intercostales postérieures	Muscle intermédiaire du dos
Dentelé postéro-supérieur	Ligament nucal, processus épineux des vertèbres C7-T3	Bord supérieur des côtes 2 à 4	Branche ventrale (ou nerfs intercostaux) des premiers nerfs thoraciques	Élèvent les côtes	Artères intercostales postérieures	Muscle intermédiaire du dos
Élévateur de la scapula	Tubercules postérieurs des processus transverses des vertèbres C1-C4	Bord médial de la scapula au-dessus de l'épine de la scapula, angle supérieur de la scapula	Rameaux ventraux des nerfs spinaux C3-C4 et nerf dorsal de la scapula	Élève la scapula médialement, entraîne une rotation inférieure de la cavité glénoïdale	Artère scapulaire dorsale, artère cervicale transverse, artère cervicale ascendante	Muscle superficiel du dos
Érecteur du rachis	Face dorsale du sacrum, ligament sacro-épineux, ligaments supra-épineux, processus épineux des dernières vertèbres lombales et des vertèbres sacrales	Iliocostal : angles des côtes inférieures, processus transverses des vertèbres cervicales Longissimus : entre tubercules et angles des côtes, processus transverses des vertèbres thoraciques et cervicales, processus mastoïde Épineux : processus épineux des premières vertèbres thoraciques et des vertèbres moyennes du rachis cervical	Rameaux dorsaux des nerfs spinaux de chaque région	Étendent et inclinent latéralement la colonne vertébrale et la tête	Partie cervicale : artères occipitale, cervicale profonde et vertébrale Partie thoracique : branches dorsales des artères intercostales postérieures, subcostales et lombales Partie sacrale : branches dorsales des artères sacrales latérales	Sacro-épineux (muscle profond du dos)
Grand dorsal	Processus épineux des vertèbres T7 à L5, fascia thoraco-lombaire, crête iliaque, et trois dernières côtes	Humérus (sillon intertuberculaire et crête du tubercule mineur)	Nerf thoraco-dorsal	Extenseur, adducteur et rotateur médial de l'humérus	Artère thoraco-dorsale, branches perforantes dorsales des 9e, 10e, 11e artères intercostales postérieures et de l'artère subcostale et des trois premières artères lombales	Muscle superficiel du dos
Grand droit postérieur de la tête	Processus épineux de l'axis	Ligne nucale inférieure	Nerf subocciptal	Extenseur et rotateur homolatéral de la tête	Artère vertébrale, branche descendante de l'artère occipitale	Muscle subocciptal
Grand rhomboïde	Processus épineux des vertèbres T2-T5	Bord médial de la scapula au-dessous de la base de l'épine de la scapula	Nerf dorsal de la scapula	Fixe la scapula contre la paroi thoracique, rétracte (adduction) et entraîne la rotation de la scapula de sorte à abaisser la cavité glénoïdale	Artère scapulaire dorsale ou branche profonde de l'artère cervicale transverse, branches perforantes des cinq à six premières artères intercostales postérieures	Muscle superficiel du dos
Interépineux (du cou, du thorax, des lombes)	Processus épineux	Processus épineux adjacent	Rameaux dorsaux des nerfs spinaux	Contribuent à l'extension de la colonne vertébrale	Partie cervicale : artères occipitale, cervicale profonde et vertébrale Partie thoracique : branches dorsales des artères intercostales postérieures Partie lombale : branches dorsales des artères lombales	Segmentaires (muscles profonds du dos)
Intertransversaires (du cou, du thorax, des lombes)	Étendus entre les processus transverses de deux vertèbres adjacentes	Étendus entre les processus transverses de deux vertèbres adjacentes	Rameaux dorsaux des nerfs spinaux	Contribuent à l'inclinaison latérale de la colonne vertébrale	Partie cervicale : artères occipitale, cervicale profonde et vertébrale Partie thoracique : branches dorsales des artères intercostales postérieures, subcostales et lombales Partie lombale : branches dorsales des artères lombales	Segmentaires (muscles profonds du dos)

Des variations dans les contributions des nerfs spinaux dans l'innervation des muscles, dans la vascularisation artérielle des muscles, dans leurs insertions et leurs actions sont des événements fréquents dans l'anatomie humaine. Ainsi, il peut exister des différences entre les textes de différents ouvrages : considérez que les variations anatomiques sont normales.

MUSCLE	INSERTION PROXIMALE (ORIGINE)	INSERTION DISTALE (TERMINAISON)	INNERVATION	ACTIONS PRINCIPALES	VASCULARISATION ARTÉRIELLE	GROUPE MUSCULAIRE
Multifides	Sacrum, ilium, processus mamillaires des vertèbres lombales, processus transverses de T1-T12, et processus articulaires de C4-C7	Processus épineux d'une vertèbre sus-jacente en enjambant deux à quatre segments vertébraux	Rameaux dorsaux des nerfs spinaux de chaque région	Stabilisent le rachis	Partie cervicale : artères occipitale, cervicale profonde et vertébrale Partie thoracique : branches dorsales des artères intercostales postérieures, subcostales et lombales Partie sacrale : branches dorsales des artères sacrales latérales	Muscles transverso-épineux (muscles profonds du dos)
Oblique inférieur de la tête	Processus épineux de l'axis	Processus transverse de l'atlas	Nerf subocipital	Rotateur homolatéral de l'atlas afin de tourner la face du même côté que le muscle	Artère vertébrale, branche descendante de l'artère occipitale	Muscle subocipital
Oblique supérieur de la tête	Processus transverse de l'atlas	Os occipital	Nerf subocipital	Étend et incline latéralement la tête	Artère vertébrale, branche descendante de l'artère occipitale	Muscle subocipital
Petit droit postérieur de la tête	Tubercule de l'arc postérieur de l'atlas	Partie médiane de la ligne nucale inférieure	Nerf subocipital	Extenseur de la tête	Artère vertébrale, branche descendante de l'artère occipitale	Muscle subocipital
Petit rhomboïde	Ligament nucal, processus épineux des vertèbres C7 et T1	Bord médial de la scapula au niveau de l'épine de la scapula	Nerf dorsal de la scapula	Fixe la scapula contre la paroi thoracique, rétracte (adduction) et entraîne la rotation de la scapula de sorte à abaisser la cavité glénoïdale	Artère scapulaire dorsale ou branche profonde de l'artère cervicale transverse, branches perforantes des cinq à six premières artères intercostales postérieures	Muscle superficiel du dos
Rotateurs du rachis	Processus transverses des vertèbres des régions cervicale, thoracique et lombaire	Lame et processus transverse d'une vertèbre sus-jacente en enjambant un ou deux segments vertébraux	Rameaux dorsaux des nerfs spinaux	Stabilisent, étendent et entraînent une rotation du rachis	Branches dorsales des artères segmentaires	Muscles transverso-épineux (muscles profonds du dos)
Semi-épineux	Processus transverses des vertèbres C4-T12	Processus épineux des vertèbres des régions cervicale et thoracique	Rameaux dorsaux des nerfs spinaux	Étendent la tête, le cou et le thorax et entraîne leur rotation vers le côté opposé	Partie cervicale : artères occipitale, cervicale profonde et vertébrale Partie thoracique : branches dorsales des artères intercostales postérieures	Muscles transverso-épineux (muscles profonds du dos)
Splénius de la tête	Ligament nucal, processus épineux des vertèbres C7-T3	Processus mastoïde de l'os temporal, tiers latéral de la ligne nucale supérieure	Rameaux dorsaux des nerfs spinaux cervicaux moyens	Contraction bilatérale : extenseurs de la tête Contraction unilatérale : inclinaison latérale et rotation homolatérale de la tête	Branche descendante de l'artère occipitale, artère cervicale profonde	Muscle spino-transversaire (muscle profond du dos)
Splénius du cou	Processus épineux des vertèbres T3-T6	Processus transverse des vertèbres C1-C3	Rameaux dorsaux des nerfs spinaux cervicaux inférieurs	Contraction bilatérale : extenseurs du cou Contraction unilatérale : inclinaison latérale et rotation homolatérale du cou	Branche descendante de l'artère occipitale, artère cervicale profonde	Muscle spino-transversaire (muscle profond du dos)
Trapèze	Ligne nucale supérieure, protubérance occipitale externe, ligament nucal et processus épineux des vertèbres C7-T12	Tiers latéral de la clavicule, acromion, épine de la scapula	Nerf accessoire (nerf crânien XI)	Élève, rétracte (adduction) et entraîne une rotation de la scapula ; les fibres les plus inférieures abaissent cependant la scapula	Artère cervicale transverse, branches perforantes dorsales des artères intercostales postérieures	Muscle superficiel du dos



Section 3 THORAX

Anatomie de surface

Planche 178

Glande mammaire

Planches 179-182

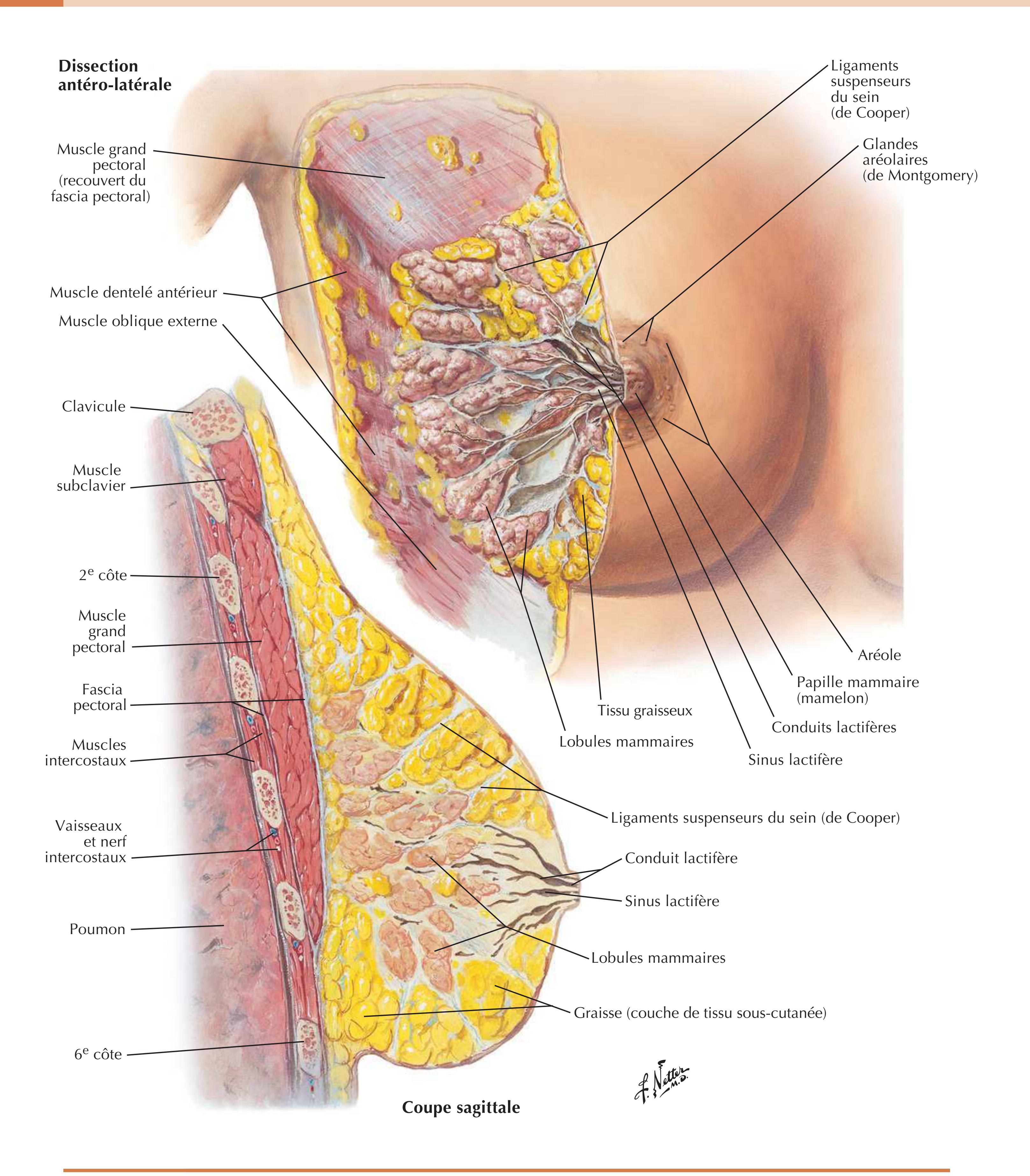
Paroi du corps

Planches 183-192

3 Thorax



Muscle sterno-cléido-mastoïdien
Chef sternal
Chef claviculaire
Clavicule
Incisure jugulaire
Muscle deltoïde
Corps du sternum
Mamelon
Veine céphalique
Muscle dentelé antérieur
Muscle biceps brachial
Muscle triceps brachial
Aisselle
Pli axillaire antérieur
Pli axillaire postérieur
Muscle grand pectoral
Chef claviculaire
Chef sternal
Muscle grand dorsal
Processus xiphoïde du sternum
Muscle dentelé antérieur
Ligne blanche
Muscle droit de l'abdomen
Intersection tendineuse
Muscle oblique externe
C.Machado M.D.

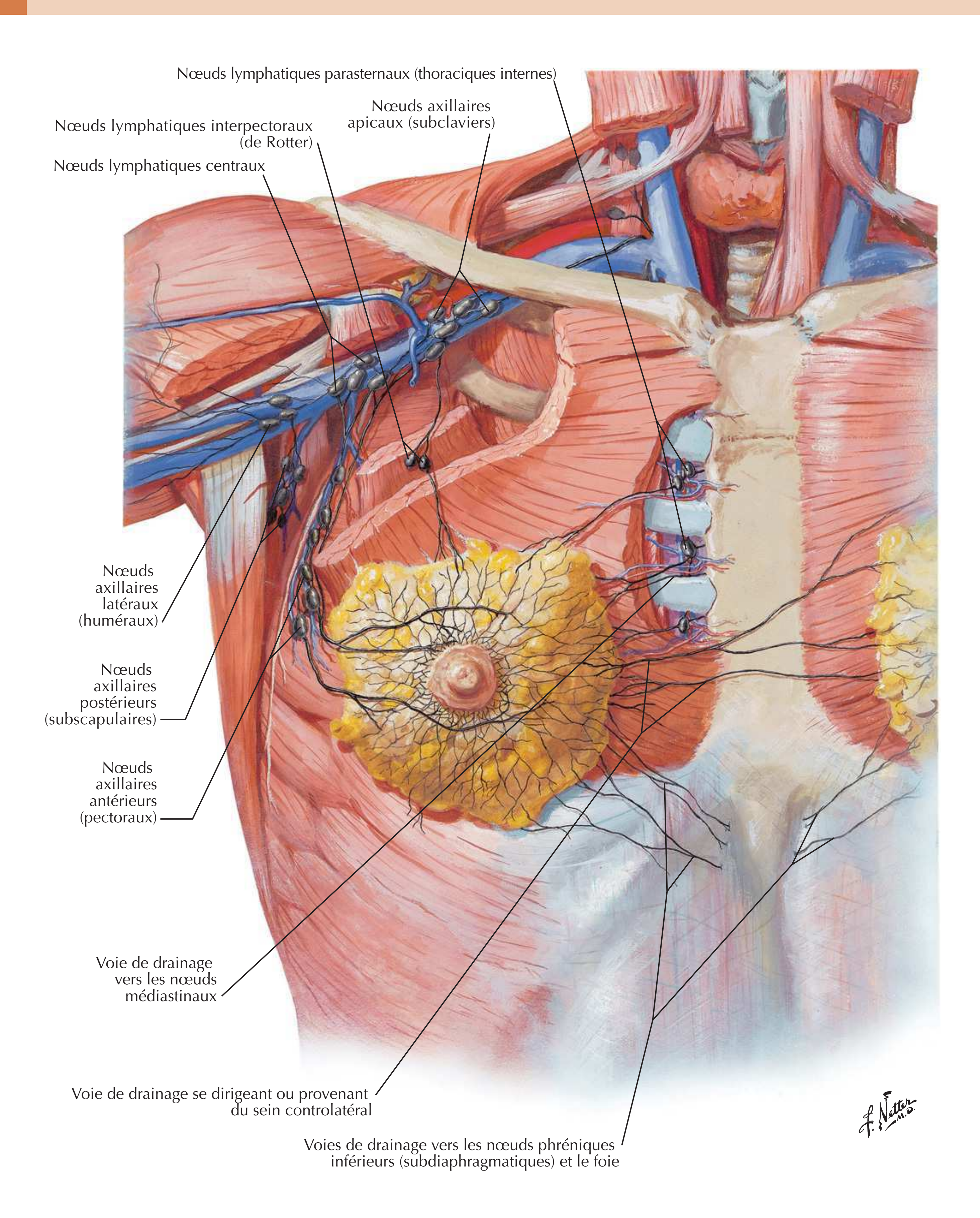

Dissection antéro-latérale
Muscle grand pectoral (recouvert du fascia pectoral)
Muscle dentelé antérieur
Muscle oblique externe
Ligaments suspenseurs du sein (de Cooper)
Glandes aréolaires (de Montgomery)
Aréole
Papille mammaire (mamelon)
Conduits lactifères
Sinus lactifère
Tissu graisseux
Lobules mammaires
Clavicule
Muscle subclavier
2e côte
Muscle grand pectoral
Fascia pectoral
Muscles intercostaux
Vaisseaux et nerf intercostaux
Poumon
6e côte
Ligaments suspenseurs du sein (de Cooper)
Conduit lactifère
Sinus lactifère
Lobules mammaires
Graisse (couche de tissu sous-cutanée)
Coupe sagittale
F. Netter M.D.



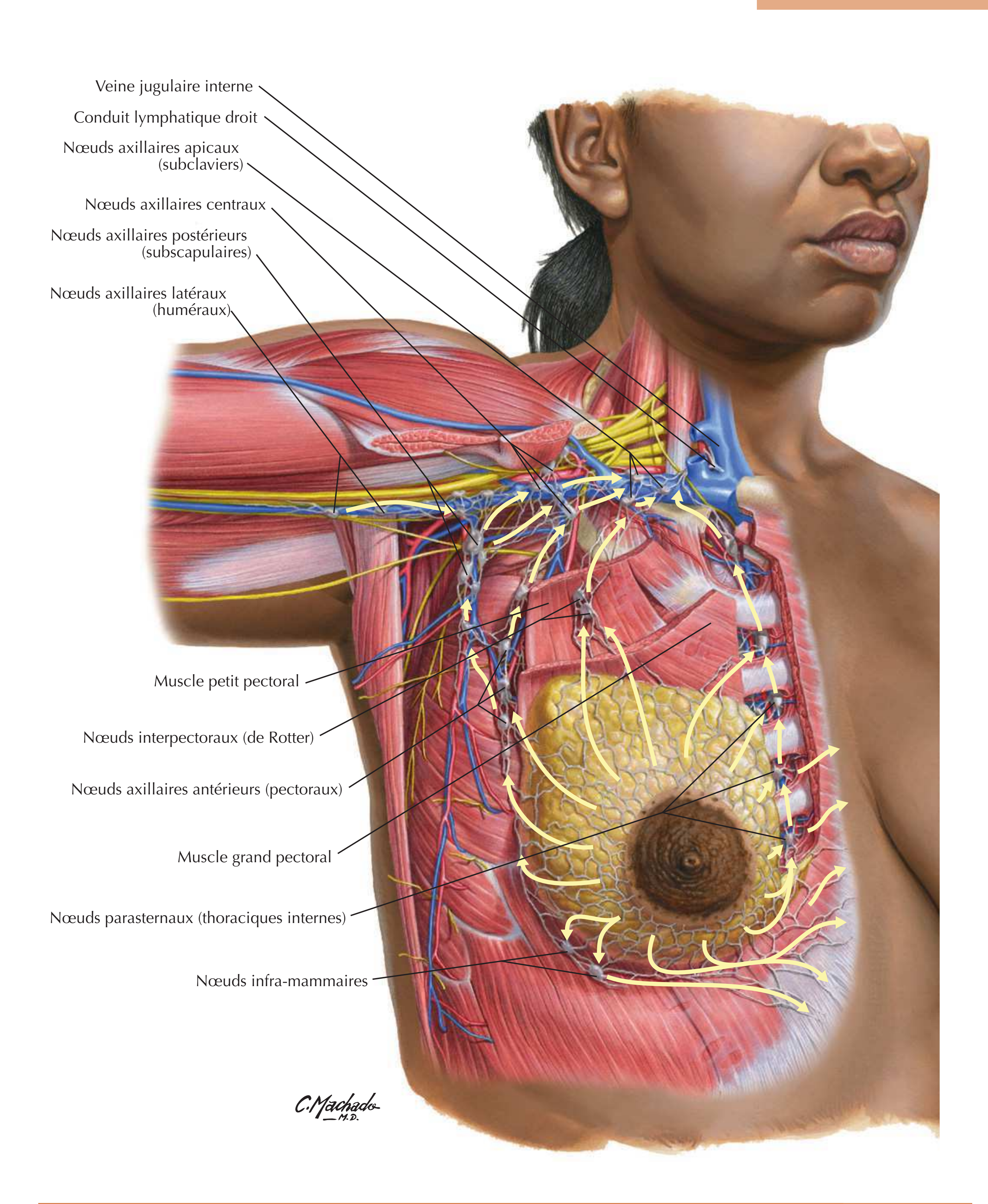
Artères de la glande mammaire

Artère subclavière
Artère thoracique interne
et ses branches perforantes
Rameaux mammaires médiaux
Artère axillaire
Plexus brachial
Artère brachiale
Nerf thoracique long
Artère thoracique
latérale
et
Rameaux mammaires
latéraux
Processus axillaire
(de Spence)
Rameaux mammaires
latéraux (branches
cutanées latérales
des artères
intercostales)

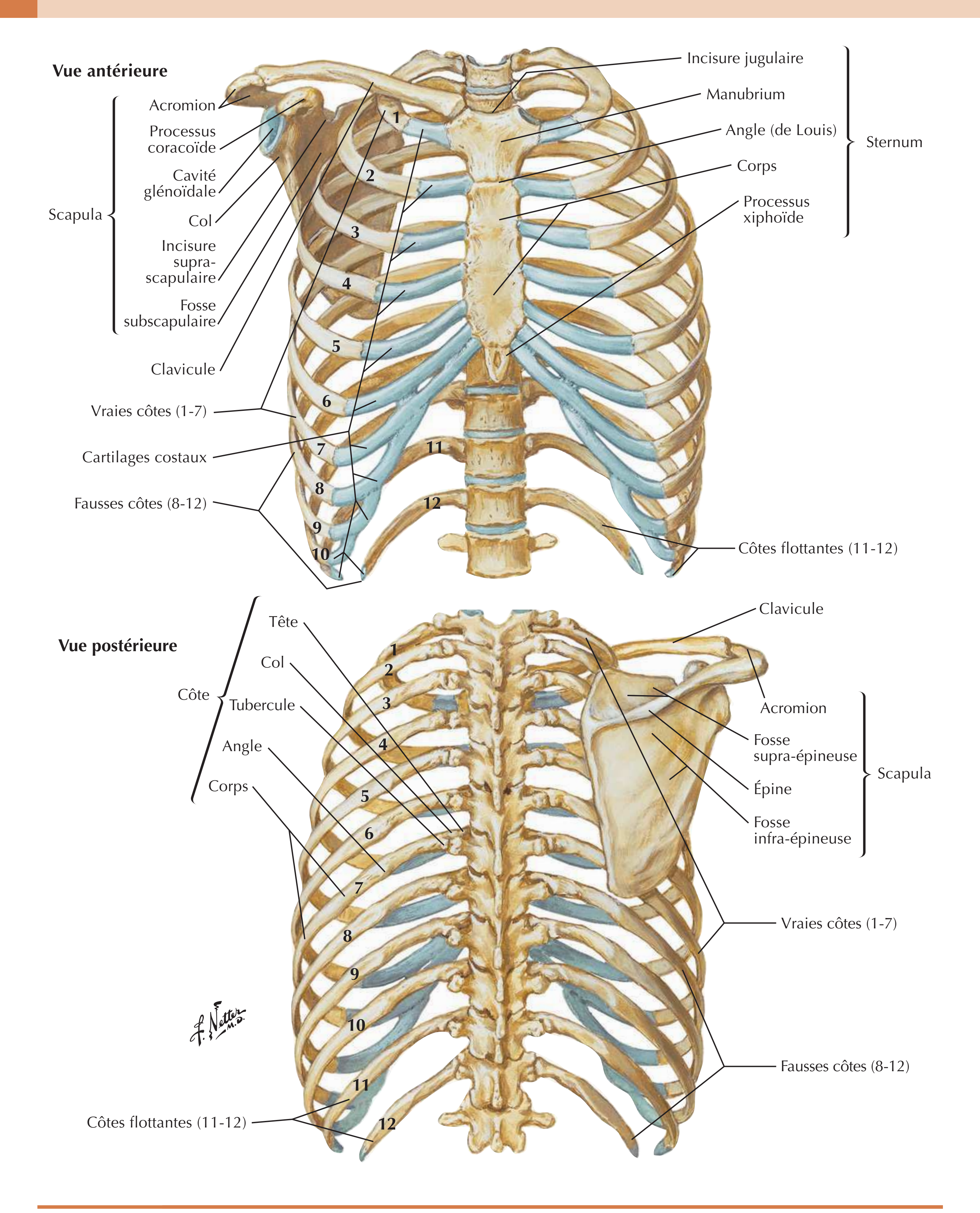
Vaisseaux et nœuds lymphatiques de la glande mammaire

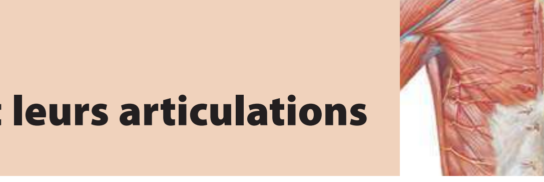


Voir aussi **Planche 181**



Os de la cage thoracique





Côtes et leurs articulations

Articulations sterno-costales : vue antérieure

Clavicule
Manubrium
Ligament interclaviculaire
Disque articulaire
Ligament costo-claviculaire
Côte
1
Articulation manubrio-sternale
Cavité articulaire
Ligament sterno-costal intra-articulaire
2
Cartilages costaux
Cavités articulaires
3
Articulations chondro-costales
4
Ligaments radiés sterno-costaux
Cartilages costaux
5
Articulations interchondrales
6
7
8
Processus xiphoïde
Ligament costo-xiphoïdien

6e côte : vue postérieure

Tubercule
Tête
Col
Angle
Surface articulaire pour le processus transverse de la vertèbre
Supérieure
Inférieure
Surfaces articulaires pour le corps vertébral
Sillon costal

Note : la tête d'une côte type s'articule avec la fossette costale supérieure de la vertèbre thoracique de même numéro (par sa surface articulaire inférieure), avec la fossette costale inférieure de la vertèbre sus-jacente (par sa surface articulaire supérieure) et avec le disque intervertébral séparant les deux vertèbres. Le tubercule costal s'articule avec le processus transverse de la vertèbre de même numéro.

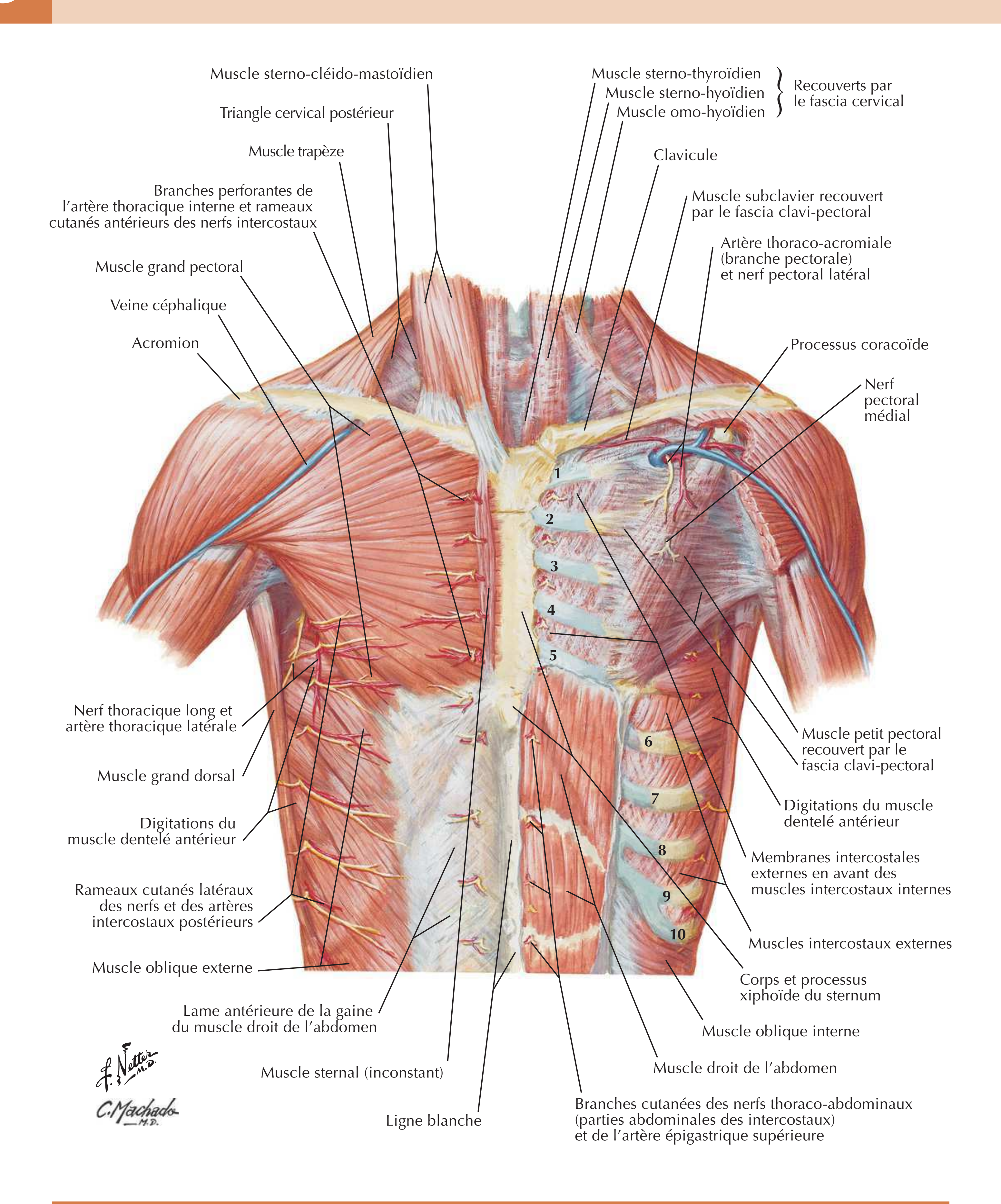
Vue latérale gauche

Ligament longitudinal antérieur
Fossette costale inférieure (pour la tête de la côte de numéro immédiatement supérieur)
Ligament intra-articulaire de la tête costale
Fossette costale supérieure (pour la tête costale de même numéro)
Ligament radié de la tête costale
Fossette costale du processus transverse (pour le tubercule de la côte de même numéro que la vertèbre)
Ligament costo-transversaire latéral
Ligament intertransversaire
Ligament costo-transversaire supérieur

Vue postéro-latérale droite

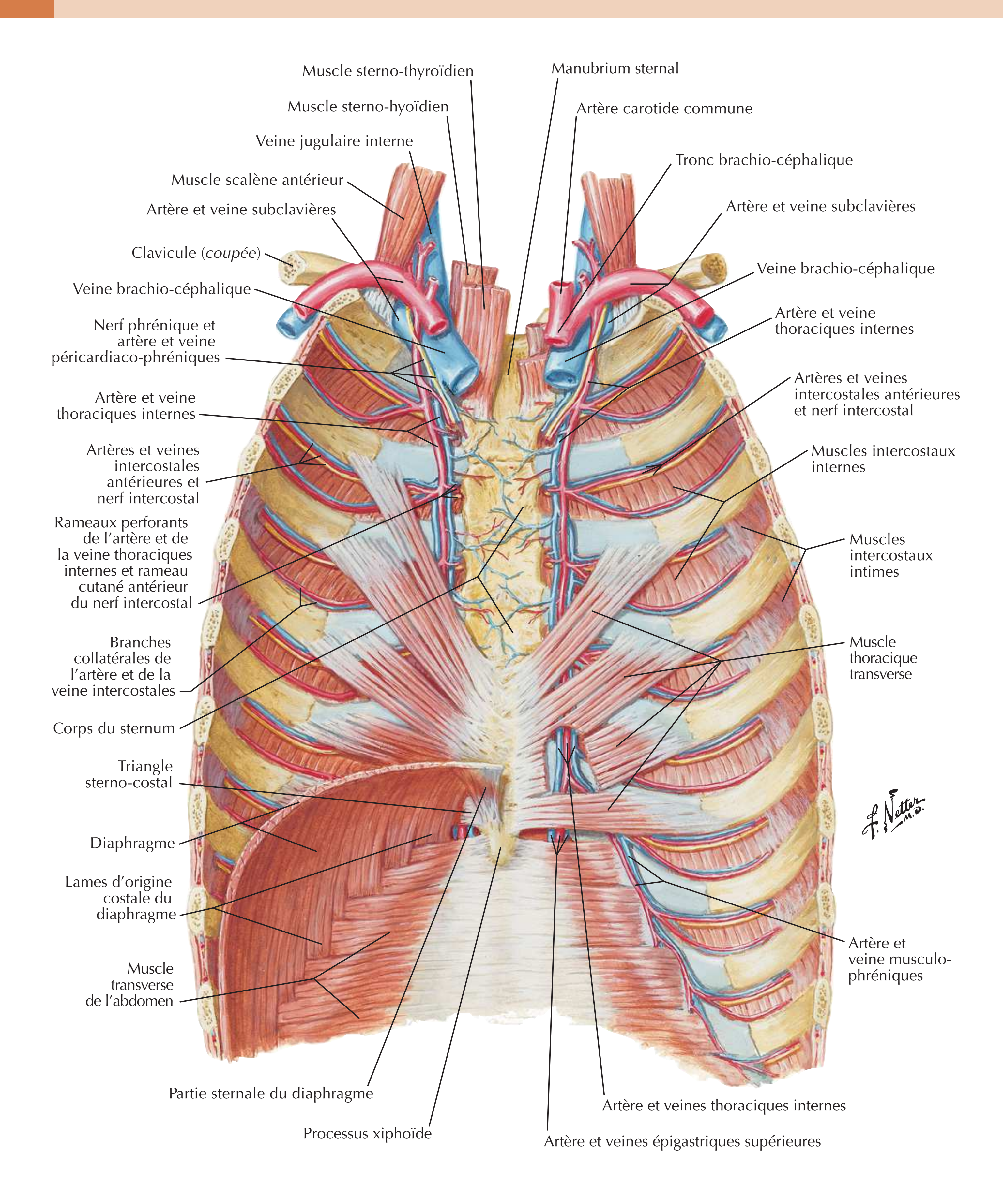
Processus transverse (*réséqué*)
Fossette costale supérieure (pour la tête de la côte de même numéro)
Ligament radié de la tête costale
Ligament costo-transversaire inter-osseux
Ligament costo-transversaire latéral
Ligament costo-transversaire supérieur
Ligament intertransversaire

Paroi thoracique antérieure





Paroi thoracique antérieure (suite)



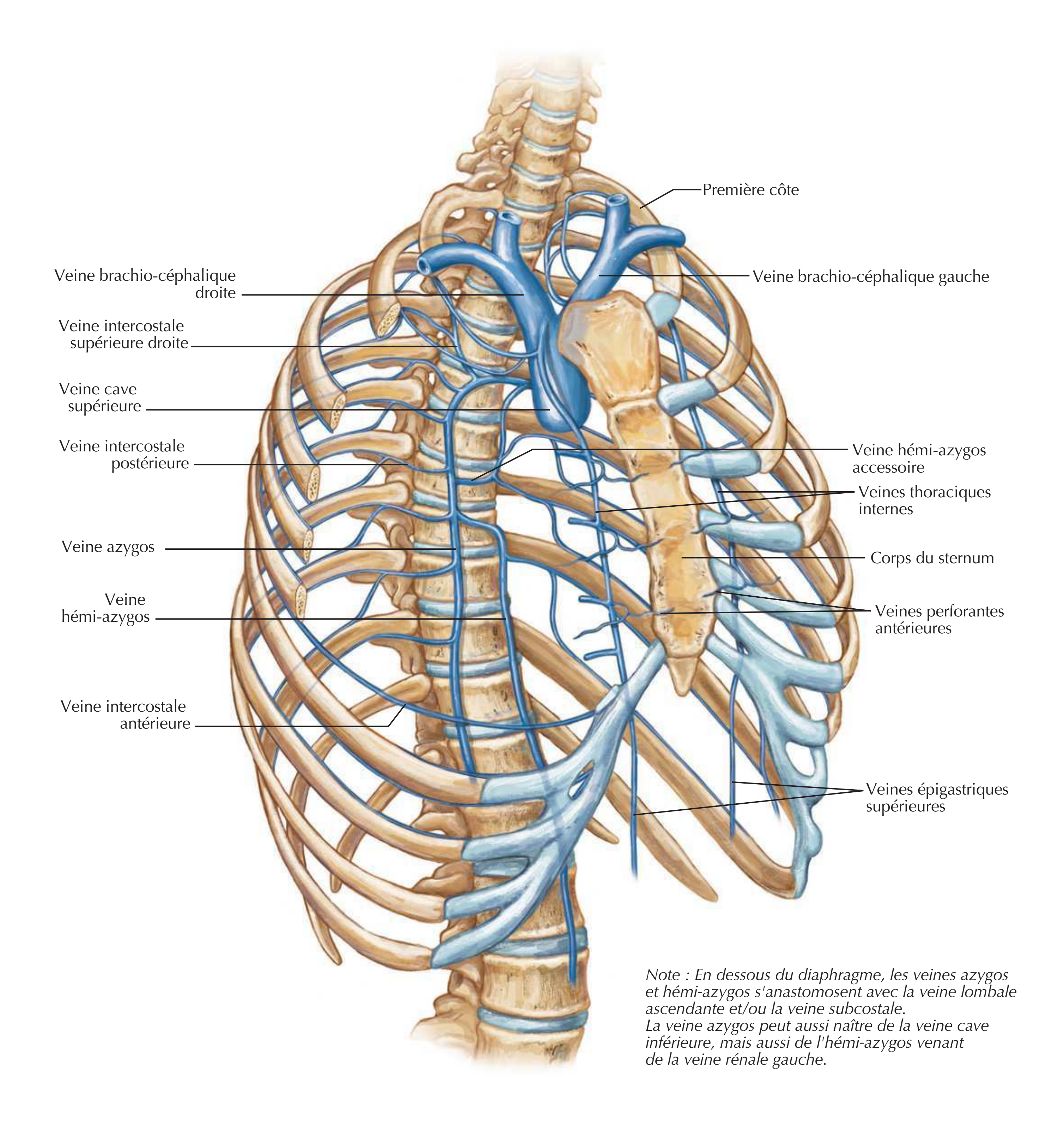
Muscle sterno-thyroïdien
Manubrium sternal
Muscle sterno-hyoïdien
Artère carotide commune
Veine jugulaire interne
Tronc brachio-céphalique
Muscle scalène antérieur
Artère et veine subclavières
Artère et veine subclavières
Clavicule (*coupée*)
Veine brachio-céphalique
Veine brachio-céphalique
Artère et veine thoraciques internes
Nerf phrénique et artère et veine péricardiaco-phréniques
Artères et veines intercostales antérieures et nerf intercostal
Artère et veine thoraciques internes
Muscles intercostaux internes
Artères et veines intercostales antérieures et nerf intercostal
Rameaux perforants de l'artère et de la veine thoraciques internes et rameau cutané antérieur du nerf intercostal
Muscles intercostaux intimes
Branches collatérales de l'artère et de la veine intercostales
Muscle thoracique transverse
Corps du sternum
Triangle sterno-costal
Diaphragme
Lames d'origine costale du diaphragme
Artère et veine musculo-phréniques
Muscle transverse de l'abdomen
F. Netter M.D.
Partie sternale du diaphragme
Artère et veines thoraciques internes
Processus xiphoïde
Artère et veines épigastriques supérieures

Nerfs et artères intercostaux

Voir aussi **Planches 254, 262**

Veines de la paroi thoracique interne

Voir aussi **Planches 187, 227, 252**



Note : En dessous du diaphragme, les veines azygos et hémi-azygos s'anastomosent avec la veine lombale ascendante et/ou la veine subcostale. La veine azygos peut aussi naître de la veine cave inférieure, mais aussi de l'hémi-azygos venant de la veine rénale gauche.



Nerf phrénique

Voir aussi **Planches 32, 76**

Rameaux ventraux { C3 C4 C5

C3 C4 C5 } Rameaux ventraux

Muscle scalène antérieur

Artère carotide commune droite

Plexus brachial

Nerf phrénique droit

Artère axillaire droite

Nerf vague droit (X)

Artère thoracique interne droite (*coupée*)

Tronc brachio-céphalique

Artère péricardiaco-phrénique droite (*coupée*)

Veine cave supérieure

Racine du poumon droit

Branche péricardique du nerf phrénique

Partie médiastinale de la plèvre pariétale

Partie diaphragmatique de la plèvre pariétale (*coupée*)

Muscle scalène antérieur

Nerf laryngé récurrent gauche

Nerf phrénique gauche

Artère axillaire gauche

Nerf vague gauche (X)

Artère carotide commune gauche

Artère thoracique interne gauche (*coupée*)

Nerfs cardiaques thoraciques

Artère péricardiaco-phrénique gauche (*coupée*)

Nerf laryngé récurrent gauche

Racine du poumon gauche

Partie médiastinale de la plèvre pariétale

Partie costale de la plèvre pariétale

Branches phrénico-abdominales des nerfs phréniques vers la face inférieure du diaphragme

Nerfs phréniques (fibres efférentes et afférentes)

Nerfs intercostaux inférieurs (afférents seulement de la partie périphérique du diaphragme)

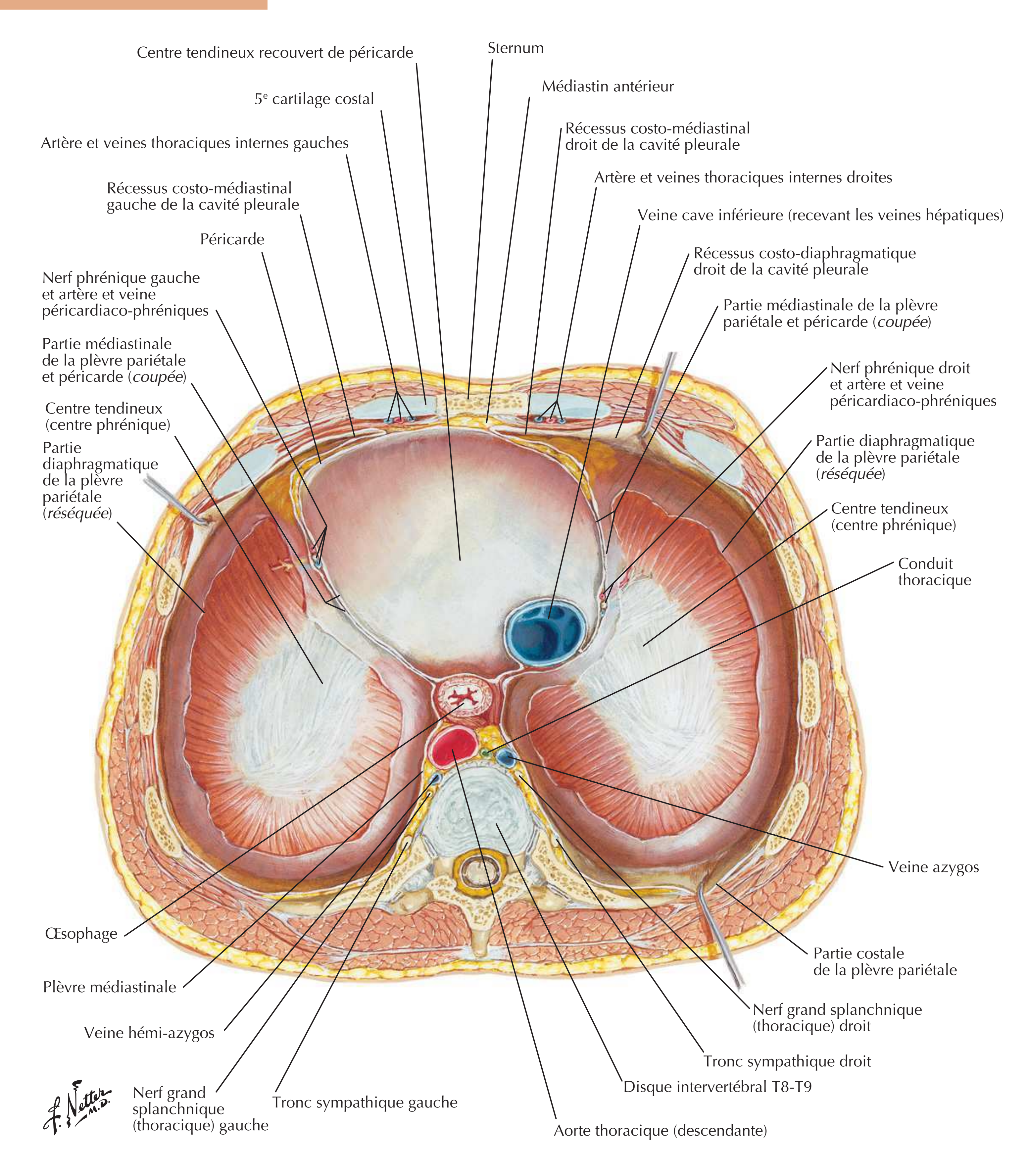
efférent

afférent

F. Netter M.D.

Diaphragme : face thoracique

Voir aussi **Planche 229**





Diaphragme : face abdominale

Voir aussi **Planches 258, 259**

Partie sternale du diaphragme
Branche antérieure du nerf phrénique droit
Artère phrénique inférieure droite
Foramen de la veine cave
Pilier droit du diaphragme
Nerf grand splanchnique (thoracique)
Nerf petit splanchnique (thoracique)
Ganglion phrénique
Nerf splanchnique imus (thoracique)
Partie costale du diaphragme

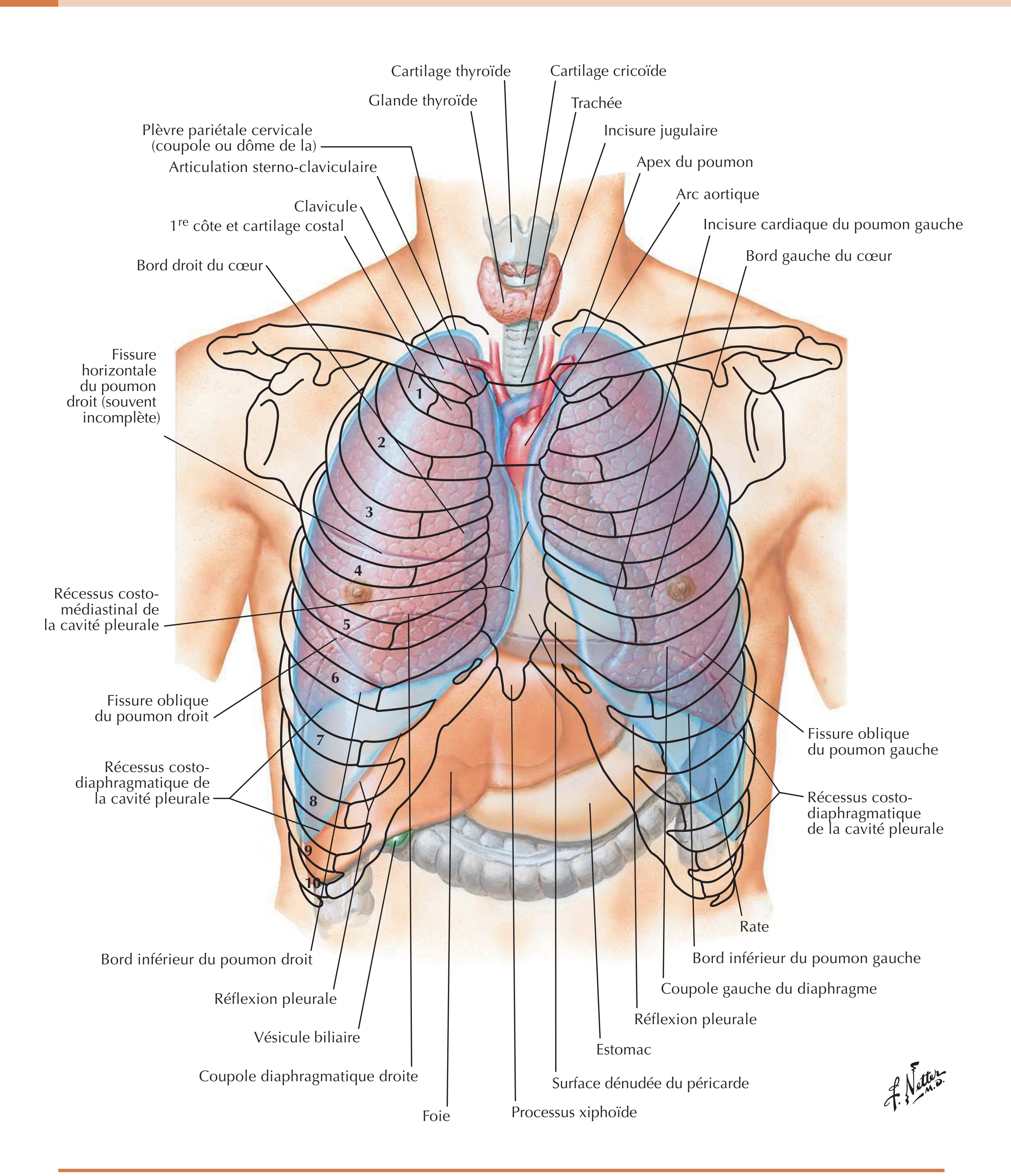
Branche antérieure du nerf phrénique gauche
Partie costale du diaphragme
Centre tendineux du diaphragme
Hiatus œsophagien
Fibres du pilier droit cernant à gauche le hiatus œsophagien
Artère phrénique inférieure gauche
Branche récurrente destinée à l'œsophage
Branche antérieure
Branche latérale
Artère surrénale supérieure gauche
Nerf phrénique gauche
Pilier gauche du diaphragme

L1
L2
L3
L4

Triangle lombo-costal
12e côte
Ligament arqué latéral
Partie lombale du diaphragme
Ligament arqué médial
Processus transverse de la vertèbre L1
Ligament arqué médian
Aorte abdominale
Hiatus aortique
Tronc cœliaque
Tronc sympathique
Muscle grand psoas
Muscle carré des lombes

F. Netter M.D.
C. Machado M.D.

Topographie des poumons : vue antérieure





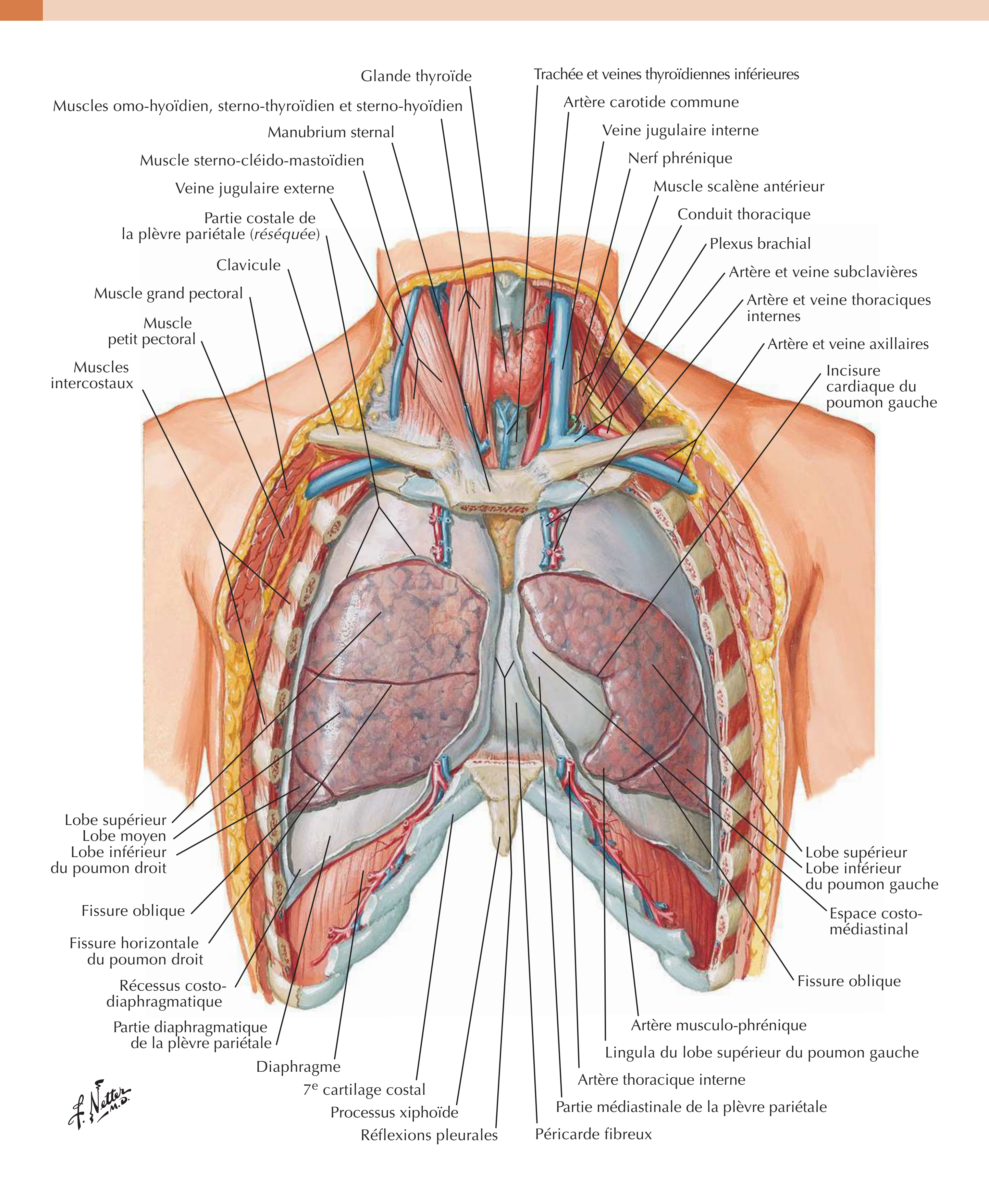
Topographie des poumons : vue postérieure

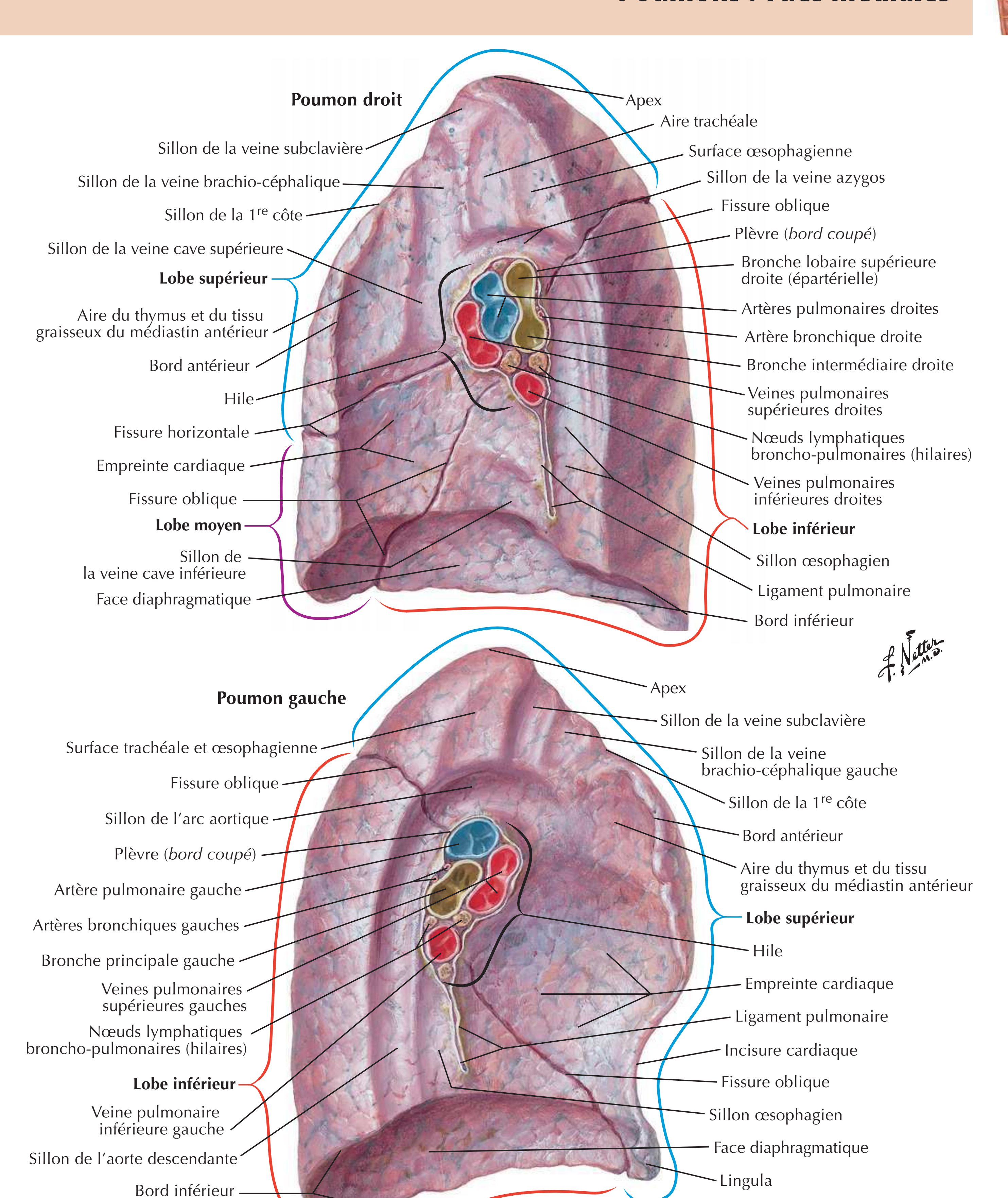
Processus épineux de la vertèbre T1
Apex du poumon gauche
1re côte
Fissure oblique du poumon gauche
Épine de la scapula
Bord gauche de la plèvre pariétale costale
Récessus costo-diaphragmatique de la cavité pleurale
Rate
Réflexion pleurale
Bord inférieur du poumon gauche
Rein gauche
Coupole diaphragmatique gauche
Glande surrénale gauche

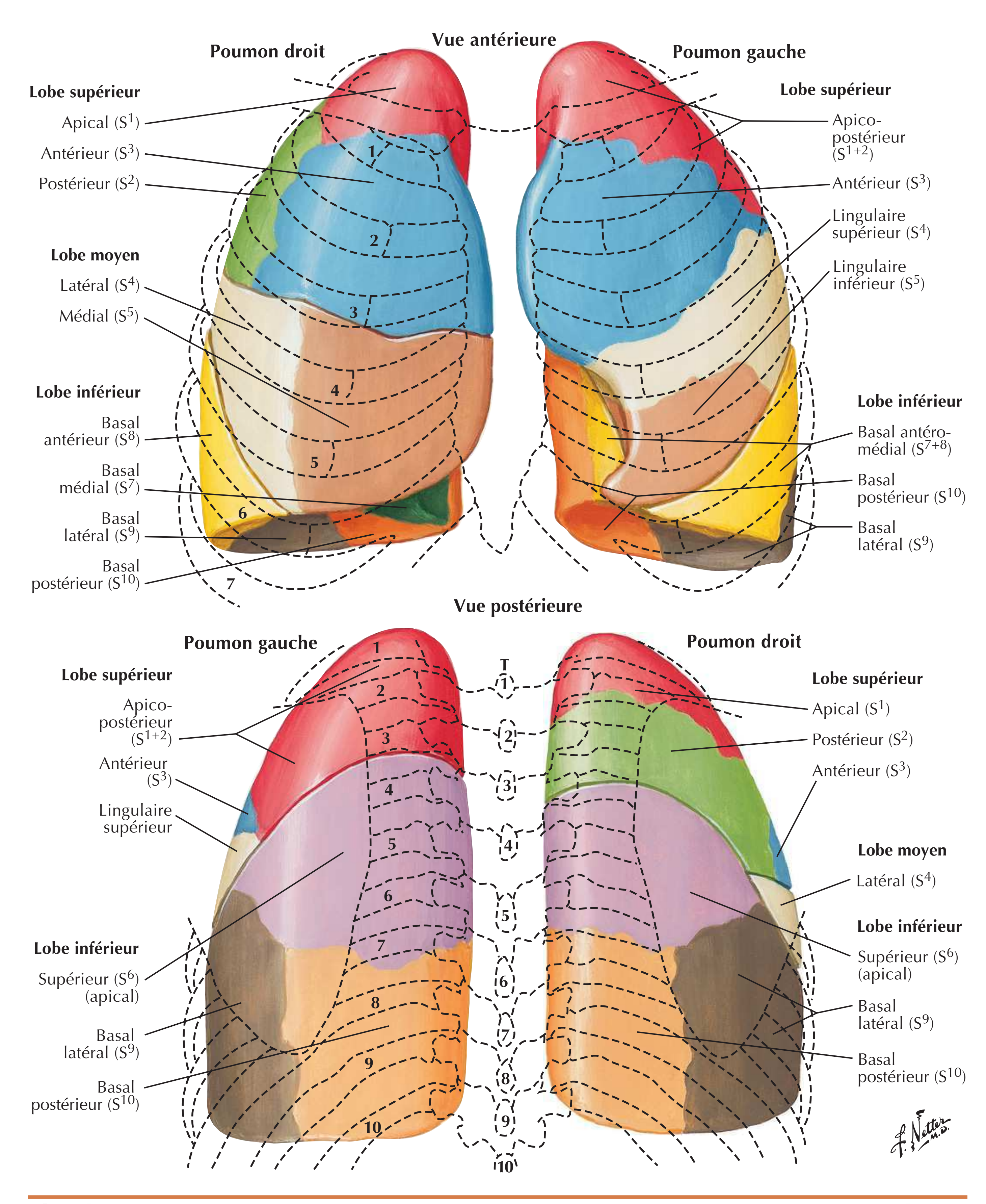
Plèvre pariétale cervicale (coupole ou dôme de la)
Fissure oblique du poumon droit
Clavicule
Fissure horizontale du poumon droit
Bord droit de la plèvre pariétale costale
Récessus costo-diaphragmatique de la cavité pleurale
Foie
Réflexion pleurale
Bord inférieur du poumon droit
Rein droit
Coupole diaphragmatique droite
Glande surrénale droite

F. Netter M.D.

Poumons *in situ* : vue antérieure



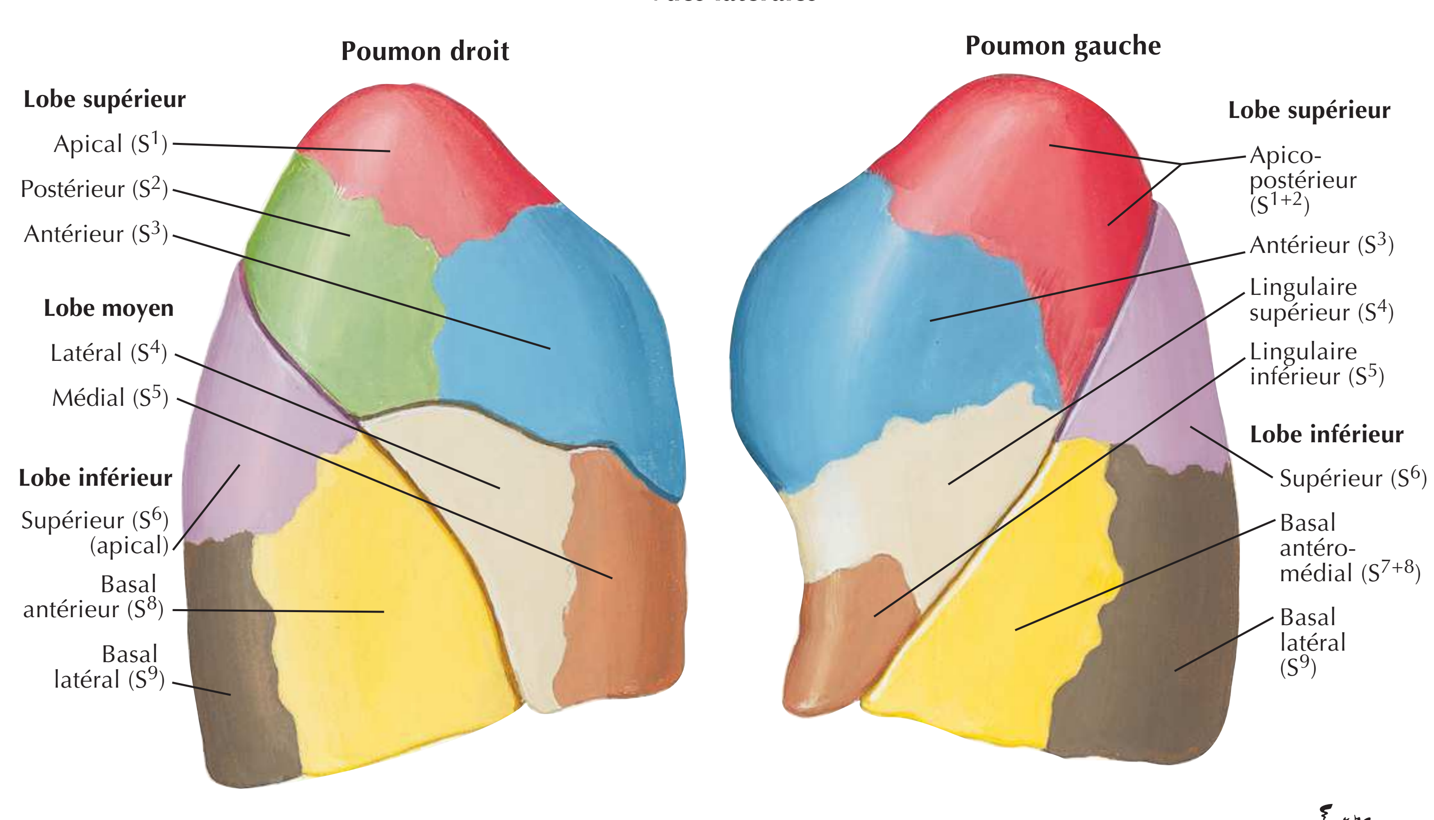

Poumon droit
Apex
Aire trachéale
Surface œsophagienne
Sillon de la veine azygos
Fissure oblique
Plèvre (*bord coupé*)
Bronche lobaire supérieure droite (épartérielle)
Artères pulmonaires droites
Artère bronchique droite
Bronche intermédiaire droite
Veines pulmonaires supérieures droites
Nœuds lymphatiques broncho-pulmonaires (hilaires)
Veines pulmonaires inférieures droites
Lobe inférieur
Sillon œsophagien
Ligament pulmonaire
Bord inférieur
Sillon de la veine subclavière
Sillon de la veine brachio-céphalique
Sillon de la 1re côte
Sillon de la veine cave supérieure
Lobe supérieur
Aire du thymus et du tissu graisseux du médiastin antérieur
Bord antérieur
Hile
Fissure horizontale
Empreinte cardiaque
Fissure oblique
Lobe moyen
Sillon de la veine cave inférieure
Face diaphragmatique
Poumon gauche
Apex
Sillon de la veine subclavière
Sillon de la veine brachio-céphalique gauche
Sillon de la 1re côte
Bord antérieur
Aire du thymus et du tissu graisseux du médiastin antérieur
Lobe supérieur
Hile
Empreinte cardiaque
Ligament pulmonaire
Incisure cardiaque
Fissure oblique
Sillon œsophagien
Face diaphragmatique
Lingula
Surface trachéale et œsophagienne
Fissure oblique
Sillon de l'arc aortique
Plèvre (*bord coupé*)
Artère pulmonaire gauche
Artères bronchiques gauches
Bronche principale gauche
Veines pulmonaires supérieures gauches
Nœuds lymphatiques broncho-pulmonaires (hilaires)
Lobe inférieur
Veine pulmonaire inférieure gauche
Sillon de l'aorte descendante
Bord inférieur
F. Netter M.D.


Vue antérieure
Poumon droit
Lobe supérieur
Apical (S1)
Antérieur (S3)
Postérieur (S2)
Lobe moyen
Latéral (S4)
Médial (S5)
Lobe inférieur
Basal antérieur (S8)
Basal médial (S7)
Basal latéral (S9)
Basal postérieur (S10)
Poumon gauche
Lobe supérieur
Apico-postérieur (S1+2)
Antérieur (S3)
Lingulaire supérieur (S4)
Lingulaire inférieur (S5)
Lobe inférieur
Basal antéro-médial (S7+8)
Basal postérieur (S10)
Basal latéral (S9)
Vue postérieure
Poumon gauche
Lobe supérieur
Apico-postérieur (S1+2)
Antérieur (S3)
Lingulaire supérieur
Lobe inférieur
Supérieur (S6) (apical)
Basal latéral (S9)
Basal postérieur (S10)
Poumon droit
Lobe supérieur
Apical (S1)
Postérieur (S2)
Antérieur (S3)
Lobe moyen
Latéral (S4)
Lobe inférieur
Supérieur (S6) (apical)
Basal latéral (S9)
Basal postérieur (S10)
T
F. Netter M.D.

Segments broncho-pulmonaires (suite)



Vues latérales



Vues médiales

Poumon droit

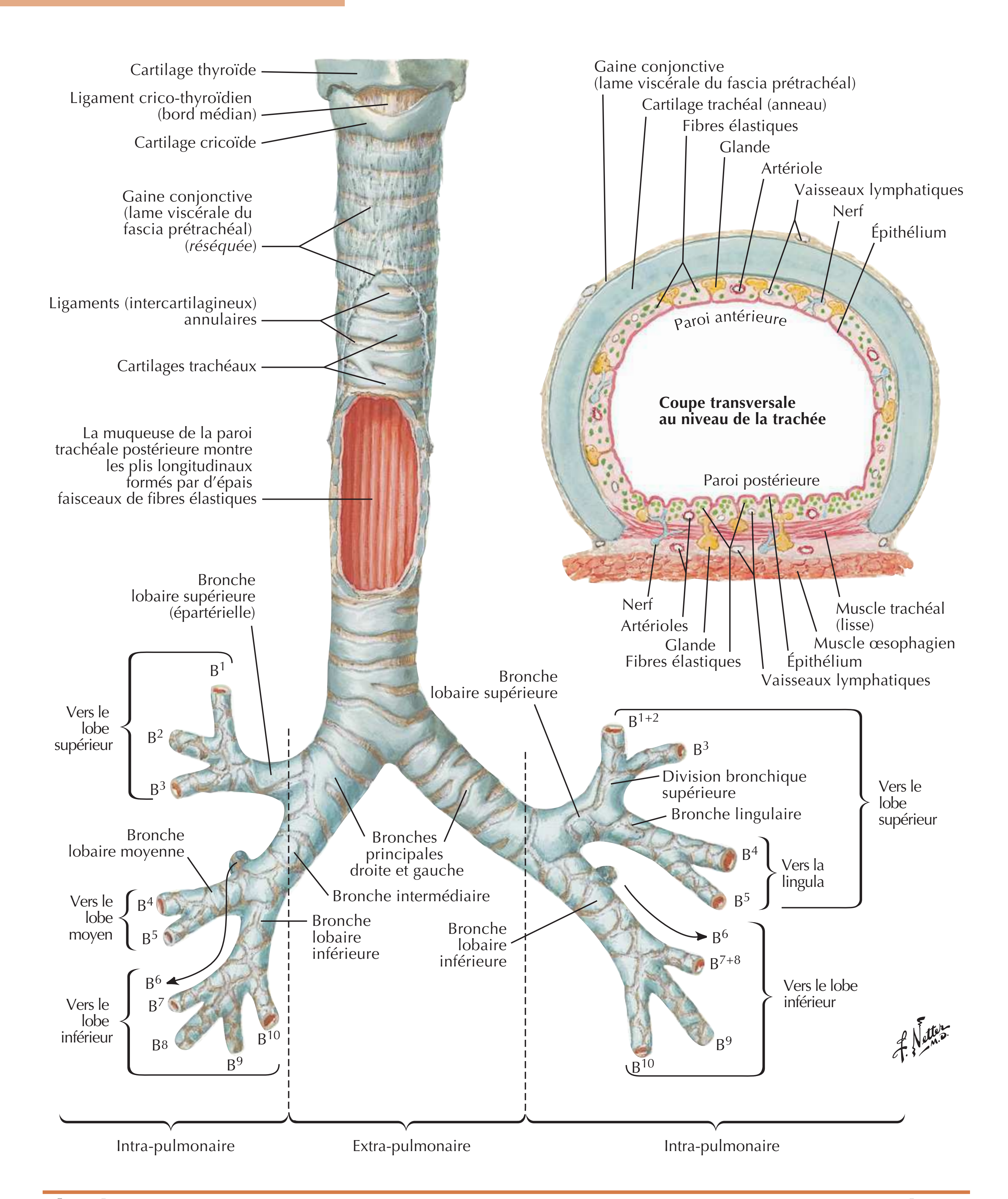
Lobe supérieur
Apical (S^1)
Postérieur (S^2)
Antérieur (S^3)
Lobe moyen
Médial (S^5)
Lobe inférieur
Supérieur (S^6) (apical)
Basal médial (S^7) (cardiaque)
Basal antérieur (S^8)
Basal latéral (S^9)
Basal postérieur (S^{10})

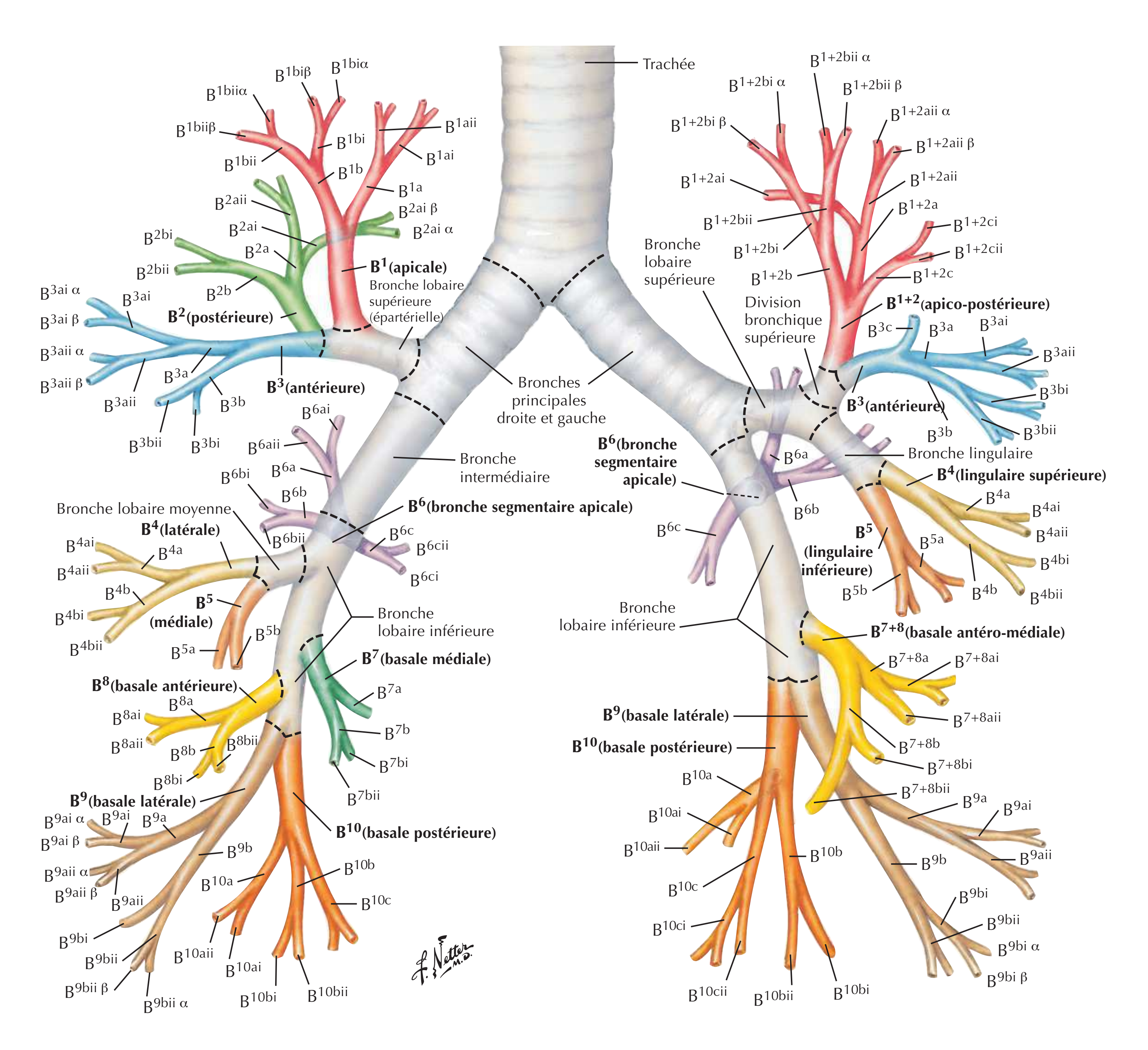
Poumon gauche

Lobe supérieur
Apico-postérieur (S^{1+2})
Antérieur (S^3)
Lingulaire supérieur (S^4)
Lingulaire inférieur (S^5)
Lobe inférieur
Supérieur (S^6) (apical)
Basal antéro-médial (S^{7+8})
Basal latéral (S^9)
Basal postérieur (S^{10})

Trachée et bronches principales

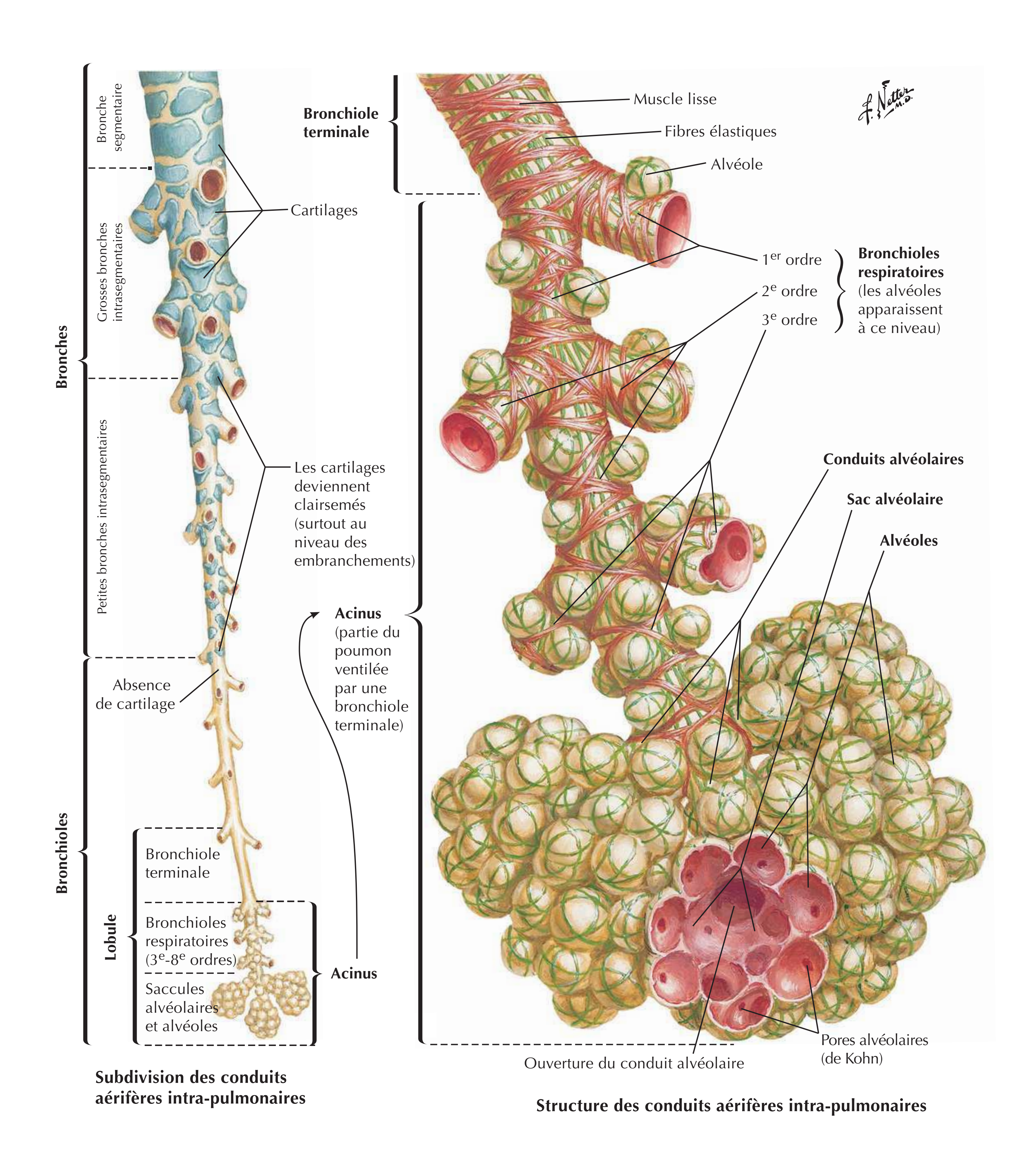
Voir aussi **Planches 70, 204, 207**





La nomenclature habituelle des segments pulmonaires (planches 197 et 198) est celle de Jackson et Huber, et les bronches segmentaires suivent cette nomenclature. Ikeda a proposé une nomenclature (voir cette planche) semblable jusqu'à la 6e subdivision bronchique. Pour simplifier, sur ce dessin, ne sont représentées que les bronches de la 5e ou de la 6e génération. Les bronches segmentaires (B) sont numérotées de 1 à 10 sur chaque poumon, correspondant aux segments pulmonaires. Sur le poumon gauche, B^{1} et B^{2} sont associées à B^{7} et B^{8}. Les sous-segments, ou de 4e ordre, sont indiqués par addition des lettres a, b ou c pour chaque branche supplémentaire. Les bronches de 5e ordre sont désignées par les lettres i (antérieur) ou ii (postérieur), et celles de 6e ordre par les lettres grecques α ou β. De nombreux textes utilisent plutôt des chiffres (comme le propose Boyden) pour les bronches segmentaires. Les variations du modèle bronchique type montré ici sont communes, surtout dans les voies aériennes périphériques.

Voies aérifères intra-pulmonaires : schéma



Subdivision des conduits aérifères intra-pulmonaires

Structure des conduits aérifères intra-pulmonaires



Circulation sanguine intra-pulmonaire : schéma

Bronchiole terminale

Artère bronchique (venant du cœur gauche *via* l'aorte thoracique)

Veine pulmonaire (destinée au cœur gauche)

Artère pulmonaire (venant du cœur droit)

Bronchioles respiratoires

Plexus capillaires dans la paroi alvéolaire

Veine pulmonaire (destinée au cœur gauche)

Septum

Septum

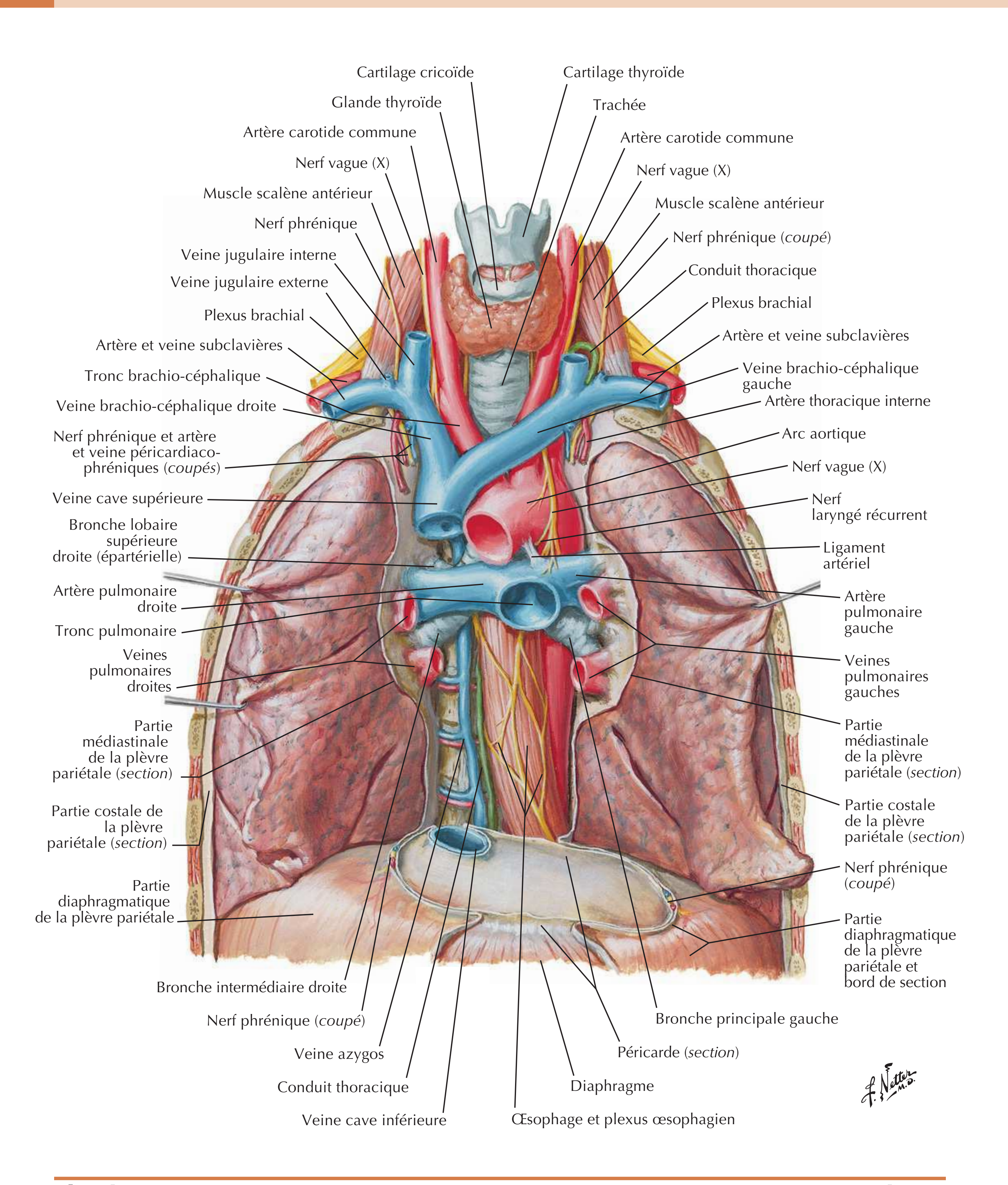
Plèvre viscérale et capillaires sous-pleuraux

Plexus capillaire dans la paroi alvéolaire (*ôté par endroits*)

F. Netter M.D.

Note : Les artères pulmonaires et leurs branches se distribuent segmentairement avec les bronches. Les veines pulmonaires et leurs affluents ont un drainage intersegmentaire.

Gros vaisseaux du médiastin supérieur

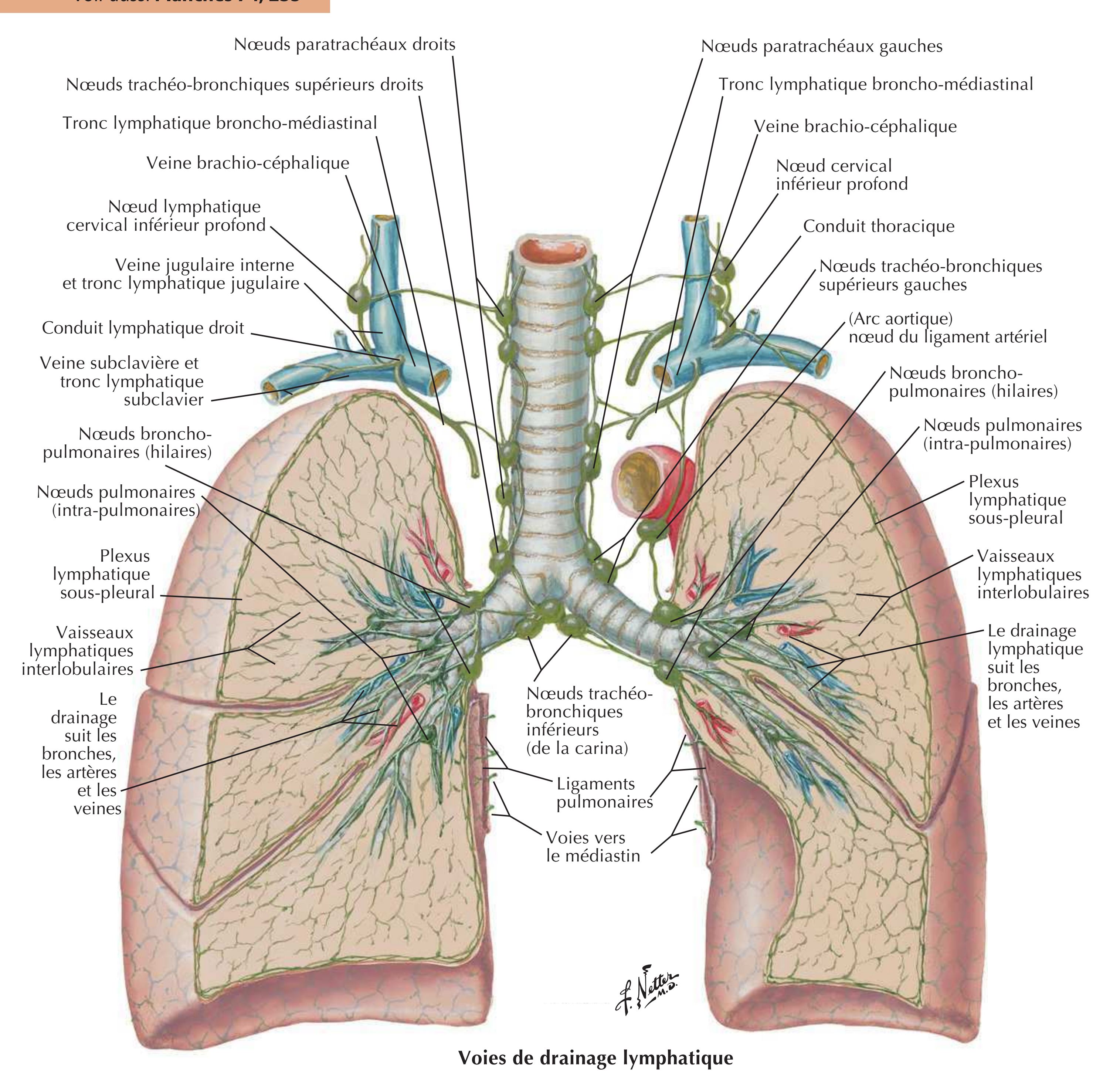




Œsophage
Trachée
(*tirée à gauche par une érigne*)
3e artère
intercostale postérieure droite
Artère bronchique droite
Bronche principale droite
Bronche principale gauche
(*tirée à droite par une érigne*)
Artère œsophagienne
Artère bronchique
supérieure gauche
Aorte
(*réclinée par une érigne*)
Artère bronchique
inférieure gauche
Branche œsophagienne
de l'artère bronchique
Veine azygos
Veine bronchique droite
Bronche principale droite
(*réclinée à gauche avec une torsion à l'aide d'une érigne*)
Bronche principale gauche
(*soulevée par une érigne*)
Veine bronchique gauche
Veine hémi-azygos accessoire

Vaisseaux et nœuds lymphatiques du poumon

Voir aussi **Planches 74, 235**



Voies de drainage lymphatique

Poumon droit : tous les lobes se drainent dans les nœuds intra-pulmonaires et broncho-pulmonaires (hilaires), puis dans les nœuds trachéo-bronchiques inférieurs (de la carina), les nœuds trachéo-bronchiques supérieurs droits et les nœuds paratrachéaux droits, sur le trajet de la veine brachio-céphalique *via* le tronc lymphatique broncho-médiastinal et/ou le nœud cervical profond inférieur (scalène).

Poumon gauche : Le lobe supérieur se draine dans les nœuds pulmonaires et broncho-pulmonaires (hilaires), les nœuds trachéo-bronchiques inférieurs de la carina, les nœuds trachéo-bronchiques supérieurs gauches, les nœuds paratrachéaux gauches et/ou (arc aortique) le nœud du ligament artériel, puis dans la veine brachio-céphalique *via* le tronc broncho-médiastinal gauche et le conduit thoracique. Le lobe inférieur gauche se draine aussi dans les nœuds pulmonaires et broncho-pulmonaires (hilaires) et vers les nœuds trachéo-bronchiques inférieurs (de la carina), mais ensuite, souvent dans les nœuds trachéo-bronchiques supérieurs droits, où il suit la même voie que la lymphe issue du poumon droit.



Nerfs autonomes dans le thorax

Ganglion cervico-thoracique (stellaire)

Anse subclavière

Nerfs cardiaques cervicaux (sympathique et vagal)

Nerfs cardiaques thoraciques (sympathiques)

Tronc sympathique

Nerf vague (X) (*coupé*) et ses rameaux destinés aux plexus cardiaques et pulmonaires

Nerfs cardiaques thoraciques (sympathiques)

Plexus pulmonaire antérieur

Plexus pulmonaire postérieur (émergeant de la face postérieure de la bronche droite)

6ᵉ nerf intercostal

Rameaux communicants gris et blanc

6ᵉ ganglion thoracique sympathique

Nerf grand splanchnique (thoracique)

Rameau sympathique pour le plexus œsophagien

Conduit thoracique

Nerf petit splanchnique (thoracique)

Nerf splanchnique imus (thoracique)

Veine azygos (*coupée*)

Veine cave inférieure (*coupée*)

Nerf laryngé récurrent gauche

Nerfs cardiaques cervicaux (sympathique et vagal)

Nerf vague (X) (*coupé*)

Nerfs cardiaques thoraciques (sympathiques)

Nerf laryngé récurrent gauche

Rameau cardiaque thoracique du nerf vague

Plexus cardiaque

Plexus pulmonaire antérieur

Plexus pulmonaire postérieur (émergeant de la face postérieure de la bronche gauche)

Tronc sympathique

Plexus aortique thoracique

Plexus œsophagien

8ᵉ nerf intercostal

Rameaux communicants gris et blanc

Nerf grand splanchnique (thoracique)

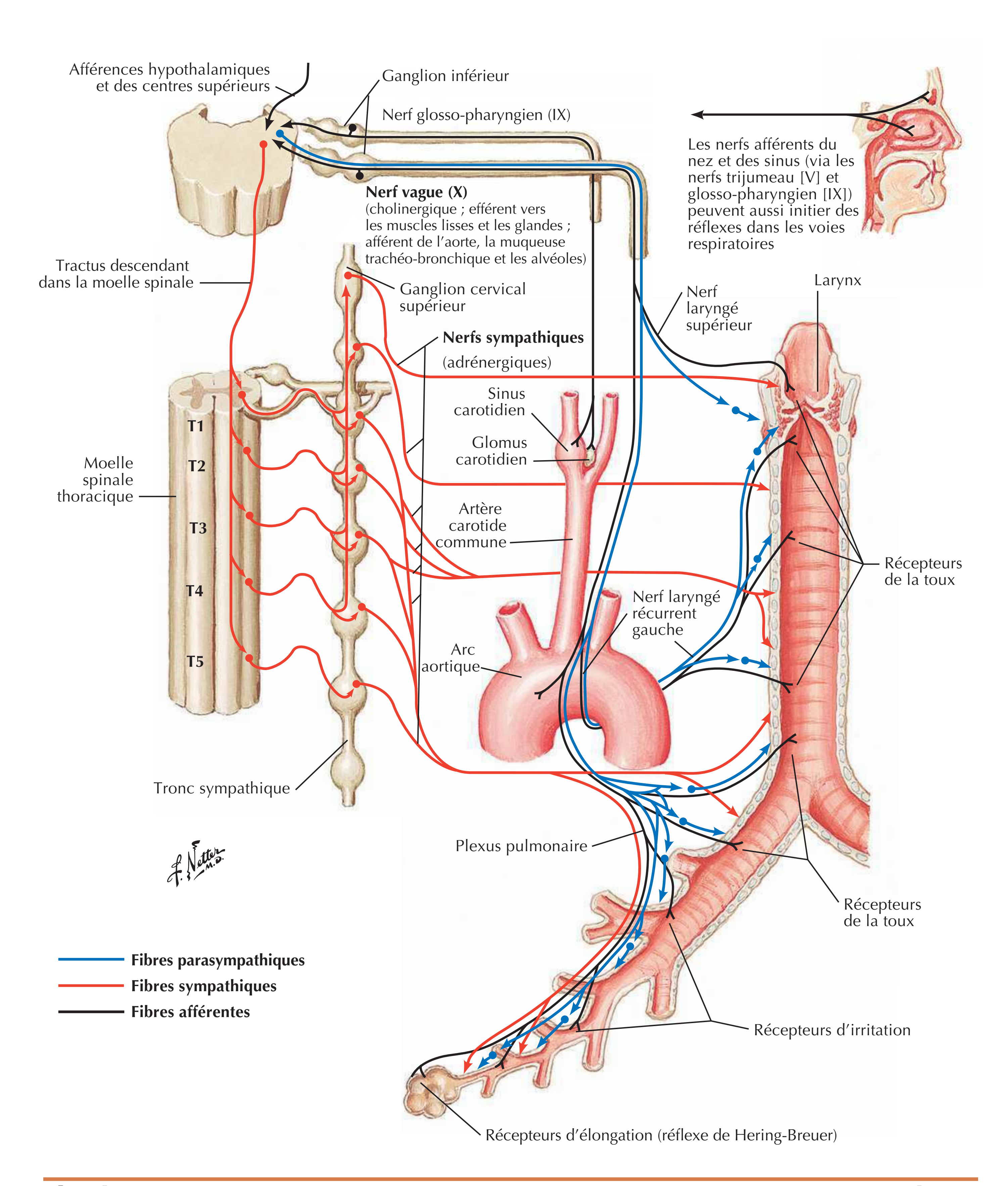
Nerf petit splanchnique (thoracique)

Tronc vagal antérieur

Diaphragme (*abaissé*)

F. Netter M.D.

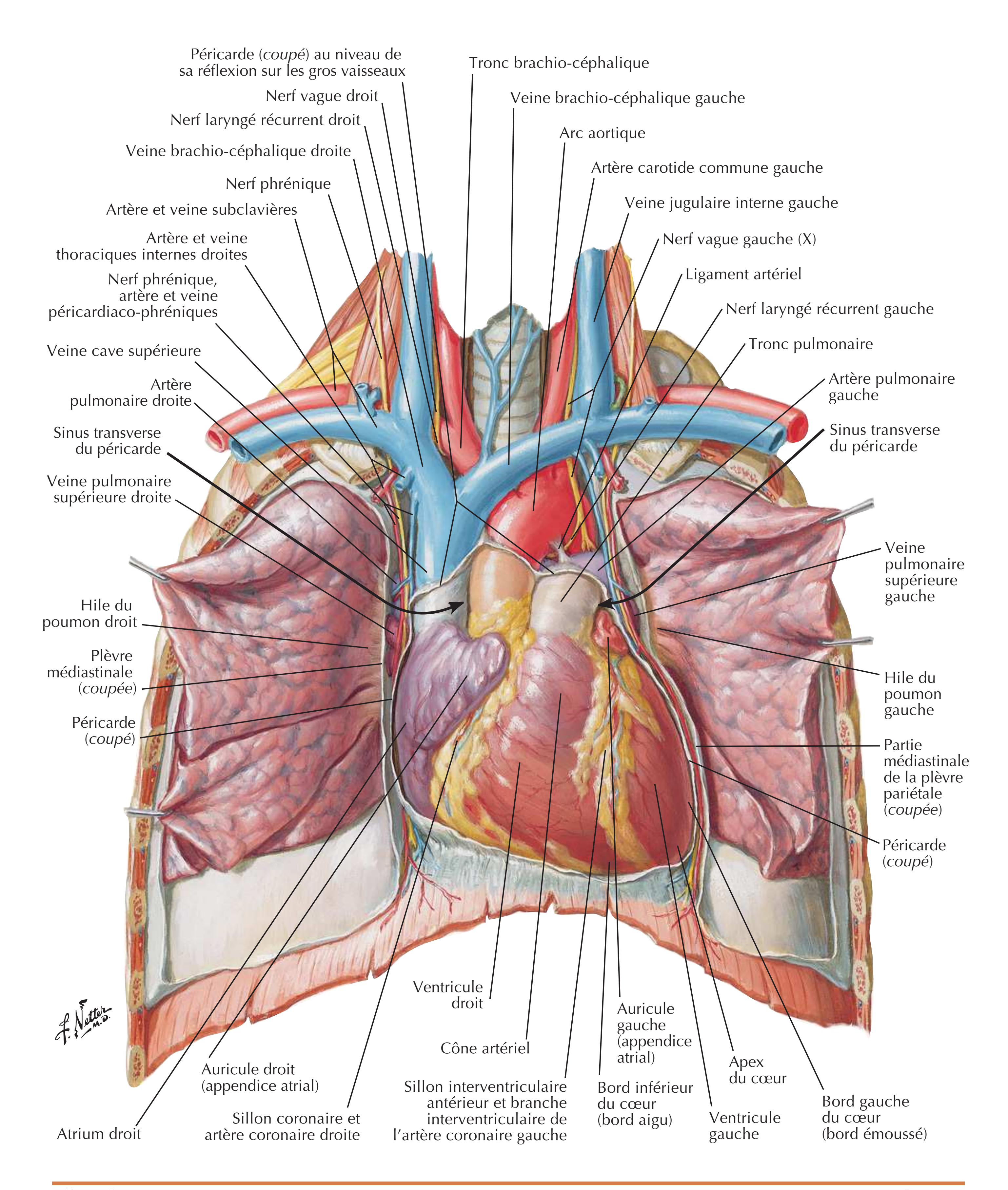
Innervation de l'arbre trachéo-bronchique : schéma

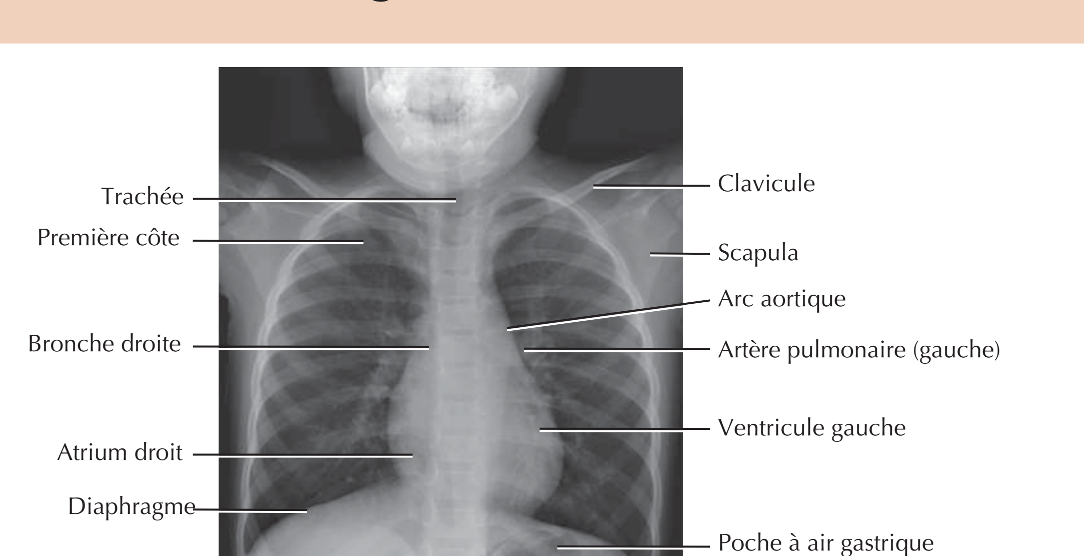


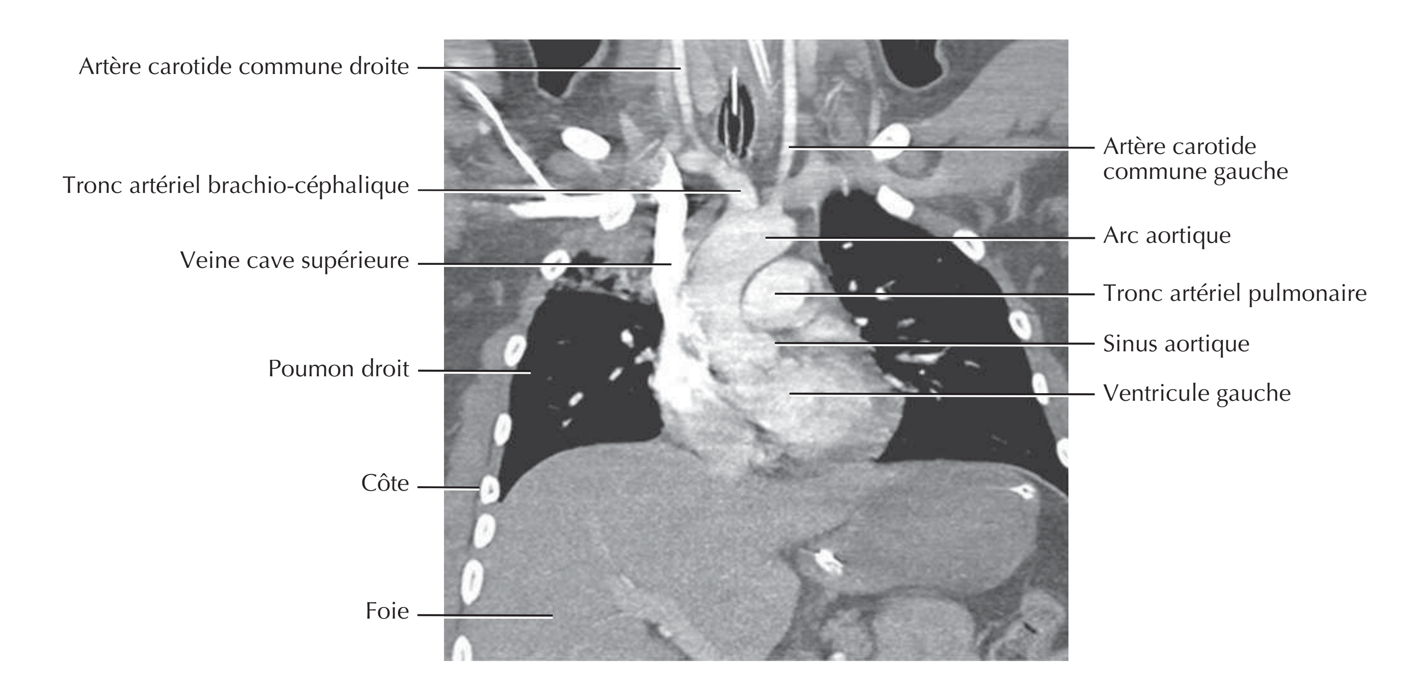


Veines thyroïdiennes inférieures
Trachée
Thymus
Artère carotide commune gauche
Tronc brachio-céphalique
Veine brachio-céphalique gauche
Veine brachio-céphalique droite
Veine jugulaire interne
Nerf phrénique
Nerf vague (X)
Muscle scalène antérieur
Arc aortique
Plexus brachial
Conduit thoracique
Veine jugulaire externe
Nerf laryngé récurrent gauche
Artère et veine subclavières
Artère thoracique interne
Veine cave supérieure
Nerf phrénique interne, artère et veine péricardiaco-phréniques
1re côte
Partie médiastinale de la plèvre pariétale
Nerf phrénique, artère et veine péricardiaco-phréniques
Poumon droit
Poumon gauche
Péricarde
Diaphragme
Ligne d'adhérence du péricarde fibreux et du diaphragme
Artère thoracique interne
Médiastinale
Diaphragmatique
Costale
Parties de la plèvre pariétale
Artère épigastrique supérieure
Artère musculo-phrénique
F. Netter M.D.

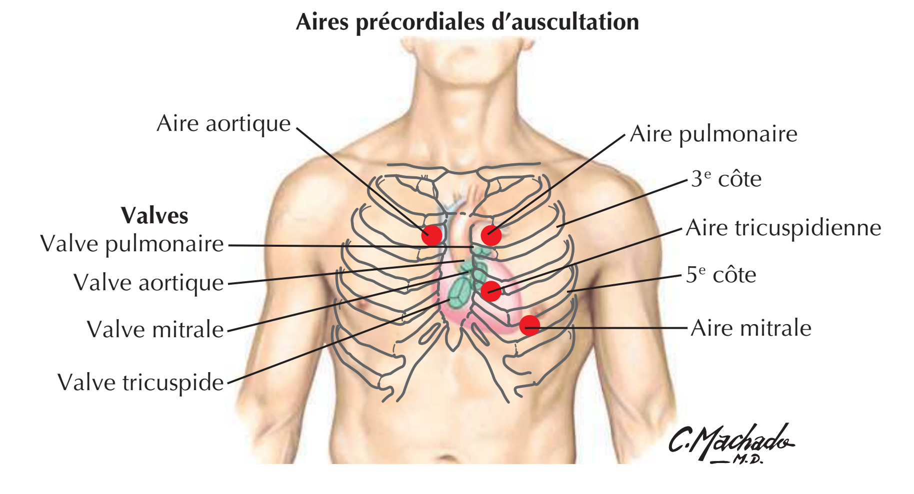
Cœur : vue antérieure



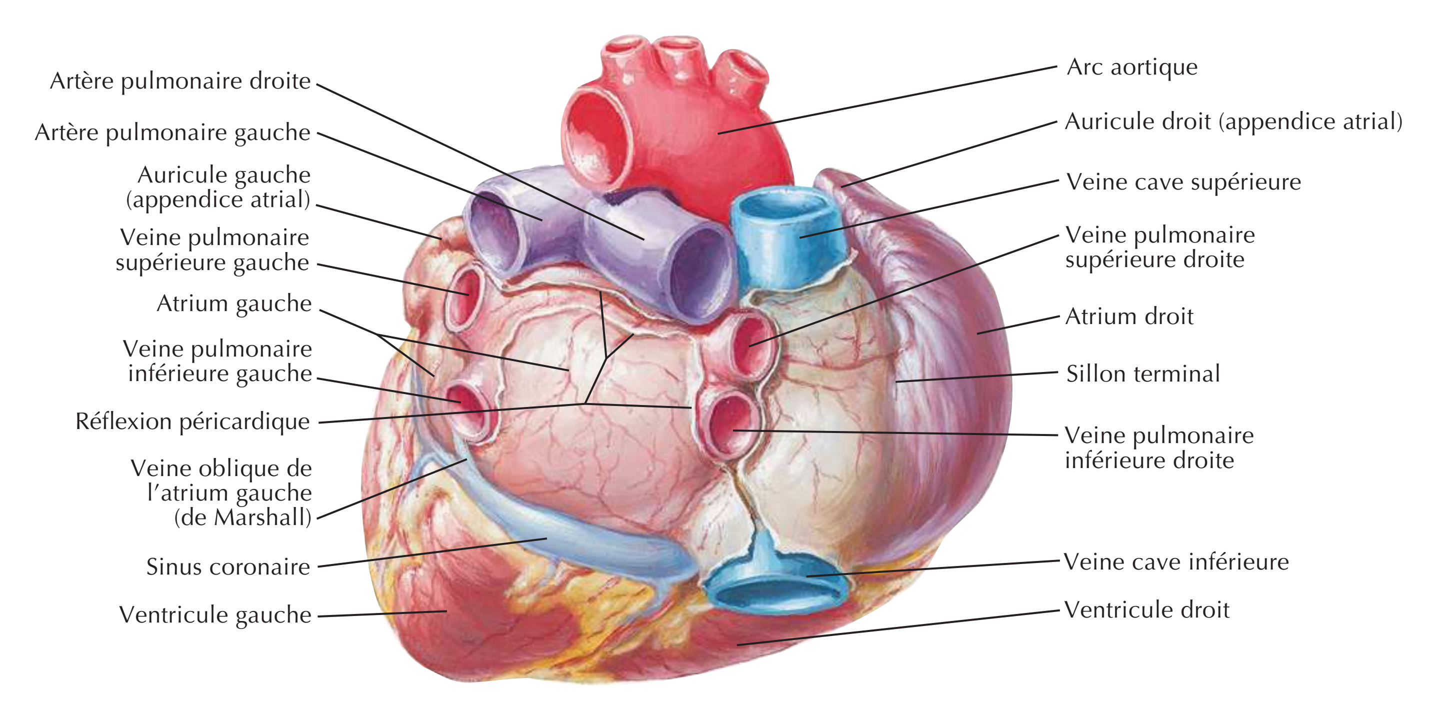




Aires précordiales d'auscultation



Cœur : base et face diaphragmatique



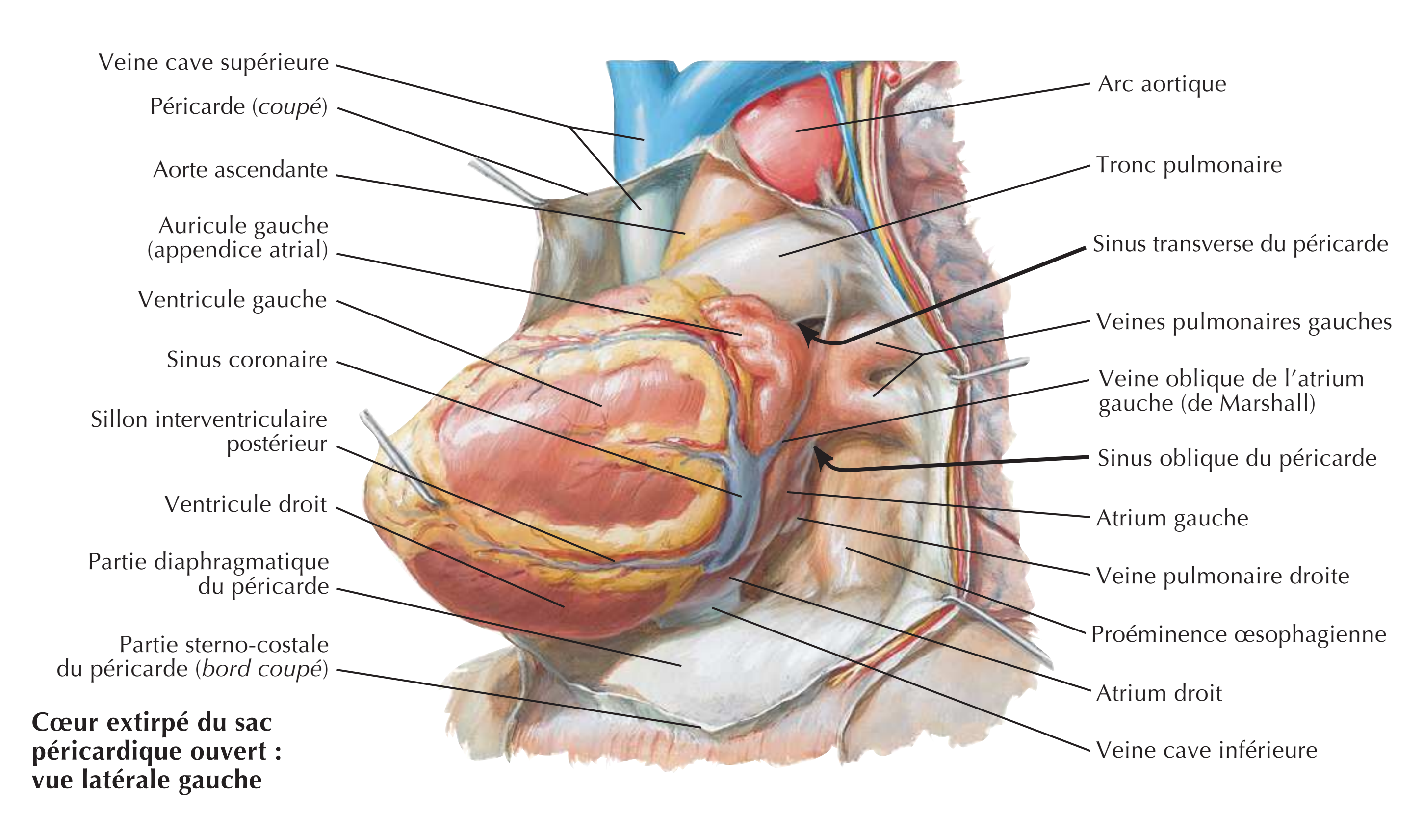
Base du cœur : vue postérieure

Artère subclavière gauche
Artère carotide commune gauche
Artère pulmonaire gauche
Veine pulmonaire supérieure gauche
Auricule gauche (appendice atrial)
Veine pulmonaire inférieure gauche
Veine oblique de l'atrium gauche (de Marshall)
Atrium gauche
Réflexion péricardique
Sinus coronaire
Ventricule gauche
Apex
Tronc brachio-céphalique
Veine cave supérieure
Arc aortique
Artère pulmonaire droite
Veine pulmonaire supérieure droite
Veine pulmonaire inférieure droite
Sillon terminal
Atrium droit
Veine cave inférieure
Sillon coronaire et artère coronaire droite
Sillon interventriculaire postérieur et branche interventriculaire postérieure de l'artère coronaire droite (artère descendante postérieure) et veine cardiaque moyenne
Ventricule droit

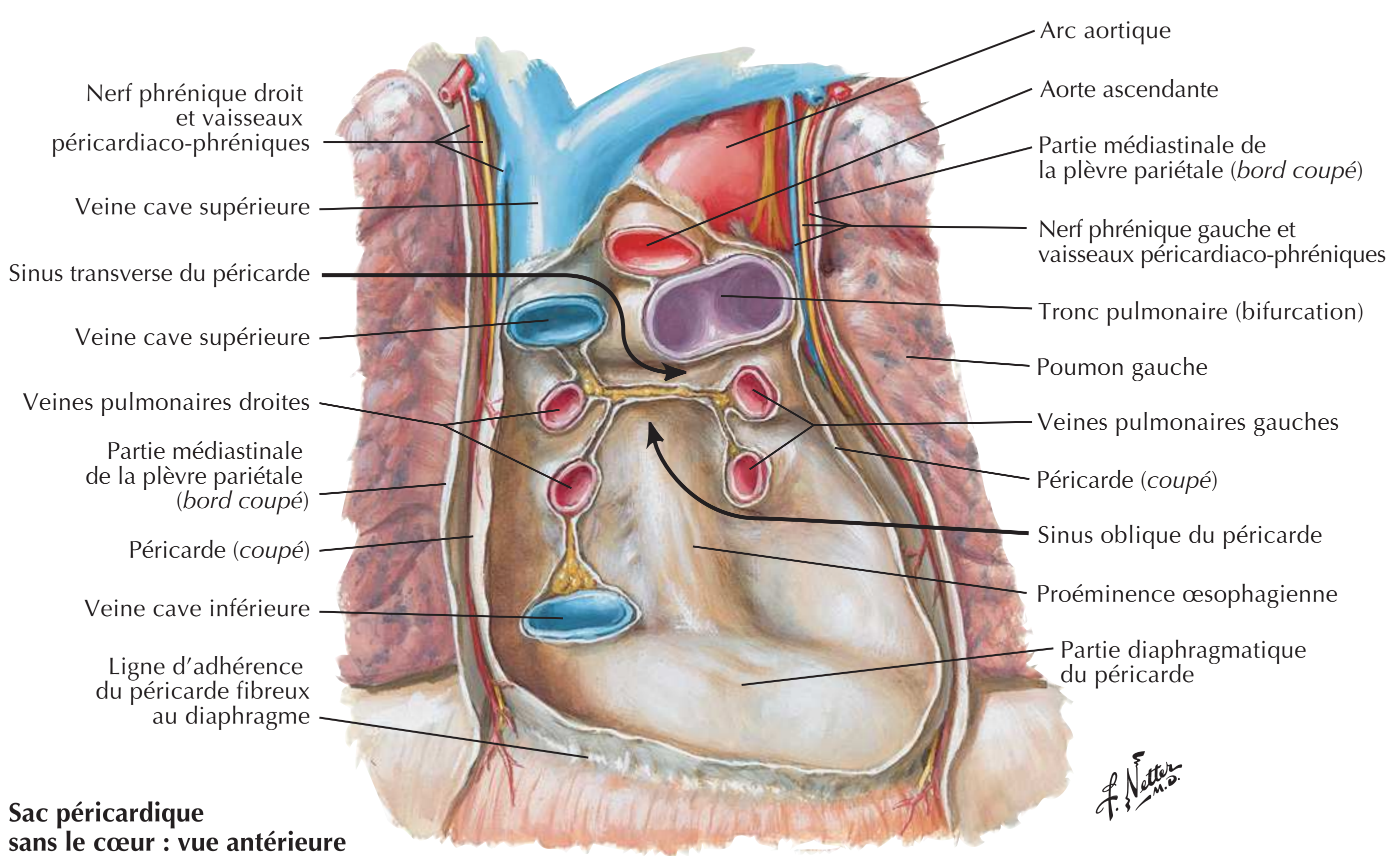
F. Netter M.D.

Base et face diaphragmatique : vue postéro-inférieure



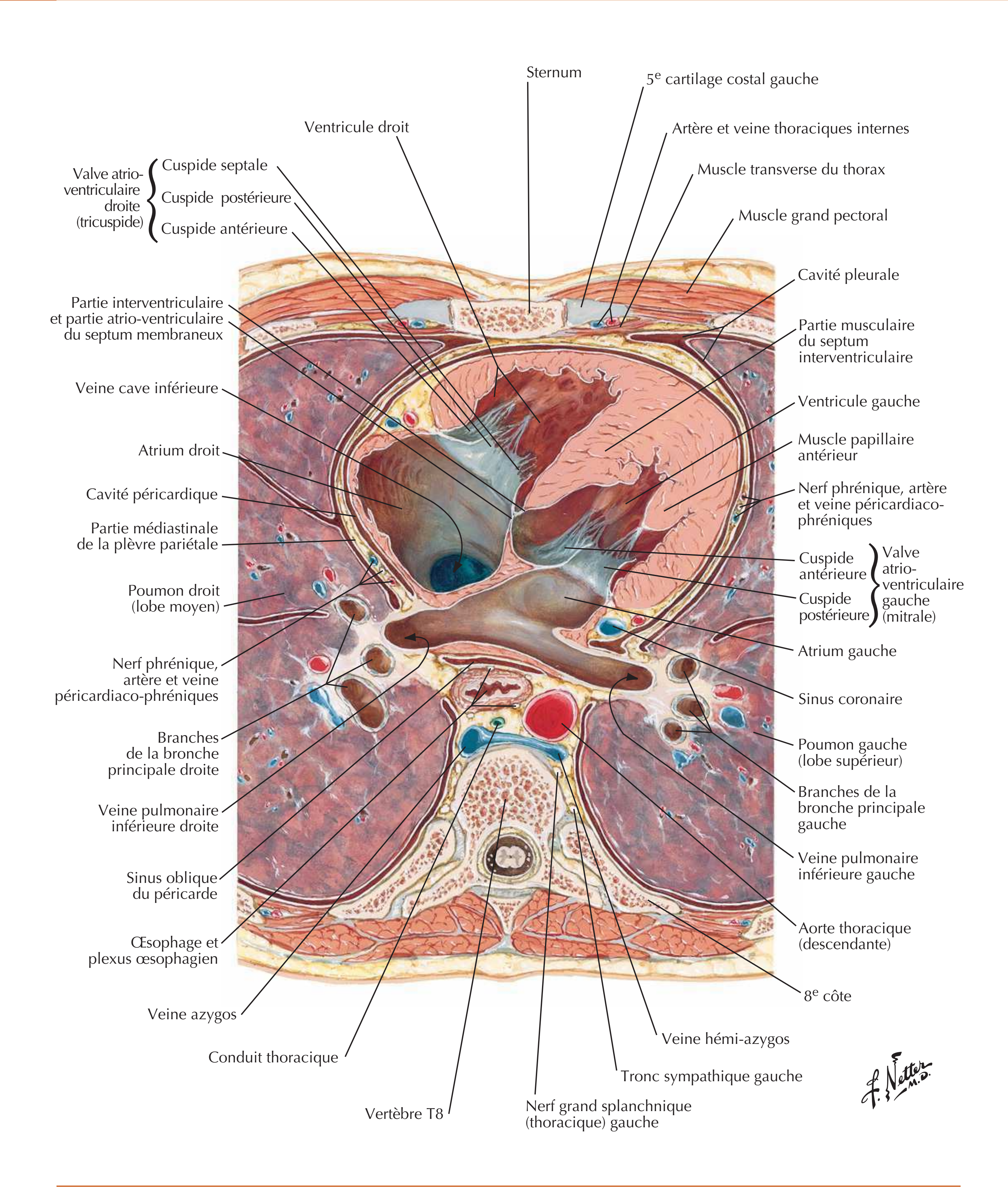


Cœur extirpé du sac péricardique ouvert : vue latérale gauche

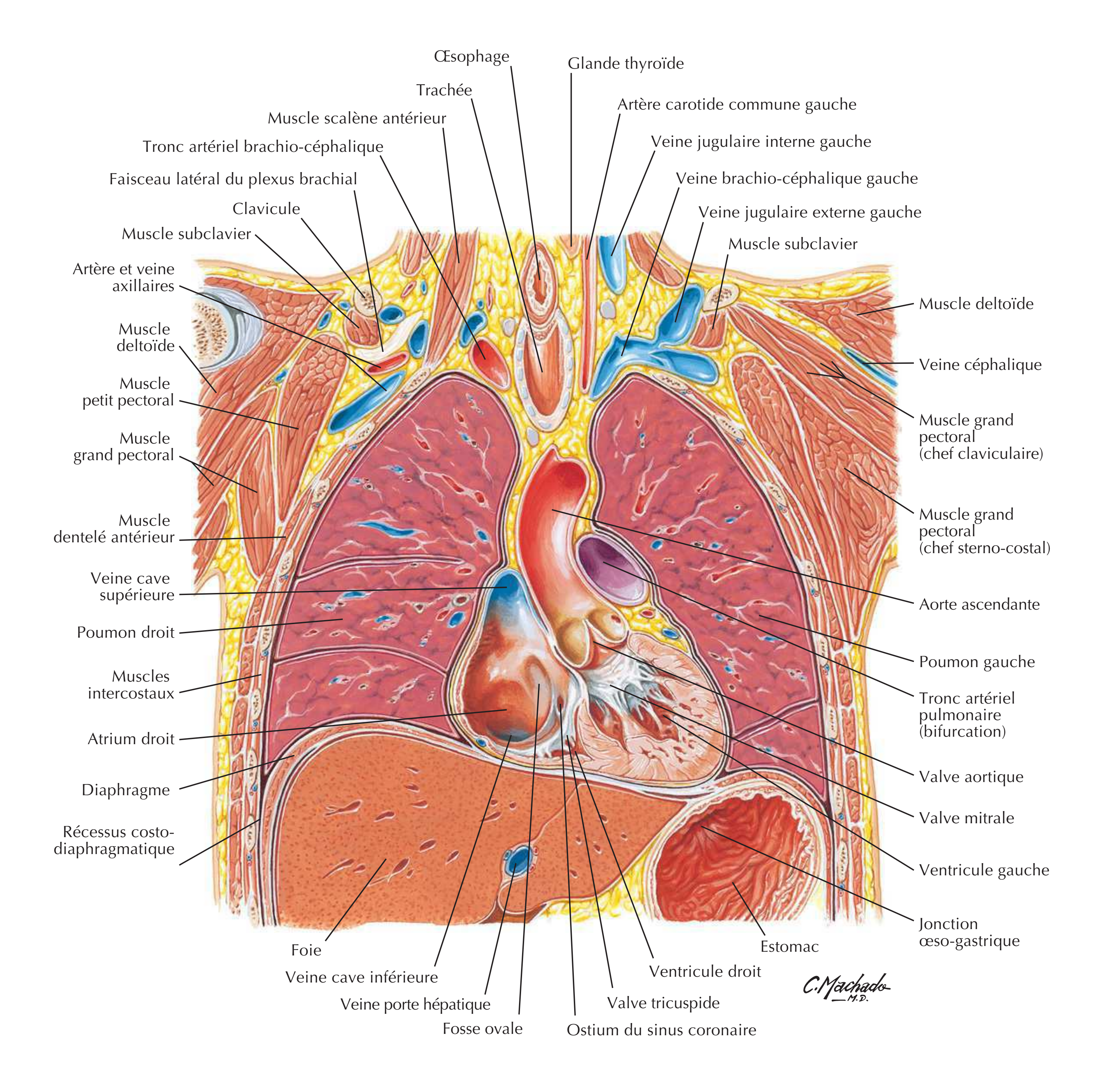


Sac péricardique sans le cœur : vue antérieure

Médiastin : coupe transversale (vue inférieure)



Thorax : section coronale du cœur et de l'aorte ascendante



Artères coronaires et veines cardiaques

Artère du nœud sinu-atrial (SA)

Branches atriales de l'artère coronaire droite

Artère coronaire droite

Veines cardiaques antérieures

Petite veine du cœur

Branche marginale droite (arquée) de l'artère coronaire droite

Branches septales interventriculaires

Auricule gauche *(sectionné)*

Artère coronaire gauche

Artère circonflexe (branche circonflexe de l'artère coronaire gauche)

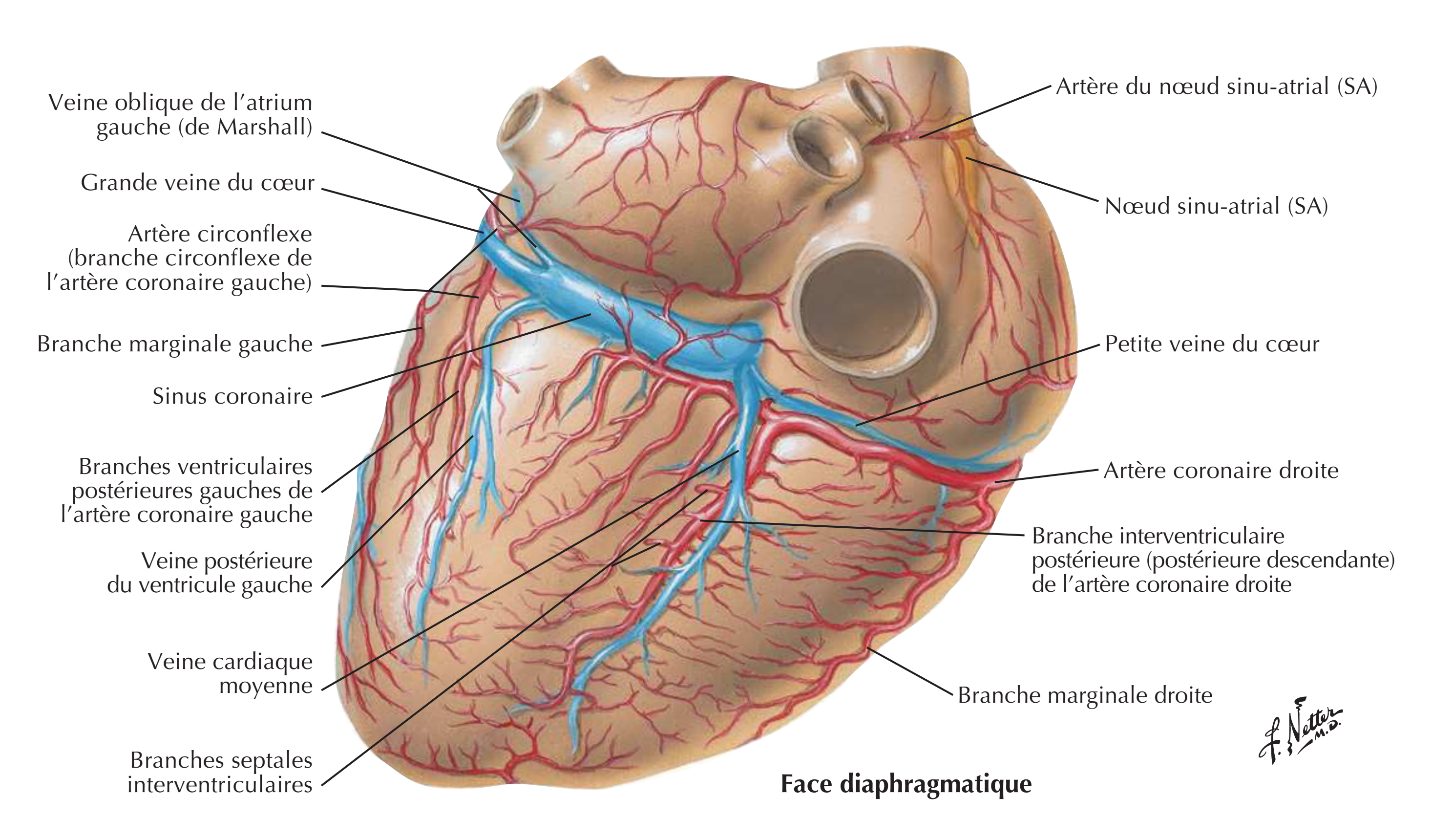
Grande veine du cœur

Artère marginale gauche (oblique)

Branche antérieure interventriculaire de l'artère coronaire gauche

Branche diagonale de l'artère interventriculaire antérieure

Face sterno-costale



Face diaphragmatique



Artères coronaires : vues artériographiques

Branche du nœud sinu-atrial (SA)

Artère coronaire droite

Branche du nœud atrio-ventriculaire (AV)

Branches pour la face dorsale du ventricule gauche

Branche marginale droite (arquée)

Branche interventriculaire postérieure (artère postérieure descendante)

F. Netter M.D.

Artère marginale droite

Artère coronaire droite

Artère coronaire gauche

Branche circonflexe

Aorte

Branche interventriculaire postérieure

Branche interventriculaire antérieure

Ventricule gauche

Artère coronaire gauche

Branche circonflexe

Branche interventriculaire antérieure (antérieure descendante gauche)

Branche atrio-ventriculaire de l'artère circonflexe

Branche marginale gauche

Branches postéro-latérales

Branches septales interventriculaires (perforantes)

Branches diagonales de l'artère interventriculaire antérieure

Artère coronaire droite

Artère coronaire gauche

Auricule gauche

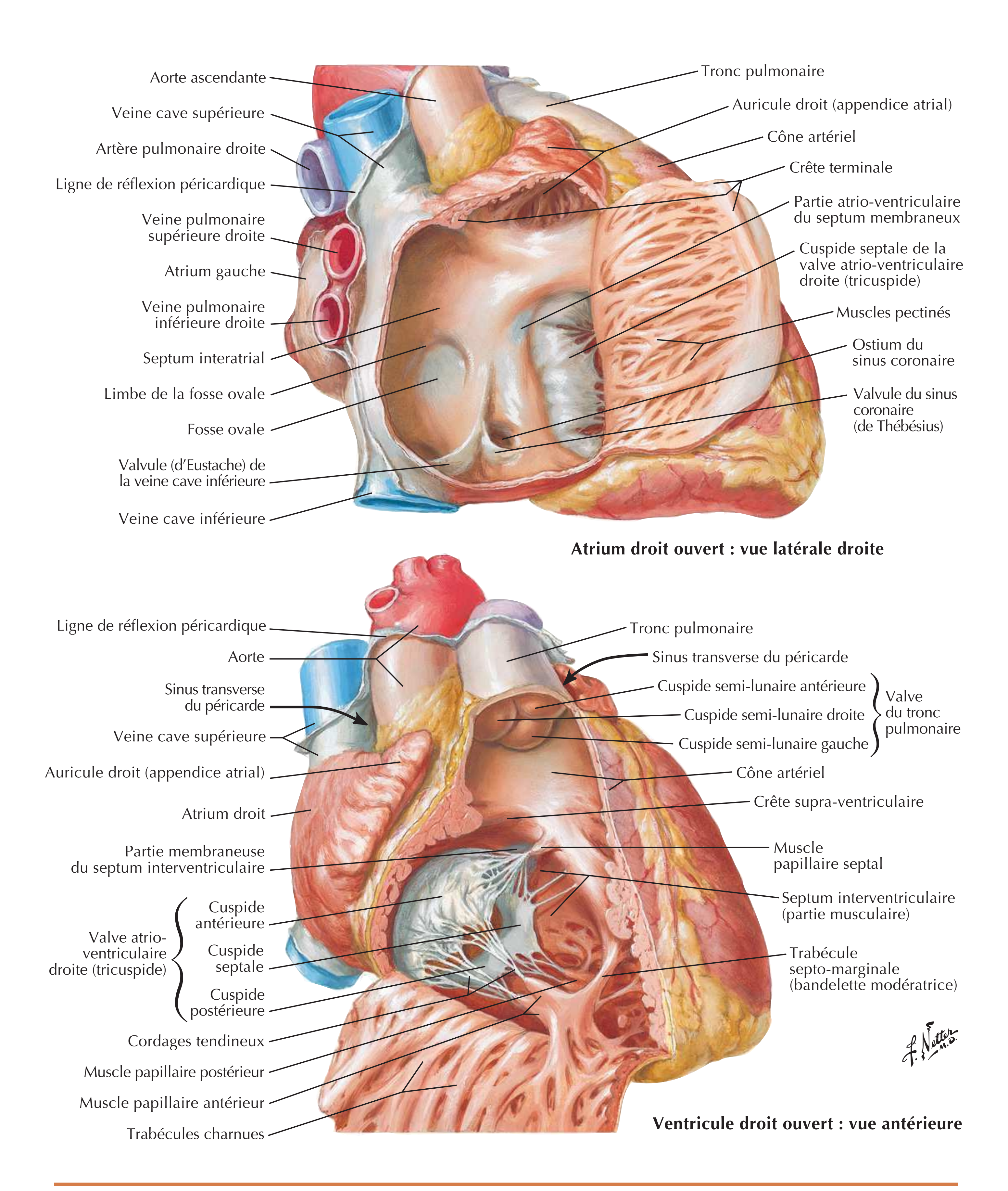
Aorte

Branche interventriculaire antérieure

Ventricule gauche

Branche circonflexe

Atrium et ventricule droits



Atrium droit ouvert : vue latérale droite

Ventricule droit ouvert : vue antérieure



Atrium et ventricule gauches

Ligne de réflexion péricardique
Sinus transverse du péricarde
Auricule gauche (appendice atrial)
Veine oblique de l'atrium gauche (de Marshall)
Valve atrio-ventriculaire gauche (mitrale) { Cuspide postérieure, Cuspide antérieure }
Muscle papillaire antérieur
Cordages tendineux
Muscle papillaire postérieur
Arc aortique
Ligament artériel
Artère pulmonaire gauche
Artère pulmonaire droite
Veines pulmonaires gauches
Atrium gauche
Veines pulmonaires droites
Sinus coronaire
Veine cave inférieure

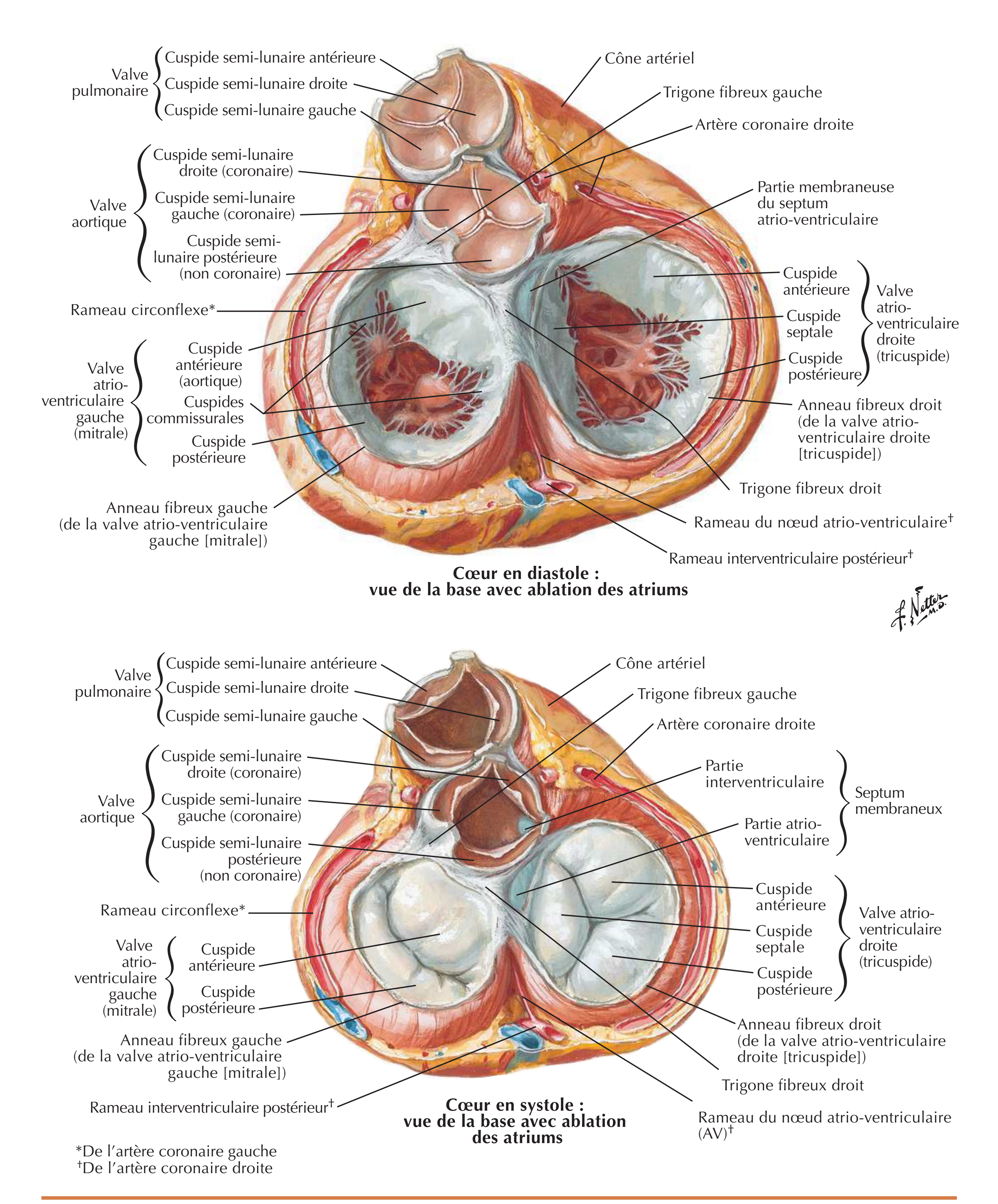
F. Netter M.D.

Volet ouvert dans la paroi postéro-latérale du ventricule gauche

Auricule gauche (appendice atrial)
Cône artériel
Valve aortique { Cuspide semi-lunaire gauche, Cuspide semi-lunaire droite, Cuspide semi-lunaire postérieure }
Septum membraneux { Partie interventriculaire, Partie atrio-ventriculaire }
Partie musculaire du septum interventriculaire
Valve atrio-ventriculaire gauche (mitrale) (*réséquée*)
Arc aortique
Artère pulmonaire gauche
Artère pulmonaire droite
Veine pulmonaire supérieure gauche
Valvule du foramen ovale
Veines pulmonaires droites
Atrium gauche
Sinus coronaire
Veine cave inférieure

Coupe à travers l'atrium et le ventricule gauches avec la valve atrio-ventriculaire gauche (mitrale) réséquée

Valves du squelette fibreux du cœur



Cœur en diastole : vue de la base avec ablation des atriums

Cœur en systole : vue de la base avec ablation des atriums

*De l'artère coronaire gauche
†De l'artère coronaire droite



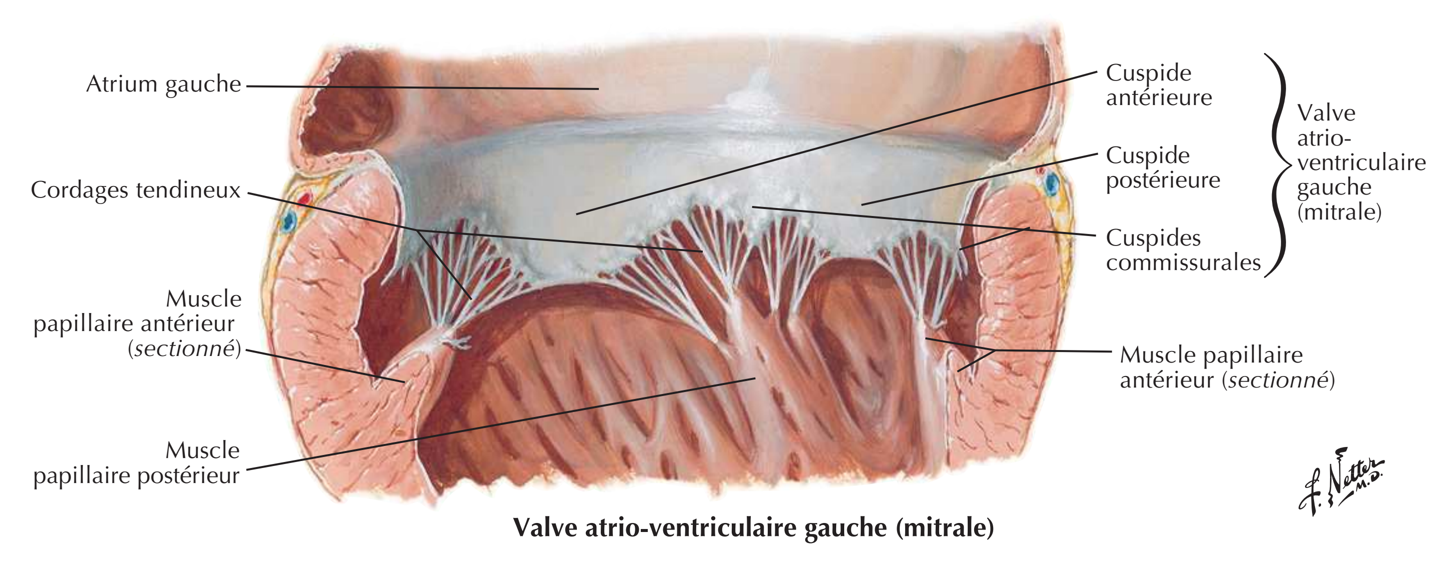
Valves du squelette fibreux du cœur (suite)

Aorte ascendante
Sinus de l'aorte (de Valsalva)
Ostium de l'artère coronaire droite
Septum membraneux: Partie interventriculaire; Partie atrio-ventriculaire
Partie musculaire du septum interventriculaire
Commissure des valves semi-lunaires
Ostium de l'artère coronaire gauche
Nodule de la valve semi-lunaire (corps d'Arantius)
Lunule
Valve aortique: Cuspide semi-lunaire gauche; Cuspide semi-lunaire postérieure; Cuspide semi-lunaire droite
Muscle papillaire antérieur
Cuspide antérieure de la valve atrio-ventriculaire gauche (mitrale)

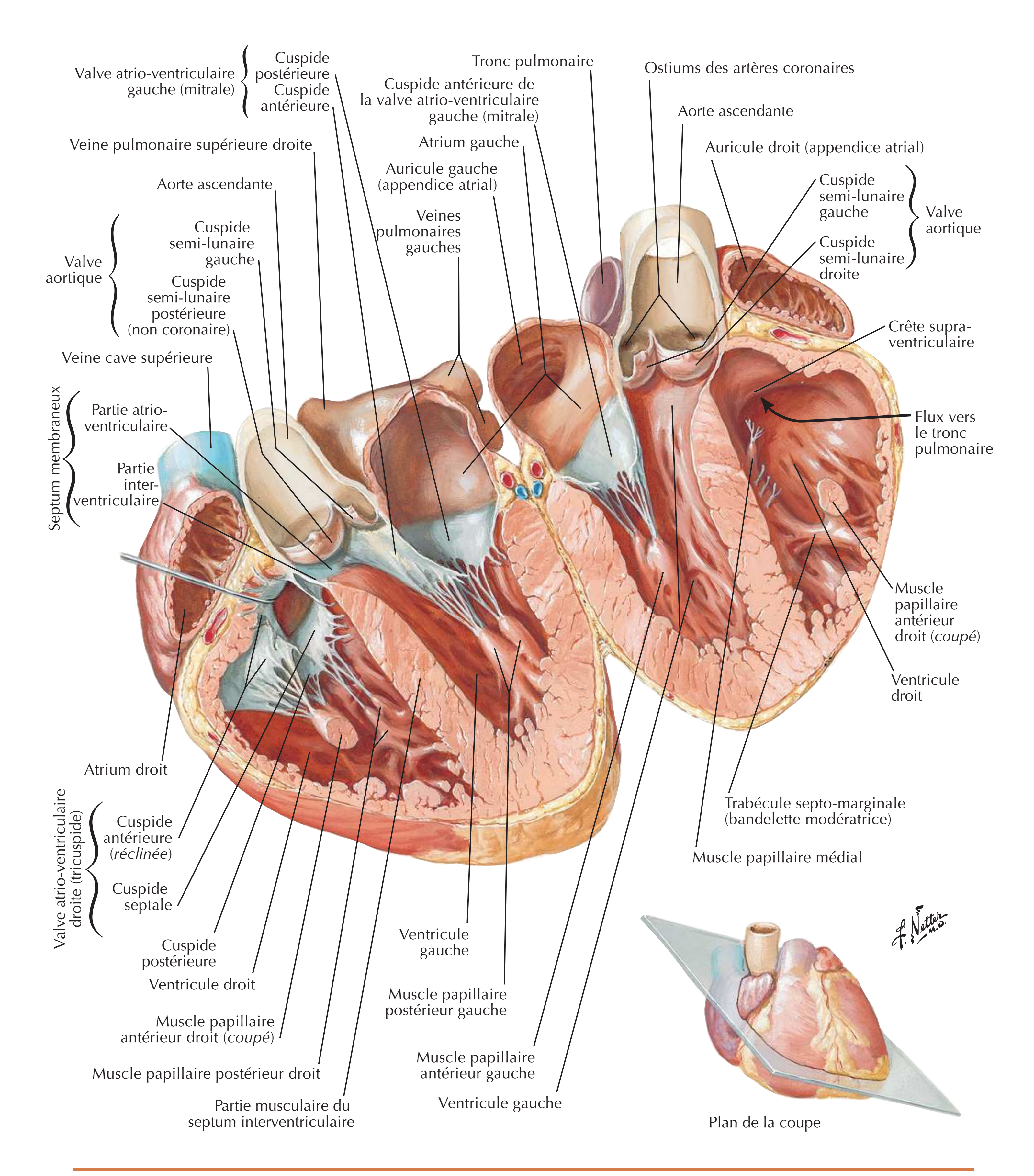
Valve de l'aorte

Ostium de la veine cave inférieure
Atrium droit
Ostium du sinus coronaire
Cordages tendineux
Muscle papillaire septal
Muscle papillaire postérieur (*sectionné*)
Septum membraneux: Partie atrio-ventriculaire; Partie interventriculaire (*derrière la valve*)
Valve atrio-ventriculaire droite (tricuspide): Cuspide postérieure; Cuspide antérieure; Cuspide septale
Muscle papillaire postérieur (*sectionné*)
Muscle papillaire antérieur

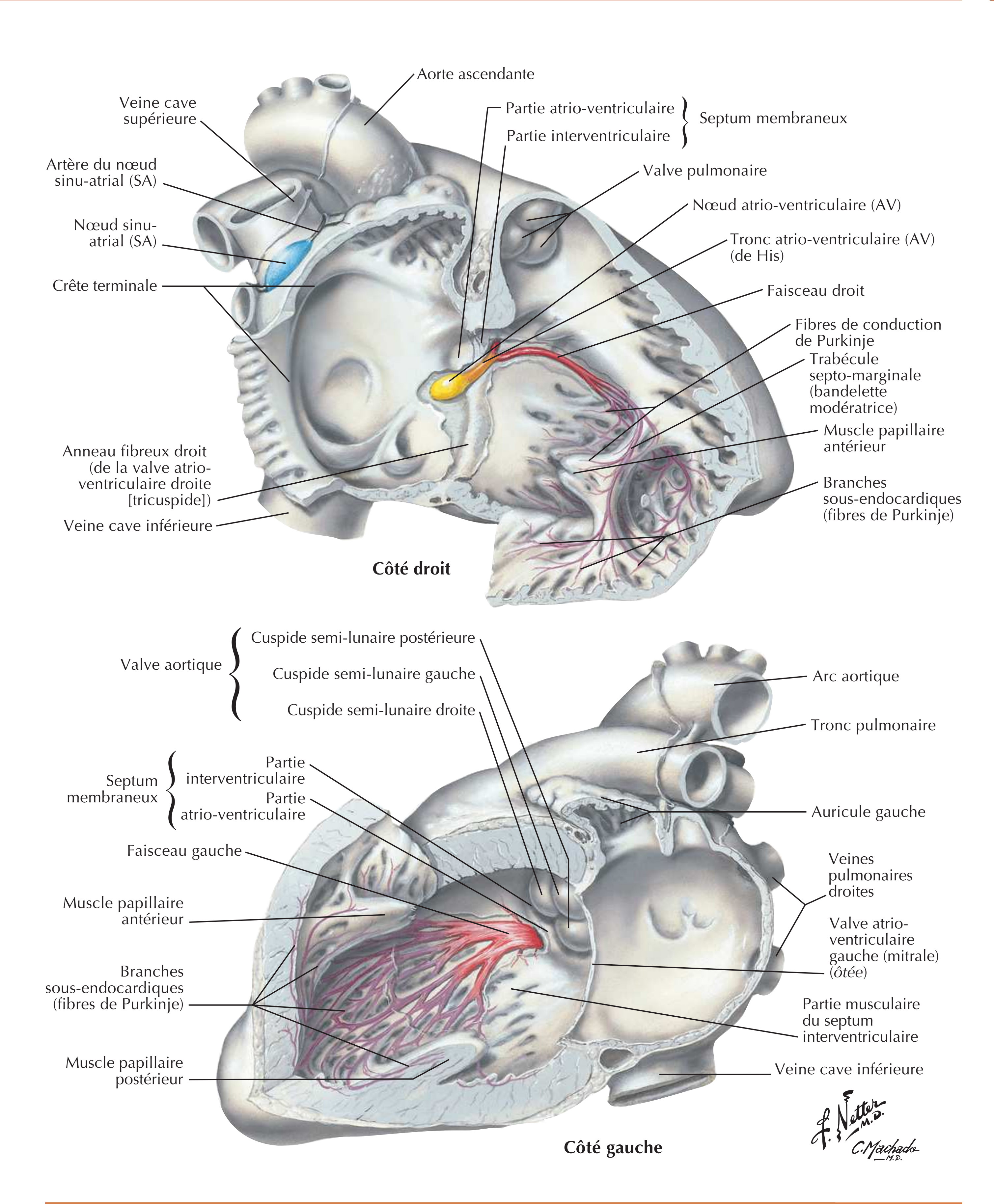
Valve atrio-ventriculaire droite (tricuspide)



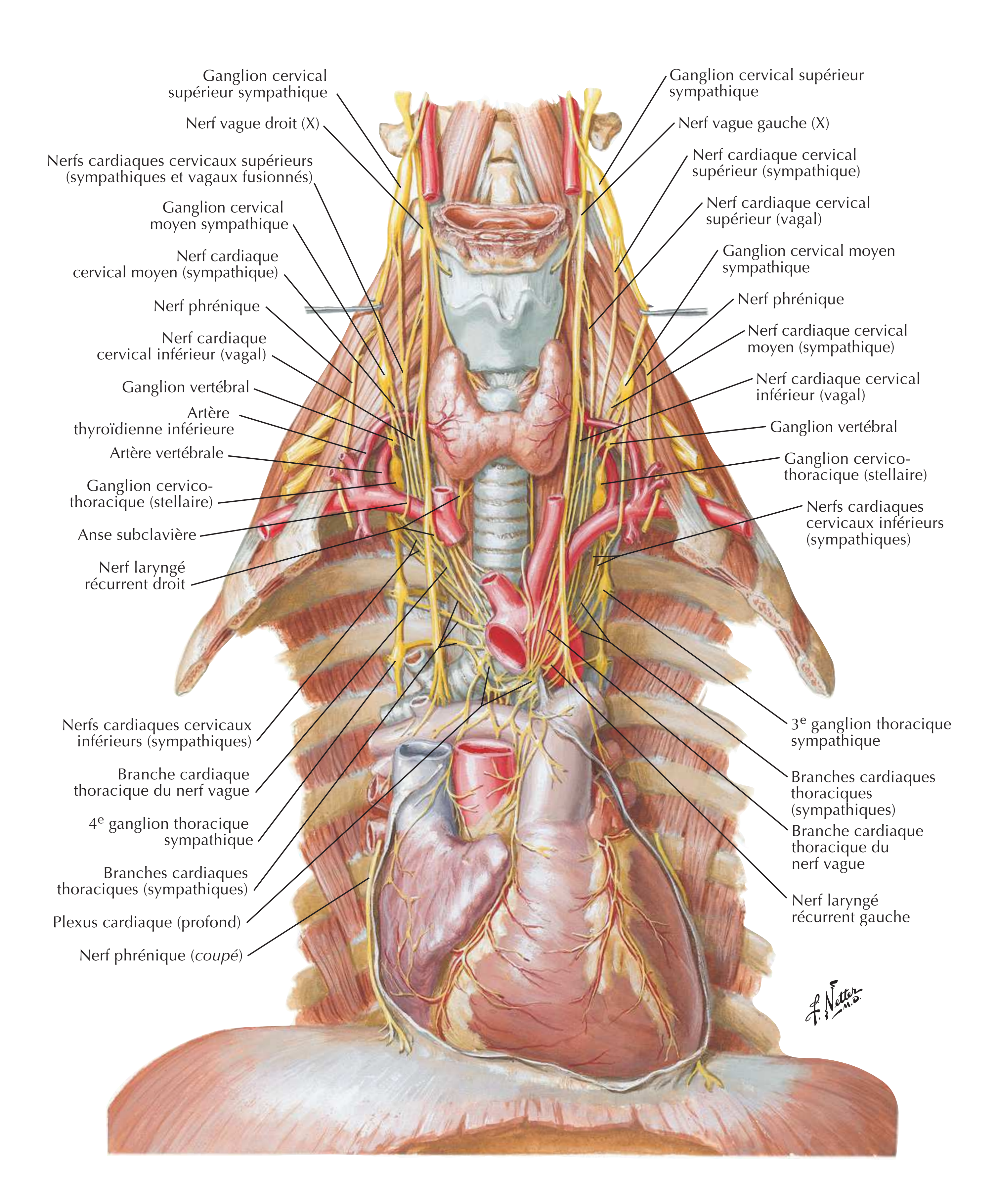
Valve atrio-ventriculaire gauche (mitrale)



Valve atrio-ventriculaire gauche (mitrale)
Cuspide postérieure
Cuspide antérieure
Tronc pulmonaire
Cuspide antérieure de la valve atrio-ventriculaire gauche (mitrale)
Ostiums des artères coronaires
Aorte ascendante
Veine pulmonaire supérieure droite
Atrium gauche
Auricule droit (appendice atrial)
Aorte ascendante
Auricule gauche (appendice atrial)
Cuspide semi-lunaire gauche
Cuspide semi-lunaire droite
Valve aortique
Veines pulmonaires gauches
Valve aortique
Cuspide semi-lunaire gauche
Cuspide semi-lunaire postérieure (non coronaire)
Crête supra-ventriculaire
Veine cave supérieure
Flux vers le tronc pulmonaire
Septum membraneux
Partie atrio-ventriculaire
Partie inter-ventriculaire
Muscle papillaire antérieur droit (coupé)
Ventricule droit
Atrium droit
Trabécule septo-marginale (bandelette modératrice)
Muscle papillaire médial
Valve atrio-ventriculaire droite (tricuspide)
Cuspide antérieure (réclinée)
Cuspide septale
Cuspide postérieure
Ventricule droit
Ventricule gauche
Muscle papillaire postérieur gauche
Muscle papillaire antérieur droit (coupé)
Muscle papillaire postérieur droit
Muscle papillaire antérieur gauche
Partie musculaire du septum interventriculaire
Ventricule gauche
Plan de la coupe
F. Netter M.D.


Aorte ascendante
Veine cave supérieure
Partie atrio-ventriculaire
Partie interventriculaire
Septum membraneux
Artère du nœud sinu-atrial (SA)
Valve pulmonaire
Nœud atrio-ventriculaire (AV)
Nœud sinu-atrial (SA)
Tronc atrio-ventriculaire (AV) (de His)
Crête terminale
Faisceau droit
Fibres de conduction de Purkinje
Trabécule septo-marginale (bandelette modératrice)
Muscle papillaire antérieur
Anneau fibreux droit (de la valve atrio-ventriculaire droite [tricuspide])
Branches sous-endocardiques (fibres de Purkinje)
Veine cave inférieure
Côté droit
Cuspide semi-lunaire postérieure
Valve aortique
Cuspide semi-lunaire gauche
Arc aortique
Cuspide semi-lunaire droite
Tronc pulmonaire
Septum membraneux
Partie interventriculaire
Partie atrio-ventriculaire
Auricule gauche
Faisceau gauche
Veines pulmonaires droites
Muscle papillaire antérieur
Valve atrio-ventriculaire gauche (mitrale) (ôtée)
Branches sous-endocardiques (fibres de Purkinje)
Partie musculaire du septum interventriculaire
Muscle papillaire postérieur
Veine cave inférieure
F. Netter M.D.
C. Machado M.D.
Côté gauche

Nerfs du cœur





Innervation du cœur : schéma

Noyau postérieur (dorsal) du nerf vague

Ganglion cervical supérieur sympathique

Noyau du tractus solitaire

Nerf cardiaque cervical supérieur (sympathique)

Moelle allongée

Ganglion cervical moyen sympathique

Nerfs vagues

Nerf cardiaque cervical supérieur (vagal)

Nerf cardiaque cervical moyen (sympathique)

Nerf cardiaque cervical inférieur (vagal)

Ganglion vertébral (variation)

Connexions ascendantes

Anse subclavière

Ganglion cervico-thoracique (stellaire)

1er nerf intercostal

T1

T2

Nerf cardiaque cervical inférieur

T3

Branche cardiaque thoracique du nerf vague

T4

2e ganglion thoracique sympathique

Rameau communicant blanc

Rameau communicant gris

Branches cardiaques thoraciques (sympathiques)

4e ganglion sympathique thoracique

Plexus cardiaque

Fibres sympathiques préganglionnaires

Fibres sympathiques postganglionnaires

Fibres parasympathiques préganglionnaires

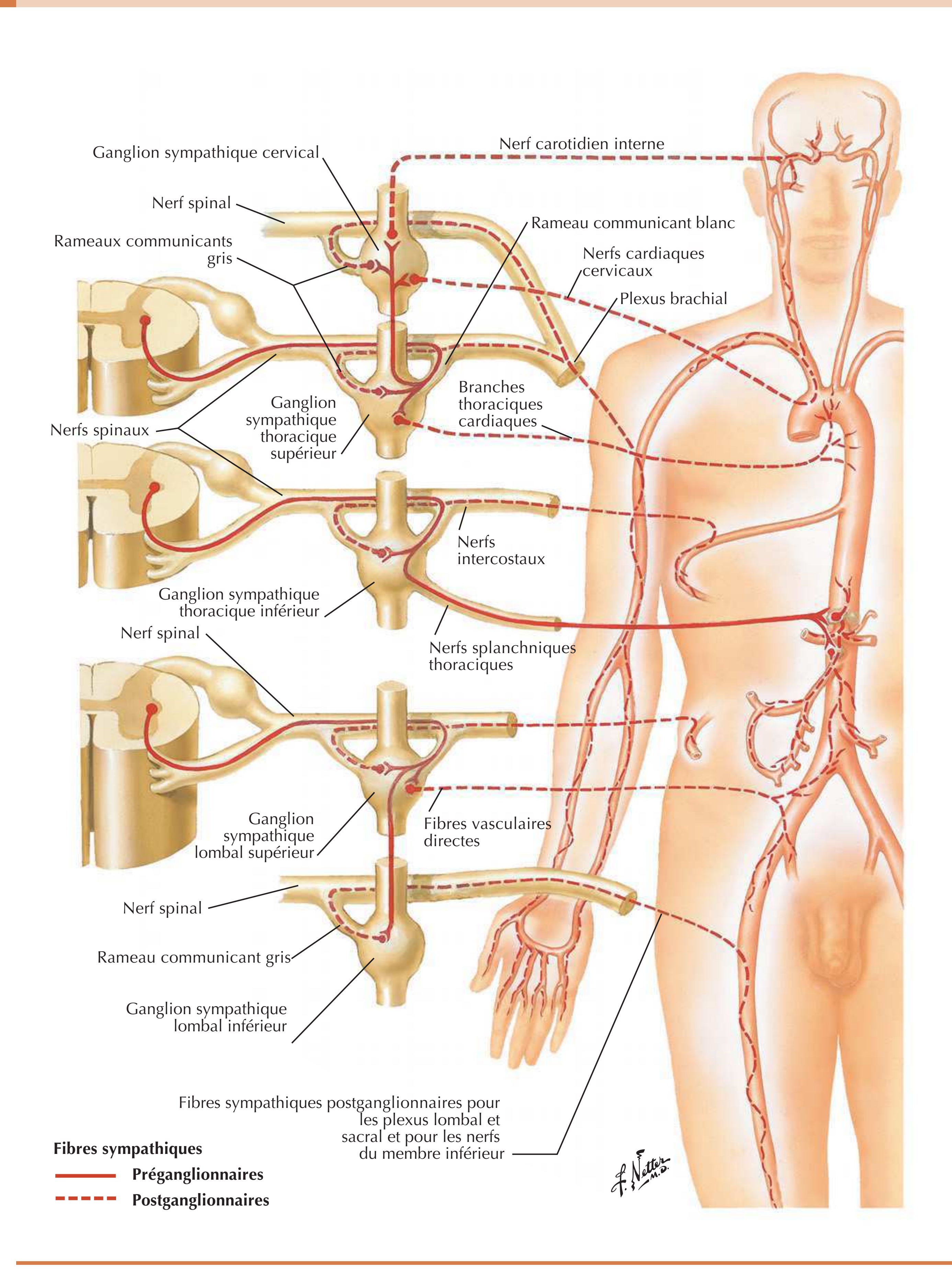
Fibres parasympathiques postganglionnaires

Afférent viscéral accompagnant les fibres sympathiques

Vagal afférent

F. Netter M.D.

Innervation des vaisseaux sanguins : schéma





Circulation sanguine pré- et post-natale

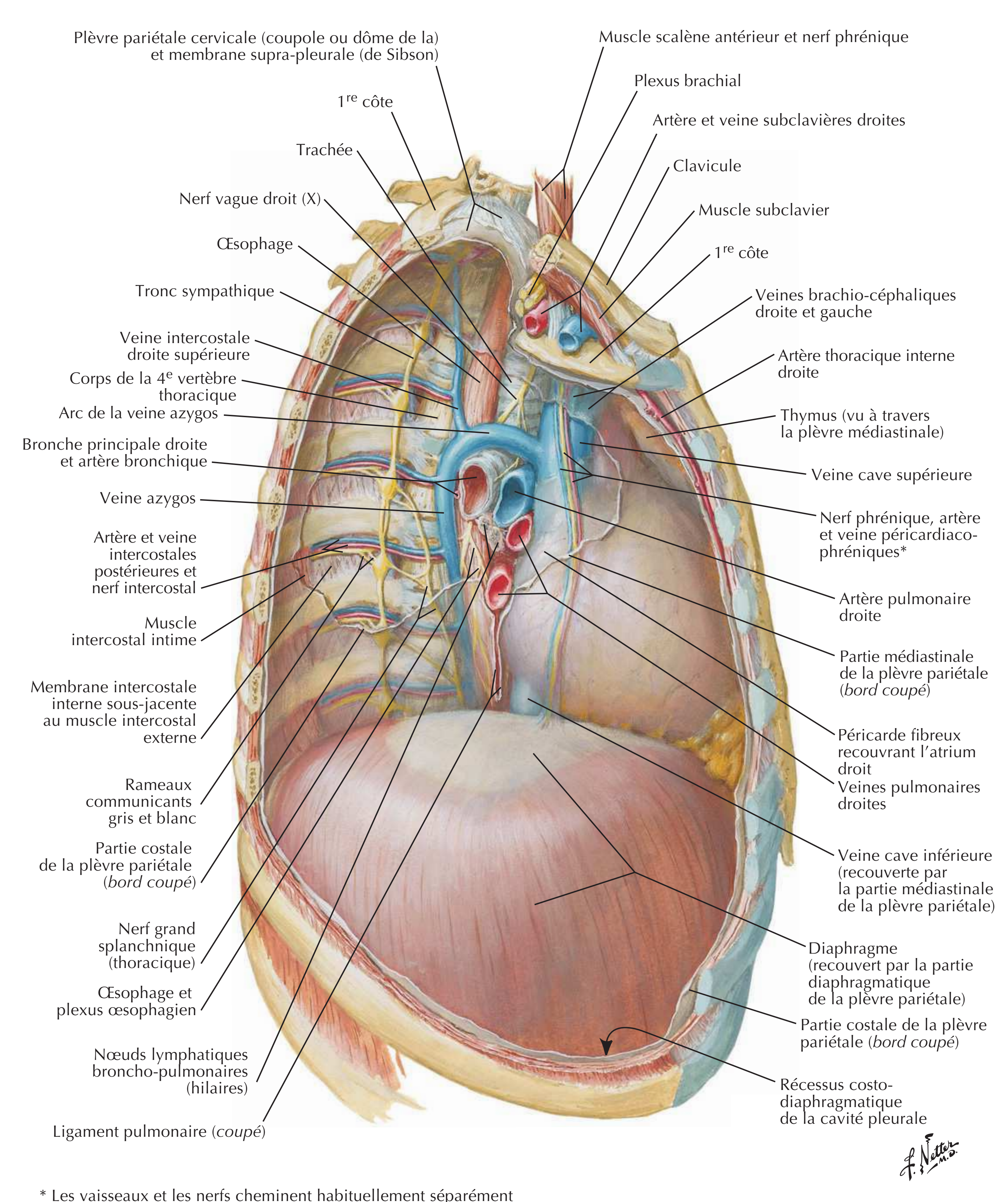
Circulation prénatale

Tronc pulmonaire
Veine cave supérieure
Artère pulmonaire droite
Veine pulmonaire droite
Foramen ovale
Veine hépatique
Conduit veineux
Foie
Veine porte hépatique
Veine ombilicale
Artères ombilicales
Aorte
Conduit artériel
Artère pulmonaire gauche
Veine pulmonaire gauche
Veine cave inférieure
Aorte
Tronc cœliaque
Artère mésentérique supérieure
Rein
Intestin

Ligament artériel (conduit artériel oblitéré)
Fosse ovale (foramen ovale oblitéré)
Ligament veineux (conduit veineux oblitéré)
Ligament rond du foie (veine ombilicale oblitérée)
Ligaments ombilicaux médiaux (partie oblitérée des artères ombilicales)

Circulation post-natale

Médiastin : vue latérale droite



* Les vaisseaux et les nerfs cheminent habituellement séparément



Médiastin : vue latérale gauche

Muscle scalène antérieur et nerf phrénique

Plexus brachial

Artère et veine subclavières gauches

Muscle subclavier

Clavicule

Veine brachio-céphalique gauche

Artère thoracique interne gauche

Thymus (vu à travers la plèvre médiastinale)

Ligament artériel

Artère pulmonaire gauche

Nerf phrénique gauche, artère et veine péricardiaco-phréniques*

Partie médiastinale de la plèvre pariétale (*bord coupé*)

Péricarde fibreux

Veines pulmonaires gauches

Ligament pulmonaire (*coupé*)

Formation graisseuse

Œsophage et plexus œsophagien (recouverts par la partie médiastinale de la plèvre pariétale)

Diaphragme (recouvert par la partie diaphragmatique de la plèvre pariétale)

Récessus costo-diaphragmatique de la cavité pleurale

Partie costale de la plèvre pariétale (*bord coupé*)

Plèvre pariétale cervicale (coupole ou dôme de la) et membrane supra-pleurale (de Sibson)

1re côte

Œsophage

Conduit thoracique

Nerf vague gauche (X)

Veine intercostale supérieure gauche

Arc aortique

Nerf laryngé récurrent gauche

Nœuds lymphatiques broncho-pulmonaires (hilaires)

Veine hémi-azygos accessoire

Artère et veine intercostales postérieures et nerf intercostal

Muscle intercostal intime

Membrane intercostale sous-jacente au muscle intercostal externe

Rameaux communicants gris et blanc

Plèvre costale (*bord coupé*)

Tronc sympathique

Nerf grand splanchnique (thoracique)

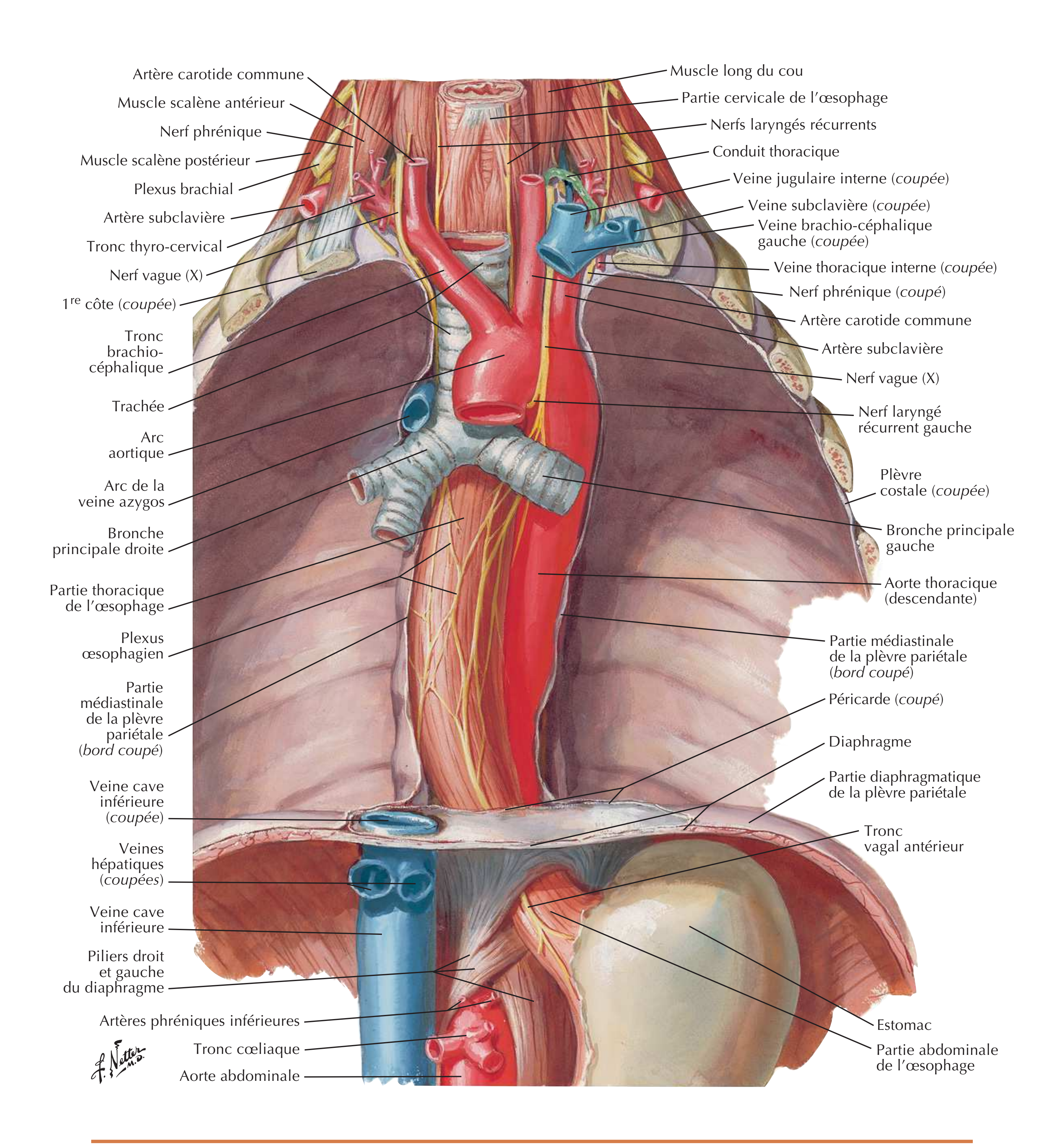
Aorte thoracique (descendante)

Bronche principale gauche et artère bronchique

F. Netter M.D.

* Les vaisseaux et les nerfs cheminent habituellement séparément

Œsophage *in situ*

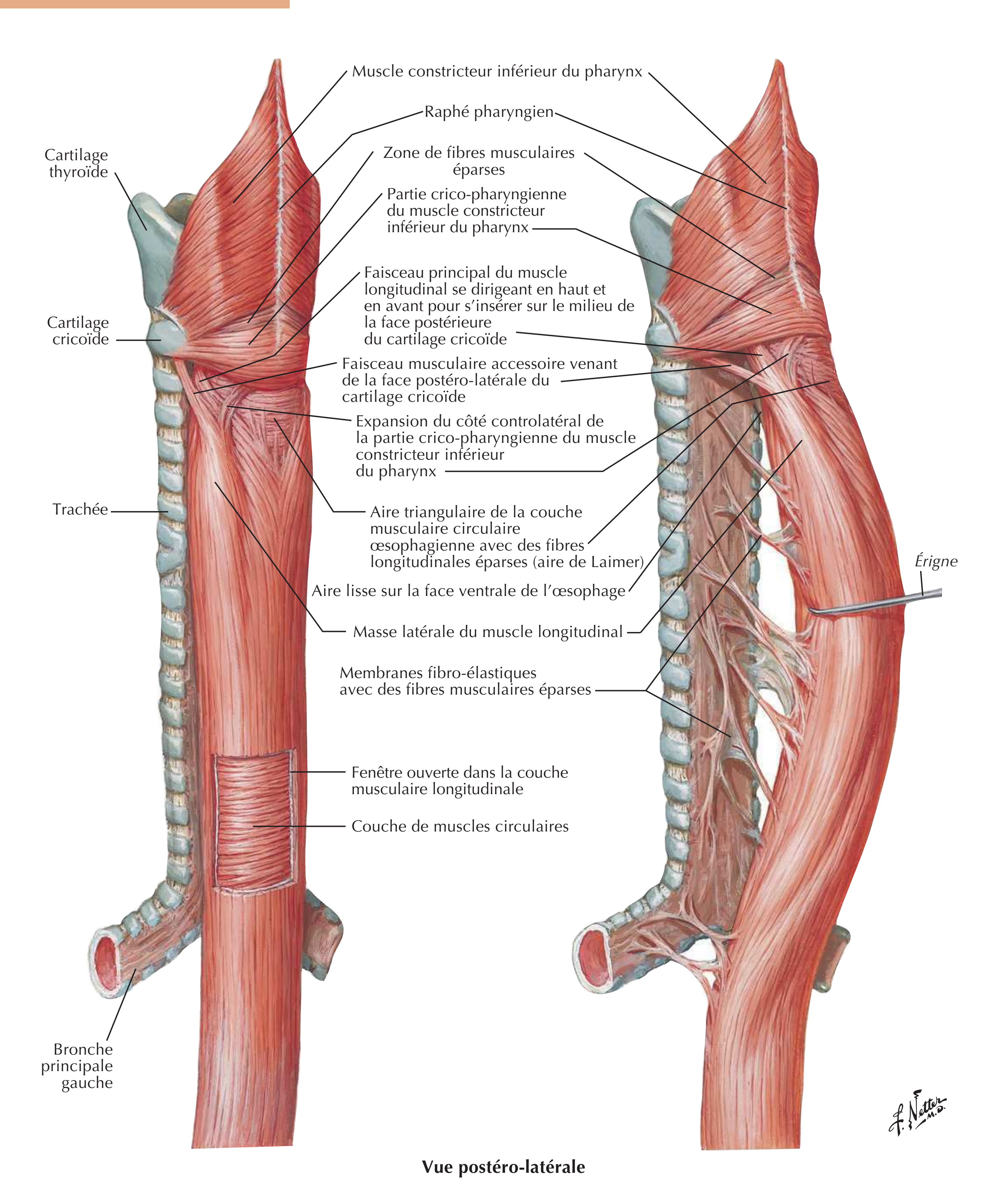




Topographie et rétrécissements de l’œsophage

Muscles de l'œsophage

Voir aussi **Planches 67, 70**



Vue postéro-latérale



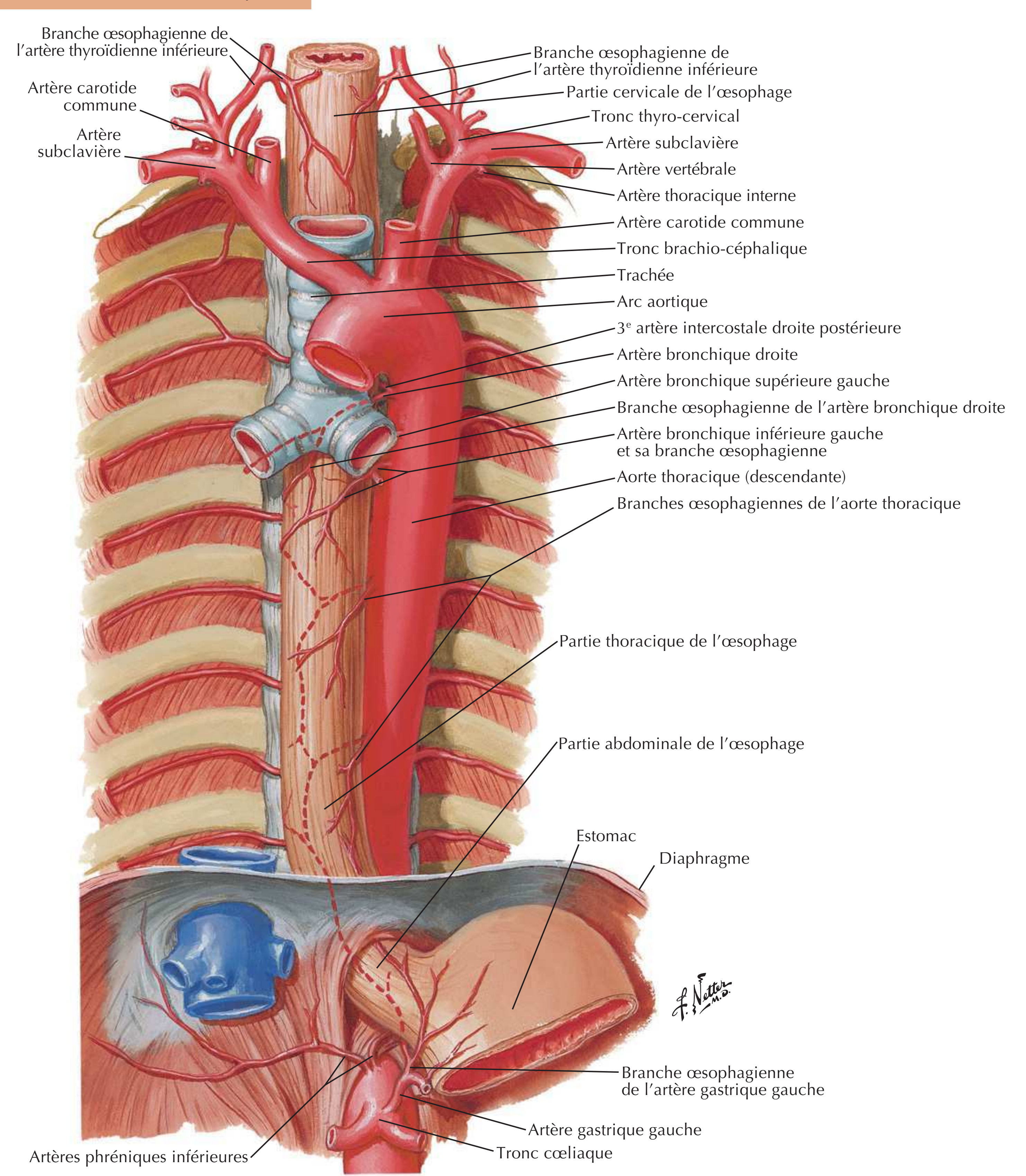
Jonction gastro-œsophagienne

Muqueuse œsophagienne
Sous-muqueuse
Diaphragme
Anneau graisseux sous-diaphragmatique (espace celluleux hiatal)
Ligne sinueuse : jonction des muqueuses gastrique et œsophagienne
Partie cardiale de l'estomac
Plis gastriques (rides)
Muscle œsophagien longitudinal
Muscle œsophagien circulaire
Léger épaississement musculaire graduel
Gaine fasciale œsophagienne (lame ascendante)
Fascia phrénico-pleural
Diaphragme
Fascia diaphragmatique (transversalis)
Gaine fasciale œsophagienne (lame descendante)
Péritoine
Incisure cardiale

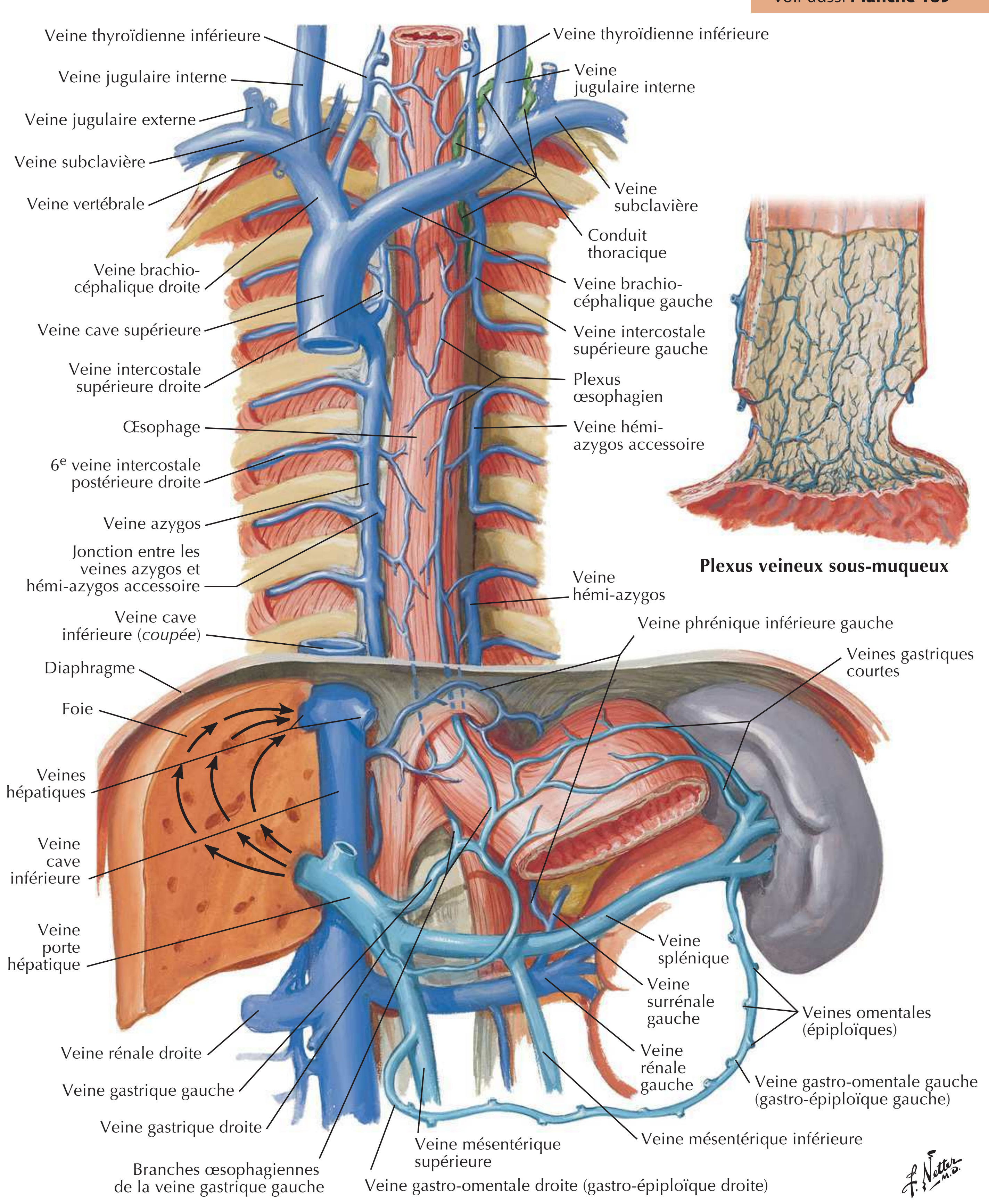
Muscle œsophagien longitudinal (*coupé*)
Muscle œsophagien circulaire (*montré ici en spirale*)
Incisure cardiale
Fundus de l'estomac
Collier d'Helvétius
Fenêtre découpée au milieu de la couche musculaire circulaire de l'estomac
Couche musculaire oblique profonde de l'estomac (en cravate)
Couche musculaire longitudinale externe de l'estomac (*coupée*)

Artères de l'œsophage

Voir aussi **Planches 204, 284**

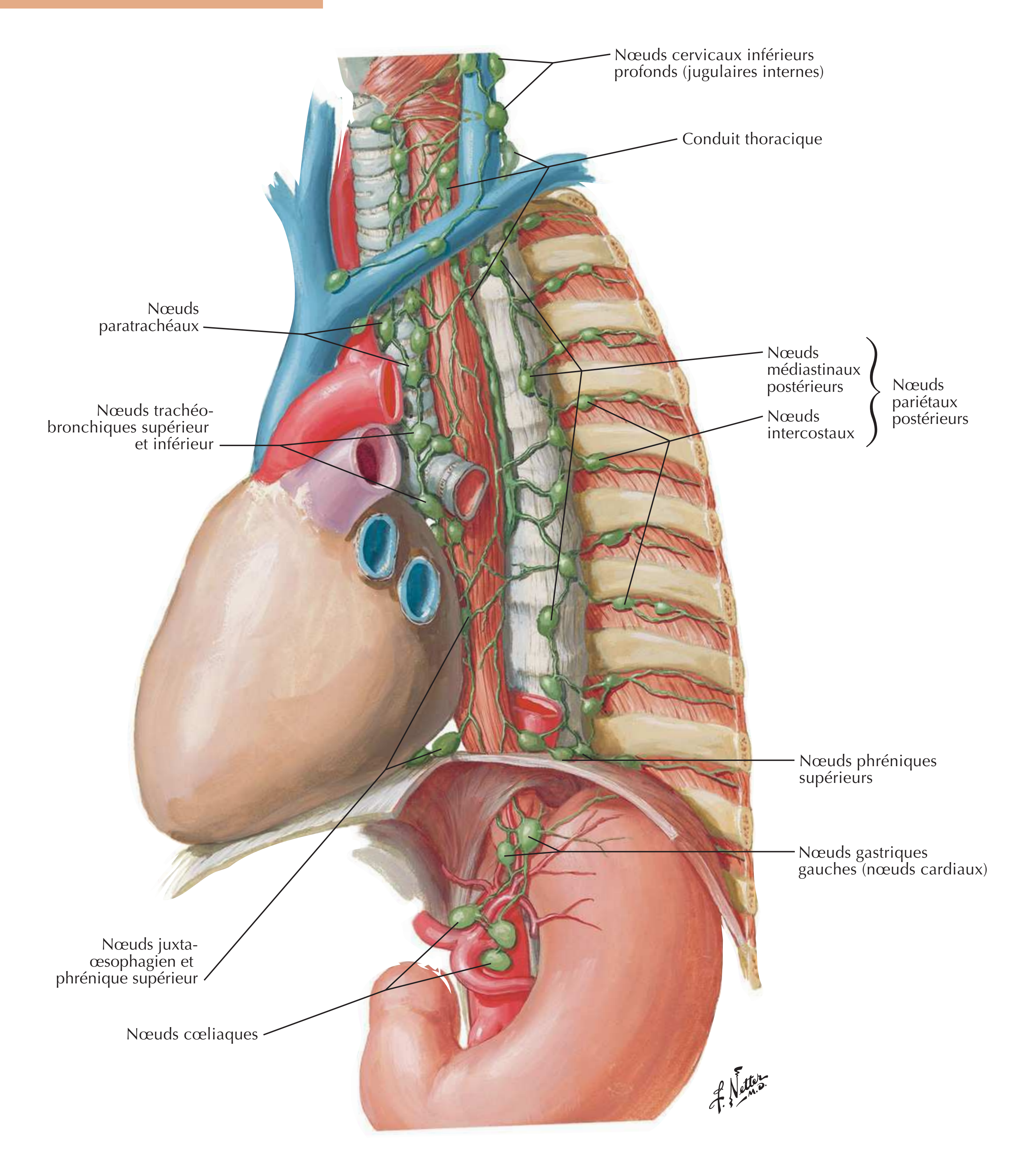


Voir aussi **Planche 189**



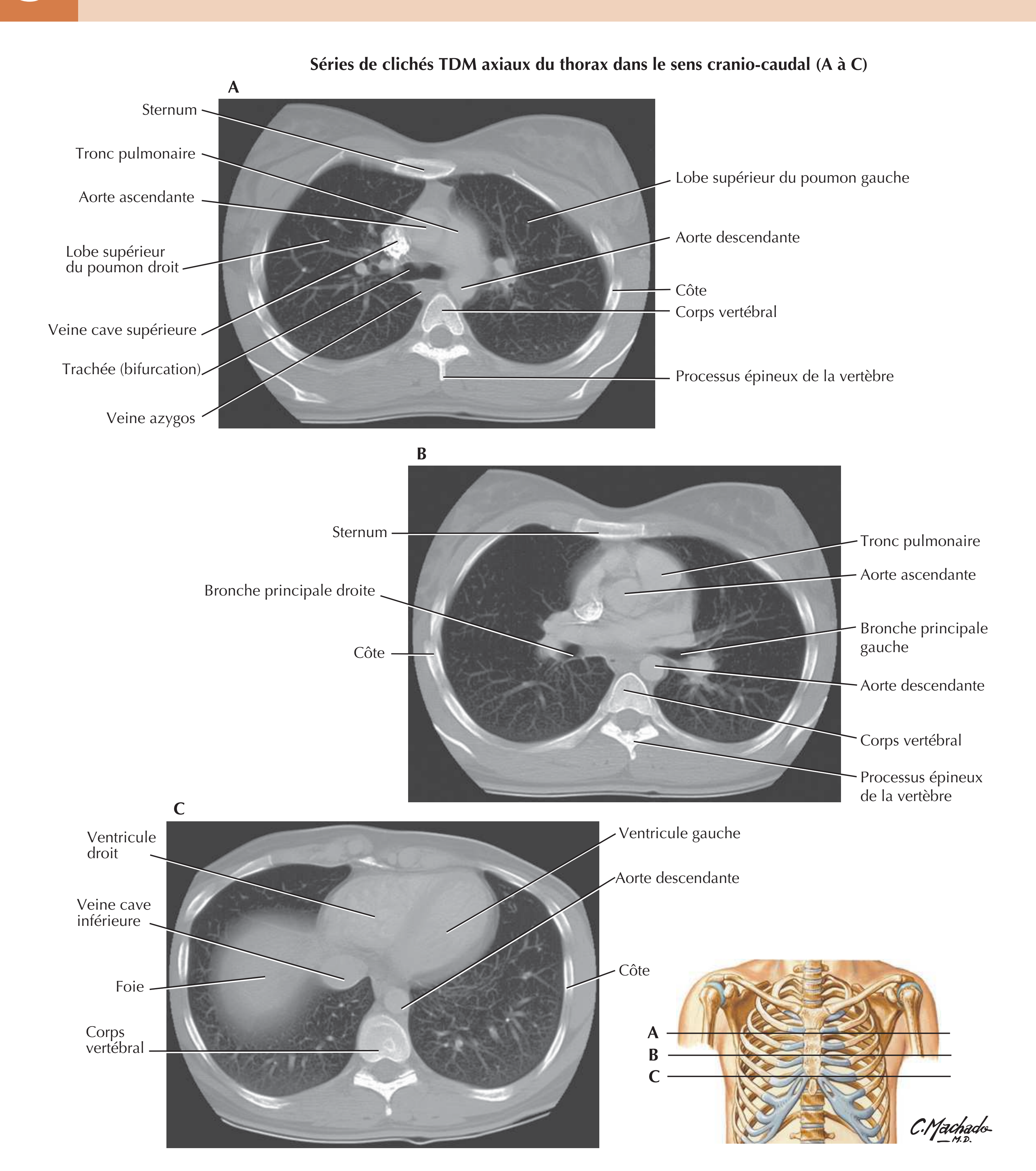
Vaisseaux et nœuds lymphatiques de l'œsophage

Voir aussi **Planches 205, 293**



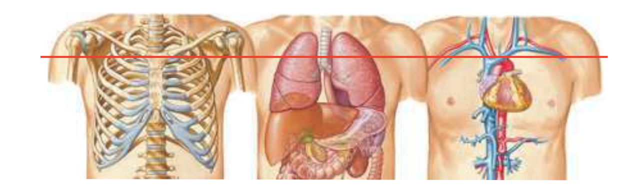
Nerfs de l'œsophage

Coupe du thorax : clichés axiaux TDM





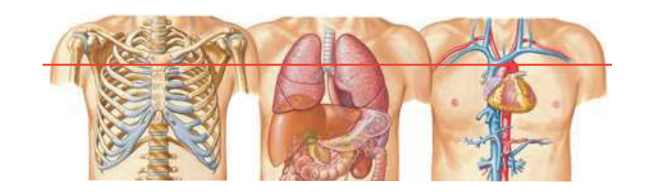
Coupe transversale du thorax au niveau T3



Nœud lymphatique médiastinal
Manubrium
Articulation sterno-claviculaire (disque articulaire)
Tronc brachio-céphalique
Clavicule
Trachée
Veine brachio-céphalique droite
Veine brachio-céphalique gauche
Cartilage costal de la 1re côte
Artère carotide commune gauche
Muscle grand pectoral
Nerf vague gauche (X)
Poumon droit
Muscle petit pectoral
Fosse axillaire
Artère subclavière gauche
Tendon du chef long du muscle biceps brachial
Corps (diaphyse) de l'humérus gauche
Col chirurgical de l'humérus droit
Chef long du muscle triceps brachial
Muscle deltoïde
Nerf phrénique
Muscle petit rond
Muscles intercostaux
Scapula
Muscle subscapulaire
Poumon gauche
Nerf vague droit (X)
Muscle infra-épineux
Œsophage
Muscle dentelé antérieur
Muscle grand rhomboïde
Nerf laryngé récurrent gauche
Articulation costo-transversaire
Conduit thoracique
Muscle trapèze
Muscle érecteur du rachis
Corps de la vertèbre T3
Moelle spinale
Muscle transversaire épineux

C.Machado M.D.

Coupe transversale du thorax au niveau T3-T4

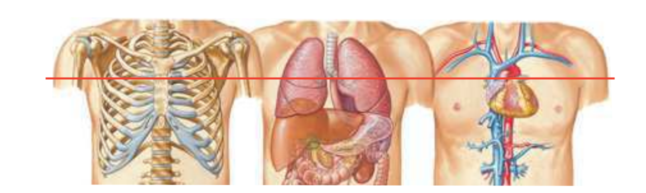


Thymus
Manubrium
Trachée
Arc aortique
Veine cave supérieure
Artère et veine thoraciques internes
Nœud lymphatique trachéo-bronchique supérieur
Poumon gauche
Nerf phrénique droit
Côtes
Arc de la veine azygos
Muscle petit pectoral
Poumon droit
Muscle grand pectoral
Muscles intercostaux
Fosse axillaire
Muscle dentelé antérieur
Tendon du chef long
du muscle biceps brachial
Fusion du chef court
du biceps brachial
et du muscle coraco-brachial
Muscle grand dorsal
Chef latéral du muscle
triceps brachial
Corps (diaphyse)
de l'humérus
Muscle
deltoïde
Chef long
du muscle
triceps brachial
Tendon du muscle grand dorsal
gauche (s'insérant sur l'humérus)
Muscle grand rond
Muscle subscapulaire
Muscle petit rond
Muscle infra-épineux
Scapula
Scissure (fissure) oblique (du poumon gauche)
Œsophage
Nerf vague gauche (X)
Muscle rhomboïde
Nerf laryngé récurrent gauche
Muscle trapèze
Conduit thoracique
Disque intervertébral T3-T4
Moelle spinale

C. Machado M.D.



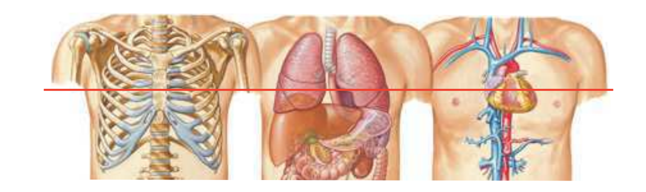
Coupe transversale du thorax au niveau T4-T5



Nœuds lymphatiques trachéo-bronchiques inférieurs
Aorte ascendante
Artère pulmonaire droite
Veine cave supérieure
Muscle grand pectoral
Poumon droit
Muscles intercostaux
Fosse axillaire
Tendon du chef long du muscle biceps brachial
Muscle coraco-brachial
Muscle deltoïde
Chef latéral du muscle triceps brachial
Chef long du muscle triceps brachial
Scapula
Muscle infra-épineux
Muscle grand rhomboïde
Bronche principale droite
Veine azygos
Œsophage
Disque intervertébral T4-T5
Conduit thoracique
Muscle trapèze
Veine hémi-azygos accessoire
Aorte descendante
Bronche principale gauche
Muscle subscapulaire
Muscle dentelé antérieur
Muscle grand rond
Tendon du muscle grand dorsal
Corps (diaphyse) de l'humérus
Chef long du muscle biceps brachial
Côtes
Muscle petit pectoral
Poumon gauche
Artère pulmonaire gauche
Tronc pulmonaire
2e cartilage costal
Artère et veine thoraciques internes
Articulation manubrio-sternale

C. Machado M.D.

Coupe transversale du thorax au niveau T7



Sternum (corps)

Orifice de la valve atrio-ventriculaire droite (tricuspide)

Ventricule droit

Artère et veine thoraciques internes

Atrium gauche

Sillon interventriculaire antérieur

Atrium droit

Muscle grand pectoral

Septum interatrial

Apex du cœur

Veine cave supérieure

Septum interventriculaire

Veine pulmonaire
inférieure droite

Muscle papillaire

Œsophage

Ventricule gauche

Veine azygos

Cuspide de la valve
atrio-ventriculaire gauche
(mitrale)

Muscle dentelé
antérieur

Sinus coronaire

Muscle grand
dorsal

Sinus oblique
du péricarde

Angle inférieur
de la scapula

Aorte descendante

Triangle d'auscultation

Conduit thoracique

Col de la 7[e] côte

Tête de la 7[e] côte

Articulation zygapophysaire (facette articulaire)

Muscle trapèze

Corps de la vertèbre T7

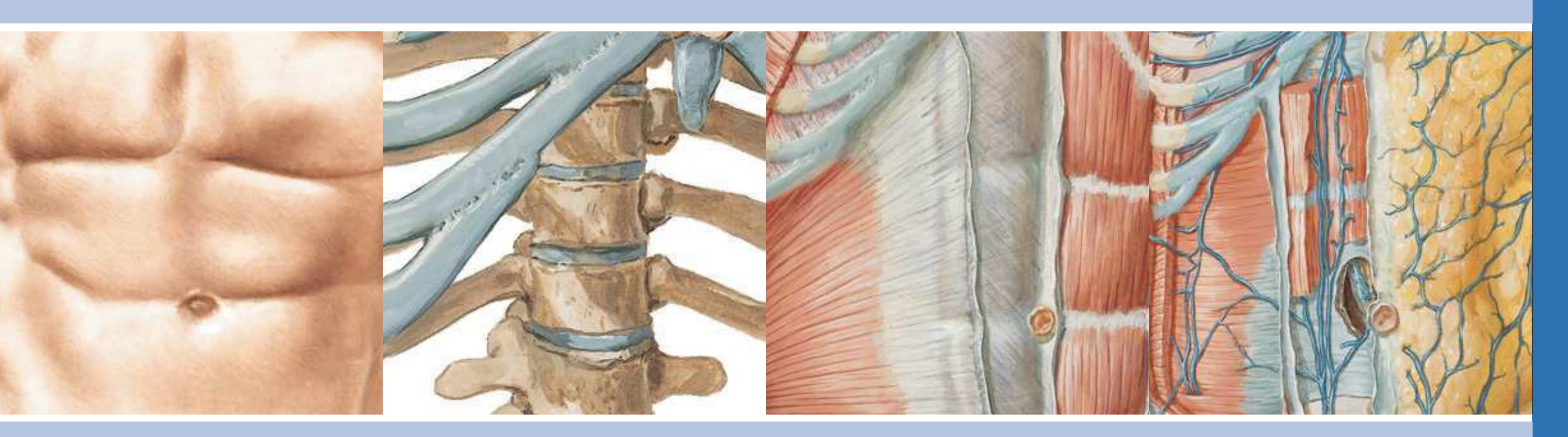
C. Machado M.D.



MUSCLE	INSERTION PROXIMALE (ORIGINE)	INSERTION DISTALE (TERMINAISON)	INNERVATION	ACTIONS PRINCIPALES	VASCULARISATION ARTÉRIELLE	GROUPE MUSCULAIRE
Diaphragme	Processus xiphoïde, six derniers cartilages costaux, vertèbres L1-L3, ligaments arqués	Convergence vers le centre tendineux	Nerf phrénique	Attire le centre tendineux vers le bas et l'avant pendant l'inspiration	Artères péricardiaco-phréniques, musculo-phréniques et phréniques supérieures et inférieures	Muscle de la paroi abdominale postérieure
Dentelé antérieur	Face externe des 8 à 9 premières côtes	Face costale du bord médial (vertébral) de la scapula	Nerf thoracique long	Entraîne une protraction la scapula et la fixe contre la paroi thoracique	Artère thoracique latérale	Muscles pectoraux/ région axillaire
Dentelé postéro-inférieur	Processus épineux des vertèbres T11-L2	Bord inférieur des côtes 9 à 12	Branche ventrale (ou nerfs intercostaux) des derniers nerfs thoraciques	Abaisse les côtes	Artères intercostales postérieures	Muscle intermédiaire du dos
Dentelé postéro-supérieur	Ligament nucal, processus épineux des vertèbres C7-T3	Bord supérieur des côtes 2 à 4	Branche ventrale (ou nerfs intercostaux) des derniers nerfs thoraciques	Élèvent les côtes	Artères intercostales postérieures	Muscle intermédiaire du dos
Élévateurs des côtes	Processus transverses des vertèbres C7 et T1-T11	Côte sous-jacente à l'insertion d'origine, entre tubercule et angle	Rameaux dorsaux des derniers nerfs thoraciques	Élèvent les côtes	Artères intercostales postérieures	Muscle de la paroi thoracique
Grand pectoral	Moitié sternale de la clavicule, sternum jusqu'en regard du 7e cartilage costal, cartilages costaux des vraies côtes, aponévrose du muscle oblique externe	Lèvre latérale (crête du tubercule majeur) du sillon intertuberculaire de l'humérus	Nerfs pectoraux médial et latéral	Adducteur et fléchisseur du bras, rotateur médial du bras	Branche pectorale de l'artère thoraco-acromiale, branches perforantes de l'artère thoracique interne	Muscles pectoraux/ région axillaire
Intercostal externe	Bord inférieur des côtes	Bord supérieur de la côte sous-jacente à la côte d'origine	Nerfs intercostaux	Solidarise les côtes et maintient et stabilise les espaces intercostaux lors de l'inspiration et de l'expiration, élève les côtes lors de l'inspiration	Artères intercostales postérieures, branches collatérales des artères intercostales postérieures, tronc costo-cervical, branches intercostales antérieures de l'artère thoracique interne, artère musculo-phrénique	Muscle de la paroi thoracique
Intercostal intime	Bord inférieur des côtes	Bord supérieur de la côte sous-jacente à la côte d'origine	Nerfs intercostaux	Élève les côtes	Branches musculaires des artères intercostales antérieures, branches musculaires des artères intercostales postérieures, branches intercostales des artères thoracique interne et musculo-phrénique, branches du tronc costo-cervical	Muscle de la paroi thoracique
Intercostal interne	Bord supérieur des côtes	Cartilage costal et extrémité du sillon costal de la côte sus-jacente à la côte d'origine	Nerfs intercostaux	S'oppose aux déplacements vers l'intérieur ou vers l'extérieur des espaces intercostaux pendant l'inspiration et l'expiration, abaisse les côtes à l'expiration forcée	Branches musculaires des artères intercostales antérieures, branches musculaires des artères intercostales postérieures, branches intercostales des artères thoracique interne et musculo-phrénique, branches du tronc costo-cervical	Muscle de la paroi thoracique
Petit pectoral	Face externe des bords supérieurs des côtes 3 à 5	Processus coracoïde de la scapula	Nerf pectoral médial	Abaisse l'angle latéral de la scapula, attire l'épaule vers l'avant (protraction)	Branche pectorale de l'artère thoraco-acromiale, branches intercostales de l'artère thoracique latérale	Muscles pectoraux/ région axillaire
Subcostaux	Face interne des dernières côtes proches de leur angle	Bord supérieur de la deuxième ou troisième côte sous-jacente	Nerfs intercostaux	Abaissent les côtes	Artères intercostales postérieures, artère musculo-phrénique	Muscle de la paroi thoracique
Transverse du thorax	Face interne des cartilages costaux 2-6	Face postérieure de la partie inférieure du sternum	Nerfs intercostaux	Abaisse les côtes et les cartilages costaux	Artères intercostales antérieures, artère thoracique interne	Muscle de la paroi thoracique

Des variations dans les contributions des nerfs spinaux dans l'innervation des muscles, dans la vascularisation artérielle des muscles, dans leurs insertions et leurs actions sont des événements fréquents dans l'anatomie humaine. Ainsi, il peut exister des différences entre les textes de différents ouvrages : considérez que les variations anatomiques sont normales.

Page blanche



Section 4 ABDOMEN

Anatomie de surface

Planche 242

Paroi du corps

Planches 243-262

4 ABDOMEN

Cavité péritonéale

Planches 263-268

Viscères (intestin)

Planches 269-276

Viscères (organes accessoires)

Planches 277-282

Vascularisation viscérale

Planches 283-296

Innervation

Planches 297-307

Reins et glandes surrénales

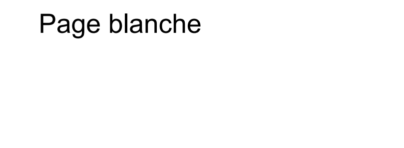
Planches 308-320

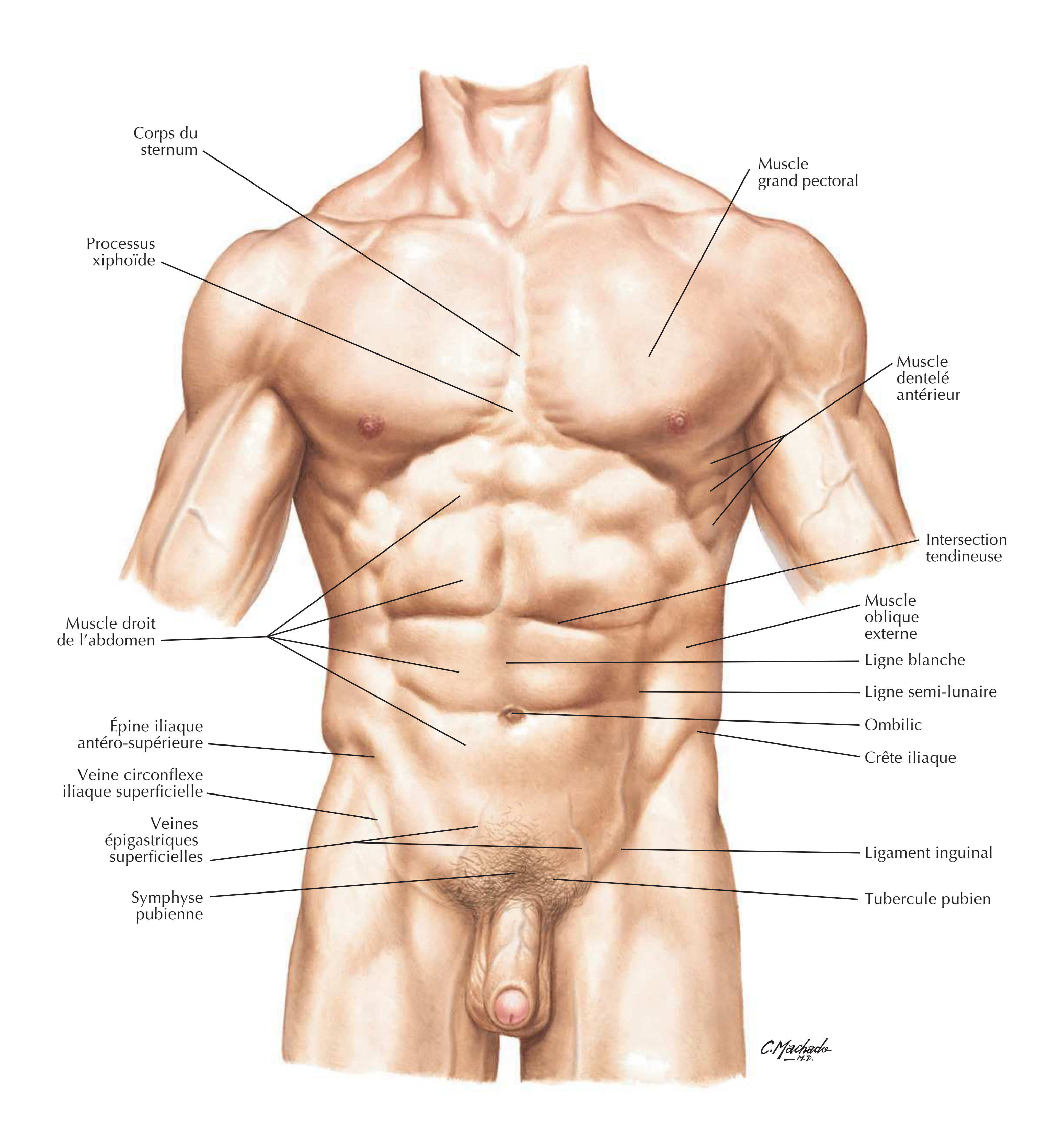
Coupes et imagerie

Planches 321-328

Muscles

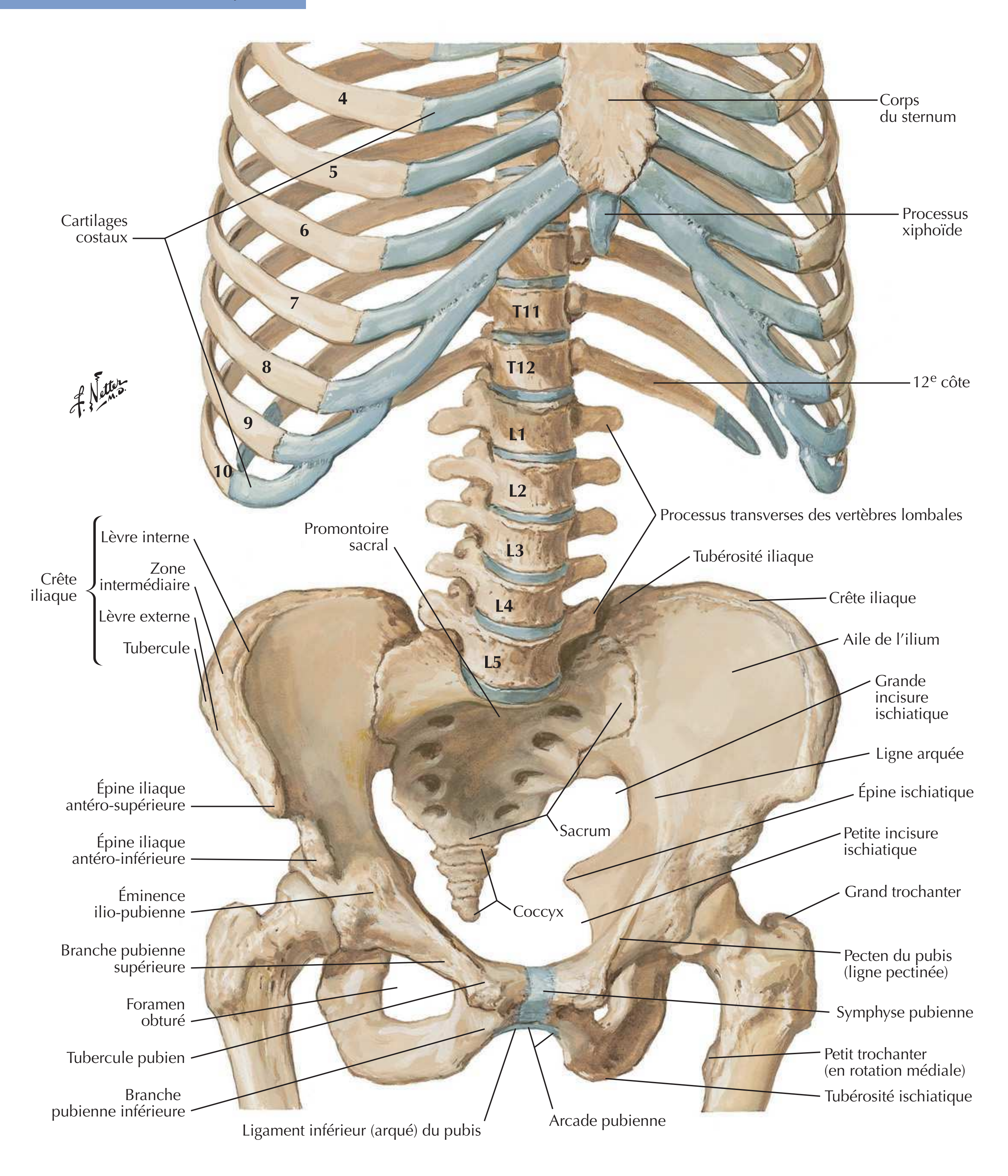
Tableau 4-1


Page blanche

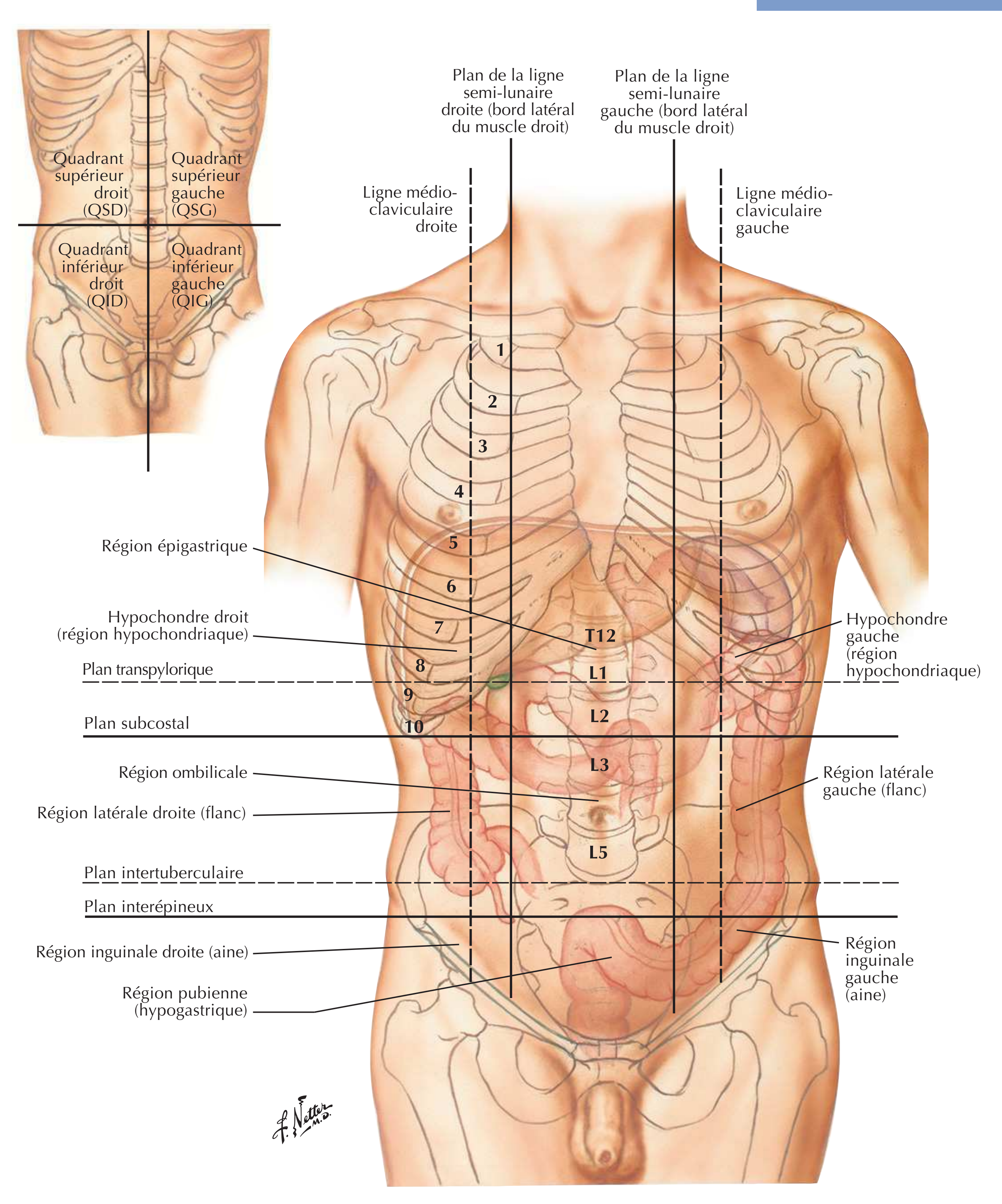

Corps du sternum
Processus xiphoïde
Muscle droit de l'abdomen
Épine iliaque antéro-supérieure
Veine circonflexe iliaque superficielle
Veines épigastriques superficielles
Symphyse pubienne
Muscle grand pectoral
Muscle dentelé antérieur
Intersection tendineuse
Muscle oblique externe
Ligne blanche
Ligne semi-lunaire
Ombilic
Crête iliaque
Ligament inguinal
Tubercule pubien
C.Machado M.D.

Squelette de l'abdomen

Voir aussi **Planches 183, 332**

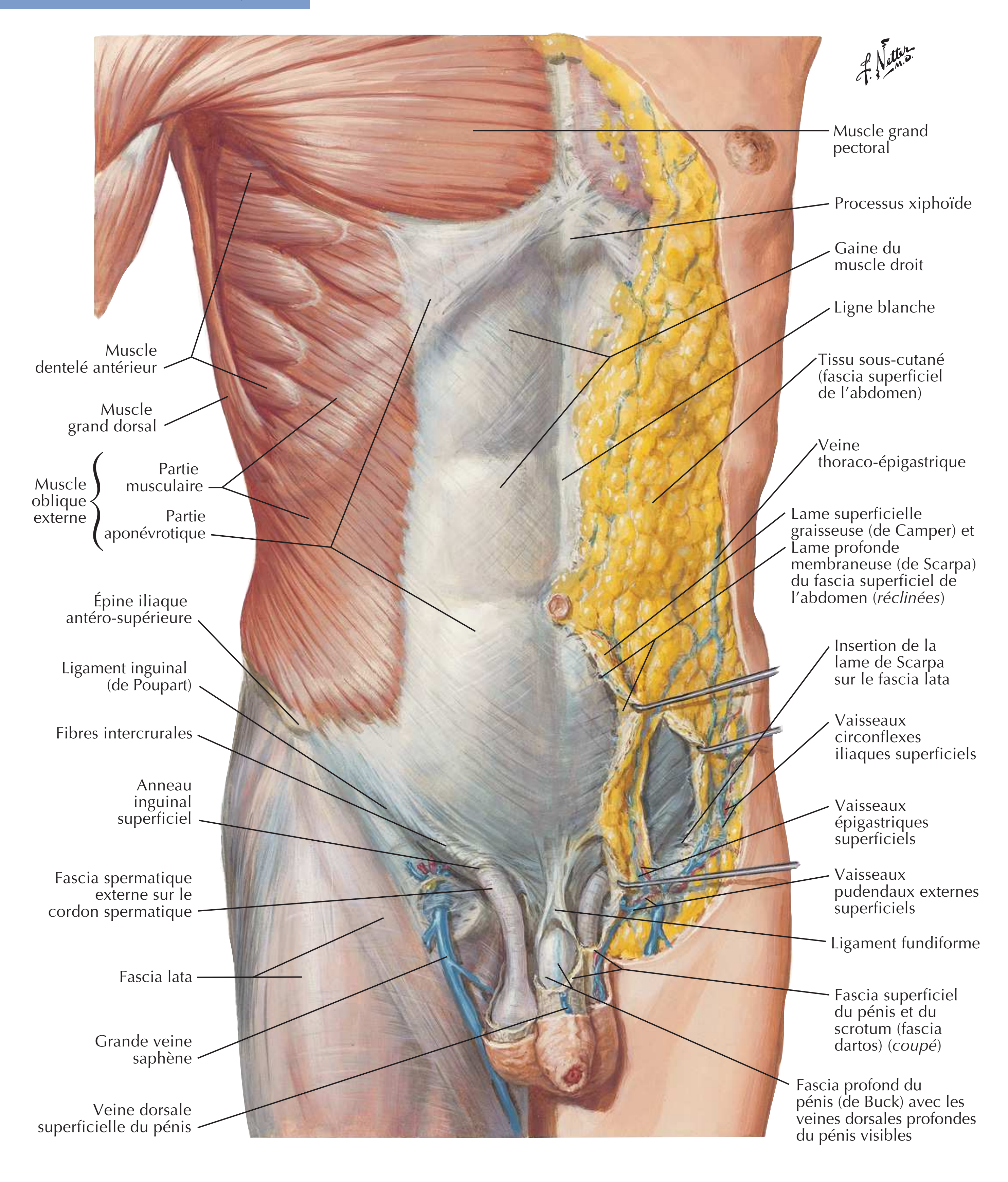


Voir aussi **Planche 193**

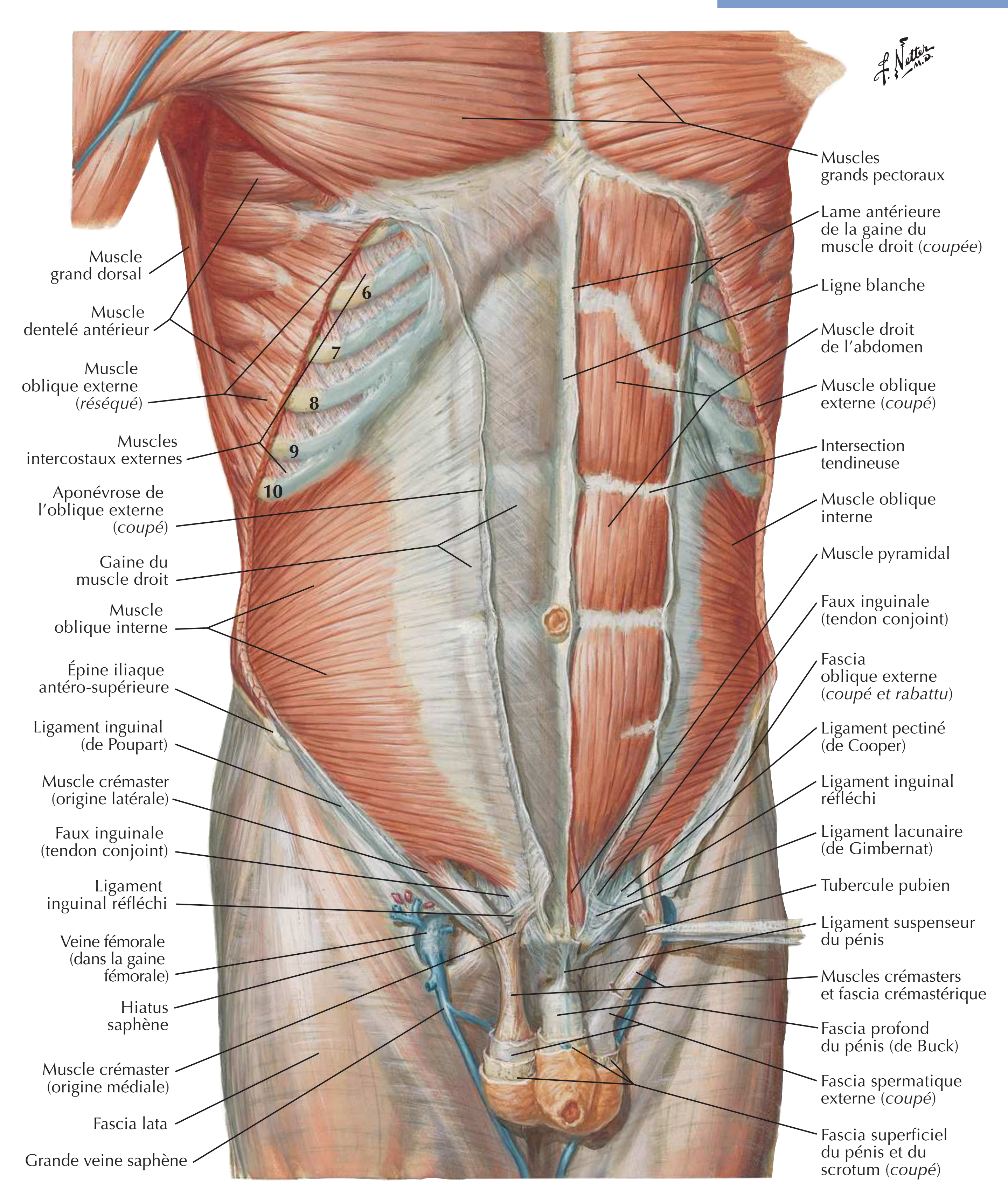


Paroi abdominale antérieure : dissection superficielle

Voir aussi **Planches 252, 329**

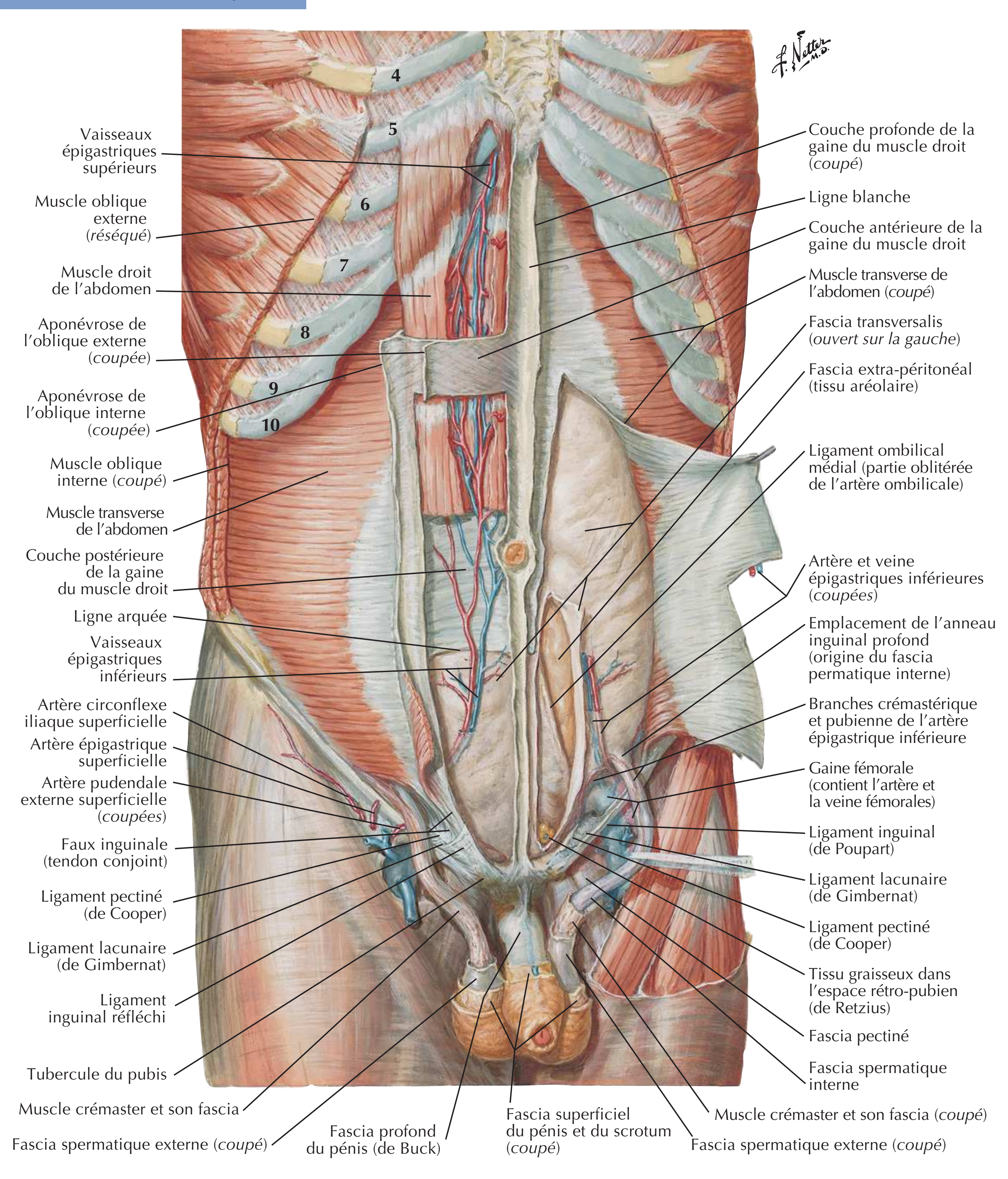


Voir aussi **Planches 185, 186**



Paroi abdominale antérieure : dissection profonde

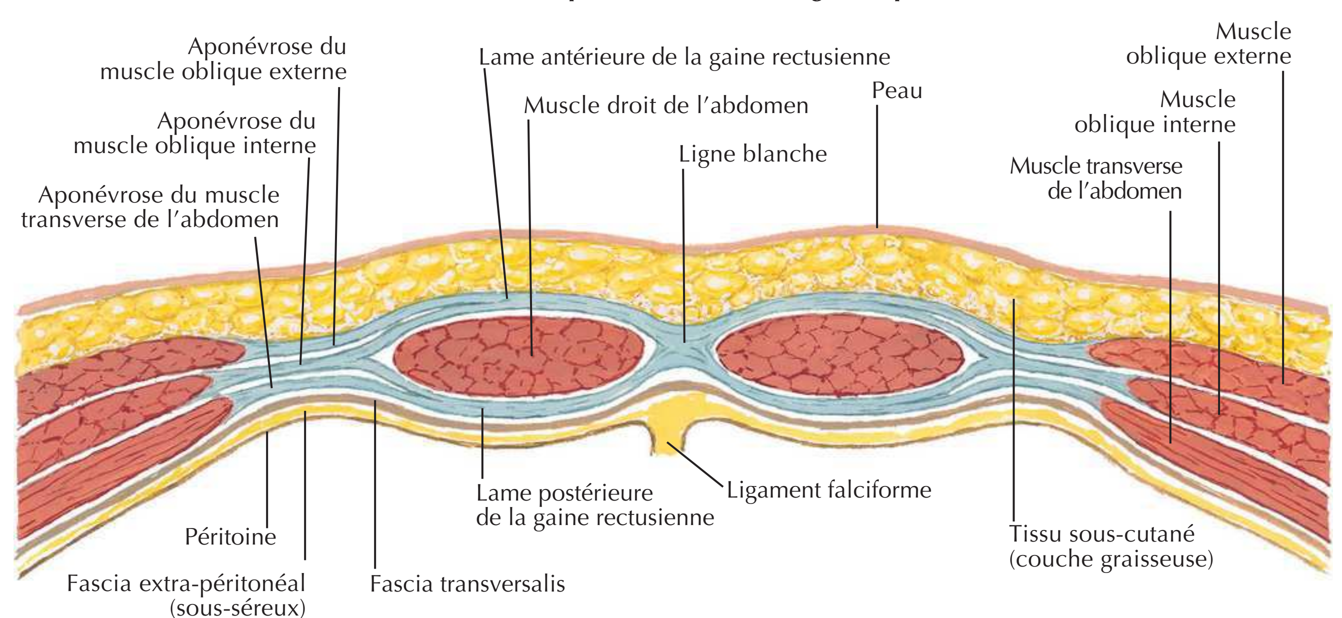
Voir aussi **Planches 186, 251**





Gaine rectusienne : coupes transversales

Coupe au-dessus de la ligne arquée



L'aponévrose du muscle oblique interne se dédouble pour former les lames antérieure et postérieure de la gaine rectusienne. L'aponévrose du muscle oblique externe adhère à la lame antérieure de la gaine rectusienne ; l'aponévrose du muscle transverse de l'abdomen adhère à la lame postérieure des lames antérieure et postérieure de la gaine rectusienne qui s'unissent médialement pour former la ligne blanche.

Coupe sous la ligne arquée

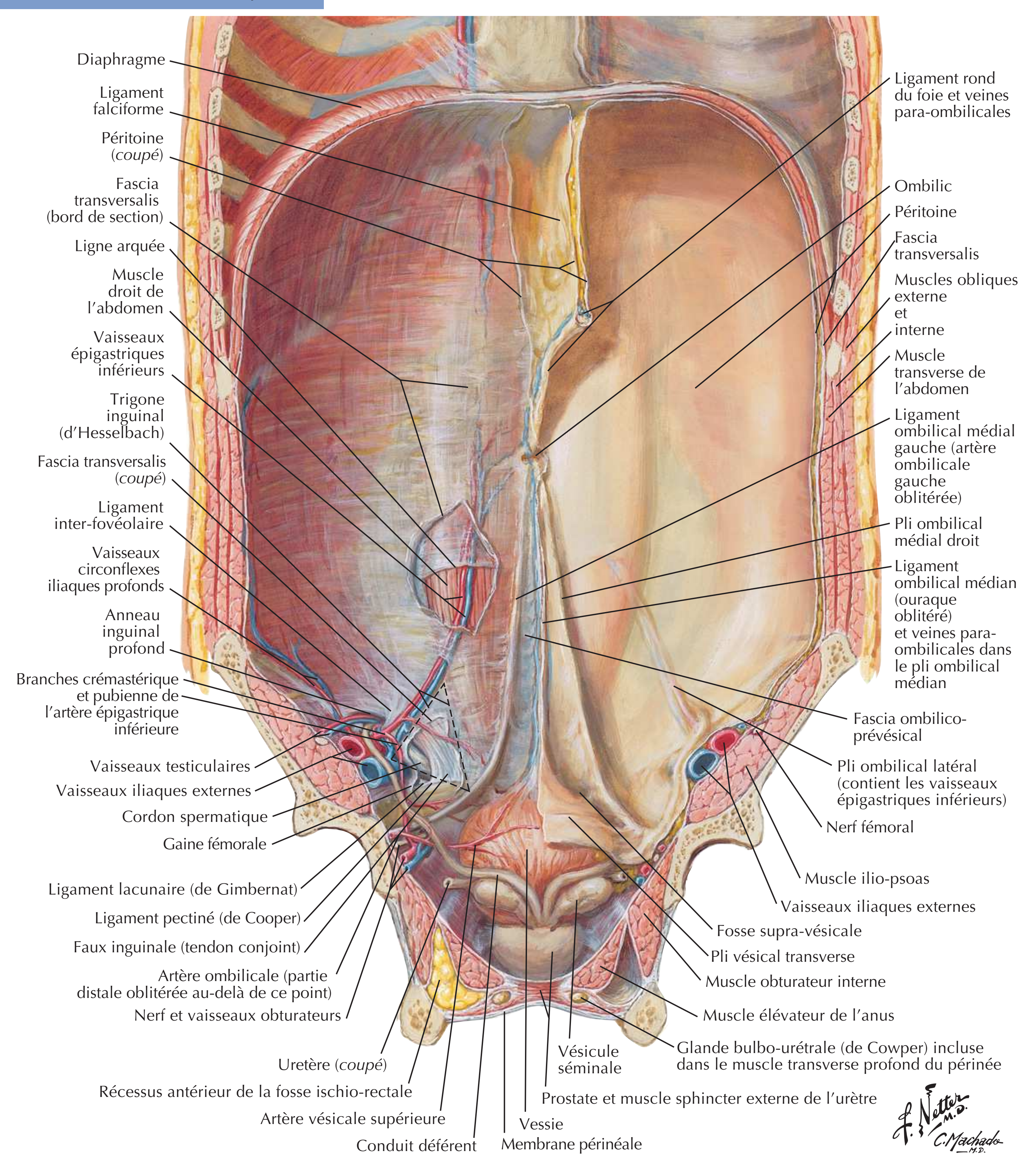
Aponévrose du muscle oblique externe
Aponévrose du muscle oblique interne
Aponévrose du muscle transverse de l'abdomen
Couche antérieure de la gaine rectusienne
Muscle droit de l'abdomen
Peau
Muscle oblique externe
Muscle oblique interne
Muscle transverse de l'abdomen
Fascia transversalis
Péritoine
Fascia extra-péritonéal (sous-séreux)
Ligament ombilical médian (ouraque oblitéré) dans le pli ombilical médian
Ligament et pli ombilicaux médiaux
Tissu sous-cutané (couches graisseuse et membraneuse)

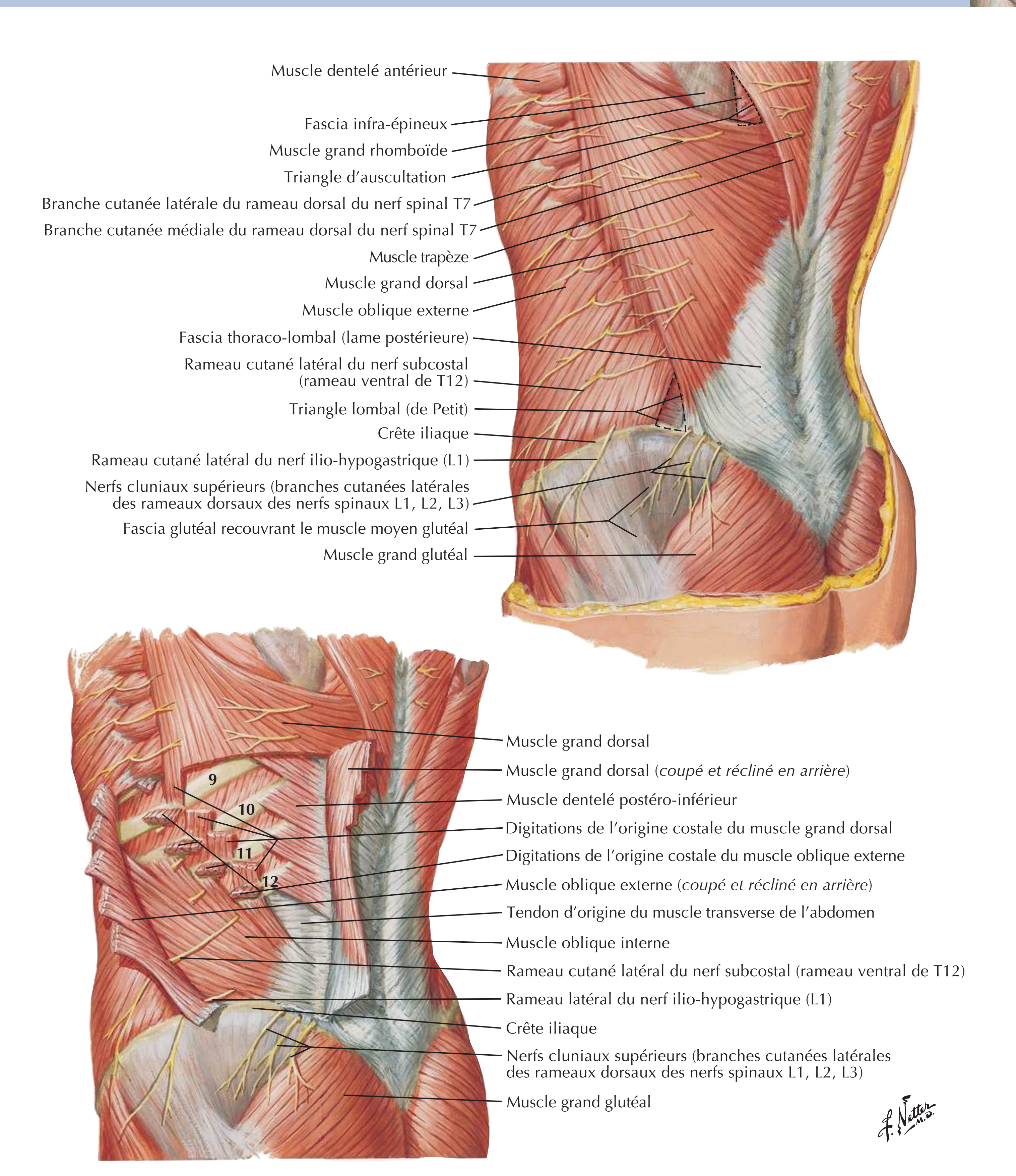
L'aponévrose du muscle oblique interne ne se dédouble pas à ce niveau, mais passe complètement en avant du muscle droit de l'abdomen et s'accole ici aux aponévroses des muscles oblique externe et transverse de l'abdomen ; ainsi, la lame postérieure de la gaine rectusienne est absente sous la ligne arquée et le muscle droit de l'abdomen est recouvert du fascia transversalis.



Paroi abdominale antérieure : vue interne

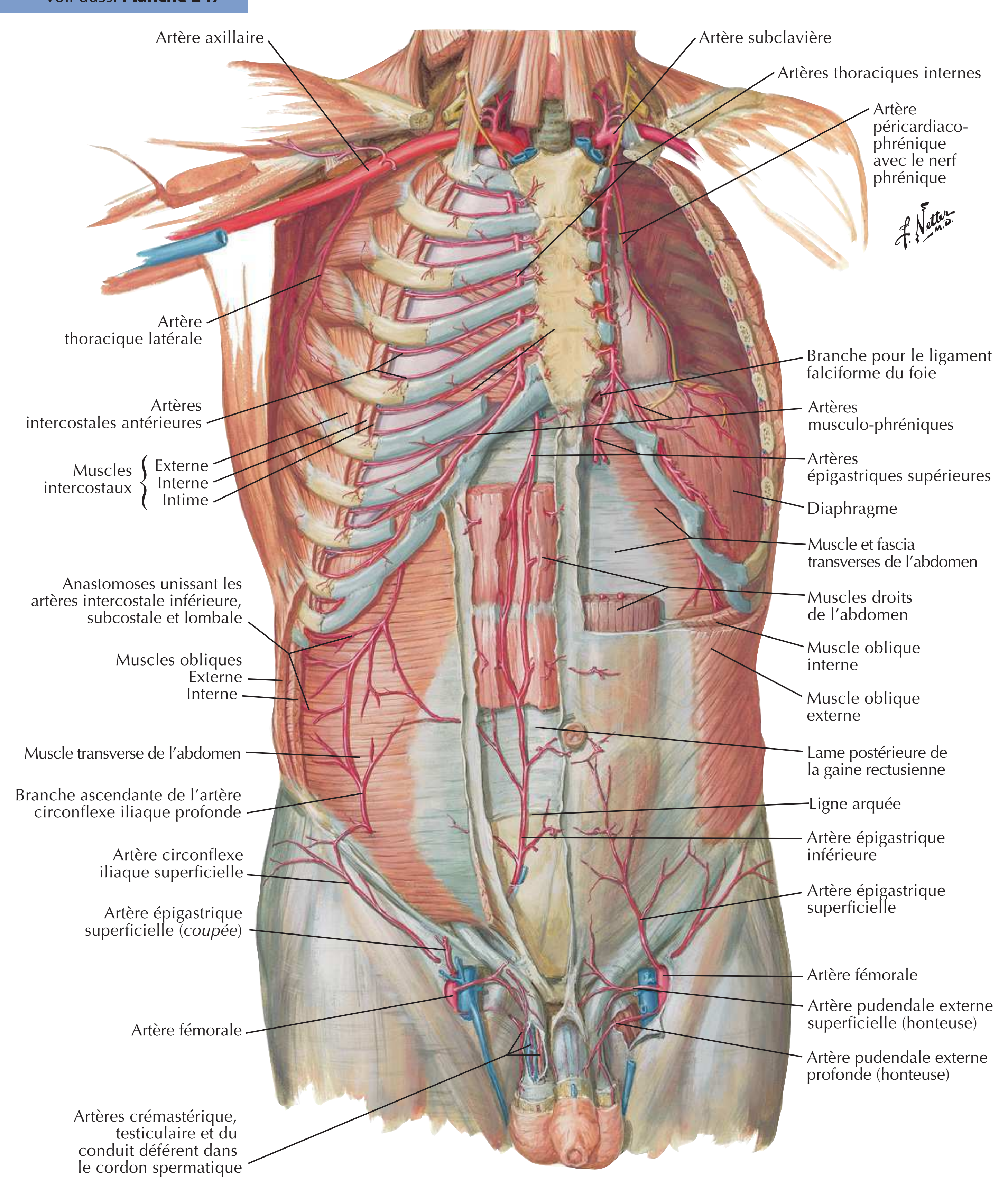
Voir aussi **Planches 362, 381**




Muscle dentelé antérieur
Fascia infra-épineux
Muscle grand rhomboïde
Triangle d'auscultation
Branche cutanée latérale du rameau dorsal du nerf spinal T7
Branche cutanée médiale du rameau dorsal du nerf spinal T7
Muscle trapèze
Muscle grand dorsal
Muscle oblique externe
Fascia thoraco-lombal (lame postérieure)
Rameau cutané latéral du nerf subcostal (rameau ventral de T12)
Triangle lombal (de Petit)
Crête iliaque
Rameau cutané latéral du nerf ilio-hypogastrique (L1)
Nerfs cluniaux supérieurs (branches cutanées latérales des rameaux dorsaux des nerfs spinaux L1, L2, L3)
Fascia glutéal recouvrant le muscle moyen glutéal
Muscle grand glutéal
9
10
11
12
Muscle grand dorsal
Muscle grand dorsal (*coupé et récliné en arrière*)
Muscle dentelé postéro-inférieur
Digitations de l'origine costale du muscle grand dorsal
Digitations de l'origine costale du muscle oblique externe
Muscle oblique externe (*coupé et récliné en arrière*)
Tendon d'origine du muscle transverse de l'abdomen
Muscle oblique interne
Rameau cutané latéral du nerf subcostal (rameau ventral de T12)
Rameau latéral du nerf ilio-hypogastrique (L1)
Crête iliaque
Nerfs cluniaux supérieurs (branches cutanées latérales des rameaux dorsaux des nerfs spinaux L1, L2, L3)
Muscle grand glutéal
F. Netter M.D.

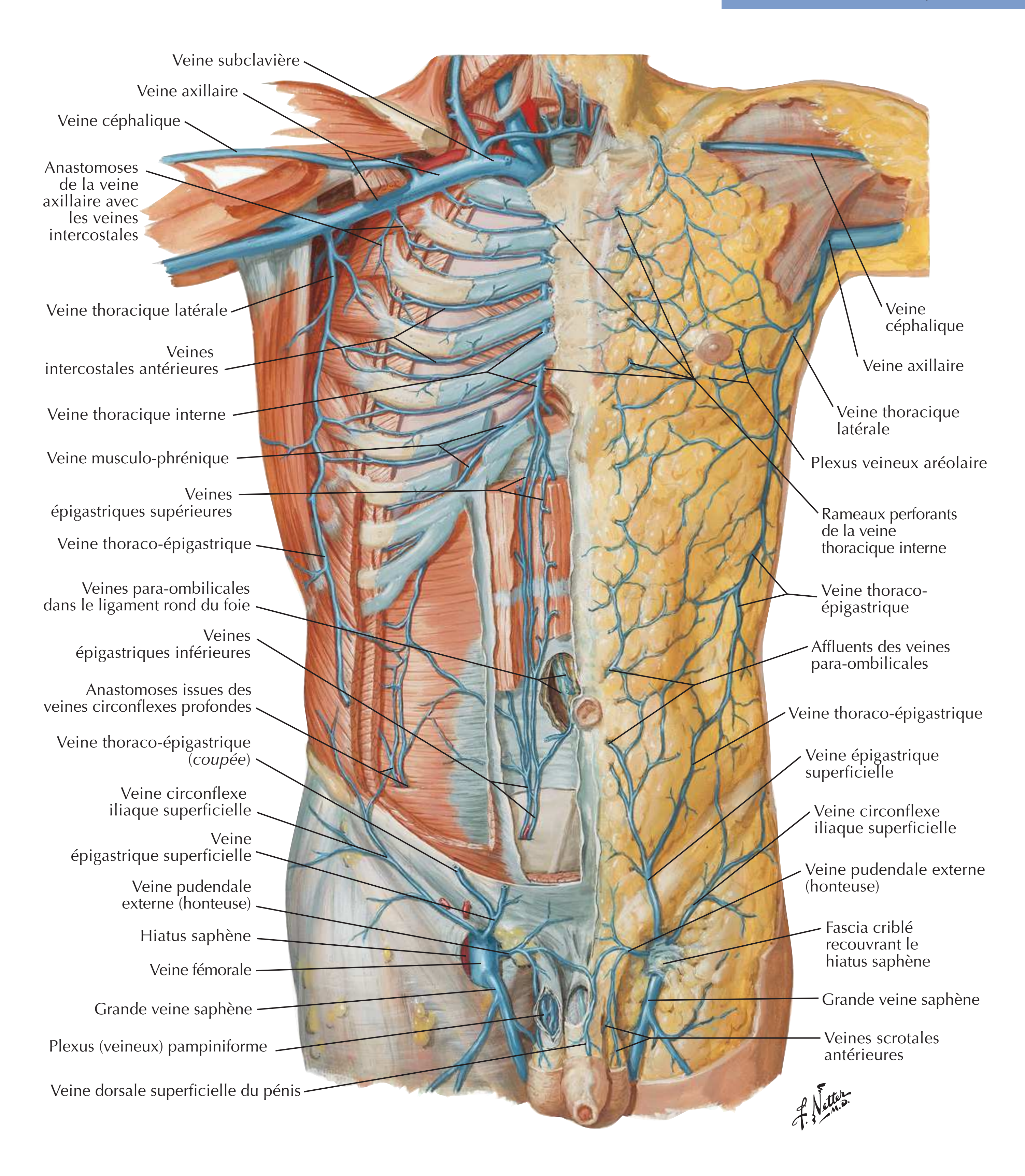
Artères de la paroi abdominale antérieure

Voir aussi **Planche 247**



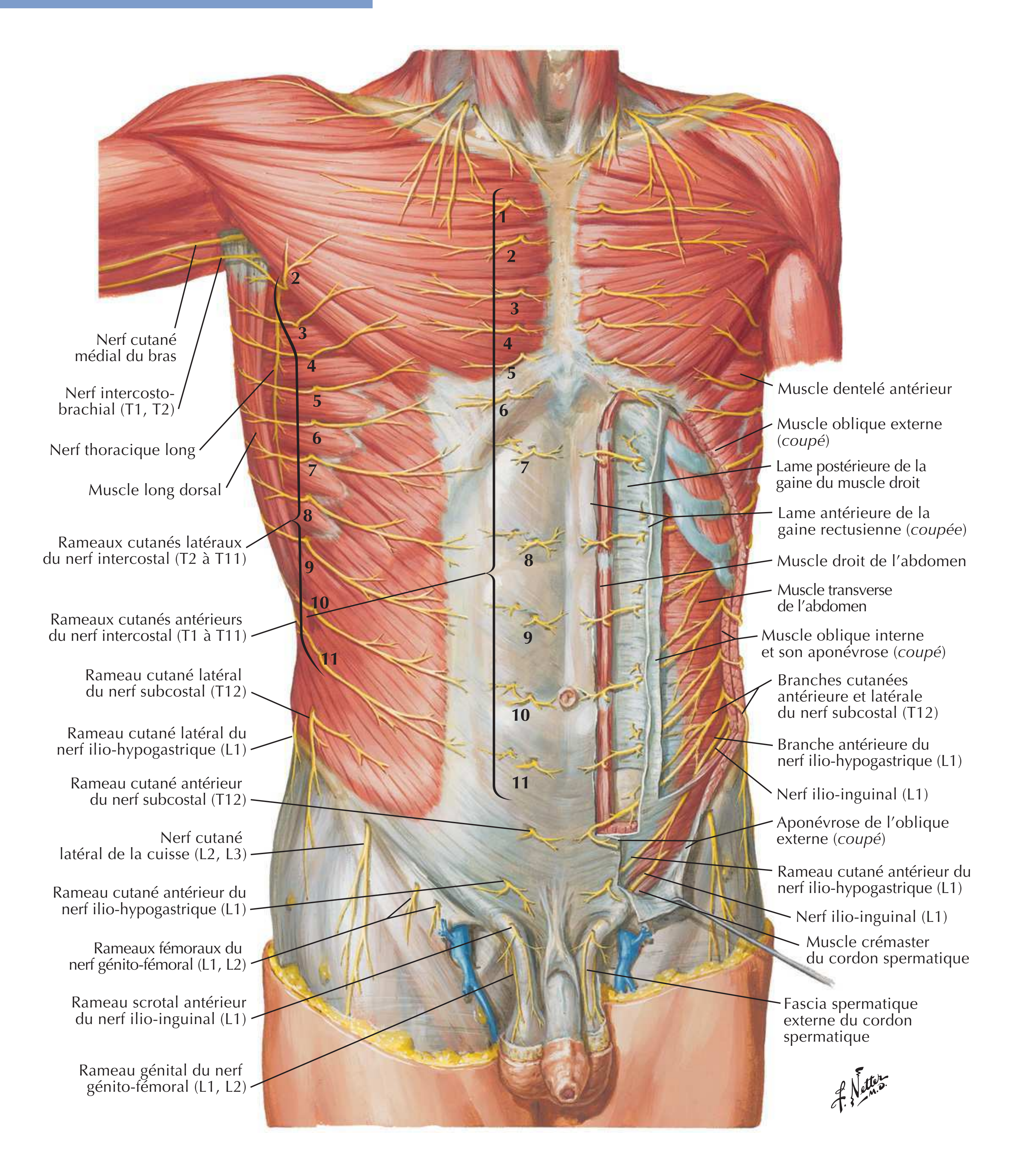
Veines de la paroi abdominale antérieure

Voir aussi **Planches 245, 248**



Nerfs de la paroi abdominale antérieure

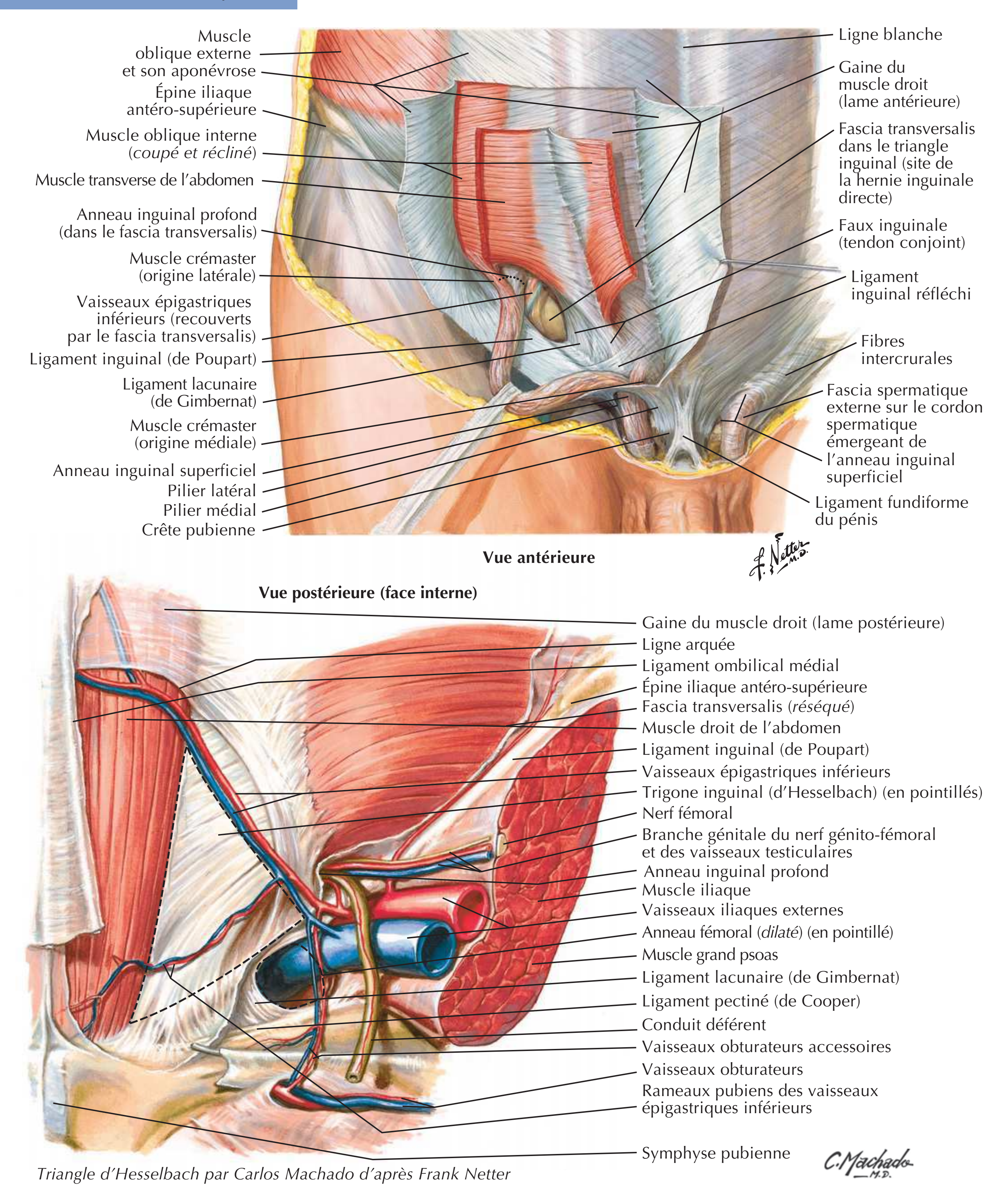
Voir aussi **Planches 177, 185, 254**



Nerfs thoraco-abdominaux

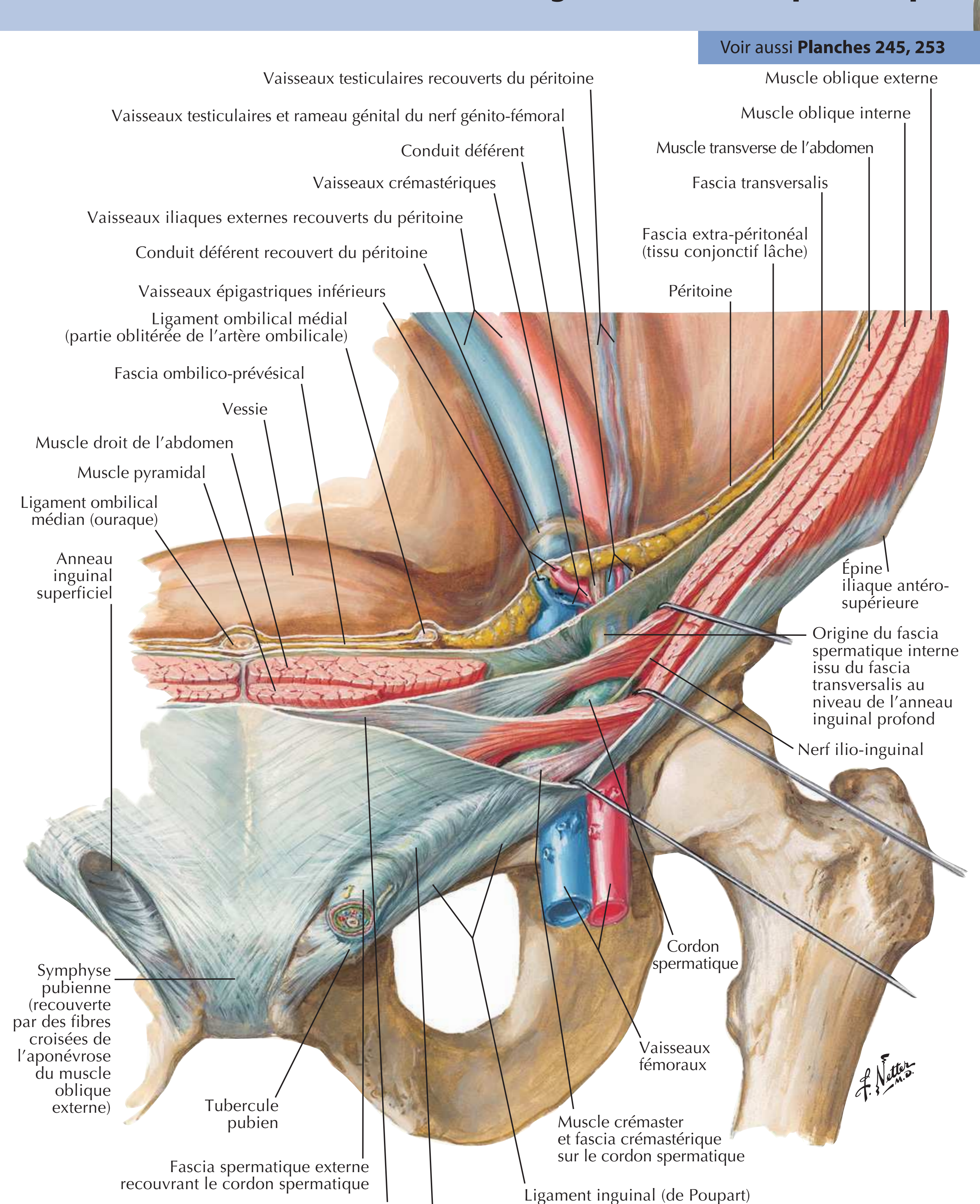
Région inguinale : dissections

Voir aussi **Planches 247, 249**



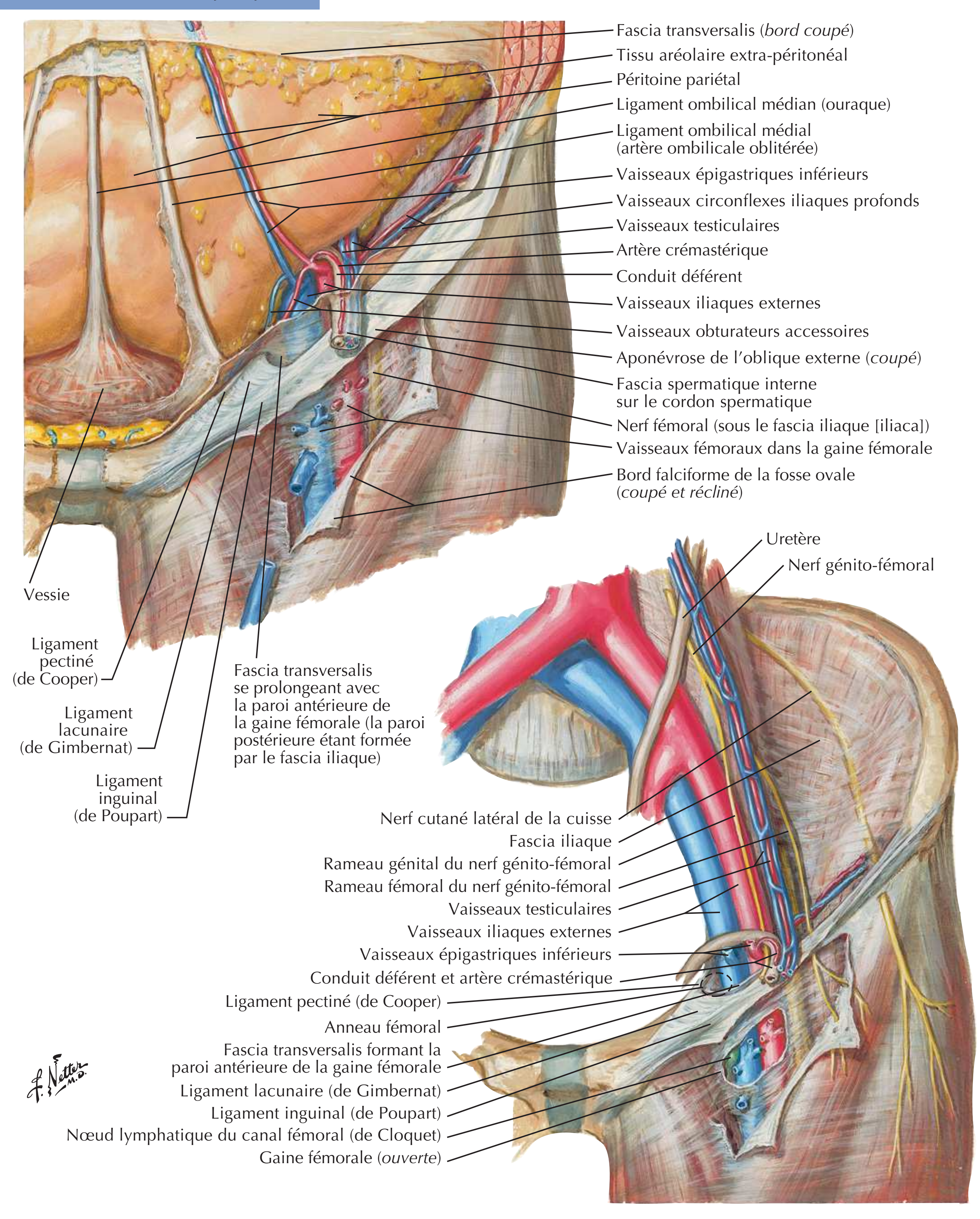
Triangle d'Hesselbach par Carlos Machado d'après Frank Netter

Voir aussi Planches 245, 253

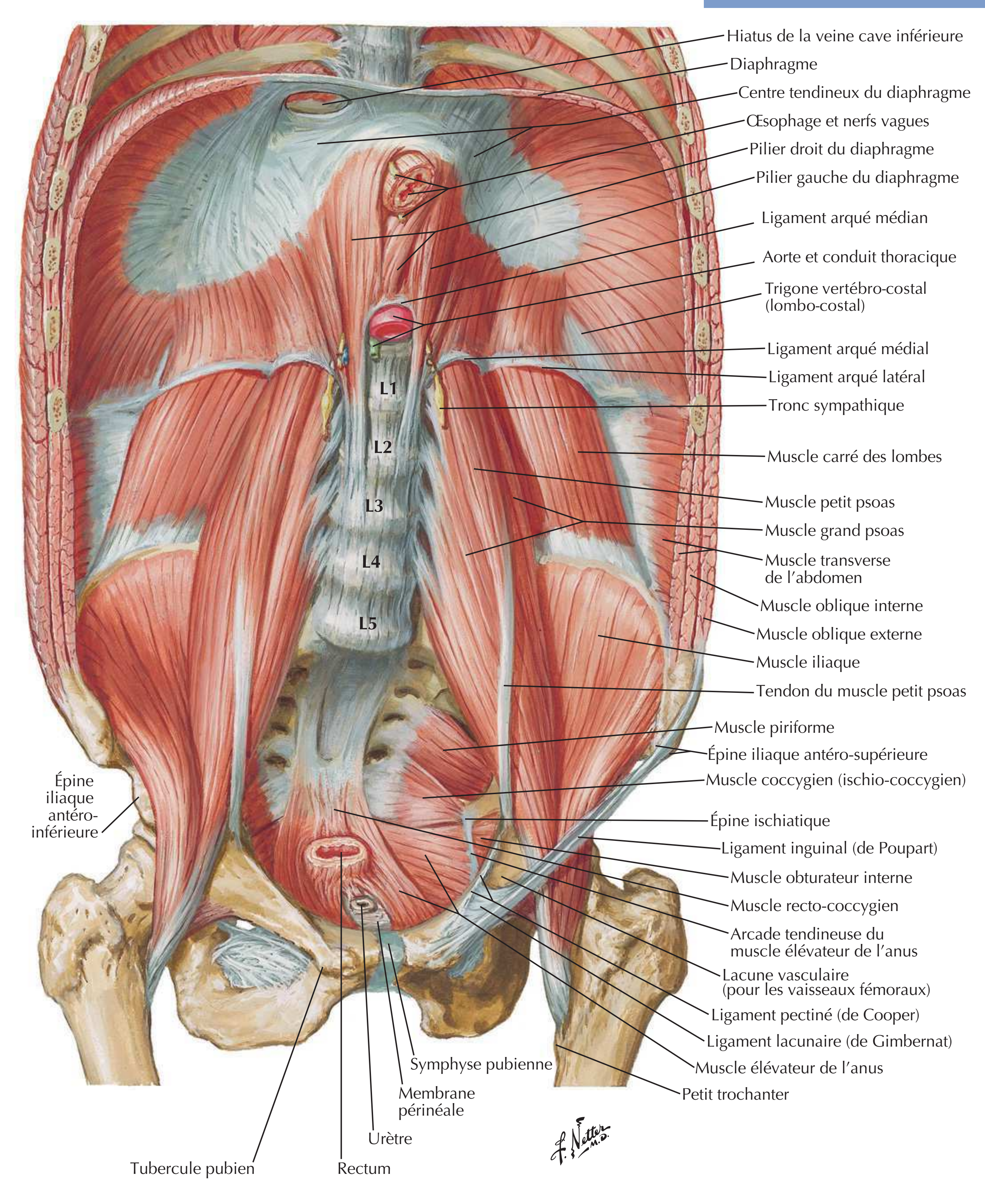


Région inguino-fémorale : gaine fémorale et lacune vasculaire

Voir aussi **Planches 246, 247, 249**

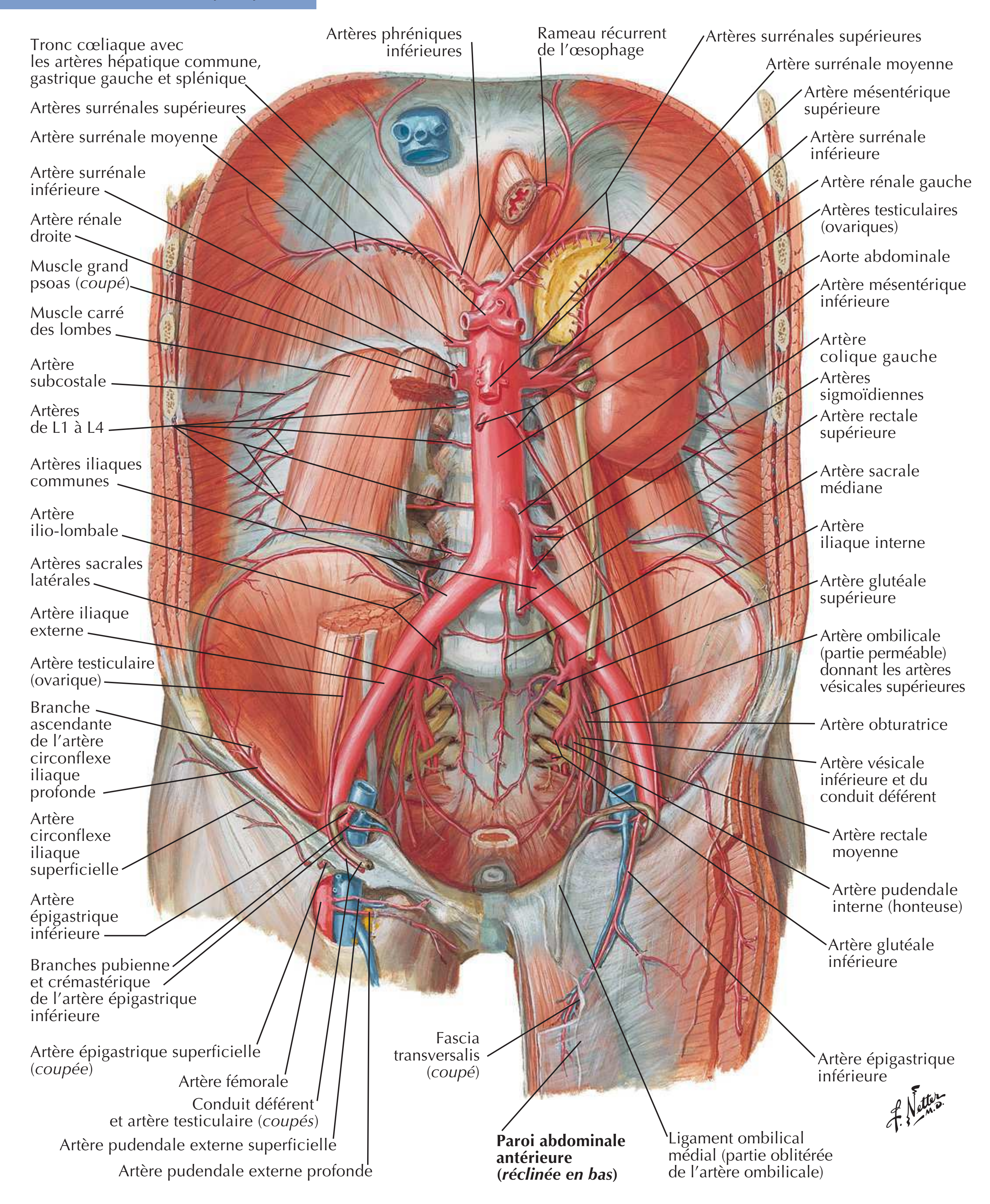


Voir aussi **Planches 206, 236**



Artères de la paroi abdominale postérieure

Voir aussi **Planches 192, 379, 381**



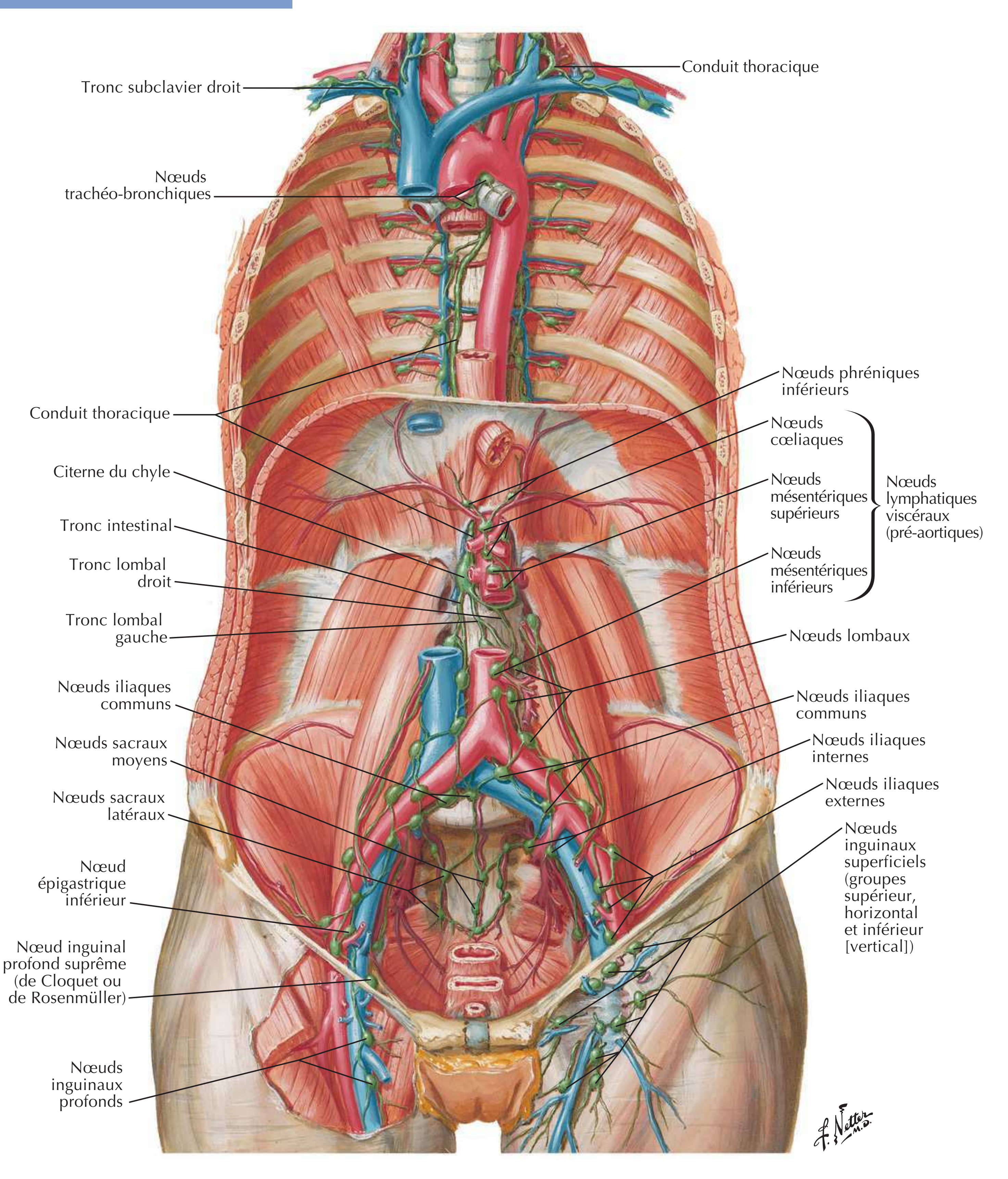


Veines de la paroi abdominale postérieure

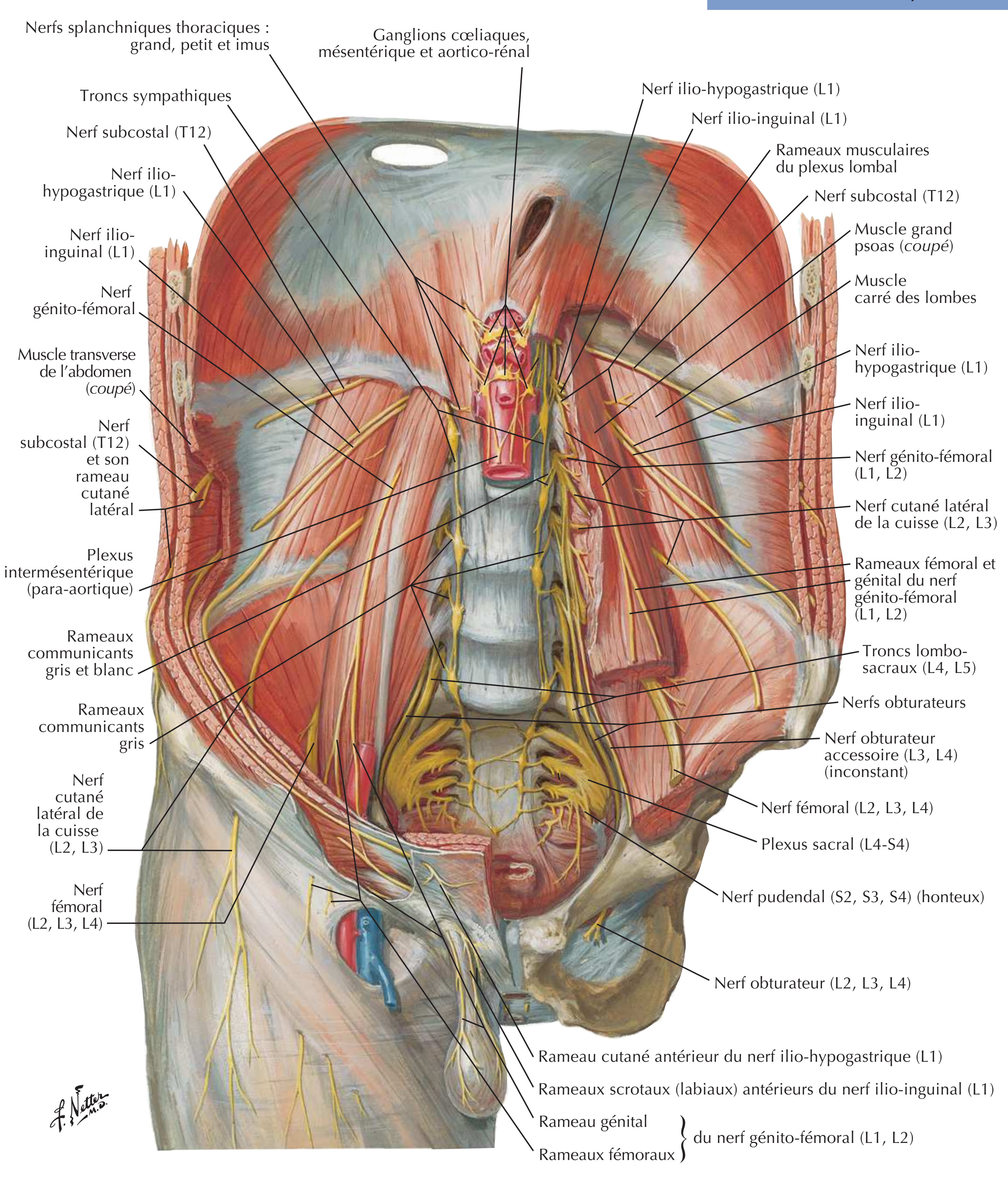
Voir aussi **Planches 379, 381**

Vaisseaux et nœuds lymphatiques de la paroi abdominale postérieure

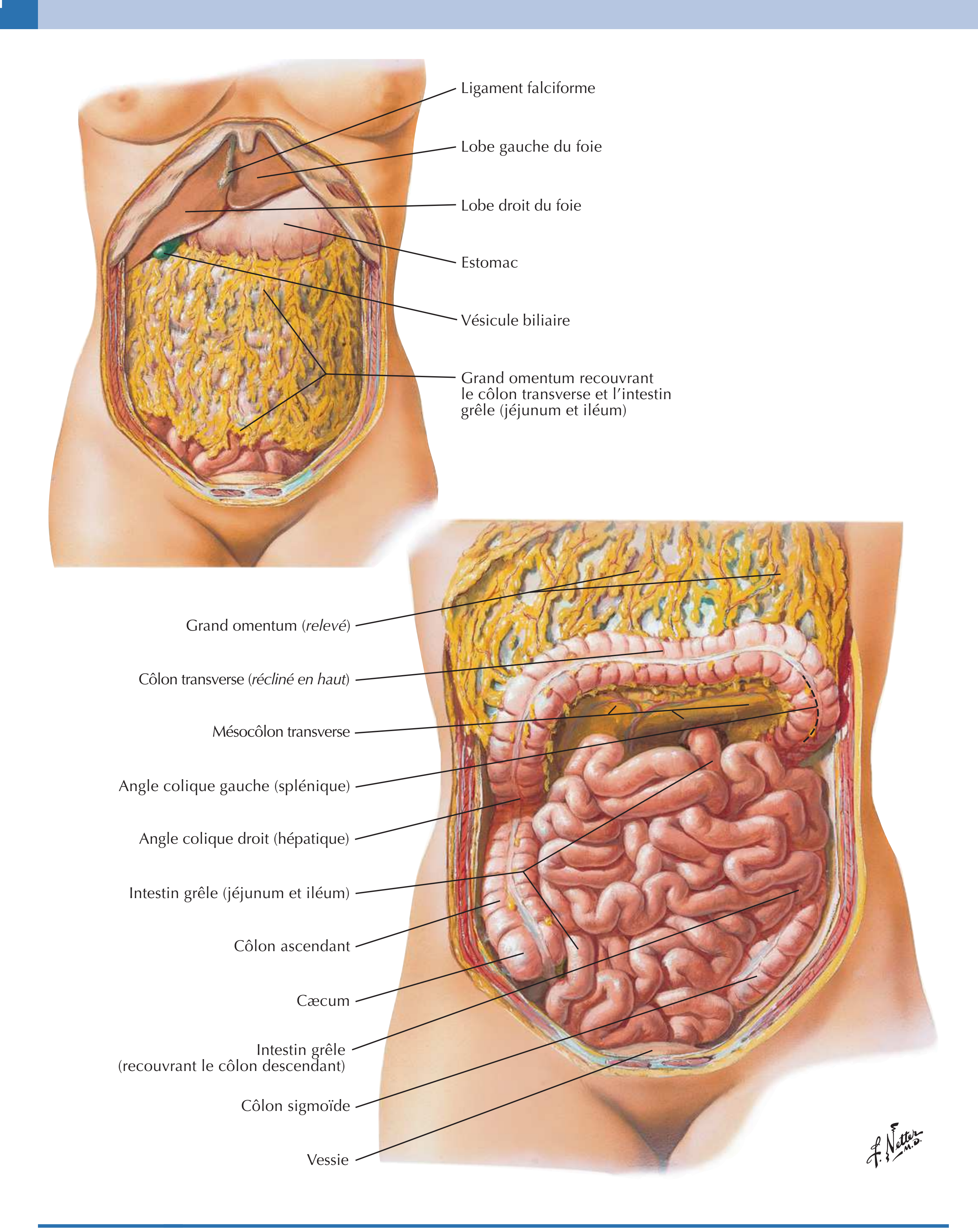
Voir aussi **Planches 235, 384**



Voir aussi **Planches 192, 388**



Grand omentum et viscères abdominaux





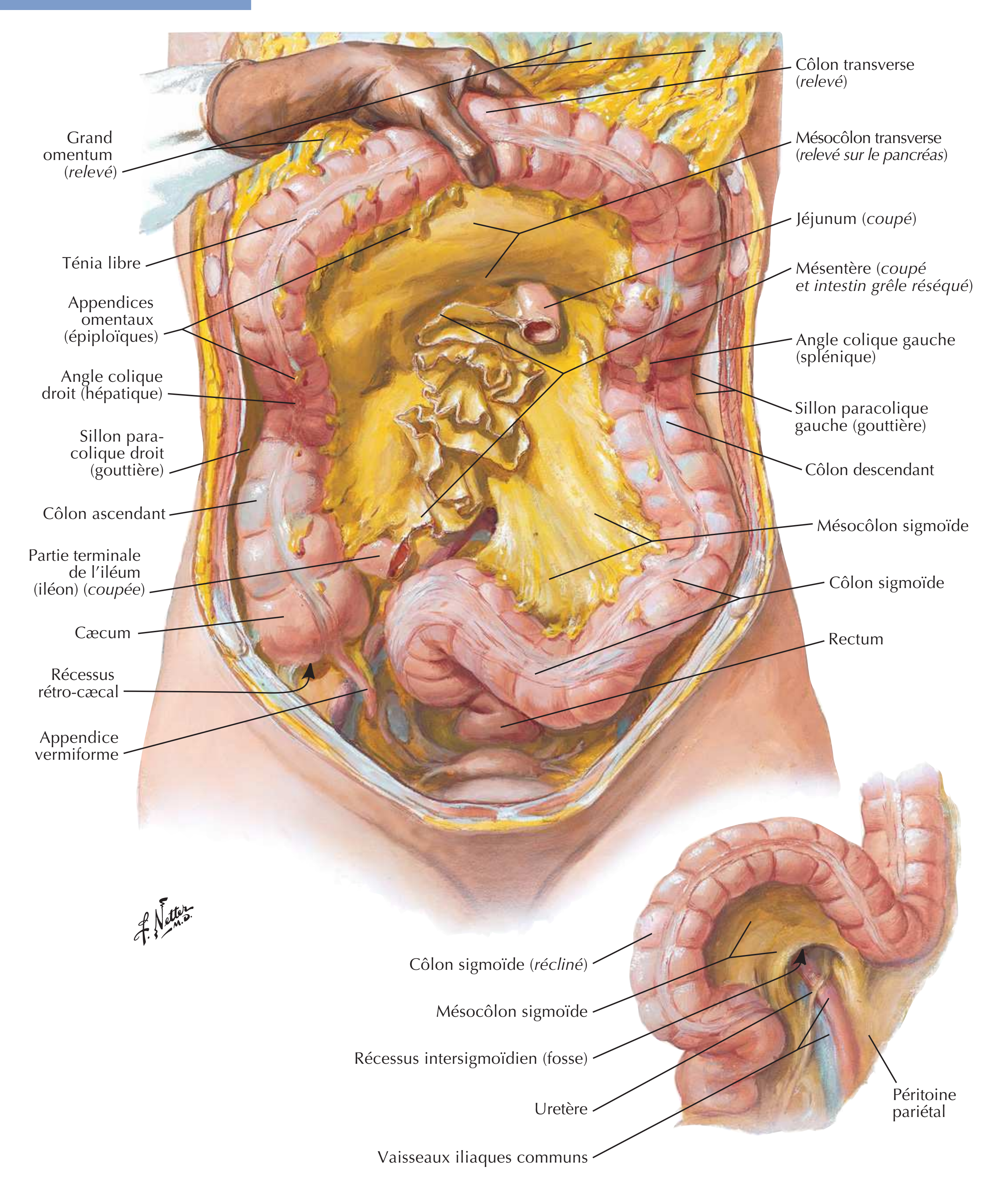
Rapports mésentériques des intestins

Voir aussi **Planche 281**

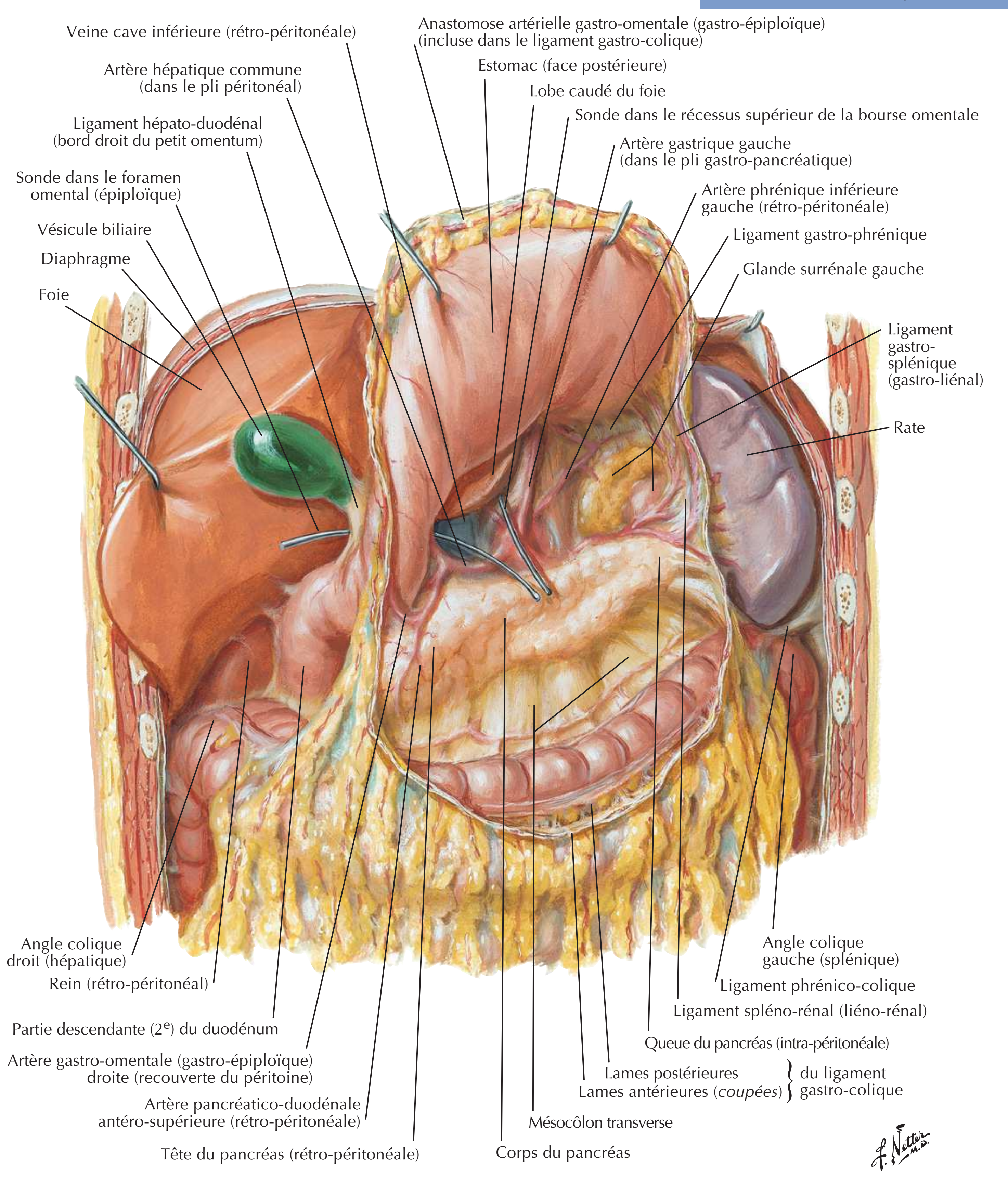
Muscle suspenseur du duodénum (ligament de Treitz)

Rapports mésentériques des intestins (suite)

Voir aussi **Planche 288**

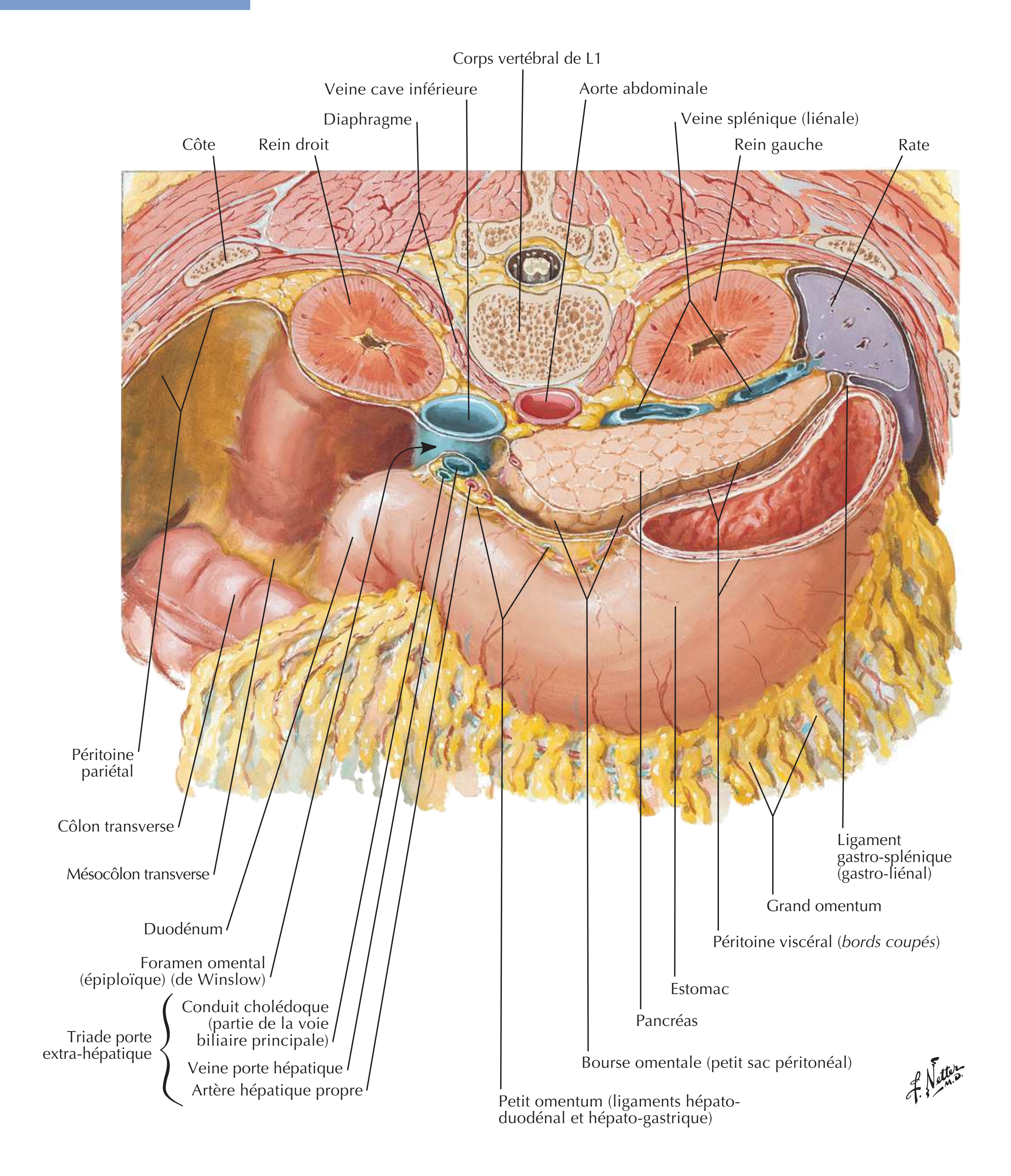


Voir aussi **Planches 281, 284**

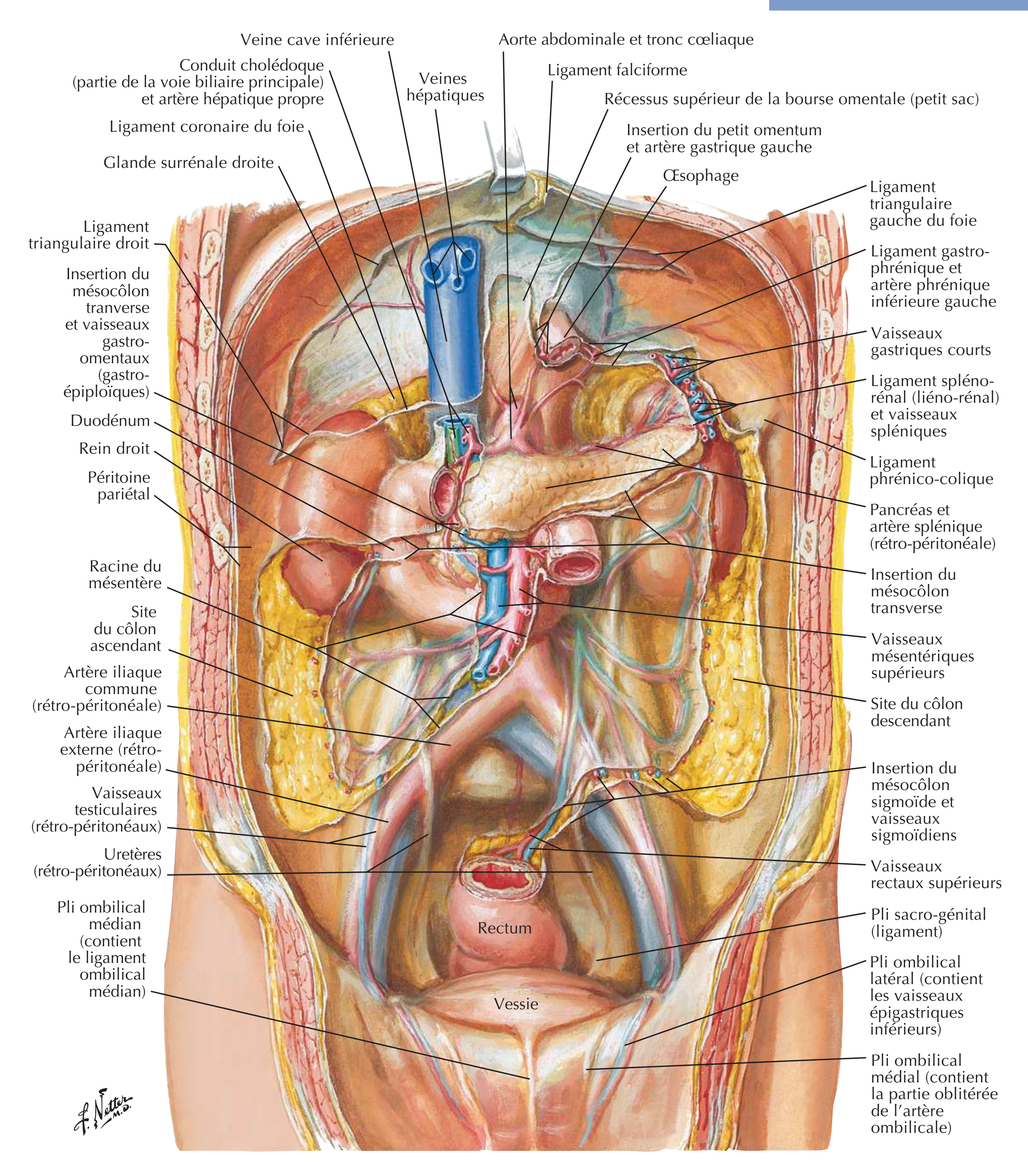


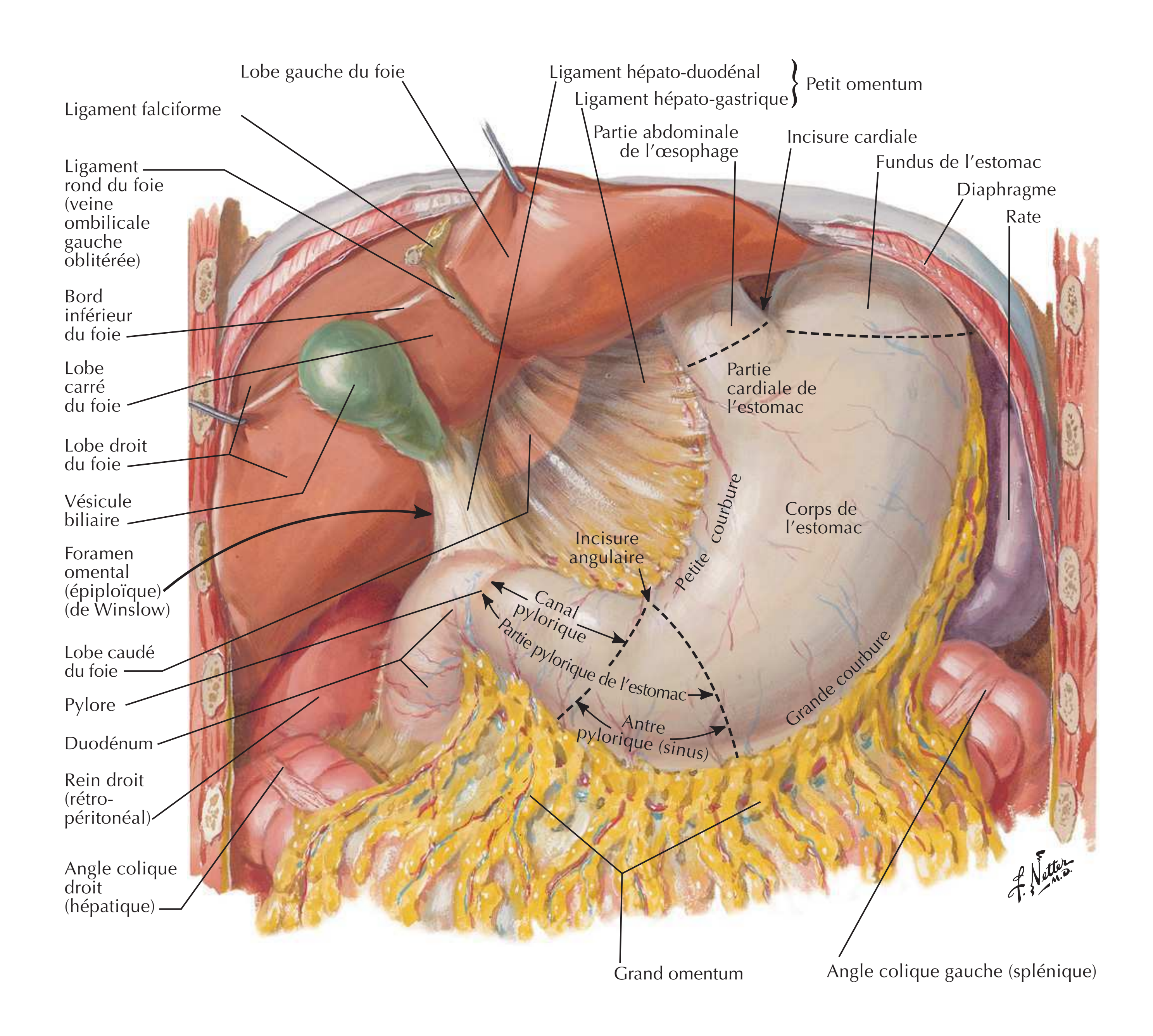
Bourse omentale : coupe transversale

Voir aussi **Planche 269**

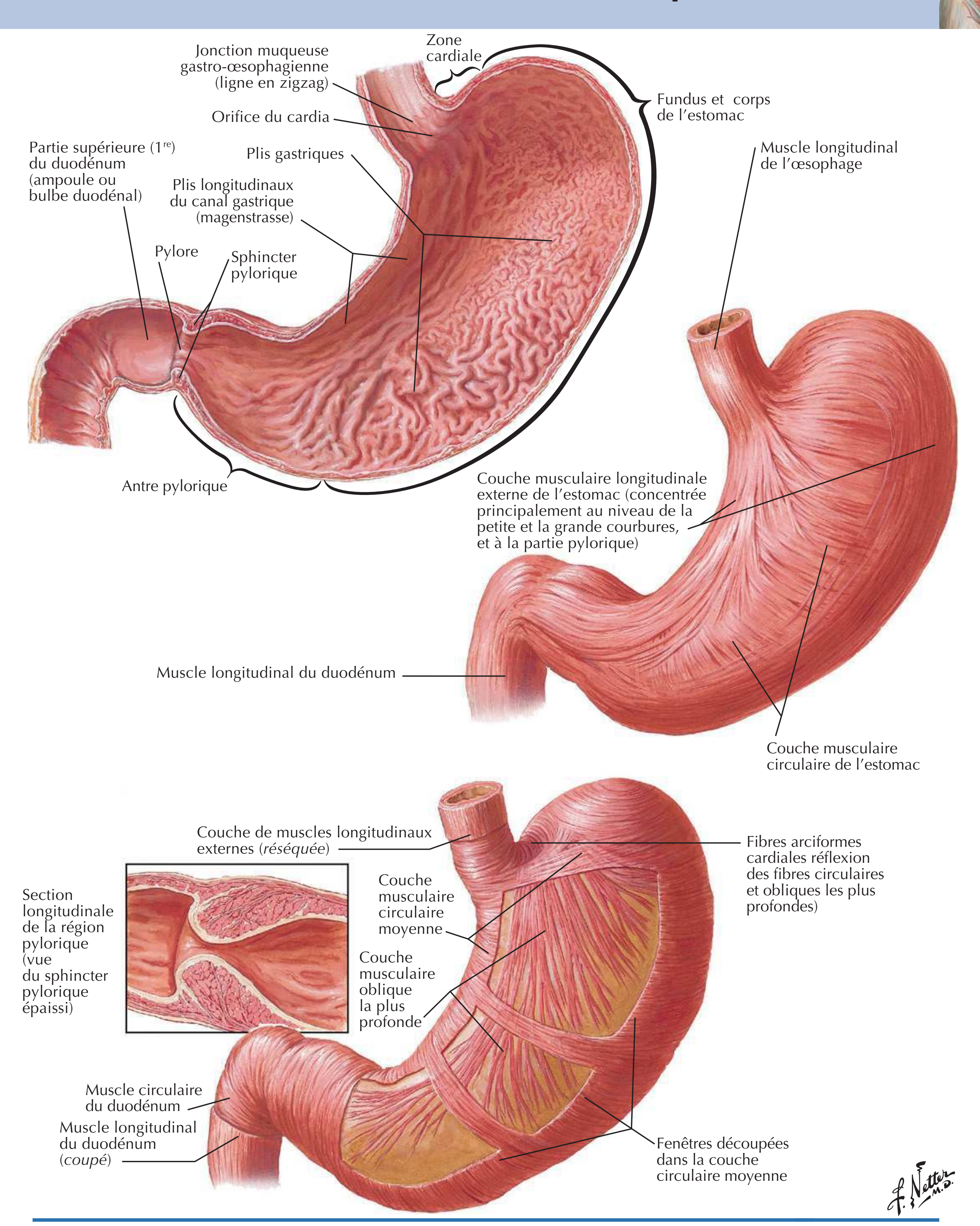


Voir aussi **Planche 271**



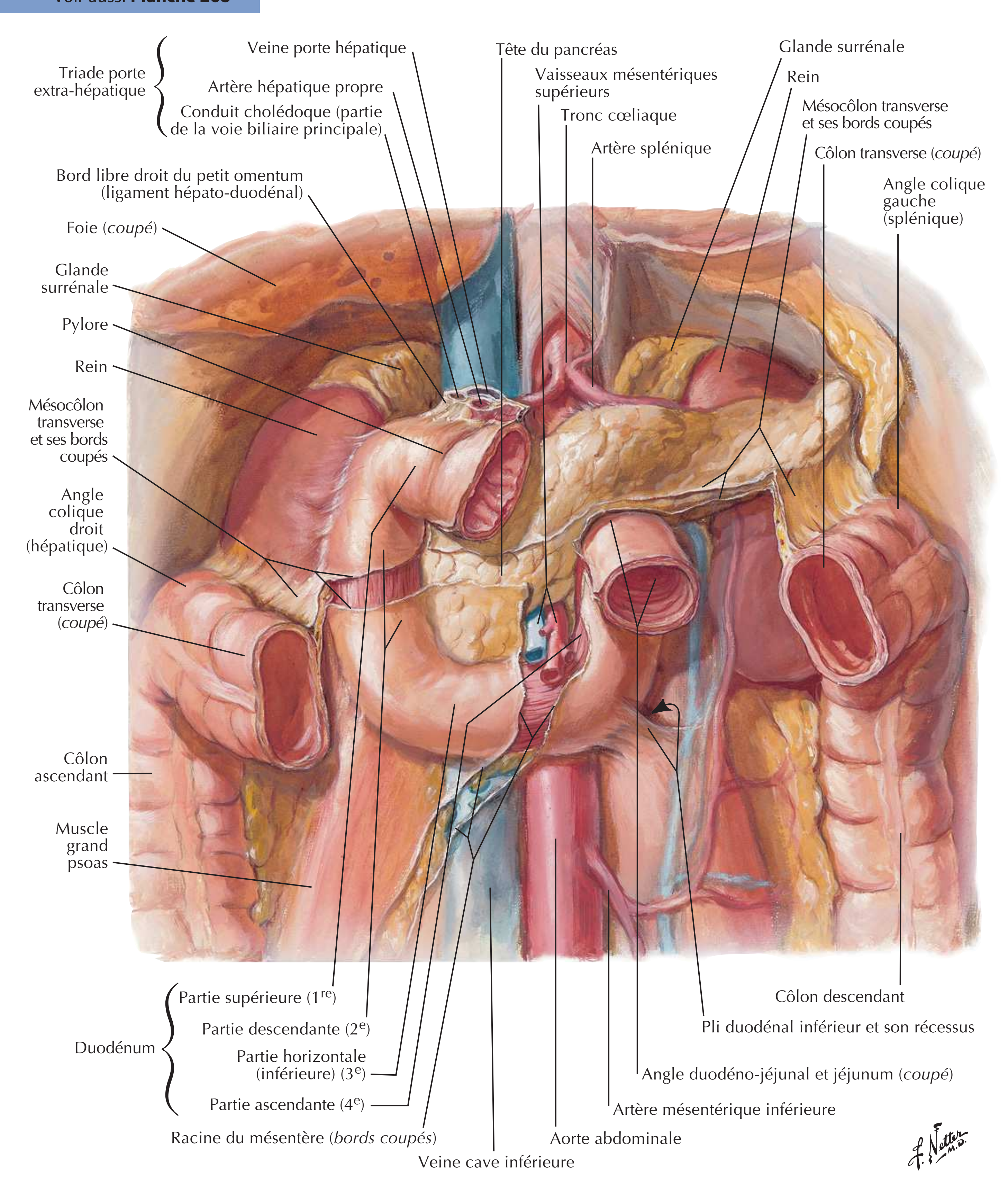


Lobe gauche du foie
Ligament hépato-duodénal
Ligament hépato-gastrique
Petit omentum
Ligament falciforme
Partie abdominale de l'œsophage
Incisure cardiale
Fundus de l'estomac
Diaphragme
Rate
Ligament rond du foie (veine ombilicale gauche oblitérée)
Bord inférieur du foie
Lobe carré du foie
Partie cardiale de l'estomac
Lobe droit du foie
Vésicule biliaire
Petite courbure
Corps de l'estomac
Foramen omental (épiploïque) (de Winslow)
Incisure angulaire
Canal pylorique
Partie pylorique de l'estomac
Lobe caudé du foie
Pylore
Duodénum
Antre pylorique (sinus)
Grande courbure
Rein droit (rétro-péritonéal)
Angle colique droit (hépatique)
Grand omentum
Angle colique gauche (splénique)
F. Netter M.D.

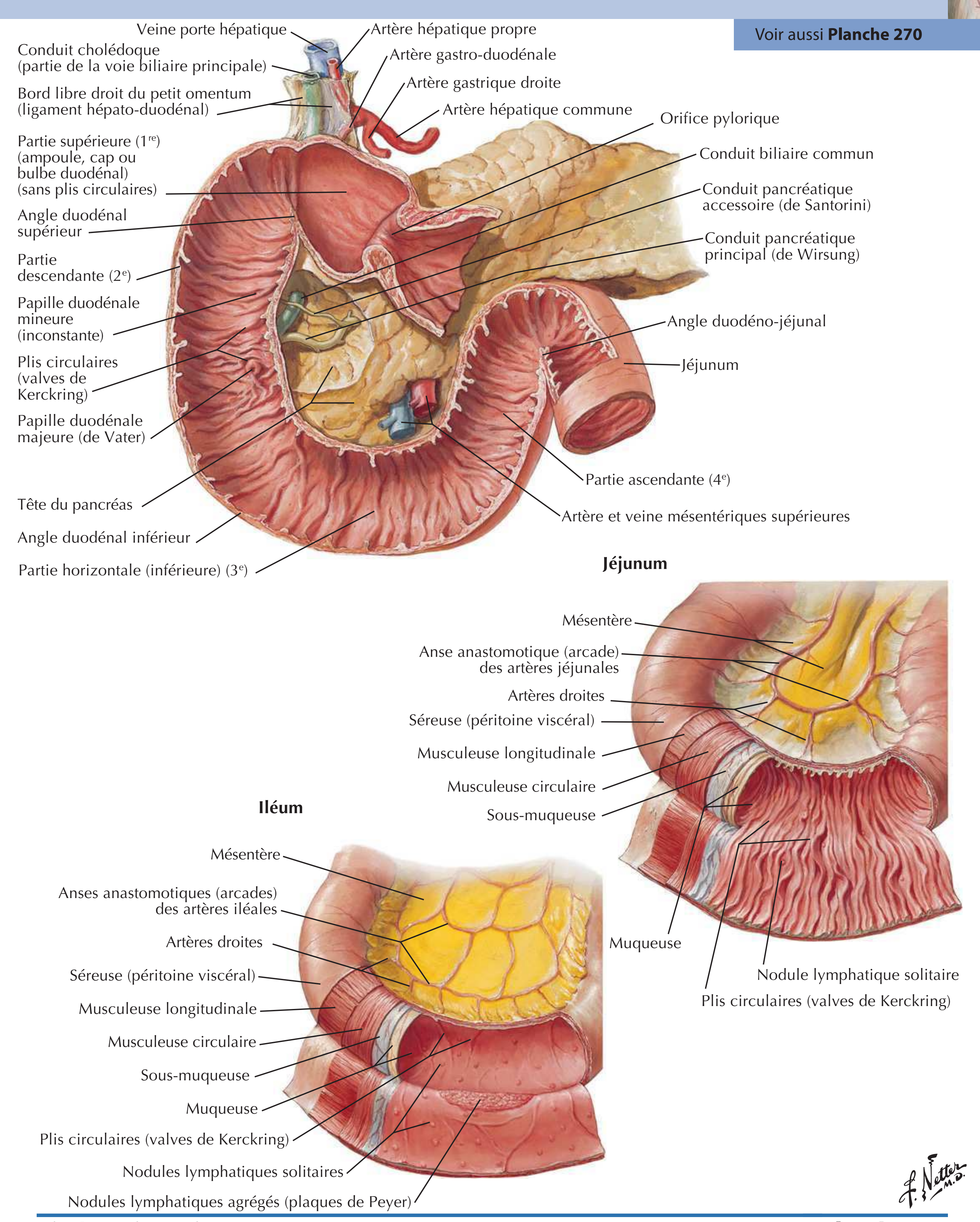

Zone
cardiale
Jonction muqueuse
gastro-œsophagienne
(ligne en zigzag)
Fundus et corps
de l’estomac
Orifice du cardia
Partie supérieure (1re)
du duodénum
(ampoule ou
bulbe duodénal)
Plis gastriques
Plis longitudinaux
du canal gastrique
(magenstrasse)
Muscle longitudinal
de l’œsophage
Pylore
Sphincter
pylorique
Antre pylorique
Couche musculaire longitudinale
externe de l’estomac (concentrée
principalement au niveau de la
petite et la grande courbures,
et à la partie pylorique)
Muscle longitudinal du duodénum
Couche musculaire
circulaire de l’estomac
Couche de muscles longitudinaux
externes (*réséquée*)
Fibres arciformes
cardiales réflexion
des fibres circulaires
et obliques les plus
profondes)
Section
longitudinale
de la région
pylorique
(vue
du sphincter
pylorique
épaissi)
Couche
musculaire
circulaire
moyenne
Couche
musculaire
oblique
la plus
profonde
Muscle circulaire
du duodénum
Muscle longitudinal
du duodénum
(*coupé*)
Fenêtres découpées
dans la couche
circulaire moyenne
F. Netter M.D.

Duodénum *in situ*

Voir aussi **Planche 268**

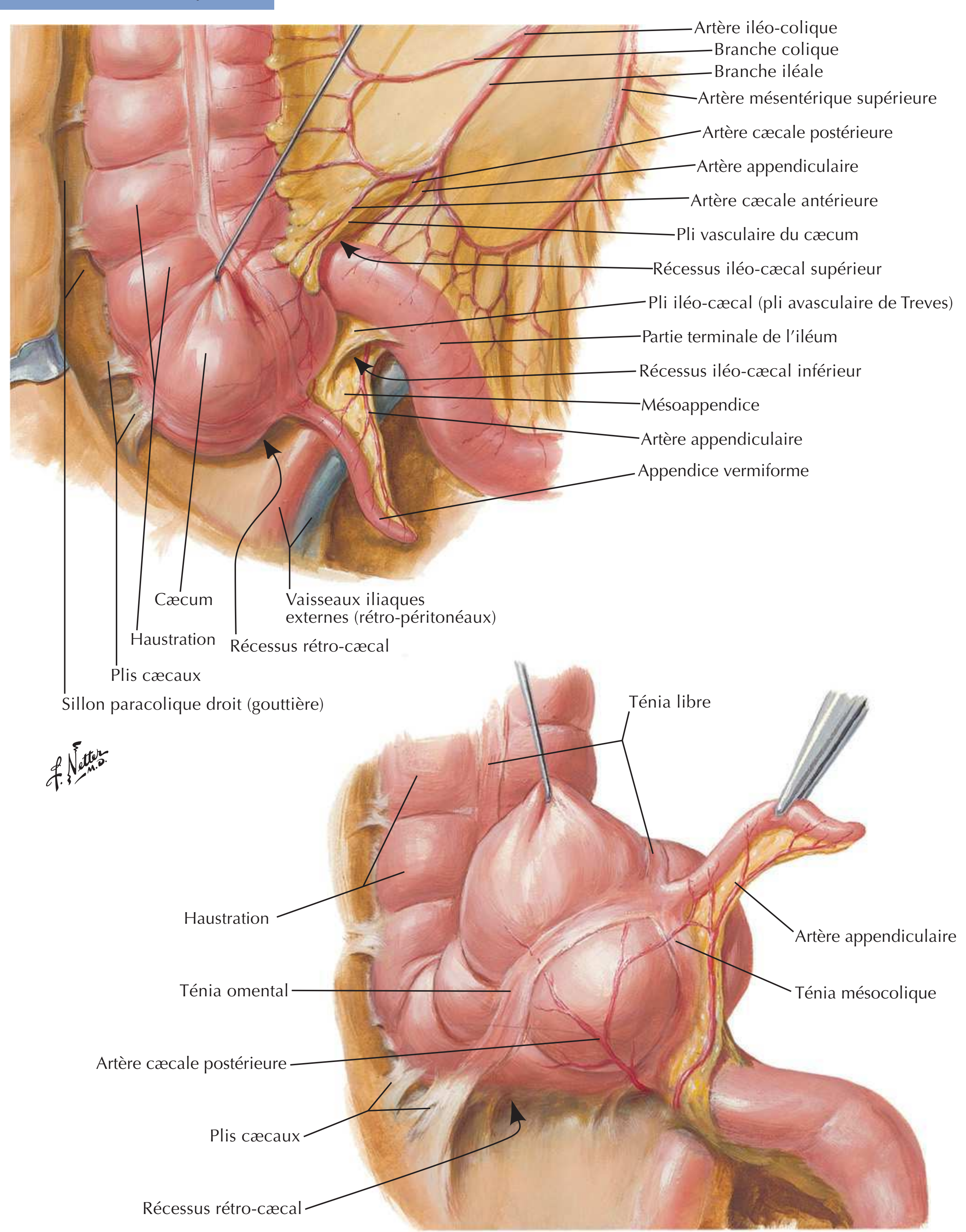


Voir aussi Planche 270



Région iléo-cæcale

Voir aussi **Planches 287, 288**



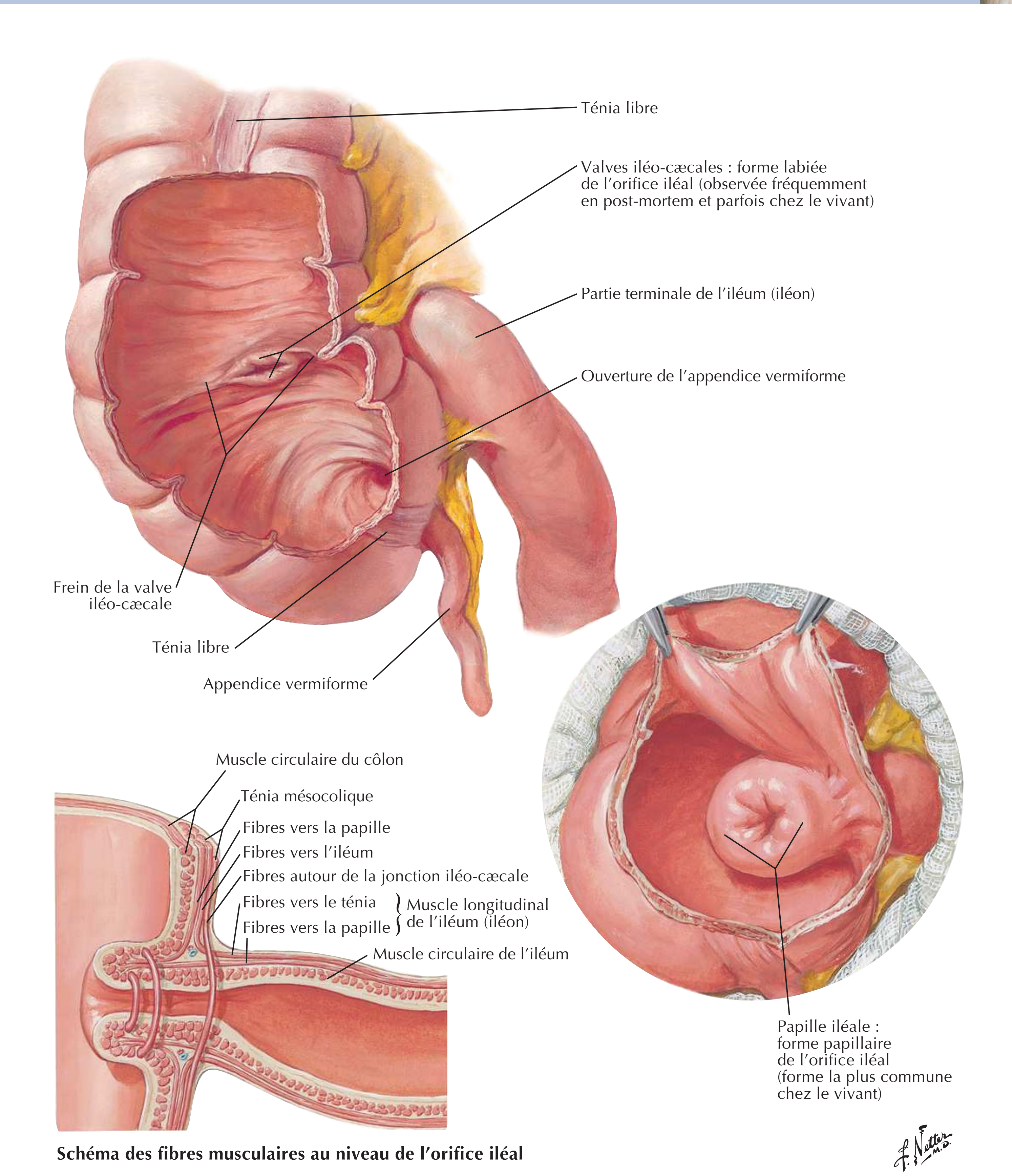
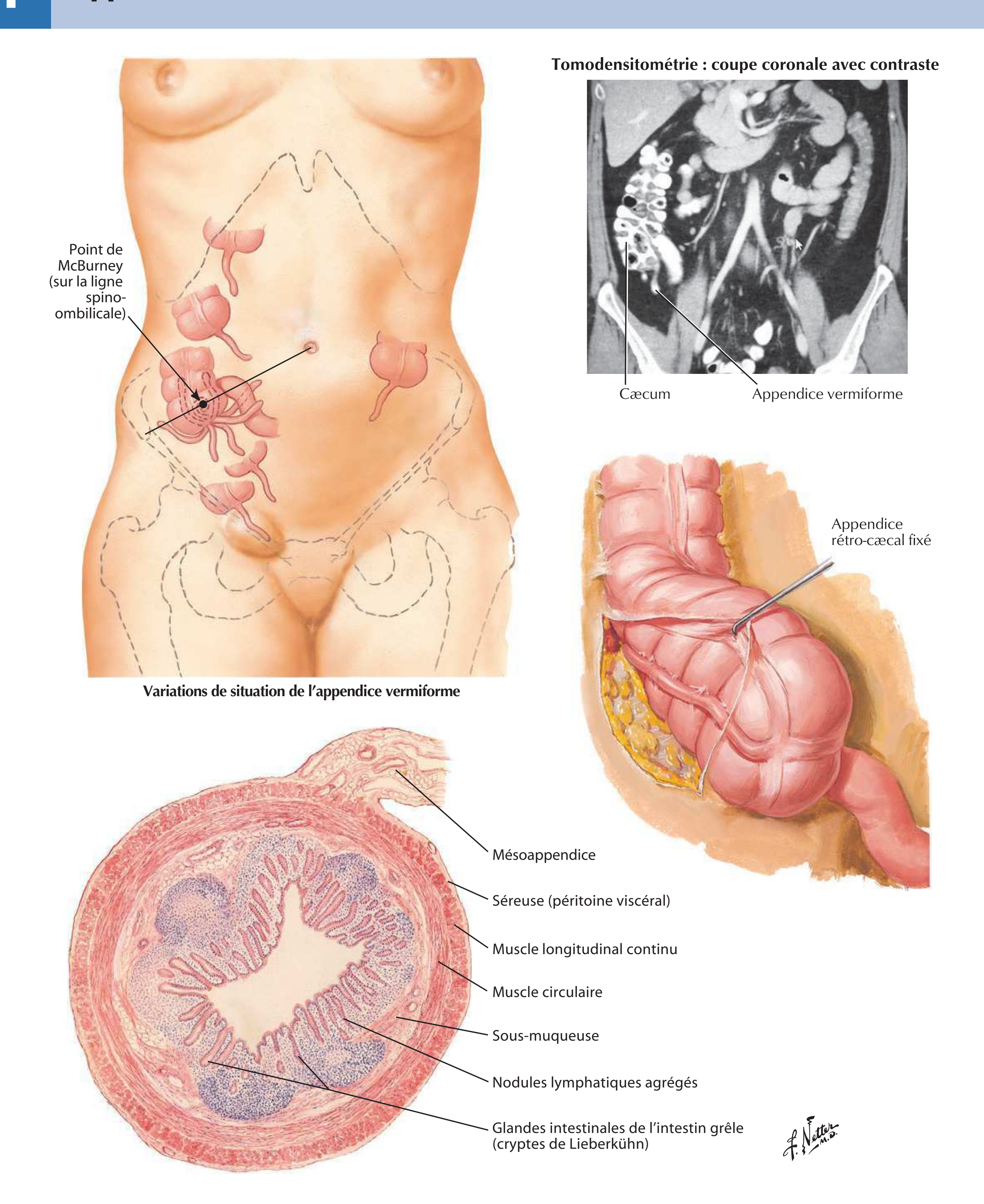
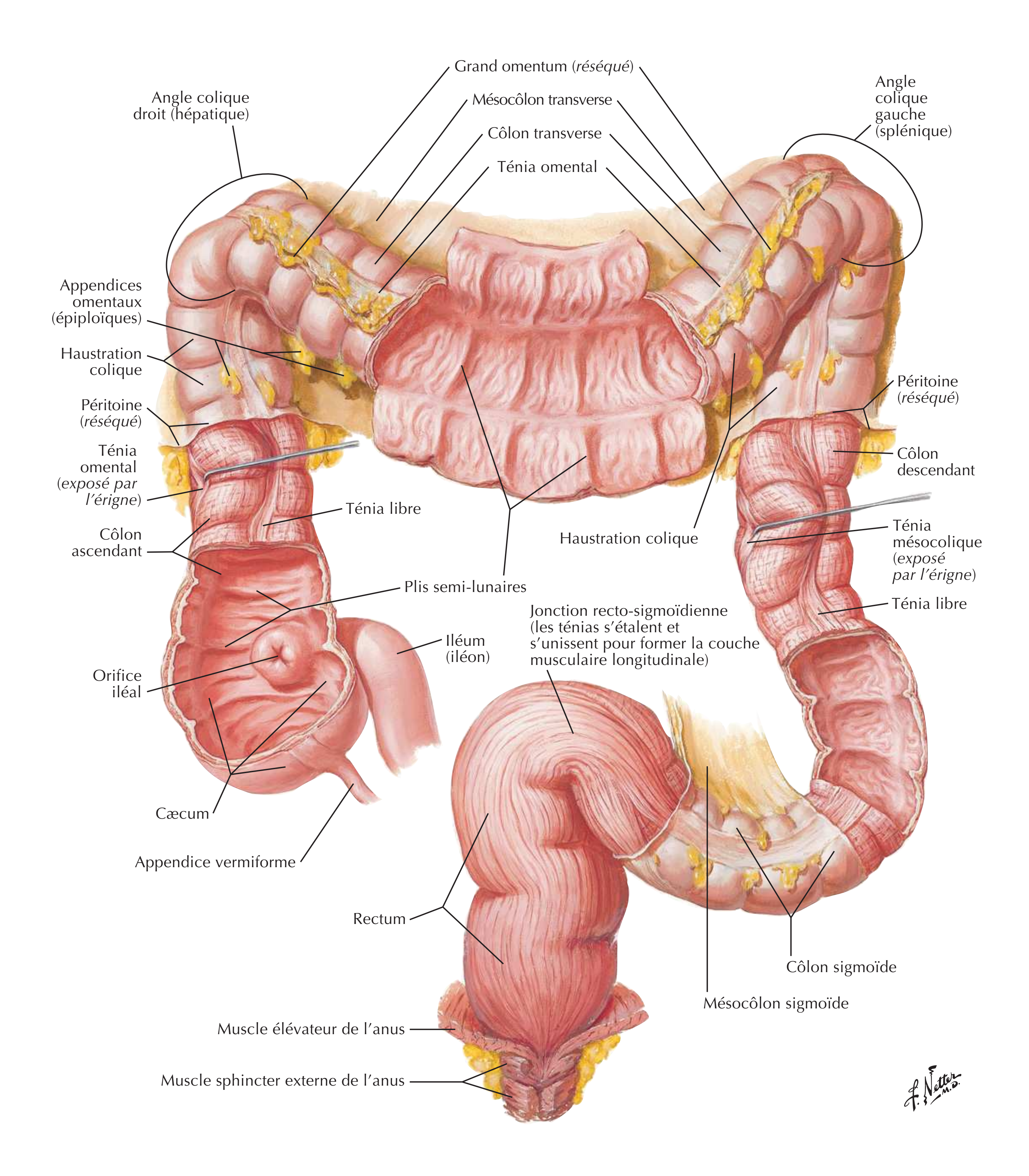


Schéma des fibres musculaires au niveau de l'orifice iléal

Appendice vermiforme



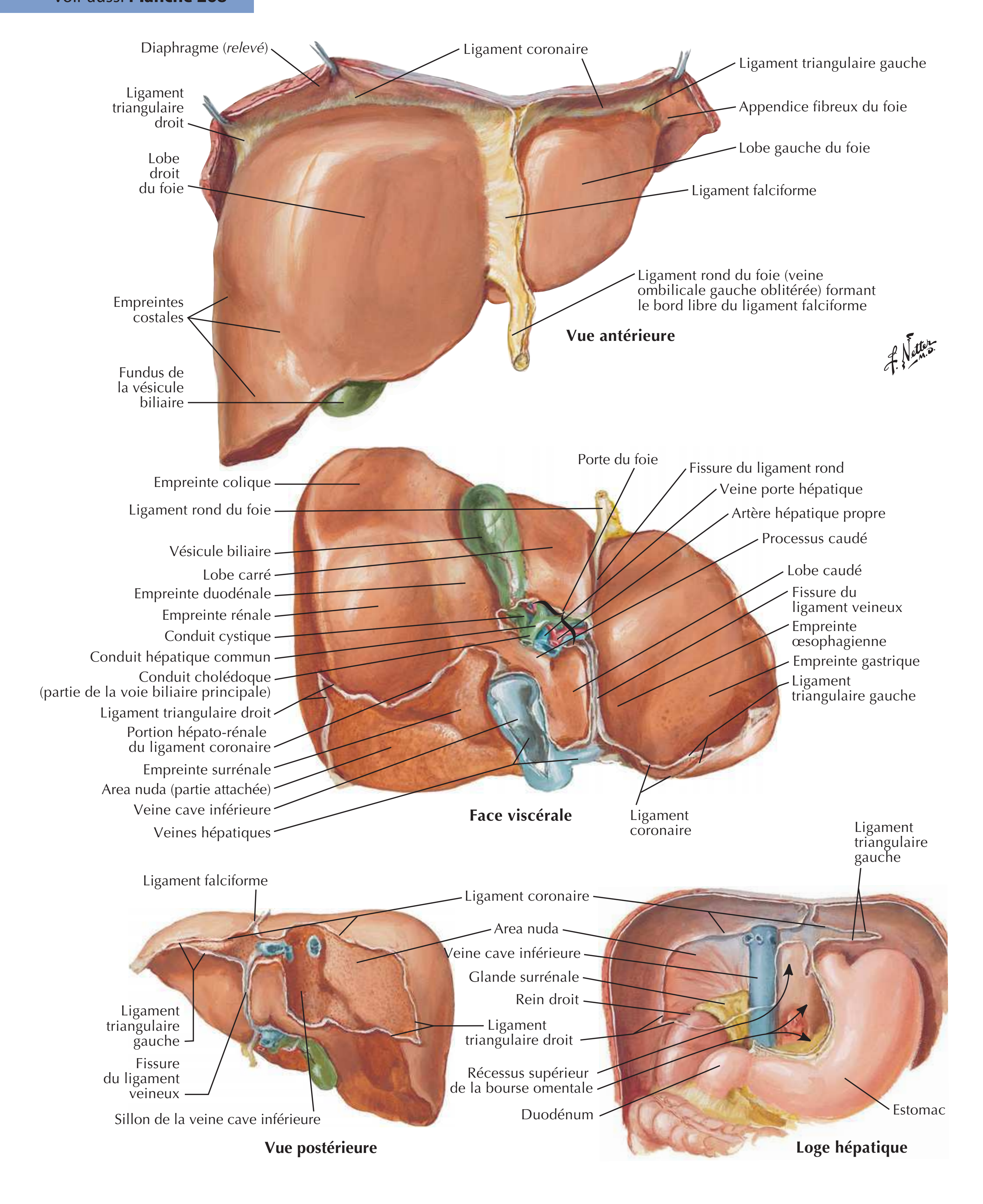
Variations de situation de l'appendice vermiforme



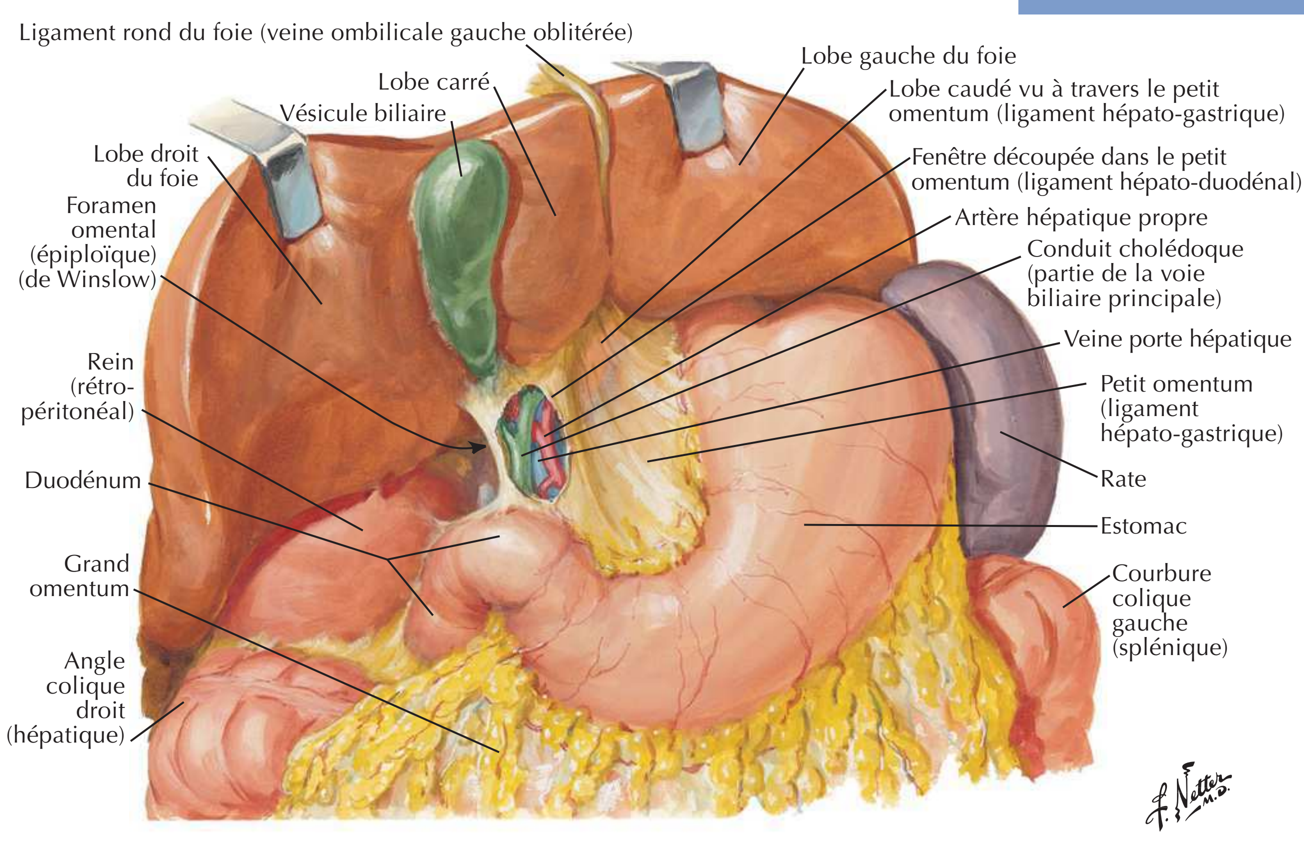
Grand omentum (*réséqué*)
Mésocôlon transverse
Côlon transverse
Ténia omental
Angle colique droit (hépatique)
Angle colique gauche (splénique)
Appendices omentaux (épiploïques)
Haustration colique
Péritoine (*réséqué*)
Ténia omental (*exposé par l'érigne*)
Ténia libre
Côlon ascendant
Plis semi-lunaires
Haustration colique
Péritoine (*réséqué*)
Côlon descendant
Ténia mésocolique (*exposé par l'érigne*)
Ténia libre
Jonction recto-sigmoïdienne (les ténias s'étalent et s'unissent pour former la couche musculaire longitudinale)
Iléum (iléon)
Orifice iléal
Cæcum
Appendice vermiforme
Rectum
Côlon sigmoïde
Mésocôlon sigmoïde
Muscle élévateur de l'anus
Muscle sphincter externe de l'anus

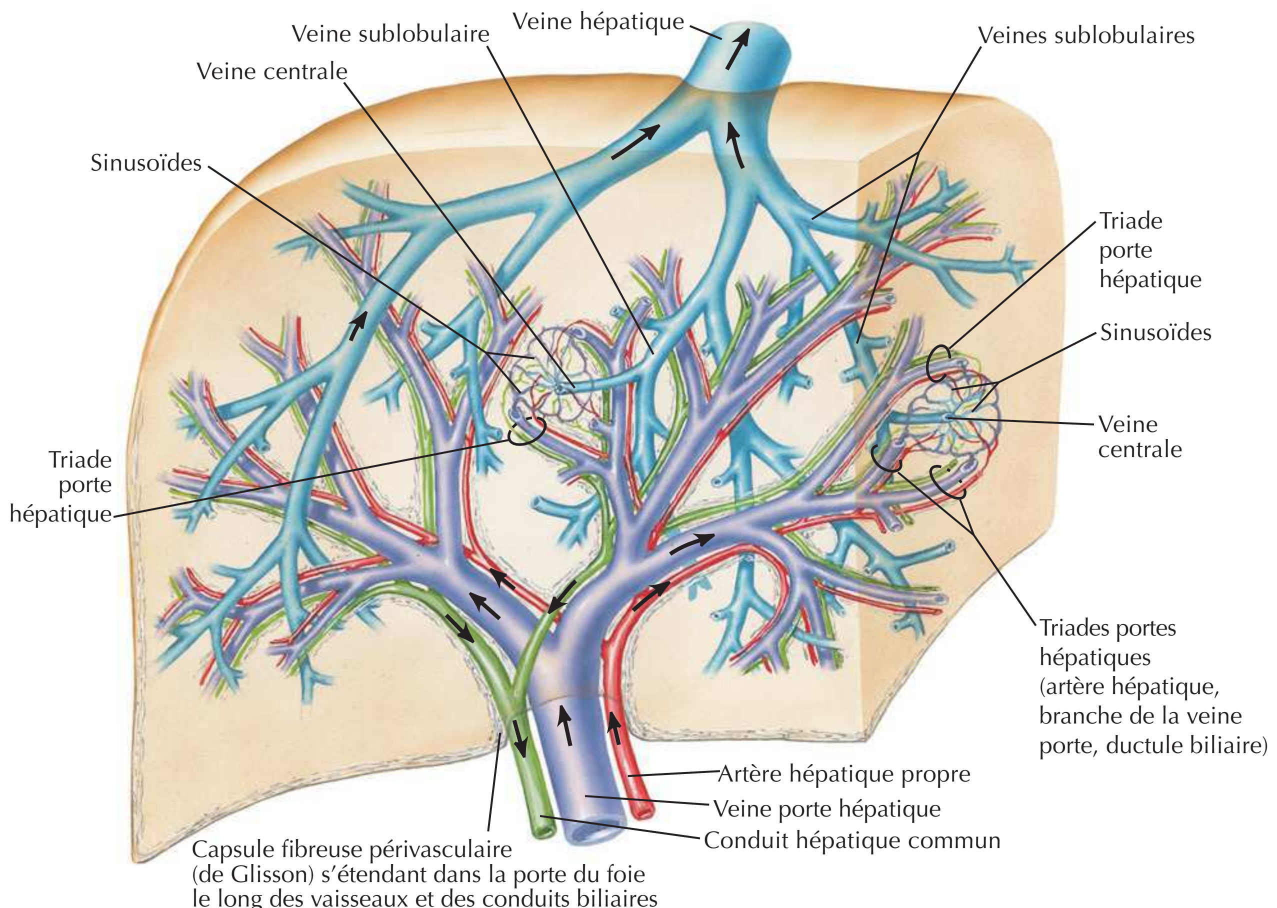
Faces et loge du foie

Voir aussi **Planche 268**

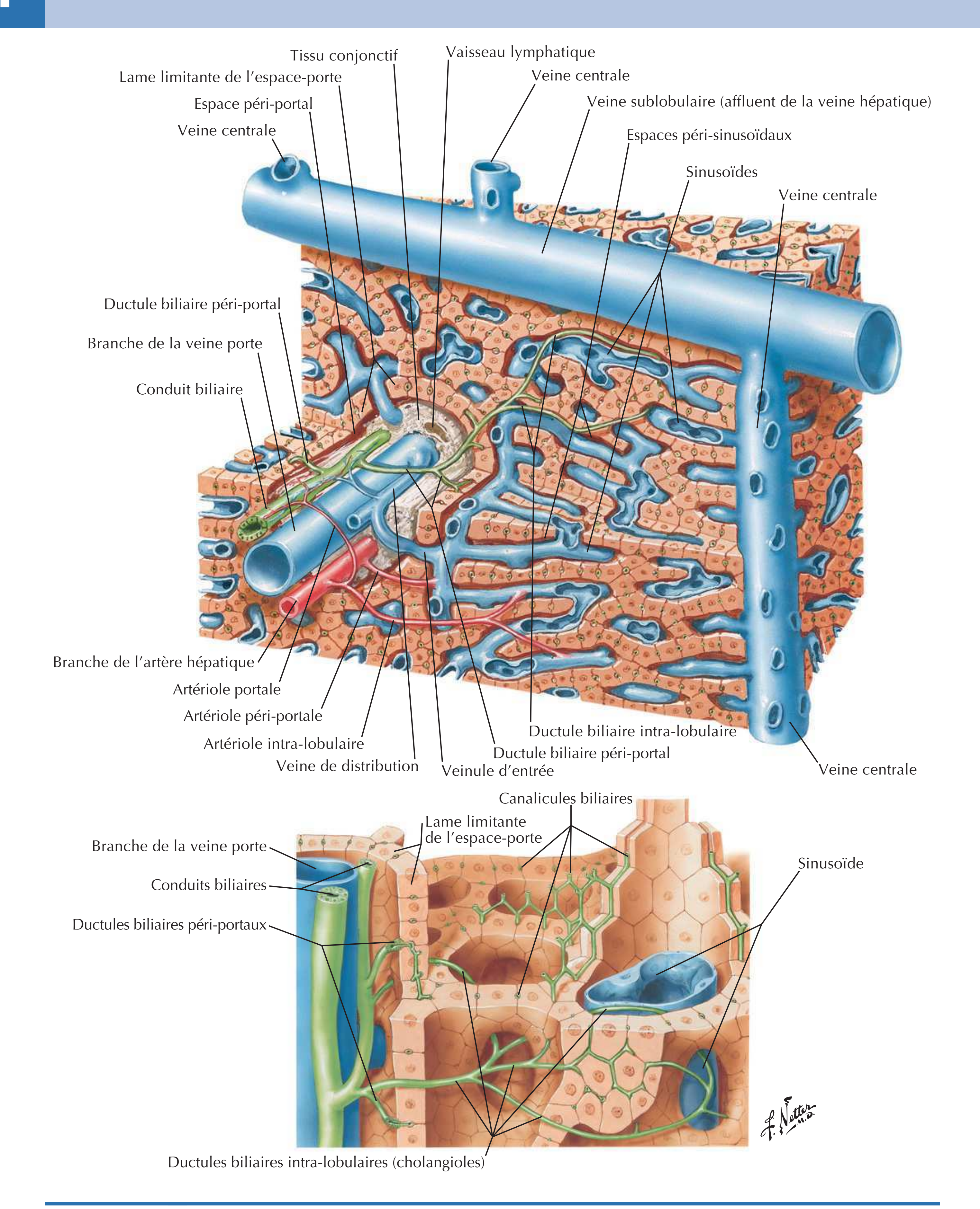


Voir aussi **Planche 267**

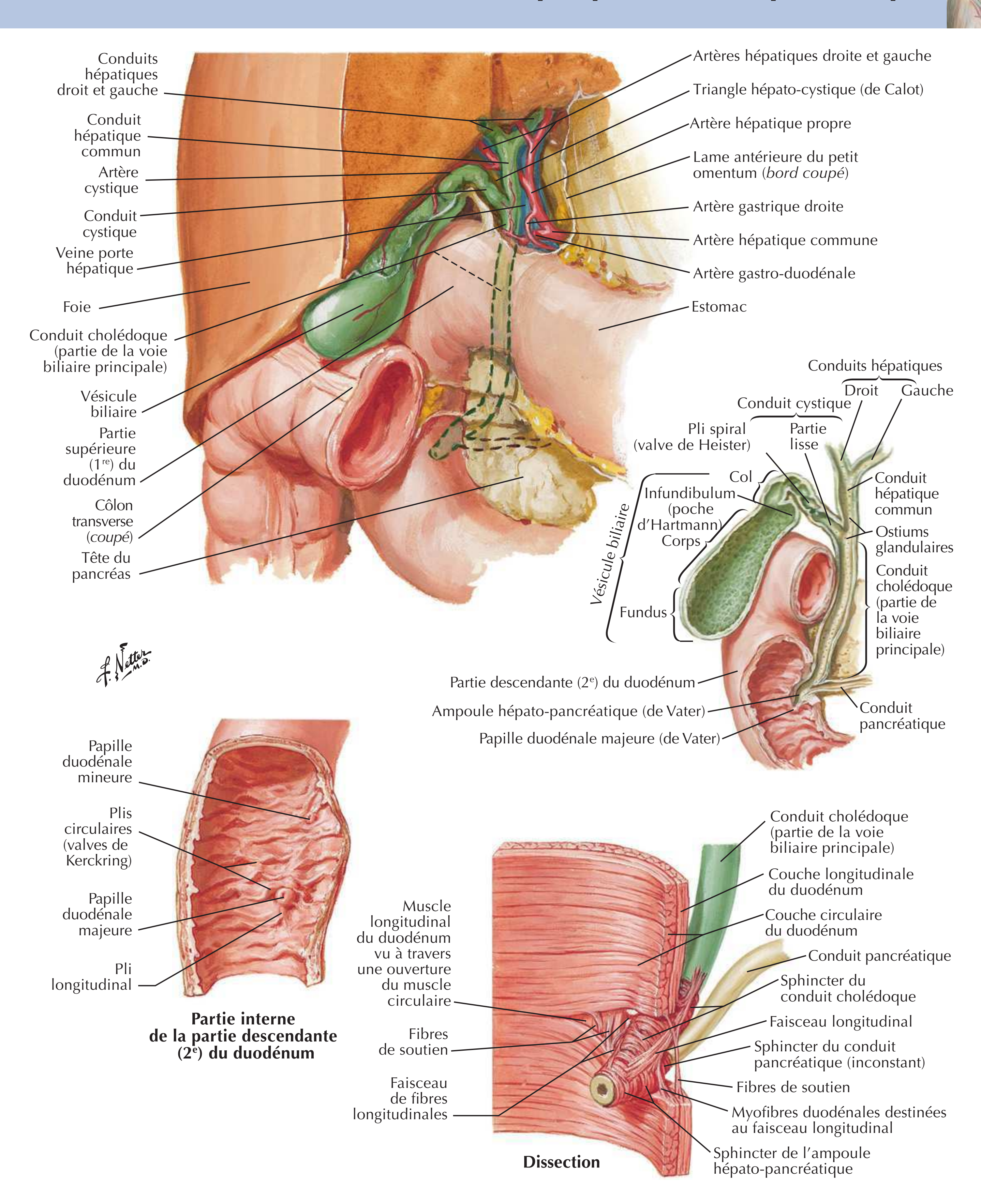




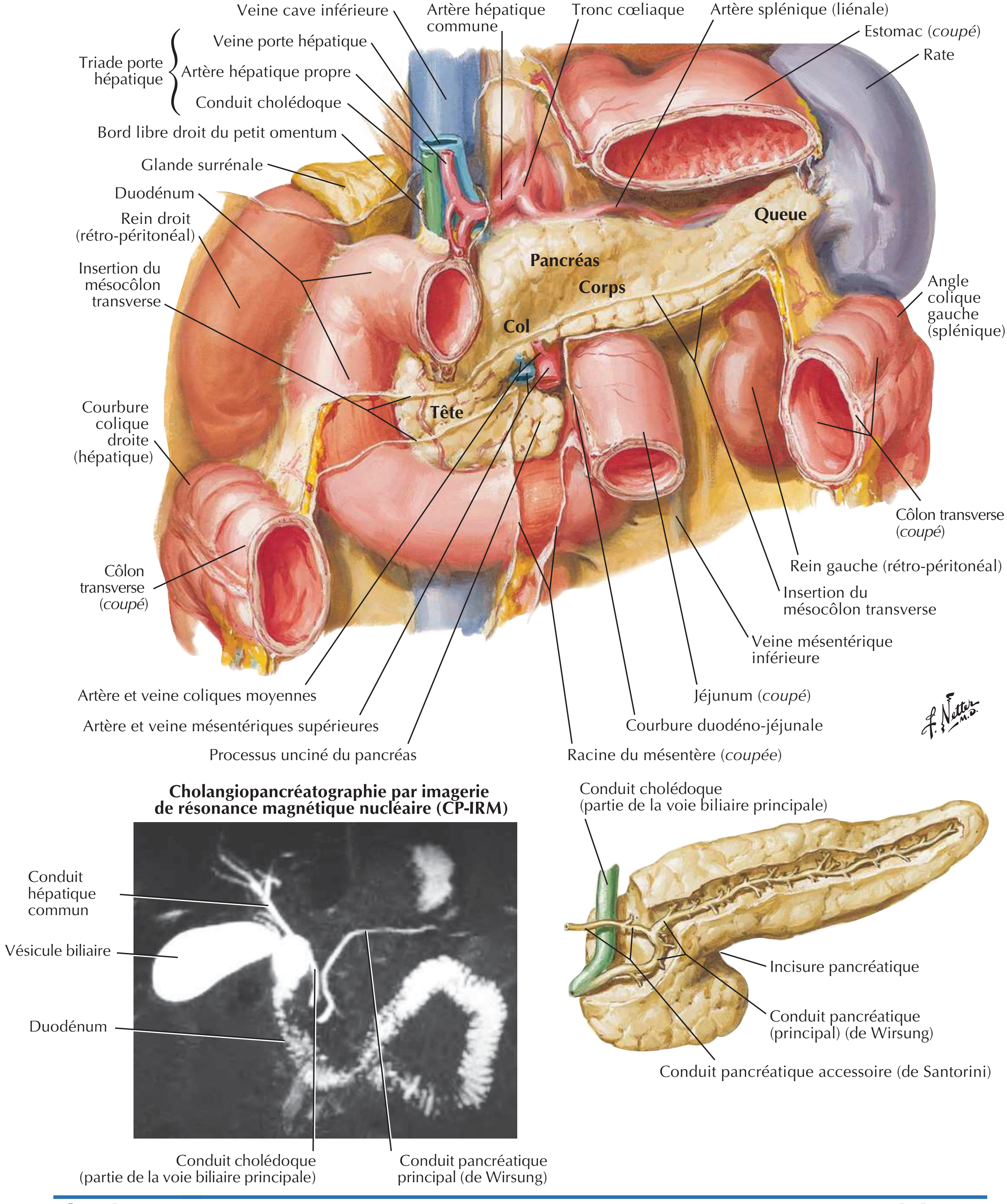
Structure du foie : schéma



Vésicule biliaire, conduits bilaires extra-hépatiques et conduit pancréatique

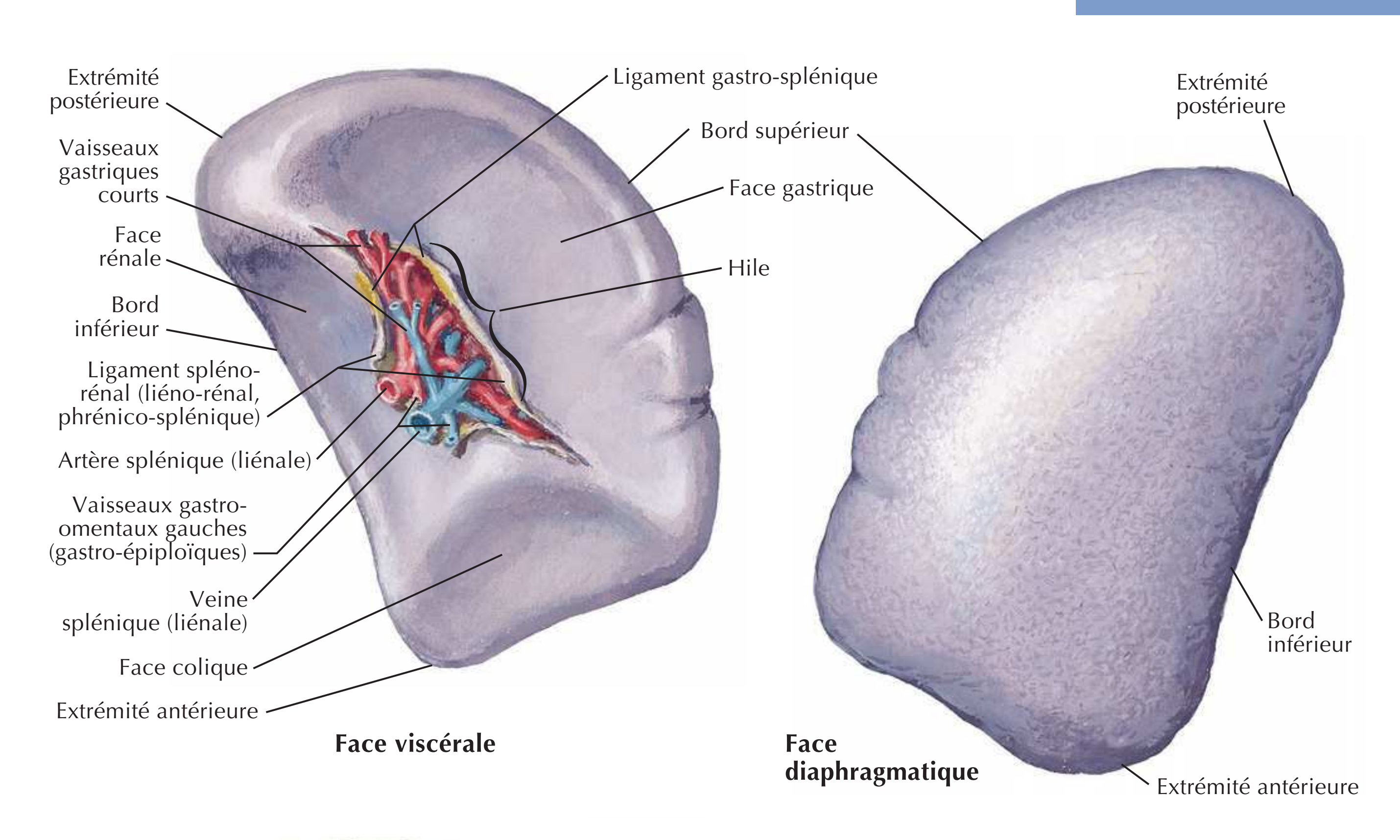


Pancréas *in situ*



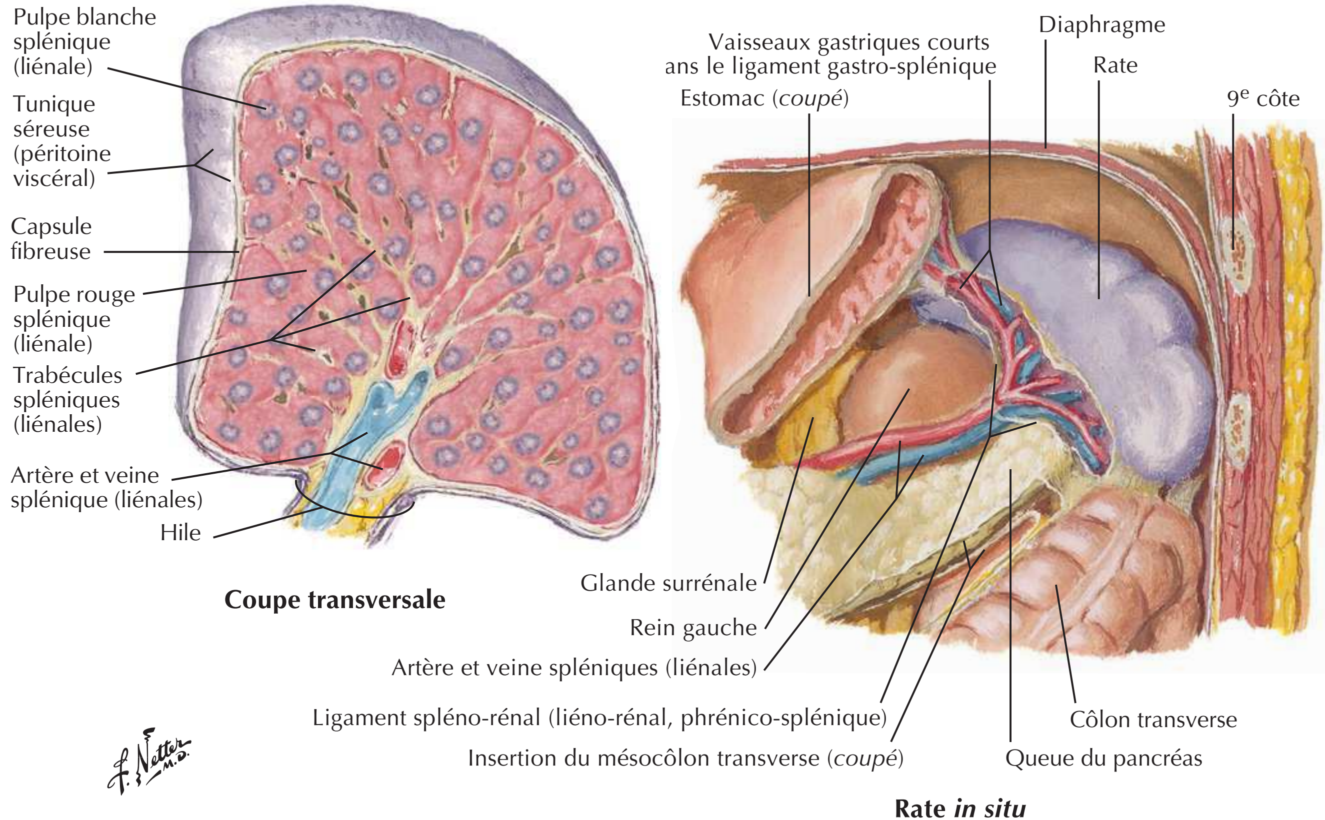


Voir aussi **Planche 266**



Face viscérale

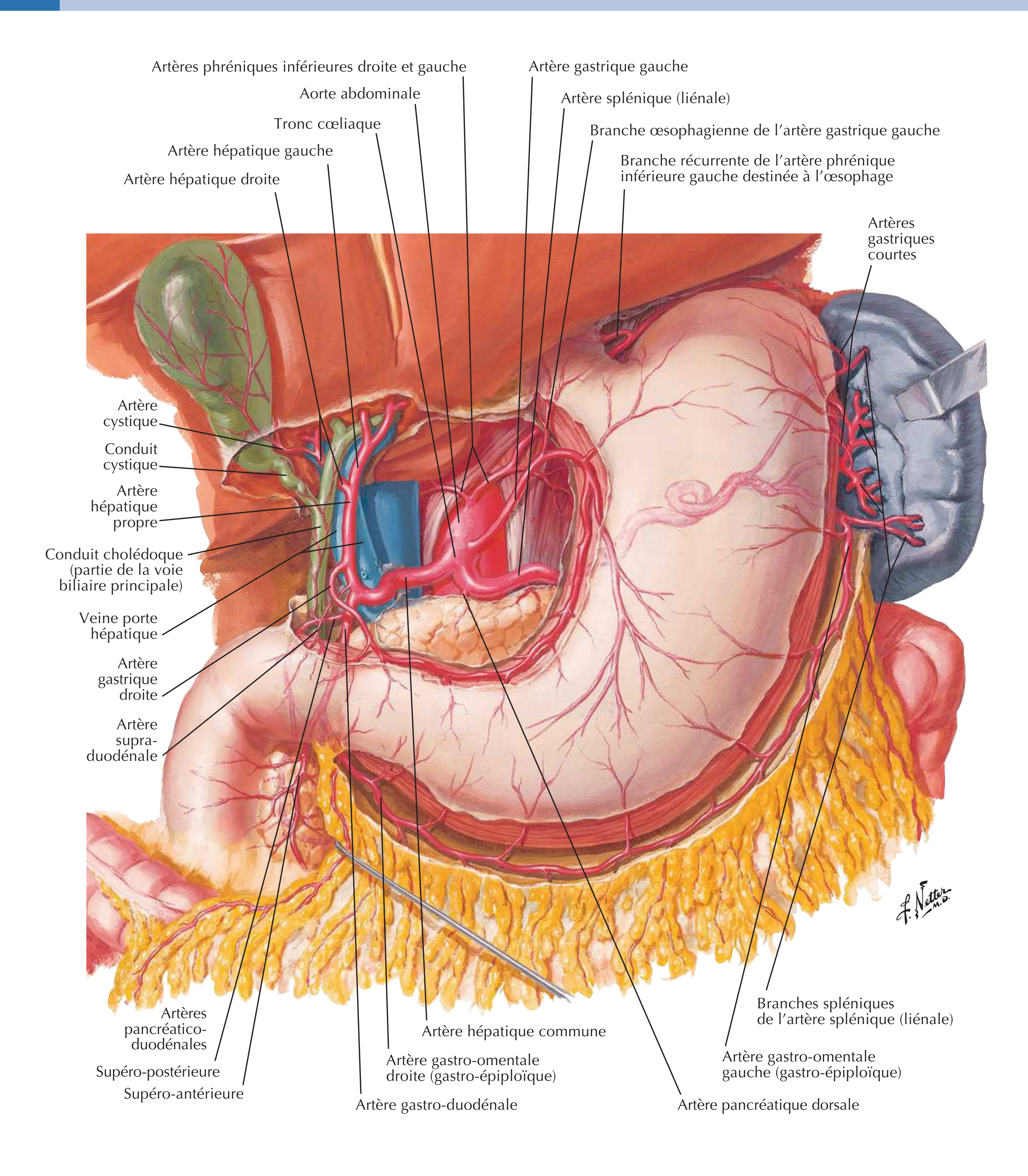
Face diaphragmatique

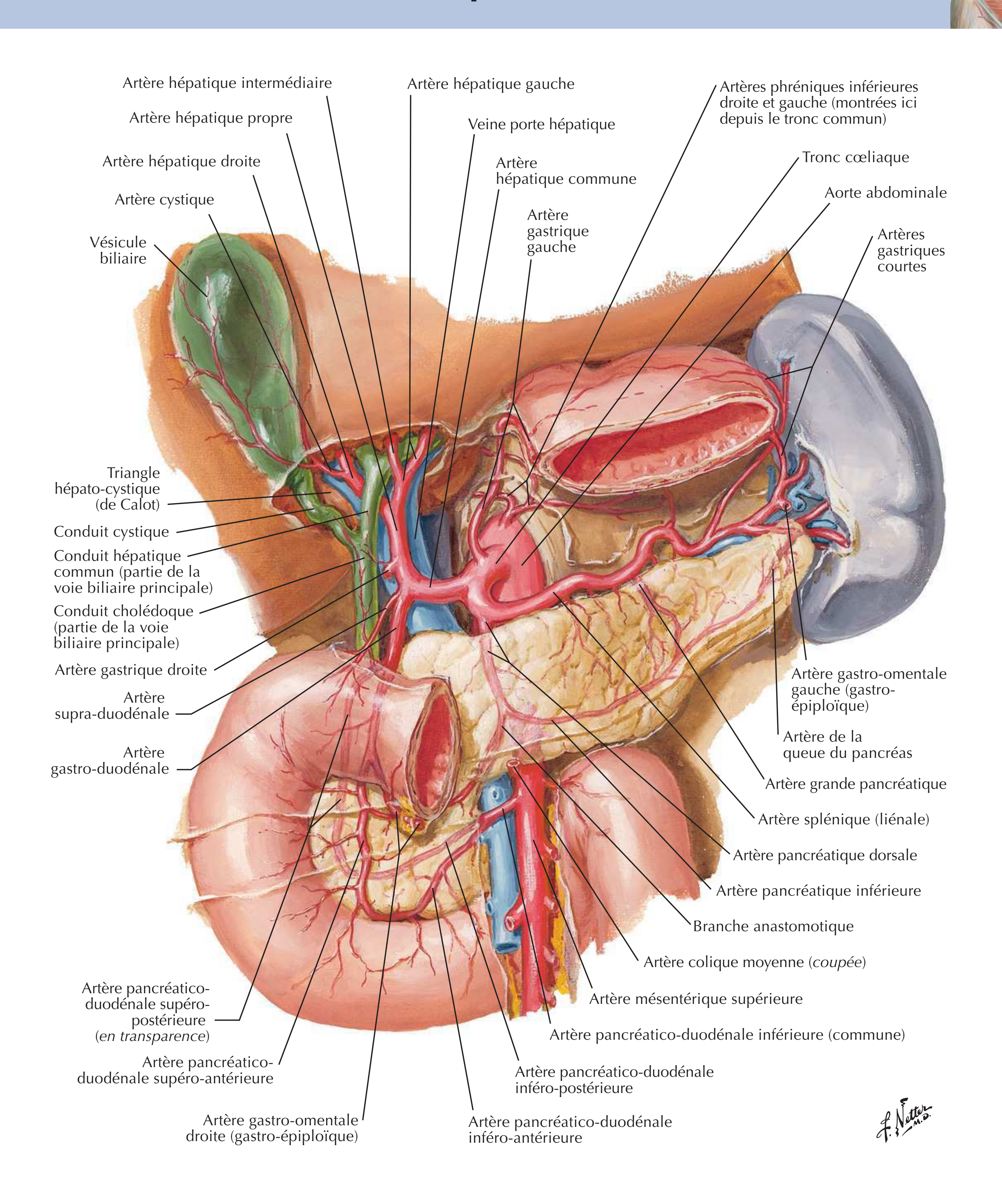


Coupe transversale

Rate *in situ*

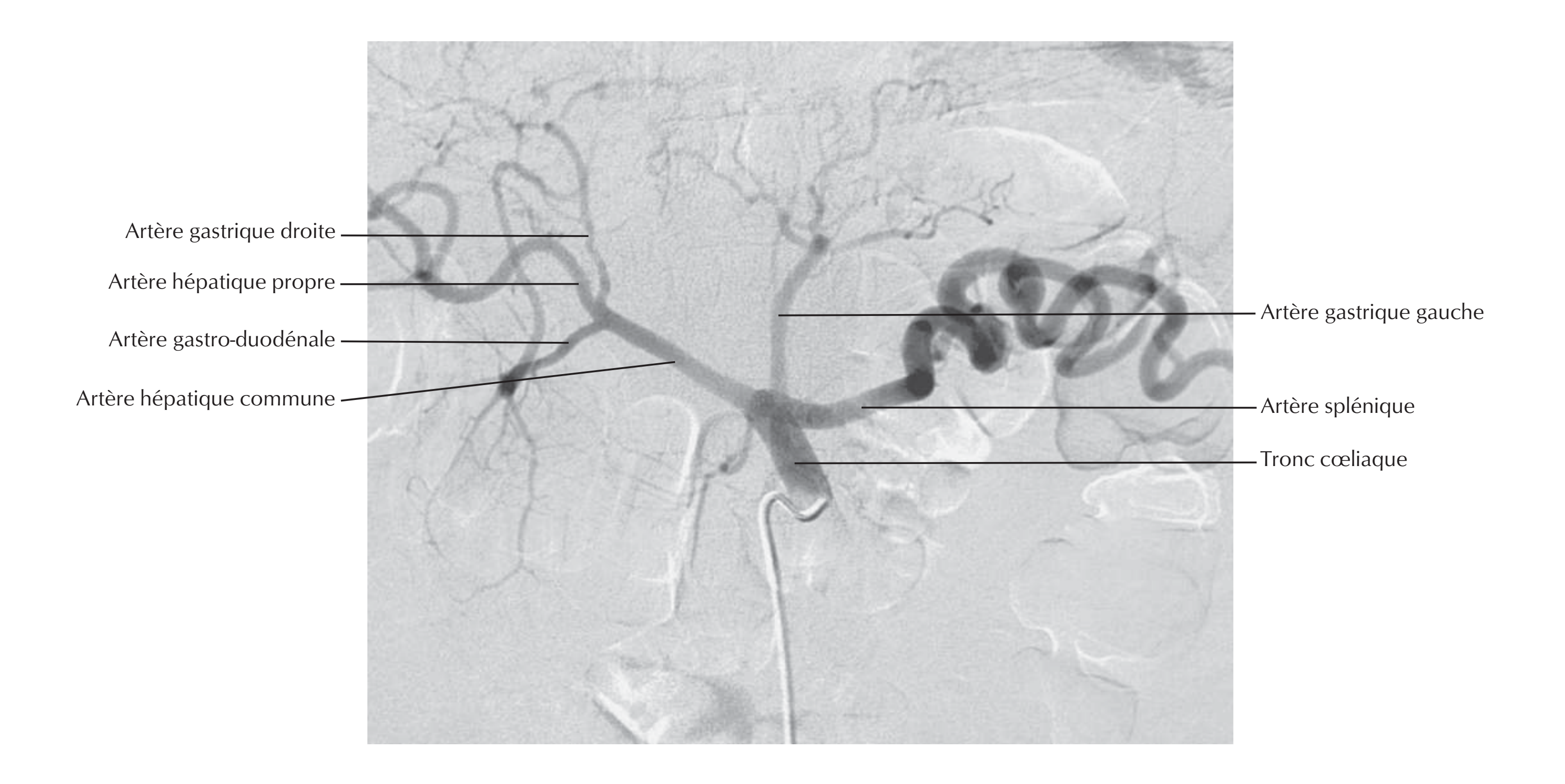
Artères de l'estomac, du foie et de la rate



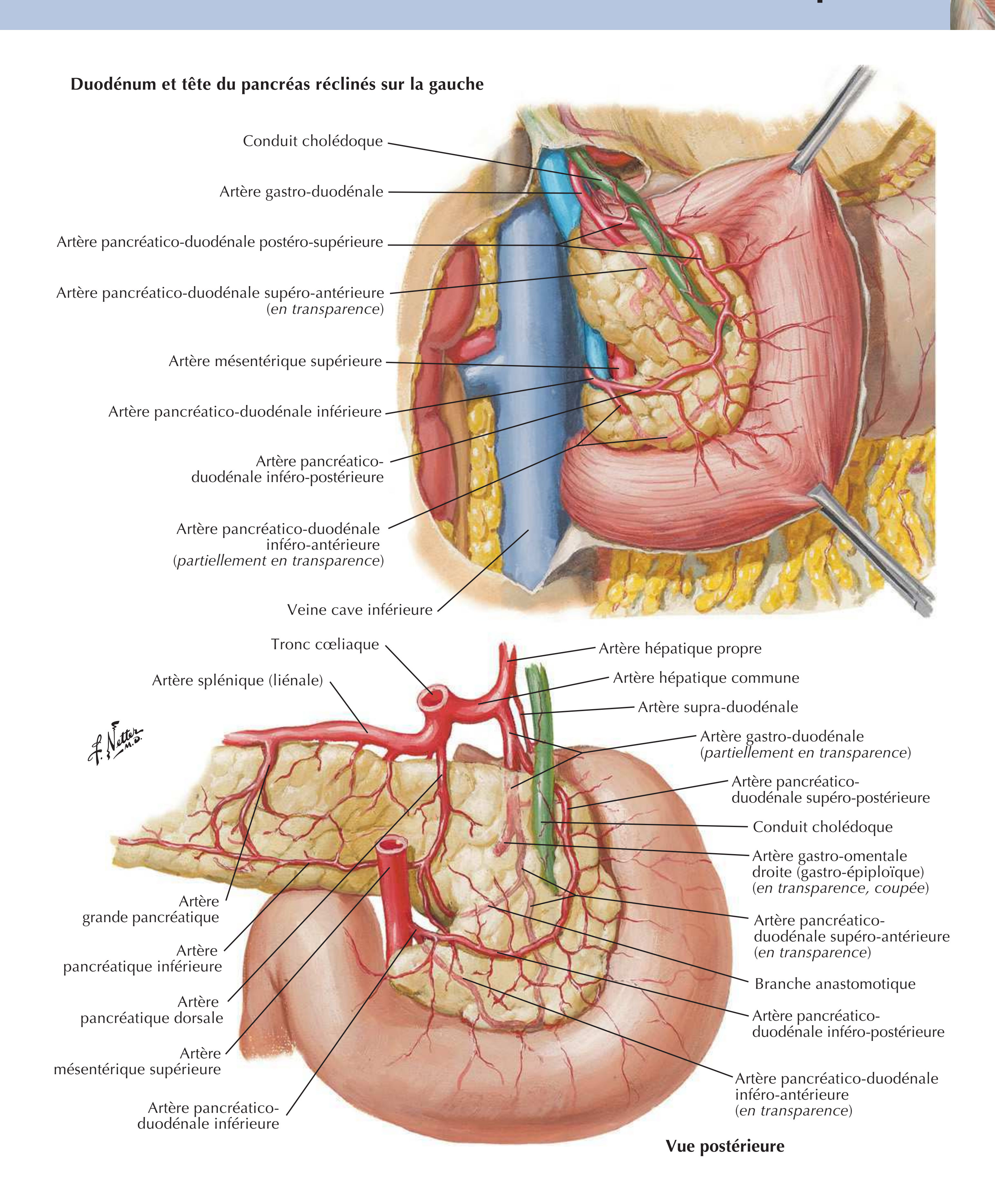

Artère hépatique intermédiaire
Artère hépatique propre
Artère hépatique droite
Artère cystique
Vésicule biliaire
Artère hépatique gauche
Veine porte hépatique
Artère hépatique commune
Artère gastrique gauche
Artères phréniques inférieures droite et gauche (montrées ici depuis le tronc commun)
Tronc cœliaque
Aorte abdominale
Artères gastriques courtes
Triangle hépato-cystique (de Calot)
Conduit cystique
Conduit hépatique commun (partie de la voie biliaire principale)
Conduit cholédoque (partie de la voie biliaire principale)
Artère gastrique droite
Artère supra-duodénale
Artère gastro-duodénale
Artère gastro-omentale gauche (gastro-épiploïque)
Artère de la queue du pancréas
Artère grande pancréatique
Artère splénique (liénale)
Artère pancréatique dorsale
Artère pancréatique inférieure
Branche anastomotique
Artère colique moyenne (*coupée*)
Artère mésentérique supérieure
Artère pancréatico-duodénale inférieure (commune)
Artère pancréatico-duodénale supéro-postérieure (*en transparence*)
Artère pancréatico-duodénale supéro-antérieure
Artère pancréatico-duodénale inféro-postérieure
Artère gastro-omentale droite (gastro-épiploïque)
Artère pancréatico-duodénale inféro-antérieure
F. Netter M.D.

Artériographie du tronc cœliaque et angioscanner

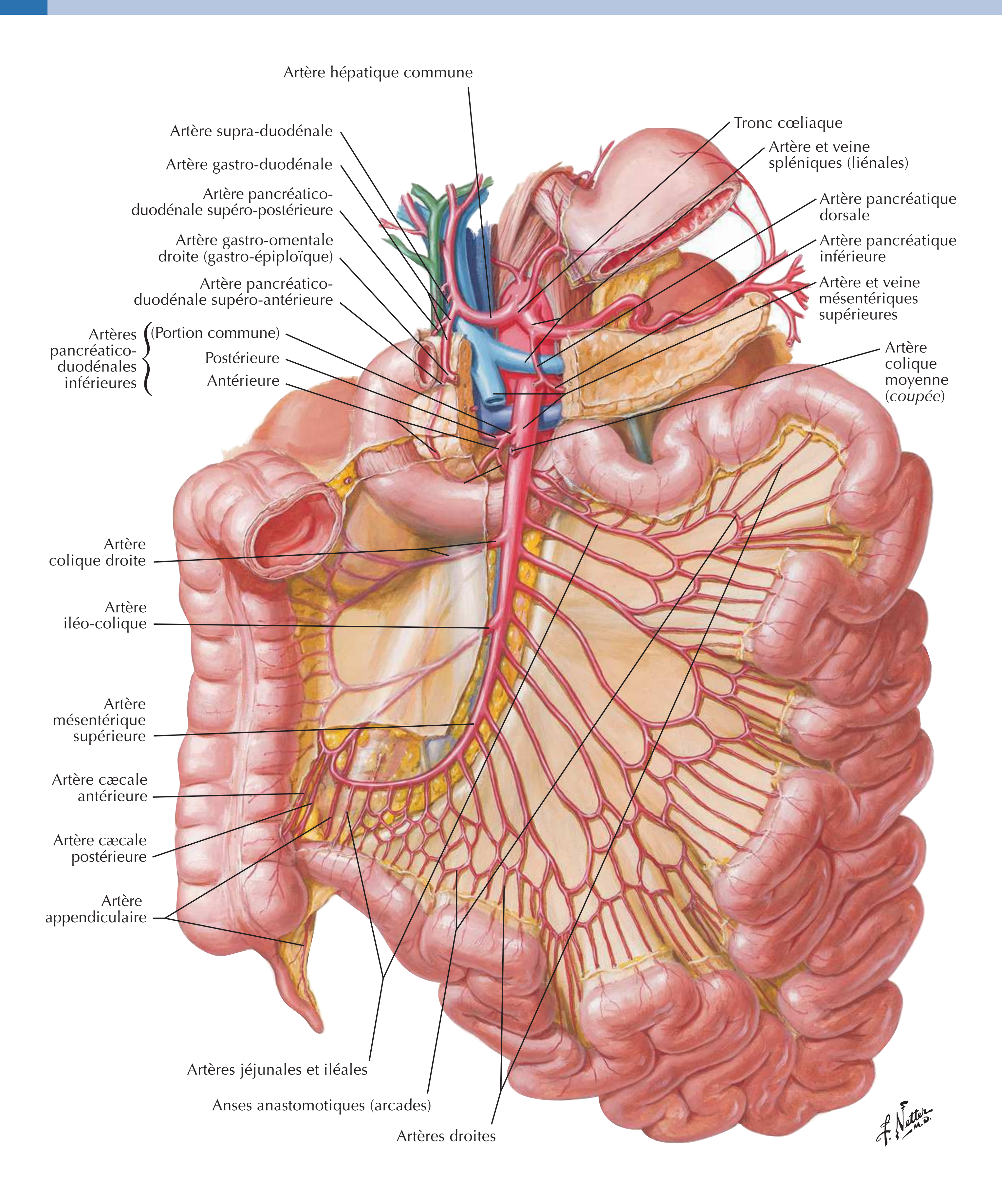
Voir aussi **Planches 283, 284**



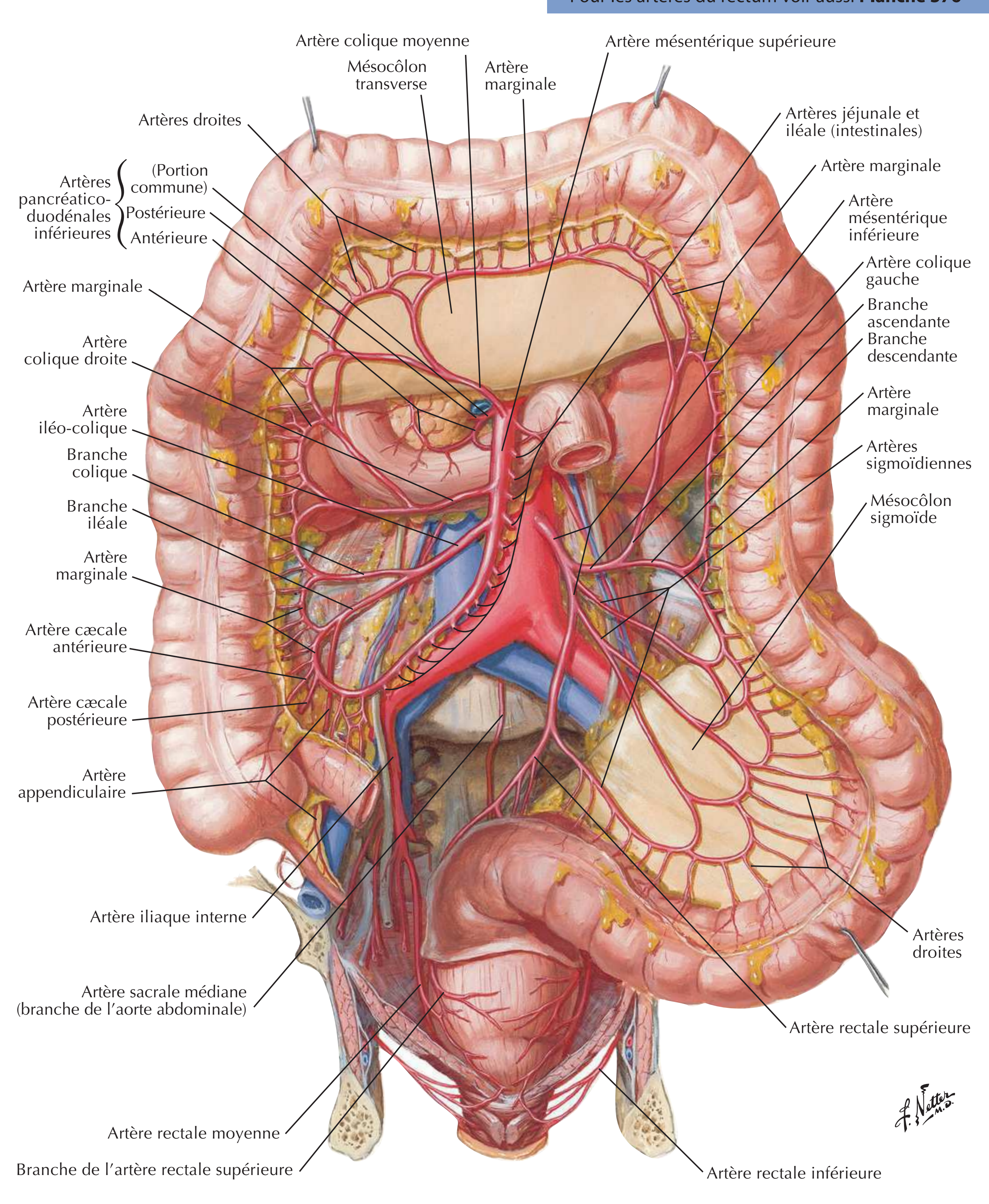
Aorte abdominale
Artère gastrique gauche
Tronc cœliaque
Artère splénique
Artère hépatique commune
Artère rénale gauche
Artère mésentérique supérieure


Duodénum et tête du pancréas réclinés sur la gauche
Conduit cholédoque
Artère gastro-duodénale
Artère pancréatico-duodénale postéro-supérieure
Artère pancréatico-duodénale supéro-antérieure (en transparence)
Artère mésentérique supérieure
Artère pancréatico-duodénale inférieure
Artère pancréatico-duodénale inféro-postérieure
Artère pancréatico-duodénale inféro-antérieure (partiellement en transparence)
Veine cave inférieure
Tronc cœliaque
Artère splénique (liénale)
Artère hépatique propre
Artère hépatique commune
Artère supra-duodénale
Artère gastro-duodénale (partiellement en transparence)
Artère pancréatico-duodénale supéro-postérieure
Conduit cholédoque
Artère gastro-omentale droite (gastro-épiploïque) (en transparence, coupée)
Artère pancréatico-duodénale supéro-antérieure (en transparence)
Branche anastomotique
Artère pancréatico-duodénale inféro-postérieure
Artère pancréatico-duodénale inféro-antérieure (en transparence)
Artère grande pancréatique
Artère pancréatique inférieure
Artère pancréatique dorsale
Artère mésentérique supérieure
Artère pancréatico-duodénale inférieure
Vue postérieure

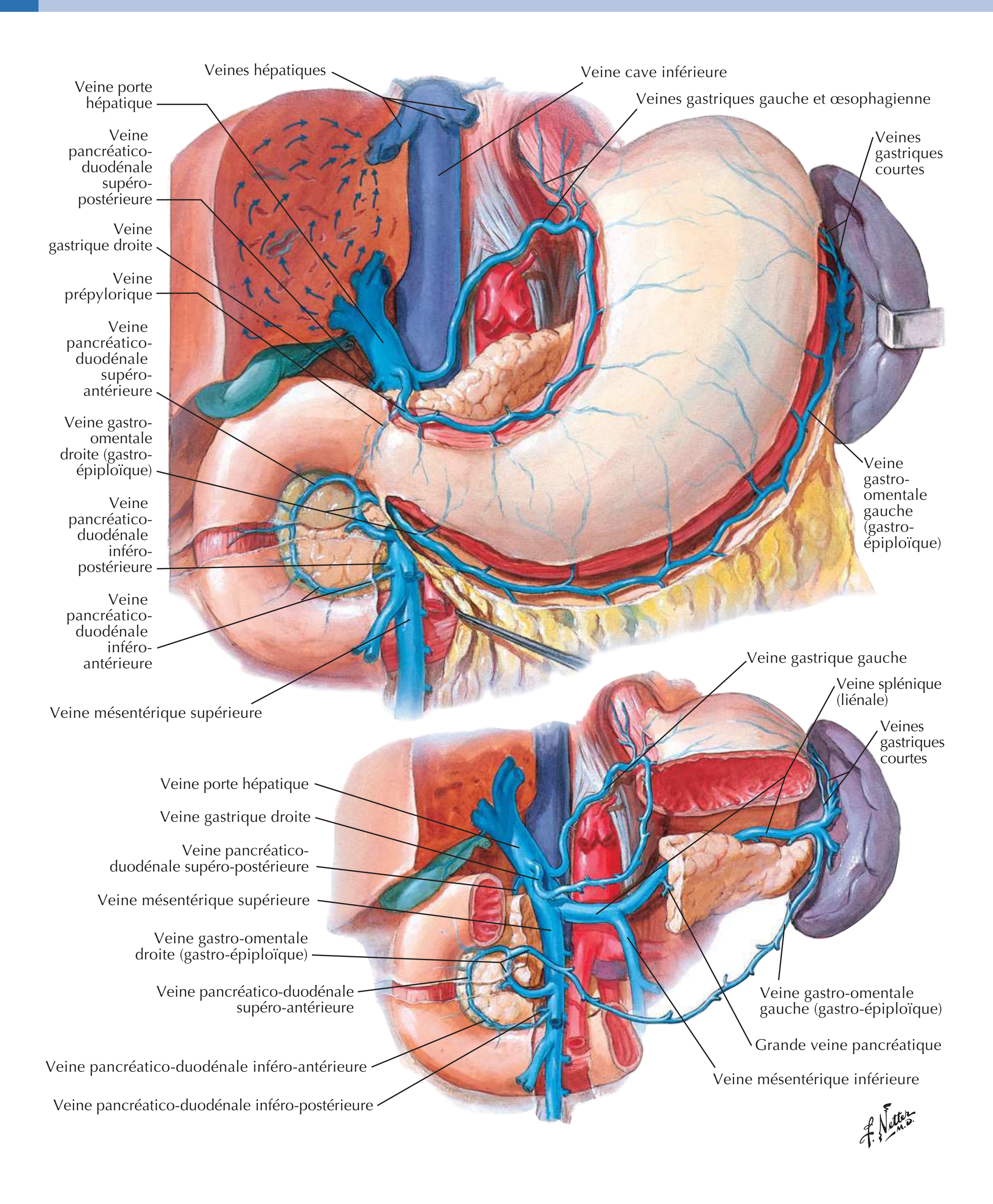
Artères de l'intestin grêle

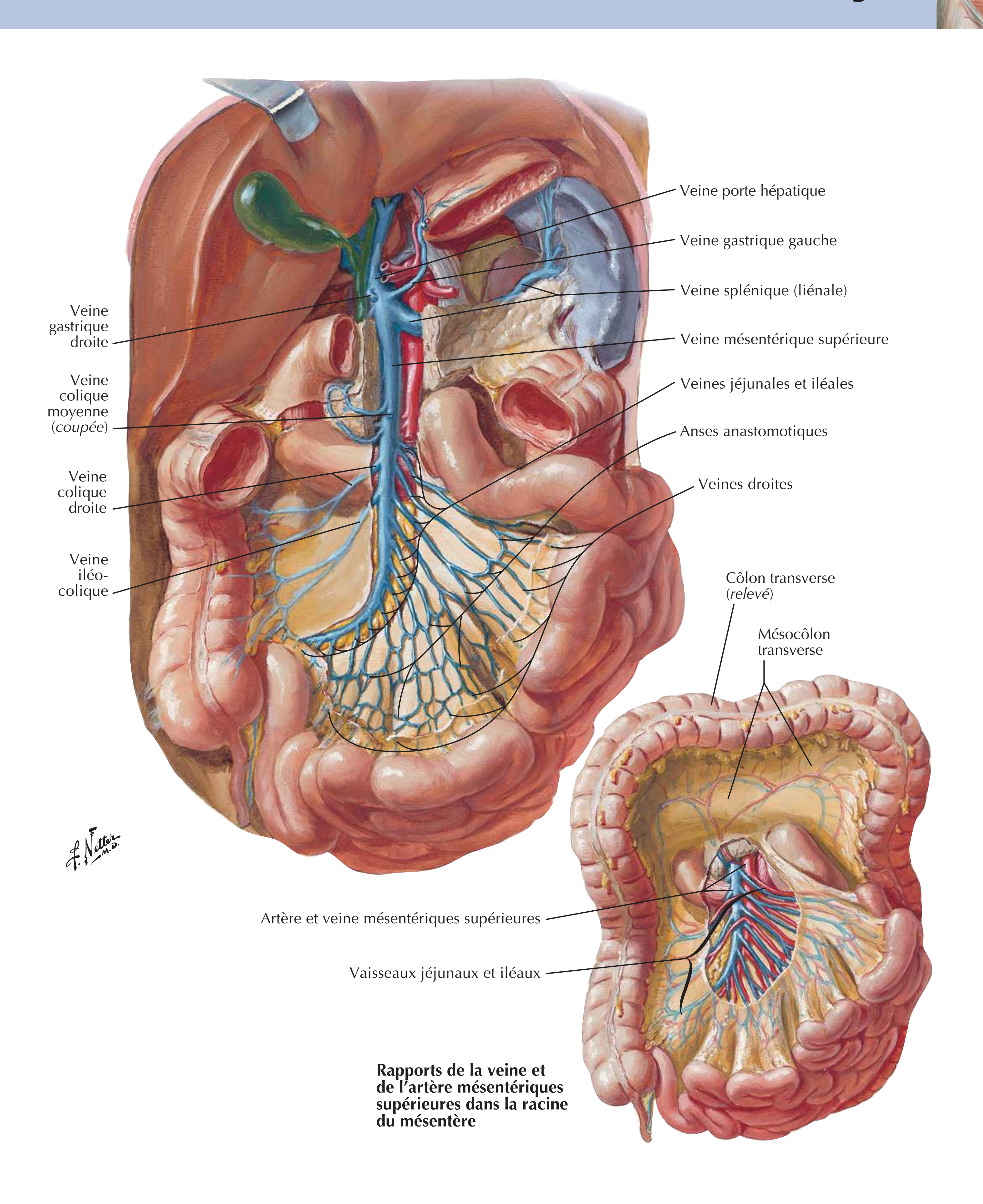


Pour les artères du rectum voir aussi **Planche 376**



Veines de l'estomac, du duodénum, du pancréas et de la rate

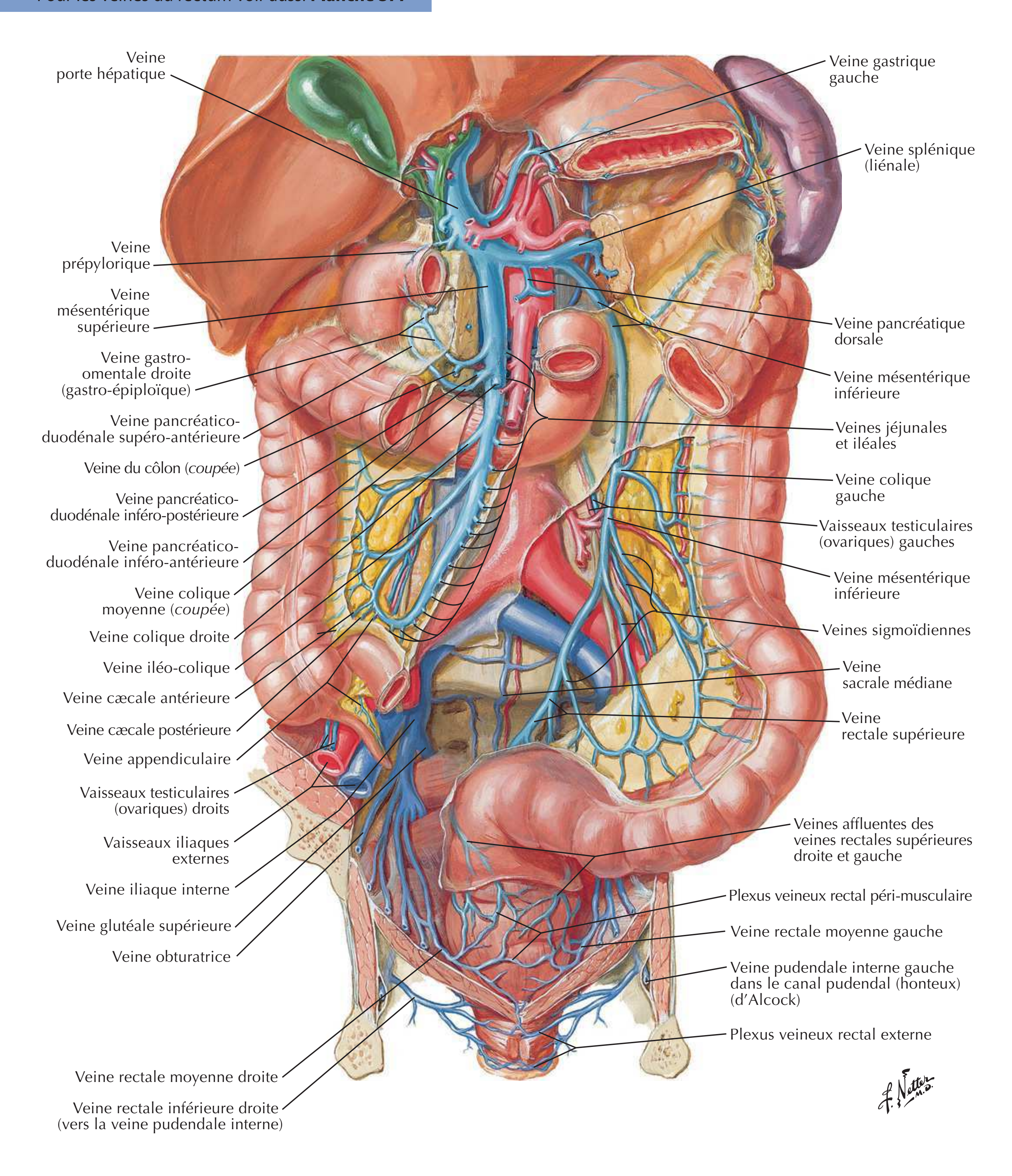


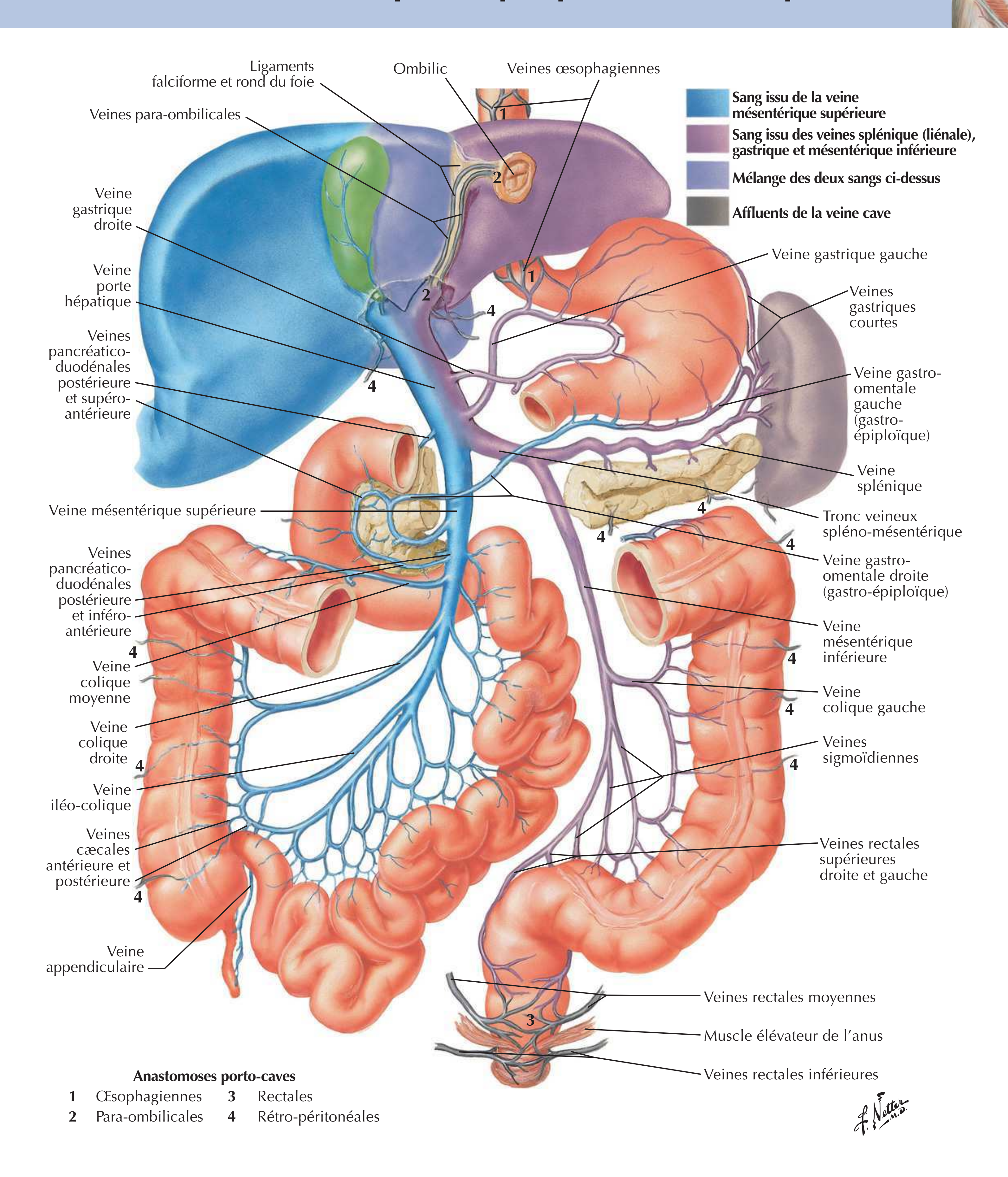


Rapports de la veine et de l'artère mésentériques supérieures dans la racine du mésentère

Veines du gros intestin

Pour les veines du rectum voir aussi **Planche 377**

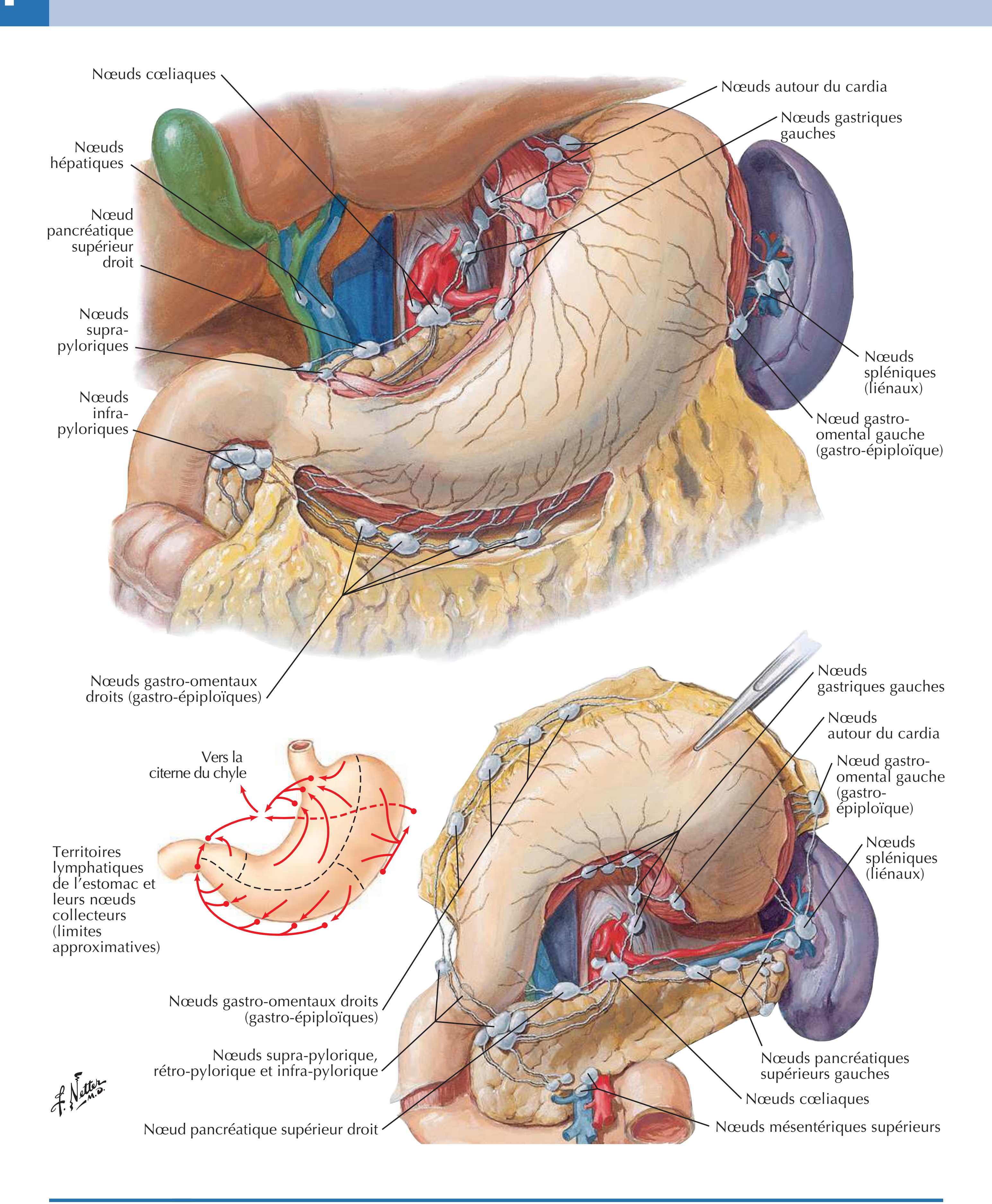


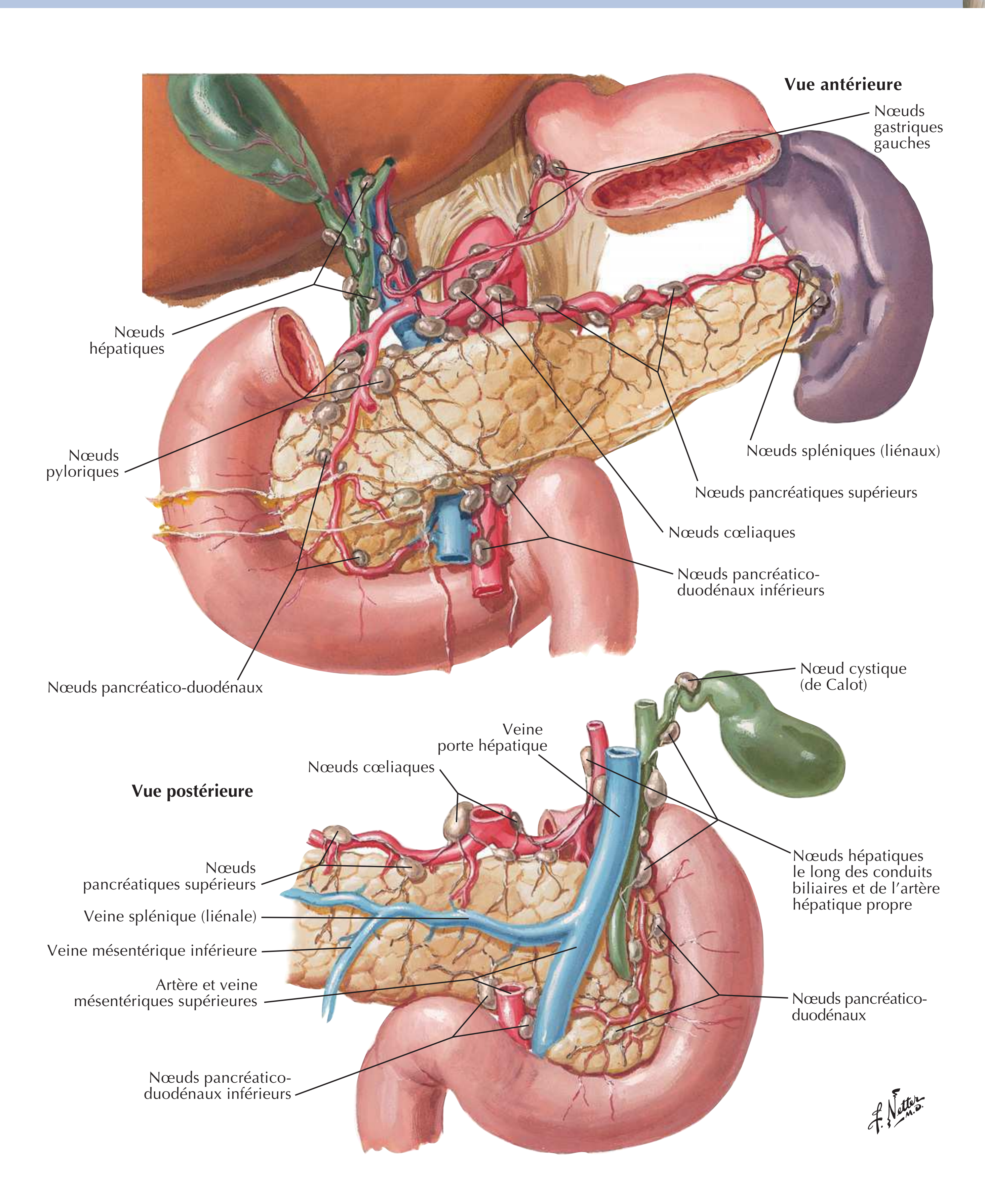


Anastomoses porto-caves

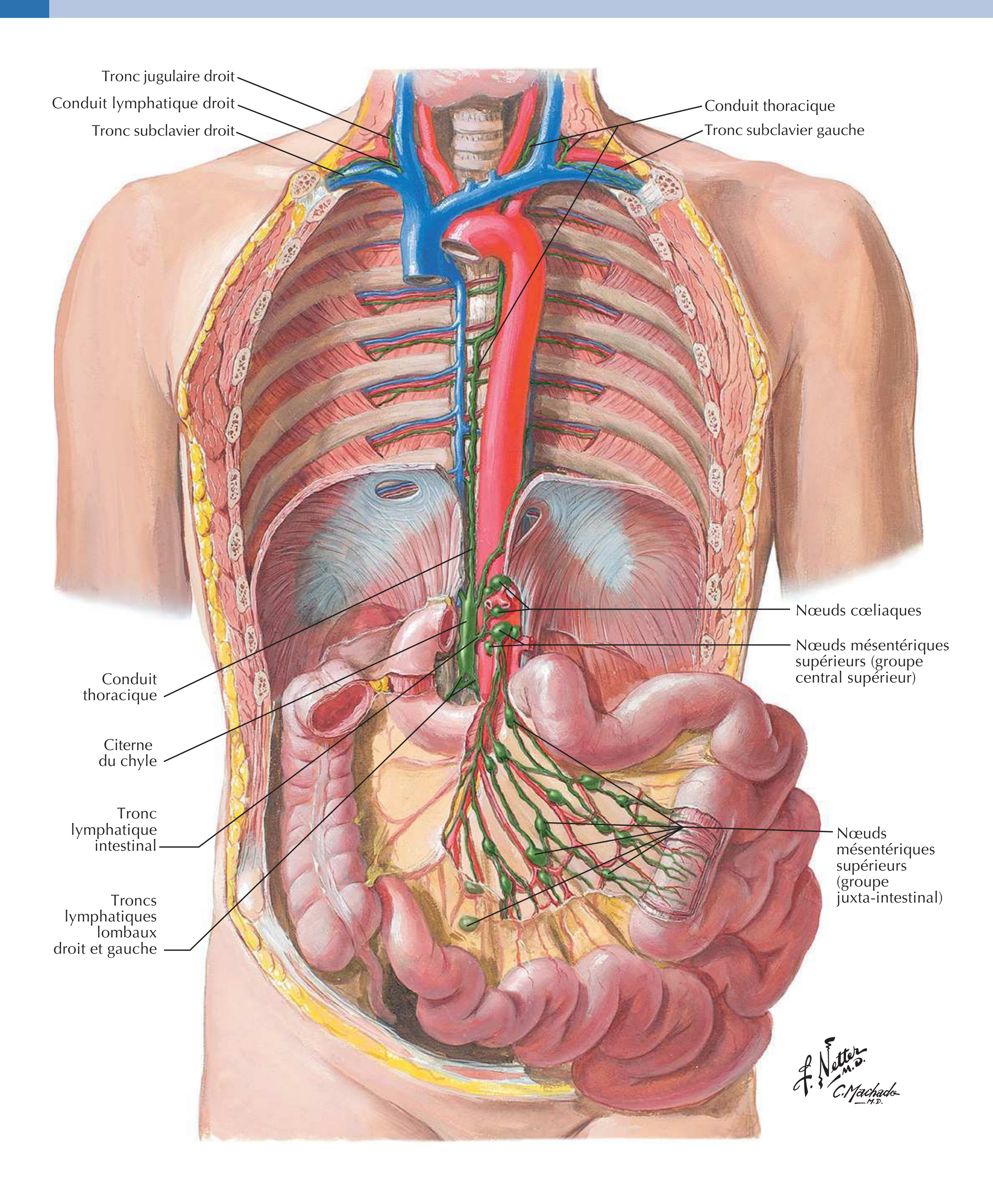
1 Œsophagiennes **3** Rectales
2 Para-ombilicales **4** Rétro-péritonéales

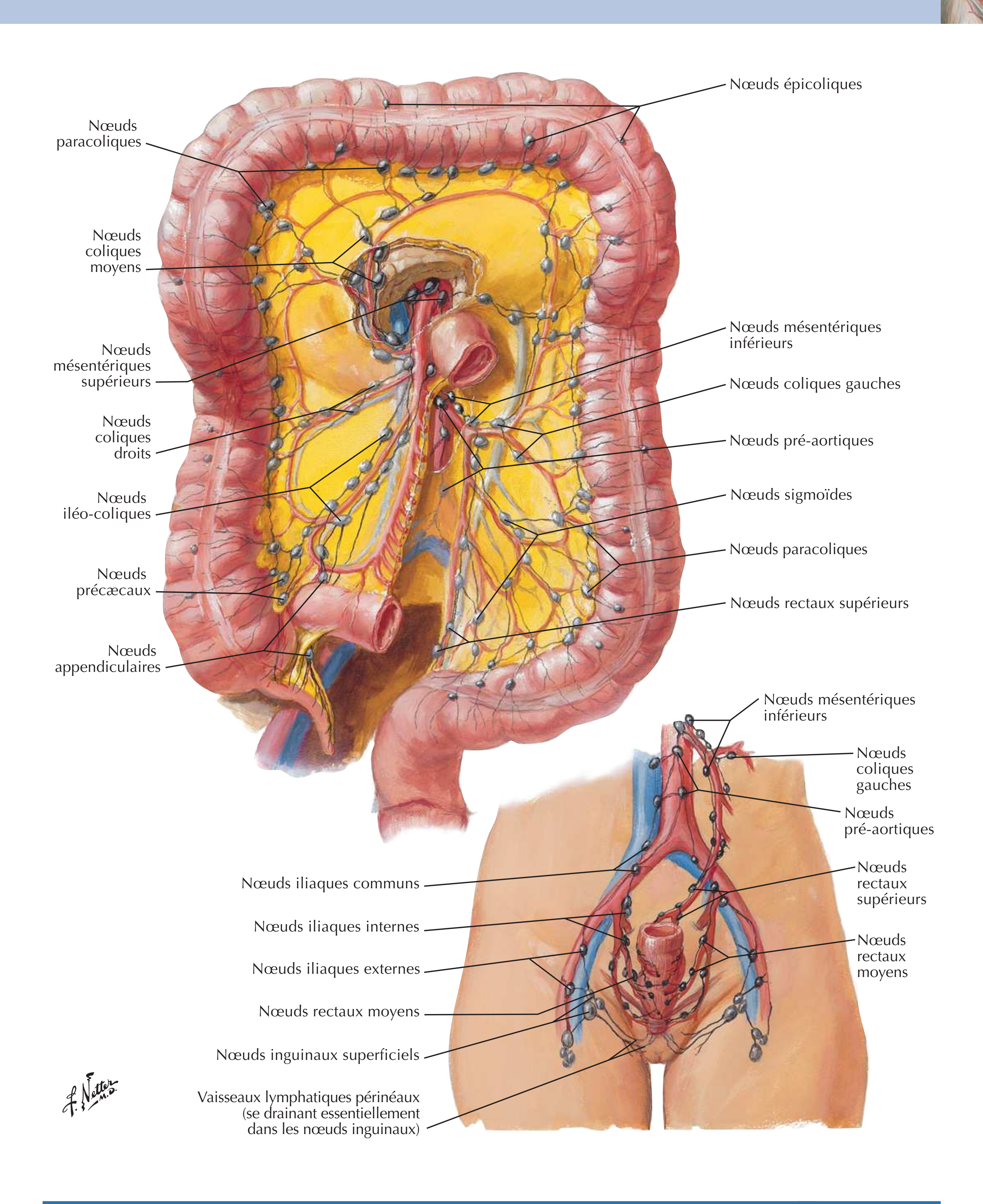
Vaisseaux et nœuds lymphatiques de l'estomac




Vue antérieure
Nœuds gastriques gauches
Nœuds hépatiques
Nœuds pyloriques
Nœuds spléniques (liénaux)
Nœuds pancréatiques supérieurs
Nœuds cœliaques
Nœuds pancréatico-duodénaux inférieurs
Nœuds pancréatico-duodénaux
Nœud cystique (de Calot)
Veine porte hépatique
Nœuds cœliaques
Vue postérieure
Nœuds pancréatiques supérieurs
Veine splénique (liénale)
Veine mésentérique inférieure
Artère et veine mésentériques supérieures
Nœuds pancréatico-duodénaux inférieurs
Nœuds hépatiques le long des conduits biliaires et de l'artère hépatique propre
Nœuds pancréatico-duodénaux
F. Netter M.D.

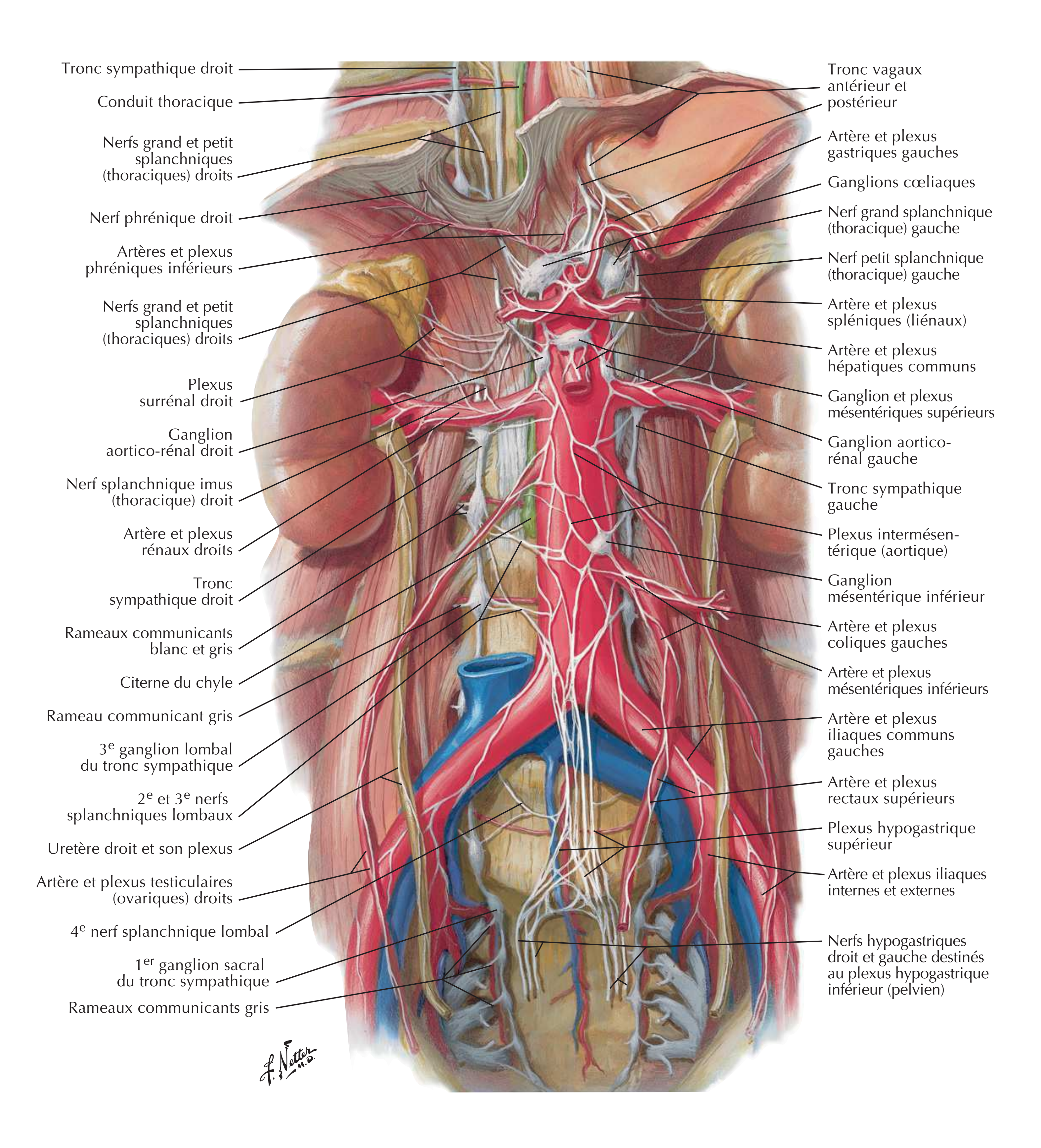
Vaisseaux et nœuds lymphatiques de l'intestin grêle

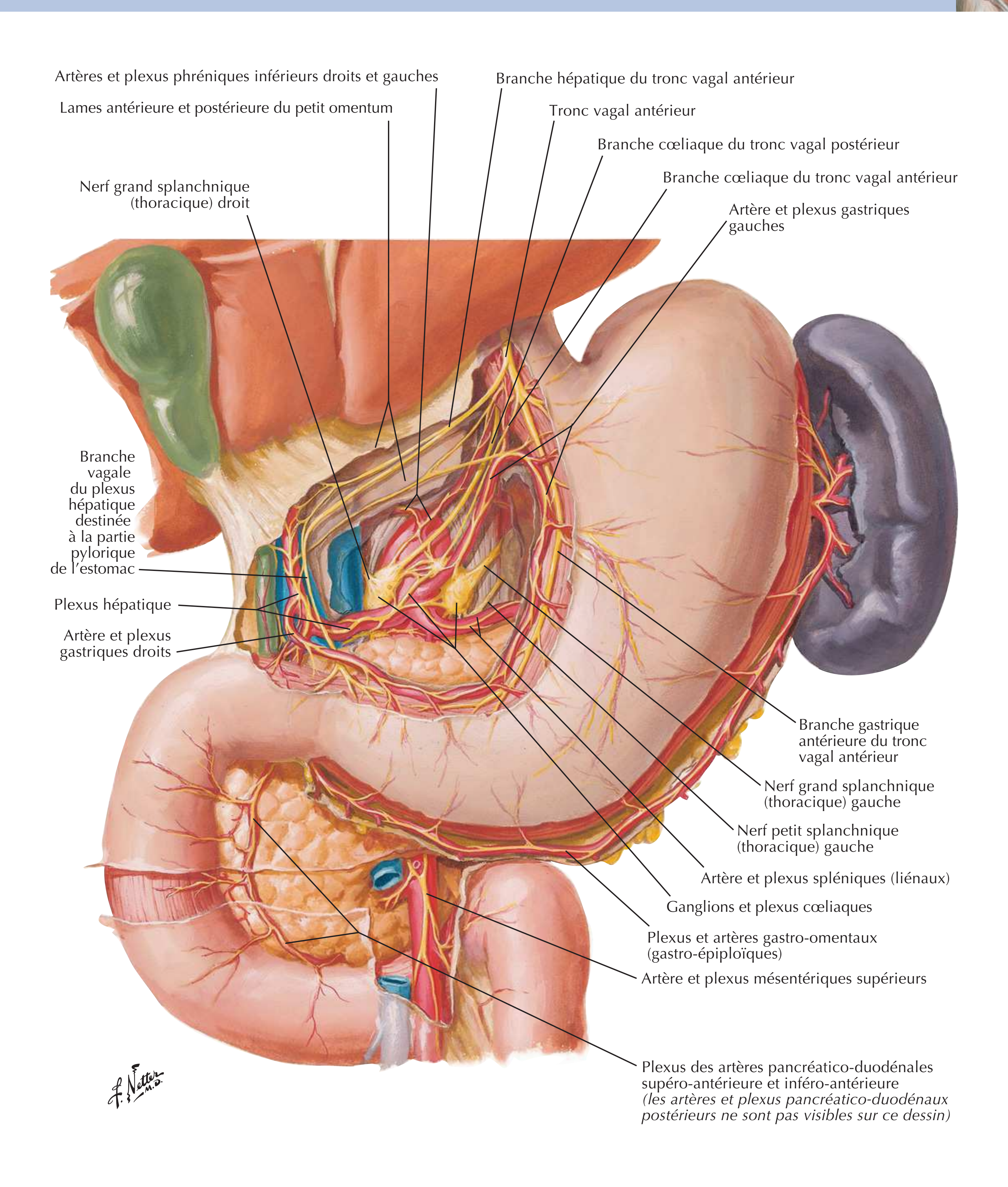




Nœuds épicoliques
Nœuds paracoliques
Nœuds coliques moyens
Nœuds mésentériques supérieurs
Nœuds coliques droits
Nœuds iléo-coliques
Nœuds précæcaux
Nœuds appendiculaires
Nœuds mésentériques inférieurs
Nœuds coliques gauches
Nœuds pré-aortiques
Nœuds sigmoïdes
Nœuds paracoliques
Nœuds rectaux supérieurs
Nœuds mésentériques inférieurs
Nœuds coliques gauches
Nœuds pré-aortiques
Nœuds rectaux supérieurs
Nœuds rectaux moyens
Nœuds iliaques communs
Nœuds iliaques internes
Nœuds iliaques externes
Nœuds rectaux moyens
Nœuds inguinaux superficiels
Vaisseaux lymphatiques périnéaux (se drainant essentiellement dans les nœuds inguinaux)
F. Netter M.D.

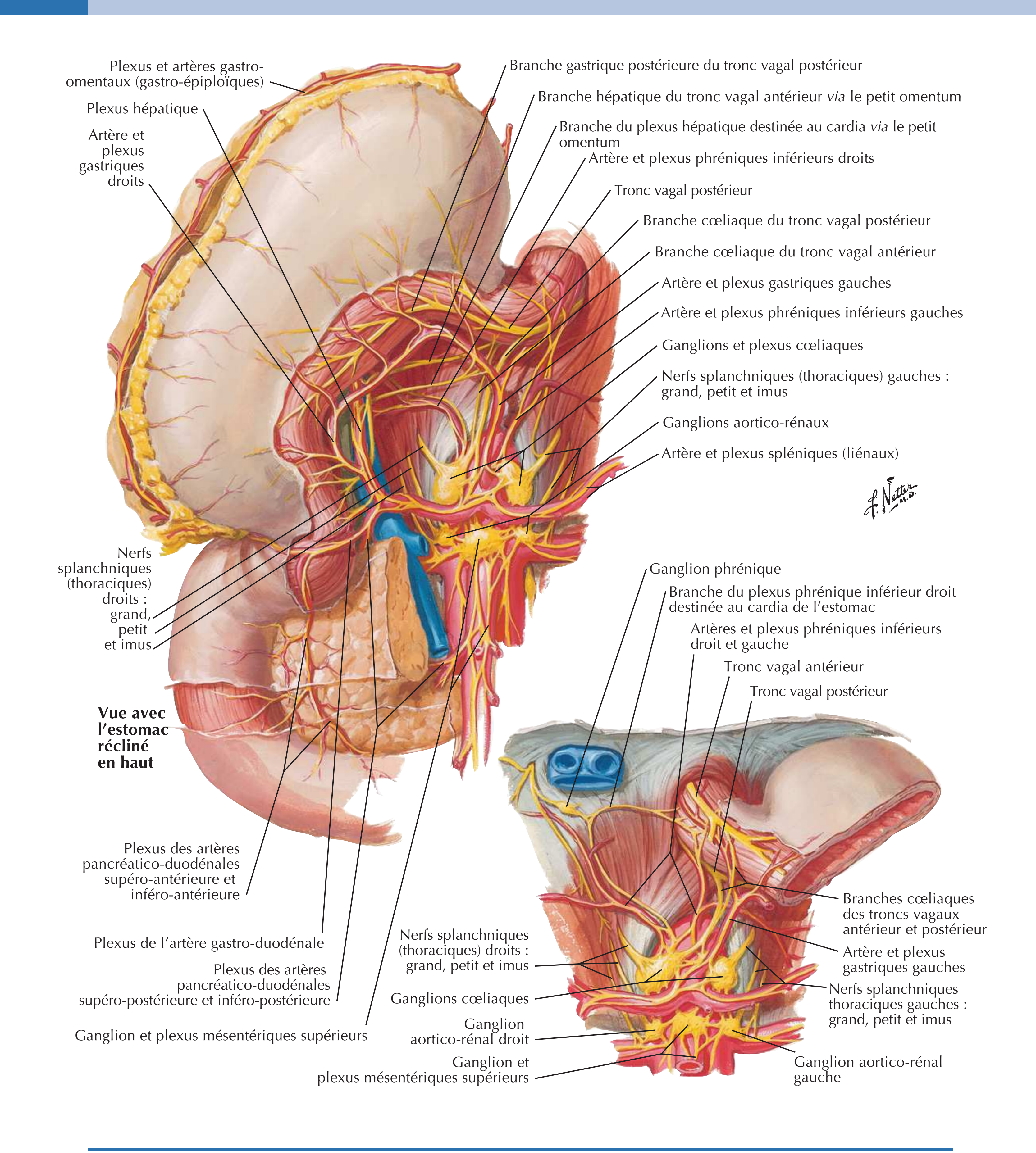
Nerfs et ganglions autonomes de l'abdomen





Artères et plexus phréniques inférieurs droits et gauches
Lames antérieure et postérieure du petit omentum
Nerf grand splanchnique (thoracique) droit
Branche hépatique du tronc vagal antérieur
Tronc vagal antérieur
Branche cœliaque du tronc vagal postérieur
Branche cœliaque du tronc vagal antérieur
Artère et plexus gastriques gauches
Branche vagale du plexus hépatique destinée à la partie pylorique de l'estomac
Plexus hépatique
Artère et plexus gastriques droits
Branche gastrique antérieure du tronc vagal antérieur
Nerf grand splanchnique (thoracique) gauche
Nerf petit splanchnique (thoracique) gauche
Artère et plexus spléniques (liénaux)
Ganglions et plexus cœliaques
Plexus et artères gastro-omentaux (gastro-épiploïques)
Artère et plexus mésentériques supérieurs
Plexus des artères pancréatico-duodénales supéro-antérieure et inféro-antérieure
(les artères et plexus pancréatico-duodénaux postérieurs ne sont pas visibles sur ce dessin)
F. Netter M.D.

Innervation autonome de l'estomac et du duodénum (suite)

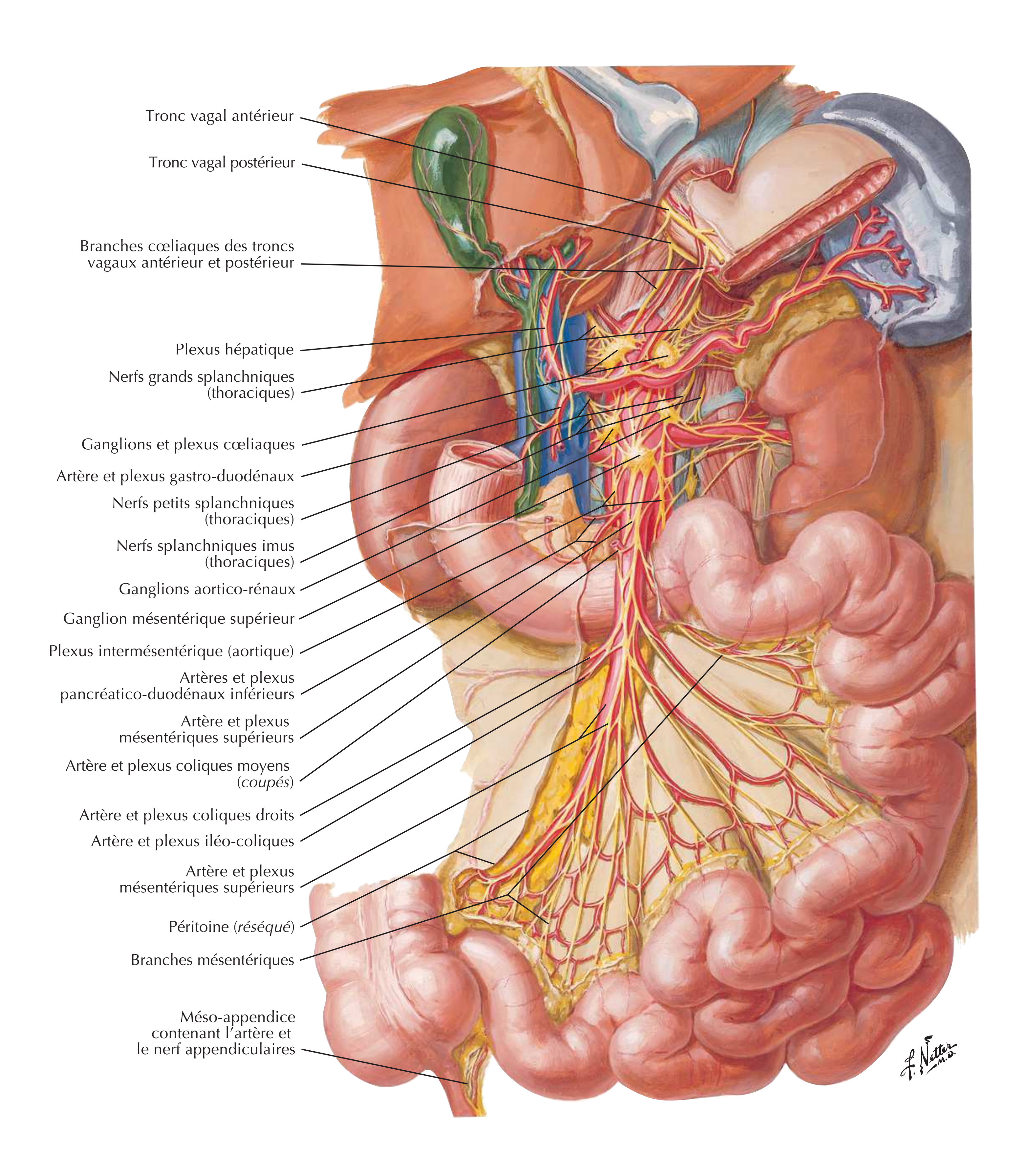


Innervation autonome de l'estomac et du duodénum : schéma

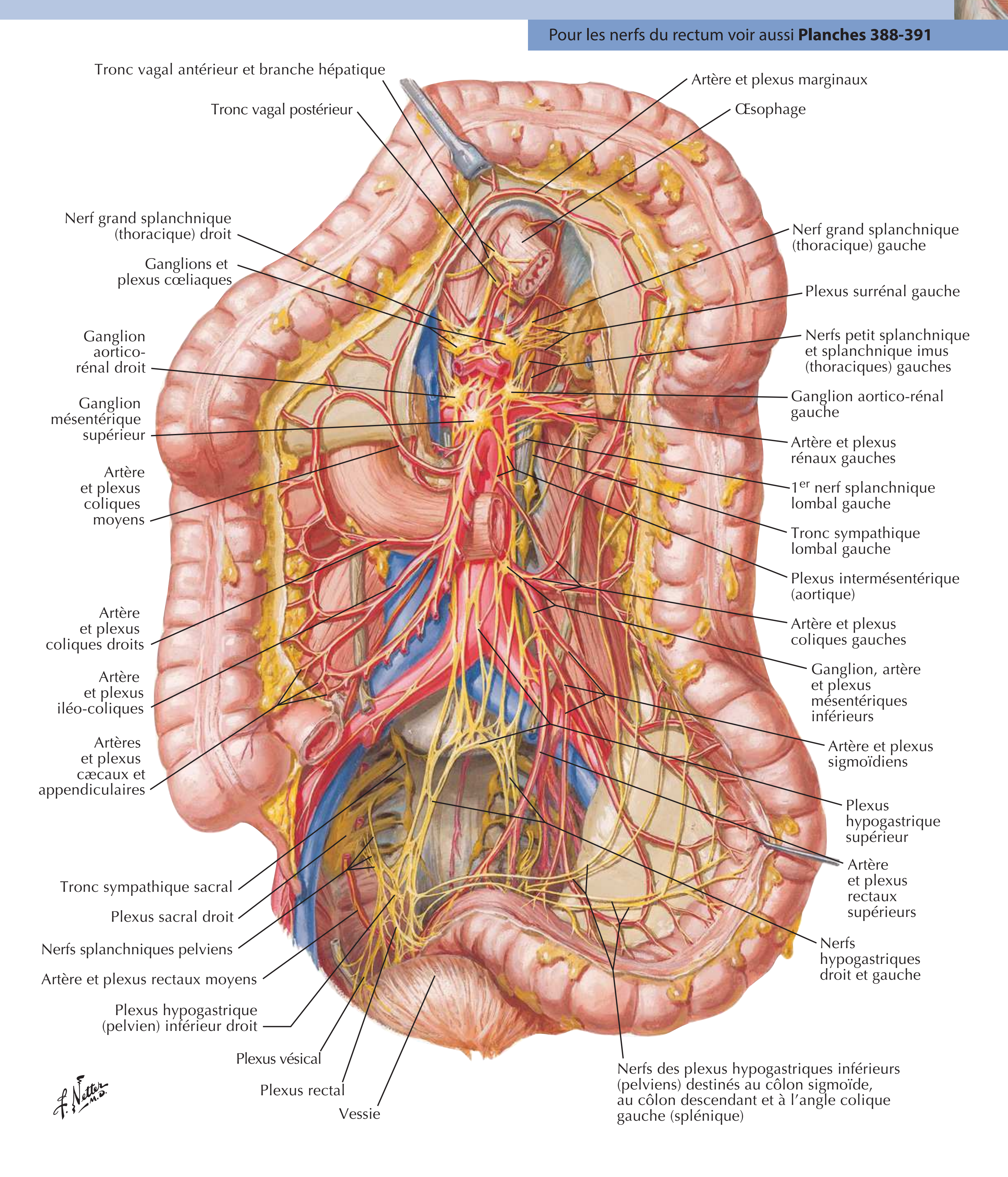
Voir aussi **Planches 163, 164**



Innervation autonome de l'intestin grêle

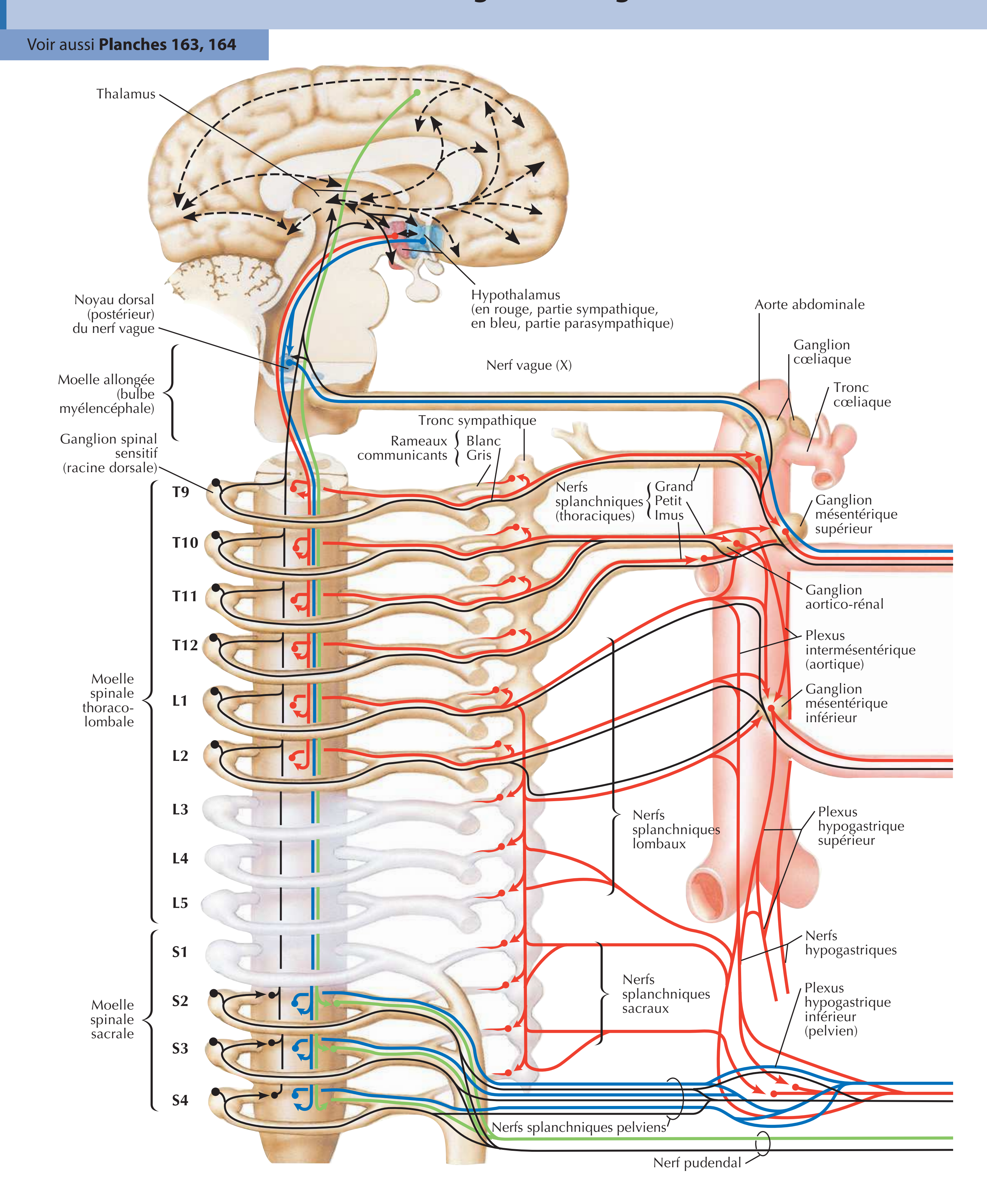


Pour les nerfs du rectum voir aussi **Planches 388-391**



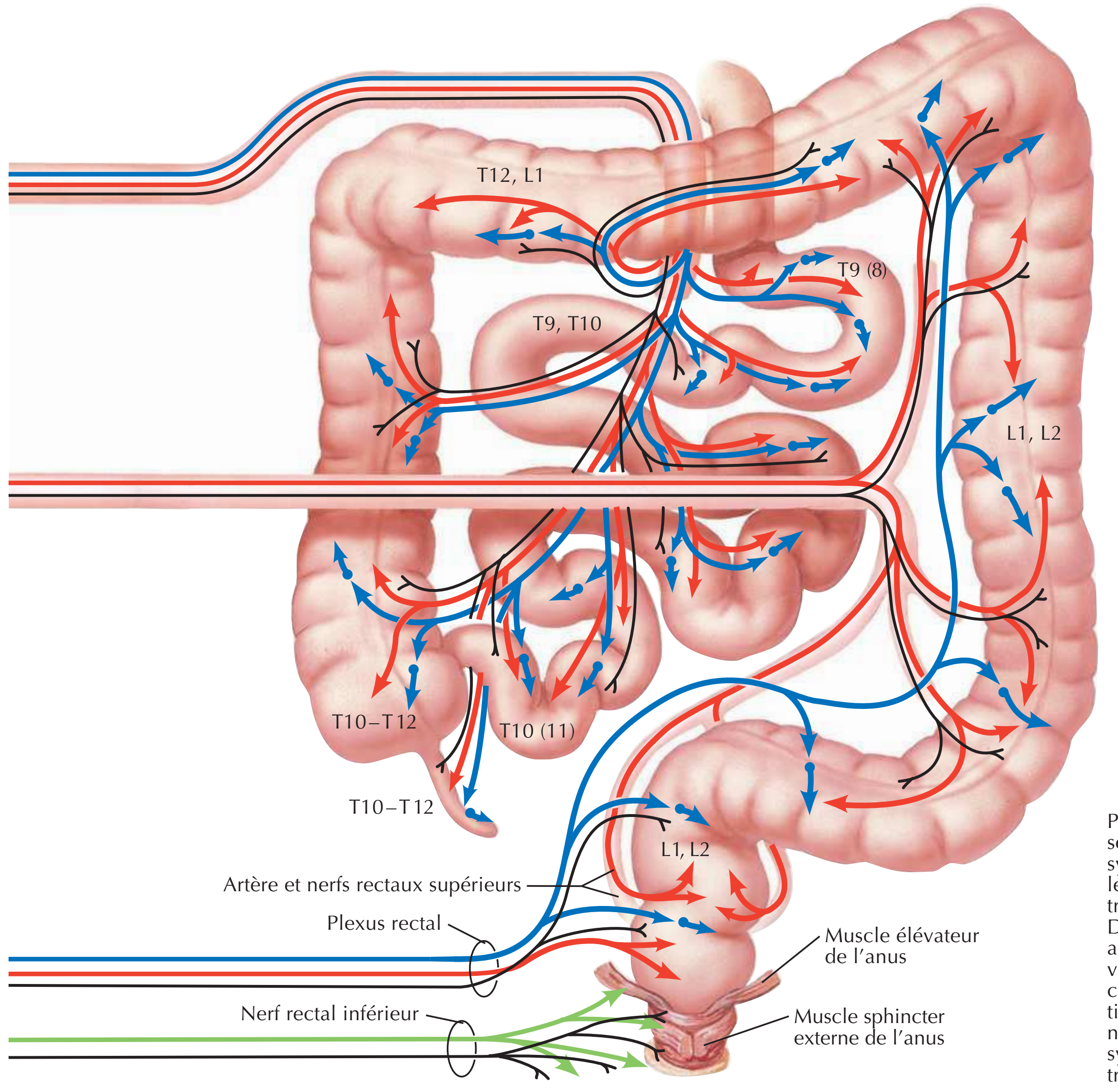
Innervation autonome de l'intestin grêle et du gros intestin : schéma

Voir aussi **Planches 163, 164**



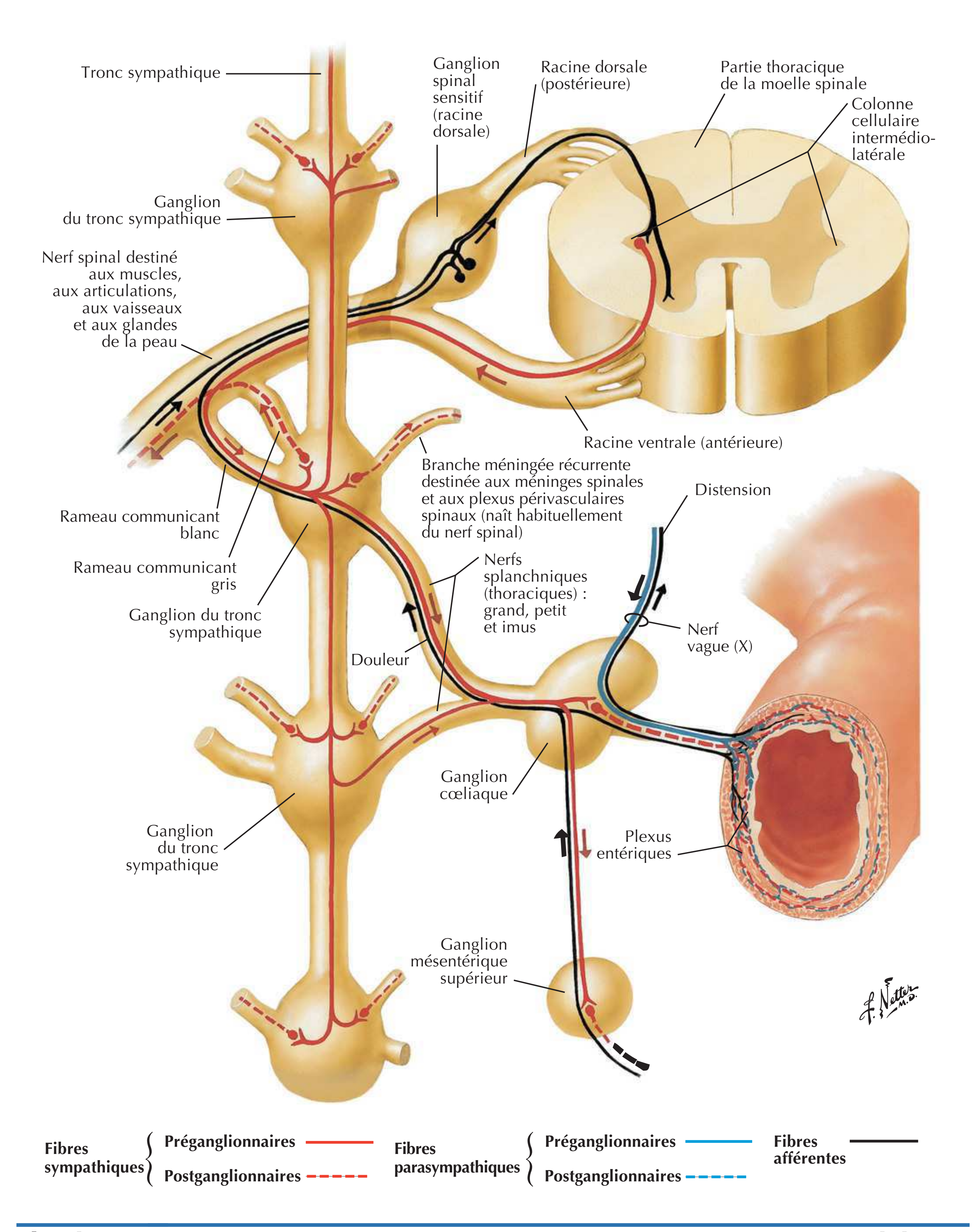
Innervation autonome de l'intestin grêle et du gros intestin : schéma

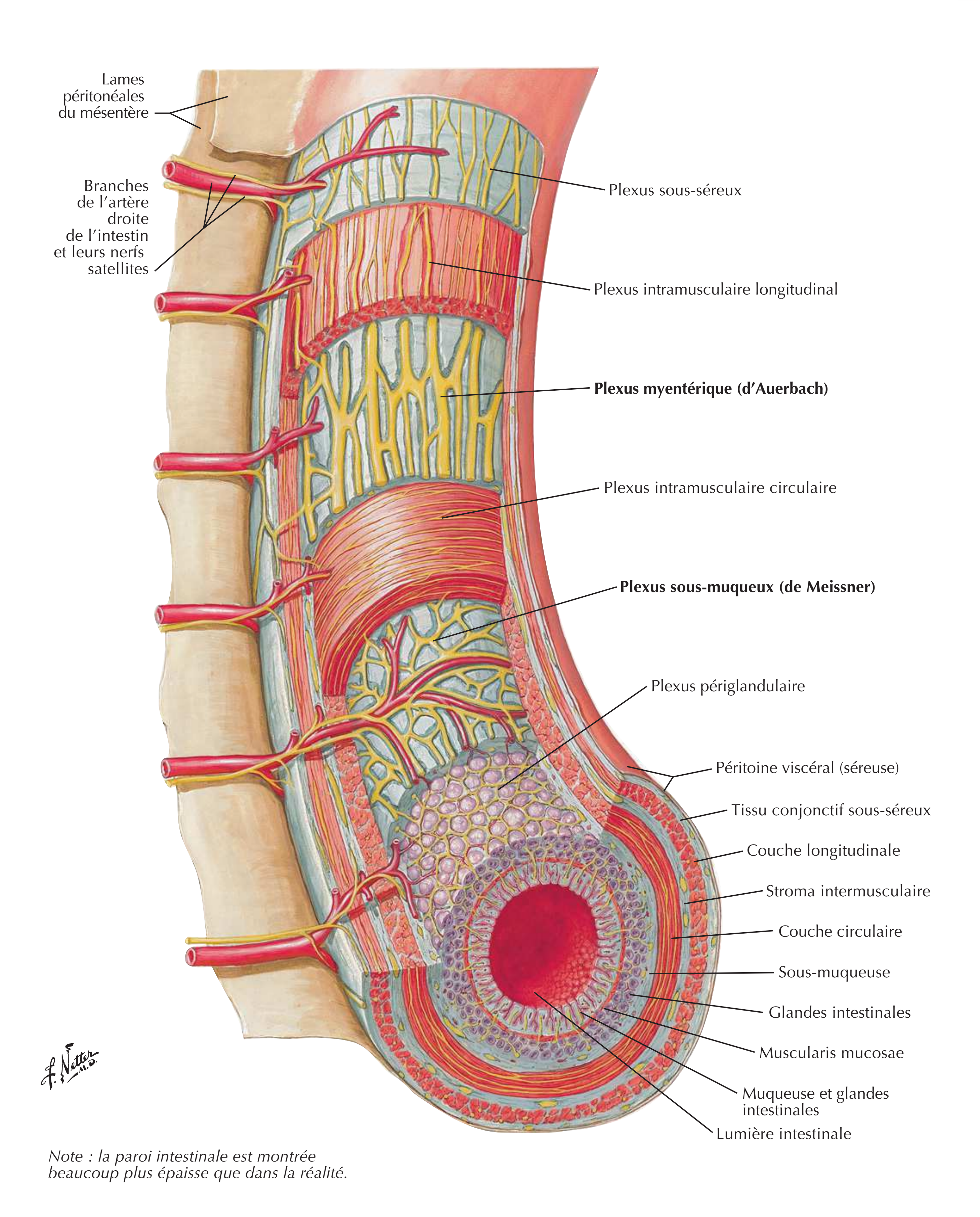
Voir aussi **Planches 163, 164**



Principales origines segmentaires des fibres sympathiques innervant les différentes régions du tractus intestinal.
De nombreuses fibres afférentes sont véhiculées de façon centripète, approximativement, par les mêmes nerfs splanchniques sympathiques qui transmettent les fibres préganglionnaires.

Voies réflexes autonomes : schéma

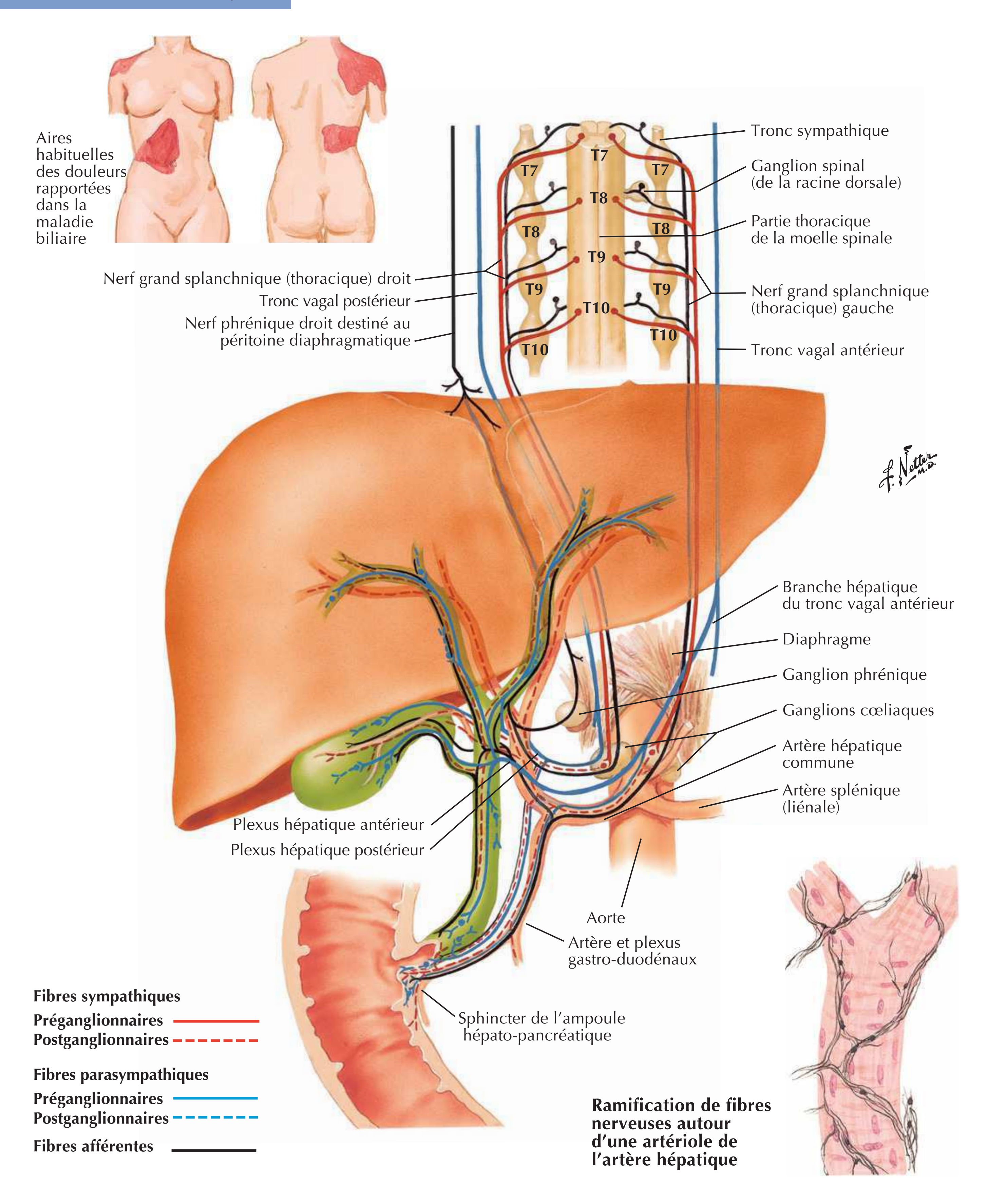




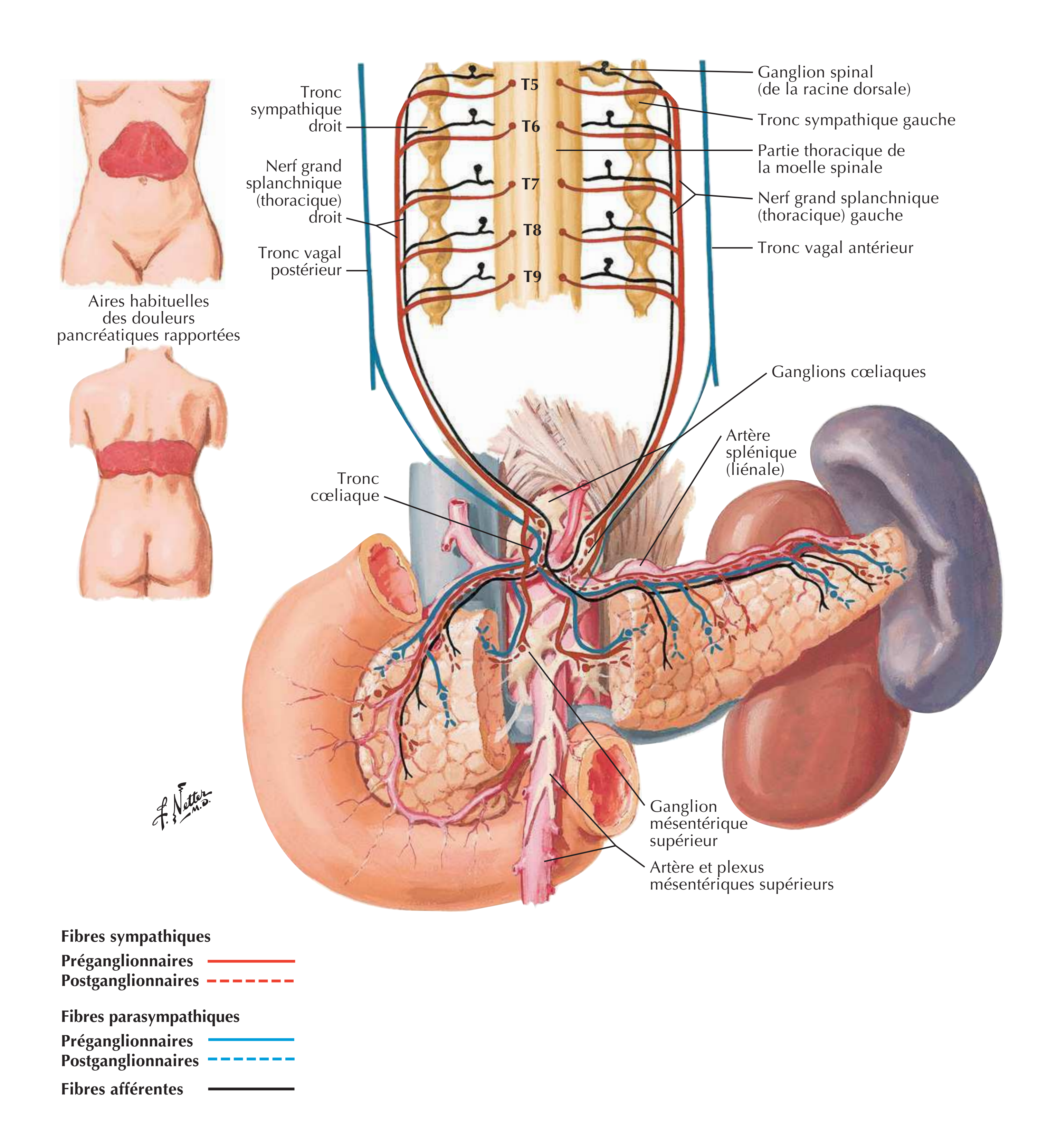
Note : la paroi intestinale est montrée beaucoup plus épaisse que dans la réalité.

Innervation autonome du foie et des voies biliaires : schéma

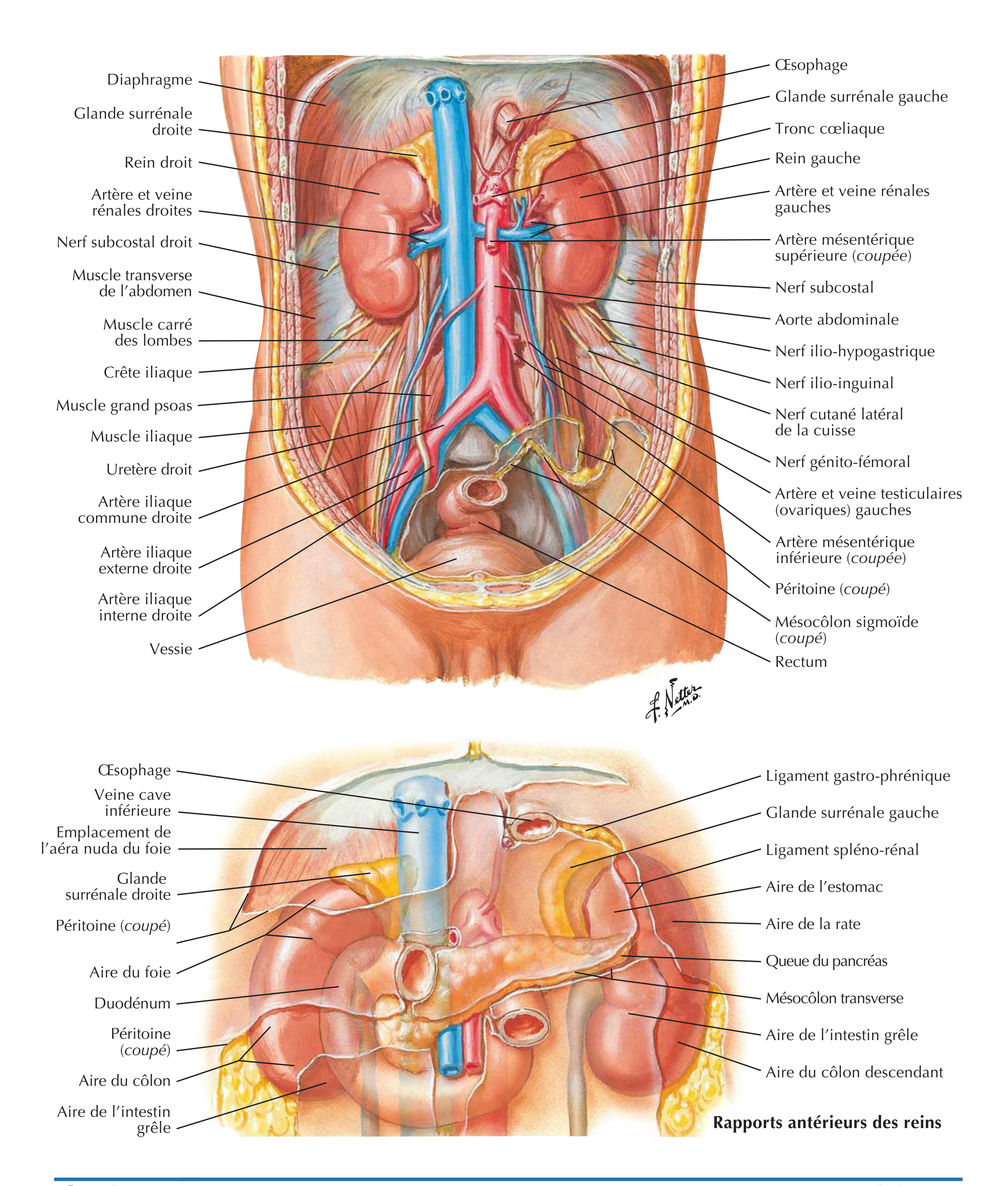
Voir aussi **Planches 163,164**



Voir aussi **Planches 163,164**



Reins *in situ* : vues antérieures



Rapports antérieurs des reins

Muscle grand dorsal

Muscle dentelé postéro-inférieur

Muscle oblique externe

Aponévrose du muscle transverse de l'abdomen

Muscle oblique interne

Fascia thoraco-lombal (lame postérieure)

Crête iliaque

Muscle érecteur du rachis

Fascia glutéal (recouvrant le muscle moyen glutéal)

Muscle grand glutéal

10

11

12

Plèvre (récessus costo-diaphragmatique)

Ligament lombo-costal

Muscle carré des lombes (*coupé*)

Diaphragme

Nerf subcostal

Rein droit

Côlon ascendant

Muscle transverse de l'abdomen

Nerf ilio-hypogastrique

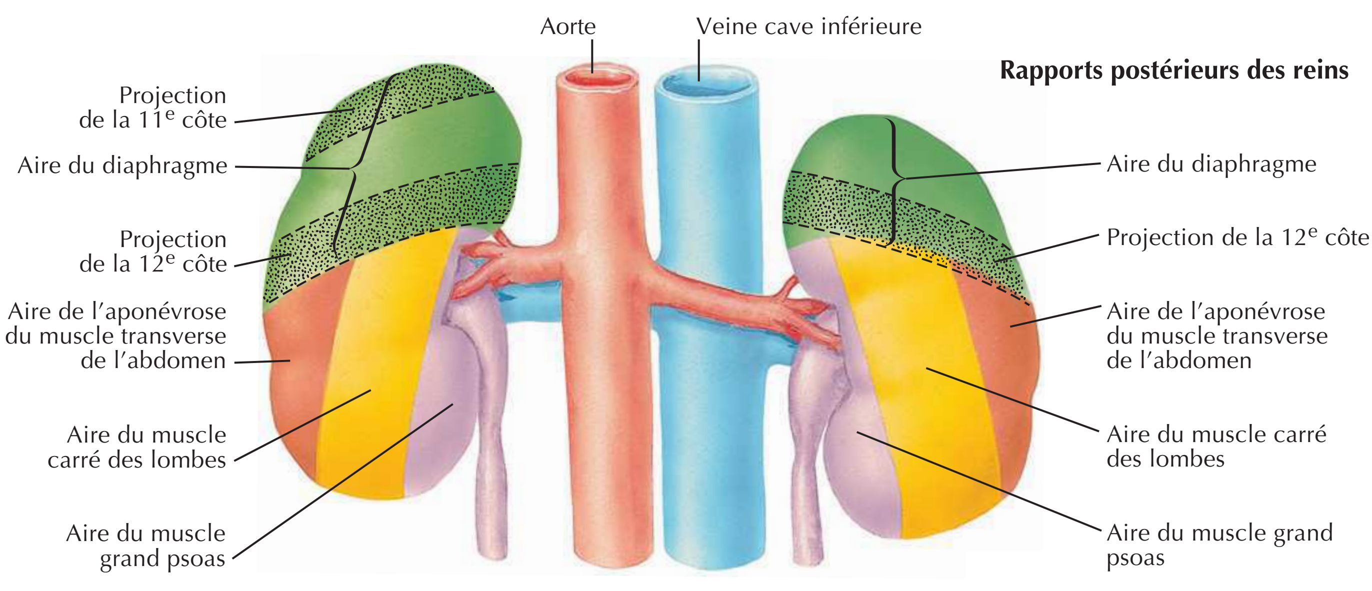
Nerf ilio-inguinal

Muscle carré des lombes (*coupé*)

Muscle grand psoas

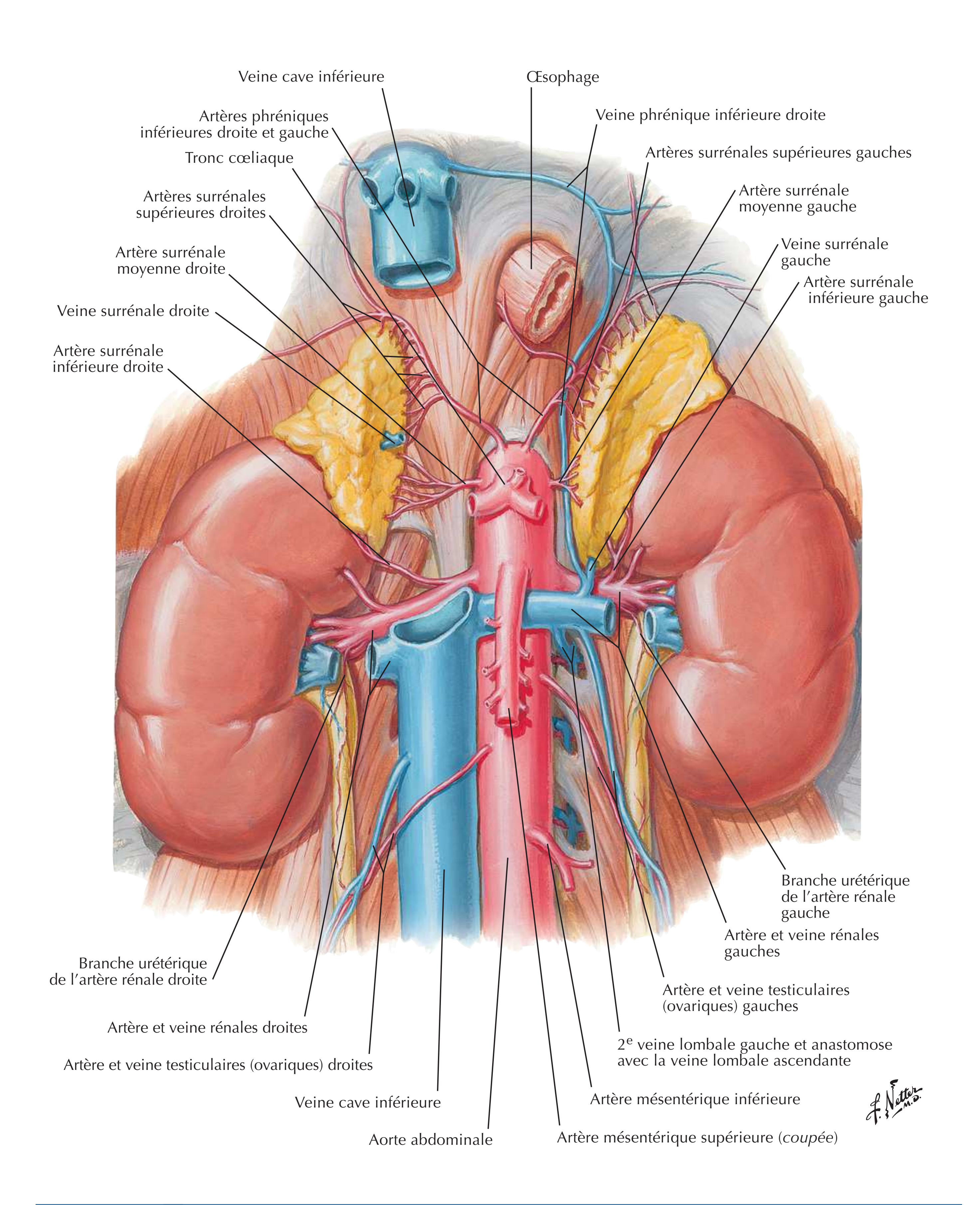
Ligament ilio-lombal

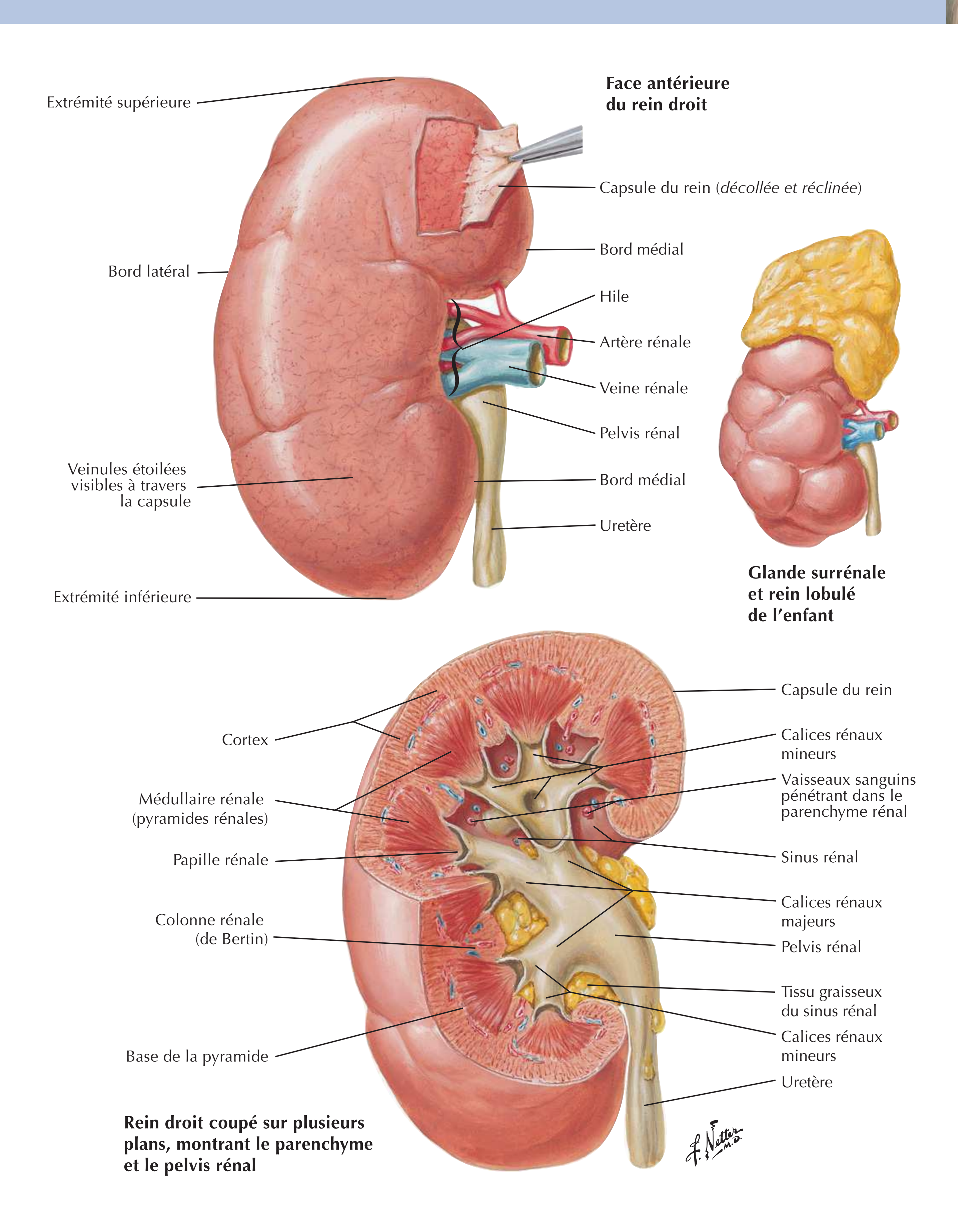
F. Netter M.D.



Rapports postérieurs des reins

Artère et veine rénales *in situ*



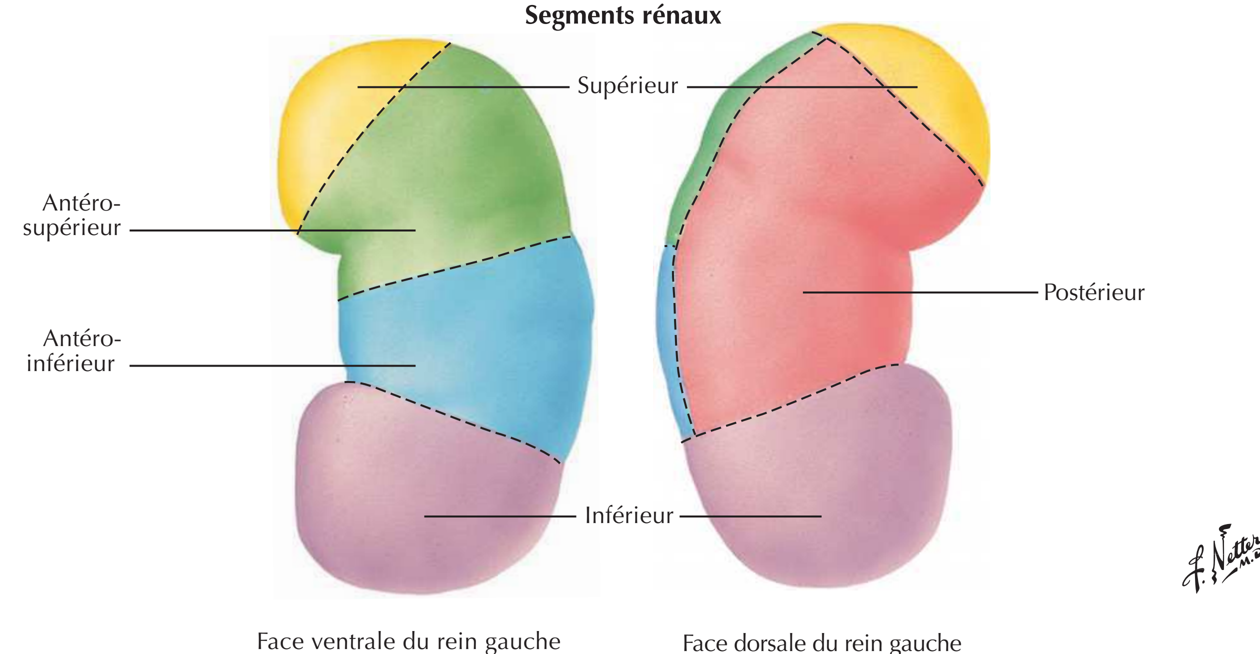

Face antérieure
du rein droit
Extrémité supérieure
Capsule du rein (décollée et réclinée)
Bord médial
Bord latéral
Hile
Artère rénale
Veine rénale
Pelvis rénal
Veinules étoilées visibles à travers la capsule
Bord médial
Uretère
Extrémité inférieure
Glande surrénale et rein lobulé de l'enfant
Capsule du rein
Cortex
Calices rénaux mineurs
Vaisseaux sanguins pénétrant dans le parenchyme rénal
Médullaire rénale (pyramides rénales)
Sinus rénal
Papille rénale
Calices rénaux majeurs
Colonne rénale (de Bertin)
Pelvis rénal
Tissu graisseux du sinus rénal
Calices rénaux mineurs
Base de la pyramide
Uretère
Rein droit coupé sur plusieurs plans, montrant le parenchyme et le pelvis rénal
F. Netter M.D.

Artères intra-rénales et segments rénaux

Coupe frontale du rein gauche : vue antérieure

Artère segmentaire supérieure (apicale)
Artère segmentaire supéro-antérieure
Branches capsulaires et péri-rénales
Artère surrénale inférieure
Branche antérieure de l'artère rénale
Artère rénale
Branche postérieure de l'artère rénale (artère segmentaire postérieure)
Branches urétérique et pelvienne
Artère segmentaire inféro-antérieure
Artères segmentaires postérieures
Artère segmentaire inférieure
Artères interlobaires
Artères arquées
Artérioles interlobulaires (partie radiée du cortex rénal)
Branche capsulaire perforante

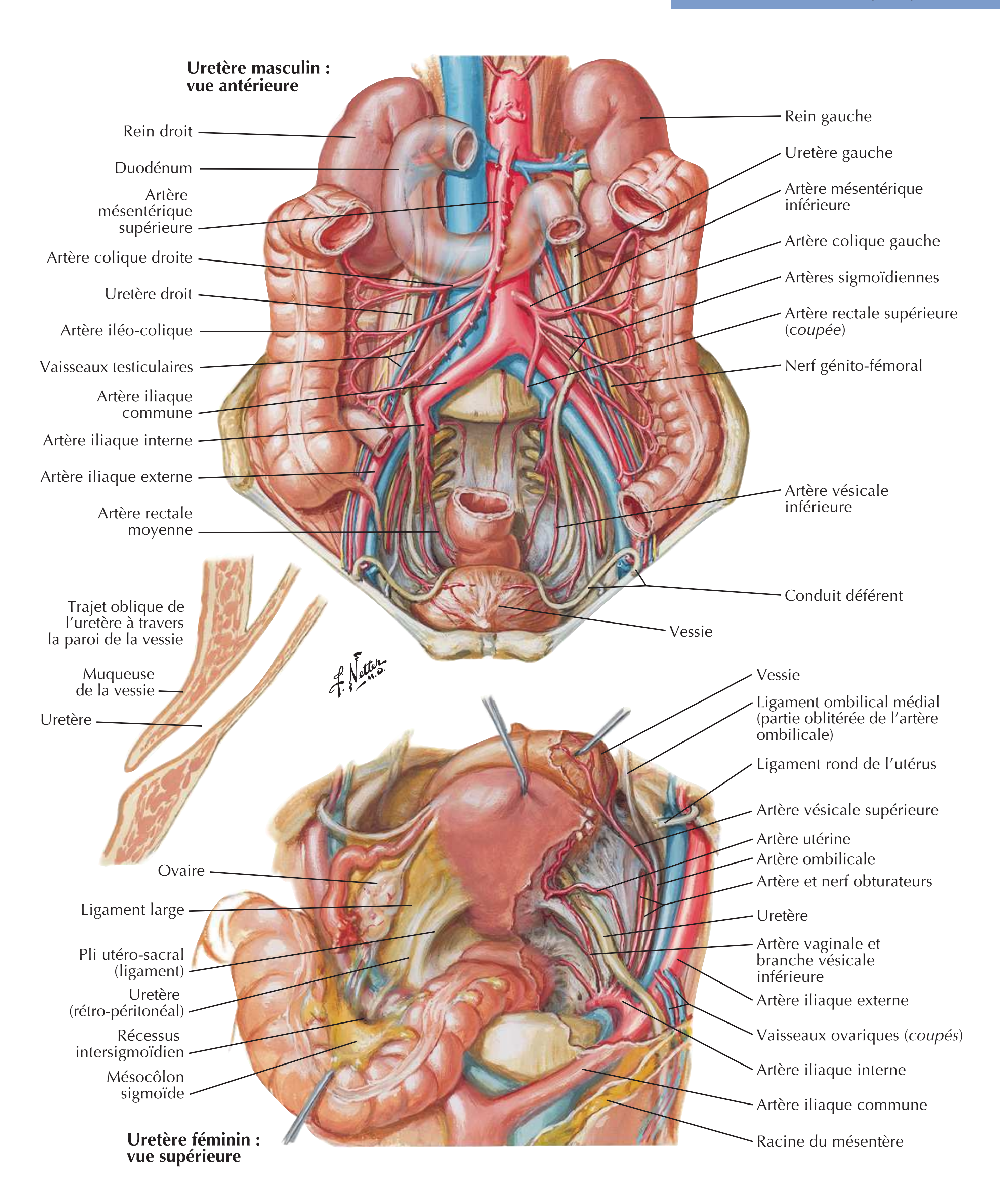
Segments rénaux



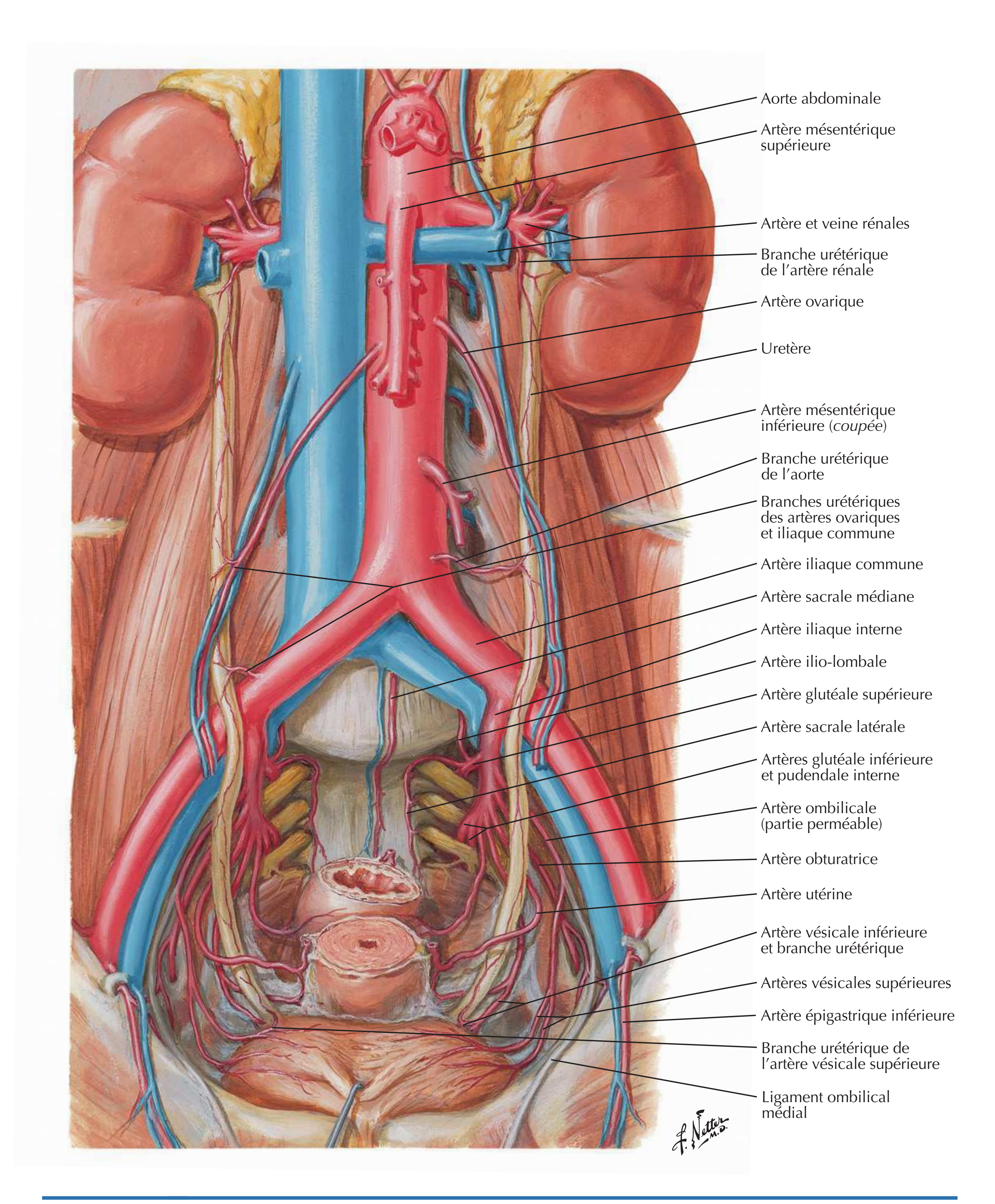
Face ventrale du rein gauche

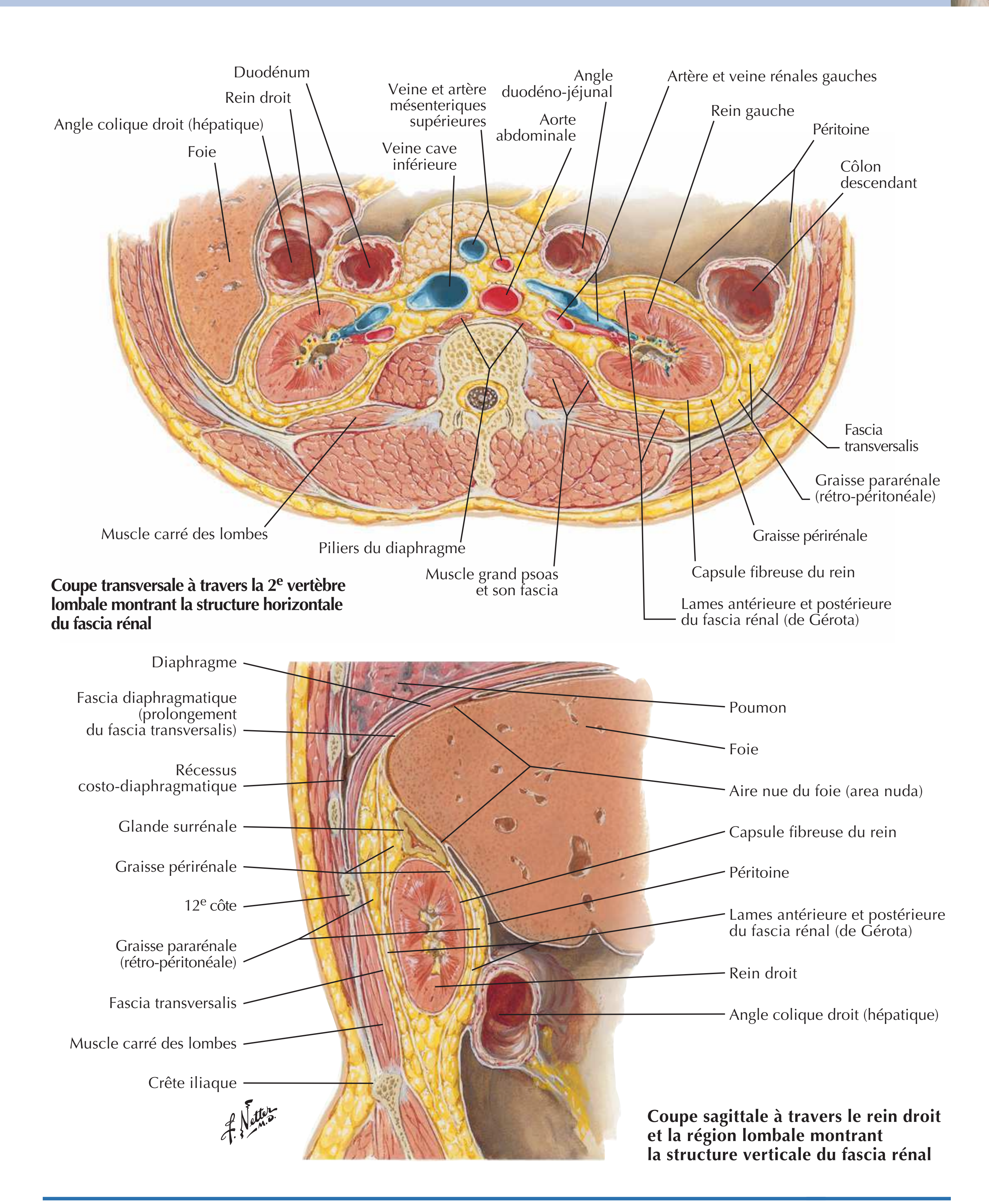
Face dorsale du rein gauche

Voir aussi **Planches 341, 342, 345**



Artères des uretères et de la vessie



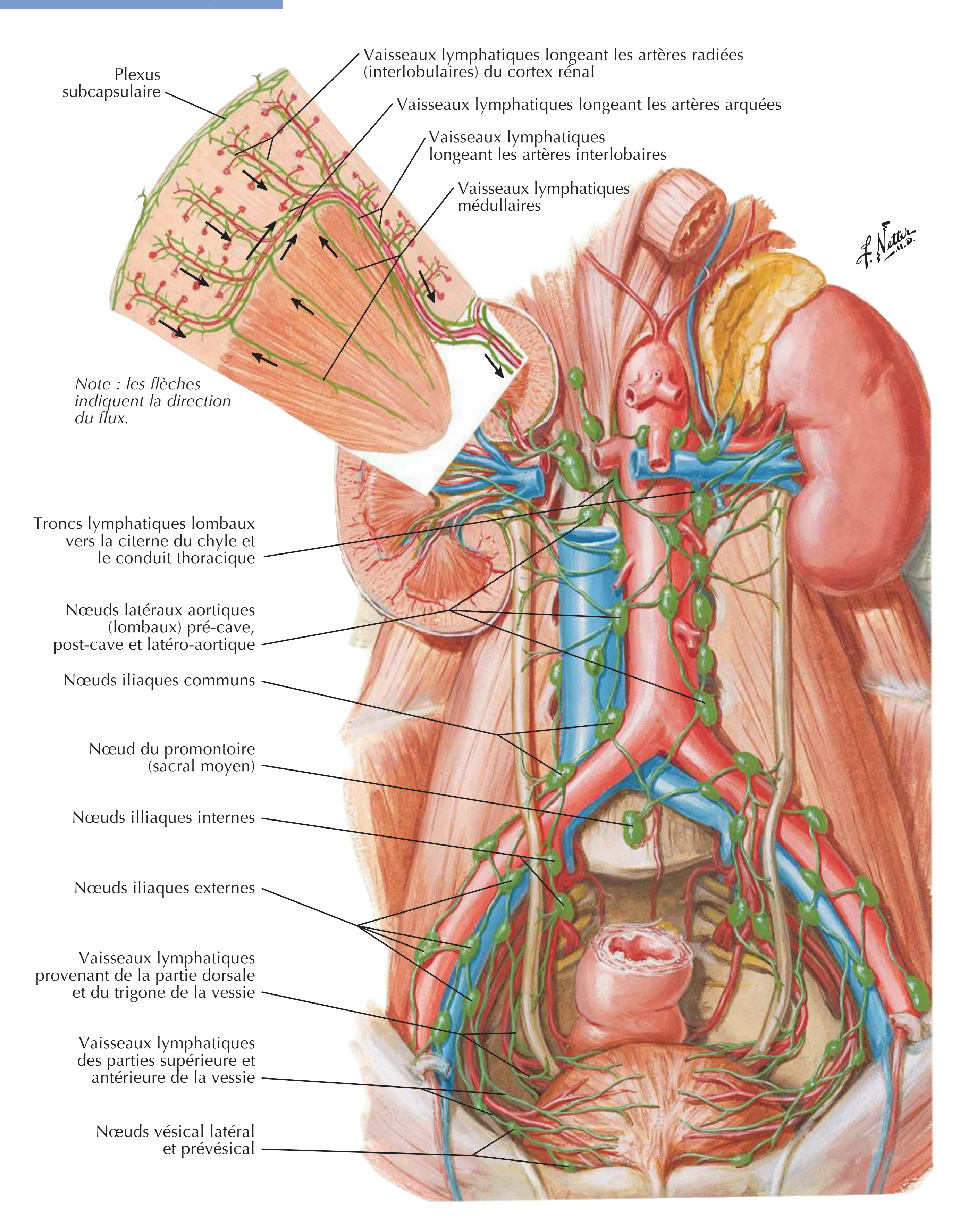


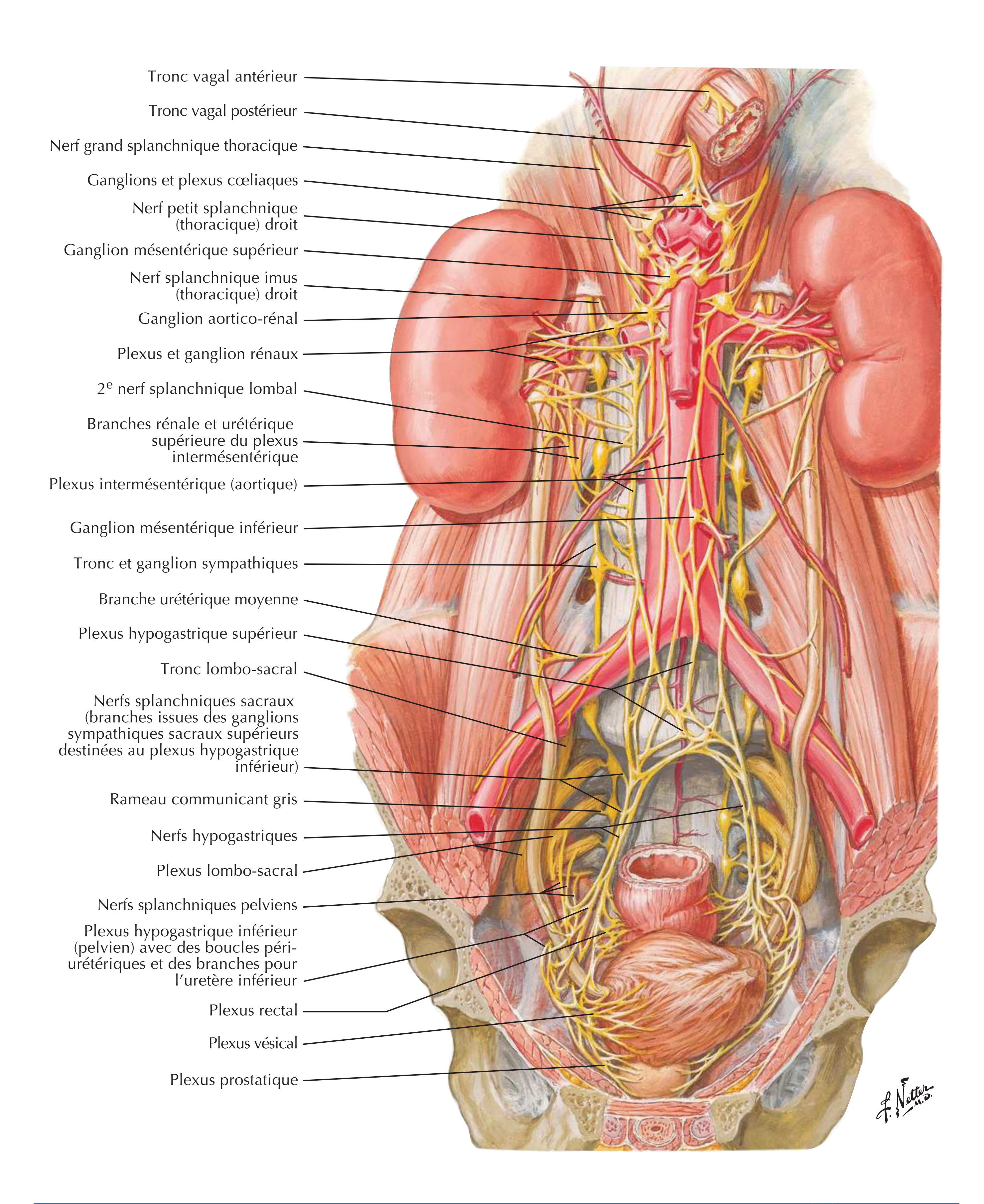
Coupe transversale à travers la 2e vertèbre lombale montrant la structure horizontale du fascia rénal

Coupe sagittale à travers le rein droit et la région lombale montrant la structure verticale du fascia rénal

Vaisseaux et nœuds lymphatiques des reins et de la vessie

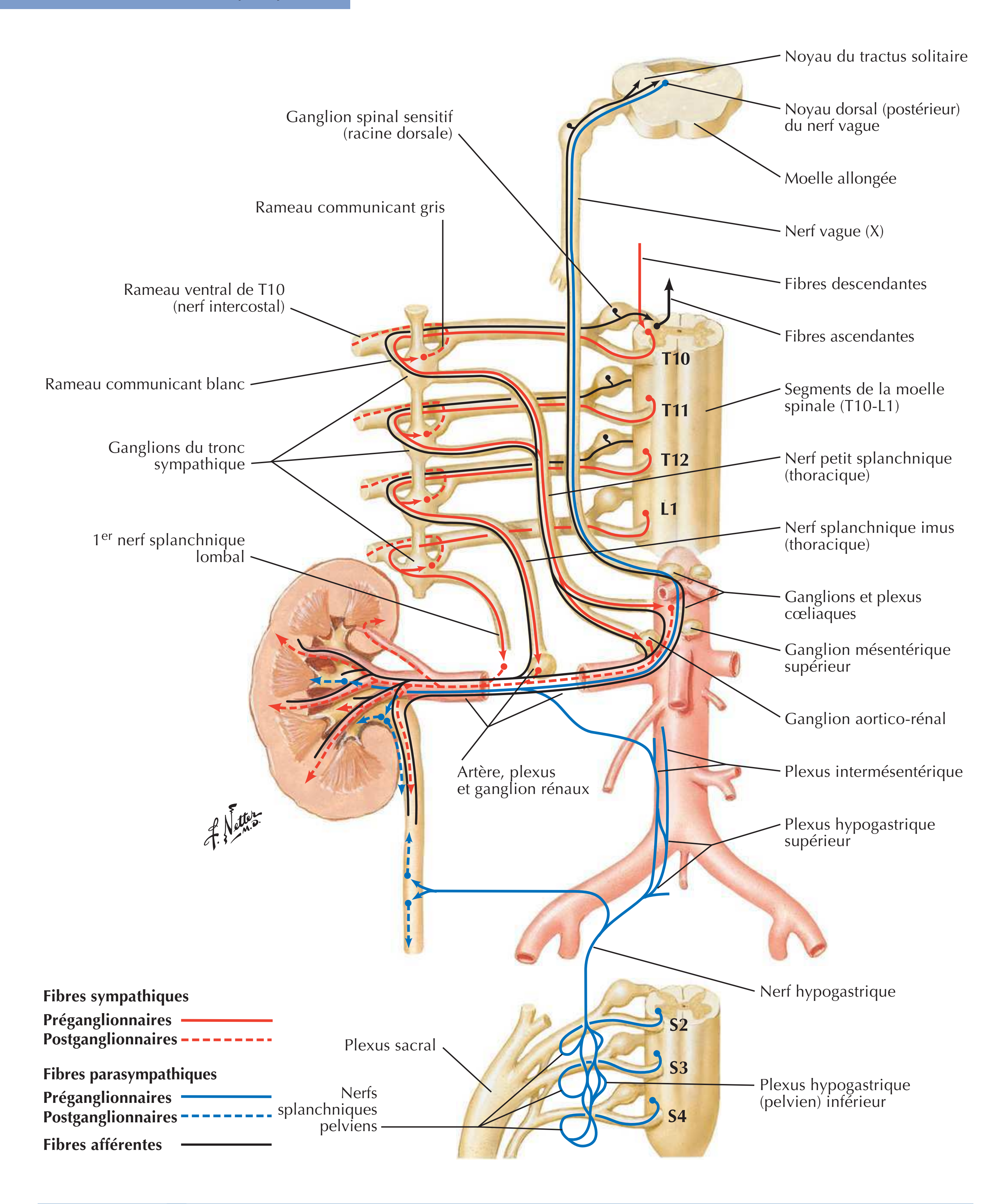
Voir aussi **Planches 384, 386**




Tronc vagal antérieur
Tronc vagal postérieur
Nerf grand splanchnique thoracique
Ganglions et plexus cœliaques
Nerf petit splanchnique (thoracique) droit
Ganglion mésentérique supérieur
Nerf splanchnique imus (thoracique) droit
Ganglion aortico-rénal
Plexus et ganglion rénaux
2e nerf splanchnique lombal
Branches rénale et urétérique supérieure du plexus intermésentérique
Plexus intermésentérique (aortique)
Ganglion mésentérique inférieur
Tronc et ganglion sympathiques
Branche urétérique moyenne
Plexus hypogastrique supérieur
Tronc lombo-sacral
Nerfs splanchniques sacraux (branches issues des ganglions sympathiques sacraux supérieurs destinées au plexus hypogastrique inférieur)
Rameau communicant gris
Nerfs hypogastriques
Plexus lombo-sacral
Nerfs splanchniques pelviens
Plexus hypogastrique inférieur (pelvien) avec des boucles péri-urétériques et des branches pour l'uretère inférieur
Plexus rectal
Plexus vésical
Plexus prostatique
F. Netter M.D.

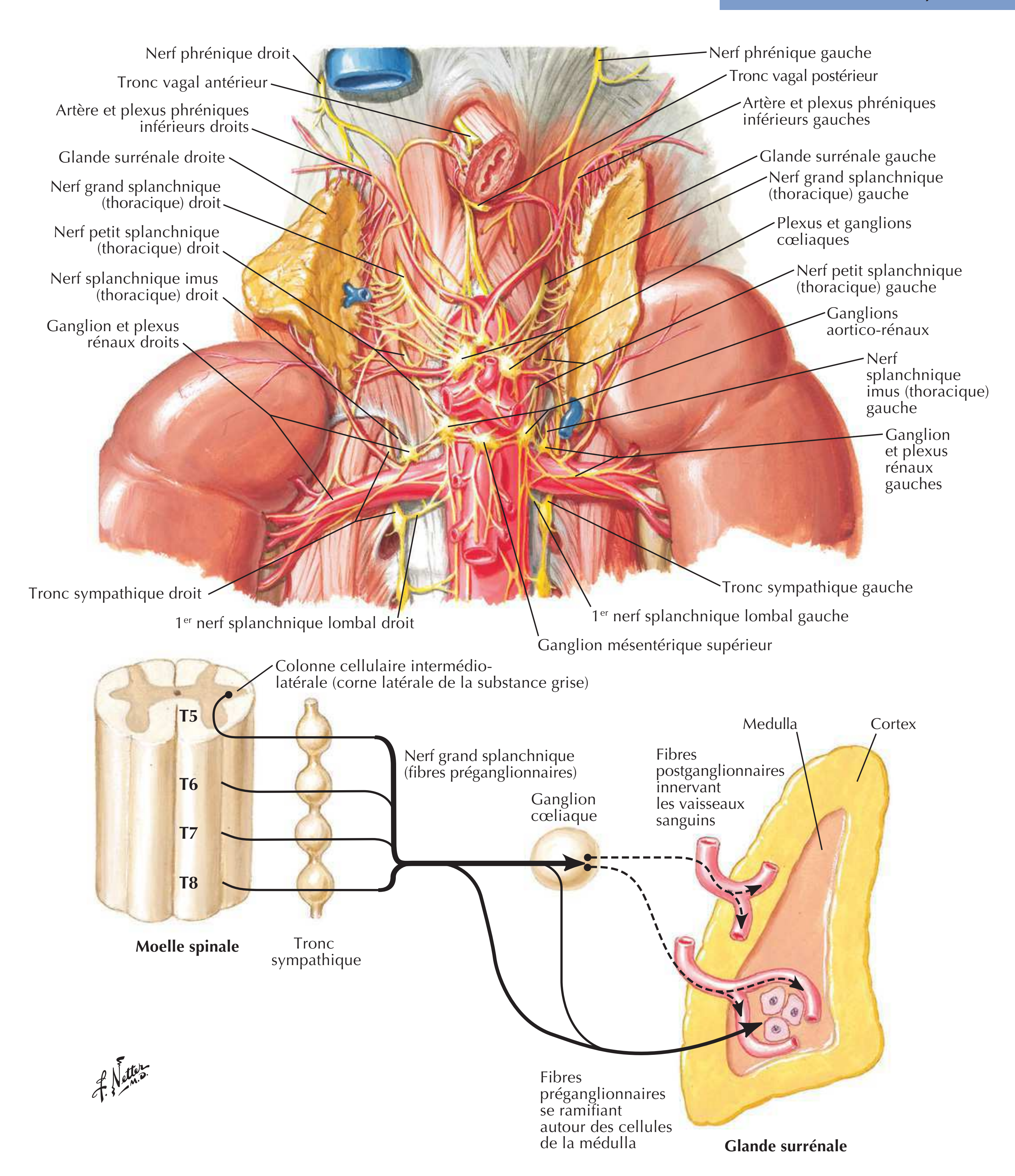
Innervation autonome des reins et de la partie supérieure des uretères : schéma

Voir aussi **Planches 163, 164, 395**

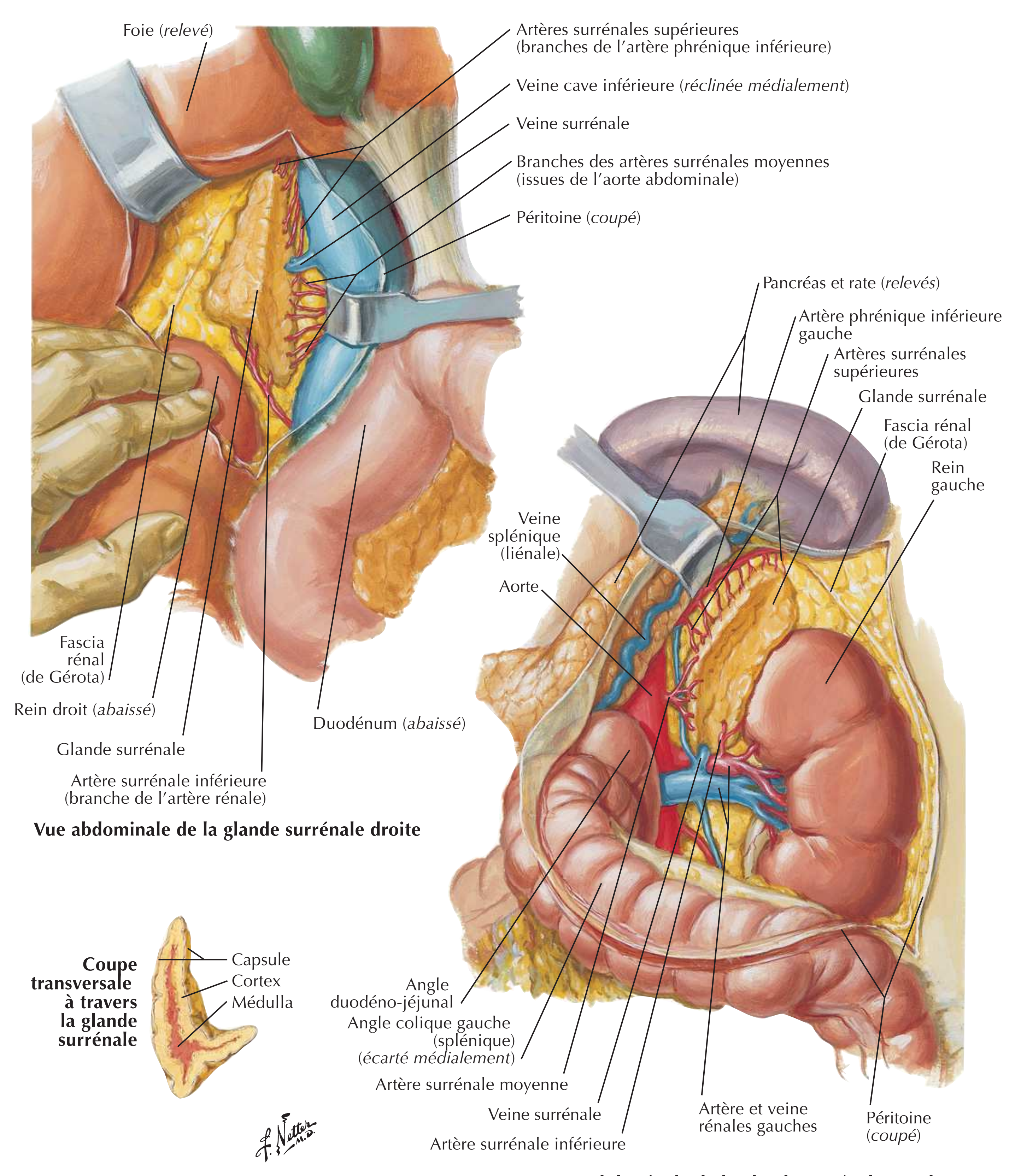


Nerfs autonomes des glandes surrénales : dissection et schéma

Voir aussi **Planches 163,164**



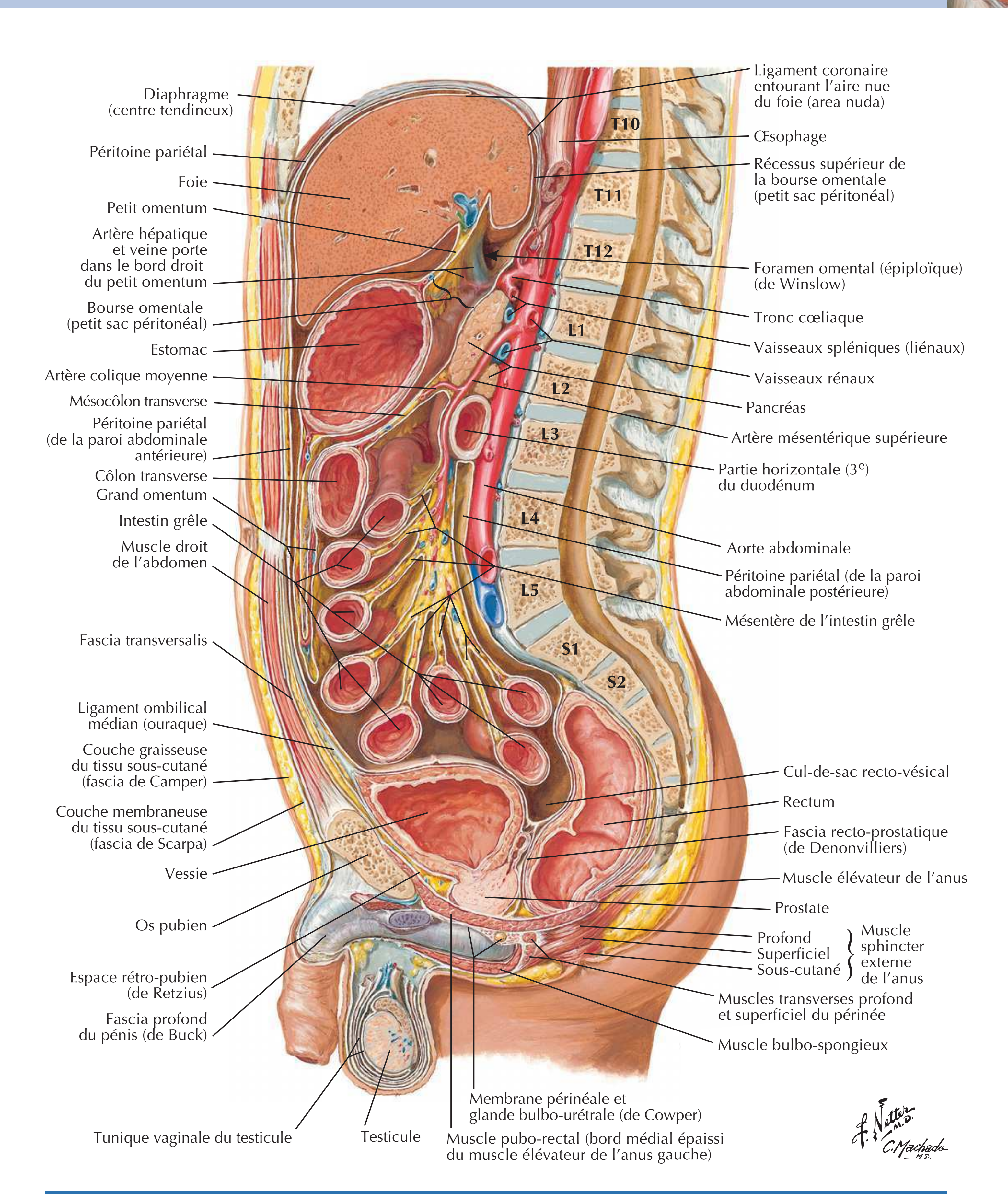
Artères et veines des glandes surrénales *in situ*



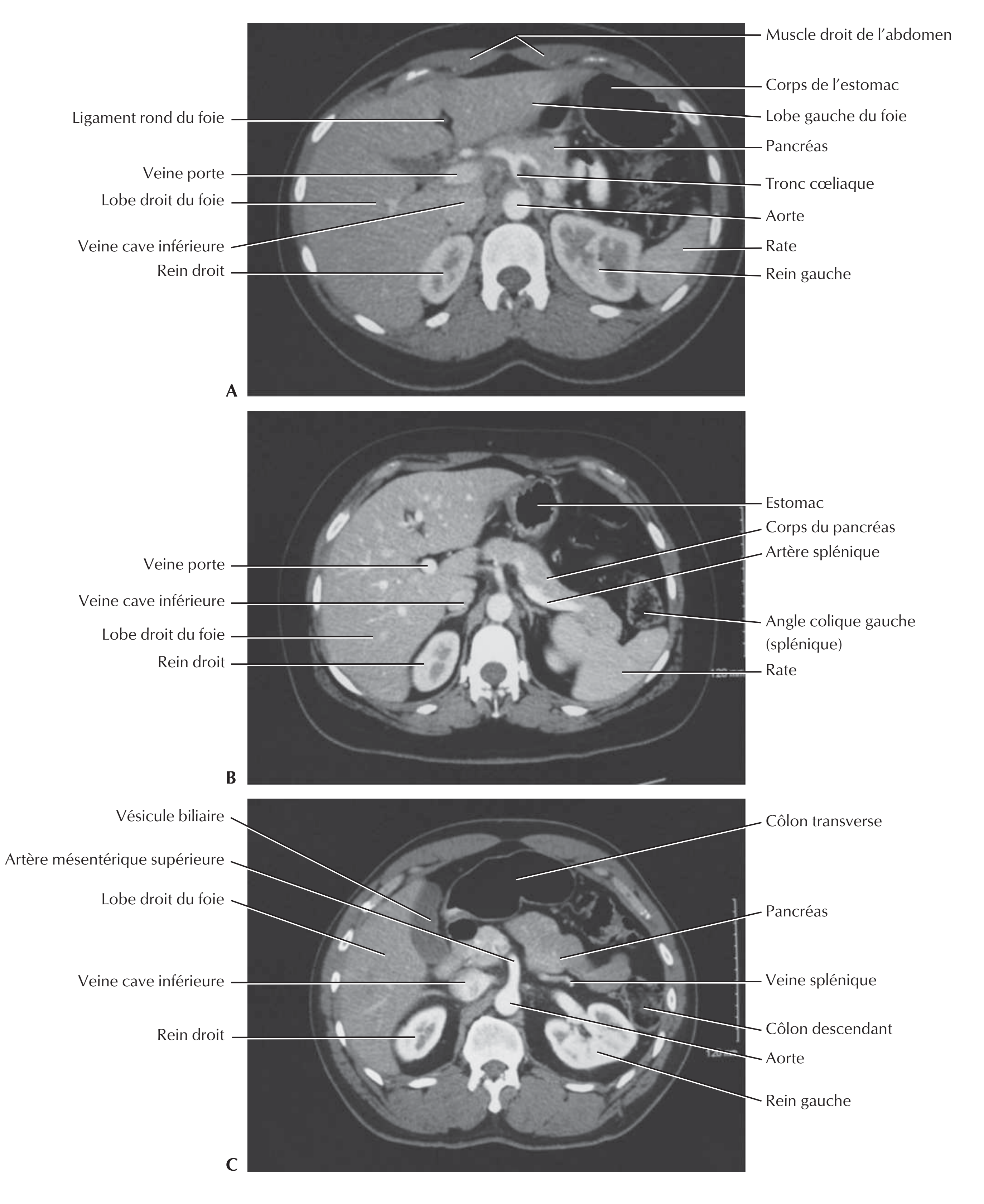
Vue abdominale de la glande surrénale droite

Coupe transversale à travers la glande surrénale

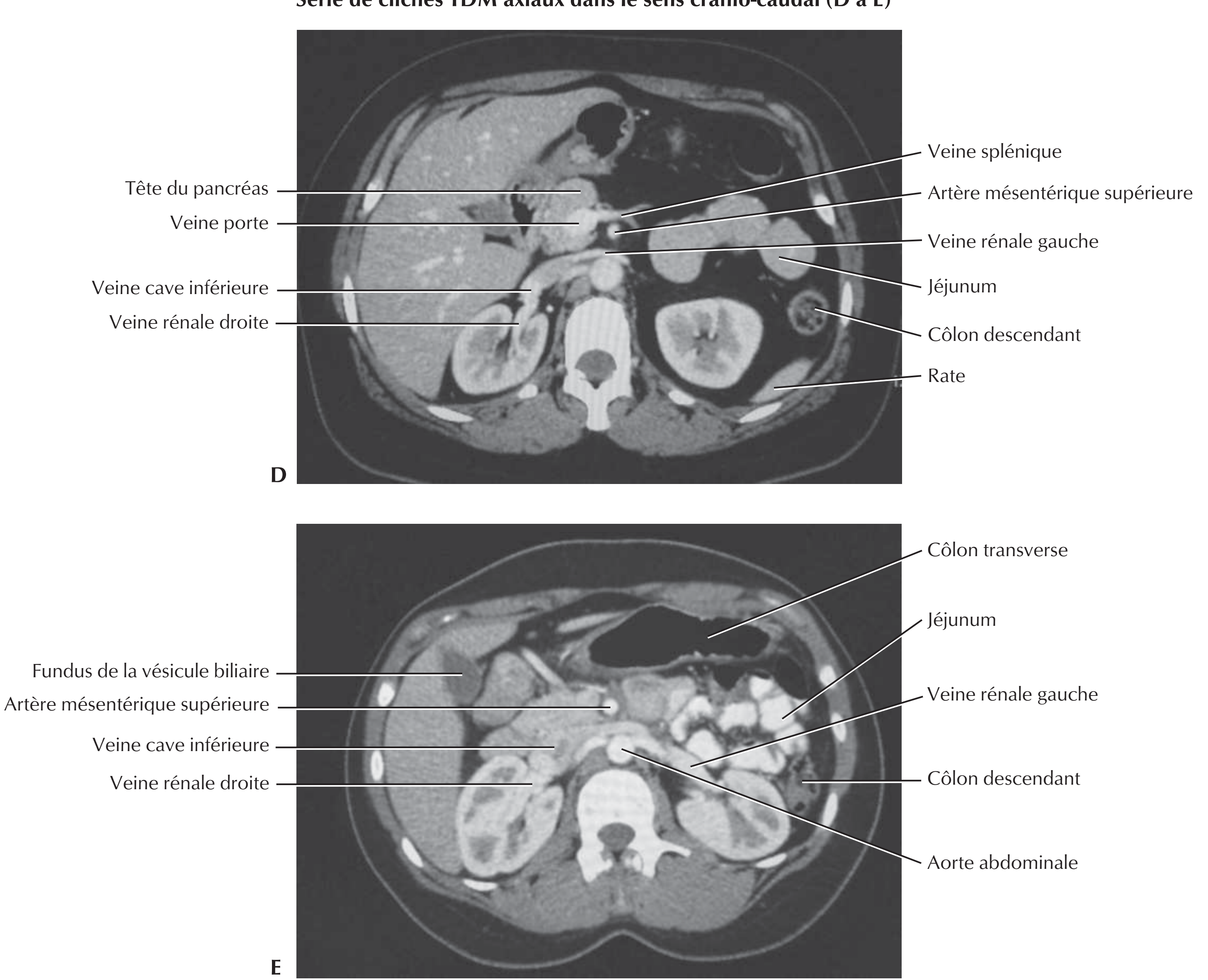
Vue abdominale de la glande surrénale gauche


Diaphragme (centre tendineux)
Péritoine pariétal
Foie
Petit omentum
Artère hépatique et veine porte dans le bord droit du petit omentum
Bourse omentale (petit sac péritonéal)
Estomac
Artère colique moyenne
Mésocôlon transverse
Péritoine pariétal (de la paroi abdominale antérieure)
Côlon transverse
Grand omentum
Intestin grêle
Muscle droit de l’abdomen
Fascia transversalis
Ligament ombilical médian (ouraque)
Couche graisseuse du tissu sous-cutané (fascia de Camper)
Couche membraneuse du tissu sous-cutané (fascia de Scarpa)
Vessie
Os pubien
Espace rétro-pubien (de Retzius)
Fascia profond du pénis (de Buck)
Tunique vaginale du testicule
Testicule
Membrane périnéale et glande bulbo-urétrale (de Cowper)
Muscle pubo-rectal (bord médial épaissi du muscle élévateur de l’anus gauche)
Ligament coronaire entourant l’aire nue du foie (area nuda)
Œsophage
Récessus supérieur de la bourse omentale (petit sac péritonéal)
Foramen omental (épiploïque) (de Winslow)
Tronc cœliaque
Vaisseaux spléniques (liénaux)
Vaisseaux rénaux
Pancréas
Artère mésentérique supérieure
Partie horizontale (3e) du duodénum
Aorte abdominale
Péritoine pariétal (de la paroi abdominale postérieure)
Mésentère de l’intestin grêle
Cul-de-sac recto-vésical
Rectum
Fascia recto-prostatique (de Denonvilliers)
Muscle élévateur de l’anus
Prostate
Profond
Superficiel
Sous-cutané
Muscle sphincter externe de l’anus
Muscles transverses profond et superficiel du périnée
Muscle bulbo-spongieux
T10
T11
T12
L1
L2
L3
L4
L5
S1
S2
F. Netter M.D.
C. Machado M.D.

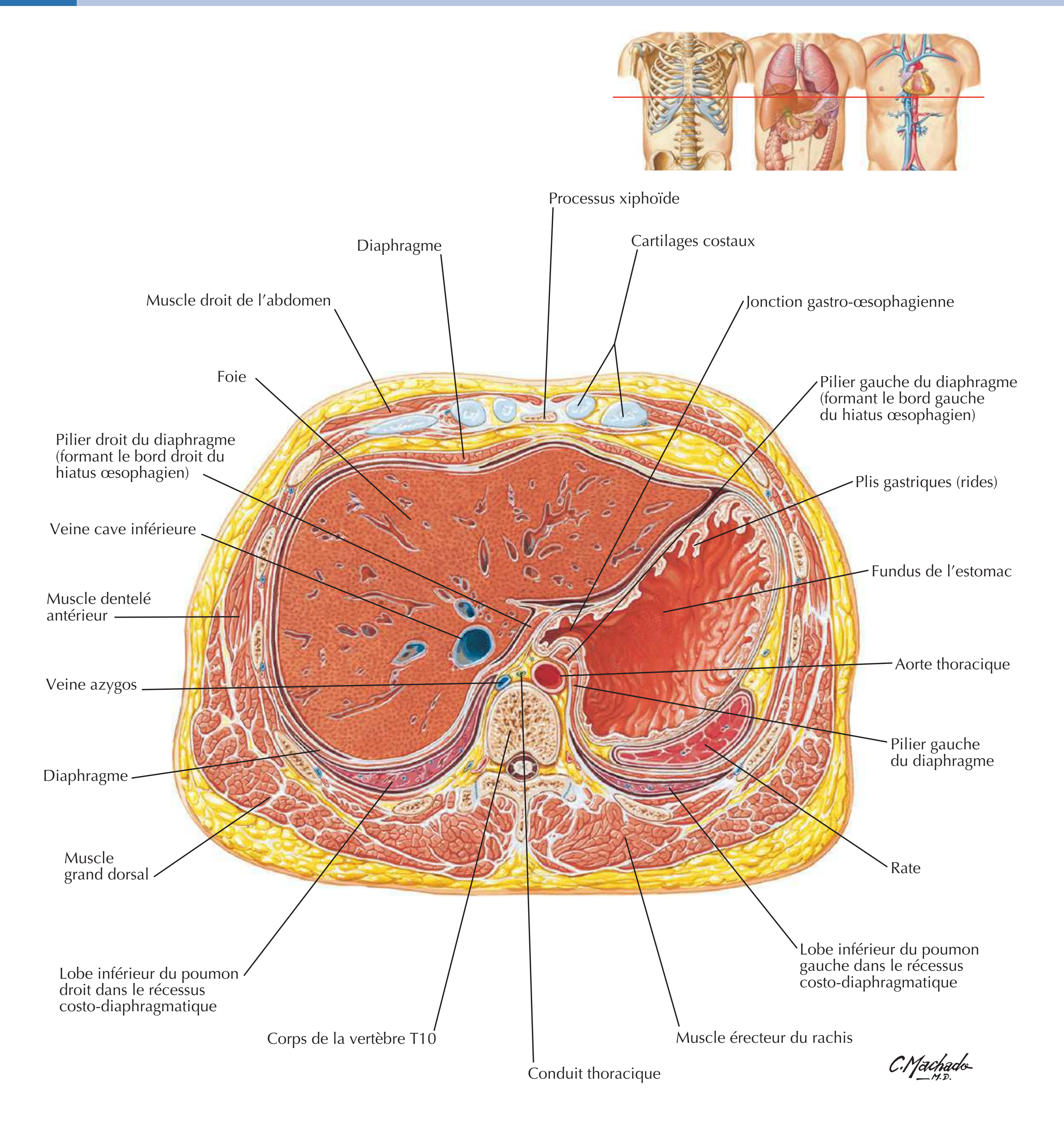
Série de clichés TDM axiaux dans le sens cranio-caudal (A à C)



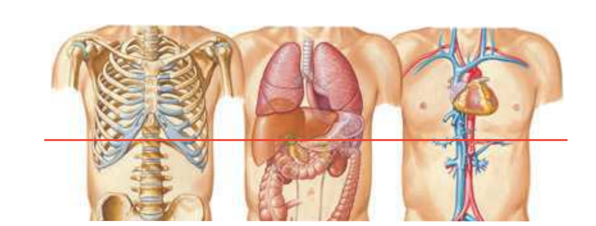
Série de clichés TDM axiaux dans le sens cranio-caudal (D à E)



Coupe transversale : niveau de T10, synchondrose xiphosternale



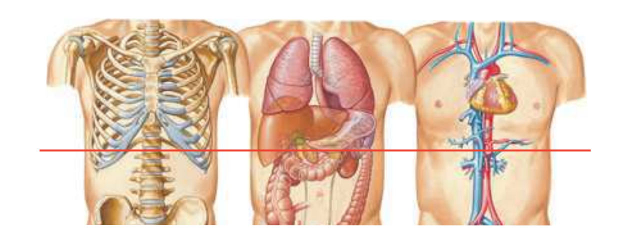
Coupe transversale : niveau de T12, inférieur au processus xiphoïde



Canal pylorique
Estomac
Jéjunum
Pylore
Côlon transverse (montant vers l'angle colique gauche)
Angle colique droit (hépatique)
Vésicule biliaire
Trifurcation du tronc cœliaque
Partie supérieure (1re) du duodénum
Côlon descendant (descendant de l'angle colique gauche)
Ligament hépato-duodénal
Foie
Rate
Triade porte extra-hépatique: Conduit cholédoque, Artère hépatique, Veine porte
Artère et veine spléniques (liénales)
Glande surrénale gauche
Veine cave inférieure
Pôle supérieur du rein gauche
Glande surrénale droite
Pilier gauche du diaphragme
Pilier droit du diaphragme
Aorte thoracique
Pancréas

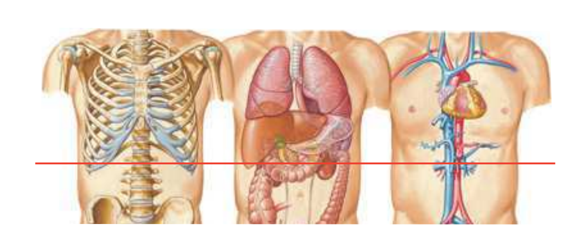
C. Machado M.D.

Coupe transversale : niveau du disque intervertébral T12-L1



Veine mésentérique supérieure (devenant veine porte)
Tronc cœliaque
Veine splénique (liénale)
Côlon transverse
Pancréas (tête)
Côlon transverse
Jéjunum
Côlon ascendant (angle colique droit)
Muscle oblique externe
Conduit cholédoque
Partie descendante (2e) du duodénum
Côlon descendant
Veine cave inférieure
Glande surrénale gauche
Glande surrénale droite
Rate
Foie
Cortex rénal
Médullaire rénale
Rein gauche
Pôle supérieur du rein droit
Pilier gauche du diaphragme
Pilier droit du diaphragme
Disque intervertébral T12-L1
Aorte abdominale
C. Machado M.D.

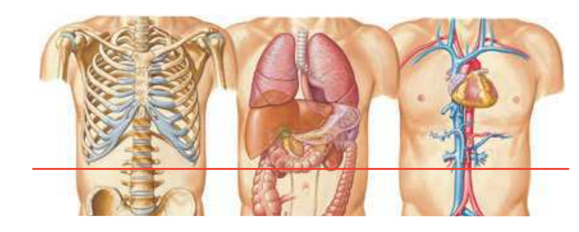
Coupe transversale : niveau du disque intervertébral L1-L2



Grand omentum
Pancréas et son processus unciné
Côlon transverse
Jonction des 2e et 3e parties du duodénum
Côlon ascendant
Foie
Veine rénale droite (s'ouvrant dans la veine cave inférieure)
Rein droit
Veine cave inférieure
Pilier droit du diaphragme
Muscle grand psoas
Disque intervertébral L1-L2
Cône médullaire et queue de cheval
Veine mésentérique supérieure
Artère mésentérique supérieure
Côlon transverse
Iléum (iléon)
Jéjunum
Capsule adipeuse du rein (graisse périrénale)
Jonction urétéro-pelvienne
Côlon descendant
Fascia rénal
Rein gauche
Pelvis rénal et calice majeur
Graisse pararénale
Artère rénale gauche
Veine rénale gauche (s'ouvrant dans la veine cave inférieure)
Pilier gauche du diaphragme
Aorte abdominale

C. Machado M.D.

Coupe transversale : niveau du disque intervertébral L3-L4



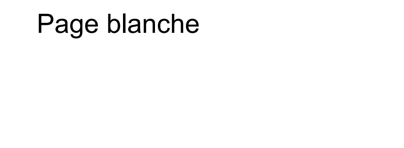
Ligament rond du foie
Ligne blanche
Côlon transverse
Muscle droit de l'abdomen
Branches des vaisseaux épigastriques inférieurs
Appendices omentaux (épiploïques)
Gaine du muscle droit de l'abdomen
Grand omentum
Aponévrose du muscle transverse de l'abdomen
Péritoine pariétal
Aponévrose du muscle oblique externe
Fascia transversalis
Aponévrose du muscle oblique interne
Muscle transverse de l'abdomen
Mésentère de l'intestin grêle
Intestin grêle (iléum)
Muscle oblique interne
Vaisseaux mésentériques supérieurs
Muscle oblique externe
Nœud lymphatique
Intestin grêle (jéjunum)
Côlon ascendant
Côlon descendant
Sillon para-colique droit (gouttière)
Sillon para-colique gauche (gouttière)
Tendon d'origine du muscle transverse de l'abdomen
Uretère gauche
Muscle carré des lombes
Nerf ilio-hypogastrique
Muscle grand dorsal
Nerf ilio-inguinal
Vaisseaux testiculaires (ovariques)
Lames du fascia thoraco-lombal { Fusionnée, Moyenne, Postérieure
Muscle petit psoas
Péritoine pariétal
Nerf génito-fémoral droit
Muscle grand psoas
Veine cave inférieure
Tronc sympathique gauche
Ligament longitudinal antérieur
Muscle érecteur du rachis
Ligament jaune
Disque intervertébral entre les vertèbres L3 et L4
Aorte abdominale
Processus épineux de la vertèbre L3
Plexus intermésentérique (aortique)

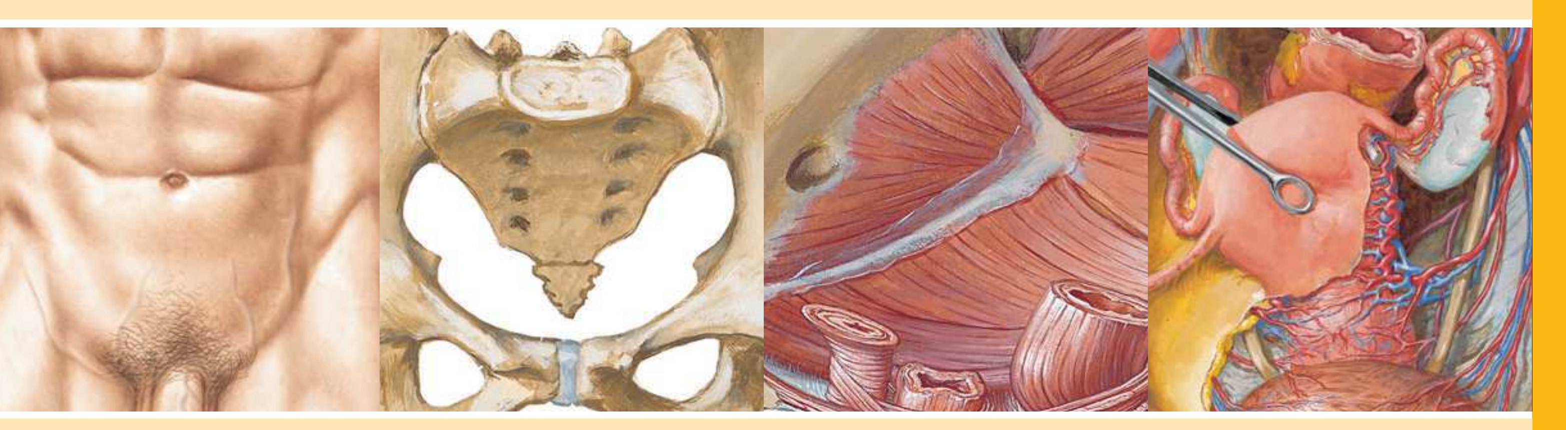
F. Netter M.D.



MUSCLE	INSERTION PROXIMALE (ORIGINE)	INSERTION DISTALE (TERMINAISON)	INNERVATION	ACTIONS PRINCIPALES	VASCULARISATION ARTÉRIELLE	GROUPE MUSCULAIRE
Carré des lombes	Moitié médiale du bord inférieur de la 12e côte, sommet des processus transverses des vertèbres lombales	Ligament ilio-lombal, lèvre interne de la crête iliaque	Rameaux ventraux du nerf thoracique T12 et des quatre premiers nerfs lombaux	Étend et fléchit latéralement la colonne vertébrale, fixe la 12e côte lors de l'inspiration	Artère ilio-lombale	Paroi abdominale postérieure
Diaphragme	Processus xiphoïde, six derniers cartilages costaux, vertèbres L1-L3, ligaments arqués	Convergence vers le centre tendineux	Nerf phrénique	Attire le centre tendineux vers le bas et l'avant pendant l'inspiration	Artères péricardiaco-phréniques, musculo-phréniques et phréniques supérieures et inférieures	Paroi abdominale postérieure
Droit de l'abdomen	Symphyse pubienne, crête pubienne	Processus xiphoïde, cartilages costaux 5-7	Rameaux ventraux des six derniers nerfs thoraciques (nerfs intercostaux 6-11 et nerf subcostal)	Fléchit le tronc et comprime les viscères abdominaux	Artères épigastriques supérieure et inférieure	Paroi abdominale
Grand psoas	Processus transverses des vertèbres lombales, côtés des corps des vertèbres T12-L5 et sur les disques intervertébraux correspondants	Petit trochanter du fémur	Rameaux ventraux des quatre premiers nerfs lombaux	Point fixe supérieur et en synergie avec le muscle iliaque, fléchisseur de la hanche ; point fixe inférieur, incline latéralement la colonne vertébrale ; contribue à s'asseoir en fléchissant la colonne lombale sur le bassin ; point fixe inférieur et en synergie avec le muscle iliaque, fléchisseur du tronc	Branche lombale de l'artère ilio-lombale	Paroi abdominale postérieure
Iliaque	Deux tiers supérieurs de la fosse iliaque, aile du sacrum et ligaments sacro-iliaques antérieurs	Petit trochanter du fémur et diaphyse sous-jacente, tendon du muscle grand psoas	Nerf fémoral	Fléchisseur (et rotateur latéral) de la cuisse au niveau de la hanche, stabilisateur de la hanche, agit avec le grand psoas	Branches iliaques de l'artère ilio-lombale	Paroi abdominale postérieure
Oblique externe	Face externe des côtes 5-12	Ligne blanche, tubercule pubien, moitié antérieure de la crête iliaque	Rameaux ventraux des six derniers nerfs thoraciques (nerfs intercostaux 6-11 et nerf subcostal)	Comprime et soutient les viscères abdominaux, fléchisseur et rotateur du tronc	Artères épigastriques supérieure et inférieure	Paroi abdominale
Oblique interne	Fascia thoraco-lombaire, deux tiers antérieurs de la crête iliaque, moitié latérale du ligament inguinal	Bords inférieurs des côtes 10-12, ligne blanche, pubis via le tendon conjoint	Rameaux ventraux des six derniers nerfs thoraciques (nerfs intercostaux 6-11 et nerf subcostal) et du premier nerf lombal	Comprime et soutient les viscères abdominaux, fléchisseur et rotateur du tronc	Artères épigastriques supérieure et inférieure et artère circonflexe iliaque profonde	Paroi abdominale
Petit psoas	Rebords vertébraux des vertèbres T12-L1 et disque intervertébral correspondant	Ligne pectinée et éminence ilio-pectinée	Rameau ventral du premier nerf lombal	Fléchisseur du pelvis sur la colonne vertébrale	Branche lombale de l'artère ilio-lombale	Paroi abdominale postérieure
Pyramidal	Corps du pubis en avant du muscle droit de l'abdomen	Ligne blanche	Nerf ilio-hypogastrique (ou le nerf subcostal)	Tenseur de la ligne blanche	Artère épigastrique inférieure	Paroi abdominale
Transverse de l'abdomen	Faces internes des cartilages costaux 7-12, fascia thoraco-lombal, crête iliaque, tiers latéral du ligament inguinal	Ligne blanche avec l'aponévrose du muscle oblique interne, crête pubienne et pecten du pubis *via* le tendon conjoint	Rameaux ventraux des six derniers nerfs thoraciques (nerfs intercostaux 6-11 et nerf subcostal) et du premier nerf lombal	Comprime et soutient les viscères abdominaux	Artères circonflexe iliaque profonde et épigastrique inférieure	Paroi abdominale

Des variations dans les contributions des nerfs spinaux dans l'innervation des muscles, dans la vascularisation artérielle des muscles, dans leurs insertions et leurs actions sont des événements fréquents dans l'anatomie humaine. Ainsi, il peut exister des différences entre les textes de différents ouvrages : considérez que les variations anatomiques sont normales.


Page blanche



Section 5 PELVIS ET PÉRINÉE

Anatomie de surface

Planche 329

Os et ligaments

Planches 330-334

Plancher et contenu pelviens

Planches 335-345

5 PELVIS ET PÉRINÉE

Vessie

Planches 346-348

Utérus, vagin et structures de soutien

Planches 349-353

Périnée, organes génitaux chez la femme

Planches 354-357

Périnée, organes génitaux chez l'homme

Planches 358-365

Homologies des organes génitaux

Planches 366-367

Testicule, épididyme et conduit déférent

Planche 368

Rectum

Planches 369-374

Coupes tomodensitométriques

Planche 375

Vascularisation

Planches 376-386

Innervation

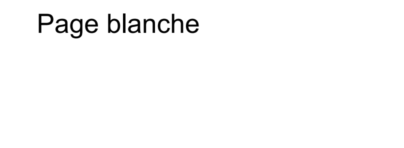
Planches 387-395

Coupes transversales anatomiques

Planches 396-397

Muscles

Tableaux 5-1 et 5-2


Page blanche



Mamelon (papille mammaire)

Ligne semi-lunaire

Muscle droit de l'abdomen

Épine iliaque antéro-supérieure

Veine circonflexe iliaque superficielle

Veines épigastriques superficielles

Symphyse pubienne

Veine dorsale superficielle du pénis

Gland du pénis

Orifice urétral externe (méat)

Muscle dentelé antérieur

Intersection tendineuse

Muscle oblique externe

Ligne blanche

Ombilic

Crête iliaque

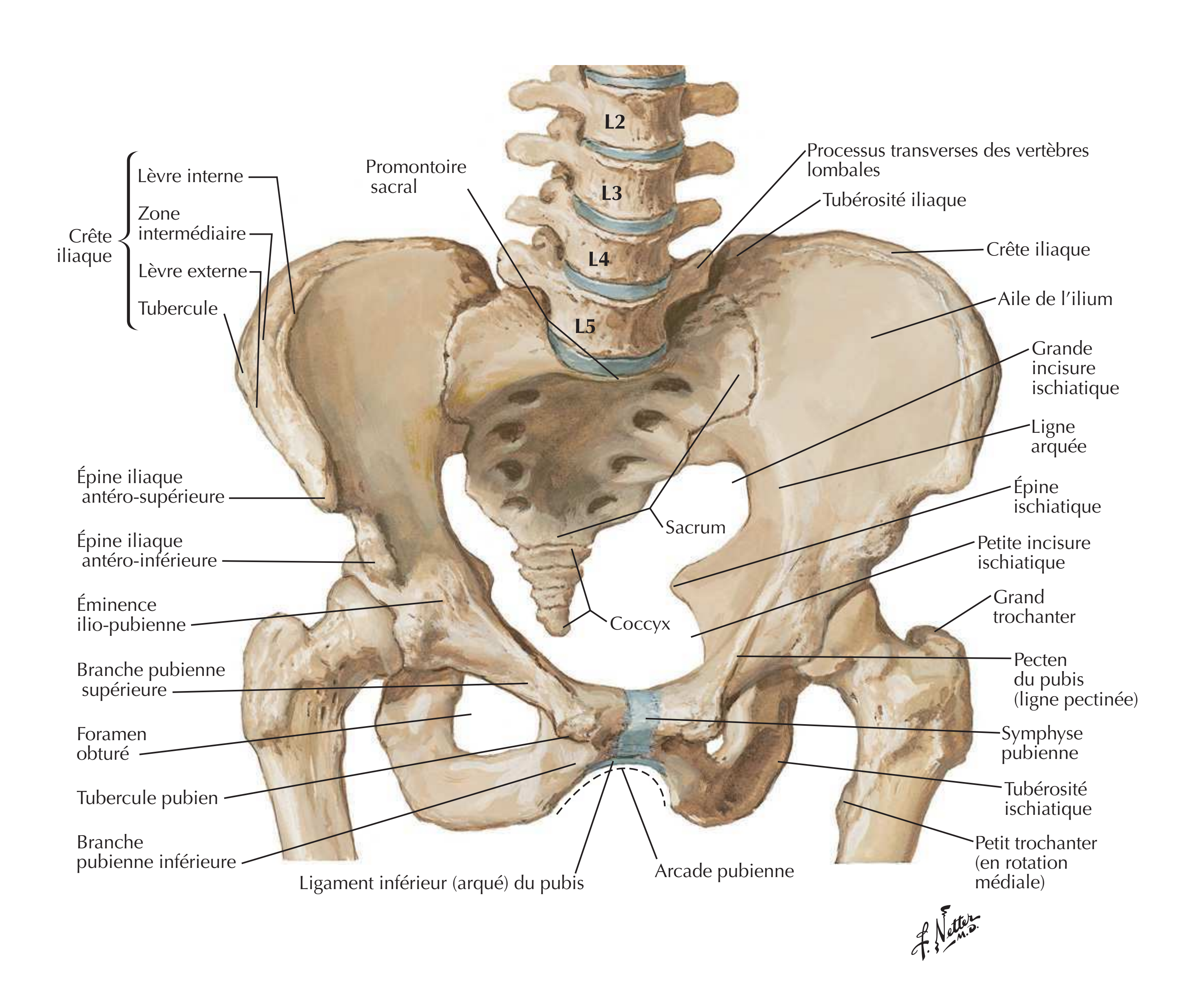
Ligament inguinal

Tubercule pubien

Corps du pénis

Scrotum

C.Machado M.D.


L2
L3
L4
L5
Crête iliaque
Lèvre interne
Zone intermédiaire
Lèvre externe
Tubercule
Promontoire sacral
Processus transverses des vertèbres lombales
Tubérosité iliaque
Crête iliaque
Aile de l'ilium
Grande incisure ischiatique
Ligne arquée
Épine ischiatique
Sacrum
Petite incisure ischiatique
Grand trochanter
Coccyx
Épine iliaque antéro-supérieure
Épine iliaque antéro-inférieure
Éminence ilio-pubienne
Branche pubienne supérieure
Foramen obturé
Tubercule pubien
Branche pubienne inférieure
Pecten du pubis (ligne pectinée)
Symphyse pubienne
Tubérosité ischiatique
Petit trochanter (en rotation médiale)
Ligament inférieur (arqué) du pubis
Arcade pubienne
F. Netter M.D.



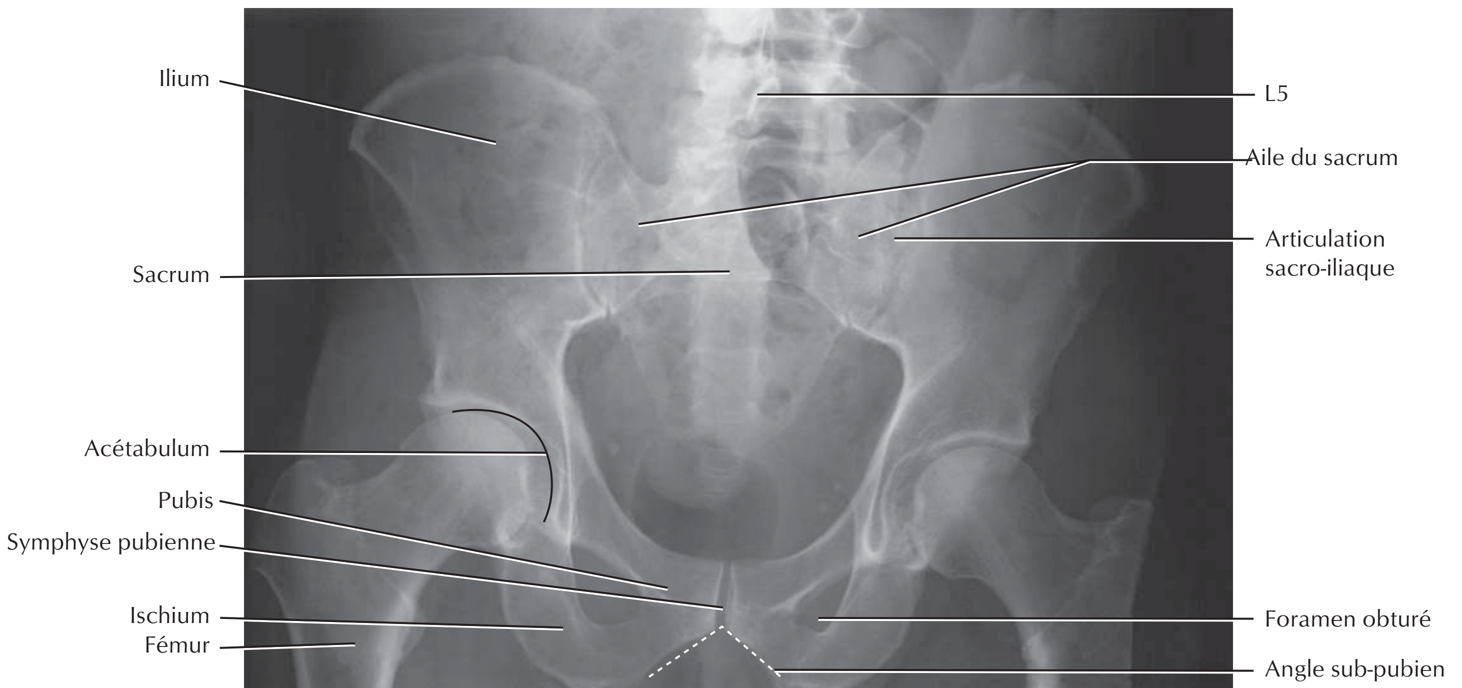
Radiographies des pelvis féminin et masculin

Voir aussi **Planches 243, 475**

Pelvis féminin

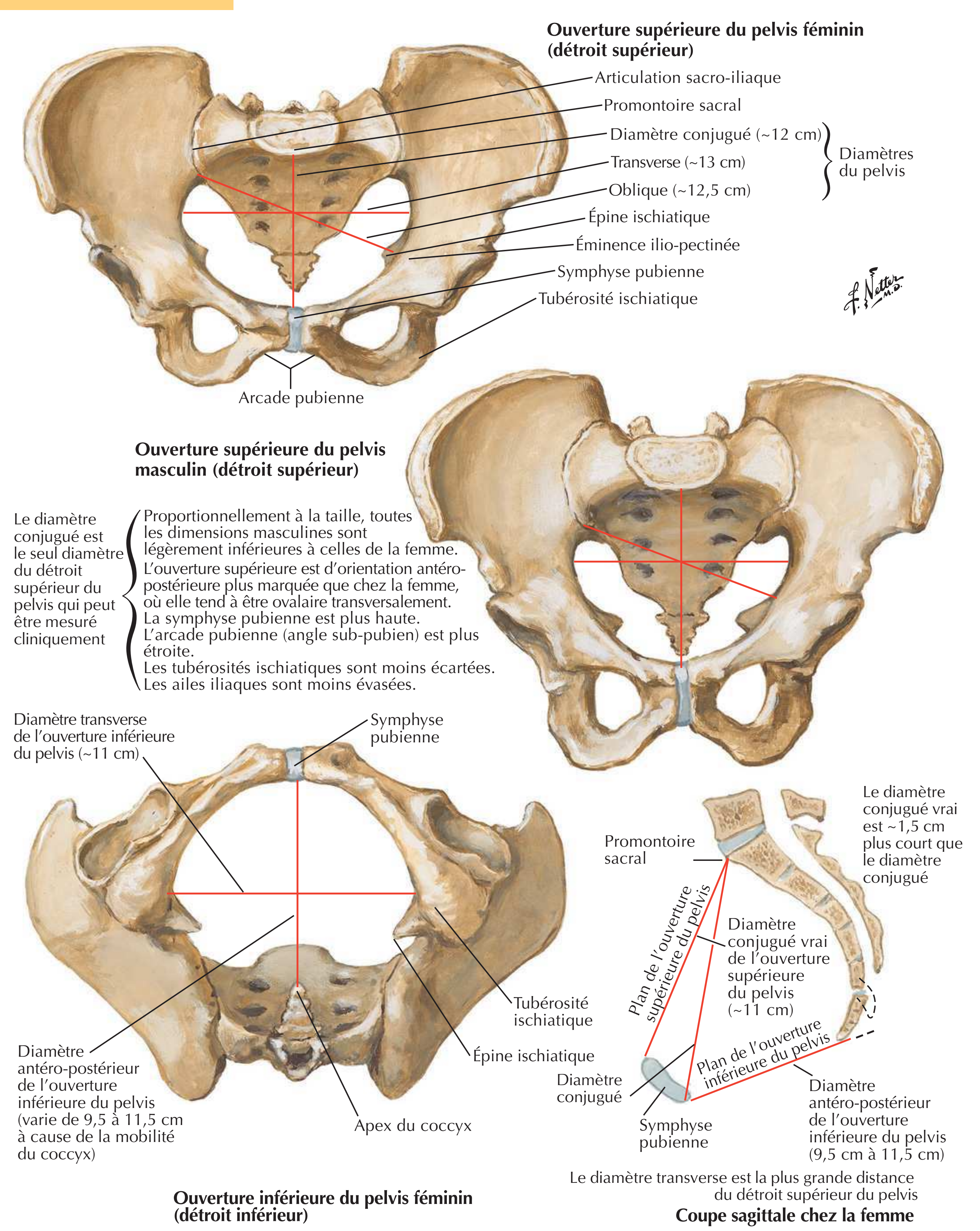
Sacrum
Foramens sacraux
Acétabulum
Tête du fémur
Grand trochanter
Symphyse pubienne
Petit trochanter
Fémur
Articulation sacro-iliaque
Ilium
Détroit supérieur du pelvis (en pointillé)
Épine ischiatique
Branche supérieure du pubis
Foramen obturé
Ischium

Pelvis masculin



Différences sexuelles du pelvis : mesures

Voir aussi **Planche 243**





Os et ligaments du pelvis

Voir aussi **Planche 473**

Ligament ilio-lombal
Crête iliaque
Ligament supra-épineux
Épine iliaque postéro-supérieure
Ligaments sacro-iliaques postérieurs
Tubercule iliaque
Foramens sacraux dorsaux (postérieurs)
Grand foramen ischiatique
Épine iliaque antéro-supérieure
Ligament sacro-épineux
Ligament sacro-tubéral
Petit foramen ischiatique
Bord acétabulaire
Tubérosité ischiatique
Tendon du long chef du muscle biceps fémoral
Profond } Ligaments sacro-coccygiens postérieurs
Superficiel } Ligaments sacro-coccygiens postérieurs
Ligament sacro-coccygien latéral

Vue postérieure

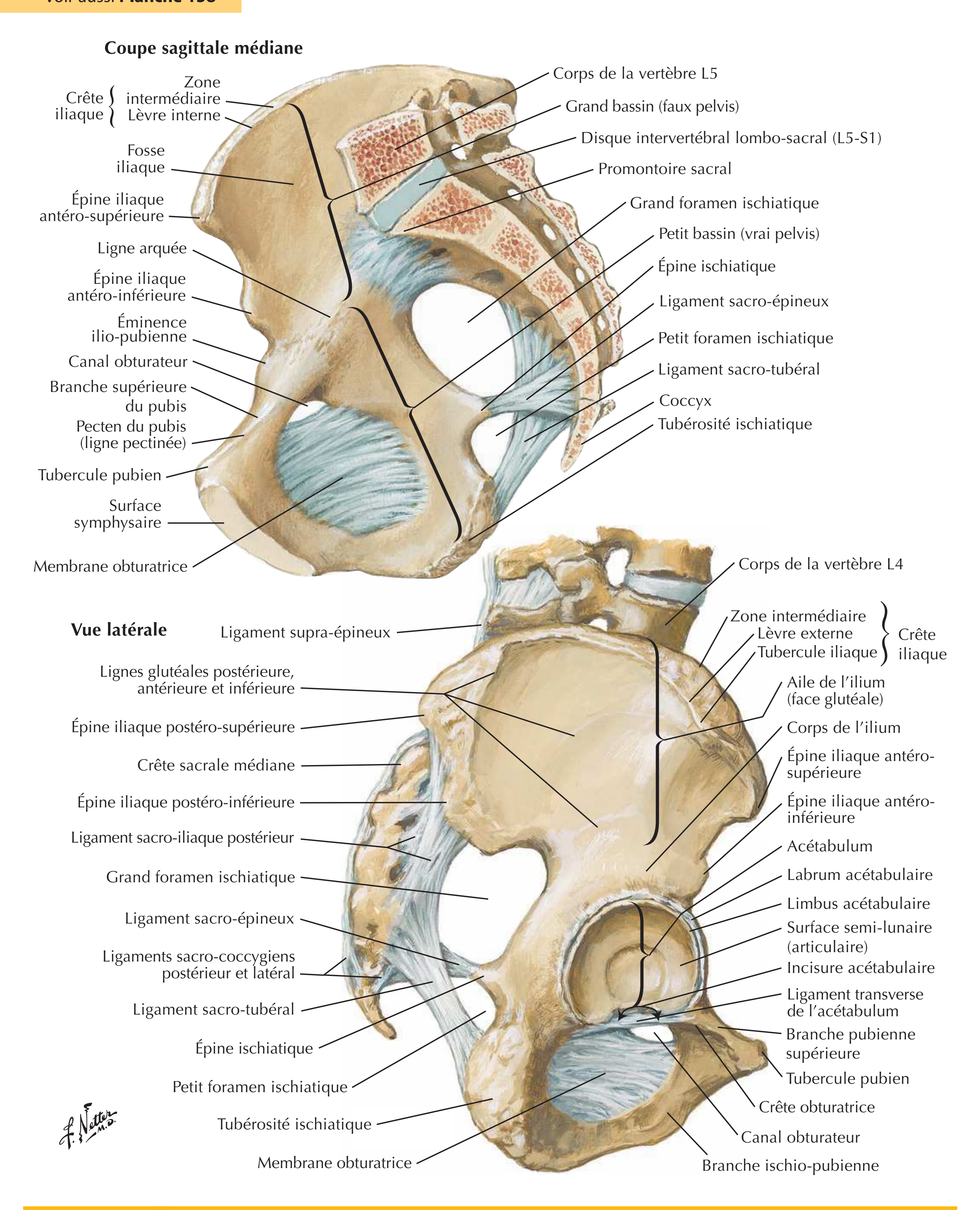
Ligament longitudinal antérieur
Ligament ilio-lombal
Fosse iliaque
Ligament sacro-iliaque antérieur
Promontoire sacral
Grand foramen ischiatique
Épine iliaque antéro-supérieure
Ligament sacro-tubéral
Ligament sacro-épineux
Épine iliaque antéro-inférieure
Épine ischiatique
Petit foramen ischiatique
Éminence ilio-pubienne
Branche supérieure du pubis
Branche ischio-pubienne
Tubercule du pubis
Foramens sacraux pelviens (antérieurs)
Coccyx
Ligaments sacro-coccygiens antérieurs
Symphyse pubienne

Vue antérieure

F. Netter M.D.

Os et ligaments du pelvis (suite)

Voir aussi **Planche 158**





Diaphragme pelvien féminin

Voir aussi **Planches 348, 350, 370**

Vue médiale

Ligne arquée

Fascia obturateur (*coupé*) et muscle obturateur interne

Arcade tendineuse du muscle élévateur de l'anus

Canal obturateur

Muscle ilio-coccygien (partie du muscle élévateur de l'anus)

Rectum

Urètre

Muscle pubo-coccygien (partie du muscle élévateur de l'anus)

Vagin

Muscle sphincter de l'urètre

Muscle pubo-rectal gauche et membrane périnéale

Muscle compresseur de l'urètre et sphincter urétro-vaginal (parties du muscle sphincter de l'urètre)

Muscle piriforme

Épine ischiatique

Muscle coccygien (ischio-coccygien)

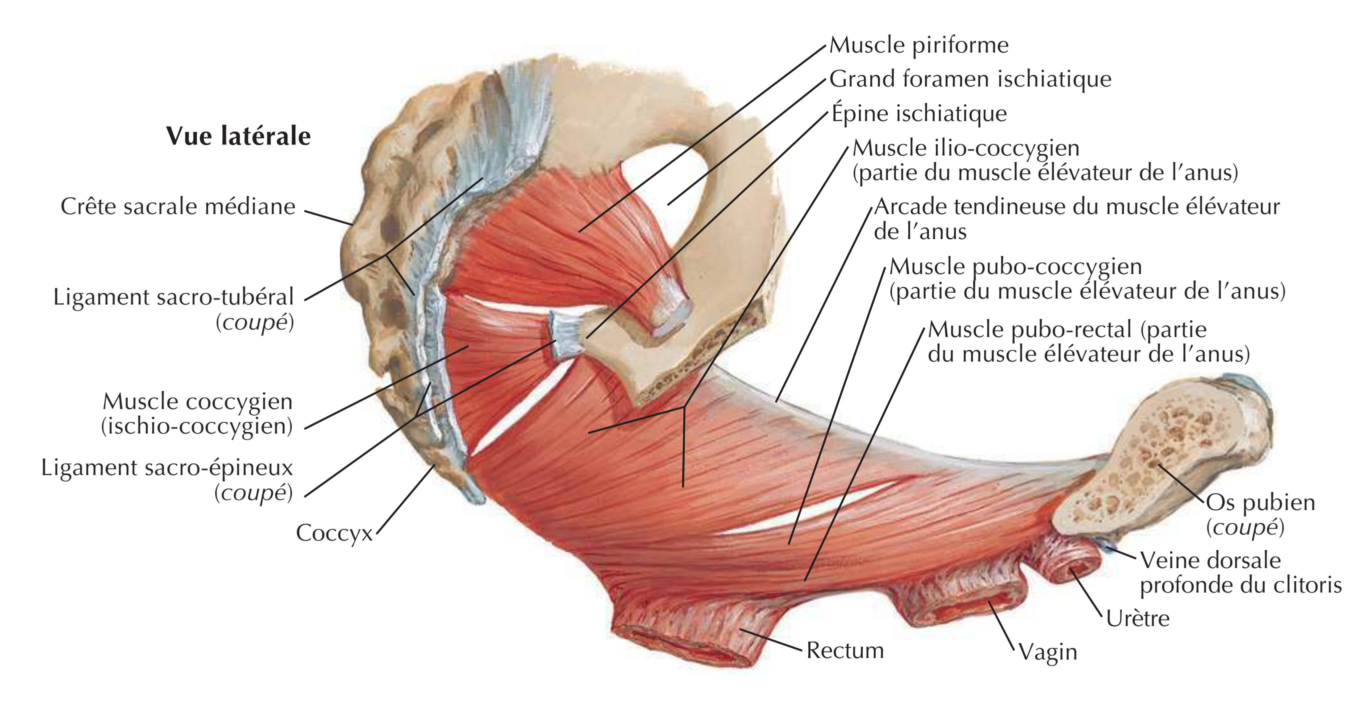
Muscle élévateur gauche de l'anus (*coupé*)

Muscle sphincter externe de l'anus

Muscles transverses superficiel et profond du périnée

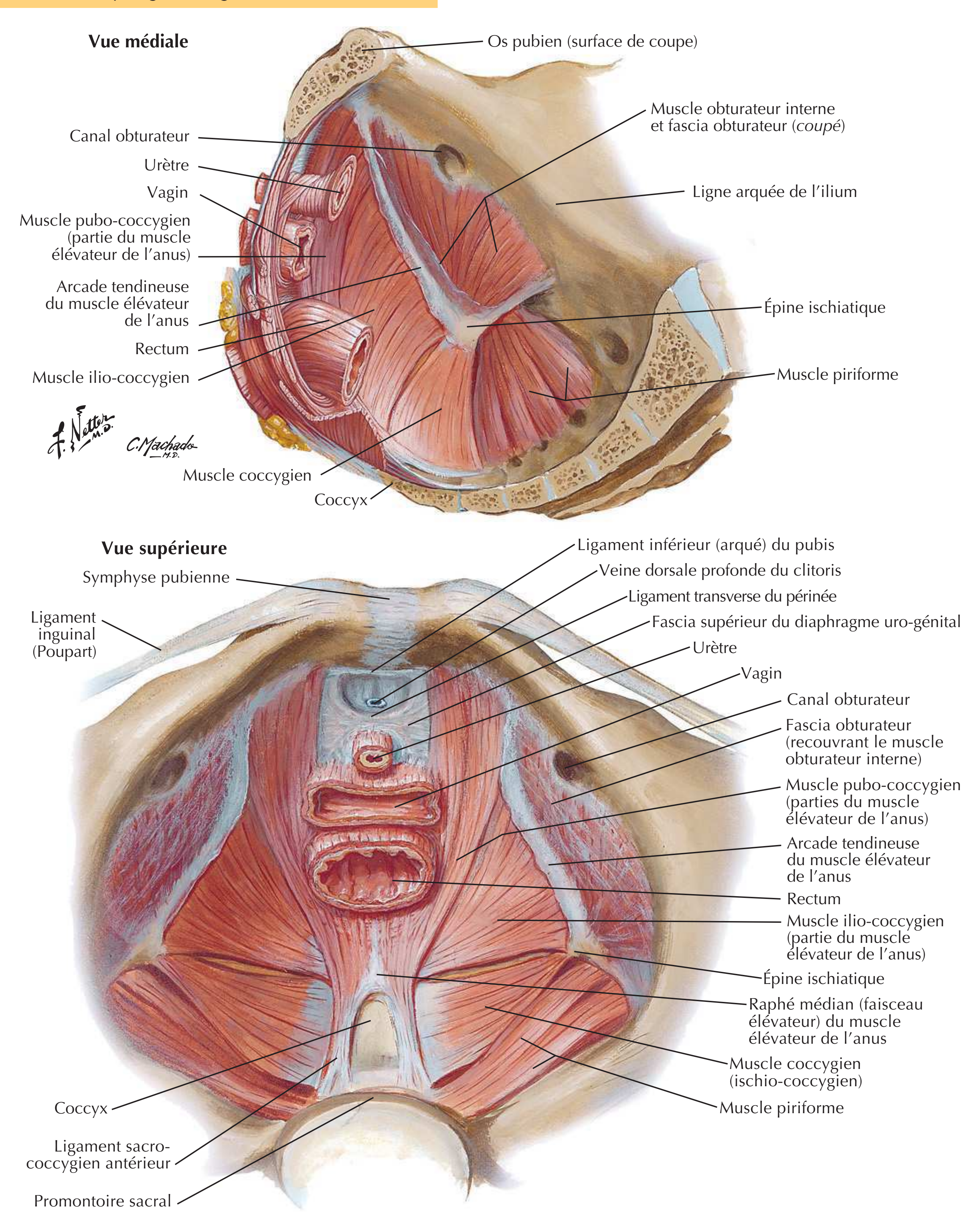
F. Netter M.D.

C. Machado M.D.



Diaphragme pelvien féminin (suite)

Pour le diaphragme uro-génital, voir **Planche 356**



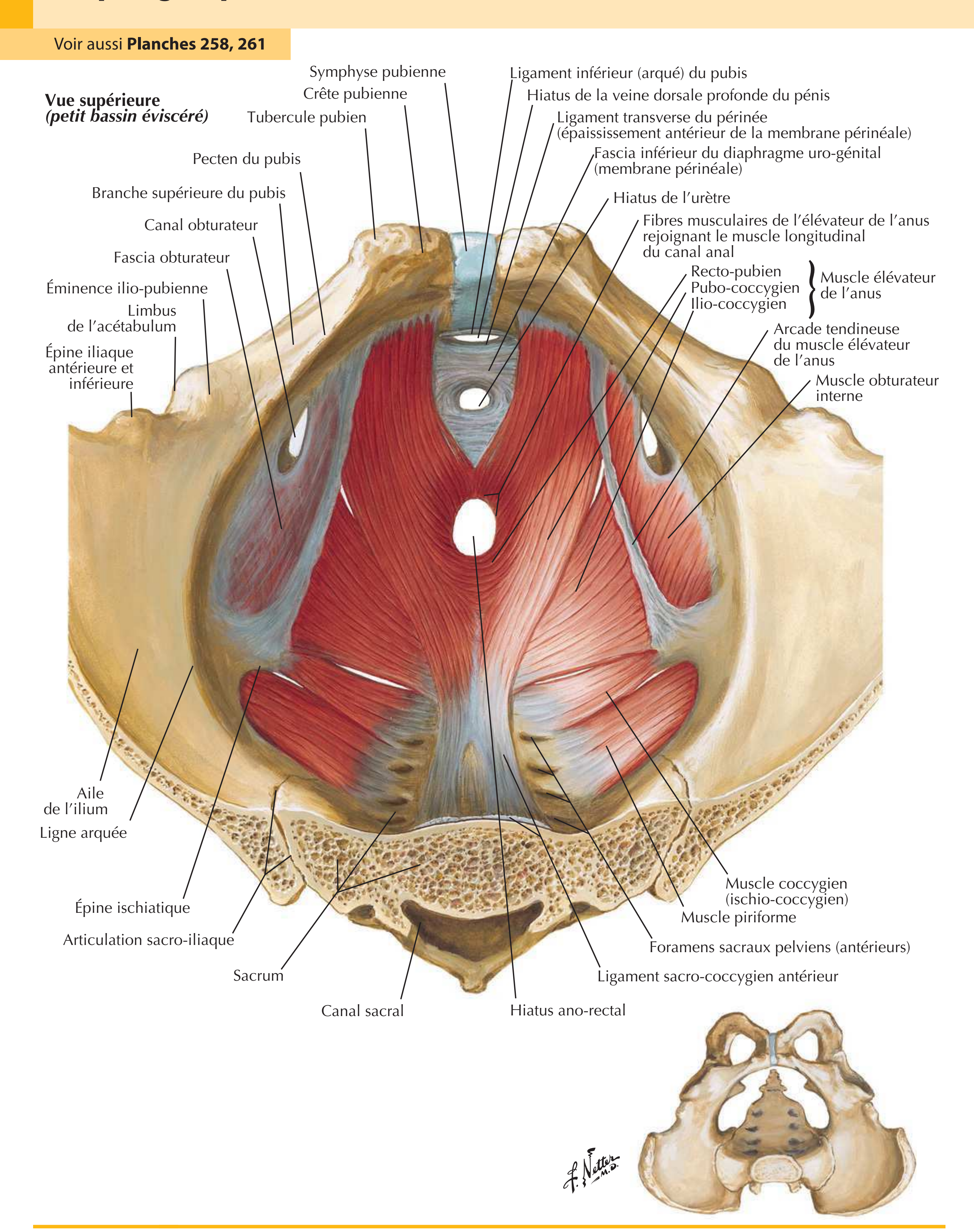
Symphyse pubienne
Urètre
Vagin
Pubo-rectal
Pubo-coccygien
Ilio-coccygien
Muscle élévateur de l'anus
Anus
Ligament ano-coccygien
F. Netter M.D.
C. Machado M.D.

Vue inférieure

Symphyse pubienne
Ligament inférieur (arqué) du pubis
Veine dorsale profonde du clitoris
Branche inférieure du pubis
Urètre
Vagin
Rectum
Épine ischiatique
Muscle coccygien (ischio-coccygien)
Muscle piriforme (*coupé*)
Ligament sacro-épineux (*coupé*)
Ligament sacro-tubéral (*coupé*)
Sacrum
Expansions musculo-fasciales vers l'urètre
Expansions musculo-fasciales vers le vagin
Fibres croisées du périnée
Muscle pubo-rectal (partie du muscle élévateur de l'anus)
Muscle pubo-coccygien (partie du muscle élévateur de l'anus)
Arcade tendineuse du muscle élévateur de l'anus
Muscle obturateur interne
Muscle ilio-coccygien (partie du muscle élévateur de l'anus)
Tubérosité ischiatique
Épine ischiatique
Tendon du muscle obturateur interne
Ligament sacro-épineux
Ligament sacro-tubéral
Muscle piriforme
Raphé médian du muscle élévateur de l'anus
Ligament ano-coccygien (insertion du muscle sphincter externe de l'anus)
Apex du coccyx

Diaphragme pelvien masculin

Voir aussi **Planches 258, 261**





Diaphragme pelvien masculin (suite)

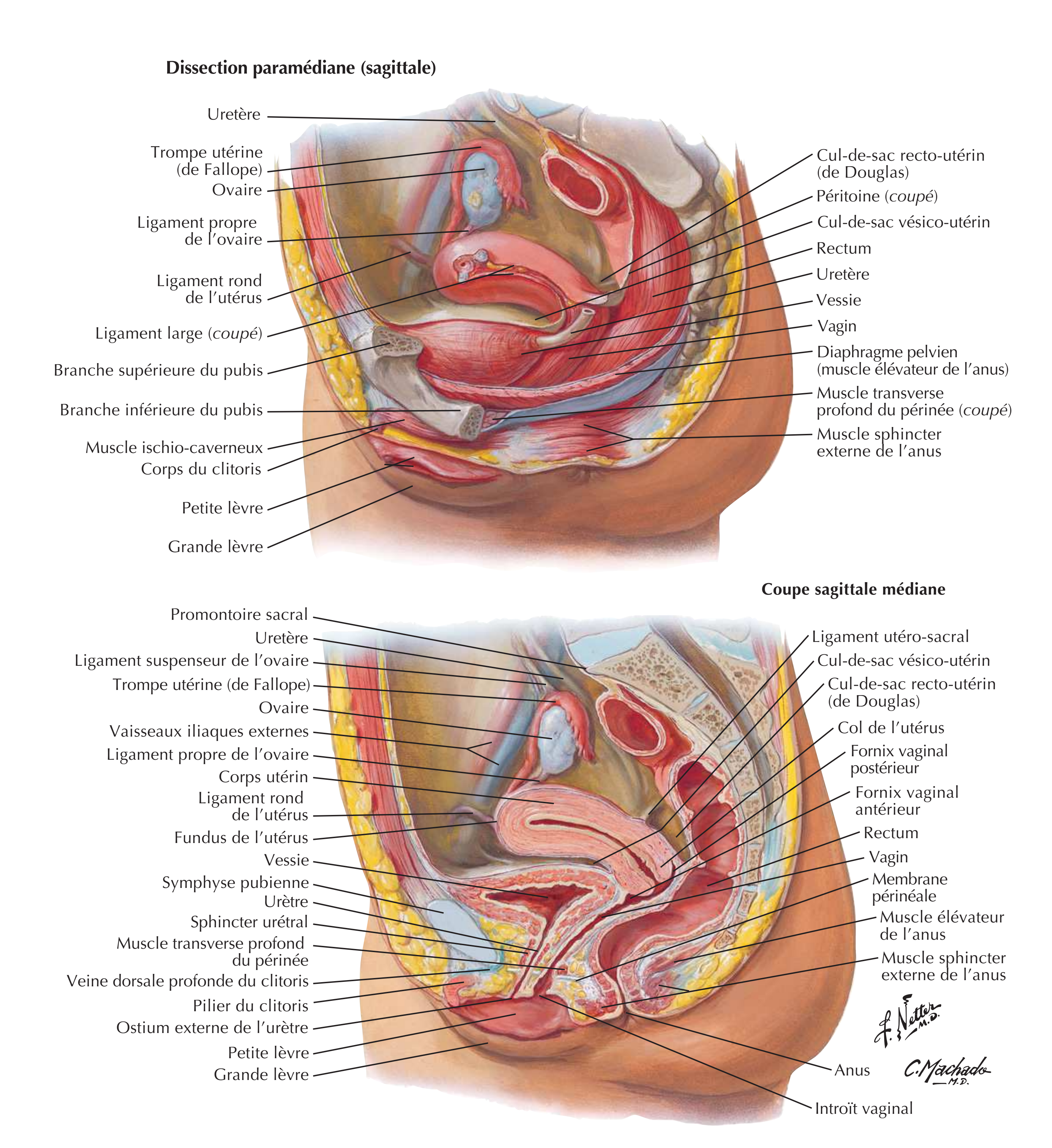
Pour le diaphragme uro-génital, voir **Planche 361**

Vue inférieure

Veines dorsales profondes du pénis
Graisse de l'espace rétro-pubien (prévésical)
Muscle sphincter de l'urètre remontant sur la face antérieure de la prostate
Urètre
Fascia recto-prostatique (de Denonvilliers)
Bord médial du muscle élévateur de l'anus
Fascia inférieur du diaphragme uro-génital (membrane périnéale) (*réséqué*)
Branche ischio-pubienne
Tendon du muscle obturateur interne
Tubérosité ischiatique
Ligament sacro-tubéral (*coupé*)
Ligament sacro-épineux (*coupé*)
Muscle coccygien (ischio-coccygien)
Ligament sacro-épineux (*coupé*)
Ligament sacro-tubéral (*coupé*)
Apex du coccyx

Symphyse pubienne
Ligament inférieur (arqué) du pubis
Corps périnéal (centre tendineux du périnée)
Expansions fibro-musculaires du muscle élévateur de l'anus vers la prostate
Tubercule pubien
Muscle recto-urétral supérieur
Fibres prérectales (de Luschka) du muscle élévateur de l'anus
Fibres musculaires de l'élévateur de l'anus rejoignant le muscle longitudinal du canal anal
Muscle grand glutéal
Muscle obturateur interne
Arcade tendineuse du muscle élévateur de l'anus
Ilio-coccygien, Pubo-coccygien, Pubo-rectal } Muscle élévateur de l'anus
Couche musculaire circulaire, Muscle longitudinal conjoint } de la jonction ano-rectale

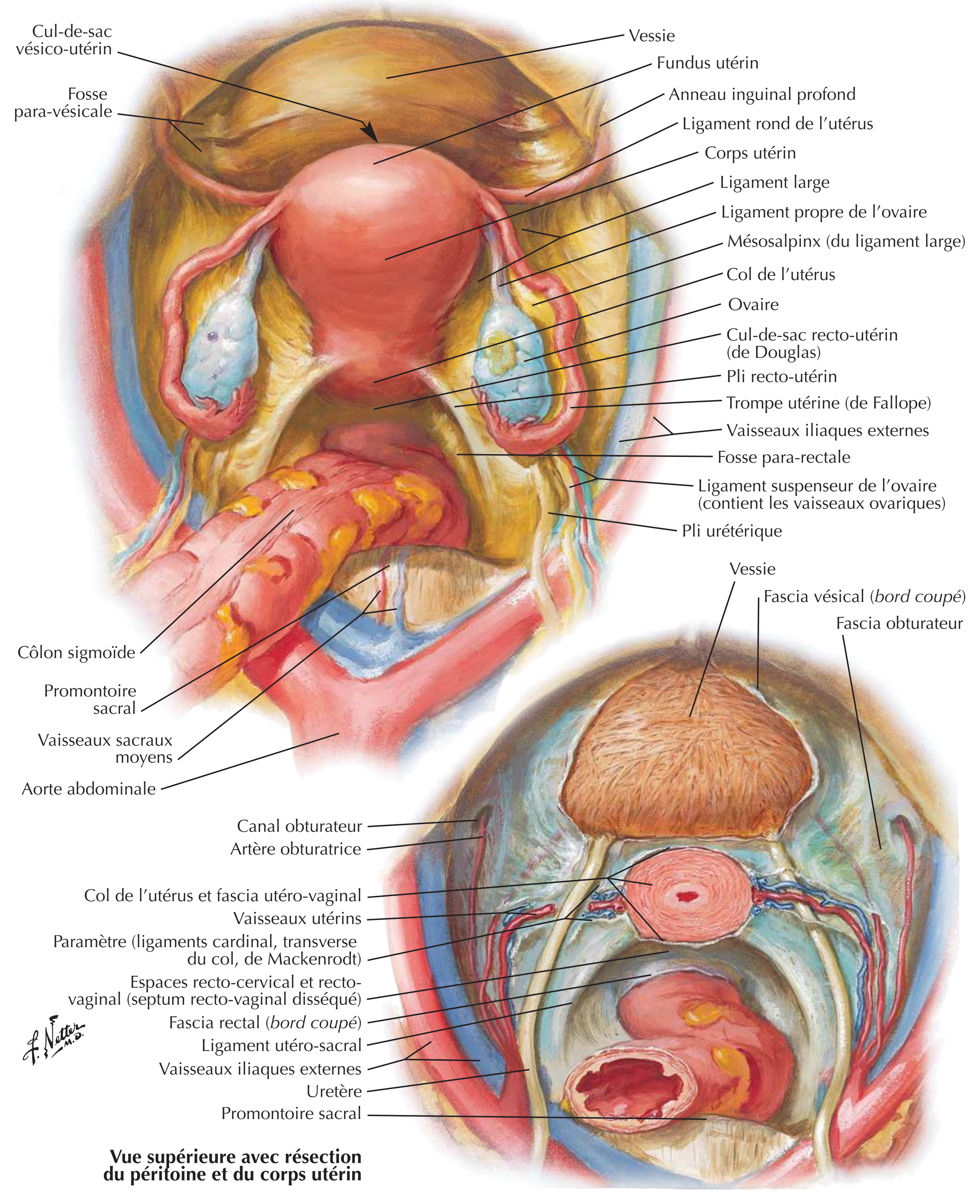
F. Netter M.D.
C. Machado M.D.


Dissection paramédiane (sagittale)
Uretère
Trompe utérine (de Fallope)
Ovaire
Ligament propre de l'ovaire
Ligament rond de l'utérus
Ligament large (coupé)
Branche supérieure du pubis
Branche inférieure du pubis
Muscle ischio-caverneux
Corps du clitoris
Petite lèvre
Grande lèvre
Cul-de-sac recto-utérin (de Douglas)
Péritoine (coupé)
Cul-de-sac vésico-utérin
Rectum
Uretère
Vessie
Vagin
Diaphragme pelvien (muscle élévateur de l'anus)
Muscle transverse profond du périnée (coupé)
Muscle sphincter externe de l'anus
Coupe sagittale médiane
Promontoire sacral
Uretère
Ligament suspenseur de l'ovaire
Trompe utérine (de Fallope)
Ovaire
Vaisseaux iliaques externes
Ligament propre de l'ovaire
Corps utérin
Ligament rond de l'utérus
Fundus de l'utérus
Vessie
Symphyse pubienne
Urètre
Sphincter urétral
Muscle transverse profond du périnée
Veine dorsale profonde du clitoris
Pilier du clitoris
Ostium externe de l'urètre
Petite lèvre
Grande lèvre
Ligament utéro-sacral
Cul-de-sac vésico-utérin
Cul-de-sac recto-utérin (de Douglas)
Col de l'utérus
Fornix vaginal postérieur
Fornix vaginal antérieur
Rectum
Vagin
Membrane périnéale
Muscle élévateur de l'anus
Muscle sphincter externe de l'anus
Anus
Introït vaginal
F. Netter M.D.
C. Machado M.D.



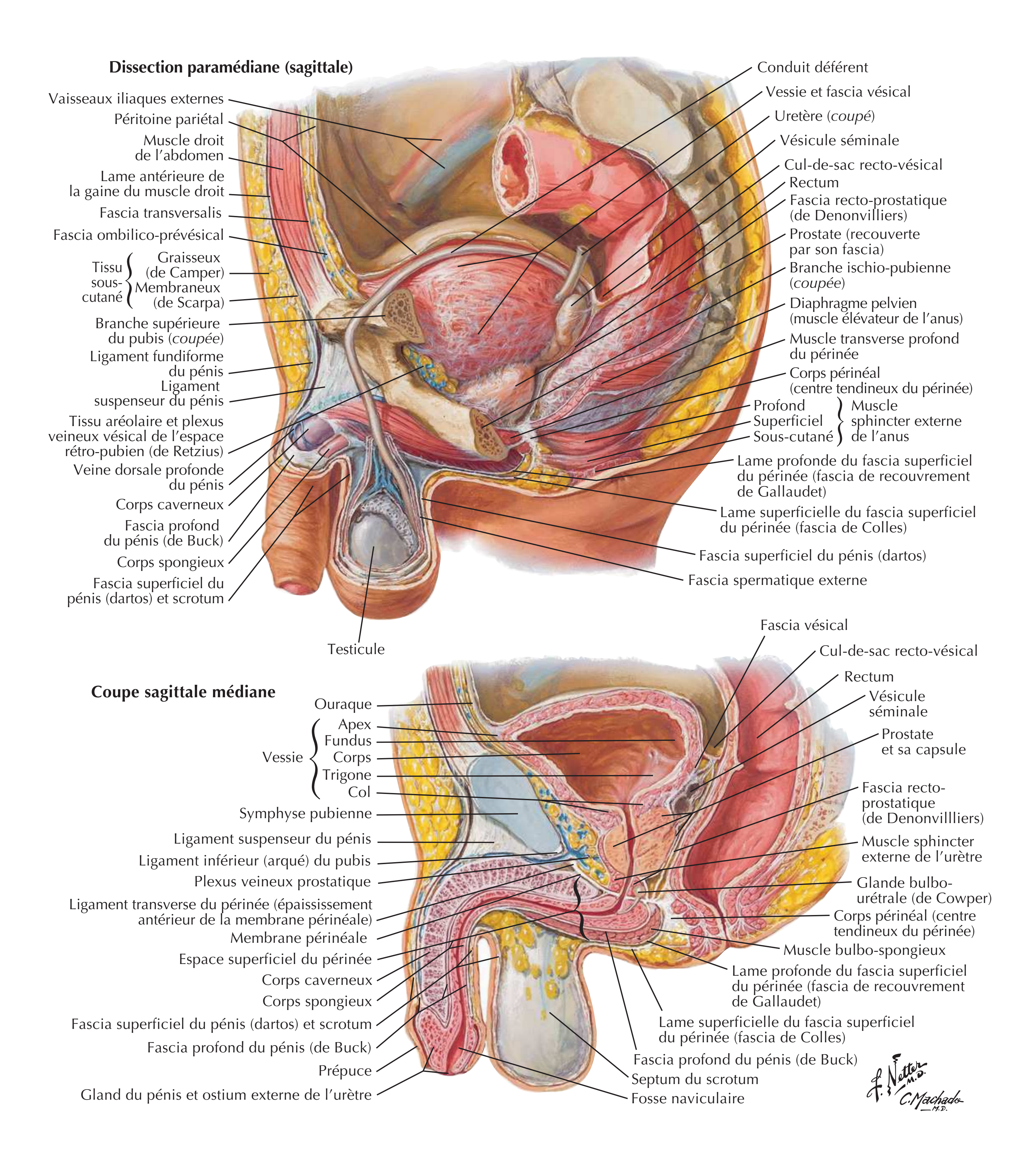
Vue supérieure

Utérus (fundus)
Ligament propre de l'ovaire
Ovaire
Trompe utérine (de Fallope)
Ligament rond de l'utérus
Ligament large de l'utérus
Anneau fémoral
Anneau inguinal profond
Ligament inguinal (recouvert du péritoine)
Vaisseaux iliaques externes
Fosse iliaque (faux pelvis)
Sillon paracolique gauche (gouttière)
Ligne blanche
Ligament (ouraque) et pli ombilicaux médians
Vessie et pli vésical transverse
Muscle droit de l'abdomen
Pli et ligament ombilicaux médiaux (partie oblitérée de l'artère ombilicale)
Rectum
Vaisseaux épigastriques inférieurs et pli ombilical latéral
Pli utéro-sacral
Pli urétérique
Ligament suspenseur de l'ovaire (contient les vaisseaux ovariques)
Cæcum
Plis cæcaux
Sillon paracolique droit (gouttière)
Côlon sigmoïde
Muscle carré des lombes
Muscles petit et grand psoas
Côlon descendant
Transverse de l'abdomen
Oblique interne
Oblique externe
} Muscles de l'abdomen
Tronc sympathique
Ligament longitudinal antérieur
Corps de la vertèbre L3
Aorte abdominale
Plexus hypogastrique supérieur
Vaisseaux ovariques
Fosse pararectale
Veine cave inférieure
Fascia transversalis
Péritoine pariétal
Côlon ascendant
Iléon terminal
Uretère
Racine du mésentère


Vue supérieure avec le péritoine intact
Cul-de-sac vésico-utérin
Fosse para-vésicale
Vessie
Fundus utérin
Anneau inguinal profond
Ligament rond de l'utérus
Corps utérin
Ligament large
Ligament propre de l'ovaire
Mésosalpinx (du ligament large)
Col de l'utérus
Ovaire
Cul-de-sac recto-utérin (de Douglas)
Pli recto-utérin
Trompe utérine (de Fallope)
Vaisseaux iliaques externes
Fosse para-rectale
Ligament suspenseur de l'ovaire (contient les vaisseaux ovariques)
Pli urétérique
Côlon sigmoïde
Promontoire sacral
Vaisseaux sacraux moyens
Aorte abdominale
Vessie
Fascia vésical (*bord coupé*)
Fascia obturateur
Canal obturateur
Artère obturatrice
Col de l'utérus et fascia utéro-vaginal
Vaisseaux utérins
Paramètre (ligaments cardinal, transverse du col, de Mackenrodt)
Espaces recto-cervical et recto-vaginal (septum recto-vaginal disséqué)
Fascia rectal (*bord coupé*)
Ligament utéro-sacral
Vaisseaux iliaques externes
Uretère
Promontoire sacral
Vue supérieure avec résection du péritoine et du corps utérin
F. Netter M.D.



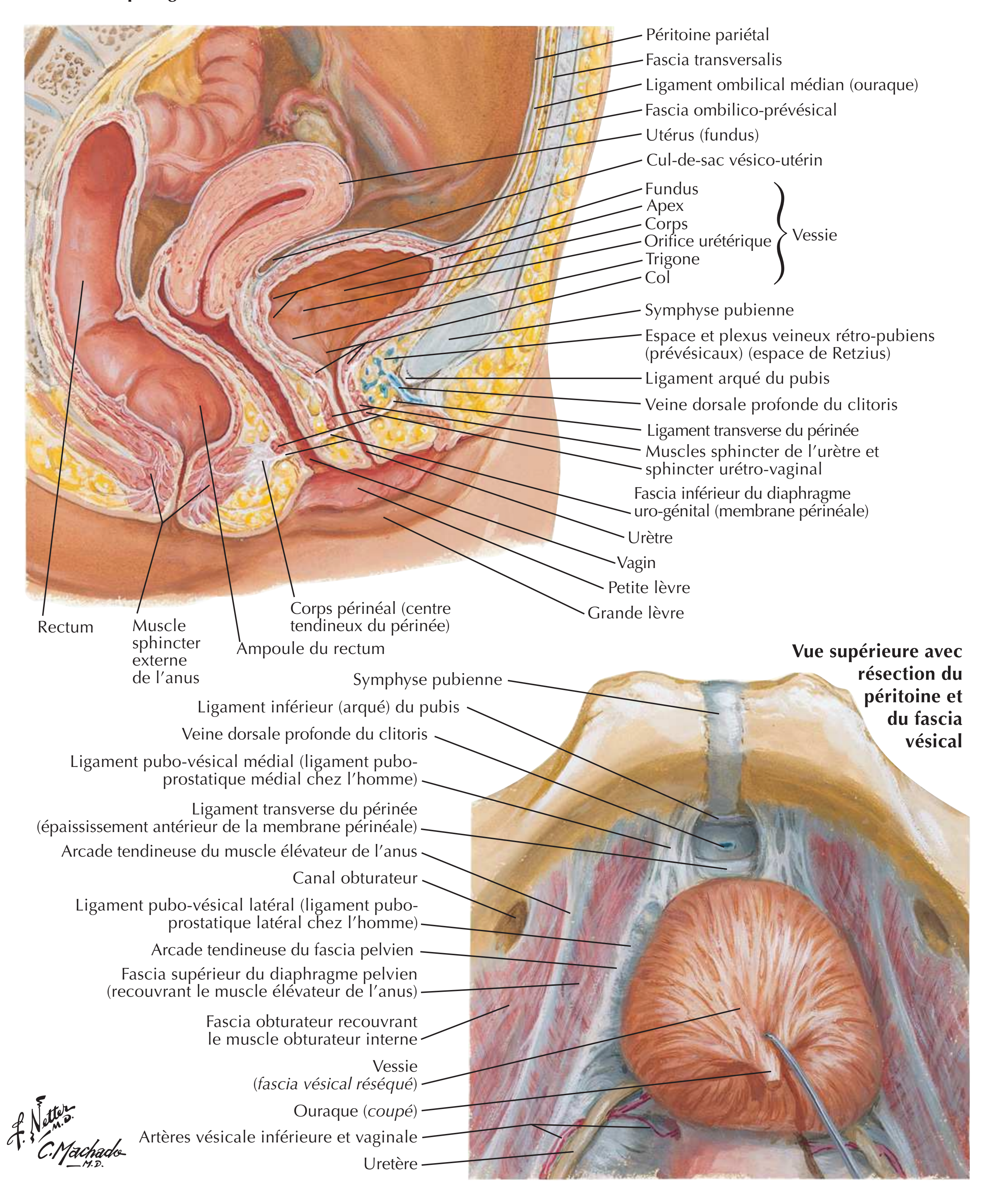
Vue supérieure chez la femme (péritoine et tissu aréolaire lâche enlevés)


Dissection paramédiane (sagittale)
Vaisseaux iliaques externes
Péritoine pariétal
Muscle droit de l'abdomen
Lame antérieure de la gaine du muscle droit
Fascia transversalis
Fascia ombilico-prévésical
Tissu sous-cutané
Graisseux (de Camper)
Membraneux (de Scarpa)
Branche supérieure du pubis (coupée)
Ligament fundiforme du pénis
Ligament suspenseur du pénis
Tissu aréolaire et plexus veineux vésical de l'espace rétro-pubien (de Retzius)
Veine dorsale profonde du pénis
Corps caverneux
Fascia profond du pénis (de Buck)
Corps spongieux
Fascia superficiel du pénis (dartos) et scrotum
Testicule
Conduit déférent
Vessie et fascia vésical
Uretère (coupé)
Vésicule séminale
Cul-de-sac recto-vésical
Rectum
Fascia recto-prostatique (de Denonvilliers)
Prostate (recouverte par son fascia)
Branche ischio-pubienne (coupée)
Diaphragme pelvien (muscle élévateur de l'anus)
Muscle transverse profond du périnée
Corps périnéal (centre tendineux du périnée)
Profond
Superficiel
Sous-cutané
Muscle sphincter externe de l'anus
Lame profonde du fascia superficiel du périnée (fascia de recouvrement de Gallaudet)
Lame superficielle du fascia superficiel du périnée (fascia de Colles)
Fascia superficiel du pénis (dartos)
Fascia spermatique externe
Coupe sagittale médiane
Ouraque
Vessie
Apex
Fundus
Corps
Trigone
Col
Symphyse pubienne
Ligament suspenseur du pénis
Ligament inférieur (arqué) du pubis
Plexus veineux prostatique
Ligament transverse du périnée (épaississement antérieur de la membrane périnéale)
Membrane périnéale
Espace superficiel du périnée
Corps caverneux
Corps spongieux
Fascia superficiel du pénis (dartos) et scrotum
Fascia profond du pénis (de Buck)
Prépuce
Gland du pénis et ostium externe de l'urètre
Fascia vésical
Cul-de-sac recto-vésical
Rectum
Vésicule séminale
Prostate et sa capsule
Fascia recto-prostatique (de Denonvillliers)
Muscle sphincter externe de l'urètre
Glande bulbo-urétrale (de Cowper)
Corps périnéal (centre tendineux du périnée)
Muscle bulbo-spongieux
Lame profonde du fascia superficiel du périnée (fascia de recouvrement de Gallaudet)
Lame superficielle du fascia superficiel du périnée (fascia de Colles)
Fascia profond du pénis (de Buck)
Septum du scrotum
Fosse naviculaire
F. Netter M.D.
C. Machado M.D.



Vue supérieure

Vessie : orientation et soutènement





Sphincters urinaires féminins

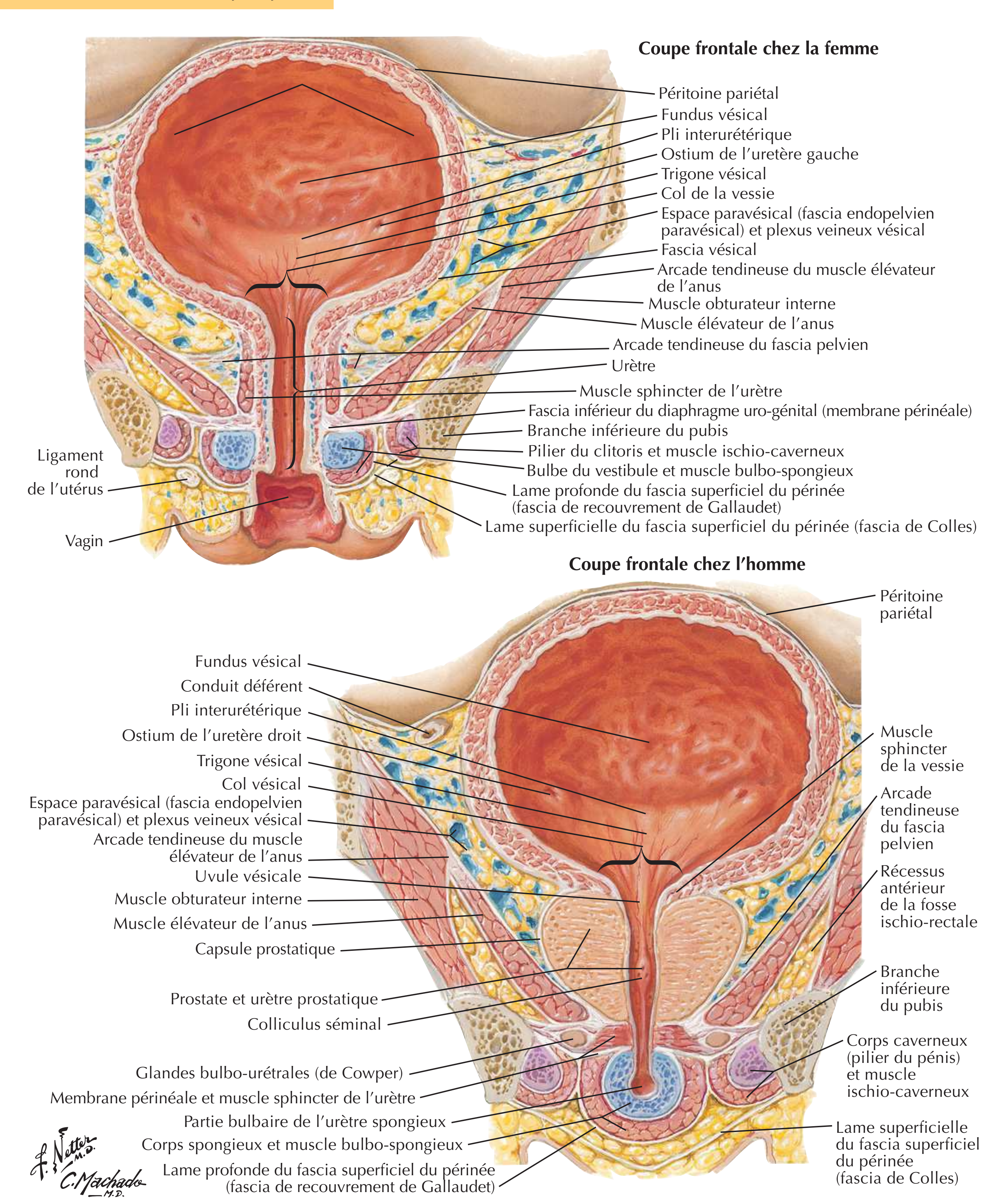
Voir aussi **Planche 356**

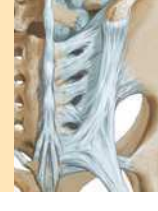
Anneau trigonal
Anse postérieure
Anse de Heiss
Vessie
Vagin
Urètre
Muscle élévateur de l'anus
Hiatus uro-génital
Corps périnéal (centre tendineux du périnée)
Muscle sphincter de l'urètre
Muscle urétro-vaginal
Muscle compresseur de l'urètre
Sphincter externe de l'urètre (volontaire)
Os pubien

JOHN A.CRAIG AD
C.Machado M.D.

Vessie : chez la femme et chez l'homme

Voir aussi **Planches 340, 344, 381**





À la naissance

À 4 ans

À la puberté

À l'âge adulte
(nullipare)

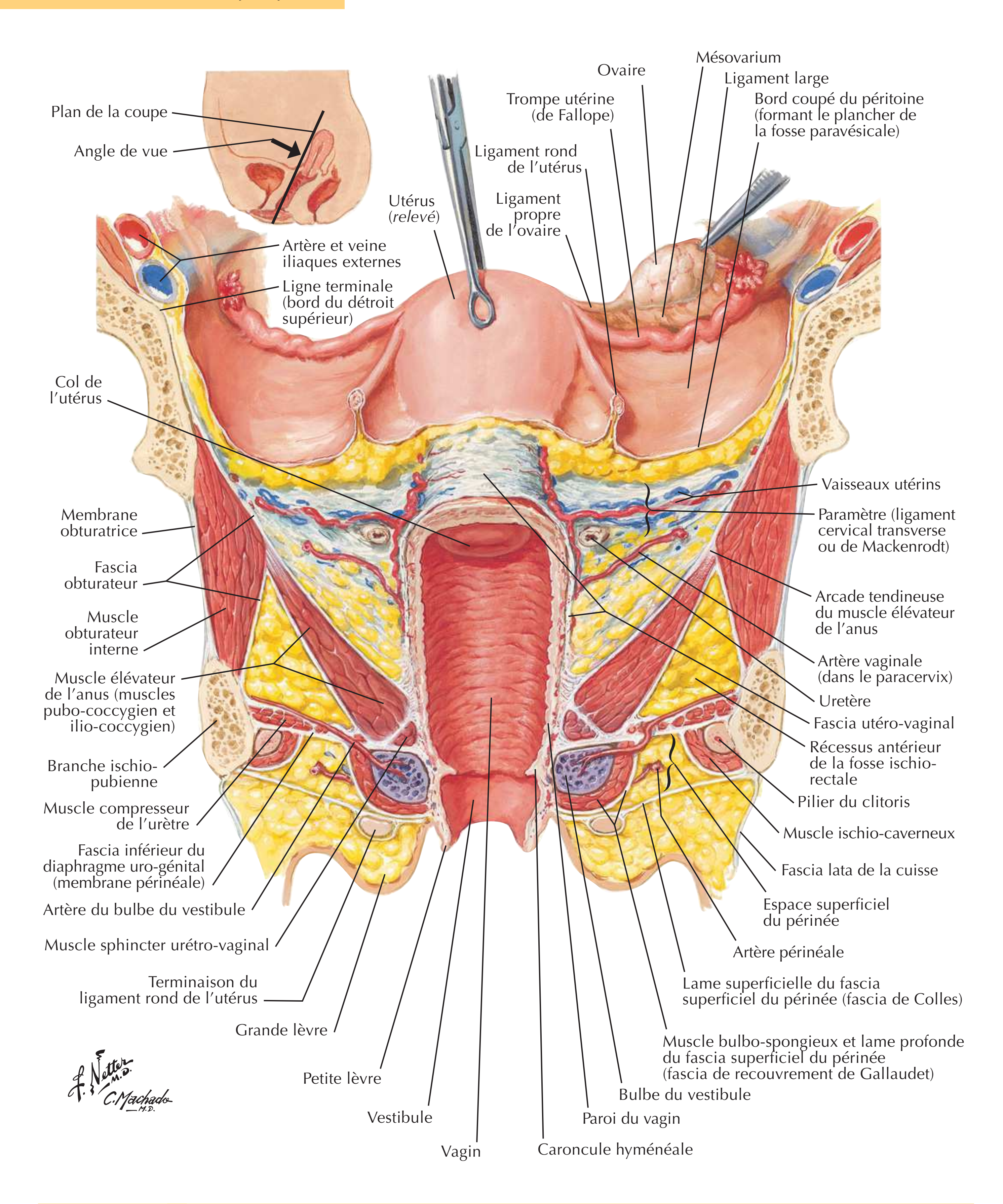
À l'âge adulte
(multipare)

À l'âge adulte
(après la ménopause)

F. Netter M.D.

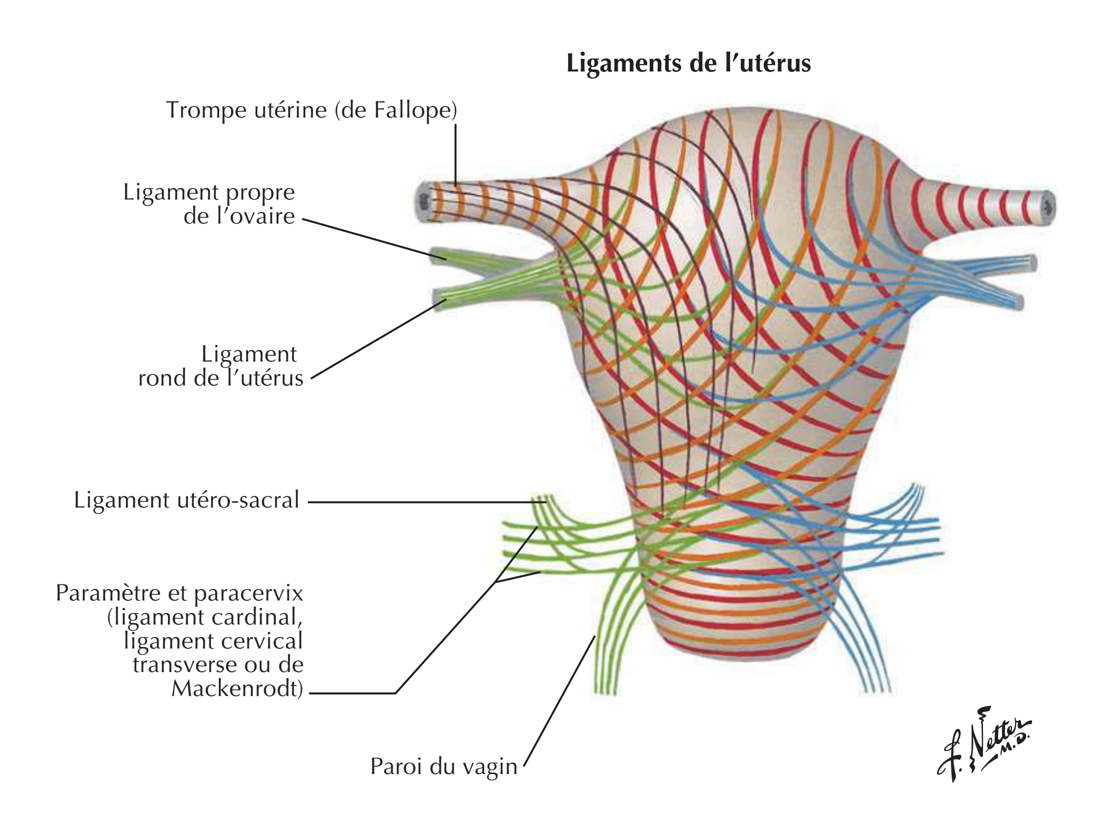
Utérus, vagin et structures de soutien

Voir aussi **Planches 382, 384, 390**

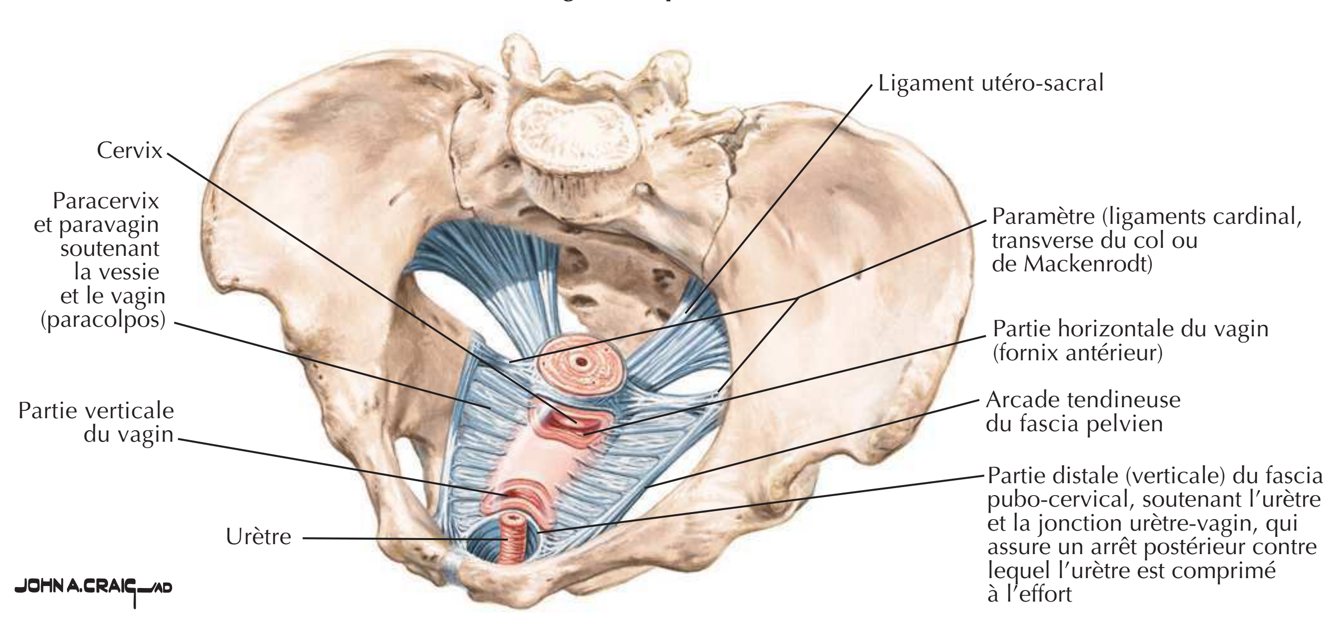


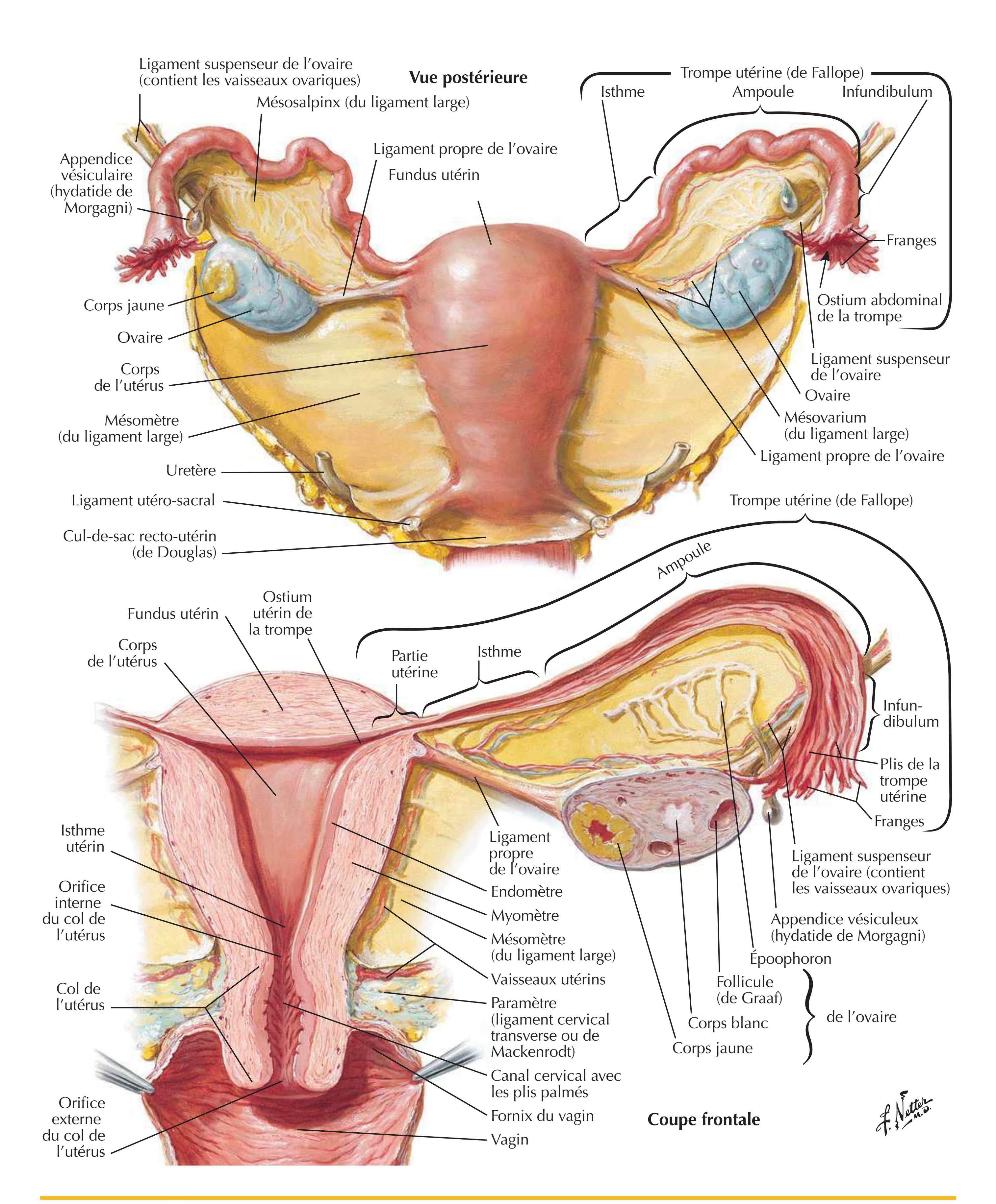
Voir aussi **Planche 343**

Ligaments de l'utérus



Fascias et ligaments pelviens




Vue postérieure
Ligament suspenseur de l'ovaire (contient les vaisseaux ovariques)
Mésosalpinx (du ligament large)
Appendice vésiculaire (hydatide de Morgagni)
Ligament propre de l'ovaire
Fundus utérin
Corps jaune
Ovaire
Corps de l'utérus
Mésomètre (du ligament large)
Uretère
Ligament utéro-sacral
Cul-de-sac recto-utérin (de Douglas)
Trompe utérine (de Fallope)
Isthme
Ampoule
Infundibulum
Franges
Ostium abdominal de la trompe
Ligament suspenseur de l'ovaire
Ovaire
Mésovarium (du ligament large)
Ligament propre de l'ovaire
Trompe utérine (de Fallope)
Ampoule
Fundus utérin
Ostium utérin de la trompe
Corps de l'utérus
Partie utérine
Isthme
Infun-dibulum
Plis de la trompe utérine
Franges
Isthme utérin
Orifice interne du col de l'utérus
Col de l'utérus
Orifice externe du col de l'utérus
Ligament propre de l'ovaire
Endomètre
Myomètre
Mésomètre (du ligament large)
Vaisseaux utérins
Paramètre (ligament cervical transverse ou de Mackenrodt)
Canal cervical avec les plis palmés
Fornix du vagin
Vagin
Ligament suspenseur de l'ovaire (contient les vaisseaux ovariques)
Appendice vésiculeux (hydatide de Morgagni)
Époophoron
Follicule (de Graaf)
Corps blanc
Corps jaune
de l'ovaire
Coupe frontale



Antérieur

Postérieur

Subdivisions et contenu du ligament large

Ligament suspenseur de l'ovaire (contenant les vaisseaux ovariques)

Infundibulum tubaire

Vaisseaux iliaques externes

Franges de la trompe

Ampoule de la trompe utérine

Ligament rond

Ovaire droit

Uretère droit

Lames du mésosalpinx

Lames du mésovarium

Artère ombilicale oblitérée

Branches ovariques des vaisseaux utérins

Lame postérieure du ligament large

Lame antérieure du ligament large

Ligament rond

Pli vésical transverse

Cul-de-sac vésico-utérin (utéro-vésical)

Artère utérine et plexus veineux

C. Machado M.D.

Artère vaginale

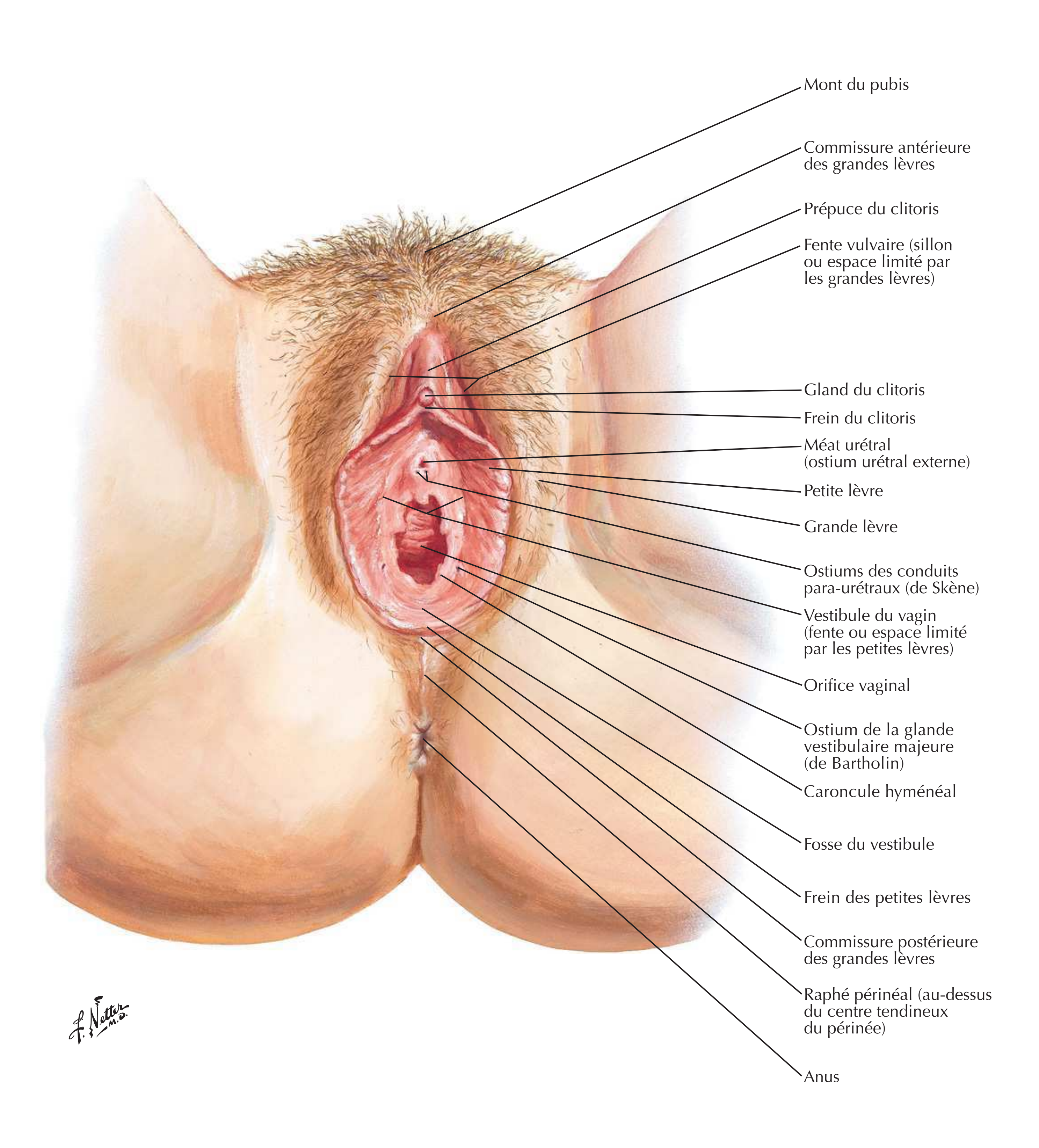
Trompe utérine pathologique

Hystérosalpingographie

Produit de contraste dans la cavité abdominale

Périnée et organes génitaux externes féminins (vulve)

Voir aussi **Planches 382, 385, 391**



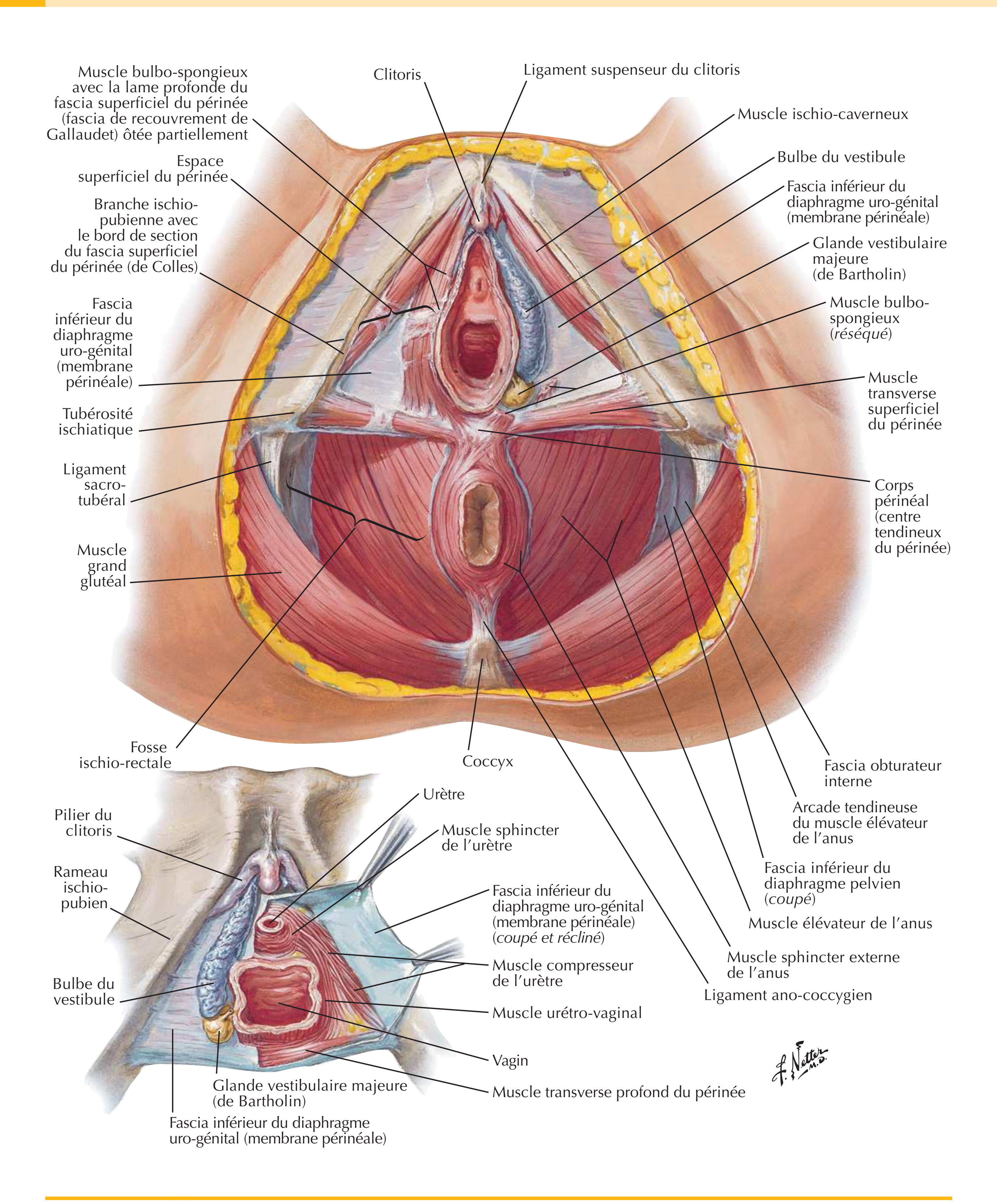


Toile sous-cutanée abdominale (fascia de Camper)
Lame membraneuse profonde (de Scarpa)
Tissu sous-cutané
Gaine du muscle droit (lame antérieure)
Aponévrose du muscle oblique externe
Anneau inguinal superficiel
Épine iliaque antéro-supérieure
Ligament rond de l'utérus et ses enveloppes (*coupés*)
Ligament inguinal (de Poupart)
Tubercule pubien
Hiatus saphène
Ligament suspenseur du clitoris
Fascia lata
Branche ischio-pubienne
Fascia superficiel du périnée (de Colles) réséqué pour ouvrir l'espace superficiel du périnée
Muscle ischio-caverneux
Muscle bulbo-spongieux (recouvre le bulbe du vestibule)
Fascia inférieur du diaphragme uro-génital (membrane périnéale)
Lame profonde du fascia superficiel du périnée (fascia de recouvrement de Gallaudet) (*partiellement réséqué*)
Muscle transverse superficiel du périnée
Tubérosité ischiatique
Lame superficielle du fascia superficiel du périnée (fascia de Colles) (*bord coupé et récliné*)
Corps adipeux de la fosse ischio-rectale
Fascia superficiel du périnée (de Colles)
Ligament rond de l'utérus et ses couches fasciales

Péritoine
Ouraque
Fascia transversalis
Muscle droit de l'abdomen
Fascia vésical
Fascia utéro-vaginal
Fascia rectal
Tissu sous-cutané
Adipeux
Membraneux
Gaine du muscle droit (lame antérieure)
Symphyse pubienne
Ligament inférieur (arqué) du pubis
Ligament transverse du périnée
Ligament suspenseur du clitoris
Muscles sphincter de l'urètre et sphincter urétro-vaginal
Fascia inférieur du diaphragme uro-génital (membrane périnéale)
Espace superficiel du périnée
Fascia superficiel du périnée (de Colles)
Corps périnéal (centre tendineux du périnée)
Fascia supérieur du diaphragme pelvien
Fascia inférieur du diaphragme pelvien
Muscle élévateur de l'anus
Utérus
Vessie
Vagin
Rectum
Ligament ano-coccygien
Muscle sphincter externe de l'anus

F. Netter M.D.
C. Machado M.D.

Périnée féminin et diaphragme uro-génital





Espaces périnéaux chez la femme

Voir aussi **Planches 382, 391**

Espace superficiel du périnée

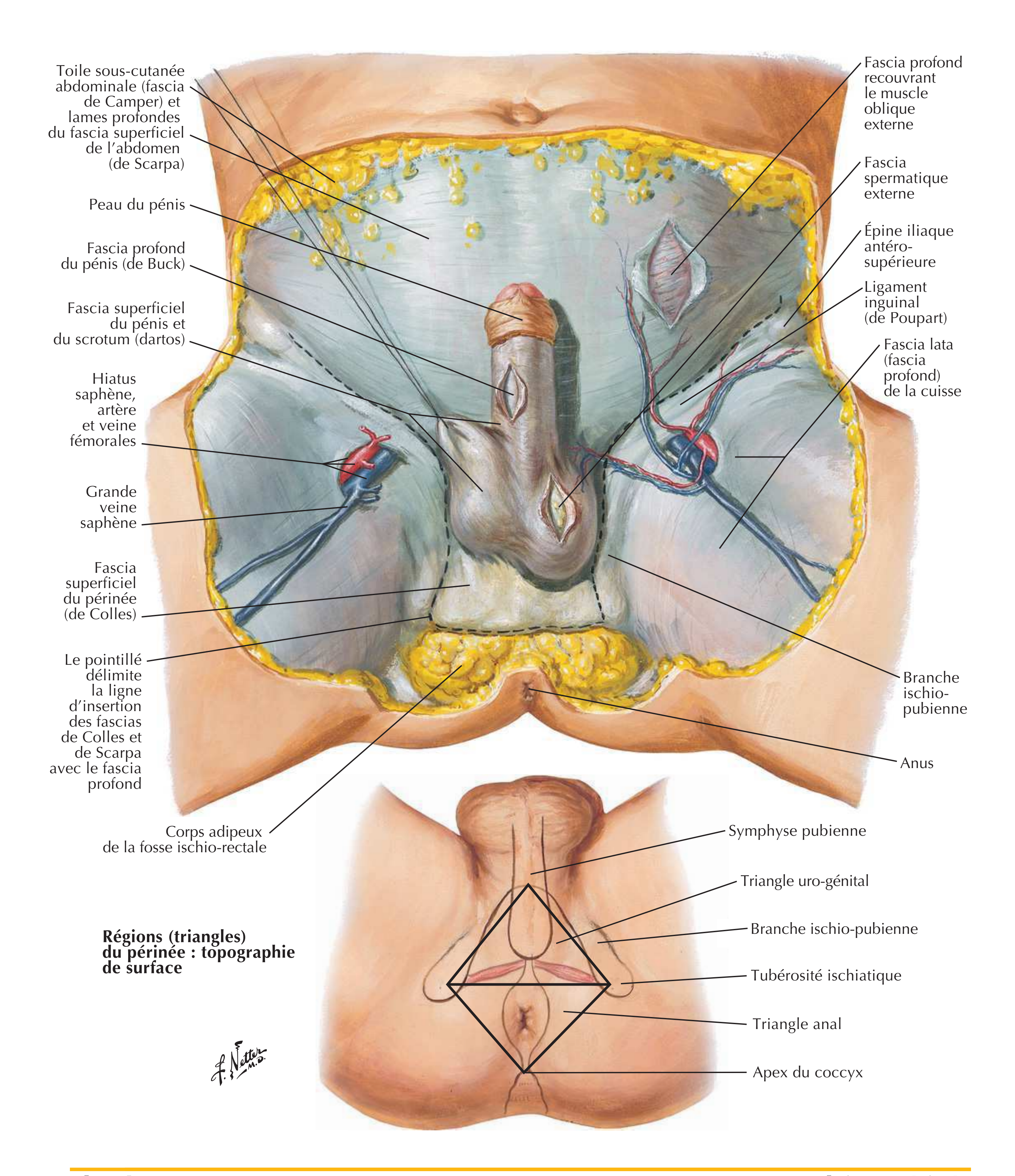
Symphyse pubienne
Ligament suspenseur du clitoris
Clitoris
Muscle ischio-caverneux
Ostium externe de l'urètre
Petite lèvre (*coupée*)
Muscle bulbo-spongieux
Muscle transverse superficiel du périnée
Orifice vaginal
Glande vestibulaire majeure (de Bartholin)
Branche du nerf anal inférieur (rectal)
Artère pudendale interne
Nerf pudendal
Nerf périnéal
Membrane périnéale
Artère périnéale
Branches superficielle et profonde du nerf périnéal
Artère pudendale interne (clitoridienne)
Bulbe du vestibule
Bord de la coupe du fascia superficiel du périnée (de Colles)
Pilier du clitoris
Artère labiale postérieure

Espace profond du périnée

Veine dorsale profonde du clitoris
Ostium externe de l'urètre
Membrane périnéale (*coupée et réclinée*)
Bord de la coupe du fascia superficiel du périnée (de Colles)
Orifice vaginal
Glandes vestibulaires majeures (de Bartholin)
Muscle sphincter urétro-vaginal
Muscle transverse profond du périnée
Branches profonde et superficielle du nerf périnéal (*coupées*)
Artère pudendale interne (clitoridienne)
Artère du bulbe du vestibule
Muscle compresseur de l'urètre
Artère profonde du clitoris
Nerf dorsal du clitoris
Artère dorsale du clitoris

C.Machado M.D.

Périnée et organes génitaux externes chez l'homme (dissection superficielle)





Périnée et organes génitaux externes chez l'homme (dissection profonde)

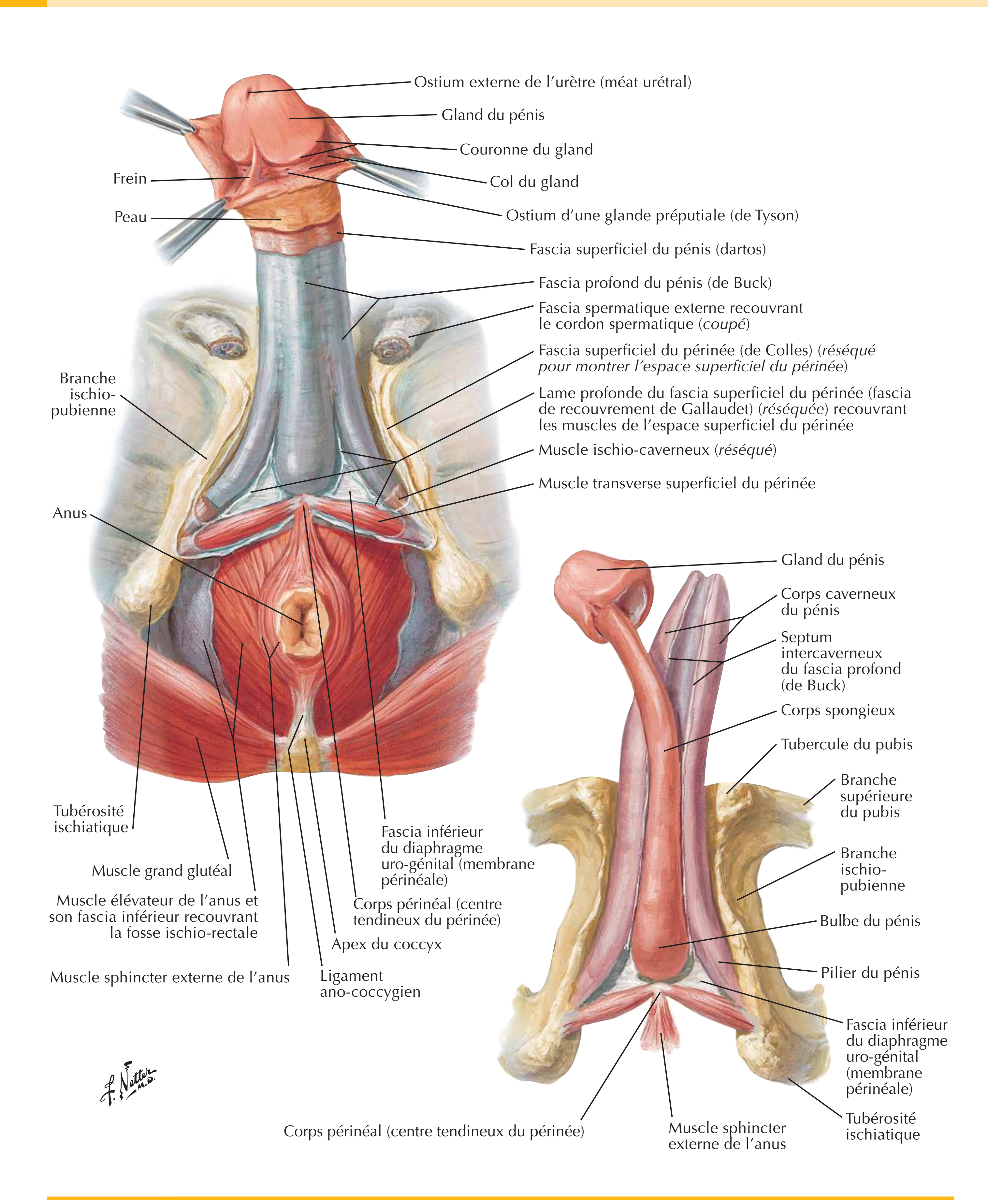
Voir aussi **Planches 378, 380, 383**

Peau
Fascia superficiel du pénis (dartos)
Aponévrose du muscle oblique externe
Lame profonde du tissu sous-cutané (de Scarpa) (*réséquée*)
Ligament inguinal (de Poupart)
Fascia profond du pénis (de Buck)
Anneau inguinal superficiel
Fascia spermatique externe recouvrant le cordon spermatique
Fascia lata (fascia profond) de la cuisse
Muscle bulbo-spongieux
Muscle ischio-caverneux recouvrant le pilier du pénis
Fascia superficiel du périnée (de Colles) (*réséqué pour montrer l'espace superficiel du périnée*)
Fascia inférieur du diaphragme uro-génital (membrane périnéale)
Lame profonde du fascia superficiel du périnée (fascia de recouvrement de Gallaudet) (*réséquée partiellement*) recouvrant les muscles de l'espace superficiel du périnée
Muscle transverse superficiel du périnée
Tubérosité ischiatique
Fascia superficiel du périnée (de Colles) (*bord coupé*)
Muscle élévateur de l'anus recouvrant la fosse ischio-rectale
Muscle sphincter externe de l'anus
Muscle grand glutéal

Peau
Veine dorsale superficielle
Artère et nerf dorsaux
Veine dorsale profonde
Veine superficielle latérale
Fascia superficiel du pénis (dartos)
Corps caverneux et albuginée
Fascia profond du pénis (de Buck)
Artère profonde
Septum intercaverneux du fascia profond
Corps spongieux et albuginée
Urètre

F. Netter M.D.

Coupe transversale du corps du pénis


Ostium externe de l'urètre (méat urétral)
Gland du pénis
Couronne du gland
Col du gland
Frein
Peau
Ostium d'une glande préputiale (de Tyson)
Fascia superficiel du pénis (dartos)
Fascia profond du pénis (de Buck)
Fascia spermatique externe recouvrant le cordon spermatique (*coupé*)
Fascia superficiel du périnée (de Colles) (*réséqué pour montrer l'espace superficiel du périnée*)
Lame profonde du fascia superficiel du périnée (fascia de recouvrement de Gallaudet) (*réséquée*) recouvrant les muscles de l'espace superficiel du périnée
Branche ischio-pubienne
Muscle ischio-caverneux (*réséqué*)
Muscle transverse superficiel du périnée
Anus
Tubérosité ischiatique
Muscle grand glutéal
Muscle élévateur de l'anus et son fascia inférieur recouvrant la fosse ischio-rectale
Muscle sphincter externe de l'anus
Fascia inférieur du diaphragme uro-génital (membrane périnéale)
Corps périnéal (centre tendineux du périnée)
Apex du coccyx
Ligament ano-coccygien
Gland du pénis
Corps caverneux du pénis
Septum intercaverneux du fascia profond (de Buck)
Corps spongieux
Tubercule du pubis
Branche supérieure du pubis
Branche ischio-pubienne
Bulbe du pénis
Pilier du pénis
Fascia inférieur du diaphragme uro-génital (membrane périnéale)
Tubérosité ischiatique
Corps périnéal (centre tendineux du périnée)
Muscle sphincter externe de l'anus
F. Netter M.D.

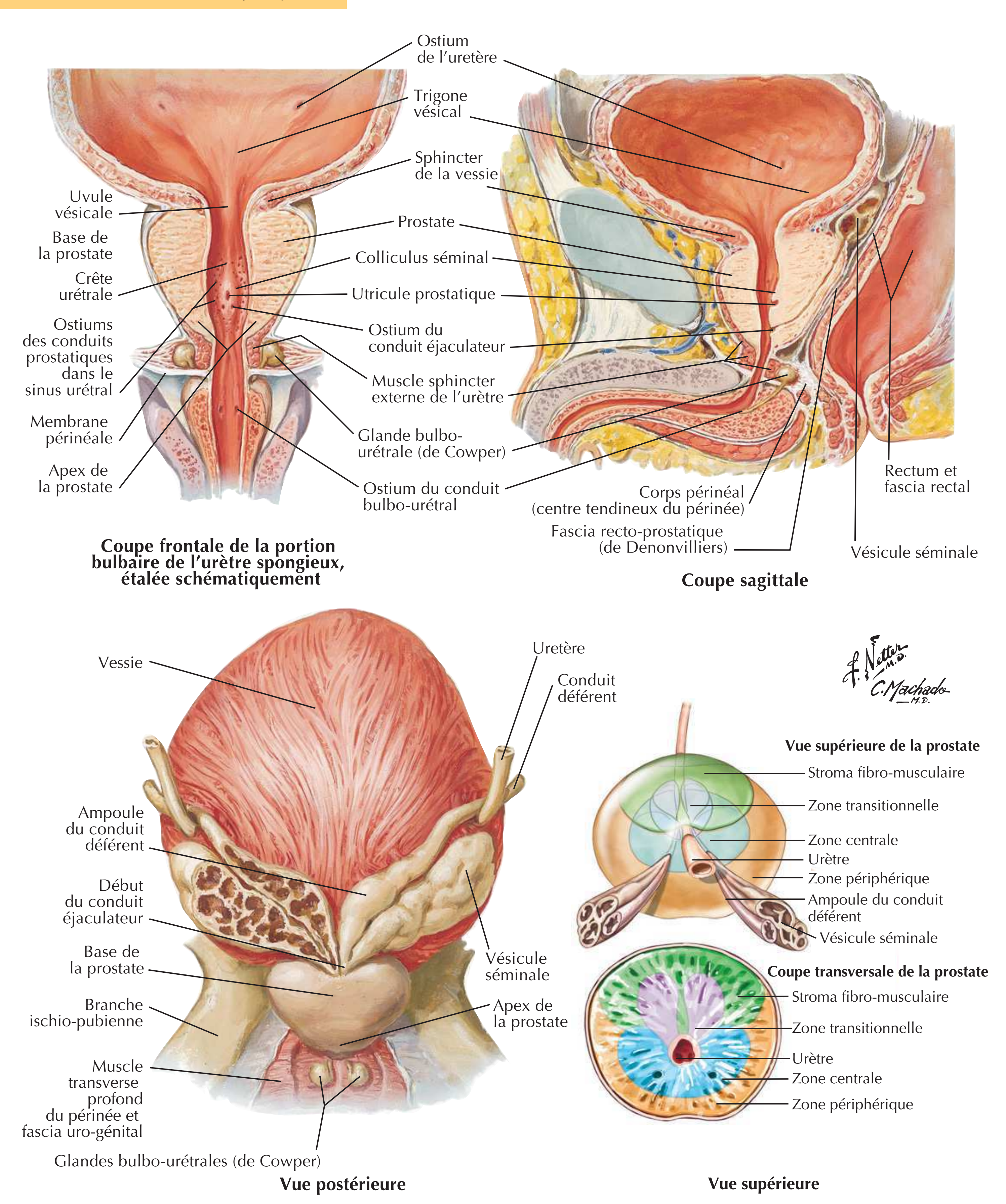


Vues inférieures

Coupe frontale du périnée et de l'urètre : schéma (vue antérieure)

Prostate et vésicules séminales

Voir aussi **Planches 344, 348, 381**





Sphincter de la vessie

Trigone vésical

Uvule vésicale

Prostate

Crête urétrale

Sinus prostatiques

Ostiums des conduits prostatiques

Urètre prostatique

Utricule prostatique

Partie membranacée de l'urètre

Muscle sphincter externe de l'urètre

Ostiums des conduits éjaculateurs

Bulbe du pénis

Pilier du pénis

Glande bulbo-urétrale (de Cowper)

Partie bulbaire

Ostiums des conduits bulbo-urétraux

Corps caverneux

Albuginée

Corps spongieux

Albuginée

Artère profonde du pénis

Urètre spongieux

Septum intercaverneux du fascia profond (de Buck)

Partie libre (pénienne)

Lacunes urétrales (de Morgagni) et glandes urétrales (de Littré)

Grande lacune (inconstante)

Fosse naviculaire

Gland du pénis

Ostium externe de l'urètre (méat urétral)

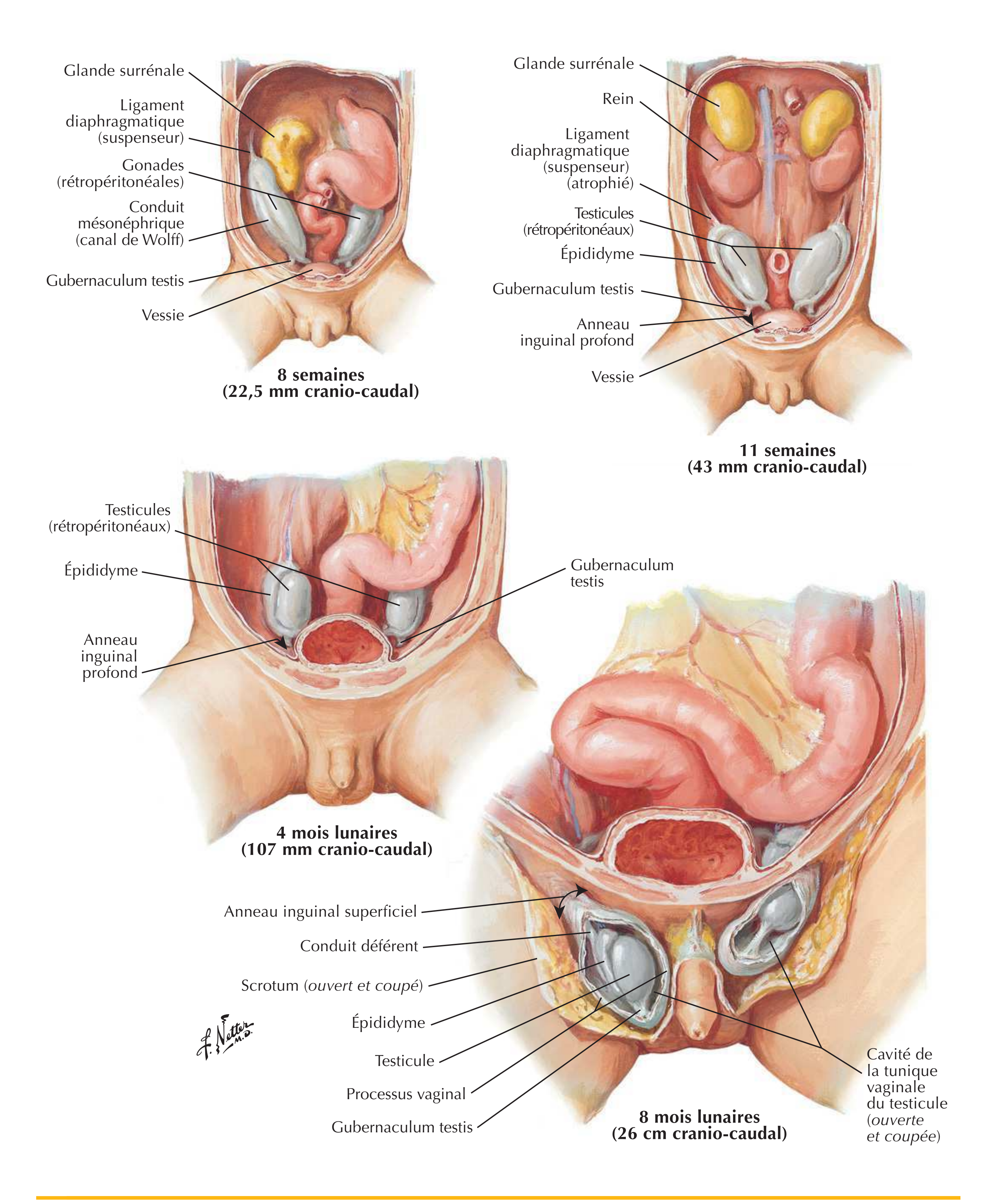
F. Netter M.D.

C. Machado M.D.

Plafond de l'urètre

Plancher de l'urètre

Descente des testicules





Voir aussi **Planches 321, 344**

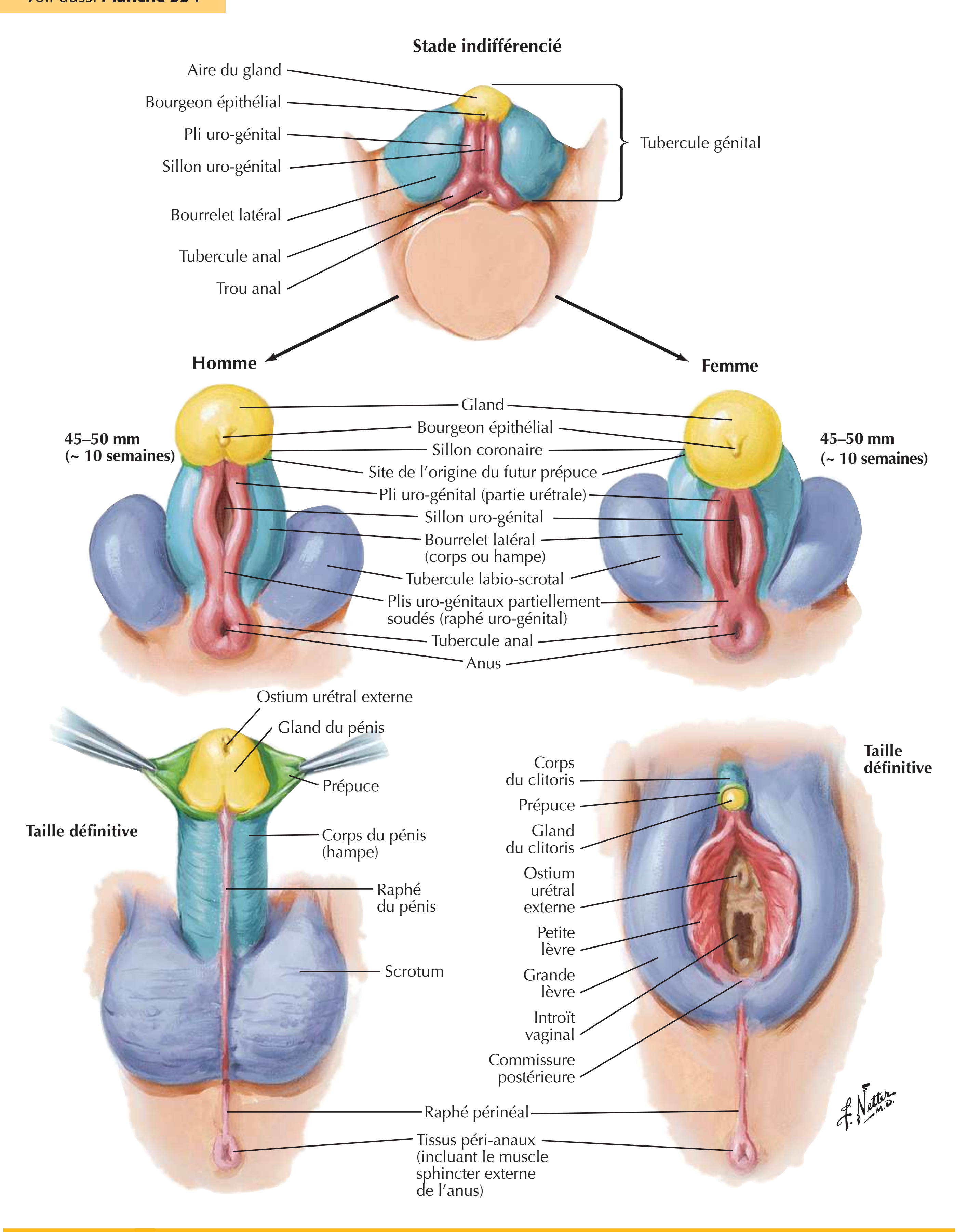
Peau du pénis
Fascia superficiel du pénis (dartos)
Fascia profond du pénis (de Buck)
Artère testiculaire
Conduit déférent
Artère du conduit déférent
Rameau génital du nerf génito-fémoral
Plexus veineux pampiniforme
Épididyme (tête)
Appendice épididymaire
Appendice du testicule
Testicule (recouvert de la lame viscérale de la vaginale)
Lame pariétale de la vaginale du testicule

Anneau inguinal superficiel
Fascia spermatique externe
Muscle crémaster et fascia crémastérique
Septum scrotal (formé par le fascia superficiel du scrotum)
Fascia superficiel du scrotum (dartos)
Peau du scrotum

Fascia superficiel du scrotum (dartos)
Fascia spermatique externe
Muscle crémaster et fascia crémastérique
Fascia spermatique interne
Lame pariétale de la vaginale
Épididyme (corps)
Testicule (recouvert de la lame viscérale de la vaginale)
Peau du scrotum

Homologies des organes génitaux externes

Voir aussi **Planche 354**





Ligament diaphragmatique
(ligament suspenseur de l'ovaire)

Conduit para-mésonéphrique
(de Müller)

Gonade

Tubules mésonéphriques

Conduit mésonéphrique (de Wolff)

Cordon génital

Pli inguinal

Sinus uro-génital

Ébauche de la prostate (♂)
ou des glandes para-urétrales (de Skène) (♀)

Ébauches des glandes bulbo-urétrales
(de Cowper) (♂) ou vestibulaires majeures
(de Bartholin) (♀)

Stade indifférencié

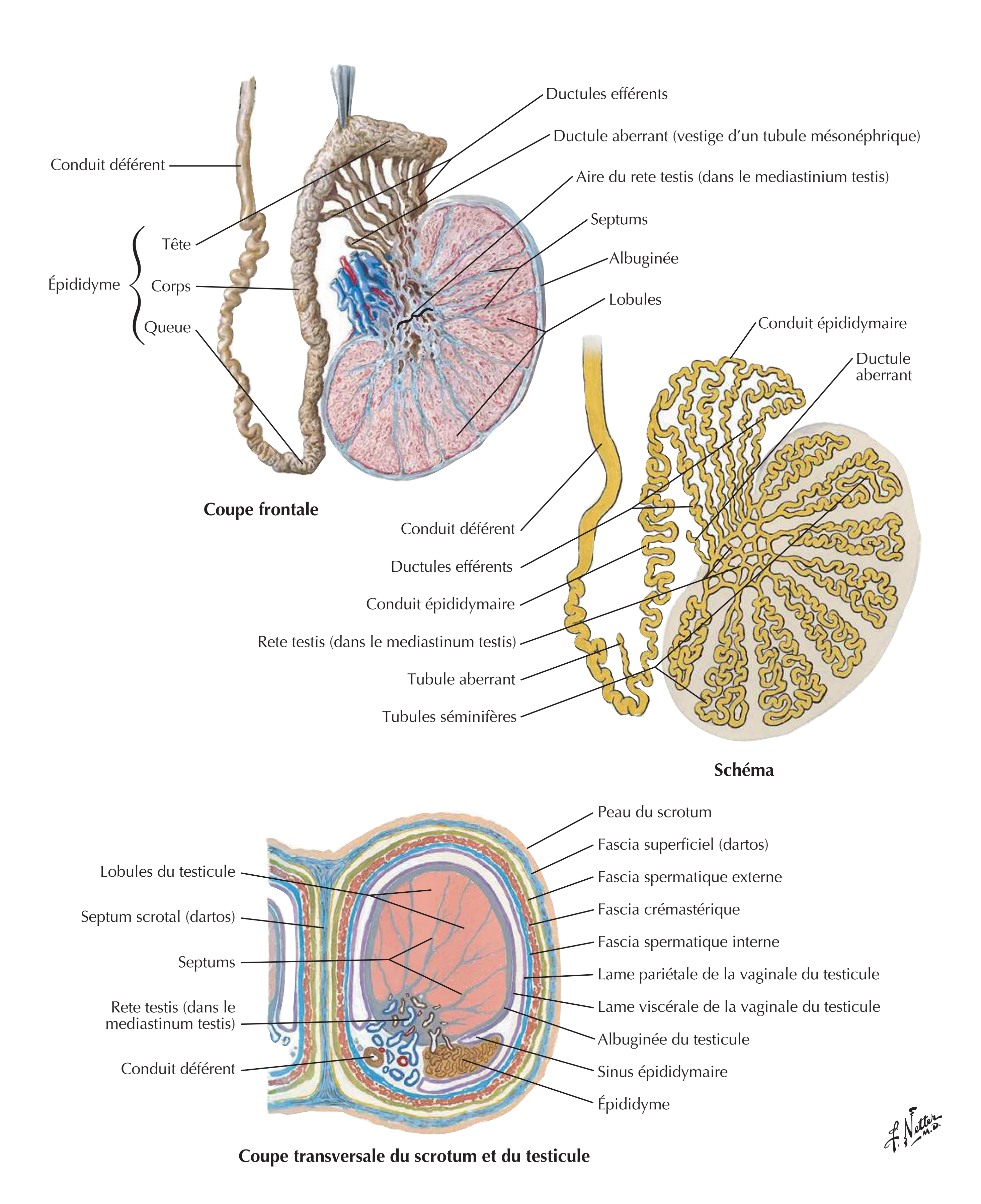
Homme

Femme

Vésicule séminale
Conduit déférent
Utricule prostatique
Prostate
Ostium du
conduit éjaculateur
Glande bulbo-
urétrale (de Cowper)
Appendice épididymaire
Épididyme
Ductules efférents
Appendice testiculaire
Testicule
Paradidyme
Ligament scrotal
(gubernaculum)

Trompe utérine (de Fallope)
Ligament large
Conduit mésonéphrique
crânial (de Gartner)
Époophoron (tubules
mésonéphriques crâniaux)
Paroophoron (tubules
mésonéphriques caudaux)
Appendice vésiculeux
Ligament suspenseur
de l'ovaire
Ligament propre de l'ovaire
Ovaire
Utérus
Ligament rond de l'utérus
Vagin ($^{4}/_{5}$ supérieurs)
Vestiges du conduit
mésonéphrique
Vagin ($^{1}/_{5}$ inférieur)
Urètre
Glandes para-urétrales (de Skène)
Glande vestibulaire
majeure (de Bartholin)
Vestibule

Testicule, épididyme et conduit déférent





Rectum *in situ* : homme et femme

Homme

Côlon sigmoïde
Mésocôlon sigmoïde
Charnière recto-sigmoïdienne
Réflexion péritonéale
Cul-de-sac recto-vésical
Rectum et fascia rectal
Muscle élévateur de l'anus (diaphragme pelvien)
Coccyx
Partie pubo-rectale du muscle élévateur de l'anus
Muscle sphincter externe de l'anus* { Profond / Superficiel / Sous-cutané

Ténia libre
Conduit déférent (*coupé*)
Uretère (*coupé*)
Vessie
Vésicule séminale
Fascia recto-vésical (de Denonvilliers)
Prostate
Muscle ischio-caverneux et lame profonde du fascia superficiel du périnée (fascia de recouvrement de Gallaudet) (*fascia partiellement réséqué*)
Muscle transverse profond du périnée et membrane périnéale
Muscle transverse superficiel du périnée et lame profonde du fascia superficiel du périnée
Fascia superficiel du périnée (de Colles)
Corps périnéal (centre tendineux du périnée)

Femme

Mésocôlon sigmoïde
Charnière recto-sigmoïdienne
Réflexion péritonéale
Fascia rectal et rectum
Cul-de-sac recto-utérin (de Douglas)
Coccyx
Muscle élévateur de l'anus (diaphragme pelvien)
Partie pubo-rectale du muscle élévateur de l'anus
Muscle sphincter externe de l'anus*
Profond
Superficiel
Sous-cutané

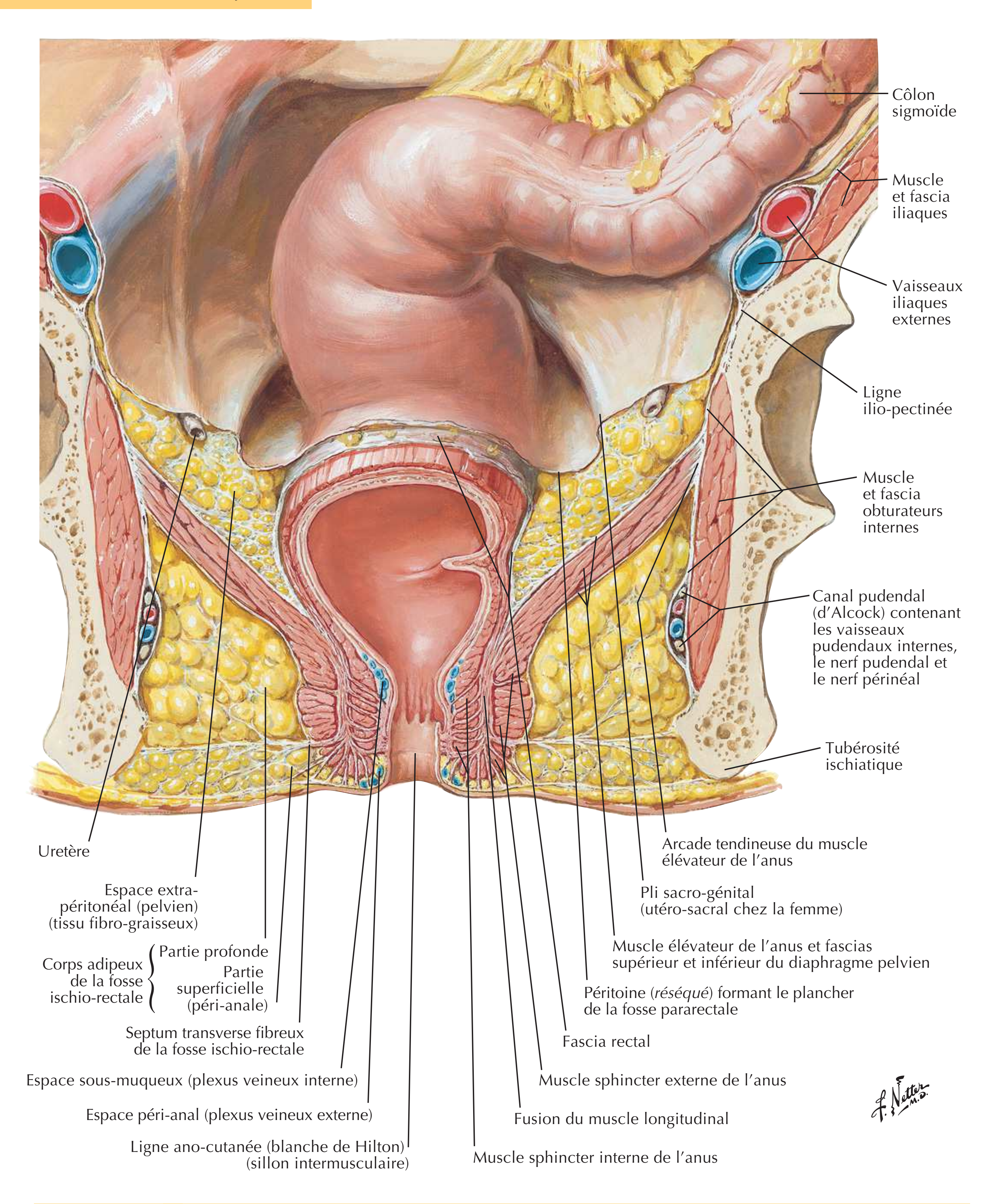
Côlon sigmoïde
Ténia libre
Utérus
Cul-de-sac vésico-utérin
Uretère (*coupé*)
Vagin et fascia vaginal
Vessie et fascia vésical
Muscle ischio-caverneux et lame profonde du fascia superficiel du périnée (fascia de recouvrement de Gallaudet)
Muscle transverse profond du périnée et membrane périnéale
Fascia superficiel du périnée (de Colles)
Muscle transverse superficiel du périnée et lame profonde du fascia superficiel du périnée (fascia de recouvrement de Gallaudet)
Corps périnéal (centre tendineux du périnée)

F. Netter M.D.

*Parties variables et souvent indistinctes

Fosse ischio-rectale

Voir aussi **Planches 296, 388**



Côlon sigmoïde

15–17 cm

Jonction recto-sigmoïdienne

11–13 cm

Supérieur
Moyen
Inférieur

Plis transverses
du rectum
(valves de Houston)

8–9 cm

Réflexion péritonéale

Fascia rectal
Couche musculaire longitudinale
Couche musculaire circulaire
Muscularis mucosae
Muscle élévateur de l'anus

5–6 cm

Ligne ano-rectale
Colonnes anales (de Morgagni)
Sinus anal
Ligne pectinée (dentelée)
Plexus veineux interne du
rectum dans l'espace sous-muqueux
Partie profonde* du muscle
sphincter externe

4–5 cm

Canal anal chirurgical

Fusion du muscle longitudinal
Muscle sphincter interne

2,5–3 cm

Canal anal
anatomique

Valvule anale
Crypte anale
Partie superficielle* du muscle
sphincter superficiel
Glandes anales

0,5–1 cm

Septum transverse fibreux
Muscularis mucosae du canal anal
Espace péri-anal
Partie sous-cutanée* du muscle sphincter externe
Muscle corrugateur de la marge de l'anus
Plexus veineux externe du rectum dans l'espace péri-anal

Glandes sudoripares et
poils de la peau péri-anale

Marge
de l'anus

Pecten anal

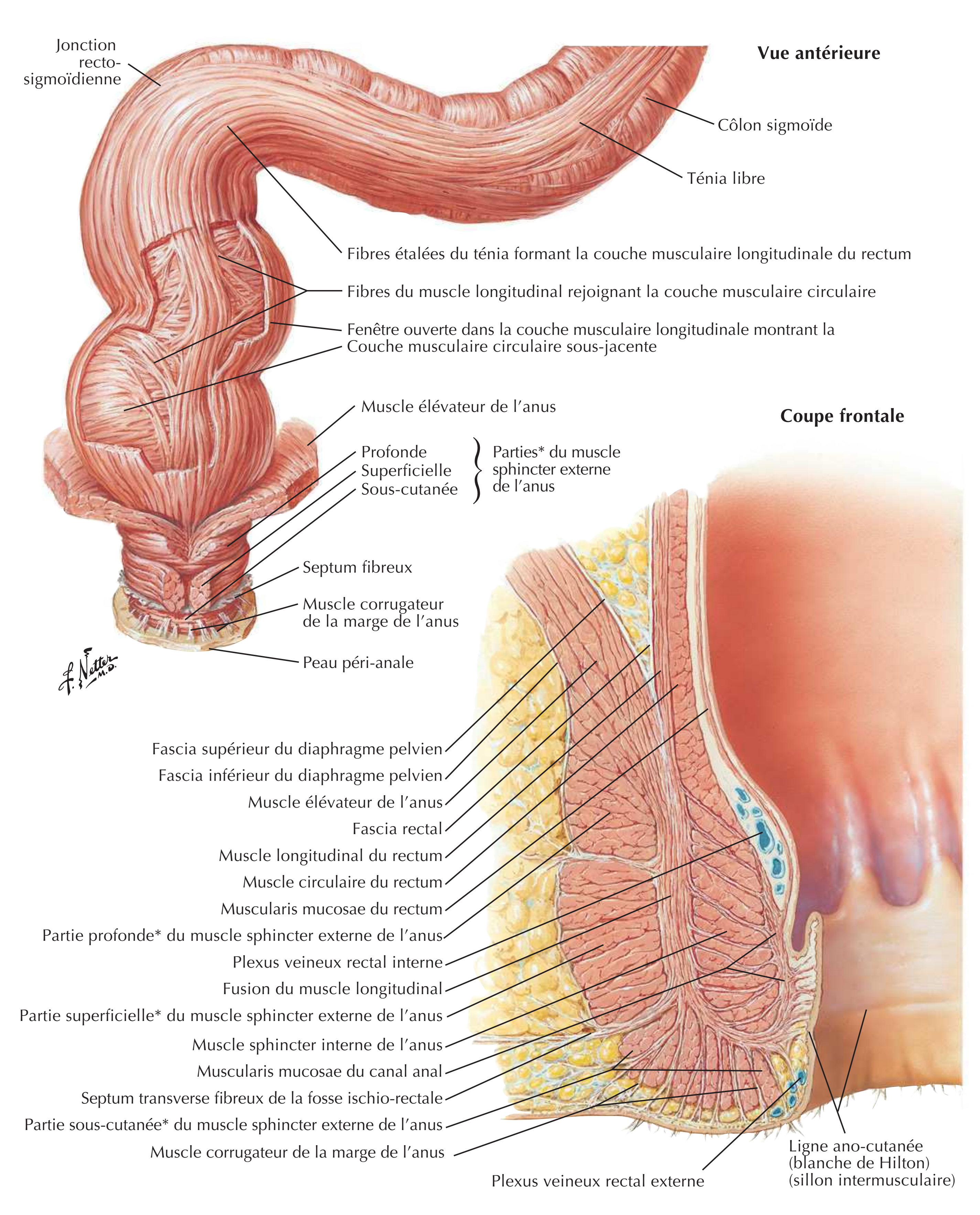
Zone ano-dermique

Ligne ano-cutanée (ligne blanche de Hilton)
(sillon intermusculaire)

F. Netter M.D.

* Parties variables et souvent indistinctes

Musculeuse ano-rectale



*Parties variables et souvent indistinctes



Muscle sphincter externe de l’anus : vues périnéales

Voir aussi **Planches 356, 359**

Homme

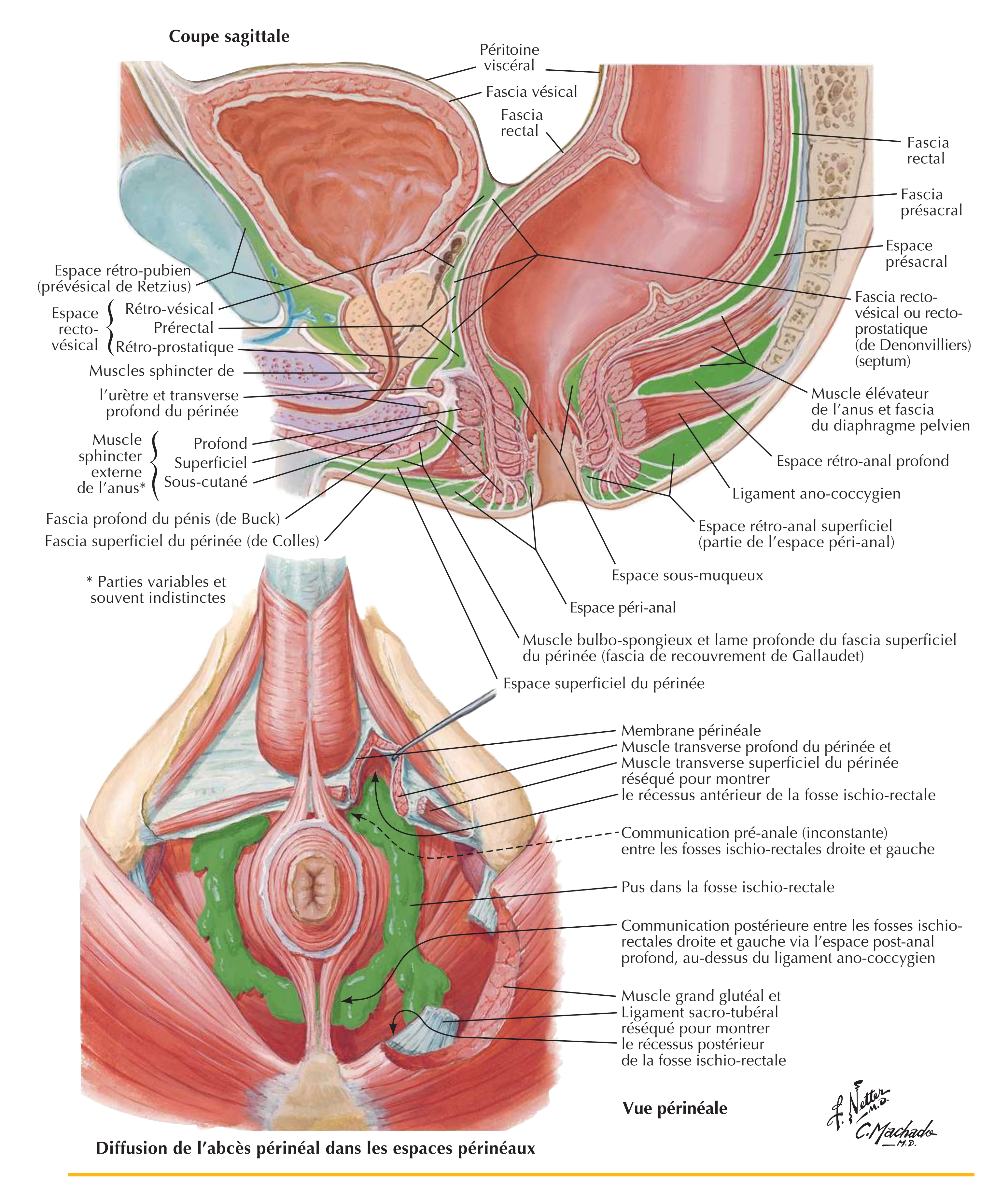
Fascia superficiel du scrotum (dartos)
Septum scrotal
Fascia profond du pénis (de Buck)
Muscle bulbo-spongieux avec la lame profonde du fascia superficiel du périnée (fascia de recouvrement de Gallaudet) (*réséqué*)
Muscle ischio-caverneux avec la lame profonde du fascia superficiel du périnée (fascia de recouvrement de Gallaudet) (*réséqué*)
Membrane périnéale
Corps périnéal (centre tendineux du périnée)
Muscle transverse superficiel du périnée avec la lame profonde du fascia superficiel du périnée (fascia de recouvrement de Gallaudet) (*fascia réséqué*)
Parties* du muscle sphincter externe de l’anus : Sous-cutanée, Superficielle, Profonde
Fascia superficiel du périnée (de Colles) (*coupé*)
Septum fibreux transverse de la fosse ischio-rectale (*coupé*)
Tubérosité ischiatique
Ligament sacro-tubéral
Muscle élévateur de l’anus : Pubo-coccygien, Pubo-rectal, Ilio-coccygien
Ligament ano-coccygien (extensions postérieures du muscle sphincter externe superficiel de l’anus)
Muscle grand glutéal
Apex coccygien

Femme

Clitoris
Ostium urétral externe
Vagin
Branche ischio-pubienne
Anus
Fascia superficiel du périnée (de Colles) (*coupé*)
Muscle ischio-caverneux avec la lame profonde du fascia superficiel du périnée (fascia de recouvrement de Gallaudet) (*fascia réséqué*)
Muscle bulbo-spongieux avec la lame profonde du fascia superficiel du périnée (fascia de recouvrement de Gallaudet (*fascia réséqué*)
Fibres issues du muscle sphincter externe superficiel de l’anus vers la branche ischio-pubienne
Membrane périnéale
Muscle transverse superficiel du périnée avec la lame profonde du fascia superficiel du périnée (fascia de recouvrement de Gallaudet (*fascia réséqué*)
Fascia superficiel du périnée (de Colles) (*coupé*)
Corps périnéal (centre tendineux du périnée)
Fibres croisées des sphincters superficiel et profond avec le muscle transverse superficiel du périnée
Parties* du muscle sphincter externe de l’anus : Profonde, Superficielle, Sous-cutanée
Muscle élévateur de l’anus : Pubo-coccygien, Pubo-rectal, Ilio-coccygien
Ligament ano-coccygien (extensions postérieures du muscle sphincter externe superficiel de l’anus)

F. Netter M.D.

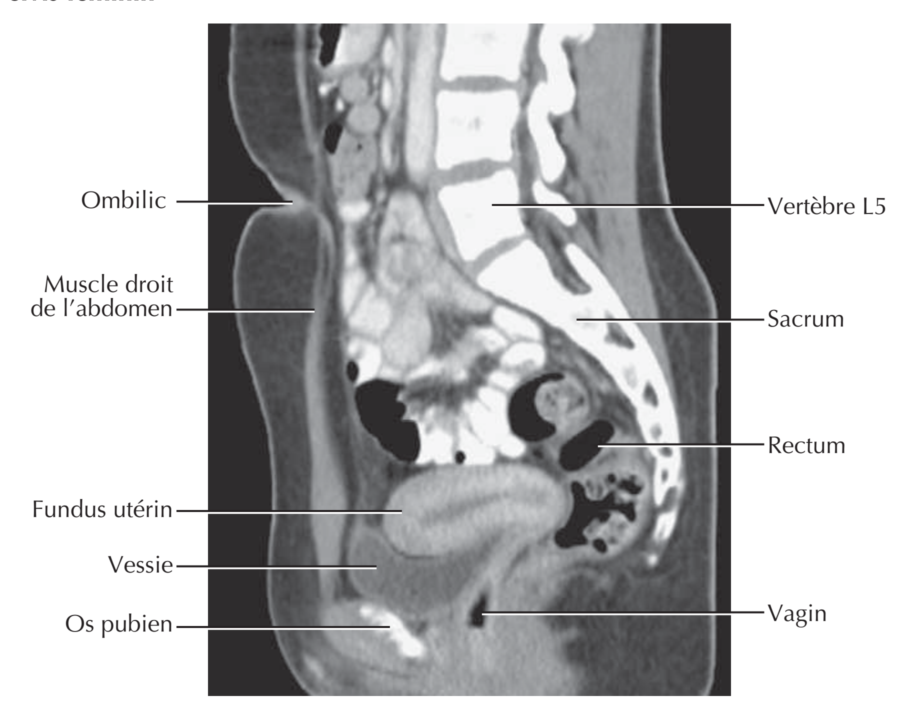
*Parties variables et souvent indistinctes



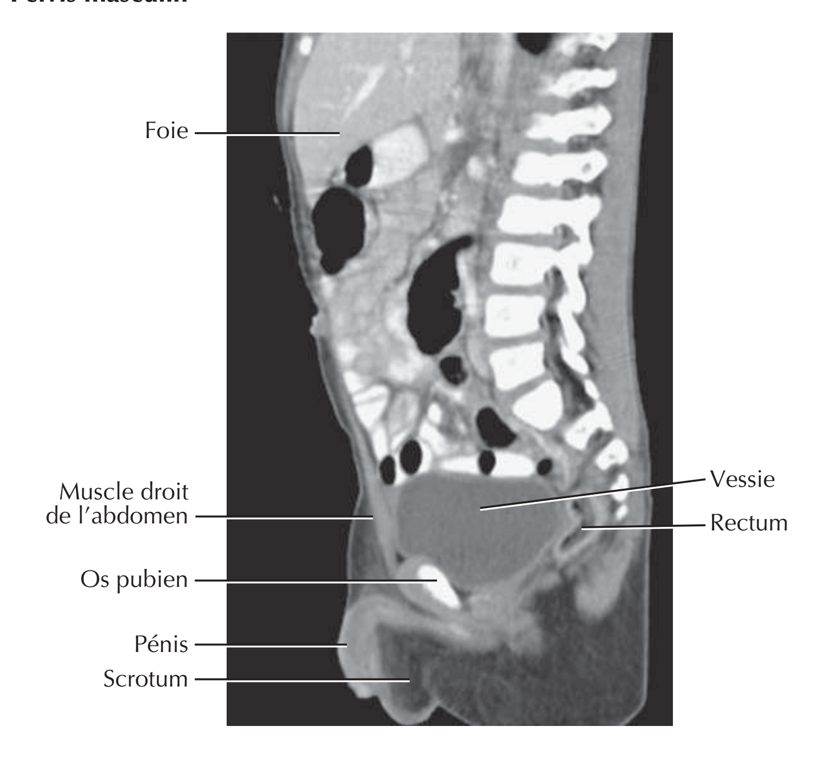
Diffusion de l'abcès périnéal dans les espaces périnéaux



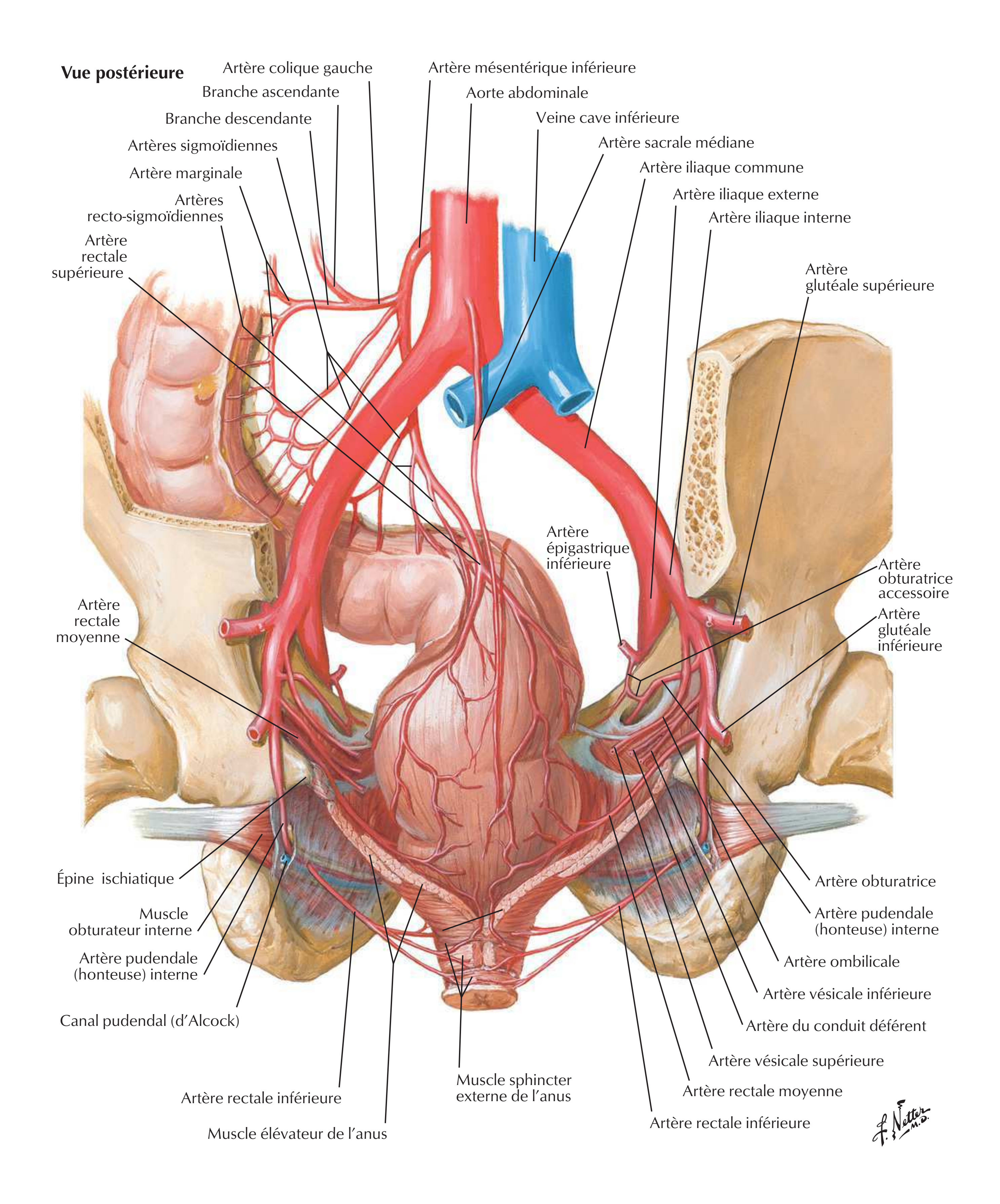
Pelvis féminin



Pelvis masculin



Artères du rectum et du canal anal (homme)

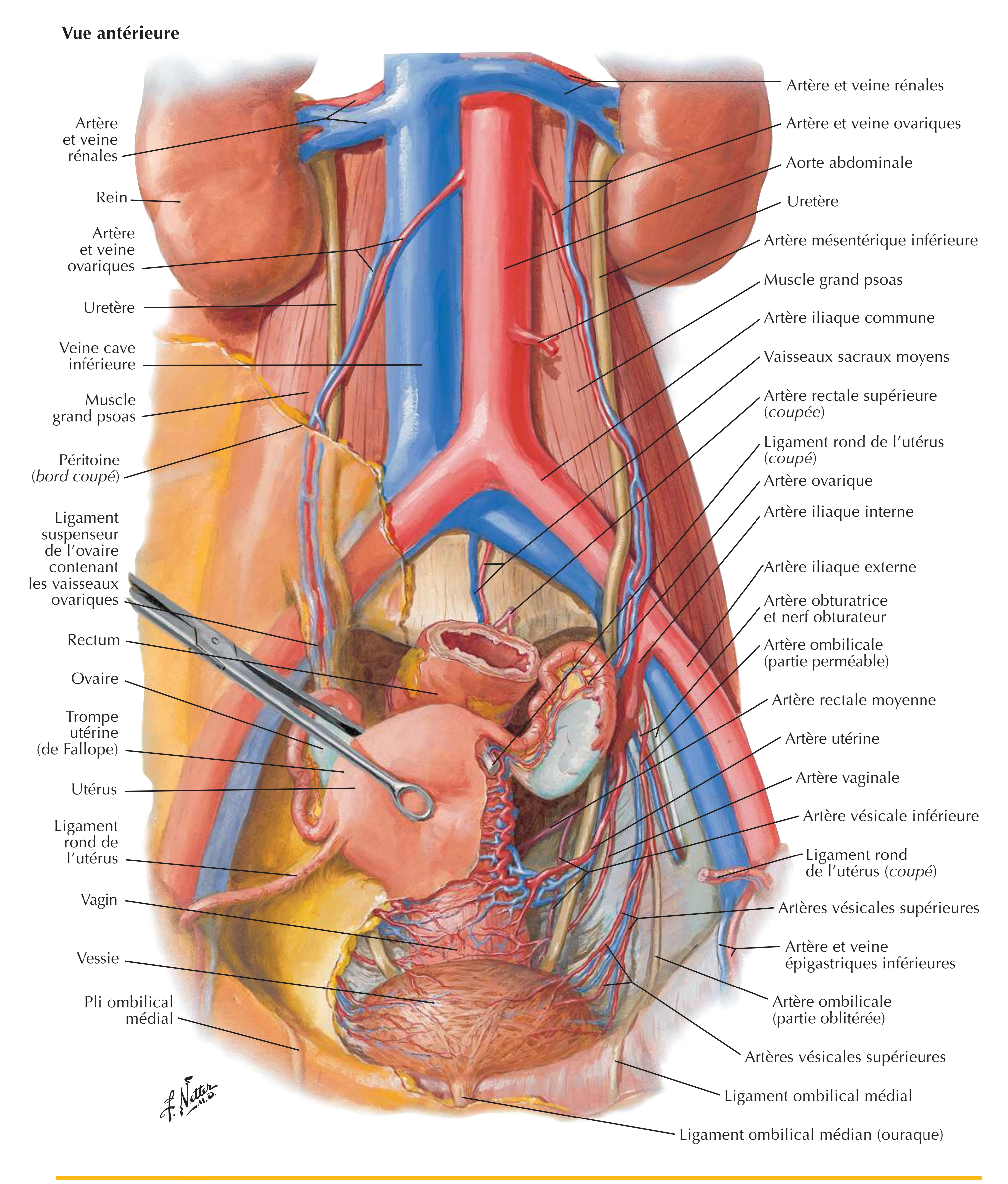


Veines du rectum et du canal anal (femme)

Vue antérieure

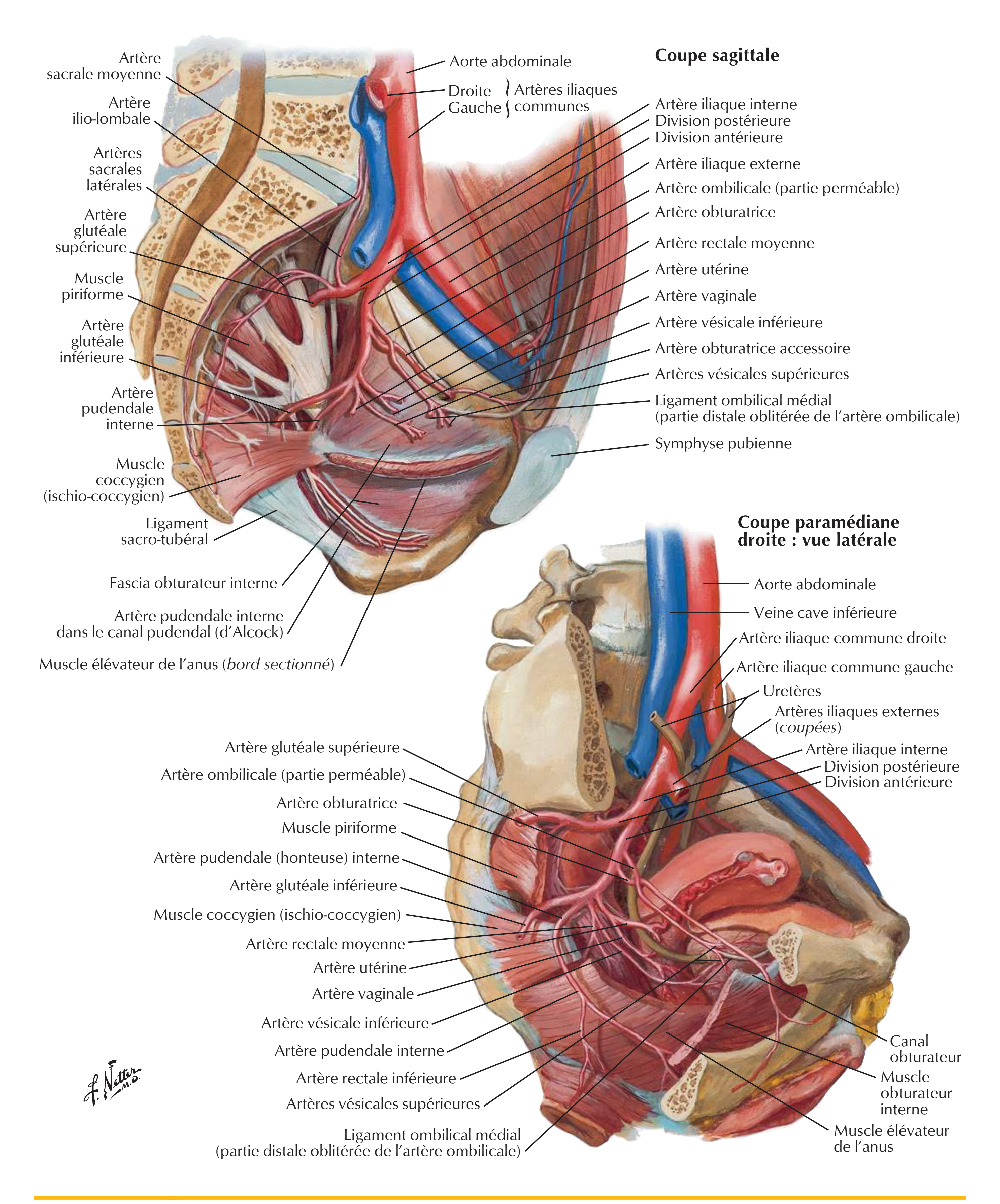
Artères et veines des organes pelviens (femme)

Vue antérieure



Vue antérieure

Artères et veines pelviennes (femme)





Artères et veines pelviennes (homme)

Coupe sagittale paramédiane gauche : vue latérale

Veine cave inférieure
Vaisseaux obturateurs droits
Artère ombilicale droite (partie perméable)
Artère vésicale supérieure
Artère ombilicale (partie oblitérée)
Vaisseaux iliaques circonflexes profonds
Vaisseaux épigastriques inférieurs
Conduit déférent
Ligament ombilical médial
Ligament ombilical médian (ouraque)
Artère vésicale supérieure
Veine dorsale superficielle du pénis
Veine dorsale profonde et artère dorsale du pénis
Fascia profond du pénis (de Buck)
Artère testiculaire
Plexus veineux pampiniforme
Artère du conduit déférent
Plexus veineux rétro-pubien (prévésical)

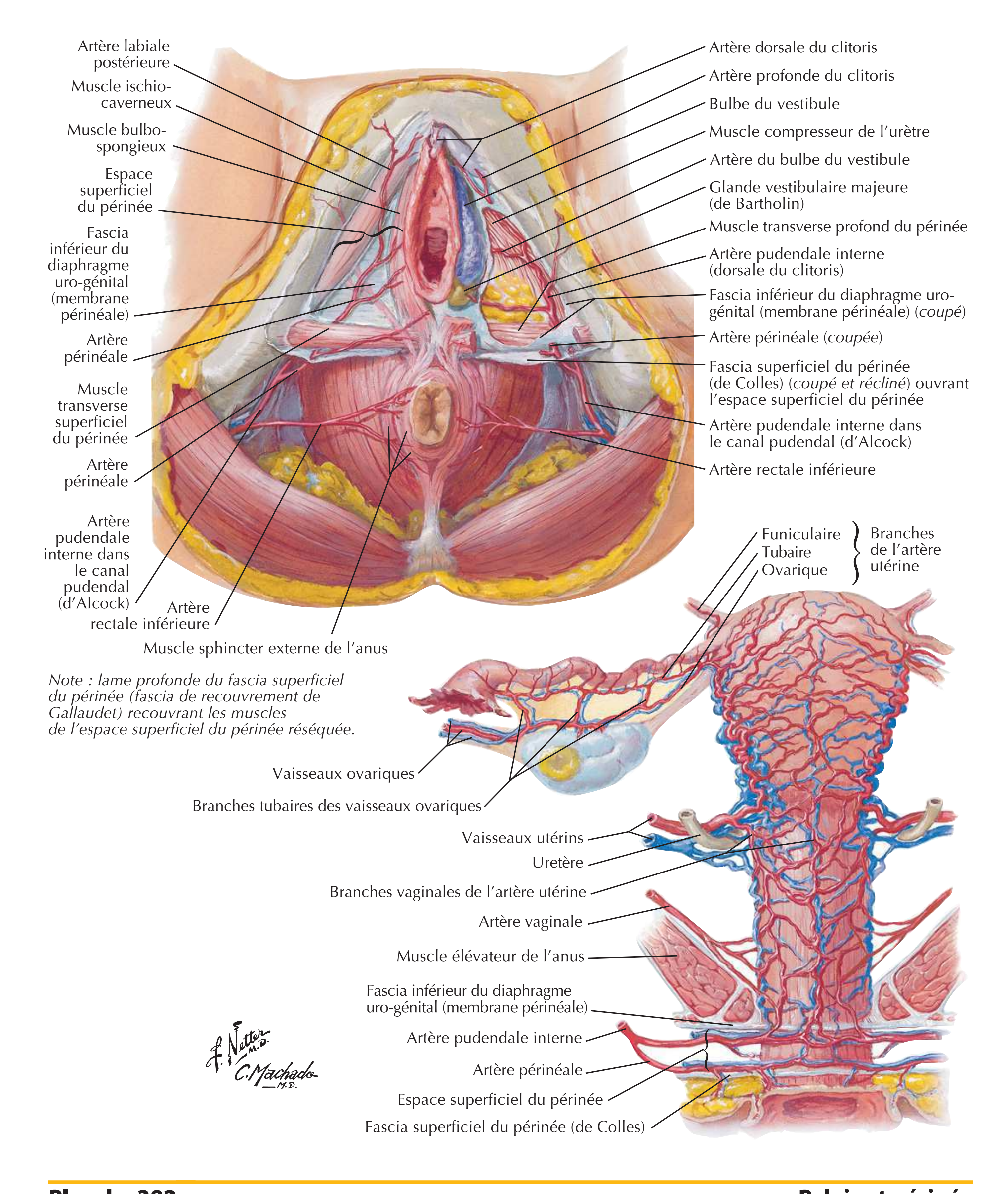
Aorte abdominale
Vaisseaux iliaques communs
Vaisseaux sacraux médians
Vaisseaux iliaques externes (*coupés*)
Vaisseaux iliaques internes
Artère ilio-lombale
Artère sacrale latérale
Artère glutéale supérieure
Artère obturatrice
Artère ombilicale
Uretère (*coupé*)
Artère glutéale inférieure
Artère vésicale inférieure
Artère rectale moyenne
Artère pudendale (honteuse) interne
Conduit déférent et son artère
Branches prostatiques de l'artère vésicale inférieure
Artère rectale inférieure
Plexus veineux prostatique
Muscle sphincter externe de l'urètre
Artère périnéale
Artère pudendale interne sur la face supérieure de la membrane périnéale
Artères scrotales postérieures

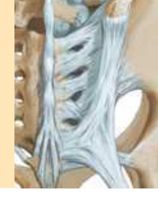
F. Netter M.D.
C. Machado M.D.

Artère vésicale inférieure
Branche prostatique
Branches urétrales
Branches capsulaires
Lobe moyen hyperplasié
Lobe latéral hyperplasié
Muscle sphincter externe de l'urètre

Vascularisation artérielle de la prostate
(hyperplasie bénigne du spécimen)

Artères et veines du périnée et de l'utérus





Artères et veines du périnée (homme)

Fascia spermatique externe sur le testicule et le cordon spermatique

Muscle bulbo-spongieux

Muscle ischio-caverneux

Fascia inférieur du diaphragme uro-génital (membrane périnéale)

Corps périnéal (centre tendineux du périnée)

Muscle transverse superficiel du périnée

Artère transverse du périnée

Fascia superficiel du périnée (de Colles) (*coupé*)

Canal pudendal (d'Alcock)

Fascia superficiel du scrotum (dartos)

Septum scrotal

Artères scrotales postérieures

Fascia profond du pénis (de Buck)

Fascia superficiel du périnée (de Colles) (*coupé*)

Espace superficiel du périnée (*ouvert*)

Artère et veine périnéales

Artère pudendale interne passant au-dessus de la membrane périnéale

Muscle transverse superficiel du périnée et artère transverse du périnée (*coupés et réclinés*)

Vaisseaux pudendaux internes et nerf pudendal (*coupé*) dans le canal pudendal (d'Alcock) (*ouvert*)

Artère rectale inférieure

Fascia inférieur du diaphragme pelvien (toit de la fosse ischio-rectale)

Note : lame profonde du fascia superficiel du périnée (fascia de recouvrement de Gallaudet) recouvrant les muscles de l'espace superficiel du périnée réséquée.

Artère profonde du pénis

Veine dorsale profonde du pénis

Artère et nerf dorsaux du pénis

Ligament transverse du périnée (épaississement antérieur de la membrane périnéale)

Artère profonde du pénis

Artère dorsale du pénis

Artère urétrale

Fascia inférieur du diaphragme uro-génital (membrane périnéale) (*coupé*)

Artère du bulbe du pénis

Artère pudendale interne

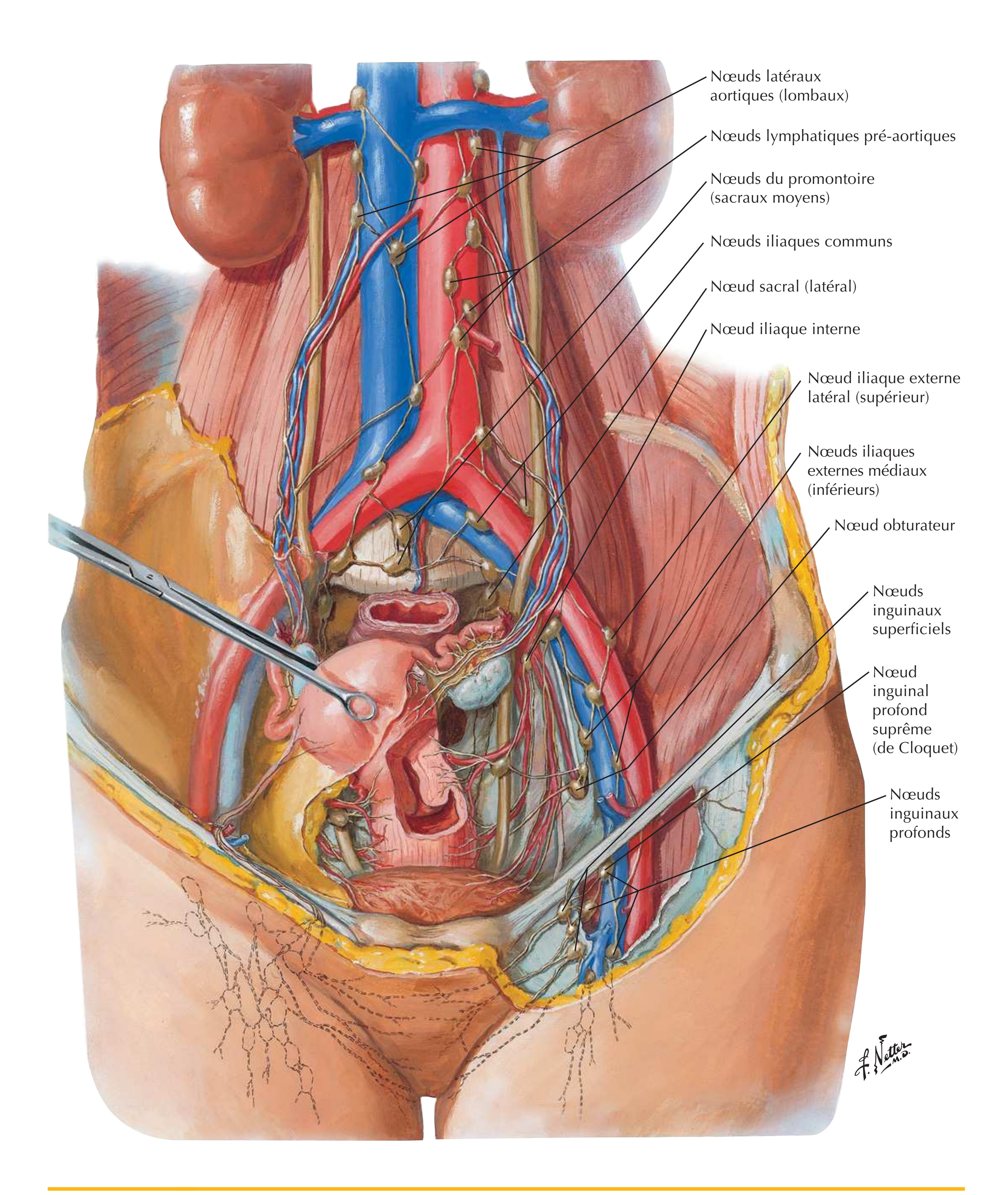
Artère périnéale (*coupée*)

Vaisseaux pudendaux internes dans le canal pudendal (d'Alcock)

Fascia superficiel du périnée (de Colles) (*coupé*)

F. Netter M.D.

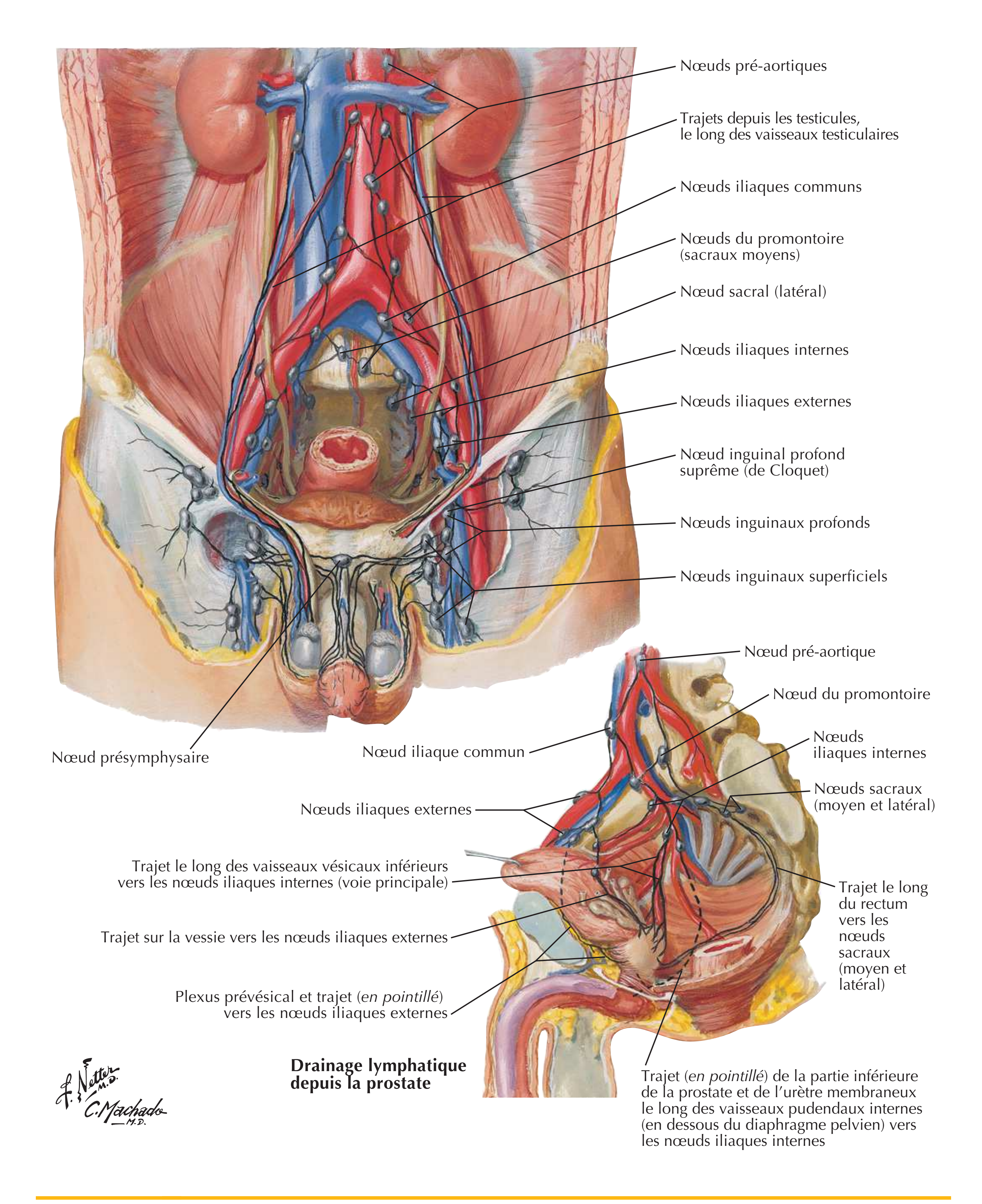
Vaisseaux et nœuds lymphatiques pelviens et des organes génitaux (femme)





Ligament inguinal (de Poupart)
Nœud inguinal profond suprême (de Cloquet)
Fascia lata (*réséqué*)
Vaisseaux et nerfs fémoraux
Nœuds inguinaux profonds
Nœuds inférieurs (groupe vertical)
Nœuds supéro-latéraux (groupe horizontal)
Nœuds supéro-médiaux (groupe horizontal)
Nœuds inguinaux superficiels
F. Netter M.D.

Vaisseaux et nœuds lymphatiques pelviens et des organes génitaux (homme)



Drainage lymphatique depuis la prostate



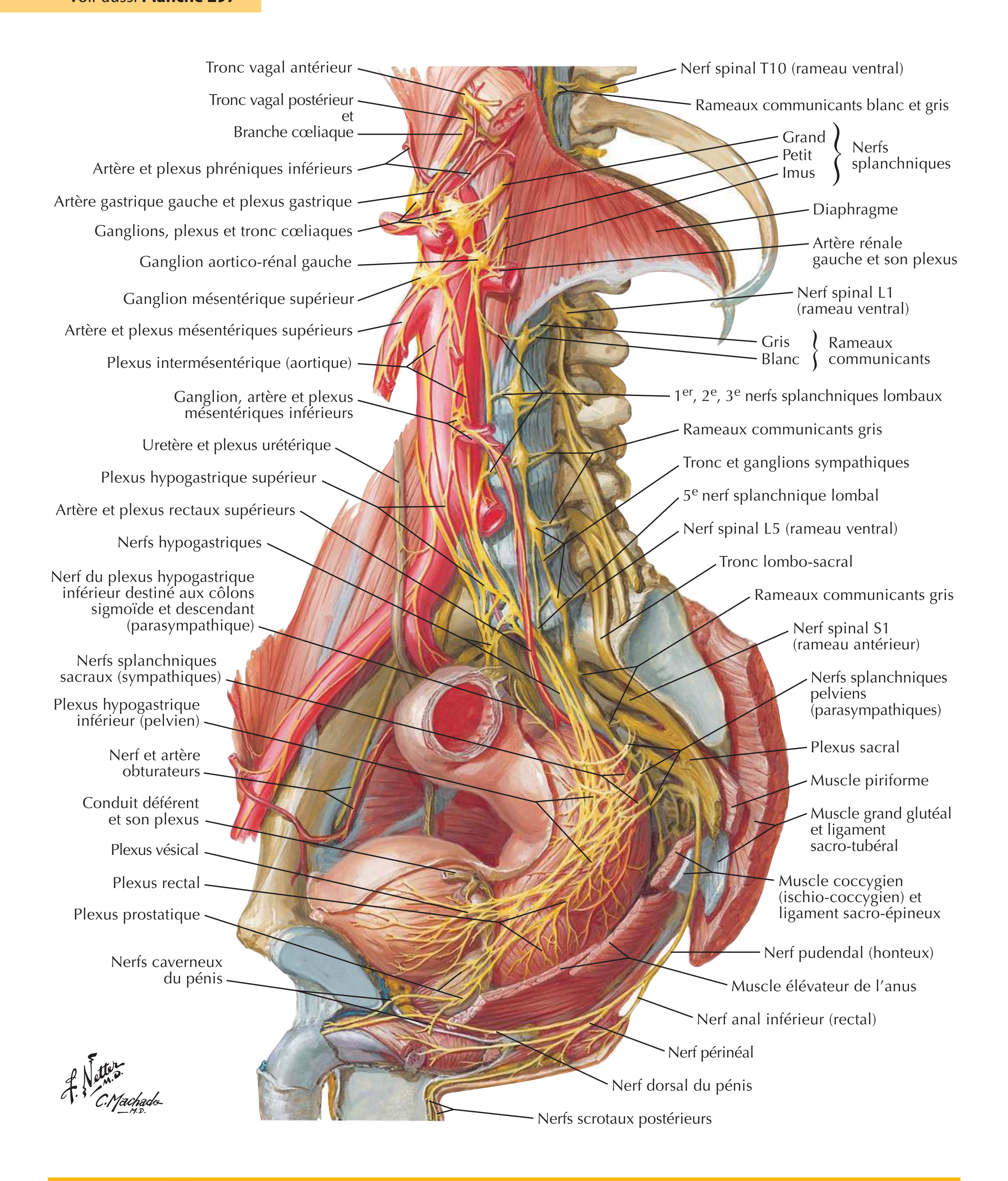
Nerfs des organes génitaux externes (homme)

Voir aussi **Planche 297**

Nerfs splanchniques
Grand
Petit
Imus
Nerf subcostal (T12)
Nerf ilio-hypogastrique
Nerf ilio-inguinal
Tronc et ganglions sympathiques
Nerf génito-fémoral
Nerf cutané latéral de la cuisse
Rameau fémoral et Rameau génital du nerf génito-fémoral
Nerf fémoral
Nerf cutané latéral de la cuisse
Rameaux fémoraux du nerf génito-fémoral
Rameaux cutanés antérieurs du nerf fémoral
Rameau cutané antérieur du nerf ilio-hypogastrique
Rameau génital du nerf génito-fémoral
Nerf scrotal antérieur (du nerf ilio-inguinal)
Ganglions cœliaques
Ganglion mésentérique supérieur
Ganglions aortico-rénaux
Nerfs splanchniques lombaux
Ganglion mésentérique inférieur
Artère et plexus testiculaires
Plexus hypogastrique supérieur
Nerfs hypogastriques
Plexus hypogastrique inférieur (pelvien)
Conduit et plexus déférents
Nerf fémoral
Artère et plexus testiculaires
Nerfs dorsaux du pénis
F. Netter M.D.

Nerfs des viscères pelviens (homme)

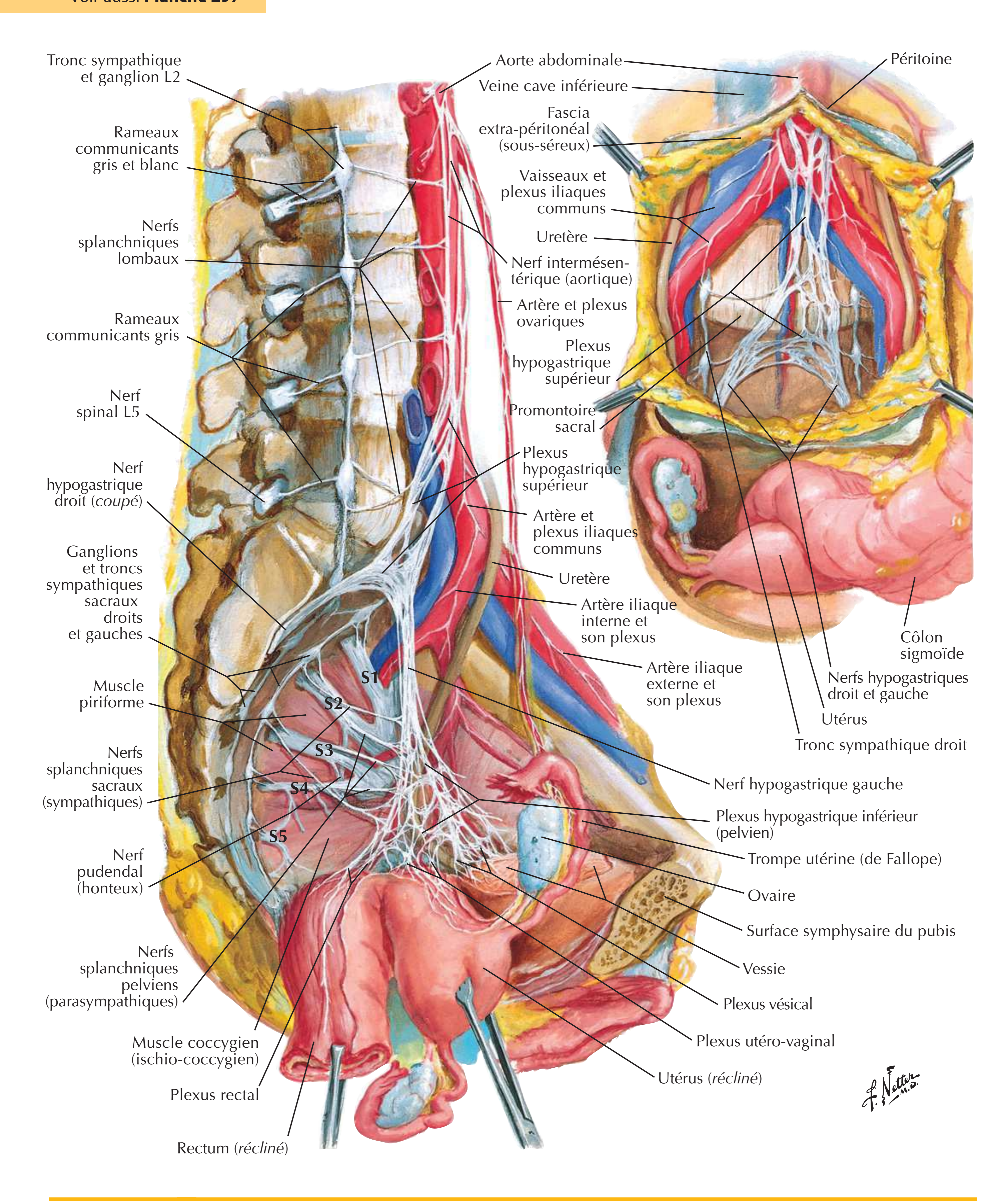
Voir aussi **Planche 297**



Voir aussi **Planche 394**

Nerfs des viscères pelviens (femme)

Voir aussi **Planche 297**



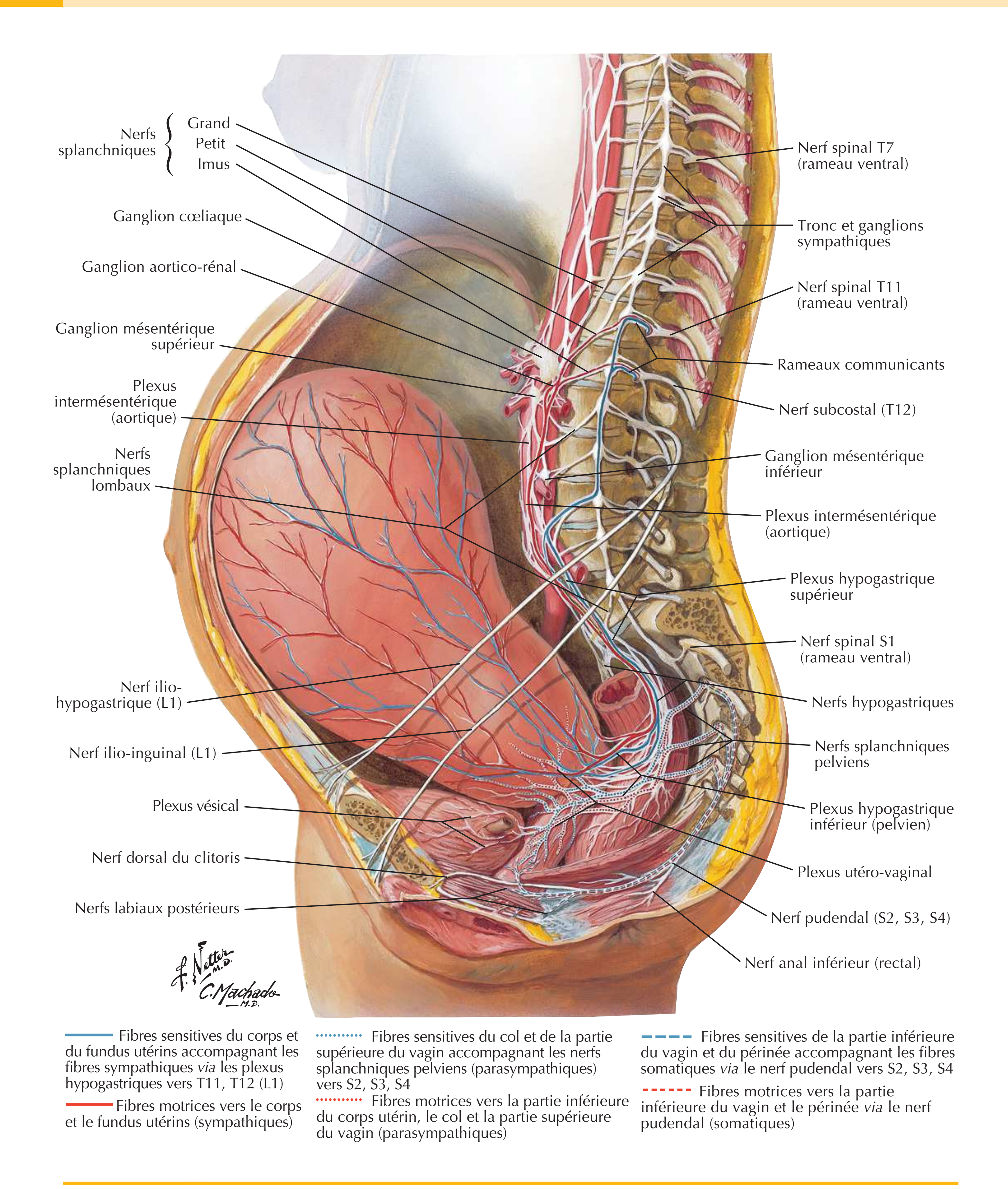


Nerfs du périnée et des organes génitaux externes (femme)

Nerf labial antérieur
(issu du nerf ilio-inguinal)
Nerf dorsal du clitoris
Nerfs labiaux postérieurs
Superficiel
Profond
Rameaux du nerf périnéal
Branche périnéale du nerf cutané postérieur de la cuisse
Nerf dorsal du clitoris passant au-dessus de la membrane périnéale
Nerf périnéal
Nerf pudendal dans le canal pudendal (d'Alcock) (*disséqué*)
Nerfs cluniaux inférieurs
Muscle grand glutéal (*réséqué*)
Ligament sacro-tubéral
Nerf perforant cutané
Nerfs anaux inférieurs (rectaux)
Nerfs ano-coccygiens

F. Netter M.D.

Voies nerveuses durant l'accouchement



Fibres sensitives du corps et du fundus utérins accompagnant les fibres sympathiques *via* les plexus hypogastriques vers T11, T12 (L1)

Fibres motrices vers le corps et le fundus utérins (sympathiques)

Fibres sensitives du col et de la partie supérieure du vagin accompagnant les nerfs splanchniques pelviens (parasympathiques) vers S2, S3, S4

Fibres motrices vers la partie inférieure du corps utérin, le col et la partie supérieure du vagin (parasympathiques)

Fibres sensitives de la partie inférieure du vagin et du périnée accompagnant les fibres somatiques *via* le nerf pudendal vers S2, S3, S4

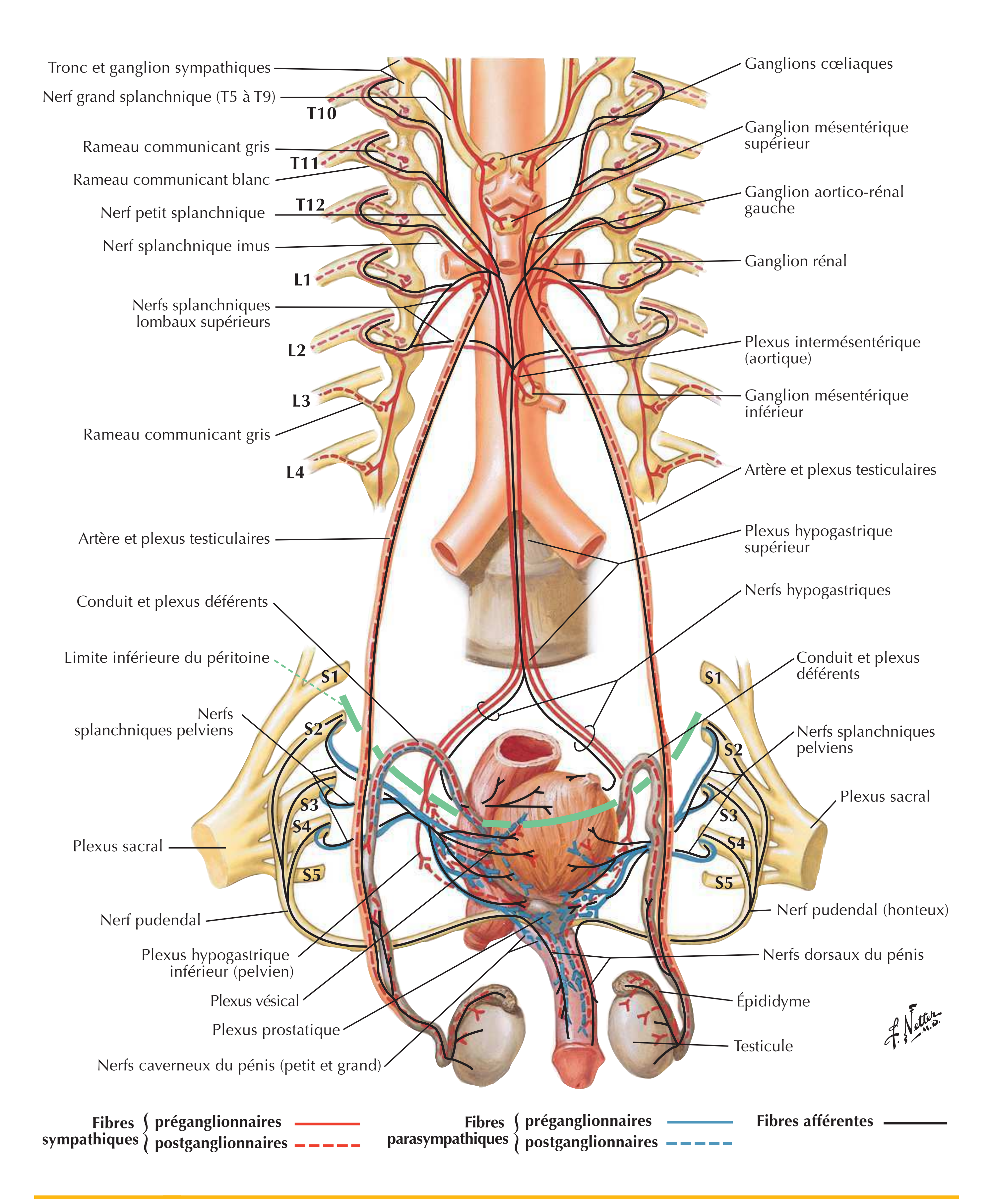
Fibres motrices vers la partie inférieure du vagin et le périnée *via* le nerf pudendal (somatiques)

Innervation des organes de la reproduction chez la femme : schéma



Note : la douleur provenant des viscères pelviens intra-péritonéaux (ex : contractions utérines) chemine via les plexus utéro-vaginal et pelvien, les nerfs hypogastriques, le plexus hypogastrique supérieur, le plexus aortique inférieur, les nerfs splanchniques lombaux inférieurs, le tronc sympathique de L4 à L5 vers les nerfs spinaux T11, T12. La douleur provenant des viscères pelviens sous-péritonéaux (ex : dilatation du col et de la partie supérieure du vagin) chemine via les nerfs splanchniques vers S2, S3, S4. Les influx afférents de la partie inférieure du vagin et du périnée cheminent via les nerfs pudendaux vers S2, S3, S4.

Innervation des organes de la reproduction chez l'homme : schéma





Innervation de la vessie et de l'uretère inférieur : schéma

Ganglion spinal sensitif (racine dorsale)
Racine dorsale (postérieure)
Racine ventrale (antérieure)
Blanc
Gris
Rameaux communicants
Ganglions cœliaques
Ganglion mésentérique supérieur
Ganglion aortico-rénal
Artère et plexus rénaux
L1
L2
Plexus intermésentérique (aortique)
Ganglion mésentérique inférieur
Partie lombale de la moelle spinale
Nerf spinal L2 (racine antérieure)
1er et 2e nerfs splanchniques lombaux
Plexus hypogastrique supérieur
Nerfs hypogastriques
Partie sacrale de la moelle spinale
Tronc sympathique
Uretère
Plexus hypogastrique inférieur (pelvien)
Fibres ascendantes
Fibres descendantes
Nerfs splanchniques sacraux issus du tronc sympathique sacral, destinés au plexus hypogastrique inférieur (pelvien)
Rameaux communicants gris
Vessie
S2
S3
S4
Nerf pudendal
Plexus sacral
Plexus vésical
Plexus prostatique
Nerfs splanchniques pelviens
Muscle sphincter externe de l'urètre au-dessus de la membrane périnéale
Muscle bulbo-spongieux

F. Netter M.D.
C. Machado M.D.

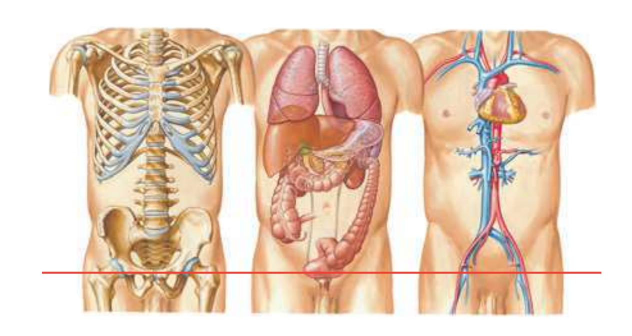
Fibres sympathiques { **préganglionnaires** — **postganglionnaires**

Fibres parasympathiques { **préganglionnaires** — **postganglionnaires**

Fibres efférentes somatiques

Fibres afférentes

Pelvis masculin : coupe transversale de la jonction vésico-prostatique



Partie supérieure de la symphyse pubienne

Intérieur de la vessie

Muscle long adducteur

Début de l'urètre

Corps du pubis

Cordon spermatique

Muscle pectiné

Prostate

Veine fémorale

Muscle psoas et son tendon

Artère fémorale

Muscle iliaque

Nerf fémoral

Tête du fémur

Muscle sartorius

Col du fémur

Muscle ilio-psoas

Muscle moyen glutéal

Muscle droit fémoral

Muscle tenseur du fascia lata

Muscle petit glutéal

Artère, veine et nerf obturateurs

Grand trochanter

Fosse acétabulaire

Muscle jumeau inférieur

Surface semi-lunaire (articulaire de l'acétabulum)

Nerf sciatique droit (ischiatique)

Nerf sciatique gauche (ischiatique)

Muscle grand glutéal

Muscle obturateur interne

Artère et veine pudendales internes (honteuses)

Ligament sacro-tubéral

Nerf pudendal (honteux)

Ouvertures des conduits éjaculateurs (dans l'urètre prostatique)

Corps adipeux de la fosse ischio-rectale

Muscle élévateur de l'anus (pubo-rectal)

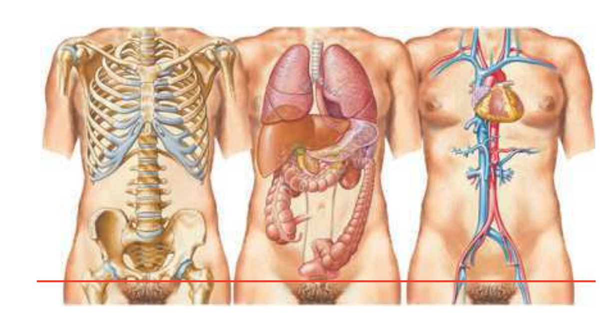
Angle périnéal (terminaison du rectum, début du canal anal)

Apex du coccyx

C.Machado M.D.



Pelvis féminin : coupe transversale du vagin-urètre



Symphyse pubienne

Os du pubis

Urètre

Muscle pectiné

Vagin

Muscle obturateur externe

Plexus veineux vaginal

Muscle ilio-psoas

Nœud lymphatique

Muscle sartorius

Grande veine saphène et veine fémorale

Muscle droit de la cuisse

Artère fémorale

Muscle tenseur du fascia lata

Nerf fémoral

Muscle vaste latéral

Artère fémorale profonde (artère profonde de la cuisse)

Col fémoral

Muscle moyen glutéal

Grand trochanter du fémur

Tissu adipeux

Nerf sciatique (ischiatique)

Muscle jumeau inférieur

Ischium

Muscle grand glutéal (grand fessier)

Muscle obturateur interne

Nerf pudendal et vaisseaux pudendaux internes

Muscle élévateur de l'anus (faisceau pubo-rectal)

Rectum

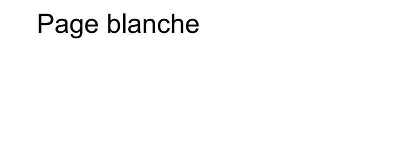
C.Machado M.D.

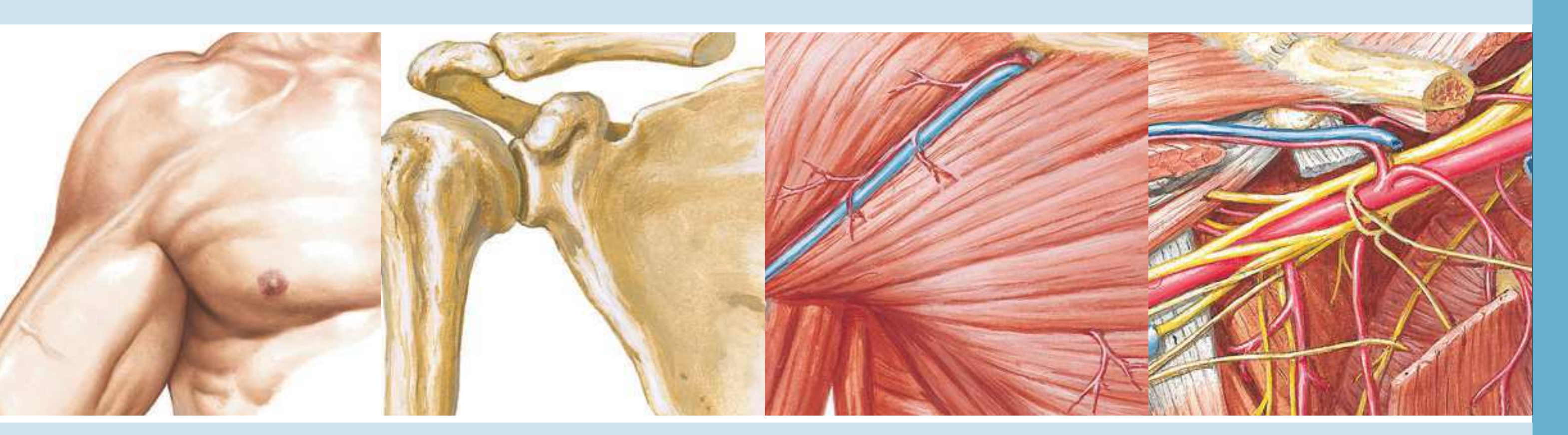
MUSCLE	INSERTION PROXIMALE (ORIGINE)	INSERTION DISTALE (TERMINAISON)	INNERVATION	ACTIONS PRINCIPALES	VASCULARISATION ARTÉRIELLE	GROUPE MUSCULAIRE
Bulbo-spongieux	Homme : raphé médian, bulbe du pénis, corps périnéal Femme : corps périnéal	Homme : membrane périnéale, corps caverneux, bulbe du pénis Femme : dos du clitoris, fascia inférieur du diaphragme uro-génital, bulbe du vestibule, arcade pubienne	Branche profonde du nerf périnéal issu du nerf pudendal	Homme : comprime le bulbe du pénis, maintient le sang dans le corps du pénis pendant l'érection, élimine l'urine de l'urètre en fin de miction et la semence durant l'éjaculation Femme : entraîne une constriction de l'orifice vaginal, contribue à l'excrétion des sécrétions des glandes vestibulaires majeurs, maintient le sang dans le clitoris	Artère pudendale interne et sa branche pour le périnée (artère périnéale)	Muscle du périnée
Coccygien (ischio-coccygien)	Épine ischiatique, ligament sacro-épineux	Partie inférieure du sacrum, coccyx	Rameaux ventraux des derniers nerfs spinaux sacraux	Soutient les viscères pelviens, attire le coccyx vers l'avant	Artère glutéale inférieure	Muscle du diaphragme pelvien
Compresseur de l'urètre (femme seulement)	Branche ischio-pubienne	Partie antérieure de l'urètre	Branches périnéales du nerf pudendal	Sphincter de l'urètre	Branche périnéale de l'artère pudendale interne	Muscle du périnée
Crémaster	Extrémité inférieure du muscle oblique interne et partie moyenne du ligament inguinal	Tubercule pubien, crête pubienne (après avoir encorbellé le testicule)	Branche génitale du nerf génito-fémoral	Rétracte le testicule	Branche crémastérique de l'artère épigastrique inférieure	Muscle du cordon spermatique
Élévateur de l'anus	Corps du pubis, arcade tendineuse du fascia obturateur, épine ischiatique	Corps périnéal, coccyx, raphé ano-coccygien, parois de la prostate ou du vagin, rectum, canal anal	Rameaux ventraux des derniers nerfs sacraux, nerf périnéal	Soutient les viscères pelviens, appartient au diaphragme pelvien	Artère glutéale inférieure, artère pudendale interne et ses branches (artères rectale inférieure et périnéale)	Muscle du diaphragme pelvien
Iliaque	Deux tiers supérieurs de la fosse iliaque, aile du sacrum et ligaments sacro-iliaques antérieurs	Petit trochanter du fémur et diaphyse sous-jacente, tendon du muscle grand psoas	Nerf fémoral	Fléchisseur (et rotateur latéral) de la cuisse au niveau de la hanche, stabilisateur de la hanche, agit avec le grand psoas	Branches iliaques de l'artère ilio-lombale	Muscle antérieur de la cuisse
Ischio-caverneux	Partie inférieure de la face interne de la branche ischio-pubienne, tubérosité ischiatique	Pilier du pénis ou du clitoris	Branche profonde du nerf périnéal issu du nerf pudendal	Maintient le sang dans le corps du pénis et du clitoris pendant l'érection	Artère pudendale interne et sa branche (artère périnéale)	Muscle du périnée
Obturateur interne	Face pelvienne de la membrane obturatrice, os coxaux	Grand trochanter du fémur	Nerf de l'obturateur interne	Rotateur latéral de la cuisse étendue, abducteur de la cuisse fléchie au niveau de la hanche	Artère glutéale supérieure, artère glutéale inférieure, artère pudendale interne	Muscle de la région glutéale
Piriforme	Face antérieure des segments vertébraux sacraux 2-4, ligament sacro-tubéreux	Bord supérieur du grand trochanter du fémur	Rameaux ventraux des nerfs spinaux L5, S1, S2	Rotateur latéral de la cuisse étendue, abducteur de la cuisse fléchie	Artère glutéale supérieure, artère glutéale inférieure, artère pudendale interne	Muscle de la région glutéale
Pubo-rectal	Partie inférieure de la symphyse pubienne, fascia supérieur du diaphragme uro-génital	Forme une anse autour du rectum, aucune fixation distale	Nerf du muscle élévateur de l'anus			Muscle du diaphragme pelvien
Sphincter de l'urètre	Fibres externes issues de la jonction entre la branche inférieure du pubis et la branche de l'ischium ; fibres internes entourant médialement l'urètre membraneux	Homme : raphé médian en avant et en arrière de l'urètre Femme : entoure l'urètre, s'attache sur les côtés du vagin	Branches périnéales du nerf pudendal	Comprime l'urètre à la fin de la miction ; chez la femme, comprime également la partie distale du vagin	Branche périnéale de l'artère pudendale interne	Muscle du périnée

Des variations dans les contributions des nerfs spinaux dans l'innervation des muscles, dans la vascularisation artérielle des muscles, dans leurs insertions et leurs actions sont des événements fréquents dans l'anatomie humaine. Ainsi, il peut exister des différences entre les textes de différents ouvrages : considérez que les variations anatomiques sont normales.



MUSCLE	INSERTION PROXIMALE (ORIGINE)	INSERTION DISTALE (TERMINAISON)	INNERVATION	ACTIONS PRINCIPALES	VASCULARISATION ARTÉRIELLE	GROUPE MUSCULAIRE
Sphincter externe de l'anus	Sommet du coccyx, ligament ano-coccygien	Les fibres les plus profondes entourent le canal anal, s'attachent en arrière au coccyx en avant au centre tendineux du périnée (corps périnéal)	Branches périnéale et rectale inférieure du nerf pudendal	Ferme l'orifice anal	Artère rectale inférieure et transverse du périnée	Muscle du périnée
Sphincter urétro-vaginal (chez la femme seulement)	Corps périnéal	Se dirige vers l'avant, contourne le vagin et entoure l'urètre	Branches périnéales du nerf pudendal	Sphincter de l'urètre et du vagin	Branche périnéale de l'artère pudendale interne	Muscle du périnée
Transverse profond du périnée	Face interne de la branche inférieure de l'ischium	Homme : raphé tendineux médial et corps périnéal Femme : paroi latérale du vagin	Branches périnéales du nerf pudendal	Stabilise le corps périnéal, soutient la prostate/le vagin	Branche périnéale de l'artère pudendale interne	Muscle du périnée
Transverse superficiel du périnée	Branche de l'ischium et tubérosité ischiatique	Centre tendineux du périnée (corps périnéal)	Branches périnéales du nerf pudendal	Stabilise le centre tendineux du périnée	Branche périnéale de l'artère pudendale interne	Muscle du périnée


Page blanche



Section 6 MEMBRE SUPÉRIEUR

Anatomie de surface

Planche 398

Anatomie cutanée

Planches 399-403

Épaule et aisselle

Planches 404-416

6 Membre supérieur

Bras

Planches 417-421

Coude et avant-bras

Planches 422-438

Poignet et main

Planches 439-458

Innervation et vascularisation

Planches 459-466

Imagerie de l'épaule

Planche 467

Muscles

Tableaux 6-1 à 6-4



Membre supérieur : anatomie de surface

Voir aussi **Planches 152, 242**

Vue antérieure

Muscle trapèze
Clavicule
Acromion
Muscle deltoïde
Sillon delto-pectoral
Veine céphalique
Muscle biceps brachial
Fosse cubitale
Veine céphalique
Veine médiane basilique
Muscle brachio-radial
Tendon du fléchisseur radial du carpe
Éminence thénar
Muscle grand pectoral
Muscle dentelé antérieur
Muscle triceps brachial (long chef)
Veine basilique
Tendon du long palmaire
Tendons du fléchisseur superficiel des doigts
Tendon du fléchisseur ulnaire du carpe
Éminence hypothénar
Pli palmaire proximal
Pli radial longitudinal
1
2
3
4
5

Vue postérieure

Muscle deltoïde
Muscle triceps brachial
Chef long
Chef latéral
Tendon
Muscles brachio-radial et extenseur radial du carpe
Muscle extenseur radial du carpe
Veine céphalique
Olécrâne
Tabatière anatomique
Tendon du long extenseur du pouce
Tendon de l'extenseur de l'index
Muscle fléchisseur ulnaire du carpe
Muscle extenseur ulnaire du carpe
Tendons extenseurs des doigts
Situation de l'articulation interphalangienne proximale
Situation de l'articulation interphalangienne distale
1
2
3
4
5

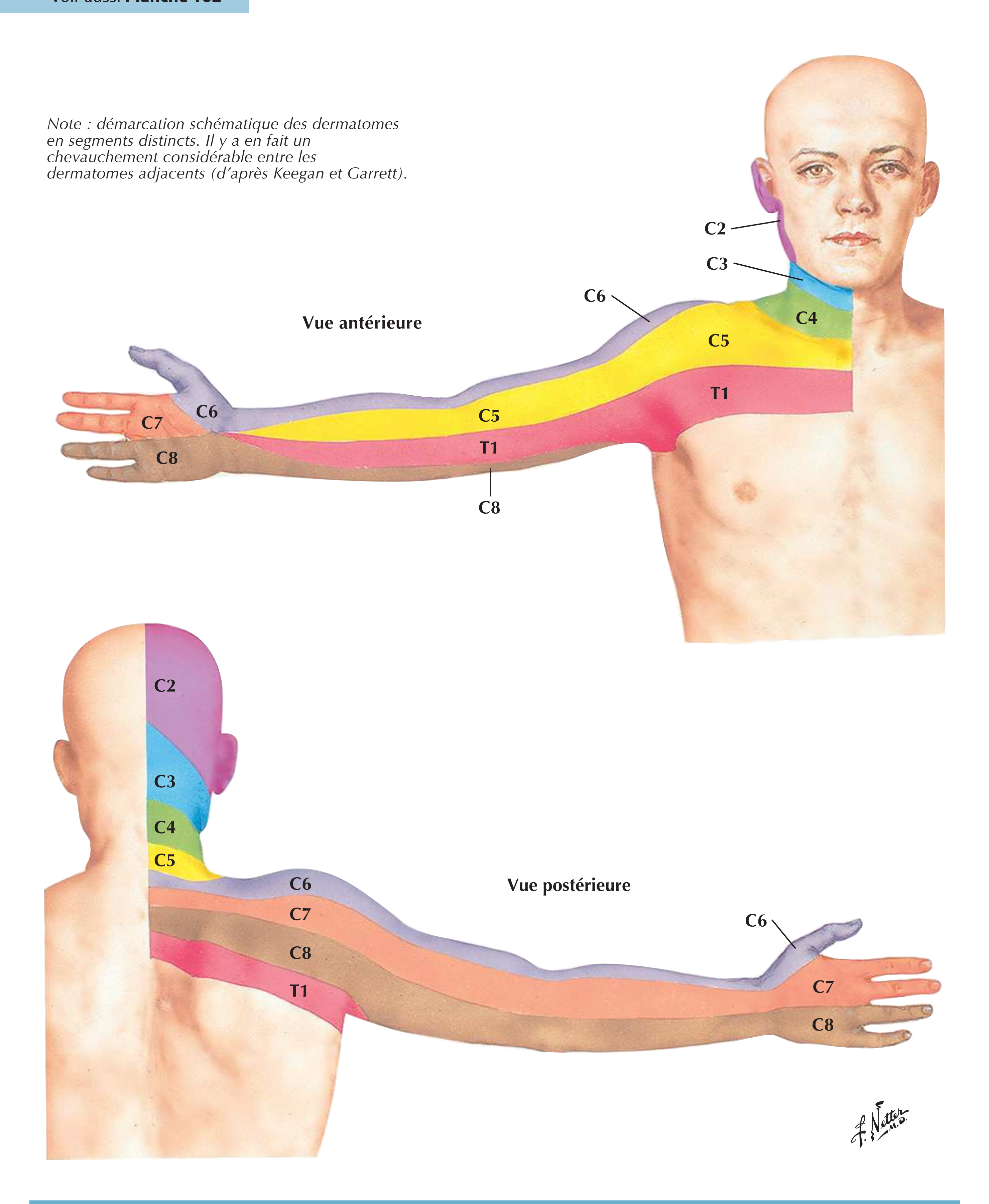
Nom habituel des doigts

1 Pouce
2 Index
3 Majeur
4 Annulaire
5 Auriculaire

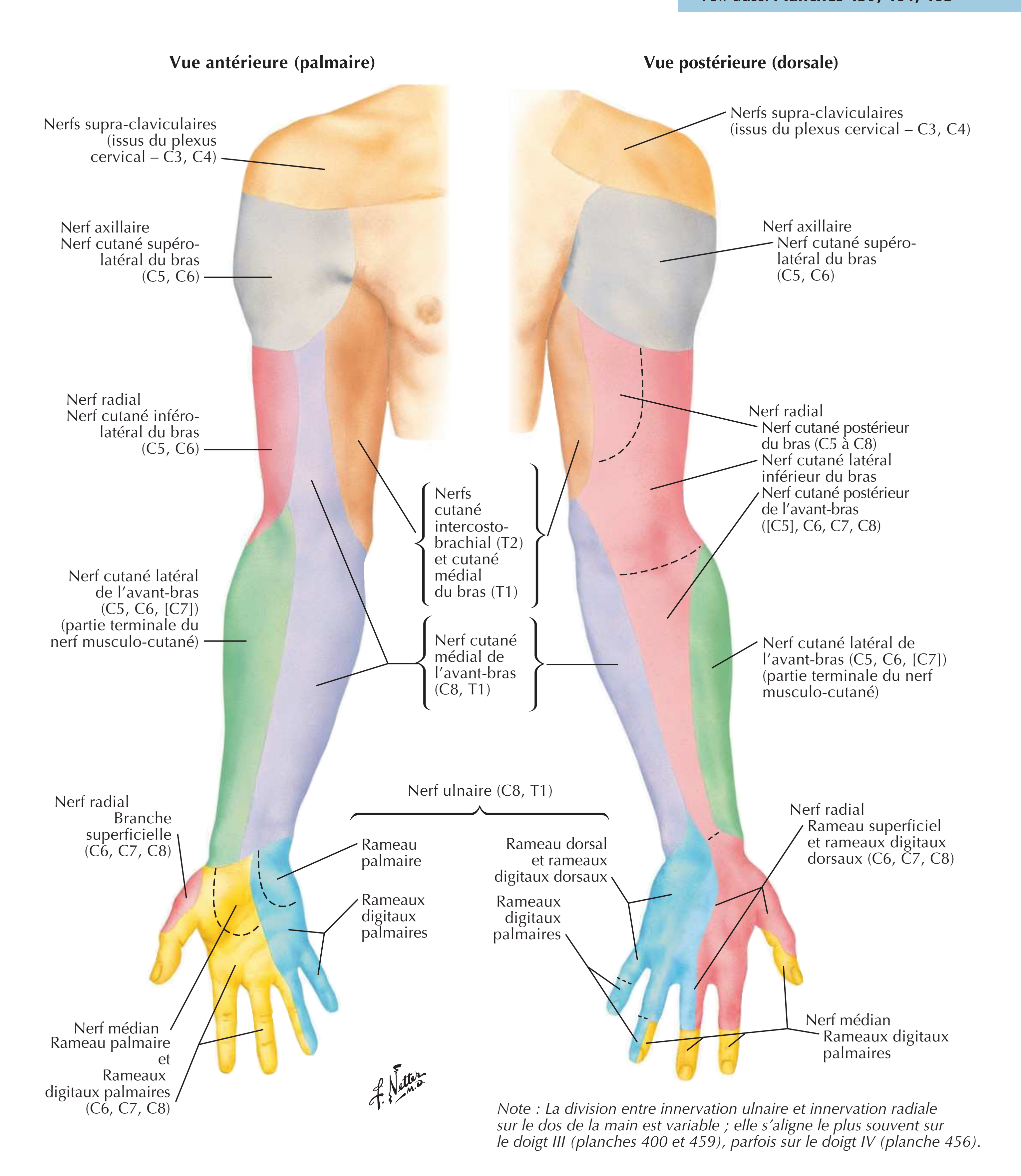
C.Machado M.D.

Dermatomes du membre supérieur

Voir aussi **Planche 162**



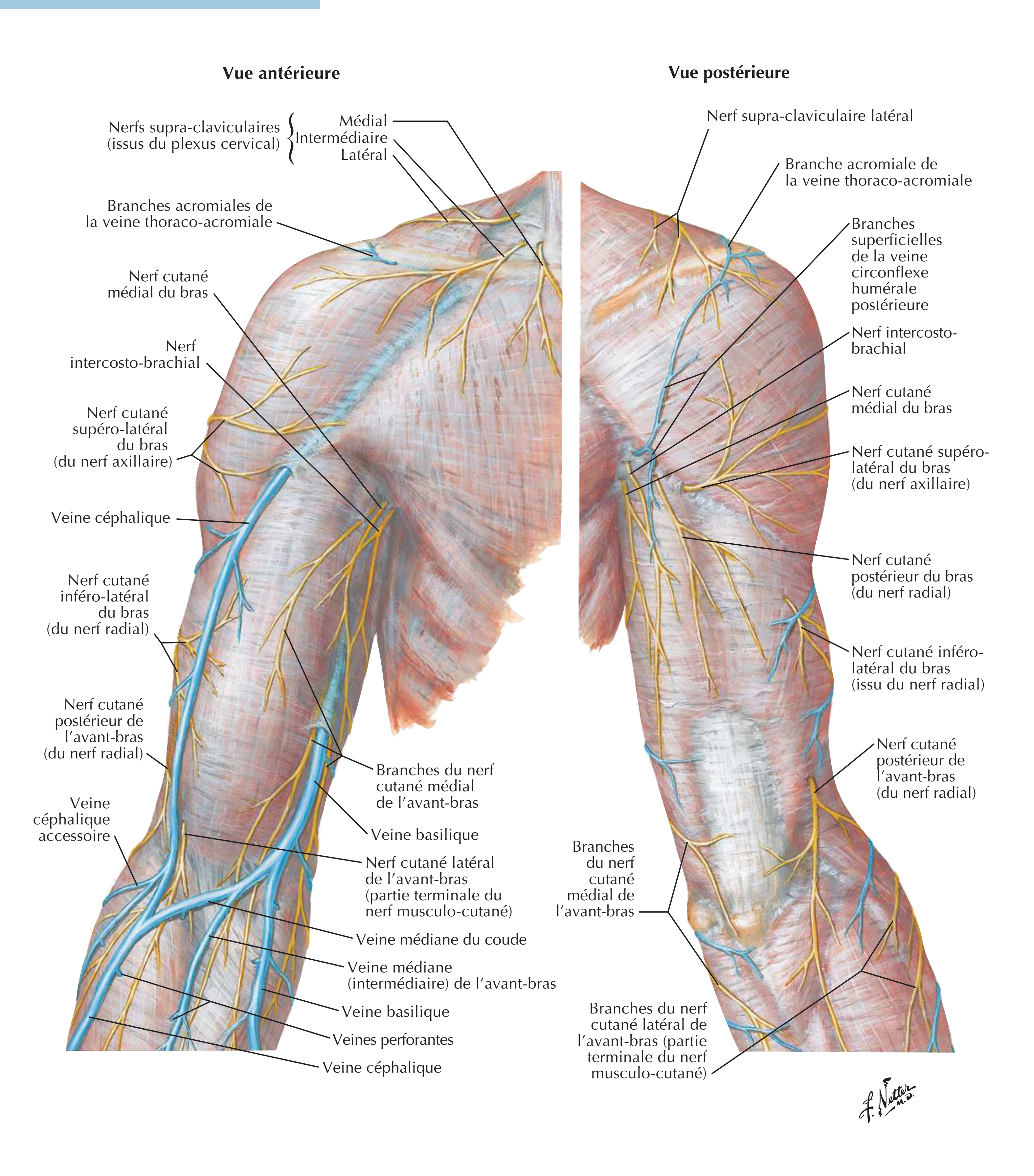
Voir aussi **Planches 459, 461, 463**



Note : La division entre innervation ulnaire et innervation radiale sur le dos de la main est variable ; elle s'aligne le plus souvent sur le doigt III (planches 400 et 459), parfois sur le doigt IV (planche 456).

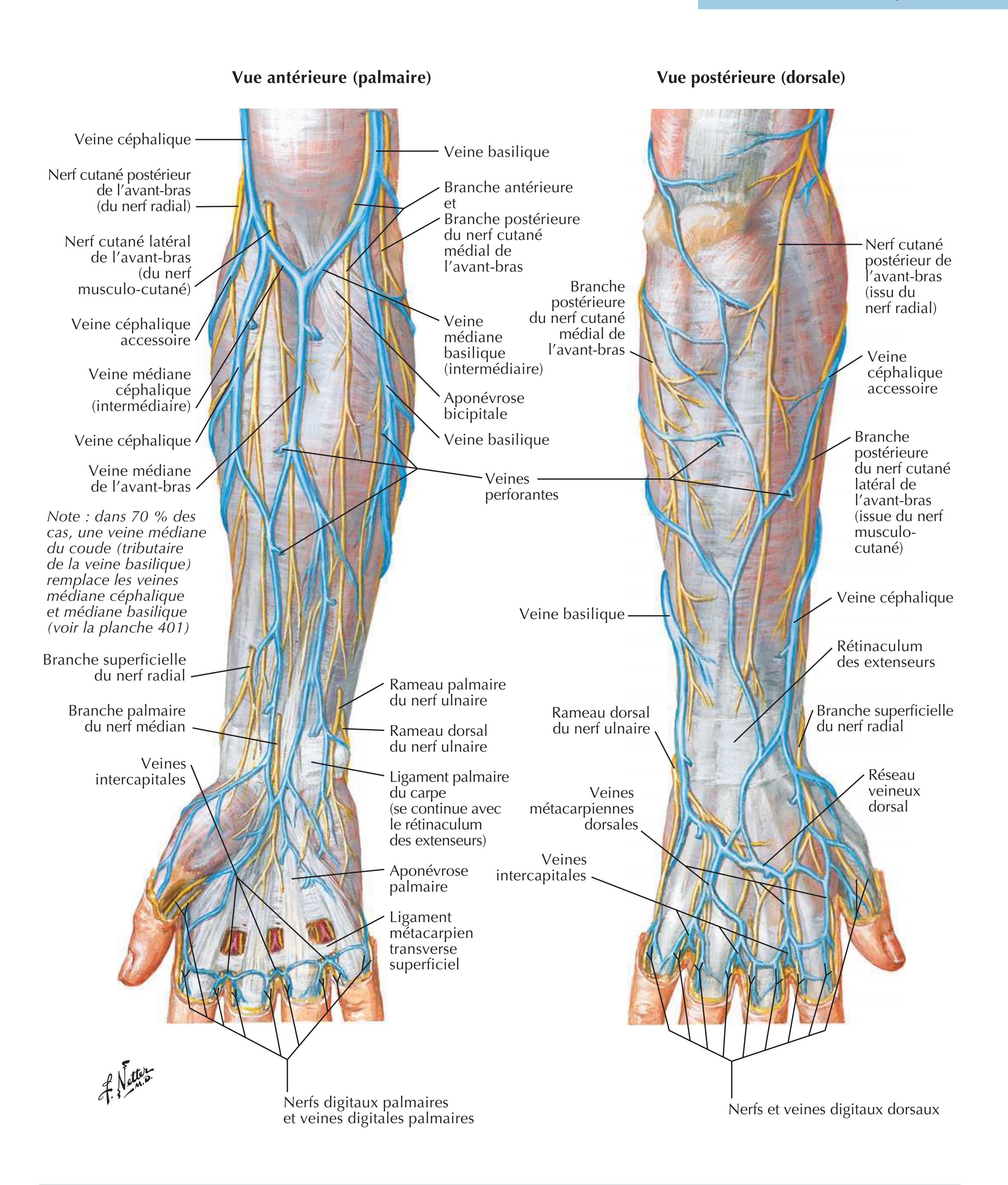
Nerfs cutanés et veines superficielles de l'épaule et du bras

Voir aussi **Planches 252, 419**



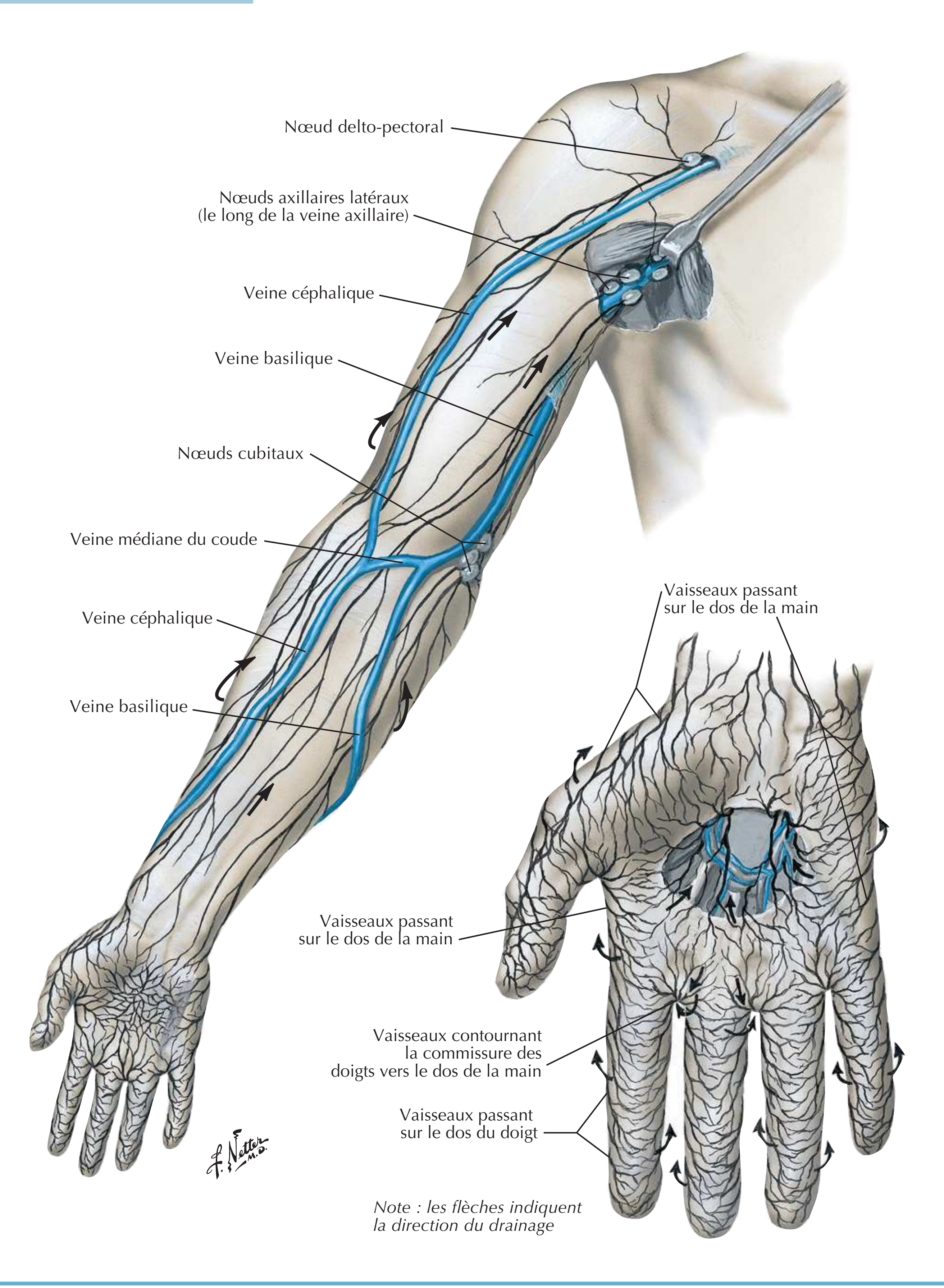
Nerfs cutanés et veines superficielles de l'avant-bras

Voir aussi **Planches 431, 455**

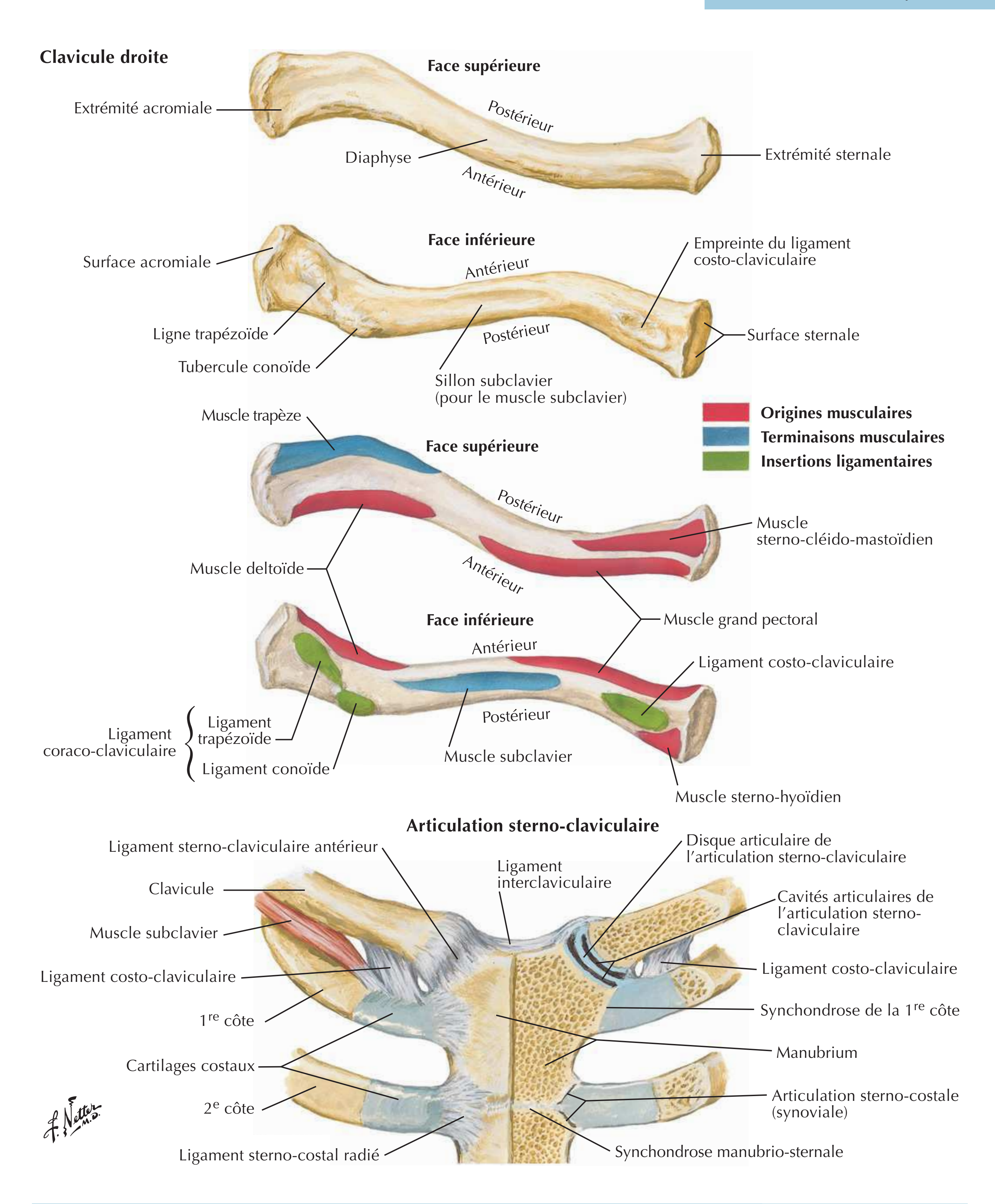


Vaisseaux et nœuds lymphatiques du membre supérieur

Voir aussi **Planches 181, 455**

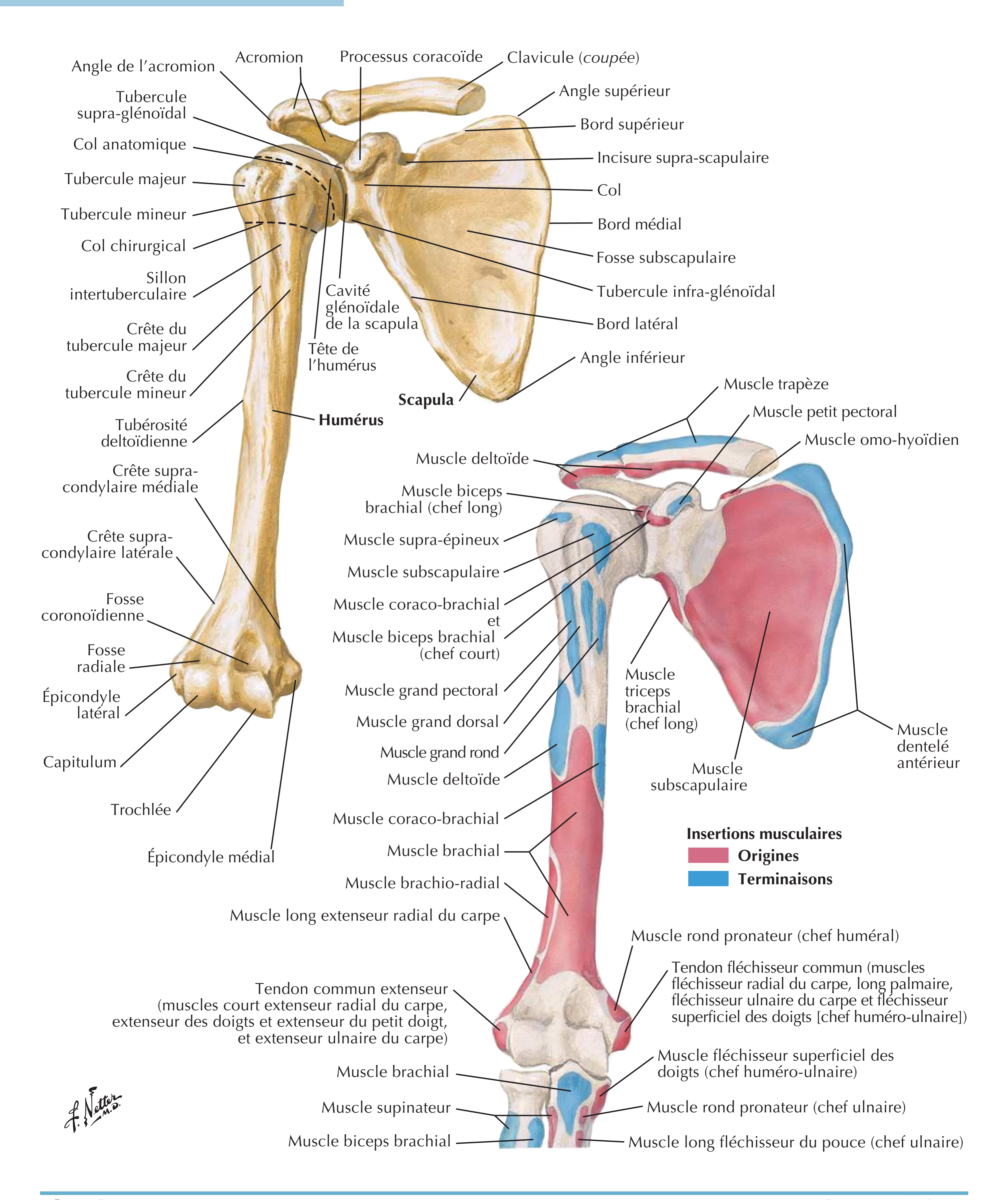


Voir aussi **Planches 183, 186**



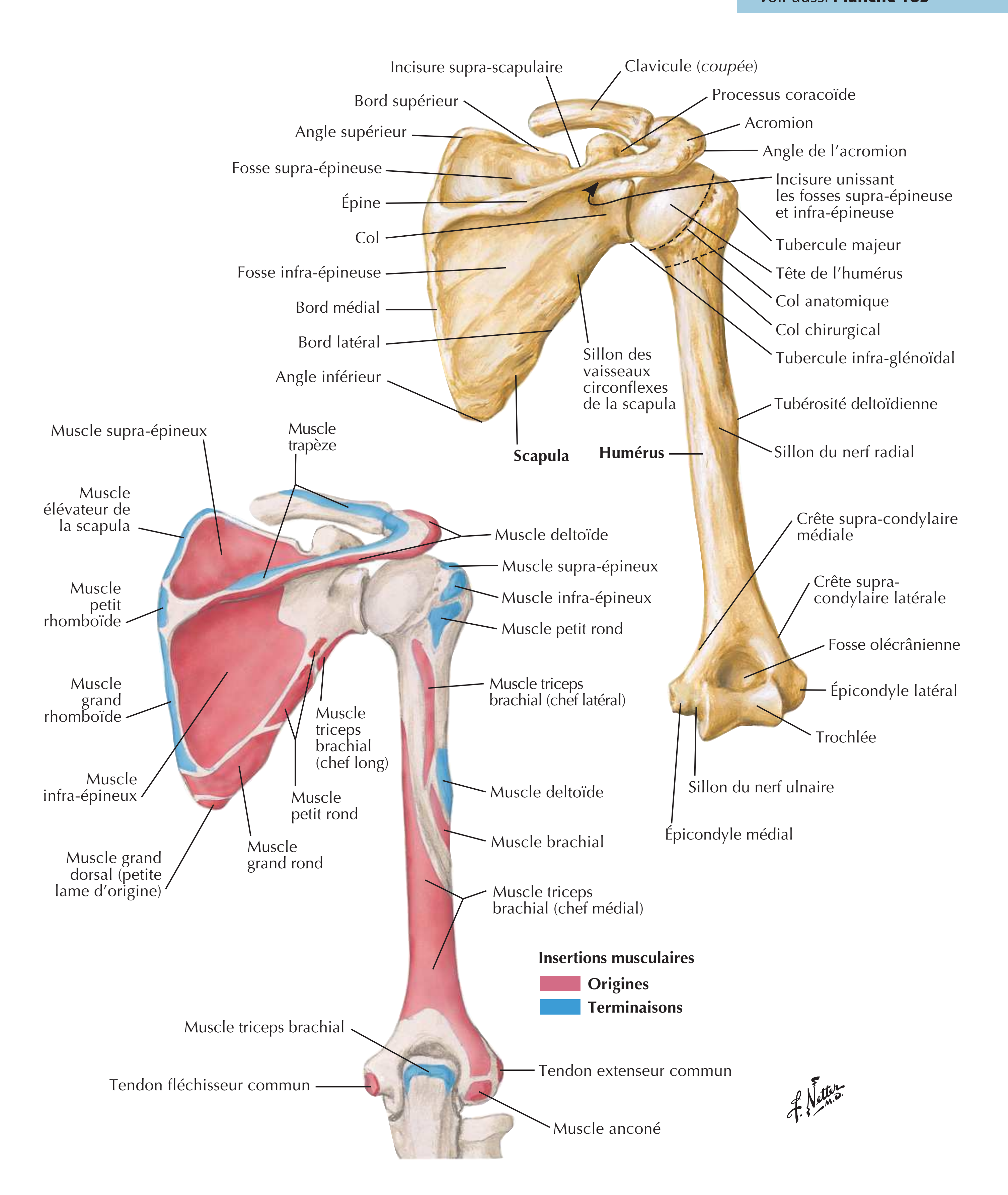
Humérus et scapula : vues antérieures

Voir aussi **Planches 183, 407, 422**



Humérus et scapula : vues postérieures

Voir aussi **Planche 183**

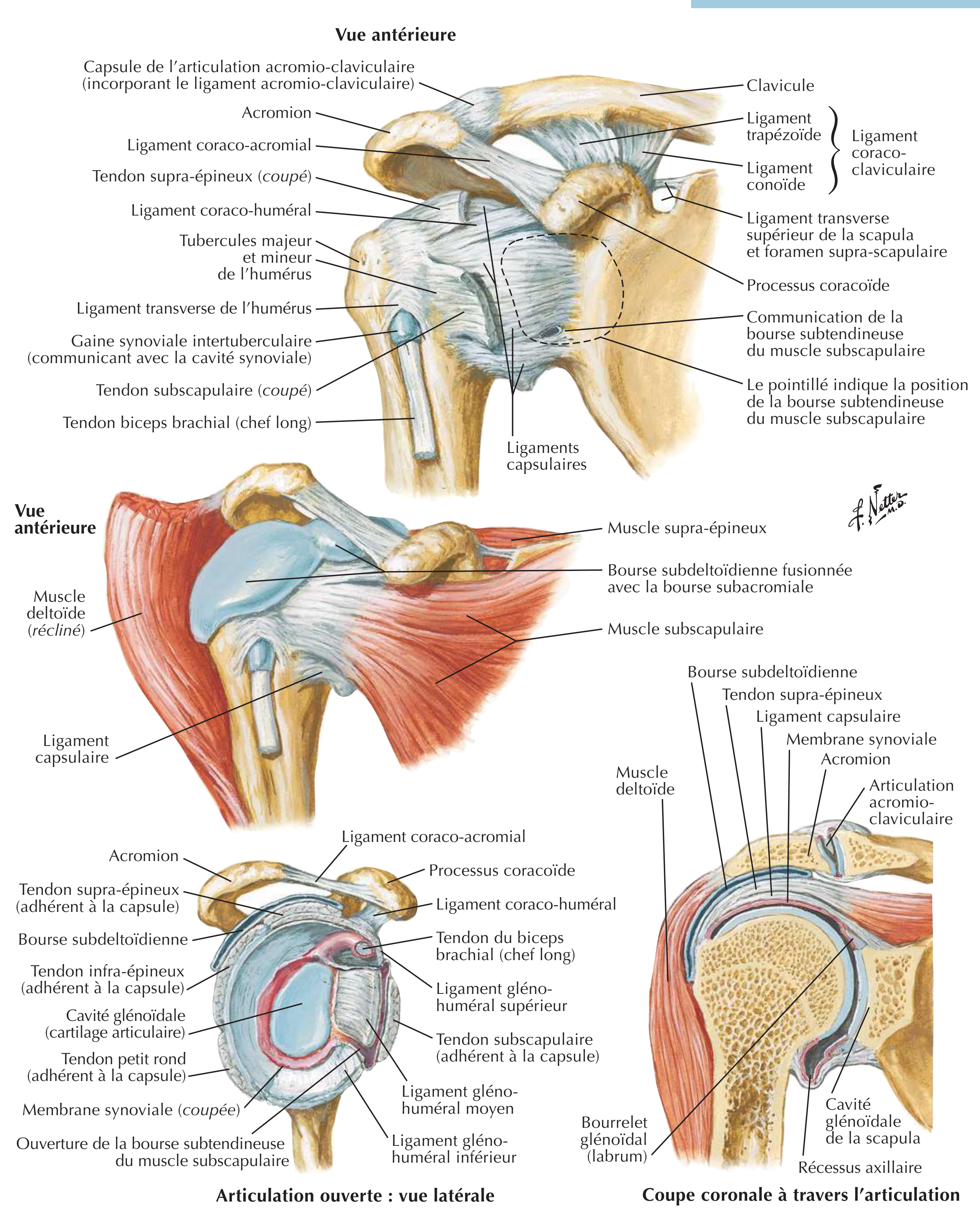


Épaule : radiographie de face (antéro-postérieure)

Voir aussi **Planche 405**



Voir aussi **Planches 411, 468**

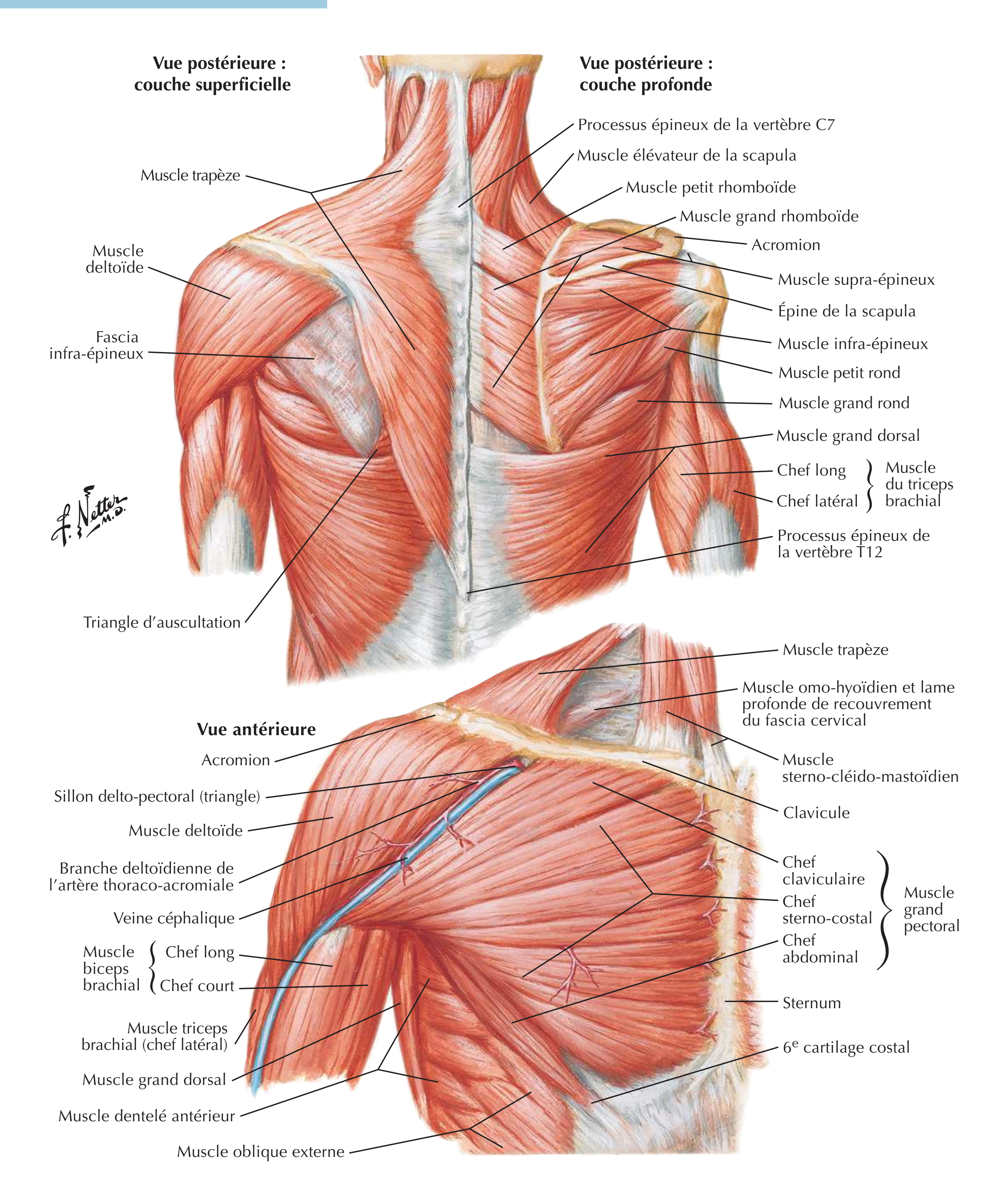


Articulation ouverte : vue latérale

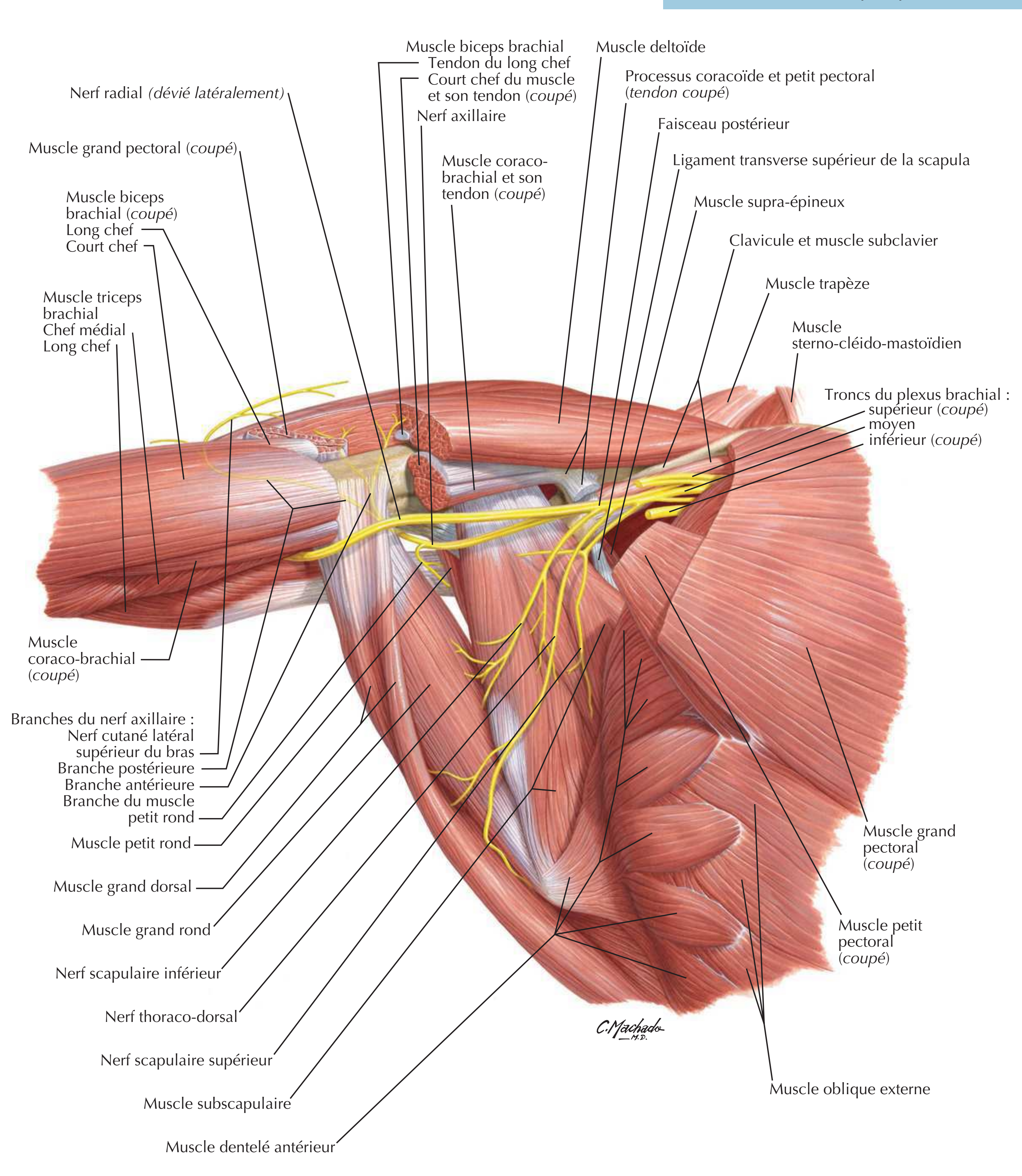
Coupe coronale à travers l'articulation

Muscles de l'épaule

Voir aussi **Planches 29, 171, 185**

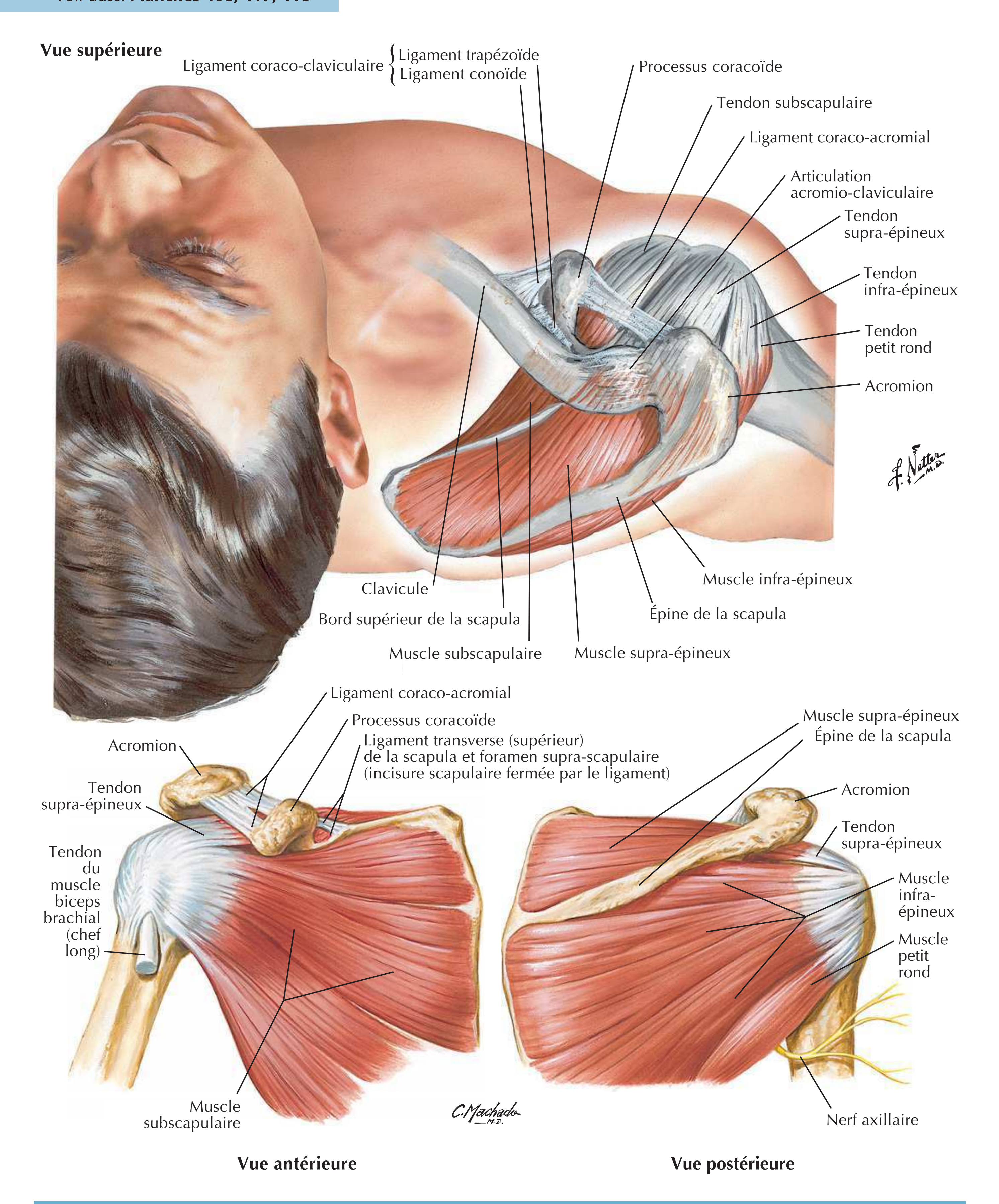


Voir aussi **Planches 415, 416, 461**

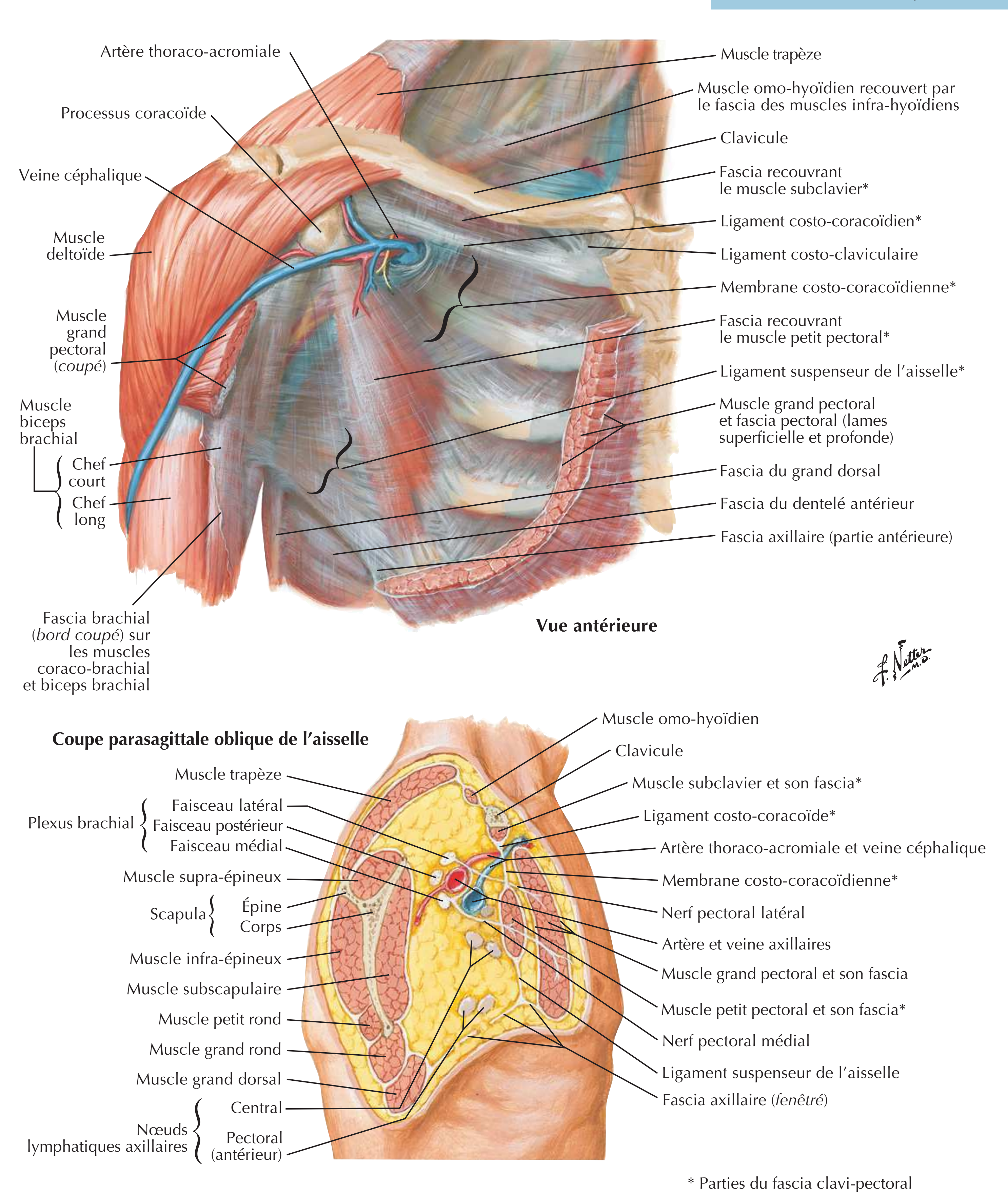


Muscles de la coiffe des rotateurs

Voir aussi **Planches 408, 417, 418**



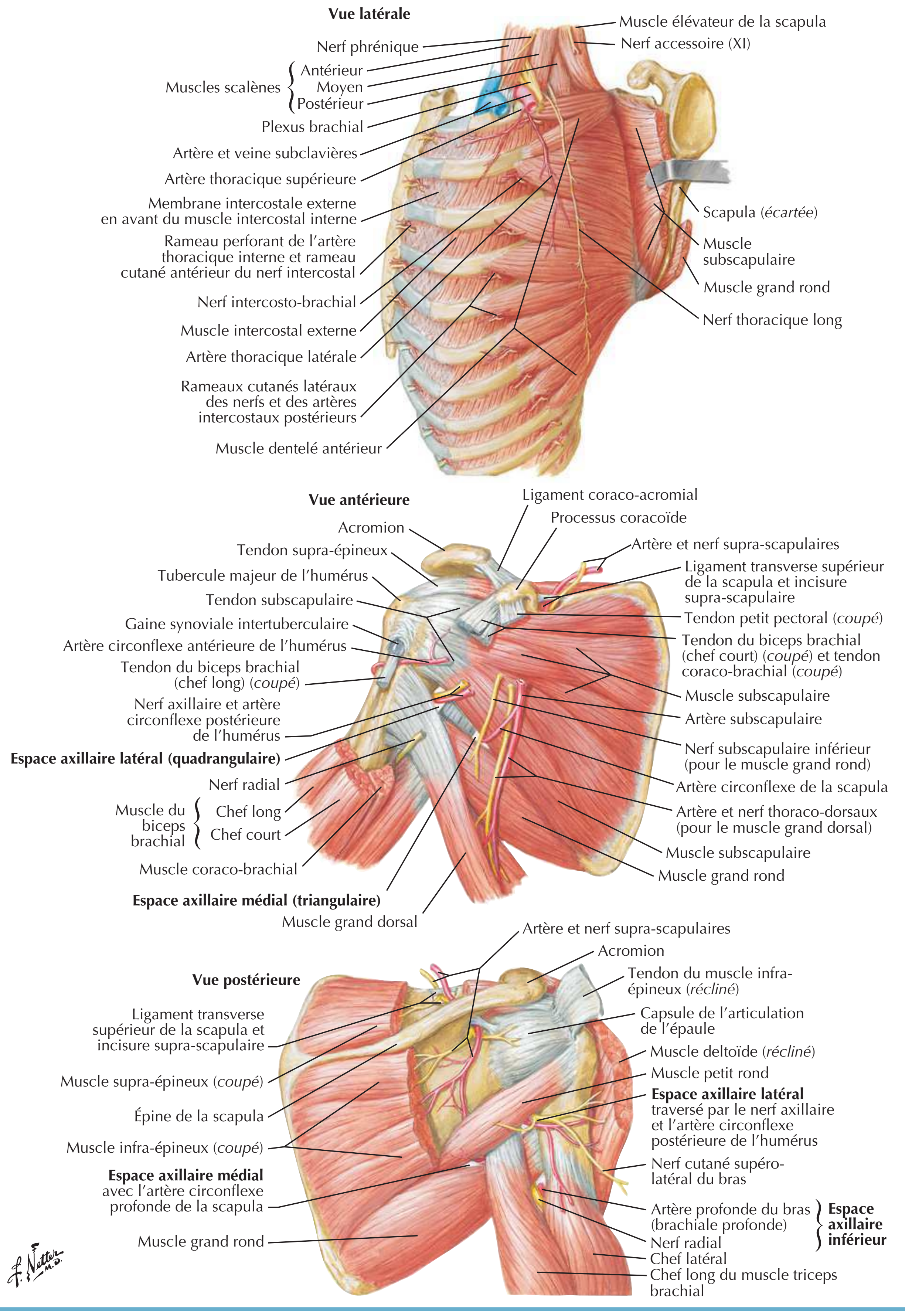
Voir aussi **Planches 181, 185**

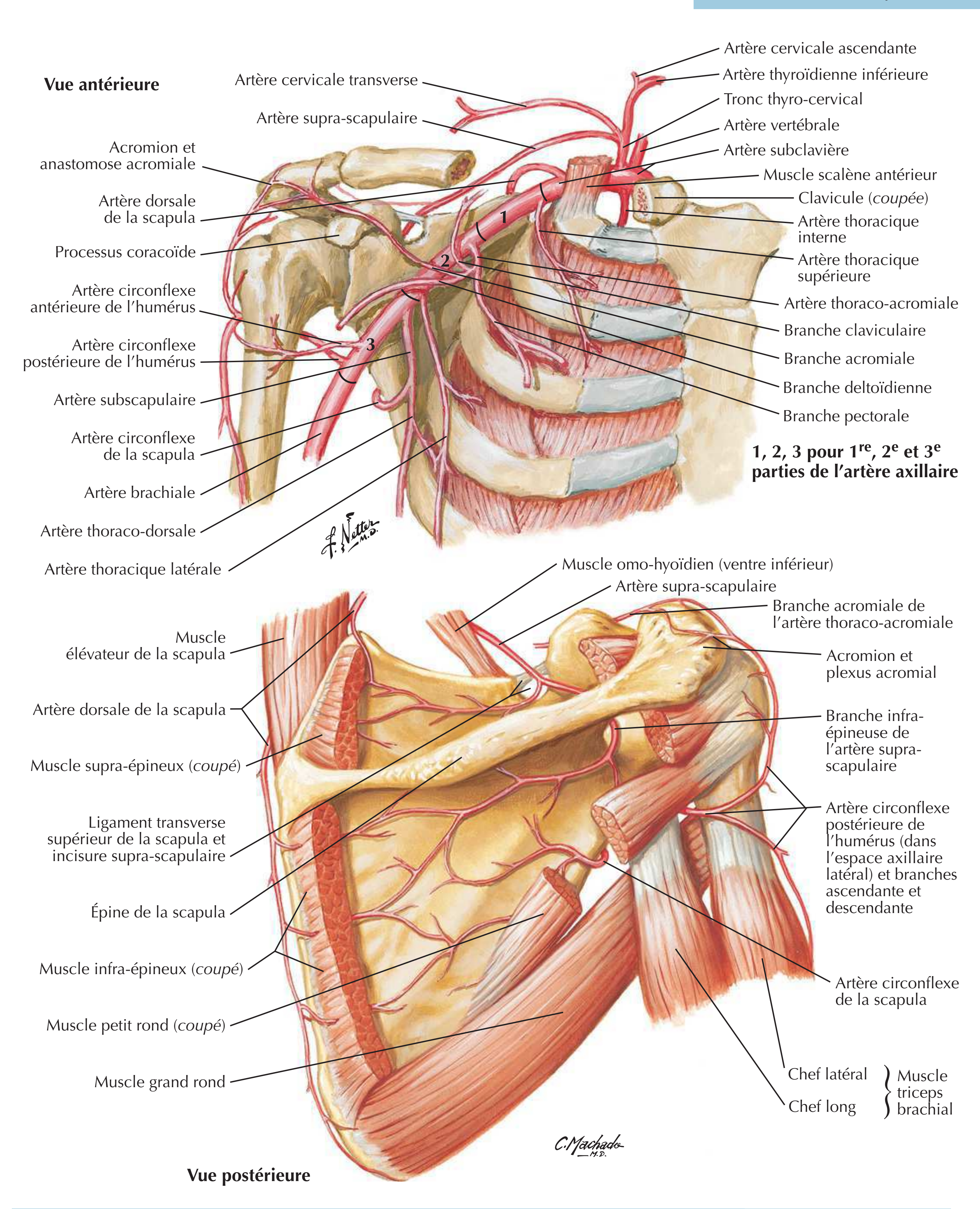


* Parties du fascia clavi-pectoral

Dissection scapulo-thoracique et scapulo-humérale

Voir aussi **Planches 415, 465**

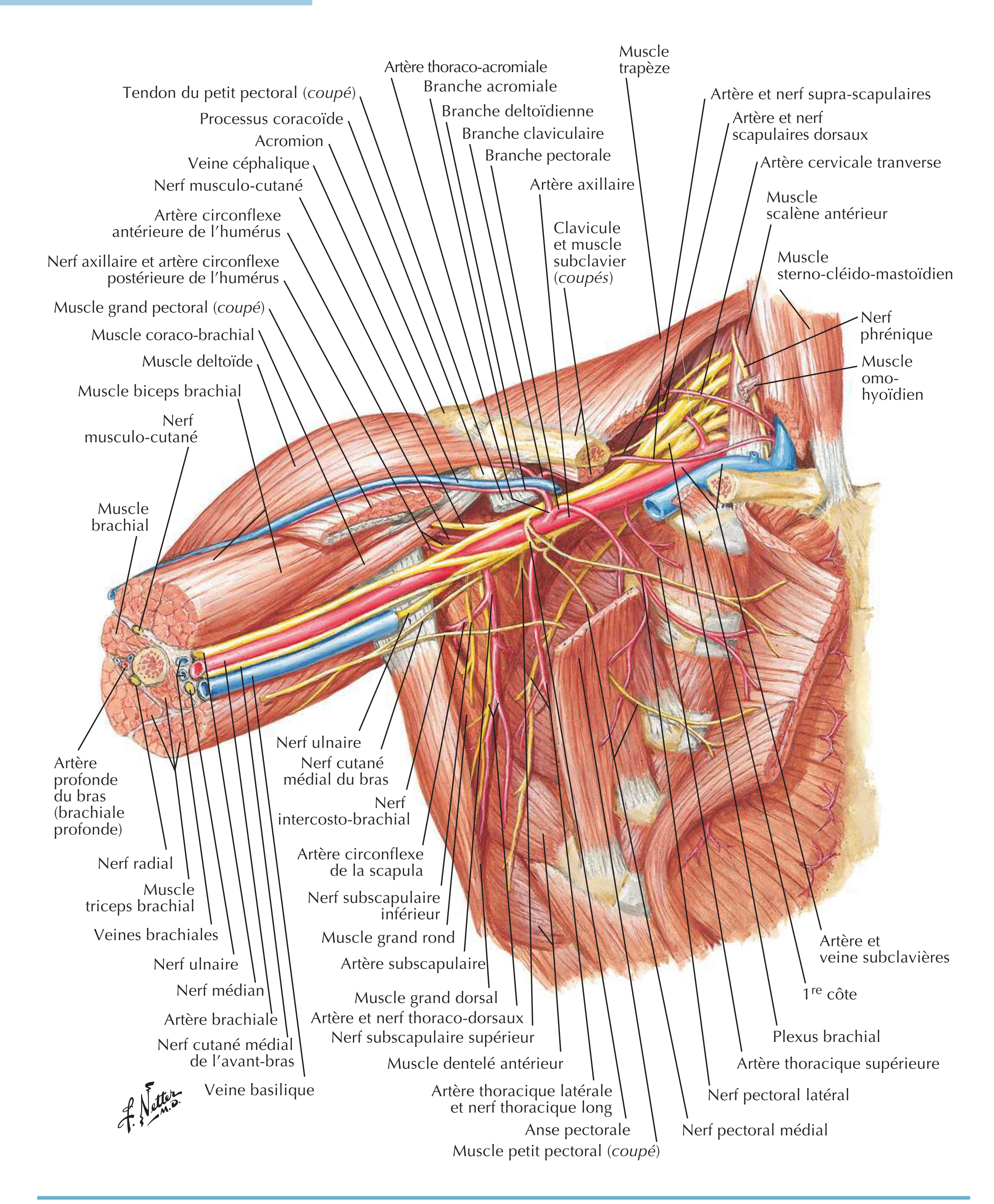




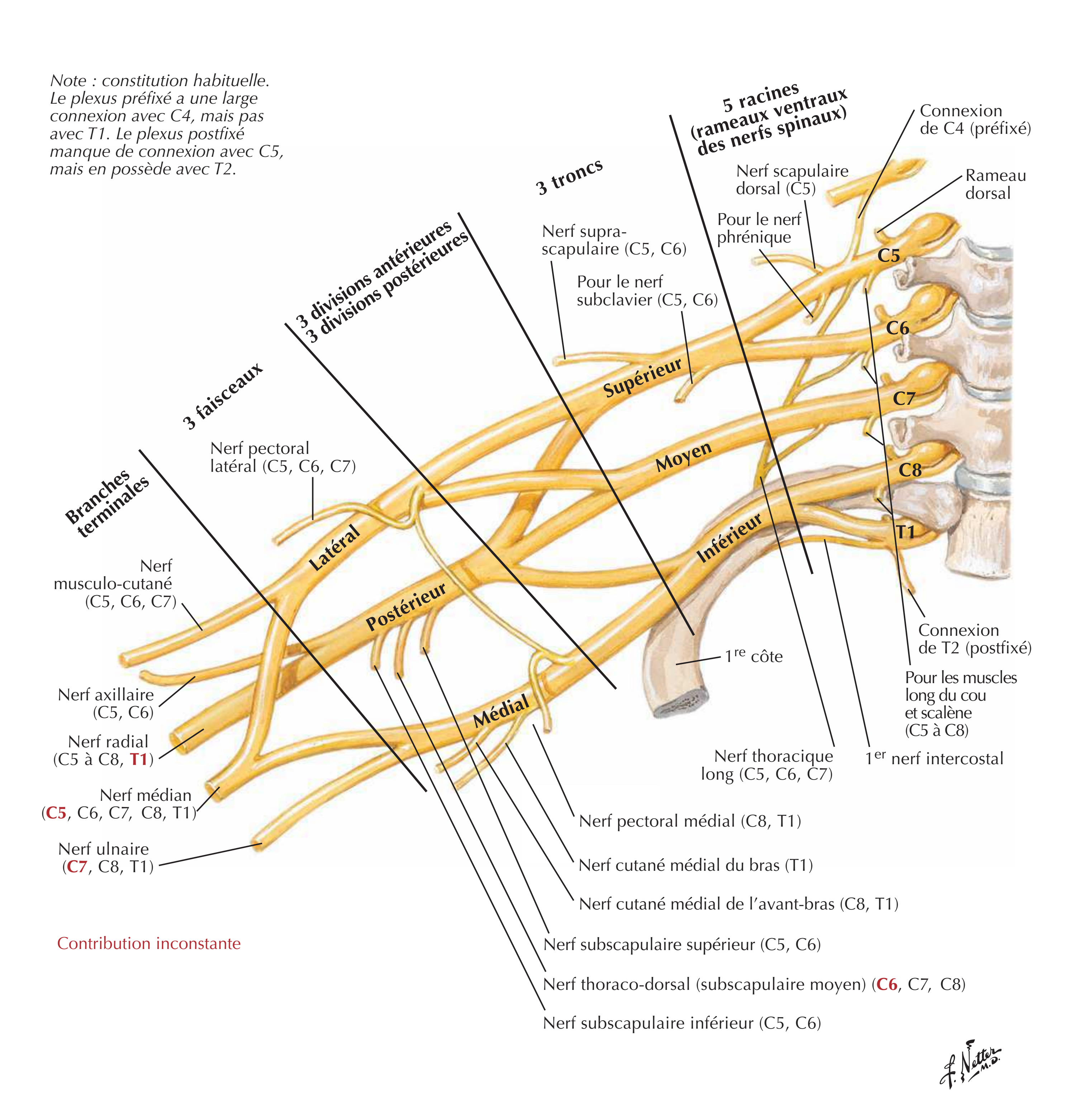
Vue antérieure
Artère cervicale transverse
Artère supra-scapulaire
Acromion et anastomose acromiale
Artère dorsale de la scapula
Processus coracoïde
Artère circonflexe antérieure de l'humérus
Artère circonflexe postérieure de l'humérus
Artère subscapulaire
Artère circonflexe de la scapula
Artère brachiale
Artère thoraco-dorsale
Artère thoracique latérale
Artère cervicale ascendante
Artère thyroïdienne inférieure
Tronc thyro-cervical
Artère vertébrale
Artère subclavière
Muscle scalène antérieur
Clavicule (*coupée*)
Artère thoracique interne
Artère thoracique supérieure
Artère thoraco-acromiale
Branche claviculaire
Branche acromiale
Branche deltoïdienne
Branche pectorale
1
2
3
1, 2, 3 pour 1re, 2e et 3e parties de l'artère axillaire
Muscle omo-hyoïdien (ventre inférieur)
Artère supra-scapulaire
Branche acromiale de l'artère thoraco-acromiale
Acromion et plexus acromial
Branche infra-épineuse de l'artère supra-scapulaire
Artère circonflexe postérieure de l'humérus (dans l'espace axillaire latéral) et branches ascendante et descendante
Artère circonflexe de la scapula
Chef latéral
Chef long
Muscle triceps brachial
Muscle élévateur de la scapula
Artère dorsale de la scapula
Muscle supra-épineux (*coupé*)
Ligament transverse supérieur de la scapula et incisure supra-scapulaire
Épine de la scapula
Muscle infra-épineux (*coupé*)
Muscle petit rond (*coupé*)
Muscle grand rond
Vue postérieure

Fosse axillaire (dissection) : vue antérieure

Voir aussi **Planches 410, 413**

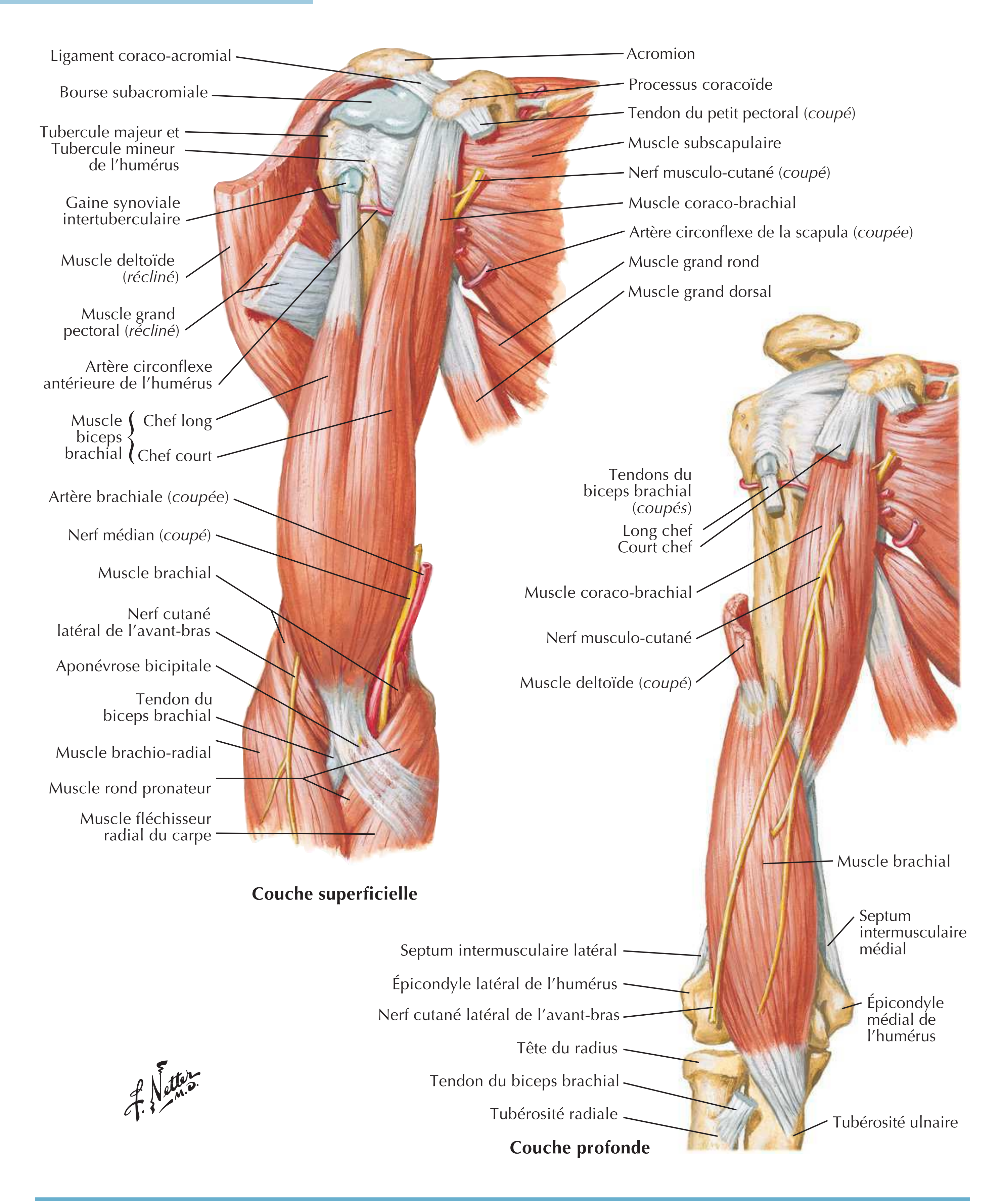


Voir aussi **Planches 410, 460, 461**



Muscles du bras : vues antérieures

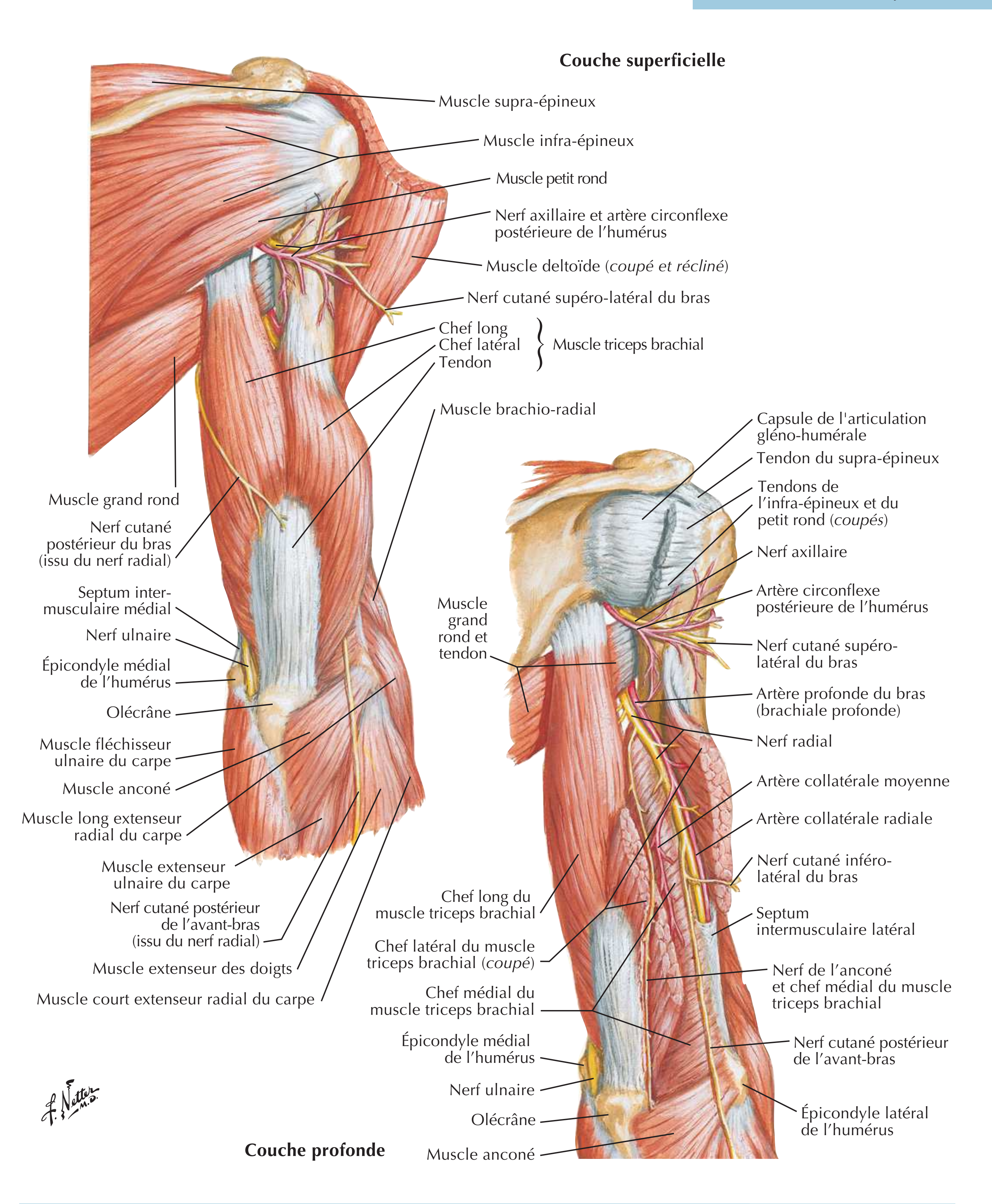
Voir aussi **Planches 411, 462**



Couche superficielle

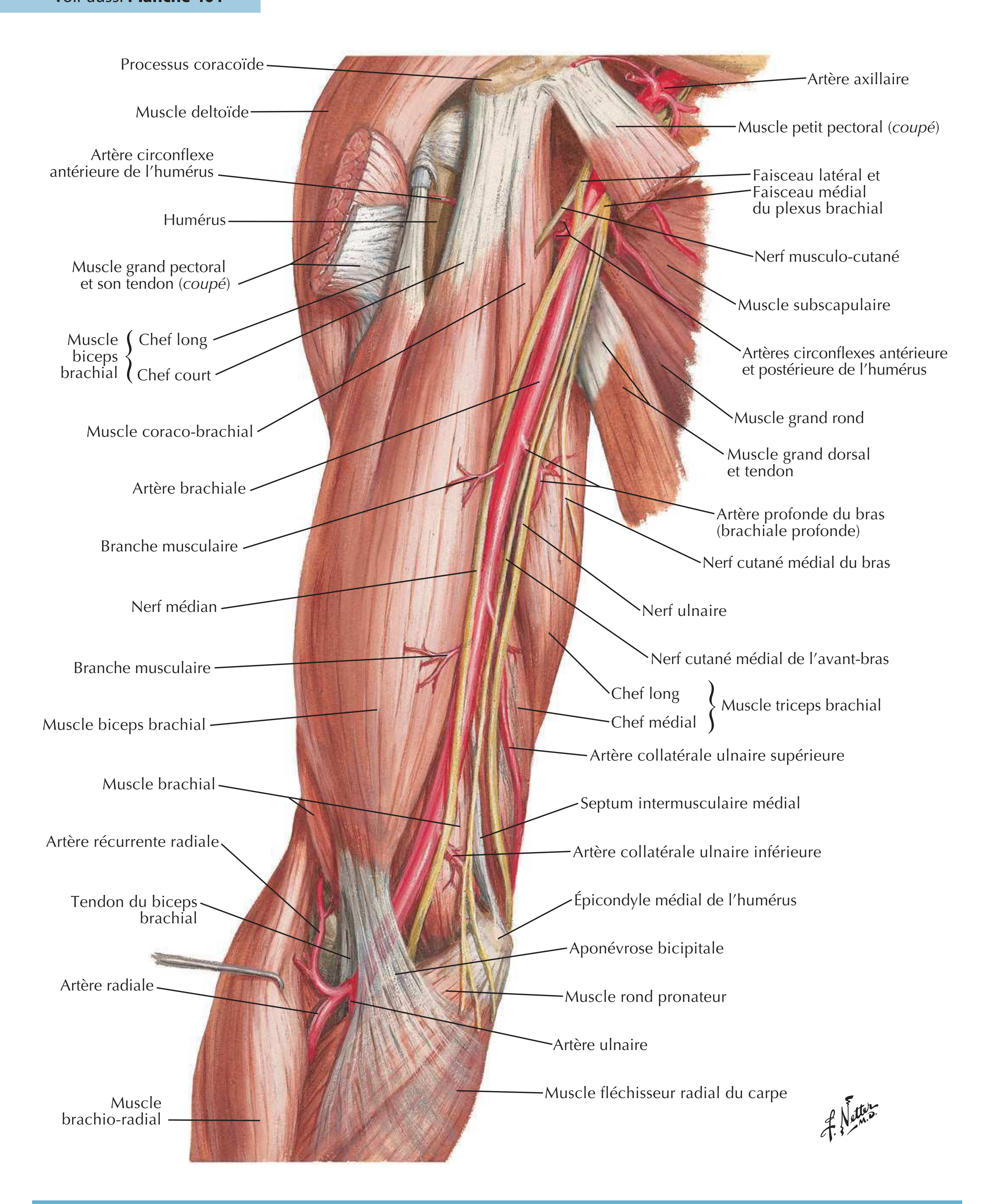
Couche profonde

Voir aussi **Planches 411, 465**



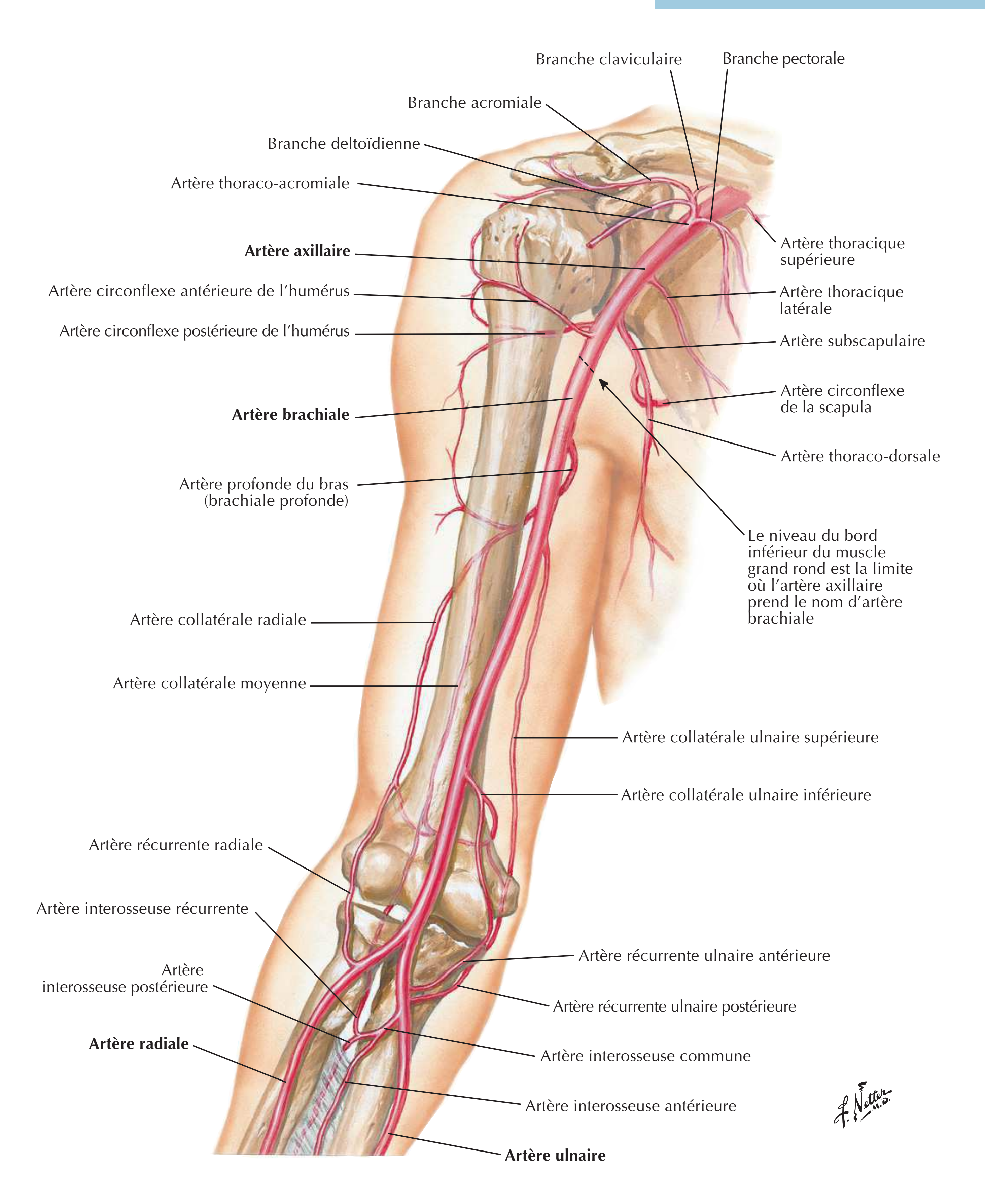
Artère brachiale *in situ*

Voir aussi **Planche 401**

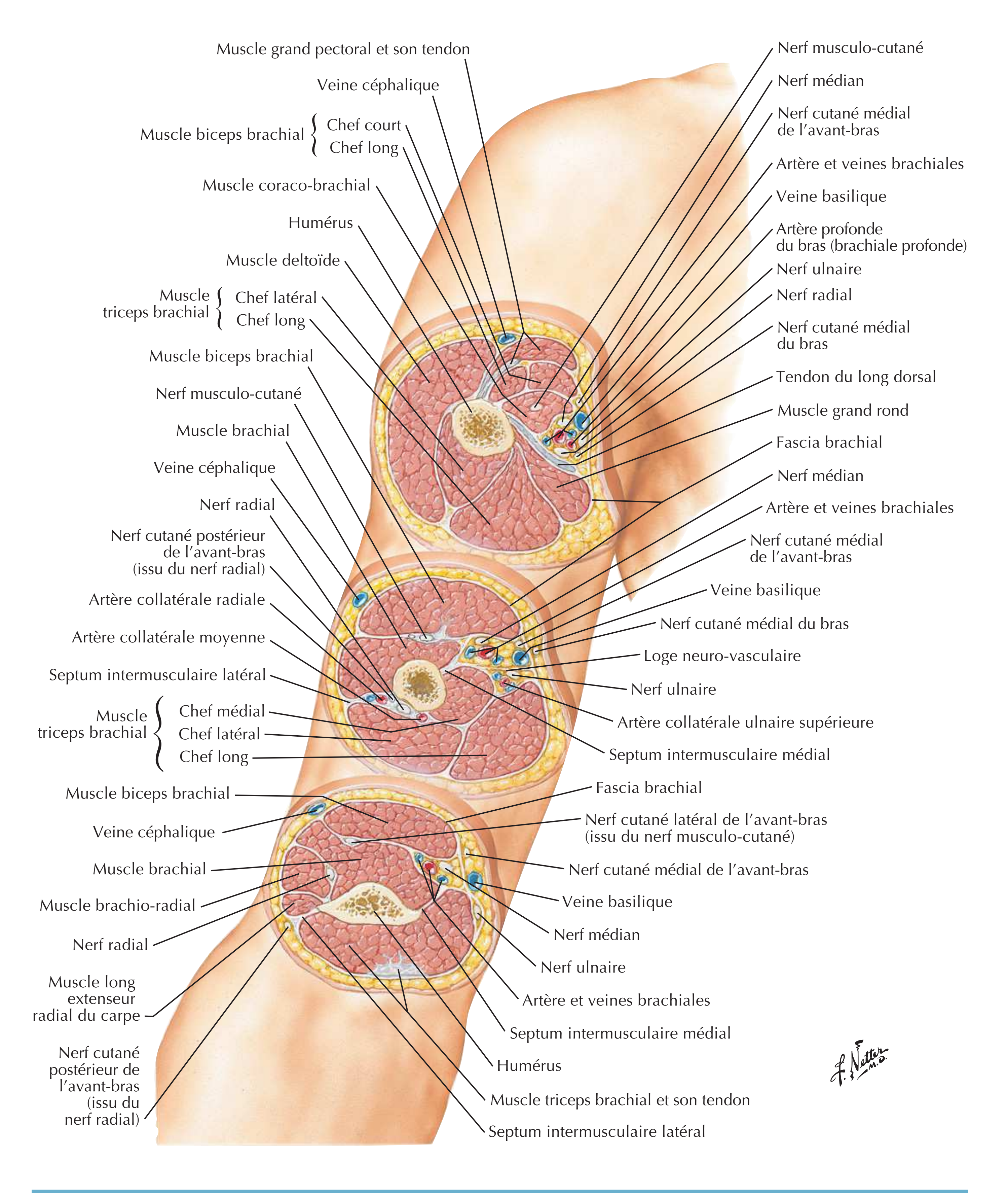


Artère brachiale et réseau artériel péri-articulaire du coude

Voir aussi **Planches 414, 433, 453**



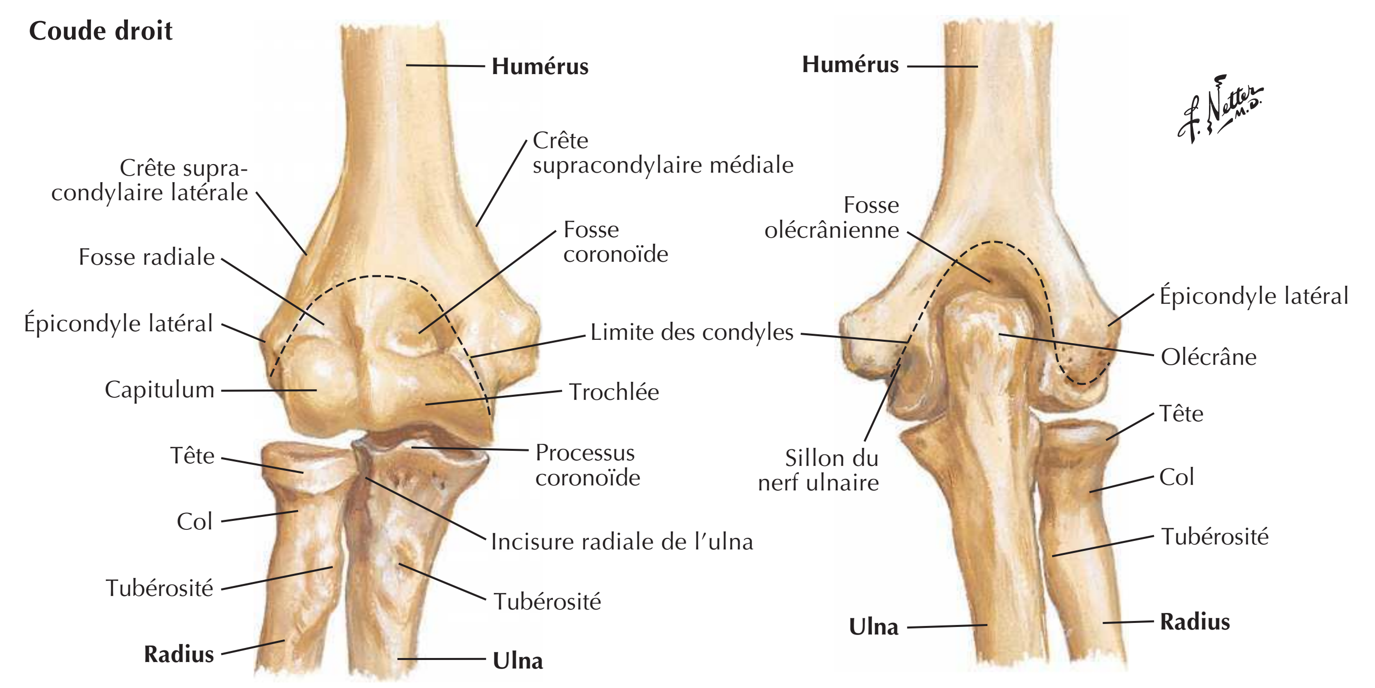
Bras : coupes transversales sériées





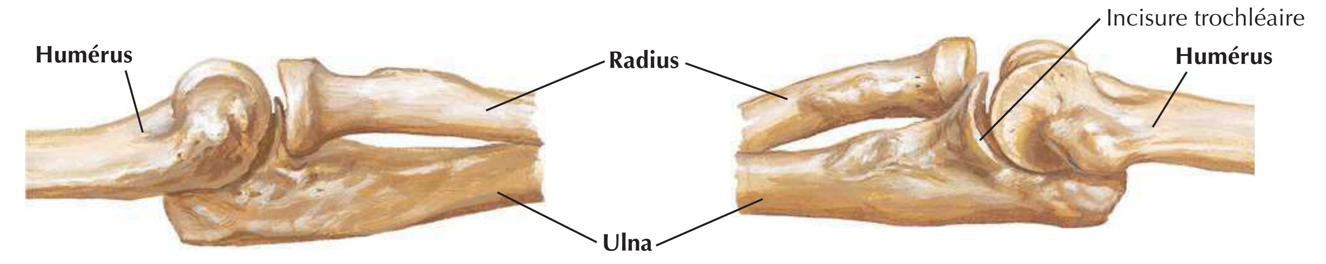
Os du coude

Voir aussi **Planche 437**



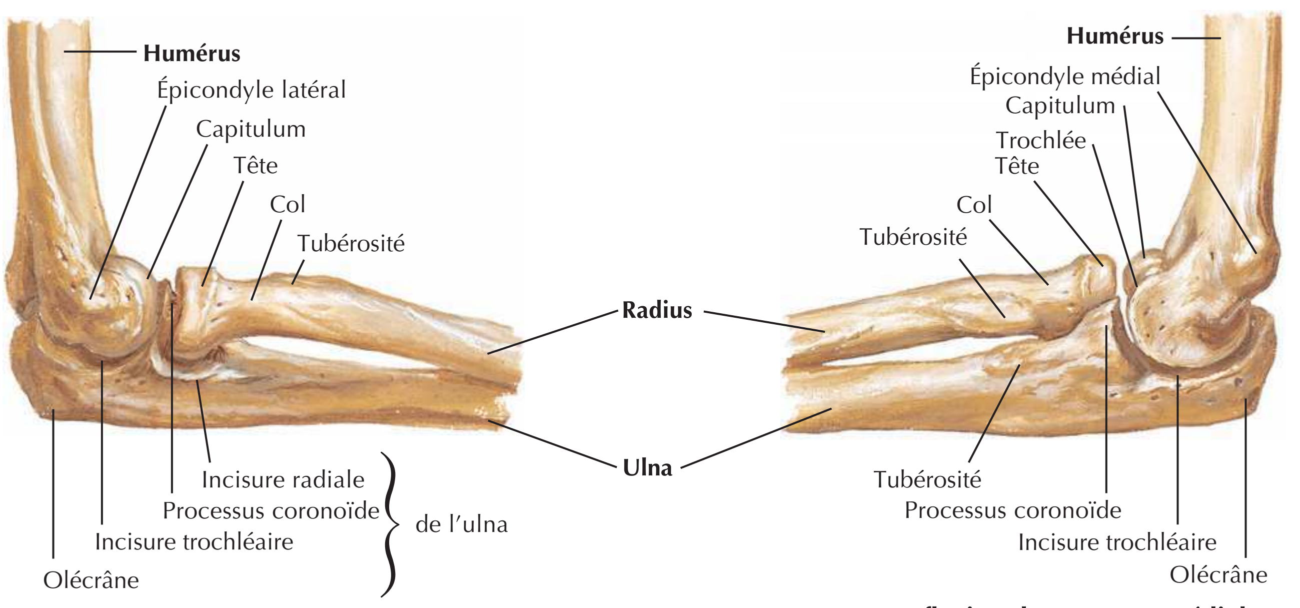

En extension : vue antérieure


En extension : vue postérieure



En extension : vue latérale

En extension : vue médiale



En flexion de 90° : vue latérale

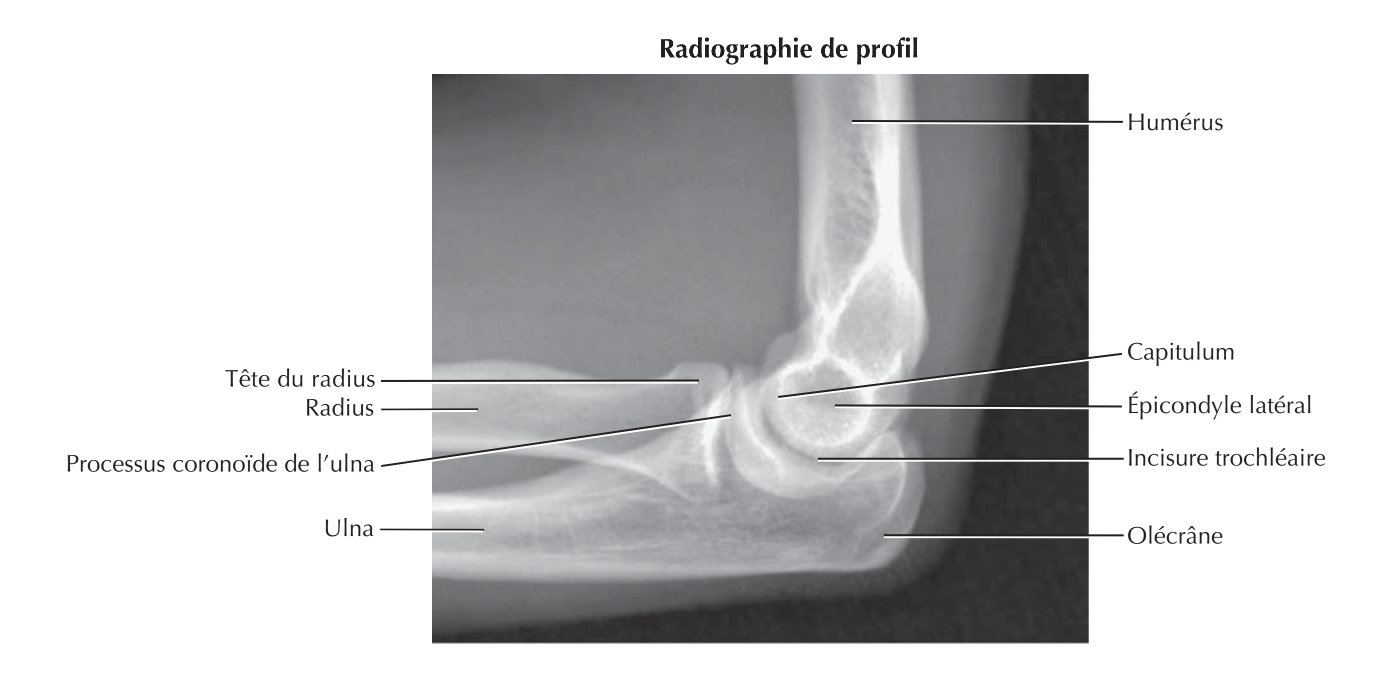
En flexion de 90° : vue médiale

6 Coude : radiographies

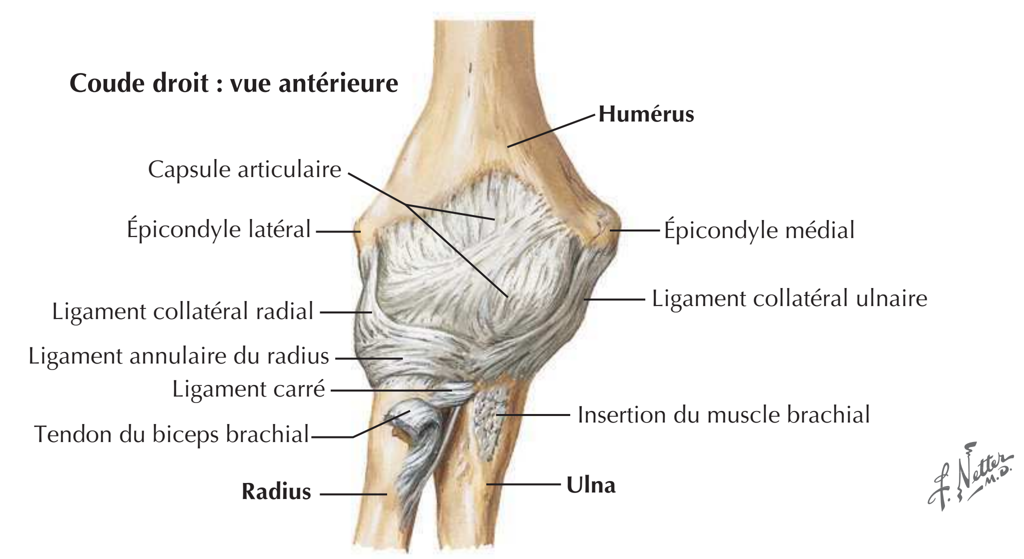
Radiographie de face

Humérus
Fosse olécrânienne
Épicondyle médial
Olécrâne
Épicondyle latéral
Capitulum
Trochlée de l'humérus
Processus coronoïde de l'ulna
Tête du radius
Col du radius
Tubérosité radiale
Ulna
Radius

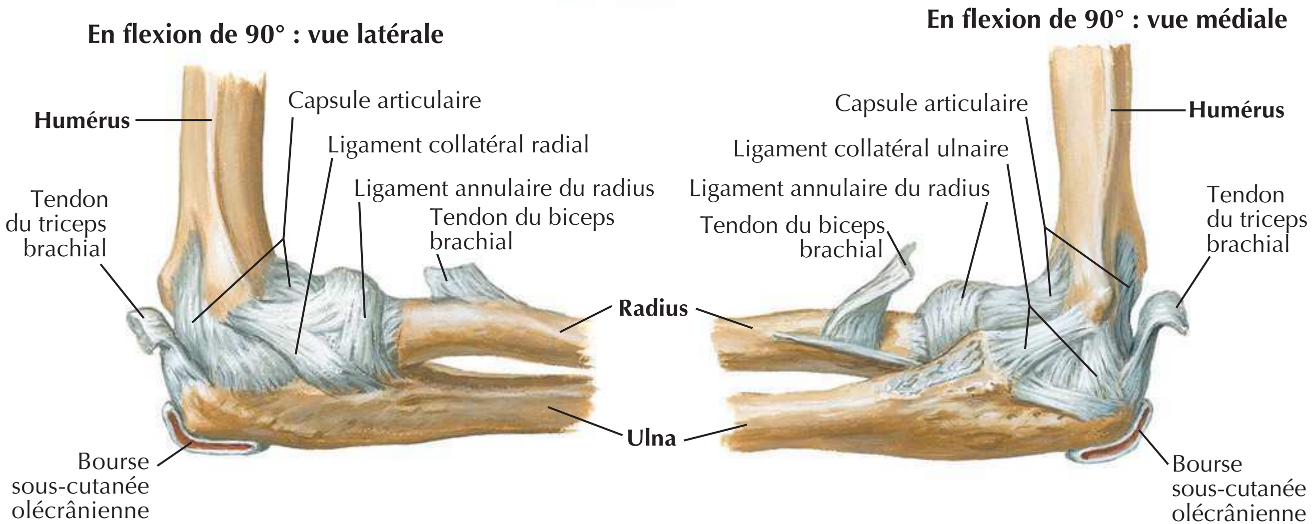
Radiographie de profil



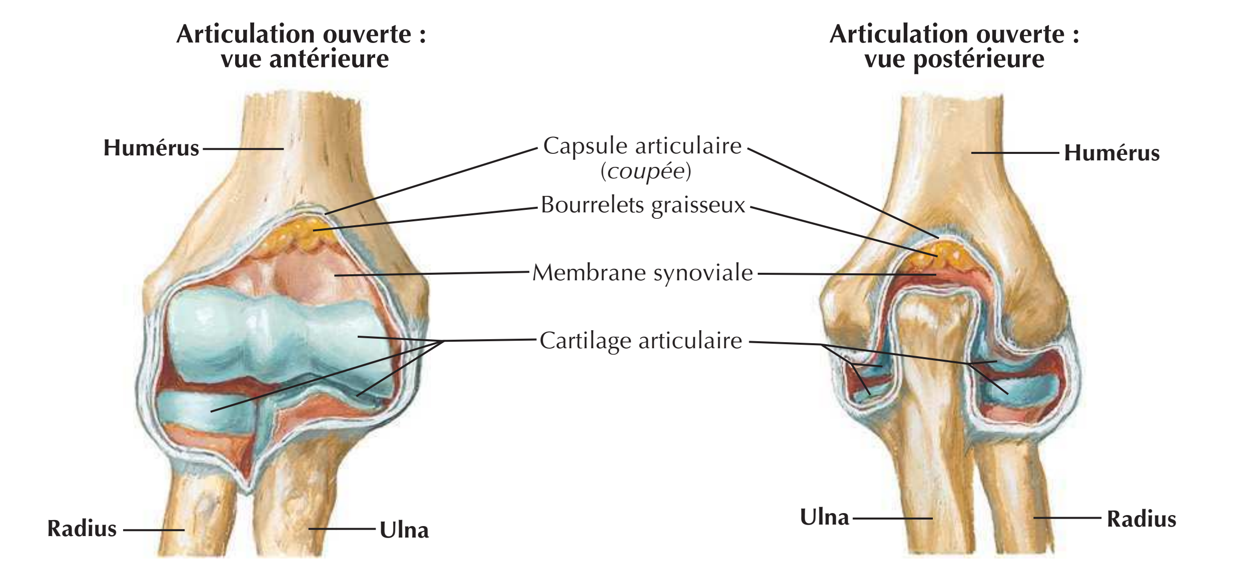




Coude droit : vue antérieure
Humérus
Capsule articulaire
Épicondyle latéral
Épicondyle médial
Ligament collatéral radial
Ligament collatéral ulnaire
Ligament annulaire du radius
Ligament carré
Tendon du biceps brachial
Insertion du muscle brachial
Radius
Ulna
F. Netter M.D.



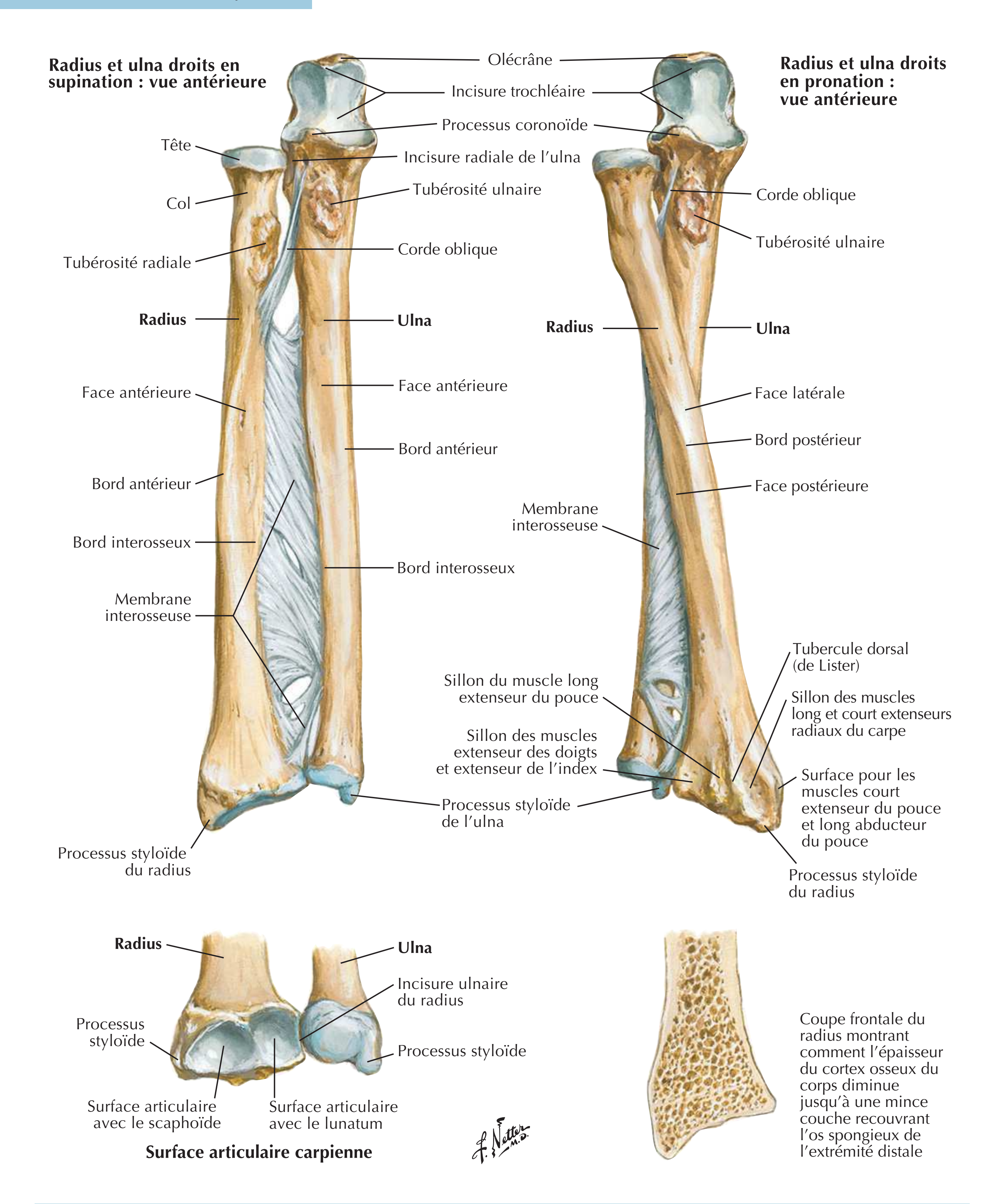
En flexion de 90° : vue latérale
Humérus
Tendon du triceps brachial
Capsule articulaire
Ligament collatéral radial
Ligament annulaire du radius
Tendon du biceps brachial
Radius
Ulna
Bourse sous-cutanée olécrânienne
En flexion de 90° : vue médiale
Capsule articulaire
Humérus
Ligament collatéral ulnaire
Ligament annulaire du radius
Tendon du biceps brachial
Tendon du triceps brachial
Bourse sous-cutanée olécrânienne



Articulation ouverte : vue antérieure
Articulation ouverte : vue postérieure
Humérus
Capsule articulaire (coupée)
Bourrelets graisseux
Membrane synoviale
Cartilage articulaire
Humérus
Radius
Ulna
Ulna
Radius

Os de l'avant-bras

Voir aussi **Planches 439, 442**





Muscles propres de l'avant-bras : rotateurs du radius

Voir aussi **Planche 434**

Avant-bras droit : vue antérieure

Position de supination

Épicondyle latéral

Épicondyle médial

Radius

Ulna

Position de pronation

Épicondyle médial

Épicondyle latéral

Radius

Ulna

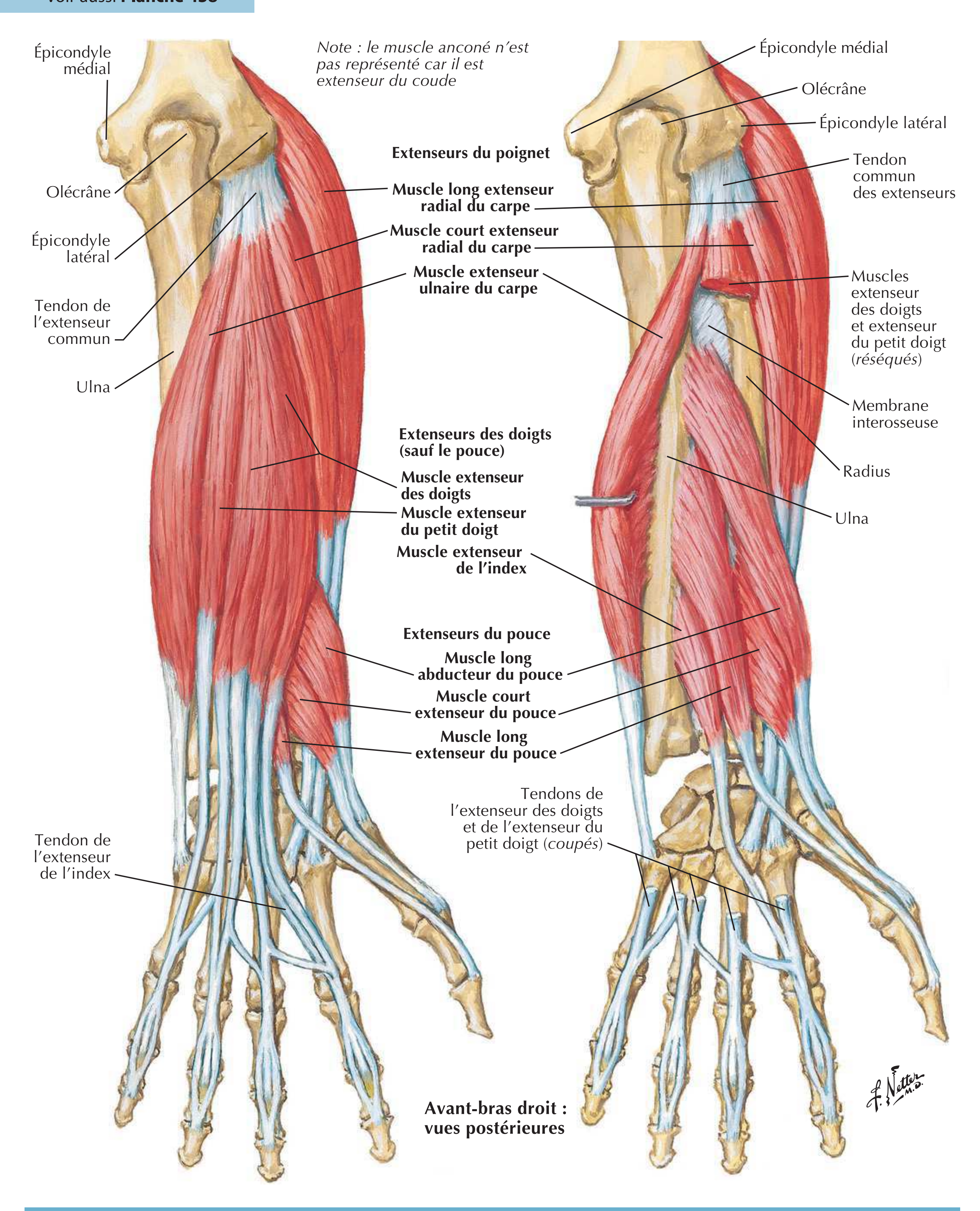
Muscle supinateur

Muscle rond pronateur
Chefs ulnaire et huméral

Muscle carré pronateur

Muscles propres de l'avant-bras : extenseurs du poignet et des doigts

Voir aussi **Planche 438**



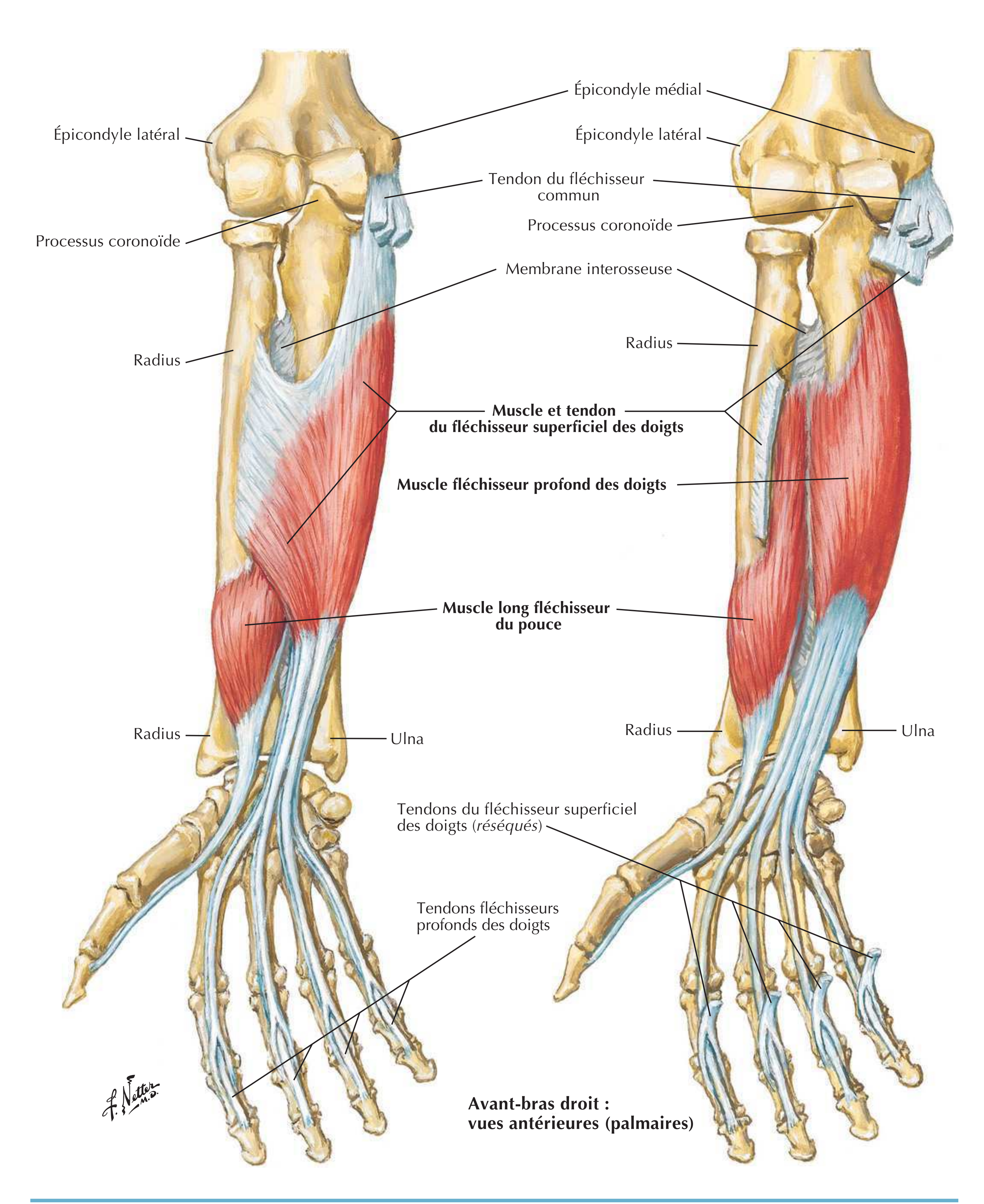
Avant-bras droit : vues postérieures



Note : le muscle brachio-radial n'est pas représenté car il est fléchisseur du coude

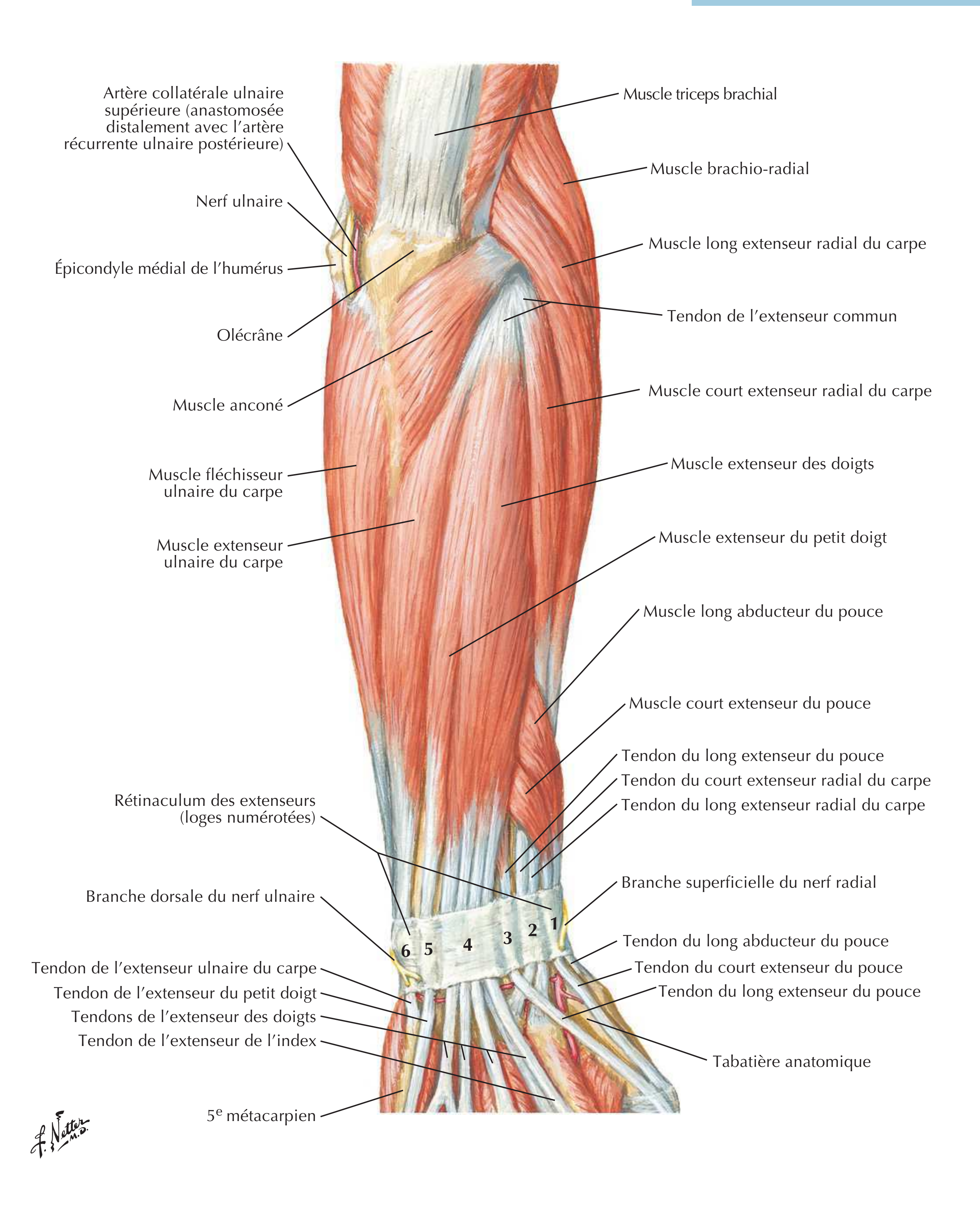
Avant-bras droit : vue antérieure (palmaire)

Muscles propres de l'avant-bras : fléchisseurs des doigts



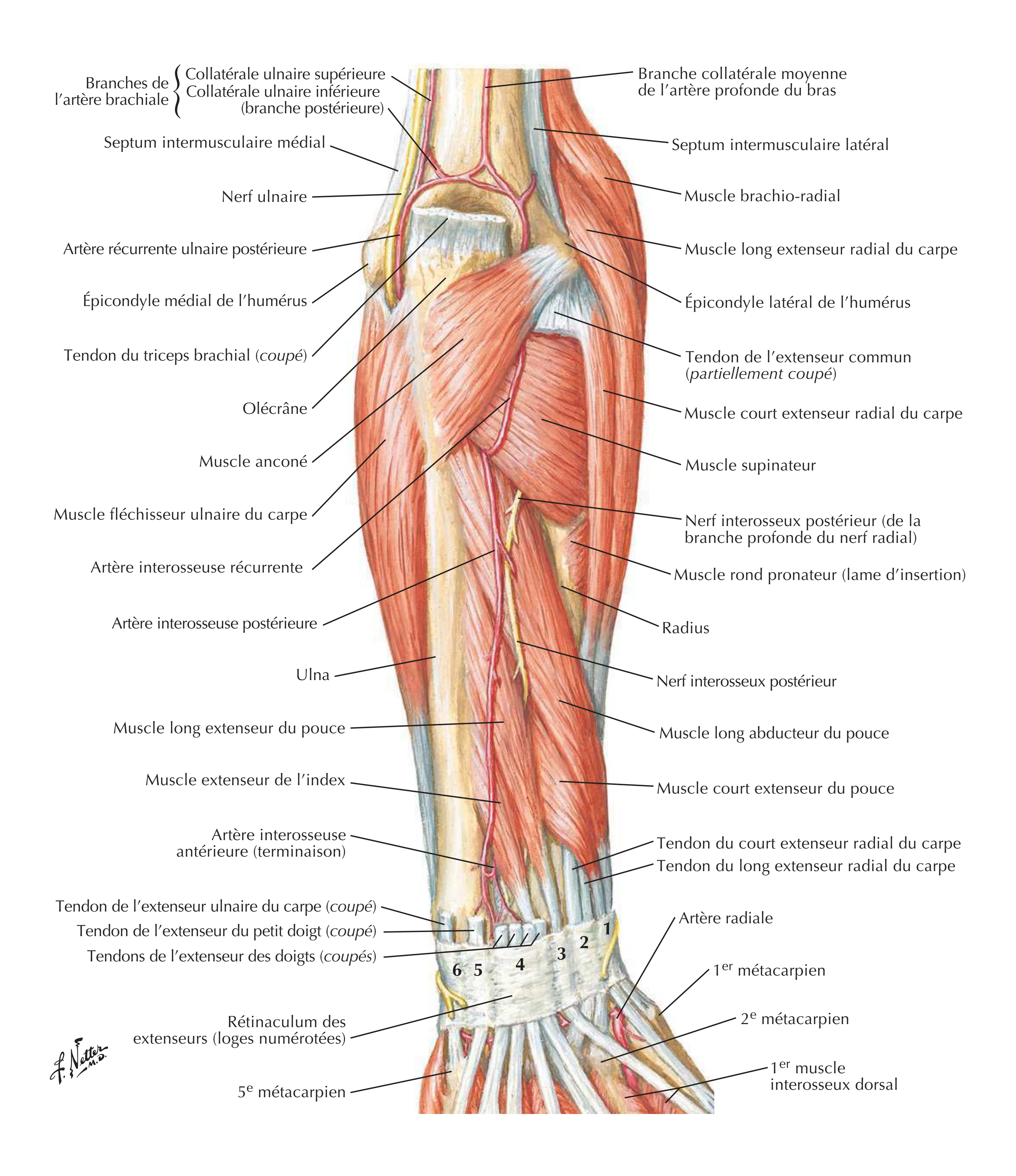
Avant-bras droit : vues antérieures (palmaires)

Voir aussi **Planches 457, 466**

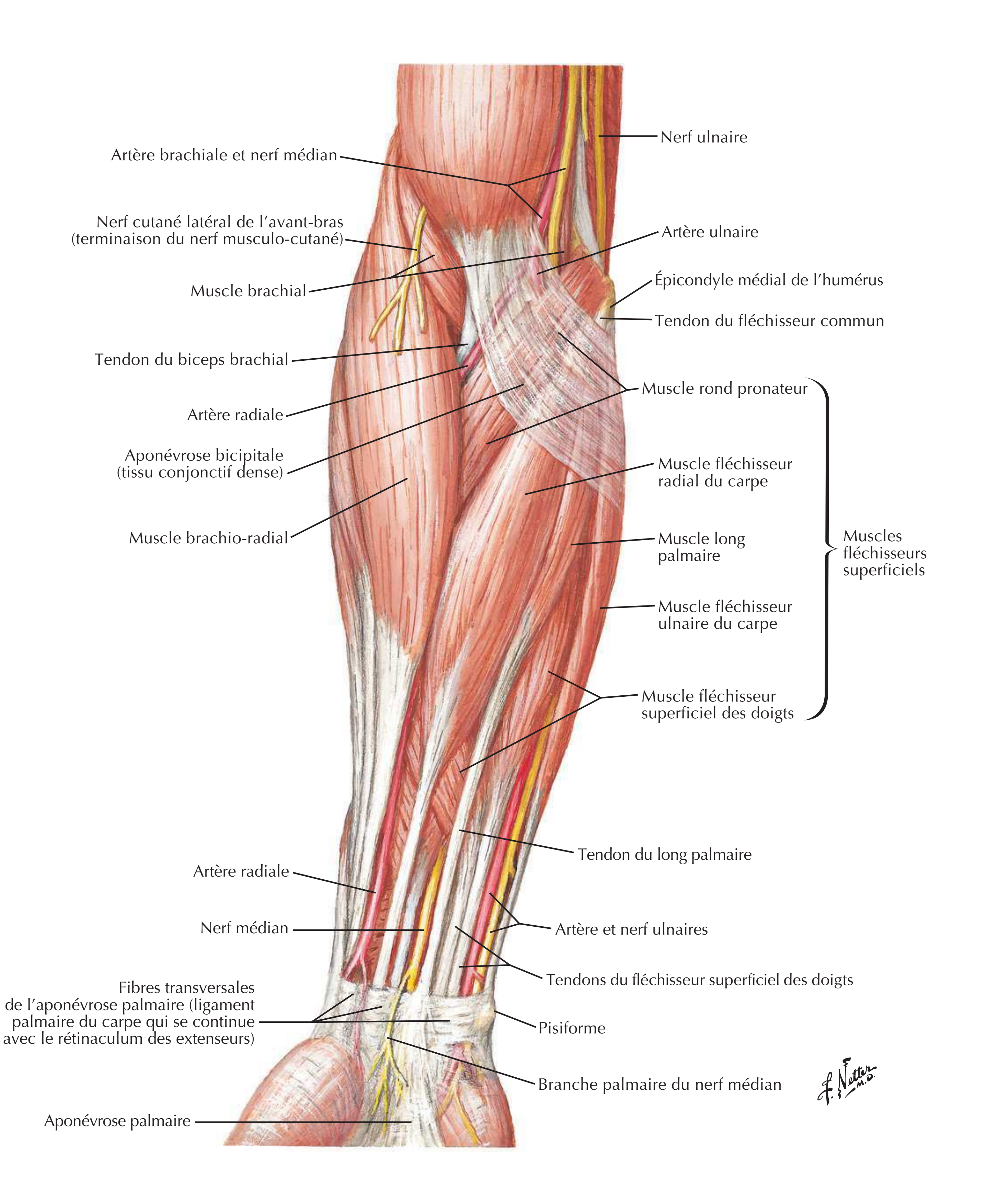


Muscles de l'avant-bras (couche profonde) : vue postérieure

Voir aussi **Planches 402, 457**

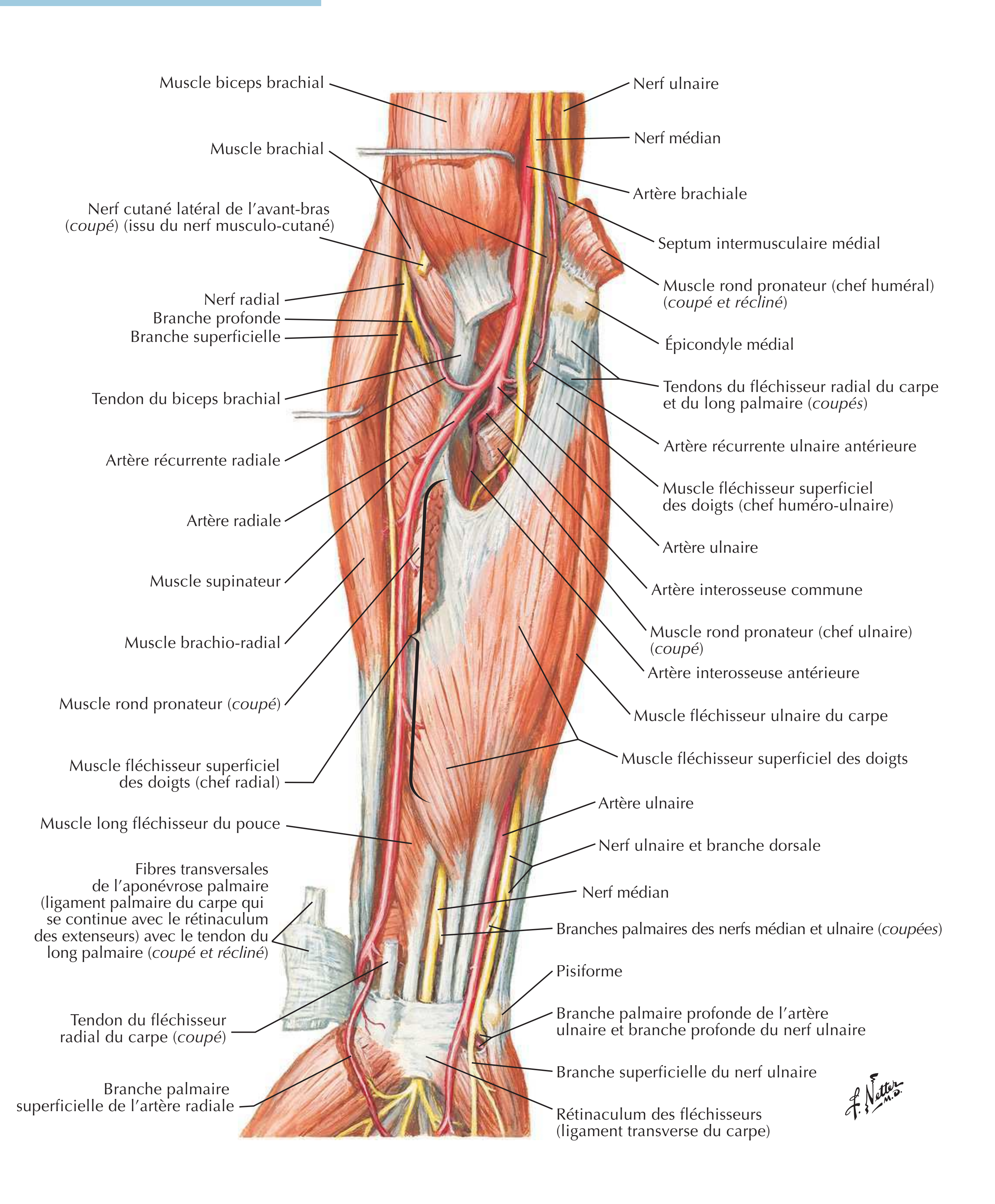


Voir aussi **Planches 463, 464**

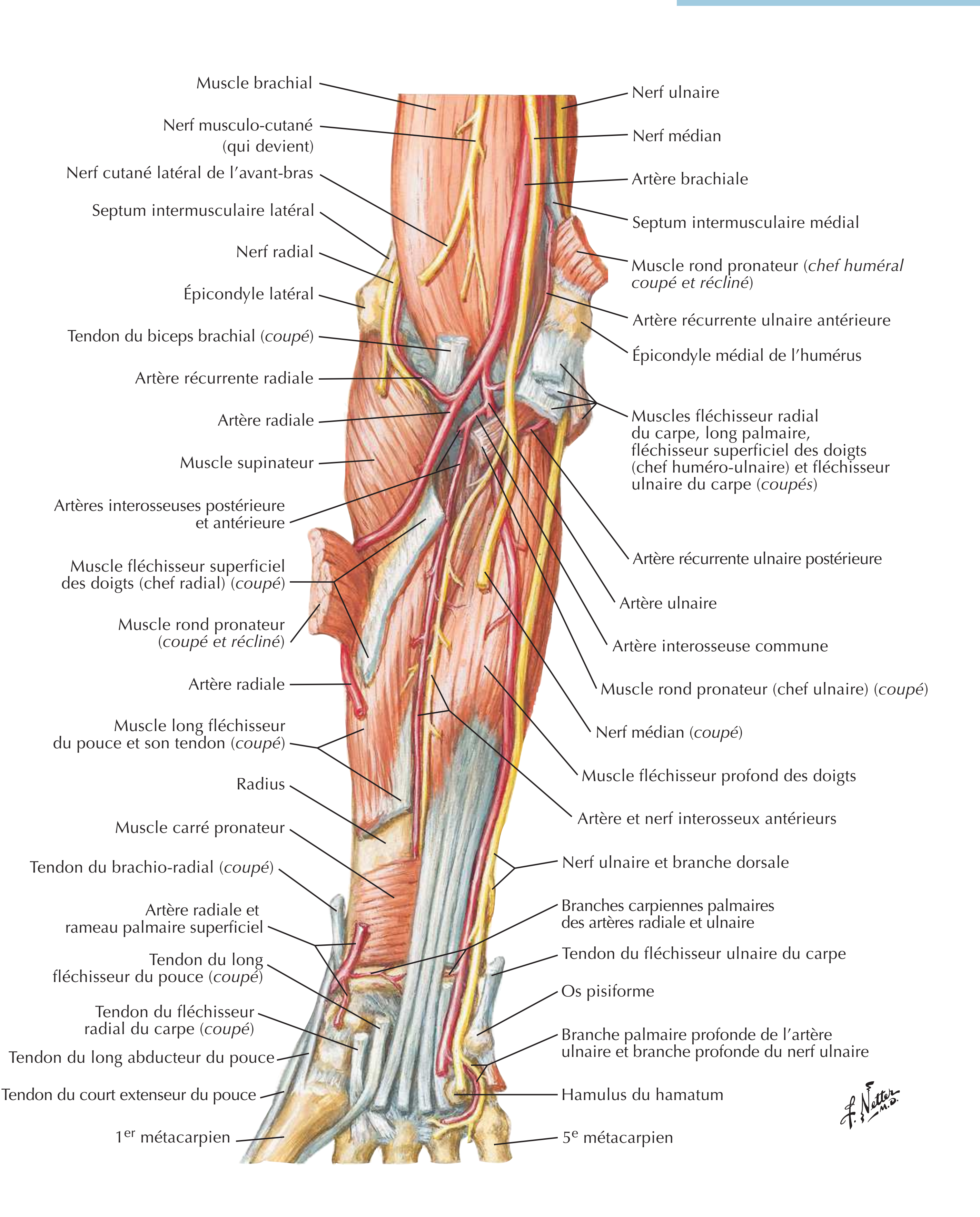


Muscles de l'avant-bras (couche intermédiaire) : vue antérieure

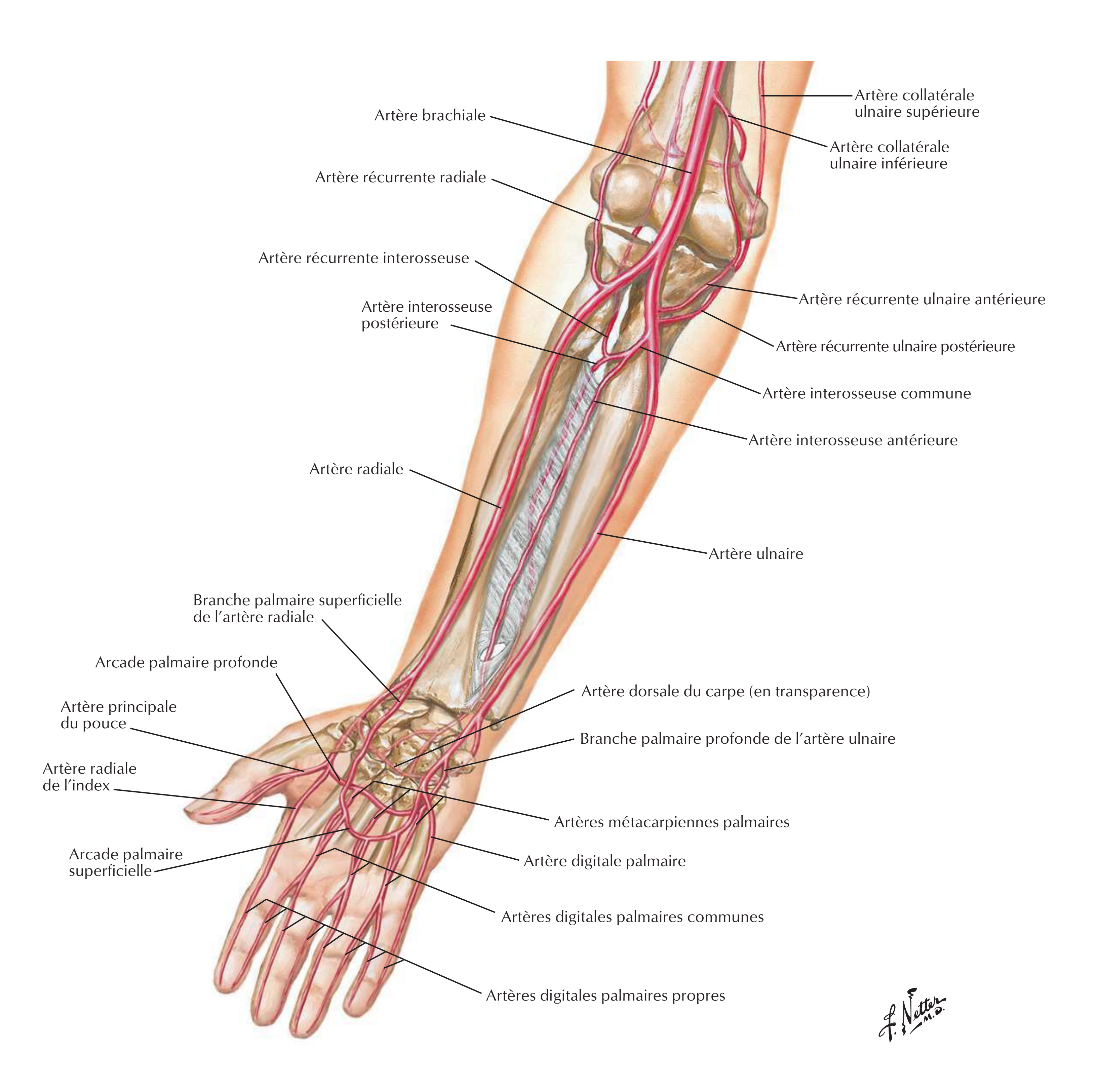
Voir aussi **Planches 420, 463, 464**

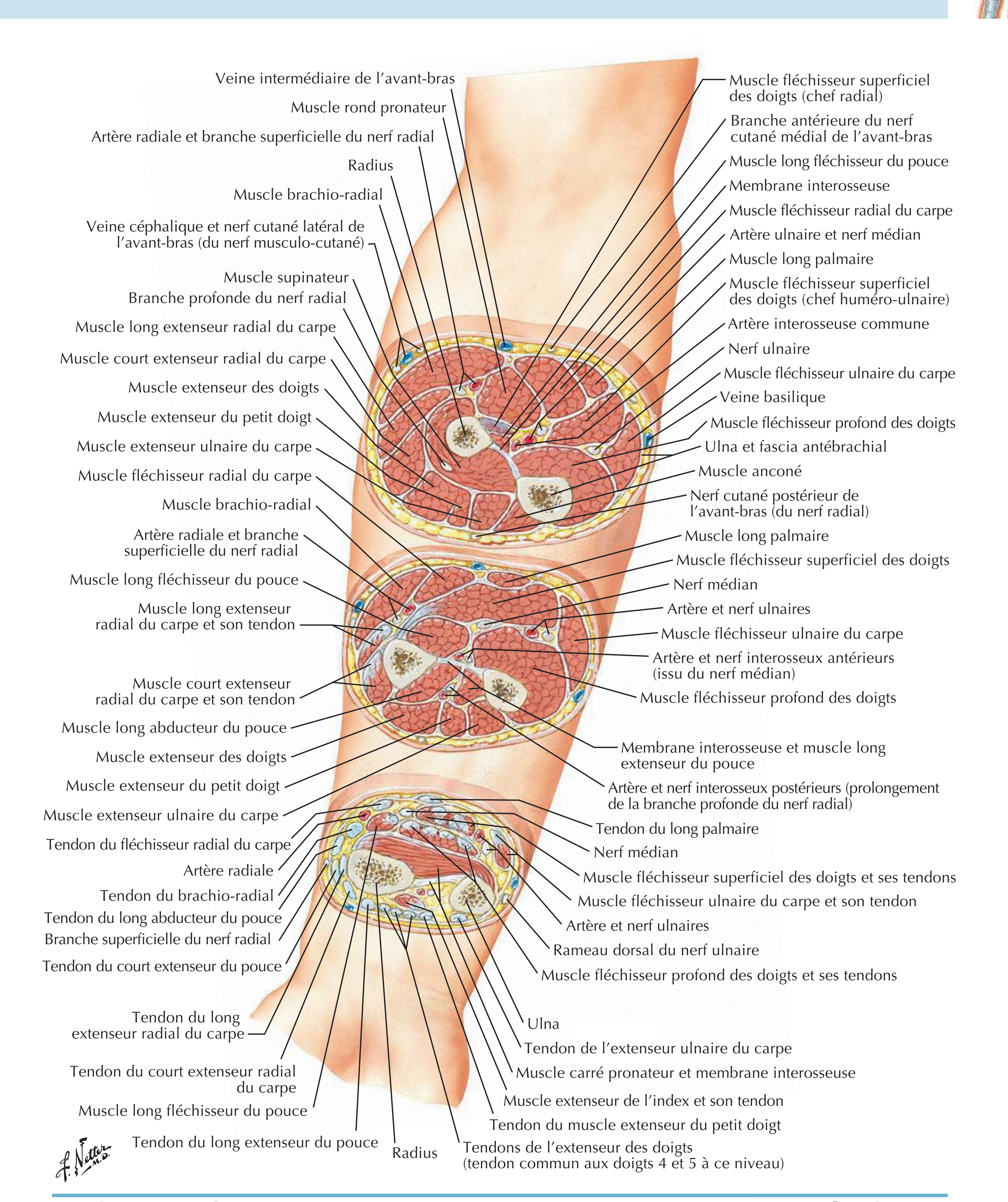


Voir aussi **Planches 426, 464**



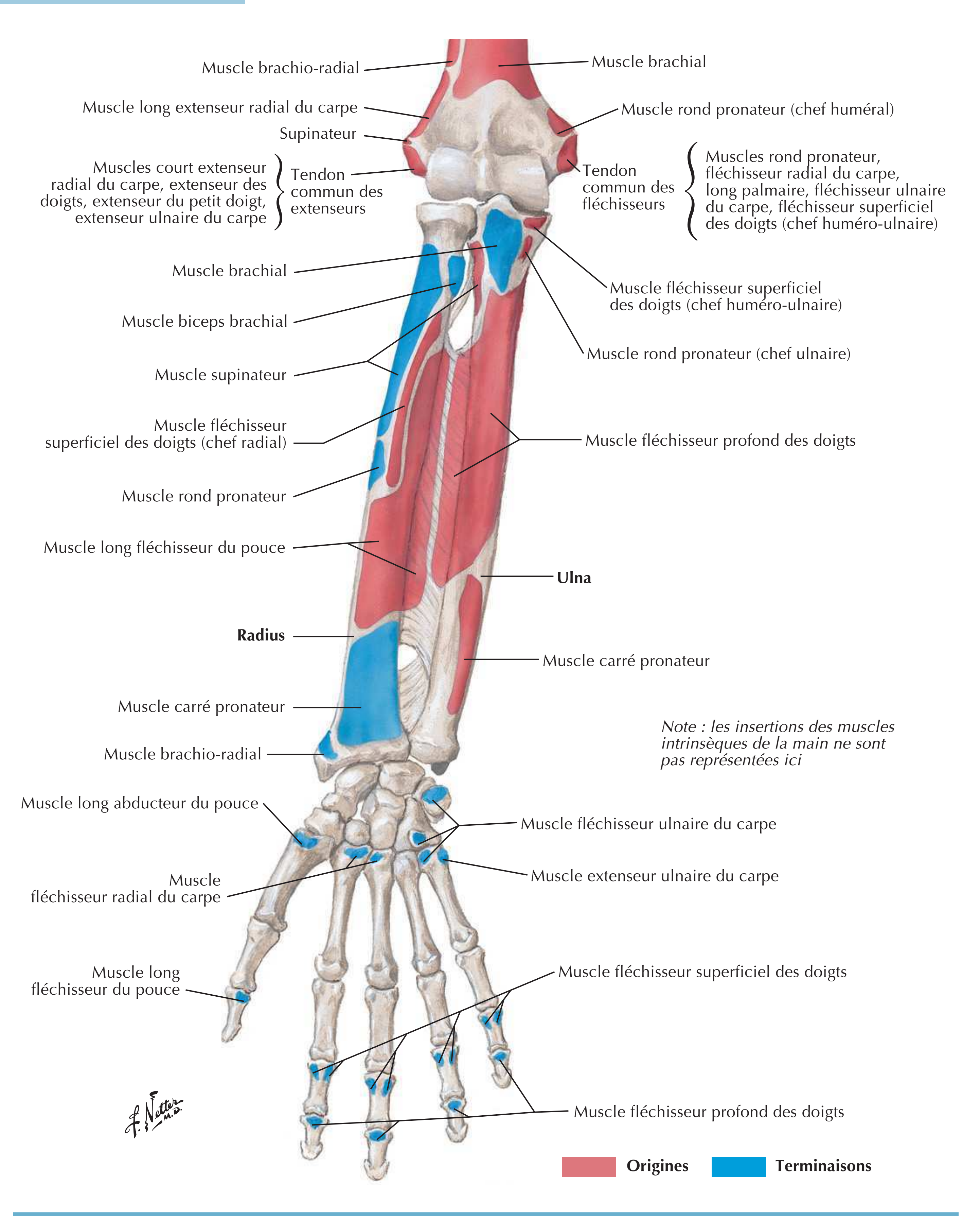
Artères de l'avant-bras



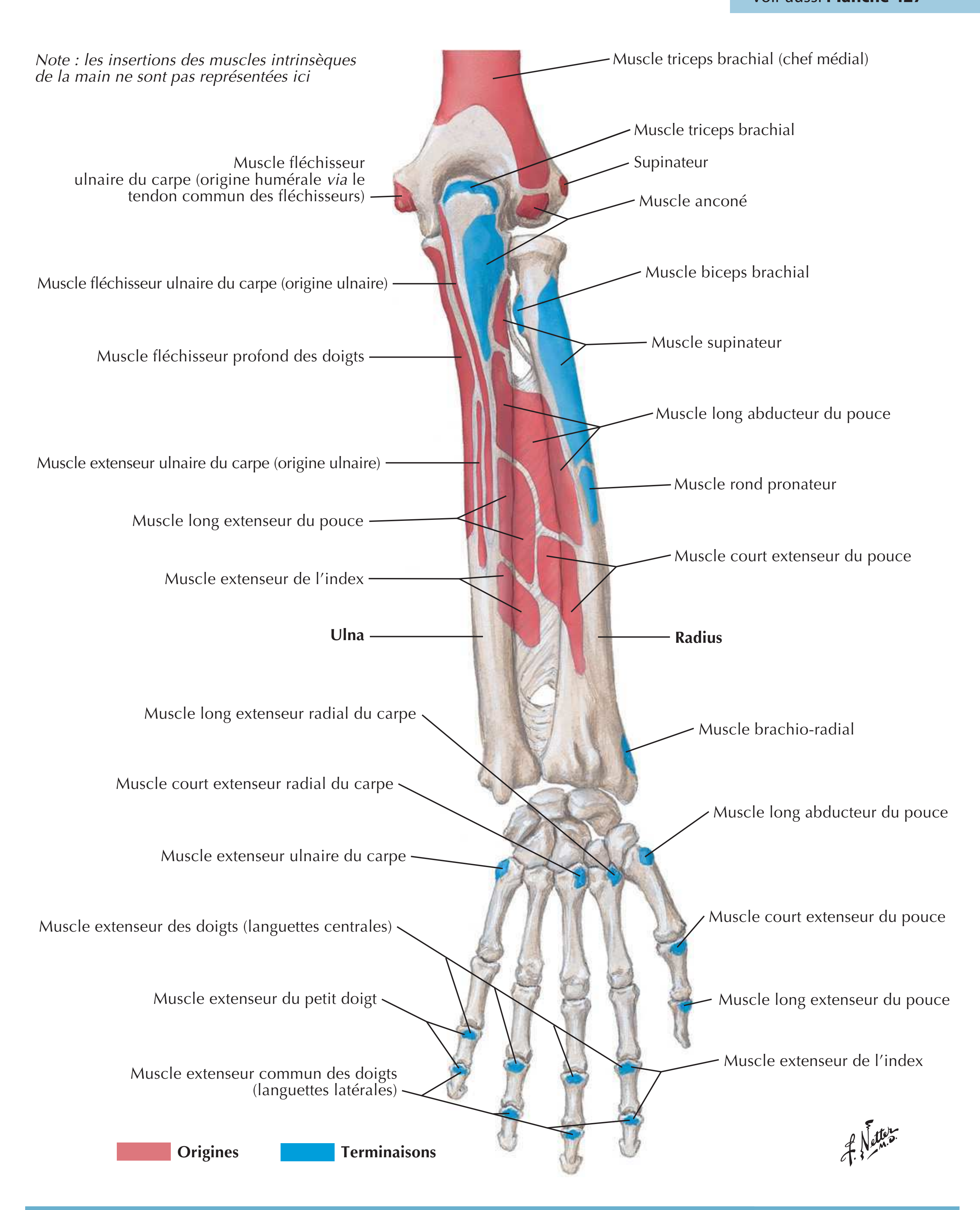

Veine intermédiaire de l'avant-bras
Muscle rond pronateur
Artère radiale et branche superficielle du nerf radial
Radius
Muscle brachio-radial
Veine céphalique et nerf cutané latéral de l'avant-bras (du nerf musculo-cutané)
Muscle supinateur
Branche profonde du nerf radial
Muscle long extenseur radial du carpe
Muscle court extenseur radial du carpe
Muscle extenseur des doigts
Muscle extenseur du petit doigt
Muscle extenseur ulnaire du carpe
Muscle fléchisseur radial du carpe
Muscle brachio-radial
Artère radiale et branche superficielle du nerf radial
Muscle long fléchisseur du pouce
Muscle long extenseur radial du carpe et son tendon
Muscle court extenseur radial du carpe et son tendon
Muscle long abducteur du pouce
Muscle extenseur des doigts
Muscle extenseur du petit doigt
Muscle extenseur ulnaire du carpe
Tendon du fléchisseur radial du carpe
Artère radiale
Tendon du brachio-radial
Tendon du long abducteur du pouce
Branche superficielle du nerf radial
Tendon du court extenseur du pouce
Tendon du long extenseur radial du carpe
Tendon du court extenseur radial du carpe
Muscle long fléchisseur du pouce
Tendon du long extenseur du pouce
Radius
Muscle fléchisseur superficiel des doigts (chef radial)
Branche antérieure du nerf cutané médial de l'avant-bras
Muscle long fléchisseur du pouce
Membrane interosseuse
Muscle fléchisseur radial du carpe
Artère ulnaire et nerf médian
Muscle long palmaire
Muscle fléchisseur superficiel des doigts (chef huméro-ulnaire)
Artère interosseuse commune
Nerf ulnaire
Muscle fléchisseur ulnaire du carpe
Veine basilique
Muscle fléchisseur profond des doigts
Ulna et fascia antébrachial
Muscle anconé
Nerf cutané postérieur de l'avant-bras (du nerf radial)
Muscle long palmaire
Muscle fléchisseur superficiel des doigts
Nerf médian
Artère et nerf ulnaires
Muscle fléchisseur ulnaire du carpe
Artère et nerf interosseux antérieurs (issu du nerf médian)
Muscle fléchisseur profond des doigts
Membrane interosseuse et muscle long extenseur du pouce
Artère et nerf interosseux postérieurs (prolongement de la branche profonde du nerf radial)
Tendon du long palmaire
Nerf médian
Muscle fléchisseur superficiel des doigts et ses tendons
Muscle fléchisseur ulnaire du carpe et son tendon
Artère et nerf ulnaires
Rameau dorsal du nerf ulnaire
Muscle fléchisseur profond des doigts et ses tendons
Ulna
Tendon de l'extenseur ulnaire du carpe
Muscle carré pronateur et membrane interosseuse
Muscle extenseur de l'index et son tendon
Tendon du muscle extenseur du petit doigt
Tendons de l'extenseur des doigts (tendon commun aux doigts 4 et 5 à ce niveau)
F. Netter M.D.

Insertions des muscles de l'avant-bras : vue antérieure

Voir aussi **Planche 422**

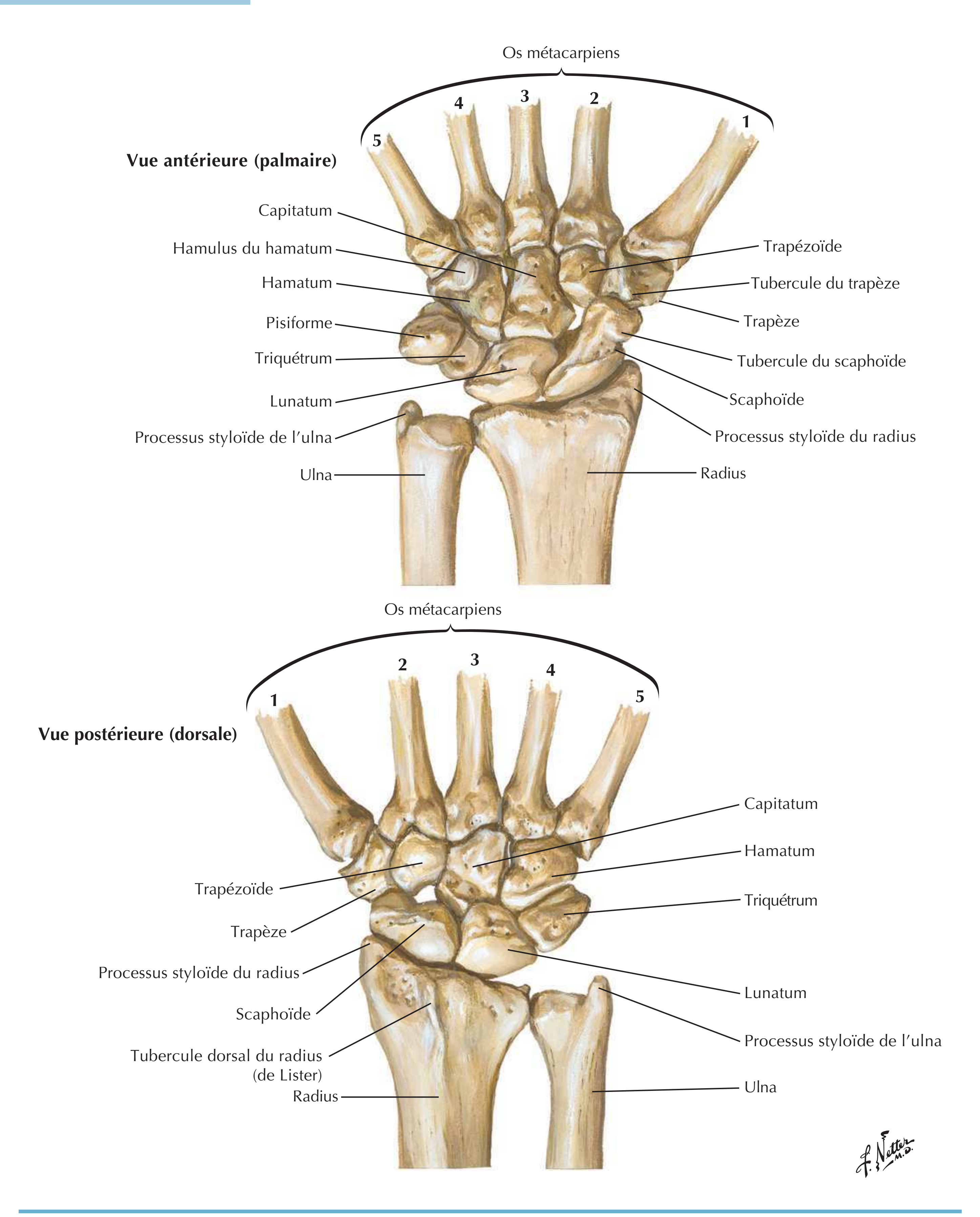


Voir aussi **Planche 427**

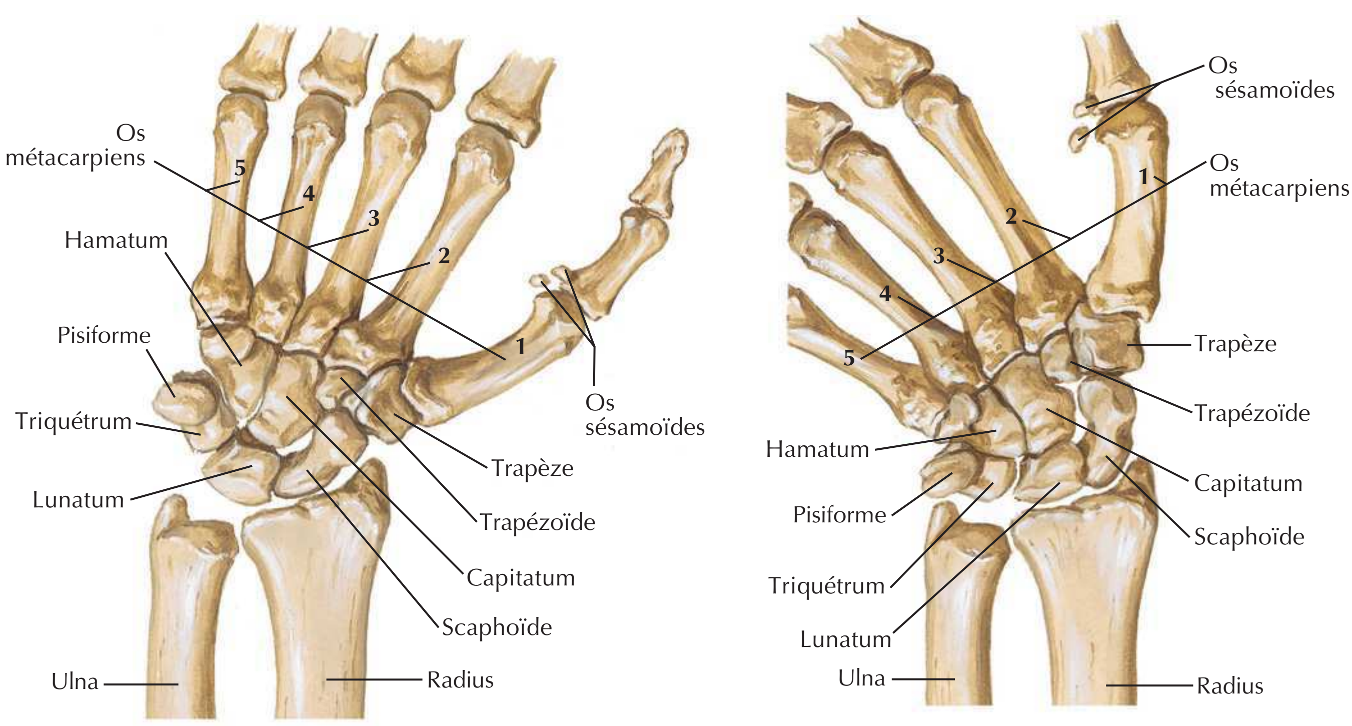


Os du carpe

Voir aussi **Planche 425**







Position des os du carpe avec la main en abduction : vue antérieure (palmaire)

Position des os du carpe avec la main en adduction : vue antérieure (palmaire)

Paume
Dos
3e métacarpien
Articulation carpo-métacarpienne
Capitatum
Articulation intercarpienne (médio-carpienne)
Lunatum
Disque articulaire de l'articulation radio-carpienne
Articulation radio-carpienne (du poignet)
Radius

Main en position anatomique

Paume
Articulation carpo-métacarpienne
Articulation intercarpienne (médio-carpienne)
Articulation radio-carpienne (du poignet)
Radius

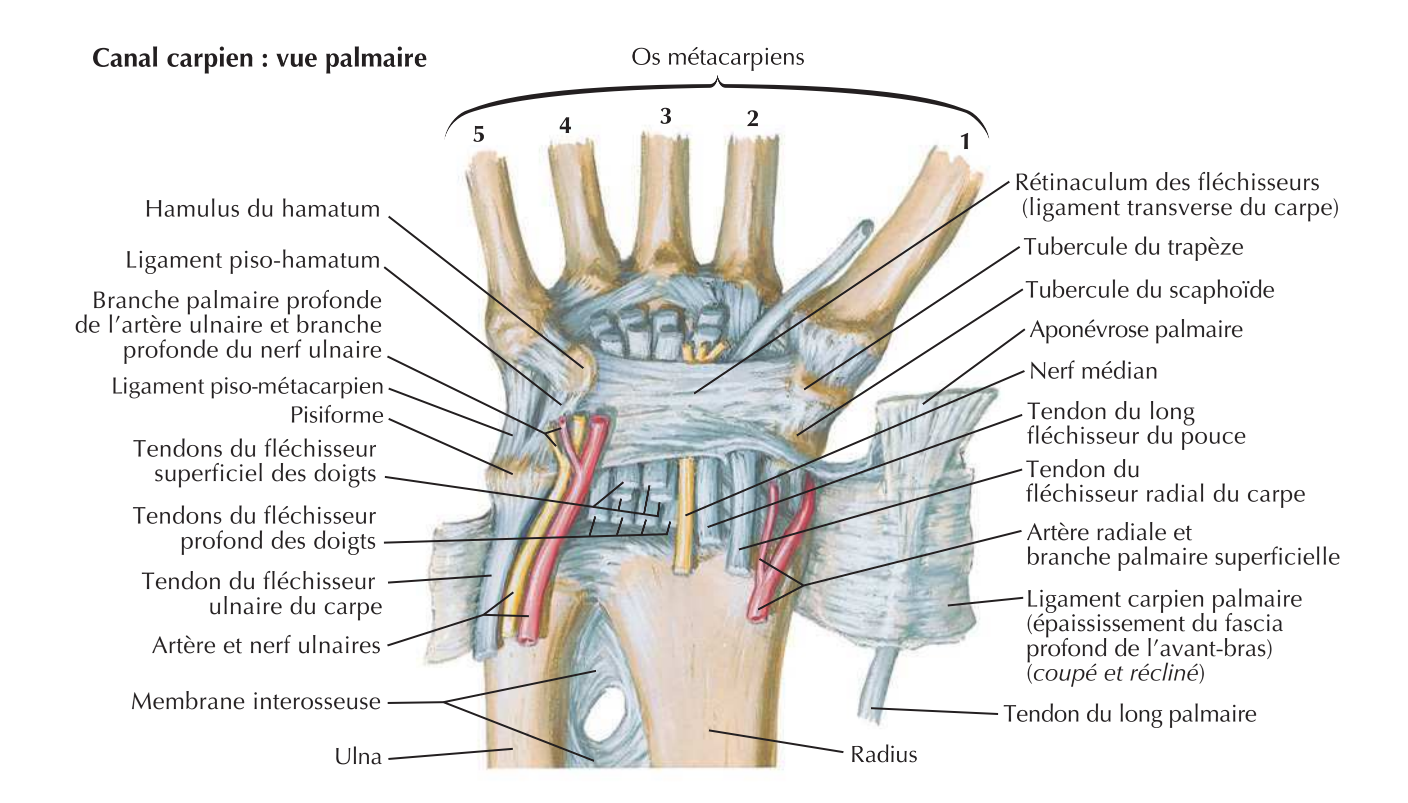
Main en flexion

Paume
Articulation carpo-métacarpienne
Articulation intercarpienne (médio-carpienne)
Articulation radio-carpienne (du poignet)

Main en extension

F. Netter M.D.

Coupes sagittales à travers le poignet et le milieu du doigt



Rétinaculum des fléchisseurs réséqué : vue palmaire

Os métacarpiens

5 4 3 2 1

Ligament capito-hamatien

Ligament triquétro-capital

Ligament triquétro-hamatien

Ligament luno-triquétral

Ligament ulno-carpien palmaire:
- Ligament ulno-triquétral
- Ligament ulno-capital
- Ligament ulno-lunaire

Ligament radio-ulnaire palmaire

Ligament radio-lunaire court

Ligament trapézoïdo-capital

Ligament trapézo-trapézoïdien

Ligament scapho-capital

Ligament scapho-trapézo-trapézoïdien

Ligament radio-scapho-capital

Ligament radio-lunaire long

F. Netter M.D.

C. Machado M.D.

Voir aussi Planche 425

Vue postérieure (dorsale)

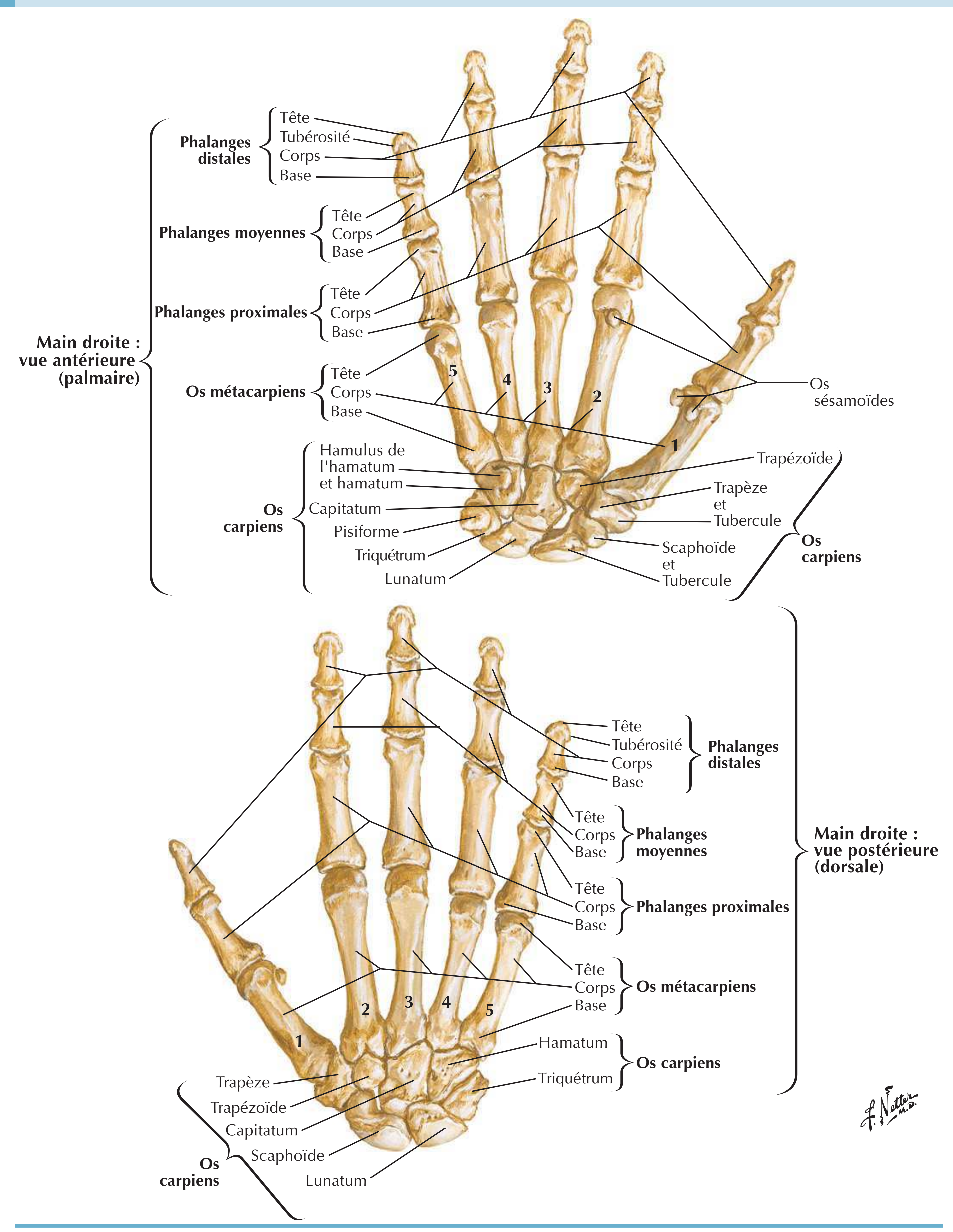
Os métacarpiens
1
2
3
4
5
Ligament trapézo-capital
Ligament trapézo-trapézoïdien
Ligament scapho-lunaire
Ligament radio-carpien dorsal
Ligament capito-hamatien
Ligament médio-carpien dorsal
Ligament triquétro-hamatien (médio-carpien médial)
Ligament ulno-triquétral (vue dorsale)
Ligament radio-ulnaire dorsal
Ligament arqué métaphysaire radial dorsal

Coupe coronale : vue dorsale

Os métacarpiens
1
2
3
4
5
Articulations intermétacarpiennes
Articulation carpo-métacarpienne
Trapèze
Trapézoïde
Articulation intercarpienne (médio-carpienne)
Scaphoïde
Articulation radio-carpienne (du poignet)
Lunatum
Radius
Capitatum
Hamatum
Triquétrum
Ligaments intercarpiens interosseux
Pisiforme
Ménisque
Disque articulaire de l'articulation radio-carpienne
Articulation radio-ulnaire distale
Ulna

F. Netter M.D.
C. Machado M.D.

Os du poignet et de la main



Voir aussi **Planche 456**

Vue de face

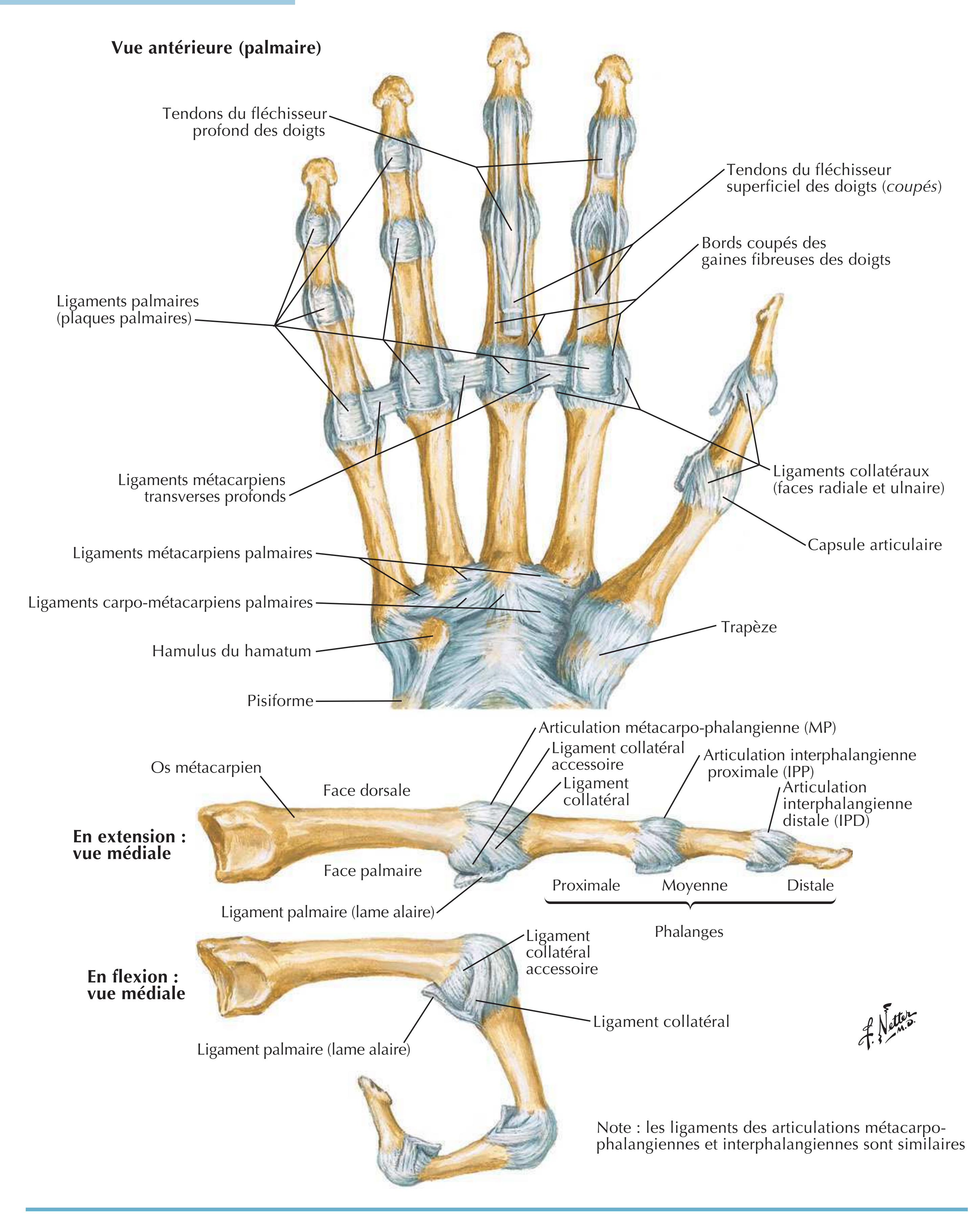


Vue latérale



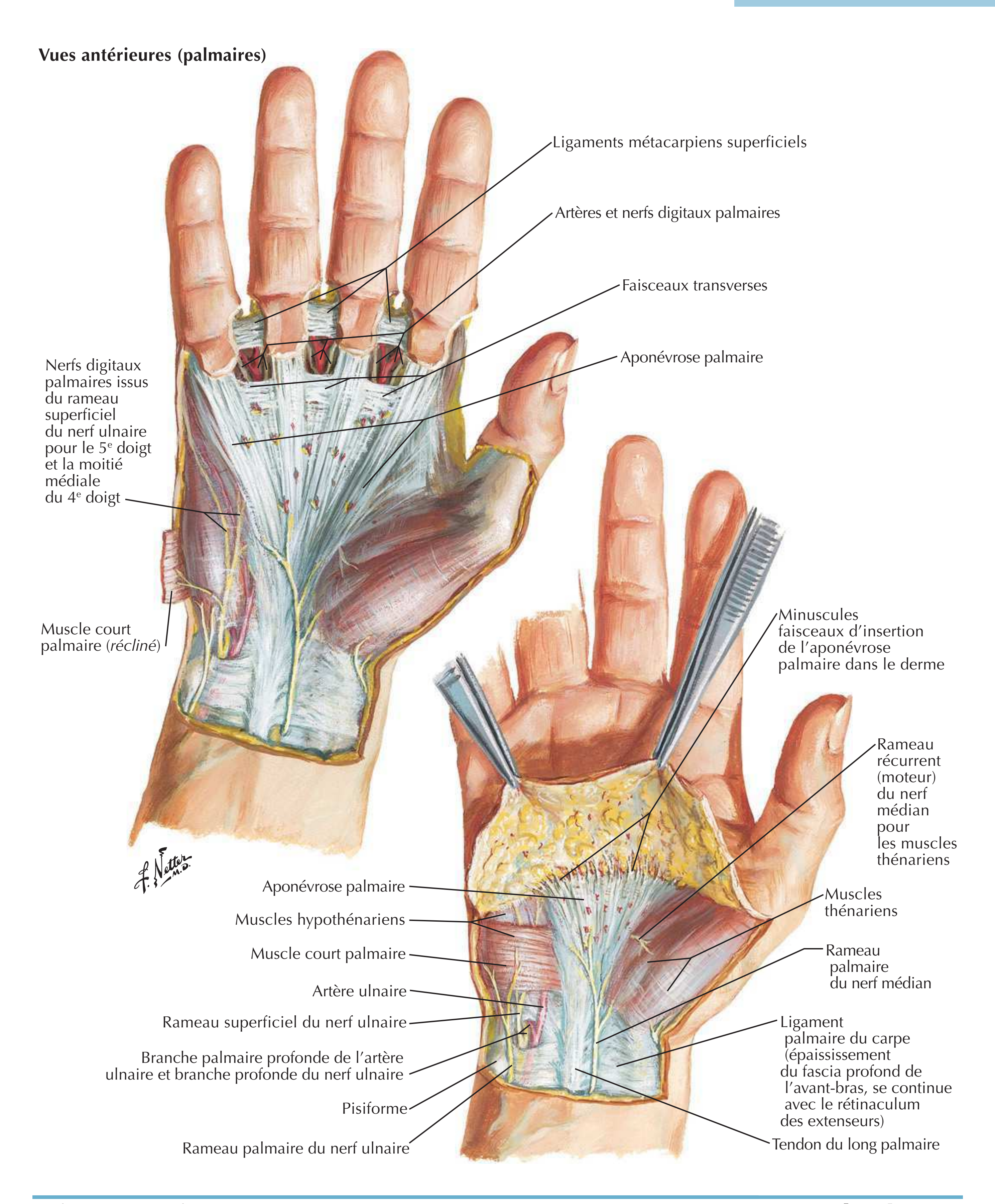
Ligaments métacarpo-phalangiens et interphalangiens

Voir aussi **Planches 448, 451**

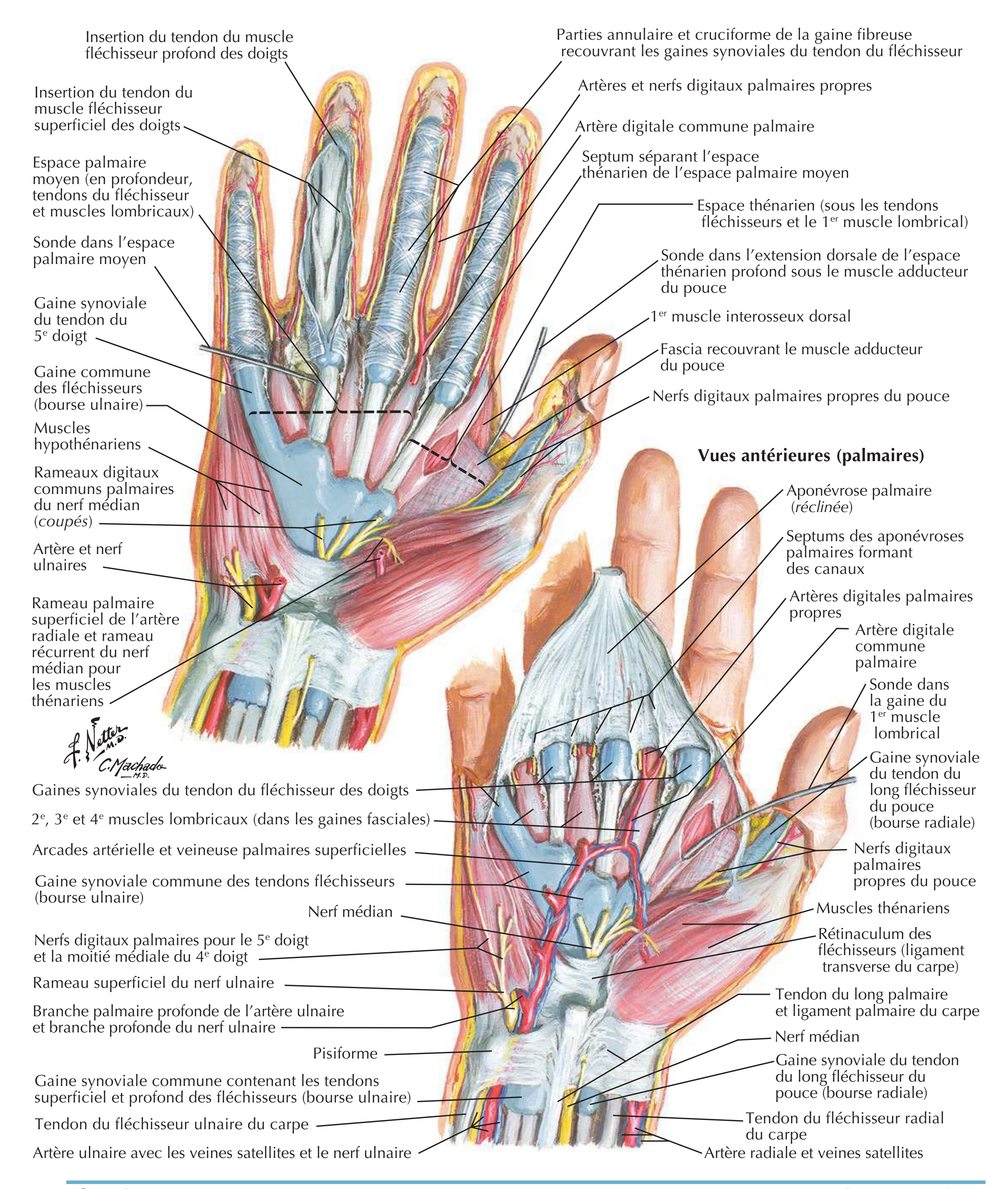


Voir aussi **Planche 459**

Vues antérieures (palmaires)



Poignet et main : dissections palmaires profondes



Muscles lombricaux, bourses, gaines et espaces : schéma

Voir aussi **Planche 445**

Variation fréquente

Gaine intermédiaire (communication entre la gaine synoviale commune des fléchisseurs [bourse ulnaire] et la gaine synoviale du tendon du long fléchisseur du pouce [bourse radiale])

Disposition habituelle

Gaines synoviales des tendons des doigts

Muscles lombricaux (dans leur gaine fasciale)

Espace moyen palmaire

Espace thénarien

Gaine synoviale commune des fléchisseurs (bourse ulnaire)

Gaine synoviale du tendon du fléchisseur du pouce (bourse radiale)

Muscles lombricaux : schéma

Tendons du fléchisseur superficiel des doigts (*coupés*)

Chiasma de Camper

Les tendons lombricaux distaux s'insèrent sur l'aponévrose dorsale des doigts (système extenseur).

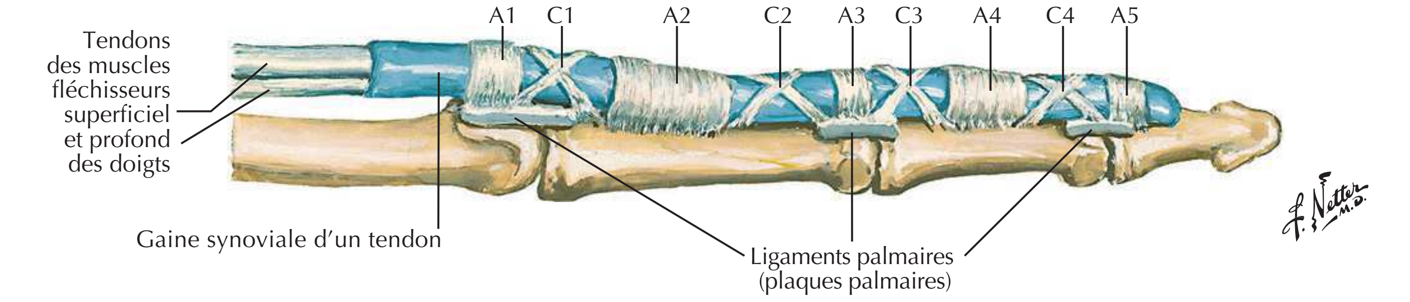
3e et 4e muscles lombricaux (bipennés)

1er et 2e muscles lombricaux (unipennés)

Les tendons lombricaux proximaux naissent des tendons du fléchisseur profond des doigts.

Tendons du fléchisseur profond des doigts

Note : les tendons fléchisseurs superficiel et profond des doigts enveloppés de leur gaine synoviale sont liés à la phalange par les gaines fibreuses des doigts qui alternent les parties (poulies) annulaires solides (A) et cruciformes plus faibles (C).



Tendons fléchisseurs, artères et nerfs du poignet

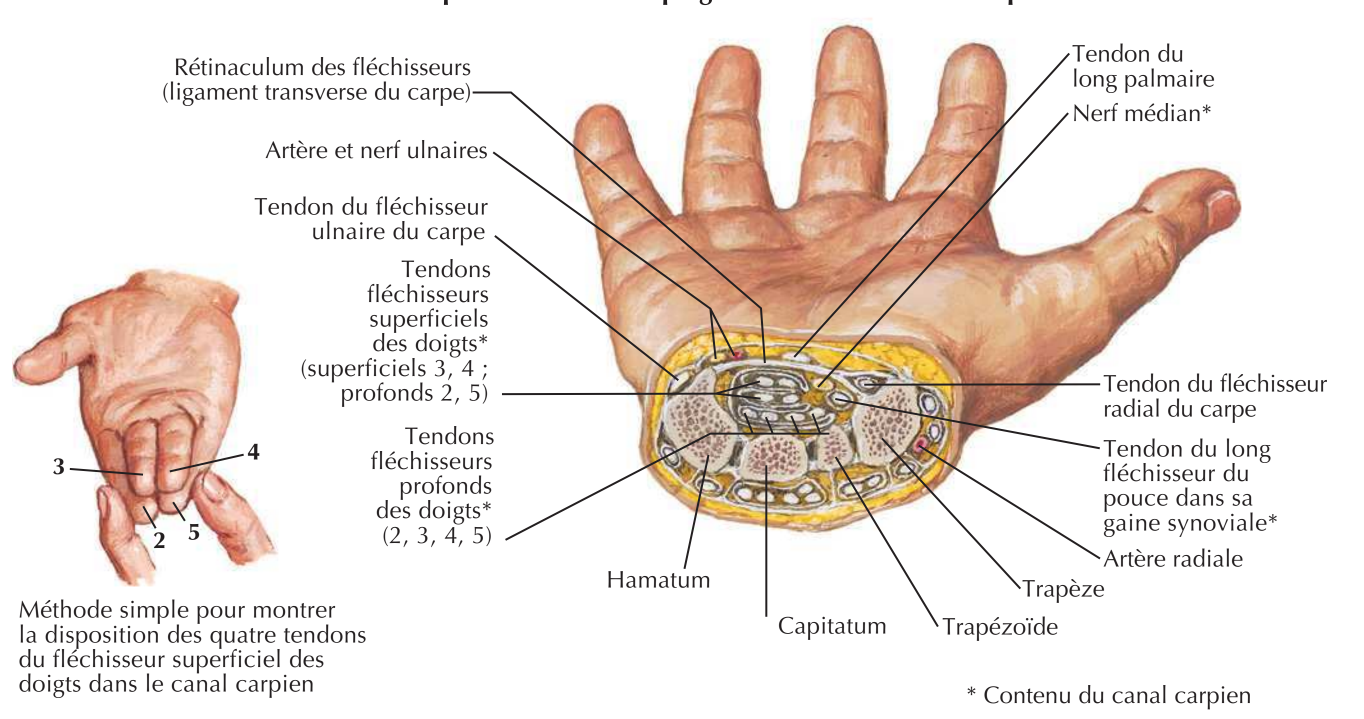
Voir aussi **Planches 459, 460**

Vue palmaire

Muscle adducteur du pouce
Muscle court fléchisseur du pouce (*récliné*)
Muscles lombricaux
Arcade (artérielle) palmaire superficielle
Muscle opposant du petit doigt
Muscle court fléchisseur du petit doigt
Muscle abducteur du petit doigt
Pisiforme
Tendon du fléchisseur ulnaire du carpe
Nerf ulnaire
Artère ulnaire
Gaine synoviale commune des fléchisseurs (bourse ulnaire)
Tendons du fléchisseur superficiel des doigts
Muscle court abducteur du pouce (*récliné*)
Muscle opposant du pouce (*coupé*)
1er os métacarpien
Trapèze
Rétinaculum des fléchisseurs (ligament transverse du carpe)
Gaine synoviale du tendon
Ligament carpien palmaire (*récliné*)
Tendon du long fléchisseur du pouce dans sa gaine synoviale (bourse radiale)
Tendon du fléchisseur radial du carpe
Artère radiale
Nerf médian
Tendon du long palmaire

F. Netter M.D.

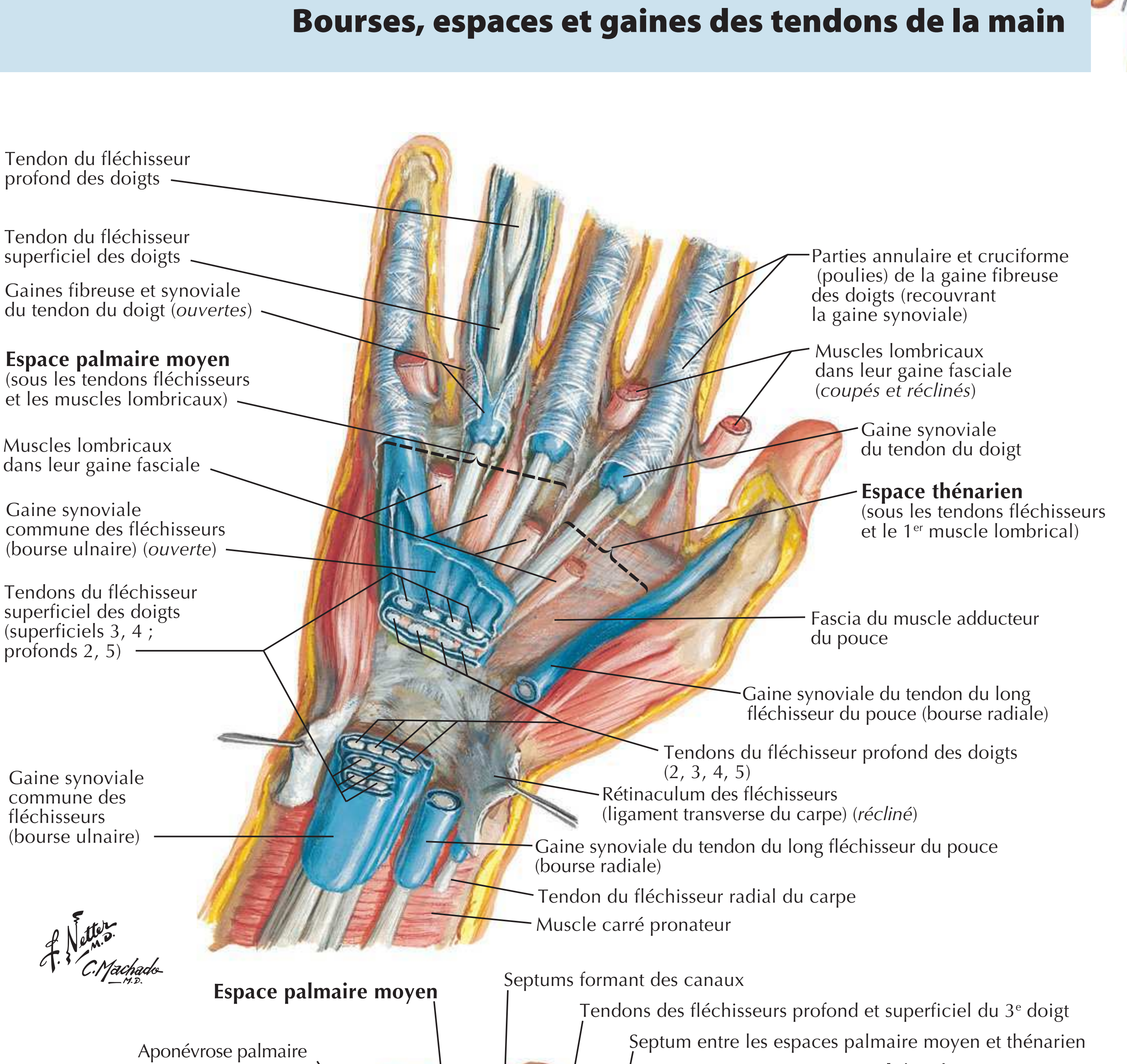
Coupe transversale du poignet montrant le canal carpien



Méthode simple pour montrer la disposition des quatre tendons du fléchisseur superficiel des doigts dans le canal carpien

* Contenu du canal carpien

Bourses, espaces et gaines des tendons de la main



Espace palmaire moyen

Septums formant des canaux

Tendons des fléchisseurs profond et superficiel du 3e doigt

Septum entre les espaces palmaire moyen et thénarien

Espace thénarien

Aponévrose palmaire

Artère et nerf digitaux palmaires communs

Muscle lombrical dans sa gaine fasciale

Tendons fléchisseurs du 5e doigt dans la gaine synoviale commune des fléchisseurs (bourse ulnaire)

Muscles hypothénariens

Fascia interosseux dorsal

Espace sous-aponévrotique dorsal

Fascia dorsal de la main

Espace sous-cutané dorsal

Tendon du long fléchisseur du pouce dans sa gaine synoviale (bourse radiale)

Tendon du long extenseur du pouce

Muscle adducteur du pouce

Fascia interosseux palmaire

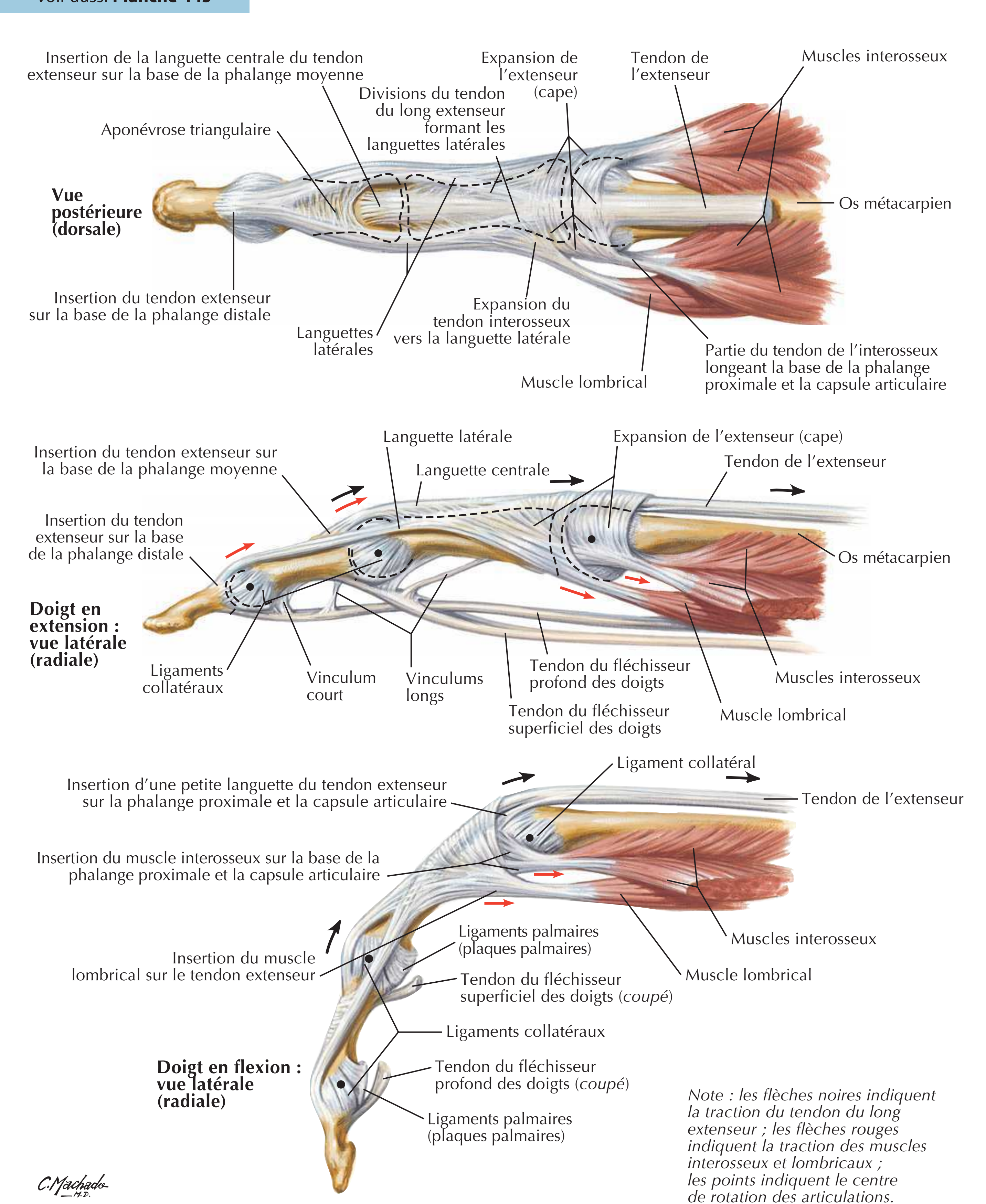
Muscles interosseux palmaires

Muscles interosseux dorsaux de la main

Tendons de l'extenseur

Tendons fléchisseurs et extenseurs des doigts

Voir aussi **Planche 445**



Note : les flèches noires indiquent la traction du tendon du long extenseur ; les flèches rouges indiquent la traction des muscles interosseux et lombricaux ; les points indiquent le centre de rotation des articulations.



Muscles intrinsèques de la main

Muscles lombricaux (*réclinés*)
Rameaux de la branche profonde du nerf ulnaire pour les 3e et 4e muscles lombricaux et tous les muscles interosseux
1er muscle interosseux dorsal
Muscle adducteur du pouce
Muscle court fléchisseur du pouce
Muscle court abducteur du pouce (*coupé*)
Rameaux du nerf médian pour les muscles thénariens et les 1er et 2e muscles lombricaux
Muscle opposant du pouce
Rétinaculum des fléchisseurs (ligament transverse du carpe) (*récliné*)
Branche palmaire superficielle de l'artère radiale
Radius
Artère radiale et branche carpienne palmaire
Ligaments métacarpiens transverses profonds
Artères digitales communes palmaires
Artères métacarpiennes palmaires
Arcade (artérielle) palmaire profonde
Muscle opposant du petit doigt
Muscle court fléchisseur du petit doigt (*coupé*)
Branche palmaire profonde de l'artère ulnaire et branche profonde du nerf ulnaire
Muscle abducteur du petit doigt (*coupé*)
Nerf médian
Pisiforme
Arcade (artérielle) carpienne palmaire
Tendon du fléchisseur ulnaire du carpe
Artère ulnaire et branche carpienne palmaire
Nerf ulnaire
Muscle carré pronateur

Vue antérieure (palmaire)

Muscles interosseux dorsaux (bipennés)
1
2
3
4
Muscle court abducteur du pouce
Artère radiale
Radius
Ulna
Muscle abducteur du petit doigt

Vue postérieure (dorsale)

C. Machado M.D.

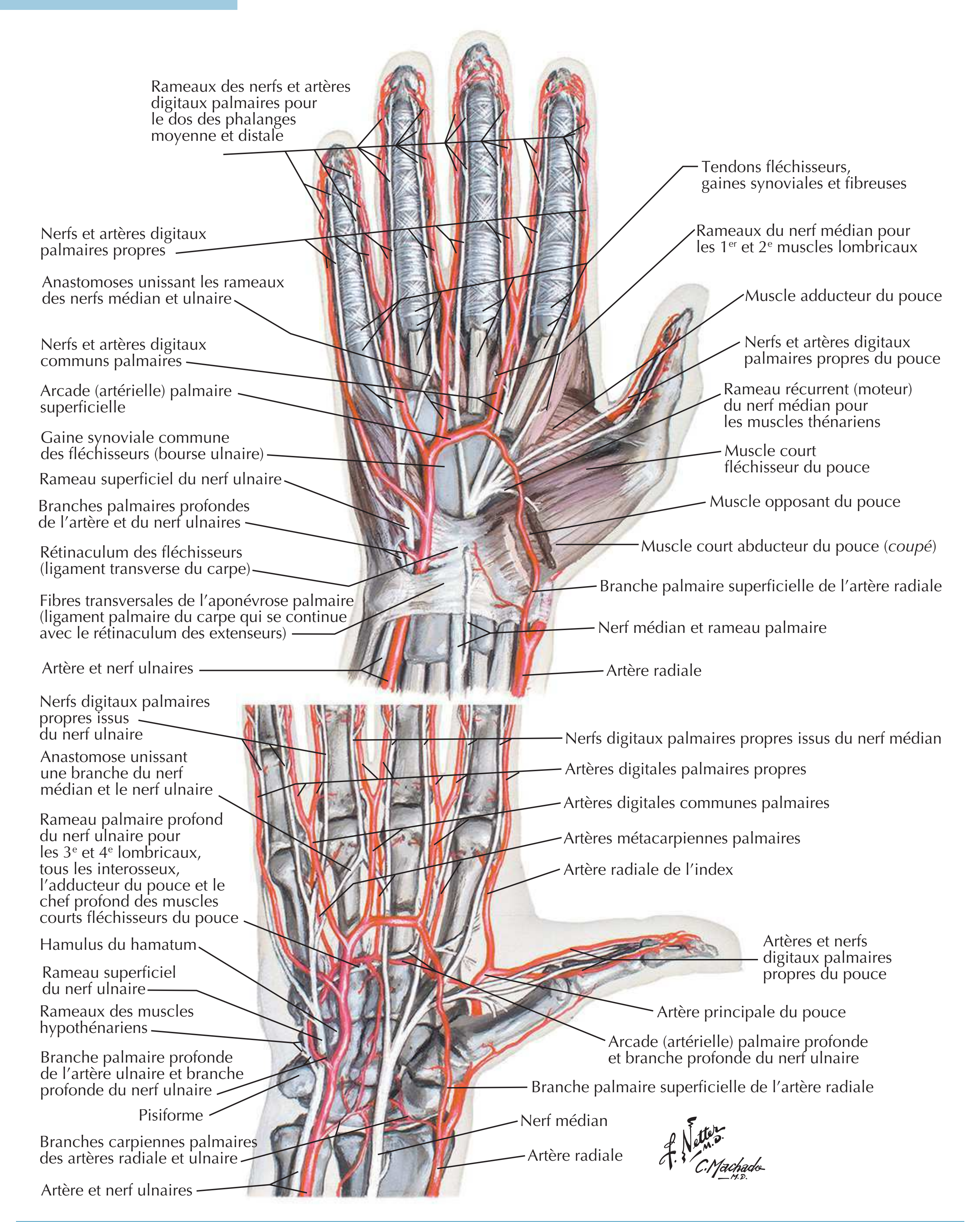
Languettes tendineuses vers l'aponévrose dorsale des doigts (expansions des extenseurs)
Ligaments métacarpiens transverses profonds
3
2
1
Muscles interosseux palmaires (unipennés)
Radius
Ulna

Vue antérieure (palmaire)

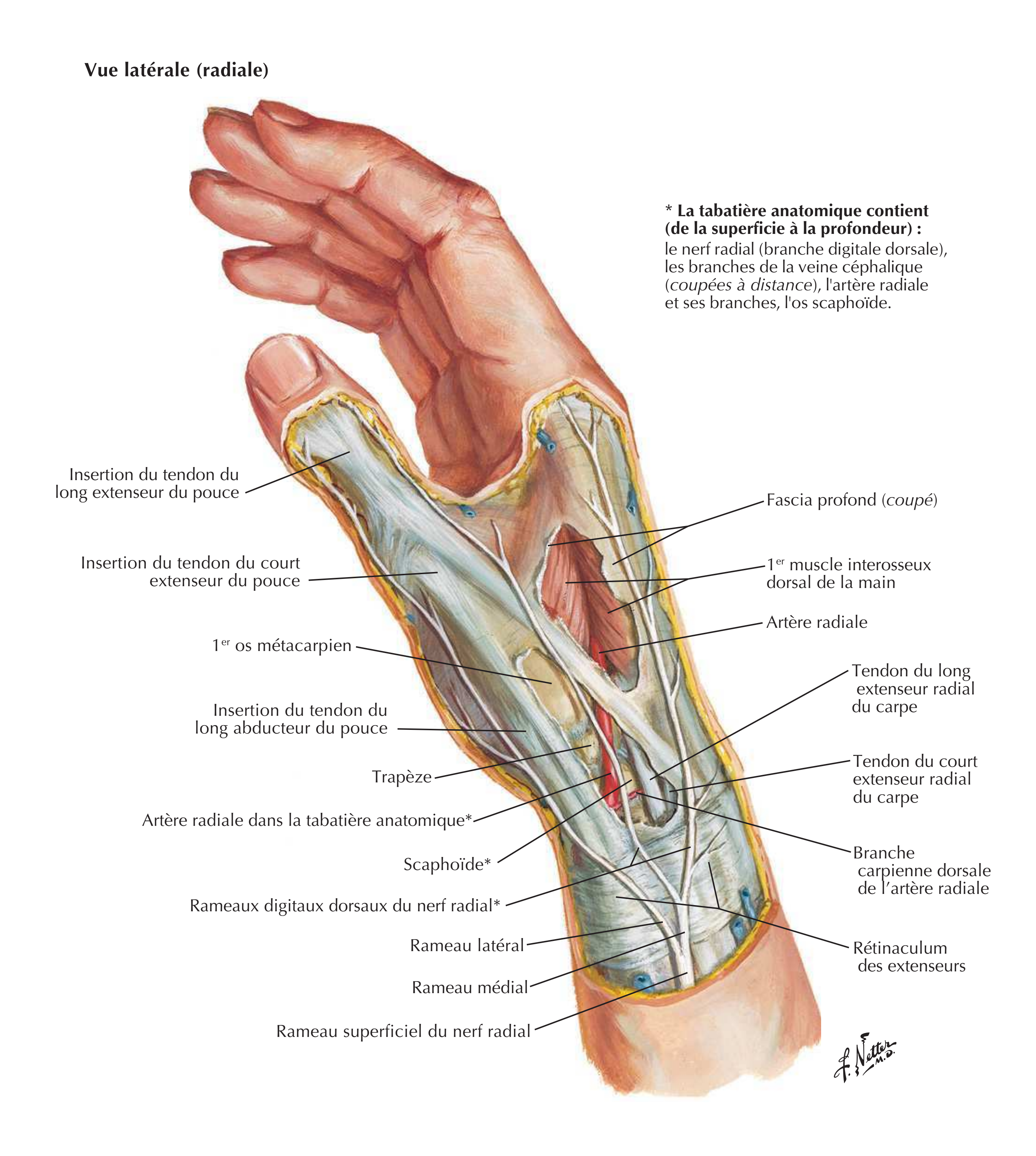
Note : les flèches indiquent l'action des muscles

Artères et nerfs de la main : vues palmaires

Voir aussi **Planche 420**

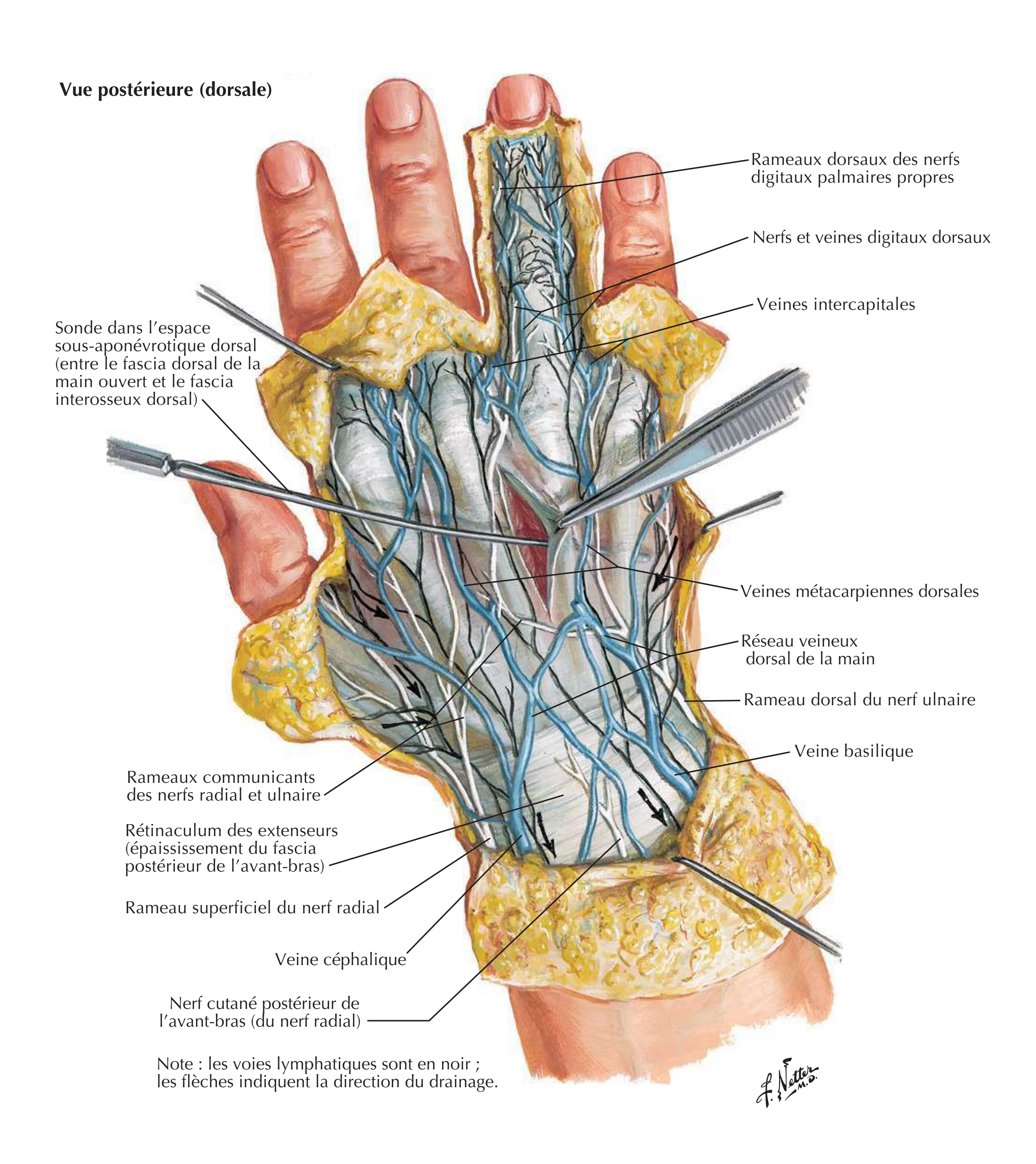


Voir aussi **Planche 466**



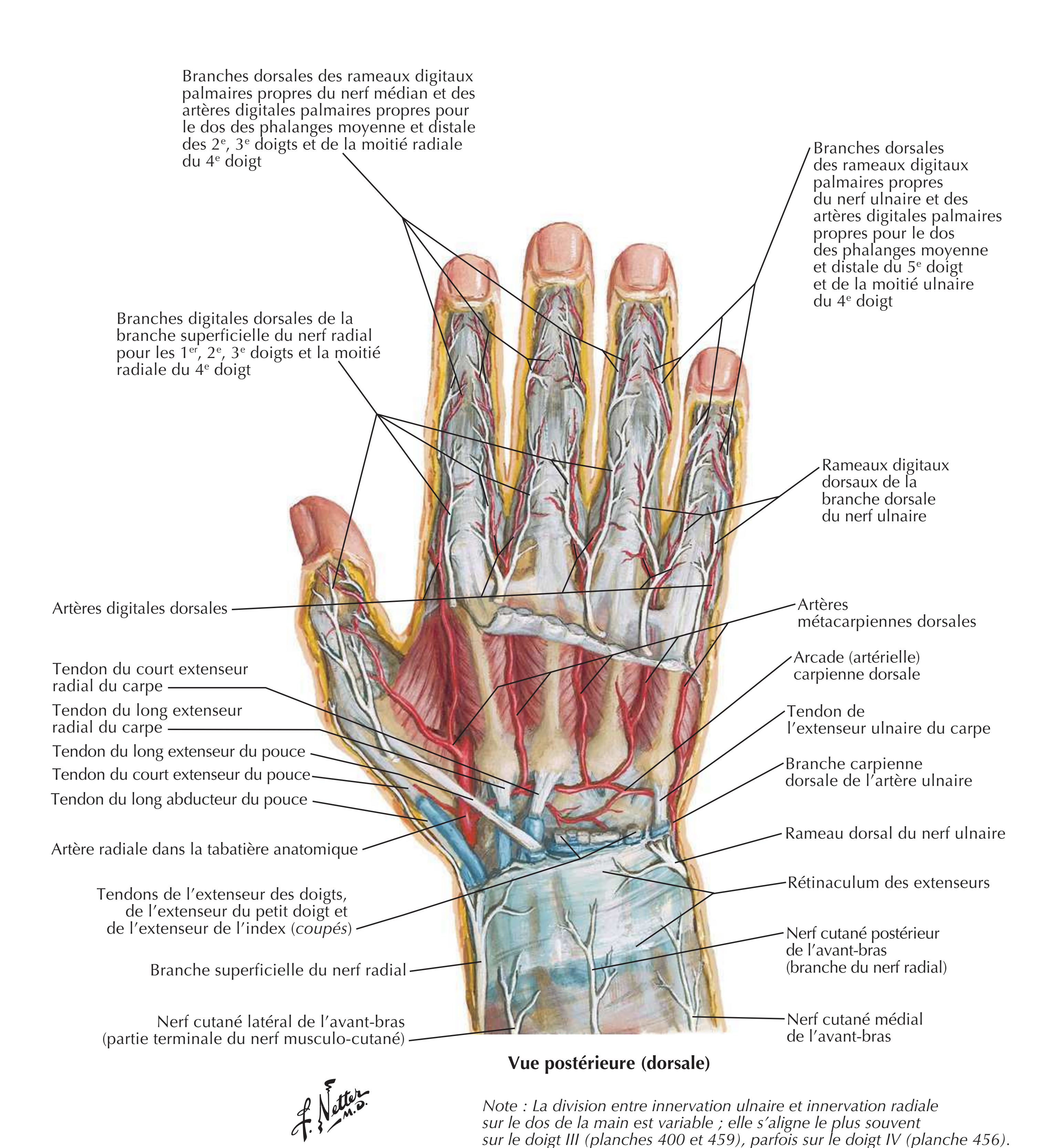
Poignet et main : dissection dorsale superficielle

Voir aussi **Planches 402, 403**



Note : les voies lymphatiques sont en noir ; les flèches indiquent la direction du drainage.

Poignet et main : dissection dorsale profonde



Vue postérieure (dorsale)

Note : La division entre innervation ulnaire et innervation radiale sur le dos de la main est variable ; elle s'aligne le plus souvent sur le doigt III (planches 400 et 459), parfois sur le doigt IV (planche 456).

Tendons extenseurs au poignet

Voir aussi **Planches 430, 431**

Vue postérieure (dorsale)

Fibres transverses des aponévroses dorsales des doigts (expansions des extenseurs)

Connexions intertendineuses

Muscles interosseux dorsaux

Muscle abducteur du petit doigt

Artère radiale dans la tabatière anatomique

Rétinaculum des extenseurs

Plan de la coupe ci-dessous

Loge 1 { Court extenseur du pouce / Long abducteur du pouce

Loge 2 { Long extenseur radial du carpe / Court extenseur radial du carpe

Loge 3 – Long extenseur du pouce

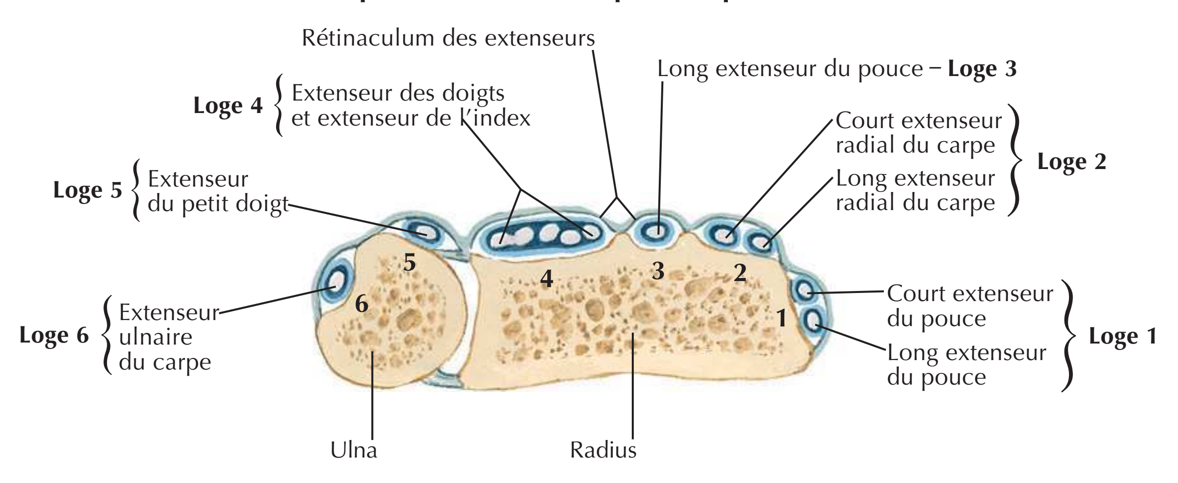
Loge 4 { Extenseur de l'index / Extenseur des doigts

Loge 5 – Extenseur du petit doigt

Loge 6 – Extenseur ulnaire du carpe

F. Netter M.D.

Coupe transversale de la partie la plus distale de l'avant-bras





Coupe sagittale

Épiphyse
Membrane synoviale
Matrice de l'ongle
Cartilage articulaire
Racine de l'ongle
Phalange moyenne
Bandelette latérale
Tendon central
Appareil extenseur
Éponychium (cuticule)
Lunule
Lit de l'ongle
Corps de l'ongle
Tendon du fléchisseur superficiel des doigts
Phalange distale
Gaine fibreuse du tendon du doigt
Gaine synoviale du doigt (tendon fléchisseur)
Tendon du fléchisseur profond des doigts
Nerfs
Artères
Septums
Ligaments palmaires (plaques palmaires)
Cavité articulaire
Espace antérieur distal clos (pulpe)

Coupe transversale à travers la phalange distale

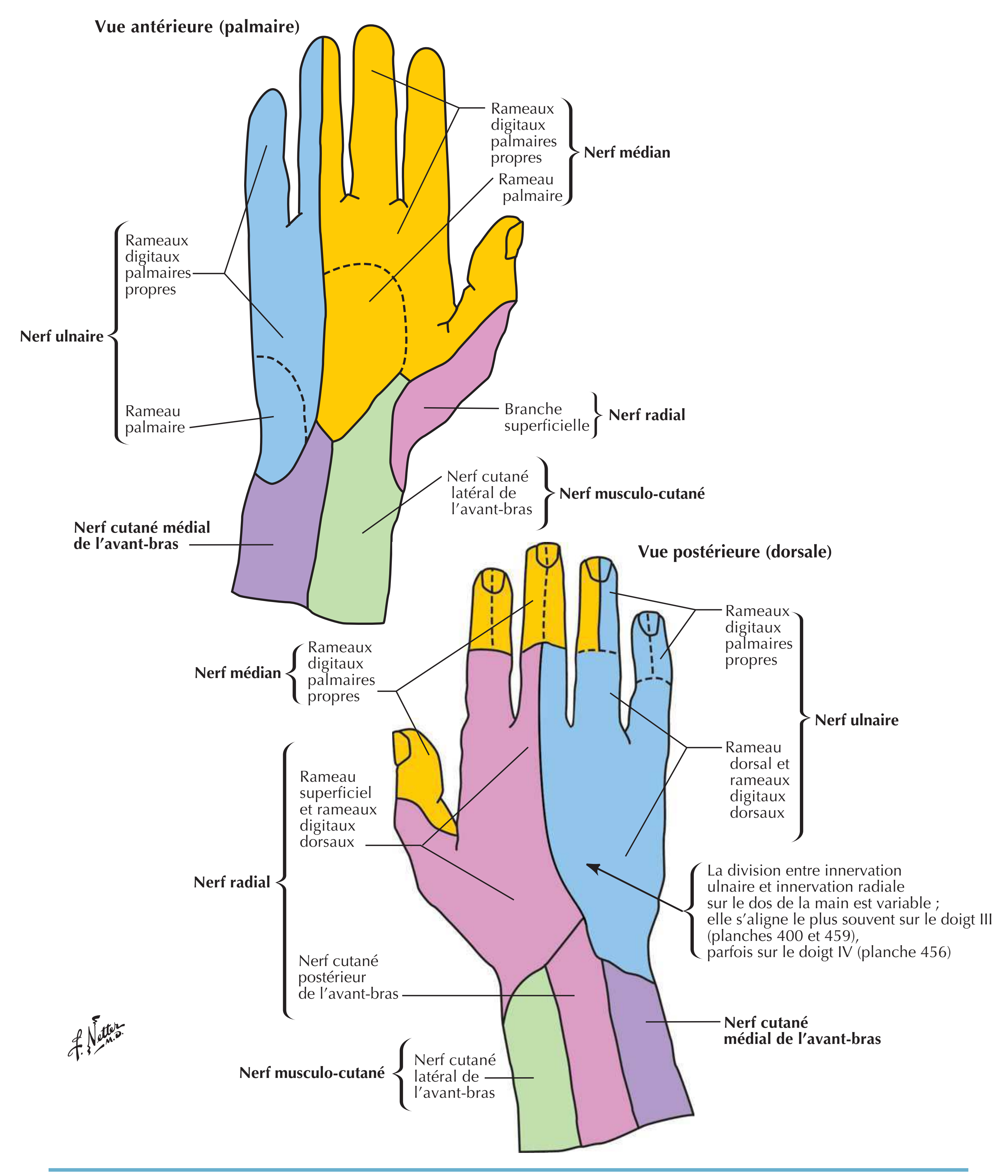
Corps de l'ongle
Espace sous-unguéal
Lit de l'ongle
Artérioles
Phalange distale
Nerfs fins
Septums fibreux et tissu aréolaire dans l'espace clos antérieur (pulpe)

Artères et nerfs

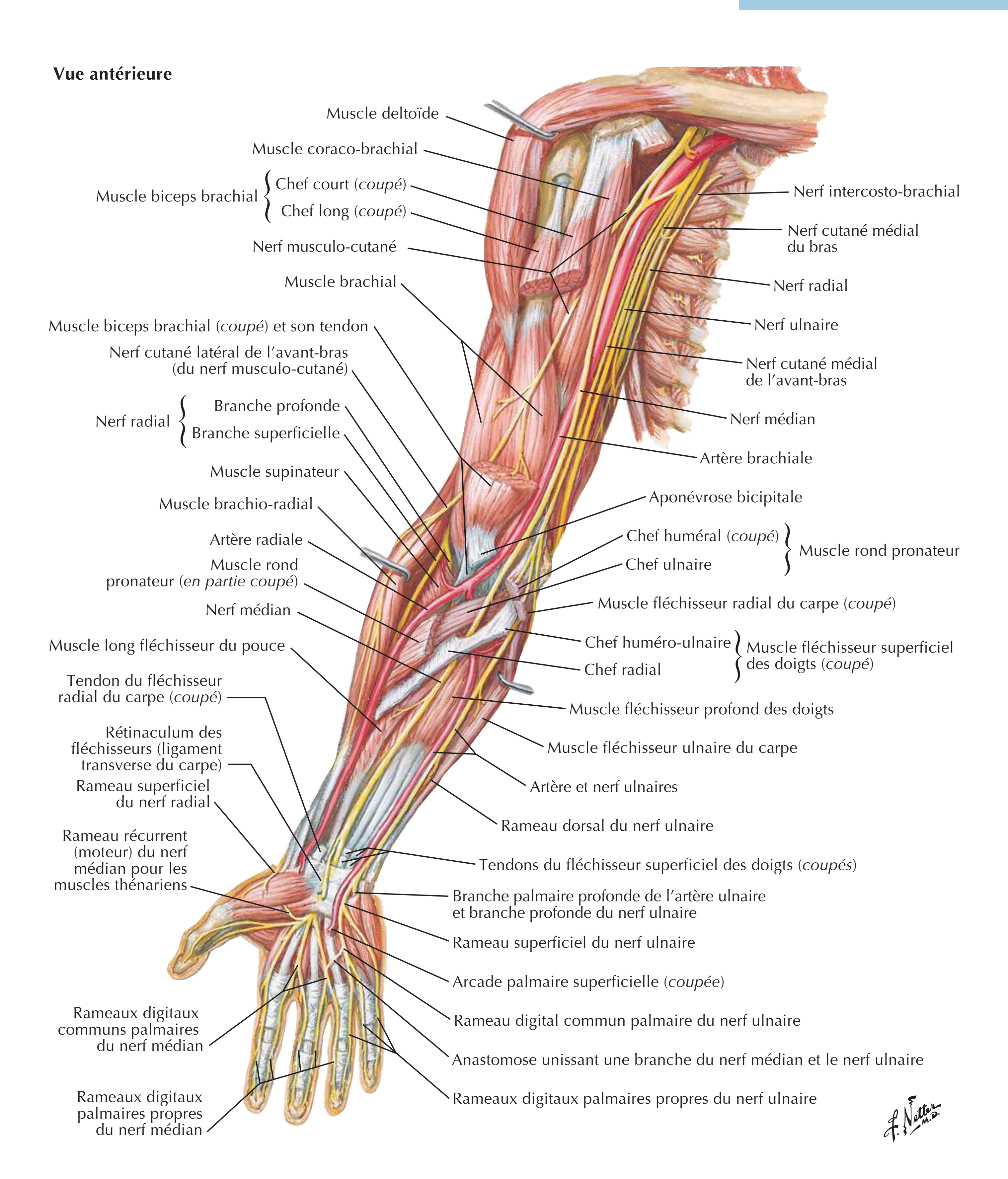
Artère et nerf digitaux dorsaux
Branches dorsales des artères et nerfs digitaux palmaires propres pour le dos des phalanges moyenne et distale
Rameau nourricier de l'épiphyse
Artère digitale palmaire propre pour le doigt adjacent
Rameaux nourriciers pour le corps de la phalange distale
Artère et nerf digitaux palmaires propres

Innervation cutanée du poignet et de la main

Voir aussi **Planches 400, 449**

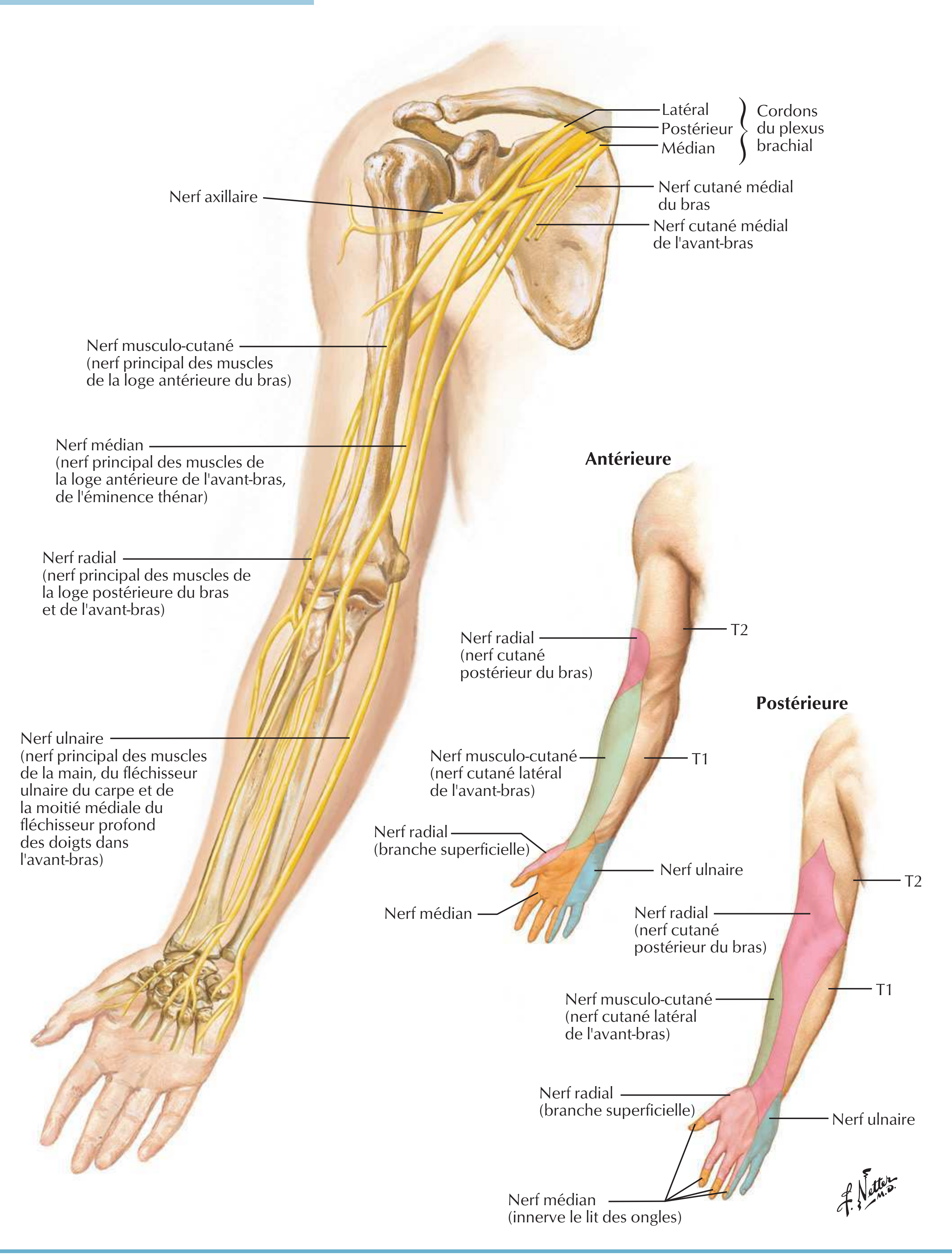


Voir aussi **Planche 416**

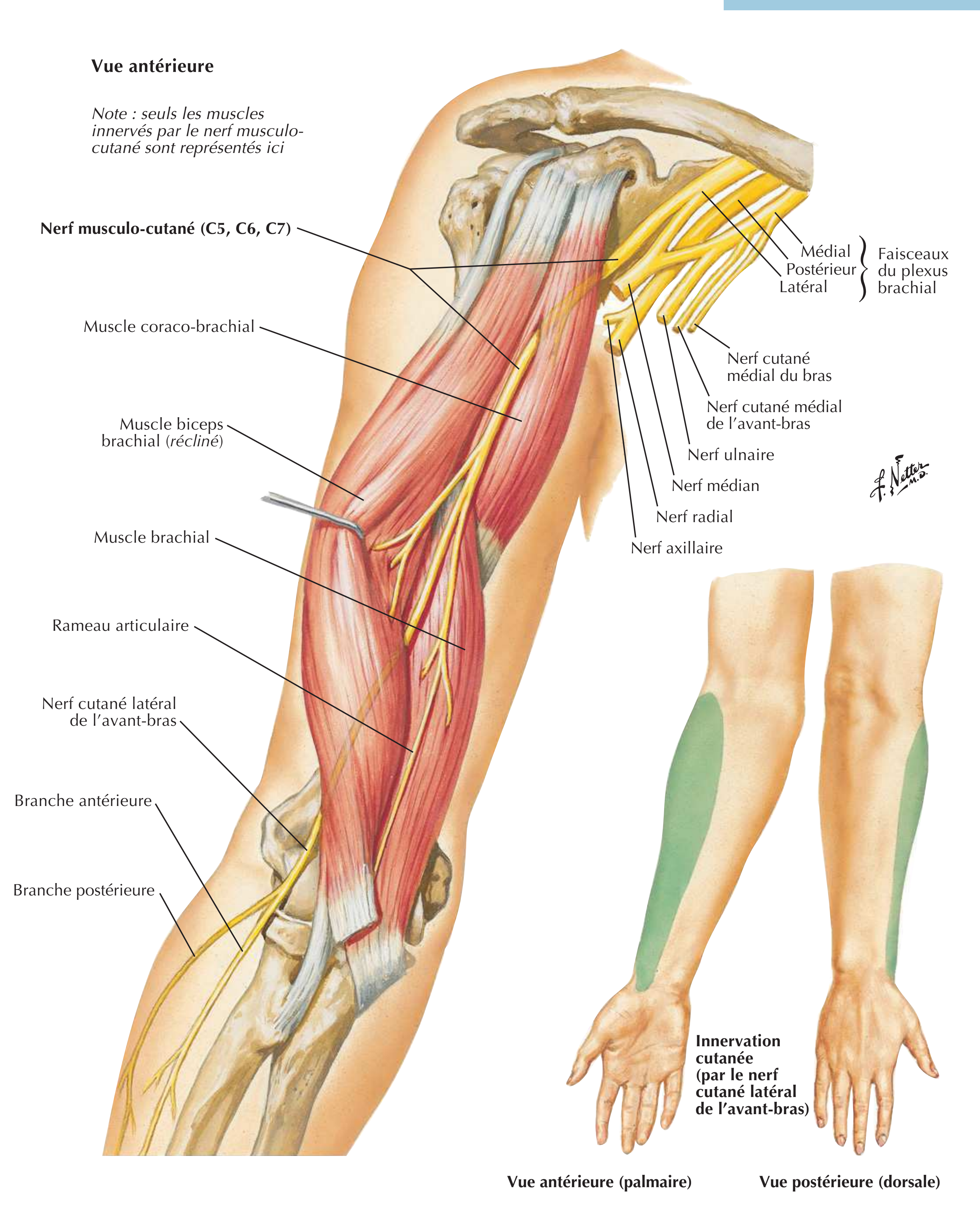


Nerfs du membre supérieur

Voir aussi **Planches 400, 410, 416**



Voir aussi **Planche 417**

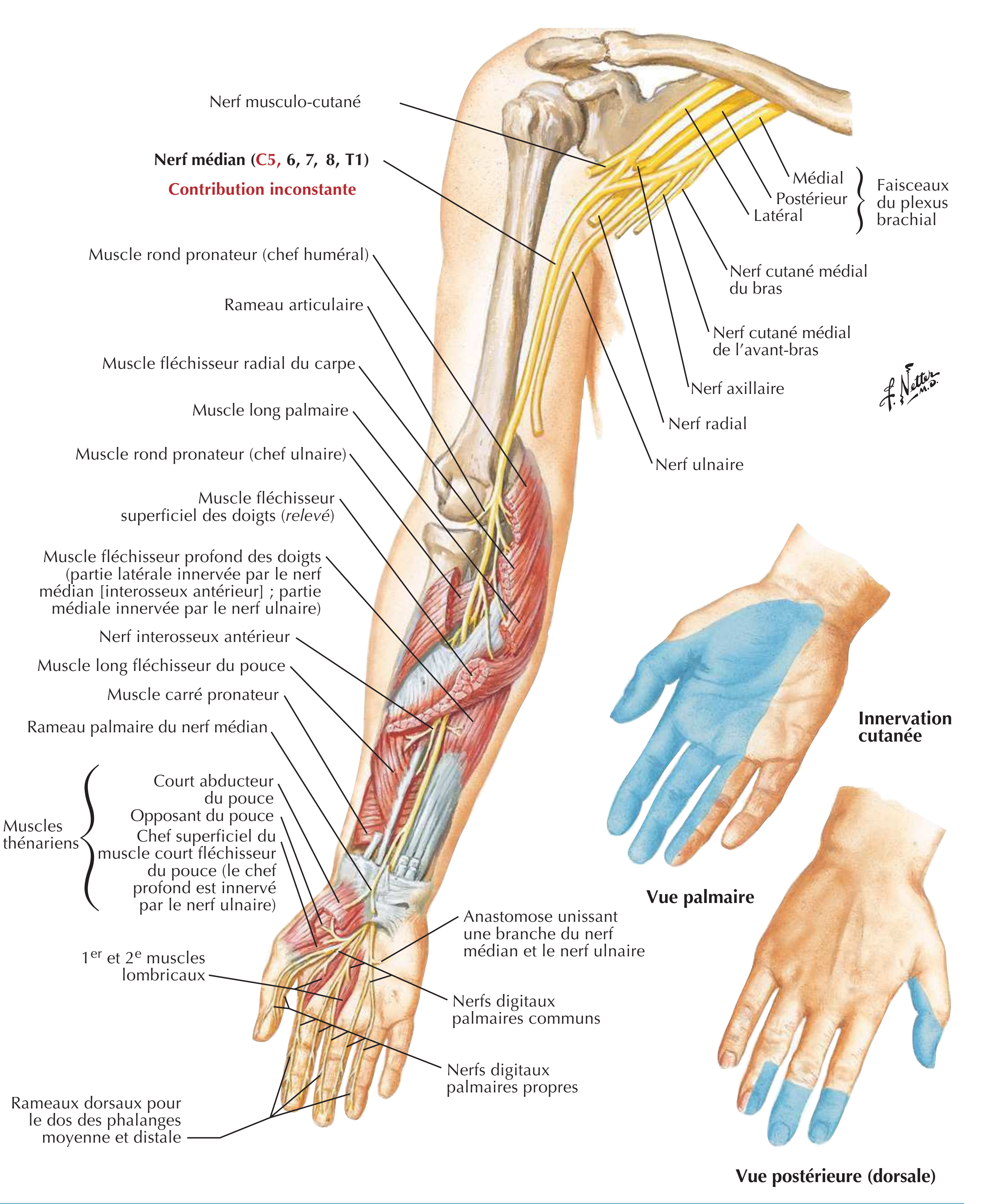


Nerf médian

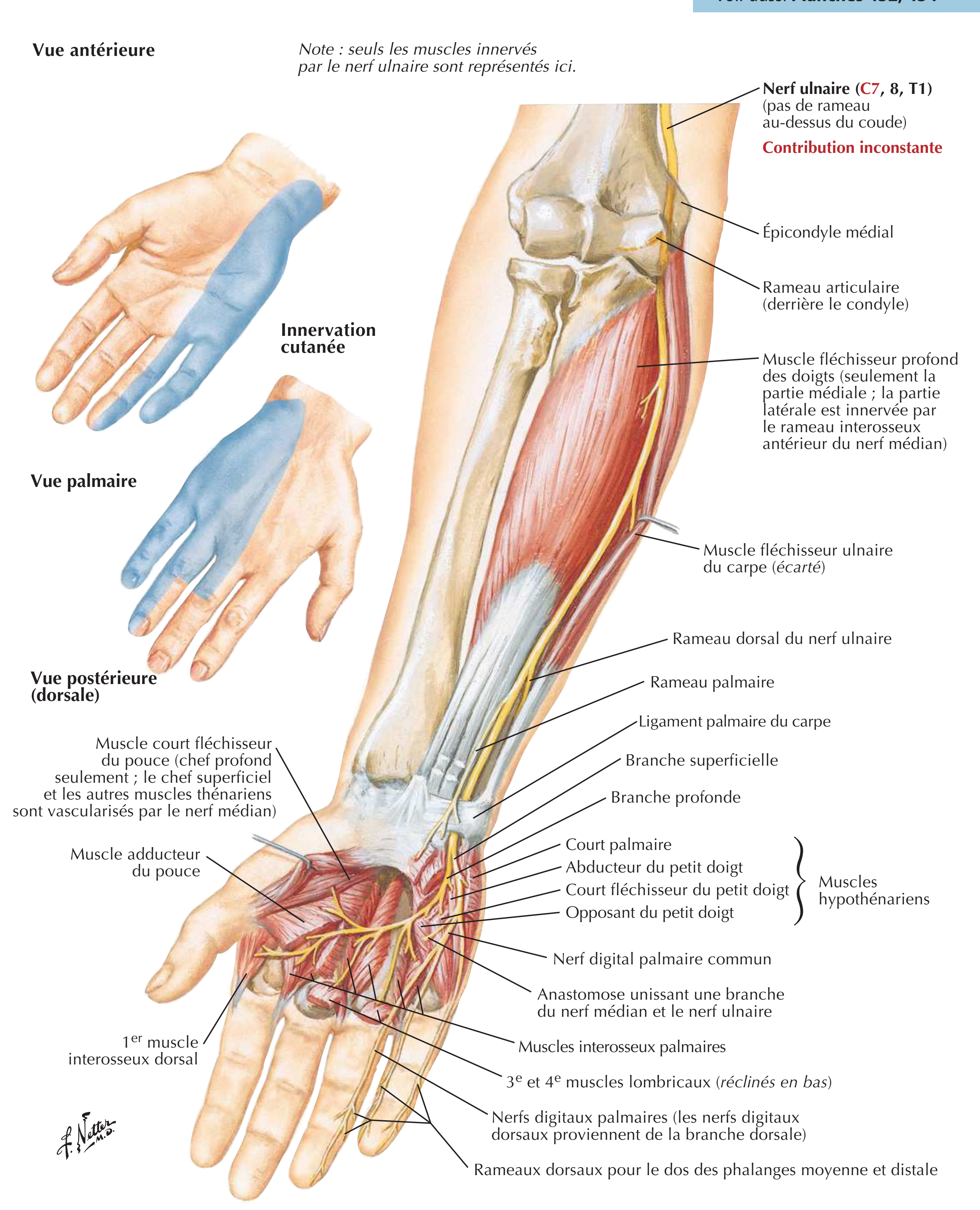
Voir aussi **Planches 400, 432, 433**

Vue antérieure

Note : seuls les muscles innervés par le nerf médian sont représentés ici.

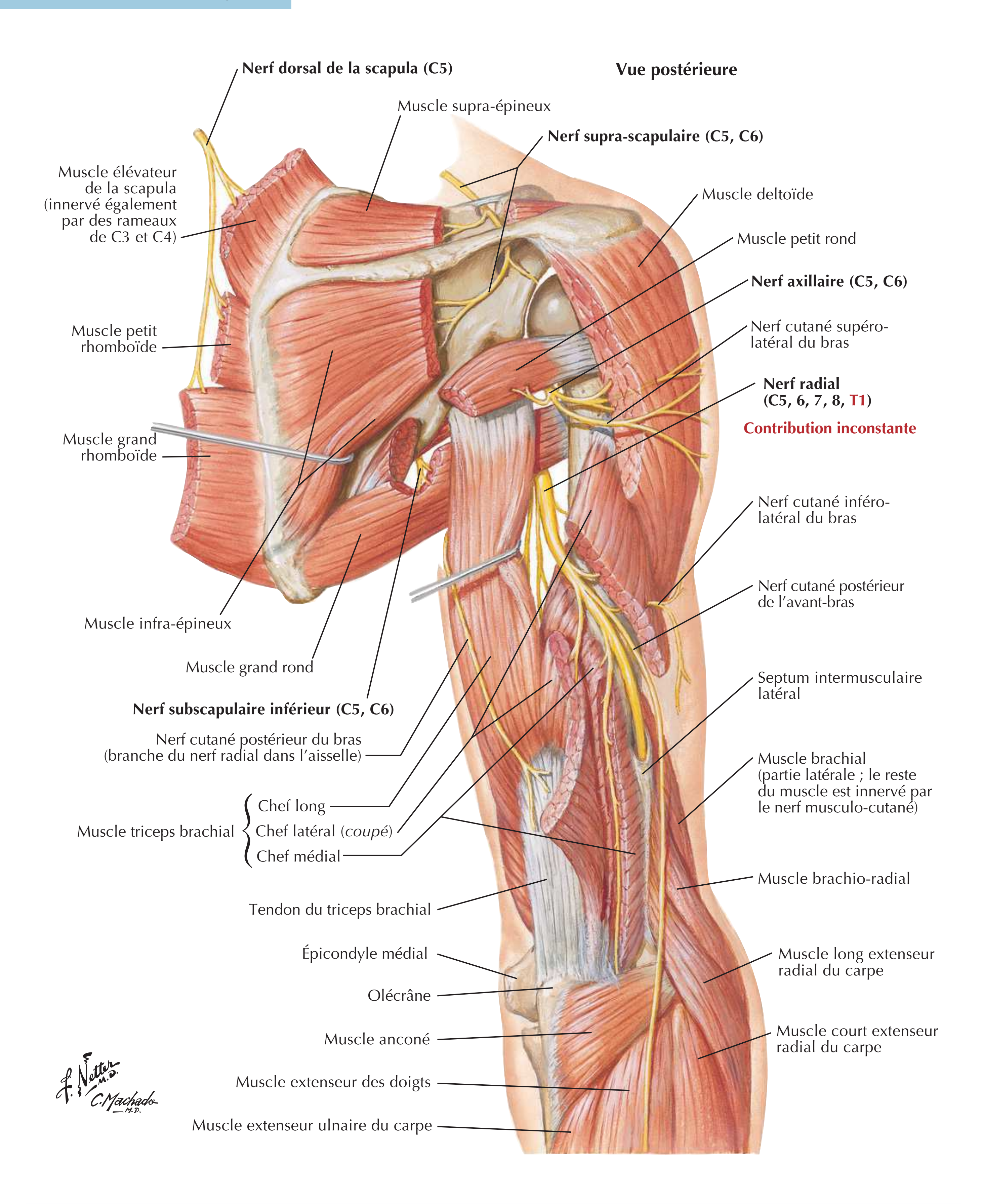


Voir aussi **Planches 432, 434**

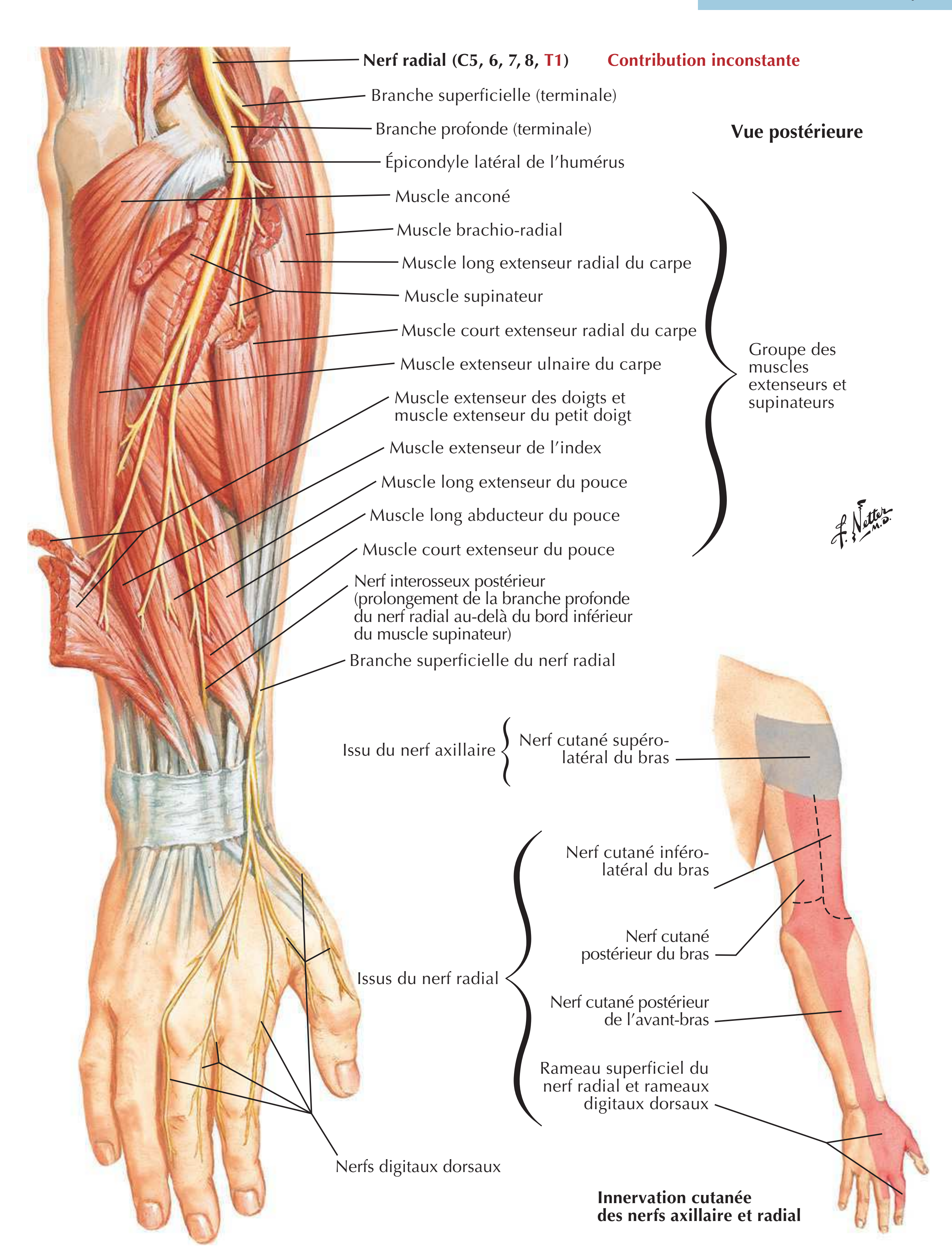


Nerf radial au bras et nerfs de la région postérieure de l'épaule

Voir aussi **Planches 413, 418**



Voir aussi **Planches 430, 454**

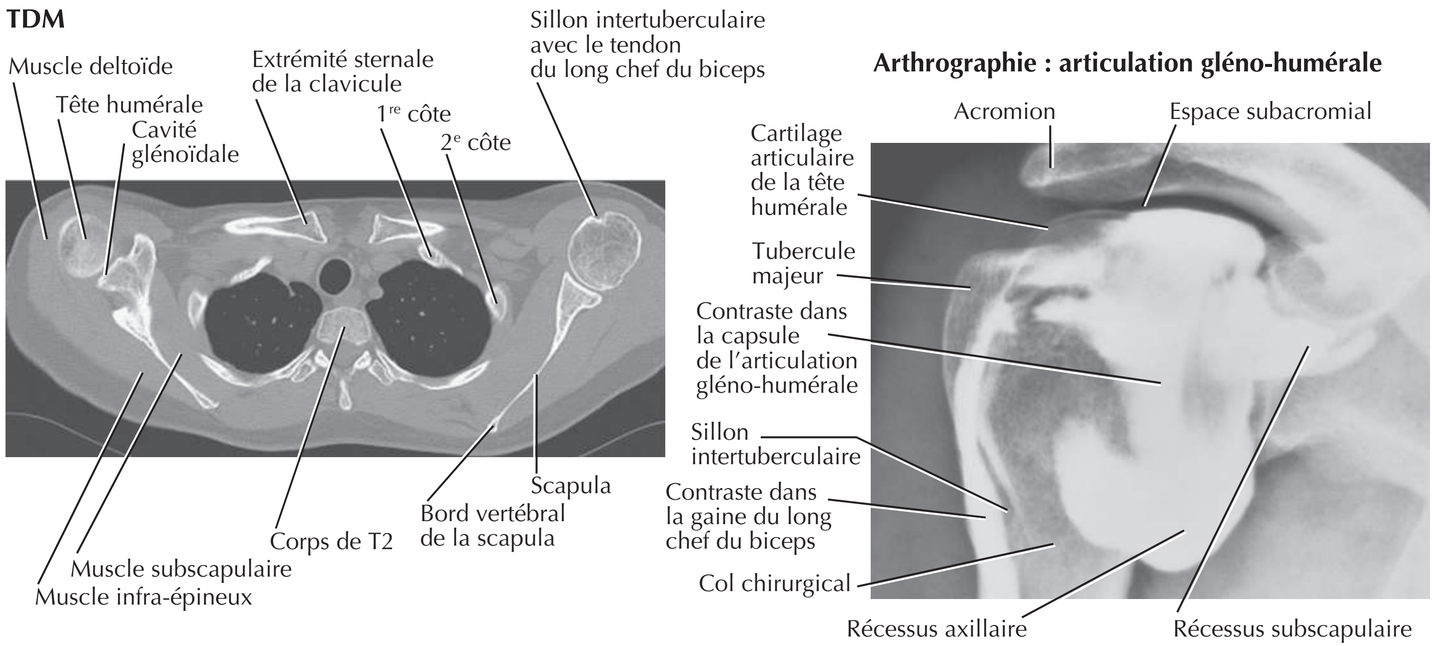


Épaule : IRM, TDM et arthrographie

Voir aussi **Planche 408**

IRM

Acromion
Muscle deltoïde
Cartilage articulaire de la tête humérale
Tubercule majeur
Ligne épiphysaire
Col chirurgical
Muscle supra-épineux
Bourrelet glénoïdal (labrum) supérieur
Nerf, artère, veine supra-scapulaires
Cavité glénoïdale
Bourrelet glénoïdal (labrum) inférieur
Muscle grand dorsal
Muscle grand rond





MUSCLE	INSERTION PROXIMALE (ORIGINE)	INSERTION DISTALE (TERMINAISON)	INNERVATION	ACTIONS PRINCIPALES	VASCULARISATION ARTÉRIELLE	GROUPE MUSCULAIRE
Abducteur du petit doigt	Os pisiforme et tendon du muscle fléchisseur ulnaire du carpe	Côté médial de la base de la phalange proximale du petit doigt (5e doigt)	Nerf ulnaire (branche profonde)	Abducteur du petit doigt (auriculaire)	Branche palmaire profonde de l'artère ulnaire	Muscle de la main
Adducteur du pouce	Chef oblique : bases du 2e et du 3e métacarpiens, capitatum et os adjacents Chef transverse : face antérieure du 3e métacarpien	Côté médial de la base de la phalange proximale du pouce	Nerf ulnaire (branche profonde)	Adducteur du pouce	Arcade palmaire profonde	Muscle de la main
Anconé	Face postérieure de l'épicondyle latéral de l'humérus	Face latérale de l'olécrâne et bord postérieur de l'extrémité proximale de l'ulna	Nerf radial (C5-T1)	Assiste le triceps brachial dans l'extension de l'avant-bras, abducteur de l'ulna en pronation	Artère brachiale profonde	Muscle du bras
Biceps brachial	Chef long : tubercule supra-glénoïdal de l'humérus Chef court : sommet du processus coracoïde de la scapula	Tubérosité radiale, fascia de l'avant-bras via l'aponévrose bicipitale	Nerf musculo-cutané (C5, C6)	Fléchisseur et supinateur de l'avant-bras au niveau du coude	Branches musculaires de l'artère brachiale	Muscle du bras
Brachial	Moitié distale de la face antérieure de l'humérus (antéro-médiale et antéro-latérale)	Processus coronoïde et tubérosité de l'ulna	Nerf musculo-cutané et nerf radial (C7)	Fléchisseur de l'avant-bras au niveau du coude	Artère récurrente radiale, branches musculaires de l'artère brachiale	Muscle du bras
Brachio-radial	Deux tiers proximaux de la crête supracondylaire latérale de l'humérus	Côté latéral de la partie distal du radius (processus styloïde)	Nerf radial	Contribue à la flexion de l'avant-bras lorsque l'avant-bras est en pronation intermédiaire	Artère récurrente radiale	Muscle postérieur de l'avant-bras
Coraco-brachial	Sommet du processus coracoïde de la scapula	Tiers moyen de la face médiale (antéro-médiale) de l'humérus	Nerf musculo-cutané	Fléchisseur et adducteur du bras au niveau de l'épaule	Branches musculaires de l'artère brachiale	Muscle du bras
Carré pronateur	Quart distal de la face antérieure de l'ulna	Quart distal de la face antérieure du radius	Nerf médian (branche interosseuse antérieure)	Pronateur de l'avant-bras	Artère interosseuse antérieure	Muscle antérieur de l'avant-bras
Court abducteur du pouce	Rétinaculum des fléchisseurs, tubercules du scaphoïde et du trapèze	Côté latéral de la base de la phalange proximale du pouce	Nerf médian (branche récurrente)	Abducteur du pouce	Branche palmaire superficielle de l'artère radiale	Muscle de la main
Court extenseur du pouce	Face postérieure du radius et de la membrane interosseuse	Face dorsale de la base de la phalange proximale du pouce	Nerf radial (branche interosseuse postérieure)	Extenseur de la phalange proximale du pouce au niveau de l'articulation carpo- métacarpienne	Artère interosseuse postérieure	Muscle postérieur de l'avant-bras
Court extenseur radial du carpe	Épicondyle latéral de l'humérus	Face dorsale de la base du 3e métacarpien avec une extension vers le 2e métacarpien	Nerf radial (branche profonde)	Extenseur et abducteur de la main au niveau du poignet	Artère radiale, artère récurrente radiale	Muscle postérieur de l'avant-bras
Court fléchisseur du petit doigt	Rétinaculum des fléchisseurs et hamulus de l'os hamatum	Côté médial de la base de la phalange proximale du petit doigt	Nerf ulnaire (branche profonde)	Fléchisseur de la phalange proximale du petit doigt	Branche palmaire profonde de l'artère ulnaire	Muscle de la main
Court fléchisseur du pouce	Rétinaculum des fléchisseurs et tubercule du trapèze	Côté latéral de la base de la phalange proximale du pouce	Nerf médian (branche récurrente)	Fléchisseur de la phalange proximale du pouce	Branche palmaire superficielle de l'artère radiale	Muscle de la main
Court palmaire	Aponévrose palmaire et rétinaculum des fléchisseurs	Peau du bord médial de la main	Branche palmaire superficielle du nerf ulnaire	Majore le creux de la main, contribue à la préhension	Arcade palmaire superficielle	Muscle de la main
Deltoïde	Tiers latéral du bord antérieur de la clavicule, bord latéral de l'acromion, versant inférieur de l'épine de la scapula	Tubérosité deltoïdienne de l'humérus	Nerf axillaire	Partie claviculaire : fléchisseur et rotateur médial du bras Partie acromiale : abducteur du bras après les 15° initiaux induits par le muscle supra-épineux Partie spinale : extenseur et rotateur latéral du bras	Artère circonflexe postérieure de l'humérus, branche deltoïdienne de l'artère thoraco-acromiale	Muscle de l'épaule

Des variations dans les contributions des nerfs spinaux dans l'innervation des muscles, dans la vascularisation artérielle des muscles, dans leurs insertions et leurs actions sont des événements fréquents dans l'anatomie humaine. Ainsi, il peut exister des différences entre les textes de différents ouvrages : considérez que les variations anatomiques sont normales.

MUSCLE	INSERTION PROXIMALE (ORIGINE)	INSERTION DISTALE (TERMINAISON)	INNERVATION	ACTIONS PRINCIPALES	VASCULARISATION ARTÉRIELLE	GROUPE MUSCULAIRE
Dentelé antérieur	Face latérale des 8 à 9 premières côtes	Face costale du bord médial de la scapula	Nerf thoracique long	Entraîne protraction et rotation de la scapula et fixe la scapula contre la paroi thoracique	Artère thoracique latérale	Muscle de l'épaule
Élévateur de la scapula	Tubercules postérieurs des processus transverses des vertèbres C1-C4	Bord médial de la scapula de son angle supérieur à l'épine	Rameaux ventraux des nerfs spinaux cervicaux C3-C4 et nerf dorsal de la scapula	Élévateur médial de la scapula et rotateur inférieur de la cavité glénoïdale	Artère scapulaire dorsale, artère cervicale transverse, artère cervicale ascendante	Muscle superficiel du dos
Extenseur des doigts	Épicondyle latéral de l'humérus	Expansions tendineuses pour les phalanges des quatre doigts médiaux	Nerf radial (branche interosseuse postérieure)	Extenseur des quatre doigts médiaux, contribue à l'extension du poignet	Artère interosseuse postérieure	Muscle postérieur de l'avant-bras
Extenseur de l'index	Face postérieure de l'ulna et de la membrane interosseuse	Tendon du muscle extenseur des doigts destiné au 2e doigt	Nerf radial (branche interosseuse postérieure)	Extenseur du 2e doigt et aide à l'extension de la main et du poignet	Artère interosseuse postérieure	Muscle postérieur de l'avant-bras
Extenseur du petit doigt	Épicondyle latéral de l'humérus	Expansion tendineuse destinée au 5e doigt du muscle extenseur des doigts	Nerf radial (branche interosseuse postérieure)	Extenseur du 5e doigt	Artère interosseuse postérieure	Muscle postérieur de l'avant-bras
Extenseur ulnaire du carpe	Épicondyle latéral de l'humérus et bord postérieur de l'ulna	Face dorsale de la base du 5e métacarpien	Nerf radial (branche interosseuse postérieure)	Extenseur et adducteur de la main au niveau du poignet	Artère interosseuse postérieure	Muscle postérieur de l'avant-bras
Fléchisseur profond des doigts	Faces médiale et antérieure des trois quarts proximaux de l'ulna et membrane interosseuse	Face palmaire de la base des phalanges distales des quatre doigts médiaux	Partie médiale : nerf ulnaire Partie latérale : nerf médian	Fléchisseur des phalanges distales des quatre doigts médiaux, contribue à la flexion de la main au niveau du poignet	Artère interosseuse antérieure, branches musculaires de l'artère ulnaire	Muscle antérieur de l'avant-bras
Fléchisseur superficiel des doigts	Chef huméro-ulnaire : épicondyle médial de l'humérus et processus coronoïde de l'ulna Chef radial : moitié supérieure du bord antérieur du radius	Corps des phalanges moyennes des quatre doigts médiaux	Nerf médian	Fléchisseurs des phalanges moyennes et proximales des quatre doigts médiaux, contribue à la flexion de la main au niveau du poignet	Artères ulnaire et radiale	Muscle antérieur de l'avant-bras
Fléchisseur radial du carpe	Épicondyle médial de l'humérus	Base du 2e métacarpien	Nerf médian	Fléchisseur et abducteur de la main au niveau du poignet	Artère radiale	Muscle antérieur de l'avant-bras
Fléchisseur ulnaire du carpe	Chef huméral : épicondyle médial de l'humérus Chef ulnaire : olécrâne et bord postérieur de l'ulna	Os pisiforme, crochet de l'os hamatum, base du 5e métacarpien	Nerf ulnaire	Fléchisseur et adducteur de la main au niveau du poignet	Artère récurrente ulnaire postérieure	Muscle antérieur de l'avant-bras
Grand dorsal	Processus épineux des vertèbres T7-L5, fascia thoraco-lombaire, crête iliaque, trois dernières côtes	Sillon intertuberculaire de l'humérus	Nerf thoraco-dorsal	Extenseur, adducteur et rotateur médial de l'humérus au niveau de l'épaule	Artère thoraco-dorsale, branches perforantes dorsales des 9e, 10e et 11e artères intercostales postérieures, de l'artère subcostale et des trois premières artères lombales	Muscle de l'épaule
Grand pectoral	Moitié sternale de la clavicule, sternum jusqu'à la 7e côte, cartilage des vraies côtes, aponévrose du muscle oblique externe	Lèvre latérale du sillon intertuberculaire de l'humérus	Nerfs pectoraux médial et latéral	Fléchisseur et adducteur du bras, rotateur médial du bras	Branche pectorale de l'artère thoraco-acromiale, branches perforantes de l'artère thoracique interne	Muscle de la région pectorale/fosse axillaire
Grand rhomboïde	Processus épineux des vertèbres T2-T5	Bord médial de la scapula en dessous la base de l'épine de la scapula	Nerf scapulaire dorsal	Fixe la scapula sur la paroi thoracique, rétracte et entraîne une rotation médiale de la scapula pour abaisser la cavité glénoïdale	Artère scapulaire dorsale ou branche profonde de l'artère cervicale transverse, branches perforantes dorsales des premières cinq à six artères intercostales postérieures	Muscle superficiel du dos
Grand rond	Face postérieure de l'angle inférieur de la scapula	Lèvre médiale du sillon intertuberculaire de l'humérus	Nerf subscapulaire inférieur	Adducteur et rotateur médial du bras	Artère circonflexe de la scapula	Muscle de l'épaule
Infra-épineux	Fosse infra-épineuse de la scapula et fascia profond	Facette moyenne du tubercule majeur de l'humérus	Nerf supra-scapulaire	Rotateur latéral du bras (avec le petit rond)	Artère supra-scapulaire	Muscle de l'épaule





MUSCLE	INSERTION PROXIMALE (ORIGINE)	INSERTION DISTALE (TERMINAISON)	INNERVATION	ACTIONS PRINCIPALES	VASCULARISATION ARTÉRIELLE	GROUPE MUSCULAIRE
Interosseux dorsaux	Faces adjacentes des deux métacarpiens limitant chaque espace interosseux	Base des phalanges proximales, expansion vers les tendons extenseurs des doigts 2 à 4	Nerf ulnaire (branche profonde)	Abducteur des doigts par rapport à l'axe de la main (3e doigt) ; fléchisseur des doigts au niveau de l'articulation métacarpo-phalangienne et extenseur au niveau des articulations interphalangiennes	Arcade palmaire profonde	Muscle de la main
Interosseux palmaires	Côtés des métacarpiens 2, 4 et 5	Base de la phalange proximale avec une expansion vers le tendon extenseur des doigts 2, 4 et 5	Nerf ulnaire (branche profonde)	Adducteur des doigts par rapport à l'axe de la main (3e doigt) ; fléchisseur des doigts au niveau de l'articulation métacarpo-phalangienne et extenseur au niveau des articulations interphalangiennes	Arcade palmaire profonde	Muscle de la main
Long abducteur du pouce	Face postérieure de l'ulna et du radius, membrane interosseuse	Base du 1er métacarpien	Nerf radial (branche interosseuse postérieure)	Abducteur et extenseur du pouce au niveau de l'articulation carpo-métacarpienne	Artère interosseuse postérieure	Muscle postérieur de l'avant-bras
Long extenseur du pouce	Face postérieure du tiers moyen de l'ulna et de la membrane interosseuse	Face dorsale de la base de la phalange distale du pouce	Nerf radial (branche interosseuse postérieure)	Extenseur de la phalange distale du pouce au niveau des articulations interphalangienne et métacarpo-phalangienne	Artère interosseuse postérieure	Muscle postérieur de l'avant-bras
Long extenseur radial du carpe	Tiers distal de la crête supra-condylaire latérale de l'humérus	Face dorsale de la base du 2e métacarpien avec une extension vers le 3e métacarpien	Nerf radial	Extenseur et abducteur de la main au niveau du poignet	Artère radiale, artère récurrente radiale	Muscle postérieur de l'avant-bras
Long fléchisseur du pouce	Face antérieure du radius et membrane interosseuse	Face palmaire de la phalange distale du pouce	Nerf médian (branche interosseuse antérieure)	Fléchisseur des phalanges du pouce	Artère interosseuse antérieure	Muscle antérieur de l'avant-bras
Long palmaire	Épicondyle médial de l'humérus	Moitié distale du rétinaculum des fléchisseurs et aponévrose palmaire	Nerf médian	Fléchisseur de la main au niveau du poignet et tenseur du fascia palmaire	Artère récurrente ulnaire postérieure	Muscle antérieur de l'avant-bras
Opposant du petit doigt	Rétinaculum des fléchisseurs et hamulus de l'os hamatum	Face palmaire du 5e métacarpien	Nerf ulnaire (branche profonde)	Attire antérieurement et entraîne une rotation du 5e métacarpien pour faire face au pouce	Branche palmaire profonde de l'artère ulnaire	Muscle de la main
Opposant du pouce	Rétinaculum des fléchisseurs et tubercule du trapèze	Côté latéral du 1er métacarpien	Nerf médian (branche récurrente)	Attire antérieurement et entraîne une rotation médiale du 1er métacarpien	Branche palmaire superficielle de l'artère radiale	Muscle de la main
Petit pectoral	Versant externe du bord supérieur des côtes 3 à 5	Processus coracoïde de la scapula	Nerf pectoral médial	Abaisse l'angle latéral de la scapula et protracte la scapula	Branche pectorale de l'artère thoraco-acromiale et les branches intercostales de l'artère thoracique latérale	Muscle de la région pectorale/fosse axillaire
Petit rhomboïde	Ligament nucal, processus épineux des vertèbres C7 et T1	Bord médial de la scapula en regard de l'épine de la scapula	Nerf scapulaire dorsal	Fixe la scapula sur la paroi thoracique, rétracte et entraîne une rotation médiale de la scapula pour abaisser la cavité glénoïdale	Artère scapulaire dorsale ou branche profonde de l'artère cervicale transverse, branches perforantes dorsales des premières cinq à six artères intercostales postérieures	Muscle superficiel du dos
Petit rond	Deux tiers supérieurs du versant postérieur du bord latéral de la scapula	Facette inférieure du tubercule majeur de l'humérus	Nerf axillaire	Rotateur latéral du bras	Artère circonflexe de la scapula	Muscle de l'épaule

MUSCLE	INSERTION PROXIMALE (ORIGINE)	INSERTION DISTALE (TERMINAISON)	INNERVATION	ACTIONS PRINCIPALES	VASCULARISATION ARTÉRIELLE	GROUPE MUSCULAIRE
Premier et deuxième lombricaux	Deux tendons latéraux du muscle fléchisseur profond des doigts	Côtés latéraux des deux expansions tendineuses du muscle extenseur des doigts destinées aux doigts 2 et 3	Branches digitales du nerf médian	Extenseur des doigts au niveau des articulations interphalangiennes et fléchisseur au niveau de l'articulation métacarpo-phalangienne	Arcades palmaires superficielle et profonde	Muscles de la main
Rond pronateur	Deux chefs : épicondyle médial de l'humérus, processus coronoïde de l'ulna	Tiers moyen de la face latérale du radius	Nerf médian	Pronateur de l'avant-bras et contribue à la flexion du coude	Artère récurrente ulnaire antérieure	Muscle antérieur de l'avant-bras
Subclavier	Bord supérieur de la première côte et de son cartilage costal	Face inférieure du tiers moyen de la clavicule	Nerf subclavier	Maintient en place et abaisse la clavicule	Branche claviculaire de l'artère thoraco-acromiale	Muscle de l'épaule
Subscapulaire	Fosse subscapulaire	Tubercule mineur de l'humérus	Nerfs subscapulaires supérieur et inférieur	Rotateur médial et adducteur du bras au niveau de l'épaule, aide à maintenir la tête humérale dans la cavité glénoïdale	Artère subscapulaire, artère thoracique latérale	Muscle de l'épaule
Supinateur	Épicondyle latéral de l'humérus, crête du supinateur de l'ulna	Faces latérale, postérieure et antérieure du tiers proximal du radius	Nerf radial (branche profonde)	Supinateur de l'avant-bras	Artère récurrente radiale, artère interosseuse postérieure	Muscle postérieur de l'avant-bras
Supra-épineux	Fosse supra-épineuse de la scapula et fascia profond	Facette supérieure du tubercule majeur de l'humérus	Nerf supra-scapulaire	Initie l'abduction du bras, agit avec les autres muscles de la coiffe des rotateurs	Artère supra-scapulaire	Muscle de l'épaule
Trapèze	Ligne nucale supérieure, protubérance occipitale externe, ligament nucal, processus épineux des vertèbres C7-T12	Tiers latéral de la clavicule, acromion et épine de la scapula	Nerf accessoire (nerf crânien XI)	Élève (partie supérieure), rétracte et entraîne une rotation de la scapula, les fibres inférieures abaissent la scapula	Artère cervicale transverse, branches perforantes dorsales des artères intercostales postérieures	Muscle superficiel du dos
Triceps brachial	Chef long : tubercule infra-glénoïdal de la scapula Chef latéral : moitié supérieure de la face postérieure de l'humérus Chef médial : deux tiers distaux des faces médiale et postérieure de l'humérus	Face postérieure du processus olécranien de l'ulna	Nerf radial	Extenseur de l'avant-bras au niveau du coude, le chef long est stabilisateur de la tête de l'humérus en abduction et est adducteur au niveau de l'épaule	Branche de l'artère profonde du bras (brachiale profonde)	Muscle du bras
Troisième et quatrième lombricaux	Trois tendons médiaux du fléchisseur profond des doigts	Côté latéral des expansions tendineuses de l'extenseur des doigts destinées au 4e et 5e doigts	Nerf ulnaire (branche profonde)	Extenseur des doigts au niveau des articulations interphalangiennes, fléchisseur au niveau des articulations métacarpo-phalangiennes	Arcades palmaires superficielle et profonde	Muscle de la main



Section 7 MEMBRE INFÉRIEUR

Anatomie de surface

Planche 468

Anatomie cutanée

Planches 469-472

Hanche et cuisse

Planches 473-492

7

Membre inférieur

Genou

Planches 493-499

Jambe

Planches 500-510

Cheville et pied

Planches 511-524

Innervation et vascularisation

Planches 525-529

Imagerie hanche et cheville

Planches 530-531

Muscles

Tableaux 7-1 à 7-4



Voir aussi **Planches 470, 471**

Vue antérieure

Crête iliaque
Épine iliaque antéro-supérieure
Muscle tenseur du fascia lata
Ligament inguinal
Muscle sartorius
Muscle droit fémoral
Grande veine saphène
Muscle vaste latéral
Muscle vaste médial
Tendon du droit fémoral
Tractus ilio-tibial
Tendon du quadriceps fémoral
Patella
Ligament patellaire
Muscle long fibulaire (péronier)
Tubérosité tibiale
Muscle tibial antérieur
Bord antérieur du tibia
Grande veine saphène
Malléole médiale
Malléole latérale
Tendons du long extenseur des orteils
Tendon du long extenseur de l'hallux

Vue postérieure

Crête iliaque
Muscle moyen glutéal
Muscle grand glutéal
Grand trochanter
Sillon glutéal
Muscle semi-tendineux
Tractus ilio-tibial
Muscle grand adducteur
Tendon du muscle gracile
Muscle biceps fémoral
Chef long
Chef court
Grande veine saphène
Fosse poplitée
Muscle gastrocnémien
Chef médial
Chef latéral
Veine petite saphène
Tendon calcanéen (d'Achille)
Tendons du long et du court fibulaires (péroniers)
Malléole médiale
Malléole latérale
Tuberosité calcanéenne
Face plantaire du pied

C. Machado M.D.

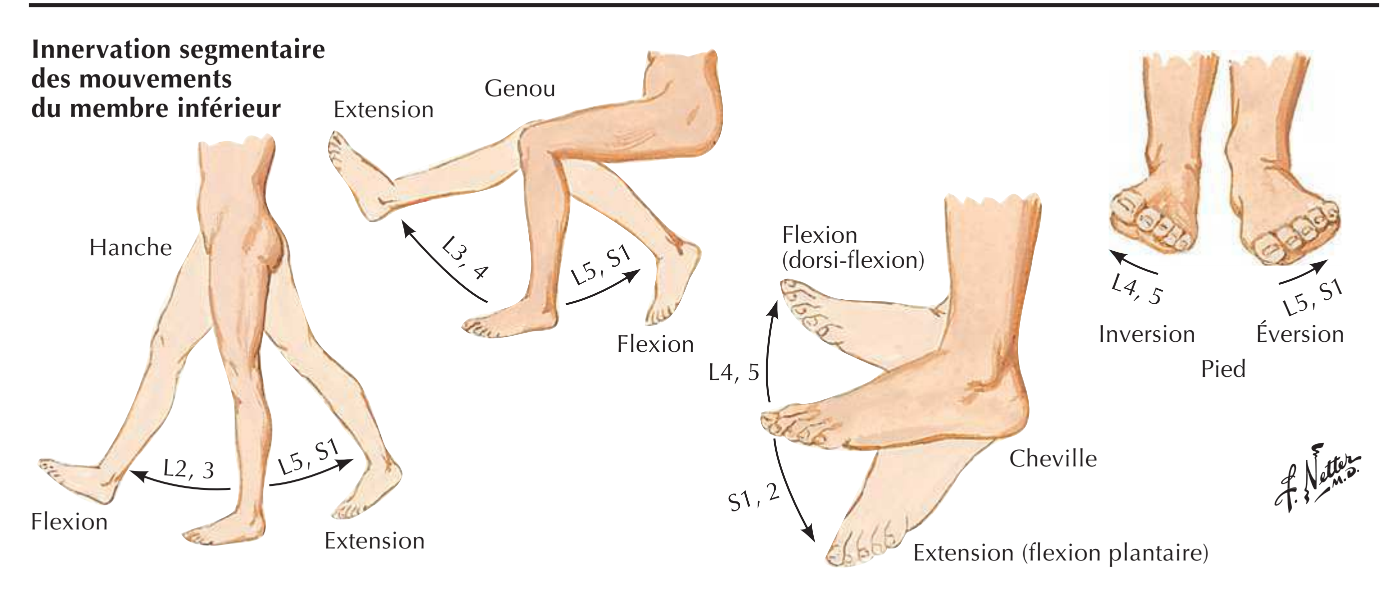
Dermatomes du membre inférieur

Voir aussi **Planche 162**

Note : Démarcation schématique des dermatomes en segments distincts (d'après Keegan et Garrett). Il y a en fait un chevauchement considérable entre deux dermatomes adjacents.

T10
T11
T12
L1
S2
S3
L2
L3
L4
L5
S1
Zones sensitives autonomes
L3
L4
L5
Vue antérieure

T12
L1
L2
L3
L4
L5
S1
S2
S3
S4
S5
Co
S2
L1
S2
S1
L2
L3
L5
L5
S1
L4
L4
L5
S1
Vue postérieure





Nerfs et veines superficiels du membre inférieur : vue antérieure

Voir aussi **Planches 525, 526, 529**

Rameau cutané latéral du nerf subcostal

Ligament inguinal (de Poupart)

Nerf cutané latéral de la cuisse

Veine circonflexe iliaque superficielle

Branches fémorales du nerf génito-fémoral

Ouverture saphène (fosse ovale)

Fascia lata

Branches cutanées antérieures du nerf fémoral

Plexus nerveux patellaire

Rameaux du nerf cutané sural latéral (issus du nerf fibulaire commun [péronier])

Fascia crural (profond de la jambe)

Nerf fibulaire superficiel (péronier)

Rameau cutané dorsal médial

Rameau cutané dorsal intermédiaire

Petite veine saphène et nerf cutané dorsal latéral (du nerf sural)

Nerf et veine digitaux dorsaux latéraux du 5e orteil

Veines métatarsiennes dorsales

Nerfs et veines digitaux dorsaux

Veine épigastrique superficielle

Nerf ilio-inguinal (rameau scrotal) (passe habituellement à travers l'anneau inguinal superficiel)

Rameau génital du nerf génito-fémoral

Veine fémorale

Veine pudendale externe superficielle

Veine saphène accessoire

Grande veine saphène

Rameaux cutanés du nerf obturateur

Rameau infra-patellaire du nerf saphène

Nerf saphène (branche terminale du nerf fémoral)

Grande veine saphène

Nerfs digitaux dorsaux

Arcade veineuse dorsale

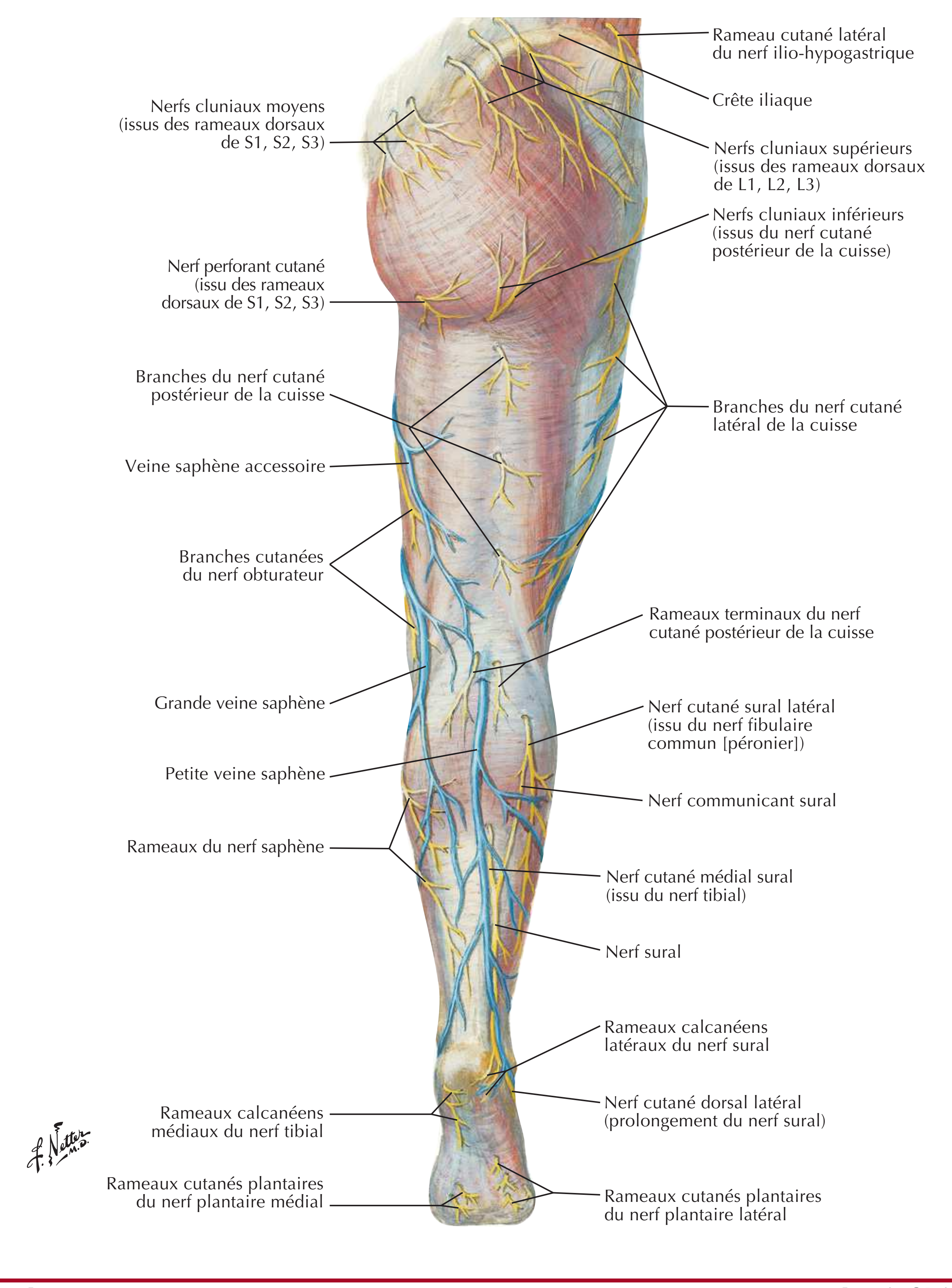
Nerf digital dorsal et veine du gros orteil

Rameau digital dorsal du nerf fibulaire profond (péronier)

F. Netter M.D.

Nerfs et veines superficiels du membre inférieur : vue postérieure

Voir aussi **Planches 527, 528**

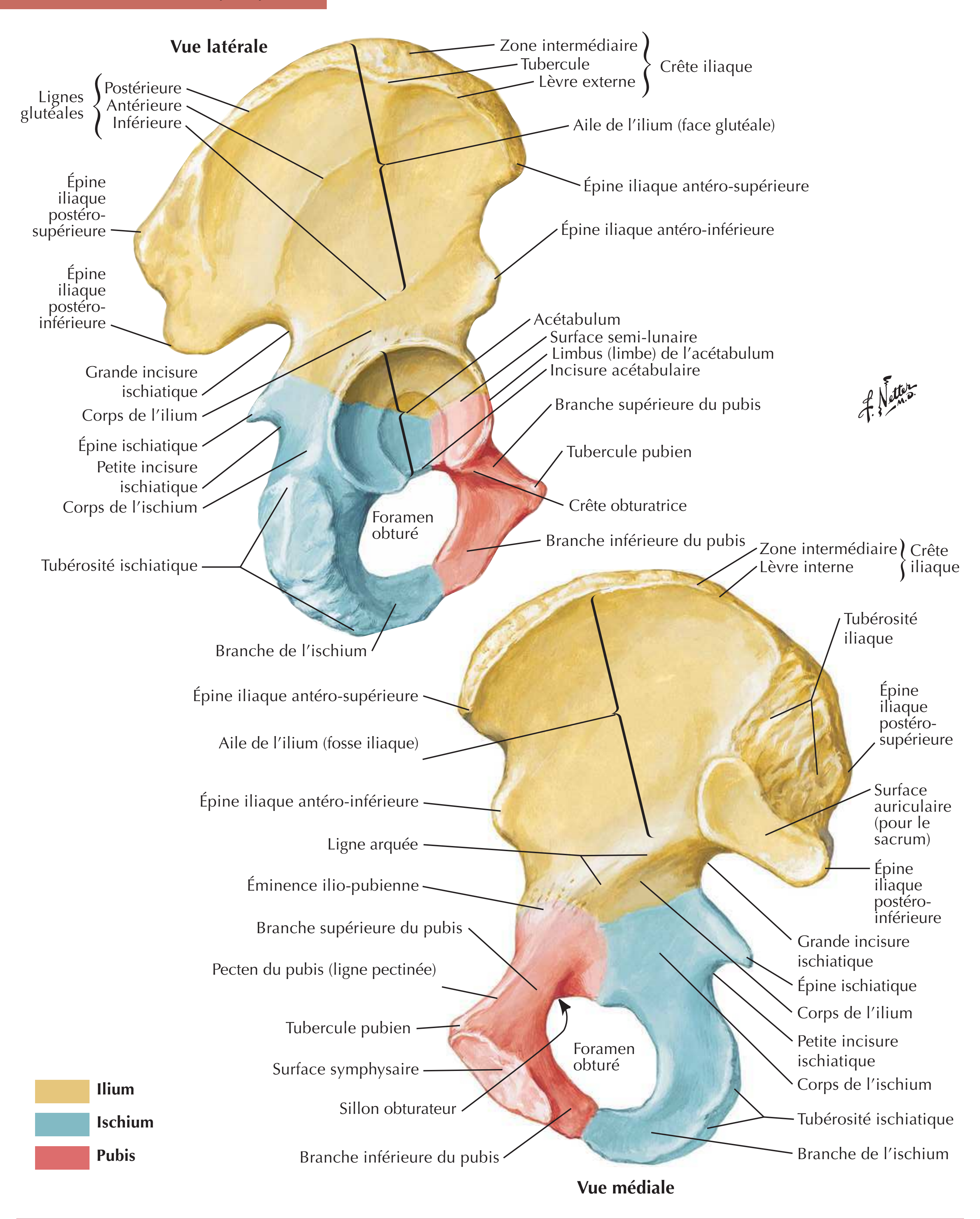




Voir aussi **Planches 385, 386**

Os coxal (os de la hanche)

Voir aussi **Planches 243, 333, 334**





Articulation de la hanche

Voir aussi **Planches 330, 334**

Vue antérieure

Ligament ilio-fémoral (ligament en Y de Bigelow)
Bourse ilio-pectinée (sur la lacune des ligaments)
Ligament pubo-fémoral
Branche supérieure du pubis
Branche inférieure du pubis
Épine iliaque antéro-supérieure
Épine iliaque antéro-inférieure
Grand trochanter
Petit trochanter
Ligne intertrochantérique

Vue postérieure

Ligament ilio-fémoral
Ligament ischio-fémoral
Zone orbiculaire
Grand trochanter
Épine ischiatique
Tubérosité ischiatique
Protrusion de la membrane synoviale
Crête intertrochantérique
Petit trochanter

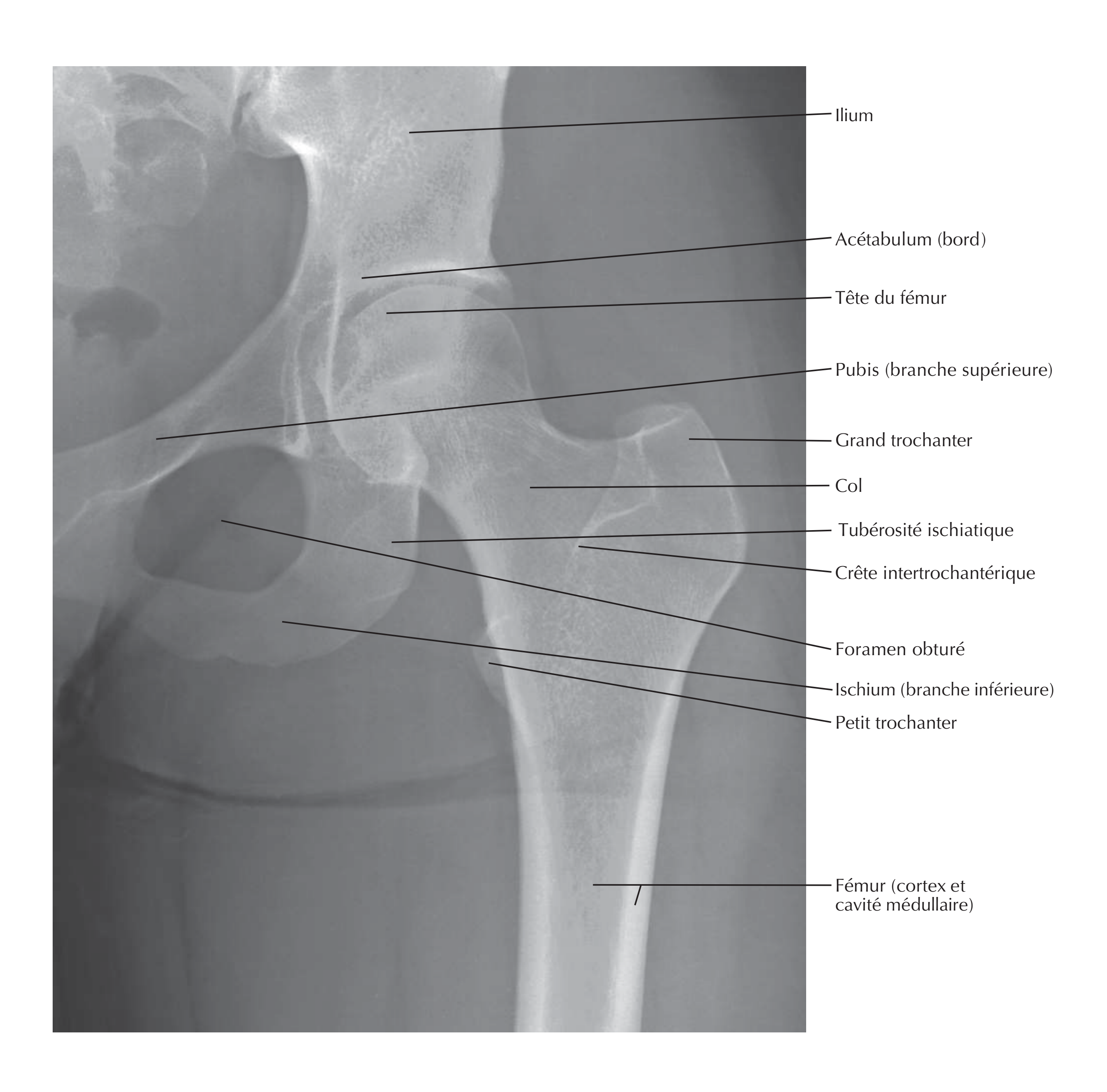
Articulation ouverte : vue latérale

Épine iliaque antéro-supérieure
Épine iliaque antéro-inférieure
Éminence ilio-pubienne
Labrum acétabulaire (fibro-cartilagineux)
Tissu graisseux dans la fosse acétabulaire (recouvert de la membrane synoviale)
Artère obturatrice
Branche antérieure
Branche postérieure
Branche acétabulaire
Membrane obturatrice
Ligament transverse de l'acétabulum
Tubérosité ischiatique
Petit trochanter
Surface semi-lunaire de l'acétabulum
Cartilage articulaire
Grand trochanter
Tête du fémur
Col du fémur
Ligne intertrochantérique
Ligament de la tête du fémur (*coupé*)

F. Netter M.D.

Articulation de la hanche : radiographie antério-postérieure

Voir aussi **Planches 331, 474, 478**

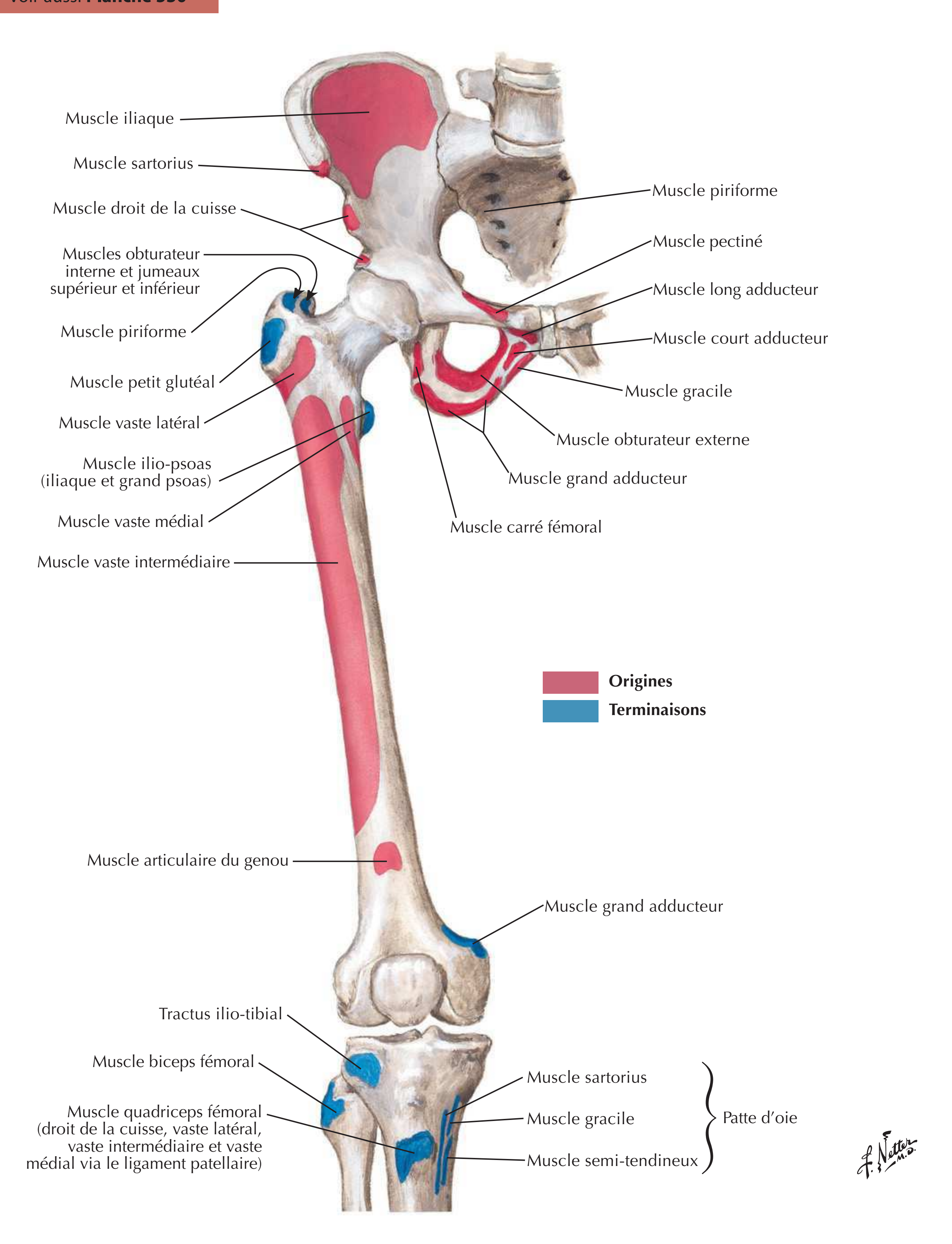




Voir aussi Planche 491

Insertions des muscles de la hanche et de la cuisse : vue antérieure

Voir aussi **Planche 530**





Insertions des muscles de la hanche et de la cuisse : vue postérieure

Voir aussi **Planche 475**

Muscle moyen glutéal
Muscle petit glutéal
Muscle tenseur du fascia lata
Muscle grand glutéal
Muscle sartorius
Muscle droit de la cuisse
Muscle jumeau supérieur
Muscle obturateur externe
Muscle jumeau inférieur
Muscle moyen glutéal
Muscle carré fémoral
Muscle carré fémoral
Muscle obturateur interne
Muscle ilio-psoas
Muscle grand adducteur
Muscle grand glutéal
Muscles biceps fémoral (chef long) et semi-tendineux
Muscle vaste latéral
Muscle grand adducteur
Muscle semi-membraneux
Muscle petit adducteur
Muscle vaste intermédiaire
Muscle pectiné
Muscle biceps fémoral (chef court)
Muscle vaste médial
Muscle grand adducteur
Muscle long adducteur
Muscle vaste latéral
Muscle plantaire
Muscle grand adducteur
Muscle gastrocnémien (chef latéral)
Muscle gastrocnémien (chef médial)
Muscle poplité
Muscle semi-membraneux
Muscle poplité

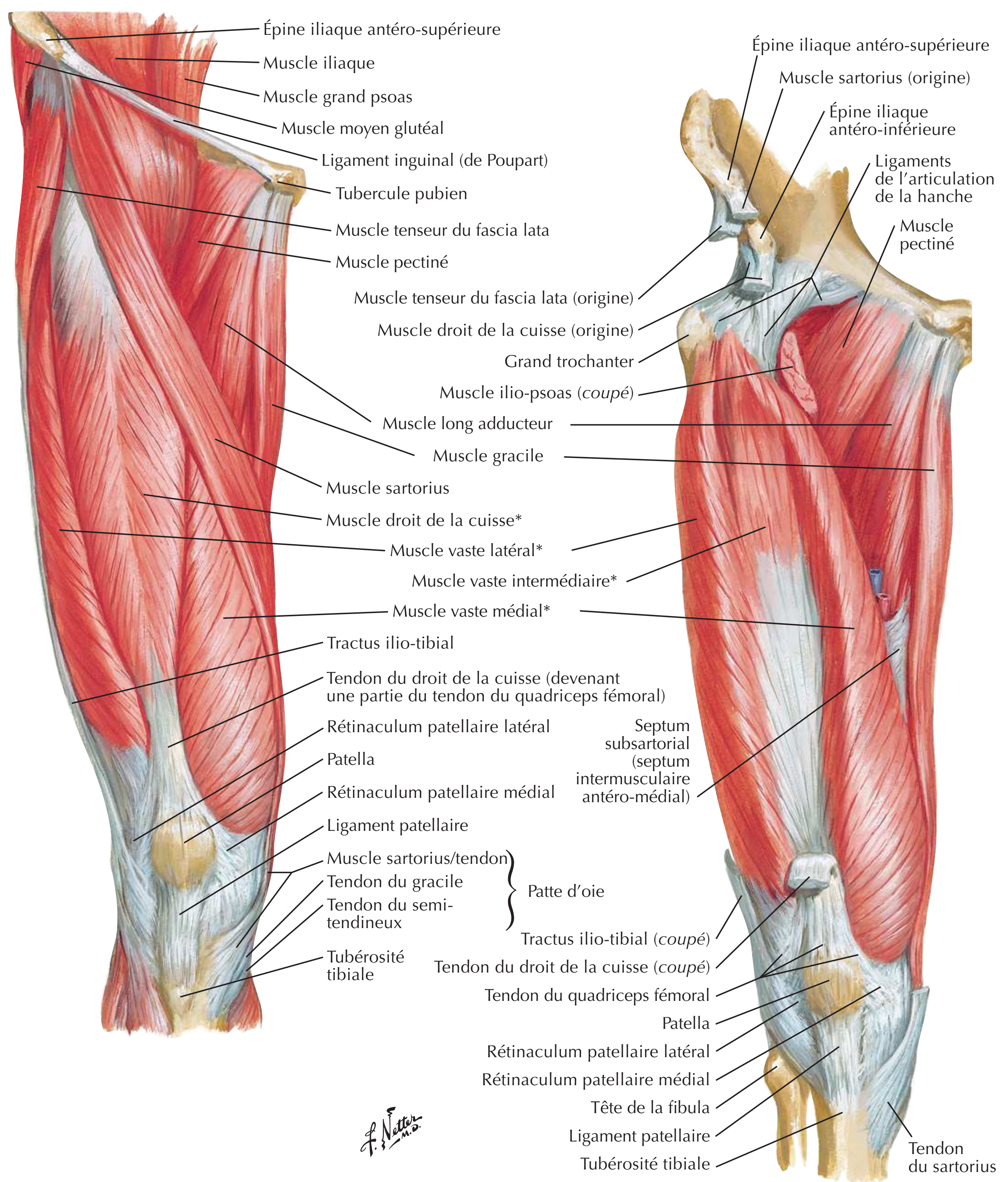
Origines
Terminaisons

Note : la largeur de la zone d'insertion de la face postérieure du fémur (ligne âpre) a été particulièrement agrandie.

F. Netter M.D.

Muscles de la cuisse : vues antérieures

Voir aussi **Planche 258**



* Muscles du quadriceps fémoral



Muscles de la cuisse : vues antérieures (suite)

Dissection profonde

Épine iliaque antéro-supérieure

Épine iliaque antéro-inférieure

Ligaments de l'articulation de la hanche

Grand trochanter du fémur

Muscle ilio-psoas (*coupé*)

Muscle pectiné (*coupé et récliné*)

Muscle court adducteur (*coupé et récliné*)

Muscle vaste intermédiaire

Muscle long adducteur (*coupé et récliné*)

L'artère et la veine fémorales passent à travers le hiatus du muscle grand adducteur

Muscle vaste médial (*coupé*)

Tendon du droit de la cuisse (sectionné au niveau où il participe au tendon du quadriceps)

Muscle vaste latéral (*coupé*)

Épicondyle latéral du fémur

Patella

Rétinaculum patellaire latéral

Ligament collatéral fibulaire

Tête de la fibula

Ligament patellaire

Tubérosité tibiale

Muscle pectiné (*coupé et récliné*)

Branche supérieure du pubis

Muscle long adducteur (*coupé et récliné*)

Muscle court adducteur (*coupé*)

Tubercule pubien

Muscle gracile (*coupé*)

Muscle obturateur externe

Muscle carré fémoral

Adducteur minime, partie du Muscle grand adducteur

Orifices pour les branches perforantes de l'artère profonde de la cuisse (artère fémorale profonde)

Tendon du muscle grand adducteur s'insérant sur le tubercule de l'adducteur de l'épicondyle médial du fémur

Muscle gracile (*coupé*)

Ligament collatéral tibial (fibres superficielles)

Rétinaculum patellaire médial

Tendon du sartorius (*coupé*)

Tendon du muscle gracile

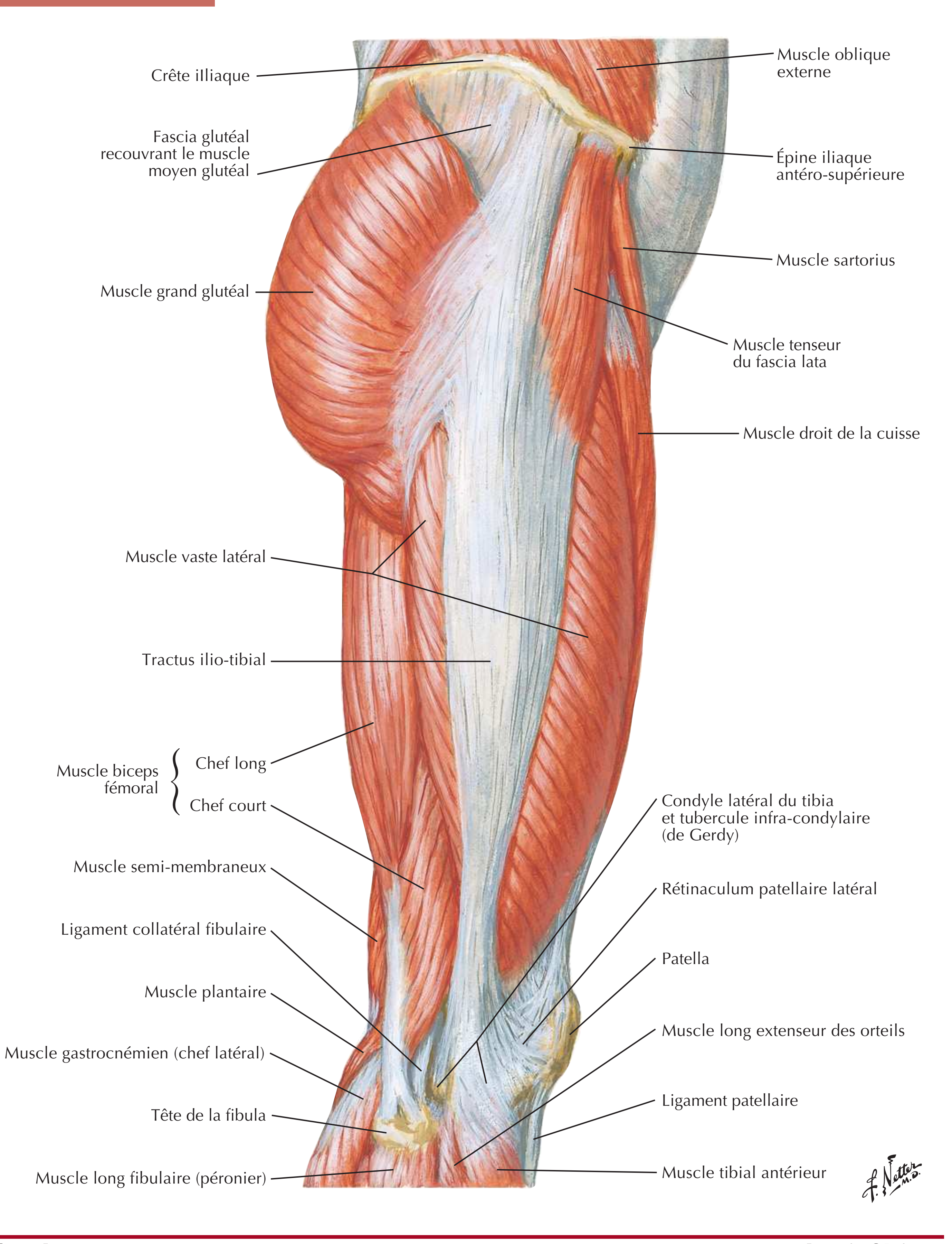
Tendon du semi-tendineux

Patte d'oie

F. Netter M.D.

Muscles de la hanche et de la cuisse : vue latérale

Voir aussi **Planche 468**

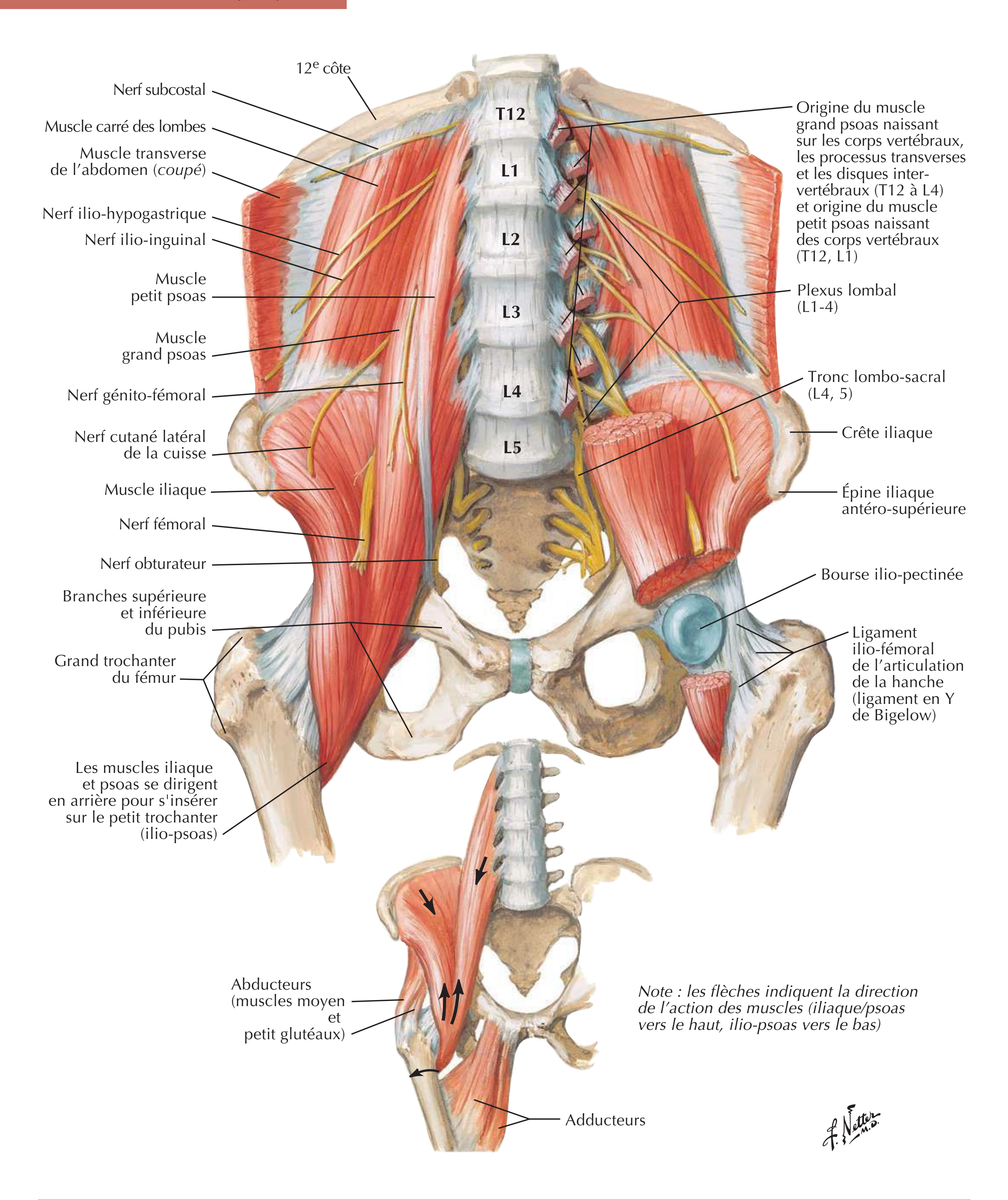




Voir aussi **Planches 338, 339, 488**

Muscles psoas et iliaque

Voir aussi **Planches 253, 258, 262**





Plexus lombo-sacral et coccygien

Voir aussi **Planche 262**

Division antérieure
Division postérieure

Nerf intercostal (T11)
Nerf subcostal (T12)
Nerf ilio-hypogastrique (T12, L1)
Nerf ilio-inguinal (L1)
Vers les muscles grand et petit psoas
Nerf génito-fémoral (L1, L2)
Nerf cutané latéral de la cuisse (L2, L3)
Rameau génital (L1) et Rameau fémoral (L2) du nerf génito-fémoral
Vers les muscles grand psoas et iliaque
Branches antérieures et Branches latérales des nerfs subcostal et ilio-hypogastrique
Tronc lombo-sacral
Nerf du carré fémoral (et du jumeau inférieur) (L4, L5, S1)
Vers les muscles obturateur interne et jumeau supérieur (L5, S1, S2)
Nerf glutéal supérieur (L4, L5, S1)
Nerf du muscle piriforme (S1, S2)
Nerf obturateur (L2, L3, L4)
Nerf obturateur accessoire (L3, L4) (inconstant)
Nerf glutéal inférieur (L5, S1, S2)
Nerf fémoral (L2, L3, L4)
Nerf sciatique (ischiatique)
Nerf cutané postérieur de la cuisse (S1, S2, S3)
Nerf pudendal (honteux) (S2, S3, S4)
Nerf sciatique (ischiatique): Nerf fibulaire commun (péronier) (L4, L5, S1, S2); Nerf tibial (L4, L5, S1, S2, S3)
Nerf cutané postérieur de la cuisse
Nerf périnéal
et
Rameaux postérieurs scrotaux/labiaux
Nerf dorsal du pénis/clitoris

Rameaux communicants
T12
L1
L2
L3
L4
L5
S1
S2
S3
S4
S5
Co

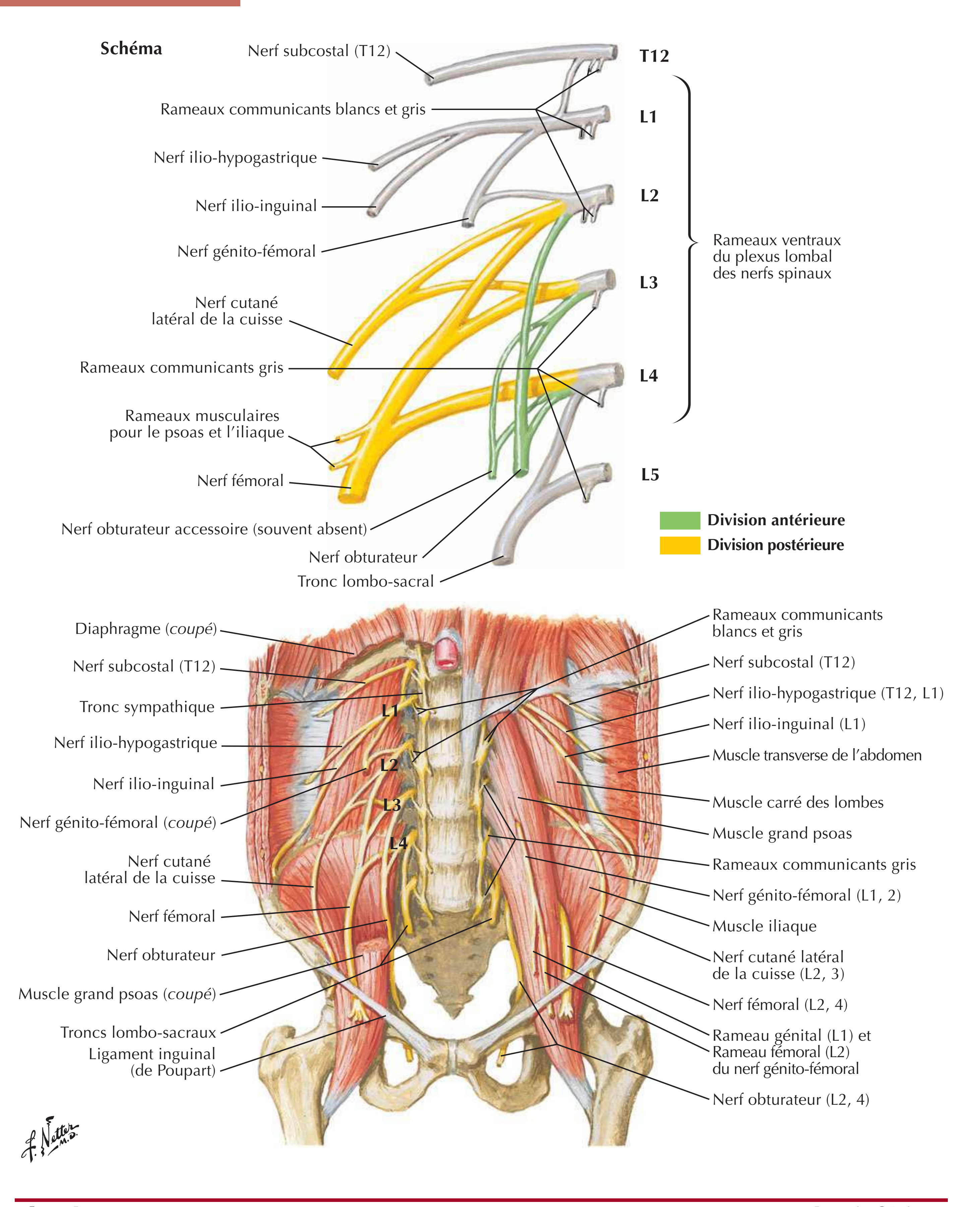
Tronc sympathique
Plexus lombal
Plexus sacral
Plexus coccygien

F. Netter M.D.

Nerfs splanchniques pelviens (parasympathiques)
Nerf perforant cutané (S2, S3)
Nerf des muscles élévateur de l'anus et coccygien (S3, S4)
Rameau périnéal du 4e nerf sacral
Nerfs ano-coccygiens
Nerf obturateur
Nerf anal inférieur (rectal)

Plexus lombal

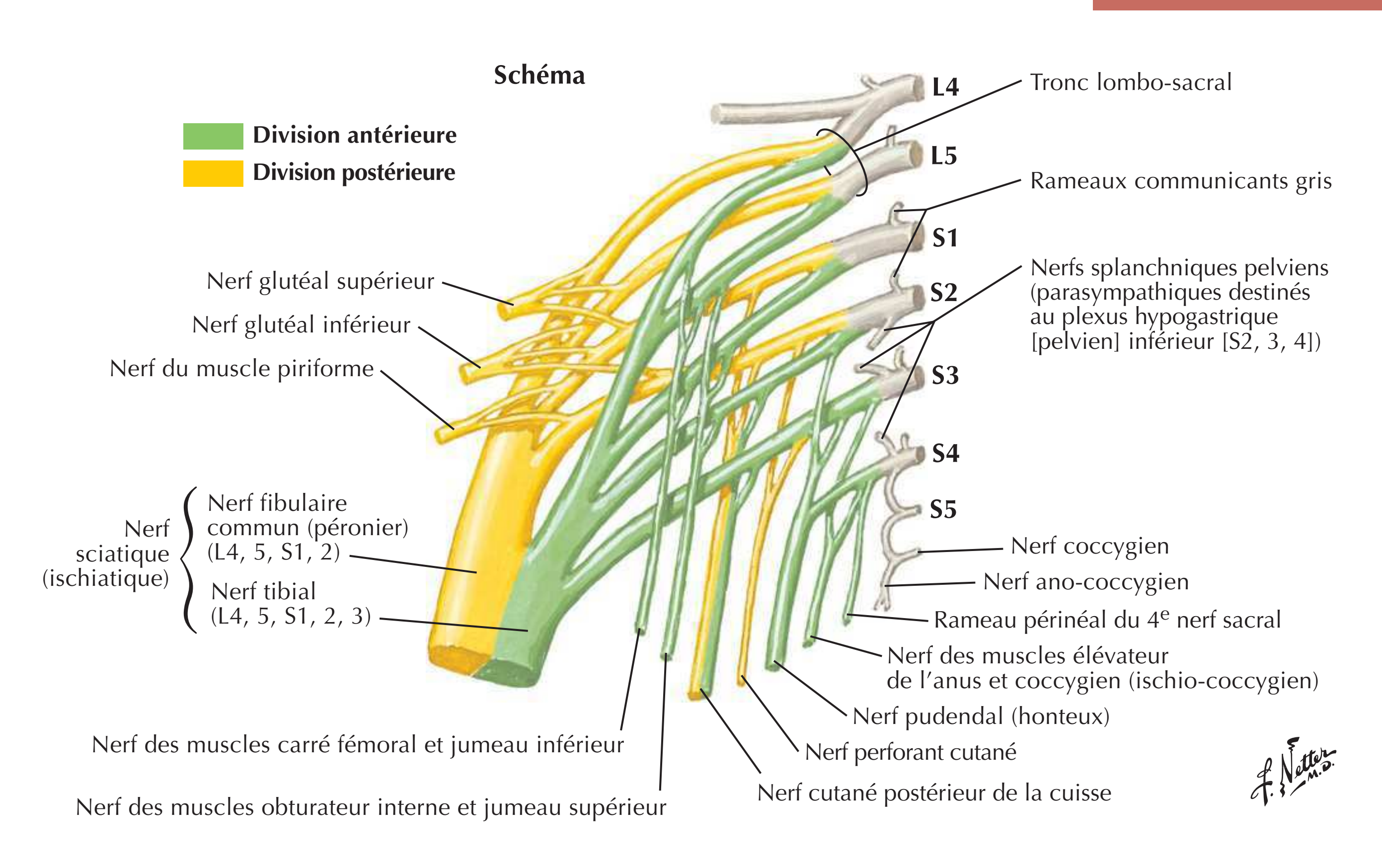
Voir aussi **Planche 262**

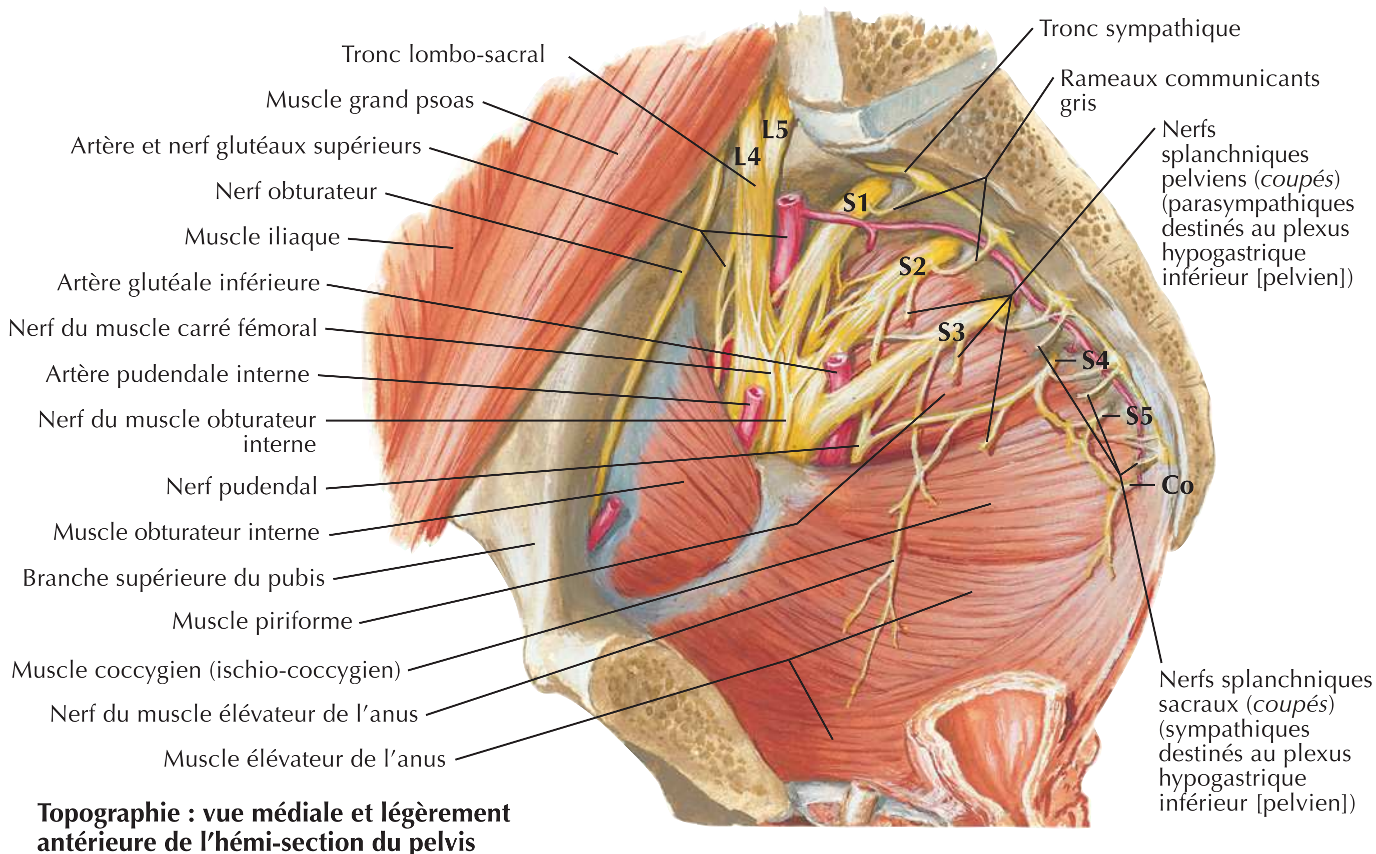




Plexus sacral et coccygien

Voir aussi **Planche 262**

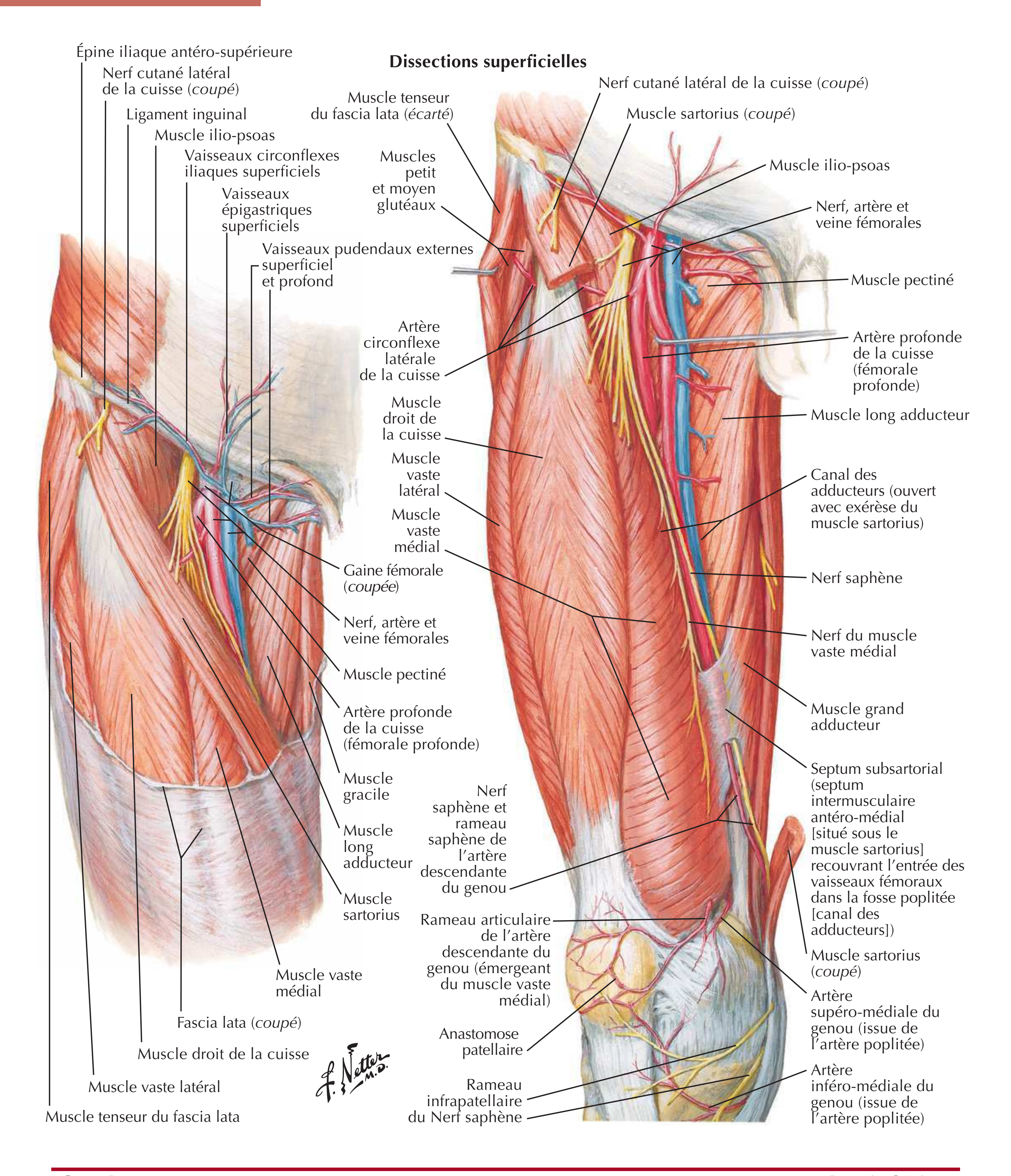




Topographie : vue médiale et légèrement antérieure de l'hémi-section du pelvis

Artères et nerfs de la cuisse : vues antérieures

Voir aussi **Planche 525**





Artères et nerfs de la cuisse : vues antérieures (suite)

Voir aussi **Planches 525, 526**

Dissection profonde

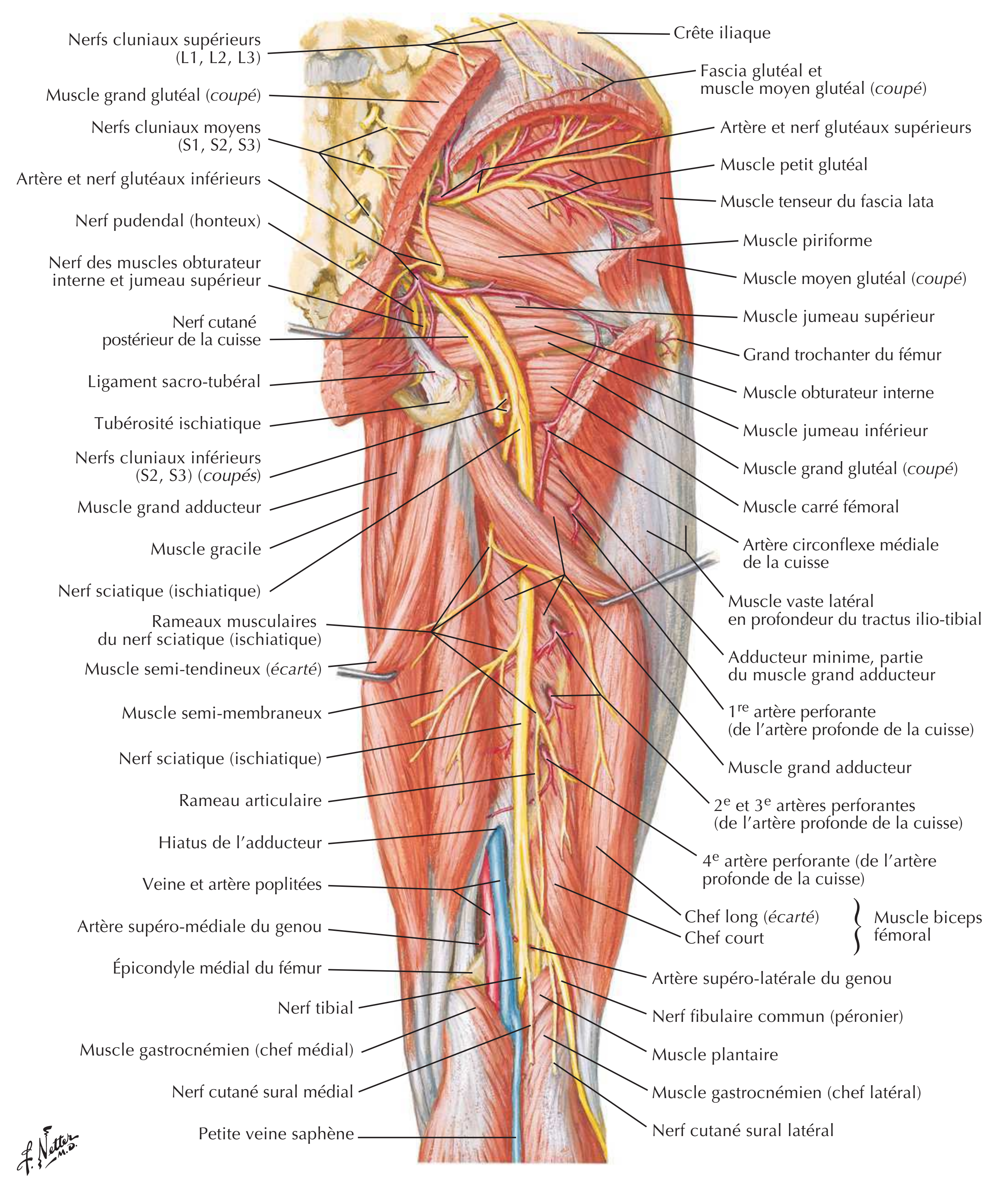
Artère circonflexe iliaque profonde
Nerf cutané latéral de la cuisse
Muscle sartorius (*coupé*)
Muscle ilio-psoas
Muscle tenseur du fascia lata (*écarté*)
Muscles moyen et petit glutéaux
Nerf fémoral
Muscle droit de la cuisse (*coupé*)
Branches ascendante, transverse et descendante de l'artère circonflexe latérale de la cuisse
Artère circonflexe médiale de la cuisse
Muscle pectiné (*coupé*)
Artère profonde de la cuisse (fémorale profonde)
Rameaux perforants
Muscle long adducteur (*coupé*)
Muscle vaste latéral
Tendon du muscle vaste intermédiaire
Muscle droit de la cuisse (*coupé*)
Nerf saphène
Septum subsartorial (septum intermusculaire antéro-médial) (*ouvert*)
Muscle vaste médial
Tendon du quadriceps fémoral
Patella et anastomose patellaire
Rétinaculum patellaire médial
Ligament patellaire

Artère et veine iliaques externes
Ligament inguinal (de Poupart)
Artère et veine fémorales (*coupées*)
Muscle pectiné (*coupé*)
Canal obturateur
Muscle obturateur externe
Muscle long adducteur (*coupé*)
Branche antérieure et Branche postérieure du nerf obturateur
Muscle carré fémoral
Muscle court adducteur
Rameau de la branche postérieure du nerf obturateur
Muscle grand adducteur
Muscle gracile
Rameau cutané du nerf obturateur
Artère et veine fémorales (*coupées*)
Artère descendante du genou
Rameau articulaire
Rameau saphène
Hiatus tendineux de l'adducteur
Muscle sartorius (*coupé*)
Tendon du grand adducteur
Tubercule de l'adducteur sur l'épicondyle médial du fémur
Artère supéro-médiale du genou (issue de l'artère poplitée)
Rameau infra-patellaire du Nerf saphène
Artère inféro-médiale du genou (issue de l'artère poplitée)

F. Netter M.D.

Artères et nerfs de la cuisse : vue postérieure

Voir aussi **Planche 527**



Nerfs de la hanche et de la fesse

Voir aussi **Planche 333**

Crête iliaque

Muscle grand glutéal (*coupé*)

Muscle moyen glutéal (*coupé*)

Nerf glutéal supérieur

Muscle petit glutéal

Nerf sciatique (ischiatique) (*coupé*)

Muscle piriforme

Nerf glutéal inférieur

Muscle jumeau supérieur

Nerf cutané postérieur de la cuisse (*coupé*)

Muscle tenseur du fascia lata

Nerf des muscles obturateur interne et jumeau supérieur

Muscle moyen glutéal (*coupé*)

Nerf pudendal (honteux)

Muscle obturateur interne

Épine ischiatique

Ligament sacro-épineux

Nerf du muscle carré fémoral (et du jumeau inférieur) donnant un rameau articulaire pour l'articulation de la hanche

Nerf perforant cutané

Ligament sacro-tubéral

Grand trochanter du fémur

Nerf anal inférieur (rectal)

Crête intertrochantérique

Nerf dorsal du pénis/clitoris

Muscle jumeau inférieur

Nerf périnéal

Muscle carré fémoral

Nerf scrotal/labial postérieur

Muscle grand glutéal (*coupé*)

Branches périnéales du nerf cutané postérieur de la cuisse

Nerf sciatique (ischiatique) (*coupé*)

Tubérosité ischiatique

Nerf cutané postérieur de la cuisse (*coupé*)

Muscle semi-tendineux

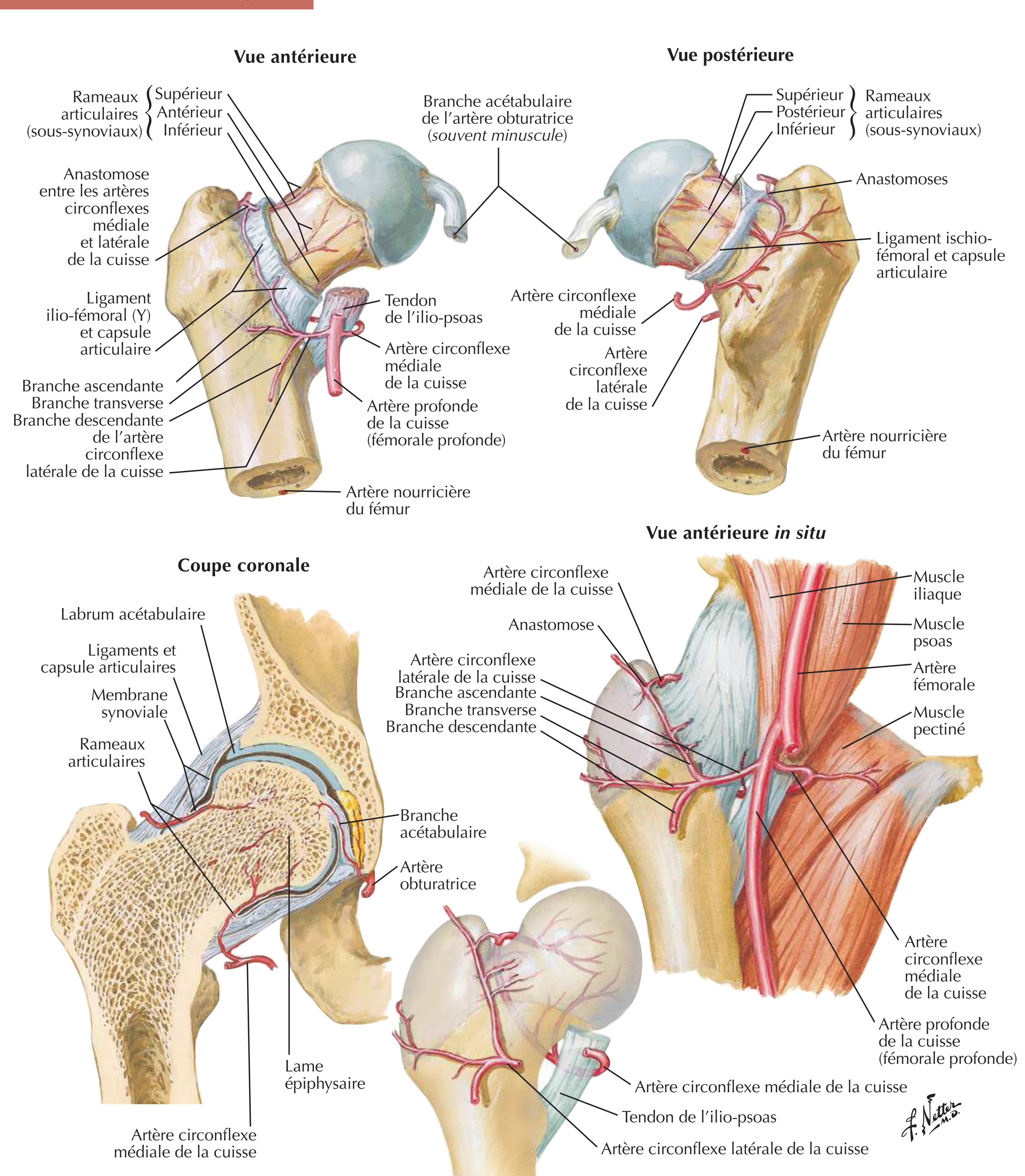
Nerfs cluniaux inférieurs

Muscle biceps fémoral (chef long) (recouvrant le muscle semi-membraneux)

F. Netter M.D.

Artères de la tête et du col du fémur

Voir aussi **Planches 499, 530**





Cuisse : coupes transversales sériées

Muscle sartorius
Artère et veine profondes de la cuisse (fémorales profondes)
Muscle pectiné
Muscle ilio-psoas
Muscle droit de la cuisse
Muscle vaste médial
Nerf cutané latéral de la cuisse
Muscle vaste intermédiaire
Fémur
Muscle vaste latéral
Muscle tenseur du fascia lata
Tractus ilio-tibial
Muscle grand glutéal

Fascia lata
Rameaux du nerf fémoral
Artère et veine fémorales
Muscle long adducteur
Grande veine saphène
Nerf obturateur (branche antérieure)
Muscle court adducteur
Nerf obturateur (branche postérieure)
Muscle gracile
Muscle grand adducteur
Nerf sciatique (ischiatique)
Nerf cutané postérieur de la cuisse
Muscle semi-membraneux
Muscle semi-tendineux
Muscle biceps fémoral (chef long)

Muscle vaste médial
Muscle droit de la cuisse
Muscle vaste intermédiaire
Muscle vaste latéral
Tractus ilio-tibial
Septum intermusculaire latéral de la cuisse
Muscle biceps fémoral { Chef court / Chef long
Muscle semi-tendineux
Muscle semi-membraneux

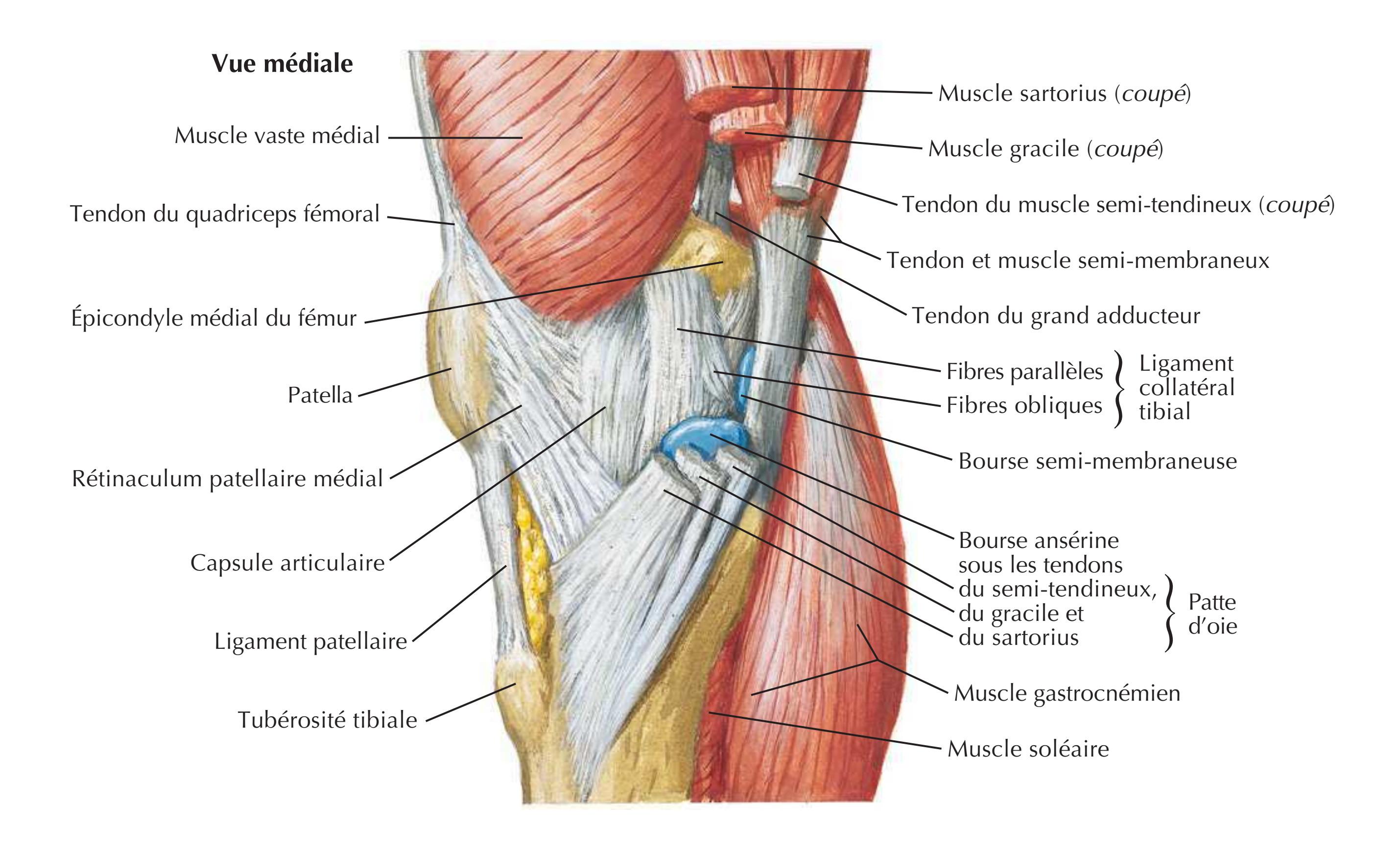
Septum intermusculaire médial de la cuisse
Muscle sartorius
Nerf du muscle vaste médial
Nerf saphène
Artère et veine fémorales
} dans le canal des adducteurs
Grande veine saphène
Muscle long adducteur
Muscle gracile
Muscle court adducteur
Artère et veine profondes de la cuisse (fémorales profondes)
Muscle grand adducteur
Septum intermusculaire postérieur de la cuisse
Nerf sciatique (ischiatique)

Tendon du muscle droit fémoral
Muscle vaste intermédiaire
Tractus ilio-tibial
Muscle vaste latéral
Muscle articulaire du genou
Septum intermusculaire latéral de la cuisse
Fémur
Muscle biceps fémoral
Nerf fibulaire commun (péronier)
Nerf tibial

Muscle vaste médial
Muscle sartorius
Nerf saphène et artère descendante du genou
Grande veine saphène
Muscle gracile
Tendon du grand adducteur
Veine et artère poplitées
Muscle semi-membraneux
Muscle semi-tendineux

F. Netter M.D.

7 Genou : vues latérale et médiale

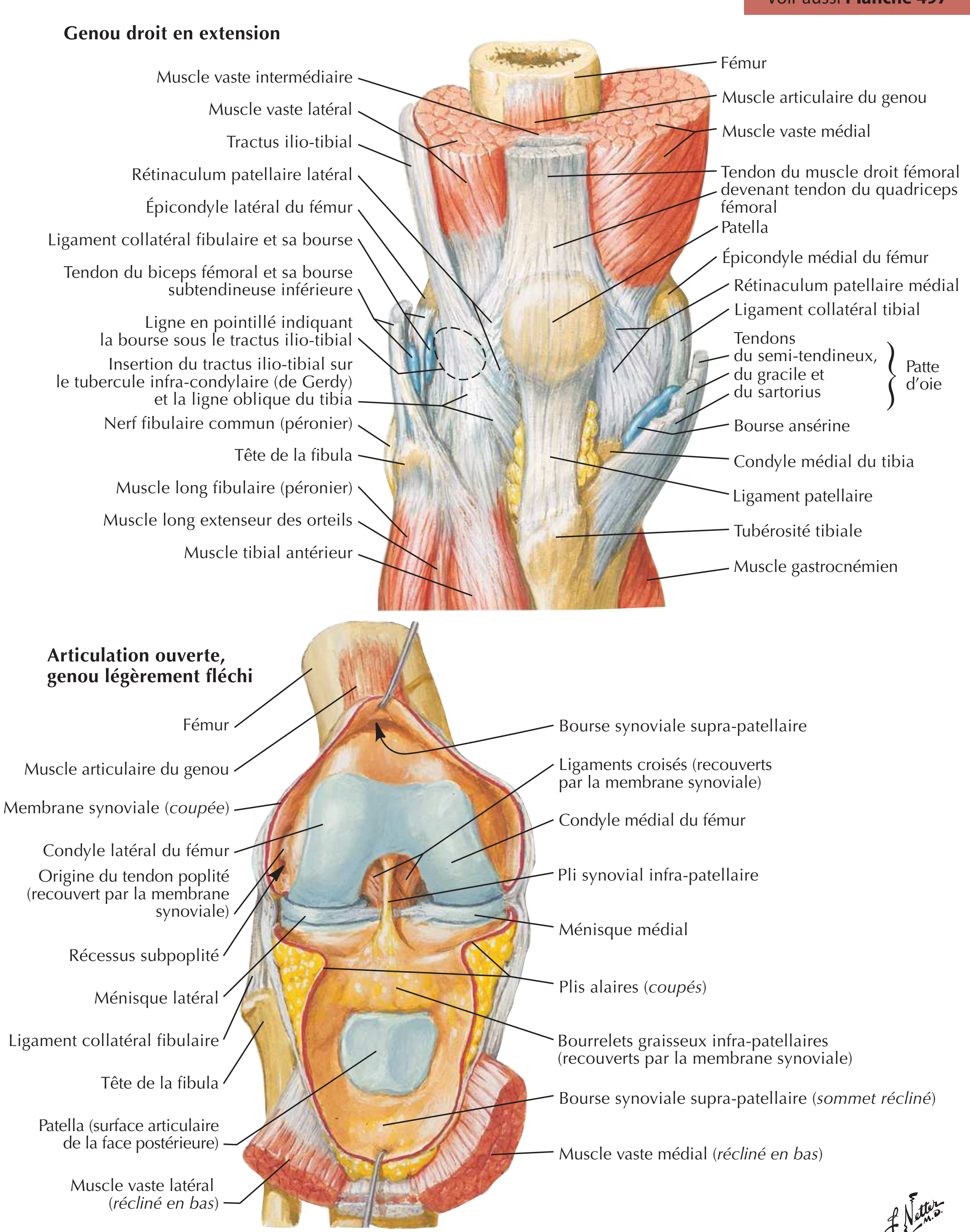


Vue latérale

Tractus ilio-tibial (*coupé*)
Muscle biceps fémoral (*coupé*) { Chef long / Chef court
Bourse sous-jacente au tractus ilio-tibial
Ligament collatéral fibulaire et bourse sous-jacente
Muscle plantaire
Tendon du biceps fémoral et sa bourse subtendineuse inférieure
Nerf fibulaire commun (péronier)
Tête de la fibula
Muscle gastrocnémien
Muscle soléaire
Muscle long fibulaire (péronier)
Muscle vaste latéral
Tendon du quadriceps fémoral
Patella
Rétinaculum patellaire latéral
Capsule articulaire du genou
Ligament patellaire
Tubérosité tibiale
Muscle tibial antérieur

F. Netter M.D.

Voir aussi **Planche 497**



Genou : intérieur

Voir aussi **Planche 501**

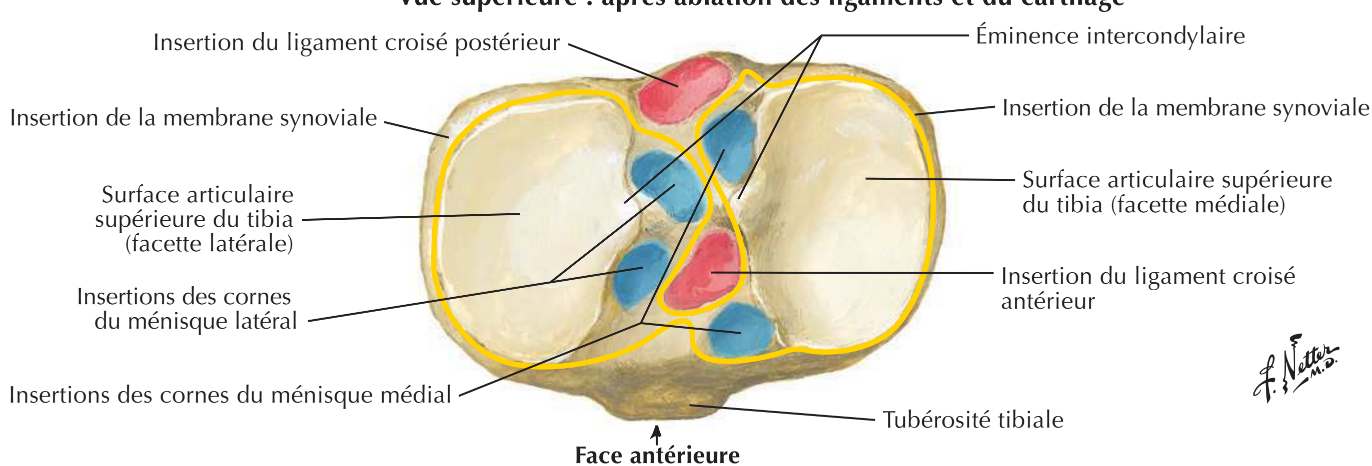
Vue inférieure

Tractus ilio-tibial adhérent au rétinaculum patellaire latéral et à la capsule
Bourse
Récessus subpoplité
Tendon poplité
Ligament collatéral fibulaire
Bourse
Condyle latéral du fémur
Ligament croisé antérieur
Ligament poplité arqué
Face postérieure
Ligament patellaire
Rétinaculum patellaire médial adhérent à la capsule articulaire
Bourse synoviale supra-patellaire
Membrane synoviale (*bord coupé*)
Pli synovial infra-patellaire
Ligament croisé postérieur
Ligament collatéral tibial (fibres superficielles et profondes)
Condyle médial du fémur
Ligament poplité oblique
Tendon du semi-membraneux

Vue supérieure

Ligament ménisco-fémoral postérieur
Ligament poplité arqué
Ligament collatéral fibulaire
Bourse
Tendon du poplité
Récessus subpoplité
Ménisque latéral
Surface articulaire supérieure du tibia (facette latérale)
Tractus ilio-tibial adhérent à la capsule
Corps adipeux infra-patellaire
Face antérieure
Tendon du semi-membraneux
Ligament poplité oblique
Ligament croisé postérieur
Ligament collatéral tibial (fibres profondes liées au ménisque médial)
Ménisque médial
Membrane synoviale
Surface articulaire supérieure du tibia (facette médiale)
Capsule articulaire
Ligament croisé antérieur
Ligament patellaire

Vue supérieure : après ablation des ligaments et du cartilage





Genou : ligaments croisés et collatéraux

Genou droit en flexion : vue antérieure

Ligament croisé antérieur
Condyle latéral du fémur (surface articulaire)
Tendon du poplité
Ligament collatéral fibulaire
Ménisque latéral
Ligament transverse du genou
Tête de la fibula
Tubercule infra-condylaire (de Gerdy)
Ligament croisé postérieur
Condyle médial du fémur (surface articulaire)
Ménisque médial
Ligament collatéral tibial (fibres superficielles et profondes)
Condyle médial du tibia
Tubérosité tibiale

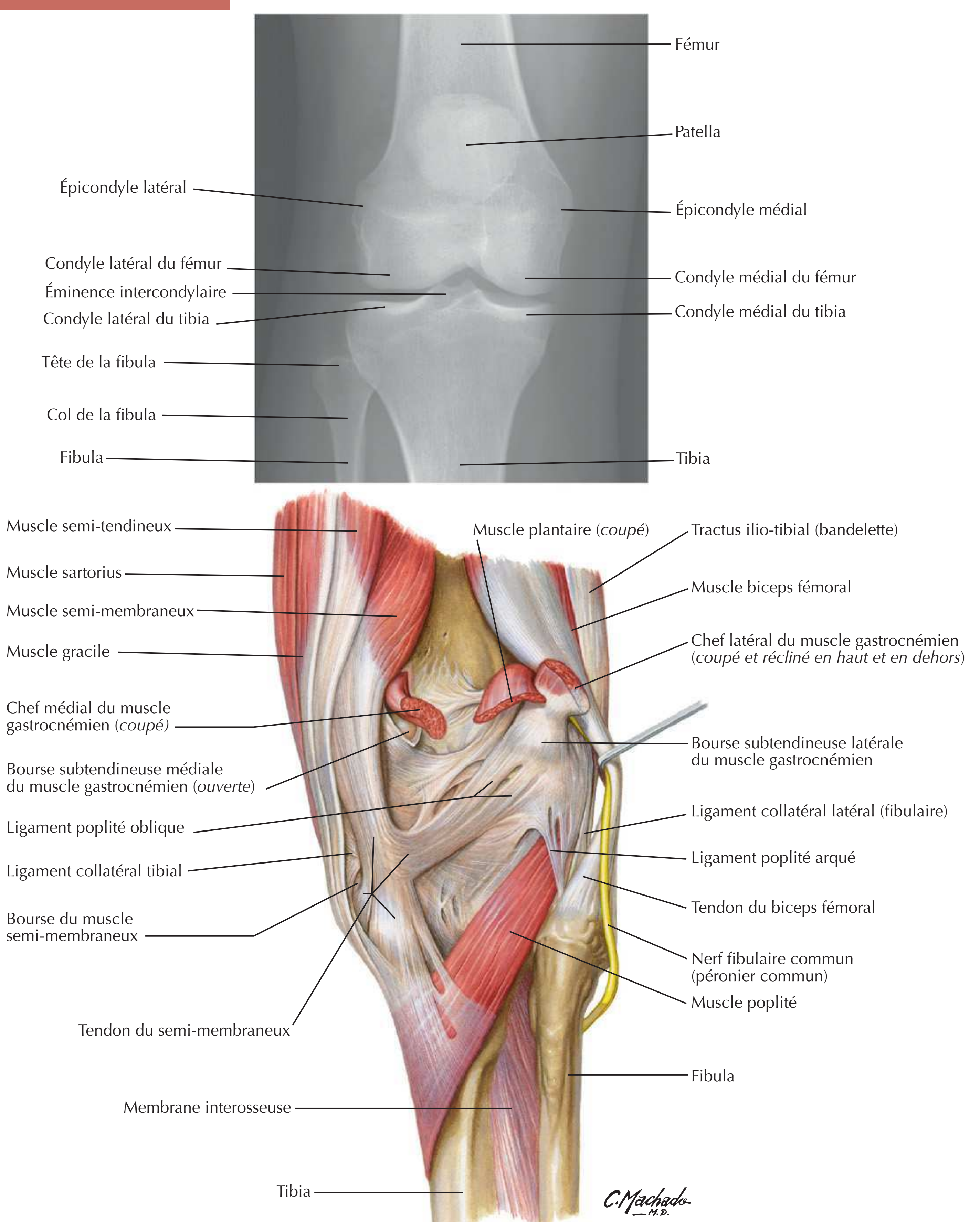
Genou droit en extension : vue postérieure

Ligament croisé postérieur
Ligament croisé antérieur
Ligament ménisco-fémoral postérieur
Condyle latéral du fémur (surface articulaire)
Tendon du poplité
Ligament collatéral fibulaire
Ménisque latéral
Tête de la fibula
Tubercule de l'adducteur sur l'épicondyle médial du fémur
Condyle médial du fémur (surface articulaire)
Ligament collatéral tibial (fibres superficielles et profondes)
Ménisque médial
Condyle médial du tibia

F. Netter M.D.

Genou : radiographie de face et vue postérieure

Voir aussi **Planche 494**

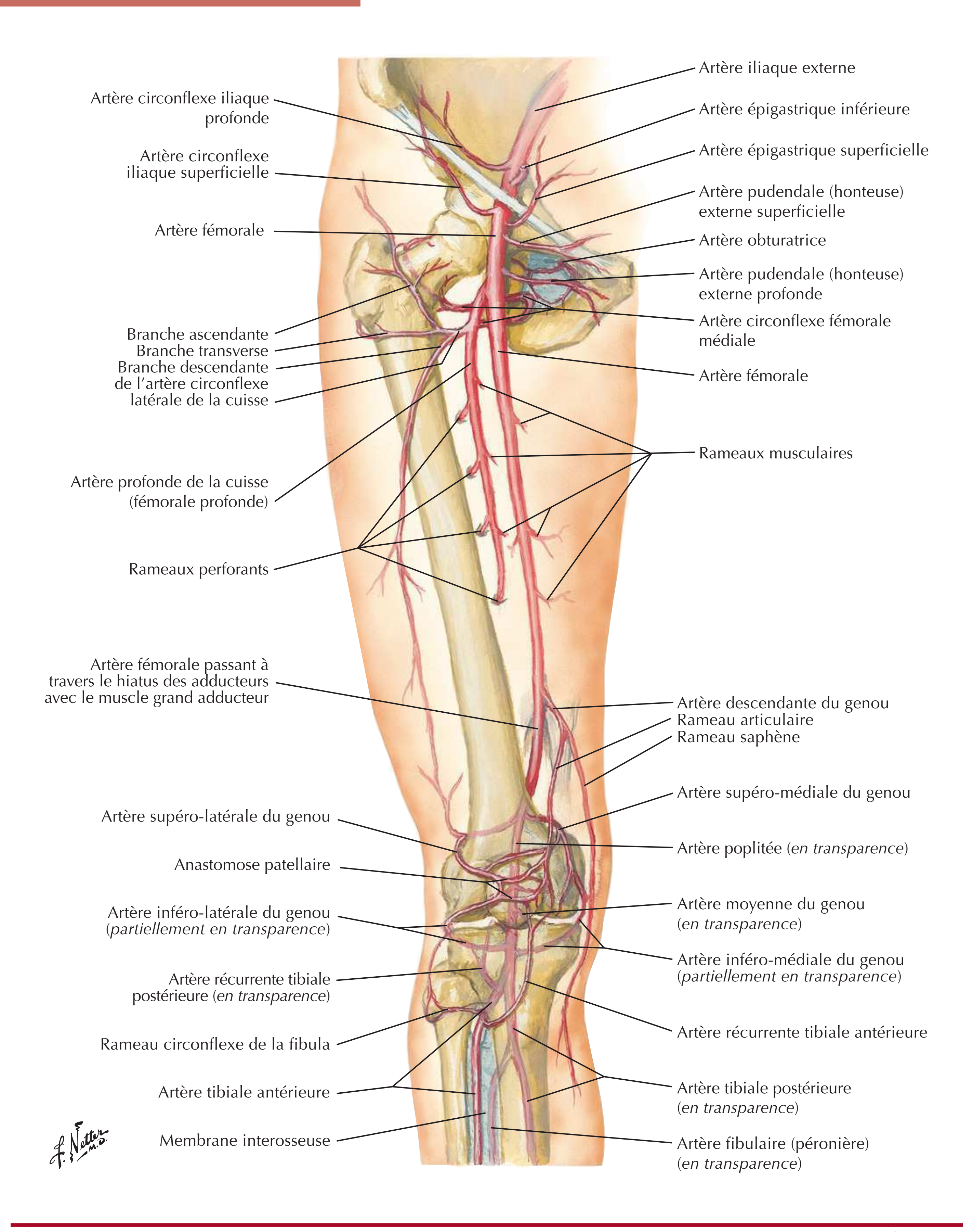




Genou droit : vue postérieure
Fémur (face poplitée)
Tendon du grand adducteur
Insertion de la capsule articulaire
Chef médial du muscle gastrocnémien et bourse subtendineuse
Muscle plantaire
Chef latéral du muscle gastrocnémien et bourse sous-jacente
Ligament collatéral tibial
Tendon du semi-membraneux
Ligament collatéral fibulaire et Bourse sous-jacente
Ligament poplité oblique (expansion tendineuse du muscle semi-membraneux)
Tendon du biceps fémoral et Bourse sous-jacente
Bourse semi-membraneuse sous-jacente au tendon (*ligne en pointillé*)
Ligament poplité arqué (bord arciforme de la capsule recouvrant le muscle poplité)
Muscle poplité
Tête de la fibula
Ligament postérieur de la tête fibulaire
Insertion de la capsule articulaire
Membrane interosseuse
Tibia
Fémur
Muscle articulaire du genou
Tendon du quadriceps fémoral
Corps graisseux supra-patellaire
Bourse synoviale supra-patellaire
Bourse subtendineuse du muscle gastrocnémien
Patella
Bourse sous-cutanée prépatellaire
Cavité articulaire
Membrane synoviale
Ligament patellaire
Membrane synoviale
Corps adipeux infra-patellaire
Bourse sous-cutanée infra-patellaire
Bourse infra-patellaire profonde (subtendineuse)
Ménisque latéral
Cartilages articulaires
Tubérosité tibiale
Tibia
Coupe sagittale (latérale à la ligne médiane du genou)
F. Netter M.D.

Artères de la cuisse et du genou : schéma

Voir aussi **Planches 491, 508, 509, 518**

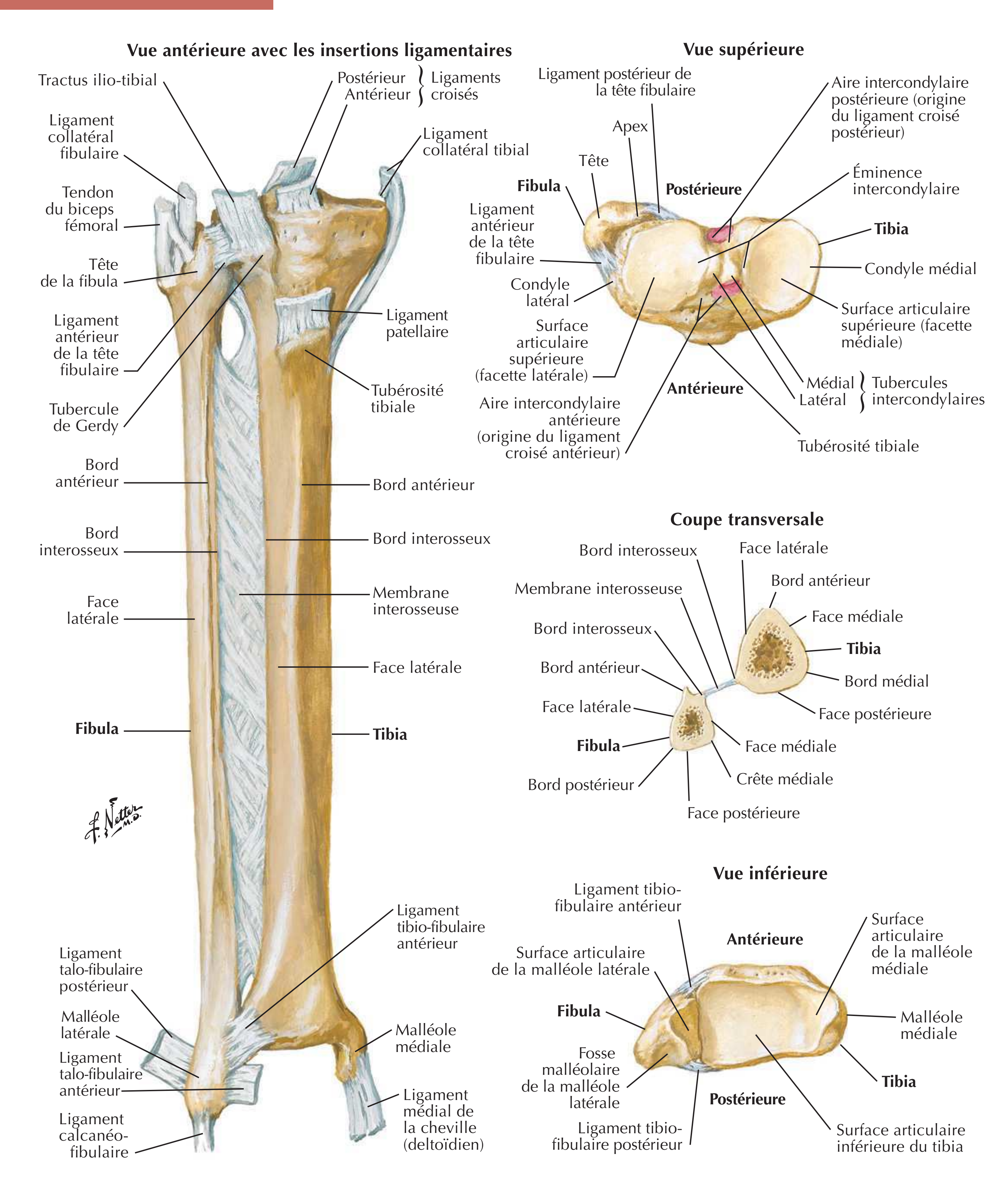




Os de la jambe droite

Tibia et fibula (suite)

Voir aussi **Planche 495**





Insertions des muscles de la jambe

Voir aussi **Planches 505, 508**

Vue antérieure

Tractus ilio-tibial

Muscle biceps fémoral

Muscle long fibulaire (péronier)

Muscle long extenseur des orteils

Muscle long extenseur de l'hallux

Muscle court fibulaire (péronier)

Muscle troisième fibulaire (péronier)

Muscle court fibulaire (péronier)

Muscle troisième fibulaire (péronier)

Muscle sartorius

Muscle gracile

Muscle semi-tendineux

Patte d'oie

Muscle quadriceps fémoral via le ligament patellaire

Muscle tibial antérieur

Muscle long extenseur des orteils

Muscle long extenseur de l'hallux

Vue postérieure

Muscle gastrocnémien (chef médial)

Muscle semi-membraneux

Muscle poplité

Muscle soléaire

Muscle long fléchisseur des orteils

Muscle plantaire

Muscle gastrocnémien (chef latéral)

Muscle poplité

Muscle tibial postérieur

Muscle long fléchisseur de l'hallux

Muscle court fibulaire (péronier)

Muscle plantaire

Muscles soléaire et gastrocnémien via le tendon calcanéen (d'Achille)

Muscle tibial postérieur

Muscle tibial antérieur

Muscle long fibulaire (péronier)

Muscle long fléchisseur de l'hallux

Muscle long fléchisseur des orteils

Origines

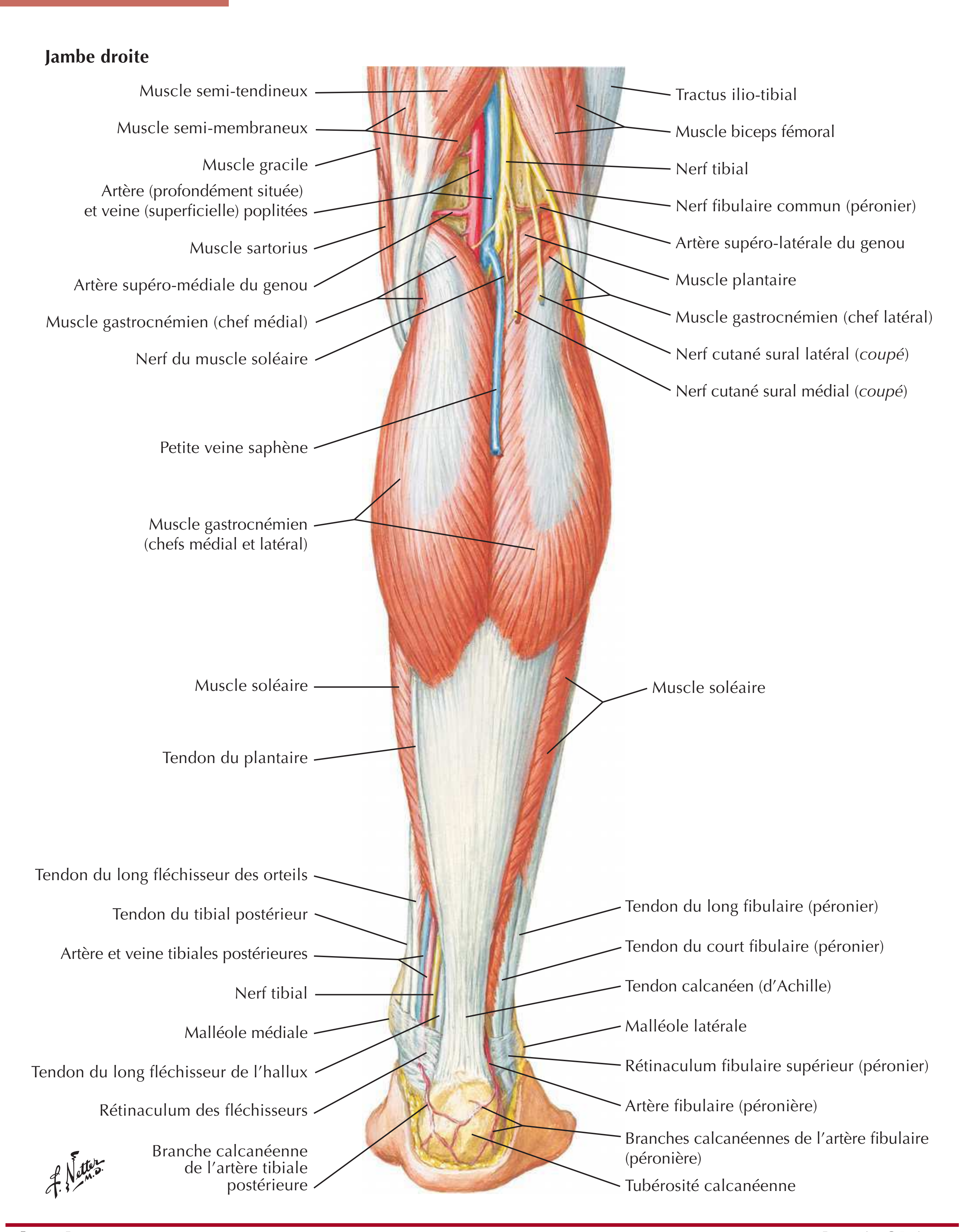
Terminaisons

Note : les insertions des muscles intrinsèques du pied ne sont pas représentées ici.

F. Netter M.D.

Muscles de la jambe (dissection superficielle) : vue postérieure

Voir aussi **Planche 528**





Muscles de la jambe (dissection intermédiaire) : vue postérieure

Voir aussi **Planche 528**

Jambe droite

Tendon du grand adducteur

Artère poplitée (en profondeur) et veine poplité (plus superficielle)

Artère supéro-médiale du genou

Muscle gastrocnémien (chef médial) (*coupé*)

Ligament collatéral tibial

Tendon du semi-membraneux (*coupé*)

Artère inféro-médiale du genou

Muscle poplité

Arcade tendineuse du muscle soléaire

Tendon du plantaire

Muscle gastrocnémien (*coupé*)

Muscle soléaire s'insérant dans le tendon calcanéen (d'Achille)

Muscle long fléchisseur des orteils

Tendon du tibial postérieur

Artère et veine tibiales postérieures

Nerf tibial

Malléole médiale

Tendon du long fléchisseur de l'hallux

Rétinaculum des fléchisseurs

Tendon calcanéen (d'Achille)

Branche calcanéenne de l'artère tibiale postérieure

Nerf tibial

Nerf fibulaire commun (péronier) (*coupé*)

Artère supéro-latérale du genou

Nerfs cutanés suraux latéral et médial (*coupés*)

Muscle gastrocnémien (chef latéral) (*coupé*)

Ligament fibulaire collatéral

Tendon du biceps fémoral (*coupé*)

Muscle plantaire

Artère inféro-latérale du genou

Tête de la fibula

Nerf fibulaire commun (péronier) (*coupé*)

Nerf du muscle soléaire

Muscle long fibulaire (péronier)

Muscle soléaire

Tendon du long fibulaire (péronier)

Tendon du court fibulaire (péronier)

Malléole latérale

Rétinaculum fibulaire (péronier) supérieur

Artère fibulaire (péronière)

Branches calcanéennes de l'artère fibulaire (péronière)

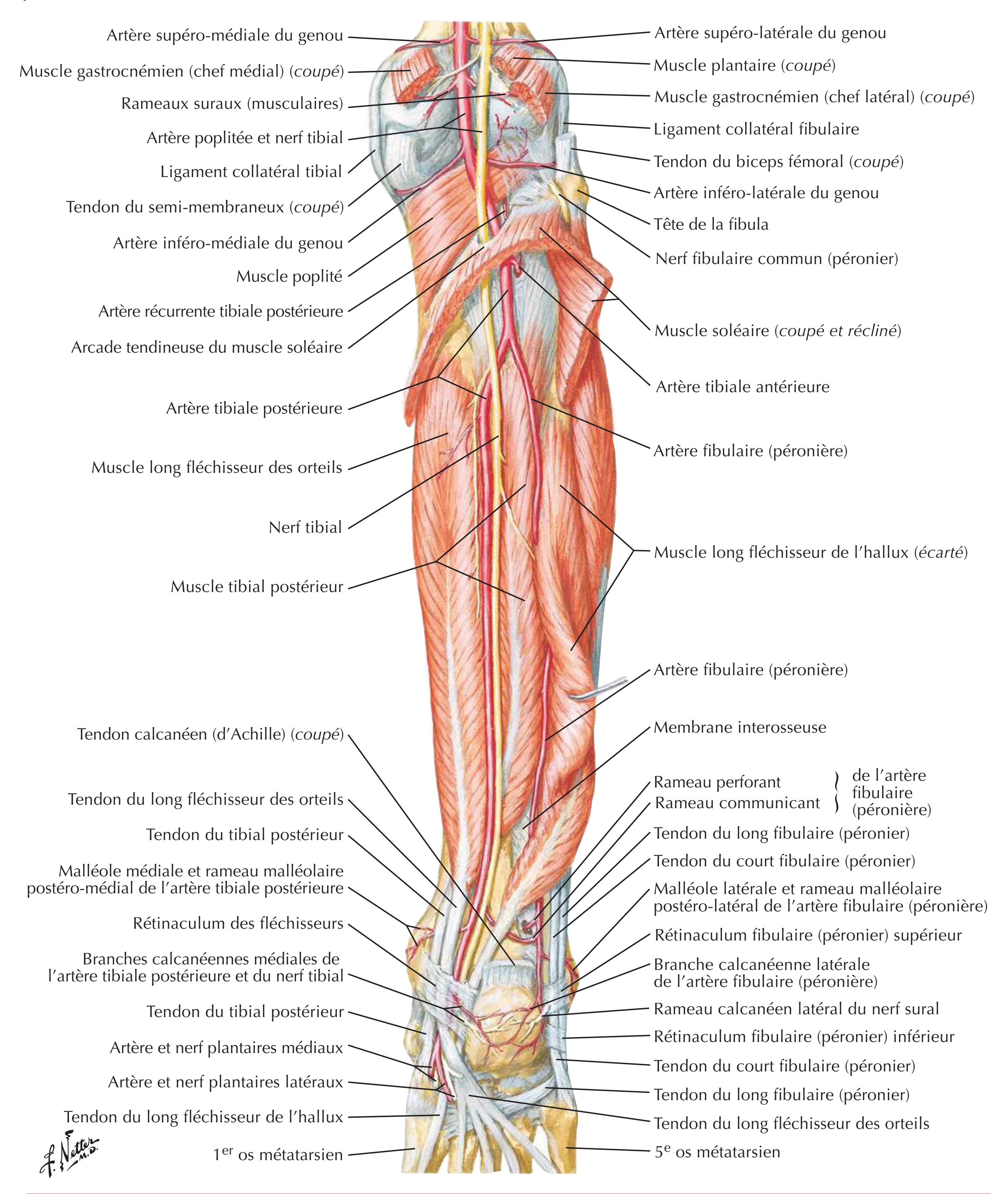
Tubérosité calcanéenne

F. Netter M.D.

Muscles de la jambe (dissection profonde) : vue postérieure

Voir aussi **Planche 528**

Jambe droite





Muscles de la jambe : vue latérale

Voir aussi **Planches 516, 529**

Muscle biceps fémoral
- Chef long
- Chef court
- Tendon

Ligament collatéral fibulaire

Nerf fibulaire commun (péronier)

Artère inféro-latérale du genou

Tête de la fibula

Muscle gastrocnémien (chef latéral)

Muscle soléaire

Muscle long fibulaire (péronier) et son tendon

Muscle court fibulaire (péronier) et son tendon

Fibula

Malléole latérale

Tendon calcanéen (d'Achille)

Bourse du tendon calcanéen (subtendineuse)

Rétinaculum fibulaire supérieur (péronier)

Rétinaculum fibulaire inférieur (péronier)

Tendon du long fibulaire (péronier) passant sous la plante du pied

Muscle vaste latéral

Tractus ilio-tibial

Tendon du quadriceps fémoral

Artère supéro-latérale du genou

Patella

Rétinaculum patellaire latéral

Condyle latéral du tibia

Ligament patellaire

Tubérosité tibiale

Muscle tibial antérieur

Muscle long extenseur des orteils

Nerf fibulaire superficiel (péronier) (*coupé*)

Tendon du long extenseur des orteils

Muscle long extenseur de l'hallux et son tendon

Rétinaculum supérieur des extenseurs

Rétinaculum inférieur des extenseurs

Muscle court extenseur des orteils

Tendon du long extenseur de l'hallux

Tendons du long extenseur des orteils

Tendon du court fibulaire (péronier)

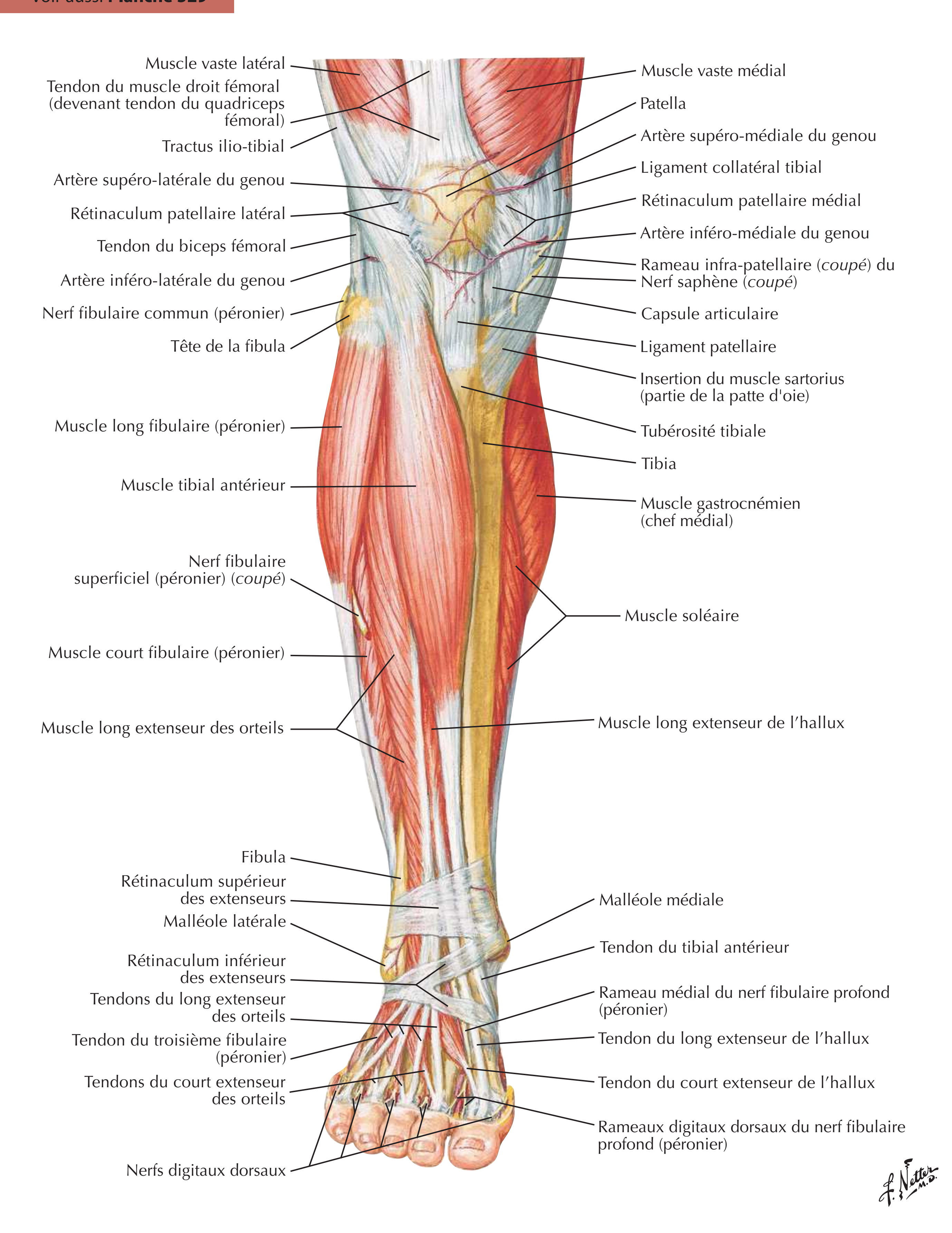
Tendon du troisième fibulaire (péronier)

5e os métatarsien

F. Netter M.D.

Muscles de la jambe (dissection superficielle) : vue antérieure

Voir aussi **Planche 529**

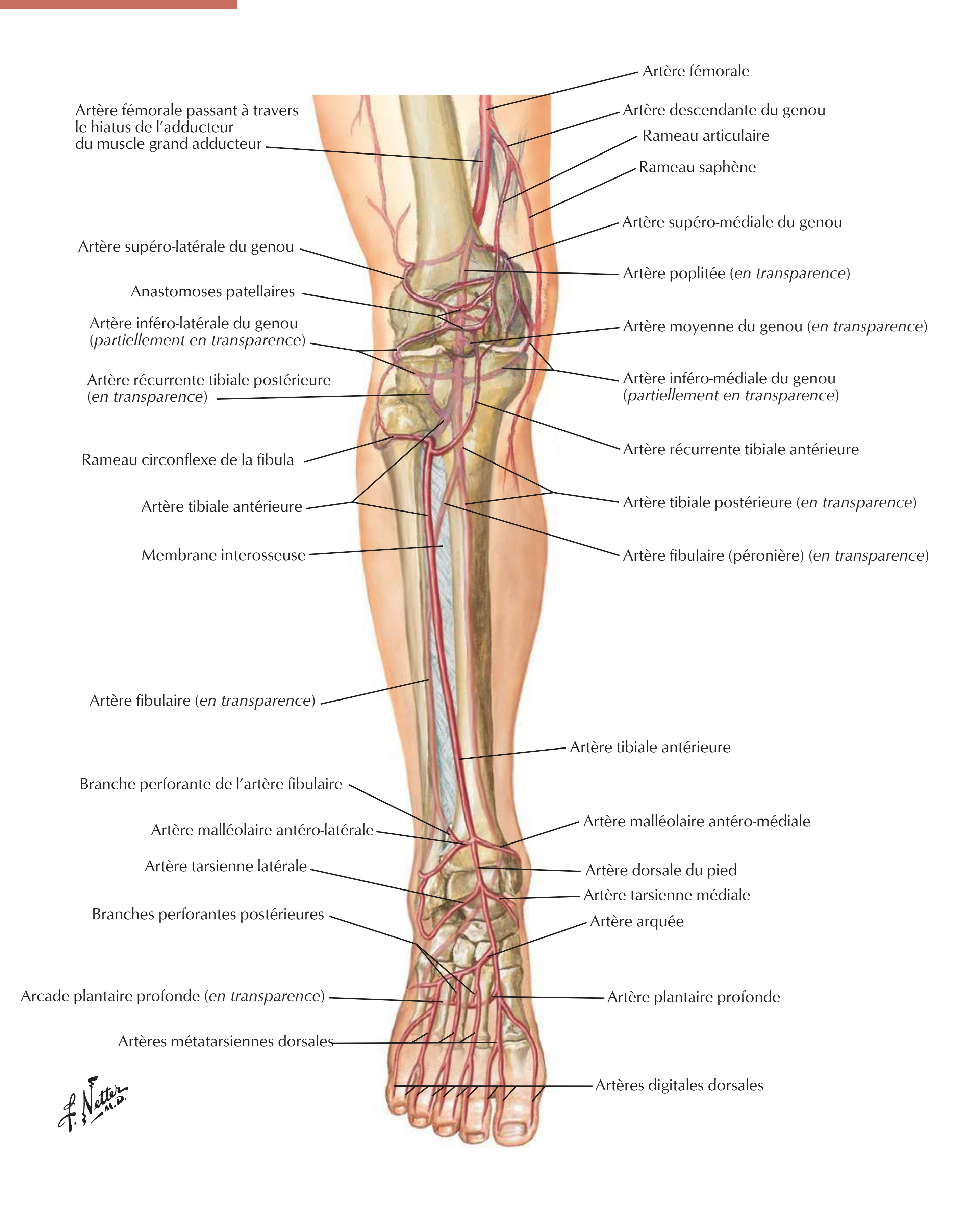


Muscles de la jambe (dissection profonde) : vue antérieure

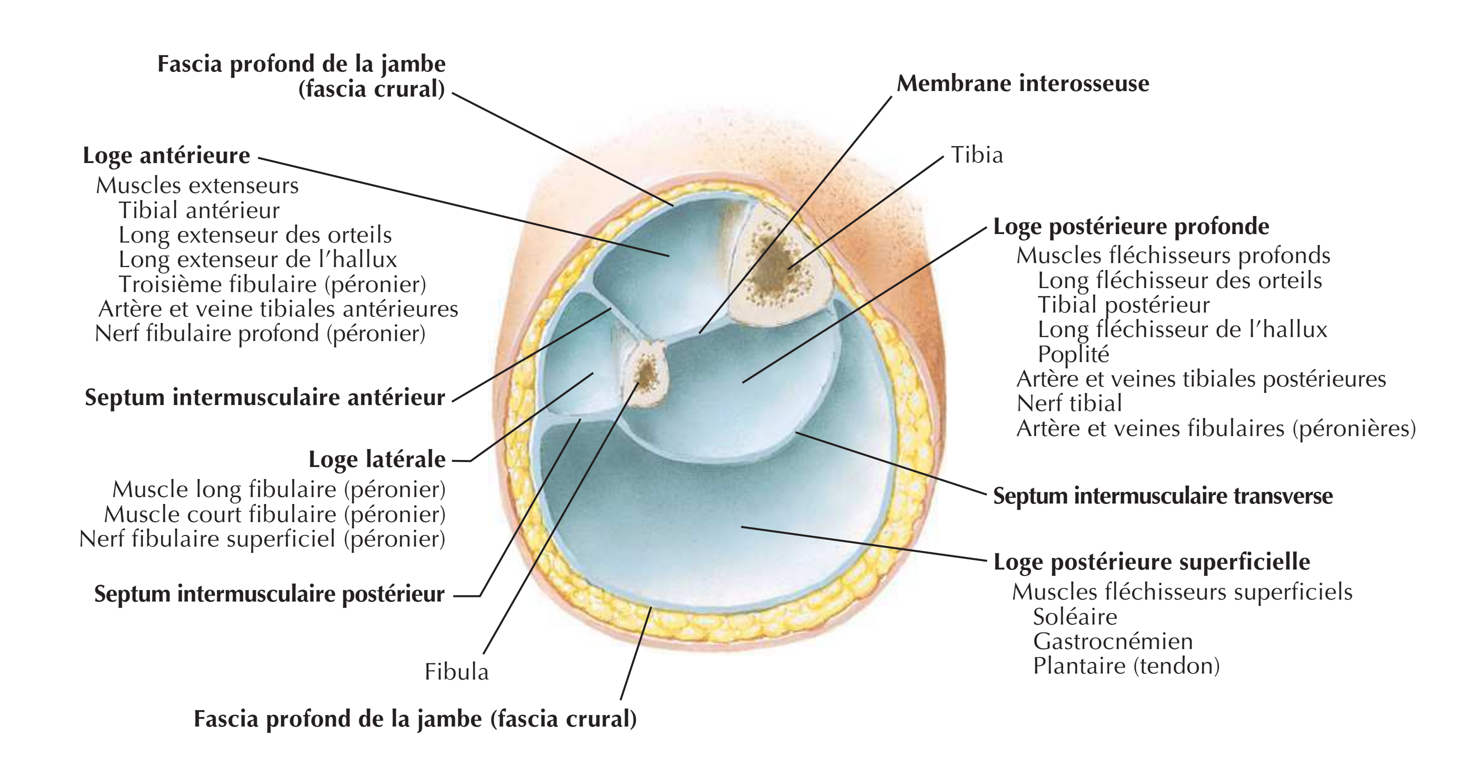
Voir aussi **Planches 499, 523, 529**

Artères du genou, de la jambe et du pied

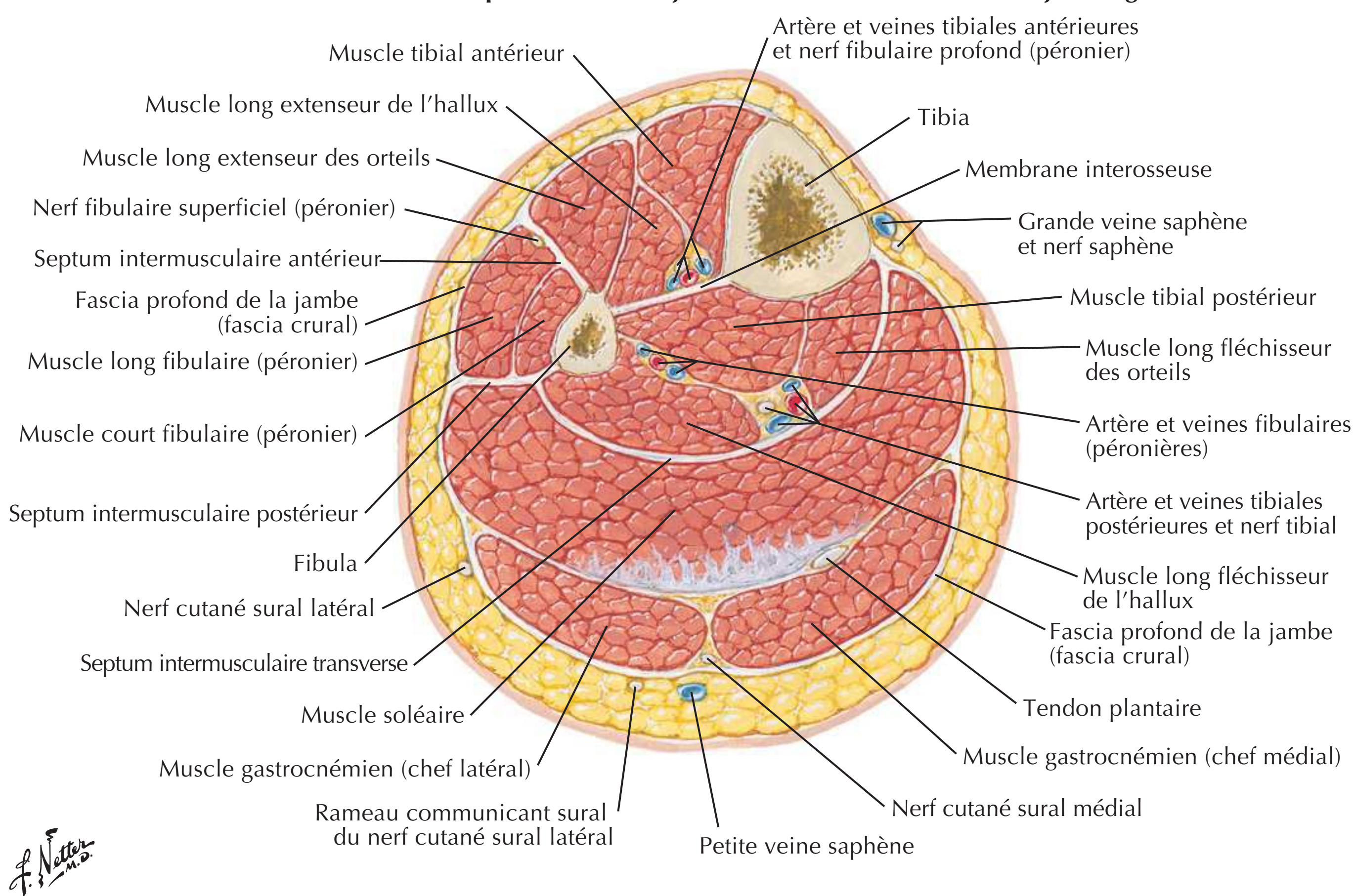
Voir aussi **Planche 531**

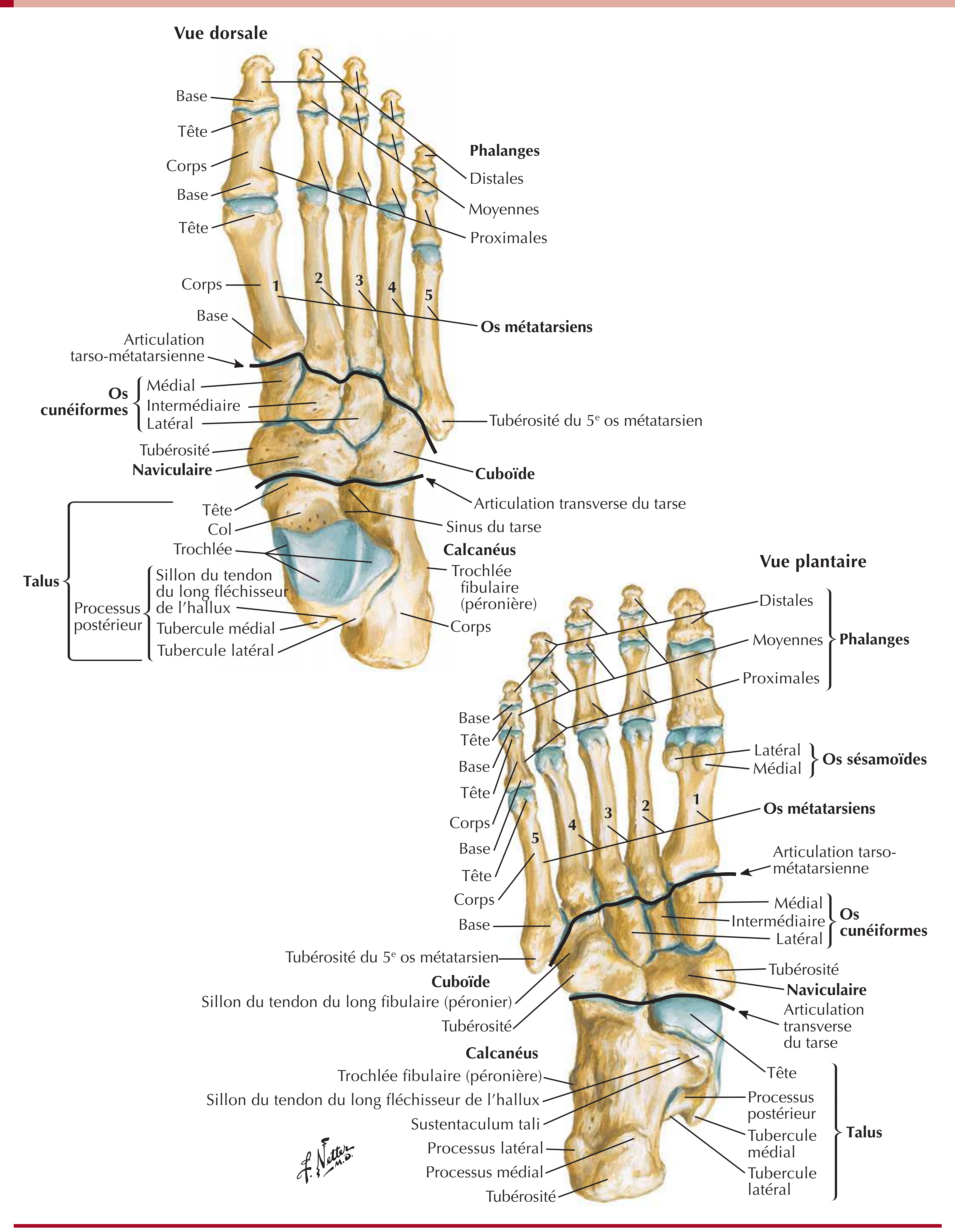




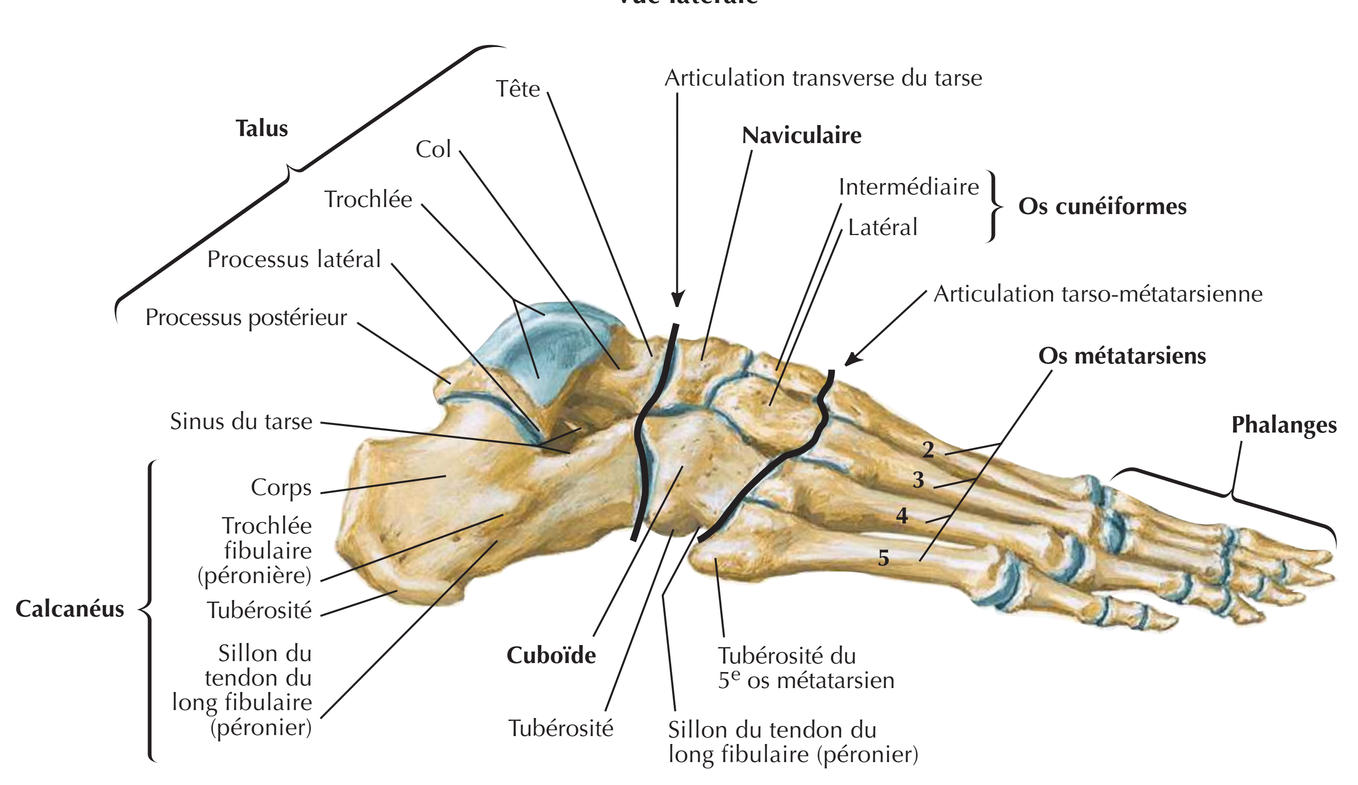


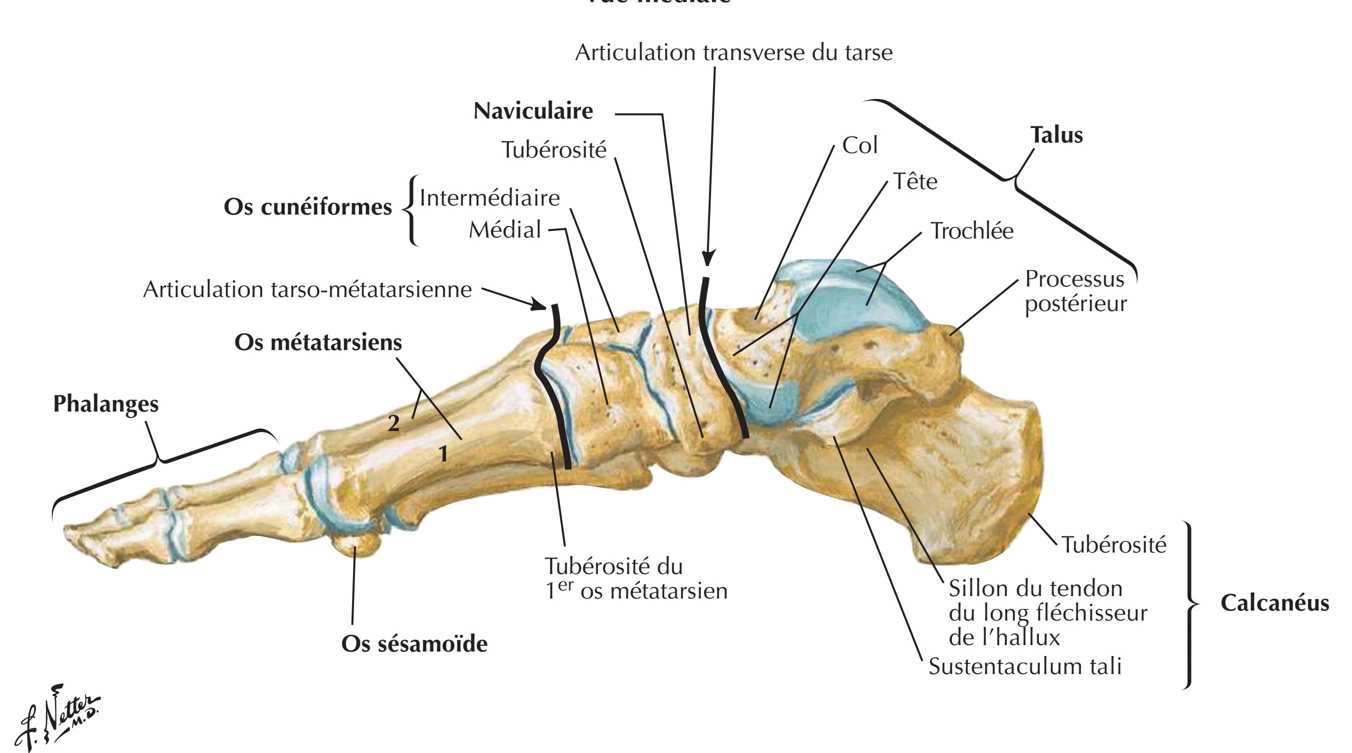
Coupe transversale juste au-dessus du milieu de la jambe gauche



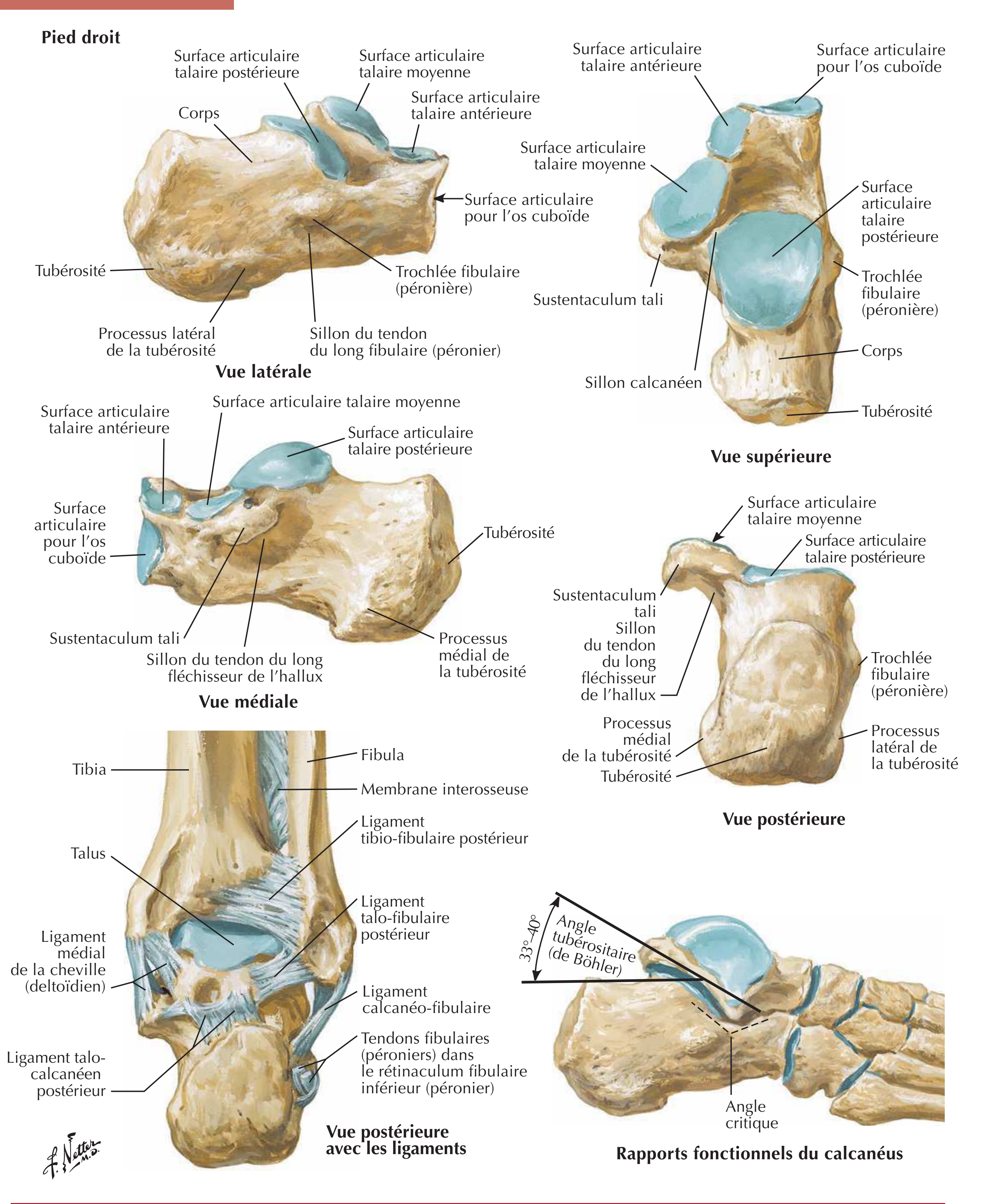

Vue dorsale
Base
Tête
Corps
Base
Tête
Phalanges
Distales
Moyennes
Proximales
Corps
Base
1
2
3
4
5
Os métatarsiens
Articulation tarso-métatarsienne
Os cunéiformes
Médial
Intermédiaire
Latéral
Tubérosité du 5e os métatarsien
Tubérosité
Naviculaire
Cuboïde
Articulation transverse du tarse
Talus
Tête
Col
Trochlée
Sinus du tarse
Calcanéus
Trochlée fibulaire (péronière)
Processus postérieur
Sillon du tendon du long fléchisseur de l'hallux
Tubercule médial
Tubercule latéral
Corps
Vue plantaire
Distales
Moyennes
Proximales
Phalanges
Base
Tête
Base
Tête
Corps
Base
Tête
Corps
Base
Latéral
Médial
Os sésamoïdes
Os métatarsiens
1
2
3
4
5
Articulation tarso-métatarsienne
Médial
Intermédiaire
Latéral
Os cunéiformes
Tubérosité du 5e os métatarsien
Tubérosité
Naviculaire
Cuboïde
Sillon du tendon du long fibulaire (péronier)
Tubérosité
Articulation transverse du tarse
Calcanéus
Trochlée fibulaire (péronière)
Sillon du tendon du long fléchisseur de l'hallux
Sustentaculum tali
Processus latéral
Processus médial
Tubérosité
Tête
Processus postérieur
Tubercule médial
Tubercule latéral
Talus




Vue latérale
Talus
Tête
Col
Trochlée
Processus latéral
Processus postérieur
Articulation transverse du tarse
Naviculaire
Intermédiaire
Latéral
Os cunéiformes
Articulation tarso-métatarsienne
Os métatarsiens
Phalanges
2
3
4
5
Sinus du tarse
Corps
Trochlée fibulaire (péronière)
Tubérosité
Sillon du tendon du long fibulaire (péronier)
Calcanéus
Cuboïde
Tubérosité
Tubérosité du 5e os métatarsien
Sillon du tendon du long fibulaire (péronier)


Vue médiale
Articulation transverse du tarse
Naviculaire
Tubérosité
Os cunéiformes
Intermédiaire
Médial
Articulation tarso-métatarsienne
Os métatarsiens
Phalanges
2
1
Talus
Col
Tête
Trochlée
Processus postérieur
Tubérosité
Calcanéus
Sillon du tendon du long fléchisseur de l'hallux
Sustentaculum tali
Tubérosité du 1er os métatarsien
Os sésamoïde
F. Netter M.D.

Voir aussi **Planche 531**





Ligaments et tendons de la cheville

Voir aussi **Planche 531**

Pied droit : vue latérale

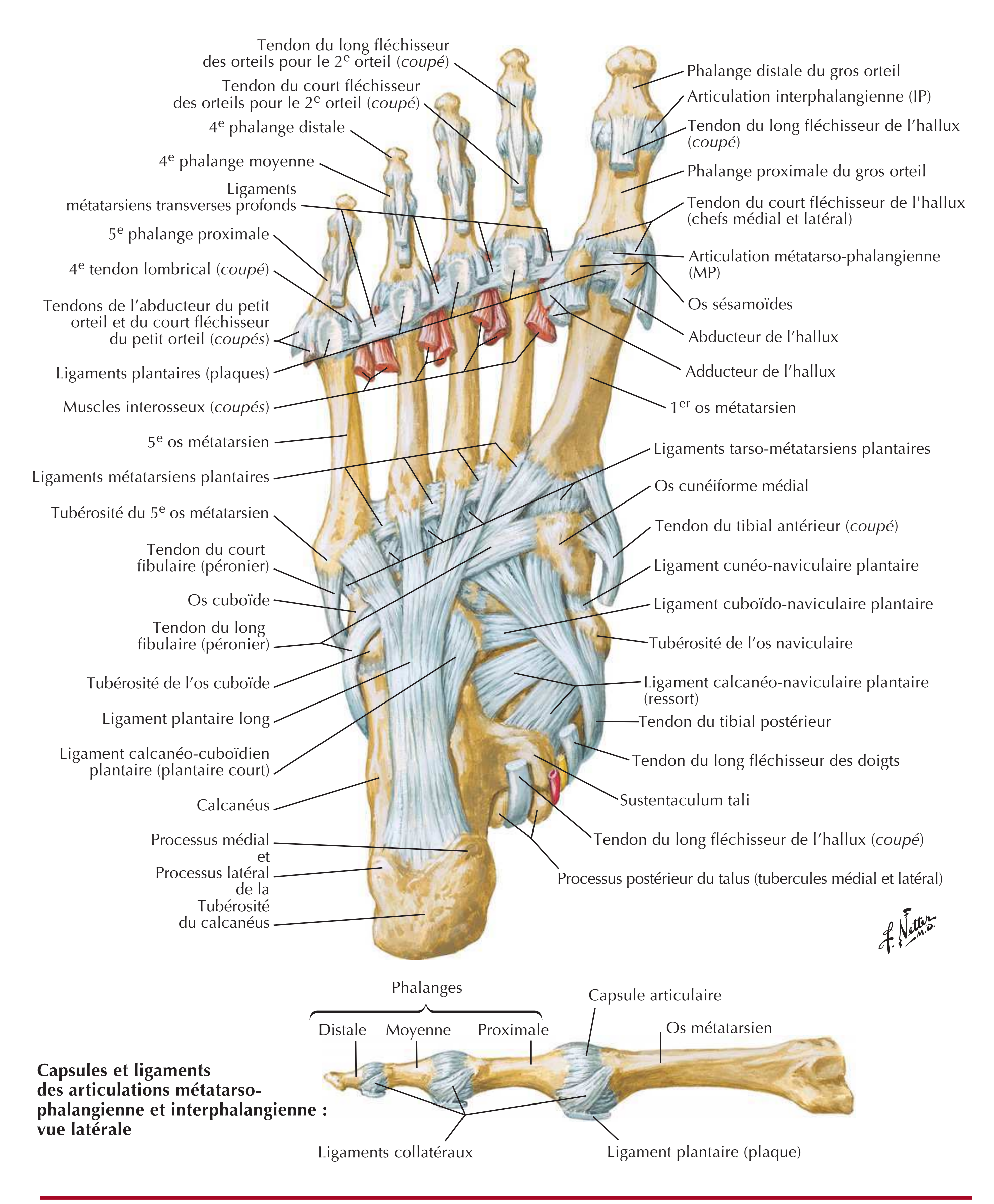
Tibia
Fibula
Ligaments tibio-fibulaires antérieur et postérieur
Rétinaculum fibulaire supérieur (péronier)
Tendon calcanéen (d'Achille) (*coupé*)
Rétinaculum fibulaire inférieur (péronier)
Ligament talo-fibulaire postérieur
Ligament calcanéo-fibulaire
Ligament talo-fibulaire antérieur
} Parties du ligament latéral (collatéral) de la cheville
Ligament talo-calcanéen interosseux
Ligament talo-naviculaire dorsal
Partie calcanéo-naviculaire
Partie calcanéo-cuboïdienne
} Ligament bifurqué
Ligament cuboïdéo-naviculaire dorsal
Ligament cunéo-naviculaire dorsal
Ligaments intercunéiformes dorsaux
Ligaments tarso-métatarsiens dorsaux
Ligaments métatarsiens dorsaux
Ligament cunéo-cuboïdien dorsal
Os cuboïde
Ligament calcanéo-cuboïdien dorsal
Ligament talo-calcanéen latéral
Ligament plantaire long
Tendon du long fibulaire (péronier)
Tendon du court fibulaire (péronier)

Pied droit : vue médiale

Tibia
Ligament médial de la cheville (deltoïdien) {
Partie tibio-talaire postérieure
Partie tibio-calcanéenne
Partie tibio-naviculaire
Partie antérieure tibio-talaire
Ligament talo-naviculaire dorsal
Os naviculaire
Ligaments cunéo-naviculaires dorsaux
Os cunéiforme médial
Ligament intercunéiforme dorsal
Ligaments tarso-métatarsiens dorsaux
1er os métatarsien
Tubérosité
Tendon du tibial antérieur
Tendon du tibial postérieur
Ligament calcanéo-naviculaire plantaire (ressort)
Ligament plantaire court
Ligament plantaire long
Sustentaculum tali
Tendon calcanéen (d'Achille) (*coupé*)
Ligament talo-calcanéen postérieur
Processus postérieur du talus
Ligament talo-calcanéen médial

F. Netter M.D.

Ligaments et tendons du pied : vue plantaire



Capsules et ligaments des articulations métatarso-phalangienne et interphalangienne : vue latérale



Gaines tendineuses de la cheville

Voir aussi **Planche 506**

Vue latérale

Muscle soléaire
Muscle long fibulaire (péronier)
Muscle court fibulaire (péronier)
Tendon calcanéen (d'Achille)
Gaine synoviale commune des tendons du long et du court fibulaires (péroniers)
Bourse sous-cutanée calcanéenne
Bourse du tendon calcanéen (subtendineuse)
Rétinaculums fibulaires (péroniers) supérieur et inférieur
Calcanéus
Muscle court extenseur des orteils
Muscle abducteur du petit orteil
Tendon du long fibulaire (péronier)
Tendon du court fibulaire (péronier)
Tubérosité du 5e os métatarsien
Tendon du troisième fibulaire (péronier)
Gaine synoviale du tendon du long extenseur de l'hallux
Gaine synoviale des tendons du long extenseur des orteils et du troisième fibulaire (péronier)
Rétinaculum inférieur des extenseurs
Malléole latérale de la fibula et bourse sous-cutanée
Gaine synoviale du tendon du tibial antérieur
Rétinaculum supérieur des extenseurs
Muscle long extenseur des orteils

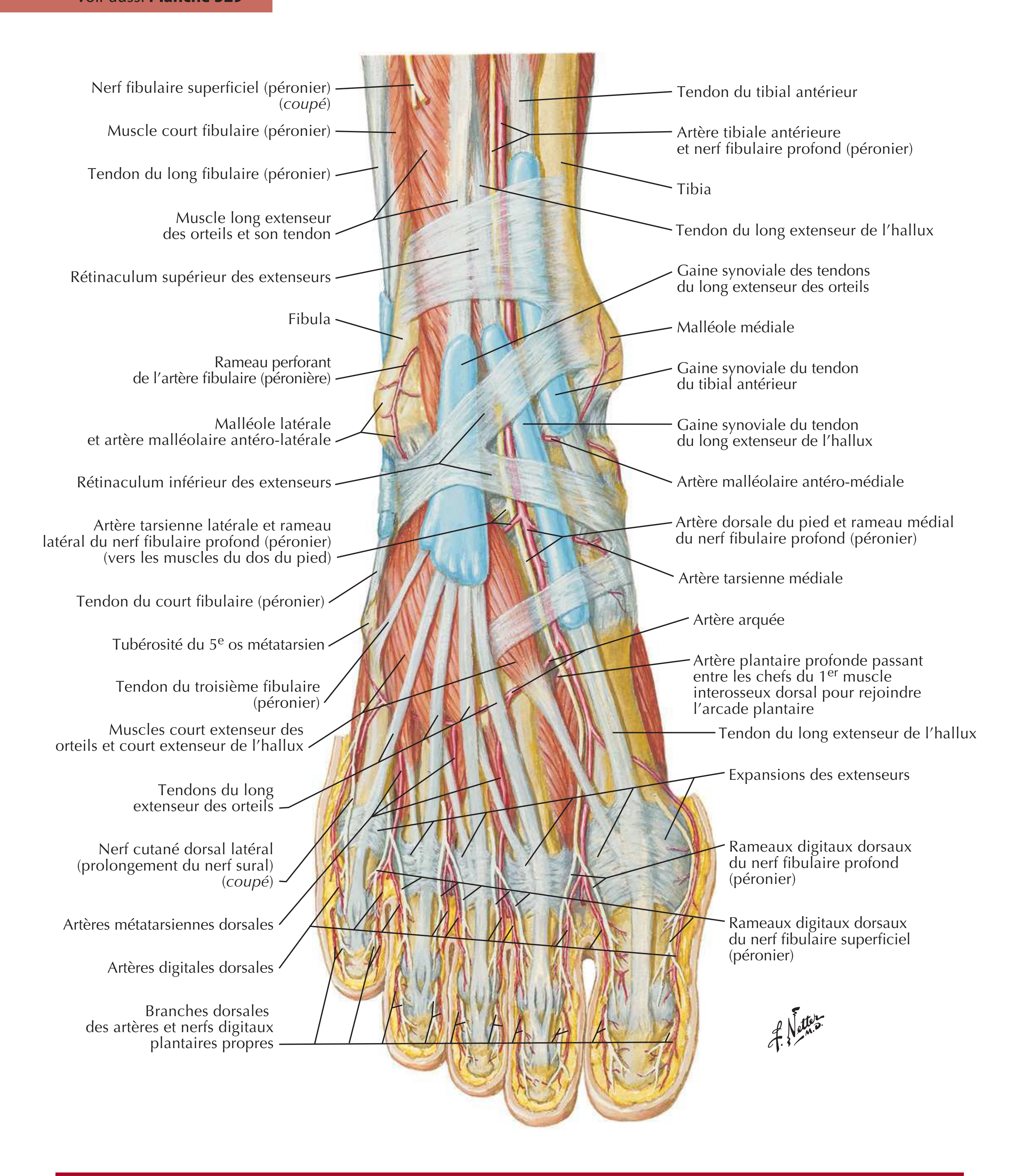
Vue médiale

Tendon du tibial antérieur et sa gaine
Tibia
Gaine du tendon du tibial postérieur
Rétinaculum supérieur des extenseurs
Malléole médiale et bourse sous-cutanée
Rétinaculum inférieur des extenseurs
Tendon du tibial postérieur et sa gaine
Tendon du tibial antérieur et sa gaine
Gaine synoviale du tendon du long extenseur de l'hallux
1er os métatarsien
Gaine synoviale du tendon du long fléchisseur de l'hallux
Artère et nerf plantaires médiaux
Gaine synoviale du tendon du long fléchisseur des orteils
Muscle court fléchisseur des orteils (*coupé*)
Aponévrose plantaire (*coupée*)
Muscle abducteur de l'hallux (*coupé*)
Artère et nerf plantaires latéraux
Calcanéus
Rétinaculum des fléchisseurs
Bourse du tendon calcanéen (subtendineuse)
Bourse calcanéenne sous-cutanée
Gaine synoviale du tendon du long fléchisseur de l'hallux
Artère tibiale postérieure et nerf tibial
Gaine synoviale du tendon du long fléchisseur des orteils
Tendon calcanéen (d'Achille)

F. Netter M.D.

Muscles du dos du pied : dissection superficielle

Voir aussi **Planche 529**





Dos du pied : dissection profonde

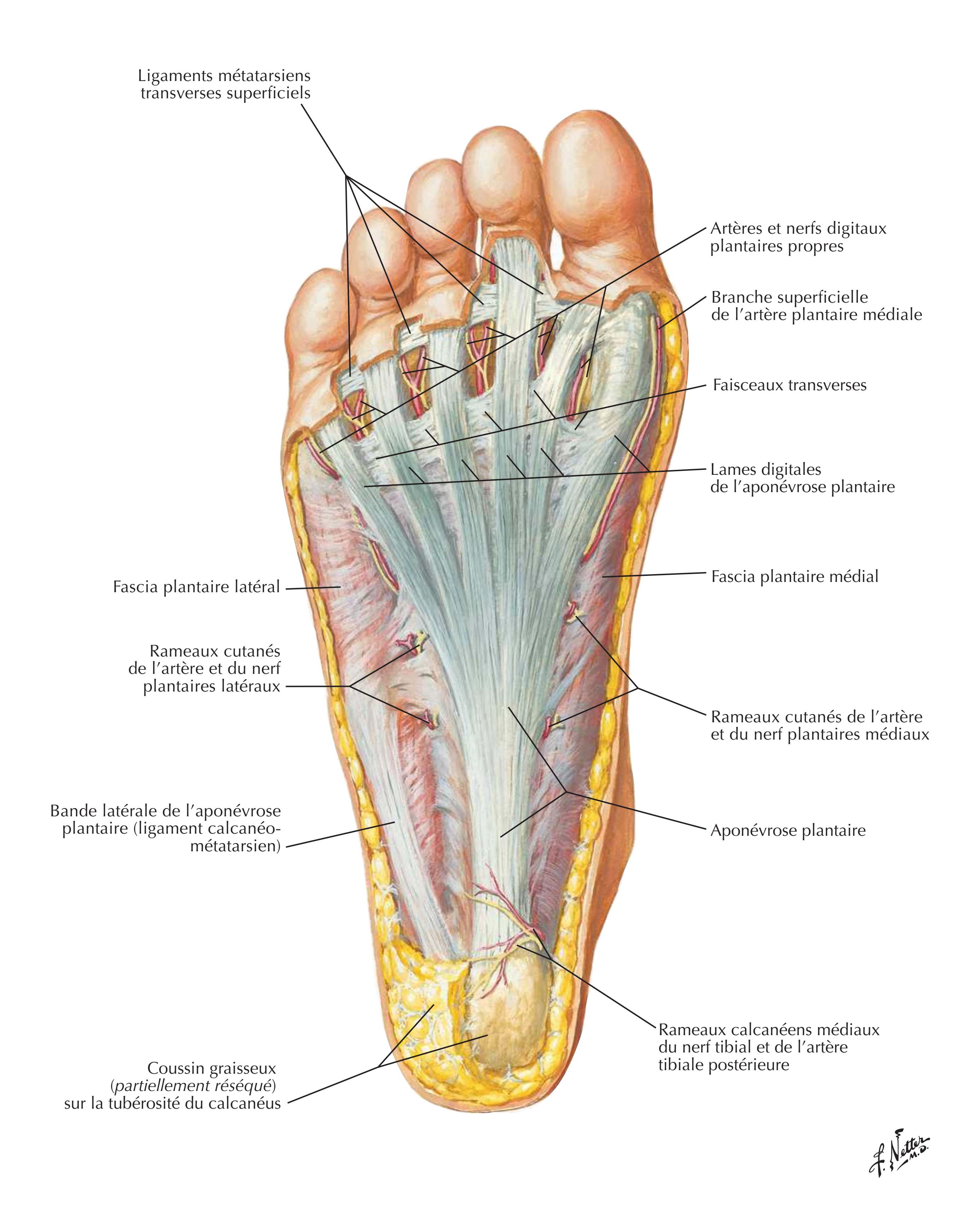
Voir aussi **Planches 509, 523**

Nerf fibulaire superficiel (péronier) (*coupé*)
Tendon du long fibulaire (péronier)
Muscle court fibulaire (péronier) et son tendon
Muscle long extenseur des orteils et son tendon
Fibula
Rameau perforant de l'artère fibulaire (péronière)
Artère malléolaire antéro-latérale
Malléole latérale
Rameau latéral du nerf fibulaire profond (péronier) (vers les muscles du dos du pied) et artère tarsienne latérale
Tendon du long fibulaire (péronier) (*coupé*)
Muscles court extenseur des orteils et court extenseur de l'hallux (*coupé*)
Tendon du court fibulaire (péronier) (*coupé*)
Tendon du troisième fibulaire (péronier) (*coupé*)
Muscle abducteur du petit orteil
Artères métatarsiennes dorsales
Os métatarsiens
Muscles interosseux dorsaux
Nerf cutané dorsal latéral (prolongement du nerf sural) (*coupé*)
Rameaux perforants antérieurs des artères métatarsiennes plantaires
Artères digitales dorsales
Branches dorsales des artères et nerfs digitaux plantaires propres

Muscle soléaire
Muscle tibial antérieur et son tendon
Tibia
Artère tibiale antérieure et nerf fibulaire profond (péronier)
Muscle long extenseur de l'hallux et son tendon
Artère malléolaire antéro-médiale
Malléole médiale
Rameau médial du nerf fibulaire profond (péronier)
Artères tarsiennes médiales
Tubérosité de l'os naviculaire
Artère dorsale du pied
Artère arquée
Rameaux perforants postérieurs de l'arcade plantaire profonde
Artère plantaire profonde rejoignant l'arcade plantaire profonde
Muscle abducteur de l'hallux
Tendon du long extenseur de l'hallux
Tendon du court extenseur de l'hallux (*coupé*)
Tendons du court extenseur des orteils (*coupés*)
Tendons du long extenseur des orteils (*coupés*)
Expansions des extenseurs
Rameaux digitaux dorsaux du nerf fibulaire profond (péronier)
Rameaux digitaux dorsaux du nerf fibulaire superficiel (péronier)

F. Netter M.D.

Plante du pied : dissection superficielle

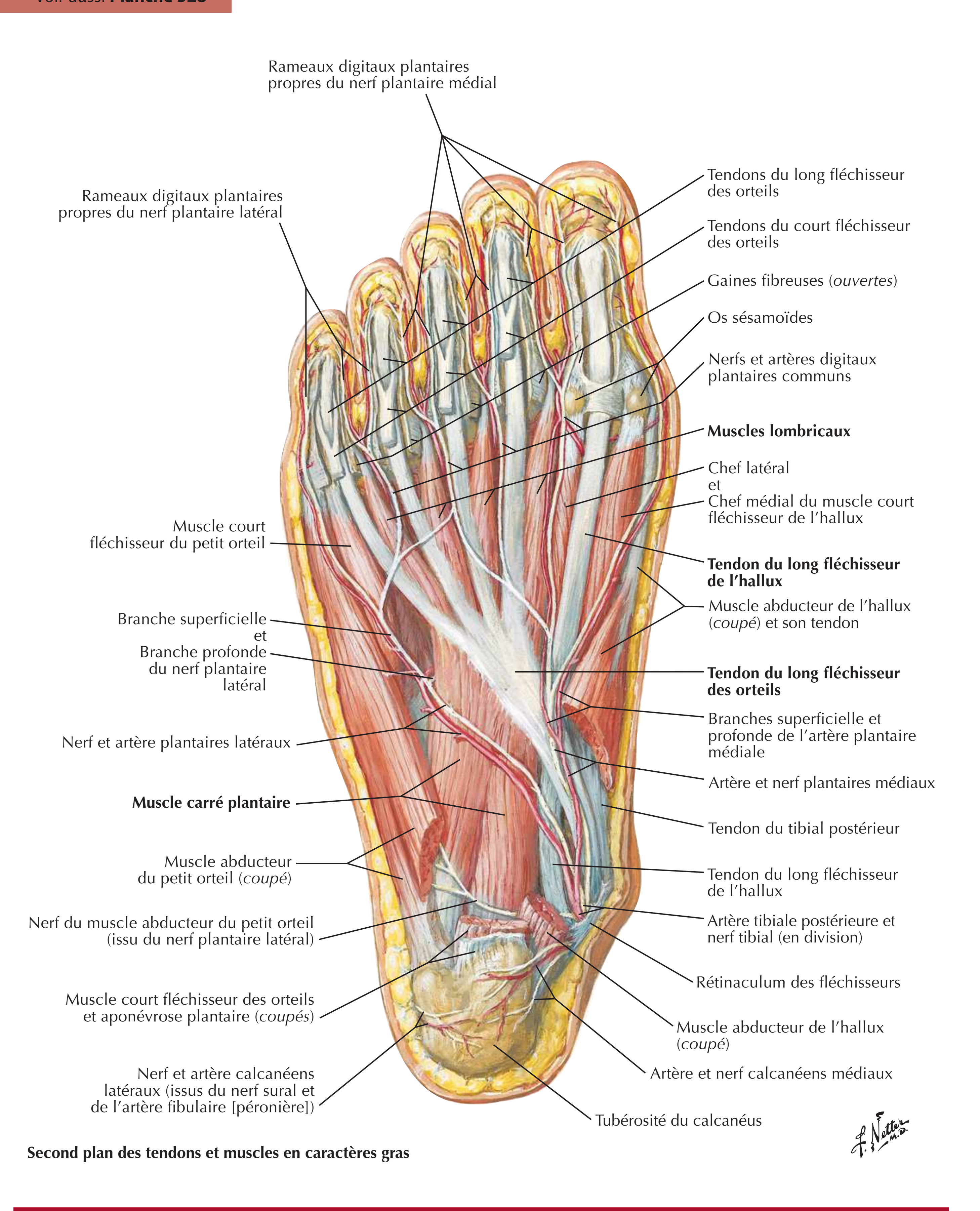




Voir aussi **Planche 528**

Muscles de la plante du pied : deuxième couche

Voir aussi **Planche 528**



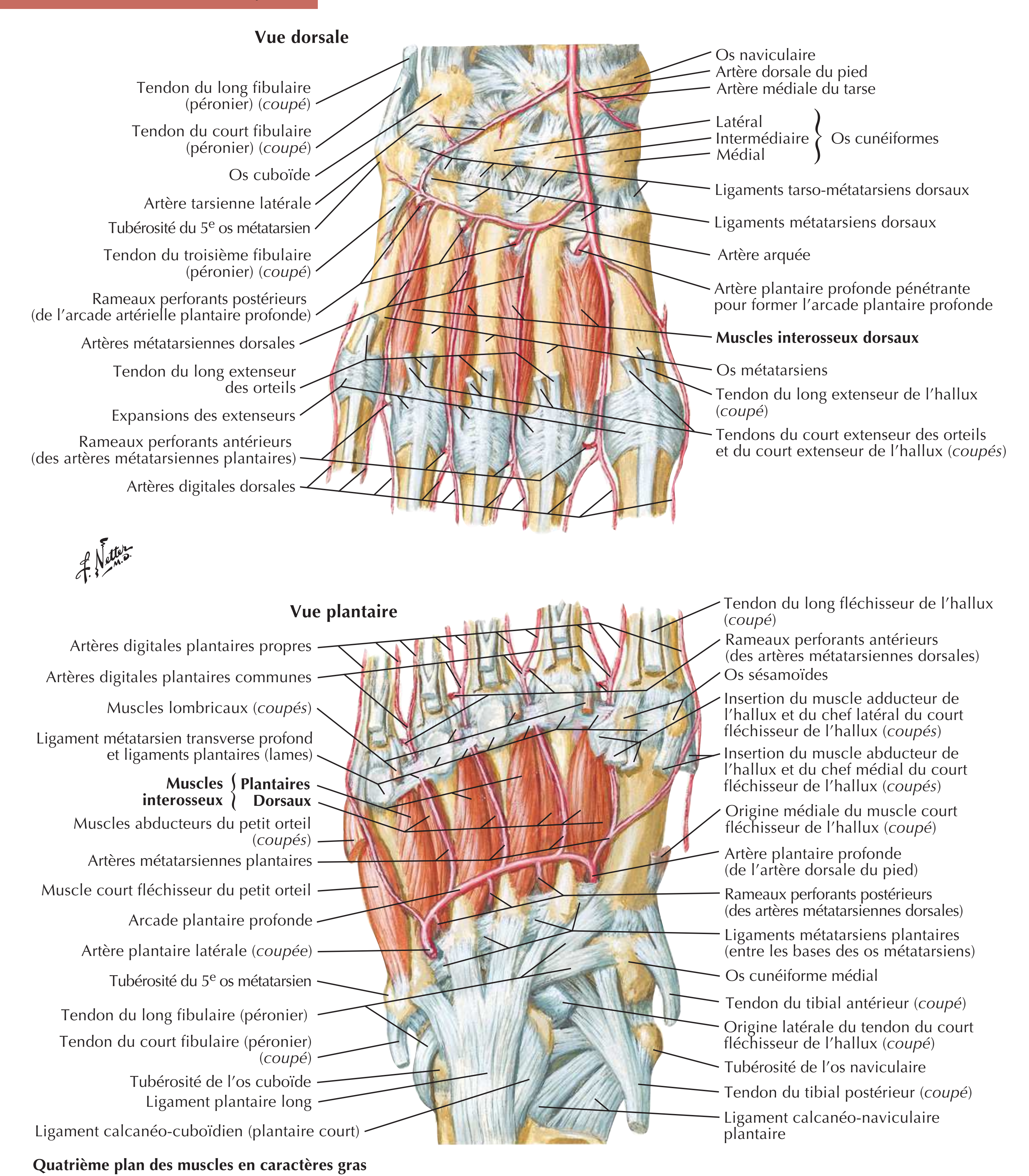
Second plan des tendons et muscles en caractères gras



Troisième plan des muscles en caractères gras

Muscles interosseux et artères profondes du pied

Voir aussi **Planches 508, 518**



Quatrième plan des muscles en caractères gras



Muscles interosseux du pied

Voir aussi **Planche 452**

Vue dorsale

Phalange distale du gros orteil
Phalange proximale du gros orteil
Phalange distale
Phalange moyenne
Phalange proximale
Petit orteil (5e)
1er os métatarsien
5e os métatarsien
Muscles interosseux dorsaux (bipennés)
Os cunéiformes: Médial, Intermédiaire, Latéral
Tubérosité du 5e os métatarsien
Naviculaire
Cuboïde

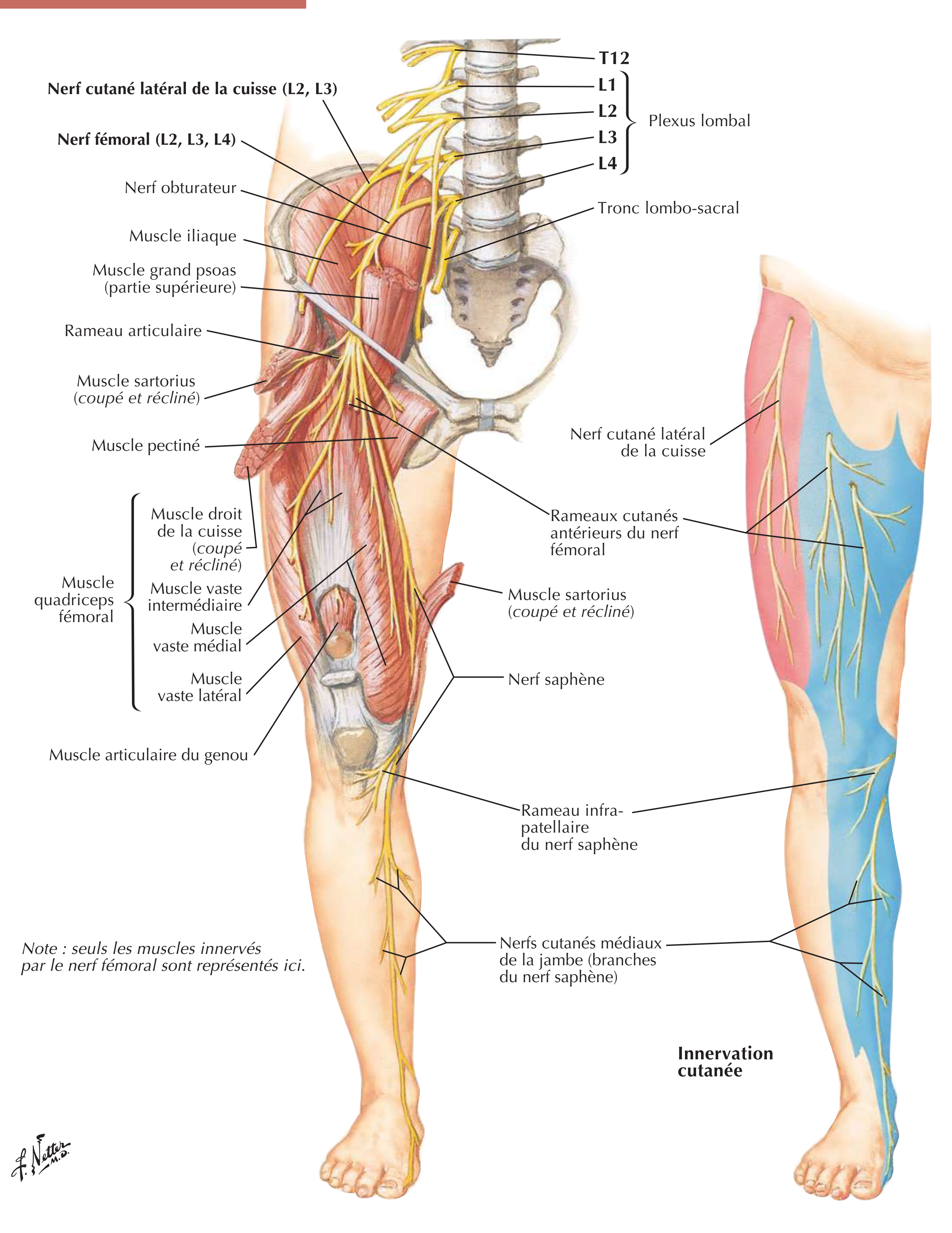
Vue plantaire

Phalange distale du gros orteil
Phalange proximale du gros orteil
Os sésamoïdes
Petit orteil (5e): Phalange distale, Phalange moyenne, Phalange proximale
1er os métatarsien
Muscles interosseux plantaires (unipennés)
5e os métatarsien
Os cunéiformes: Latéral, Intermédiaire, Médial
Tubérosité du 5e os métatarsien
Cuboïde
Naviculaire

F. Netter M.D.

Nerfs fémoral et cutané latéral de la cuisse

Voir aussi **Planches 262, 487, 488**



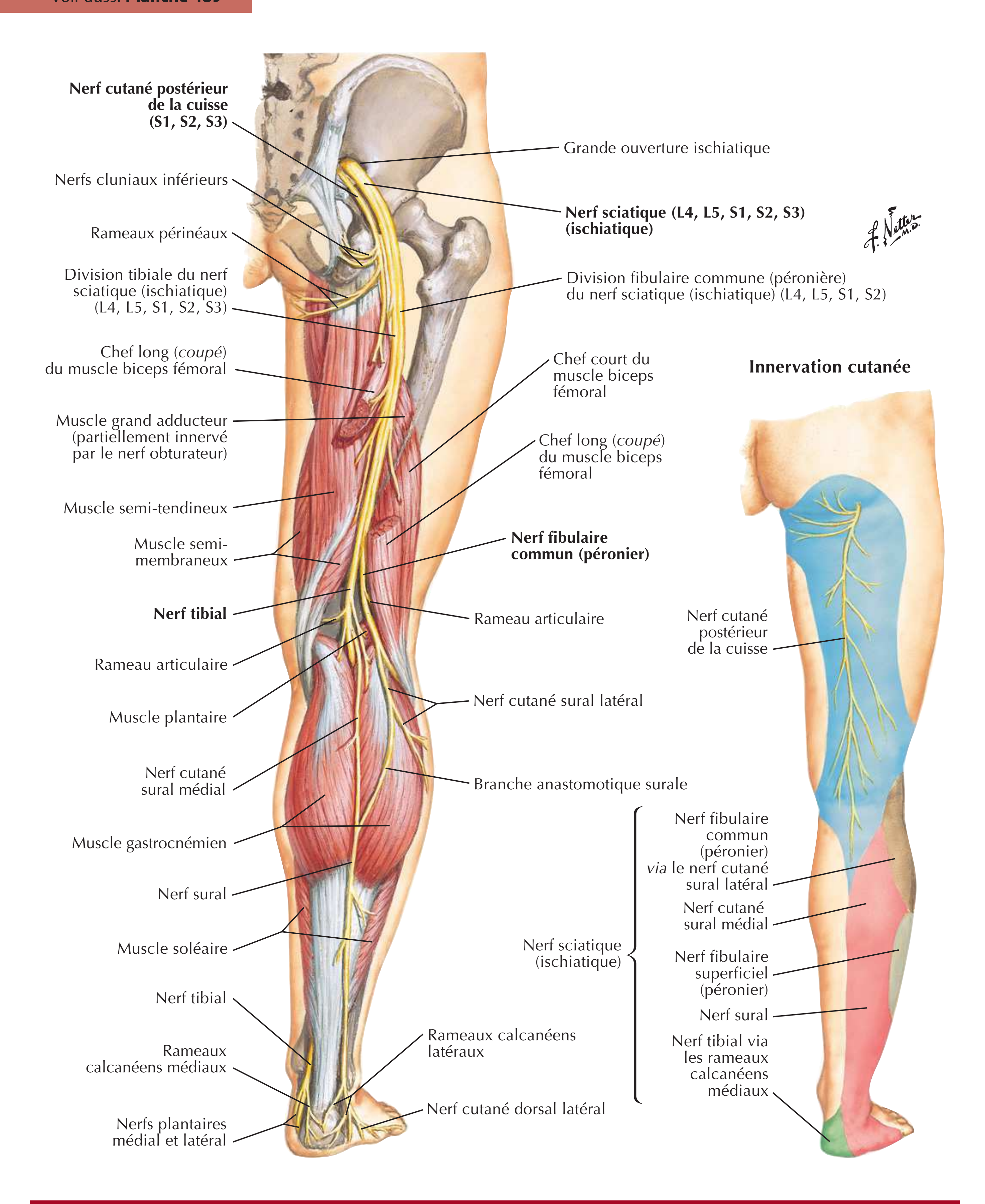
Nerf obturateur

Voir aussi **Planche 488**

Note : seuls les muscles innervés par le nerf obturateur sont représentés ici.

Nerfs sciatique (ischiatique) et cutané postérieur de la cuisse

Voir aussi **Planche 489**





Nerf tibial

Voir aussi **Planches 503, 520, 521**

Nerf tibial (L4, L5, S1, S2, S3)
Nerf fibulaire commun (péronier)
Rameau articulaire
Nerf cutané sural latéral (*coupé*)
Nerf cutané sural médial (*coupé*)
Rameaux articulaires
Muscle plantaire
Muscle gastrocnémien (*coupé*)
Nerf du muscle poplité
Muscle poplité
Nerf interosseux de la jambe
Muscle soléaire (*coupé et partiellement récliné en haut*)
Muscle long fléchisseur des orteils
Muscle tibial postérieur
Muscle long fléchisseur de l'hallux
Nerf sural (*coupé*)
Rameau calcanéen latéral
Rameau calcanéen médial
Rétinaculum des fléchisseurs (*coupé*)
Nerf cutané dorsal latéral

Nerf sural (S1, S2) via les rameaux calcanéen latéral et cutané dorsal latéral
Nerf saphène (L3, L4)
Nerf tibial:
- Nerf plantaire latéral (S1, S2)
- Nerf plantaire médial (L4, L5)
- Rameaux calcanéens médiaux (S1, S2)

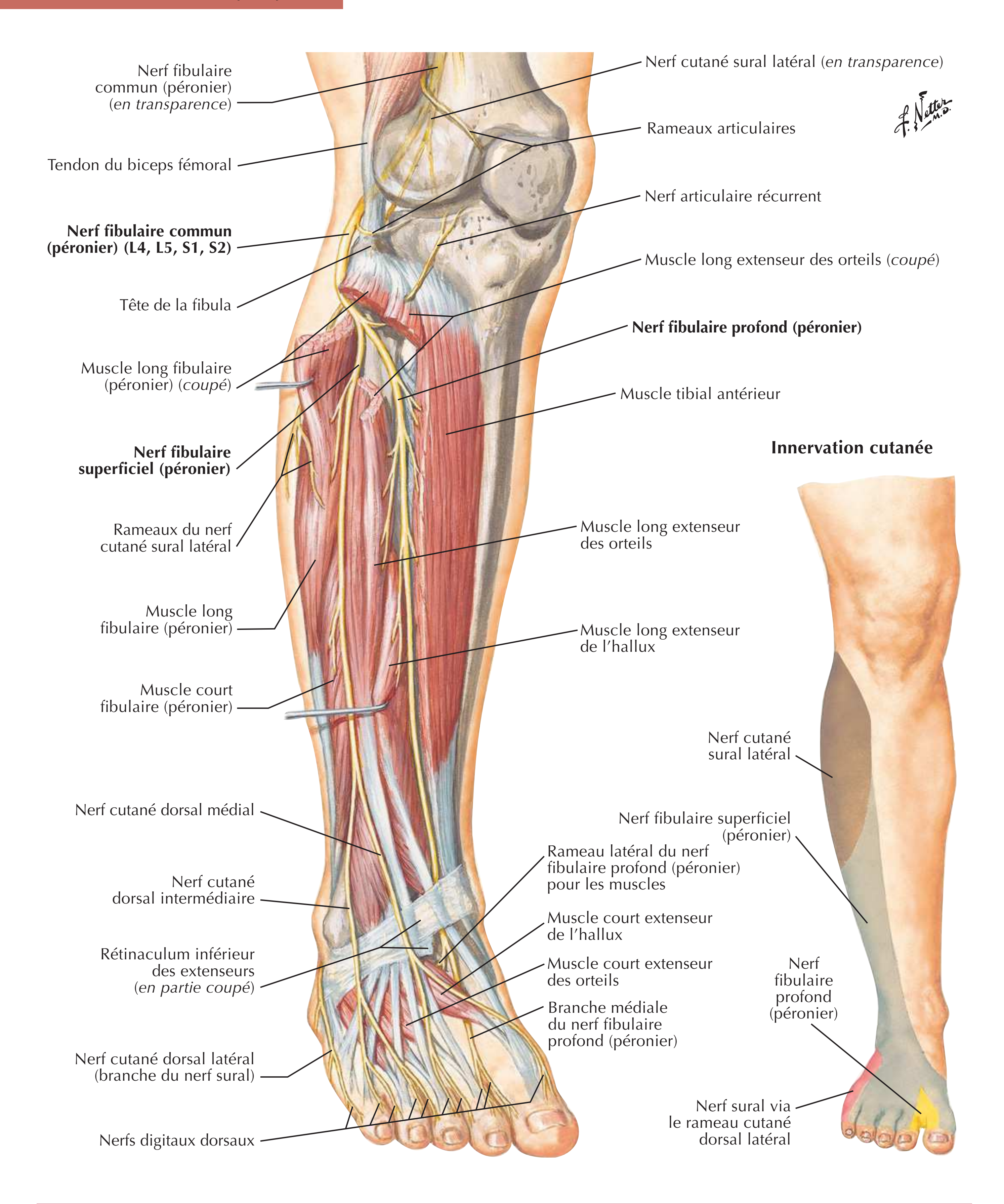
Innervation cutanée de la plante du pied

Nerf digital plantaire commun
Nerfs digitaux plantaires propres
Rameau profond pour le muscle adducteur de l'hallux, les 2e, 3e et 4e muscles lombricaux et les muscles interosseux
Nerfs digitaux plantaires communs
1er muscle lombrical et son nerf
Muscle court fléchisseur de l'hallux et son nerf
Rameau superficiel pour le muscle court fléchisseur du petit orteil et nerf digital plantaire commun du 4e espace interosseux
Muscle abducteur de l'hallux et son nerf
Muscle court fléchisseur des orteils (*coupé*) et son nerf
Muscle abducteur du petit orteil
Muscle carré plantaire et son nerf
Nerf plantaire médial
Nerf du muscle abducteur du petit orteil
Rameau calcanéen médial
Nerf plantaire latéral
Nerf tibial
Rameau calcanéen latéral du nerf sural
Rétinaculum des fléchisseurs (*coupé*)

Note : Les branches articulaires ne sont pas montrées.

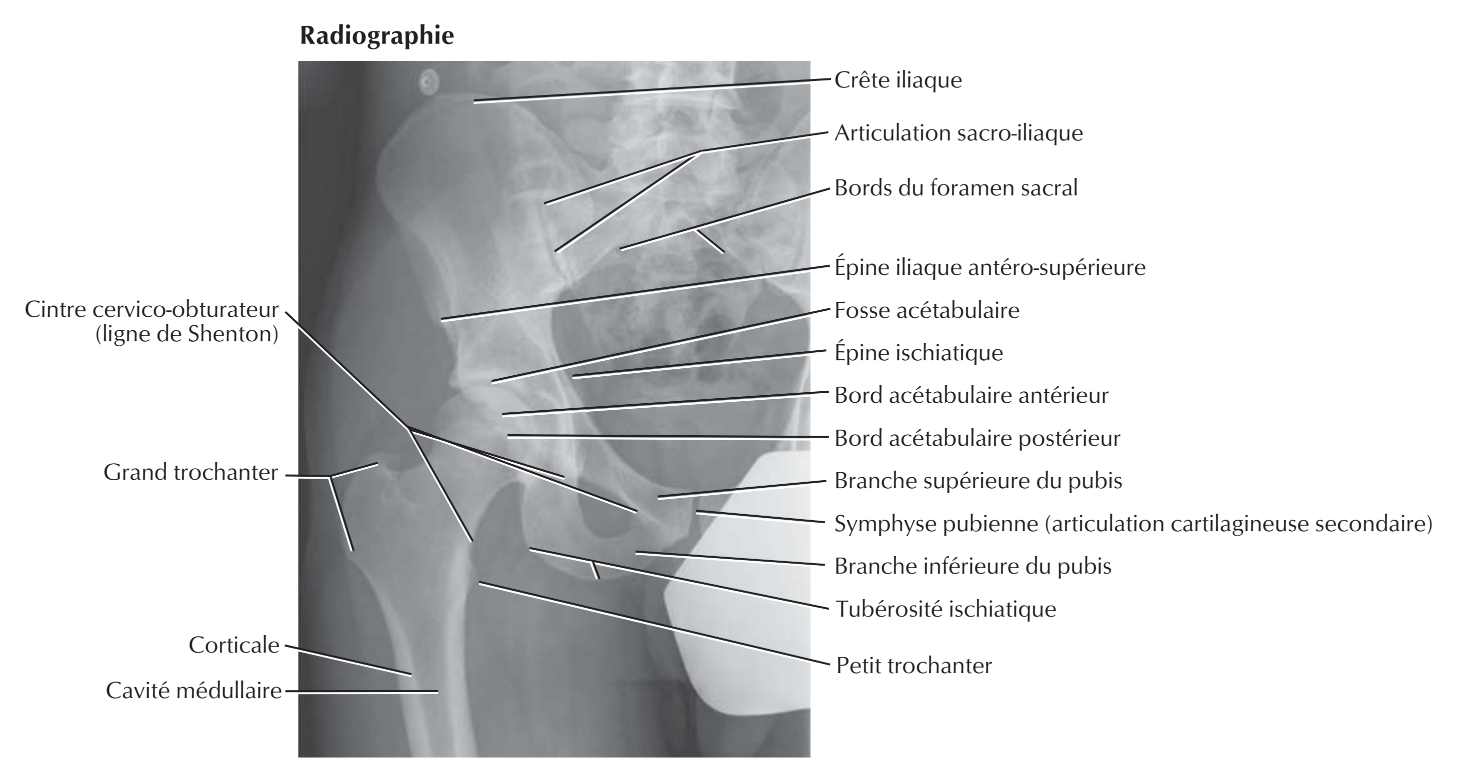
Nerf fibulaire commun (péronier)

Voir aussi **Planches 506, 508, 516**





Voir aussi **Planches 330, 477, 491**



Arthrographie de la hanche

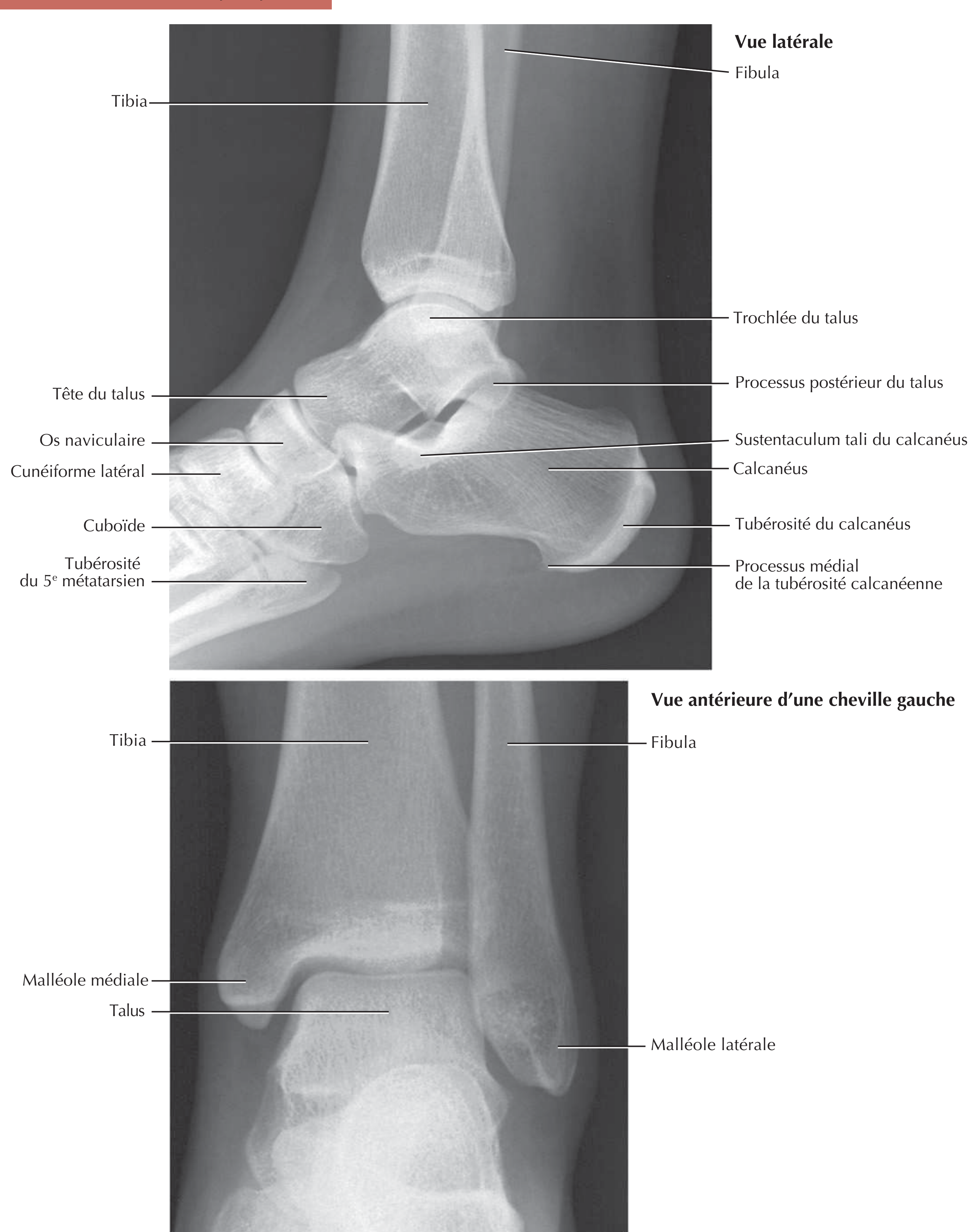
Cartilage articulaire de la tête fémorale
Labrum acétabulaire supérieur
Fosse acétabulaire
Fossette de la tête fémorale
Tête fémorale
Contraste dans la cavité articulaire
Grand trochanter
Zone orbiculaire
Ligament transverse de l'acétabulum
Ligament rond de la tête fémorale (avec l'artère acétabulaire, branche de l'artère obturatrice)

IRM

Artère fémorale
Veine fémorale
Muscles iliaque et grand psoas
Muscle sartorius
Muscle droit de la cuisse
Muscle tenseur du fascia lata
Muscle moyen glutéal
Ligament de la tête fémorale (ligament rond)
Muscle jumeau supérieur et tendon de l'obturateur interne
Muscle obturateur interne
Muscle grand glutéal

Cheville : radiographies

Voir aussi **Planches 506, 513, 514**





MUSCLE	INSERTION PROXIMALE (ORIGINE)	INSERTION DISTALE (TERMINAISON)	INNERVATION	ACTIONS PRINCIPALES	VASCULARISATION ARTÉRIELLE	GROUPE MUSCULAIRE
Abducteur du petit orteil	Tubercules médial et latéral de la tubérosité calcanéenne, aponévrose plantaire et septum intermusculaire	Côté latéral de la base de la phalange proximale du 5e (petit) orteil	Nerf plantaire latéral	Abducteur et fléchisseur du 5e orteil	Artère plantaire latérale, artères métatarsienne plantaire et digitale plantaire du 5e orteil	Muscle du pied
Abducteur de l'hallux	Tubercule médial de la tubérosité calcanéenne, rétinaculum des fléchisseurs et aponévrose plantaire	Côté médial de la base de la phalange proximale du 1er (gros) orteil	Nerf plantaire médial	Abducteur et fléchisseur du 1er orteil	Artères plantaire médiale et 1re métatarsienne plantaire	Muscle du pied
Adducteur de l'hallux	Chef oblique : base des métatarsiens du 2e au 4e Chef transverse : ligaments des articulations métatarso-phalangiennes des orteils 3-5	Tendons des deux chefs s'insérant sur le côté latéral de la base de la phalange proximale du 1er (gros) orteil	Branche profonde du nerf plantaire latéral	Adducteur du 1er orteil, contribue à maintenir l'arche transverse du pied	Artères plantaires médiale et latérale et arcade plantaire, artères métatarsiennes plantaires	Muscle du pied
Articulaire du genou	Partie distale de la face antérieure du fémur	Bourse supra-patellaire	Nerf fémoral	Attire vers le haut la bourse supra-patellaire lors de l'extension du genou	Artère fémorale	Muscle antérieur de la cuisse
Biceps fémoral	Chef long : tubérosité ischiatique Chef court : ligne âpre et ligne supra-condylaire latérale du fémur	Côté latéral de la tête de la fibula	Chef long : nerf sciatique (division tibiale) Chef court : nerf sciatique (division fibulaire commune)	Fléchisseur et rotateur latéral de la jambe, extenseur de la cuisse au niveau de la hanche	Branches perforantes de l'artère profonde de la cuisse, artères glutéale inférieure et circonflexe médiale de la cuisse	Muscle postérieur de la cuisse
Carré fémoral	Bord latéral de la tubérosité ischiatique	Tubercule carré de la crête intertrochantérique du fémur	Nerf du carré fémoral	Rotateur latéral de la cuisse au niveau de la hanche	Artère circonflexe médiale de la cuisse	Muscle de la région glutéale
Carré plantaire	Bords médial et latéral de la face plantaire du calcanéus	Bord postéro-latéral du tendon du muscle long fléchisseur des orteils	Nerf plantaire latéral	Corrige la traction oblique du tendon du muscle long fléchisseur des orteils et ainsi autorise la flexion des orteils	Artères plantaires médiale et latérale et arcade plantaire profonde	Muscle du pied
Court adducteur (de la cuisse)	Corps et branche inférieure du pubis	Ligne pectinée et partie proximale de la ligne âpre du fémur	Nerf obturateur	Adducteur de la cuisse au niveau de la hanche, fléchisseur accessoire de la cuisse	Artères profonde de la cuisse, circonflexe médiale de la cuisse et obturatrice	Muscle médial de la cuisse
Court extenseur des orteils et court extenseur de l'hallux	Face supéro-latérale du calcanéus, ligament talo-calcanéen latéral, rétinaculum inférieur des extenseurs	Premier tendon sur la face dorsale de la base de la phalange proximale de l'hallux, trois autres tendons sur le côté latéral des tendons du muscle long extenseur des orteils destinés aux orteils 2 à 4	Nerf fibulaire profond	Aide le muscle long extenseur des orteils dans l'extension des quatre orteils médiaux au niveau des articulations métatarso-phalangiennes et interphalangiennes	Artères dorsale du pied, tarsienne latérale, arquée et fibulaire	Muscles du pied
Court fibulaire	Deux tiers distaux de la face latérale de la fibula	Face dorsale de la tubérosité du côté latéral de la base du 5e métatarsien	Nerf fibulaire superficiel	Éversion du pied et flexion plantaire accessoire du pied au niveau de la cheville	Artères tibiale antérieure et fibulaire	Muscle latéral de la jambe
Court fléchisseur de l'hallux	Face plantaire du cuboïde et du cunéiforme latéral	Deux côtés de la base de la phalange proximale du 1er orteil	Nerf plantaire médial	Fléchisseur de la phalange proximale du 1er orteil	Artère plantaire médiale, première artère métatarsienne plantaire	Muscle du pied
Court fléchisseur des orteils	Tubercule médial de la tubérosité calcanéenne, aponévrose plantaire et septum intermusculaire	Deux côtés des phalanges moyennes des quatre orteils latéraux	Nerf plantaire médial	Fléchisseurs du 2e au 5e orteils	Artères plantaire médiale et latérale et arcade plantaire, artères métatarsiennes plantaires et digitales plantaires	Muscle du pied
Court fléchisseur du petit orteil	Base du 5e métatarsien	Partie latérale de la base de la phalange proximale du 5e orteil	Branche superficielle du nerf plantaire latéral	Fléchisseur de la phalange proximale du 5e orteil	Artère plantaire latérale, artère digitale plantaire du 5e orteil, artère arquée	Muscle du pied
Droit fémoral (quadriceps)	Épine iliaque antéro-inférieure et l'ilium au-dessus de l'acétabulum	Base de la patella et tubérosité tibiale *via* le ligament patellaire	Nerf fémoral	Extenseur de la jambe au niveau du genou et fléchisseur de la cuisse au niveau de la hanche	Artère profonde de la cuisse (fémorale profonde) et artère circonflexe latérale de la cuisse	Muscle antérieur de la cuisse

Des variations dans les contributions des nerfs spinaux dans l'innervation des muscles, dans la vascularisation artérielle des muscles, dans leurs insertions et leurs actions sont des événements fréquents dans l'anatomie humaine. Ainsi, il peut exister des différences entre les textes de différents ouvrages : considérez que les variations

MUSCLE	INSERTION PROXIMALE (ORIGINE)	INSERTION DISTALE (TERMINAISON)	INNERVATION	ACTIONS PRINCIPALES	VASCULARISATION ARTÉRIELLE	GROUPE MUSCULAIRE
Grand adducteur (de la cuisse)	Faisceaux adducteurs : branche inférieure du pubis, branche de l'ischium Faisceau fléchisseur (apparenté aux ischio-jambiers) : tubérosité ischiatique	Faisceaux adducteurs : tubérosité glutéale, ligne âpre, ligne supra-condylaire médiale du fémur Faisceau fléchisseur (apparenté aux ischio-jambiers) : tubercule de l'adducteur du fémur	Faisceaux adducteurs : nerf obturateur Faisceau fléchisseur (apparenté aux ischio-jambiers) : nerf sciatique (division tibiale)	Faisceaux adducteurs : adducteur et fléchisseur de la cuisse Faisceau fléchisseur (apparenté aux ischio-jambiers) : extenseur de la cuisse	Artère fémorale, artère profonde de la cuisse et artère obturatrice	Muscle médial de la cuisse
Grand fessier	Ilium en arrière de la ligne glutéale postérieure, face dorsale du sacrum et du coccyx, ligament sacro-tubéreux	La plupart des fibres se terminent dans le tractus ilio-tibial qui s'insère sur le condyle latéral du tibia ; quelques fibres s'insèrent sur la tubérosité glutéale du fémur	Nerf glutéal inférieur	Extenseur de la cuisse fléchie, contribue à la rotation latérale et l'abduction de la cuisse	Artère glutéale inférieure principalement et artère glutéale supérieure occasionnellement	Muscle de la région glutéale
Gastrocnémien	Chef latéral : face latérale du condyle latéral du fémur Chef médial : surface poplitée au-dessus du condyle médial du fémur	Partie postérieure du calcanéus via le tendon calcanéen	Nerf tibial	Fléchisseur plantaire du pied au niveau de l'articulation de la cheville, contribue à la flexion de l'articulation du genou, soulève le talon pendant la marche	Artères poplitée et tibiale postérieure	Muscle postérieur de la jambe
Gracile	Corps et branche inférieure du pubis	Partie supérieure de la face médiale du tibia	Nerf obturateur	Adducteur de la cuisse, fléchisseur et rotateur médial de la jambe	Artère profonde de la cuisse (fémorale profonde), artère circonflexe médiale de la cuisse	Muscle médial de la cuisse
Grand psoas (ilio-psoas)	Processus transverses des vertèbres lombales, côtés des corps vertébraux de T12-L5, disques intervertébraux correspondants	Petit trochanter du fémur	Rameau ventral du premier nerf spinal lombal (L1)	Point fixe supérieur et en synergie avec le muscle iliaque fléchisseur de la hanche ; point fixe inférieur, incline latéralement la colonne vertébrale ; contribue à s'asseoir en fléchissant la colonne lombale sur le bassin ; point fixe inférieur et en synergie avec le muscle iliaque, fléchisseur du tronc	Branches lombales de l'artère ilio-lombale	Muscle antérieur de la cuisse
Iliaque (ilio-psoas)	Deux tiers supérieurs de la fosse iliaque, crête iliaque, aile du sacrum, ligaments sacro-iliaques antérieurs	Petit trochanter du fémur et la diaphyse sous-jacente, via le tendon du grand psoas	Nerf fémoral	Fléchisseur de la cuisse au niveau de la hanche, stabilisateur de l'articulation de la hanche, agit avec le muscle grand psoas	Branches iliaques de l'artère ilio-lombale	Muscle antérieur de la cuisse
Interosseux dorsaux (quatre muscles du pied)	Faces adjacentes du 1er au 5e métatarsien	1er : côté médial de la phalange proximale du 2e orteil 2e au 4e : côtés latéraux des phalanges proximales des orteils 2 à 4 Des expansions vers l'appareil extenseur des orteils 2 à 4	Nerf plantaire latéral	Abducteur du 2e au 4e orteil, fléchisseur au niveau des articulations métatarso-phalangiennes et contribue à l'extension au niveau des articulations interphalangiennes	Artère arquée, artères métatarsiennes dorsales et plantaires	Muscle du pied
Interosseux plantaires (trois muscles)	Base et côté médial du 3e au 5e métatarsiens	Partie médiale de la base de la phalange proximale du 3e au 5e orteils	Nerf plantaire latéral	Adducteur des orteils (3 à 5), fléchisseur des phalanges proximales au niveau des articulations métatarso-phalangiennes, extenseurs des phalanges moyennes et distales	Artère plantaire latérale et arcade plantaire, artères métatarsiennes plantaires et digitales plantaires	Muscle du pied
Jumeau inférieur	Tubérosité ischiatique	Face médiale du grand trochanter du fémur	Nerf du carré fémoral	Rotateur latéral de la cuisse en extension au niveau de la hanche	Artère circonflexe médiale de la cuisse	Muscle de la région glutéale



MUSCLE	INSERTION PROXIMALE (ORIGINE)	INSERTION DISTALE (TERMINAISON)	INNERVATION	ACTIONS PRINCIPALES	VASCULARISATION ARTÉRIELLE	GROUPE MUSCULAIRE
Jumeau supérieur	Face externe de l'épine ischiatique	Face médiale du grand trochanter du fémur	Nerf de l'obturateur interne	Rotateur latéral de la cuisse en extension au niveau de la hanche	Artères glutéale inférieure et pudendale interne	Muscle de la région glutéale
Lombricaux	Tendons du muscle long fléchisseur des orteils	Bord médial des expansions tendineuses dorsales correspondantes du muscle long extenseur des orteils des quatre orteils latéraux	Lombrical médial : nerf plantaire médial Trois lombricaux latéraux : nerf plantaire latéral	Fléchisseur des phalanges proximales au niveau des articulations métatarso-phalangiennes, extenseurs des phalanges moyennes et distales au niveau des articulations interphalangiennes proximales et distales	Artère plantaire latérale et artères métatarsiennes plantaires	Muscle du pied
Long adducteur (de la cuisse)	Corps du pubis, en dessous de la crête pubienne	Tiers moyen de la ligne âpre du fémur	Nerf obturateur (division antérieure)	Adducteur de la cuisse au niveau de la hanche	Artères profonde de la cuisse et circonflexe médiale de la cuisse	Muscle médial de la cuisse
Long extenseur de l'hallux	Partie moyenne de la face antérieure de la fibula et de la membrane interosseuse	Face dorsale de la base de la phalange distale du gros orteil	Nerf fibulaire profond	Extension du gros orteil et flexion dorsale du pied au niveau de la cheville	Artère tibiale antérieure	Muscle antérieur de la jambe
Long extenseur des orteils	Condyle latéral du tibia, trois quarts proximaux de la face antérieure de la membrane interosseuse et de la fibula	Phalanges moyennes et distales des quatre orteils latéraux	Nerf fibulaire profond	Extension des quatre orteils latéraux et flexion dorsale du pied au niveau de la cheville	Artère tibiale antérieure	Muscle antérieur de la jambe
Long fibulaire	Tête et deux tiers proximaux de la face latérale de la fibula	Face plantaire de la base du 1er métatarsien et du cunéiforme médial	Nerf fibulaire superficiel	Éversion du pied et flexion plantaire accessoire du pied au niveau de la cheville	Artères tibiale antérieure et fibulaire	Muscle latéral de la jambe
Long fléchisseur de l'hallux	Deux tiers distaux de la face postérieure de la fibula et de la membrane interosseuse	Base de la phalange distale du gros orteil (hallux)	Nerf tibial	Fléchisseur de toutes les articulations du gros orteil et flexion plantaire accessoire du pied au niveau de la cheville	Artère fibulaire	Muscle postérieur de la jambe
Long fléchisseur des orteils	Partie médiale de la face postérieure du tibia sous la ligne soléaire	Face plantaire de la base des phalanges distales des quatre orteils latéraux	Nerf tibial	Fléchisseur des quatre orteils latéraux et fléchisseur plantaire du pied au niveau de la cheville, contribue au maintien des arches longitudinales du pied	Artère tibiale postérieure	Muscle postérieur de la jambe
Moyen fessier	Face latérale de l'ilium entre les lignes glutéales antérieure et postérieure	Face latérale du grand trochanter du fémur	Nerf glutéal supérieur	Abducteur et rotateur médial de la cuisse au niveau de la hanche ; stabilise le pelvis sur le membre inférieur en appui monopodal	Artère glutéale supérieure	Muscle de la région glutéale
Obturateur externe	Bords du foramen obturé, membrane obturatrice	Fosse trochantérique du fémur	Nerf obturateur	Rotateur latéral de la cuisse, stabilisateur de la tête du fémur dans l'acétabulum	Artère circonflexe médiale de la cuisse, artère obturatrice	Muscle médial de la cuisse
Obturateur interne	Face pelvienne de la membrane obturatrice et os avoisinant	Face médiale du grand trochanter du fémur	Nerf de l'obturateur interne	Rotateur latéral de la cuisse étendue, abducteur de la cuisse fléchie au niveau de la hanche	Artères pudendale interne et obturatrice	Muscle de la région glutéale
Pectiné	Branche supérieure du pubis	Ligne pectinée du fémur	Nerf fémoral et parfois nerf obturateur	Adducteur et fléchisseur de la cuisse au niveau de la hanche	Artère circonflexe médiale de la cuisse, artère obturatrice	Muscle médial de la cuisse
Petit fessier	Face latérale de l'ilium entre les lignes glutéales antérieure et inférieure	Face antérieure du grand trochanter du fémur	Nerf glutéal supérieur	Abducteur et rotateur médial de la cuisse au niveau de la hanche ; stabilise le pelvis sur le membre inférieur en appui monopodal	Tronc principal et branche profonde de l'artère glutéale supérieure	Muscle de la région glutéale
Piriforme	Face antérieure du sacrum segments 2-4, ligament sacro-tubéreux	Bord supérieur du grand trochanter du fémur	Rameaux ventraux des nerfs spinaux L5, S1 et S2	Rotateur latéral de la cuisse étendue, abducteur de la cuisse fléchie au niveau de la hanche	Artères glutéales supérieure et inférieure, artère pudendale interne	Muscle de la région glutéale

MUSCLE	INSERTION PROXIMALE (ORIGINE)	INSERTION DISTALE (TERMINAISON)	INNERVATION	ACTIONS PRINCIPALES	VASCULARISATION ARTÉRIELLE	GROUPE MUSCULAIRE
Plantaire	Partie inférieure de la ligne supracondylaire latérale du fémur et ligament poplité oblique	Partie postérieure du calcanéus *via* le tendon calcanéen	Nerf tibial	Assiste faiblement le muscle gastrocnémien	Artère poplitée	Muscle postérieur de la jambe
Poplité	Face latérale du condyle latéral du fémur et ménisque latéral	Face postérieure du tibia au-dessus de la ligne soléaire	Nerf tibial (L4-S1)	Fléchisseur accessoire du genou et le déverrouille par la rotation du fémur sur le tibia fixé	Artères géniculées inférieures médiale et latérale	Muscle postérieur de la jambe
Sartorius	Épine iliaque antéro-supérieure et partie supérieure de l'incisure sous-jacente	Partie supérieure de la face médiale du tibia	Nerf fémoral	Abducteur, rotateur latéral et fléchisseur de la cuisse ; fléchisseur de la jambe au niveau du genou	Artère fémorale	Muscle antérieur de la cuisse
Semi-membraneux	Tubérosité ischiatique	Partie postérieure du condyle médial du tibia	Nerf sciatique (division tibiale)	Fléchisseur de la jambe, extenseur de la cuisse	Branches perforantes de l'artère profonde de la cuisse et artère circonflexe médiale de la cuisse	Muscle postérieur de la cuisse
Semi-tendineux	Tubérosité ischiatique	Partie supérieure de la face médiale du tibia	Nerf sciatique (division tibiale)	Fléchisseur de la jambe, extenseur de la cuisse	Branches perforantes de l'artère profonde de la cuisse et artère circonflexe médiale de la cuisse	Muscle postérieur de la cuisse
Soléaire	Face postérieure de la tête de la fibula, quart proximal de la face postérieure de la fibula, ligne soléaire du tibia	Partie postérieure du calcanéus *via* le tendon calcanéen	Nerf tibial	Flexion plantaire du pied au niveau de la cheville, stabilisateur de la jambe sur le pied	Artères poplitée, tibiale postérieure et fibulaire	Muscle postérieur de la jambe
Tenseur du fascia lata	Épine iliaque antéro-supérieure et partie antérieure de la crête iliaque	Tractus ilio-tibial qui s'insère sur le condyle latéral du tibia	Nerf glutéal supérieur	Abducteur, rotateur médial et fléchisseur de la cuisse au niveau de la hanche ; contribue à maintenir le genou étendu	Branche ascendante de l'artère circonflexe latérale de la cuisse	Muscle de la région glutéale
Tibial antérieur	Condyle latéral et moitié proximale de la face latérale du tibia	Faces plantaire et médiale du cunéiforme médial et base du 1er métatarsien	Nerf fibulaire profond	Flexion dorsale du pied au niveau de la cheville et inversion du pied	Artère tibiale antérieure	Muscle antérieur de la jambe
Tibial postérieur	Face postérieure du tibia sous la ligne soléaire, membrane interosseuse, moitié proximale de la face postérieure de la fibula	Tubérosité de l'os naviculaire, tous les os cunéiformes, l'os cuboïde et la base du 2e au 4e métatarsien	Nerf tibial	Flexion plantaire du pied au niveau de la cheville et inversion du pied	Artère fibulaire	Muscle postérieur de la jambe
Troisième fibulaire	Tiers distal de la face antérieure de la fibula et de la membrane interosseuse	Dos de la base du 5e métatarsien	Nerf fibulaire profond	Flexion dorsale du pied au niveau de la cheville et contribution à l'éversion du pied	Artère tibiale antérieure	Muscle antérieur de la jambe
Vaste intermédiaire (quadriceps)	Faces antérieure et latérale de la diaphyse du fémur	Base de la patella et tubérosité tibiale *via* le ligament patellaire	Nerf fémoral	Extenseur de la jambe au niveau de l'articulation du genou	Artères circonflexe latérale de la cuisse et profonde de la cuisse (fémorale profonde)	Muscle antérieur de la cuisse
Vaste latéral (quadriceps)	Grand trochanter, lèvre latérale de la ligne âpre du fémur	Base de la patella et tubérosité tibiale *via* le ligament patellaire	Nerf fémoral	Extenseur de la jambe au niveau de l'articulation du genou	Artères circonflexe latérale de la cuisse et profonde de la cuisse (fémorale profonde)	Muscle antérieur de la cuisse
Vaste médial (quadriceps)	Ligne intertrochantérique, lèvre médiale de la ligne âpre du fémur	Base de la patella et tubérosité tibiale *via* le ligament patellaire	Nerf fémoral	Extenseur de la jambe au niveau de l'articulation du genou	Artère fémorale et artère profonde de la cuisse (fémorale profonde)	Muscle antérieur de la cuisse